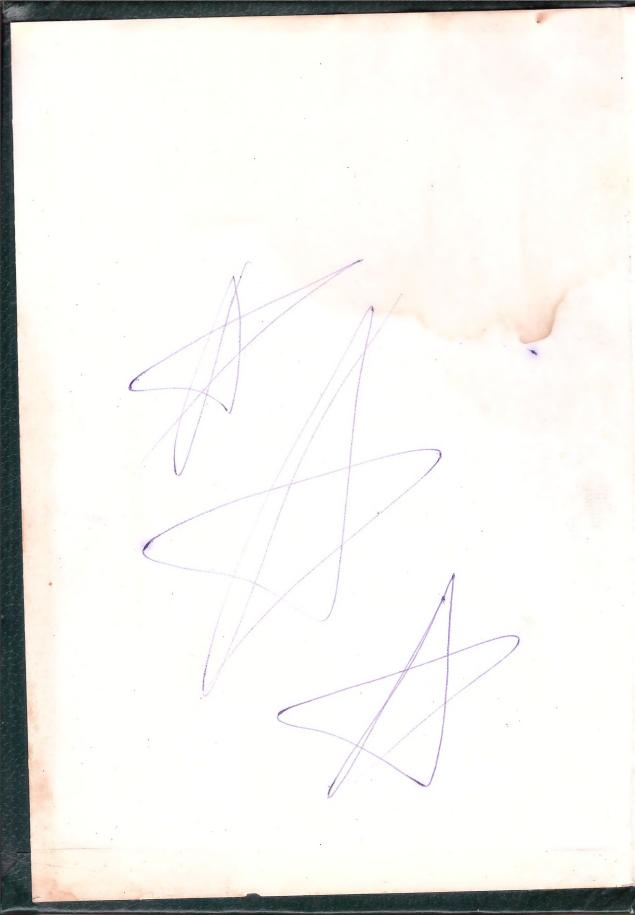
правочник радиолювителя-конструктора 🌑

# 







#### МАССОВАЯ РАДИО-БИБЛИОТЕКА

Основана в 1947 году ВЫПУСК 1043

# ДР<sup>ВОЧИ</sup>Д РАДИОЛЮБИТЕЛЯ∙

THOTPY KIOT

ИЗДАНИЕ ТРЕТЬЕ, ПЕРЕРАБОТАННОЕ И ДОПОЛНЕННОЕ

> МОСКВА «РАДИО И СВЯЗЬ» 1983



**ББК** 32.85 C.74 УДК 621.396.6(03)

#### РЕДАКЦИОННАЯ КОЛЛЕГИЯ:

БЕЛКИН В. Г., БОНДАРЕНКО В. К., БОРИСОВ В. Г., ВАНЕЕВ В. И., ГЕНИШТА В. Н., ГОРОХОВСКИЙ А. В., ЕЛЬЯШКЕВИЧ С. А., ЖЕРЕБЦОВ И. П., КОРОЛЬКОВ В. Г., СМИРНОВ А. Д., ТАРАСОВ Ф. И., ХОТУНЦЕВ Ю. Л., ЧИСТЯКОВ Н. И.

Справочник радиолюбителя-конструктора. — 3-е изд., С74 перераб. и доп. — М.: Радио и связь, 1983. — 560 с., ил. — (Массовая радиобиблиотека: Вып. 1043). В пер. 4 р. 90 к.

Справочник содержит рекомендации по выбору схем, коиструированию, монтажу и налаживанию радкоприемников, телевизоров, магнитофонов и любительских КВ я УКВ передатчиков. Приведени справочные данные по электровакумними, подупроводниковым приборам, интегральным микросхемам и другим раднодеталям. Второе издание вышло в 1977 г.

Предназначен для широкого круга раднолюбителей.

C 2402020000-043 196-82 046(01)-83

**ББК 32.85** 

6**Φ**2.1

#### Редакция научно-популярной литературы и массовой радиобиблиотеки

#### СПРАВОЧНИК РАДИОЛЮБИТЕЛЯ КОНСТРУКТОРА

Редактор Н. И. Чистяков Редактор издательства Т. В. Жукова. Переплет художника В. П. Карпова

Художественный редактор Г. Н. Кованов Технические редакторы К. Г. Игумнова, Л. А. Горшкова Корректор Т. Г. Захарова

**ИБ № 236** 

Сдаво в набор 09.11.81. 100/<sub>18</sub>. Бунаста плогр. № 3. Гарвитура литературкая Т-04649. Формат 70×100/<sub>18</sub>. Бунаста плогр. № 3. Гарвитура литературкая Печать офеставля «Усл. печ. л. 45.5 Усл. кр. -07. 45.5 Усл. жар. -07. 44.4 Доп. тираж 100 000 эхд, Изд. № 19454 Зак. № 663. Цена 4 р. 90 к. Издетаслегото «Радио и сеявы». 101000 Москва, Главпочтант, а/я 693

Московская типография № 4 Союзполиграфпрома при Государственном комитете СССР по делам издательств, полиграфии и кинжиой торговли. Москва, 129041, В. Переяславская ул., 46

#### ПРЕДИСЛОВИЕ К ТРЕТЬЕМУ ИЗЛАНИЮ

На выставках лучших образцов радиолюбительского творчества, регулярно организуемых в разных городах страны, мы встречаем сотни конструкций приборов и аппаратов, отличающихся новизной принципов, высокими качественными показателями, оригинальностью конструктивного оформления. Их авторы — радиолюбители всех возрастов и профессий.

Многие ведущие конструкторы, выдающиеся ученые-исследователи и изобретатели не только в радиотехнике, но и в других областях, начинали свой творческий путь с радиолюбительства. Самостоятельный монтаж и налаживание радиотехнических и электронных устройств, вначале сравнительно простых, а в дальнейшем и все более сложных, экспериментальная работа с этими устройствами не только интересны и увлекательны; они — эффективный путь к развитию инженерной интуиции, уверенности и настойчивости в решения трудных научно-технических задач. Эти качества обычно сохраняются затем на всю жизнь.

Путь в радиолюбительство открыт для каждого. кто пожелает посвятить свой досуг интересному и полезному делу. Имеется обширная литература; в радиоклубах можно получить исчерпывающую консультацию; непрерывно растет ассортимент материалов, элементов, готовых узлов и приборов, наборов деталей, которые можно найти в радио-

магазинах.

Чаще всего первые опыты сборки простых усилителей и приемников начинаются еще в школе в раднокружке и в кабинете физики. В старших классах юный радиолюбитель часто уже обладает основательными практическими навыками. а школьные курсы физики и математики добавляют к ним научную базу, достаточную для углубленного ознакомления с основами электротехники, электроники и радиотехники.

Учащемуся старших классов средней школы и ПТУ доступны брошюры «Массовой раднобиблиотеки» и статьи журнала «Радио», в которых он получает хорошо проверенные на практике указания к осуществлению разнообразных и подчас сравнительно сложных конструкций. Настольными книгами становятся учебники, которые так-

же регулярно выпускаются в МРБ

Следующий этап — самостоятельная разработка образцов новой аппаратуры, отличающихся от существующих техническими характеристиками, отвечающих более высоким требованиям, либо полностью оригинальных. На этом этапе и уровне деятельности значительным подспорьем для радиолюбителя становится справочная литература. Из справочников можно получить нужные сведения о типичных схемах и параметрах отдельных цепей и узлов разрабатываемой аппаратуры, о методике их ориентировочного расчета, о рекомендуемых для них компонентах, о способах изготовления и налаживания узлов и устройств в целом и т. п.

«Справочник радиолюбителя-конструктора», уже выходивший в двух изданиях, используется сотнями тысяч радиолюбителей. Получаемые издательством отзывы показывают, что приводимые в нем материалы очень нужны в практической работе. В немалой степени этому способствовало то, что авторы разделов справочника имели немалый собственный опыт радиолюбительского творчества и поэтому хорошо представляют себе интересы читательской аудитории.

Большая заслуга в организации авторского коллектива, участвовавшего в подготовке первого издания (1973 г.) и в его редактировании, принадлежит Р. М. Малинину. Этот справочник послужил основой для второго, переработанного и дополненного издания (1977 г.), двухсоттысячный тираж которого разошелся сразу после поступления книги в магазины. Это обстоятельство послужило одним из поводов для подготовки данного, третьего издания справочника.

Другой причиной, сделавшей необходимым выпуск этой книги, является быстрое изменение и развитие элементной и схемотехнической базы радиолюбительства. Потребовалось расширить и обновить таблицы справочных данных и описания типичных радиолюбительских конструкций аппаратуры; существенно пересмотреть ряд разделов. Поскольку развитие материальной базы радиолюбительской практики отнюдь не проявляет тенденции к замедлению, издательство «Радио и связь» намерено и в дальнейшем регулярно публиковать подобные книги. Одновременно с выпуском данного издания начинается подготовка нового справочника, который предполагается выпустить в текущем пятилетии.

В подготовке справочника участвовали Н. М. Борисов (разд. 8), А. А. Бокуняев (разд. 9), Р. Г. Варламов (разд. 11), М. Д. Ганзбург (§ 5.2), Е. Н. Гумеля (разд. 2), Г. А. Горячева, 12.1-12.8), Ю. А. Индлин (§ 4.3-4.5), (§ 4.6, 5.1, 5.3—5.7), Л. С. Лаповок (разд. 7), Л. Г. Лишин (разд. 6), Б. Н. Лозицкий (разд. 10), В. А. Подолян (§ 12.19), €. К. Сотников (разд. 3), А. П. Сырицо (§ 4.1, 4.2), Я. А. Толкачева (§ 12.15—12.18), В. А. Терехов (§ 12.11— 12.14), Р. К. Томас (§ 12.20), Н. И. Чистяков (разд. 1).

Авторы и редакционная коллегия МРБ обращаются к читателям с просьбой присылать свои пожелания, замечания и отзывы об этой книге, а также рекомендации по дальнейшему улучшению справочной литературы, которые будут с благодарностью приняты и учтены при подготовке

новых книг для радиолюбителей.

Отзывы, замечания и предложения просим присылать по адресу: 101000, Москва, Главпочтамт, а/я 693, издательство «Радио и связь», Массовая раднобиблиотека.

Доктор техн. наук, профессор н. и. ЧИСТЯКОВ

#### ОБОЗНАЧЕНИЯ И СОКРАЩЕНИЯ, ПРИНЯТЫЕ В СПРАВОЧНИКЕ

индукции

#### Сокращенные обозначения единиц физических величин

А — ампер — единица силы электрического тока А - ч — ампер-час — единица количества электричества; емкости гальванического, аккумуляторного элемента, батарен

В — вольт — единица электрического напряже-

В • А — вольт-ампер — единица полной электрической мошности

В/м — вольт на метр — единица напряженности электрического поля

вар — единица реактивной мощности

Вб — вебер — единица магнитного потока Вт — ватт — единица электрической мощности г — гол

г — грамм — единица массы

Гн - генри - единица индуктивности и взаимоиндуктивности  $\Gamma\Gamma\mu$  —  $\Gamma\mu\Gamma$  =  $\Gamma\mu$  =

Гс — гаусс — единица магнитной  $(1 \Gamma c = 10^{-4} Ta)$ 

Гц — герц — единица частоты

дБ — децибел — логарифмическая единица относительного уровня электрического или акустического сигнала

К — кельвин — единица температуры .

кВ — киловольт (1000 В) кВт — киловатт (1000 Br)

кВт · ч — киловатт-час — единица электрической энергии (1000 Вт • ч)

кг'- килограмм

кГц — килогерц (1000 кГц) кд — кандела — единица силы света

кд/м<sup>2</sup> — кандела на квадратный метр — единица яркости Кл - кулон - единица количества электричест-

ва, электрического заряда км — километр

кОм — килоом (1000 Ом)

л — лито м - метр

м/с — метр' в секунду — единица скорости

мА — миллиампер (0,001 А) мВ — милливольт (0,001 B) ·

мВ/м — милливольт на метр (0,001 В/м) мВт — милливатт (0,001 Bт)

мГн - миллигенри (0,001 Гн) МГц — мегагерц (1 млн. Гц)

мин - минута

мкм - микрометр (0,001 мм) мкА — микроампер (0,001 мА)

мкВ - микровольт (0,001 мВ)

мкВ/м -- микровольт на метр -- единица напряженности электрического подя

мкВт - микроватт (0,001 мВт) мкГн — микрогенри (0,001 мГн)

мкс — микросекунда (одна миллионная доля

секунды)

мкСм — микросименс (одна миллионная сименса)

мкФ — микрофарада (одна миллионная доля фарады)

мм - миллиметр МОм — мегаом (1 млн. Ом)

Н — ньютон — единица силы нс — наносекунда (0,001 мкс)

 $H\Phi$  — нанофарада (1000  $\Pi\Phi$  = 0,001 мк $\Phi$ )

Ом — единица электрического сопротивления . Па — паскаль — ньютон на квадратный метр (единица давления)

пФ — пикофарада (одна миллионная доля микрофарады)

с - секунда См - сименс - единица электрической проводимости см/с -- сантиметр в секунду -- единица скорости

Тл — тесла — единица магнитной индукции ч — час Ф — фарада — единица электрической емкости °C — градус Цельсия — температура, разность

температур Сокрашения терминов, аббревиатуры

АМ — амплитудная модуляция; амплитудно-мо-

дулированный АМС — амплитудно-модулированный сигнал АПЧГ — автоматическая подстройка частоты

гетеродина АПЧиФ — автоматическая подстройка частоты и фазы

АЧХ — амплитудно-частотная характеристика АРУ — автоматическое регулирование усиления; автоматический регулятор усиления

АСУ -- автоматическая система управления БИС — большие интегральные схемы ВАХ — вольт-амперная характеристика

ВЧ — высокая частота; высокочастотный ГОСТ — государственный стандарт СССР

ДВ — длинные волны; длинноволновый ДМВ — дециметровые волны ДУ — дистанционное устройство

ЗГ — задающий генератор 34 — звуковые частоты

КВ — короткие волны; коротковолновый КМОП — комплементарные (дополнительные) структуры метали-окисел-полупровод-

ник КОС -- комбинированная обратная связь

КБВ — коэффициент бегущей волны к.п.д. - коэффициент полезного действия

КПЕ — конденсатор переменной емкости МВ — метровые волны

МСЭ — Международный союз электросвязи МЭК — Международный электротехнический ко-

НЧ -- низкая частота; низкочастотный

ОБ - общая база

ООС — отрицательная обратная связь из диапазонов гектаметровых и километровых ОУ - операционный усилитель волн (150-408 кГц) Низкие частоты (НЧ) 30-300 кГц. ОЭ - общий эмиттер ПОС — положительная обратная связь Высокие частоты (ВЧ) 3 МГи-30 МГи. Очень высокие частоты (ОВЧ) 30 МГц -ПЧ — промежуточная частота РВ — радиовещание; радиовещательный 300 MTn. РЧ — радиочастота; радиочастотный Ультравысокие частоты (УВЧ) 300 МГц — 3000 МГц. РЭА — радиоэлектронная аппаратура САР — система автоматического регулирования Сверхвысокие частоты (СВЧ) 3 ГГц — 30 ГГц. СВ - средние волны; средневолновый СЛ — синхронный детектор Обозначения на электрических схемах СМ — смеситель СТ СЭВ — стандарт СЭВ Для, обозначения видов токов, электрических СЭВ — Совет Экономической Взаимопомощи сосигналов, импульсов и полярности электрических циалистических стран напряжений применяют следующие символы: ТВ — телевиление: телевизионный ТКС — температурный коэффициент сопротивле-Постоянный ток ния Положительная полярность ТТЛ — транзисторно-транзисторная логика УВЧ — усилитель высокой частоты; усиление вы-Отрицательная полярность сокой частоты Переменный ток, общее обозначение; УЗЧ — усилитель звуковой частоты ток частотой 50 Гц УКВ — ультракоротковолновый; ультракороткие волны Ток (сигнал) ЗЧ УМ — умножитель мощности УПТ - усилитель постоянного тока Ток (сигнал) ВЧ УПЧ — усилитель промежуточной частоты УПЧИ - усилитель промежуточной частоты изображения Сигнал переменной частоты УРЧ — усилитель радиочастоты ФАПЧ - фазовая автоподстройка частоты Сигнал; состоящий из несущей часто-ФНЧ — фильтр нижних частот ты с двумя боковыми полосами частот ФОС — фильтр основной селекции Сигнал, состоящий из несущей часто-ФСС — фильтр сосредоточенной селекции ты и верхней боковой полосы частот ЭДС — электродвижущая сила Сигнал, состоящий из несущей часто-ЧМ — частотная модуляция; частотно-модулироты и нижней боковой полосы частот ванный Сигнал, состоящий из одной боковой ЧМС — частотно-модулированный сигнал полосы частот (несущая частота полавлена) Классификация волновых Прямоугольный импульс положительи частотных диапазонов ной полярности Прямоугольный импульс отрицатель-Диапазон сантиметровых волн 1-10 см ной полярности  $(f = 30 \Gamma \Gamma \mu - 3 \Gamma \Gamma \mu)$ Остроугольный импульс положитель-Диапазон дециметровых волн ной полярности  $(f = 3 \Gamma \Gamma \mu - 300 M \Gamma \mu)$ Остроугольный импульс отрицательной полярности

Диапазон метровых волн 1-10 м (f = = 300 MΓμ — 30 MΓμ) Диапазон декаметровых волн 10-100 м  $(f = 30 \text{ M}\Gamma \mu - 3 \text{ M}\Gamma \mu)$ Диапазон гектаметровых волн 100—1000 м  $(I = 3 \text{ M}\Gamma \mu - 300 \text{ k}\Gamma \mu)$ 

Диапазон километровых волн 1000-10 000 м (f = 300 kFu - 30 kFu)УКВ радиовещательный и телевизионный диапазоны воли включают в себя полосы частот, выделенные из диапазонов метровых и дециметровых волн.

Коротковолновые радиовещательные диапазоны воли являются частями диапазона дека-

метровых волн. Средневолновый радиовещательный диапазон воли представляет собой полосу частот внутри диапазона гектаметровых волн (525—1605 кГц).

Длинноволновый радиовещательный диапазон воли образуется полосами частот, выделенных Графические условные обозначения электрических проводов, кабелей, экранов, коммутационных устройств, резисторов и конденсаторов

Провода, кабели, экраны

Провод электрический: Ответвление от провода, соединение проволов

Пилообразный импульс положитель-

Трапецеидальный импульс положитель-

ной полярности

ной полярности

		the second secon	
Провода пересекаются без электриче- ского контакта между ними Электрическая цепь продолжается за пределами схемы Стрелка на проводе указывает направ-	+	То же, с самовозвратом в нейтральное положение	1
ление распространения сигнала Экранированный провод	→ =====	Выключатель кнопочный однополюсный нажимной с замыкающим контактом с самовозвратом	
Частично экранированный провод	<del></del>	Выключатель кнопочный однополюсный нажимной с размыкающим контактом	
Коаксиальный кабель	<del>-Q-</del>	Переключагель кнолочный однополюс- ный нажимной с возвратом вторичным нажатием кнопки	
			- 1
Соединение с землей 'Экран элемента или групны элементов	[]	Переключатель кнопочный однополюс- ный нажимной с возвратом посредством отдельного привода, например нажати- ем специальной кнопки (сброс)	L .
Коммутационные устройства		Переключатель двухполюсный трех- позиционный с нейтральным положе- нием	
Контакт коммутационного устройства (выключателя, электрического реле) за-			
мыкающий; общее обозначение. Выключатель однополюсный	)	Переключатель двухполюсный трехпо- зиционный с самовозвратом в нейтраль- ное положение	4444
То же, для коммутации сильноточной цепи	1	Переключатель однополюсный много- позиционный, например трехпозицион- ный, переключатель диапазонов радио- приемника; часть многополюсного мно- гопозиционного переключателя	кв св дв
То же, с механической связью с другим элементом		-То же, с безобрывным переключением	- <del>       </del>
Контакт коммутациенного устройства размыкающий; общее обозначение	7,	Выключатель многополюсный, например трехполюсный	#
Контакт коммутационного устройства размыкающий с механической связью с другим элементом	<u>+</u>	Переключатель многополюсный двухпозиционный, например трех- полюсный	
Контакт коммутационного устройства переключающий; общее обозначение. Однополюсный переключатель на два направления	Ų.	Переключатель многополюсный не зависимых цепей, например четырех	1111234
Контакт коммутационного устройства переключающий без размыкания цепи	الم	Контакт «неразборного» соединения, например осуществленного пайкой	-
Переключатель, однополюсный трех- позиционный с нейтральным положе- нием	.	Контакт «разборного» соединения, например с помощью зажима	— <b>~</b>

Колодка зажимов с разборными контактами, например с четырьмя зажимами	1 2 3 4 4 MAN	Обмотка электрического реле, контактора, общее обозначение	
Разъемное однополюсное соединение	<b>→</b>	такты реле могут быть распо- ложены на схеме в удалении от обмотки)	十十岁
Штырь разъемного соединения	$\stackrel{\cdot \cdot \cdot}{\longrightarrow}$	Реле электромагнитное поля- ризованное на два направле-	
Гнездо разъемного соединения	$\overline{}$	ния тока в обмотке, с ней-	1.1
Штыревая часть коаксиального разъема	$\xrightarrow{Q}$	тральным положением (кон- такт, обозначенный точкой	<u></u> ''
Гнездовая часть коаксиального разъема	<b>→</b>	(черточкой)), замыкается при приложении положительного полюса напряжения к выво- ду обмотки, обозначенному точкой (черточкой)	T• •
	#		
Штырсвая часть многопроводного разъема, например четырехпроводного	# <i>nu</i> → -11-	Реле электромагнитное поля- ризованное на одно направле- ние тока в обмотке, без само- возврата	4
	2 3	Реле тепловое, например с за- мыкающим контактом	4
	# 1	Гнездо штепсельное телефонное двухпроводное	
Гнездовая часть многопроводного разъема, например четырехпровод- ного	ули ————————————————————————————————————	Штепсель телефонный двух- проводный	
A	3 4	Резисторы постоянные	
Перемычка коммутационная, раз- мыкающая цепь	<del>~~~</del>	Общее обозначение	
		С отводами	
Перемычка коммутационная переключающая ,		С номинальной мощностью рассеяния 0,05 Вт	-12221
	$\prec$	То же, 0,125 Вт	
Вставка-переключатель	أ أ	То же, 0,25 Вт .	-53-
(четыре варианта соеди-		То же, 0,5 Вт	
	1-1 ←	То же, 1 Вт	

- O O O O O O O O O O O O O O O O O O O	mor at companyeme.	n, inputitifice o enpado mune
То же, 2 Вт		Подстроечный реостат
То же, 5 Вт То же, 10 Вт	-[X]-	Подстроечный резистор-потенциометр
Варистор Терморезистор прямого нагрева	- <del>\$</del> -	Дополнительные знаки у обозначений переменных и подстроечных резисторов
Терморезистор с лодогревом Фоторезистор		Регулирование ручкой, выведениой наружу регулирование инструментом, ось выведена наружу устройства Регулирование инструментом, элемент регулирования ввутри устройства Ступенчатое регулирование
Резисторы переменные и по	одстроечные	Конденсаторы
Переменный резистор, реостат, общее обозначение	или .	Постоянной емкости, общее обозначение
Переменный резистор, использу- емый в качестве потенциометра	<u>_</u>	Электролитический неполярный
Переменный резистор с отводами		Постоянной емкости, двухсекционный (у вывода анодов двухсекционного электролитического кондеисатора ставят знак +)
Переменный резистор с выключа- телем, изображенным совместно с ним	N/W	Проходной; дуга обозначает корпус, внешний электрод
Переменный резистор с выклю-		Переменной емкости (дуга или точка обозначает ротор)  Многосекционный, например двухсекционный, переменной ем
чателем, изображенным раздельно от него	4	кости (блок КПЕ) (конденсаторы, входящие в блок, могут быть разнесены по схеме)
Переменный резистор сдвоенный		Переменной емкости, дифференци-
		Подстроечный, общее обозначение
		струментом, ось выведена наружу

#### Подстроечный, регулирование инструментом, ось внутри устройства



Примечвия: 1. Число, стоящее около графического обозначения резистора, указывает его комнявланое сооръждения резистора, указывает его комнявланое сооръждения с предоставления и предоставления и предоставления и предоставления и предоставления в предоставления

дует читать 150 кОм; 4,7 М — следует читать 4,7 МОм. 2. Число около графического обозначения комденсатора указывает его номинальную смкость. Если обозначение после целого числа отсутствует или после числа с дробью имеются

цеского часть ступутет или полист часть с дроско высока. В правеня в пикофардах. В сестифор образовательного стоят число в вые десятникой дроби или в выяс целого числа, после которого запятая и нуль (обозначение сединики отсутствует), емкость выражена в инкрофаралах. Примеры: 10 пер. 3,3 пер. следует читать 10 пер. 3,3 пер. следует читать 3,3 мсф. следует читать 3,3 мсф. следует читать 3,3 мсф. (),1 мсф. следует читать 3,4 мсф. (),1 мсф. следует читать 3,4 мсф. (),1 мсф. следует читать 3,4 мсф.

читать 3,3 мкФ; 0,1 мкФ — следует читать 0,1 мкФ. У обозвачения электроличис-кого конделестора дополитольно указывают его номинальное напряжение в водыталь. З. Если около конделестора переменяюй емисоти аль. З. Если около конделестора переменяюй емисоти на нав емисоть; если же стоят два числа, разделениме знаком тире, первое из нях указывает минимальную, а этом тире, первое из нях указывает минимальную, а этом за предоставления в предост

тире, первое из изказавает мялимальную заторое максимальную емкость в пикофарадах.

Емкость конденсатора (или сопротивление резистора), около обозмачения которого стоит звездочка, является ориентировочной и должиз быть подобрана при налаживании аппаратуры.

#### Графические условные обозначения полупроводниковых приборов

#### Полупроводниковые диоды Лиот выпрямительный: столб

BLIF	рямительный:		
	— анод; <i>к</i> — катод	, , ,	<del>a N K</del>
Тун	нельный диод		<del></del>
Обр	ащенный диод		— <del> </del> ▼

Стабилитрон; опорный диод Стабилитрон с двусторонней проводимостью

Варикап

Варикапная сборка

Светоднод Фотоднод

Двунаправленный диод

Выпрямительный однофазный диодный мост (схема- Греца)



Диодный (динистор): a — анод;  $\kappa$  —  $\kappa$ 

Диодный симметричный

Триодный (тринистор), незалираемый, с управлением по аноду; a анод;  $\kappa$  — катод; y — управляющий электоро

Триодный (тринистор), незапираемый, с управлением по катоду Триодный (тринистор), запираемый, с управлением по аноду

Триодный (тринистор), запираемый, с управлением по катоду

Триодный симметричный, незапираемый (симистор)

#### Транзисторы

Бескорпусной структуры n-p-n (например, в микросхеме):  $\delta$  — база;  $\kappa$  — коллектор;  $\vartheta$  — эмиттер

Бескорпусной структуры n-p-n с несколькими эмиттерами (например, в микросхеме)

Структуры *n-p-n* в корпусе; общее обозначение

Структуры *p-n-p* в корпусе; общее обозначение

Электрическое соединение одного из электродов с корпусом обозначается точкой, например: а) у транзисторов структуры n-p-h с корпусом соединена база

б) у транзистора структуры *n-p-n* с корпусом соединен коллектор

в) транзистор структуры n-p-n с отдельным выводом от корпуса; выводы всех электродов от корпуса изолированы

Катушка с ферритовым подстроеч ным сердечником

Катушка с магнитодиэлектриче-Лавинный, капример структуры ским подстроечным сердечником Катушка с немагнитным подстроечным сердечником, например ла-Однопереходный с базой типа п: б<sub>1</sub>, б<sub>2</sub> — выводы базы; э — вывод эмиттера Вариометр Однопереходный с базой типа д Автотрансформатор с ферромагнитным магнитопроводом Полевой с р-п с переходом и каналом и: з — затвор; и — исток, То же, с электрически изолированной дополнительной обмоткой Полевой с рэп переходом и ка-Трансформатор без сердечника налом р (магнитопровода); связь между обмотками постоянная (точкой обозначено начало обмотки) Полевой структуры МОП с каналом п, работающим в режиме обогащения; з. — затвор; и — ис-То же, с отводами в обмотках ток; c — сток; n — подложка Полевой структуры МОП с каналом р, работающим в режиме Трансформатор без сердечника обогащения (магнитопровода), связь между обмотками переменная Полевой структуры МОП с каналом п, работающим в режиме Трансформатор с немагнитным и обеднения подстроечными сердечниками, раздельными для обмоток Полевой структуры МОП с каналом р, работающим в режиме То же, с магнитоэлектрическими обеднения подстроечными сердечниками Полевой структуры МОП с двумя затворами, например с каналом р, работающим в режиме обед-Трансформатор с магнитоэлектринения ческим подстроечным сердечником, общим для обенх обмоток Обозначения катушек, дросселей, автотрансформаторов То же, с ферритовым подстроечи трансформаторов ным сердечником Катушка без сердечника (магнитопровода) Трансформатор с ферритовыми сер-То же, с отводами дечниками, отдельными для каждой обмотки Катушка с неподвижным ферромагнитным сердечником, в том числе с ферритовым Трансформатор двухобмоточный с Катушка с неподвижным ферронеподвижным ферромагнитным серчагнитным сердечником, имеющим дечником, в том числе с фернемагнитный зазор ритовым

#### Трансформатор трехобмоточный с отводом в обмотке II



Триод-гептод косвенного накала



Трансформатор с магнитопроводом и экраном между обмотками, соединенными с корпусом устройства



Один триод двойного триода, триодная часть триод-пентода, или триод-гептода, или двойного диода-триода



Обозначения электровакуумных



Пентодная часть триол-пентода



электронных и ионных приборов

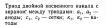




Индикатор электронно-световой: a — анод;  $\phi$  — флуоресцирую-щий анод; c — сетка управляющая; к — катод



Триод косвенного накала, подогревный: а — анод; с — сетка; к — катод; н нагреватель





Индикатор электронно-световой с двойным управлением: а1, а2 аноды первого и второго триодов; с.и - сетка индикаторная



Тетрод лучевой косвенного накала: a — анод;  $c_1$  — управляющая сетка; с<sub>2</sub> — экранирующая сетка ...



Бареттер (стабилизатор тока)



Двойной лучевой тетрод косвенногонакала (генераторный)



Электрические лампы накаливания



Пентоды косвенного накала (подогревные): a -анод;  $c_1 -$ управ-



Газосветная лампа, например неоновая



ляющая сетка; c2 — экранирующая сетка; c<sub>3</sub> — защитная сетка



Стабилитрон газоразрядный



Тиратрон с холодным катодом. триодный



Тиратрон с холодным катодом, тетродный



Триод-пентод косвенного



Фотоэлемент ионный



Кинескоп для черно-белого телевизора с электростатической фокусировкой и электромагнитным отклонением луча: к - катод; м -- модулятор (управляющий электрод);  $\dot{\phi}$  фокусирующий электрод: у — ускоряющий электрод; а - основной электрод

Кинескоп для цветного телевизора с электро-стати-



#### Магнитные головки

Стирающая

однофазные

Записывающая монофоническая

Воспроизводящая монофоническая

Универсальная монофоническая

Универсальная стереофоническая

Электродвигатели переменного тока

С немагнитным или ферромагнит-



С ротором, имеющим прорези по окружности, без обмотки

С ротором, имеющим короткозамкнутую обмотку

Коллекторный, последовательного возбуждения

"Синхронный, с пусковой обмоткой

Электродвигатели постоянного тока коллекторные

С возбуждением постоянным магинтом

Последовательного возбуждения

Параллельного возбуждения

Параллельного возбуждения с центробежным вибрационным регулятором

#### ческой фокусировкой и электромагнитным отклонением луча: R, G, В электроды, обеспечивающие красное, зеленое и синее свечение экрана

#### Обозначения электроакустических приборов

Головка громкоговорителя электродинамического прямого излучения

Телефон, общее обозначение

Микрофон, общее обозначение

Телефон головной

Микрофон электродинамический

Зуммер

Звонок электрический Сирена электрическая

Звукосниматели граммофонные

Монофонический пьезоэлектрический

Монофонический электромагнитный Стереофонический пьезоэлектрический

Стереофонический электромагнитный







1111111

#### Обозначения интегральных микросхем

Интегральная микросхема, общее

Интегральная микросхема, выполняющая функции усилителя (выводы интегральных микросхем, к которым другие элементы устройства ие подключены, на электрических схемах обычно не показывают). Входы микросхем, выполняющих функции

усилителей, как правило, изобража-

ют слева, а выходы — справа



На электрических принципнальных схемах, кроме того, нут быть следующие условные обозначения:

6. Надачие месацических свядё висяцу выеметами или их моструктивом объеменение (например, да веременных резистора с общей осых, переменный резистор, объеми ескости, образующее бодку образамот итрихомой аннией нам друже спаршимим деятим, если элементы расположены на съеме былко (например, контакты многоподосного на на съеме былко (например, контакты многоподосного невиза элементов игратиры), например сързащителя подпис невиза элементов игратиры (на пример сързащителя подпис невиза элементов игратиры (на пример удатирам).

ж схеме чини в ее описания.

2. Число в рамке около резонансного контура указы-

выет частоту в мегагерцах, на которую он настроен.

3. Напряжение, обозначениюе около вывода электрода
траноистора, лампы най кокло проводника; — это напряжение
между дзяной точкой и корпусом аппарата (шасси, землей,
общим проводом).

оощим произдому,

4. Если на схеме указана только точка переключения
одного из полюсов источника питания, подразумевается, что
его второй водис присоеднием к корпусу (общему проводу)
аппарата.

5. На принципиальных схемах с электромними лампами

пепя какала часто не показывают; при этом концы обмогок наказа травеформатора питания и выводы от интей явлава (подотревятелей) обоздачают одипаковыми буказым.

Обозначения элементов структурных и функциональных электрических скем

#### Обозначения других элементов и устройств

Плавкий предохранитель Искровой разрядник Магнит постоянный

обозначение

Обмотка электромагнита

Элемент гальванический или аккумуляторный

Батарея гальванических или аккумуляторных элементов (батарею гальванических или аккумуляторных элементов нногда обозначают в виде одного элемента, указывая рядом с ним напряжение батареи)

Общее обозначение антенны

Штыревая антенна

Противовес

Симметричный вибратор

Петлевой вибратор Пистолькорса

Рамочная антенна

Генератор электрических колебаний

Генератор колебаний переменной частоты, например ВЧ

Преобразователь частоты

Умножитель частоты

Делитель частоты

Усилитель<sup>2</sup>

То же, с регулируемым усилением

Стрелка указывает направление преобразования сигнала. <sup>2</sup> Направление передачи сигнала указывает вершина треугольника на горизонтальной линии связи.

Ограничитель амплитуды сигнала по максимуму .	- <del>[]</del> -	Амплитудный детектор
Фазовращатель	<b>-</b> φ	Детектор отношений (детектор ЧМ сигналов «дробный детектор»)
Выпрямитель 1	-[2]-	Устройство, выделяющее верхние частоты (предкорректор)
Фильтр нижних частот	-[2]	Устройство, выделяющее нижние частоты
Фильтр верхних частот	-[~]-	Модулятор и демодулятор частотный
Фильтр полосовой	-[≋]-	Модулятор и демодулятор фа
Фильтр режекторный («фильтр- пробка»)	<b>-</b> [≋}-	Дискриминатор частотный
Линия задержки	_   At	Дискриминатор фазовый



### PE30HAHCHLIE ПЕПИ

#### СОДЕРЖАНИЕ

1.1.	Колебательный	KOHTYD		

1.3. Катушки 1.4. Резонансные

#### 1.1. КОЛЕБАТЕЛЬНЫЙ КОНТУР

Радиолюбителям часто приходится конструировать, изготовлять и настраивать резонансные электрические цепи. Пьезоэлектрические резонаторы (кварцевые и керамические), электромеханические фильтры с металлическими резонаторами и другие специальные устройства, которые также служат для настройки радиоаппаратуры на заданные частоты и выделения нужных сигналов, как правило, берутся промышленного изготовления. В аппаратуре всех диапазонов длин волн, от километровых до метровых включительно, основной вид резонансной цепи - колебательный контур.

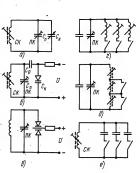
Настройка колебательного контура (рис. 1.1). Плавная перестройка в диапазоне (или поддиапазоне) частот обычно осуществляется механически конденсаторами переменной емкости (рис. 1.1, а) или варикапами (варакторами) изменением управляющего напряжения U (рис. 1.1, б, в). Дискретная перестройка (смена поддиапазонов частот или переход с одной фиксированной частоты резонанса на другую) выполняется переключением катушек (рис. 1.1,  $\varepsilon$ ,  $\partial$ ) или конденсаторов (рис. 1.1. е). Регулировку параметров контура при налаживании аппаратуры выполняют перемещением сердечника катушек СК (рис. 1.1, а, б, е) либо подстроечными конденсаторами- $\Pi K$  (pHc. 1.1,  $a-\partial$ ).

Расчет резонансной частоты fn, индуктивности L и емкости С. Частота колебаний f и длина волны λ связаны соотношением

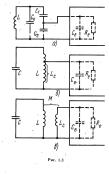
 $\lambda f = 300$ .

Частота резонанса контура fo [МГц]  $f_0 \approx 159/\sqrt{LC}$ .

Здесь L, мк $\Gamma$ н; C, п $\Phi$ .







. При расчете L и C удобна формула

 $LC \approx 25330/f^2$ .

Для оценки порядка величин можно пользоваться графиком на 1.2. L и C — полные индуктивность и еммость контура,  $\tau$ . е., например,  $C = C_k + C_R$  для рис. 1.1, a и  $C = C_R + C_R C_R / (C_R + C_R)$ , для рис. 1.1, a и  $C = C_R + C_R / (C_R + C_R)$ . Для рис. 1.1, a (если  $C_S \gg C_R$ , a)  $C \approx C_R + C_R$ , A). В полную емкость контура C входит также состраемые C, имущитураема, ремуют, катушки

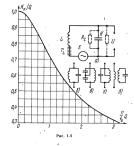
собственная (межвитковая) емкость катушки. Влияние емкости внешней цени на настройку контура. При конструнровании колебательного контура учитывается влияние подключаемых к нему внешних цепей (рис. 1.3, а—в). Степень влияния зависит от коэффициента включения д.

выяминя зависи от коуфицијета выключели p. При емкостной связи (рис. 1.3, a)  $p = C_i/\{C_1 + C_2\}$ ; при автотрансформаторной (рис. 1.3, a)  $p = M_i/L_i$  здесь M — взаимонидуктивность между катушками

Небольшай емкость  $C_*$  (см. рис. 1.3), которую обычно високт внешние подключаемые цепц, увелячивает емкость контура на  $\Delta C = C_p P$ . Изменение L и ба сравнительно малые значения  $\Delta b$  и  $\Delta C$  ( $\Delta C \ll L$ ,  $\Delta C \ll C$ ) изменяет частоту резонанса соответственно на  $\Delta f = f_0 \Delta L/2L$  и  $\Delta f = f_0 \Delta L/2L$  и  $\Delta f = f_0 \Delta L/2L$ 

#### Коэффициент передачи и частотные свойства колебательного контура.

козфициент передачи  $K_{\rm x}$  — отношение напряжения U на контуре (на конденсаторе или катушке) к ызвавшей это-напряжение э.д. с. наведенной  $_{\rm t}$ в контуре извне (рис. 1.4; a):  $K_{\rm x} = U/F$ .



Добротность контура Q— коэффициент передачи K, при частоте резонанся  $I_0$ . Добротность Q определяется добротностими катушки  $Q_L$  и конденсатора  $Q_C$ , а также общим сопротивлением R испей, подключаемых K контуру (рис. 1.4, a);  $Q_L$  зависит от сопротивления  $r_L$ , эквивалентимог потерым электической энестин в проводе, в изопетовым электической энестин в проводением распользованием расп

ляции провода, каркасе и сердечнике катушки:

$$Q_L = r_L / (6,28 f_0 L)$$
,

где  $f_0$ , МГц;  $r_L$ , Ом; L, мкГн.

Обычно в зависимости от качества конструкции катушки и примененных материалов  $Q_L \approx 50 \div 250$ . Добротность конденсатора  $Q_C$  зависит от со-

Добротность конденсатора  $Q_C$  зависит от сопротивления  $R_C$ , эквивалентного потерям радиочастотной энергии в изолящии между электродами (пластинами) конденсатора:

$$Q_C = 6.28 f_0 CR_C \cdot 10^{-3}$$
,

где  $f_0$ , МГц; C, п $\Phi$ ;  $R_C$ , кОм. Обычно  $Q_C\!\approx\!400\div1000$ .

Результирующая добротность контура

$$Q = Q_L / \left( 1 + \frac{Q_L}{Q_C} + \frac{I_0 L Q_L}{159R} \right)$$

где  $f_0$ , МГц; L, мкГн; R, кОм.

При частичном подключении виешимх ценей с сопротивательнем R, взевывалению сопротивательне R, подключенное к контуру, определяется по формусе R—R, IP, E-сия контуру подключено результирующее сопротивательне, полученное в результирующее сопротивателье, полученное в результате параласнымого подключения из живалентных сопротивательней. В конечном счете формогость зависит не голько от конструкции конультерительных опротивательного от конструкции конультерительных опротивательных по конструкции конультирующей степень от подключенных к нему внешьях ценей.

Сопротивление контура. Сопротивление контура при частоте резонанса  $f_0$  (резонансное сопротивление) при полном включении (рис. 1.4, 6)

$$R_{\nu} = 6.28 f_{\nu} LQ$$

где  $f_0$ , МГц; L, мкГн.

При частичном включении (рис. 1.4, s— $\vartheta$ )

$$R_b = 6.28 f_0 L Q p^2$$

где р -- коэффициент включения.

Резонансива характеристика — график зависимости коэффициента передачи К, киз сопротивления контура переменкому току от частоты. При частоти сопротивления контура переменкому току от частоты. Стари частоти резонати сопротивление контура максималымы и соответственно равим О и К,, при отклонении варистия с торому от при току от пр

Неравномерность коэффициента передачи в полосе частот  $\Pi$ . Характеризуется уменьшением относительного коэффициента передачи  $K_{\kappa}/Q$ , на

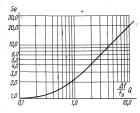


Рис. 1.5

траничных частотах  $f_{\rm min}$  и  $f_{\rm max}$  полосы частот II ( $II = f_{\rm max} - f_{\rm min}$ ), расположеной симметрично по обе стороны от частоты резонанса  $f_{\rm n}(II = 2\Delta f_{\rm s}) = f_{\rm min}$ ). На рис. 14 дал график зависимости  $K_1/Q$  от величины  $IIQ/f_{\rm e}$ . При чавестных Q и  $f_{\rm e}$  по этому графику можно оценить неравномерность коэффициента передачи в данной полосе II.

Если требуется расширить полосу пропускавия, то добротность уменьшают, для этого достаточно уменьшить R (см. рис. 1.4, а), например, параллельным подключением резистора с соответствующим сопротивлением.

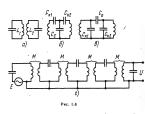
Селективность контура Se. Характеризуется ослаблением постороннего колебания (например, помежи радиоприему) с уастотой f по, отношению к радиоситналу с частотой f на которую настроей контур. На рис. 1.5 дая график завысимости Se от относительной расстройки

$$\frac{\Delta f}{f_0}$$
  $Q$   $\Delta f = f - f_0$  или  $f_0 - f$ ). При  $\frac{\Delta f}{f_0}$   $Q > > 10$   $Se \approx 2$   $\frac{\Delta f}{f_0}$   $Q$ .

#### 1.2. ПОЛОСОВОЙ ФИЛЬТР

Связанные контуры. В радмолюбительских контерукциях часто применяются связанные колебательные контрукция с применяются связанные колебательные контруы, позволяющие существенно ослабить посторонные колебания (помезя), т. е. умелячить селективность; оин называются подосовыми фильтрами. Наиболее распространенные способы связи между контурами помазаны на

рис. 1.6: трансформаторная (рис. 1.6, a), внутриемкостная (рис. 1.6, b) и внешнеемкостная (рис. 1.6, a). Контуры обычно настранваются на частоту [. Параметр, характеризующий связь контуров., томуфициент связы  $\kappa$ ; обычно  $\kappa \ll 1$ . Для рис. 1.6,  $a \kappa = M/\sqrt{L_L}$ , заесь M = взамионнауктивность; для рис. 1.6,  $\kappa =$ 



 $=\sqrt{C_{\kappa_i}C_{\kappa_2}/C_C};$  для рис. 1.6, в  $\kappa=C_C/\sqrt{C_\kappa 1}C_{\kappa 2}.$  Коэффициент передачи фильтра  $K_\phi$  — отношение напряжения U на последнем контуре к э.д.с. E в первом (например, рис. 1.6, z).

Козффициент передачи фильтра сложно зависит от коффициентов связи между контурами и от частоты. Обычно добротности контуров Qделают практически одинаковыми, в коэффициента та связи между контурами к примерко равными  $\kappa \approx 1/Q$ . Зассъ приведены коэффициенты передачи  $K_{\phi \phi}$  при частоте резоизиса  $J = I_{\phi}$  в зависимости от числа контуров в полосовом фильтеть



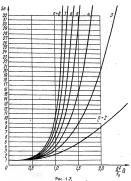


График селективности фильтров дайного типа  $Se=K_{\phi\phi}/K_{\phi}$  в зависимости от  $\frac{\Delta f}{f_{\phi}}Q$  (аналогично рис. 1.5) для разных n дан на рис. 1.7.

#### 1.3. КАТУШКИ

Типы катушек, наиболее часто встречающихся в радиолюбительской практике, изображены на рис. 1.8.

Одиослойная цилиндрическая катушка. Применяется обычно при индуктивности мене 150 мкГи. При плотной намотке виток к витку (рнс. 1.8. a) индуктивность L [мкГи] рассчитывается по формуле

$$L = w^2 D / [1000 (\frac{l}{D} + 0.45)],$$

где w — число витков; D и l — диаметр и длина намотки, мм.

Количество витков для получения требуемой

Количество витков для получения требуемой индуктивности L

$$w = 32 \sqrt{\frac{L}{D} \left(\frac{l}{D} + 0.45\right)}$$

Днаметр провода по изолящии d=l/w. При намотке с шагом a, превышающим диаметр прово-

да d (рис. 1.8,  $\delta$ ) индуктивность рассчитывается по той же формуле, но к полученному значению прибавляется поправка  $\Delta L$  [мк $\Gamma$ н]:

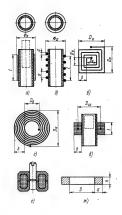
$$\delta L = wD \cdot 10^{-4} \left( \frac{a}{d} - 1 \right) \cdot \left( \frac{12 - a/d}{4} \right)$$

При размещении катушки в металлическом цилиндрическом экране с диаметром  $D_{\nu}$  индуктивность L несколько уменьшается и принимает значение

$$L_3 \approx L \left[1 - k_3 \left(\frac{D}{D_3}\right)^3\right]$$

Коэффициент к, берется из графика на рис. 1.9.

Влияние экрана квадратного сечения со стороной D, немного меньше. Экран изготовляется из немагнитного металла. Для избежания существенного влияния экрана на добротность катушки диаметр экрана выбирают равным или



Pac. 1.8

5ольше удвоенного наружного диаметра ка-

Плоская печатная катушка. При квадратной рорме витков (см. рис. 1.8, в) индуктивность

$$L = 19.4 \cdot 10^{-4} w^2 D_{cp} \frac{D_u/b - 0.143 (D_u/b)^2}{\sqrt[3]{w}}$$

де:  $D_{cp}$  — средний размер катушки  $D_{cp} = (D_n +$ 

 $+D_n$ )/2. Формула дает удовлетворительную точность расчета при  $D_s/b < 3.5$ .

При круглой форме витков (см. рис. 1.8, г) и при  $1 < D_{cp}/b < 4,5$  расчет L можно выполнить по формуле

$$L = 5,45 \cdot 10^{-4} \times \\ \times w^{2} D_{cp} \frac{1 + 0,192 D_{cp}/b - 2,04 (D_{cp}/b)^{2}}{\sqrt[3]{2}}$$

Многослойная катушка (см. рис. 1.8, д). Намотка — секционная или «универсаль». Индуктивность [мкГн]

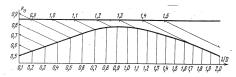
$$L = \frac{\cdot w^2 D_{cp}}{1000 (1,125l/D_{cp} + 1,25b/D_{cp} + 0,375)} .$$

Соответственно число витков, необходимое для получения заданной индуктивности,

$$w = 32 \sqrt{\frac{L}{D_{cp}} \left(1.125 \frac{l}{D_{cp}} + 1.25 \frac{b}{D_{cp}} + 0.375\right)}$$

Сердечник в виде цилиндрического стержня из феррита или карбонильного железа (штриховая линия на рис. 1.8, а и д) увеличивает индуктивность в 1,5-2 раза либо позволяет получить требуемую индуктивность с меньшим на 30-40% числом витков; при этом соответственно уменьшается сопротивление потерь в проводе катушки  $r_L$  (см. рис. 1.4, a) и возрастает добротность катушки  $Q_L$ . Индуктивность до  $\pm (10-$ 15) % регулируется продольным перемещением сердечника; для этого сердечник изготавливают с резьбой и перемещают вращением в резьбе гайки или каркаса. Сердечник увеличивает в несколько раз чувствительность индуктивности катушки к изменениям температуры.

Дальнейшее значительное увеличение индуктивности без увеличения числа витков достигается применением броневого сердечника (см. рис. 1.8, е). Индуктивность катушки, как и в предыдущем случае, здесь регулируется продольным перемещением стержия; при замкнутом



бромевом сердечнике изменение L составляет до 20%. Одно из достоинств броневого сердечника остоит в том, что катушка защищена от внешних матигийных подей и самы не создает матигиного поли во внешнем простравств; поэтому ова не пуждается в экрапировании. Если же диться в непосраственной близости к сердечнику, что ведет к уменьшению размеров катушки.

Тороидальная катушка. Наматывается на ферритовый кольцевой магнитопровод (на рис. 1.8, ж. — лоперечное сечение). Индуктивность [мкГн]

$$L=3.7 \cdot 10^{-4} \mu w^2 h [a/D - 0.4(a/D^2)]$$

где и — магнитная проницаемость; h, мм.

Выбор провода. Вследствие поверхностного эффекта спортольнение г, увеннивается с'я повышением частоты, что затрудняет получение большением частоты, что затрудняет получение больили добраторы поверхностного эффекта компексыруют увеличением диаметар провода катурили губеуют граничением диаметар провода катурили губеоптельских кометрукциях одиссоблямих катуридительских кометрукциях одиссоблямих катуридительских кометрукциях одиссоблямих катуридительских кометрукциях одиссоблямих и порожения предагаты, что предагаты при предагаты пре

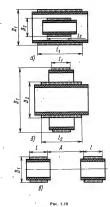
Коэффициент связы. Точный расчет взаимоннадуктивности и коэффициента связы между катушками представляет большие трудности; поэтому обычно можно ограничеваться приближенным расчетом, уточняя затем результаты расчета экспериментальным путем при налаживании аппаратуры.

Если одна из катушек находится внутри другой (рис. 1.10, а), коэффициент связи

$$\kappa \approx (D_2/D_1)^2 l_2/l_1;$$
 для катушек на рис. 1.10,  $\delta$ 

$$\kappa \approx (D_2/D_1)^2 l_1/l_2$$
.

При расположении двух катушек примерно одинаковых размеров на расстоянии A (рис.  $1.10, \sigma$ ).



. (например, при размещении их на общем каркасе)

 $\kappa \approx 1/\left[2+2.5(l/D)^2+40(A/D)^2\right].$  При намотке катушки связи поверх катушки колебательного контура и при размещении ка-

тушек в броневом сердечнике  $\kappa\!\approx\!1$ . Взаимонндуктивность между двумя катушками с индуктивностями  $L_1$  и  $L_2$  при данном коэффициенте связи  $\kappa$   $M\!=\!\kappa\sqrt{L_1L_2}$ .

#### 1.4. РЕЗОНАНСНЫЕ ЛИНИИ

Как видно из рис. 1.2, по мере перехода к более короткии воляма индуктивность и емкость комбательного контура быстро уменьщаются. Состоит уже из нескольных витком малого диаметра; на сещеметрам и малого диаметра; на сещеметрам комбательных бытком малого диаметра; на сещеметрам комбательных бытком малого диаметра; на сещеметрам комбательных бытком малого диаметра, на сещеметрам комбательных контуры подобного и сторы витка может выполнять стенка зъряма (рис. 1.11, 6). Колебательные контуры подобного 13.3). Они възмож выполнями (см. также бытрурнования любительской аппаратуры в диаметрам контурнования любительской аппаратуры в диамозом космы-

ческого радиолюбительства — и на сантиметровых волнах. Для увеличения добротности резонансной линии увеличивают диаметр или ширину внутрениего проводника (рис. 1.11, в).

Копленсатор в резолансной анини может отсутствовать, т. к. резонаме обеспечивается собственной емкостью провода. Для точной настройки на нужную частоту может служить миниатърный подстроечный конденсатор (рис. 1.11, г.). Для престройки широко применяють обварикалы, включаемые согласно рис. 1.11, д. Их емкость регулируется, как и для рис. 11. д. Их смкость регулируется, как и для рис. 11. д. О. Их резолительной применения через резектор в развиться и правляющего напряжения через резектор в

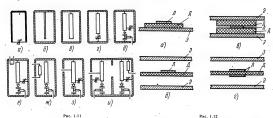


Рис. 1.12

Длина внутреннего провода при нулевой емкости равна 1/4, при наличии емкости она несколько меньше  $\lambda/4$  и тем меньше, чем больше емкость.

Собственные потери энергии колебаний в резонансной линии обычно сравнительно малы. поэтому ее добротность составляет несколько сотен. Фактическая добротность в большей мере определяется сопротивлением подключенных к резонансной линии внешних цепей (см. § 1.1).

Связь резонансной линии с внешними цепями обычно делают трансформаторной при помощи витка (рис. 1.11, е) или проводника (рис. 1.11, ж) либо автотрансформаторной (рис. 1.11, з). Связь резонаторов часто осуществляют, располагая их рядом, через отверстие в общей стенке (рис. 1.11. и). Если экран резонансной линии имеет форму коробки и достаточные размеры, внутрь его часто помещают, помимо показанных на рис. 1.11 варикапов, резисторов и конденсаторов, также транзисторы и другие миниатюрные компоненты устройств, в состав которых входит эта линия.

В радиолюбительской практике находят применение резонансные линии различной конструкции; в последнее время широко применяются полосковые линии, выполняемые на поверхности диэлектрических пластин методами печатного монтажа. Поперечное сечение нескольких типов полосковых линий схематически показано на рис. 1.12,  $a - \varepsilon$ . (Здесь, J - линия, <math>I - диэлектрическая пластина, Э — металлические пластины экрана.)



## РАДИОВЕЩАТЕЛЬНЫЙ **ПРИЕМ**

## РАЗДЕЛ (2)

#### СОЛЕРЖАНИЕ

2.1.	Функциональные схемы радиовещательных приемников	22
	Общие сведения (22).	
2.2.	Параметры радиовещательных приемников	29
2.3.	входиме цепи приемников. Магинтные антенны	3:
2.4.	Усилители радио- и промежугочных частот	41
	Общие сведения (41), Схемы УРЧ (43), Схемы УПЧ (47), Фильтры ПЧ (48)	
2.5	Детекторы сигналов	52
2.6.	Преобразователи частоты	56
	Общие сведения (56). Преобразователи частоты на полупроводниковых дводах (58). Преобразователи	
	частоты на транзисторах (59). Расчет сопряжения контуров супергетеродинных приемников (64)	
9.7	Блоки УКВ	65
	Конверторы для приема коротких волн	
2.0.	конверторы для приема коротанх воли	. 00
	Стереодекодеры	
2.10.	Автоматические регулировки и вспомогательные устройства в РВ приемниках	. 71
	Общие сведения (71). Автоматическая регулировка усиления (71). Автоматическая подстройка частоты (75)	
2.11.	Типовые схемы транзисторных приемников	. 80
	Общие сведения (80). Приемник прямого усиления (81). Супергетеродинный приемник на микро-	хемах
	серии 237 (82). УКВ приеминк с синхронным детектором (83). Переносный приеминк (84). Миниатюр	ный
	приемник (85). Приемник с питанием от сети (86)	
2.12.	Налаживание приеминков	80
	Порядок налаживания (89). Проверка правильности монтажа (89). Настройка приеминков прямого уси-	. 00
	порядок начаживания (ов). проверка правильности новтажа (ов), настрояка приемпиков примого уси-	

Порядок налаживания (89). Проверка правильности монтажа (89). Настройка приемников прямого усиления (90). Настройка супертегродинных приемников (90). Налаживание тракта приемника ЧМ (91). Налаживание стерсодскодсров (92)

#### 2.1. ФУНКЦИОНАЛЬНЫЕ СХЕМЫ РАДИОВЕЩАТЕЛЬНЫХ ПРИЕМНИКОВ

#### Общие сведения

Радновещательными приемниками (РВ приемиками) называются радноприемники, предназначенные для приема и воспроизведения программ звукового радновещания. В простейшем случае радновещательный при-

в простением случае радиовещательная приминк состоты в вкодной пени, связанной с приемной автенной, электрического фильтра, выделющего синтал принимаемой радиостанции из доможето статору при радиостанции из мех, детектора — уструдная радиостанция и доможно детектора — уструдная при при мех, детектора — уструдная —

Антенна может быть самостоятельным устройством различной сложности (внешняя антенна) или является принадлежностью приемника (встроенная антенна). Минимальное напряжение сигнаал на входе приемника уля подключения внешней антенны или минимальная напряженность электромагнитного поля в месте приема, обеспечивающая нормальный размоприем, характеризует один из основных параметров приемника чувствительность.

Электрический фильтр, должен быть настроен так, чтобы пропускать без некажений принимае-мый мадулированный сигнал. Степень ослабения ми сигналов других станций, воспринимаемых как помеха, характеризует селективность прием на престранаемым в дипания. Филтр может быть выполнен с фиксированной настройкой или перестранаемым в дипаний предержать престранаемым в дипаний предержать престранаемым станаемым дипаний предержать престранаемым предержать может счетовть из одного резонансного контура и играть роды водной цент приемника. Перестранаемым мно-

гоконтурные фильтры должны иметь сопряженную настройку всех входящих в них контуров. Детектор должен преобразовывать модулиро-

Детектор должен преобразовывать модулированый сигнал, по возможности без искажения, в сигнал звуковых частот. Наименьшие искажения в вносят синхронные детекторы (СД). Для детектирования с допустимыми искажениями уровень радиочастотных сигналов на входе детекторных аскедора должен быть ие менее 30—50 мВ.

Усилители радиочастоты и усилители зауковой частоты. Для получения более высокой чувствительности в приеминиках применяют усилителя радиочастоты (УРЧ), а для получения необходимой мощности сигилатов зруковой частоти — усилител стоты вместе с детектором, а в более сложных приеминках и с другими каскадами образуют радиотракт, вал тракт радиочастоты.

Усилители радиочастоты бывают широкополосными, равномерно усиливающими сигналы всего диапазона частот принимаемых данным приемником, или селективными, т. е. избирательно усяливающими колебания в определенной полосе частот, включающей в себя сигналы принимаемой РВ станции. Селективные УРЧ могут быть выполнены с фиксированной настройкой или перестраиваемыми в диапазоне частот принимаемом данным приемником. В качестве активных элементов УРЧ, усиливающих колебания радио: частот, используются биполярные и полевые транзисторы и микросхемы на их основе. Уровень сигнала на входе любого каскада УРЧ для неискаженного усиления не должен превышать 20-25 для биполярных и 200-500 мВ для полевых транзисторов. Минимальный уровень сигнала ограничивается собственными шумами УРЧ.

Усилители звуковой частоты могут входить в состав приемника или быть самостоятельным элементом. В современных приемниках они выполняются на биполярных и полевых транзисторах и микросуемах на их основе.

Приемники, не содержащие мощного УЗЧ и предназначенные для работы с внешним УЗЧ; называются тюнерами.

Приемники, в которых усиление и детектирование радносигналов осуществляются без преобразования их частоты, называются приемниками прямого усиления. Присмники прямого усиления просты в изготовлении и налаживании, что делает их удобными для первоначального этапа радиолюбительской практики; недостаток их - малая чувствительность и селективность, причем чувствительность и селективность тем ниже, чем выше частота сигнала. Чувствительность ограничивается уменьшающимся с повышением частоты усилением УРЧ, а селективность — возможным числом перестраиваемых в диапазоне, сопряженных в настройке колебательных контуров и трудностью сопряжения настроек при большом их числе. Область применения приемников прямого, усиления практически ограничена диапазонами ДВ и СВ. Повышение селективности и чувствительности в приемниках прямого усиления возможно благодаря применению синхронного детектирования с дополнительной частотной селекцией после детектора или ПОС. В первом случае приемник называется приемником прямого преобразования с с синхронным детектором, или синхронным приемником; во втором — регенеративным приемником;

Повышение чувствительности и селективности с помощью ПОО усложием гнастройку приемника и не гарантирует постоянства истройку приемника и не гарантирует постоянства сигналов, изменении правистром автениы, напряжения питого, применение обратной слези может вызвать излучение автению приемника колебаний с чатого, применение обратной слези может вызвать излучение автению приемника колебаний с частотой, близкой к частоте принимармого сигнала, что создает помеки другим приемникам. Поэтому применение респектратывых дърмениямо без касприменение обратная съзы, не допусмется, каска, УРН осадоятел пазучение построй стак каска.

Существенного повышения чувствительности приемника применика применого усиления в диапазоме "УКВ можно достичь благодаря сверхрегенерация даключается в применении глубокой ППОС, обеспечивающей свюзуждение радиочастотвых колебаний, и в периодическом прерывании возникших колебаний, и в периодическом прерывании мозникших колебаний со сверхаукомой частогой. При этом среднее за период прерывании усиление может составить импинальным поволокет построить преманик стов. Однако селективность сверхрегенеративного понемника вемьском.

Высокое качество радиоприема с помощью регенеративных и сверхрегенеративных приемников получить нельзя.

В супертетерованном приемнике принимемый сигнал преобразуется в сигнал ПУ, на которой осуществляется основное усиление сигнала и подавление сигналов посторовних размостанций, а также других помех приему, частоты которых слизки к частоте принимемемог сигнала. Постояиство мастройки ФПУ иррошает их конструкцию и тем самым повозлеят увелячить число резоизокных контуров по осравнению с приеминками примого усиления. Это приводит к повышению селективности по соседанся казалу приема. Поселективности по состанену казалу приема. Поселективности по состанену казалу приема. Поселективности по состанену казалу приема. Послективности на состанену казалу приема. Потеройки в даналоме частот.

Чувствительность супергегеродинных приеминков практически не зависи то часутоты мастройки, поскольку основное усиление приеминка сосредточено в усилателе ПЧ (УПИ). Таким образом, расширяется область применени приеминко до дапазома УКВ и появляется воможность подиназома УКВ и появляется воможность полиющий выести автоматическую регулиряму усиления (АРУ).

Схемотехнически УПЧ отличаются от УРЧ только применением фильтров, настроенных на фиксированную промежуточную частоту.

Для преобразования принимаемого сигнала в сигнал ПЧ в супергетеродинном приемнике имеется частотно-преобразовательный каскад, состо-

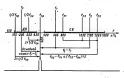


Рис. 2

ящий из смесителя частот и гетеродина. Частота гетеродина f, должна отличаться от частоты принимаемого сигнала  $f_c$  на  $f_{\Pi \Psi}$  во всем диапазоне принимаемых частот. Получение freq возможно при двух значениях частоты гетеродина  $f_r > f_c$  и  $f_r < f_c$ . Так как при  $f_r < f_c$  коэффициент перекрытия по частоте контура гетеродина должен быть больше, чем контура, настроенного на сигнал принимаемой частоты, то следует выбирать f<sub>r</sub>>f<sub>c</sub>. Промежуточная частота может быть выбрана как ниже наименьшей частоты принимаемого сигнала fmu < fc mm, так и выше максимальной частоты принимаемого сигнала  $f_{\rm DU} > f_{c, max}$ . Большинство современных приемников диапазонов ДВ, СВ и КВ выполняется с УПЧ, настроенным на частоту 465 кРц, лежащую в промежутке между диапазонами ДВ и СВ. Супергетеродинные приемники, в которых fn4> >fc max, называются инфрадинными и обладают определенными особенностями, определяющими их преимущественное применение в профессиональных и полупрофессиональных (для спортивной связи на КВ) приемниках.

Особенностью супергетеродинных приеминков является наиличе побочных квальов приема на ПЧ, на зеркальной частоте  $f_{\rm i}$ , на комбинационами частота  $f_{\rm i}$ , из комбинационами частота  $f_{\rm i}$ , бизнами приема на гармониках гетеродина и ПЧ принимаемого симпала и др.), жено в самом приниците преобразования частоты и поясняется принитером на рис. 21. где приниты и кормом уме известных) следующие обозначения:  $f_{\rm int}$ ,  $f_{\rm int}$  — частоты помех. Чувствительность по комбинационным канадами приема в значительной степени зависит ог свойств преобразования частоть мифраксими сигнама и изгредодина, възгражи частоть мифраксими сигнама и изгредодина, частоты приеминка.

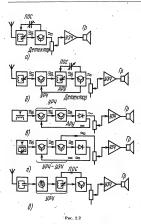
При наличии на входе судергетеродинного приеминка перегравняемого фильтра для селективного УРЧ они играют роль предварительного селектора (преселектора), ослаблющего чубствительность по побочным каналам приема. В этом случае органы выстройки преселектора и гетеродина должны бить сопряжены. С повышением стижнома добротности контрупе в решением стижнома добротности контрупе в решением положением советав, поэтому до преобраего селективные советав, поэтому до преобразователя частоты в супергетеродинном приемнике иногда приходится иметь 2—3 перестраиваемых контура, что существенно усложняет его конструкцию. Иногда более целесообразным является применение леойного песобазования частоты.

В диапазоне УКВ, где применяется широкополосная ЧМ, осседние капалы расположены довольно далеко друг от друга, а полоса пропускания тракта УПЧ должна быть достаточно широкой ( $\approx 150~{\rm K}^2{\rm L}$ ), можно повысить селективность по асрекальному каналу без усложения пресселектора и при однократном преобразовании за счет повышения ПТ

Стабильность настройки приемника прямого усиления определяется стабильностью параметров примененных в нем фильтров, а стабильность настройки супергетеродинного приемника -главным образом стабильностью частоты гетеродина. Для увеличения стабильности частоты гетеродина применяют различные меры: повышают стабильность элементов, входящих в колебательный контур гетеродина, стабилизируют напряжение питания, используют автоматическую подстройку частоты (АПЧ) гетеролина и диапазонно-кварцевую стабилизацию частоты гетеродина. В последнем случае гетеродин вместе с устройствами его стабилизации и опорным кварцевым генератором образует синтезатор частот (СЧ). Синтезаторы частот позволяют осуществлять фиксированную настройку на частоту радиостанции независимо от наличия ее сигналов в любом радиовещательном диапазоне. Они применяются в профессиональных и в сложных (дорогих) РВ приемниках.

Для удобства эксплуатации в приемниках применяют индикаторы точной настройки (ИН), индикаторы уровня сигнала, фиксированную (ФН) и автоматическую (АН) настройки на радиостанции и т. п.

Приемники прямого усиления. Простейшие приемники, позволяющие получить уверенный прием мощных местных радиостанций, можно выполнять по схеме на рис. 2.2,а. Единственный транзистор радиочастотного тракта используется в детекторном каскаде. Необходимая чувствительность достигается благодаря ПОС (регенерации), величина которой не должна превышать порог самовозбуждения. Схема другого регенеративного приемника приведена на рис. 2.2,6. В состав этого приемника входит УРЧ, повышающий чувствительность и селективность, а также дающий возможность ввести цепь АРУ, уменьшающую вероятность перегрузки детекторного каскада при сильных входных сигналах. Приемник, выполненный по приведенной схеме, требует сопряжения



перестраиваемых контуров в УРЧ и входной (антенной) цепи, что усложняет его конструкцию и налаживание. Поэтому большинство радиолюбительских приемников прямого усиления выполнения выполн

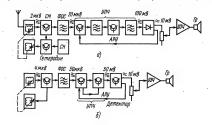
имется по схеме на рис. 2.2, в. За входным корттуром в этом случае сведует друкзоксавлый пирокополосный (апериодический) УРЧ, обеспечивающий необходимую, чувствительность при приеме местных мощных радиостанций без применения обратиой связи. Приемник может быть выполнен по данной схеме как с АРУ, так и без нее.

ове нес. Ниогда для упрощения конструкция приемных Многда для упрощенкой скеме. Такай схема представлена им. 2.2, а. В этом случие транпредставлена им. 2.2, с. В этом случие трандля усиления авуковой частоты, это возможно из-за значительного различии между частотим усиленая выуковой частоты, это возможно может применяться при изкажи требовайных качеству воспроизведения, т. к. в нем усиливаемые сигнялы существенно деклажаются.

На рис. 2.2, О приведена съема сверъргенератвиното приеминка, предвазначенного для приема УКВ ЧМ вещания в дальней зоне от РВ ставщии. Сравнительно высокая чувствительность такого приемника позволяет принимать слабые сигвали при малом числе применяемых транзистровь. Низкая селективность приемника не позволяет осуществлять уверенный прием при высокой каприженности эмектромагинитного поля от нескольких передающих станций в месте приема.

Супергетеродинные приемики. На рис. 23, а изображена схема супергетеродинного приеминка: входной контур, омеситель частог, гетеродин, архукскоеданий УПЧ с ОПЧ в качестве нагродиконтур, омеситель частог, гетеродин, двужскоеданий УПЧ с ОПЧ в качестве нагродиконтисть на убразовать образовать образоват

На рис. 2.3, б представлена схема приемника, типичная для применения интегральных микросхем. Здесь селекция по ПЧ осуществляется с помощью фильтра основной селекции ФОС, а ПЧ



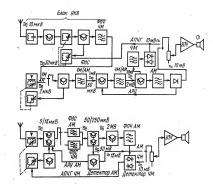
Puc. 2.3

усиливается в апериодическом УПЧ. Применение в качестве ФОС электромсканических или пыезокерамических ФПЧ практически избавляет от настроечных работ при налаживавии УПЧ, что делает приеминки по этой схеме сосбенно приемлемыми для повторения в радиолюбительской поватике.

Необходимость значительного расширения полосы пропускания УПЧ при приеме ЧМ сигналов в приемниках с УКВ диапазоном не позволяет применять одни и те же ФПЧ для приема АМ и ЧМ сигналов. По этой причине и для повышения селективности по зеркальному каналу в приемниках с диапазоном УКВ применяют две различные ПЧ. Для экономии транзисторов и благодаря существенному различию в значениях ПЧ (0,465 и 10,7 МГц) наиболее широкое распространение получили приемники с совмещенными трактами ПЧ для АМ и ЧМ сигналов. Схема такого приемника представлена на рис. 2.4. Тракт ПЧ отличается от приведенного на рис. 2.3. а одновременным включением в выходные цепи транзисторов преобразователя частоты АМ и УПЧ фильтров, настроенных на частоты двух ПЧ (обозначено АМ/ЧМ) и наличием детектора ЧМ (частотного детектора). Преобразователь частоты АМ в этом приемнике используется в качестве дополнительного УПЧ ЧМ, а преобразование частот УКВ диапазона в ПЧ при приеме ЧМ проводится в дополнительном, обычно ф ционально законченном устройстве — блоке УКВ. В блок УКВ входит УРЧ диапазона УКВ и преобразователь частоты, канболее часто совмещеный с тегродином. Наличие на выходе частотняй с тегродином. Наличие на выходе частотного дегектора напряжения, зависящего от частоты, повымости высет образовать динивоже КВ, для абсолютивы исстаболность динивоже КВ, для абсолютивы исстаболность динивожнотеродныя васима и требовала бы без применения АПЧ периодической подстройки приеминка на частоту радиостации. При переключении приемника в динатизовательного динивожность динивательного престаборя пресключения приемника в динатизовательного динивожность диментации прием пресключения прием мист в динивожность динивожность динивожность диментации пределательного динивожность диментации пределательного динивожность дизаментации пределательного динивожность дизаментации пределательного динивожность динивательного динивожность динивожность дительного динивожность динивожность динивожность дительного динивожность динивожность динивожность дизаментации пределательного динивожность динивожность дизаментации пределательного динивожность динивожность динивожность дидентации представления динивожность динивожность динивожность динивожность динивожность динивожность динивожность динивожность дизаментации представления динивожность дидентации динивожность диниво

Более простой в изготовлении и регулировке приемник с диапазоном УКВ можно выполнить по схеме на рис. 2.5. В ее основу положена схема приемника, приведенная на рис. 2.3, б. Тракт АМ выполнен с апернодическим УПЧ. Селекция проводится в переключаемых ФОС АМ и ЧМ, а для преобразования частоты используется один и тот же смеситель частот и гетеродин, выполненный с учетом специфики УКВ диапазона. Для компенсации уменьшения усиления в апериодический тракт ПЧ на более высокой ПЧ ЧМ введен дополнительный каскад усиления ПЧ. Роль этого каскада может выполнять транзистор амплитудного детектора. Такое решение вместе с отсутствием блока УКВ делает приемник, выполненный по этой схеме, более экономичным.

В крупных городах наличие большого числа программ в диапазоне УКВ, а также различного рода помех в диапазонах ДВ, СВ и КВ требует



Вис. 2.4

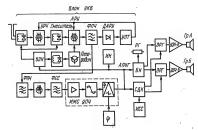
\_ ...

улучшения реальной селективности приемников. Это обстоятельство приводит к существенному усложнении суперстверодинных присминков и томеров, применнемых в высокожаечетвенных радиокомплексах. Тонеры для радиокомплексов обычно выполняют либо только на дивлазом УКВ, об весволновыми. Учитывая возрастающее с повышением требований к карактеристикам грактов АМ и ЧМ различие в схемогежническом и конструктивном выполнении трактов радиочастом и от носительную простоту и дешеваниу УТЧ, поссобразию разделять гракты према АМ и ЧМ приемников.

На рис. 2.6 приведена схема современного приемника ЧМ, рассчитанного для приема стереофонического радиовещания. В блок УКВ вхолят селективный УРЧ и смеситель частот, выполненные на полевых транзисторах, гетеродин и местная цепь АРУ, предотвращающая перегрузку смесителя при приеме сигналов с большим уровнем. Управление фиксированной или плавной настройкой и цепью АПЧ осуществляется блоком электронной настройки БЭН, содержащим, как правило, кнопочные или сенсорные переключатели, цепь термокомпенсированной стабилизации напряжения для подавления низкочастотных шумов в напряжении настройки, подводимом к варикапам контуров блока УКВ. В качестве элементов настройки в контурах блока УКВ применяются дискретные варикапы и варикапные матрицы, обеспечивающие малую зависимость емкости контура от уровня принимаемых сигналов. В непи АПЧ применяют индикатор точной настройки ИН на частоту радиостанции.

Тракт ПЧ в современных приемниках, как правило, выполняют на микросхемах, содержащих малошумящий апериодический УПЧ с большим коэффициентом усиления, ограничитель и частотный детектор. Для сохранения большого соотношения сигнал/шум ФОС разбит на две части, между которыми включен дополнительный каскад ПЧ на полевом транзисторе, сочетающем высокую линейность вольт-амперной характеристики (ВАХ) с малым уровнем собственных шумов. На выходе детектора ЧМ в таком приемнике включены стереодекодер СДК с индикатором наличия стереосигнала ИСС и блок бесшумной настройки БН, отключающий УЗЧ при перестройке с канала на канал или окончании работы радиостанции. В стереоканалах УЗЧ (УЗЧ-А и УЗЧ-Б) применяются электронные регуляторы громкости, которые синхронно управляются одним органом управления  $P\Gamma$  через блок BH или дистанционно через блок автоматики и листанционного управления (на схеме не указаны). Стереотракт УЗЧ может оканчиваться как громкоговорителями, если по этой схеме выполнен стереоприемник УКВ, так и унифицированными разъемами для подключения к усилительно-коммутационному устройству УКУ, входящему в состав раднокомп-

Примерно по такой же схеме строятся и высококачественные приемники АМ (рис. 2.7). Тракт усиления РЧ отличается только конструкцией и, в частности, наличием переключателя диапазонов. Приемник настраивается строенным или счетверенным блоком конденсаторов переменной емкости (КПЕ). На выходе УПЧ кроме детекторов сигнала и АРУ включен частотный детектор для АПЧ в диапазоне КВ или во всех диапазонах приемника. В цепи АРУ применен дополнительный УПТ. Имеется блок БН и ИН, часто совмещенный с индикатором относительного уровня принимаемого сигнала. Такой тракт приема АМ может быть совмещен с описанным ранее трактом ЧМ (см. рис. 2.6) как схемотехнически (с совмещением функций отдельных каскадов), так и конструктивно. Однако современ-



Pac. 2.6

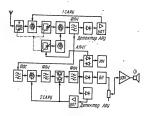
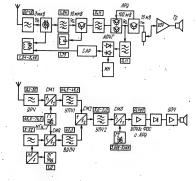


Рис. 2.7

ные приемники АМ все чаще выполняют по инфрадинным схемам, которые в значительно меньшей степени совмещаются с трактами приема ЧМ. Для поясиения принципа инфрадинного приема

ил рис. 2.8 представлена схема простого инфрадинного приемника с электронной настройкой. На входе приемника нет перестранваемого преселектора, он заменея ФНЧ, пропускающим вкополосу принимаемых частот (в данном случае 0,1—1,6 МГш). Промежуточная частота, лежащая выше сжомб выскомб принимаемой частоты

(1.84 МГц) и зеркальная полоса частот приема (3.78 — 5,3 МГц) эффективно подавдяются входным ФНЧ. Для облегчения выполнения требований селективности по соседнему каналу приема применяется двойное преобразование частоты. Первый преобразователь для уменьшения перекрестных искажений выполнен на полевом транзисторе. Второй преобразователь и тракт УПЧ ничем не отличаются от аналогичных каскадов обычного супергетеродинного приемника. Малое перекрытие по частоте в контуре гетеродина (1,94-3,46 МГц) позволяет в качестве органа настройки применить варикап со сравнительно небольшим перекрытием по емкости. Это в свою очередь позволяет применить в приемнике цепь автоматической и ручной настройки на радиостанции. которая осуществляется системой автоматического регулирования (САР). Для точной настройки и удержания радиостанции в УПЧ введен детектор АПЧ и ИН.



Puc. 29

зация частоты опорным кварцевым генератором  $O\Gamma$ . Первый гетеродин может быть выполнен в виде синтезатора частот или по принципу компенсации уходов частоты, как в данном приемычко

Цепь компенсации уходов частоты первого гетеродина состоит из опорного генератора, умножителя частоты, смесителя частот и вспомогательного тракта УПЧ (ВУПЧ), настроенного на вторую ПЧ, которая ниже первой ПЧ приемника (в данном случае на 3 МГц ниже верхней границы первой ПЧ). Погрешность установки частоты первого гетеродина вносит погрешность в точное значение как первой ПЧ приемника. так и во вспомогательную ПЧ цепи компенсации (полоса пропускания тракта ВУПЧ должна пропускать сигнал с этой погрешностью). Полученные сигналы с двумя ПЧ действуют на смеситель частот и создают точное значение второй ПЧ, т. к. равные погрешности первой ПЧ и *ВУПЧ* компенсируются.

. Нестабильность частоты второго гетеродина мала и устройство в целом обеспечивает указанную ранее точность установки частоты. Приемник настранвается грубо через 1 МГц ручкой настройки первого гетеродина и плавно ручкой настройки второго гетеродина и УПЧ2. Имеется множество модификаций приемников подобного типа, они различаются применением в качестве первого гетеродина синтезатора частот, в котором одновременно получаются напряжения частот для второго и третьего смесителей (со стабильностью ОГ): наличием дополнительного гетеродина для приема сигналов радиостанций с однополосной модуляцией: применением электронной настройки; изменением частоты первого гетеродина; входящим в состав приемника (синтезатора) микропроцессором: применением кварцевых ФОС, обеспечивающих необходимую селективность по соседнему каналу на высоких частотах и т.п. Для дальнейшего повышения селективности и чувствительности в таких приемниках можно при-

менять синхронные детекторы. Синхронное детектирование АМ и ЧМ позволяет неколько улучинить параметры сложных радиоприемников и в то же время позволяет конструировать сравнительно простые приемники, особенно для приема ЧМ.

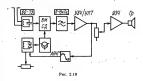


Схема приемника ЧМ, построенного по принципу обратной связи по частоте (ОСЧ), с применением синхронного детектора приведена на рис. 2.10. Сравнительно широкополосный входной контур служит главным образом для согласования антенны со входом синхронного детектора (СД), выполненного по балансной схеме. На выходе СД включен ФНЧ с полосой пропускания, обеспечивающей подавление колебаний с частотами выше верхней частоты продетектированного сигнала. Этот фильтр осуществляет основную селекцию по соседнему каналу. На выходе ФНЧ включен усилитель звуковой частоты и постоянного тока. Напряжение с выхода этого усилителя используется в цепи ФАПЧ и цепи ОСЧ. Ограничитель в цепи ФАПЧ исключает захватывание гетеродина сигналом помехи. Частота гетеродина подстраивается целью ФАПЧ с точностью до фазы на частоту принимаемого сигнала так. чтобы разность фаз между этими напряжениями составляла 90°. Обратная связь по частоте должна уменьшать индекс частотной модуляции до m≈1 для неискаженного детектирования более широкополосного, чем полоса пропускания приемника ЧМ сигнала. При выполнении этого условия возможен неискаженный прием ЧМ сигнала до уровней 10-20 мВ, не приводящих к искажению работы СД.

Приведенные структурные схемы приемников различны по сложности и позволяют реализовать различное качество основных характеристик при-

#### 2.2. ПАРАМЕТРЫ РАДИОВЕЩАТЕЛЬНЫХ ПРИЕМНИКОВ

Радиовещательные приемники по требованиям, предъявляемым их параметрам, делят на классы: высший, 1, 11, 111 и 1V по ГОСТ 5661—76. 17692—72, ала стерео — ГОСТ 20842—75. За исключением выходной мощности и частично допустимых исклажений сигнала при воспроизведении качественные показатели приемников определятогк характеристиками их РЧ трактов. Полому имося, телензором и бытовых энектофонов и таба. 2.1 приведены основных энектофонов и таба. 2.1 приведены основные параметры только РЧ трактов приемников различных классов. Способи измерения параметров РЧ трактов регламентируются ГОСТ 9783—79. Выиду отсутствия у большинства рациолюбителей необхольного комплекта измерительных приборов способы измерения параметров приведены дласе с некоторыми упрошениями, не приводящими к существенным ошиб-кам в определении основных параметров.

Чувствительность РВ приемника. При приеме на внешнюю антенну чувствительность характеризуется минимальным РЧ напряжением на его входе [мкВ, мВ], а при приеме на встроенную антен-

Таблица 2.1. Основные параметры РЧ трактов РВ приемников

	r	. Норма по классам				
Параметр	Диапазон	Высший	I I	II II	111	I IV
Диапазоны принимаемых частот (волн)	ДВ, κΓц(м)  СВ, κΓц (м)  КВ, МΓц (м)  УКВ, МГц (м)	Высшия 1 111 1V 150.0—450.0 (2 000.0 - 740.7) 150.0—550.0 (2 000.0 - 840.3) 02.05 - 12.0 (75.0 - 24.8) 58 7 73.0 (4.56 - 41.1)				
Редькая чувствительность пре откомсение ситила/шуну в лада- палововах АМ яе менее 20 дБ 20 дБ, не ниже, со всова дви- вешней эктелы, мкВ, в дяа- пами в предостивность обращения обращения в развительность обращения обращения обращения в респосторова в предостивность обращения	ДВ СВ ХКВ (Res — 75 Ом) ДВ ОВ УКВ ДВ ОВ УКВ	50 50 50 50 100 100 100 5 —	150 100 100 5 150 100 150 10 120 40 40 6	150 100 150 5 250 200 200 20 175 60 50	200 150 200 15 400 300 200  250 75  10	300 250 300 15 500 400 
С внутренней антенной, мВ/м, в диапазонах	ДВ СВ КВ УКВ	1,0 0,5 0,15 0,010	1,5 0,7 0,3 0,015	2,0 1,0 0.4 0,050	2,5 1,5 0,5 0,100	3,0 2,0 0,75 0,150
Селективность, дВ, не менее, по соседнему каналу (при растройке на ±9 кГи) в диа- прастройке на ±9 кГи) в диа- прастройке на ±9 кГи) в диа- на станцомарного в) автомобильного по соседкему каналу двухсиг- мальная (при расстройках на 120 и 180 кГи) в дналазоме		55 50 —	40 40 40	35 30 32	30 22 30	26 18 —
УКВ: отношение сигнал/помеха на выходе, дБ отношение помеха/сигнал на входе, дБ, не менее по зеркальному канаду на час- тотах днапазонов приемника: а) стационармого а) стационармого	ДВ (250 кГu)	- - 60	 -	20 0 40	34	. 34
б) переноского в) автомобильного	CB(1 MTu) KB(12 MTu) YKB(69 MTu) JB(250 KTu) CB(1 MTu) KB(12 MTu) YKB(29 MTu) YKB(29 MTu) JB(250 KTu) CB(1 MTu) KB(12 MTu) KB(12 MTu) KB(19 MTu) KB(19 MTu)	54 26 50 60 54 26 50	34 16 40 40 36 16 40 50 46 26	34 12 32 34 30 12 32 46 46	34 10 26 26 20 10 26 46 46	30 10 22 20 20 10 20
Селективность по ПЧ, дВ, не менес, на частотах 370 и 560 кГц	УКВ (69 МГц)	=	40	14 34	30	-
для приемника:  а) стационарного б) перемосного в) автомобильного из частоте 66 МГц для прием- ника:	٠,	40 34	34 30 40	34 26 34	30 15 30	26 10
а) стационарного б) переносного в) автомобильного		60 50 —	50 40 40	50 40 34	40 30 30	30 26
Промежуточная частота, МГц		0465±0,002	1,84	6,8±0,1	10,7 + 0,1	

Продолжение табл. 2.1 ,

	_	Норма по классам				
Параметр	Диапазон	Высший	I	II	181	1V
Действие АРУ в диапазонах АМ: ваменение напряжения на вхо- де, дБ (числитоль), ичменение напряжения на выходе, дБ, не более (знаменатель), прием- ника:						
а) стационарного б) переносного в) автомобильного		60/10 40/6 ~	40/10 36/10 40/6	34/10 30/10 34/6	30/10 26/10 26/8	26/10 26/10 -
Номинальный диапазом воспро- изводимых частот, Гд. в диапа- зомах АМ првенника: а) стационарного б) переноского в) автомобильного в диапазовах ЧМ приемника: а) стационарного		40-5600* 40-7100 80-4000* 8-40-16000*	63-4000* 63-6300 100-4000* 8 80-5000 63-12500*	80-4000* 80-6300 125-4000* 200-4000 125-4000 80-10000*	125-3550° 	200-3150 250-3150 450-3150 200 630
<ul><li>б) переносного</li><li>в) автомобильного</li></ul>		80—12500*	100—12500° 	125—10000* 200—10000 125—7100	250-7100* 315-7100 125-6300	250 5000°

3. В не че в и и я. 1. Дипальном востроизасными частот, повменение зведимой, для ерменность го и могать притим предоставления региппальное участи в притим предоставления предоставления и спаравления № 2, для у для 10 в 1, учетительность с и кома предоставления предоставления предоставления предоставления предоставления предоставления предоставления предоставления предоставления частом с № 4, учетительность предоставления предоставления частом с № 4, участи в 6 № 10, в даминость предоставления частом с № 4, участи в 6 № 10, в даминость предоставления частом с № 4, участи в 6 № 10, в даминость предоставления частом с № 4, участи в 6 № 10, в даминость предоставления частом с № 4, участи в 6 № 10, в даминость предоставления частом с № 4, участи в 6 № 10, в даминость предоставления частом с № 4, участи в 6 № 10, в даминость предоставления частом с № 4, участи в 6 № 10, в даминость предоставления частом с № 4, участи в 6 № 10, в даминость предоставления частом с № 4, участи в 6 № 10, в даминость предоставления частом с № 4, участи в 6 № 10, в даминость предоставления частом с № 10, в частом с №

ну — минимальной напряженностью электромагнитного поля радиостанции в месте приема (мкВ/м, мВ/м], при которых получается стандартная выходная мощность при заданных параметрах принимаемого сигнала и допустимом отношении сигнал/шум.

Способ измерения. Реальную чувствительность обычно измеряют на стандартных частотах, которые разделяют на группы в зависимости от количества, измеряемых точек в каждом диапазоне принимаемых частот. Эти частоты для диапазонов ДВ, СВ, КВ и УКВ приведены в табл. 2.2. Генератор сигналов через необходимый эквивалент антенны (табл. 2.3) соединяют со входом приемника для определения чувствительности по напряжению или со стандартной рамкой (рис. 2. 11) для определения чувствительности по полю; устанавливают по шкале ГС необходимую частоту и включают модуляцию (ЧМ или АМ). К выходу приемника подсоединяют вольтметр переменного тока (желательночерез полосовой фильтр, пропускающий только частоту модуляции). Регулятор громкости приемника устанавливают в положение наибольшей громкости и настраивают приемник на частоту ГС по максимуму сигнала на выходе, на середину полосы пропускания или по минимуму искажений. Регуляторы тембра и полосы пропускания должны

находиться в положении, соответствующем широкой полосе пропускания. Изменяя уровень сигнала от ГС, добиваются на выходе приемника

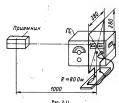
Таблица 2.2. Стандартные частоты для проверки параметров РВ приемников

Диапаз	Днапазон 0,15—30 МГц			Диапазон 66-73 МГп			
21 частота	11 частот	3 частоты	5 частот	3 частоты	1 частота		
160 κΓιι 200 κΓιι 250 κΓιι	160 xFu		66 МГц	66 МГш			
315 кГц 400 кГц	250 кГц 400 кГц	250 кГц	67 МГц 69 МГц	69 МГц	69 МГц		
560 κΓι 630 κΓι 800 κΓι	560 κΓα		71 MFu 73 MFu	73 ΜΓα			
1,0 MFu 1,25 MFu	1,0 МГц	1,0 МГц					
1,4 MFu 1,6 MFu 4.0 MFu	1,4 MΓu 4,0 MΓu						
6,1 ΜΓα 7,2 ΜΓα	7,2 МГц	7,2 ΜΓα					
9,6 MF <sub>H</sub> 11,8 MF <sub>H</sub> 15.3 MF <sub>H</sub>	11,8 МГц						
17,8 MΓu 21,6 MΓu	17,7 МГц						
25,8 МГц	25,8 МГц				,		

Таблица 2.3. Эквиваленты антенн (ГОСТ 9783-79)

Эквивалент "	• Схема эконвалента антенны	Примечание
Для внешней антенны диапазонов ДВ, СВ, КВ автомобильных приеминков	R <sub>1</sub> C <sub>1</sub> 175 L <sub>1</sub> 20 Material Color R <sub>2</sub> 320 400	$R_1=80-{ m Rn/2},{ m OM};$ $\Gamma{ m CB-1}-{ m reseptop}$ сигналов высокочастотный, работающий в диапазоме частог $0.1-50~{ m MFg}$
Для штыревой автенны діяпазонов ДВ, СВ, КВ автомобильных приемни- ков	$ \begin{array}{c c}  & & & & & & & & & \\ \hline  & & & & & & & & \\ \hline  & & & & & & & \\ \hline  & & & & \\ \hline  & & & & \\ \hline  & & & & \\ \hline  & & & & \\ \hline  & & & & & \\$	$R_1=80-{\rm Re}/2$ , Ом: $C_1$ — конденсатор, емкость которого равна емкосты автомобильной антенны: $C_2$ — конденсатор, емкость 'которого равна параглельной емкости антенной системы!
Для штыревой антенны диапазона УКВ автомобильных приемников	$ \begin{array}{c c} & & & & \\ \hline \nearrow & \nearrow & & & \\ \hline \nearrow & \nearrow & \nearrow & & \\ \hline \nearrow & \nearrow & & \nearrow & \\ \hline \nearrow & & & \nearrow & \\ \hline \nearrow & & & & \nearrow & \\ \hline \nearrow & & & & \nearrow & \\ \hline \rightarrow & & & & \nearrow & \\ \hline \rightarrow & & & & \nearrow & \\ \hline \rightarrow & & & & \nearrow & \\ \hline \rightarrow & & & & \nearrow & \\ \hline \rightarrow & & & & \nearrow & \\ \hline \rightarrow & & & & \nearrow & \\ \hline \rightarrow & & & & \nearrow & \\ \hline \rightarrow & & & & \nearrow & \\ \hline \rightarrow & & & & \nearrow & \\ \hline \rightarrow & & & & \nearrow & \\ \hline \rightarrow & & & & \nearrow & \\ \hline \rightarrow & & & & \nearrow & \\ \hline \rightarrow & & & & \nearrow & \\ \hline \rightarrow & & & & \nearrow & \\ \hline \rightarrow & & & & \nearrow & \\ \hline \rightarrow & & & & & \nearrow & \\ \hline \rightarrow & & & & & \nearrow & \\ \hline \rightarrow & & & & & \nearrow & \\ \hline \rightarrow & & & & & \nearrow & \\ \hline \rightarrow & & & & & \nearrow & \\ \hline \rightarrow & & & & & \nearrow & \\ \hline \rightarrow & & & & & \nearrow & \\ \hline \rightarrow & & & & & & \\ \hline \rightarrow & & & & & & \\ \hline \rightarrow & \\ $	ГСВ-2,— генератор сигналов высоко- частотный, работающий в диапазоне частот 30—100 МГш
Для штыревой энтенны диапазона КВ портативных приемников	→ R, R, R, C → N	$R_1 = 80 - \mathrm{Re}/2$ , Ом: $C_1 = \mathrm{Kongeneauto}$ вскодя из геометрии быступанией части антени и шасси приеминка <sup>4</sup>
Для штыревой энтениы днапазона УКВ портативных и стационарных првемников		Сопротивление $R_1$ определяют из условия $R_1+R_2-R_3$ ; $R_2+R_3$ и Сопределяют исходя из геометрии размеров антении, емкости корпуса приемцика, дивпазома принимаемых частот и других условий

 $\Pi$  р и м е ч а и и е. Конкретные данные  $C_1$ ,  $C_2$ , L;  $R_2$ , C приводятся в техническом описания приемника вли рассчитываются по стафикам, приведенным, например, в книге Калижмана С. Г., Левина Я. М. «Радноприемники на полупроводниковых приборах. Теория и расечет». — М.: Севъъ, 1978 — 332 с., ил.



напряжения, соответствующего стандартной выходной мощности. После получения стандартной мощности выключают модуляцию ГС и определяют уровень шума на выходе приемника. Если заданное отношение сигнал/шум не выполняется, подбирают такое положение регулятора громкости приемника и такой уровень сигнала от ГС, при которых обеспечиваются стандартная выходная мощность и заданное отношение сигнал/шум. Если отношение сигнал/шум всегда более заданного, то чувствительность приемника ограничена усилением.

При измерении максимальной чувствительности регулятор громкости ставят в положение, соответствующее наибольшей громкости, а регуляторы тембра и полосы — в положения, соответствующие самой узкой полосе пропускания. Изменением уровня сигнала от ГС добиваются на выходе приемника напряжения, соответствующего стандартной выходной мощности: при этом соотношение сигнал/шум на выходе приемника при выключенной модуляции ГС может оказаться менее заданного. В этом случае чувствительность ограничена шумами. Чувствительность измеряют при следующих условиях: глубина молуляции несущей частоты ГС m = 0.3 (в случае ЧМ m=0,3 соответствует девиации частоты 15 кГи при пиковой девнации 50 кГц); частота модуляции  $F = 1000 \, \Gamma$ ц; стандартная выходная мощность 50 мВ • А для приемников с номинальной выходной мощностью Р вых ≥ 150 мВ • А и 5 мВ • А для приемников с  $P_{\text{вых}} < 150 \text{ мВ} \cdot \text{A}$ ; отношение сигнал/шум составляет 20 дБ для АМ и 26 дБ для ЧМ сигналов.

Селективность РВ приемника — совокупность параметров, характеризующих его способность ослаблять мешающее действие сигналов в различных дополнительных (побочных) каналах приема. Параметры селективности современных супергетеродинных РВ приемников разделяются на три группы: параметры, обусловленные недостаточной селективностью в тракте ПЧ — селективность по соседнему каналу; параметры, обусловленные взаимодействием сильной помехи и полезного сигнала - перекрестные искажения, коэффициент забития, интерференция между несколькими сигналами; параметры, обусловленные супергетеродинным способом приема - ослабление сигналов на частотах, равных ПЧ, зеркальному и другим дополнительным каналам приема.

Селективность РВ приемника при малых уровнях подводимых сигналов, т. е. в пределах линейной части амплитудной характеристики, можно с достаточной точностью измерить односигнальным способом, наиболее часто применяемым в радиолюбительской практике. При этом способе схема измерения не отличается от схемы измерения чувствительности. Сначала генератор сигналов настраивают на частоту основного канала приема по максимуму показаний измерителя выходного напряжения, затем изменением частоты выходного сигнала настраивают ГС на частоту соседнего, зеркального или других дополнительных каналов приема и увеличивают его выходное напряжение до значения, при котором на выходе приемника получится прежнее значение выходного сигнала.

чение заколочного пада в об едлектив мости применного в ух сиг на ла ны М с по со б, при котором необходимы два генератора сигналов. При этом способе ко входу РВ. приемника вли рамке генератора поля через соответствуцицій эквивающей затичны пососедниято сба генератора сигналов. С помощью одного вз нях минальную чукствительность приемника на основном канале приема и выключают модуляцию, за этем, настроив второй ГС на частоту соседнего зеркального или нного дополнительного канала приема, укеличивают сто выходиме напряжение (при включенной модуляции) до поямаения (в 10 ваз) чентим заключенной муствительности.

(в 10 раз), чем при измерении чувствительности. При обоих способах измерения проводят на частотах сигнала 250 кГи 1,0 и 7.2 МГи (на тречастотах — табл. 22) для АМ и на 69 МГи для ЧМ. Параметры модуляции тайке же, капри измерении чуствительности; расстройка для частот соседнего канада приема 9 КГи для АМ и 180 кГи для ЧМ. Отношение чуствительного по дополнительным канадам приема к чувствительного тельности на частоте основного канада приема дляет значение селективности РВ приемика по соответствующему дополнительному напалу при-

В соответствии с ГОСТ 9783—79 селективность по дополинтельным каналам вымеряют на следующих частотах: в диапазонах ДМ сигнала — 2ℓ,++43/nc; 2ℓ,+4/nc; 3ℓ,+4/nc; 3ℓ,+4/nc; 3ℓ,+4/nc; 4ℓ,+3/nc; 5ℓ,+4/nc; 5ℓ,+4/nc; 5ℓ,+4/nc; 1ℓ,+1/3/nc; ℓ,±+1/2/nc; n днапазоне УКВ — 1/2 ±1/2/nc; n днапазоне УКВ — 1/2 ±1/2/nc; 1/2ℓ,+1/nc; 5ℓ,+2/nc; 1/2ℓ,+1/nc; 1/2ℓ,+2/nc; 1/2ℓ,+1/nc; 1/2ℓ,+2/nc; 1/2ℓ,+1/nc; 1/2ℓ,+2/nc; 1/2ℓ,+1/nc; 1/2ℓ,+1/

Ширина полосы пропускания РЧ тракта при приеме АМ сигналов — интервал частот, на границах которого чувствительность снижается в 2 раза (на 6 дБ) по сравнению с резонансной

Способ измерения. Измеряют чу́вствительность приемника при настройке на частоту ГС и, не изменяй внастройки приемника в положения регумторов громкости и тембра, увеличивают выходное напряжение генератора сигналов в 2 раза. Посае этого изменяют частоту ГС в обе сторомы от регонансиби до тех пор, пока измеритель выходного напряжения не покажет прежиее выходное напряжения не покажет прежиее выходное напряжение. Развость частот расстройки равна полосе пологускания.

Дмапазон принимаемых частот — область частот, на которые может быть настроия приемник. Способ измерения. На вход приемника подают напряжение от Гс. Указатель настройки приемника располагают в крайних точках шкалы, после чего ГС настронавоот по максимуму выходиого напряжения. Соответствующую граничную частот отсчитывают по шкале Гс. Границы джепазонов частот, соответствующие ГОС и Радиорнов частот, соответствующие ГОС и Радиорсти получения большей гочности измерений частоту ГС конгрозируют с помощью гетеродинного волюмоера вли, ечетногу частотмера.

Частотная характеристика всего тракта приемника (кривая верности по звуковому давлению) — зависимость между звуковым давлением, создаваемым акустической системой приемника и частотой модуляции при постоянной глубине модуляции и постоянном модулированном входном сигнале. Неравномерность частотной характеристики, по звуковому давлению определяется как отношение наибольшего звукового давления к наименьшему в заданном диапазоне частот. Из-за отсутствия в радиолюбительской практике электроакустических измерительных приборов кривая верности обычно, не измеряется. При необходимости она может быть получена косвенным путем: перемножением ординат частотной характеристики приемника и ординат частотной характеристики по звуковому давлению громкогово

Таблица 2.4. Границы диапазонов частот, отведенных Международным союзом электросвязи для радиовещания

Сокращенное название дианазона	Дициязон частот, МГц	Средняя измеря- тельная частота, МГц	Сокращенное название диапазона	Дипазон частот, МГц	Средняя измери- тельная частота МГц
18	0,150 0,285	0,2	49 M	5,9506,200 7,1007,300	6,100 7,200
В	0,525 1,605	0,1	31 ч КВ 25 м	9,5009,775 11,700 11,975	9,600 11,800
Б ч	2,300 2,498 3,200 3,400 3,950 -4,000 4,750 4,995	2,400 3,300 3,975 4,900	19 M 16 M 13 M 11 M	15,100—15,450 17,700—17,900 21,450—21,750 25,600—26,100	15,300 17,800 21,600 25,800
	5,005 - 5,060	5,030	УКВ	87,5- 108,0	94

рителя (при наличии ее в паспортных данных громкоговорителя).

Способ измерения частотной характеристики. Генератор сигналов соединяют с приемником так же, как и при измерении чувствительности: выходное напряжение ГС делают равным 1 мВ, а глубину модуляции от внешнего звукового генератора равной 30%.

Регулятором громкости пряемника устанавливают напряжение на его выходе, соответствующее стандартной выходной мощности. Регуляторы тембра и полосы пропускания устанавливают в положение, соответствующее наиболее широкой полосе пропускания. Изменяя частоту звукового генератора при неизменном коэффициенте модуляции (или девиации частоты при ЧМ), снимают зависимость выходного напряжения от частоты модуляции. Измерения проводят на частотах 200 кГц, 1 МГц (для АМ) и 69 МГц (для ЧМ).

Кроме перечисленных основных параметров РВ приемник характеризуется следующими вспомогательными параметрами, представляющими инте: рес для радиолюбителей.

Подавление амплитудной модуляции - выраженное в децибелах отношение выходного напряжения при ЧМ к максимальному напряжению при АМ.

Способ измерения. Генератор сигналов подсоединяют к приемнику, как при измерении чувствительности. Выходное напряжение устанавливают равным номинальной чувствительности. Включают амплитудную модуляцию с глубиной 30% и, расстраивая генератор на ±50 кГц от частоты точной настройки, определяют максимальное напряжение на выходе. К этому напряжению относят выходное напряжение при ЧМ. Относительная погрешность градуировки шка-

лы - процентное отношение разности между частотой принимаемого сигнала и частотой, определяемой по шкале приемника, к частоте принимаемого сигнала. Значение параметра для различных классов приемников составляет 0,4-1,3% для ДВ, 0,5-2,5% для СВ, 1-3,5% для КВ.

Способ измерения. Генератор сигналов настраивают по индикатору настройки или по максимальному выходному напряжению приемника. Разность частот на шкалах приемника и ГС, отнесенная к частоте сигнала, дает погрешность градуировки в процентах. Измерения проводят для двух точек каждого поддиапазона. Для повышения точности измерений частоту ГС контролируют с помощью гетеродинного волномера или счетного частотомера.

Стабильность настройки приемника - способность его сохранять без подстройки неизменным качество выходного сигнала в течение длительного времени с момента включения приемника, а также при изменении напряжения источника питания и при климатических и механических воздействиях на него. Стабильность настройки супергетеродинного или синхронного приемника зависит в первую очередь от частотной (соответственно фазовой) стабильности частоты гетеродина. Стабильность настройки характеризуется уходом частоты настройки от самопрогрева, изменений температуры, влажности, напряжения источника питания и механических воздействий. Ее проверяют на наивысших частотах диапазонов. Способ измерения. Счетный частотомер или.

гетеродинный волномер слабо связывают с гетеродином приемника. Через 5 мин после включения приемника проводят первый отсчет, через 15 -- второй. Разность результатов двух измерений дает значение ухода частоты гетеродина.

Переходное затухание между стереофоническими каналами — затухание, определяющее ослабление одного из стереофонических каналов на выходе другого. В высококачественном приемнике уровень переходных затуханий всего тракта приемника должен составлять 20 дБ во всем диапазоне воспроизводимых частот. Для измерения необходимы специальные приборы — стереофонический модулятор и анализатор спектра, поэтому в радиолюбительской практике переходное затухание оценивается на слух при передаче тестовых сигналов РВ станцией

Эффективность APУ — величина, характеризующая степень поддержания постоянства сигнала на выходе приемника при изменении уровня сигнала на входе.

Способ измерения. Измерение проводят на частотах 1 и 69 МГц, так же как измерение чувствительности при выходном напряжении приемника, соответствующем стандартной мощности, и входном сигнале, равном 50 мВ. Затем напряжение от ГС уменьшают в заданное число раз. Отношение напряжений на входе приемника, выраженное в децибелах, и, соответствующее ему отношение напряжений на выходе характеризуют действие APV.

Параметры АПЧ. Коэффициент АПЧ — пелима дарактераующая, по колько раз изменение частоты настройки при выключению ЯПЧ побъще, чем при выпочению, при одном и том же утле поворота ручки настройки РВ причениям король по подоса, ограничениям частотами, при подходе к которым измие срабатывает система АПЧ; полоса удерживания АПЧ — полоса частот, в предолах которой АПЧ вызывает изменение частоты на частиты комперию сигналь; на частиты маститы мастит

Способ измерения. Измерения проводят на трех частотах всех поддиапазонов, в которых действует АПЧ, при входном уровне, в 3 разя большем поминальной чувствительности, без модуляции.

$$K_{ADH} = [|f_e - f'_e|] / [|f_{DH} - f'_{DH}|].$$

Полосу заквата измеряют, подводя частоту ГС к частоте настройке приемника по шкале поочередно с обенх стором посае предварительной пачительной расстройки (160—200 к гд. для на которых происходит закват АПТ (по индикатору настройки или возытьетру постоянного тока, подключенному к выходу ЧМ, детектора), поредсятит индирину полоса заквата АПТ, Речудытатом дамерения дамется индириния полоска для при которых сработала система АПЧ. Индила, при которых сработала система АПЧ.

Полосу удержания измеряют таким же способом, но проводят расстройку ГС поочередно в обе стороны от точной настройки, фиксируя частоты, при которых происходит срыв АПЧ. Резульватом измерения является ширина полосы частот, ограниченная частотами, на которых нарушилась вабота системы АПЧ.

Излучение гетеродина в диапазоне УКВ характеризует интенсивность помех от близко расположенного приемника (толевизора) из-за проникающего в антенну тока с частотой гетеродина.

## 2.3. ВХОДНЫЕ ЦЕПИ ПРИЕМНИКОВ. МАГНИТНЫЕ АНТЕННЫ

Входиме цепи. Основное назлачение входими цепей приемика — передача сигнала из антенны на преобразователь частоты, на вход УРЧ нан детектро, существление селективности по соседнему каналу в приемниках прямого усиления, по эсрхильныму и соседиему каналам, промежуточной частоте и другим побочным каналам приема в сущерстеродинных приеминах прием настоте и другим побочным каналам приема в сущерстеродинных приеминах приеминах приеминах приеминах прием по сущерстеродинных приеминах прием преста сущерстворащими прием преста сущерстворащими прием преста сущерстворящими прием преста сущерстворящими преста сущерстворящими прием преста сущерстворящими преста сущерстворящими преста сущерство преста сущерство преста сущерство преста сущерство сущерство преста сущерств

Входная іспів приемника на днапазонах ДВ, СВ и КВ, как правило, состоит из одного-даух резонівленах контуров, настранваемых на частоту принимечого стигала и закоментов свямі дисявзи вкодного контура є ангенной определянога заданнями требованиями к учретвительности приемника и сслективности входної цент. Для получення максимальной чурствительности сиязь є антенной должна обеспечнаять наябольсиває с антенной должна обеспечнаять наябольков входу, первого каскада.

В тех случаях, когда определяющую роль играет селективность входной цени, свазь с антенийй выбирают из условий получения заданной селективности, миркос с уменьшением чувствительности приемника. И наоборот, в приемниках III—IV-хлассов в диапазонах ДВ и СВ и в данаязоне УКВ иногда применяют широкополосные цепи связи с антенной, не перестраиваемые в пределах данного диапазона.

Расчет элементов резонавсного контура. Контур входной цени в заданном днапазоне частот  $f_{mm} - f_{ms}$  чаще всего перестраивается конденсатором переменной емкости (рис. 2.12). Расчет параметров контура проводят в следующем по-

рядке. 1. Определяют коэффициент перекрытия диапазона по частоте

$$k_{\pi} = \int_{\max} / \int_{\min}$$
.  
2. Выбрав КПЕ, определяют параметр

Выбрав КПЕ, определяют параметр
$$C_{\sim} = C_{\scriptscriptstyle N} - C_{\scriptscriptstyle N},$$

где  $C_{\kappa}$  и  $C_{\kappa}$  — конечная и начальная емкости конденсатора.



Рис. 2.12

3. Принимая емкость монтажа контура и переключателя диапазонов  $C_u \approx 15 \div 30$  п $\Phi$ , определяют начальную емкость контура по формуле

$$C_0 = C_N + C_n + C_n$$

где Сп - средняя емкость подстроечного конленсатора

Если начальная емкость удовлетворяет условию  $C'_0 > C \approx /(k_x^2 - 1)$ , то индуктивность катушки определяют с помощью табл. 1.1 или по формуле

$$L_s = 25330/[f_{min}^2(C_{\sim} + C_0)],$$

где  $L_{\rm K}$ , мкГн;  $C_{\sim}$  и  $C_{\rm 0}$ , п $\Phi$ ;  $f_{\rm min}$ , МГц. Если же  $C_{\rm 0}' < C_{\rm N} + C_{\rm n} + C_{\rm n}$ , то следует применить конленсатор с большим значением С.,

4. Определяют ослабление контуром помехи с частотой, отстоящей от резонансной частоты на величину  $\Delta f = f_{pes} - f_{n}$ ; в случае малых рас-

$$d = \sqrt{1 + \left(\frac{2\Delta F}{f_{pea}} Q_{p}\right)^{2}}$$

и для больших расстроек

 $d = 2\Delta f Q_s / f_{pea}$ 

гле  $I_{nax}$  — резонансная частота контура:  $Q_{n}$  эффективная добротность контура, зависящая от потерь, вносимых в него антенной и электронными приборами, связанными с контуром,

При перестройке контура варикапом параметры контура рассчитывают в следующем порядке.

1. Определяют коэффициент перекрытия диапазона по частоте  $k_a$ .

2. Определяют по техническим условиям на применяемый тип варикапа минимальное напряжение настройки  $U_{\rm в \, min}$ 

3. По вольт-фарадной характеристике варикапа для напряжения  $U_{\rm H \, min}$  определяют конечную емкость варикапа  $C_{\rm B.E.}$  На рис. 2.13, 2.14 приводятся вольт-фарадные характеристики варикапных матриц, которые наиболее употребимы в современной РВ аппаратуре.

4. Принимая емкость монтажа и переключателя диапазонов  $C_n \approx 10$  пФ для приемников на биполярных транзисторах и  $C_{\rm w} \approx 15$  пФ для приемников на полевых транзисторах с полным подключением затвора к контуру, определяют необходимую начальную емкость варикапа

$$C_{B, N} = [C_{B, N} - C_{N}(k_{A}^{2} - 1)]/k_{N}^{2}$$

5. По вольт-фарадной характеристике варикапа для найденной начальной емкости определяют необходимое максимальное напряжение стройки.

6. При расчете характеристик селективности контура следует принимать во внимание не только добротность контурной катушки  $Q_L$ , но и добротность варикапа Q<sub>в</sub>, которая обычно составляет 100-150 для частот диапазонов ДВ, СВ, КВ и 50-100 для диапазона УКВ. Эффективная добротность контура вычисляется из выражения  $1/Q_s = 1/Q_L + 1/Q_s$ . Для сопряженной перестройки нескольких резонансных контуров необходим подбор начальной и конечной емкостей варикацов при одном и том же напряжении настройки. Учитывая сравнительно малый диапазон изменения емкости варикапов, необходимо стремиться к получению минимальной начальной емкости в контуре. Это достигается рациональным монтажом и применением электронной полстройки конечной емкости варикалов, отказом от применения подстроечных конденсаторов.

Способы связи входного контура с антенной. Связь входного контура с антенной осуществляется с помощью катушки или конденсатора. В первом случае связь называется трансформаторной, или индуктивной, во втором - емкостной.

Индуктивная связь (рис. 2.15, а) при частоте настройки антенной цели 🖟 ниже самой низкой частоты fmin данного поддиапазона обес-

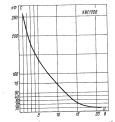


Рис. 2.13

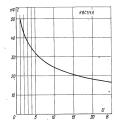


Рис. 2.14

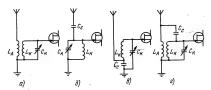


Рис. 2.15

печивает относительное постоянство коэффициента передачи напряжения кок входного контура  $L_{\rm x}C_{\rm K}$ . Приближенный расчет  $L_{\rm A}$  и  $k_{\rm nx}$  можно провести с помощью номограммы на рис. 2.16 (М — взаимоиндуктивность между катушками LA и Lx).

Емкостная связь отличается большей неравномерностью коэффициента передачи (при применяемой обычно настройке контура переменным конденсатором), чем индуктивная, но из-за простоты применяется в несложных приемниках или в приемниках с узким частотным диапазо-

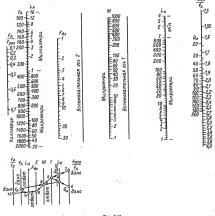


Рис. 2.16



ме значение  $C_c$  необходимо увеличить в  $Q_c^2$  раз. Комбинированная связь (рис. 2.15, e) позволяет получить наибольшую равномерность коэффициента передачи напряжения антенной цепи в пределах каждого из подднапазонов приемника.

Связь входного контура с УРЧ. В приемниках с биполярными транзисторами из-за малого входного сопротивления первого каскада цепь базы подключается к контуру не полностью. Величина связи транзистора первого каскада с контуром зависит от коэффициента включения цепи базы р<sub>1</sub>, который ориентировочно равен отношению числа витков катушки связи ш, к числу витков всей контурной катушки w<sub>L</sub> при индуктивной связи или отношению емкости контура к емкости конденсатора связи при внутриемкостной связи. Для максимальной передачи энергии из контура в цель базы транзистора входного каскада (УРЧ или преобразователя частоты) необходимо оптимальное согласование входного сопротивления этого каскада с сопротивлением контура при резонансе, которое получается при условии

$$P_{\rm sv} = \frac{w_{\rm c}}{w_{\rm L}} = \sqrt{\frac{R_{\rm ax}}{R_{\rm nc}}} ,$$

где  $R_{\rm ee}$  — эквивалентное сопротивление контура при резонансе с учетом влияния антенны.

При таком согласовании добротность контура и, следовательно, его селективные свойства ухудшаются в 2 раза. Если задана ширина полосы пропускания 20/1, то коэффициент включения

$$p_{\rm BX} = \sqrt{\frac{R_{\rm BX}}{R_{\rm oe}} \left(\frac{\Delta f}{\Delta f_{\rm pes}} - 1\right)}.$$

Так как согласование возможно только на одлой частоте поддинавозно, то его следует проводить на средней частоте либо на одной из храйних. При согласовании на частоте [<sub>тих</sub> селетивность будет возрастать при понижении частоты настройки контура, а при согласовании на [<sub>тих</sub> селектнаность с ростом частоть будет уменьшаться по сравнению с частотой согласования.

В приемниках с полевыми траизисторами на входе связь входного контура с УРЧ благодаря высокому входному сопротивлению УРЧ в диапазонах ДВ, СВ и КВ, как правило, полная: участок затвор — исток подключается паравлельно всему контуру.

При оптимальном согласовании коэффициент передачи напряжения антенной цели на вход первого каскада приемника с УРЧ на билоляр ных транзисторах  $k'_{ss} = 0.5 p_{ss} k_{ss}$ , где  $k_{ss}$ контуру, расситанный по номограмме рис. 2.17.

Магнитные антенны. Магнитные антенны это ферритовые и рамочные антенны. По сравнению с наружными проволочными антеннами с большой высотой подвеса они, как правило, менее эффективны. Действующая высота магнитных антенн принимает значения от 0,02 (для диапазона ДВ) до 0,5-0,7 м (для днапазона КВ), тогда как действующая высота электрических антенн -- от 0.8-1 м (для встроенных штыревых) до 5-15 м (для наружных). Для получения заданной чувствительности приемника с магнитной антенной усиление его РЧ (ПЧ) тракта должно быть в несколько раз больше, чем в приемнике, предназначенном для работы с внешней или встроенной электрической антенной

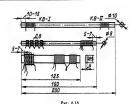
Этот педостаток магнитных антени окупается их малыми габаритами, более высокой помехозапилителностью по отношению к индустриадывым помехам и возможностью применения прострацетвенной селекции.

Ферритовая антенна. Ее принципиальная схема не отличается от схемы обычного колебатсльного контура; различие проивлиется лишь в том, что катушку контура ферритовой антенны наматывают на сердсчинке из феррита с большой магнитной проницаемостью. Напряжение в контуре ферритовой антенны

$$U = 2EQ_{s}\omega S_{c}f_{pea}\mu_{n} \cdot 10^{-6}$$

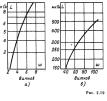
где E— напряженность поля в месте приема, B/м; Q, — эффективная добротность;  $\omega$ — число вытков катушка антенны; S, — площадь поперечного сечения сердечника, мм;  $f_{pec}$ — резонансная частота, MГи;  $\mu_n$ — среднее замачение магнитной проницаемости сердечника.

Для сердечников из феррита марок 400HH и 700HH (рис. 2.18) при указанном размещеним катушек можно прынять  $\mu_s$  ≈ 100 и  $\mu_s$  ≈ 50 для сердечников из феррита марок 100HH и 150HH.

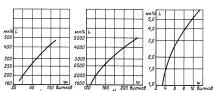


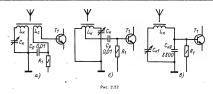
На рис. 2.20 показана зависимость между индуктивностью и числом витков катушек для антенны, выполненной на цилиндрическом сер-

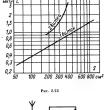
дечнике из феррита марки 700НН Ø 8 и длиной 160 мм (намотка проводом ЛЭШО 10-5,07), а на на рис. 221 — для антенны диапазопа КВ, выполненной на сердечнике из феррита марки 150НН Ø 10 и длиной 200°мм (намотка проводом 0,6—0,8 мм с шагом 2 мм).











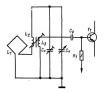
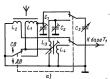
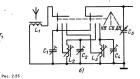


Рис. 2.24





Связь контура ферритовой антенны с первым каскамом приемика чаше всего трансформаторная или автотрансформаторная (рис. 222. д.), три этом катулика связи L., должна располагаться вплотную к катулике L., Во избежание ложных резонакоев в диапазоне рабочих частот ферритовой антенны часто применяют комдуктивную (автотрансформаторную) (рис.

2.22, 6) или внутриемкостную связь (рис 2.22, а). Рамочная антенна (без ферромагнитного сердечника). Эффективность встроенной рамочной антенны (при длине корпуса приемника 150—200 мм) сравнима с эффективностью ферритовой антенны, оссобенно в диапазоме КВ. Собственная добротность рамочных антенн составляет 150—250. Зависимость между площадью витка S и индухтивностью рамочной антенны, состоящей из 1—2 витков (для приема в диапазоме КВ), показана ма рис. 2.23.

тура представлена катушкой  $L_2$ , намотанной на каркасе с подстроечным сердечником. На этом же каркасе наматывают катушку связи  $L_2$ .

Во избежание ложных резоиансов, синжения чувствительности на отдельных участках поддиапазонов и уменьшения селективности по побочным каналам приема следует применять одну рамочную антенну (или одну катушку на стержне ферритовой антенны) для нескольких поддиапазонов. На рис. 2.25, а, 6 приведены схемы коммутации контуров приеминае с двумя и тремя дивпазонами. Катушка L, рамочной или ферритовой антенны является контурной катушкой самого коротковолнового подданавазона гриенника, а на сстальных подданавазонах в контур изменение на отдельных каркасах, исключающих связа, между ними.

## 2.4. УСИЛИТЕЛИ РАДИО- И ПРОМЕЖУТОЧНЫХ ЧАСТОТ

## Общие свеления

В качестве активных элементов усилителей радиочастоты наиболее широкое распространение получили транзисторы и микроскемы на их основе. В радиолябойтельских конструкциях РВ приенняюм премяучасственное примесение какодит замеждуние примесение какодит замеждунескими зарактеристиками и имеющими балее высокую электрическую проиность и чем плаевые. Здесы приводятся наиболее псобходимые для полимания процесса усыснения и простемы для полимания процесса усыснения и простемы расправа транзисторов.

Активный звечент ужблителя наиболее удобио представиять в виде звектрического четами представиять в виде звектрического четами представиять и выем параметрами. При изверении режиго выем параметрами. При изверении режиро работы усилительного каскада наиболее удобно изверять напряжения, а не токи, т. к. токи тре буют разрыва язмеряемой цени. По этой причние наиболее подходящих система 4-глараметров.

наиболее подходяща система у-параметров. При выбранных на рис. 2.26 направлениях напряжений и токов уравнения четырехполюсника имеют вил

$$I_1 = y_{11}U_1 + y_{12}U_2$$
;  $I_2 = y_{21}U_1 + y_{22}U_2$ .

Параметры малого сигнала определяют, придавая малые приращения напряжениям и намеряя малые приращения в норяжениям и намеряя малые приращения с токов. При обращения в зульканию в кодинах на выходных заявимом четы ресположения, в сего уравичений получают слежений получают с с проводимость при короткозамкнугом выходений при короткозамкнугом высодений при с току с

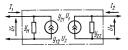


Рис. 2.26

нутом выходе;  $y_{22} = \Delta i_2/\Delta u_2 \mid_{U1=0}$  — выходная проводимость при короткозамкнутом входе.

Размерность параметров [A/B], т. е.  $[C_M]$ . В общем стуриме р-параметры — величных мом-лексные, состоящие из действительной (ремитивленой) g и минимой (реактивной) рам измой (реактивной) рам измой (реактивной) в мистей: y=g+lb. Это определяет их частотиро зависимость, существенно усложивающую расчеты. Однако применение современных ВЧ транзисторов  $\{I_p\}$  значительно превышающей часты. Однако применение современных в РВ приемиках, позволяет не империмента в описание миниможе ( $I_{c}$ ). Параметрименть об ципание часть параметрименть об при случает в за значение y-параметра принимают сто действительную часть.

Из приведенных параметров наибольшее знаение при расчете усилительных устройств имеет проходная проводимость  $y_{21}$ , соответствующая крутизне проходной ВАХ, и входная проводиммость  $y_{11} = 1/R_{\rm BS}$ . Обратива проводимость  $y_{12}$  достаточно полно характеризуется проходной емкостью  $C_{\rm Spot}$ .

Выходную проводимость на практике можно не принимать во внимание, т. к. согласование выходной цепи транзистора по мощности практически недостижимо из-за влияния проходной емкости, приводящей к неустойчивой работе усилителя.

Удельная крутизна характеристики биполяриот отразівистора  $\frac{1}{900}$ ,  $\frac{1}{900$ 

Входияя проводимость  $y_{11}$  ммеет существенный разброс, т. К. зависит от коэффициента врямой передачи тожа в схеме ОЭ  $h_{21n}$ , который измеряется с достаточной для расчетов точностью в радиолюбительских условиях. Поэтому входиая проводимость может быть вычислена по формуле  $y_{11} = h_{21}/y_{21}$ .

"Для" практических расчетов можно принимать наименьшее значение  $h_{219}$ , полученное из справочника. Проходная емкость для схемы ОЭ также может быть получена из справочника, она приблизительно равна емкости  $\mathcal{E}_{\kappa}$ .

С повышением напряжения сигнала на входе усилителя на транзисторе начинает пр являться нелинейность ВАХ, которая с достаточной точностью аппроксимируется экспоненциальной кривой

$$I_b = I_{NH} \left( e^{U_{b|9/41}} - 1 \right)$$

Степень искажений может быть оценена коэффициентом гармоник

$$K_i = \frac{\sqrt{U_2^2 + U_3^2 + ... + U_n^2}}{U_1}$$
  
=  $\frac{\sqrt{\gamma_2^2 + \gamma_3^2 + ... + \gamma_n^2}}{2}$ ,

где  $U_1 \div U_n$ — напряжения соответствующих номеров гармонических составляющих сигналя;  $\gamma_1 \div \gamma_n \leftarrow \infty \text{обффицемть относительных гармонических составляющих тока коллектора тран-$ 

Коффициенты относительных гармонических составляющих тока коласкора для биполярного транзистора приведены на рис. 2.27. Они позволяют расичений мутем в зависимости от относительной амплитуды входного сигнала оценить искажения в выходного сигнала оценить искажения в выходной сигналь, расссиятаю оптимальные режимы тряняютеров токадах преобъяжением. Частоты и генераторов с самовобъяжением.

Так как уравнение ВАХ полевого транзистора отличается от уравнения ВАХ биполярного только значением входящего в него коэффициента а:

$$I_c = I_{c_a} \left( e^{U_{3H/a}} - 1 \right)$$

то графиком на рис. 2.27 можно пользоваться и для расчетов режимов полевых транзисторов, принимая вместо значения  $\phi$ , значение св. Для полевых транзисторов доленых транзисторов различных типов а может существенно изменяться, поэгому его следует ваходить экспериментальным путем, определяя крутизиу характеристики для данного значения тока стока:

$$\alpha = I_C/y_{21} = I_C\Delta U_{3H}/\Delta I_C$$
, B.

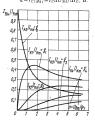


Рис. 2.27

Таблица 2.5. Соотношения параметров транзисторов

	Схема включения					
Параметр	09	06	ок			
y,,	0,025/12/14//Крт	0,025h216//Kp 1	0,025h <sub>213</sub> // <sub>Kp</sub>			
V12	≈ C6 ×	≈ C <sub>9 K</sub>	= C6 .			
y <sub>21</sub>	I <sub>Kp 1</sub> /0,025	—I <sub>Кр т</sub> /0,025	—/ <sub>Кр т</sub> /0,025			
y <sub>22</sub>	y <sub>22&gt;</sub>	9226	0,025h216//Kp			

Значение а у современных полевых транзисторов значительно больше  $\phi_1$ , поэтому полевые транзисторы обладают меньшей крутизной и кривизной ВАХ, а следовательно, большим допустимым уровием входных напряжений, усиливаемых без заметных искажений.

Входное сопротивление полевого транзистора на не очень высоких, по сравнению с граншчной, частотах и при относительно небольших сопротивлениях нагрузки имеет чисто емкостный характер.

Рассмотренные соотношения относнанись к параметрам транисторов, включеным, по схеме ОЭ. При включении транзистора по схеме ОБ и ОК значения у параметров и зменятся и примут значения, приведенные в табл. 2.5. Эту трансформацию параметров часто используют для получения оптимальных условий использования транзисторов в той или иной части радиотекнической

цении и радионаетот и УПИ зарактеризумога следующим основными параметрами, оэффициентом передачи по напряжению (коэффициентом уследнения) Ж, коэффициентом передачи по мощности (коэффициентом передачи по мощности (коэффициентом передачи пости) Ж, полосой пропускания Л; селестивнониети Ж, полосой пропускания Л; селестивнотивария сий. Кроке часто соосетивные УРЧ когут перестранняяться в заданном динальное частот.

Коэффициент передачи по напряжению усладтеля, состоящего яз актавиюто элемента и сопротивления нагрузки (резистора наи резонацкого контура) в общем случае К.«—уд/ (уд.-ну) и при значительном сопротивлении нагрузки R. может достигать очень больших значений (для схем включения ОЭ и ОБ). Однако для обеспечения устойчивости усилителя, особенно на РИ-

$$K_{u \max} \leqslant \sqrt{\frac{y_{21}}{2\pi / C_{npox}}},$$

$$R_{n \max} \leqslant \frac{K_{u \max}}{2\pi / C_{npox}} = \sqrt{\frac{1}{2\pi / C_{npox}} y_{21}}.$$

Даже на сравнительно низкой ПЧ, (465 к $\Gamma$ u) современный креминевый ВЧ планарный транзистор с емкостью  $G_s$  —5 пФ требует нагрузки не более 1,25 кОм, тогда как его выходное сопротивление при токе комлектора 1 мА составляет 20 кОм. Это обстоятельство позволяет не учитывать при ток

расчетах выходную проводимость транисторов и поределять кооффициент вередачи по напряжению по упрощенной формуле:  $K_x = y_x R_x$ . При копользовании в качестве нагружи резонансного контура его необходимо согласовать по мощности с котация с входным сопротивлением гранизистора, которое заражее вычисляется в зависимости от схемы включения транизистора. При этих условиях кооффициент включения входа транзистора в контур  $p_x = \sqrt{R_x/R_{ox}}$ .

Коэффициент включения выхода транзистора в выходной контур должен быть не более  $p_{\text{вых}} = -\sqrt{2R_{\text{smax}}/R_{\text{oe}}}$  по условию стабильности работы усилителя.

Коэффициент передачи напряжения усилителя с базы первого каскада на базу второго

$$K_{a12} = p_{ax}p_{aux}R_{oe}|y_{21}|$$
.

По этим же формулам рассчитывают коэффициемт выпочения любой нагрузки, подключеной к контуру, и коэффициент передачи по напряжению на эту нагрузку. Общий коэффициент усильным многокаскадного усилителя равен произведению коэффициенто передачи по напряжения сы коэффициенто в передачи по напряжения сы коэффициенто передачи по напряжения к этим усиления по мощности определяется как

$$K_\rho = K_\pi^2 R_{\Phi x}/R_\pi$$
.

Динамический диапазон УРЧ зависит от выоранного допустного уровия искажений, распределения усиления по тракту радиочастоты, минимального уровия сигнада, определенмого шумами, и сопротивлений нагрузок в каскадах УРЧ. Максимальное напряжение сигналя на входе гранителения с доставления в пределения обращения усиления в собращения в пределения обращения доставления в пределения в пределения доставления в пределения пределения доставления в пределения пределения доставления пределения доставления пределения пределения доставления доставления

Селективность УРЧ (УПЦ) определяется число и качеством примененных в нем контуров или фильтров. Для LC-фильтров с удобно расчитывать по графикам обобщенных кривых селективности (рис. 228). На рис. 228 кривая / представляет зависимость соложенияюсти коликов-пределается зависимость соложенияюсти коликов-пределается зависимость соложения становых селемов и для даухконтурник; коривая 3 — для даух контурник; коривая 3 — для даух сотражения становать селемов между становать селемов селе

одномонтурных каскадов УРЧ (УПЧ); кунвая 4— для грех одномонтурных каскадов УПЧ, кривая 5— для двух двухконтурных ФПЧ с отношением связы между инми критической связи  $K/K_{\infty}=0.9$ ; кривая 6— то же, для трех двухконтурных. При подъовании графиками след критической средения и праводы в совержения с а необходимая для подучения выбранной селективности добротность нагруженного контура

$$Q_9 = \sqrt{(2^{1/\kappa} - 1)} \cdot \frac{f_0}{H_{\text{orbin}}}$$

где n — число контуров;  $\Pi_{com}$  — общая полоса пропускания для n контуров по уровню 0,7 (3 дБ);  $f_0$  — частота настройки контуров.

Критическая связь между контурами в полосовом фильтре соответствует коэффициенту связи  $k_{cs} = 1/Q_s$ , что дает возможность рассчитать элемент связи; например, при внешнеемкостной связи между контурами  $C_{cs} = k_c Q_c - C_c / Q_s$ .

Данные пьезокерамических и электромеханических фильтров приводятся при описании схем УПЧ. Число витков катушек ФПЧ, размещенных в стандартных ферритовых сердечниках Ø 8,6 мм, определяется по графикам на рис. 2,29.

Режим каскада по постоянному току должен рассчитыватьсям вз условия обеспечения температурной стабильности выбравного режима по переменному току. В заданном интервале температур и при допустимом изменения тока эмиттера собротявление в цент эмиттера должно току в при при допустимом и при должно равной 2 мВ/°С для германиевых и креиниевых билояримых транистовых.

Необходимс напряжение смещения на базе  $M_{\rm S}$  оставляета е предвед 85 в для гремяниевых ВЧ и 0,6 В для кремяневых Транзисторов. Откода месоходимое напряжение, получаемое от делитал в цени базы или другого источника смещения, например стабистора, должно быть  $U_{\rm E} = U_{\rm LS} + I_{\rm S}R_{\rm S}$ , а сопротивление резисторов делитов можно определить из условия  $R_{\rm S} - U_{\rm S} / I_{\rm S} / I_{\rm S}$  (10,1–0,25)/3] для резистора, выпоченного между 0-10,25/3/3 для резистора, выпоченного между 6азой и источником интании. Круттына характеристики транфистора для выбранного режим



Рис. 2.28



MK FH L 300 -

m



Рис. 2.29

по постоянному току (в рабочей точке) равна  $y_{21\mathrm{p,r}}\!=\!y_{21}^{\mathrm{o}}I_{\mathrm{K}\,\mathrm{p,r}}\!=\!I_{\mathrm{K}\,\mathrm{p,r}}/0.025.$ 

Пля того чтобы крутивна характеристики и уменьшалась из-за ООС, возникающей в результате падения напряжения на конденсаторе, блокирующем сопротивление в цени эмиттера, его ежиссть должна быть не менее  $C_{\rm exp} < 5.5 \pm 10 Jy_{\rm 21 s/2} T J_{\rm min}$ . Тае  $f_{\rm min}$  — минимальная рабочая частога услагиела.

Для увеличения линейного участка характеритики каскада УРЧ (УПЧ) и цепь эмиттерителики каскада УРЧ (УПЧ) и цепь эмиттерителики каскада уРЧ (УПЧ) и цепь эмиттерителики каскада со со съократова и карактерители карактерители карактерители каскада со ОС и крутивых характерителики в точке, заданной режимом по постоянному току  $Roc_0 = (y_{B_1} - y_{B_1}) - (y_{B_1} + y_{B_1})$  "Чтобы оценить зависимость искажений от колителиции участи участи

## Схемы УРЧ

44

В супергетеродинных приемниках высокого класса и в приемниках прямого усиления с числом перестраиваемых контуров более одного целесообразно применять каскодные усилители (рис. 2.30). Устойчивый коэффициент усиления такого усилителя с транзисторами, имеющими высокую граничную частоту, при рациональном выполнении монтажа очень велик, что достигается благодаря малой проходной емкости каскада ОБ. Такие усилители хорошо работают в диапазоне УКВ. Так как коэффициент усиления первого транзистора по напряжению равен 1, то напряжение питания между его эмиттером и коллектором можно выбрать небольшим (1-2 B), обеспечив тем самым запас по питанию второго транзистора, и избежать ограничения в его коллекторной цепи при значительных амплитудах сигнала на выходе. Температурная стабилизация осуществляется включением в цепь эмиттера резистора  $R_{\bullet}$ .

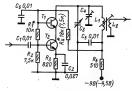


Рис. 2.30

Апериодические УРЧ. В большинстве транзисторных приемников прямого усиления, где единственным селективным элементом является резонансный контур ферритовой антенны, применяют апериодический УРЧ. Благодаря большой крутизне характеристики современных транзисторов (35-40 мА/В при токе коллектора мА) такой усилитель обладает значительным коэффициентом усиления, прост в изготовлении и налаживании. При работе на диодный детектор один каскад по схеме ОЭ обеспечивает усиление в 100—300 раз в днапазонах СВ и ДВ. При работе на входное сопротивление следующего такого же каскада усиление составляет 15-50 раз в зависимости от выбранного режима и коэффициента усиления по току транзисторов.

В усилителе по схеме, приведенной на рис. 2.31, a, напряжение сигнала с части катушки  $L_1$  антенного контура через разделительный конденсатор  $C_2$  подводится к базе транзистора  $T_1$ , в коллекторную цепь которого включен нагрузочный резистор  $R_2$ , усиленный сигнал через конденсатор  $C_3$  подается на детекторный каскад по схеме удвоения напряжения на диодах Д, и Д2. Эту схему следует применять при напряжении питания не ниже 6 В; при этом сопротивление резистора нагрузки может быть относительно большим (3-6 кОм), что позволяет получать достаточный коэффициент усиления. При малых уровнях сигнала коэффициент усиления такого усилителя определяется только сопротивлением резистора R2, т. к. входное сопротивление детекторного каскада велико (20—30 кОм) и практически не шунтирует резистор нагрузки. При больших уровнях сигнала входное сопротивление детекторного каскада уменьшается до 2—3 кОм в зависимости от сопротивления нагрузочного резистора детектора, и транзистор работает практически только на него. Этим достигается некоторое выравнивание усиления различных по величине сигналов без применения АРУ. Температурная стабилизация режима осуществляется за счет глубокой ООС по постоянному току благодаря включению резистора смещения  $R_1$  между коллектором и базой транзистора.

В двужкаскадном усилителе по схеме на рис. 231, е первый и второй каскады выалогичны усилителю, показанному на рис. 231, е каде адужкаснаного усилителя на рис. 231, е целесобразно вместо дросселей приментат раниформаторы, согласующие эти каскады, а также выход усилителя со кодом детекториего каскада, что значительно повышате общий коэффициент усилительно повышате общий коэффициент ров 200 и 100 согластеленно, провод ТЭВ. 11. С. 107. серденник Ø 7 мм и за феррита Цолијга,

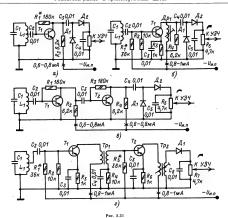
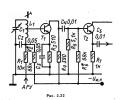
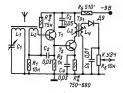


Схема апериодического УРЧ супергетеродине мого приемика изображена на рис. 223 Для нормальной работы преобразователя частоты с совмещенным тегродином на тракоисторе  $T_2$  сопрогиватели резистора  $R_4$  в коллекторной цени УРЧ должно обыть возможно меньшим, таким чтобы коэффициент усиления не превышал 10—8. В противном случае возможно значительное

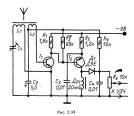
снижение селективности по дополнительным каналам приема из-за перегрузки преобразователя частоты сигналом.

Начинающим радиолюбителям для изготовления приемника прямого усиления можно рекомендовать двухкаскадный УРЧ по схеме на рис. 2.33. Резистор нагрузки первого каскада Я<sub>3</sub> включен в коллекторную цепь со стороны

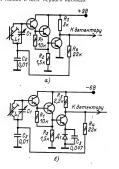




Puc. 2.33



життера трансистора, благодаря чему напряжение на нем совпадает по фазе с входими напряжением. Поэтому при случайном попадании напряжения с выхода второго каскада на вход первого, например на-за паразитной связи между не возникает, т. к. наведенное напряжение оказивается в противопасожной фазе по отношению к вапряжению сигнада. Это равноценно ООС, повышающей стабильность усилителя. При непоредственций связы базы второго транзистора АРУ при подведение напряжения патимаются АРУ при подведения стабильного каскада.



Усилитель на транзисторах разной структуры (рис. 2.34) особенно удобен тем, что на его выходе не нужен разделительный трансформатор для осуществления АРУ, как, например, в усилителях по схемам на рис. 2.31, г и 2.33, и обладает достоинствами этих усилителей.

УРЧ с высоким входным сопротивлением. Для уменьшения числа выводов у контурных катущек и, следовательно, упрошения их коммутации в приемниках с несколькими поддиапазонами частот целесообразно применять УРЧ на трех транзисторах с непосредственной связью между ними (рис. 2.35). Такой усилитель на СВ и ДВ обладает входным сопротивлением около 1 МОм и малой входной емкостью, что позволяет подсоединить его вход непосредственно к контуру ферритовой антенны. Режим по постоянному току устанавливается автоматически и полдерживается в необходимых пределах при изменении температуры окружающей среды и напряжения источника питания благодаря глубокой ООС. Сопротивление резистора нагрузки зависит от напряжения источника питания и выбранного тока коллектора. Для усилителя по схеме на рис. 2.35, а, в котором должны применяться только кремниевые ВЧ транзисторы.  $R_n = (U_{n,n} - 2)/I_K$ .

Усилитель по этой схеме удобно выполнять на транзисторной сборке К2HTO12 вли К2HT172 из соответствующих серий микросхем. Для усилителя на германиевых транзисторах

(рис. 2.35, б)  $R_{\rm H} = (U_{\rm H,H} - 1,2)/I_{\rm K}$ . Для обеспечения температурной и режимной

стабильности в усилителе на германиевых транзасторых необходимо применять креминевый диод  $\mathcal{I}_i$ . С этого диода при необходимости может быть сиято стабилья примение может 0,7 В для стабилизации рабочих точех других каскадов приеминка, если потребляемый этими целями тох не превышает 100—200 мах.

При введении АРУ в таком саучае необходимо добавить еще один гравляютор (7, в па рис. 2.36), который хорошо согласустся с эмиттерным детектором на транзистор F.3. При пстустепви сигнала транзистор АРУ закрыт и не мещает пормальной работе при большом усилении. По мере возрастания сигнала транзистор Т, открывается и происходит перераспределение тожа между и происходит перераспределение тожа между

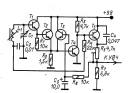


Рис. 2.36

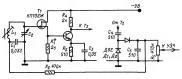
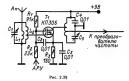


Рис. 2.37

траязасторами  $T_0$  и  $T_1$  —  $T_2$ , режим по постояльному току траівзстора  $T_0$  при этом не изменяется. Одновременню уменішающеся выходаное сопретиваение гравизстора APU шунтирует по переменному току вкод траязистора  $T_0$  В результає сомместного действия указапінніх факторов резко падает усиление УРЧ в целом. Начальний режим тратизстора  $T_0$  и, следоваєтьсьню, задаержка APY устанавливаются переменным резистором  $R_0$ .

Еще более высоким входимы сопротивлением обладает УРИ на полеком транизсторе (рис 2.37). В приеминках прямого усиления диапазонов СВ и ДВ можно применты сравнительно пизъочастотные полевые гранизсторы типа КППО2. Для уменьшения возможности с акомособител симости транизстор и законо приеметь общего стока. Втом закотор 7, высторен по схеме общего стока. Втом обмаскад усилителя выполнен на ВЧ биполяриом каскад усилителя выполнен на ВЧ биполяриом каскад усилителя выполнен на ВЧ биполяриом транизстор тобото типа структуры р-п-р- С детектора через фильтр R-C, подается напряжение APV на затвор гранизстора Т,

Можно применять ВЧ полевые тракзисторы в каскадах УРЧ блоков УКВ. На рис. 238 присена скена УРЧ на двухаатворном полевом транвисторь, рекомендуемого для применения в приниках въсокого класса и высококачественных блоках УКВ. Несмотря на возможность подного исичения затвора транзистора во вкорной контур, от опадключают к части контура для синжур уровия сигнала при приеме мощных радиостанций и уменьшения преверсетных помех. Этому



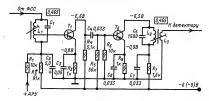
способствует подведение напряжения АРУ ко второму затвору этимогора. т. к. крутная его характеристики в равной мере зависят от напряжения на каждом из затворов, а входнае теми и положение рабочей точки на необходимом (олтимальном с точки зрения перекрестных кисемний) участке характеристики мало изменяется при рестијувования по второму затвору.

#### Схемы УПЧ

Входные сопротивления транзисторов, шунтируя резонансные контуры, уменьшают их добротность, что снижает селективность приемника. Поэтому требуемую селективность часто обеспечивают, применяя на входе УПЧ ФСС, а необходимое для пормальной работы детекторного каскада усиление получают в широкополосном усилителе. В широкополосных УПЧ можно использовать схемы, приведенные для УРЧ, Однако нужно учитывать, что напряжение гетеродина, проникающее на вход широкополосного усилителя, может Перегрузить его, а при наличии системы АРУ сильно уменьшить его усиление или вызвать релаксационные колебания в системе АРУ - УПЧ. Поэтому необходимо тщательно экранировать входные цепи широкополосного УПЧ от цепей гетеролина.

На рис. 239 приведена схема УПИ, примеженая в промышленных приемниках. Комтур L<sub>2</sub>C<sub>6</sub>, на выходе уснаителя сужает полосу пропусканным второго какакада да 80—40 кПа. Отйосительным небольшое натрудочное сопротивление первого жаскада обсеспечивает устойникую работу обом каскадаю при значительных проходных емкостях тразнастового.

Модификация этой схемы, представленияя из рис. 240 (авлаютиная рис. 233), обеспечивает высокую устойчивость против самовозбуждения при недостаточно уффективной зукраировке транзисторов. Кроме того, а этой схеме значительно эффективнее действие АРУ благодари одновременному уменьщению кругизны характеристик обоих транзисторов и применения УПТ в АРУ на транзисторое Т<sub>8</sub>.



Pic. 2.39

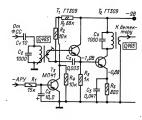


Рис. 2.40

# Фильтры ПЧ

LC-фильтры сосредоточенной селекции. Катушки ФСС размешены в бромевых ферритовых сердечниках (табл. 2.6). Сердечники заключены в ипдивидуальные экраны. При намотие катушек проводом, скрученным из 3—7 изолированных жил диаметром 0,05—0,07 мм, их добротность на частоте 465 кП может достигать 150—250

Пьезокерамические многозвенные фильтры (габа. 2.7) Обагаают малым затуханнем вы полосе пропускания, а их частотные характеристики инклю крутые скаты. Однако затухание этих фильтров за пределами полосы пропускания возрастает немонотольно. Вследствие этого необходимо включать перед фильтром резопансный контуру, который одномреженно служит грансформатором, который одномреженное сопротивающей строить частоты с входимы стиротивленным фильтра.

Применять пьезокерамические фильтры без резонаисного LC-контура не следует из-за наличия в АЧХ фильтров паразитных полос пропускания,

Таблица 2.6 Данные контуров ПЧ 465 кГц

Тип сердечника	Число витков катушк при емкости конденса тора, пФ				
	270	510	1000		
Броневой карбонильный СБ-12а	145	110	80		
Броневой карбоняльный СБ-9а	150	115	82		
Броневой ферритовый Ч5 Кольцевой ферритовый М600НН-К7×4×2, зазор	130	99	72		
2×0,05 мм	125	89	61		

приводящих к резкому снижению селективности в диапазоне СБ. Часствяя харамтернистика одного из образцов фильтра ФППП-093 привсенка двр. 2.41. Показанияя на этом рисумке слева характеристика затухания может быть получена при тщательком си-пасовании пьезомерамического фильтра со стороны входа и выхода, которое осуществляется подбором режима транзистора УПЧ, сопротивления Я, и места отвода от контурной катушки (рис. 2.42).

Цень АРУ может вызвать рассогласование фильтра, вселестие чего частотная характеритика фильтра в полосе пропускания деформируется. Это может создать заметные искламателя при приеме ситвалов радиостанций, создатощих объщную наприженность поло в месте приема, объщную наприженность поло в месте приема, мералический фильтр необходимо включать между двумя согласующими контурами с никупанной или емкостной трансформацией сопротивлений (пис. 243 км.).

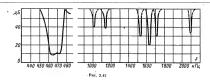
Электромеханические фильтры (табл. 2.8) работарт без согласующих контуров, имеют несколько меньшие габариты их характеристике, (рис. 2.44), практически не искажаются работой системы АРУ. Скема включения фильтра в тракт ПЧ показана в рис. 2.45. Катучики I, и I, д вместе с постоянными магинграми представляют входной и выходной преобразователя на электрических колебаний в механические. Емкости коленастроро С—С<sub>5</sub> должны выбираться в соответствии с дан-

Таблица 2.7. Основные характеристики пьезокерамических фильтров\*

Параметр	ФП1П-041	ФП1П-043	ФП1П-022	ФП1П-023	ФП1П-024	ФП1П-025	ФП1П-026	ФПІП-027	ФП1П-049а	ФП1П-0496
Средняя частота по- лосы пропускания, кГц	465±2	465±2	465 ± 2	465±2	465 ± 2	465 ± 2	465 ± 2	465±2	10,7 ± 0,1	10,7±0,1
Полоса пропускания по уровню 6 дБ, кГц	5,8 ± 1,2	5,8 ± 1,2	12,5 + 2	9,5+2,5	9,5+2	9,5+2,5	8,5 + 2 1,5	9,5+2	150200	200280
Селективность при расстройке от сред- ней частоты ±9 кГц дБ, не менее	55	46	26	40	35	30	26	35	505**	585**
Вносимое затухание в полосе пропуска- ния, дБ, не болес	9,5	9,5	9,5	9,5	9,5	9,5	9,5	9,5	10	10
Нагрузочное сопро- тивление, кОм: $R_{\rm SX}$ и $R_{\rm SMX}$ Шунтирующая ем- кость, пФ	2,0	2,0	2,0	2,0	2,0	2,0	2,0	2,0	0,33	0,33 20

Рис. 2.42

<sup>\*</sup> Габариты всех фильтров  $18.5 \times 16 \times 6$  мм. \*\* Ширина полосы пропускания (в килогерцах) на уровне  $\sim\!\!-26$  дВ.



От смесителя ФЛ1Л-023 От смесителя

Рис. 2.43

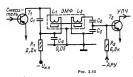
 ${
m T\,a\,6}$ л н ц а  ${
m \, 2.8.}$  Основные параметры электромеханических фильтров с средней частотой полосы пропускания  ${
m 465\pm1,5}$  к ${
m \Gamma}{
m u}$ 

Параметр	Тип фильтра						
	ЭМПФ-5-465-6	ЭМПФ-5-465-9	ЭМПФ-5-465-18	ЭМПФ-5-465-7			
Пирина полосы пропуска-							
ия на уровне 3 дБ, кГц	5,6-6,4	8,4-9,6	12,2-13,8	6,5-7,5			
Ватухание на частоте :							
±10 кГц. дВ, не менее	56 (	42	26	35			
Теравночерность затухания							
полосе пропускания, дБ,	2.5	3.0	3.5				
посимое затухание в поло-	2,5	3.0	3,5	4			
пропускания, дБ, не более	8.5	7,0	8.0	14			
мкость настройки входного	0,0	1,0	0.0	.,			
реобразователя, пФ	300	300	300	150			
мкость настройки выход-							
ого преобразбвателя, пФ	1500	2200	. 3300	40			
оминальное входное со-							
ротивление, кОм	10	10	10	50			
оминальное нагрузочное							
противление на выходе,							
O4			1 1	10			

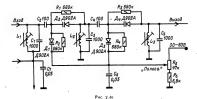


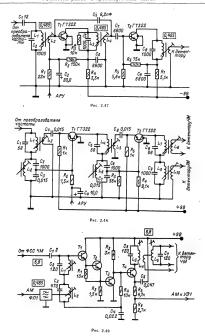
ными табл. 2.8 для каждого конкретного типа; фильтра.

ФСС с плавно изменяемой полосой пропускания (рис. 2.46). Для изменения полосы пропускания используется зависимость емкости варикапов свя-



ан  $H_0$  и  $H_0$  подводымого пидряжения. Варимены ил  $H_0$  и  $H_0$  сумех для коминествани изменения исстройки фильтра: симость их уменьшается при ужеличении сихости варикалов, саязи. Напряжение, управляющее сихостаю варикалов, должно сить стабильнуровыю. Настройку фильтра праводить три минимальных симостих варикалов саязи. Напряжения образовать три минимальных симостих варикалов саязи для фильтра дах фильтра дах присминах.





Скема УПЧ без ФСС. При использовании в УПЧ гранситоров смальнии проходимые честовог таки (ТТ322, КТ339 и т. п.) можно получить устойчивое услойчивое усложного услойчивое усложное у

Тракты усиления ПЧ траязисторных приеминков АМ и ЧМ обычно выполняют с резовыясными межкаскадными контурами. Учитывая, что проходная емкостъ транзистора в схеме ОВ в несколько раз меньше, чем в схеме ОЭ, транзисторы тракта ЧМ иногда включают по схеме ОБ. На рис. 248 приведена схема УПЧ приемника АМ и ЧМ, в котором оба транзистора включены по схеме  частотах до 6,8 МГи достигает 30. Для упрошения конструкции контурных катушех и их настройки испессобразов о приемниках АМ и ЧМ применять УПН 30 доставления сородомых соородомых сородомых сородом сородом доставления приставления приставления приставления приставления приставления при переделее ламповых приемников на траизисторные.

## 2.5. ЛЕТЕКТОРЫ СИГНАЛОВ

Напряжение 3Ч на выходе детектора  $U_{3u} = U_{8u} m K_{s},$ 

где m — коэффициент модуляции;  $K_a$  — коэффициент передачи детектора;  $U_{\rm BV}$  — подводимое напряжение ВЧ.

Детекторные каскады травизисторных приеминков, как правиль, рабоглают при малык подводимых напряжениях сигнала (30 — 300 мВ) и солым сопротиваемием нагрузки (2 — 15 кОм). этнеобходимо для согласования выхода детекторного каскада со входом травизисторного обного каскада со входом травизисторного убрачио лежит в указанных пределах, и, для того, итобы получить максимальную чувствительность приемника при минимальном супления в трактре.

При малом уровие входимс сигналов конффициент гармоник существенно зависит от правъциент тармоник существенно зависит от правъности согласования детектора по постоянном УПЧ и Обично с выхода детектора по постоянном уго обично с выхода детектора по постоянном уго закторном приеминке это приводит к необходимости подачи на днод семещения зи цени пития базы транзистора соответствующего каскада УПЧ.

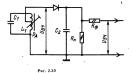
Протекающий при этом через двод ток в значительной мере определяет коэффициент передачи детектора и его зависимость от уровня входного сигнала. В свою очередь от значения коэффициента передачи детектора зависит его входное сопротивление:  $R_{**} = 0.5R_{*}/K_{**}$ .

Очевидно, что при изменении уровия сигнала зыменяется вкаснае и системент условия соглассвания денастрация и системент условия соглассвания децент тармоник получается а пинь при вполне определенных условиях. Для навлучшего использания усластьных свобята последнего каспода УПТ минимальным пододатимы к детектору напряжениех следует считать 30 — 50 мВ. При этом ряжениех следует считать 30 — 50 мВ. При этом ражен О.2. Необходимый коэффициент включения детектора в контур УПЧ

$$p_{a} = \sqrt{\frac{R_{s}}{2K_{s}R_{ot}}}$$

где  $p_{\rm c}$  — козффициент вылючения детектора, равный отношению числа витков катушки связи с детектором к числу витков контурной катушки последнего каскада УПЧ;  $K_{\rm c}$  — коэффициент передачи детектора (рис. 2.51);  $R_{\rm cc}$  — эквивалентное сопротивление ненатруженного контура.

При таком способе согласования детектора с выходом УПЧ с увеничением напряжения на входе УПЧ напряжение на детекторе почти не изменится. Нелинейовить характерителы детектора комтиваемия, что снижает коэффициемт гармоних тиваемия, что снижает коэффициемт гармоних с должно быть таким, чтобы получить неслышой тох через диод 1—5 мкд. Обычно для этого в схему приемикка вводит переменный резтого в схему приемикка высодит переменный редам неуелиейные изкажения.





PHC. 2.

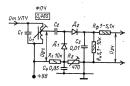


Рис. 2.52

На рис. 2.52 приведена схема двухполупериодного детектора с цепями, обеспечивающими подбор режима детектора по постоянному току. Петекторы на транзисторах. Детекторы на тран-

детекторы на транямсторах, детекторы на транамсторах с обратной связка опраменяют в простих та. Применение ПОС (рис. 2.53) позволяет знаительно повыменты унствительность со входа детекторного каскада и благодаря этим, уменьшить исло каскадов УРЧ нам УПЧ приемника. Коэффициент включения базы транзистора в конттур достатора с предостатора и предостатора в конттур долигильное условием от действия обратной связаи. При использовании транзистора с градо ОИ II. детектор может работать даже в диапазоне КВ, однако приемник с таким детектором работает объчки ойстабльном и малаживание сто

В современных транзисторных приемниках, особенно с применением микросхем, широкое распространение получил эмиттерный детектор (рис. 2.54). Его отличительной особенностью является малый коэффициент гармоник. Такой летектор может быть подсоединен непосредственно к коллекторной нагрузке предыдущего каскада  $(T_1)$ УПЧ (УРЧ) и на его нагрузочном сопротивлении (резисторах  $R_3$  и  $R_4$ ) в отсутствие сигнала будет напряжение постоянного тока на 0,2 - 0,6 В меньше, чем на коллекторе предыдущего каскада. Это напряжение можно использовать для установления рабочей точки транзистора каскада, охваченного АРУ. При наличии сигнала к этому напряжению добавляется выпрямленное напряжение несущей частоты принимаемой радиостанции. При подведении к базе транзистора — детектора Т2 ВЧ напряжения 50 мВ при глубине модуляции 30% на выходе детектора получается 10 мВ напряжения ЗЧ и около 40 мВ напряжения постоянного тока для целей АРУ.

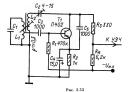
Конденсатор С<sub>2</sub> обязательно должен быть соединен с коллектором транзистора, в противном случае в приемнике с несколькими каскадами в тракте РЧ может возникнуть самовозбуждение. Частотная характеристика детектора от емкости конденсатора С<sub>2</sub> зависит слабо, т. к. выходное сопротивление детектора низмое.

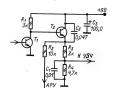
При использовании в качестве  $T_2$  транзисторов структуры p-n-p необходимо изменить полярность источника питания; целесообразно применить в качестве  $T_2$  транзистор такой же структуры, как транзистор  $T_1$ .

При использовании кремниевых траизисторов выходное напряжение детектора при отсутствии сигнала меньше напряжения на коллекторе  $T_1$  на 0.6 В. а при германиевых на 0,15-0,2 В. Такой детектор хорошо согласуется с шврокополосными УПЧ (см. § 2.4).

Эмиттериме детекторы часто являются составюй частью интегральных микроскем, например, серий К224, К237. В этих микроскемых детектор выполнен не в точном соответствии со схемой из рис. 2.54, но работает на том же принципе. Иногда для повышения коэффициента передачи в качестве эмиттерного детекторы используют да транялетора, включения, по схемо ОК. На да транялетора, включения, по схемо ОК. На короска и пределения постоявного ком доставного стоявляют по детекторы и пределения короска для целей РУ.

Детекторы ЧМ сигналов. Для детектирования ЧМ сигналов чаще всего применяют дробный детектор, который эффективно подавляет амплитудную модуляцию. При использовании дробного детектора громность приема пропорцинальна среднему значению принимаемого сигнала, поэтому такие помежники часто имеют цель АРУ.





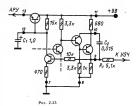
Pec. 2.54

Симметричный (отмочтельно корпуса) добный детектор (рис. 2.56) проще в налаживании, но содержит больше деталей и развивает вдвое меньшее напряжение APV. Для пормальной рас боты детектора важко, чтобы половины котушки L<sub>2</sub> были электрически симметричны. Поэтому их наматывают двумя сложенными вместе провода-

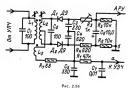
На рис. 2.57 дана схема несимметричного дробного детектора. Напряжение постоянного тока для АПЧ может быть снято с той же точки, что и выходное напряжение 3Ч.

В малогабаритных приемниках изготовление контурных катушек с индуктивной связью затруднительно. Обычно катушки размещают в отдельных экранах. В этом случае целесообразно применять конденсаторы связи (конденсатор  $C_3$  на рис. 2.58), подбирая емкость которого, можно легко изменять форму S-образной характеристики дробного детектора. Напряжение ЗЧ можно снимать и с резисторов  $R_1$ ,  $R_2$ , а не со средней точки катушки  $L_2$ , как это сделано в схеме на рис. 2.57. С этой же точки снимается напряжение постоянного тока для цепей АПЧ. Дальнейшее упрощение детектора возможно в результате исключения резисторов  $R_1$  и  $R_2$  и электролитического конденсатора  $C_6$ . Диоды  $\mathcal{A}_1$  и  $\mathcal{A}_2$  непосредственно соединяют между собой, и к точке их соединения подключают цепь, устраняющую подъем верхних частот модуляции в передатчике РВ станции. Уровень выходного напряжения в этом случае не превышает 10 - 15 мВ, что достаточно для транзисторного УЗЧ. Благодаря непосредственному соединению диодов уровень ЗЧ на выхоле детектора практически не зависит от уровня входного сигнала, начиная с уровня, обеспечивающего работу детектора в режиме ограничения.

В микроскемах для детектирования ЧМ сигналов ширкоке распространение получили фазовые квадратурные ЧЛ. Схемы ЧД и а этой сснове росты в исполнения и регулировке. На рис. 2.59 приведена упрощениям (без целей питания) схема законствах в радиолюбительских условиях неценесообразию, процес выполнить дробный детекторприменяется в микростеме (ТАУР). В основу часточного детектора этой микроскемы положен двойной баланский транзисторный фазовый дестектор. При надачил перед ини ограничителя (что



Разд. 2



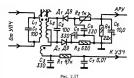


Рис. 2.58

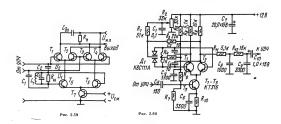
предусмотрено в микросхеме) напряжение на выходе детектора зависит только от фазовых соотношений между напряжениями сигналов, подводимых к входам фазового детектора. Для детектирования ЧМ сигналов необходимо изменение частоты превратить в изменение фазы между двумя напряжениями подводимыми к детектору. Это осуществляется с помощью фазовращателя, роль которого в схеме на рис. 2.59 играет контур  $L_1C_3$  с  $C_1$  и  $C_2$ . Линейный участок характеристики ЧЛ зависит от протяженности линейного участка частотно-фазовой характеристики фазовращателя, которая в свою очередь зависит от линейности фазовой характеристики контура  $L_1C_2$ . Фазовая характеристика контура практически линейна в полосе пропускания частот по уровню 0,9 и обладает допустимой нелинейностью в полосе пропускания по уровню 0,7. Исходя из этих соображений добротность контура  $L_1C_3$  должна быть выбрана такой, чтобы его полоса пропускания с определенным запасом пропускала весь спектр широкополосного ЧМ сигнала. Для полосы пропускания по уровню 0,7 добротность определяется как  $Q_{\nu} = \int_{0}^{\infty} / \Pi_{0,7}$ , а для полосы пропускания по уровню 0,9 как  $Q_s \approx 0.5 f_0/\Pi_{0,9}$ . Для получения необходимой добротности контур должен быть защунтирован резистором с сопротивлением

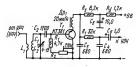
$$R_{11} = \rho \frac{Q_0 Q_2}{Q_0 - Q_2}$$

где  $p = \omega L = 1/\omega C = \sqrt{L/C}$ .
Точное сопротивление этого резистора определяется опытным путем при налаживании  $4\Pi$ .

Необходимый фазовый сдвиг между напряженями, подводимым и фазовому детектору, можно получить, используя принцип синкронного детектирования ИМ сигнала с применением ООС по частоте. Это осуществимо при применении местного гетеродина, частота которого с спределенприималемито сигнала. Начальный фазовый сдвиг отностительного принципального при цепью ФАПЧ близким к 90°. При наличии частотной модуляции сигнала необходимо, чтобы частота, гетеродина следила за изменением частоты сигнала. Это возможно, если фильто в цепи ФАПЧ пропускает все составляющие частот модуляции без сдвига по фазе, т. е. его полоса пропускания много шире полосы частот модуляции. В этом случае напряжение на выходе фазового детектора было бы близко к нулю и не зависело от модуляции сигнала. Это, во-первых, нееально, а во-вторых, не нужно. Для демодуляции ЧМ сигнала необходим возрастающий пропорционально изменению частоты фазовый сдвиг между напряжениями сигнала и гетеродина, не превыщающий при максимальном отклонении частоты (максимальной девиации) максимально допустимого с точки зрения нормальной работы цепи ФАПЧ сдвига. Это достигается соответствующим выбором фазовой характеристики ФНЧ, усиления в цепи ФАПЧ и параметров реактивного элемента, изменяющего частоту гетеродина.

Здесь приводится конкретная схема детектора ЧМ, предложенная В. Поляковым (рис. 2.60). Сигнал от УРЧ, уменьшающего реакцию параметров антенны на частоту гетеродина, подводится к одному из входов фазового детектора — к базе транзистора  $T_3$ . Сигнал на другом (симметричном) входе получается благодаря самовозбуждению генератора, образованного транзисторами  $T_1$  и  $T_2$  фазового детектора. Конденсаторы  $C_2$ и  $C_3$  создают цепи обратной связи в двухтактном генераторе. Цепь АПЧ замыкается через резистор R<sub>3</sub>, который вместе с емкостью варикапной матрицы образует ФНЧ цепи ФАПЧ. Некоторая несимметричность фазового детектора из-за различных сопротивлений нагрузочных резисторов R<sub>8</sub> и R<sub>в</sub> при сильных входных сигналах обеспечивает непосредственный захват частоты гетеродина частотой сигнала. Фильтр нижних частот на выходе фазового детектора  $R_{11}C_8R_{12}C_9$  компенсирует подъем верхних частот модуляции в передатчике. Настройка на частоту РВ станции осуществляется изменением постоянного напряжения на варикапной матрице резистором  $R_0$ .





Pac. 2.61

Достоинство такого частотного детектора возможность применения его непосредственно на частоте принимаемых УКВ радностанций, что существенно упрощает изготовление приемника. Существенными недостатками являются нижая, чумствительность дама диамнический диапазон сытналов, при которых сохраняется стабильная расбота цени ФЛИТ (100 мкВ — 15 мВ) и большое влияние изменения параметров антенной цепи на частоту гетеродина, приводящее к срыву настройки на радиостанцию при изменении положения антенны по отношению к окружающим предметам, если она выполнена в виде штыбы.

На рис. 261 приведена слема спертрегенеративем гого детекторы, который мольет быть применен для детектирования АМи ЧМ сигналов в простейших приеминках. Обратава связь, приводящая к генерации собственных колебаний, осуществальется через емисость  $C_{\rm SR}$  транисторы  $T_{\rm c}$  Колебания со сверхазуковой частогой прываются за систадрам конценствора  $C_{\rm c}$  ОНЧ. Параметры веставие с частогой, на которой используется вестам  $C_{\rm c}$  частогой, на которой используется детектор. Для дипаваюм ЗКР в гатушка  $L_{\rm c}$  с ображит 2 вигка, а катушка  $L_{\rm c}$  — 5 витков провода ПВВ-20.8  $C_{\rm c}$  6 мм.

Сверхрегенеративный детектор также может применяться в супергетеродинном приемнике после ФСС на ПЧ 10 МГц и более.

## 2.6. ПРЕОБРАЗОВАТЕЛИ ЧАСТОТЫ

## Обшие сведения

Для преобразования частоты радиосигнала в ПЧ к преобразователю кроме напряжения принимаемого сигнала необходимо подвести напряжение от гетеродина с частогой, отличающейся от частоты сигнала на значение ПЧ. Напряжение гетеродина, подводимое к смесителю частот, должно значительно превышать уровень принимаемого сигнала. От правильного выбора режима преобразующего элемента (ПЭ) зависят такие характеристики супергетеродинного приемника, как чувствительность, реальная селективность, искажения сигнала. В зависимости от выбора рабочей точки на характеристике ПЭ и амплитулы напряжения гетеродина можно получить большее или меньшее количество побочных каналов приема при данной настройке приемника, а следовательно, лучшую или худшую селективность приемника. От этих же условий зависят усиление и уровень шума преобразователя, а следовательно, чувствительность приемника.

Преобразователи по типу примененного ПЭ делятся на пассивные и активные, а по способу получения напряжения гетеродина — на преобразователи с отдельным гетеродином (смесители частот) и преобразователи с совмещенным гетеродином (генерикующие преобразователи).

Пассивные преобразователи, как правило, выполняемые на полутроводимновых диолах, не усиливают сигнал; одняко они просты в исполнении и обладают сравнительно инаком уровнем собкольцелой схеме они позволяют скомпенсироватнекоторые межалательные продукты преобразования и поэтому находят применение в приемниках выскогос классы, дле им предшествует каккад УРЧ, улучшающим отношение сигнал/дуждужный сигнал. Они потребалот меньшую мощность от гетеродина и позволяют совмещать функции преобразователя и гетеродина в одном и том же активном элементе, что целесообразно в простых приемниках.

Развитие микроэлектроники позвольло создать мялота баритные балансные и кольцевые активные преобразователи частоты, превосходящие по степени подвидения нежелательных продуктов преобразована диодные преобразовател. Такие преобразователи применяют в приемниках высокого класса.

Преобразователь с отдельным гетероциюм мнеег рад достописть каждый вы примененных в нем активных элементом может работать в оптимадать мом режиме; меньше проявляется действие полож, проинкающих через побочные каналы приемкакомебания тегероципа в инвышей степени проинканом образовательного померать и померать при тим причинам; выше стабильность частоты гетеродина.

В радиолюбительских условиях (при отсутствии специальных измерительных приборов) не всегда удается обеспечить оптимальный режим преобразовательного каскада, поэтому для приемников с диапазонами ДВ и СВ целесообразно применять генерирующие преобразователи. Они содержат меньше деталей и сравнительно просты в налаживании, т. к. в режиме самовозбуждения гетеродина автоматически устанавливается режим преобразования, близкий к оптимальному. К недостаткам таких преобразователей относятся: большее число побочных каналов приема: большая, чем в случае применения отдельного гетеродина, взаимозависимость настроек входного и гетеродинного контуров; проникание колебаний гетеродина в антенну и влияние изменения параметров антенны на частоту гетеродина.

Усиление сигнала при преобразовании в активном преобразователе зависит от крутизны преобразования S...: При преобразовании по первой гармонике гетеродина (если ПЧ получена как разность или сумма частот гетеродина и сигнала)

$$S_{np} = 0.5 S_{max} = 0.5 y_{21p,r} \gamma_1 / \gamma_0 = 0.5 I_{Kp,r} \gamma_1 / (0.025 \gamma_0)$$

где  $\gamma_1$  и  $\gamma_0$  — коэффициенты разложения Фурье первой гармоники и постоянной составляющей тока коллектора, определяемые для выбранной относительной амплитуды возбуждения по рис. 2.27.

посителяния авили удов возоужденая по рис. 2-тр. При замене ф. на с (см. § 2, 4) график пригоден и для определения режимов по переменному току полевых транзисторов — преобразователей частоты.

Оптимальной (для бицолярных транзисторов) амплитудой напряжения на базе для преобразования ло первой гармонике гетеродина можно считать  $n=1,5\div2$ , т. е.  $38\div50$  мВ, при которой крутизна преобразования достигает 0.7 крутизны характеристики П03 в режиме усиления.

Преобразование по второй или более высохой гармонике гетеродина применяется в блоках УКВ для уменьшения произкания напряжения гетеродина рием анагоние и бет примена в цель антенны и в дианазоне КВ стеродина по меня преобразования по том для получения эффективности преобразования бликого к преобразования по перяби гармонике необходимо собразования по любой гармонике тетеродина может быть преобразования по любой гармонике тетеродина может быть определена как

$$S_{\rm np~x} \, = \, 0.5 \gamma_{\rm x} y_{\rm 21p~\tau} / \gamma_{\rm 0} \, = \, 0.5 \gamma_{\rm x} I_{\rm Kp.~\tau} / \, (0.025 \gamma_{\rm 0}) \, . \label{eq:Snp}$$

По этой формуле можно рассчитывать уровни преобразования побочных каналов приема.

Входное сопротивление транзисторного преобразователя частоты для источника сигнала равно входному сопротивлению транзистора в режиме усиления при том же токе коллектора.

Входное сопротивление, нагружающее гетеродин, зависит от схемы включения транзистора смесителя частот по отношению к выходу гетеродина

$$R_{\rm sx.\ r}=U_{\rm rm}h_{21}\gamma_0/I_{\rm Kcm}$$
 ,

где  $h_{21}$  — коэффициент прямой передачи тока в схеме ОЭ или ОБ;  $I_{\rm Rcw}$  — ток коллектора смесителя в рабочей точке;  $U_{\rm rm}$  — амплитуда напряжения гетеродина.

Максимальный коэффициент усиления преобразователя ограничивается возможностью возникновения самовозбуждения на частотах, близких к ПЧ. Он может быть больше, чем в режиме усиления ПЧ, но не более чем на значение

$$d_c = 2|f_c - f_{n\eta}|Q_{s, n, \eta}/f_{n\eta}$$

гле  $d_*$ — затухание, вносимое из-за расстройки контура в цени базы смесителя частот по отношению к контуру ПЧ. Даже при очень больших расстройках, например на КВ, это значение не может быть больше, чем  $Q_{\rm h,\,v}$ .

Коэффициент передачи диодного преобразователя можно считать равным

$$k_{\rm mp} \approx 0.5 \sqrt{R_{\rm oe\ n.\ q}/R_{\rm oe\ ypq}}$$

при условни оптимального согласования его с контурам и УРЧ и УПЧ. Для контура УРЧ уго условие удовлетворяется на одной частоте диапазона. Входиое и выходное сопротивления диодного смесителя раявы. Они завымот от относительной амплитуды гетеродина и сопротивления нагрузки. Пря  $R_{\infty} = 0$   $R_{\infty,m} \approx 0.03/f_{\rm s.v.}$ .

Входное сопротивление со стороны гетеродина  $R_{\text{вк.r}} = 0.03\gamma_0/I_{\text{в.р.r}}\gamma_1$ . В балансном (кольцевом) смесителе частот оно в 2 (соответственно 4) раза

меньше вычисленного.

Тетеродин обычно выполняют по схеме трехточечного автогенератора. Для обеспечения стабильности частоты гетеродина стараются уменьшить связь активного эдемента с контуром домиммально необходимой для получения стационарного режима. Если напряжение гетеродина синменства на коло сисститам с части контура, поимется на коло сисститам с части контура, поимется на коло сисститам с части контура, поимется на коло сисститам с части контура на
ужно учитывать ухудшение добротности контура
из-за согласования со сместелем.

Стационарный режим в автогенераторе устанавливается, начиная с относительных амплитуд возбуждения (см. рис. 2.27)  $n = 0.25 \div 0.3$ ; оптимальным для гетеродина следует считать режим при 1 < n < 3. Так как мошность. потребляемая смесителем не велика, ток коллектора гетеродина должен быть не более 2-2,5 мА. Оптимальный ток коллектора для преобразователей с совмещенным гетеродином составляет 0,5-0,75 мА и для преобразователей с отдельным гетеродином 1-1,5 мА. Напряжение переменного тока на коллекторе транзистора гетеродина должно быть небольшим по сравнению с напряжением питания, в этом случае меньше сказывается влияние изменения емкости коллекторного перехода транзистора на стабильность генерируемой частоты. При значительном снижении напряжения на коллекторе по сравнению с напряжением возбуждения на базе на стабильность частоты начинает влиять цепь базы транзистора. Компромиссным решением является условие  $R_{\text{вых}} = 1/y_{21}$ , при этом коэффициент включения выходной цепи транзистора

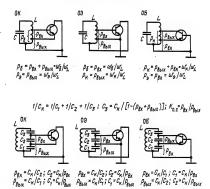
$$p_{\text{BMX}} = \sqrt{1/(y_{21}R_{\text{oe}})}$$
.

Для выбранного стационарного режима необхо димо выполнение условия  $k_{n_c}S_{cp}\rho_{nu}^2R_{ne}=1$  или  $(p_{sx}/p_{uux})~S_{cp}\rho_{uux}^2R_{oe}=1$ , из него определяется коэффициент включения входа траизистора

$$p_{ax} = \frac{\gamma_0 n}{\gamma_1 \sqrt{y_{21} R_{ox}}};$$
 т. к.  $S_{cp} = \frac{\gamma_1 y_{21}}{n \gamma_0}$ .

В различных схемых включения траизистора по отношению к заземьенной точке контура (общей точке) козффициенты включения ценей базы, миттера и коластктора буду траизыми. Выражения для них и соотношения емкостей делителей напряжения в цени обратиой связи при ксползовании емкостной трехточной схемы приведены на рис. 262.

Режим гетеродина по переменному току можно подбирать, не изменяя коэффициента обратной



PHC. 2.62

связи, варыврованием в некоторых пределах круптивной карактиренствия гразиметора за счет изменения режима по постоянному току или сопротиввением решстора. В 10—100 Ом.). Может также уменьшить емкость разделительного конденсатора в цени мыттеры, который одновремению корректирует фазу напряжения в цени обратной связи и предотращиет вознийкомовием предванистой зонах КВ и УКВ, если его емкость [нФ] не удовлетвориет условию

$$C_s < \frac{Q_0}{6\pi f_{r,max}} \frac{JKp.\tau}{0.025}$$

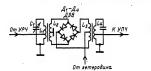
где  $I_{\rm Kp}$ , — ток коллектора в рабочей точке, мА;  $f_{\rm r}$   $g_{\rm ax}$  — максимальная частота гетеродина, МГ $_{\rm H}$ ;  $Q_{\rm o}$  — добротность контура гетеродина на этой частоте.

При применении в качестве гетеродинов генераторов, работающих без автоматического смещения, например двухгранзисторного генераторы, в котором отраничение эмпантуды колебаний происходит в результате насышении эмиттернобазовых переходов, приведенное резонанское сопротивление контура петеродина должно удовтате и, и и д. техафонциенты раздолжения Фурме для прямоугольного импульсе колекторного тока. Для этого случяя и д. о. 5, и, - 0.637, м. д. Для этого случяя и д. о. 5, и, - 0.637, При непосредственной связи гстеродина с преобразователем, если через них протежает общий ток коллектора гетеродина, крутизна характеристики в режиме преобразования частоты несколько больше, чем при воздействии на преобразователь синусондальным напряжением, ориентировочно в 4α/уг/ (пасу), г. е. примерно на 10%,

Достоянство гетеродина на двух транзисторах — упрощенняя коммутации контуров, малая неравномерность выходного напряжения в диалазове частот, некритинность связи транзистора 
с контуром. Существенный недостаток — зачительная зависимость частоты от напряжения питания. К недостатком стедует отнести и необходимость обсенечения сильной воязи межд обмотдимость обсенечения сильной появление генеравим сильной связы возможной появление генерана, а на резоляется контуры оброзна, а на резоляется контуры оброзванных катуримой связы и емкостью менерокалов 
транзисторов или индумтивностью подводящих 
проводником и емкостью менерокалов

# Преобразователи частоты на полупроводниковых диодах

В промышленных и радиолюбительских приемниках высокого класса применяют диодные балансные и кольцевые преобразователи частоты. На рис. 2.63 приведена схема кольцевого пре-

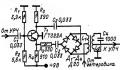


PHC. 2.63

образователя. примененного в приемнике

«Океан». Входной сигнал через согласующую катушку связи со средней точкой подводится к мосту из ВЧ германиевых диодов Д1 — Д4. Ко второй диагонали моста подключена катушка связи с контуром ПЧ. К ее средней точке подведено напряжение, снимаемое с катушки связи с контуром гетеродина. Такое включение диодов (при хорошей симметрии согласующих катушек) обеспечивает подавление целого ряда побочных продуктов преобразования и практически полностью исключает прямое прохождение сигнала и гетеродина в цепи ПЧ. Для минимальных потерь сигнала преобразователь должен быть согласован по сигнальному входу, выходу ПЧ и входу гетеродина. С потерями напряжения гетеродина в катушках связи практически можно не считаться, т. к. для тока гетеродина половины катушек индуктивностью не обладают благодаря бифилярной намотке.

Ликейность преобразователя по сигнальному вколу сохраняется до амплитуд сигнала, равных 0,1 вмплитуды напряжения гетеродина, т. е. при оптимальном напряжения гетеродина 100—300 мВ ликейность сохраняется до 10—30 мВ. Поэтому от УРЧ требуется миниальности усиложие для заданной чувствительности усиложим и надичие его автоматической регулировами.



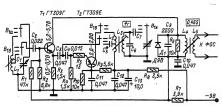
PHC. 2.84

Недостаток приведенного преобразователя сложность коммутации симметричного сигнального входа. Его можно устранить в преобразователе по схеме на рис. 2.64. Благодаря тому, что мост из четырех диодов образует для постоянного тока замкнутую цепь («кольцо»), он может быть подключен к источнику сигнала через разделительные конденсаторы. Это дает возможность вместо симметричных обмоток связи применить апериодический каскад на транзисторе Т, с разделенной нагрузкой, имеющий несимметричный вход. Для получения параметров преобразователя, близких к параметрам предыдущего преобразователя, следует несколько увеличить напряжение гетеродина, т. к. в цепи тока гетеродина включены резисторы R<sub>2</sub> и R<sub>4</sub> (каждый в свой полупериод) и R4 (в оба полупериода).

## Преобразователи частоты на транзисторах

В промышленных РВ приемниках с характеристиками, соответствующими требованиям II и III классов ГОСТ, как правило, применяют преобразователи частоты с отдельным гетеродином. Типовая схема такого преобразователя приведена на вис. 264

Сигнал с отвода катушки входного контура  $L_1C_1$  поступает через конденсатор  $C_2$  в цепь базы



Pac. 2.65

травкистора  $T_i$  преобразователя. Напряжение от тегродина на транянсторе  $T_j$  поступает в цепь эмитгера преобразователя через конденсатор  $C_j$  Получение выпряжение  $\Pi^j$  через согласующий контур  $I_i$ ,  $I_j$  и натушку связи  $I_j$  подводител контур  $I_i$ ,  $I_j$  и натушку связи  $I_j$  подводител фильтур одоститается подбором респекта доститается подбором респекта доститается подбором то иментарует контур  $I_i$ , уменьшая усиление преобразователя и предогращающей средурации предогращающей средураму  $I_i$  предогращающей средураму  $I_i$  предогращающей средураму  $I_i$  по  $I_i$  предогращающей средураму  $I_i$  предогращающей средураму  $I_i$  предогращающей  $I_i$  предогращающей I

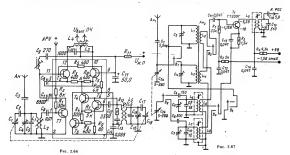
Гетеродин выполнен по схеме ОБ. Резистор  $R_5$  служит для предотвращения паразитной генерации, стабілизируя работу гетеродина. Фильтр  $R_8C_{13}$  с большой постоянной времени предотвращает паразитную ЧМ гетеродина при изменении напряжения питания в такт с потреблением тока узч

В настоящее время во многих промышленных приемниках используется интегральная микросхема К2ЖА371. На рис. 2.66 приведена схема ее включения для работы в качестве преобразователя во всеволновом приемнике с растянутыми диапазонами КВ. Преобразователь выполнен по балансной схеме на транзисторах То и То с симметричным выходом и несимметричным входом. эмиттерам обоих транзисторов подключен коллектор одного из транзисторов гетеродина, что автоматически устанавливает режим преобразователя, согласованный с режимом гетеродина: преобразователь управляется протекающим через него током гетеродина. На выходе преобразователя ток гетеродина компенсируется и поэтому не может перегрузить следующий за преобразователем каскад даже при плохой фильтрации его контуром ПЧ. Режим по постоянному току транзисторов преобразователя также задается выходным током транзистора Т., Особенностью гетеродина является то, что он выполнен на двух

транзисторах, включенных по схеме, подобной мультивибратору с эмиттерной связью. Однако благодаря фильтрующей роли контура такой генератор генерирует не прямоугольные импульсы, а синусоидальное напряжение. Некоторое усложнение гетеродина (два транзистора) полностью компенсируется упрощением коммутации его контуров. Транзистор  $T_3$  служит для стабилизации режима транзисторов гетеродина, а следовательно, и преобразователя. Транзистор  $T_1$ предназначен для работы в УРЧ с АРУ, для чего он получает питание от усилителя постоянного тока цепи АРУ, входящего в состав микросхемы УПЧ К2ЖА372. В прнемниках высокого класса между УРЧ и преобразователем включают перестранваемый контур, а в цепь эмиттера Т, --резистор сопротивлением 10-15 Ом для создания ООС по переменному току с целью уменьшения перекрестных искажений в УРЧ.

В промышленных приемниках с характеристы, ками, скответствующими гребованиям IV класса ГОСТ, и в радиолюбительских приемниках без динаваюна ВК обычно применяют преобразоватеми с совмещенным гетеродиниом. Типовая схема такого преобразователя разрества на рис. 267. Гразывстор преобразователя разли выпражения ситтем от свете ОС, а в гетеродине по схеме ОК.

Напряжение сигнала с катушки связи с входмым контурмо, включений последовательно с катушкой связи с гетеродином, подводится к базрязняктора Т, Для частоты входного сигнала катушка связи с контуром гетеродина, настроенным на другую частогу, представляет малое сопротивление, и сигнал практически без потерь в свю очередь для токов тетеродира матели, в свю очередь для токов тетеродира связи связи с входным контуром также представляет малое сопротивление и практически ме мешет малое сопротивление и практически ме мешет



его работе. Контур ПЧ, включенный черео катушку связы L, в цель колдектора транзистора, аля частот гетеродина также представляет относительно малое сопротивление. Однако возникаюшее на нем напряжение ПЧ модулирует напражение частоты гетеродина частотами, кратим ПЧ. Эти комбинационные частоты совместно с гармониками гетеродина частотами прицента и предератора и при приеме радиостанций тем в большей степени, чем хуже подобрам режим работы преобразователя. Для лучшей работы преобразователя связа его коллекторной целя преобразователя связа его коллекторной целя требтувой для получения предераторного предера

В радиолюбительских конструкциях приемников можно применять различные преобразователи частоты, различающиеся некоторыми особенностями, которые делают тот или иной вариант предпочтигельней в зависимости от предъявляе-

мых к приемнику требований. В приемниках, к которым предъявляются требования простоты налаживания, целесообразно применять каскодные схемы в УПЧ и преобразователе; в этом случае необходимое усиление может быть получено при использовании всего лишь двух каскадов. Это обстоятельство важно и тем, что при этом отсутствуют вредные связи через цепи питания, тогда как трехкаскадные усилители при недостаточной фильтрации по цепям питания склонны к самовозбуждению. Кроме того, применение каскодных схем позволяет уменьшить число отводов от контурных катушек, даже если применяются фильтры ПЧ с большим резонансным сопротивлением, вызванным применением в их контурах конденсаторов сравнительно небольшой емкости (470-270 пФ)

и, следовательно, малых габаритов. На рис. 26.8 приведена семва каскодного преобразователя частоты с совмещенным гетеродином. Здесь травнятор Т, используется преобразования частоты, причем для входяют сигнала он включен по сжеме ОЗ, а в гетеродине — по семе ОК. Транянстор Т, усилявает на проходной емосты которой можно включить в цель коллектора контур с высоким резонансивым споротивлением Колдексатор С, емостью 100 пФ представляет для ПЧ сопротивление сокол 3000 Ом и практически не шунтирует входную золо му практически не шунтирует входную за семе предоставляет для ПЧ сопротивление сокол 3000 Ом и практически не шунтирует входную за семе за с

цепь транзистора  $T_2$ , входное сопротивление которого 60-30 Ом, а на частотах, близких к  $f_{1p}$ , облегчает условия возникновения генерации в гетеролине

Такой преобразователь с нейгрализацией входпой емости для вкслючения связи между входным и гетеродинным контурами может быть цепользован и в дибавзове КВ вилоть до частот 15—20 МГц. Цепь. нейтрализации, применяемая въще подгоречного. Тоное замесные выполнять въще подгоречного. Тоное замесные соворажена пунктиром. Конденсатор С, дучше выполнять въще подгоречного. Тоное замесные от минимуму стоим при при стустения ВЧ миланеловате метра по минимуму реакции настройки входного контур на и састоту гетеродных в сомутра на контура на частоту гетеродных постоту в сомутра на контура на частоту гетеродных постоту в сомутра на частоту гетеродных по-

На рис. 2:69 приводена еще одна каскодная схема преобразователя, отличающаяся тем, что еконффициент усиления значительно изменяется при подволении наприжения APV к базе транметора  $T_2$ . При воднедении к его базе наприметора  $T_3$  при подводения к его базе наприметора  $T_3$  правистора  $T_4$  перераспределяется коллектора транянстора  $T_2$  перераспределяется коллектора транянстора  $T_3$  пратически режим транянстора  $T_4$  пратически не меняется, а усиление преобразователя уменьшается в 1000+2000 раз одать и по  $T_4$  пратически не меняется, а усиление преобразователя уменьшается в 1000+2000 раз тель соответствует преобразователю, скема кото-

В преобразователе частоты, схема которого приведена на рис. 2.70, для переменного тока входного сигнала транзистора Т, включен по схеме ОК, а транзистор  $T_2$  — по схеме ОБ. Этим достигаются сравнительно высокие входное и выходное сопротивления. Для переменного тока гетеродина оба транзистора включены по схеме ОБ. Для постоянного тока оба транзистора включены по схеме ОЭ и образуют дифференциальный усилитель. Максимальное усиление преобразователя получается при балансе дифференциального усилителя, т. е. тогда, когда токи коллекторов обоих транзисторов равны. При подведении к базе транзистора Т, положительного или к базе транзистора  $T_2$  отрицательного (по отношению к имеющемуся) напряжения коллекторный ток  $T_1$  возрастает, а  $T_2$  уменьшается. Одновременно уменьшается кругизна характеристики транзистора  $T_2$  и, следовательно, усиление

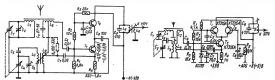
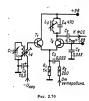


Рис. 2.68

Рис. 2.69



каскада ОБ. Коэффициент передачи каскада с транзистором, включенным по схеме ОК, почти не изменяется, т. к. крутизна его характеристики не может возрасти более чем в 2 раза, в то время как крутизна второго каскада падает неограниченно. Общий коэффициент усиления при регу-лировке может изменяться в 1000—2000 раз при изменении напряжения на базе транзистора  $T_1$ на 100-200 мВ. Это обстоятельство дает возможность применять такой преобразователь в качестве единственного регулируемого каскада в схеме приемника. Так как режим транзистора Т изменяется не более чем в 2 раза и в сторону увеличения его тока коллектора, то преобразователь при правильно выбранной амплитуде напряжения гетеродина обладает малым коэффициентом нелинейных искажений при значительных уровнях входного сигнала.

"Число дополинтельных каналов приема в силымой степени зависит от напряжения гетеродина, подводимого к эмиттерам траизисторов преобразователя. Это напряжение может быть подобрано изменением сопротивления резистора R<sub>1</sub>, Однако следует иметь в виду, что значительное уличение сопротивления A<sub>2</sub> может, имение сопротивления A<sub>3</sub> может, подражением сопротивления A<sub>3</sub> может, подстаумоще папряжение гетеродина на эмиттерах преобразователя (с точки эрения минимума дополнительных каналов приема) 20—30 может.

Преобразователь, выполненный по семе на рис. 271, не тербует подборо напряжения гетеродина. т. к. его режим устанавливается автоматически в результате последовательного питания с транзысторами гетеродина. Одновреченно достивенную родь в переносных приечниках с питанием от батарей. Однако при таком способе истания возможно изменение напряжения питания гетеродина при даботе АРУ, приводящее к уходу его настоты, сосбенно при работе на КВ. Поэтому напряжение на эмитель транзисточностью. Замим оподдерживателе с большом

Гетеродин на двух транзисторах почти не отличается от гетеродинной части микросхемы К2Ж А371. Основные отличия заключаются в способе питания транзистора Т<sub>8</sub> и наличии резистора R<sub>2</sub>. Этот резистор необходим только при появлении неселательной первывистой стекрации, которая может возникнуть при применении транзисторов с излишие большим значением [п., Сопротивление этого резистора определяется экспериментальным путем и лежит в предолах от нуля до нескольких соген Ом.

При использовании в качестве 7, и 75, креминевых транзисторов итив КТЗБ или транзистормой сборки КСНТ172 реальнам чувствительность 
приемикас с тамки преобразовлетсем частоти 
тельность можно за счет призсмения малошумаших транзисторов, например ГТЗ22. Естественмо, что в этом случае все транзисторы Втракта преминыя должимы быть одного типа 
транземенныя должимы быть одного типа 
примемять транзисторы ГТЗ90, ТТЗ90, ТТ

В приемниках высокого класса целесообразно применять преобразователи частоты на полевых транзисторах. Основное достоинство полевых транзисторов при работе в частотно-преобразовательных каскадах приемников - близкая к квадратичной зависимость тока стока от напряжения на затворе, при которой отсутствуют нежелательные продукты преобразования. В преобразователе на рис. 2.72 можно применять транзисторы КПЗОЗ и транзисторы с изолированным затвором (МОП-транзисторы КПЗО5). Для получения хороших результатов по основному для приемников высокого класса параметру — лицейности преобразования - затвор транзистора необходимо подключать к части входного контура, несмотря на то, что входное сопротивление транзистора позволяет осуществить полное включение. Коэффициент включения в контур может быть в 2-3 раза больше, чем при использовании биполярного транзистора, для улучшения отношения сигнал/шум.

В более простых приемниках можно применять преобразователи частоты на полевых транзисторах, выполненные по совмещенным схемам. На рис. 2.73 представлена схема преобразователя

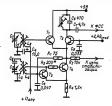
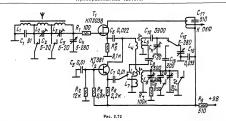


Рис. 2.71

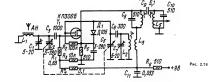


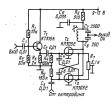
на транисторе с переходом и канадом типа ил на МОП-прависторе с одини затвором. Затор размистора подсесанием к водному контранистора подсесанием к водному контранистора подсесанием к водному контранистора подсесанием к водному контранистора подкорен к контранистора подкорен к вкушка связи к октуром гетеродами а д., Исто к транзистора подключек частк катуших связи. Из-заменьшей, кем убилозярым х транзместора к обфинисты выключения ценей стока и негока додфинисты выключения ценей стока и негока дод-

ны быть соответственно больше коэффициентов включения коллектора и эмиттера.

На полевом транзисторе с двумя затворами может быть выполнен преобразователь с совмещенным гетеродином (рис. 2.74). В этом преобразователе входной контур включен в цепь первого затвора, а гетеродинный - подключен ко второму затвору. Катушка обратной связи включена в цепь стока, но она может быть включена и в цепь истока, как в предыдущем случае. Такое построение преобразователя частоты существенно упрощает коммутацию контуров. Недостаток преобразователя, выполненного по этой схеме, -- связь между входными и гетеродинными контурами. увеличивающаяся с ростом частоты из-за емкости между затворами. В зависимости от типа примененного транзистора может отсутствовать резистор  $R_4$  или замкнут резистор  $R_5$ . Диод  $\mathcal{A}_1$ служит для получения напряжения автоматического смещения.

Применение балансного преобразователя на друх полевьх транізметорях (рис. 2.75) позволяет в значительной степени развязать входной и тетеродинный контуры, чему дополнительно способствует эмиттерный повторитель между входным контуром и входом преобразователя. Дополнительным достоинством преобразователя вхажется подавление в результате баланса на-





Pec. 2.75

пряжения на выходе колебаний, проникающих из-за прямого прохождения со входа, что позволяет обойтись без режекторного фильтра ПЧ на входе преобразователя и в то же время подавить помем, на частотах, близких к ПЧ.

По этой же схеме можно выполнить преобразователь на биполярных транзисторах.

# Расчет сопряжения контуров супергетеродинных приемников

После определения параметров элементов входного контура прнемника, настранваемого переменным конденсатором или варикапом, рассчитывают

сопряжение контуров в следующем порядке. 
1. Вычисляют отношение  $\int_{\Pi q} f \int_{r_0}^{r_0} r e^{-\int_{\Omega} q} - \int_{0}^{r_0} \int_{0}^{r_0} r = \int_{0}^{r_0} r$ 

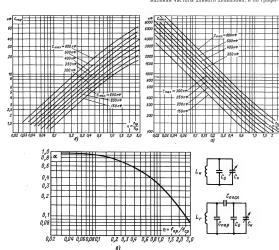


Рис. 2.76

ку на рис. 2.76, a определяют емкость последовательного конденсатора  $C_{\mathrm{noca}}$  контура гетеродина.

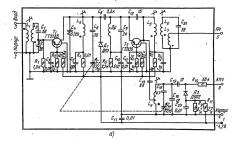
родина. 2. По графику на рис. 2.76,  $\delta$  находят емкость параллельного сопрягающего дополнительного конденсатора  $C_{\text{пар}}$  в контуре гетеродина.

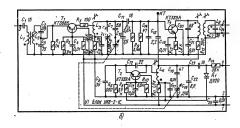
конденсатора С<sub>пар</sub> в контуре гетеродина. 3. По графику на рис. 2.76, в определяют коэффициент  $\alpha$ , выражающий отношение индуктивности катушки контура гетероднна к индуктивности катушки входного контура, и вычисляют индуктивность катушки контура гетеродина.

Конструктивный расчет катушек контура гетеродина можно выполнить, пользуясь формулами и графиками из \$ 1.1.

## 2.7. БЛОКИ УКВ

В относительно простых всеволновых приемниках широкое распространение получил блок УКВ, выполненный по схеме на рис. 2.77, а. В нем оба транзистора УРЧ и совмещенного преобразователя частоты включены по схеме ОБ. Входи контур имеет полосу пропускания около 8 МГц. Это достигается сильной связью цепи эмиттера транзистора  $T_1$  с входным контуром с помощью емкостного делителя напряжения  $\Gamma_1 \subseteq \Sigma$ . Контур в коллекторной цепи УРЧ  $L_2 C_4 C_5 C_7$ , переводителя становать и при урч  $L_3 C_4 C_5 C_7$ , пере-





страиваемый секцией сдвоенного блока КПЕ  $C_7 - C_{17}$ , слабо связан с эмиттерной цепью преобразователя частоты на транзисторе  $T_2$ . Во избежание изменения его режима при большом уровне входного сигнала параллельно контуру включен диод Д1, ограничивающий уровень сигнала, подводимый к преобразователю. Величина обратной связи в гетеродине задается емкостным делителем  $C_9$ ,  $C_{13}$ ;  $\mathcal{A}p$  с конденсатором  $C_{10}$  образует последовательный резонансный контур, настроенный на ПЧ. В коллекторную цепь преобразователя частоты включена контурная катушка  $L_5$ , играющая для частоты гетеродина роль дросселя, а с разделительным конденсатором С14 она настроена на ПЧ. В свою очередь малая инлуктивность части контурной катушки  $L_4$  не влияет на настройку контура  $\Pi$ Ч.

С коллекторным контуром  $\Pi^Q$  связан выходной контур  $\Pi^Q$   $L_bC_{21}$  с катушкой связи  $L_{7}$ . Диод  $A_2$  служит для целей  $A\Pi^Q$ . Делитель  $R_bR_{11}$  обеспечивает необходимое смещение, предотвращающее детектирование этим диодом напряжения гетеродины.

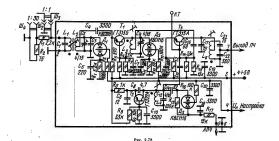
Для использования блока УКВ по приведенной скеме в привеннямах с зактеронной настроенной необходимо блок КПЕ заменить варикапами необходимо блок КПЕ заменить варикапами на варикапами матрицами с емоставь, близкой останить для целей АПЧ или, переложив его сучанить для целей АПЧ или, переложив то устанить для целей АПЧ или, переложив контура гетеродина, исключить его из блока. Для споряжения контуров и укладии границы для постанить прави укладии границы прави укладии правичением страницы с править прави укладии границы с прави с править прави укладии границы с править править

При наличии в распоряжении раднолюбителя современных кремниевых транзисторов блок УКВ можно выполнить по ¢хеме на рис. 2.77, 6, которая почти не отличается от описанной, за исключением применения отдельного гетеродина и включения смесителя в схему ОЭ.

В более сложных радиолюбительских приемниках целесообразно использовать унифицированный блок УКВ, применяемый в промышленных приемниках «Рига-104» и «Ленинград-002». Схема блока приведена на рис. 2.78. Входная цепь представляет собой полосовой фильтр с сильной связью между контурами, из которых  $L_1C_1$  настроен на середину диапазона УКВ, а  $L_2C_2C_3\mathcal{I}_1$  перестранвается в результате изменения емкости варикапной матрицы. Транзистор Т, УРЧ включен по схеме ОБ. В его коллекторную цепь включен перестраиваемый контур  $L_3C_9C_{11}\mathcal{A}_2$ , с части которого сигнал подводится к базе смесителя частот на транзисторе  $T_3$  по схеме ОЭ. В его коллекторную цепь частично включен контур ПЧ  $L_5C_{21}C_{22}$ , настроенный на частоту 10,7 МГц. Делитель  $C_{21}C_{22}$  служит для согласования с контуром ПЧ входного сопротивления базовой цепи УПЧ. Конденсатор  $C_{17}$ уменьшает для частот сигнала и гетеродина сопротивление в коллекторной цепи транзистора смесителя, делая его работу более устойчивой.

Гетеродия выполнен по схеме ОБ на транзистор г, с емкостным делительм нарижения в цени обратной связи  $G_{\phi}$ .  $G_{\phi}$ . Саязы тетеродина со  $G_{\phi}$ . Сравнительно высоков добротность нарикапных матриц и довольно высокое наприжения сладу станому камалу и на частотах, равных ПЧ, до ебному камалу и на частотах, равных ПЧ, до ебному камалу и на частотах, равных ПЧ, до ебдения станов станов станов станов довода частотного детектора на вариканную матрицу контура гетеродиям  $\tilde{J}_{\phi}$ .

Блок УКВ питается от стабилизированного напряжения 4—5 В. Данные контурных катушек:  $L_1$  — 9,25 витка ТІЭВ-1, 0,23, виток к витку на



Блоки УКВ

одном каркасе с  $L_1$ :  $L_2$  — 4.25 витка с отводом от 0,75 витка, считая снику во схеме, медного луженого или голого медного провода  $\mathcal{O}(5.8\,\mathrm{ms})$  каркас  $L_2$  обранического стекла с канвякой для навости  $L_2$   $\mathcal{O}(5.8\,\mathrm{ms})$  и длиций 22 мм, шат 1384 ...  $L_3$  — 4.25 витка с отводом от 2.5 витка;  $L_4$  =  $L_4$   $L_4$ :  $L_5$  — 4.25 витка с отводом от 2.5 витка;  $L_5$  = 4.25  $L_5$   $L_5$  = 15.75 витка с отводом от 2.6 витка;  $L_5$  =  $L_5$   $L_5$  L

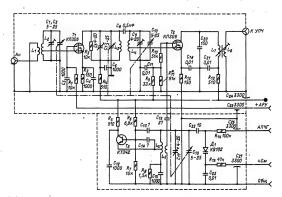
На рис. 2.79 изображена схема блока УКВ для высококачественного приемника. Усилитель радночастоты выполнен на двухзатворном полевом транзисторе  $T_1$ , охваченном по второму затвору АРУ, Между УРЧ и преобразователем включен полосовой фильтр, повышающий селективность по зеркальному каналу приема и уменьшающий перекрестные помехи. В целях уменьшения перекрестных помех контуры УРЧ настранваются КПЕ, а не варикапами. Для уменьшения влияния антенной цепи и напряжения сигнала (при больших его уровнях) на стабильность частоты гетеродина преобразователь выполнен также на двухзатворном транзисторе и не охвачен АРУ. Гетеродин выполнен на биполярном транзисторе той же структуры, что и полевые; с индуктивной связью со стороны эмиттера и емкостной со стороны базы. Напряжение гетеродина на второй затвор преобразователя подается с катушки связи, намотанной на одном каркасе с катушкой гетеродина. Катушки контуров УРЧ бескаркасные.

67

Автопоастройки мастоты гетеродини осущества ляется с помощью варикала  $T_i$ . Сетегеренный блок КПЕ изготовляют из деталей дву КПЕ от триемнике Арга-302- Вее катушки РЧ с внутренням диаметром намогим гаммотим памогами промомо O1 им и межот дви таммотим говитами промомо O1 им и межот дви таммотим говитами говитам

Контур ПЧ намотан на полистироловом каркасе  $\varnothing$ 6 мм с подстроечным сердечником из феррита М100HH-2CC-2  $\varnothing$ 2,86 мм; число витков катушки  $L_r = 9$  провода ПЭВ-2  $\varnothing$ 0,2 мм;  $L_8 = 2$  витка того же провода. Напряжение питания блока УКВ должно быть стабилизировано.

После достижения момента возникновения генерации гетеродина путем подбора места отвода от катушки  $L_5$  и изменения емкости конденсатора  $C_{13}$  подгоняют границы днапазона принимаемых



частот перемещением витков катушки  $L_1$  и вращением подстроечного кольестатора  $G_1$ . Затем перемещением витков катушек  $L_1$ ,  $L_2$ ,  $L_2$ ,  $L_3$  подстроечными, кольенеаторами  $G_2$ ,  $G_3$ ,  $H_3$ ,  $G_4$ ,  $G_4$ ,  $G_5$ ,  $G_5$ ,  $G_5$ ,  $G_5$ ,  $G_7$ ,  $G_8$ 

УКВ, т. к. при большом числе каскадов и высокой ПЧ (10,7 МГц) возможно самовозбужаение УПЧ. Напряжение АРУ может быть получено как в § 2.9 или путем детектирования сигнала после второто-третьето каскадов ПЧ; в последнем случае постоянная времени фильтра цепи АРУ должна быть 0,05—01, с.

При неправильной работе системы АПЧ необходимо в детекторе изменить полярность выходного напряжения АПЧ изменением подсоединения концов катушки снязи с первым контуром фазосдвитающего трансформатора ПЧ.

## 2.8. КОНВЕРТОРЫ ДЛЯ ПРИЕМА КОРОТКИХ ВОЛН

Конвертор для преобразования частот дивпазовна КВ в дявлаю СВ (или ДВ) обычно внавовнечеся в виде приставки к прыеминку, не имеюцему дивпазова КВ, Иногал можно приментыплатор в пременты в праводу в праводу в разователь, работающий только в дивпазове КВ, как, например, блок УКВ, который включается только при работа приеминка на диапазоне УКВ. Наиболее часть конверстры приеминизми для дработы с автомоблывами приеминизми для добты с автомоблывами приеминизми или приеминизми прементами нах приеминизм воиверторы хорошо сопрагаюте с изим без канку-диб передоле в приеминие, с ясемы конверторы корош сопрагаюте с изим без канку-диб передоле приемини,

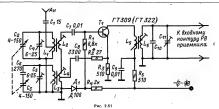
На рис. 2.80 привелена схема КВ приставки, въпускаемой серийно, для работы с автомобильными приемниками А-271. Для некоторого упрощения в ней показана коммутация катушек только для двух диапазонов (49 и 25 м); коммутация катушек любого другого раствиутого диапазона КВ не отличается от приведенной.

В базовой цепи транзистора  $T_1$  включен один из входных контуров, частоты настройки и полосы пропускания которых соответствуют средним частотам и ширине полосы растянутых КВ диапазо-

Рис. 2.80

выделенных для радиовещания (см. табл. 2.4). В данном примере  $f_{\rm cp.ax}=6.1$  и 11,8 МГц при полосе пропускания около 400 кГц. Частоты настройки контуров гетеролина отличаются от средней частоты настройки соответствующих входных контуров на 1 МГц (для данного примера  $f_c = 7.1$  и 12,8 МГц соответственно). В результате на резисторе нагрузки (независимо от того, на каком из поддиапазонов ведется прием) будут выделяться напряжения разностных частот  $f_p = f_r - (f_{cp.s.} \pm \Delta f)$ . Таким образом, частоты растянутых KB диапазонов будут понижены до частот среднего участка днапазона СВ; при этом настройка на требуемую радиостанцию КВ осуществляется при помощи ручки настройки автомобильного приемника, включенного на диапазон СВ. Благодаря хорошей экранировке автомобильного приемника, экранирующему действию корпуса автомобиля и резонансным свойствам входного контура конвертора прием радиостанций в диапазоне СВ при работе с конвертором практически невозможен. Переключение на диапазон СВ осуществляется нажатием кнопки  $B_{ta}$ . При этом антенна отключается от входа конвертора и подключается к приемнику: одновременно выключается питание конвертора. Для сохранения правильности настройки входного контура приемника при присоединении приставки в конвертор введены конденсаторы  $C_*$  и  $C_{12}$ компенсирующие удлинение кабеля антенны при работе на днапазоне СВ и укорочение кабеля от приставки к приемнику при работе на КВ. Для повышения стабильности частоты гетеродин выполнен с емкостной обратной связью, а питание стабилизировано с помощью стабилитрона Д.,

Применение КВ приставки по такой схеме с приемником, рассчитанным для работы с ферритовой антенной в диапазоне СВ, невозможно, т. к. в-вечерние часы наряду с радиостанциям диапазона КВ будут приниматься радиостанция диапазона КВ, ето приведет к вазвиным помехам. Поэтому для нормальной работы конвертора с приемном, несобисамом для перемильчать транстиру, негобисамом для перемильчать транстиру, негобисамом для перемильчать предотраваний предотраваний перемильчать предотраваний катушку в отдельном кране, предотраванию на выедение э.д. с от мощных контуру ферритовой антенны дополнительные заженетых. Перестранавление то в диапазон его в диапазон стоя станстиру ферритовой антенны дополнительные заженетых перестранавление от в диапазон станстиру.



зерхальных по отношению к СВ частот (1.45— 2,55 МГц), в котором нет мошных РВ стания. Первый путь обычно применяется при выполнении конвертора в выде составной части премяниках с т. е. в приеминках с двойным преобразованием частоты. Второй путь примении для выполнении конвертора кок в выде приставки к приеминку с ферритовой антенной, так и в выде встременном первого преобразоваталя в приеминке с двойным преобразоваталя в приеминке с двойным

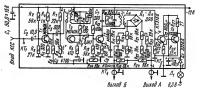
На рис. 281 приведена схема конвертора, отлимощегося от предаждието гож, что вместь копочного переключателя для настройки входного
петеродиниюто контуров применяется малогабарятный КПЕ, а на выходе включены элементы
контура приемника в данатами верходного
контура приемника в денатами в приемника
котолому подамочни пастройки РВ приемника
котолому подамочни пастройки РВ приемника
котолому подамочни пастройки РВ приемника

При выбранном среднем значении первой промежуточной частоты (2,3 МГц) настройки контуров  $L_1C_2C_4$  и  $L_3C_5C_6C_3$  достаточно удалены друг от друга, поэтому появляется возможность совместить функции преобразователя частоты и гетеродина в одном транзисторе. Стабильность частоты гетеродина при изменении напряжения источника питания поддерживается за счет стабилизации напряжения базового смещения транзистора Т., При настройке конвертора совместно с прнемником его выход подсоединяется непосредственно к катушке входного контура диапазона СВ (для подключения конвертора необходимо в приемнике заранее сделать вывод этой точки и общего провода на гнезда для подключения), после чего проводят сопряжение настроек этого контура с контуром гетеродина приемника в днапазоне частот 1450-2530 кГц изменением индуктивности катушки  $L_6$  и емкости конденсатора  $C_{11}$  в начале и конце днапазона. Затем приемник настранвают на частоту 1,2-1,3 МГц (по шкале), что соответствует среднему значению первой ПЧ, и проводят сопряжение настроек контуров конвертора после подгонки граничных частот его гетеродина объячым способом.

Транзистор T<sub>1</sub> типа ГТ322. Катушки входного и гетеродинного контуров наматывают проводом ПЭЛШО 0,25 на гладких ферритовых сердечниках М100HH-2CC Ø2,86 мм и длиной 12 мм. Для диапазона 25-75 м катушка  $L_1$  содержит 20 витков с отводом от 10-го витка  $L_2$  — 4 витка,  $L_3 - 16$  витков,  $L_4 - 1.5 + 3$  витка. Сначала на сердечник наматывают катушку  $L_1$ . Затем из нее удаляют сердечник и пропитывают раствором полистирола в дихлорэтане. После просушки на нее наматывают витки катушки  $L_2$  (у того конца, который будет соединен с общим проводом). Катушки  $L_3$  и  $L_4$  изготовляют аналогично. После изготовления катушки приклеивают к монтажной плате клеем БФ-4. Сердечники вставляют в катушки после полной просушки. Катушку  $L_1$ следует располагать на плате перпендикулярно катушке L. Катушку для сопряжения и связи с приемником L6 наматывают на ферритовом броневом сердечнике типа Ч5 из феррита 600НН с подстроечным сердечником М600НН-2СС. Для приемника с индуктивностью входного контура 310 мкГн катушка  $L_6$  имеет  $3 \times 12$  витков, катушка связи  $L_5 - 10$  витков. При других значениях индуктивности входного контура СВ индуктивность катушки L<sub>R</sub> следует выбирать примерно равной 11% индуктивности входного контура, а емкость конденсатора С10 - примерно равной 3% максимальной емкости КПЕ РВ приемника. Такие значения элементов позволят выполнять сопряжение с помощью подстроечного сердечника  $L_6$  и конденсатора  $C_{11}$ . Сопротивление резистора  $R_4$  подбирают от 1 до 7,5 кОм в зависимости от напряжения питания конвертора.

# 2.9. СТЕРЕОДЕКОДЕРЫ

Стереофонические передачи в СССР ведутся по системе с полярной модуляцией. Полярная, т. е. двусторонняя, модуляция осуществляется на вспомогательной (поднесущей) ультразвуковой частоте 31,25 кГц. Сигнал поднесущей частоты модулируется так, что его положительные полуволны несет в своей огибающей информацию канала A (девого), а отрицательные—



Puc. 2.82

канала Б (правого). Предварительно обработанный для совместимости с монофоническими приемниками комплексный стереофонический сигнал (КСС) имеет следующие параметры: частичное подавление поднесущей частоты 14 дБ (5 раз) при добротности режекторного фильтра 100; постоянная времени цепей предыскажений 50 мкс; полоса частот 30 Гц — 46,250 кГц. Ширина полосы частот на выходе передатчика 150—160 кГц. В соответствии с указанными параметрами полоса частот тракта УПЧ стереофонического приемника должна быть не менее 150-160 кГц, а стереодекодер должен подключаться к выходу детектора ЧД до цепи коррекции предыскажений. Так как получение добротности цепи восстановления поднесущей частоты (ВПЧ), равной 100, сопряжено с определенными технологическими трудностями, то в стереодекодерах применяют различные косвенные способы: использование положительных И отрицательных обратных связей.

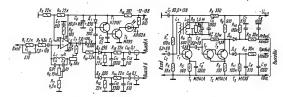
На рис. 2.82 представлена схема стереодекодера с использованием комбинированной обратной связи (КОС) в цепях восстановления поднесущей частоты и с суммарно-разностным методом получения разделенных стереоканалов звуковой частоты. Транзистор  $T_1$  усиливает КСС и подводит его ко входу каскада восстановления поднесущей частоты (ВПЧ) на транзисторе  $T_2$ . Низкочастотный суммарный сигнал  $U_A + U_B$  через ФНЧ, играющий одновременно роль цепи коррекции предыскажений ( $R_6C_5$ ), с выхода транзистора Т, подводится к суммирующему устройству, выполненному на резисторах  $R_{14}$ ,  $R_{18}$ ,  $R_{24}$ . Восстановленный с помощью каскада ВПЧ на транзисторе  $T_0$  полярно-модулированный сигнал отфильтровывается от НЧ составляющих каскадом на транзисторе (в результате малой емкости разделительного конденсатора и полосового фильтра  $L_3C_9$ ) и подводится к мостовому детектору АМ на диодах  $\mathcal{A}_1 = \mathcal{A}_4$ . С выходов детектора сигналы  $U_A = U_B$  и  $U_B = U_A$ подводятся к суммирующему устройству, где совместно с сигналом  $U_4 + U_9$  разделяются на левый (точка 4) и правый (точка 9) стереокаиалы

Положительная обратная связь через катушку  $L_1$  в каскаде ВПЧ обеспечивает получение

необходимой добротности контура  $L_1C_4$ . Отрицательная обратная связь через резистор  $R_9$  в цепи эмиттера транзистора Т стабилизирует действие ОС и уменьшает искажения усиливаемого сигнала. Стереосигнал индицируется путем детектирования напряжения поднесущей частоты транзистором Т4, постоянная составляющая сигнала усиливается транзистором  $T_5$  и зажигает лампу накаливания  $\mathcal{J}_1$ , через которую осуществляется питание коллекторных цепей обоих транзисторов индикатора. Диод  $\mathcal{I}_{b}$  выпрямляет переменное напряжение питания в случае, если декодер встроен в сетевой приемник. Конденсаторы  $C_{10}$ и  $C_{13}$  позволяют сгладить пульсации. Катушку контура ВПЧ L2 наматывают на каркасе Ø 5 мм проводом ПЭВ-1 0,12, она содержит 128×3+127 витков с отводом от 127. Катушка обратной связи  $L_1$  содержит  $68 \times 4$  витков ПЭВ-1 0,1. Лампа Л должна быть рассчитана на ток не более 70 мА. Уровень входного сигнала должен составлять 0,1—1 В. Қатушка фильтра  $L_3$  содержит 273 $\times$ 3 витков ПЭВ-1 0,09, катушка L<sub>4</sub> — 450×3 витков ПЭВ-1 0.09.

На рис. 2.83 приведена сжма стереодекодеро сиспользованием для росстановления поднеже и обстановления поднежения для постановления поднежения в цента госу, предолжения В. Поляжовым. Добротность катушки контура, выпоченного в истоторую центь катушки контура, выпоченного в конторую цента и обстановления для поднежения с магушки контура диапазона ДВ, СВ или ПЧ пормышленного приемника с построемником М6000Н+СС2.8×10.

Комплексный стереофонический сигнал с выхода ЧД подводится к инвертирующему входу операционного усилителя  $M_{\rm C}$  через ценому к (, C<sub>1</sub>, компекенрующую солабение высковку частот стереосигнала ЧД. Напряжение ООС поступает узд. же через режигора  $R_{\rm R}$  в и цепь  $L_{\rm L}$ ,  $C_{\rm L}$ ,  $C_{\rm S}$ ,  $R_{\rm R}$ ,  $R_{\rm C}$  Подстроенным резистором водиступей астото общее усиление, а  $R_{\rm R}$  — уровень подмесущей астото общее усиление, а  $R_{\rm R}$  — уровень току, что гарантирует стабльность режимы. Корректирующия цепь  $R_{\rm S}$ ,  $C_{\rm S}$  предотвращиет самовозбуждение операционного усилителя, а делитель  $R_{\rm S}$ ,  $R_{\rm S}$ , устанавливает режим в стработь подвро-модированный сигнал с восстановлен-



PHC. 2.84

ной подвесущей синмается с выхода усылителя и детектируем и детектируем и детектируем, выполненным на диодах  $R_{\rm J}$ ,  $R_{\rm J}$ ,

. Пля переносных приемников с питанием от батарей с напряжением 9 В стероджекоре целесообразно выполнять по скеме на рис. 2.84. Эта скема, некомогра на простоту, позволяет получить достаточно высокие характеристики: коэффициент тармоние кокол 0 % и переходное затухание между каналами около 30 д.Б. Комплексив'й стереофонический сигнал подводится с выход 4 И, непосредТранзисторы  $T_1$  и  $T_2$  необходимо выбрать скофонциентом передачи том  $h_{21}$  > 50. Катушка  $L_1$  содержит 90 витков провод 113-82 0,14, ка  $L_1$  содержит 90 витков провод с отводом 114-04 витков провод 114-04 витков провод 114-04 витков 114-04 витк

# 2. 10. АВТО,МАТИЧЕСКИЕ РЕГУЛИРОВКИ И ВСПОМОГАТЕЛЬНЫЕ УСТРОЙСТВА В РВ ПРИЕМНИКАХ

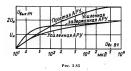
#### Общие свеления

Назвачением автоматических регулировом является автоматичация различных органов управления приемником: поддержание громкости на подреджению установлениюм установлениюм установлениюм установлениюм установлениюм установлениюм установлениюм установлениюм обеспечавание точной обеспечавание точной обеспечавание, обеспечаван

К вспомогательным устройствам, непосредственно не содержащим элементов автоматики, относятся различные индикаторы; включения, настройки, напряжения источника питания и т. п.

# Автоматическая регулировка усиления

Автоматическая регулировка усиления примемется практически во всех приемниках. Ее основное назвлачение — не допустить перегрузки усилительных каскадов приемника при увеличении тельным при приеме местных радиостанций, и выравлять громокость приема дальних и местных радиостанций. Задачи, стоящие перес системой АРУ, достаточное сложим ыз-за большого диапазона изженения уровия напряжениести электрозагінитного поля в месте приема: от 100 магінитного поля в месте приема: от 100 радиостанций, до 1 Б/м и более для бызко росположенной местной радиостанции. При измерениествичной местной радиостанции. При изме-

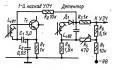


нении сигналов в таких пределах напряжение на выходе приемника в идеальном случае не должно изменяться, а реально не должно измениться более, чем это предусмотрено ГОСТ для различных классов приемников. В зависмости от способа регулирования воз-

можны различные зависимости выходиюто напражения от напряжения вы воде приемпа. Такие зависимости для различных систем АРУ приведени в рис. 28.5 Простая АРУ уменьше детекторного тракта пропорционально сигналу. Услагняя РУ Руменняя АРУ делает то же самое в болсе значительной степени. Задержанная АРУ начинает действовать с некоторого порогового уровия вкодного сигнала. Для изменения услагения каскадов РЧ тракта Для изменения услагения каскадов РЧ тракта

приемника в простейших случаях непользуют зависимость крутным характеристим астигентов от капражения смещения их рабочик эточек по характеристим астигентов от капражения смещения их рабочих уровиях усиливаемых сигналов такой способ используют об такой случаем об такой случаем об такой случаем об такой случаем об такой случаемых расписать об такой случаемых высокого качества приема в этих случаях в приеминих высокого качества приема в этих случаях в приеминих высокого качества применяют управляемых расписам об такой случаемых ра

В качестве регулирующего напряжения обмчию используют (непосредственно лил чераз дополнительный усилитель) постоянную составляющую сигнала, продетектированного амплитуламы детектором, предоршимальную уровню его несущей частоты; она освобождается от переменной составляющей частот модуляции с помощью ФНЧ с постоянной временя (О,50—0,1 с.



Pac. 2:86

Биполярные транзисторы без искажений усиливают сигналы не более 20 мВ, поэтому требования к цепи АРУ в транзисторных приемниках сравнительно жестки. Применение простых цепей АРУ возможно только в приемниках невысокого класса, тем более что в них, как правило. применяются преобразователи частоты по совмещенной схеме, подведение напряжения АРУ к которым исключается из-за нарушения режима работы гетеродина. В таких приемниках регулировкой обычно охватывается только первый каскад УПЧ. Для исключения смещения рабочей точки детектора на участок характеристики, где возможно появление искажений сигнала при летектировании, в цепи по схеме на рис. 2.86 резистор фильтра АРУ включен в диагональ моста, который уравновешивается регулировкой сопротивления резистора R5 так, чтобы в отсутствие сигнала ток через диод Д. был близок к нулю. Критерием правильной установки сопротивления этого резистора являются минимальные искажения принимаемых сигналов и наибольшая чувствительность к приему слабых сигналов. Для исключения влияния регулируемых каскадов на детектор и возможности введения задержки применяют отдельный детектор АРУ (на диоде  $\mathcal{A}_{2}$ , рис. 2.87). Уровень задержки может быть установлен с помощью резистора R<sub>2</sub>, определяющего напряжение смещения на диоде. Можно также вместо германиевого диода в детекторе АРУ применить кремниевый диод, который начинает детектировать при большем напряжении ВЧ сигнала.

При значительном усилений преобразователя частоты в приемнике при применении АРУ по схемам на рис. 2.86 и 2.87 возможно ограничение сигнала в коллекторной цепи преобразователя, как это показано на рис. 2.88. Для устранения этого явления применяют шунтирование высокоомной нагрузки преобразователя зависимыми от напряжения или тока элементами (диодами, транзисторами и т. п.). Эти элементы включают в цепь усилителя постоянного тока, за счет которого усиливается действие АРУ. усиленные или комбинированные цепи АРУ широко применяют в современных приемниках. Шунтирование нагрузки преобразователя приводит к уменьшению его усиления и не допускает появления ограничения сигнала.

На рис. 2.89 показана схема АРУ с использованием рассматриваемого способа. Выпрямленное

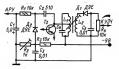
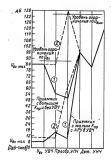


Рис. 2.87



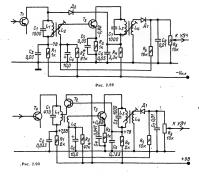
PHC. 2.88

детектором на диоде  $\mathcal{I}_1$  напряжение несущей частоты через резистор  $R_2$  вводится в цень базы транзистора УПЧ. Конденскатор  $C_4$  отфильтровывает напряжение ЗЧ. Уменьшение коллекториого тока транзистора  $T_2$  синжает крутизну его характеристики, и, следовательно, усиление

каскала уменьшается. Олновременно вследствие уменьшения тока коллектора транзистора  $T_2$ уменьшается напряжение на резисторе  $R_4$ , диод  $\mathcal{A}_2$  открывается, шунтирует контур, включенный в коллекторную цепь транзистора  $T_1$ , и уменьшает усиление преобразователя частоты, в котором он работает. Сопротивление диода изменяется от 300-500 кОм в закрытом состоянии, до 0,5-1,5 кОм - в открытом. Одновременное уменьшение кругизны характеристики транзистора  $T_2$  и резонансного сопротивления контура  $L_1C_1$  приводит к достаточно глубокой APУ. Соответствующим подбором сопротивлений резисторов R1 и R4 можно получить работу АРУ с задержкой, открывая диод Д, при меньших или больших уровнях сигнала.

пыл отоговых уровежа, сигнадам. Того протак как шунтирование контура L.С. сопротивлением диода Д, всеколько расширяет полосу протускания тракта ПЧ при сдъямых сигнадам, основа регульных от при станым сигнадам, основа регульных от премениям с пороск участи, протускаемых, премениям с. Снижение селективности в данном случае допустимо, т. к. оно происходит только при принем мощимых расмастанций, напряженность поля которых превышает уровень помек. Кроме того, при работе АРУ расширяется полоса пропускания только одного контура.

Более глубокое изменение шунгирующего сопрогивления можно подучить, используя выхваное сопротивление эмиттерного повторителя на крежинеюм транысторе, которое изменяется от нескольких сот килоом у закрытого транзистора до 30—10 Ом при тоже 1—3 мА. На рис 2.90 изображена схема цепи АРУ с использованием этого спохобо. При малом сигнале транзистор



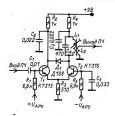


Рис. 2.91

Т<sub>1</sub> открыт, а Т<sub>2</sub> закрыт. С ростом сигнала за счет напряжения от детектора уменьшаго за счет напряжения от детектора уменьшаго ко коллектора транзистора Т<sub>2</sub>, крутизна его торе R<sub>4</sub>, что является причиной открывания транзистора Т<sub>2</sub>. При этом уменьшается динатическое сопротивление со стороны эмитера и контур L<sub>1</sub>C, шунгрурств пропорымовлано уровно принимаемого сигнала. Глубина регулировки в этой цени достигает 70 д.Б.

Хорошими регулировочными характеристиками обладает цель APV по схеме ОК—ОБ (рис. 29.1). Для постоянного тока транзисторы включены по схеме ОЗ и образуют дифференциальный усилитель и прежения образовать по пределяются должно пределяются должно пределяются должно пределяются должно должно пределяются должно усилительного должного должно усилительного должного должно усилительного должного должного

Другой разновидностью цепи APУ, использующей принцип разветвления токов в дифференциальном усилителе, является цепь по схеме на рис. 2-92. В этой цепи траизистор  $T_1$  является

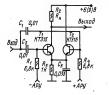


Рис. 2.92

усилителем сигналов ПЧ или преобразователем частоты и включен по схеме ОЭ. Транзистор  $T_2$  служит только для целей АРУ, выполняя роль эмиттерного повторителя — усилителя мощности, регулирующего усиление сигнала, если данная цель применяется в УПЧ. При работе транзистора  $T_1$  в качестве преобразователя частоты (в том числе с совмещенным гетеродином) транзистор Т2 для цепей входного сигнала и гетеродина по переменному току включается параллельно транзистору  $T_1$ . Это обеспечивает постоянство параметров системы из двух транзисторов при перераспределении их токов. Нагрузка включается только в выходную цепь транзистора Т1. При применении такой схемы в УПЧ в коллекторную цепь транзистора  $T_2$  можно включить светоднод, яркость свечения которого будет пропорциональна входному сигналу

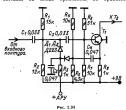
В простых приемниках без УРЧ, охваченного APV, применение APV в преобразователе частоты найболее рационально, т. к. предотвращает перегрузку смесителя частот при большом резональсям сопротивлении контуров ФПЧ в коллекторной цепи (см. рис. 2.88).

В приемикках с дифференциальным усилителем регулирующее напряжение можно подводить как к базе транзистора Т<sub>1</sub>, так и к базе транзистора Т<sub>2</sub>, соблюдая при этом полярность указанную на ркс. 2.91. Это напряжение должно превышать (уменьшать) напряжение на базе транзистора на 25—50 мВ (без учета потерь в резисторах фильтора АРУ).

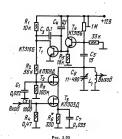
Все перечисленные цепи АРУ, построенные на регулировании режимов транзисторов по постоянному току, целесообразно применять в приеминках с параметрами, соответствующими II—IV классам ГОСТ с внутренней магнитной антемной. В таких приемниках напряжение на вкоде первого транзистора обизию не превышает 20—25 мВ, что позволяет получать неибкаженный прием.

В стационарных транзисторных приемниках более высокого класса, предназначенных для работы с внешней антенной, напряжение на базе первого транзистора может быть выше 25 мВ, поэтому АРУ целесообразно выполнять с параметрическим делителем напряжения на входе, как это сделано . в приемнике радиолы высшего класса «Виктория-Стерео-001» (рис. 2.93). При максимальной чувствительности приемника диод  $\mathcal{I}_2$ , стоящий в цепи обратной связи по току, открыт, усиление каскада максимально. По достижении входным сигналом порогового уровня потенциал в точке соединения диодов становится положительным. в результате чего диод  $\mathcal{A}_{\circ}$  начинает увеличивать свое динамическое сопротивление, и ООС, возникающая из-за включения сопротивления диода последовательно с конденсатором блокировки эмиттера транзистора УВЧ, уменьшает усиление первого каскада. Одновременно начинает проводить диод  $\mathcal{I}_1$ , который при средних уровнях входного сигнала компенсирует возрастающее из-за ООС входное сопротивление транзистора УВЧ, а при дальнейшем увеличении сигнала начинает шунтировать входной контур, ухудшая его добротность и, следовательно, уменьшая коэффициент передачи напряжения.

Совместное действие указанных факторов позволяет получить глубину регулировки около 30 дБ и значительно повысить допустимый уровень сигнала на входе приемника по сравнению



 $C_{I} = \begin{pmatrix} T_{I} & T_{I} & T_{I} \\ T_{I} & T_{I} \\ T_{I} & T_{I} & T_{I} \\ T_{I} & T_{I} & T_{I} \\ T_$ 



с указанным ранее. Применение такой цепи регулировки в дополнение к регулировке в УПЧ

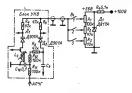
обеспечивает высокую эффективность АРУ. Применение в качестве делителей напряжения элементов с нелинейной зависимостью сопротивления от напряжения (диодов и транзисторов) не позволяет полностью избавиться от перекрестных искажений при наличии мощных помех. На рис. 2.94 приведена схема делителя с фоторезистором, сопротивление которого не зависит от значения прилагаемого напряжения. При максимальной чувствительности приемника лампа  $\mathcal{J}_1$  освещает фоторезистор  $R_1$  и падение напряжения на нем минимально. С ростом сигнала транзистор Т2 открывается и закрывает транзистор  $T_2$ , в коллекторную цень которого включена лампа  $\mathcal{J}_1$ . Освещенность фоторезистора падает, что приводит к повышению его сопротивления и уменьшению напряжения на входе транзистора Применение такой цепи АРУ целесообразно в стационарных приемниках с питанием от сети, в которых можно не считаться с мощностью, потребляемой лампой накаливания.

При изготовлении следует предусмогреть защиту фотореамстора от повадания постороннего света. Монтаж необходимо выполнять таким образом, чтобо проходная емость входной контур — вход траванстора была иминимальной. Максимальное наприжение на входе приенника при применении такой защиты может достигать деятильного при петремения в регодем во может при настройе приенника в регодем во может при настройе приенника в регодем в предоставлено подчеркнуго засеь потому, что следует иметь в над мезоможность защиты входного каскада приемника от перегрузки помехами, частоты которих близых и принимаемой частоте, но ие поладают в полосу пропускания ПЧ и ме созадот регулирующего капряжения.

Для предотвращения перегрузки первых каскадов приемника при большом уровне на входе применяются многокольцевые цепи АРУ. Простейшая из них, двухкольцевая, показана на рис. 2.95. В этой схеме изображено первое кольцо АРУ, действующее только на УРЧ. Второе кольцо может охватывать остальные каскады, как это было показано ранее. Любой сигнал, частота которого попадает в полосу пропускания. УРЧ, а уровень достаточен для срабатывания АРУ, ослабляется до уровня, допустимого-для нормальной работы последующих каскадов. При этом ослабляется и полезный принимаемый сигнал, поэтому порог в первом кольце АРУ должен быть тщательно отрегулирован, , так чтобы АРУ срабатывала только при уровнях сигнала, приводящих без АРУ к перегрузке, а в УРЧ должны быть применены активные элементы, неискаженно усиливающие этот сигнал.

# Автоматическая подстройка частоты

Частотный детектор приемника ЧМ вырабатывает напряжение постоянного тока, пропорциональное расстройке приемника по отношению к частоте сигнала, а знак его соответствует направлению ухода частоты при расстройке. Поэтому, отфильтровая это мапряжение от 34 состав



Parc 2 96

ляющей, его можно подвести к управляющему эхементу, подключенному к комтуру гетеродина для уменьшения ухода частоты гетеродина. В зависимости от усиления в цени АПЧ происходит в ботышей яли в менашей степени компексация в ботышей на в менашей степени компексация в ботышей на править в подключение и под применение под применение под применение под применение под применение подет компексировать, не сказывается на исражальной работе приемика разменение под применение под применением приме

Наиболее часто АПЧ применяется в приемника как с динавлом УКВ. Это поределяется, во-первых, значительными абсслютными величинами ухода частоти тегродиня вы УКВ и, во-эторых, обязательным наличием в приемнике ЧМ частотного детектора, так что для осуществления АПЧ достаточно только введения управляющего элемента, как это следнаю на рес. 277. Кроме того, в современных РВ приемниках в динавломе УКВ часто применяется фиксирования менопонав настройка на радностанции. Частота мастройки ими дестабильнующих фактора В этом случае дедетабильнующих фактора. В этом случае дименение АПЧ обеспечивает необходимое качество работа приемника.

Применение варикалов для перестройки контуров в блоке УКВ (см. § 2.7) позволяет создать приеминк ЧМ с настройкой клавишным или кнопочным переключателем через который к варикапам подводится стабилизированиее напряжение, необходимее для настройки на ту или иную радиостанцию (рис. 2.96). Значения управляющих напряжений, сответствующих настройке на три станшия, устанівливают переменными релисторами  $R_1 - R_3$ . Напряжение от  $H_1$  подводится только к варикапу контура гетеродина (хота пон оможет обыть подведено и к варикапам контура рубу. Для получения малой остаточной расстройки нестоты, которая может быть получена либо при введения вцель «ПЧ УПТ: получение большом уровие напряжения на выходе  $\Psi_{L1}$  дибо при введения в цель АПЧ УПТ: Получение большом уровений в выходе  $\Psi_{L1}$  дибо при введения и выходе  $\Psi_{L1}$  дей транисторных регородского в при ведения  $\Psi_{L2}$  дибо подазно приемить УПТ, как это показно не рис. 2.97. Здесь неободом крениневый транистор, рассечитанный на напряжение питания 60— 80 В.

Усиление действія АПЧ можно подучить, использовав вместо варикала в контуре гегеродина гравзистор со сравнительно большой емостию претоднего на применення применення применення применення применення применення при небольшом изменення наприжения дей ди замительно изменяет свою емкость, а следовательно, и частоту гегеродини. В жистем граничегора 7, можно примости от полярности источника питания приеминка.

При налаживании АПЧ может возникнуть явление «вытакивания» частоты гетеродина управляющим злечентом. Оно связано с неправильным фазовым соотношением папряжений, поступающих на дноды ЧД с первичной и вторичной катушек контуров фазославтиямието разменороматора ПЧ. Для восстановления правильного соотношения фаз необходимо поменять местами точки подсоединения вторичной катушки к диодам детектора.

В приемниках с синхронным детектором применяется цепь фазовой АПЧ. Реактивные элементы подстройки контура гетеродина остаются теми же, что и при частотной АПЧ.

Электронная система автоматической настройки приеминков (рис. 299). Генератор понска вырабатывает пилообразное напряжение, размах которого должен быть не менее необходимого для перестройки в заданном диапазоне частот блока настройки, в котором в качестве переменных емкостей используются вариканы.

В качестве генератора поиска может быть использован цикл заряд — разряд конденсатора,



Рис. 2.97

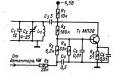


Рис. 2.98

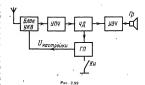
который для личеарузации изменения напряжеиня во времени включен в непь обратной связи, как это сделано на рис. 2.100. Конденсатор в этой специ разряжается рручную конковой Км., При поступлении на вход устройства напряжения с выхода ЧД, противодействующего изменению напряжения на конденсаторе, гранамстор 7, персходят в режим сележения; приевник настроен на радио-

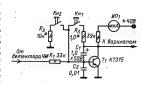
В устройстве по схеме на рис. 2.101 цика настройки непрерывен из-за гото, что после достижения максимального напряжения на выходения максимального напряжения на выходеустройство приходят в начальное состояще и потторяет цика сначала. При желании перестроиться солибрадиостанции на другую необходимо кратковрежению отсоединить или замкнуть выход ЧД приемника.

В последнее время широкое распространение получают цифровые генераторы поиска, которые вырабатывают ступенчатое напряжение настройки с шагом, гарантирующим настройку на каждую радиостанцию в диапазоне частот, принимаемых приемником. Схема одного из таких устройств приведена на рис. 2.102. Счетчик импульсов на экономичных триггерах из серии 176 заполняется импульсами от вспомогательного генератора с частотой 1-10 Гп. Выходные напряжения триггеров складываются на резисторной матрице и создают ступенчато изменяющееся напряжение сравнительно небольшого уровня, которое усиливается до необходимого для настройки значения масштабным усилителем на основе операционного усилителя, охваченного ООС по постоянному току.

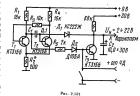
Недостатом всех устройств АН на этой основе — необходимость пастройки на размостаници с одной стороны по частотной шкале. Настройка на ранее принимаемую радностаницю возможна ранее принимаемую радностаницю возможна недостатка смободна, устройства цифромой АН реверсивными сегчиками или на основе миропрощесоров с большим объемом памяти. В этом случае «запомнаются» па цифромом виде все уровни налучаетота стетероднам, обеспечивающая настройку на ту или иную радностаницю. Разработна выпым радностатите случаето на запизы радностаницю. Разработванным раднособтетами.

Сенсорное управление. Более простым видом автоматической настройки является фиксированная настройка на ограниченное число уверенно принимаемых радиостанций. О ней уже упоминалось в разделе, посвященном АПЧ, где рассматривалось кнопочное переключение фиксированных программ. Широкое применение в приемниках варикапов (варакторов) как органов настройки позволило заменить менее надежные механические переключатели электронными переключателями с сенсорным управлением. Наиболее простым сенсорным устройством для выбора и запоминания одной программы является устройство по схеме на рис. 2.103. Конденсатор С, через резистор R<sub>1</sub> заряжается до напряжения, при котором приемник настранвается на какую-либо радностанцию при замыкании через сопротивление кожи пальца сенсорных контактов  $E_1$ . При разрыве цепи благодаря высокому сопротивлению изоля-





PHC. 2,100



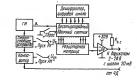


Рис. 2.102

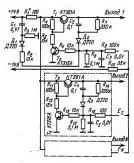


Рис. 2.103

шии коиденсатора С, напражение на затворе поневого транзистора Т, остается постоянным в течение нескольких часов. При замыкании сенсорных контактов Е, коиденсатор разряжается через сопротвяления кожи пальца и резистор R, напражение ко нем уменьшается до настройки на раугую раздиостанцию и т. з. При изменения напряжения на затворе транзистора Т, от 0 до 22 В напряжение на истом транзистора Т, от 0 до 22 В напряжение на истом транзистора Соединеется от 2— 2.2 В да 20 В Подложка, обечно соединеется от корпусом транзистора, соединеется и стомом выстатом, такого устройства — большая зависимость стабильности настройки на радиостанцию от влаги.

Пругим видом сенсорного устройства, позволяющим при веобходимости подучить замячительные токи в магрузме, является сенсорный переключать, перставлений в раго. 2104. При первоначальном включении в этом устройстве всегда годара зараду конценстра С., Ячейка переключается при замыжании сенсорных контактов, на пример Е<sub>8</sub>, череа которые напряжение переменного тока подводится к базе траизистора 7, и кратковременно отгорявает его, после чего это осотояние удерживается в результате возникающего на компексор траими строй, запоряжения череа включения череа может при в предультате возникающего на компексор траими строй, запоряжения череа включения череа на компексор траими строй, запоряжения череа на компексор траими строй запоряжения череа на компексор траими строй, запоряжения череа на компексор траими строй запоряжения на пределения по пределения по пределения пределения пределения по пределения по пределения пределения пределения пределения пределения по пределения пр

резистор  $R_{1a}$ , диод  $\mathcal{A}_3$  и резистор  $R_{1a}$ . Нь рик. 2.105 приведена скема сеноорного переключателя на тривисторах. Переход любого из тривисторов в открытое состояние осуществляется при касании пальшем одного из сеноорных контактов  $E_1 - E_4$ . Ранее включенные ячейки выключаются коммутирующимым конденсаторами



PHC. 2.104 1

 $C_1$  — С. Рабочий ток длям накадивания не додлежен превышеть чаксичально допустимого тока для тринистрове (для КУ101А — 75 мА). Еммость коммутирующих койдемсаторов зависит от числа сенсорных чием и получения подбирается при надлаживании. Вместо длям могут быть включены всегодами образить в могут быть включены всегодами сенсорных резисторами. Сравнительно бальшой ток коммутации позводляет применты данное сенсорное устройство для коммутации подоводять применты данное сенсорное устройство для коммутации подов для в представлено и при другомих динова, как это представлено и време 106 для входных ценей. Ценя гегородина можно коммутировать таким же обоздом.

Бесшумкая настройка. К устройствам автоматики в приемнике относится система бесшумной настройки, которая исключает шумы в процессе перестройки приемника с программы на протрамму или блокирует его в тех случаях, когда радиоставция, ва которую был настроен приемник, прекращает работу. Одна из схем такого устройст-

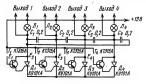


Рис. 2.105

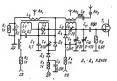


Рис. 2.10€

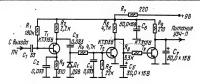


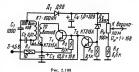
Рис. 2.107

ва, примененная в приемнике «Рига-104», приведени прис. 2.107. При включенной бесшумной настройке на ее выходе (на кодлекторе граизистора Т<sub>3</sub>) напряжение близко к напряжению истоирительного УЗЧ. Это получается в результативидряждения зидодо Д, дополнительно услагитот сигила ПЧ транямстором Т, Вигрямленное напряжение открывает гранямстор Т<sub>2</sub> и тем самым закрывает транямстор Т, Отсутствие необходимотот сугмает запряжение открытор Т, от с гумает запряжение открытор Т, от с гумает запряжение открытор С, от с гумает запряжение открыта С УЗЧ.

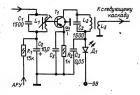
Для питания цепей настройки при использовании варикалов, как правило, необходим источник ловольно высокого напряжения. Наиболее экономичным преобразователем напряжения является генератор напряжения прямоугольной формы, олнако широкий спектр излучаемых им помех требует тщательной фильтрации всех цепей, соединяющих его с остальными каскадами приемника. Хорошие результаты могут быть получены с генератором синусондальных колебаний, например по схеме на рис. 2.108. Транзистор  $T_1$  с контуром  $L_1C_1C_2$  образует генератор, включенный по трехточечной схеме. Напряжение, полученное на контуре, выпрямляется диодом Д, и подводится к нагрузке (резистору настройки  $R_4$ ) и системе стабилизации напряжения на транзисторе Т2 и стабилитроне Д2. Стабильность напряжения настройки достигается при уменьшении напряжения питания в 2 раза. При необходимости получения напряжения настройки, отличного от указанного на схеме, необходимо изменить число витков катушки связи Lo. Это же следует сделать и при изменении напряжения питания. Приведенный преобразователь рассчитан для работы в экономичном миниатюрном приемнике с напряжением питания 3-4,5 В.

Индикаторы мастройки. Для индикации точной имстройки на радиостанцию применяются микрои миллиамиерметры, лайны накаливания и светодноды. В тюнерах высокого класса в качестве индикаторов точной настройки, в том числе на стереоситнал, применяют специальные электроино-дучевые трубки.

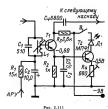
Для видикации кло минимуму» стрелочный индикатор проше весто вклочить по семе на рис. 2.109. Если напряжение питания каскада УГН, охваченного АРУ, более 5—6 В, то света диодный индикатор Д, вклочают в разрыв цепи коллектора транзистора Т, по скеме на рис. 2.110. В том случае, когда яркость свечения светодноза В том случае, когда яркость свечения светодноза при, токе коллектора 0.7-1 мА недостаточна, следует применить УПТ на транзисторе  $T_2$  в схеме на рис. 2.111. Ток через светоднод ограничивается



PHC. 2.109



PHC. 2.110



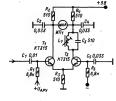


Рис. 2.113

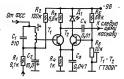
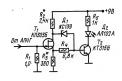


Рис. 2.112



Pac. 2.114

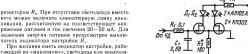


Рис. 2.115

него можно включить миниатюрную дампу накаливания, рассчитанную на соответствующее напряжение питания и ток свечения 20-50 мА. Для экономии энергии питания предусмотрен выключатель индикатора настройки  $B_1$ ,

тающий по «максимуму», светодиод или микроамперметр включают по схеме на рис. 2.112 в цепь коллектора транзистора УПТ в системе АРУ или в днагональ моста, образованного резисторами развязки в схеме на рис. 2.113. Возможно включение индикатора настройки и на выход ЧД по схеме на рис. 2.114 с одним светоднодом или по схеме на рис. 2.115 с двумя светодиодами. В последнем

случае точной настройке на радиостанцию соответствует одновременное свечение обоих светоднодов с одинаковой яркостью.

# 2.11. ТИПОВЫЕ СХЕМЫ ТРАНЗИСТОРНЫХ ПРИЕМНИКОВ

#### Общие сведения

Современные промышленные РВ приемники развиваются по пути повышения качества радиоприема, упрощения управления, повышения стабильности характеристик, повышения технологичности производства: Радиолюбительские конствукции также должны учитывать эти тенденции.

Повышение селективности, эффективности АРУ чи уменьшение коэффициента гармоник часто достигаются введением ряда дополнительных элементов (пьезокерамических и электромеханических фильтров). Однако все расширяющееся производство транзисторов и интегральных микросхем позволяет усложнять приемники без существенного увеличения их стоимости. Кроме того, усложнение внутреннией структуры микроскем часто приводит к упрощению остальной части приеминия. Применение микроскем серии К237 уме сегодия поволжет создавать приеминии, отвечающие требованиям II класса ГОСТ в переностичности объекторов и деятомобланом спесоменним, ставиловарном и деятомобланом спесоменним, закрокие I—2 подстроечных резисторов и настрой-ке контуров.

По мере появления в продаже микросхем, транзисторных сборок и отдельных универсальных транзисторов раднолюбительские приемники также изменятся в сторону увеличения числа активных элементов при одновременном упрощении

алаживания

Основных типом приемника, удоваетноряющим почти все запросы радиослушателя и приемлемам с точки зрения самостоятельного изготовления и налаживания, является суперстегродинный приемник с характеристиками, соответствующим II класу ГОСТ. Позгому в точк раздее приемля и как преседения и почето почето пределения преседения преседения преседения преседения преседения простейшего приемлика приемлика простейшего приемлика приемлика простейшего приемлика простейшего приемлика приемлика простейшего приемлика прием приемлика приемлика преседения преседен

Кроме унифицированного приемника с применением микросхем серии К237 приведены схемы приемников, при разработке которых основное внимание было направлено на хорошую повторяемость их характеристик и возможность изготовления из доступных деталей при минимуме регулировочных работ. Каждая из приводимых схем условно разбита на три функционально законченных блока: блок входных и гетеродинных контуров (БК), блок, содержащий в своем составе все РЧ каскады (БРЧ) и блок УЗЧ. Такая разбивка позволяет различные по числу диапазонов, видам антенн, способам коммутации блоки контуров, применяемых в одном приемнике, включить в другой: при изготовлении приемника применять в блоках УЗЧ различные схемы усилителей из числа приведенных в § 4.2. Высокочастотные части приемников заканчиваются унифицированными разъемами, что позволяет подключать их к мощным высококачественным усилителям, делать запись на магнитофон и использовать УЗЧ приемников для воспроизведения грампластинок.

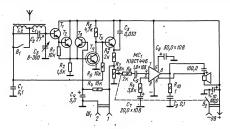
В рассмотренных в этом разделе приемниках использованы отдельные каскады, описанные в предыдущих параграфах раздела.

# Приемник прямого усиления

Приемник прямого усиления (рис 2.116) может бильт выполние на любых кремневых ВН гранзысторах: КТЗ15, КТЗ42, КТЗ01, КТЗ12, КТЗ16, КТЗ12, КТЗ12, КТЗ16, КТЗ12, КТЗ

Эмиттерные повторители  $T_1$  и  $T_2$  трансформируют высокое резонаненое сопротивление входного контура (200—400 кОм) в сопротивление, близкое к входному сопротивлению транзистора  $T_4$  (около 1 кОм). Общее усиление УРЧ 150 к

• Так как для нормальной работы детектора на транзисторе Та в схеме ОК необходимо напряжение сигнала 30-50 мВ, а УРЧ полностью подключен к входному контуру, номинальная чувствительность приемника достигает 200-350 мкВ с базы, что примерно соответствует 3-5 мВ/м. Транзистор Т3 предназначен для осуществления АРУ: открываясь, он шунтирует вход  $T_4$  и одновременно закрывает транзисторы  $T_1$  и  $T_2$ , уменьшая их коэффициент передачи напряжения. С выхода детектора напряжение 3Ч поступает на вход УЗЧ, выполненного на микросхеме МС,. При сравнительно большом сопротивлении звуковой катушки динамической головки типа 0,1ГД13-60 Ом малый уровень искажений получается при меньшей глубине ООС, чем рекомендуемая техническими условиями для микросхемы. При применении головки с меньшим сопротивлением звуковой катуш-



ки без согласующего трансформатора сопротивление резистора  $R_{\theta}$  следует подобрать экспериментально.

При монтаже приеминка необходимо обеспечить соединение базы траничногора  $T_c$  контуром кратизайшим этуме. Если траничногора  $T_c$  контуром кратизайшим этуме. Если траничногора  $T_c$  не имеет эфиципурации образовать в правителений образовать в правителений образовать в поставителения УРЧ. Катушим  $I_c$  и  $I_c$  должин бить рассчитаны для приема диапазонов СВ и ДВ соответственно. При указанийо на схеме еммости КПЕ катушка  $I_c$  содержит 90 витиов провода КПЕ катушка  $I_c$  содержит 90 витиов провода од 11 в ферритовом середечиные, М400НН1 8 % 100.

# Супергетеродинный приемник на микросхемах серии 237

По схеме на рис. 2.117 можно выполнить как малога баритный переносной приемник, так и приемник, рассчитанный для работы в стационарных условиях ДВ, СВ и КВ. Катушка входного контура может быть намотана на стержне ферритовой антенны или на отдельном каркасе в соответствии с данными § 2.3. Сопряжение контуров рассчитывают по графикам § 2.6. Катушка Lear для получения колебаний на частоте контура гетеродина должна иметь сильную связь с контурной катушкой, т. е. ее витки должны быть намотаны поверх витков контурной катушки  $L_{\kappa_1}$ , а не рядом на каркасе, для КВ и в одном броневом сердечнике для ЛВ и СВ. Расположение катушек в блоке должно обеспечивать слабую связь (лучше полное ее одсутствие) между катушками разных поддиапазонов. Цепь, включенная парадлельно катушке связи с контуром гетеродина, предназначена для подавления паразитной генерации. Параметры ееэлементов зависят от частоты, на которой работает гетеродин. Для диапазонов ЛВ и СВ цепь состоит из резистора сопротивления 75 Ом и конденсатора емкостью 75 пФ; на КВ емкость конденсатора должна быть уменьшена до 22—15 пФ.

Для примера определим данные катушек входного и гетеродинного контуров для диапазона СВ. В качестве блока КПЕ выбираем широко распространенный КПЕ типа КПТМ-4 с емкостью 5—260 пФ.

Перекрытие по частоте входного контура

$$K_1 = f_{max}/f_{min} = 1620/520 = 3,12;$$

необходимая начальная емкость контура при выбранном  $C_{\sim} = 255$  пФ

$$C_{min} = C_{\sim} / (K_1^2 - 1) = 255 / (3,12^2 - 1) =$$
  
= 26.6  $\pi \Phi$ .

Орнентировонная суммарная емкость контурной катушки, монтажи, переключателя днагонов и вересчитанной в контур входной емкоститравляютора УРИ можно принять равной 15-Тогда начальная емкость контура без учета емкости построечного колденстора будет расе-20 пФ. Для доведения ее до-расчетного значения при настройке включите в контур подстроем конденсатор емкостью 2—8 пФ, входящий в состав КПЕ.

Определим индуктивность контурной катушки

$$L_{\kappa} = \frac{25330}{\left[f_{\min}^2(C_{\sim} + C_{\min})\right]} =$$
  
= 25330/ $\left[0.52^2(255 + 26.6)\right] = 338 \text{ MK}\Gamma\text{H}.$ 

Выбрав в качестве катушки входного контура объемых на ферритовом стержне магнитной антенны Ø 8 мм и длиной 160 мм найдем для индуктивности 340 мкГн по графику рис. 2.19, б 70 витков. Катушки наматывают на каркасе, который должен с небольшим трением перемещаться по стерж-

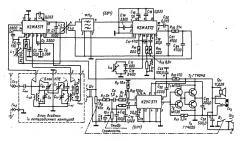


Рис. 2.117

ню магнитной антенны в соответствии с рис. 2.18 для подстройки индуктивности.

Катушку связи с входным контуром рассчитывем, исходя на того, что на входе микросхемы К2ЖАЗ71 стоит креминевый планарный транзирстре с привесенным означением круталы дарактеро с привесенным означением круталы дарактеро должным по току, равным 30 (нижний прецес  $h_{\rm TR}$ , дая ВЧ транзильенцем реактивыя, что в соответствии с указаниям на схеме режимом питания кого транзистора загружил комплектора нагружил комплектора нагружил комплектора загружил комплектора завчение тока коллектора нагружил комплектора загружил комплектора на схеме при половством соткрытом транзистора на может при половством соткрытом транзистора на при половством соткрытом транзистора на пределением при половством соткрытом транзистора на пределением при половством соткрытом пределением при половством соткрытом пределением при половством соткрытом при половством соткрытом пределением при половством соткрытом пределением пределени

$$R_{ev} = h_{21a}/(S_o I_K) = 30/(38 \cdot 0.7) \approx 1.1 \text{ KO}$$

Согласование входного сопротивления с резонансным сопротивлением контура проведем на средней частоте диапазона, считая добротность контурной катушки равной 150, что близко к действительности при намотке катушки проводом ЛЭШПО10 × 0,07:

$$R_{oe} = 2\pi f Q L = 150 \cdot 2 \cdot 3,14 \cdot 1070 \cdot 10^3 \times 340 \cdot 10^{-6} = 340 \text{ kOm}.$$

Необходимый коэффициент включения базы транзистора в контур

$$p_1 = \sqrt{\frac{R_{\text{BX}}}{R_{\text{os}}}} = \sqrt{\frac{11}{340}} \approx 0.06.$$

Коэффициент связи контурной катушки и катушки связи можно принять близким к 1, тогда  $w_{\rm ca} = \rho_1 w_{\rm k} = 0.06 \cdot 70 = 4.6 \approx 5$  витков; некоторое увеличение числа витков против расчетного компексирует несответствие реального коэффициента связи принятому.

Сопряжение входного и гетеродинного контуров осуществляется включением в гетеродинный контур дополнительных последовательного и параллельного конденсаторов.

Полная емкость входного контура

$$C_{\text{max}} = C_{\text{max}} + C_{\text{m}} = 26.6 + 255 \approx 282 \text{ n}\Phi.$$

Выбираем ближайшую по графику на рис. 2.76, a емкость 300 пФ. Определив коэффициент  $n = f_{\rm po}/f_{\rm pc} = 465/1070 = 0.435$ , найдем  $C_{\rm noca} = 330$  пФ;  $C_{\rm sap} = 8$  пФ (по рис. 2.76,  $\delta$ ); a = 0.55 (по рис. 2.76, a = 0.55) мГ рис. a = 0.55 (по рис. 2.76, a = 0.55) мКГ рис.

Число витков катушки связи рассчитывают через коэффициент включения, определяемый по выходному сопротивлению гетеродина, равному 4 кОм.

Определив резонансное сопротивление контура гетеродина на нижней частоте диапазона (525 + 465 = 990 кТи) при реальной добротности катушки контура гетеродина, равной 80, получим

$$R_{\rm oe\, r} = 2\pi J_r Q_0 L_r =$$
  $= 6.28 \cdot 990 \cdot 10^3 \cdot 80 \cdot 185 \cdot 10^{-6} = 92$  кОм,

$$p_r = \sqrt{\frac{R_{\text{BMX. r}}}{R_{\text{De. r}}}} = \sqrt{\frac{4}{92}} = 0.2$$

По графику на рис. 2.29 определяем число витков катуших контура гетеродняя для L = 185 км² н ≈ 85 витков, число витков катушки связи будет сыльная связь между катушками. В противком сильная связь между катушками. В противком случае могут асотикуть софазования на резолактичного случае могут е еместью монтажа и тразыльсторов гетеродиям.

Блок ВЧ состоит из УРЧ с апериодической натружкой и преобразователя частоты на микросхеме КУЖАЗТ1. Часть микросхеме КУЖАЗТ1. Часть микросхемы служит гетерозими. На выхоре УРЧ включее контур L ( $C_p$ , служащий для подавления помех с частогой, равной промежуточной. Натружкой преобразователя служительных симметричный контур L  $C_p$ , к катушке связы с которым подключен пыезокерамический фитр  $\Phi H_1$ , Резистор R, и комденсаторы  $C_3$  и  $C_p$  образуют развизывающие фильтур» гразокамающие фильтур»

Интегральная схема К1ЖА372 вместе с резистрами  $R_1 - R_{13}$  и коидесстарами  $C_1 - C_{13} - C_{15}$  с разволяет функции У11, детектора АР. Котур,  $L_{C1}$  ( $C_{13}$ , вастроенный ПП ченный АР. Котур,  $L_{C1}$  ( $C_{13}$ , вастроенный ПП ченная малый уровень шумов УПИ. Чунствельность УПИ и режим АРУ устанавлявается резистором  $R_{13}$ . Напряжение АРУ регулирует усиление первого каксаам УПИ, вдохвидето в состав микросхемы К2ЖА372, и через иель межау станавления СВС (СВС) (СВС)

Блок УЗЧ состоит из предварительного усильтеля, выполненного из мироскеме КЗУСЗТ1, резисторах  $R_1 \cdots R_{10}$ ,  $R_1$ , коиденсаторах  $C_1 \cdots C_{21}$  усильтелям мощности ва транамстрах  $C_1 \cdots C_{21}$  усильтелям мощности ва транамстрах  $C_1 \cdots C_{21}$  усильтелям мощности ва транамстрах  $C_1 \cdots C_{21}$  усильтелям мощности выполненного из мощности у секажений мил по напряжению в точке сесенийнения эмителеров транзисторов выходиото каскада, которое должно объть равно 1/2 напряжения италиям. При кспольчой объть равно 1/2 напряжения италиям. При кспольчой объть разво 1/2 напряжения инстинителям странам мощность достигает 0.7 выстрой выходым мощность достигает 0.7 выстрой выходым контуров надожен в  $\frac{1}{2}$  с  $\frac{1}{10}$  прядом вистройна мощность достигает 0.7

# УКВ приемник с синхронным детектором

Приципнальная скема приемника привелена на рис. 2.118. Сигнал от штиревой антенны поступает на широкополосный входной колтур  $I_c$ 16. Каторожный в среднюю частоту диалазом  $I_c$ 16. Кавественный на среднюю частоту диалазом  $I_c$ 16. Кавественный на среднюю частоту диалазом  $I_c$ 16. Кавественный диалем  $I_c$ 16. Каприжение гегероличачастого, выполненный на частотой  $I_c$ 26. Подстроечный реактор  $I_c$ 27. Подстроечный реактор  $I_c$ 38. Подстроечный  $I_c$ 48. Подстроечный I

Гетеродин выполнен на транзисторе  $T_1$ . Варикап  $\mathcal{L}_3$  служит для настройки, а варикап  $\mathcal{L}_4$ для ФАПЧ. На выходе операционного усилитально вълючена цепь коррекции предыскажений  $R_{10}C_{13}$ .

вылючена цень корресции предыскажения К<sub>16</sub>С<sub>113</sub>. Усклатель зауковой частотих выполнен кументи ускантеля подключены травместры ускантеля мощности, работающие без начального съещения на базах для повышения температурной стабильности. Вознакощие пра этом режиме несканения устраняются а результате глубокой ООС через режитор Кументи (Пратастка приемянко от двухложирнорежитор Кументи (Пратастка приемянко от двухложирнотывают на карькаска ОВ мм и подстраннаются тавают на карькаска ОВ мм и подстраннаются серечениями СЦР-1 из каробонильного железа. Катушка  $L_1$  содержит 5 витков с отводом от 2-го, а катушка  $L_2$  — 8 витков с отводом от 2-го проводом ГЭВ-10 8 мм. Катушка  $L_2$  содержит 2 витка провода ПЭЛШО-0,2 и ее наматывают поверх катушки  $L_2$  сиккронный детектор можно выполнить и по схеме на рис. 2-60. Подробное описание этой схемы приведено в жуйная «Радио». 1979, № 9.

# Переносный приемник

Приемник, схема которого приведена на рис. 2.119, рассчитан на прием РВ станций в днапазонах СВ, КВ, и УКВ. В диапазонах СВ (525—1605 кГц) и КВ (5,8—9,85 МГц) прием ве-

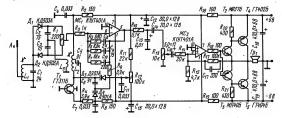
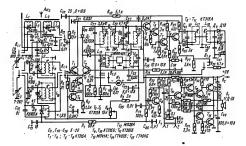


Рис. 2.118



Pac. 2.119

дется на магнитную антенну, а на УКВ (65,5— 73,5 МГц) — на штыревую телескопическую высотой 800 мм.

Входной контур диапазона СВ L<sub>4</sub>C<sub>1</sub> и диапазона  $KB L_1C_1$  выполнен в виде магнитной антенны, катушки которой намотаны на ферритовом стержне Ø 10 мм от приемника «Меридиан». Напряжение сигнала в зависимости от положения переключателя диапазонов снимается с катушек связи этих диапазонов  $L_5$  и  $L_2$ . Фильтр  $L_6C_{17}$  предотвращает помехи от местного телецентра. Преобразователь частоты с отдельным гетеродином выполнен на транзисторах  $T_1 - T_4$ . В диапазонах AM в коллекторную цепь транзистора  $T_2$  включен комбинированный  $\Phi$ CC, состоящий из пьезокерамического фильтра и контуров  $L_{13}C_{25}$  и  $L_{16}C_{31}$ . Диод Д, в этом случае закрыт, и ФСС тракта приема ЧМ отсоединен. Выходы обоих ФСС соединены последовательно и подключены к высокоомному входу УПЧ, выполненному на транзисторах

Транзистор  $T_8$  играет роль детектора АМ. При включении дыпальзов X УКВ ко входу очесителя подключается входиой контур  $L_2C_2C_2C_3$ . в к выходу ФСС транхта приема Y Ни —  $L_1C_2C_3$ . В с выходу ФСС транзители при подключается контур  $L_1$ .  $L_1C_2C_3$ . В генеродину подключается контур  $L_1$ .  $L_1C_3C_3$ . Транзистор T в этом случае служит детектором АРУ и дополнительным УПЧ ЧМ. Частотный детектор выполнен на диодах X — X по

Таблица 2.9. Намоточные данные контурных катушек

Обозначение по схеме	Число витков	Провод	Намотка
L;	7	ПЭВ-2 0,41	Рядовая, шаг 2 мы
L <sub>1</sub> .	3	ПЭШО 0,12	Рядовая, меж- ду витками L.
$L_4$	90	ЛЭ7×0,07	Рядовая, виток к витку
L <sub>5</sub> L <sub>3</sub>	10	ПЭШО 0,12	Тоже ,
	1,5+3,5	MM 0,8	Бескаркасная Ø5 мм
$L_6$	15	ПЭШО 0,12	Рядовая, виток к витку прямо на сердечнике
$L_7$	3×34	ЛЭ5×0,07	Внавал в трех
L <sub>8</sub>	20	ПЭШО 0,12	В трех секциях равномерно
L <sub>9</sub>	15	ПЭВ-2 0,41	Рядовая, виток к витку
L <sub>10</sub>	7	ПЭШО 0,12	Поверх L <sub>5</sub> , на- чиная от обще- го провода
L11	2+2	MM 0,8	Бескаркасная Ø5 мм
L <sub>12</sub> , L <sub>14</sub> , L <sub>15</sub>	3×6	ПЛШО 0,12	Внавал, в трех секциях равио- мерно
L <sub>13</sub> , L <sub>14</sub> ·	3×34	ЛЭ5×0,07	То же, отвод от 16 витка
L17, L18	7+7	ПЭЛШО 0,12	В трех секциях в два провода

 $\Pi$  р в мечание. Катушки  $L_1$ ,  $L_2$ ,  $L_4$ ,  $L_5$  намоганы на сераечияке M100H1-2-CC-2.8×12:  $L_5$ ,  $L_5$  — намоганы на сераечияке M100H1-2-CC-2.8×12:  $L_5$ ,  $L_5$  — на  $L_5$  — намоганы на сераечинком, это и  $L_5$ ,  $L_5$  — на мархасе  $\partial$ 7 мм с тем же сераечинком, это и  $L_5$  — объемне хатушки в чашках из феррият М600H1428.6 мм.

упрощенной схеме аробного детектора, Диол  $Z_1$  минолиять объь реактивного эмемента в цепн АПЧ. Управляющее напряжение на него положо-дится через фильтр  $R_1C_{25}$  с выхода Ч.П. Промеуточные частоты грактов приемы АМ и ЧМ стандетные (),466 в 10,7 МГш.), Усманитель зукуковой нечного ( $T_{10} - T_{10}$ ). Окопеченый усманитель рассчитам на мощность 0,7 Вт. Премыник питается от 6 элементов «343» или дмух батарей «3336». Давные контурных катушке приведены т-сба. 2.9.

# Миниатюрный приемник

Приемник по схеме на рис. 2.1:20 предназначем для работы в динапозона СВ и КВ. В динапазоне КВ возможна растяжка любого участка в диапазоне 4 м в пределах ±200 к Гц. Приемник выполнен по супертегродинной схеме содним преобразованием частоты в диапазоне СВ и с двумя преобразованиями частоты в диапазоне КВ.

В диапазоне СВ входной контур образую: катушка  $L_4$ , намотанная на стержне ферритовой антенны, и конденсаторы  $C_8$  и  $C_9$ . Микрокнопка переключателя диапазона, сопряженныя с блоком КПЕ  $C_3 - C_7$ , замыкает выходной контур ФСС преобразователя диапазона КВ и цепь смещения транзистора  $T_1$  так, что во входную цепь транзистора То преобразователя частоты в диапазоне СВ включена только катушка связи  $L_5$ . Катушка обратной связи с контуром гетеродина, включенным частично в эмиттерные цепи транзисторов  $T_0$  и  $T_3$ , включена в их общую коллекторную цель. По этой причине суммарный ток транзисторов  $T_2$ ,  $T_3$ , который остается постоянным при работе цепи АРУ, несмотря на практически полное перераспределение токов между транзисторами, сохраняет постоянство режима гетеродина, выполненного на обоих транзисторах. В преобразователе частоты работает только транзистор  $T_2$ , изменение параметров которого под воздействием регулирующего напряжения обеспечивает глубокую АРУ. Изменение напряжения на выходе не превышает 6 дБ при изменении напряжения сиг-, нала на входе от 2,5 мкВ до 25 мВ (80 дБ). Усилитель ПЧ выполнен на транзисторах с разным типом проводимости с непосредственной связью между ними и транзисторами частотно-преобразовательного каскада, что обеспечивает жесткую стабилизацию режимов всех перечисленных транзисторов и рабочей точки диодного детектора Д при изменении температуры, разбросе параметров транзисторов и изменении напряжения питания. Режим диодного детектора определяется резистором R<sub>31</sub>. Если вместо пьезокерамического фильтра Пф, применяется ФСС, параллельно резистору  $R_{19}$  следует включить электролитический конденсатор емкостью 10-20 мкФ для уменьшения явления демодуляции низких звуковых частот.

При работе в диапазоне КВ микрокнопка  $B_1$  включена так, ито она замыжает катушку связи с входным контуром СВ, предотвращая прием мощных РВ станций этого диапазона, одновременно размыкая замкнутую ранее цепь напряжения смещения на базу транзистора  $T_1$  — преобрания смещения на базу транзистора  $T_1$  — преобрания смещения на базу транзистора  $T_1$  — преобрание смещения на смещения  $T_1$  — преобрание смещения  $T_2$  — преобрание смещения  $T_1$  — преобрание смещения  $T_2$  — преобрание смещения  $T_2$  — преобрание смещения  $T_1$  — преобрание смещения  $T_2$  —  $T_2$  — преобрание смещения  $T_2$  —  $T_2$  —

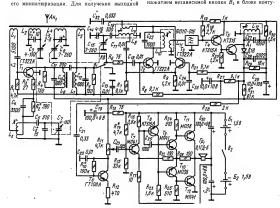
зователя диапазона КВ в первую ПЧ, равную 1,84 МГц. Полоса пропускания ФСС, состоящего из  $L_6C_{10}C_{11}L_7C_{12}$ , из-за шунтирования резисторами  $R_*$  и  $R_*$  расширена до 400 к $\Gamma$ п, что обеспечивает достаточное перекрытие по частоте растягиваемых участков диапазона и достаточное подавление первого зеркального канала и второй ПЧ (до 30 дБ). Смещение на базу транзистора Т, снимается с эмиттера транзисторов  $T_2 - T_3$ , где оно поддерживается с высокой стабильностью системой стабилизации режима. Резистор R3 создает ООС в первом преобразователе частоты, стабилизируя работу гетеродина и уменьшая искажения при большом уровне сигнала на входе. Большая разница в частотах настроек входных контуров диапазонов СВ и КВ и размещение их на противоположных концах ферритового стержня практически исключает их взаимное влияние. Для хорошей эффективности антенны в обоих диапазонах частот стержень должен быть выполнен из феррита марки 150ВЧ или из двух склеенных в торец стержней марок 600НН и 50ВЧ. Данные катушек приведены в табл. 2.10.

Усилитель звуковой частоты состоит из предварительного и оконечного с включением регулятора громкости между ними. Оконечный УЗЧ выполнен по схеме, экономящей один электролитический конденсатор большой емкости. что способствует мощности 50—60 мВт транзисторы  $T_1$  и  $T_9$  —  $T_{11}$  образательно дожны быть германиевыми или напряжение питания должно быть увеличено до 4,5—6 В. В последуеме случае сопротивление реактора  $R_{20}$  следует увеличить до 2,4—2,7 кОм. Напрятора  $T_{20}$  до дожно дожно торов  $T_{11}$ ,  $T_{21}$  доабром реактора  $T_{21}$  до добром реактора  $T_{21}$  до добром реактора  $T_{21}$  доабром реактора  $T_{22}$  доабром реактора  $T_{21}$  доабром реактора  $T_{22}$  доа

Контур гегеродина СВ и контурные катушки ЮГИ (0,468 МГЦ) намативают в серденняках ЧБ из материала 1000ИН (такие серденняка у Пв модификация). Катушки ФСС 184 МГц намати модификация). Катушки ФСС 184 МГц намати 200НН миз 151ВЧ. Катушка контура гегероди имеет подстроения из материала 100НН /2 2,8 ми и может быть намогана прямо на име.

### Приемник с питанием от сети

Приемник на рис. 2.121 рассчитан для работы от сети переменного тока в дивпазомах ДВ, СВ и четырех растянутых КВ (КВ1 — 25 м, КВ2 — 31 м и КВ4 — 49 м). В диапазоме УКВ приемник имеет пять фиксированных настроек на любую из радиостанций, работающих в этом диапазоме. Переклочение в диапазом УКВ осуществляется нажатием мезависимой клюки В, в бложе конту-



PHC. 2.120

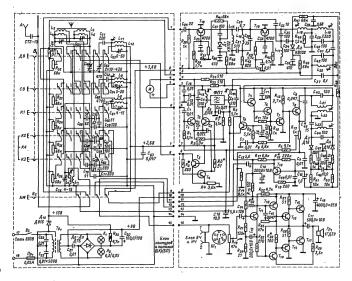


Таблица 2.10. Намоточные данные катушек

Обозначение по схеме	Число витков	. , Провод .	Намотка	Сердечник
L <sub>1</sub> L <sub>2</sub> L <sub>4</sub> L <sub>5</sub>	3 9 8,5 7	ПЭВ-1-0,1 ПЭЛШО 0,47 ПЭВ-1-0,1	Рядовая между вит- ками $L_2$ Рядовая, шаг 2 мм Рядовая, виток к витку Рядовая, поверх $L_4$	
L <sub>3</sub> *	1,5+3+22,5	ПЭВ-1 0,14	Рядован: виток к витку	Подстроечник от броневого сердечника СБ-128 (М4×11)
L <sub>6</sub> , L <sub>7</sub>	32	ПЭВ-1 0,1	Рядовая	М600HH-8-K7×4×2 с зазо ром 2×0,05
L <sub>8</sub> L <sub>9</sub>	3,5+76,5 10	ПЭВ-1 0,1	Внавал, Внавал, поверх L <sub>k</sub>	Чашки ЧІ-2М1000НМЗ-4 Ø6,1 мм, подстроечния М1000НМЗ-4 с резьбой M2,3
L <sub>10</sub> L <sub>11</sub>	78 20	ПЭВ-1 0,1 ПЭВ-1 0,1	Внавал Внавал, поверх $L_{10}$	То же
L <sub>12</sub> .	78	ПЭВ-1 0,1	Внавал	

<sup>\*</sup> Намотана на полистироловом каркасе ∅5 и длиной 10 мм.

ров. В блоке контуров для коммутации, кроме кнопки В2 «АМ — ЧМ», имеется кнопочный переключатель В, содержащий пять кнопок (на шесть цепей каждая). На ДВ и СВ предусмотрена только ферритовая антенна, позволяющая в условиях большого города осуществлять прием радиостанций с меньшим уровнем индустриальных помех. В диапазонах КВ и УКВ применяется штыревая антенна, предусмотрено гнездо для подключения внешней антенны. При нажатии соответствующих кнопок к блоку КПЕ в диапазонах ДВ и СВ подключаются соответствующие контурные катушки ( $L_5$ ,  $L_6$ ,  $L_9$ ,  $L_{11}$ ) с необходимыми конденсаторами C51 сопрягающими В диапазонах КВ КПЕ подсоединяется к конденсаторам  $C_{86}$ — $C_{71}$  и  $C_{55}$ — $C_{60}$  образующим параллельные группы из двух последовательно соединенных конденсаторов в каждой. Такая комбинация конденсаторов в каждом из диапазонов КВ обеспечивает настройку контуров на нужные частоты и небольшое изменение частоты при изменении емкости КПЕ, требуемое для растягивания соответствующего диапазона на всю шкалу приемника. Катушки  $L_1$  и  $L_7$  подсоединяются соответствующими кнопками к необходимой комбинации конденсаторов. Сопряжение контуров при регулировке осуществляется индуктивностью на самой низкой частоте диапазона (КВ4) и емкостью на самой высокой частоте (КВ1). Диапазоны КВ3. и КВ2 при этом сопрягаются автоматически

Блок УКВ выполние с электронной настройкой на варикапах  $\Pi$ ,  $\Omega_3$ , на которые подается устанавливаемое резисторами  $R_{32} - R_{3c}$  стабилизировани выное на размение постоянного тока из больних выпольжение постоянного тока из больних выпольжение контуры УРЧ  $L_1C_{27}/L_2C_{36}$  обселение с контуром гетеродина  $L_{17}/L_2C_{36}$  обселение с контуром гетеродина  $L_{17}/L_2C_{36}$  обселение с помощью установочного резистора  $R_{31}$ . В отличие от контуров, перестраиваемых переменными колдексаторами, согружжение контуров с варикапами

осуществляется емкостью на нижней частоте диапазона, а индуктивностью — на верхней, т. к. влияние напряжения на емкость варикапа максимально на нижней частоте.

Усилитель радиочастоты и преобразователь с совмещенным гетеродином выполнены по схез ме ОБ на ВЧ германиевых транзисторах структуры p = n = p (ГТЗ13). В эмиттерную цепь преобразователя включен последовательный контур  $L_{18}C_{31}$ , настроенный на ПЧ (6,8 МГц). Конденсаторы  $C_{33}$  и  $C_{30}$  образуют емкостный делитель в цепи обратной связи гетеродина. Контурная катушка L<sub>18</sub> первого фильтра ПЧ для частот гетеродина служит дросселем параллельного питания, а конденсатор С35, настранвающий ее на частоту 6,8 МГц, — разделительным конденсатором. На върцкап контура гетеродина Д2 кроме напряже ния настройки подается напряжение с выхода частотного детектора для АПЧГ. Контуры  $L_{18}C_3$  $L_{19}C_{40}$  и  $L_{20}C_{42}$  образуют ФСС тракта ЧМ Штыревая антенна вместе с подводящими проводами, входной емкостью транзистора  $T_{18}$  и емкостью монтажа образует контур, настроенный в районе средней частоты диапазона УКВ. В системе стабилизации напряжения питания гетеродина и блока УКВ применен специальный транзистор  $T_9$ . Преобразователь частоты (транзисторы  $T_1, T_2$ ) выполнен по схеме на рис. 2.90 и свяван с гетеродином через резистор  $R_3$ . В коллектор<sub>т</sub> ные цепи транзисторов  $T_1$  и  $T_2$  включен индикатор настройки И. В базовую цель первого каскада УПЧ последовательно включены выходные контуры фильтров AM  $(L_{14}C_5)$  и ЧМ  $(L_{20}C_{42})$ . Детекторный каскад AM  $(T_8)$  при приеме на УКВ используется в качестве дополнительного усилителя, и в его коллекторную цепь включен фазосдвигающий трансформатор  $L_{21} - L_{23}$  — детектора ЧМ на диодах Д3, Д4. Режим преобразователя устанавливается регулировочным резистором R<sub>13</sub> по нулевым показаниям индикатора.

Таблица 2.11. Данные контуров и силового трансформатора радиоприемника

Обозначение по схеме	Число витков	Провод	Сердечник	Примечание
$L_1$	10	пэлшо 0,2	M100HH-2CC-2,8×12	Каркас Ø6 мм; отвод от 3 витка снизу
L <sub>2</sub>	3	пэлшо ол	M100HH-2CC-2,8×12	з визка снизу
L's 1	180	ПЭВ-2 0.1	M400HH 8×160	Ферритовая антенна
Ls .	55	ЛЭШО 10×0.07	M400HH 8×160	Ферриговая автенна
L.	6	пэлшо одъ	M400HH 8×160	_
La	15	ПЭВ-2 0.1	M400HH 8×160	_
L.	9	ПЭЛШО 0.2	M100HH-2CC-2.8×12	— Каркас Ø6 мм
	5	пэлшо од	M100HH-2CC-2,8 × 12	каркас ю о мм
La	26×4	лэ 3×0.06	45M600HH	_
L <sub>9</sub>	20 × 4		45M600HH	_
L10	40×4	ПЭЛШО 0,1 ЛЭ 3×0.06		_
L.11			M600HH-3CC-2,8×12	_
L12	28	пэлшо о,1	M600HH-3CC-2,8×12	7 1
Lis	33×3	ЛЭ 5×0,06	45M600HH	Отвод от 14 витка
L14	33×3	ЛЭ 5×0,06	45M600HH	То же
L <sub>15</sub>	4	ПЭВ-2 0,8	_	Без каркаса Ø6 им .
L 18	20	1,0 ошеп	-	На резисторе МЛТ-0,5- 100 кОм
$L_{17}$	4	ПЭВ-2 0,8	_	Без каркаса Ø6 мм,
				виутри породон
L18	18	ПЭШО 0,15	45M600HH	
L19	18	ПЭЩО 0,15	45M600HH	_
L20	18	ПЭШО 0.15	45M600HH	I
L211 .	18	ПЭШО 0.15	45M600HH	
L22	9	ПЭШО 0,15	45M600HH	_ 0
L21	2×9	ПЭШО 0.15	45M600HH	_
Тр, обмотка /	3000	ПЭВ-2 0.13	УШ16×24	Сердечник без зазора,
771 00301110 7		110.0 0 0,10		между обмоткой / и //
				продожены 2 слоя изоляции
	1	I .		н экранная обмотка в 1 слой
обмотка //	2×95	ПЭВ-2 0.59	I s	In awhausay condition is I click
OUNDING 11	1	1156-2 0,58		1
	1 '			
		1	1	1

В приемнике могут применяться любые ВЧ кремниевые тракзисторы, близкие по параметрам к КТЗ15 и тракзисторные сборки различных серий микросхем. Данные всех контуров приемника и трансформатора питания приведены в табл. 2.11.

В блоке 3Ч применены регулятор тембра (резистор  $R_{25}$ ) и транзистор  $T_{14}$  (Динамическая нагрузка). Транзисторы в УЗЧ за исключением вы-

ходного и предвыходного каскадов — креминевые, высокочастотные или среднечастотные. Транзистор  $T_{12}$  структуры  $\rho=n=p$  (КТ326, КТ337),  $T_{13}$  — МП38,  $T_{15}$  — МП40,  $T_{16}$  и  $T_{17}$  — ГТ402 или П214.

В блоке питания дноды  $\mathcal{A}_6$  и  $\mathcal{A}_9$  могут быть любого типа с  $I_{\text{вп. ср. max}} > 300$  мА. Все контурные катушки фильтров ПЧ помещены в экраны.

# 2.12. НАЛАЖИВАНИЕ ПРИЕМНИКОВ

# Порядок налаживания

Последовательность работ при влаживании обымо следующая: проверка правильноги и устранение ошибок монтажа; проверка правильности режимов полупроводинковых приверка правильности режимов полупроводинковых прием доли устранение несоответствия заданным; проверка можных дефектов в работе отдельных каскадов; подстройка и сопряжение визтерсов контуром; и мерение основных характеристик приемника в целом.

# Проверка правильности монтажа

В процессе могтажных работ необходимо тщательно проверить (например, с помощью омметра) правильность всех соединений в соответствии с принципизальной схемой, полярность выгоночния электролатических конденсаторов, отсутствие замиканий между электродами засектронных приборов, отсутствие замиканий между сбокотками отсутствие замиканий между сбокотками отсутствие отпринкасний пецаципованных выво. дов деталей между собой и с другими токоведущими элементами, отсутствие затеков олова, об-

резков монтажного провода и т. п. Электролитические конденсаторы проверяют на отсутствие утечек до установки их в приемник с помощью омметра с соблюдением полярности, указанной на конденсаторе. Омметр должен быть включен в положение измерения больших сопротивлений. При использовании в качестве омметра тестеров различных типов следует принимать во внимание, что у большинства из них отрицательный полюс внутренней батарен омметра соединен с выводом прибора, обозначенным знаком «+». При правильном подключении электролитического конденсатора к омметру и при исправном конденсаторе в момент включения стрелка омметра отклонится тем сильнее, чем больше емкость конденсатора, а затей медленно возвратится в исходное положение. Сопротивление изоляции конденсатора должно быть не менее нескольких мегаом, меньшее сопротивление может привести к изменению режимов электронных приборов (особенно транзисторов, т. к. в транзисторных усилителях электролитические конденсаторы обычно используют в качестве разделительных). Отсутствие броска стрелки указывает на внутренний обрыв или значительное уменьшение емкости конденсатора из-за высыхания электролита.

При отсутствии возможности проверки параметров электронные приборы проверяют на отсутствие междуэлектродных замыканий и на работоспособность. Отсутствие междуэлектродных замыканий проверяют с помощью омметра, причем для транзисторов и полупроводниковых диодов необходимо соблюдать полярность подсоединения щупов омметра. Сопротивление между выводами базы и эмиттера, базы и коллектора в одном из положений шупов омметра должно быть 10-500 Ом. При изменении полярности подключения на участке коллектор — база сопротивление должно быть не менее 100 кОм, а на участке эмиттер - база не менее 10 кОм, если транзистор исправен. Напряжение внутренней батареи омметра не лоджно превышать максимально допустимых напряжений для этих участков; например, у большинства ВЧ транзисторов максимально допустимое обратное напряжение база — эмиттер  $U_{\rm B9max} \le 1 \div 3$  В.

### Настройка приемников прямого усиления

Приемники прямого усиления можно налаживать без специальной измерительной аппаратуры.

После проверки режимов травлянсторов по постоянному току и малаживания УЗЧ можно попытаться принять какую-либо радиостанцию. Если мов салыша достатовие троком (без свыстов и некажений), значит, РЧ тракт и детектор приемника работатот нормально и можно приступить к подгокке границ принимаемого поддиапазона. При искажению прием следуе утеранить неполагами в работе УРЧ и детектора. После этого можно перейти к подгонке граница подпалазоном приемни-рейти к подгонке граница подгонавазоном приемни-

При отсутствии генератора сигналов эту работу лучше всего проводить с помощью вспомогательного приемника, в качестве которого можно использовать РВ приемник промышленного изготовления, имеющий градуировку шкалы. Желательно, чтобы в нем был индикатор настройки. Для контроля частоты настройки контура, определяющего настройку налаживаемого приемника, можно подать на этот контур ПОС. В одноконтурном приемнике с обратной связью ее увеличивают до возникновения самовозбуждения. Если в приемнике несколько колебательных контуров, то обратную связь следует подать на контур, связанный с детекторным каскадом. Наиболее просто осуществить ПОС, соединив конденсатором емкостью 5—15 пФ выхолную цепь следующего за указанным контуром каскада с входным контуром. Если генерация не возникает, то следует поменять местами концы катушки связи цепи базы транзистора с контуром.

После получения генерации налаживаемый приемник слабо связывают с вспомогательным приемником и принимают его «сигналы», замечая их частоту по шкале вспомогательного приемника. Используя вспомогательный приемник как волномер и изменяя данные контуоной катушки налаживаемого приемника, подгоняют настройку его контура в границы заданиюто поддиналозиа. После подгонки в диапазом сосновного» контура премитуры приемика настранавого контура премитуры премитак настранавого максимальной громкости приема. Сначала приеми настранавого на максимальной громкости приема. Сначала приеми на предусменной премительной премительной

При маличии генератора сигналов подгомку подыватамора влазживаемого приемника проводят дугем изстройки его на частоту генератора сигналов, установлениую ранее по его шкале. Модулированный звуховой частотой (400 ил) сигналов подости о входу приемника и 1000 г. пр. сигнал подводят мо входу приемника рев виток свяхи (ем. рис. 2, 11), если приемник расситата для работы с матилитой антенной.

### Настройка супергетеродинных приемников

Сигнал ПЧ (465 кГц, 6,5 МГц и т.: п.) можно получить от генератора сигналов либо от одного, из каскадов УПЧ вспомогательного приемника. настроенного на какую-либо местную радиостанцию. Если в налаживаемом приемнике селективность «рассредоточена», то сначала образцовый сигнал подают на вход последнего каскада УПЧ. Для ослабления влияния настройки контура, к которому подсоединяют входной сигнал, контур должен быть зашунтирован низкоомным резистором. Обычно это условие выполняется, если сигнал подается от генератора сигналов с выходным сопротивлением 50-75 Ом или снимается с обмотки связи с контуром ПЧ вспомогательного транзисторного приемника через конденсатор емкостью 0,01-0,05 мкФ. На слух (по максимальной громкости) или визуально (по показаниям прибора, включенного на выход приемника) настраивают выходной фильтр последнего каскада УПЧ. При наличии в приемнике нескольких каскадов УПЧ по мере настройки сигнал полают на вход предыдущего каскада и настраивают его контуры и фильтры, не изменяя частоты сигнала, но соответственно уменьшая его уровень во избежание перегрузки каскадов УПЧ.

При наличии цепей нейтрализации проходных емюстей трависторов каторойка УПИ производится следующим образом: после настройки послециего ФПИ (чентая от вкода приемника), когда инзкоомный выход генератора сигналов переносится на вход предыдущего каскада, изменением частоты генератора сигналов определяется уход частоты настройки последнего ФПИ. Есля частота застройки последнего ФПИ. Есля частота настройки мало изменилась (расстройка меньше 2-3 к $\Gamma$ u), то нейтранизующия емисоть выбрана правильно; если же расстройка больше допустимой и произойдет в сторону повышения частоты, то емисоть коидемсатора цени нейтрализации следует уменьшить, а если в сторону уменьшения — увеличить.

Во всех случаях при настройке тракта ПЧ следует срывать колебания гетеродина, настранваемого приемника во избежание ложных настроек, замыкая контурную катушку гетеродина.

Сопряжение настроек входима и гегеродинного контуров. Сопряжение можно ванинать с алобого поддиапазома. Если катушки входного или гетердинного контуров используются на двух или более диапазонах, нужно разобраться в схеме их коммутации и выбрать поддиапазон, с которого следует начинать сопряжение контуров.

Сопряжение контуров следует проводить в расчетных точках, которые для стандартных PB диапазонов имеют следующие значения:

На вход приемника подают сигнал от генсратра сигналов через эквивалент внешией антинальной очерез вительства темпина тительной приемника, и, поочередно настранявая приемника крайние частоты поддиапазонов, устанавливаемые по шкале генератора сигналов, выстранивающих подстроечных сердечников катушек и осей построечных хомденсаторов комденсаторов комде

При отсутствии генератора сигналов границы подываламов настранавемого приемника определяют с помощью вспомогательного приемника, на который принимают сигныл гетеродина дывлазова ДВ, настранвая приемник на 613 кТц (430 м) и одну частоту дывлазова СВ 980 кТц (430 м). Для установия эторой граничной частоты дывлазова СВ 6120 кТц принимают при приемника дывлачать принимают на настранавемый принимают на настранавемый принимают на настранавемый принимают при приемеральность и долько устанавливают границы дывлазова СВ, которые затем уточняют при приеме радностанций, работающих в участках диапазова. В д.

Настройка входных контуров. Генератор сигіалов поочерасно устанавливают на крайне частоты точного сопряжения и, язмейяя индуктивность на вижних частотах и емкость на верхных, подстранявлот по максимуму выходного напряжения входные контуры. При отустствии генератора сигналов входные контуры настраивают по масимальной громности сигналов радиоставицы, раположенных по шкале приемника вблизи частот точного сопряжения.

Операции по подгонке границ подднапазонов и сопряжению входных контуров проводят не ме-

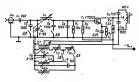


Рис. 2.122

нее 2—4 раз в каждой из указанных точек для последовательного приближения к точному сопряжению.

При сопряжении контуров приемников с настройкой ферровариометром (например, автомобильных) необходимы генератор сигналов и ВЧ милливольтметр. Схема преобразовательного каскада с настройкой контуров изменением индуктивности показана на рис. 2.122. Настройку осуществляют следующим образом; к входному контуру в точке его соединения со входом УРЧ или преобразователя частоты полсоелиняют ВЧ милливольтметр; ко входу приемника через эквивалент антенны подсоединяют генератор сигналов и с помощью подстроечного конденсатора С, и подбором конденсатора С3 в соответствующих диапазонах подгоняют границы настроек входных контуров. Затем по шкале генератора сигналов устанавливают частоту точного сопряжения диапазона СВ (1400 кГц) и по максимуму показаний милливольтметра настраивают входной контур на эту частоту. Затем, уменьшив входное напряжение во избежание перегрузки приемника, подстраивают катушку  $L_3$  контура гетеродина до получения максимума напряжения на выходе приемника. Аналогично настраивают входной контур на частоту точного сопряжения 560 кГц и сопрягают с ним контур гетеродина изменением индуктивности катушки  $L_4$ . Если в контрольной точке на средней частоте точного сопряжения получить не удалось, то следует несколько изменить емкость конденсатора С, и повторить всю операцию снова. В диапазоне ДВ на частоте 400 кГц сопряжение осуществляется изменением индуктивности катушки  $L_5$ , а на частоте 160 к $\Gamma$ ц — катушки  $L_6$ . После окончания настройки и подключения антенны необходимо уточнить емкость конденсатора  $C_{\circ}$ при приеме радиостанции в любой точке диапазона.

#### Налаживание тракта приемника ЧМ

Налаживание тракта ЧМ начинают с настройки контурве частоякоо деястора и УПЧ. Если детектор выполнен по семе симметричного дробпого детектора, на его вход подают напряжение ПЧ от генератора синталов, а к резистору Я, (ск. рис. 250 Подсесанияют высскоомный вольтчиму выходиют напряжения. Затем вольтметр вылочают между точками а и 6 и подстранявают вторучный контур, пока напряжение не упадет до нумя. После этого изменяют частоту генератора сигналов в обе стороны от номинального значения инвиТи на пинато зависимость напряжения между точками а и 6 от расстройки. Эта зависимость должам быть элинеймой в пределах  $\pm$  (75—100) КГи. Ее ликейвость и симметричность регулируются изменением сопротивлений реактора  $R_3$  и  $R_3$ ,  $R_4$  или изменением связи между контурами детектора.

При налаживании дробного детектора, выполненного по несимметричной схеме (см. рис. 2.57), параллельно резистору Яс, присоединяют временный делитель из двух резисторов с сопротивлениями 10—30 кОм каждый, после чего проводят регулировку. Как и в случае симметричной схемы.

После настройки детекторного каскада настранявато колитуры УПЧ по массимальному напряжению на входе детектора куп ограничитсяв, напряжение на входе детектора следует измерять ВЧ вольтметром. Напряжение постоянного тока на ограничитсяе можно замерять водатьметром постоянного тока, подключая его ко входу ограничитсяя или и электроличитескому конденсатору аробного детектора. При настройке контуров ПЧ необходимо следита за сохранением симметрии полосы пропускания относительно средией и пото детектора равно мужно. Шприна полосы пропускания тракта ПЧ должна быть не менее 120— 180 кГш.

Настройка контуров тракта ПЧ и частотного детектора существенно облегчается при применении прибора для настройки телевизоров типа X1-7 (ПНТ-59) или аналогичного генератора качаюшейся частоты с пайорамным индикатором. Высокочастотный выход прибора подсоединяют ко входу УПЧ, вход усилителя вертикального отклонения прибора подсоединяют к выходу частотного детектора и, разобравшись, какой из контуров влияет на форму характеристики тракта, настраивают контуры так, чтобы получить хорошую линейность S-образной кривой и нужную полосу пропускания тракта в целом, наблюдая за характеристикой на экране индикатора. Для определения точного значения «нулевой частоты» детектора пользуются кварцованными частотными метками или генератором сигналов, подключенным ко входу прибора «внешняя метка».

Блок УКВ заводского изготовления обычно настроен и в регулировке не нуждается. Блок УКВ самостоятельного изготовления настраивают с помощью ВЧ пробника прибора Х1-7, который подключают к выходу ПЧ блока УКВ. Ко входу олока подсоедияютя выход ВЧ генератора качающейся. частоты прибора и, изменяя настройку блока УКВ, по частотным меткам определяют диапазои принимаемых частот. При необходимости его корректируют подстройкой контура гетеродина. Входные контуры и контуры УРЧ настраивают по максимуму кривой на экране индикатора.

\*\*\*— Вълживание приемников ЧМ с симкронным детектором сводитех и катеройке контурон на заданные частоты или к подговке из иметроек дая доботы възданием расотъ въздансиров- ке УПТ в цени ФАПЧ, для обеспечения симиетричести полосъ захвата и удержания, подбору оптимального напряжеляя от гетеродина, подосу оптимального напряжеляя от гетеродина, подосу оптимального напряжеляя от гетеродина, подосу оптимального напряжеляя и гетеродина, подосу оптимального захвата и удержания, подбору оптимального захвата и удержания, подбору оптимального захвата и удержания подоставления самообумдения в негае ФАПЧ корректируется ФЧХ усилителя совместно с ФНЧ из възходе фазоного детектора.

Налаживание приемников со сверхрегенеративным детектором проводят регудировкой по постоянному току режима транзистора так, чтобы во всем перекрываемом диапазоне частот была устойчивая сверхрегенерация, определяемая по характерному шипению и чувствительности к принимаемым сигналам. Затем укладывается необходимый диапазон частот и окончательно подбирается режим детектора по минимуму искажений сигнала. При регулировке такого детектора в супергетеродинном приемнике кроме указанных работ необходимо провести сопряжение контуров по методике, изложенной ранее. Детекторный каскад обладает высокой чувствительностью и способен принимать сильные сигналы, лежащие в полосе побочных каналов приема без подсеждинения к контуру антенны. По этой причине сверхрегенеративный детектор в супергетеродинном приемнике должен быть хорошо экранирован.

#### Налаживание стереодекодеров

В радиолюбительских условиях для налаживания стереолекодеров целесообразно использовать КСС, получаемый с выхода частотного детектора до цепи коррекции предыскажений. Регулировкой добротности контура восстановления поднесущей добиваются, чтобы ее уровень при замыкании этого контура изменялся ровно в 5 раз после предварительной точной настройки этого контура по максимуму напряжения поднесущей частоты на выходе. Эту операцию лучше проделывать во время паузы в стереофонической передаче. Пауза в одном из каналов, которая обычно имеется в тест-сигнале, передаваемом РВ станцией перед началом стереофонических передач, используется для регулировки переходного затухания между каналами.



# ТЕЛЕВИЗИОННЫЙ ПРИЕМ

# РАЗДЕЛ

	СОДЕРЖАНИЕ	
3.1.	Структурные схемы и параметры телевизионных приемников Типовая структурная схема приенника черно-бедого изображения (94). Структурная схема телевизионного приемника цастного вображения (93). Параметры телевизионных приемников (97). Опреде-	94
3.2.	ление ссновых параметров по универсальной испытательной таблице (98). Секторы типеванновых капеданновых капеданновых капеданного и предоставления составления составления составления (предоставления составления составления (пр.) Составления составления (пр.) Составления составления (пр.) Составления составления (пр.) Составления	100
3.3.	устройства (11) сельно устройства (11) сельно и цветного изображения сельно устройства (14). УПИИ и УПЧЗ те- требования х УПЧИ (113). УПИИ на патранамсторах в интегральных микроссемых (114). УПИИ и УПЧЗ те- неморога и сельно устройства (113). И СПИ и СПР (114). И	113
3.4.	УПИМІГ-61-11 (116) Сены УПЧЗ и УЗЧ транзисторных телевазоров «Юность» (121). Блок УПЧЗ из интегральных мыкросле- Канал УПЧЗ и УЗЧ транзисторных телевазоров «Юность» (121). Блок УПЧЗ из интегральных мыкрослема. серия КІТЧ телевазоров УПИМІГ-61-11 (123).	120
3.5. 3.6.	Видеодетекторы и видеоусилители Ярхостный канал цветного телевилора Требования к яркостиму каналу (127). Видеоусилитель яркостного канала цветного телевизора на	123 127
3.7.	мікрослеме КЗУБ-22 (127) Цеходирунност утройство центога тектаноров Деходирунност утройство центога тектаноров МСЗ-26 (128). Деходирунност устройство та инкрослемах серви К155 и К174 центност отсовалора УПИМЦТ-61-II (120). Биле формирования и услаения выдесситалов за К155 ир Ксм2х серви К224 для, центого тектового (134). Джава оформирования и услаения выдесситалова.	128
3.8.	Селесторы випульское савкроильзяция (136). Генераторы стромой развертия (140). Стабылавами стромо развертия (140). Стабылавами стромо развертия (147). Апозателесская постройны системи в фазы стромоф развертия (147). Ене	
3.9.	системи (160) Алгонатическое регулирования в телеваораз (161). Автоматическое регулирование приоти в поддержание урожни первого (161). Автоматическое регулирование приоти в поддержание урожни первого (165). Автоматическое подстабиться с тетеродных (166). Автоматическое глашение жуми книжеском (167). Автоматическое разманиченами деятого кинеское (168).	161
3.10	Устройство сведения лучей в цветном кинескопе Цепи сведения лучей кинескопа цветного телевизора (170)	169
3.11. 3.12.	Блоин изгания Настройка грански на ображения и звукового сопровождения и на практов на ображения и звукового сопровождения и на практовы и при на практовы и на практовы	172
3.13.	стройка тракта арукового скоровождения с дробим детектором (177). Меторойка тракта арукового скоровом дена образования с дробим детектором (177). Меторойка тракта арукового скоровом дена образования с дробим детектором (178). Нестройка ТУПАЗ за интегральным инверсемам с дробимы детектором при повошие генератора каковарской самгова детектором (179). Нета дена детектором при повоше тектором (179). Нета дена интегральным инверсемам с дробимы детектором при повоше тектором (179). Нета дена дена с дробимы детектором при повоше тектором (179). Нета дена дена дена дена дена дена дена ден	181
	the state of the s	

# 3.1. СТРУКТУРНЫЕ СХЕМЫ И ПАРАМЕТРЫ ТЕЛЕВИЗИОННЫХ ПРИЕМНИКОВ

# Типовая структурная схема приемника черно-белого изображения

Современные телевизионные приемники выполняют по супергетеродинной сесем. При этогм для усиления сигналов звукового сопровождения в подавляющем большинстве телевизоров используют часть каскадов канала изображения (так называемая одноканальная сесем — рис. 3.1).

Привятое изображение воспроизводится из зарае книескопа течевнора. В блоке сикропазыции и разверток телензора вырабатываются перременные пылобразываетоки горчонов (16 565 Гы) и полужадорово (50 Гы) частоты, которые поступакт в отклюжению изображения (ОС) книескопатотора разверток выделяются из полного телензыновного сигнала в замлитуалом селекторе.

В современных телевизорых используют кнископпы с отплонением электронного луча магнитным полем. Поэтому в ОС токи от блока развертки вреобразуются амгнитные поля, под действием предоставления в поля полу под под слевя направо и сверку вниз, последовательноразвертнаяв изображение. На модулятор кнископа из приемного блока телевизора подавтся подмимот изображения. В присты воеорогаводимого изображения. Напримения для питания микроссем и транлисторов в теленизоре, вырабатываются в блоке питания, который содержит выпрамителы (или батарем и преобразователь напряжения в перевосных телепизорах). Высокие напряжения для питания кинескопа вырабатываются дополнительным выпрямителем, на который подаются импульсы мапряжения от геневатора строчкой возверстки.

Несущие ПЧ изображения и звукового сопровождения разделяются после видеодетектора. Видеодетектор выполняет также роль смесителя несущих частот сигналов звукового сопровождения и изображения. На его выходе образуется сигнал с частотой, равной разности между несущими ПЧ изображения и звукового сопровождения, т. е. 38-31,5=6,5 МГц. Так как одна из несуших ПЧ модулирована по амплитуле, а другая по частоте, то разностная частота оказывается промодулированной не только по амплитуде, но и по частоте (6,5 МГц ± 75 кГц). Разностная частога, являющаяся второй ПЧ канала звука. выделяется на выходе видеодетектора (или видеоусилителя) при помощи фильтра, настроенного на 6.5 МГп, а затем усиливается, ограничивается и детектируется, как и в обычном приемнике ЧМ.

Таким образом, прием сигналов звукового сопровождения велетк и двойным преобразованием частоты, причем вместо сигнала второго гетеодина используется несущая ПЧ изображения. Чтобы существенно уменьшить помехи на изображения со стороны сигналов заукового сопровомдения; нужно, чтобы амплитуда разностной частоты на выходе вывсодетесторо была в 10—20 раз меньше замилитула сигнала наображения. Участом сументимы УПЧИ в месте, тае расположена образовательного предоставленного образовать побыть по возможности близими к горизонтальному в пределах нескольких сотень кногосущ, с тем чтобы уменьшить вредную амплитудию модуляцию разностной частоты.

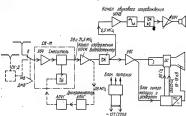


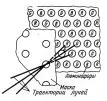
Рис. 3.1

Таблица 3.1. Телевизионные каналы, используемые в СССР

Номер канала	частотные гра- ницы кана- ли, МГц	Несущая часто- та изображе- ния, МГц	Несущая часто- та звукового сп- провождения, МГц
MB	48.556.5	49.75	56.25
2	58-66	59,25	65,75
3	76-84	77,25	83,75
4	8492	85,25	91,75
5	92-100	93,25	99,75
6 7	174 182 182 190	175,25 ' 183,25	181,75
8	190-198	191.25	197,75
9	198-206	199,25	205.75
10	206-214	207.25	213.75
11	214222	215,25	221,75
12	222-230	223,25	229,75
ДМВ	470 470	471.05	
21 .	470 478 478—486	471,25 479,25	477,75 485,75
23	486-494	487.25	493.75
	494-502	495,25	501,75
24 25	502-510	503,25	509,75
26	510518	511,25	517.75 525.75
27	518526	519,25	525,75
28 29	526-534 534-542	527,25	533,75 541,75
30	542 -550	535,25 543,25	549,75
31	550-558	551,25	557.75
32	558-566	559.25	565,75
33	566574	567,25	573,75
34	574 582	575,25	581,75
35 36	582590 590598	583,25 591,25	589,75
36	590 598 598 606	599,25	597,75 605,75
38	606-614	607.25	613.75
39	614622	615,25	621.75
40	622-630	623,25	629,75
41	630638	631,25	637,75
42	638646	639,25	645,75
43 44	646 -654 654662	647,25 655,25	653,75
45	662-670	663,25	669,75
46	670678	671,25	677,75 -
47	678-686	679.25	685,75
48	686694	687,25	693,75
49	694702	695,25	701,75
50	702 710	703,25	709,75
51 52	710—718 718—726 •	711,25 719,25	717,75 725,75
53	726-734	727.25	733.75
54	734-742	735,25	741,75
55	742-750	743,25	749,75
56	750 758	751.25	757,75
57	758 - 766	759,25	765,75
58 59	766—774 774—782	767.25 775.25	773,75 781,75
60	782-790	783.25	789.75

# Структурная схема телевизионного приемника цветного изображения

Кинсскоп цветного телевизмонного приемника. Кинескоп имеет три закетуронных промектора; расположениях в вершинах равиостороннего треугольника (рис. 3.2) или по прямой линии (рис. 3.3, а) и заран в выде мозявия из сотент высем втемен (рис. 3.2) или полос (рис. 3.3, а) ломинофотителя (рис. 3.2) или полос (рис. 3.3, а) доминофорента мозамии, расположенияе в строго определенном порядке, образуют трявам — групи из трех пятен. Три закетронных луча *R*, *G*, *B* создалоста тремя экстронным промекторами, кваждий



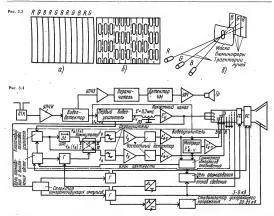
Duc 32

из которых состоит из подогревателя, катода, маруальном, ускоряющего электродов. Перед экраном расположена цветодентельная экакса — тонкий метальнический лист с кругламм (см. рис. 3.2) или щелевиданиям около 0.25 мм, число которых достигает 550 000. Каждый из трех лучей благодари фиксированому наклону прожекторы попадает лишь на пятан потомы, ломинисоры състоя двета и всемения на при потомы ломинисоры състоя двета и всемения прожекторы потомы да прожекторы потомы да прожекторы потомы да прожекторы потомы да прожекторы достигается при напряжения эторого анода до 25 кВ и токе каждого из лучей 300 — 400 ммА.

Структурная схема. Селектор кеналов, каскады УТИЧ, инделедетектор и какая азумоого соопроводьения цветного телевизора выдоличим одомиженным функциональным удами телевизорадая приема черно-белой программы. Поэтому при конструкровавии цветных телевизораю мом ю использовать селекторы каналов и приемно-усилительные блоки от обачных заворских или самодельных телевизоров, иногда с некоторыми переделками.

Блок разверток цветного телевизора сложнес, так как для работы отклоняющей системы трех-дучевого кинескопа гребуется большая моцность. Для него необходимо более высокое (20—25 кВ) и при этом стабильное ускоряющее напряжение. Кроме того, иужен отдельный выпрамитель, дающий 3—6 кВ на фокусирующий электрод кинескопа.

Существенной особенностью цветного телевизора является наличие в нем электромагнитной : системы сведения лучей трех электронных про-



жекторов кинескопа и блока цветности — устройства, декодирующего сигнал цветности.

Канал цветности. Функциональные элементы и группы этого блока выделены на структурной схеме цветного телевизионного приемника (рис. 3.4) штрих-пунктирной линией. Сигналы яркости и цветности разделяются после первого видео-усилителя. С его выхода цветовые поднесущие f<sub>R</sub>, и f<sub>B</sub> поступают на клапанный полосовой усилитель, выход которого соединен со входом І электронного коммутатора непосредственно и со входом // через ультразвуковую линию задержки (УЛЗ). Линия эта задерживает сигналы  $f_R$ и f<sub>B</sub> на время передачи одной строки изображения, т. е. на 64 мкс, благодаря чему оба сигнала f<sub>R</sub> и f<sub>R</sub> появляются на входах I и II коммутатора одновременно. При поступлении сигнала  $f_R$  вход / соединяется с выходом /V и вход с выходом III, а при поступлении сигнала f<sub>B</sub> вход I соединяется с выходом III, а вход II — с выходом IV. В результате на выходе III всегда появляется сигнал fв, а на выходе IV — сигнал  $f_R$ .

Коммутатор управляется П-образными импульсами, поступающими от генератора Г коммутирующих импульсов. Начальная фаза импульсов этого генератора устанавливается цейью опознавания и выключения цвета, которая, кроме того, закрывает клапаный усилитель пон пореме цветным телевизором черно-белой программы (когда в полном сигнале отсутствуют поднесущие  $f_B$  и  $f_R$ ).

С выходов коммутатора сигналы  $f_B$  и  $f_R$  поступают на ограничители, усиливаются и подаются на входы частотных детекторов. Здесь сигналы  $f_B$  и  $f_B$  детектируются, и на выходе детектора появляются цветоразностные сигналы  $E'_{B-\gamma}$  и  $E'_{R-\gamma}$ . Так как вместо сигнала  $E'_{B-\gamma}$  передается сигнал обратной полярности  $E'_{Y-R}$ , то наклон характеристики частотного детектора этого сигнала противоположен наклону характеристик детектора сигнала  $E'_{R-Y}$ . Сигналы  $E'_{R-Y}$ и  $E'_{R-Y}$  усиливаются в видеоусилителях, где осуществляется коррекция вилеочастотных прелыскажений, и поступают в матрицу, где формируется сигнал  $E'_{G-Y}$ , который усиливается видеоусилителем. Кроме сигналов от деталей изображения на выходе видеоусилителей  $E'_{B-Y}$  и  $E'_{R-Y}$  появляются сигналы опознавания, которые подаются в суммирующую цепь, содержащую фильтр верхних частот. Этот фильтр формирует сигналы, используемые для управления цепью опознавания и выключения цвета.

Полученные на выходе канала цветности сигналы  $E'_{B-Y}$ ,  $E'_{R-Y}$  и  $E'_{G-Y}$  поступают на модуляторы прожекторов кинескопа. Одновременно на катоды прожекторов поступает яркостный сигнал  $E'_Y$  с выхода видеоусилителя яркостного

канала. В кинескопе происходит вычитание сигнала  $E'_Y$  из сигналов  $E'_{B-Y}$ ,  $E'_{R-Y}$  и  $E'_{G-Y}$  (матрицирование), прожестром коазываются промодулированными сигналами цветности  $E'_B$ ,  $E'_R$  и  $E'_G$ , и на экране воспроизводится цветное изображение.

Получили также распространение цветные телевизоры, в которых матрицирование (вычитание) сигнала  $E'_{I}$  из сигналов  $E'_{I}$  на сигналов  $E'_{I}$  на сигналов  $E'_{I}$  на сигналов  $E'_{I}$  на  $E'_{I}$  у компания  $E'_{I}$  на  $E'_{I}$  из сигналом  $E'_{I}$  на  $E'_{I}$  из  $E'_{I}$  сустеменные из выходе этой цепи сигнало  $E'_{I}$  и  $E'_{I}$  сустемные из выходе этой цепи сигнало  $E'_{I}$   $E'_{I}$  и  $E'_{I}$ 

В видеоуснаятеле яркостного канала имеется линня задержин (ЛЗ), в которой сигнал Е/, задерживается на 0,6 — 0,8 мкс. Это необходимо для того, чтобо сигнал Е/ и запаздывающие сигналы цветности от одной и той же детали изображения одновреженно модумировали лучи прожекторов кинескопа. Из-за запаздывания сигналов цветности, усиливаемых в канале, полоса пропускания которого ўже полосы канала яркости (1,5 и 6 МГц соответственно), краски на экране кинескопа могут сдвинуться относительно контуров деталей изображения.

# Параметры телевизионных приемников

В зависимости от технических характеристик гелевнооры разделяются на стационарные и переносные (ГОСТ 18198—79). Телевнооры, находящиеся в эксплуатации и выпускавщиеся до 1990 г. по ГОСТ 18198—72, разделяются на классы I—IV (табл. 3.2), причем приемники классы I—IV отгатавлявание только переносными.

В телевизионных приеминках с засетронкой двапазом частот принименмых сигналов можей быть разбит из поддиватазомня: 1 — капалы 1 и г.; 11 — каналы 3—5; 111 — каналы 6—12; 11 и и V — каналы 21—65. Для обеспечения приема в 1 и и V поддиватазомах в терена возможность установки блокор СК.Д. Значения приематуючных частот приняты для изочения промежуточных частот приняты для изо-

чения промежуточных частот приняты для изображения — 38,0 МГц, для звука — 31,5 МГц. У стационарных телевизоров нестабильность частоты гетеродина от прогрева должна быть не более ±300 кГц, а при изменении напряжения питания от +5 до — 10% — не более ±200 кГц.

Таблица 3.2. Основные параметры телевизионных приемников черно-белого изображения

Параметр		Класс телевизора			
	I	П	111	IV	
Размер экрана кинескопа по днагонали, см. не менее Чувствятельность тракта изображения в I—III днапазонах, мкВ (дБ/мВт), не менее.	67	61	50		
а) ограниченная шумом	80 (-71)	85 (70)	110 (-68)		
б) ограниченная синхронизацией	27 (-80)	55 (-74)	110 (-68)	3	
Чувствительность тракта звукового сопровождения в I-III диапазонах, огра-	27 ( 80)	55 (-74)	110 (-68)		
виченная шумами (при отношении напряжений помехи и сигнала -26 дБ).		(,	(,		
мкВ (дБ/МВт), не менее					
Селективность, дБ, не менее:					
<ul><li>в точке —1,5 МГц</li></ul>	40	40	32	30	
в в полосе ниже —1,5 МГц	38	38	30	28	
<li>б) в точке +0,8 МГц</li>	45	45	45	30	
в полосе выше +0,8 МГц	Снижение	на 6	дБ/МГц	30	
Подавление несущей звука, дБ, не менее	26	20	20	20	
Эффективность автоматической регулировки усиления на I-III диапазонах:					
а) изменение сигнала на выходе, мВ	0,10-85,0	0,25-50,0	0,50-10.0	1,0-20,0	
б) изменение сигнала на выходе, дБ	2	3	3	3	
Максимально допустимый входной сигнал, мВ (дБ/МВт), не менее	85	85	85		
Максимальная яркость свечения, кд/м2, не менее	150	140	110	150	
Контрастность в крупных деталях, не менее	150:1	140:1	110:1	150:1	
Разрешающая способность в центре экрана, линии, не менее:					
а) по горизонтали	550	500	450 .	400	
б) по вертикали	600	550	500	400	
Нелинейные искажения растра по горизонтали и по вертикали, %, не более	±8	±10	±10	-	
Нестабильность размеров изображения, %, не более:					
a) or nporpesa	3	5	5		
<ul> <li>б) от изменения напряжения питания от +5 до —10</li> </ul>	4	6	6		
Расстройка частотного детектора при прогреве, кГц, не более	±10	±15	±20	± 25	
Среднее (номинальное) звуковое давление, Па, не менее	8,0	0,6	0,4	11	
Частотная характеристика тракта звукового сопровождения по звуковому	80-12500	100-10000	125-7100		
давлению (при неравномерности не более 14 дБ). Гц, не уже	1		1		
Коэффициент нелинейных искажений тракта звукового сопровождения по	1		1.		
звуковому давлению, %, не более:	l.	l -	_		
а)* на частотах 200—400 Гц	5	7	17		
б) на частотах свыше 400 Гц	1 4	5	5		
Уровень акустического шума, дБ, не более	30	40	40		

Примечание. Знак "означает, что норма для телевизоров конкретных типов указана в специальных технических условиях и стандартах, утверждаемых дополнительно.

<sup>4 3</sup>ax 663

У переносных телевизоров в поддиапазонах —III как от прогрева, так и от колебания напряжения питания в тех же пределах нестабильность частоты не должна превышать ±300 кП ц, а в поддиапазонах IV и V в зависимости от конкретного типа телевизора нормы утверждаются дополнительно.

Частота следования кладов и полей установлена равной соответственно — 25 и 50 Гц., частота разложения по строкам — 15 с62 Гц. а формат кадар соглишение сто шриных в кистот — 4.3 (ГОСТ 7845—79). При формате клада 4:3 длительность обратного хода длуча по вериками горизонтали должна составлять не более 5%, пето рода кладовой развертии и более 18%, периода строкной развертия и более 19%, периода строкной развертия и при формате клада 5:4 длительность обратио кома строкной развертия достаность обрати об клада 10 гм. при формате клада 5:4 дли строкной развертия достаность обрати об клада 10 гм. пред 10 г

ГОСТ 18198—79 и ГОСТ 16706—79 предусматривают для всех телевизоров выполнение следующих требований:

 номинальное сопротивление радночастотной входной асимметричной цепи должно быть равным 75 Ом, а коэффициент отражения в этой цепи не более 0.5;

2) уровень поля излучения гетеродина на расстоянии 3 м от теливизора на основных частотах ц гармониках 1—5 каналов не должен составяять более 500 мкВ/м, а на основных частотах 6—12 каналов — не более 1000 мкВ/м;

3) селективность по промежуточной частоге в полосе 31,25–39,25 МГа для і и женанов должна быть не ниже 40 дБ, а для остальных каналов — 50 дБ; селективность по зеркальному каналу на 1—111 поддиапазонах должна быть не ниже 45 дБ, а на IV и V поддиапазонах —50 дБ;

геометрические искажения растра типов «бочка», «подушка» «трапеция», «параллелограмм» не должны превышать 3%:

 синхронизация не должна нарушаться при изменении напряжения видеосигкала от номинального в пределах 0,75 — 3,5 и при изменении напряжения сети ±10%;

6) должно отсутствовать яркое пятно на экране

после выключения телевизора;
7) должна иметься возможность подключения телефонов как при включенных, так и при вык-

люченных громкоговорителях; 8) телевизоры должны подключаться к сети напряжением 220 В и сохранять работоспособность при изменениях напряжения питания от +5 до —10% (переносные телевизоры должны, кроме того, иметь автономный источник питаняя напряжением 12 В1.

Для стационарных телевизоров надо обссовчить наличие на модуляторе иннескова постоянной составляющей сигнала и отсутствие заменням жека-меній заука до повядения изображенпосле включения; автоматическую и ручную посторяку частоть гетеродина; ручаривоку тембра звука по нижним и верхным частотам; подключение магнитофона для записы звукового сопрочение магнитофона для записы звукового сопровождения; возможность управления как с помощью проводного, так и беспроводного дистаншионного управления (ДУ). В телевхоорах переносных выполнение перечисленных требований, предъявляемых к телевизорам стационарным, не обязательно.

В стационарных телевизорах должны применяться кинескопы с размером экрана по диагонали не менее 50 см, а в переносных — не более 45 см.

# Определение основных параметров по универсальной испытательной таблице

Для субъективного и объективного контроля соотвонам параметров телевизменных приемников и параметров черно-безого и цветного (по систем СЕКАМ) исъевизменных изображения порименяется универсальная засектрическай испытальная табляца — УЭИТ, которая позволяет контролировать параметри: формат изображения; построля по пределения; построляется и поражения; построляется и поражения; построляется и пределения; построляется установку уровия черного; установку уровия черного; установку уровия черного; установку уровия черного; установку увентромки изображения.

Кроме того, УЭИТ позволяет контролировать также параметры шветного техенвизионного изображения: верность цветопередачи на разных хросси и основные цвета кинескопа; совмещение (сведение лучей) трех изображений; диманический бально безого, щветовую чентестру установку «нумей» частотных детекторы: цветом размения с пределать п

Универсальная электронная испытательная таблица (рис. 3.5) имеет прямоугольную форму с отношением ширины к высоте 4:3. Отклонение УЭИТ от прямоугольной формы позволяет контродировать геометрические искажения телевизионного растра, УЭИТ имеет обрамление из чередующихся черно-белых (соответственно уровня черного и белого) прямоугольников в горизонтальных рядах / и 20 и в вертикальных А и Э минимальной и максимальной яркости. Они используются для контроля работы амплитудных селекторов синхроимпульсов (устойчивости синхронизации) в телевизионных приемниках и видеоконтрольных устройствах (ВКУ). При неправильной работе селектора вертикальные линии на экране становятся ломаными. О максимальном размахе сигнала изображения можно судить, проводя осциллографический контроль сигнала, соответствующего строкам обрамления УЭИТ

Испытательная таблица имеет сетку из 19 горизонтальных и 25 вертикальных белых линий. Сетка служит для контроля линейности разверток, сведения лучей цветного кинескопа и искажений в виде многокомтурности (повторов). Для



P⊭c. 3.5

проверки пскажений в виде многоком могут использоваться также темная для обстантное прямоугольнике (квадрат 10, Е зоитальные бельме ининеромируются в тате засветки двух соседних строк. Ветные линии сегим создажети имузы

Участки 10, E — X и 11, E — X предназ для проверки искажений в виде тян:

продолжений.

Поризонталь 13 служит для проверки я мой горизонтальной четкости. На ней нах семь групп черно-бельх штрихов, которых семетаруют енгаль частор 2, 4, 5, 4, 3, 4, 2 м Частотах 2, 3, 4, 5 м 16, 5 м Па соответствует сителам 4, 6, 5 м Па соответствует мерко 202, 330, 440, 550 и 600 линий четкости ределяемой по таблице ТИТ 0249, На экране с мого телевнора эти черно-белые штрихи пр регают дополнятельную окраску, создавлению триламию тим, попадающими в жинал цветно-

В участках  $\beta$ , 4, FA и U4; I, I8, FA и U4 у положены вергикальные черно-белые штрахи. Вспользуются для контроля четкости по утгабилии и фокусировки эксперионго ауча, в деятором и деятором учаственной и деятором и д

еся черно-белые квадраты, которые совместно с участкам 14, 15, 3— У предыватычены для контроля соответствия уровней яркостного и це-торазмостных сигналов, контроль проводят при выключенном блоке цветности путем сравнения ряркостей соответствующих участкою горизонталей 16 и 14, 15 при закрытых двух лучах кинескопа.

Для контроля закрывают синий и зеленый элек-

ет иста-

белой линии на границе квадратов H ос вертикальной линией, разделяющей H и O, которые служат для статического для днего для дей центого кинископа и для центизображения. Для оценки жачества четрочной развертки вы участве H, E - K оплажена диагональная светам линии. При вимет и для днего для правертке диния в имет выдомор и центового должертке диния

На жране цветного телениора в горизонтаяга 6, 7 и 14, 15 воспроизводятся цветные полосы различной вряссти и насыщенности. Они предзазначены для объектняюто цветки с помощью колориметра верности цветопередачи на разлых уровнях яркости и для контроля основных цветов приемника (горизонтали 14, 15). Цветные полосы ваться для проверки коррекция предыскажений по выдеочастоге (осциалографическим способом или визуально по воспроизведению переходов от одного цвета к другому).

На экране цветного телевизора в горизонтали 9, E — X воспроизводятся цветные штрихи. для визуальной проверки цветовой четкости в следующей последовательности: желто-синие штрихи, которым соответствует частота нипульсов 0.5 МГц, желто-синие штрихи (1.0 МГц), красно-голубые штрихи (1,0 МГц) и красно-голубые штрихи (0,5 МГц). По желто-синим штрихам (0,5 МГц) контролируют работу линии задержки яркостного канала и временное совпадение яркостного и цветоразностных сигналов. По цветным штритакже возможен контроль настройки контура коррекции высокочастотных предыскажений («клеш»). При правильной настройке контура «клеш» цвет желто-синих и красно-голубых штрихов примерно соответствует аналогичным цветам горизонталей 6, 7. Если теряют окраску желтые и красные штрихи, то это означает, что контур «клещ» настроен на более высокую резонансную частоту, если же синий и голубой, то на более низкую. По горизонтали 8.  $\Gamma$  — C дана шкала контро-

лирования воспроизведения градаций яркости, динамического баланса белого, а также установки «нулей» частотных детекторов цветоразностных сигналов. При правильной установке нулей серая шкала не должна изменять своего цветового оттенка при включенном и выключенном блоке цветности. Для их установки закрывают красный и зеленый (а затем синий и зеленый) лучи кинескопа. Настраивая контур частотного детектора канала синего (красного), добиваются равенства яркостей участков горизонтали синего (красного) цвета при включенном и выключенном блоке цветности.

Участки 8, Д и Г служат для установки уровня черного. Уровень сигнала, соответствующего участку 8. Д. на 4% выше уровня черного. Сначала регулируя яркость изображения, добиваются, чтобы на участках 8, Г и 8, Д было заметно различие по яркости. Затем ее уменьшают до тех пор. пока яркости этих участков не сравняются.

# 3.2. СЕЛЕКТОРЫ ТЕЛЕВИЗИОННЫХ КАНАЛОВ

### Требования к УРЧ селекторов

К усилителю радиочастоты, входящему в состав селектора, предъявляются следующие основные требования; уровень собственных шумов, вносимых УРЧ, должен быть минимальным; принятый сигнал нужно усилить до уровня, превышающего уровень собственных шумов, следую-щего за УРЧ преобразовательного каскада; неравномерность полосы принимаемых частот на всех каналах - от несущей изображения до несущей звука — должна быть не более 2-3 дБ.

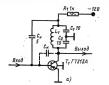
### УРЧ селекторов на транзисторах

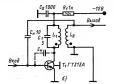
В УРЧ малогабаритных и переносных телевизоров транзистор можно включить по схеме ОЭ. Так как входное сопротивление транзистора в этом случае выше, чем при включении по схеме с заземленной базой, то удается лучше согласовать его с входным контуром. Для устойчивой работы такого УРЧ применяется нейтрализация внутренней обратной связи, возникающей в транзисторе из-за емкости коллекторного перехода. этой целью в усилителе введена цепь внешней обратной связи, через которую передается напряжение из выходной цепи во входную в противофазе по отношению к напряжению, действующему через внутреннюю обратную связь. В усилителях по схемам на рис. 3.6 элементом

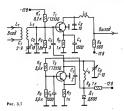
нейтрализации служит емкость Си. Получить противофазное (по отношению к коллекторному) напряжение для цепи нейтрализации удается, заземлив среднюю точку контура  $L_1$   $C_1$   $C_2$  (рис. 3.6,a) или снимая это напряжение с дополнительной катушки  $L_2$ , связанной с контуром  $L_1$   $C_1$ . В усилителе на рис. 3.6,6 емкость С, зависит от коэффициента трансформации и связи между катушками  $L_1$  и  $L_2$ , а в усилителе на рис. 3.6, a – от отношения емкостей конденсаторов  $C_1$  и  $C_2$ . Подавая напряжение сигнала от генератора на коллектор транзистора, подбирают такую емкость Си, чтобы напряжение сигнала во входной цепи, измеренное ламповым милливольтмером, было минимально. Наименьший уровень внутренних шумов УРЧ на транзисторе достигается при токе коллектора 2—3 мА.

### Преобразователи частоты селекторов

Наибольшее распространение получил преобразователь частоты, выполненный по схеме на рис. 3.7. Транзистор  $T_1$  работает в смесителе







частот, а T<sub>A</sub> — в гегеродине. Травлистор сместов выключе по схоме ОЭ, т.к. коофициентов выключе по схоме ОЭ, т.к. коофициент преобразования такого сместская вышя, чик у темествая выбирается из соображений получения мыстепая выбирается из соображений получения мыстепам выбирается из соображений получения мыстепам выутренних шумов сместепа не имеет такого загачения, жак в УРЧ, Связа между УРЧ и сместепаем может быть индуктивной или еммосттакого загаченных как в УРЧ, Связа между УРЧ и сместепаем может быть индуктивной или еммост объекта при капряжении от гетеродива обоспечивается при напряжении от гетеродива обоспечивается при напряжения от гетеродива обоспечивается при напряжения объекта при напряжения предела предела при напряжения предела предела при напряжения предела пре

Гетеродин выполнен по емкостной трехточечной схеме, в которую входят емкости коллектор-

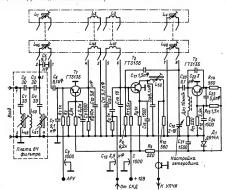
ного и эмиттерного переходов. Обратива связаосуществляется чрез вебольтуро емость С. габильность частоты зависит от температурных свойсть тразичестора и элементов гетеродина. Для ее улушения применяют колденсатора С, и СД с отридательными ТКЕ. Чтобы частота генерании не зависела от напряжения питания, его стабъягизирног при помощи стабъягирова, его

# Селекторы каналов диапазона метровых волн

Селектор каналов ПТКП-3. Селектор ПТКП-3 с механическим переключением каналов (рис. 3.8) выпускался для переносных телевизоров серин «Юность» и «Электроника» (ППТ-23-1, ППТ-23-2, ППТ-16-1 и др.).

Усилитель радиочастоты на траизисторе  $T_1$  выполнен по схеме (б. В. цень эмитгра траизистора  $T_1$  включен П-контур, образованный конденстра торами  $C_2$  —  $C_1$ , включен бымостью траизистора, емкостью монтажа и катушками  $L_1$  —  $L_4$ ь, перек-почаемыми прирыем в каналах I - I.2 Фильтры  $L_4$  —  $L_5$  —

Цепь коллектора транзистора  $T_1$  связана через полосовой фильтр с катушками  $L_2 - L_{47}$  с целью базы транзистора  $T_2$ , работающего в смесителе. В первичный контур этого фильтра входят выходная емкость транзистора  $T_1$ , емкость монтажа и конденсатор  $C_{10}$ , а во вторичный  $T_2$ 



входная емкость транзистора  $T_2$ , емкость монтажа

и конденсаторы  $C_{11}$ ,  $C_{14}$ .

Через фильтр  $C_8R_1$  на эмиттер транзистора  $T_1$  подается напляжение АРУ. При увеличении принимаемого сигнала это напряжение сильнее запирает транзистор  $T_1$ , что приводит к уменьшению усиления каскада.

Транзистор  $T_3$ , включенный по схеме OБ, работает в гетеродине с емкостной обратной связью. Его режим по постоянному току устанавливается резисторами  $R_{11} - R_{13}$ . Напряжение питания гетеродина стабилизировано стабилитроном Д. Положительная обратная связь из цепи коллектора в цепь эмиттера осуществляется через конденсатор  $C_{22}$ . В таком гетеродине уровень генерируемого сигнала оказывается постоянным во всем рабочем днапазоне, так как уменьшение усиления транзистора Та с повышением частоты компенсируется увеличением внутренней обратной связи. В контур гетеродина входят катушки  $L_4 - L_{48}$  и конденсатор переменной емкости  $C_{19}$ , которым осуществляется плавная настройка на выбранный канал

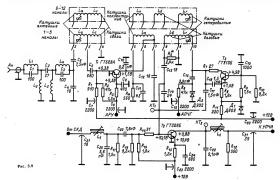
В селекторе ПТКП-3 предусмотрена возмож-

ность подключения селектора для приема ДМВ. Для этой цели можно использовать селекторы СК.Д-1, СК.Д-20 и СК.Д-22, выход которых подключается ко входу ДМВ селектора ПТКП-3, смеситель которого при этом работает в качестве дополнительного каскара УПЧИ.

Селектор каналов СК-М-15 выпушен для позирроводинковых и дамново-полупроводинковых телевыцовных приеминков черно-белого и цветкого изображения II масса серый УПТ-61-II лектора с механическим переключением канало сК-М-15 (рис. 3-9) имеется ФВЧ, подважноший помежи на частотах инже первого телевизнопного канала, в том чясле и да дипадоне ПУ-Вколиую цепь селектора образуют переключаемые катушки матегова 7, частова СК-С за компани емексть траизистова 7, частова СК-М-15 компани емексть траизистова 7, частова СК-М-15 компани емексть траи-

Усилитель радиочастоты на транзисторе  $T_1$  собран по схеме ОБ. Автоматическая регулировка усиления осуществляется изменением напряжения на базе транзистора от 9 до 4 В. Нагрузжой транзистора  $T_1$  является полосовой фильтр  $L_k$   $C_{10}$   $C_{11}$   $L_0$   $C_{13}$   $C_{14}$ .

Гетеродии собран на транзисторе  $T_1$  по емкостной трехгочений схеме с заземленной базой. Обратива связь межалу коллектором и эмитгером транзистора осуществалестя через кондексатор  $C_{10}$ . Резистори  $R_7 - R_{10}$  определяют режим транзистора  $T_2$  по постоянному току. Подаваемое на него напряжение стабилизируется при помощи режистора  $R_1$ , и стабилитрома  $T_1$  (1809). Частот гетеродина определяется параметрами контура  $T_2$ ,  $C_{10}$  и микостью варикана  $T_2$  (1902). На вари-



кап через резистор  $R_0$  подвется управляющее напряжение, что позволяет осуществить электронную подстройку частоты гетеродина. Изменение управляющего напряжения от 1 до 11В вызывает, изменение частоты в пределах  $\pm 1,5$  МГц. Напряжение гетеродина, поступающее на смеситель через конденсатор  $C_1$ т, составляет (в зависимости от канала) от 50 до 200 МВ

Смеситель выполнен на транзисторе  $T_2$  по схеме ОЭ. Для согласования вколього сопротивления транзистора со вторым контуром полосового фильтра примене емкостный делитель напряжения их конденсаторов  $C_{13}$  и  $C_{14}$ . Нагрузкой смесителя является контур  $I_6$ .  $C_{22}$ . Резисторы  $I_{15}$ ,  $R_{15}$ ,  $R_{13}$  и  $R_{12}$  сопределяют режми транзистора

по постоянному току.

В селекторе СК-М-15 предусмотрена возмоммость постоянного подключения к базовой цепи смесителя выхода селектора квиалов СК-Д-1. Для того чтобы устранять взаимносе влияние селекторов и иметь возможность корректировать результирующую частотирую характеристику при их стыковке, к базовой цепи смесителя подсоединеи комтур, офлаованный катулико  $L_x$  комденсаторами  $C_2 = C_2$  и реэкторами  $R_1$   $R_1$ ,  $\Pi$   $R_2$ рам  $R_2$   $R_3$   $R_4$   $R_4$  R

Селектор каналов СК-М-15 смонтирован в металлическом корпусе и имеет барабанный переключатель, в котором установлены контурные ка-

тушки всех 12 каналов.

Селектор каналов СК-М-20. Селектор СК-М-20 с механическим переключением каналов предназначен для малогабаритных переносных телевизоров. При подключении к селектору СК-М-20 
селектора СК-Д-20 обеспечивается пр.ем телевизионных передач в диапазоне ДМВ.

Параметры селектора СК.-М.-20: селективность по ПЧ 47 дБ. квреавномерность частотиой характернствик в полосе между несущими частогам частоты кетеродина от прогрева, не более 220 кПц. частоты гетеродина от прогрева, не более 220 кПц. от изменения питакощих напряжений, не более 60 кПц. коминальное напряжение АРУ 8 В, глубина АРУ, не менее 20 дБ. Напряжение питания 10,5 В, потребляемый ток 8 мА. Габариты селектора: 75 х39 ×55; масса 210 г.

Селектор (рис. 3.10) содержит фильтр радиочастоты, УРЧ, смеситель частот, гетеродин и цень подключения селектора СК-Д-20.

Фильтр радиочастоты  $L_1 - L_4$ ,  $C_3 - C_4$  с волновым сопротивлением 75 Ом задерживает сигналы частотой от 0 до 44 МГи, при наибольшем затухании на участке ПЧ 31,5 — 38 МГи;

Транзистор 7, работает в УРЧ по схеме ОБ. При этом не требуетем нейтрализации паразитной обратной связи, возникающей между выходом и входом транзистора, уменьшаются изменение параметров селектора от действия системы АРУ и нелинейные искажения и увеличивается динамический дипалазон принимаемых синталех.

Каскад УРЧ охвачен АРУ. С уменьшеннем начального напряжения, гладавемого на базу тракистора  $T_1$ , коллекторный ток транистора уменьшается. Включение в цень коллектора реакстора  $R_1$  приводит к Оббасомого, синьсенно уследния въза умень- к Оббасомого, синьсенно уследния пъта умень- служит для предохранения транинстора  $T_1$  при выходе из строт системы АРУ.

В колленторную цепь транзистора  $T_2$  смесителя ключен П-образный контур  $\Gamma_1$   $L_C$  II, настроенний на частогу 34, 75 МГц, обеспечивающий выходное сопротивление селетора 75 Он и уменьшающий напряжерие гетеродина на выходе селектора. К обае транзистора  $T_2$  подключен также контур  $C_{12}$   $L_2$   $C_{15}$ , который вместе с выходным контуром селектора дилаполова ДМВ образует полосовой фильтр, настроенный на полосу промежуточных частот 31,5—38 МГц.

При приеме телепередач в диапазоне ДМВ смеситель СК-М-20 работает как добавочный каскад УПЧ, компексируя уменьшение коэффициента усиления. При этом от гетеродина и УРЧ напряжение питания и АРУ отключается.

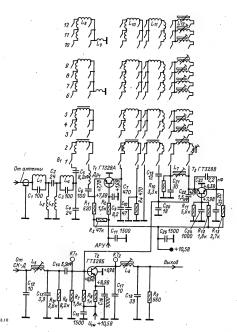
Гетеродин селектора выполнен на транзисторе  $T_5$  по емкостной трехточечной схеме. Плавная подстройка частоты гетеродина осуществляется изменением индуктивности катушки  $L_7$ , подключенной параллельно катушкам его контура.

. Для уменьшения размеров ротора переключает чебя катушки квалаю как во кождом контуре, так и в контурк полосового фильтра  $I_{10}$  с  $I_{10}$  С $_{10}$  С $_{10}$  С $_{10}$  Сос оссимены последовательно; для обеспечения навлучшего соотношения между коэффиниваты и и отражения во всех т-лежению-имх каналах последовательно сонтишены катушки групп каналах последовательно серачению к групп каналах последовательно серачению то катушек применены ферритовые серачения от для тушки применены ферритовые серачения для тушки в полосу пропускания контуров на 1-5 каналах, умевьшая неравномерность АЧХ.

Для уменьшения габаритов селектора применен многодисковый ротор, на отдельных дисках которого смонтированы катушки всех каналов одноименных контуров.

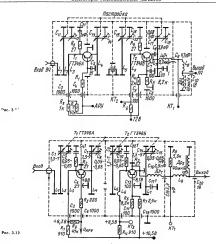
# Селекторы каналов диапазона ДМВ

Селектор каналов с механической настройко ККД-1. Ангений ввод селектора каналов с механической настройкой связан с входиям контуром  $L_{\rm LG_1}$  через легило связи  $L_1$  (рис. 3.11), предназъяченную для согласования сопротивлетенны. Радиочисточный срима через негало связи  $L_2$  -поступает в змиттерную цепь транзистора  $T_2$  уРУI. Нагруакой транзистора  $T_2$  служит полосовой фильтр, образованный двумя четвертвьющьюмым отрежами длинимых линий  $L_2$  и переменными койденсаторами  $C_1$ ; и  $C_2$ ;  $L_3$  я полученных трефемых полосы пропускания и селективности связь между контурами  $L_{\rm LG_3}$  и  $L_2$ ; выборная выше критической. Связь осуществ-



ляется через щель в перегородке у короткозамкнутых концов линий  $L_4$  и  $L_5$  и летию связы  $L_9$ . Автоматическая регулировка усиления производится путем изменения напряжения в цепи базы транзистора  $T_1$ . Напряжение APУ при максимальном усилении составляет 9 В.

Автогенерирующий смеситель частот собран на транзисторе  $T_2$  по схаме ОБ. Он связан с полосовым фильтром с помощью петли связи  $L_{p,c}$  Транзичсто натружен по радиочастоте контуром гетеродина  $L_{p,c}$   $C_{1,c}$  а по промежуточной — контуром  $L_{p,c}$   $C_{p,c}$  ретеродина выполнен по емкостной трехточечной схеме, в которой связь между змиттером и колдектором осуществляется через межълектродиую емкость  $C_{p,c}$   $L_{p,c}$   $L_{p,c}$ 



пуса транзистора. Связь транзистора с контуром гетеродина  $L_7$   $C_{17}$  осуществляется через конденсатор  $C_8$ .

Рис. 3 1

Настройка на требуемый канал производится при помощи блока переменных конденсаторов  $\vec{C}_{11}$ ,  $C_{13}$ ,  $C_{15}$  и  $C_{17}$ . Сопряжение настроек контуров, к которым подключен каждый из этих конденсаторов, достигается с помощью гибких металлических пластинок, которые закреплены на стенках секций и образуют конденсаторы  $C_{12}$ ,  $C_{14}$ , C16 H C18.

Селектор СК-Д-1 собран в прямоугольном корпусе, когорый разделен перегородками на пять отсеков. В первом отсеке размещен входной контур  $L_2$   $C_{11}$  и петли связи  $L_1$  и  $L_3$ , во втором — контур  $L_4C_{13}$ , в третьем — контур  $L_5C_{15}$  и петля связи  $L_6$ . В перегородке между вторым и третьим отсеками имеется щель с петлей связи L<sub>0</sub>. В четвертом отсеке находятся контур и детали гетеродина, в пятом отсеке установлены детали выходной цепи селектора и его верньерное устройство.

Селектор каналов СК-Д-20. Селектор каналов СК-Д-20 с механической настройкой рассчитан для установки в малогабаритные переносные телевизоры совместно с селектором каналов СК-М-20 и имеет следующие технические характеристики: диапазон принимаемых частот 470-790 МГц; неравномерность частотной характеристики в полосе между несущими частотами изображения и звука, не более 3,5 дБ; селективность по ПЧ, не менее 60 дБ; селективность по зеркальному каналу в диапазоне 470 — 640 МГи (среднее значение) 50 дБ; номинальное напряжение АРУ (при максимальном усилении) 8 В Напряжение питания 10,5 В, потребляемый ток, не более 15 мА. Габариты селектора:  $40 \times 54 \times 126$  мм; масса 250 г. Селектор (рис. 3.12) содержит входную цепь, VPЧ на транзисторе  $T_1$ , преобразователь на тран-

зисторе  $T_2$  и выходную цепь. В селекторе применены коаксиальные четвертьволновые колебательные контуры, плавно перестраиваемые в рабочем диапазоне конденсатором переменной емкости.

Входиян цель служит для согласования волновог сопротивления антенного фидера 75 Ом с входным сопротивлением УРЧ. Оптимальное согласование доститается на среденей частоте рабочего дипазона подбором связи входиного контура с автенной, осуществляемой изменением положения петла связи І, относительно линии Ісложения петла связи І, относительно линии Іс-

и  $L_2$  через шель в перестородке между отсеками. Транянстор  $T_2$  работает в стетродине престоечной золятельственного выполнен по трестоечной золятельственного выполнен по трестоечной электродиую омность между коллектором и эмиттером транзистора, усылаен-ой подключением его корпуса в камаюц коллектора. Нагружой транзистора  $T_2$  по промеждуточной частоте служит даужонтурный фильтур  $T_1$ . Первым контур  $C_{16}Z_0$  болуто — в сексторе  $C_{K-1}Z_0$ 0, а второй контур— в сексторе  $C_{K-1}Z_0$ 0. Вазы между контурами внутриемостиям. Емистью связи, около диняющий сексторы, и консценсторы с обоих концов кабеля  $C_{20}$  в тесенторы  $C_{17}Z_0$ 0 и  $C_{12}$  в селекторе  $C_{K-1}Z_0$ 0 и  $C_{12}$  в селекторе  $C_{K-1}Z_0$ 0 и  $C_{12}$  в селекторе  $C_{K-1}Z_0$ 0 и  $C_{12}$  в

Дроссель  $\mathcal{A}p_1$  — бескаркасный с внутренным дваметром 2,5 мм — содержит 12,5 внтков провода ПЭВТЛ-1 0,41. Дроссель  $\mathcal{A}p_2$  — типа ДМ-0,1. Катушка  $L_{\rm s}$  контура ПЧ намотана на каркасе  $\mathcal{B}5$  мм и содержит 31 внток провода ПЭВТЛ-1 0,17. Сердечник — латунный (Л-63) с резьбой М4 и данкой 9 мм.

Конструктивно селектор выполнен в корпусе, разделенном перегородками на пять отсеков. В первом отсеке размещен контур вкодной цент В следующих по порядку отсеках накодятся ситуры палосового фильтра УРЧ, гетеродина и контур ПЧ с вериверным устройством. Корпус нетру ПЧ с вериверным устройством. Корпус натру ПЧ с вериверным устройством. Корпус наков поактильных четвертвовалювых линий, эт этого они покрыты кадымем, а центральные проводники 1.2, L., 4. к. и, 1 поссерберны.

#### Селекторы с электронным переключением каналов

Механические переключаголі, используемые в селекторах для переключення каналов, обладног рядом недостатков, главными из которых являют, со окисление и стирание контактов, а также понижение издежности фиксации из-за износа меканических частей в процессе эксплуатации. При приеме программ нескольких телецентров из-за частого переключения возможна положиг ряда механических частей таких переключателі механических частей таких переключателі механических частей таких переключатель механических частей таких переключатель доставать профессов механических частей таких переключатора. Кроме перечисленных недостатков механических миогожальных бладование переключаческих миогожальных бладование переключатели, применяемые в селекторах, имеют значительные габариты, существенно увеличивающие габариты телевизоров в целом и особенно портативных, где остальные детали, включая кинескоп, делают малогабаритными.

Вальным преимуществом селокторов с бескольтактимы алектронным переклатовением кваналоватактимы алектронным переклатовением кваналовавалается возможность осуществления сенсорного от касания пальцы) переклатовения, а также различных систем дистанционного и программируемого переклочения кванало со доздание селектрос заектронным переклатовом и загостра рывов настройкой стало зозможным благодар разработке специальных переклачоващих диодел долей ома) сопротивлением во включном состранием и предоставато не смости и удовлеторительной доброгностью пллоть до высших частот дипавляюм друм.

Селектор каналов СК-М-Э. Селектор телевизопных каналов диаплиям ВВ СК-М-Э. — раззисториям, с электронными настройкой, коммутацией поддиваловой в пересключением каналов, с-фасктроника-Ц-430». Из-за ограниченного перекратия но емиссти примежениям для настройки селектора вариканов диапазон его разбит на два поддиваловия: 1—1—5. Ц П—6—12 каналы.

Селектор (рис. 3.13) состоит из входных целей, ВУРЧ, выполненного из транисторах  $T_1$  и  $T_2$ , смесителя частот из транисторах  $T_3$  и гетеродина, собранного на транисторе  $T_4$ , по схеме с емкостной обратной связью. На поддиналазии с І входняя цель образована элементами  $C_4$ ,  $L_5$ ,  $C_6$ , а на поддиназоне. П  $C_4$ ,  $L_5$ ,  $C_7$ ,  $C_8$ , C

При подаче на вход 7 соответствующих коммутирующих напряжений диоды  $\mathcal{L}_1 - \mathcal{L}_2$  переключают входные цепи.

В УРИ работают транзисторы Т, и Т, включения по касколной схемс При таком включения транзисторов не нужна вейтрализация, равномерне усласиве по днапазону и малы пелививом сесех при намения вейтрализация и малы пеливичения вейтрализация при намения вейтрализация при намения вейтрализация при намения вейтрализация пределения вейтрализация пределения вейтрализация пределения вейтрализация вейт

Дляй получений необходимых ширины полосов процускания и селентивности в качестве нагрузки УРИ непользуется полосовой фильтр. В подавляться и полосовой фильтр. В подавляться и полосовой фильтр. В подавляться и полосовой примента в вторычамы полосоващим и полосоващими и полосоващими и полосоващими к полосоващими к получений и полосоващими к полосова

£<sub>12</sub> и L<sub>13</sub> соответственно и обеспечивают связь со смесителем в обоих поддиапазонах. В смесителе работает транзистор T<sub>2</sub>, включен-

ный по схеме ОБ. Нагрузкой этого гранзистора служит П-контур  $R_{25}$   $C_{13}$   $L_{10}$   $C_{45}$  с полосой пропускания около 7 МТи. Селектор имеет выходное сопротивление 75 Ом, что делает некритичной длину кабеля, соединяющего селектор с входным контуром УПЧИ телевизора.

В 'гетеродине селектора работает транзистор  $T_{\rm c}$ , включенный по схеме ОБ и образующий с контуром  $L_{\rm F}$ ,  $L_{\rm H}$ ,  $L_{\rm L}$ ,  $L_{\rm S}$ , емкостную тректоченную схему. Сигная гетеродина с амилитуам, необходимой для достижения оптимальной крутизив преобразований, симиается с контура и через транзистора  $T_{\rm c}$ , сисстепан. Для устранения парегоразиных колебаний в цель кольектора транзистор  $T_{\rm S}$ , сисстепан. Для устранения парегор  $T_{\rm S}$ , димочен резистор  $T_{\rm S}$ , димочения  $T_{\rm S}$  селест  $T_{\rm S}$ , димочения  $T_{\rm S}$  селест  $T_{\rm S}$ 

напряжения обеспечивается стабилитроном  $A_{12}$ . При подключении селектора диапазона ДМВ цепь  $C_{30}$ ,  $C_{31}$ ,  $B_{11}$ ,  $B_{12}$ ,  $B_{13}$ ,

этого фильтра ввляется выходной П-контур селектора дыпалозона ДМВ с эмектронной настройкой сСК-Д-22. Селекторы соединяют отрежом коакси-ального кабеля любого типа с собственной емсоктью 15 пФ. В этом соучае транзистор 7, работает как дополнительный УПЧ. Питание УРЧ и гетеродина селектора диапазона МВ при этом отключается.

В селекторе СК-М-Э электронная настройка на необходимый телевизионный канал осуществляется подачей через гнеэдо 8 на варикапы Да Д<sub>в</sub> Д<sub>11</sub> соответствующего напряжения, изменяющегося в пределах 2 — 25 В.

При подаче отрицательного или положительного напряжения 12 В на комутирующие диоды через гиездо 7 и при подаче или силти напряжения питвия +12 В и а УРЧ и гетеродин происходит электронняя коммутация подампазол мо 8 МВ и переключение на дияталом ДМВ. Если напряжение питания +12 В подамо из УРЧ и гетеродии, а на гиездо поступает напряжение е-12 В, то селектор каналов будет работать в подампазоле II Пря чтом, долом  $Z_0$  и  $Z_0$  закрыты плами и силти пазона сигнал через катушки  $L_1$   $L_2$  и  $C_0$ ,  $C_0$  проходит на УРЧ закрытые диода не пропускают сигналы другки поддампазоно (на рие. 5.13  $Z_0$  и включен на мосфорот). Лисова  $Z_0$ ,  $Z_0$ ,  $Z_0$  и  $Z_0$  и  $Z_0$  включен на просторит на при  $Z_0$  и  $Z_0$ 

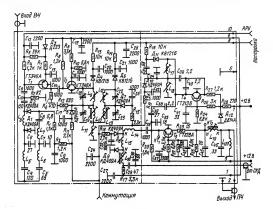


Рис. 3.13

на этом подмипазоне тикже закрыть. Лиол.  $A_{\rm J}$  в обоих подминазоном дмипазона МВ открыт и поэтому сигналы дивапазона ДМВ ие проходят. Если на генезо 7 подать положительное напъемы в 10 гм. 10

При подключении селектора диапазона ДМВ отключается напряжение питания +12 В, подаваемо на V9Ч, гетеродин и диод  $I_{\phi}$ , а с гнезда 7 синмается напряжение, открывающее диод  $I_{\phi}$ . При этом синкаль ПЧ с селектора каналов ДМВ поступают на транзистор  $T_{\phi}$ .

Селектор каналов СК-Д-22. Селектор каналов ДМВ СК-Д-22 рассчитан на совместную работу с селектором диапазона МВ СКМ-Э. Перестройка селектора СК-Д-22 — электронная, осуществляется подачей изменяющегося напряжения на варикапы селектора.

Вход селектора (рис. 3.14) — асимметричный, рассчитан на подключение антенного фидера с

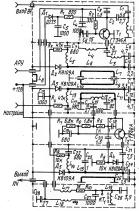


Рис. 3.14

волновым сопротивлением 75 Ом. Выход селектора соединяют коаксиальным кабелем емкостью 15 пФ со входом ДМВ селектора СК-М-Э. Селектора

тор СК-J-22 состоит из УРЧ и преобразователя. В УРЧ работает транямстор T, по схеме ОБ. Входияв цень  $C_iL_iC_G$  согласует входное солтиваем транямстор  $T_i$  с волновым сопротивление транямстор  $T_i$  с волновым сопротивлением антенного фидера и одновременно является фильтром верхиму частот сусществляющим подавление сигналов, частота которых ниже частот ДМВ.

Нагружой  $\mathcal{N}$ РЧ является полосовой фильту из получолюновых коаксивальных контуров  $\mathcal{H}_{-L}$ ,  $L_{-C}C_0$ , и  $\mathcal{H}_{L_0}L_{-D_0}C_0$ ,  $L_0$ ,  $L_$ 

Преобразователь частоты с совмещенными смесителем и гетеродином выполнен на транзисторе  $T_2$  по схеме ОБ. Для снятия сигнала со вторичного контура фильтра УРЧ и подачи его на эмиттер транзистора  $T_2$  служит петля связи  $L_{12}$ , эмитер граналитер  $T_2$  служник которая с конденсатором  $C_{18}$  образует контур. Контур гетеродина  $\mathcal{A}_5 \mathcal{L}_{15} \mathcal{L}_{16} \mathcal{A}_4 \mathcal{C}_{24} \mathcal{C}_{25}$  подключен к коллектору транзистора  $T_2$  через конденсатор тор  $C_{21}$ . Нагрузкой транзистора  $T_2$  для  $\Pi \Psi$  является выходной контур  $C_{23}L_{17}C_{27}R_{10}L_{19}$   $C_{26}L_{18}C_{28}$ . Гетеродин преобразователя выполнен по трехточечной схеме с обратной связью через варикап  $\mathcal{A}_4$  и кондевсатор  $C_{20}$ . Делителем из резисторов  $R_6R_7$  устанавливается оптимальный режим работы транзистора  $T_2$ . Последовательная цепь  $R_{10}$ L<sub>17</sub> исключает влияние емкости варикапа Д<sub>6</sub> (че- \* рез конденсатор  $C_{23}$ ) на резонансную частоту выходного контура (на ПЧ варикал зашунтирован этой цепью, т. к. резонансная частота ее находится в области ПЧ).

Колебательными контурами УРЧ и преобразователя в селекторе служат отрезки коаксиальных линий, электрическая длина которых увеличена на одном конце емкостями варикапов, на другом — емкостями постоянных конденсаторов. Подбором емкости конденсаторов  $C_9$ ,  $C_{12}$  и  $C_{25}$ достигается точное сопряжение контуров на нижней, а подстроечными элементами  $L_7$ ,  $L_9$ и L15 — на верхних частотах диапазона. Сопряжение настройки контуров во всем диапазоне обеспечивается одинаковостью вольт-фарадных характеристик варикапов (в диапазоне напряжений от 0.5 до 25В отличие характеристик должно быть не более ±1,5%). Весь диапазон частот перекрывается изменением напряжения смещения на варикапах от 0,5 до 27В, подаваемого на вход «Настройка».

Элементы  $L_{17}$  и  $C_{26}$  образуют фильтр, не пропускающий напряжение частоты гетеродниа в выходную цель селектора. При соединении селекторов СК-Л-22 и СК-М-Э транзистор  $T_2$  нагружен фильтром из двух связанных П-контуров. Первый контур  $(C_2, C_2, T_{-18}, C_{28})$  расположен в селерые и селей селе

лекторе СК-Д-22, второй — в селекторе СК-М-Э. Селектор СК-Д-22 выполнен в металлическом корпусе, разделенном внутренними перегородками на пять отсеков. В первом отсеке размещена входняя цель, во втором и третьем расположены соответственно первый и второй контуры поло-

Всеволновый сслектор каналов СК-В-1. Всеволювый сслектор СК-В-1 предвазначен для селекции, усиления и преобразования телензмонты нах сигалов, днапазонов МВ и ДМВ. По сравнению с отдельными селекторами днапазонов МВ и ДМВ оп проще в подключении к остальния в век. Селектор СК-В-1 сестоит из двух честей: селектор СК-В-1 сестоит из двух честей: селектор димапазона МВ и селектор днапазона ДМВ. Остовные параметры селектора СК-В-1 приведены в табл. 3.3.

Входные цепи обеспечивают согласование волнового сопротивления антенны с входным сопротивлением УРЧ. В поддиапазоне 1 используется широкополосная цепь  $L_2C_4C_5C_{11}C_{11}C_{11}$ , ав в поддиапазоне  $11-C_1L_2C_4L_3C_5C_4$ 1:3. Тая по-

Таблица 3.3. Основные параметры селектора

Параметр	Диапазон		
параметр	MB	ДМВ	
Коэффициент усиления, дБ	22	22	
Глубина АРУ, дБ	20	20	
Коэффициент шума КТ.	6	12	
Коэффициент отражения	0,35	0,5	
Неравномерность АЧХ, дБ	2,0	2,5	
Селективность, дБ:			
по зеркальному каналу	50	35	
во ПЧ	48	65	
Уход частоты гетеродина, кГц:	1		
при повышении окружающей	§	1	
температуры на 15 °C	180	950	
при изменении питающих напря-			
жений на +6% и 10%	150	500	
Напряжение питания, В		12	
Потребляемый ток, иА	100	43	
Габариты, мм	132×120×35		

давления сигналов ПИ на входе этих ценей включен режекторый контур  $L_{\rm C}$ , Входной изпоры поддиапазона ПІ вклячется одиночный резональной силый контур  $C_{\rm A} L_{\rm C} L_{\rm J} L_{\rm J}$ . Ников  $M_{\rm S} - 2 H_{\rm B}$  зависимости от полярности поданного на вывода 2 и 3 селектора выпряжения коммутируют входные цени так, что сигнал проходит только через входиую цень необходимого поддиапазона. Вселые цени других поддиапазона в то же время выли замкнути накороток, один отключены.

Усилитель радиочастоты охвачен АРУ. Неободимая глубивы е одостивается при измен-вии напряжения АРУ от 9 (иоминальное) до 2 В. Опасность выхода из строт развизстора 7, при отсуствии напряжения АРУ устраимется включением реактора Я1ь, Лиол Да, служит для защиты от пробоя траизистора при отсустении напряжения напряжения напря на выводе 1 и наличии напряжения АРУ.

Транзистор  $T_2$  нагружен на полосовой фильтр, который в подднапазоне III состоит из первичного контура  $\mathcal{I}_{10}C_{33}L_{20}$ , вторичного  $\mathcal{I}_{15}\dot{C}_{34}\dot{L}_{24}$ и катушки связи со смесителем  $L_{30}$ . В поддиапазоне II в контуры включаются катушки  $L_{21}$ и  $L_{25}$ , а в поддиапазоне I —  $L_{22}$ ,  $L_{23}$ ,  $L_{24}$ ,  $L_{27}$ . Катушка  $L_{31}$  индуктивно связана с катушками  $L_{25}$  и  $L_{26}$  и обеспечивает связь со смесителем в обоих поддиапазонах. При приеме в поддиапазоне III нижние по схеме выводы катушек  $L_{20}$ ,  $L_{24}$  и  $L_{30}$  соединены через диоды  $A_{11}$ ,  $A_{14}$  и  $A_{18}$ с общим проводом. При работе в поддиапазоне II эти диоды закрыты, а с общим проводом через диоды  $A_{12}A_{15}$  и  $A_{17}$  соединены катушки  $L_{21}$ ,  $L_{25}$ и L<sub>31</sub> соответственно. При приеме в поддиапазоне I закрыты и диоды Д12, Д15. Связь между первичным и вторичным контурами на поддиапазоне I осуществляется катушкой связи L. .. Катушка  $L_{26}$  имеет индуктивную связь с катушкой  $L_{31}$  и создает необходимую дополнитель F /ю связь со смесителем в поддиапазоне I.

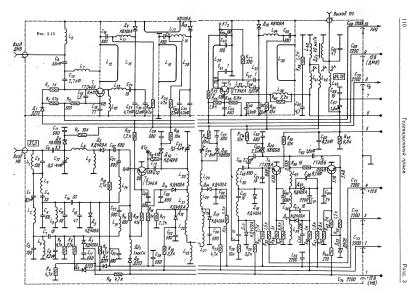
Нагрузкой смесителя на транаисторе  $T_4$  служит П-контур  $C_{62}L_{43}C_{65}$ , который обеспечивает согласование выхода селектора со входным сопротивлением (75 Ом) УПЧИ и уменьшает уровень сигнала гетеорация на выходе.

Сигнал гетеродина, собранного по емостной ректоченной схеме, енимается с контура  $L_{37}-L_{29}$   $L_{36}c_{35}c_{35}c_{36}$  в через конденсаторы  $C_{46}$   $C_{36}$  сметре интерраtion ( $C_{46}$   $C_{36}$  сметре интерраtion ( $C_{46}$   $C_{4$ 

билитрона  $\vec{J}_{10}$ . Селектор  $\vec{\Pi}$ МВ состоит из входной цепи, УРЧ на транзисторе  $T_1$  и преобразователя с совмещенным гетеродниюм на транзисторе  $T_2$  контуров используются отрежи полужовновых линий. Во колдной цепи включен фильтр верхиих частот  $C_3C_{10}L_2$ . Катущы  $L_2$ 0 обеспечавает сиятие статистических зарядков и подавление сигналов  $\Pi^4$  на входе селектора. Диол  $Z_1$ 1 предохраживет транзистор  $T_1$  в УРЧ от



Телевизионный прием



Разд.

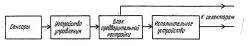


Рис. 3.16

пробоя при отключении напряжения питания. Напряжение АРУ на его базу подается через резистор R<sub>s</sub>. Контуры селектора ДМВ выполнены в виде коаксиальных линий, состоящих из внутренних проводников и экранов прямоугольного сечения. Нагрузкой УРЧ является полосовой фильтр  $L_{18}C_{28}A_{2}L_{28}C_{88}A_{18}L_{17}$ . Связь между контурами полосового фильтра осуществляется через щель связи и дополнительную петлю  $L_{17}$ . Усиленный сигнал снимается с фильтра петлей связи  $L_{20}$  на эмиттер транзистора  $T_3$  преобразования, выполняющего функции гетеродина и смесителя частот. Гетеродин построен по схеме с емкостной обратной связью через конденсатор  $C_{47}$ . Колебательный контур  $L_{33}C_{49}C_{52}\mathcal{I}_{19}$  является контуром гетеродина. Сигнал  $\Pi\Psi$  снимается через катушку  $L_{36}$  на полосовой фильтр  $C_{58}L_{40}$   $L_{41}L_{42}$  . Транзистор  $T_4$  используется как допол-

интельный УПЧ при приеме в диапазове ДМВ. Переключение на желаемый поддиапазон производится подачей напряжений различной полярности на выводы 1 — 4, 9 селектора. Настройка селектора на канал в поддиапазове осуществляется изменением напряжения, подаваемого на варикалы (вывод 8).

# Бесконтактное переключение каналов. Сенсорные устройства

Использование в телевизорах селекторов каналов с занектронными настрокой и переключением каналов дает возможность применить переключаеть, зналогичный кнопочному, но срабатывающий от одного лишь касания пальцем сенсора. Существуют сенсорные устройства, которые реатируют на касание пальцем сразу даух контактальцем отверстия ма передамей панели телевизора. В этом случае прекращается доступ сена к фотолементу устройства.

Все эти устройства имеют одинаковую структурную скему (рис. 3.16). Рядом с каждым сексором размещается индикатор, указывающий номер соответствующей телевизионной программы, или общий для всех программ индикатор — цифровая лампа.

При касании одного из сексоров вырабатываются необходимые сигналы в устройстве управления селектором, которое состоит обычно из тритгерных ячеек. Устройство управления может быть выполнено и на газораврядных приборах (тиратронах, неоновых лампах), служащих в этом случае одновременно и индикаторами.

Переключатели поддиапазонов и переменные резисторы, с которых снимаются напряжения на варикалы селектора каналов, объединевы в блок предварительной настройки. Если, кватример, в телевизоре применеи селектор СК-В-1, расстияный на применеи селектор СК-В-1, расстияный на прием программ в четырех диалезьнах, необходимо иметь переключатель на четыре потомения. Можно обойтись и без него, но в этом случае каналь томом образором можно будет выслачить канал томом о обредененом поддивальном сильнать и предвижения приня канал томом о обредененом поддивальном образором обредения канал томом о обредененом поддивальном образором образоро

В исполнительном устройстве вырабатываются управляющие напряжения для подачи на коммутирующие диоды селекторов каналов.

Если в упрошенной (без переключателя поддавлаванови и исполнительного устройства усеме сенсорного устройства на тритгерных ячейках (рис. 3.17) выховить тритгерную ячейку яторого сенсора, то ток эмиттера травянстора Т<sub>п</sub>, пронапряжения, авкрывающее травянстора Т<sub>п</sub>, При прикосновений к первому сенсору (замыкания пальцем контакта с шиной 1—2) на базу транзистора Т<sub>1</sub> через реанстор Т<sub>6</sub>, то спортиваение пальца (менее 1 Мом) подаети положительное напряжение, отпирающее транзистор Т<sub>1</sub>, рамитерный ток транзистора, протекая через резистренный ток транзистора, протекая через ренапряжения, которое закрывает транзистор Т<sub>4</sub>, работавшей рамее ячейки.

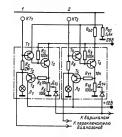


Рис. 3.17

Возникающее на реансторе  $R_3$  (за счет комлекторного тока транзистора  $T_1$ ) напряжение открывает транзистор  $T_2$ . Коллекторный ток транвистора  $T_3$  создает на резисторе  $R_3$  пасение ванряжения, которое через резистор  $R_6$  поступает с сащения. В результате этого напряжение + 12 В будет приложено к индикаторной ламие  $H_1$ 70 же напряжение используется для интитор с на приложение используется для интиверанстро к виналов, а также для с амобломировия межных через реанстор  $R_1$  после с интия пальна межных через реанстор  $R_2$  после с интия пальна

Напряжение настройки на варикапы селекторов снимается с переменного резистора  $R_6$  работающей ячейки через диод  $\mathcal{I}_{13}$ . Диоды неработающих ячеек ( $\mathcal{I}_{14}$  и др.) закрываются этим напряжением.

В сенсорном устройстве, приводенном на рис. 3.18, для переключения селектора СК-В-1 используются выходы, обозначенные цифрами 3 и 2, соответствующими входам селектора. Конденствую  $2c - C_{1,0}$  в базовых цепах транзисторов  $T_1 - T_{1,0}$  служат для устранения самопровизвольного переключения поограми при кратко-

временных изменениях напряжений в цепях питания. Цепи С<sub>КР</sub>. — С<sub>КР</sub>. 3<sub>6.2</sub> соединающие по кольцу каждую сенсорную зчейку со следующей, обсетинают дейогу системы дистанционного управления (ДУ), которая работает следующим образом. Если включена, например, щестая сенсорняя эчейка, то напряжение на колденстаторе С<sub>КР</sub>. В соединают в поставительного правая (через резисторы К<sub>Р</sub>. 11 К<sub>Р</sub>.) колденство до доставительного правая (через резисторы К<sub>Р</sub>. 11 К<sub>Р</sub>.) колденство работают дистания + 28 в до этого же напряжения заряжены зналочиные конденствоты негобогозыми заряжены заряжены зналочиные конденствоты негобогозыми.

Если соединить провод, илуший к пульту ДК, с источником напряжения т-28 В, то возникает бросок положительного напряжения из решегоря и в закрымаются транзительногоря шестой ячейки. Комденсатор С<sub>2</sub> будет заряжаться от источника питания 2В В через речесторя К<sub>2</sub>», R<sub>4</sub> и переменный резистор К<sub>3</sub>» шестой лечейки. Напряжения тока заряжаться от источника деньи тока заряжа комденствор, открымает тран-зистор T<sub>2</sub>» а следовательно, транзисторы Т<sub>3</sub>» а следовательно, транзисторы Т<sub>4</sub>» и пре

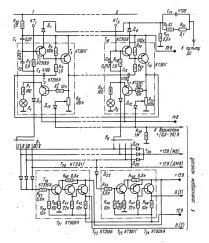


Рис. 3.18

касании сенсора пальцем. Напряжение +28 В должно быть хорошо стабилизированным, т. к. оно подается на варикалы селекторов.

Конденсатор  $C_1$  в первой сенсорной ячейке служит для того, чтобы при включении телевизор оказывался настроенным на первую программу телевизионного вещания. Диолы  $A_1 - A_6$  защищают транзисторы  $T_1 - T_1$  от пробоя напряжением, возникающим на резисторе  $R_{51}$ .

Напряжения +12 В на коммутирующие диоды селектора канадов подавотея из несполнятельного устройства, состоящего из одиняковых лехтроиных ключей (траизысторы  $T_{10} - T_{21}$ ,  $T_{22} - T_{24}$ ). Наприжение +12 В подаво на коллекторы выходных траизностора ключей, а на эмительность и подавот в коллекторы и подавот в коллекторы и подавот в подавот в коллекторы и подавот в подавот

дыпазоне I), то травзисторы  $T_{19} = T_{23}$  закрыты, падения напражения на режисторе  $R_{21}$  не т и на выход  $\bar{B}$  поступает напряжение -12 В. При подаче на базу, травзисторя  $T_{19}$  положительного напряжения (на II, III, IV/V подажаватом за писыщетриваметоры  $T_{19} = T_{21}$ , открываются до писыщетриваметоры  $T_{19} = T_{21}$  открываются до писыщетриваются  $T_{21} = T_{22} = T_{23} = T$ 

В качестве дами  $\Pi_1$  —  $\overline{H}_4$  индикаторов выпоченной програмы применены телефонные коммутаторные лампы КМ (12 В; 105 мА). Для уменьшения тока через инх ло 50 мА выключены гасящие резисторы ( $R_1$  —  $R_{11}$ ). Можно применты гасящие резисторы ( $R_2$  —  $R_{11}$ ). Можно применты гасящие резисторы ( $R_1$  —  $R_{11}$ ). Можно применты гасящие резисторы ( $R_1$  —  $R_{12}$ ). Можно применты гасящие резисторы ( $R_2$ ) —  $R_3$  —  $R_4$  —  $R_4$ 

# 3.3. СХЕМЫ УПЧИ ТЕЛЕВИЗОРОВ ЧЕРНО-БЕЛОГО И ЦВЕТНОГО ИЗОБРАЖЕНИЯ

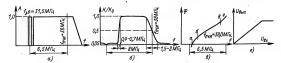
# Требования к УПЧИ

Основное требование к УПЧИ сводится к хорошей форме частотной характеристики и селективности при широкой полосе передаваемых частот и передаче лишь одной боковой части этой полосы. Кроме того, предъявляются дополительные требования к фазовой характеристике, т. е. к фазовым исклажениям.

Форма частотной характеристики УПЧИ выбирается такой, чтобы обеспечить наименьшие искажения на нижних частотах, которые могут возникнуть из-за частичного подавления одной боковой полосы частот при передаче, а также чтобы уменьшить помехи от телецентров, работающих в соседних каналах, и устранить помехи от сигнала звукового сопровождения с несущей частотой f., в принимаемом канале (рис. 3.19,a). Усилитель усиливает лишь часть передаваемого спектра частот, определяемую формой его частотной характеристики (рис. 3.19,6). При этом несущая ПЧ изображения должна располагаться на середине правого пологого склона характеристики. Недостаточный уровень (менее 100%) спектра частот, расположенных слева, поблизости от несущей, компенсируется некоторым пропусканием этих частот справа от несущей. В результате суммарный уровень всех низких частот приводится к 100%.

Крутизна склонов частотной характеристики и селективность УПЧИ связаны между собой. Для обеспечения наименьших фазовых искажений крутизну правого склона нельзя делать слишком высокой. Вследствие нелинейности фазовой характеристики (участки а, б и в, г на рис. 3.19,в) частотные составляющие сигнала отстают друг от друга по фазе неравномерно, т. е. нелинейно задерживаются во времени. В результате синусоидальные составляющие видеосигнала складываются друг с другом с опережением или с запаздыванием фазы, и форма принятого видеосигнала искажается: на нем появляются всплески положительные или отрицательные выбросы. Это приводит к появлению светлых или темных «окантовок» справа или слева от контуров изображения.

Если положение несущей ПЧ изображения на правом склоне характеристики изменить так, чтобы она расположилась на уровне 0,2 — 0,3 (см. рис. 3.19,6), то усиление верхних частот (по отношению к измения) будет велико; четкость при этом можит возрасти, но полязится фазовые



PHC. 3.19

искажения (кажущаяся выпуклость деталей изображения и повторы). Высокий уровень несущей приводит к подъему средних и нижних частот (за деталями изображения тянутся серые полосы).

В одгоживальных телевзорах для получения, развостной ПЧ заукового сопрязовления об (31.5 МГц) должно то сопрязовления (31.5 МГц) должна протодить через общий УПЧИ из уровее (0,05 — 0,1 девого склюза частотной характеристики. Этот Участок карактерьстик должен иметь вид плоской ступени, вначе ЧИК сигнал заукового сопрязовления будет пресбразован в АМ сигнад, и на изображении поввятся помежи от заукового спорявовления поввятся помежи от заукового спорявовления об зателя помежи от заукового спорявовления об зателя помежи от заукового спорявовления с

Амминудиям характеристика УПЧИ долана быть линейной (рис. 5.19-д.) Из-за-амна быть линейной (рис. 5.19-д.) Из-за-аммена быть линейной компратива и будут передаваться неверно, могут нарушаться амплитудные соотношения менаду частотными составляющими спектра и могут возникать новые частотные составляющие. Амплитудные искажнам ситилаю в досклеже и нам ситилаю в досклеже и "также из-за перегрузки этими сигналами УПЧИ пои неповываньной ваботе АРС."

Козффициент усиления УПЧИ должен быть такин, чтобы при минимальном уровие приментого сигнала, определяемом чувствительностью телензвора, амалитуда напряжения, повродимого к диолному детектору, достигала нескольких вольт. Это необходимо для того, чтобы детекторование происходило да линейном участке характеристики диодого детекторо.

К УПЧИ телевизоров при приеме иветного изображения предъявляются более жесткие требования, обусловленные наличием в высокочастотной части усиливаемого спектра сигналов цветности. Для их правильного воспроизвеления в цветном телевизоре полоса пропускания УПЧИ должна быть не менее 5,65÷5,8 МГц при неравномерности характеристики не более +1,5 дБ. При большей неравномерности наличие наклонов характеристики на участке, где располагаются ЧМ цветовые поднесущие, приводит к их демодуляции и появлению в спектре яркостного сигнала от них значительных амплитудных составляющих, которые заметны в виде мелкоструктурной сетки на экране черно-белого и цветного телевизора. Для устранения помех на изображении, создаваемых биениями частот цветовых поднесущих с несущей звукового сопровождения. селективность УПЧИ на частоте 31,5 МГц должна быть не менее 40 дБ.

От правыльного воспроизведения градаций яркости в шежном телемзоре в значительной степени зависит естественность окраски цветных деталей изображения. Поэтому коэффициент нелинейных искажений усилительного тракта, в который входит УПЧИ (от входа антенны до видеодетектора), из сложен превышать 15%.

Требования к селективности УПЧИ цветных телевизоров на частотах, отличающихся от несущей изображения на +1,5, +3 и -8 МГц, аналогичны требованиям, предъявляемым к черно-белым телевизорам соответствующих классов (см. табл. 3.2).

# УПЧИ на транзисторах и интегральных микросхемах

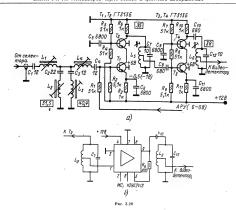
Из-за относительно низкого входного сопротивления транзисторов и нестабильности емкостей переходов при изменении температуры и питаюших напряжений принципы формирования частотной характеристики в УПЧИ на транзисторах и интегральных микросхемах отличаются от принципов, применявшихся в ламповых УПЧИ. Транзисторные УПЧИ делают апериодическими или с сильно зашунтированными контурами в междукаскадных связях. Необходимую частотную характеристику в таких УПЧИ формирует ФСС (рис. 3.20,а). Для уменьшения вероятности самовозбуждения из-за связи через проходные емкости транзисторов коэффициент усиления каждого каскада УПЧИ делают небольшим или применяют каскодное включение транзисторов. Режим транзисторов  $T_2 - T_4$  задан делителями  $R_4$ ,  $R_5$  и  $R_7 - R_9$ . На базу транзистора  $T_1$  подается напряжение от цепи APV. Если это напряжение равно +6 В, то усиление каскада с транзисторами  $T_1$  и  $T_2$  максимально.

Контуры  $L_5$ ,  $C_7$  и  $L_6C_{12}$ , сильно зашунтированные резисторами  $R_6$ ,  $R_{10}$  и входными сопротивлениями последующих каскадов, обладают резонансными характеристиками с очень пологими склонами. В имеющемся на входе УПЧИ ФСС последовательные резонансные контуры  $L_1C_1$  и  $L_4C_4$  формируют характеристику в полосе пропускания и хорошо согласуются с выходным сопротивлением селектора и входным сопротивлением транзистора  $T_1$ . Контуры  $L_2C_2$  и  $L_3C_3$  — режекторные, настроены соответственно на ПЧ звука принимаемого и соседнего каналов. Вместо транзисторов  $T_3$  и  $T_4$  в УПЧИ по схеме на рис. 3.20,а можно применить микросхему К2УС2413 (рис. 3.20,б). Вход микросхемы / присоединяется к отводу катушки  $L_5$ , а выход (вывод 9) к конденсатору  $C_{10}$ . При этом детали  $C_8$ ,  $C_9$ ,  $C_{11}R_7$  –  $R_{11}$  из схемы на рис. 3.20,a исключаются.

# УПЧИ и УПЧЗ телевизоров «Юность»

При конструировании транзисторного телевизора радиолюбители могут использовать отдельные детали или блок с УПЧИ и УПЧЗ массовых промышленных телевизоров «Юность».

Блюк содержит УППЧИ  $(T_1-T_1)$ , дакодный видоситектор  $(I_1)$ , видеоусилитель  $(T_2-T_1)$  и цепь ключевой АРУ:  $(T_{11}I_4T_{14})$ , съделяють  $(T_{20}-T_{10})$  и цепь ключевой АРУ:  $(T_{11}I_4T_{14})$ , съделяють  $(T_{20}-T_{12})$ , дам усилителя синхроминульсь обиденству  $(T_{21},T_{21})$ , у134  $(T_{11}-T_{21})$ , УПЧИ содержит гри каскада на травлисторах  $(T_{20}-T_{21})$ , хороженной соделяють состей  $(T_{20}-T_{21})$ , хороженной  $(T_{20}-T_{21})$ , х



Второй каскад на травлисторе  $I_2$  нагружен одиночным контурмо с катушкой  $I_{22}$ , настроенным на среднюю частоту полосы пропускания, а четерий каскае, — полосовым фильтром  $I_{22}G_{42}G_{$ 

# УПЧИ канала изображения для цветного телевизора на интегральных микросхемах серии K224

На входе УПЧИ ва интегральных микроскемара в канале изображения для цветного телевора (рис. 323) использован ФСС  $L_1C_1L_2C_3L_3C_4$ ,  $L_4C_4C_4C_4$ , обеспечивающий формировина АЧХ и ФЧХ, а также необходимую селективность по соеедним каналам. Чувствительность не менее 600 мкВ при уровие неискаженного видеостектов оснава на нагрузке илодиого видеодетектора не женее 2 В удается достинь, примения в УПЧИ пу касхдая (Первый, выполнений на транзистим съродника в правъзствения в ПРС и касхдая (Первый, выполнений на транзистим съродника в правъзствения в ПРС и касхдая (Первый, выполнений на транзистим съродника правъзствения в ПРС и касхдая (Первый, выполнений на транзистим съродника правъзствения в ПРС и касхдая (Первый, выполнений на транзистим съродника правъзствения предъя правъзствения предъя предъя правъзствения предъя пре

торе  $T_1$ , охвачен АРУ, Второй и трегий — на микроссмая MС, и  $MC_2$  — кассолые усилители. Начальное напряжение на бале транзистора  $T_1$  выбирается таким, что ток его эмитера равен 3-4 и M. При этом УПЧИ имеет максимальное усилаение. На выходе третието каскара УПЧИ включен полосовой фильтр с еммостной связым  $L_{C_2}L_2 L_3$   $L_3$  служенный перед выходиым сопротивлением видеодетектора  $H_4$ . Ремекторный контур  $L_2$   $L_3$ , какиченный перед выседелектором, служит для уменьшения помех на изображении  $T_2$   $L_3$   $L_3$   $L_3$   $L_3$   $L_4$   $L_3$   $L_4$   $L_3$   $L_4$   $L_4$   $L_4$   $L_4$   $L_4$   $L_4$   $L_4$   $L_5$   $L_$ 

Селективность УПЧИ на частотах 30, 31,5 и 41 МГц не менее 40 дБ, а на частоте 39,5 МГц не менее 36 дБ. Полоса пропускания не менее 5,5 МГц при неравномерности АХЧ в полосе 33,2 — 36,5 МГц не более 1.5 дБ (около 15%).

В УПЧИ на интегральных микроссемах нужно использовать малогабаритные детали — резисторы УЛМ-0,12; МЛТ-0,125 и МЛТ-0,25; подстроенные резисторы СПЗ-16 и конденсаторы К10-7, КД-1 и К50-6. Детали УПЧИ следует смонтировать на печатной плате из стеклотекстолита толщиной 1,5 мм.

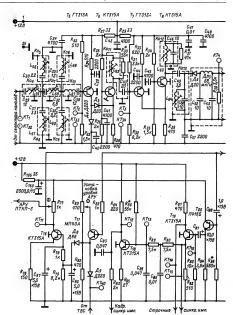
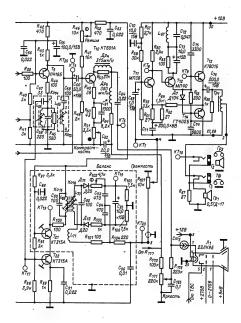


Рис. 3.21

Намоточные данные катушек приведены в табл. 3-4. Катушик намотаны в один слой виток к витку из текстолитовых каркаесах (рис. 3.24). Катушки необходимо заключить в экраны размерами  $11\times11\times16$  мм, а для подстройки использовать съредчики из карбонильного железа пользовать съредчики из карбонильного железа  $11\times11\times16$  мм, а для подстройки использовать съредчики из 3.25 $\alpha$ , приведена 47Х УПЧИ без  $\Phi$ CC, а на pnc.  $3.25,\delta$  — сквоотая 47Х — со входа  $\Phi$ CC.

Модуль УПЧИ на интегральных микросхемах серии К174 канала изображения телевизоров УПИМЦТ-61-II

В модуль (рис. 3.26) входят: ФСС; предварительный каскад УПЧИ на транзисторе  $T_1$  и микросхема  $MC_1$  типа K174УР2Б, выполняющая фун-



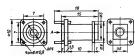
кции УПЧИ, видеодетектора, видеоусмителя и неим АРУ. В ФСС фильтр  $L_c$ ,  $C_1 = C_2$  совместню с емкостью входиют кабеля и вносимой эквивальний резонация  $L_c$ , имет подъем выпосать в пределения, определения образовать ПЧ и взображения, определения и видеом в пределения образовать и пределения и учестве 40.5 МГц, определения МДУКТИВНОСТНО по Оследовательного звеня  $L_c$ С

(на частоте парадлельного резонанса) и еммостью конденсатора  $C_1$ . Катушки  $L_2$ ,  $L_3$  и конденсаторы  $C_5$ ,  $C_6$  и  $C_9$  образуют полосовой фильтр, обеспечивающий усиление в полосе пропустыния УПЧИ. На рис. 3.27 показына частотная характеристика модуля УПЧИ на интегральных микросхемах серии КГ/4.

Для подавления помех на частотах 31,5 и 30 МГц (см. рис. 3.27) используются последователь-

1		
i		
н		
н		
н	T	
н	120	
ı	Ē	
ł		

Таблица 3.4. Данные контурных УПЧИ на интегральных микросхемах	катушек	Рис. 3.22	5 38 15 16 16 17 17 17 17 17 17 17 17 17 17 17 17 17
Обольяет Ческо Дважетр Обольяет Ческове то схем виктов провода, в же то схем виктов провода в же то схем виктов провода в же то схем виктов провода в компраний в	0.25 0.25 0.25 0.25 0.25	z. 3.23 33,4 33,4	39 1,0 1,0 1,0 1,0 1,0 1,0 1,0 1,0 1,0 1,0
220 R, 56 R, 50 R,	### 1	Comp   Comp	### ##################################





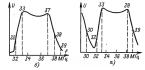
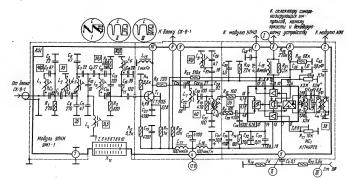


Рис. 3.25



Pmc. 3.26

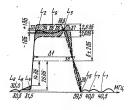


Рис. 3.27

$$\begin{array}{c|c}
L_{S} & C_{14} \\
\hline
D_{12} & C_{13} \\
\hline
D_{12} & C_{13} \\
\hline
D_{12} & D_{14} \\
\hline
D_{13} & D_{14} \\
\hline
D_{14} & D_{14} \\
\hline
D_{15} & D_{14} \\
\hline
D_{15} & D_{14} \\
\hline
D_{15} & D_{15} \\$$

сопротивления  $Z_{\rm C}$  (рис. 3.28,0), образованного комденсаторами  $C_{\rm I}$  и  $C_{\rm I}$  (м. рис. 3.26,5), положительному по знаку сопротивлению резистора  $R_{\rm C}$  происходит компенсация двух противоразных напряжений, выдельношихся на этих элементах. Общее сопротивление цени  $Z_{R_{\rm C}}$  (ж. н) ист. 3.28,6) оказывается близким к нулю, и коэффициент передачи цени резко уменьщается.

Для улучшения селективности УПЧИ в коллекторяю цень транзистора  $T_1$  вылочен полосовой фильтр, состоящий на трех контуров:  $L_0 C_2$   $T_2 = L_0 C_2 C_2 C_2$   $T_3 = L_0 C_2 C_2 C_3$   $T_4 = L_0 C_2 C_3$   $T_4 = L_0 C_3 C_3$   $T_4 = L_0 C_3$   $T_4 = L_0$ 

# 3.4. СХЕМЫ УПЧЗ

В каскадах УПЧЗ применяют одиночные и полосовые фильтры со связью между контурами несколько выше критической. В этом случае удается получить частотную характеристику с крутыми склонами и почти плоской вершиной. В одноканальных телевизорах контуры УПЧЗ настраивают на разностную частоту 6,5 МГц. Ширина полосы пропускания УПЧЗ 200 — 500 кГп. Видеодетектор выделяет видеосигнал и преобразует сигнал ПЧ звука в ЧМ сигнал разностной частоты. Его отделяют от видеосигнала на выходе видеодетектора либо после видеоусилителя. Для уменьшения помех от видеосигнала амплитуда сигнала ПЧ звукового сопровождения на выходе УПЧИ должна быть в 5-10 раз меньше амплитуды сигнала ПЧ изображения.

В ценях отделения ПЧ звука на рис. 3.29а, с сигнал разностной частоты отделяется при помощи режекторного, контура, включенного на выходе видеодетектора или выдеоусканителя и настроенного на разностную частоту 6.5 МГц. УПЧЗ по рис. 3.29,6 подключают в телевизорах III и IV классов. Балагодаря тому что в этом случае сигнал разностной частоты УПЧЗ ется в видеоусилителе, может содержать меньшее количество каскадов. Однако из-за пополнительной модуляции разностной частоты в видеоусилителе качество звукового сопровождения здесь ниже, чем при использовании УПЧЗ по схеме на рис. 3.29,а. В телевизорах нерно-белого изображения I и II классов и цветных телевизорах для выделения сигнала разностной частоты используют цепь с отдельным детектором на диоде  $\mathcal{L}_3$  (см. рис. 3.23) и  $\mathcal{L}_1$ (рис. 3.29,в). Это дает возможность подавить с помощью дополнительного режекторного фильтра  $L_9C_{27}$  (см. рис. 3.23)  $L_3C_1$  (см. рис. 3.29,в) сигнал ПЧ звука и не пропустить его на вход видеодетектора. В этом случае сигнал разностной частоты, заметный на изображении в виде помехи, не выделяется на выходе видеодетектора и отсутствует в видеоусилителе. Кроме того, исключаются помехи на изображении от сигнала с частотой биений между несущей звука и цветовыми поднесущими при приеме цветной телевизионной передачи.

Схемы УПЧЗ 121

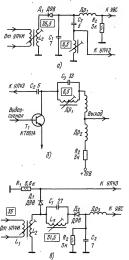


Рис. 3.29

При конструировании радиолюбители могут использовать детали и целые блоки УПЧЗ телевизоров массового производства.

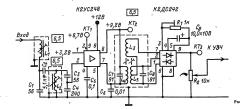
## Канал УПЧЗ и УЗЧ транзисторных телевизоров «Юность»

Канал УПЧЗ и УЗЧ телевизоров «Юность» (см. рис. 3.21) содержит одновжеданий УПЧЗ на транзитеторах  $T_{21}$  и  $T_{22}$  собранный по касколной схеме, частотный детектор с диодами  $\mathcal{H}_{11}$  трехаксальный УЗЧ на транзитеторах  $T_{11}$  —  $T_{14}$ . При помощи диода  $\mathcal{H}_{2}$  осуществляется тетри помощи диода  $\mathcal{H}_{3}$  осуществляется тетри помощи диода  $\mathcal{H}_{3}$  осуществляется терменного через автогрансформатор грожкоговорительм  $\mathcal{F}_{2}$  типа 0.5 г.Дг. Частотная характеристика УЗЧ корректируется при помощи частотно-зависимой ООС, напряжение которой подается с эмиттеров транзисторов  $T_{13}$ .  $T_{14}$  на эмиттер  $T_{14}$  через ценя  $R_{44}$ ,  $R_{44}$ ,  $R_{45}$ ,  $R_{45}$ ,  $T_{45}$ .

Обмотки и автотурансформатор  $T\rho$ , размещены на сердечниках  $III4 \times 8$  из пермаллоя и содержат соответственно 220 и 150 витков провода TIOB-I0,23. Контурные катушки заключены в экраны размерами  $II \times II \times 19$  мм. Контур часточного детектора и детали  $R_{SS} - R_{IOS}$  и  $C_{SS} - C_{SS}$  заключены в экраны размерами  $II \times 2 \times 4 \times 2 \times 2$  мм.

# Блок УПЧЗ на интегральных микросхемах серии K224

Блок выполнен с использованием частоты биевый сигналол ПП 6,5 М  $^{\prime}$  (гр. с. 3.30). В него
входят УПЧЗ, выполненный вы микросхем  $MC_1$ (микросхема К2УС248) и дробный детектор намС $_2$  (микросхема К2УС248) и дробный детектор намуствительность, не ниже 2 мВ; полося пропускания УПЧЗ, не менее 250 к  $^{\prime}$ г, узовень выходного сигнала на нагруаке дробного детектора
пои деляции настоты  $\pm$ 50 К  $^{\prime}$ г. и не менее 250 мВ.



#### Таблица 3.5. Данные контурных катушек УПЧЗ на интегральных микросхемах

Обозначение по схеме	Число витков	Провод	
L <sub>1</sub>	56	0.14	
L <sub>2</sub>	56	0.14	
L <sub>3</sub>	15	0.19	
L <sub>4</sub>	35	0.19	
L <sub>4</sub>	17×2	0.19	

Примечание. Все катушки наматывают приводог ПЭВ-2 в один слой виток к витку:  $L_1$  - поверх  $L_4$ ,  $L_5$  - в двя провода.

На входе микроскемы MC, УПЧЗ включен полосовой фильтр С, С<sub>2</sub>L<sub>1</sub>L<sub>2</sub>C<sub>2</sub>C, в маделяющий ситнал разностной частоты 6,5 мПл. Микроссема MC, обеспечивает услаение и одновремено отраннение ситала разностной частоты. Нагрузтранеформатор, образованный катушками L<sub>2</sub>— L<sub>2</sub>, который с инкроссемой MC, образует дорый детектор. Симиетрия детектора достигается подсторочным реактором С.

Сигнал звуковой частоты с выхода дробного детектора через регулятор громкости  $R_2$  посту-

пает на вход. УЗЧ.
Блок монтируется на печатной плате размерами 130-х50 мм. Фазовращающий трансформатор дробного детектора помещается в экран. Печатная плата должна быть рассчитамя на установку резисторов УЛМ 0,12 кли МЛТ-0,125, подтроечного резистора СПЗ-1Б. конденсаторов

K10-T8 и электролитических коиденсаторов K50-K8 и Накоточные данные катушек приведены в табл. 3.5, а конструкция каркасов катушек показана на рис. 3.24. Они изготовлены из текстолита и заключены в экраны размерами  $11 \times 11 \times 16$  мм. Для подстройки контуров используют сераечинки их карбоныльного железа с резьбой M4.

#### Канал звука на интегральных микросхемах серии К174 телевизоров УПИМЦТ-61-II

В канале звука телевноров УПИМЦТ-6-11 УПИЗ и частотный детектор выполнены в выс отдельного модуля (рм. с. 3.1). На вход модуля УПЧЗ (коитакт 2) сигная поступьет с выполнены уПЧЗ (коитакт 2) сигная поступьет с выполнены полосовым фыналром L-1<sub>2</sub>C<sub>2</sub>-1<sub>2</sub>L-1<sub>2</sub>C<sub>2</sub> сигнаел разностной частоты 6,5 МГц поступает на вход (вымерожемы МС, тыпа КТ4УРР. В мысроскем мС, тыпа КТ4УРР. В мысроскем распечение и детектирование чЧМ сигнада разностной частоты.

Детектирование ЧМ сигнала в МС, осуществляется фазовым способом с помощью детектора произведения, который представляет собой два ключа и нагрузку, соединенные последовательно. Один ключ управляется непосредственно сигналом, а второй напряжением, снимаемый с опорного контура  $L_5C_8$  (см. рис. 3.31). Так как ключи соединены последовательно, то ток в нагрузке будет протекать только в те моменты времени, когда ключи замкнуты одновременно, что зависит от разности фаз напряжений, управляющих ключами. Конденсаторы, через которые сигнал подается на опорный контур и благодаря которым сдвиг фаз между сигналом и опорным напряжением при резонансе равен 90°, расположены в самой микросхеме МС,

К выводу  $5~MC_1$  подключается внешний переменный резистор сопротявением 4.7~KOM, со-единенный с шасси для дистанционного управления громкостью. Низкома-стотный сигнал с вывода  $6~MC_1$  подвется на регулятор громкости  $R_{32}$  Частотная характерностика в подсового фильтра УПЧЗ и общая частотная характернстика изоражены соответственно на рыс.  $3.32~\mu$  вус. 3.33.

В модуле УЗЧ применена  $MC_1$  типа K174УН7, которая содержит мощный двухтактный выходной каскад, нагруженный на динамические головки  $\Gamma p_1$  и  $\Gamma p_2$ .

# 3.5. ВИДЕОДЕТЕКТОРЫ И ВИДЕОУСИЛИТЕЛИ

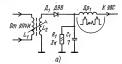
Видеодетектор выделяет видеосигнал, которым промодулирована несущая ПЧ изображения.

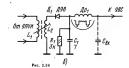
Видеодетекторы, как правило, выполняют на точенных грамыневых диодах с малой проходной емостью. Конденсатор С, на выходе видеодетектора (рыс 334) отфильтровывает сигнал ПЧ от видеоситиала. Иногда роль этого конденсатора выполниет емьюсть монтажа или вкоднам емьость следующего за видеодетектором усклителя. Чтоста изгражение на конденствуре С, ръссеваю на быто в пределения в конденствуре С, ръссеваю на объемителние на конденствуре С, ръссеваю на постоянная времени нагружки видеодетектора не должна превышать 0,03 мкс.

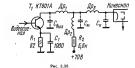
В зависимости от полярности включения диода на выходе видеодетектора можно выделить вы деосигнал положительной (рис. 3.34,а) или отрицательной (3.34,6) полярности. Дроссель Дрр. с входной емкостью видеоускиителя С<sub>в.</sub> обра-

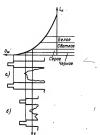
зует колебательный контур, настроенный на верхние составляющие видеосигнала, которые ослабляются в нагрузке детектора. Дроссель Др, осуществляет высокочастотную коррекцию видеосигнала и предотвращает проникновение сигнала ПЧ на вход видеосусилителя.

Видеоусилитель должен обеспечить усиление видеосигивая до амилитуля 70—100 В. При этом оконечный кискад видеоусилителя, подключенияй к модулятору кинскопа, должен сокраченияй к модулятору кинскопа, должен сокраченияй к модулятору кинскопа, должен сокрачания в винского в видеоусилителя к на траняметора и деня зациты от пробота, для этого применяют специальные высоководьтные траняметора и ценя защиты от пробоса. Ссема оконечного каскадав видеоускантеля и жа на вкоде траняметорного видеоускантеля и на вкоде траняметорного видеоускантеля и на вкоде траняметорного видеоускантеля и на вкоде траняметорного видеоускантеля должен









Puc. 3.36

передается без потерь вплоть до модулятора кинескопа, то однажды установленный уровень черного не меняет своего положения на характерис-

иметь амплитуду в несколько десятых долей вольта. При этом нелинейные искажения из-за нелинейности начального участка характеристики ди-

ода в видеодетекторе должны быть минимальными. К нагрузке видеоусилителя подключены выходная емкость  $C_{\text{вых}}$ , монтажные емкости  $C_{\text{м}}$  и емкость цепи модулятора кинескопа  $C_w$  (рис. 3.35). Чтобы коэффициент усиления видеоусилителя изза шунтирующего действия этих емкостей на верхних частотах не сильно уменьшался, сопротивление резистора в цепи коллектора транзистора (R<sub>2</sub>) выбирают в пределах от 2 до 8 кОм. Кроме того, в цепь нагрузки видеоусилителя включают корректирующие дроссели  $\mathcal{A}p_1 - \mathcal{A}p_3$ , которые вместе с указанными емкостями образуют колебательные контуры, настроенные на верхние частоты видеосигнала. В цепях дроссель Др, образует колебательный контур с емкостями  $C_{\rm вых}$  и  $C_{\rm M}$ , дроссель  $\mathcal{L}p_2$  — емкостью  $C_{\rm M}$ , а дроссель  $\mathcal{A}p_3$  — с емкостями  $C_{\mathsf{H}}$  н  $C_{\mathsf{H}}$ . Так как дроссели Др, и Др, включены последовательно между источником выходного сигнала, транзистором и модулятором кинескопа, то они составляют цепь последовательной коррекции. Дроссель включенный параллельно источнику сигнала, входит в цепь параллельной коррекции. Благодаря этому частотная характеристика видеоусилителя на верхних частотах видеосигнала не понижается, а даже имеет некоторый подъем усиления, что положительно сказывается на четкости изображения

Чтобы при ограниченном сопротимлении реактора нагружи получить достаточное усыление, в видеоусклителях применяют транзисторы с объщими конформицентами передачи по току. Для полной модуящий кинескопа достатучно напряжения видеосизала в 40—60 В, одлако мышитуалам дарактеристика видеоусылителя с обът динейной до 80—100 В.

Постоянная составляющая видеосигнала передается с выхода видеодетектора до модулятора кинескопа благодаря отсутствию переходных емкостей в видеоусилителе. Модуляция тока луча кинескопа видеосигналами показана на рис. 3.36. Если в видеосигнале, модулирующем кинескоп, отсутствует постоянная составляющая, то яркость деталей воспроизводимого изображения не будет соответствовать оригиналу. Это происходит из-за того, что уровень напряжения на модуляторе кинескопа, соответствующий черному в воспроизводимом изображении, будет меняться в зависимости от средней освещенности передаваемого изображения. В результате при передаче слабо освещенного изображения (рис. 3.36,б) черные детали будут воспроизведены как серые, а се-рые — как светлые. При передаче ярко освещенного изображения серые детали станут черными, а белые могут стать серыми (рис. 3.36.a).

Если постоянная составляющая видеосигнала

тике кинескопа в течение всей передачи.

Поскольку на вход транзисторного видеоусилителя необходимо подать сигная ампантудой всего несколько десятых долей вольта, что обусложивается характеристиками транзисторов, в видеодетекторе транзисторных телевизоров применяют полугроводниковые диоды, обеспечивающие линейное детектирование столь малых сигналов (например, ДЗП).

налья инацианструамы уделяется также согласованию нагруамочного спортивления детектора с относительно инаким входным сопротивления растемом в выдеоусматител. По этой причине между выдеоудетектором и усилительным каска-дом выслучают эмитерный повторитель (кас эмитерной нагрузкой), не дающий усиления по напряжению, по выполняющий роза трансформатора сопротивление митерного повторитель наструать усиления усиления загруам спортивление митерного повторитель на транзисторе 7, больше его сопротивления витерного повторитель на транзисторе 7, больше его сопротивления патруам видеоустветства инаким входым сопротивлением видеоусылителя (транзистор 7,1).

Видеоусилитель обычно содержит один каскад на транзисторе  $T_2$  (см. рис. 3.37), включенном по схеме ОЭ, и должен развивать выходное напряжение амплитудой в несколько десятков вольт. Хотя для малогабаритных транзисторных телевизоров разработаны кинескопы, для модуляции которых достаточно напряжение видеосигнала амплитудой 20 — 40 В, в видеоусилителях таких телевизоров все-таки приходится применять специальные транзисторы, которые могут работать при напряжении на коллекторе 50 - 100 В. В переносных транзисторных телевизорах, где напряжение питания всех остальных транзисторов обычно равно 12 В, для питания видеоусилителя используют напряжение, полученное от отдельного импульсного выпрямителя на дноде Д<sub>2</sub>, подключенного к повышающей обмотке ТВС.

В транзисторных телевизорах модулирующий сигнал всегда подают на катод кинескопа, т. в этом случае изменяется размость потенциалов между модулятором и первым анодом кинескопа. При подаче сигнала на модулятор мененется при подаче сигнала на модулятор мененется размость потенциалов между модулятором и катодом, а между катодом и первым анодом — не изменяется. Глубина модуляции в первом случае на 20-25% выше, чем во втором, и от видеоусилителя требуется меньшее выходное нап-

Видеодетектор и видеоусилитель телевизоров «Юность». После видеодетектора на диоде Д<sub>6</sub> следует двухкаскадный видеоусилитель (см. рис. 3.21). Первый его каскад — на транзисторе  $T_{\mathfrak{p}}$ собран по схеме ОК для видеосигнала и по схеме ОЭ для сигнала разностной частоты звука, который выделяется на контуре  $L_{65}C_{58}$  и через конденсатор  $C_{57}$  подается на вход УПЧЗ. Режекторный контур  $L_{66}C_{59}$  предотвращает попадание разностной частоты на вход второго каскада видеоусилителя на транзисторе  $T_{10}$ , собранного по схеме ОЭ с применением сложной коррекции частотной характеристики (рис. 3.22,6) при помощи дросселей  $\mathcal{A}p_5$  и  $\mathcal{A}p_4$ . Усиленный видеосигнал через конденсатор  $C_{64}$  подается на катод кинескопа  $\mathcal{J}_1$ . Контрастность изображения регулируется изменением глубины отрицательной обратной связи при помощи переменного резистора  $R_{51}$  в цепи эмиттера транзистора  $T_{10}$ 

Видолетскторы в выдеоусмителы теленноров на интегральных микросмемах. В теленяюрах на интегральных микросмемах сигнал ПН детектируется при покоши сникронного детектора. Применение в начестве видеодетектора сикронного от 10 м гм. в предоставления уронен выходительного сигнал УПНИ оказам уронен выходительного сигнала УПНИ оказам уронен выходительного сигнала упиративного предоставления объемного диодного детектора, а также меньшими перекрестными коскажениями между сигналами разностной частоты и подвесущими сигналами разностной частоты и подвесущими видению.

Синхронный детектор можно представить в видде ключа К, который перекличестве специальным управляющим устройством (рис. 3.38). Если ключ замижать синхронно с началом каждого полупериода синусондальных колебаний, создаваемых коточником принименого синтала т, размыжать по окончании полупериода с интервалом в Т/2, то в нагруже детектора R, повътемуположительные полуволны синусоиды. При этом постоянная составляющая синкала будет повтопостоянная составляющая синкала будет повто-

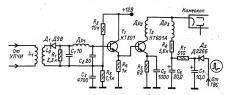
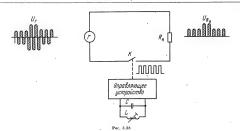


Рис. 3.37



рять огибающую колебаний, создаваемых источником принимаемого сигнала.

В микросхеме для управления ключом, который выполнен в выде электронного комучатора, используется преобразованный входкой сигнал. Для того чтобы работа управляющего устройства не зависела от фазы и амплитулы входного стинала, в его состав введен о граничитель, натруженный на опорный контур LC, настроенный иза несчико ГИН изображения. Каскады видеоусылителя, содержащиеся обычно в одной микросхеме с видеодетектором, служат для предварительного усиления видеосигнала. Оконечные каскады видеоусилителя выполняются на дискретных элементах, и схема их авалогична схемам, применяемым в транзисторных телевизорах.

Видеодетектор и предварительный видеоусилитель на микросхеме K174УР2 телевизоров УПИМЦТ-61-II. В микросхеме MC, модуля

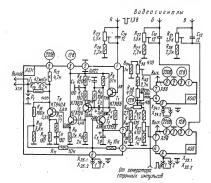


Рис. 3.39

УПЧИ (см. рыс. 3.26) кроме треккоскального УПЧИ и нени АРУ содержатся видеодетектор и предварительный видеоусылитель. В качестве видеодетектор со порным контуром  $L_{12}C_{22}C_{22}L_{11}L_{12}$ , под-ключенным к выводам 8 и в 9 MC. Со вторичной обмотки  $L_{12}$  этого контура снимается сигнал ПЧ на схему АПЧГ.

Предварительный видеоусилитель, имеющийся в  $MC_1$ , дает возможность на ее выводе II получить видеосигнал положительной полярности с размахом 1,5 В, а на выводе I2 — видеоситнал, из которого затем выделяется ЧМ сигнал разностной частоты 6,5 МГ ц, подаваемый на молуль УПГЗ.

Видеоусилители цветных телевизоров УПИМЦТ-61-II. Они выполнены в виде трех одинаковых модулей AS9 — AS11 .(рис. 3.39), в которых осуществляется усиление сигналов R, G и В, подаваемых на катоды кинескопа, до требуемого размаха 70 В и привязка этих сигналов к введенному в сигнал  $E_Y$  опорному уровню (см. стр. 165). С движка переменного резистора R23 видеосигналы поступают на базу транзистора  $T_1$ , включенного по схеме эмиттерного повторителя. Большое входное сопротивление этого каскада обеспечивает незначительное изменение АЧХ усилительного тракта при различных положениях движка переменного резистора  $R_{23}$ . Дальнейшее усиление видеосигнала изображения осуществляется тремя каскадами на транзисторах T<sub>3</sub> — T<sub>5</sub> без потери постоянной составляющей, восстановленной цепью привязки с транзистором  $T_2$  (см. стр. 165). Разрядник  $P_1$ отвращает выход из строя транзистора  $T_5$  при пробоях в кинескопе.

#### 3.6. ЯРКОСТНЫЙ КАНАЛ ЦВЕТНОГО ТЕЛЕВИЗОРА

## Требования к яркостному каналу

Выходное напряжение яркостного канала, необходимое для модуляции лучей цветного кинескопа, лоджно быть не менее 80 - 110 В, полоса пропускания — не менее 5.8 МГц с неравномерностью, не превышающей ±3 дБ (относительно частоты 1 МГц); степень подавления цветовых полнесущих и составляющей разностной частоты в яркостном канале должна превышать 18 дБ, а коэффициент гармоник должен быть менее 15%. В яркостном канале, видеоусилитель которого обычно состоит из 2-3 каскадов, необходимо обеспечить передачу или восстановление постоянной составляющей, играющей важную роль в получении правильной цветопередачи. Так как непосредственную передачу постоянной составляющей в 2-3-каскадном видеоусилителе осуществить трудно, то чаще применяют цепи восстановления постоянной составляющей или цепи привязки к уровню черного либо к уровню синхронизирующих импульсов (см. рис. 3.89).

#### Видеоусилитель яркостного канала цветного телевизора на микросхеме К2УБ242

В микроскеме К2УБ242, применяемой в предварительном выресусинятеле. — двя каксада (см. § 12.19), один из которых используют в схеме оку, а другой — в схеме ОЗ. Благодаря такому включению видеоусилитель обладает высоким кодным сопротивлением, не выплющимся дополний — д см. рыс. 3.23. Отменчый каксад, пресхемы через согласующий каскад по схеме ОК на транзисторе Т<sub>5</sub>.

С микросхемы видеосигнал поступает на блок ценености и АРУ. Нагрузкой микросхемы служит линия задержки J/3, на 0,7 мкс. До и после линии задержки включены режекторные контуры  $G_{32}L_{11}$  и  $G_{32}L_{12}$ , ослабляющие сигналы цветности

поднесущих частот, которые для яркостного канала являются помехами. Такая режекция приводит к потере четкости изображения, особенно при приеме черно-белого изображения, поэтому предусмотрена возможность автоматического выключения режекторных контуров. Это осуществляется при помощи ключевого каскада, собранного на транзисторе Т4. На его базу поступает открывающее или закрывающее напряжение с блока цветности. В результате при открытом транзисторе режекторные контуры оказываются подключенными к линии задержки через малое сопротивление насыщенного транзистора и ослабляют сигналы соответствующих частот. Если же транзистор закрыт, то контуры отключены и ослабления сигналов не происходит.

Заперванный видеоптива, wepe's эмиттерный повторитель на транактогр Е, и регулятор контраствости поступает на околечные каскады на деосускителя в блок формурования сигнальная СКСВ. В цель базы травзистора включев режеторий контур L<sub>16</sub>C<sub>2</sub>, настроенный развостиую частоту звука 6,5 МГш. Сквозная АЧК преварительного видеосускителя и преведения предвиженными режекторным контрами — на рис. 3.40,а, АЧК с отключенными режекторными сограми — по дель сограми на рис. 3.40,5.

В качестве линии задержки ЛЗ, можно использовать линию типа ЛЗЦТ-0,7/1500 или самодельную. Если в схеме на рис. 3.23 исполь-

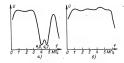
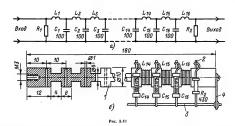


Рис. 3.40



зовать двиню задержки ЛЗЦТ-0.7/1500, то сопротивление резистора R<sub>3</sub>, аслужно бать равно 1,5 кОм. Если в качестве линии применить отремок кабеля задержки типа PK3-1201 длиной 35 см, то сопротивление резистора R<sub>3</sub>, надо уменьшть до 1,2 кОм. Можно использовать кабель им двить до 1,2 кОм. Можно использовать кабель и кабель РК3-1601 длиной 60 см (R<sub>6</sub> = 1,5 кОм.) самодельная линия задержки с сосредото-Самодельная линия задержки с сосредото-

ченными постоянными рис. 341,а) соврежит нениями постоянными рис. 341,а) соврежит немативают на каркасе , выточенном на наматывают на каркасе , выточенном на ножарном станке на эбонита ляи текстоятта. Выводы катушек и коиденсаторов приявивают к шилыхами да уженого провода 2, запрессованным в отверстия на каркасе между катушками. Ктокстому зуженому проводу 3, расположенному к токстому зуженому проводу 3, расположенному на расстоянии 20 мм, вдоль всего каркаса припаивают заземленные выводы конденсаторов 3.41,6). Сопротивление  $R_{35} = 390 - 470$  Ом (см. рис. 3.23) подбирают, добиваясь наиболее четкого изображения испытательной таблицы — без окантовок теней и повторных контуров около тонких вертикальных линий. Если задержка велика или мала, то цветные пятна на изображении сдвинуты относительно границ раскрашиваемых деталей вправо или влево. В этом случае резистор  $R_{\pi\pi}$  подключают к концу линии, а контуры  $L_{10}C_{37}$ ,  $L_{12}C_{38}$  и базу транзистора  $T_5$  (см. рис. 3.23) подключают к отводам от последних секций линии и добиваются совмешения цветных пятен и деталей изображения.

## 3.7. ДЕКОДИРУЮЩЕЕ УСТРОЙСТВО ЦВЕТНОГО ТЕЛЕВИЗОРА

Декодирующее устройство или блок цветности цветного телевизора можно выполнить по структурной схеме, приведенной на рис. 3.4. Такой блок, рассчитанный на получение лишь цветоразностных сигналов  $E'_{R-Y}$ ,  $E_{G-Y}$  и  $E_{R-Y}$ , оказывается проще, чем канал, в котором вырабатываются сигналы цветности  $E_R$ ,  $E_G$  и  $E_B$ , не только потому, что отсутствует отдельная матричная цепь для получения этих сигналов, но еще и потому, что для усиления сигналов цветности  $E_{B_i}$   $E_{G}$  и  $E_{B}$  необходимы три видеоусилителя с широкой (до 5,5 МГц) полосой пропускания. Цветоразностные сигналы  $E_{R-\gamma}$ ,  $E_{G-\gamma}$  и  $E_{B-\gamma}$ можно усиливать в видеоусилителях с полосой до 1,5 МГц при полосе до 5,5 МГц для яркостного сигнала  $E_{\nu}$ , при этом булет необходим лишь один видеоусилитель.

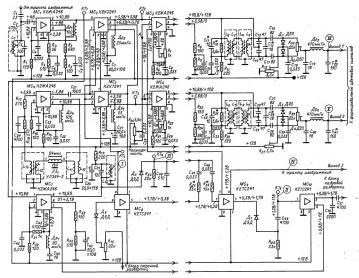
Однако амплитуда цветоразностных сигналов  $E_{R-y}$ ,  $E_{S-y}$  и  $E_{R-y}$  на выходе блока цветности должна быть больше, чем у сигналов  $E_{S}$ ,  $E_{S}$  и  $E_{S}$ . Получить на выходе транзнеторного видеоусили-

теля увеличенный размах усиленных видеосигналов трудно. Поэтому в транзисторных цветных телевизорах в блоке цветности осуществляют формирование и усиление сигналов цветности  $E_{\mathcal{B}}, E_{\mathcal{A}}$  и  $E_{\mathcal{B}}$  (RGB).

#### Блок цветности на микросхемах серии K224

Блок цветности (рис. 3.42) содержит каналы прямого и задержанного сигналов, электронный коммутатор с симметричным тритгером, Каналы синего и красного сигналов, селектор сигналов цветовой синхронизации и устройство опознава-

На блок цветности поступает сигнал от отдельного видеодетектора или отделенный от сигнала Еу сигнал из канала яркости. Фильтр L.Г.с., на входе блока с характеристикой вида «клеш» обеспечивает коррекцию ВЧ прелыскажений, введенных на телеценто РЧ прелыскажений,



прямого сигнала происходит усиление сигнала изображения в предварительном усилителе и ограничение в усилителе-ограничителе на микроскеме  $MC_1$ .

Далее прямой сигнал подается на электронный коммутатор на микросхемах  $MC_2$  и  $MC_5$ в канал задержанного сигнала МС, и на селектор сигналов цветовой синхронизации МС7. Часть МС, используется в согласующем каскаде, обеспечивающем согласование сопротивлений прямого канала и ультразвуковой линии задержки ЛЗ, которая задерживает сигнал на время, равное длительности строки (64 Задержанный сигнал через усилитель на второй части МС, подается на электронный коммутатор. работой которого управляет симметричный триггор на микросхеме МСв, переключаемый импульсами, поступающими из блока строчной развертки.

Электронный коммутатор разделяет сници и красный центоразмостные ЧМ сигналь. Нен рым и к через усилитель-ограничитель и усилитель на микроскем МС, подвется на частиний дискриминатор с диодами Д, н Д, , а второй через аналогичные каксары на микроскем биды дискриминатор с диодами Д, и Д. Оба выделение на выкосед дискриминаторов центораютние сигналы поступают в формирователи цветовых сигналов RGB.

Предварительный усилитель-ограничитель и селектор на микросхем СМС, служат для вывеления радноимпульсов цветовой синхронизации. Так как они передалотся во времи кадровог гасящего импульса, селектор открывается только на этот промежуток времени импульсовии, постунающими с триттера кадровых импульсов на

микросхеме  $M\dot{C}_{10}$ . Радиоимпульсы детектируются в амплитудном детекторе на диоде  $\mathcal{L}_5$ , и на его выходе появляются импульсы цветовой синхронизации. Эти импульсы подаются на симметричный триггер коммутатора и корректируют его работу так, чтобы синий и красный цветоразностные сигналы поступали в свои каналы, а не наоборот. Кроме того, импульсы цветовой синхронизации поступают на каскад опознавания сигналов цветности на микросхеме МС9, изменяя его состояние. При этом на усилители цветоразностных сигналов в микросхемах  $MC_3$  и  $MC_6$ подается открывающее их напряжение. Оно также подается на ключевой каскад в предварительном видеоусилителе, который подключает режекторные контуры, ослабляющие сигналы цветности в яркостном канале (см. рис. 3.23). Это улучшает качество цветного изображения.

Контур L<sub>4</sub>C<sub>5</sub>, настроен на частоту 3,9 МГц, лежащую в области девиание синей полцесущей сигнала опознавания. Детектор на диоде Д<sub>8</sub> выделяет пять выдеомизульсю, которые и кспользуются для коррекции фазы переключения электронного комультора. Для повышения надемности коррекции фазы на выходе услагитсляотраничится. селектора вылочен режскторный слежного селектора вылочен режскторный шую в области деявации краской поднесущей сигнала опознавания — 475 МГц. Блок цветности открывается ватоматически устройством опознавания цветовых сигналов, собранным на микроскем  $MC_{\rm p}$  и представляющим собой тритгер, кваровых ты через аифференцирующую цепь  $C_{\rm p}R_{\rm p}$  и ласо  $A_{\rm p}$  устройство опознавания устанавлявается в такое устойчивое состояние, при китором иза-пряжение  $A_{\rm p}R_{\rm p}$  и ласо  $A_{\rm p}R_{\rm p}$ 

Сигналь цветовой синкроинзации после выплитуаного деясткоря поступают такие на выкосхемы  $MC_{\rm p}$  устройства опознавания об ин устанавляют устройство во второе усточняе состояние, в результате чего на базе транисторя  $T_{\rm p}$  им устройство в от росу в транисторя  $T_{\rm p}$  им устройство в от росу в транисторя  $T_{\rm p}$  им устройство в от  $T_{\rm p}$  им устройство в от  $T_{\rm p}$  им устройство и  $T_{\rm p}$  им устройство  $T_{\rm p}$  им устройство

Блок можно смонтировать на плате размерами 150×115 мм из фольгированного стеклотекстолита. Все катушки блока надо намотать на каркасах, чертеж которых приведен на рис. 3.24. Намотка рядовая, виток к витку (катушки  $L_2$ ,  $L_5$ ,  $L_6$ ,  $L_9$  — в два слоя). Катушки  $L_3$ ,  $L_4$ ,  $L_7$ ,  $L_8$ ,  $L_{11}$ ,  $L_{12}$  наматывают соответственно поверх катушек L2, L5, L6, L9, L10, L13 на их середине. Подстроечные сердечники - из карбонильного железа Ø4 мм, экраны катушек имеют размеры  $11 \times 11 \times 19$  мм. Катушка  $\tilde{L_1}$  содержит 40, а катушки  $L_{10}$  и  $L_{13}$  по 80 витков провода ПЭВ-2 0,23. Катушки  $L_2$ ,  $L_5$ ,  $L_6$  и  $L_9$ содержат по 100, а  $L_3$ ,  $L_4$ ,  $L_7$ ,  $L_8$ ,  $L_{11}$  и  $L_{12}$  — по 10 витков провода ПЭВ-2 0,19. Катушка L., имеет 50 витков провода ПЭВ-2 0.14. При монтаже резистор  $R_{20}$  устанавливают на передней панели телевизора. Конденсатор  $C_{29}$  монтируют на выходах этого резистора.

# Декодирующее устройство на микросхемах серии К155 и К174 цветных телевизоров УПИМЦТ-61-II

Особенностью декодирующего устройства телега вызора УПИМЦТ-61-11 (рис. 3-43) являет применение в нем специально разработанных интегральных микроскем КІТАХА I, включаеты в себя злементы электронного коммутатора частотные слекторы произведения, а также сери. 37 дало возможность значительно ученьщить в декодирующем устройстве число дискретных элекветов и особенно катушек, которые и подавотся интеграции.

На вход I модуля УМ2-I (AS5) устройства поступает полный цветовой телевизионный сигнал размахом 1,5 В. Комденсатор  $C_1$  отфильтровывает НЧ составляющие. Контур  $L_2C_9R_{17}$  осуществляет коррекцию ВЧ продыскажений отделенного сигнала цветносты. Нагрузкой эмитер-

мого повторителя на транзисторе Т<sub>2</sub> вилается фильтр-пробы Д<sub>с12</sub>, мастроенный на тогоую ПЧ звука (6.5 МГц) и необходимый потому, что у имеющихся в устройстве детскторов произведения характеристики со стороны верхних частот не вмеют падаощего участи. После усиления каскадом на транзисторе Т<sub>4</sub> черх миттерный повторитель на транзисторе Т<sub>4</sub> черх миттерный повторительного четор Т<sub>4</sub> черх миттерный повторительного транзисторе в миттерный повторительного транзистичественно модуля детекторов сигналов цветности УМЗ-2 (Абб).

В модулс задержанного сигнала сигналы цветпости задерживаются на время одной строки ультразвуковой линией задержки I/3, типа V/1364-4. Усилитель на транзисторах  $T_1$  и  $T_2$  компенсирует затухание сигналов в этой линии. С выхода 4 модуля M2-5 (AST) задержанные сигналы поступают на входы 6 и I0 комутаторов  $MC_1$ и  $MC_2$  модуля детекторов сигналов цестности.

С выходов коммутатора (выводы 4  $MC_1$  н  $MC_2$ ) цветовые поднесущие, модулированные цветоразностными сигналами, через конденсаторы  $C_{17}$  и  $C_{18}$ поступают на входы 12 усилителей-ограничителей, имеющихся в МС, и МС». При правильной фазе коммутирующих импульсов на вход усилителя-ограничителя в микросхеме МС, поступает поднесущая красного цветоразностного сигнала, а на вход усилителя-ограничителя в МС2 --синего цветоразностного сигнала. Элементы  $R_6$ ,  $C_1$ и R<sub>7</sub>, C<sub>7</sub>, R<sub>8</sub>, а также R<sub>12</sub>, C<sub>14</sub> и R<sub>9</sub>, C<sub>8</sub>, R<sub>11</sub> входят в цепи обратнях связей, стабилизирующих режим усилителей-ограничителей по постоянному току. Амплитуда сигналов на выходах усилителей-ограничителей не изменяется более чем на ±10% при измерении входного сигнала в пределах от +6 до -10 дБ номинального значения.

Частотные детекторы произведения в микросхемах  $MC_1$  и  $MC_2$  содержат по два ключа,

один из которых управляется ЧМ сигналом с усилителей-ограничителей, а другой — через  $C_9C_{13}L_2C_{11}C_{12}R_3R_4$ фазовращатели  $C_2C_6L_1C_3R_1R_9$ . Амплитуда токов в нагрузках детекторов изменяется в зависимости от разности фаз сигналов, управляющих указанными ключами. На резонансных частотах напряжение  $U_{\rm ax}$  на контурах  $L_1C_3$  и  $L_2C_{11}C_{12}$  сдвинуто на 90° (рис. 3.44,б) относительно напряжения  $U_{\rm ex}$  входного сигнала. При увеличении частоты сигнала сдвиг фаз уменьшается и стремится к нулю (рис. 3.44,a), а при уменьшении — возрастает и стремится к 180° (рис. 3.44,a, Таким образом, в зависимости от частоты входного сигнала изменяется ток  $J_{\rm in}$ , а следовательно, и напряжение на выходе цепей с управляемыми ключами, т. е. обеспечивается детектирование ЧМ сигнала.

Демодуаяционная характеристика детекторов (рис. 3.44. г) не пересекает ось частот и имест загиб в области нижних частот из-за уреанчения сопротивления конденсаторов фазовращателей С<sub>2</sub>С<sub>8</sub> на этих частотах. Переменными реакторами R<sub>1</sub> и R<sub>3</sub> регулируется выходное наприжение атекторовь.

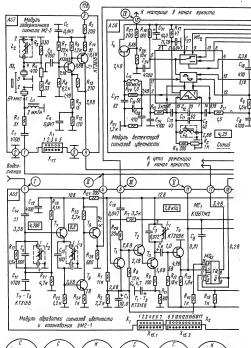
Для того чтобы характеристика детектора синего цветоразностного сигнала имела положительный наклок, конденсаторы  $C_0$  и  $C_{13}$  включенмежду выводами I-12 и I6-15  $MC_1$ , а не между I-16 и I4-U5, как в  $MC_2$ 

Небинейность демодуляционных характеристик при деяващи частоты  $\pm 280$  кГц для сигнала  $E_{\rm h}^2$  у не сремь  $\pm 230$  кГц для сигнала  $E_{\rm h}^2$  у не превыжение и совержение совержение

На выходе частотных детекторов цели  $G_{20}R_{11}$  С  $G_{20}R_{11}$  соуществяют коррекцию НЧ предыскажений, а фильтры  $G_{12}G_{22}$  и  $G_{12}G_{23}$  и  $G_{13}G_{23}G_{23}$  и  $G_{13}G_{23}G_$ 

Система цветовой синкронизации СЦС в декодирующем уголойстве телевогора УПЛМЦТ-61-10 основава на остановке электронного коммутатора на время обратного кода кадровой развертки. Импульсы для управления электронным коммутатором вырабатнавылистя в офомирователе коммутором вырабатнавылистя офомирователе коммунают синтиалы от генераторов строчных и кадровых импульсов В качестве генераторов кадровых и строчных импульсов вспользуют мультивибраторы, расположенные в можуле УМ2-1 (А55) и управляемые импульсами кадровой и строчной развертки.

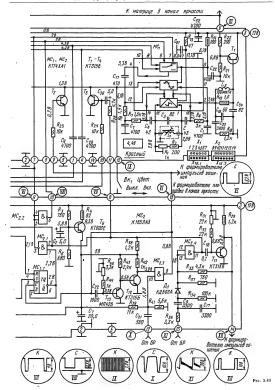
. Кадровый муль нянбратор собрак на транзисторе  $T_{11}$  и логической ячейке 2И-НЕ микросхемы  $MC_{2,4}$ . Импульсы обратного хода кадровой развертки, используемые для снихронизации этого мультивибратора, имеют пило132

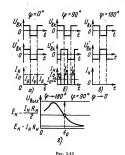








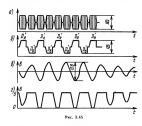




образную составляющую и насадку строчных минульсов, образовавшуюся в результате работы минульсов, образовавшуюся в результате работы цепи коррекции геометрических искажений растра. Цепь R<sub>2</sub>/С, тофильтровывает насадку и пилообразную составляющую. Для синкроинзации используется покомительный вспаех импура используется покомительного цепью С<sub>6</sub>R<sub>4</sub>, и пропущенного дакором Дг. Длятельность импура вырабатываемых мультивибратором, регулируется подстроенным резистором R<sub>1</sub>.

Строчный мультивибратор собрын на транирогорах  $T_{12}T_{13}$  и логической вижейе 224-НЕ миносхемы  $MC_{12}$ . Для сиккронивации мультивибратор ра используется отридательный имигуалс обратнения образовать поменения поменения в весим  $R_{1}R_{2}R_{3}$ . Для сиккронивации мультивий в весим  $R_{2}R_{3}R_{3}$ . Для сиккронивации поменения в  $R_{3}R_{3}R_{3}$ . Для сиккронивации поменения мультивибратором, регулируется подстроечным резистором  $R_{4}$ .

Формирователь коммутирующих импульсов (ФКИ) расположен в модуле УМ2-1 (AS5) и представляет собой Д-триггер (МС11), выход которого подключен к двум последовательно соединенным ячейкам 2И-HE  $(MC_{2+} \cup MC_{2+})$ . Управляемый импульсами строчного и кадрового мультивибраторов ФКИ формирует импульсы VIII (см. рис. 3.43), подаваемые на коммутатор. Во время обратного хода по кадрам эти импульсы не вырабатываются, и коммутатор останавливается. При этом на выходах коммутатора появляются чередующиеся сигналы цветовой синхронизации строк  $D'_R$  и  $D'_R$  (рис. 3.45,a, б), фаза которых определяется только фазой коммутации на телецентре. В результате на выходе дискриминатора сигнала  $E_{R-\gamma}$  выделяются видеосигналы цветовой синхронизации, имеющие вид биполярной волны (рис. 3.45,6). Эти сигналы подаются на вход ключевой цепи



При этом на фильтр  $L_1C_3$ , настроенный на полустрочную частоту, пропускаются лишь видеосигналы цветовой синхронизации (см. рис. 3.45.б). Из сигнала, выделенного фильтром (рис. 3.45, $\epsilon$ ), транзистором  $T_4$  формируются импульсы V (см. рис. 3.43 и рис. 3.45, $\epsilon$ ), поступающие для коррекции фазы на вход / триггера МС, и на автоматический выключатель цветности с триггером  $MC_{1\,2}$ . Триггер на  $MC_{1\,2}$ управляется также сигналами генератора кадровых импульсов через конденсатор  $C_a$ . Это обусловливает появление на выходе 8 триггера  $MC_{10}$ управляющего напряжения, которое через резистор  $R_{24}$  поступает на базу транзистора  $T_3$ в модуле УМ2-2 (AS6) и закрывает канал цветности. На базу этого транзистора через цепь  $R_{26}C_{36}$  поступают также и сигналы от

 $T_1 \longrightarrow T_3$  (см. рис. 3.43), управляемой сигналами генератора кадровых импульсов, поступающими на базу транзистора  $T_1$  через резистор  $R_7$ .

генератора кадровых импульсов, что приводит к открыванию канала цветности на время передачи сигналов цветовой синкромизации. Использование фильтра  $L_1C_2$  (см. рис. 3.43) для выделения сигналов цветовой синхронизации повышает помехоустойчивость системы.

#### Блок формирования и усиления видеосигналов на микросхемах серии К224 для цветного телевизора

В блоках цветных телевизоров на электроних ламках получение сигналов трех основных цветов *RGB* осуществлялось в самом иннесколе, для чего на модуляторы из блока цветовсти подавались синий, эленый и красий цветости подавались синий, эленый и красий правмостные сигнали, а на католы — яркостный сигнали. Правильность матрицирования провения. В правительность и предусменному в жоне трепевизора.

За счет некоторого усложнения схемы телевизора три основных цветовых сигнала  $E_R'$ ,  $E_G$  и  $E_B'$ можно получить до их подачи на кинескоп. Величина сигналов, подаваемых в этом случае на кинескоп, получается на 20% меньше, чем при получении их в кинескопе. Кроме того, регулировку яркости можно отделить от регулировки коитрастности, изменяя потенциалы на модуляторах кинескопа.

Принципивальная скема блока формирования, собранного на четырех одинаковых матрицых-микроскемах  $MC_1$ — $MC_4$ , изображена на рис. 3.46. В формирователь из блока цветности поступают цветоразностные снияй и красимы сигналы (вход. 3). Матрица  $MC_1$  служит для сигналы (вход. 3). Матрица  $MC_1$  служит для сигналы (вход. 3). Матрица  $MC_1$  служит для колучения третьего цветоразностного зеленого сигнала, а матрицы  $MC_2$ — $MC_4$ —для формироситы сигналь на транистор и подастех расствай сигнал.

Полученные в матрицах цветовые сигналы усиливаются широкополосными выходными видеоусилителями на транзисторах  $T_2 - T_7$  и поступают на катоды кинескопа.

Выходиме видеоуенители пветовых сигналов построены по одинакомой схеме, поэтому рассмотрим, напримерь, вазвал синего сигнала, собраным, напримерь, вазвал синего сигнала, собраниеобходимой АИХ в нагрузку, сомоненых учиннегов выхомень дороссии Дир. Дря, а для получения равномерного ускления на визывких и верхими частота систера выдоснительна за эмителната в эмительната в замительната в размительната в размительн

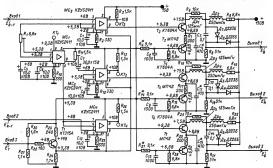
ров  $R_4$ ,  $R_{14}$  и  $R_{27}$ , можно установить наиболее благоприятный режим работы оконечных усили-

На выходе усилителей включены защитные цепи, состоящие из диодов  $\mathcal{U}_1 = \mathcal{U}_6$ , которые служат для защиты траизисторов и микросхем от высоковольтных разрядов в цепи модуляторов кинескопа, подключаемых к выходам I-3.

Блок можно смонтировать на печатной плате размерами 105×115 мм. В блоке следует применить резисторы МЛТ-2 (R<sub>9</sub>, R<sub>19</sub>, R<sub>32</sub>) и МЛТ-0,25, подстроечные резисторы СПЗ-1Б, электролитические конденсаторы К50-6 и конденсаторы КМ или КЛГ. Транзисторы выходных каскадов крепят на дополнительной плате, выполненной также из фольгированного гетинакса, которая служит для экранирования выходов блока от его входов; в противном случае выходные сигналы большой мощности могут создать помехи на входе блока. что приведет к значительным искажениям цветов на экране телевизора. Транзисторы КТ604А нужно снабдить радиаторами, которые должны быть изолированы от фольги платы. Дополнительную плату с транзисторами укрепляют на основной плате.

# Канал формирования и усиления видеосигналов на микросхемах серии К174 цветного телевизора УПИМПТ-61-II

В канале осуществляются: выделение, усиление и задержка сигнала яркости  $E_Y'$ ; оперативная



регулировка размаха втого сигнала дая даменения контрастности двображения и ватоматическия для ограничения мяскимального тока дучей живеков для ограничения мяскимального тока дучей живеков дележной постоянной составляющей в сигнала  $E_{\nu}$  для регулировки врости изображения введение опорного уровня для фиксации его в сигналах  $E_{\nu}$   $E_{\nu}$  и для  $E_{\nu}$  для ферменциального в этих сигналах, получение и сигналов  $E_{\nu}$   $E_{\nu}$  in  $E_{\nu}$  для изменения цестовой насыщенности изображения; получение, усыление прегулировка размаха сигналов  $E_{\nu}$   $E_{\nu}$  in  $E_{\nu}$  X нал состоит из модуля AS8 яркоствого сигнала

AS9—AS11 усилителей этих сигналов (рис. 339). На входе кавиал имеется электронно-перестраниваемый фильтр  $C_{st}$ - $L_{st}$ , для поочередного подавления сигналов  $D_s$ - $d_s$ 

В микроскеме  $MC_1$  осуществляются усиление регулирока размаха сигнава  $E_1$ , а также певрав привязка уровия черного и добавление к нему варьируемого постоянного напряжения для ретулирования яркости. Коэффициент усиления ретулирования образовать образ

Регулировка яркости изображения осуществляется изменением положения уровня черного на выходах I и  $15~MC_1$  от 3,2 до 2,4 В при помощи переменного резистора  $R_{25}$ .

Для ограничения тока лучей кинескопа на вывод 8 MC<sub>1</sub> из блока разверток подается положительное напряжение, пропорциональное суммариому току дучей. Это напряжение сравную давется с постояниям напряжением, подаваемым на вывод 9 МС, Если напряжение утветнее на выводе 8 МС, предысти напряжение утветновленное на выподе 2, то цепь ограничения тока дучей самым уменьшает усложение сигнала Е.F. Для задержки этого сигнала используется малогаба-притива линия задержи ЗЗ, типа ЛЗЗ-10,33(1000. Режекторный контур L.E.G.; выполняенный после в токой промежений после за предыственный после за предыственным после за пре

Для обеспечения регулировки яркости изображения необходимо передать сигнал  $E_{\gamma}$  с выхода МС, до катодов кинескопа без потери добавленной для этой цели варьируемой постоянной составляющей. Осуществить такую передачу невозможно из-за недостаточной стабильности режима по постоянному току микросхемы  $MC_{\circ}$  типа  $K174A\Phi 4$ , в которой осуществляется матрицирование сигналов  $E_{R'}$ ,  $E_{G'}$  и  $E_{R'}$ , а также из-за трудностей сопряжения по постоянному току выхода микросхемы  $MC_2$  с последующими усилителями сигналов  $E_{g_1}E_{g_2}$  и  $E_{g_2}$ . Для преодоления этих трудностей к сигналу  $E_{g_2}$  на выходе  $MC_1$ стабильный опорный уровень добавляется (см. рис. 3.91), который используется затем для привязки сформированных в МС, сигналов  $E_{R}$ ,  $E_{G}$  и  $E_{B}$ . При этом информация о яркости изображения будет содержаться в разнице уровчерного в сигнале  $E_{\gamma}$  и добавленным опорным уровнем. Причем эта информация не будет утрачена в случае потери постоянной составляющей в сигнале Е, при его дальнейшем прохождении до катодов кинескопа.

Для регулировки усыления синталов  $E_a^-$ ,  $E_a^-$ , поступноцик на входы  $MC_b$ , на се выводы 3 и I3 подастся регулируемое напряжение выводы 3 и I3 подастся регулируемое напряжения  $S_a^-$ , 19 се делителя  $R_a^ R_b^-$ , вторая привязка видеосигналов к введенному опориому уровно осуществляется в видеосульнятелях синталов  $E_a^ E_a^-$  (см. рис. 3.39) цепью на транзисторе  $I_a^-$  Транзистор  $I_a^-$  закрыт на время прямого хода строчной раввертки и открывается положительными индуассами обратного хода строчной равертки и открывается положительными индуассами обратного хода строчной равертки и открывается положительными индуассами обратного хода строчной развертки и открывается подости и открывается по применение в конценствор  $I_a^-$  по пределяет значение опориот уровна в видеосительна на выходе всего видеосусимителя.

# 3.8. УСТРОЙСТВА СИНХРОНИЗАЦИИ И РАЗВЕРТКИ ИЗОБРАЖЕНИЯ

# Селекторы импульсов синхронизации

В телевизионном сигнале амплитула синхронизирующих импульсов составляет 0,25 от его полного размаха. Отделение (селекция) синхронизирующих импульсов от остальной части телевизионного сигнала осуществляется в устройствах амплитудной селекции. В качестве амплитудных селекторов в соврежениях телевизорах применяют цепи с полупроводниковыми диодами, биполярными или полевыми транзисторами.

Пиодинай ссаектор импульсов синкромзации. Максимальное допустимое обратное напряжение полупроводниковых диодов во много раз превышает максимальное допустимое напряжение, которое может быть приложено к цени базы или затвора транзисторов. Это дает возможность подать на диодный сслектор сигнал большой

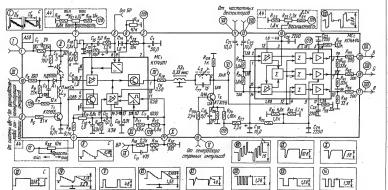
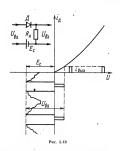


Рис. 3.47



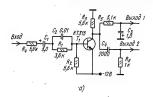
амплитуды с выхода последнего каскада видеоуснантеля. Пры этом сигнал на выхода едиодного селектора будет большик, что даст возможность сюратить число уснантельных каскадов перед подачей отделенных синхронизирующих импульсов на генераторы разверток. Благодаря этому в малогабаритных телевизорах удается уменьшить число травзисторов или микросхем.

Принцип работы диодного селектора поясняет рис. 3.48. Если диод закрыт постоянным напряжением смещения  $E_c$ , равным амплитуде бланкирующих импульсов, то на нагрузке диода будут выделяться только синхронизирующие импульсы. В реальных условиях амплитуда телевизионного сигнала не остается постоянной. Для правильного отделения синхронизирующих импульсов необходимо, чтобы напряжение смещения автоматически изменялось с изменением амплитуды сигнала. Поэтому на практике находят применение лишь селекторы с автоматическим смещением (рис. 3.49). Для получения на нагрузке диодного селектора максимально возможной амплитуды отделенных синхронизирующих импульсов необходимо, чтобы напряжение автоматического смещения, образующееся за счет заряда конденсатора  $C_1$  до амилитуды одного из синхронизирующих мигульсов, успевало уменьшиться t и приходу следующего снихронизирующего имиульса до амилитуды бальякирующего имиульса, t, со  $t_{10} = R_1C_1$ , t да  $t_{12} = t_{12}$ , период одной строки. С это же целью постоянияв яремены звряда кондельство-ра  $C_1$  должна быть равной длигельности одного строиного синхронизурующего имульса, t  $R_2 > x_p$ , t or  $R_2C_2 \approx 5$  мкс.  $(t_p = \text{мутренизе}$  спортивляеще дюда в прямом направлении).

Селекторы мичульсов синкроинзации ва бильжарных траньтограх Совержат 2—4 каскава. Уровень индустральных помек, имеющих чаще вост имульствый характер, при приеме в условиях города «бывает очень выско. Поэтому перед каскадом, в котором происходит отделение или развидительного должного вызоциях сигнал и помехи. Пигода после отделения от предвидуательного от пре

Схема каскада, в котором происходит отделение синхронизирующих импульсов, приведена на рис. 3.50. а. При отсутствии сигнала на входе транзистор закрыт, т. к. на его базу не подается открывающее напряжение смещения. Во время действия синхронизирующих импульсов положительной полярности, содержащихся во входном сигнале, транзистор открывается, в цепи базы протекает ток, заряжающий конденсатор  $C_1$ , и к базе транзистора оказывается приложенным закрывающее напряжение —  $U_{\kappa}$  (рис. 3.50, б), до которого заряжается конденсатор. В результате ток і, в цепи коллектора протекает лишь во время открывания транзистора вершинами синхронизирующих импульсов, и на резисторе  $R_3$  появляются синхронизирующие импульсы, отделенные от видеосигнала.

Для уменьшения влияния импульстых помех в цель базы транзистра включена цель  $R_1C_2$ . Постояния времени цели  $R_2C_3$  пвобържето большой, чтобы выпряжение на обкладках конденсатора  $C_1$  и на базе транзистора не уменьшанось в промежутках между синхроннярующим випульсками. При этом импульсками випульсками, при этом импульсками випульсками в предвати об дажной в примежений в предвати пр





Puc. 3.50

транзистор будет закрыт. Поэтому рад синхронизирующих митульсов не воспроизводия может в коллекторной цепи, и синхронизация может нарушиться. Для гого чтобом ызбежать этого, в цепь базы транзистора включена цепь  $R_i = R_i$ Еммость конденсатора  $G_i$ , поэтому во время действия митульсов помех сбольшой вилинтульсов помех сбольшой вилинтульсов помех сбольшой вилинтульсов гомех сбольшой вилинтульсов помех сбольшой вилинтульсов помех сбольшой вилинтульсов помех сбольшой вилинтульсов помех сольшой вилинтульсов помех стольшой вилинтульсов помех сольшой вилинтульсов помех на помехи на базе транзистора устанавливается нормальное смещение.

Резистор R, необходим для того, чтобы большая входная енкость селектора не шунтировала нагрузку видесусилитель. Кроме того, реаксторы нагрузку видесусилитель. Кроме того, реаксторы напряжение сигнала, приложенного к базе трянзистора. Благодаря этому предотвращается пробой перехода база — эмиттер положительно напряжением, имеющимся на колоденстворе Сикторое при отручтири делителя может превысить которое при отручтири делителя может превысить

Цепи  $R_5C_3$  и  $C_4R_6$  служат для разделення синхронизирующих импульсов на строчные и кадровые.

Селекторы импульсов синхронизации на полевых транзисторах. Селекторы с полевыми транзисторами обладают рядом преимуществ по сравнению с селекторами на биполярных транзисторах. Благодаря большому входному сопротивлению полевых транзисторов сопротивление цепи автоматического смещения в их затворах можно сделать большим, а емкость конденсатора  $C_1$  значительно уменьшить, что дает возможность с успехом применить такой селектор с малогабаритными деталями в переносных телевизорах. Кроме того, входная емкость полевых транзисторов меньше, чем у биполярных. Благодаря этим качествам входная цепь селектора с полевым транзистором меньше шунтирует нагрузку каскада, к которому он подключен. Преимущества полевых и биполярных транзисторов полнее реализуются в селекторе с составным транзистором ( $T_1$  и  $T_2$  на рис. 3.51).

Цепи разделения синхроимпульсов, Чтобы использовать синхронизирующие импульсы для синхронизации генераторов развертки луча кинескопа по строкам и по кадрам, необходимо разделить их на строчные и кадровые. Отделение кадровых синхронизирующих импульсов, имеющих фольшую длительность, осуществляется интегрирующей цепью  $R_5C_3$  (см. рис. 3.50). Ее постоянная времени выбирается такой, что за время кадрового синхронизирующего импульса 2 конденсатор C<sub>3</sub> успевает зарядиться через резистор  $R_5$  до полного напряжения  $U_2$  (рис. 3.52, a, 6), а за более короткое время строчного синхроимпульса 1 заряд конденсатора оказывается малым  $(U_1)$ . В результате на выходе I (см. рис. 3.50) интегрирующей цепи выделяются импульсы кадровой синхронизации (см. рис. 3.52,б).

Для въвденения импульсов строимой сияхронизации служит диференцирующая цевь, состояцая из конденсатора С, и реэнстора К, (см. рис. 350). Конденсатор С, быстро заряжается во время прихода синхронизирующего импульса и так же быстро разряжается поего кончания. В результате тох заряда и разряда конденсатора С, создает падение напряжения на резисторе R<sub>6</sub> (выход 2) в виде цапряжения на резисторе R<sub>7</sub> (выход 2) в кондеукрооченных импульсов (рис. 352,а), которы

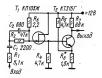
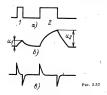


Рис. 3.51

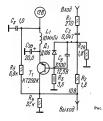


и используются для синхронизации генератора строчной развертки.

Иногда после селектора до цепей разделения синхронизирующих импульсов или после одной из них включают усилительный каскад, в котором происходит дополнительное ограничение синхронизирующих импульсов, а также изменяется их полярность. Если такой каскад включить после одной из цепей разделения, то взаимное влияние генераторов развертки, возникающее че-

рез цепи разделения, устраняется.

Предварительный селектор синхронизирующих импульсов в телевизорах УПИМЦТ-61-II, выполненный на транзисторе  $T_1$  (рис. 3.53), применяется для высококачественной синхронизации разверток при неблагоприятных условиях приема. При отсутствии видеосигнала транзистор  $T_1$ находится на грани отсечки. Открывается он синхронизирующими импульсами видеосигнала отрицательной полярности, поступающего на базу транзистора через  $R_1$ ,  $C_2$  и помехоподавляющую цепь  $\mathcal{A}_1C_5$ . Конденсаторы  $C_2$  и  $C_5$  быстро заряжаются током базы транзистора, и на их нижних по схеме обкладках возникает положительный потенциал. Во время передачи сигналов изображения между синхронизирующими импульсами транзистор  $T_1$  закрыт, т. к. время разряда конденсаторов  $C_2$  и  $C_5$  через резистор  $R_3$  велико. Появившиеся в коллекторной цепи транзистора



T<sub>1</sub> синхронизирующие импульсы ограничены снизу вследствие отсечки коллекторного тока и сверху вследствие его насышения.

Если бы помехоподавляющей цепи  $\mathcal{A}_1C_5$  не было, то помехи, превышающие синхронизируюшие импульсы, заряжали бы конденсатор С. и закрывали транзистор Т1 на время нескольких десятков синхроимпульсов. В устройстве на рис. 3.53 напряжение, создаваемое помехой, быстрее заряжает конденсатор в цепи  $\mathcal{A}_1C_5$ благодаря тому, что  $C_2 > C_3$ . Открывшийся днод  $\mathcal{I}_1$  быстро разряжает конденсатор  $C_5$ , который после этого начинает заряжаться в обратном направлении током разряда конденсатора  $C_2$ . Так как диод  $\Pi_1$  в это время закрыт, постоянная времени разряда в цепи с двумя конденсаторами и С5, соединенными последовательно, оказывается малой. Благодаря этому закрывающее напряжение на базе транзистора Т, спадает быстро и количество пропущенных синхронизирующих импульсов оказывается меньшим, чем при отсутствии помехоподавляющей цепи Д.С.

Селектор синхронизирующих импульсов телевизора ППТ-23-2 (см. рис. 3.21). С эмиттерной цепи транзистора  $T_9$  видеосигнал подается на вход амплитудного селектора синхронизирующих импульсов на транзисторе Т20. Усиление и ограничение синхронизирующих импульсов происходит в каскадах на транзисторах  $T_{19}$  и  $T_{20}$ . С коллектора транзистора  $T_{20}$  кадровые и строчные синхронизирующие импульсы поступают на базу транзистора Т19, работающего в фазоннверторе с разделенными нагрузками! Противофазные строчные импульсы с коллектора и эмиттера этого транзистора подаются на цепь АПЧиФ блока развертки. Кадровые синхронизирующие импульсы формируются при помощи интегрирующих цепей  $R_{90},\ C_{86},\ R_{89},\ C_{85}$  и  $R_{84},\ C_{83}$  в базовой и коллекторной цепях транзистора  $T_{18},$  работающего в каскаде формирования этих синхронизирующих импульсов.

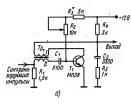
Селектор импульсов синхронизации на интегральной микросхеме К2СА241. Для выделения из полного видеосигнала синхронизирующих импульсов, используемых для управления частотами задающих генераторов строчной и кадровой разверток, применяется микросхема К2СА241 (см. § 12.19).

На вход интегральной микросхемы через вывод 1 от предварительного видеоусилителя подают полный видеосигнал. С выводов 8 и 9 снимают противофазные импульсы с амплитудой около 8 В на устройство автоматической подстройки частоты и фазы (АПЧиФ) строчной развертки. Кроме того, вывод 8 соединяют с входом интегрирующего каскада формирующего импульсы синхронизации кадровой развертки.

#### Генераторы строчной развертки

В генераторах строчной развертки вырабатывается переменный ток пилообразной формы частотой 15625 Гц, необходимой для получения плавного и равномерного движения луча по экрану кинескопа вдоль строк слева направо с последующим быстрым его возвратом к началу следующей строки. В соврёменных кинескопах дум авиместа под действием переменного магинтного поля, создавлемого катушками отклющей системы. Для подучения пилообразного тока строчной развертки в качестве генератор, адаршего частоту генерируюмых минульсько-пользуются. Слокнуются спокну-перемых минульсько-пользуются. Слокну-перемых минульсько-пользуются. Слокну-перемых минульсько-пользуются.

транзисторах Блокинг-генераторы на (рис. 3.54,а) — однокаскадные релаксационные генераторы с трансформаторной положительной обратной связью между базовой и коллекторной цепями транзистора. Колебания в этих генераторах имеют вид периодических импульсов (рис.  $3.54,6-\epsilon$ ). Базовые токи транзистора, возникающие в моменты появления положительных импульсов напряжения на обмотке II трансформатора  $Tp_1$ , заряжают конденсатор  $C_1$ . Благодаря отрицательному напряжению на нижней (по схеме) обкладке этого конденсатора транзистор большую часть времени оказывается закрытым. Открывается он, когда напряжение на конденсаторе уменьшается до значения  $U_{\rm EO}$  за счет разряда его через резисторы  $R_2$  и  $R_3$ , обмотку



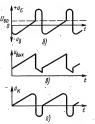
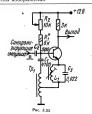


Рис. 3.54



И траксформатора  $T_P$  и резистор R. Появинший ся коллекторимі ток траняйстора создает имитульсное напряжение на обмотке I (рк. 3.54, г). Это напряжение на обмотке I (рк. 3.54, г). Это напряжение трансформоруется в обмоти II и еще больше открывает траняистор. В резульстате ПОС возникает колебательный продъсци на обмотке II скова образуется положительный випульс напряжения, вызывающий появле-

ние базобого тока и закрывание тразистора. На коидексторе  $C_2$  образуется пилообразно-импульсное напряжение (рис. 3.54, $\theta$ ) аз счет медленного завряда коидекстора напряжением питания 12В через резистор  $R_4$  и быстрого разражда сто через тразильстор за поставления образуется для управления соконечным каскадом генератора строиной развертки.

В устройстве можно применить унифицированный трансформатор типа ТБСП или самодельный со следующими данными: серденики Ш12×12 из трансформаторной стали; обмотка 1— 210 вигков, обмотка 11—100-вигков провода ПЭЛ 0.2

В некоторых моделях телевизоров используется размовидность божнин-генератора со стабилизирующим контуром (рыс. 3.55). Особенностью этого генератора является использование для трансформатора и выслючение в цень эмиттера гранимстром гранимстром городим г



Рис. 3.56

кругизна конечного участка пилообразной кривой увеличивается, что стабилизирует частоту колебаний блокинг-генератора и уменьшает вероятность синхронизации его импульсами помех I в конце этого участка.

В блокинг-генераторах на транзисторах задающая частоту цепь  $R_1C_1$  может включаться как в цепь базы (рис. 3.57,а), так и в цепь (рис. 3.57,6). Последний вариант обладает большим входным сопротивлением и лучше согласуется с цепью синхронизации или управления частотой и фазой колебаний. Выходное напряжение для управления оконечным каскадом генератора строчной развертки на транзисторах можно снимать с обмотки Г траноформатора  $Tp_1$  (см. рис. 3.57), либо с резистора R<sub>3</sub> в цепи коллектора транзистора, либо с дополнительной обмотки трансформатора Тр1. Чтобы улучшить согласование и исключить влияние оконечного каскала на параметры блокинг-генератора, между ними часто включают. промежуточный усилитель на одном или двух транзисторах.

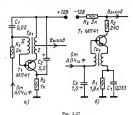
Мультивибраторы так же, как и блокинггенераторы, могут использоваться как задающий генератор в цепях строчной развертки. В отличие от блокинг-генераторов в мультивибраторах отсутствует такая деталь, как трансформатор, имеющий значительные габариты и понижающий надежность. Мультивибраторы при соответствующем построении обеспечивают лучшие параметры синхронизации, чем блокинг-генераторы, и могут использоваться в портативных телевизорах.

В задающем генераторе строчной развертки можно применить также мультивибратор с коллекторно-базовыми связями (рис. 3.58), принцип действия которого подробно описан в разд. 8 Справочника.

Связь базовых и коллекторных цепей тран-зисторов  $T_1$  и  $T_2$ , обеспечивающая режим самовозбуждения, осуществляется через конденсаторы  $C_1$  и  $C_2$ . Частота колебаний определяется цепью  $C_1R_4$ , а длительность импульсов обратного хода развертки — цепью  $C_2R_1$ . Контур  $L_1C_5$ , настроенный на частоту строчной развертки, повышает стабильность частоты колебаний мультивибратора. Синусоидальное напряжение с этого контура складывается с пилообразноимпульсным напряжением (штриховая линия на рис. 3.56), приложенным к базе транзистора Т<sub>1</sub>. В результате крутизна конечного участка кривой увеличивается, что стабилизирует частоту колебаний мультивибратора и уменьшает вероятность синхронизации его импульсами помех 1 в конце этого участка.

RC-генератор с фазослвигающей цепью. Положительная обратная связь, необходимая для обеспечения режима самовозбуждения в этом генераторе, образуется с помощью цепи, которая сдвигает фазу сигнала на 180°. Так как транзистор  $T_1$  (рис. 3.59) поворачивает фазу также на  $180^\circ$ , то выполняется условия дения. Если одновременно выполняется условие баланса амплитуд, то возникают синусоидальные колебания. При этом необходим промежуточный

усилитель, формирующий из вершин полуволи синусонды импульсы для управления оконечным каскадом. Для согласования генератора с промежуточным усилителем между ними желательно включить эмиттерный повторитель. Необходимое для самовозбуждения соотношение фаз в RCгенераторе можно получить также и с помощью дополнительного каскада на транзисторе, что обеспечит высокую стабильность частоты и большое входное сопротивление. Фазосдвигающую



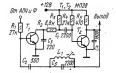


Рис. 3.58



Рис. 3.59

цепь образуют элементы  $R_3$ ,  $C_1$ ,  $R_1$ ,  $R_7$ ,  $C_2$ ,  $R_2$ ,  $C_3$ . Частота колебаний регулируется переменным резистором  $R_1$ . Напряжение АПТЧИФ подается на диод  $\mathcal{A}_1$  и изменяет его сопротивление. Птчотом изменяется сдвиг фазы в цепи обратной связи, а следовательно, и частота колебаний.

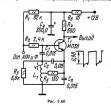
Синусордальные генераторы обеспечивают обльшую стабльность частоты, чем блокниггенераторы и мультивибраторы, поэтому они моут принемяться в толевыхорых повышеных находимы каскадом строчной развертия в таких тенераторых формируется из вершини полуволим вырабатываемого синусоидального капряжения, для управления частого (синусоидального тенераторы применяют реализный каскад, як акторый для управления частого (синусоидального тенераторы применяют реализный каскад, як акторый для управления частого (синусоидального тенераторы применяют реализный каскад, як акторый для управления частого (синусоидального текен для управления синусоидального синусоидального для управления для управлен

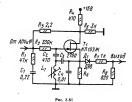
Находят применение также устройства, в котор рих регулирующее напряжение АПЧиФ подект непосредственно на базу тракзястора 7, генера гора сниусодальных колебаний (рис. 3,60). Генератор собран по нидуктивной тректочечной сеже. Ручная регулирока частоты осуществляетске. Ручная регулирока частоты осуществляетске. Ручная регулирока частоты осуществляетске. Ручная регулирока часты, Тракзистор 7, работает в режиме ограничения, и на его колькоторе создаются "практически прямоутольные инпульсы мапраженных отридательной полярности.

Вкодное сопротивление для управляющего маряжения АПЧ-Ф у генераторов синускопальных колебаний довольно велико. Это облегчает согласование таких генераторов с дискрыминатором цени АПЧиФ и позволяет расширить полосы херемания и заквата. Еще в большей степени повысить акодное сопротивление темератора управляетора (рис. 3.61). На выходе такого генератора можно долучить отришательные импульсы напражения амилитурой до 8 В.

Задающий генератор строчной развертия в интегральной микросхем К 1744Ф1 содержит генератор постоянного тока, токовый повторитель, заектронный переключатель и два пороговых устройства / и 2 для управления григгером (рис. 362). Электронный переключатель преднает конценсатора С, на помогой петеричизадаюдам из в генератора строительного тока.

Если переключатель находится в положении 1, конденсатор  $C_9$  разряжается по пилообразному закону на генератор постоянного тока и внешнюю нагрузку, соединенную с выводом 15 микросхемы. Когда напряжение на конденсаторе С, понизится до напряжения  $U_2$ , в пороговом устройстве 2 сформируется импульс, который перебросит триггер в другое устойчивое состояние. Триггер переведет переключатель в положение 2 и начнется заряд конденсатора C9 через токовый повторитель. Когда напряжение на конденсаторе Со достигнет напряжения срабатывания порогового устройства 1, сформируется импульс, перебрасывающий триггер, который переведет переключатель в положение 1. После этого снова начнется процесс разряда конденсатора  $C_6$ , и далее работа задающего генератора будет повторяться. Пилообразное напряжение, сиимаемое через развязывающий каскад с конденсатора  $C_0$ , используется далее для формирования импульсного напряжения, управляющего





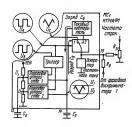
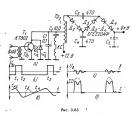


Рис. 3.62



оконечным каскадом строчной развертки и для цепи АПЧиФ. Противофазные импульсы триггера используются для этих же целей.

Входной каскад строчной развертки на транзисторе, применяемый в переносных телевизорах. работает по принципу симметричного ключа (рис. 3.63,а). В качестве ключа используется достаточно высокочастотный мошный транзистор  $T_{1}$ , способный выдерживать импульсные токи до 5-8 А и обратные импульсные напряжения до 150 В, имеющий небольшое сопротивление в режиме насыщения. Так как транзистор  $T_1$ проводит ток лишь в одном направлении, то для получения симметричной вольт-амперной характеристики ключа добавлен диод  $\mathcal{I}_1$ , который является также демпферным. Управление транзистором Т обеспечивается подачей в цепь его базы через трансформатор Тр, прямоугольных импульсов напряжения от промежуточного усилителя. В момент  $t_2$  (рис. 3.63, б) транзистор Т<sub>1</sub> закрывается. Из-за резкого прекращения тока в контуре, образованном индуктивностью трансформатора Тр2 строчных отклоняющих катушек KC и конденсаторами  $C_1$  и  $C_2$ , возникают колебания. Через половину периода этих колебаний в момент 12 ток в индуктивной ветви контура изменит направление, что приведет к открыванию днода  $\mathcal{I}_1$ , который демпфирует колебания (штриховая линия на рис. 3.63,в). Во время  $t_3$  диод  $\mathcal{A}_1$  проводит, и ток в индуктивной ветви контура и в строчных отклоняющих катушках изменяется почти линейно. В момент времени t<sub>4</sub> этот ток изменяет направление и начинает протекать не через диод Д1, а через транзистор  $T_{1}$ . Во время закрывания транзистора  $T_{1}$  на обмотках трансформатора Тр, и строчных отклоняющих катушках возникает напряжение, имеющее вид импульсов синусоидальной формы (рис. 3.63,∂).

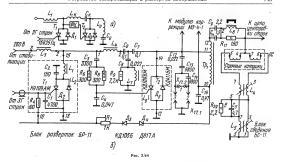
Чтобы облегчить режим работы транзистора  $T_1$  по пробивному напряжению, контур, образованный повышающей обмоткой и ес паразитными емкостями, настраивают на третью гармонику частоты колебаний во время обратного хода. Колебания напряжения с, частотой третьей гармоники трансформируются из повышающей обмотки трансформатора  $T\rho_2$  в его первичную обмотку, складываются с импульсами на коллекторе транзистора  $T_1$  и понижают их амплитуду (рис.  $3.63, \epsilon$ , d).

Выходной каскад строчной развертки на тиристорах. По сравнению с травзисторами пористора обладают бозьшей разривной мощностью, они менее чумствительны к переукам и поэтому более надежны. Применяям тиристоры, момію создать в выходних каснам мощностьюкоторые после преобразования будут использоваться для питания нехоторых каскадов телевизола.

Упрощенная эквивалентная схема каскада на тиристорах изображена на рис. 3.64,а. Каскад состоит из переключателя обратного хода — тиристора  $T_1$  и диода  $\mathcal{A}_1(T_1\mathcal{A}_2)$  на DRC 3.64,6), переключателя прямого хода тиристора  $T_2$  и диода  $\mathcal{A}_2(T_2$  и  $\mathcal{A}_6$  на рис. 3.64,6), колебательного контура отклоняющей системы  $L_0C_0$  и коммутирующего контура  $L_xC_x(L_4C_6)$ на рис. 3.64,б). В результирующую индуктивность  $L_0$  контура отклоняющей системы входит индуктивность обмоток выходного трансформатора строчной развертки Тр<sub>1</sub> (см. рис. 3.64,б), регулятора линейности строк  $L_8$  и строчных катушек отклоняющей системы 5-4, 7-6. Емкость Со представляет собой емкость конденсатора S-образной коррекции отклоняющего тока ( $C_9$  и  $C_{11}$  на рис. 3.64, $\delta$ ). Емкости  $C_{\kappa}$  и  $C_{0}$  и индуктивности  $L_{0}$  и  $L_{\kappa}$  работают как накопители энергии на время прямого и обратного ходов строчной развертки. Индуктивность дросселя  $L_1$  ( $L_3$  на рис. 3.64,6) рассчитана на необходимое пополнение энергией цепи развертки и создание импульсов управления переключателем прямого хода на тиристо- $T_2$  через формирующую цепочку  $\Phi U$ . Переключатель обратного хода на тиристоре

Переключатель обратного хода на тиристоре управляется инмульсами задаощего тенератора строчной развертки с частотой 15625 Гг. Анод инристора 7, постоянно соединен через дроссыь L, с источником напряжения питания Е. Пиристор 7, аквичается с розу после покласния на его управляющем электрове положительного информационательного информационательного информационательного информационательного информационательного информационательного информационательный информационательных направляющий вожегрод таристора Та, инше подготавляется с выслючению. Открывается тиристор 7, по ценн анода положительным напражением, образовавшимся на одной из обкладок конденсаторов С, или Се.

Из-за наличия индуктивностей  $L_0$  и  $L_c$  при режим изменения хоком на анодах транянстрою могут позинкнуть больше огринательные инпульте обращения и  $R_c$  и  $R_c$ 



Сплошизя линия на рис. 3.65 поязываем форму откложенцего тока, питриховая – кома в доссеже L1. В отрезо времени L2 – откложеном стоформу откложеном стоформу откложения L3 – откложения с обформирется в результате разряда емкости  $C_0$  на индуативаютсть  $L_0$  через открытый тириот  $T_2$  (см. рис. 3.64-д.). Откосительно большая смость  $C_0$  является несточником практически постоянного напряжения, и ток через  $L_0$  изменяется достаточно линейно. В этот отрезо времени диод  $\mathcal{I}_1$  и тиристор  $T_1$  оказываются закрытыми.

В момент времени  $I_3$  тиристор  $T_1$  открывается минульсмо ит одалошето тенератора строчной развертки. В это время отклоявлющий ток в цени  $C_2I_2I_3$  продолжает нарастать, в цени  $I_2I_3I_4I_5$ , ток  $I_4$  изменяется по синусоцальному можен учественности об высокративной собразования в контрусти  $I_4I_3I_4$  от  $I_4I_4$  от  $I_$ 

В отрезок времени  $t_1 - t_3$  ток  $t_6$  продолжает нарастать, а ток  $t_4$  достигает максимума, и конденсатор  $C_6$  начинает недезаряжаться. В момент  $t_5$  токи  $t_4$  и  $t_6$  становятся равными, диод  $R_6$  отключается, и начинается обратный ход должно учествення  $t_6$  ток должно учествення  $t_6$  ток должно учествення  $t_6$  ток должно учествення  $t_6$  ток проделения  $t_6$  ток должно учествення  $t_6$  ток продолжно учествення  $t_6$  ток проходит через духь в меняет направление, а напряжение в индуктивности  $t_6$  из  $t_6$  ток  $t_6$  то

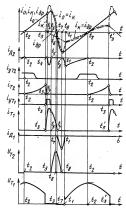


Рис. 3.65

максимума и начинает падать. Но тиристор остается закрытым, т. к. на его управляющем электроле нет запускающего импульса.

146

После момента  $t_6$  через тиристор  $T_1$  протекают токи  $i_{\rm ap}$  и  $i_{\rm 0}=i_{\rm s}$ , направленные навстречу друг другу, до тех пор пока  $i_{an} > i_{a}$ . В отрезок времени  $t_6-t_7$  энергия, накопленная в емкости  $C_{\kappa}$ , переходит в индуктивность  $L_0$ . В момент  $t_7$  токи  $i_{10}$  и  $i_0$  становятся равными, тиристор Т<sub>1</sub> отключается, и разностный ток начинает протекать через диод  $II_1$ . В момент  $t_8$ , когда отрицательная полуволна тока і достигает максимума, напряжение на индуктивности Lo, возникающее из-за изменения этого тока, проходит через нуль и становится отрицательным. Это приводит к открыванию диода Д2. После этого начинается прямой ток строчной развертки, и энергия магнитного поля индуктивности  $L_0$ переходит в энергию электрического поля емкости Со. За счет энергии, накопленной в этом контуре во время обратного хода, ток  $i_0$ изменяется линейно. В коммутирующем контуре ток і, изменяется по синусоидальному закону на более высокой частоте, т. к. индуктивность  $L_0$  из этого контура оказывается отключенной. Через диод  $\mathcal{J}_1$  навстречу друг другу протекают токи  $i_{\kappa}$  и  $i_{\mu\nu}$  до тех пор, пока  $i_{\kappa} > i_{\mu\nu}$ 

В может I, токи I, и I, становятся равными, разлость напряжений, приложенная к диолу II, оказывается равной куло, и ом акрывается. Возиккающая в этот момент противо-ЭДС через формирующую цель ФЦ поступает на куправляющий электрод туристора 7, и подготавливает его к включению, которое таковится возможным лицы посте закрывания в посте закрывания можента I, законовыет състановится возможным лицы посте закрывания в Вбалах можента I, законовотовается, в присеска поможента състанователя потражения в присеска поможения състанователя потражения посте закрывания можента I, законовотователя на процеска поможента Състанователя по процеска поможента Състанова по пред постанователя по пред по пред постанователя по пред по пред п

Из рис. 365 видно, что обратный ход развертки ванинается не в момент поступления управляющего импульса задающего генератора (4), а несколько позже (4). Позтому в адающем генераторе строчной развертки должна присутствовать цепь, создающая необходимое опережение переднего фроита управляющих импульсов относительно вичала обратного хода.

Кроме того, из рис. З.65 следует, что ток ізър. заменяющий свое паправление в момент гр. в первой половине прямого хода развертки течет от источника пятания в выходной каскад, а во второй половине прямого хода поступаст 7-71 сосбенность устрабства используется для стабильзации размера изображения по горизонтали (см. рис. 3.67).

Высоковольтный выпрямитель. При быстрых именениях тока во время обратного хола луча по строке на первичной обмогке трансформатора ТВС образуются положительные винульсы напряжения (см. рис. 3.63,0). Эти импульсы напряжения (см. рис. 3.63,0). высокого напряжения, питающего анод кинескопа. С этря целью ний, питающего анод кинескопа. С этря целью повышающей сесции первычной обмогы Тр<sub>0</sub>, и они заряжают конденсатор С, через высоковольтный выпрямитель Д,

Высокое напряжение для питания второго анода кинескопа в телевизорах на транзисторах составляет 6-15 кВ и более. Это означает. что при допустимой амплитуде импульса обратного хода на коллекторе транзистора (см. рис. 3.63,а) 80—140 В коэффициент трансформации повышающей обмотки трансформатора Тро должен быть около 100. При этом и число витков, и паразитная емкость повышающей обмотки будут очень большими. Уменьшив оба этих параметра до допустимых пределов, получить требуемое высокое напряжение удается, лишь используя выпрямитель с высоковольтными столбиками  $\mathcal{I}_2 - \mathcal{I}_4$  по схеме импульсного умножения напряжения.

Выпрямитель, состоящий из пяти выпрямительных столбиков и четырех конденсаторов (рис. 3.66), представляет собой импульсный утроитель напряжения, который при малой нагрузке  $(R_n \to \infty)$  работает следующим образом. При появлении на аноде столбика Д1 положительного импульсного напряжения конденсатор С, быстро заряжается до амплитудного значения этого напряжения  $U_{c1} = U_{bx}$ . В течение времени, когда напряжение на аноде столбика  $\overline{H}_1$  отсутствует, конденсатор  $C_2$  заряжается через диод  $H_2$  напряжением, имеющимся на конденсаторе  $C_1$  ( $U_{C2}=U_{\rm ex}$ ). Когда в точке aвновь появляется положительное импульсное напряжение, оно суммируется с напряжением на конденсаторе  $C_2$ . Сумма этих напряжений  $U_{c2} + U_{sx}$  заряжает через диод  $\mathcal{A}_3$  конденсатор  $C_3$ . Но так как конденсатор  $C_3$  соединен последовательно с конденсатором  $C_1$ , на котором уже имеется напряжение  $U_{C1} = U_{\rm ex}$ , то напряжение, до которого зарядится конденсатор  $C_3$ , будет  $U_{C3} = \tilde{U}_{sx}$ 

. Заряд конденсатора  $C_4$  происходит в результате того, что к одной его обкладже приложено напряжение  $U_{\rm Cl}$ , а к другой через столбик  $\mathcal{L}_4$  — напряжение  $U_{\rm Cl}$  +  $U_{\rm Cl}$ , В итоге конденсатор  $C_4$  заряжается разностью этих напряжений:

 $U_{c_1}=U_{c_1}+U_{c_2}-U_{c_2}$ . Конденского  $Q_{c_1}$  при появлении положительного импульсного напряжения на входе заряжает ся через столойи  $R_1$  развиостью напряжений  $(U_{c_1}+U_{c_2})+U_{c_3}-U_{c_1}+U_{c_2})=U_{c_3}=U_{c_3}$ . Напряжение на выхоле упротися обазывается  $Q_{c_3}=Q_{c_3}=Q_{c_3}$ . Т. к. все они выпочены последовательно с нагружкой, т. е.  $U_{c_3}=3U_{c_3}$ .

Описанный утроитель, конструктивно оформленный в виде отдельного блока, выпускается

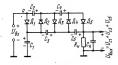


Рис. 3.66

промышленностью под маркой УНК5/25-1,2. В при топе магруми для подучить мапражение до 24,5 при топечения том катруми для подучить мапражения до 36,8 При заменения том катруми для предусмать для при том собразовать для при том собразовать для при том собразовать для при том собразовать для при том до для при том для при

## Стабилизация строчной развертки

Стабликация строчной развертки устраняет вляние колебаций напряжения питающей сети, изменения параметров транзисторов и нагрузки выпряжиталя высокого напряжения на размер ускорающее напряжение для питания вическопа. Между током и импульсными напряжением в строчных отклоний-ощих катушках, возникающим в премя обратного хоза, существует жесткая зависикость. Поэтому в широко применяемых системых стабланации строчной развертки исния режима генератора развертки в зависикост и имульсиюто напряжения на обмотках ТВС.

В простейшей цейн стабилизации импульсное папряжение с обмотки ТВС вапряждается и используется для создания напряжения управлений и под праворять. Однамо чуствительность и глубила ми Польсить учретвительность и глубила и Польсить учретвительность можно, примения усилитель в цени регуляровании вли сняя собмотки ТВС большое импульсное мапряжение и выпряжив лишь его часть, в которой отностительность изменения и зала истабильность велики. В качестве запрямителей с большой высики, В качестве запрямителей с большой васики, В качестве запрямителей с большой васикия. В качестве запрямителей с большой васикия, В качестве запрямителей с большой васикия.

В общем случае размер изображения по горизонтали регулируется изменением количества энергии, потребляемым выходным каскадом строчной развертки.

Стабилизация тиристорного устройства строчной развертки осуществляется изменением количества энергии, возвращающейся из выходного каскада в источник питания во второй половине прямого хода развертки (см. рис. 3.65). В молуле стабилизации МЗ-3 телевизоров УПИМЦТ-61-II (рис. 3.67) ток в выходной каскад поступает от источника напряжения  $260~\mathrm{B}$  через контакт 2, диод  $\mathcal{I}_1$  и контакт  $I_1$ я возвращается через контакт 1, тиристор  $T_3$  и контакт 2. Диод  $A_1$  для тока, протекающего в блок питания, включен в непроводящем направлении, и регулировка этого тока выполняется изменением времени открывания тиристора Тэ. Количество возвращенной энергии зависит от интервала времени между открыванием тиристора  $T_3$  (см. рис. 3.67) и тиристора  $T_1$ (см. рис. 3.65). Чем больше время, в течение которого часть энергии возвращается в источник

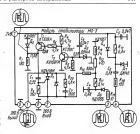


Рис. 3.67

питания, тем меньше размер изображения и напряжение на аноде кинескопа.

Если питающее напряжение 260 В увеличивается, то возрастает размах импульсов обратного хода, снимаемых с выходного строчного трансформатора и подаваемых на контакты 3 и 4 модуля стабилизации (см. рис. 3.67). При этом увеличивается постоянное напряжение на подвижном контакте переменного резистора  $R_{10}$ поскольку одновременно возрастает напряжение, выпрямленное диодом Д6, и напряжение, поступающее от источника 260 В через резистор R<sub>10</sub>. В результате пилообразное напряжение, сформированное из импульсов обратного хода целью  $R_{18}C_6\mathcal{A}_7R_{17}C_5\mathcal{A}_4$ , будет иметь на базе транзистора T<sub>0</sub> большую постоянную составляющую. Открывание транзисторов То и Т, и тиристора Т<sub>3</sub> ускорится, доля энергии, возвращающейся из выходного каскада в источник питания 260 В, увеличится, что скомпенсирует увеличение горизонтального размера изображения, возникшее из-за роста напряжения 260 В

При увеличении тока лучей кинскопа въза возрастания лагрузки на въходной каксад сгрочной развертки уменьшаются амплитуда имлульсов обратного хода и напряжение на айоде кинскопа. Синжение напряжения, выпряжленого го диодом И<sub>п.</sub> замедатет открывание транзинсторов Т<sub>2</sub>, T<sub>1</sub> и тиристора Т<sub>3</sub>. При этом энергия, възращающается из выклопко таксада строчной възращающается из выклопко таксада строчной ность, вырабатываемя выходьми наскадом, растет, и уменьшение залилитуры инпульсов обранного хода и напряжения на аноде кинескопа компексируется из поста компексируется и поста компексируется и поста строи поста поста залитура и имуатель объемительной компексируется компексируется и поста за по

# Автоматическая подстройка частоты и фазы строчной развертки

При приеме слабых сигналов внутренние шумы телевизора и импульсные помехи накладываются на синхронизирующие импульсы и могут изменить

их форму и амплитуду. В результате вертикальные линии в принятом изображении будут выглядеть изломанными, а четкость изображения будет понижена. Искажения кадровых синхроимпульсов меньше сказываются на качестве изображения, т. к. помехи отфильтровываются интегрирующей цепью, формирующей импульсы для синхронизации задающего генератора. Для улучшения качества изображения применяют помехоустойчивые цепи синхронизации строчной развертки, работающие по принципу АПЧиФ задающего генератора. В таких устройствах в результате сравнения частоты и фазы синхронизирующих импульсов с частотой и фазой импульсов от генератора развертки вырабатывается напряжение, управляющее частотой задающего генератора. В результате частота колебаний задающего генератора поддерживается равной частоте приходящих синхронизирующих импульсов

Цепь АПЧиФ (рис. 3.68) содержит фазовый дискриминатор на диодах  $\mathcal{I}_1$  и  $\mathcal{I}_2$ , вырабатывающий напряжение, пропорциональное разности фаз синхронизирующих импульсов, снимаемых с резисторов  $R_2$  и  $R_3$  нагрузки фазоинвертора на транзисторе  $T_1$ , и пилообразного напряжения от генератора развертки, сформированного цепью  $R_6C_4$ . Выработанное напряжение через фильтр  $R_7C_5C_6$  подается на задающий генератор и управляет его частотой. Если синхронизирующие импульсы появляются в тот момент, когда пилообразное напряжение, проходит через нулевое значение (рис. 3.69, а), то конденсаторы  $C_2$  и  $C_3$  заряжаются через открывающиеся диоды до одинаковых, но противоположных по знаку напряжений  $\dot{U}_1$  и  $\dot{U}_2$ . В промежутках времени между синхронизирующими импульсами конденсаторы  $C_2$  и  $C_3$  медленно разряжаются соответственно через резисторы  $R_3$ ,  $R_4$ ,  $R_7$ ,  $R_8$ и  $R_2$ ,  $R_3$ ,  $R_7$ ,  $R_8$ . В результате через резистор R<sub>8</sub> текут одинаковые и противоположные по знаку токи, и падение напряжения на нем окажется равным нулю.

Если частоты и фазы синхронизирующих импульсов и импульсов генератора развертки не совпадают, то синхронизирующие импульсы появляются не в тот момент, когда пилообразное напряжение в точке а на схеме 3.68 проходит через нуль. В результате при частоте генератора ниме нормальной (рис. 3.69, 6), диод  $Z_1$  открывается частью индообразного напряжения, а кондал  $Z_2$  закрывается. При этом колденсатор  $C_2$  даркаместа до большего напряжения, а конденсатор  $C_2$  — до меньшего. Токи разряда этих комденсаторов не конпенсируются, и на реансторе ступлет на задающий генератор и изменяет его частоту так, чтобы свести к и узлю разность фаз синхроинзирующих импульсов и колебаний спекратор до и колебаний спекратор до и колебаний спекратор за правность фаз синхроинзирующих импульсов и колебаний спекратора выше вюрмальной (рис. 3.69, а) паделие напрежения с частот генератора выше вюрмальной (рис. 3.69, а) паделие напрежения с частот за давающего трексатора поднажения с на частот за давающего трексатора поднажения распользовающей с на частот за давающего трексатора поднажения с на частота задающего трексатора поднажения поднажения с на частота задающего трексатора поднажения подна

В одной из часто применяемых разновидностей цепи АПЧиФ роль фазонивертора выполняет импульсный трансформатор  $Tp_1$  (рис. 3.70,a). В другой (рис. 3.70,6), рассчитанной на работу с синхронизирующими импульсами одной полярности, диоды  $II_1$ ,  $II_2$  включены навстречу друг другу и заряжают конденсатор  $C_1$ . Пилообразное напряжение приложено к резисторам R<sub>1</sub> и R<sub>2</sub> и делится на них и диодах  $\mathcal{A}_1$ ,  $\mathcal{A}_2$  поровну. Если синхронизирующие импульсы появляются в тот момент, когда пилообразное напряжение проходит через нулевое значение, то заряд конденсатора  $C_3$  равен нулю. Когда частота задающего генератора отличается от частоты синхронизирующих импульсов, напряжение на одном диоде, полученное вследствие суммирования части пилообразного напряжения с синхронизирующим импульсом, уменьшается, а на другом диоде -- увеличивается. В результате в зависимости от знака отклонения частоты и фазы конденсатор  $C_3$  заряжается напряжением той

$$\begin{array}{c|c}
A_1 & & \downarrow \\
A_2 & & \downarrow \\
A_3 & & \downarrow \\
A_4 & & \downarrow \\
A_5 & & \downarrow \\
A_6 & & \downarrow \\
A_1 & & \downarrow \\
A_1 & & \downarrow \\
A_2 & & \downarrow \\
A_3 & & \downarrow \\
A_4 & & \downarrow \\
A_5 & & \downarrow \\
A_6 & & \downarrow \\
A_7 & & \downarrow \\
A_8 & & \downarrow \\
A_9 & & \downarrow \\
A_1 & & \downarrow \\
A_1 & & \downarrow \\
A_2 & & \downarrow \\
A_3 & & \downarrow \\
A_4 & & \downarrow \\
A_5 & & \downarrow \\
A_6 & & \downarrow \\
A_1 & & \downarrow \\
A_2 & & \downarrow \\
A_3 & & \downarrow \\
A_4 & & \downarrow \\
A_5 & & \downarrow \\
A_6 & & \downarrow \\
A_7 & & \downarrow \\
A_8 & & \downarrow \\
A_9 & & \downarrow \\
A_1 & & \downarrow \\
A_1 & & \downarrow \\
A_2 & & \downarrow \\
A_3 & & \downarrow \\
A_4 & & \downarrow \\
A_5 & & \downarrow \\
A_6 & & \downarrow \\
A_1 & & \downarrow \\
A_1 & & \downarrow \\
A_2 & & \downarrow \\
A_3 & & \downarrow \\
A_4 & & \downarrow \\
A_5 & & \downarrow \\
A_6 & & \downarrow \\
A_1 & & \downarrow \\
A_2 & & \downarrow \\
A_3 & & \downarrow \\
A_4 & & \downarrow \\
A_5 & & \downarrow \\
A_6 & & \downarrow \\
A_7 & & \downarrow \\
A_8 & & \downarrow \\
A_9 & & \downarrow \\
A_1 & & \downarrow \\
A_1 & & \downarrow \\
A_2 & & \downarrow \\
A_3 & & \downarrow \\
A_4 & & \downarrow \\
A_5 & & \downarrow \\
A_6 & & \downarrow \\
A_7 & & \downarrow \\
A_8 & & \downarrow \\
A_8 & & \downarrow \\
A_8 & & \downarrow \\
A_9 & & \downarrow \\
A_1 & & \downarrow \\
A_1 & & \downarrow \\
A_1 & & \downarrow \\
A_2 & & \downarrow \\
A_3 & & \downarrow \\
A_4 & & \downarrow \\
A_5 & & \downarrow \\
A_6 & & \downarrow \\
A_7 & & \downarrow \\
A_8 & & \downarrow$$

Рис. 3.69

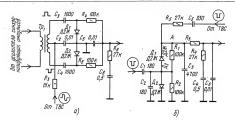


Рис. 3.70

или йной полярности. Это напряжение через фильтр  $R_3R_4C_4C_6$  подается на задающий генератор и управляет его частотой.

Фильтр на выходе цепи АПЧиФ подавляет импульсные помехи и шумы и исключает проникновение их в цепи задающего генератора. При большой постоянной времени этого фильтра полоса схватывания пепи АПЧиФ сужается. В этом случае при значительном отличии частоты задающего генератора от частоты синхронизируюших импульсов автоматическое регулирование становится невозможным и частоту задающего генератора приходится подстраивать вручную. При малой постоянной времени указанного фильтра полоса схватывания шире, но увеличивается вероятность проникновения в цепи задающего генератора. От параметров цепи  $R_6C_4$  (см. рис. 3.69), формирующей пилообразное напряжение, зависит сдвиг изображения по горизонтали в пределах полосы схватывания

Если изображение сдвинуто вправо и правыйего край завервут, то постоянную времени этой цепи надо уменьшить. При сдвиге изображения влево постоянную времени надо увеличить.

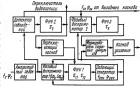
Из-за высокого уровия помех в переносных телевизорах постоянную времени фильтра на выходе цепи АПЧиФ делают большой, а для расширения полосы /схватывания в некоторых случаях между цепью АПЧиФ и задающим генератором включают усилитель постоянного

Двудступенчатав цепь АПЧиФ с автоматическим переключенем финктра на выходое обладает универеальными свойствами — широкой полосой схватывания в наскоой степенью защити от наистического и положения образоваться по порующие импульсы от ампантудкого селектора (І<sub>ст</sub>», гравниваются п фазоком дискримнияторе I с импульсами задающего генератора (І<sub>ст</sub>», ра-Істиченно учительного потемренно по постання по постання по постання по потемрения на постання по потемрения пот

ни  $\Phi$ HЧ1 под воздействием переключающего каскада могут переключаться, принимая значения  $S\Phi_1$ .  $S\Phi_1$ , и  $\tau_1$ ,  $\tau_2$ .

При отсутствии синхронизации для расширения полосы схватывания нужна большая кругизна  $S\Phi_{12}$  и малая постоянная  $\tau_{11}$  ФНЧ1. Как только синхронизация произойдет, крутизна переключается на меньшую  $S\Phi_{11}$ , а постоянная времени — на большую т<sub>12</sub>. Переключение выполняется автоматически с помощью детектора совпадений, напряжение на выходе которого появляется лишь при совпадении фаз синхронизирующих импульсов и импульсов обратного хода строчной развертки. При этом происходит открывание переключающих устройств в ФНЧ1 и фазовом дискриминаторе 1. Для повышения помехоустойчивости открывание осуществляется через ФНЧ2 и дополнительный переключающий каскал. представляющий собой пороговое устройство - триггер Шмитта.

Временной интервал между завершением процесса синхронизации и переключением крутизны дискриминатора 1, а также постоянной времени ФНЧ1 определяется постоянной времени ФНЧ2.



Pac. 3.71

Если телевизор используется для воспроизведения магнитной видеозаписи, то из-за колебаний скорости движения пленки можно ожидать большего отклонения частоты синхронизирующих импульсов. При этом устройство переключения необходимо отключить переключателем видеозаписи.

Все устройства, показанные на рис. 3.71, объединены в одной микросхеме К174АФ1, в которую входят также задающий генератор строчной развертки и формирователь строчных импульсов. Фазовый дискриминатор 2 и ФНЧЗ служат для создания опережения строчных импульсов относительно импульсов обратного хода, которое осуществляется в формирователе с одновременным изменением формы импульсов, управляющих оконечным каскадом, из пилообразной в прямоугольную. Указанное опережение необходимо для выходного каскада строчной развертки на тиристорах (см. стр. 144). Напряжение на выходе фазового дискриминатора 2 зависит от сдвига фаз между импульсами задающего генератора и импульсами обратного хода и позволяет устранить фазовые сдвиги, возникающие при изменении нагрузки выходного каскада.

## Генераторы кадровой развертки

Пилообразный ток, образующий магнитное поле в катушках отклоняющей системы для создания движения луча кинескопа по экрану сверху вниз, имеет частоту 50 Гц. Этот ток вырабатывают генераторы каловой возвертки.

Генераторы кадровой развертки на траизисторах обычно состоят из задающего генератора, промежуточного усилителя и оконечного каскада (рис. 3.72). В качестве задающего генератора используется блокинг-генератор. В нем сильная ПОС тз анодной цепи в сеточную создается унифицированным траксформатором Тр., Требуемая частота следования импульсов. блокинг-генератора устанавливается с помощью переменного резистора R<sub>18</sub>. Параметры трансформатора и других элементов генератора выбираются такими, чтобы обеспечить требуемую частоту и длительность обратного хода развертки. Пилообразное напряжение формируется цепью R<sub>15</sub>C<sub>1</sub>. Чтобы относительно низкое входное сопротивление оконечного каскада не шунтировало эту цепь и не ухудшило линейность пилообразного напряжения, перед оконечным каскадом включен промежуточный усилитель на транзисторе  $T_2$ . Благодаря этому амплитуду пилообразного напряжения на конденсаторе  $C_1$ , являющегося частью экспоненты, можно сделать небольшой и достаточно линейной. Диод  $\mathcal{A}_1$  защищает эмиттерный переход транзистора  $T_1$  от отрицательных выбросов напряжения на обмотке трансформатора Тр.

Пилообразное напряжение из коллекторной цепи блокинг-генератора подается на делитель напряжения из резисторов  $R_2 - R_4$ . Амплитуда напряжения, поступающего на базу транзистора Т. промежуточного усилителя, и, следовательно, вертикальный размер растра на экране плавно меняются с помощью переменного резистора R<sub>2</sub>. Пилообразное напряжение сформированное в базовой цепи транзистора  $T_3$  с помощью цепи из конденсатора  $C_7$  и резисторов  $R_7R_8$  преобразуется в пилообразно-импульсное напряжение. Положительные импульсы этого напряжения используются для закрывания транзистора  $T_3$  оконечного каскада и резкого изменения отклоняющего пилообразного тока при обратном ходе кадровой развертки.

Линейный пилообразный ток в кадровых откленоших катушки с большой индуктивностью, ток используем с польшей индуктивностью, люб ком используя наприжение такой формы, чтобы об был анием при не столь уж большой их индуктивность. Наприженен, которое надо подать для форму части параболы с вершиной, обращенной вверх, части параболы с вершиной, обращенной вверх.

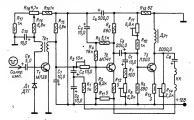
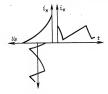


Рис. 3.72



Puc 3 73

Особенностью оконечного каскада на транзиторе  $T_a$  вазгачеств подключение кадровах отконяющих катушек KK через конденсатор  $C_a$  к коласкторной цени этого транзистора, включенного по схоне с задемленным эмиттером. Дросссы  $R_p$ , обеспечения об  $R_p$ , обеспеченного или  $R_p$  и станов странзистора  $R_p$ . Багогодаря отридательной обратило чляна и предистора  $R_p$  с стементов чляна и предистора  $R_p$  и  $R_{p,p}$  — вминитуал отклонившего тока мало зависит от прогрема деталей с тока мало зависит от прогрема деталей.

## Стабилизация кадровой развертки

Стабилизация кадровой развертки особенно необходима в телевизоре с взрывобезопасным кинескопом, имеющим прямоугольный экран с соотношением сторон 4:5. Так как согласно принятому стандарту передается изображение с соотношением сторон 3: 4, то при совпадении верхней и нижней его кромок с соответствующими границами экрана указанных кинескопов боковые кромки изображения оказываются за пределами экрана и часть изображения пропадает. Если не применять стабилизации, то для компенсации возможного уменьшения размеров растра из-за падения напряжения сети, прогрева деталей и дрейфа параметров транзисторов придется увеличить размер изображения по вертикали и пропорционально еще больше увести боковые кромки изображения за пределы экрана кинескопа и потерять еще большую часть изображения.

Размер изображения по вертикали может изменяться из-за изменения амплитуды пилообраз-

ного напряжения на выходе задающего генератора (это происходит в результате изменения напряжения питания зарядной цепи и параметров транзисторов при их нагреве), а также из-за изменения параметров транзисторов промежуточного усилителя и оконечного каскада. Кроме того, амплитуда пилообразного тока в кадровых отклоняющих катушках может изменяться в результате изменения сопротивления этих катушек и обмоток ТВК при нагреве. В телевизорах с современными кинескопами из-за увеличения угла отклонения луча до 110° к отклоняющим катушкам подводится большая мощность. Это приводит к сильному нагреву катушек и заставляет принимать дополнительные меры для стабилизации размера изображения по вертикали.

Один из вариантов схемы стабилизированной кадровой развертки был приведен на рис. 3.72. Для того чтобы размер изображения по вертикали не зависел от перечисленных злесь причин. в цепь (см. рис. 3.72) введен ряд элементов, уменьшающих влияние дестабилизирующих факторов. Хорошую стабильность удается получить, используя для питания генератора кадровой развертки стабилизированный источник напряжения +12В. Повышение стабильности блокинг-генератора достигается также благодаря питанию зарядной цепи R<sub>15</sub>C<sub>1</sub> от источника этого напряжения. Этим не только стабилизируется амплитуда пилообразного напряжения на конденсаторе  $C_1$ , но и улучшается стабильность частоты блокинггенератора

Цень ООС  $C_2R_1R_2$  с коллектора транзистора  $T_1$  ма базу транзистора  $T_2$  и ООС по постоянному току из-за включения в цень эмиттеров резисторов  $R_1$ —  $R_1$  стаблизивуют режим транзисторов  $T_3$  и  $T_2$  и уменьшают влияние дрейфа их параметров и зименений питающего напряжения на мощность, отдаваемую оконечным каскадом в нагрузку.

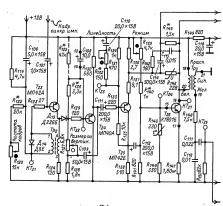
Возраставие сопротивления отклоияющих катушек КК при нагреве компенсируется благодаря видоченню в их цепь резистора R<sub>11</sub> и введения ООС по току в цепь эмитела Три нагреве сопротиваение катушек КУ увеличивается. В результа те уменьшается ток в их цепи и в цепи ООС, что приводит к росту размаха колекторного токо транзистора Т<sub>2</sub> и к компенсации падения амплитуды тока в отклоизорать.

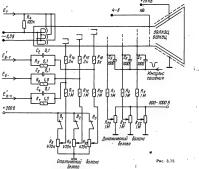
#### Блок разверток телевизоров «Юность»

Примером компоновки цепей и узлов на транзисторах может служить блок развертки телевизоров серии «Юность», получивших большое распространение.

Блок содержит задающий блокинг-генератор на транзисторе  $T_{23}$  (рис. 3.74), промежуточный усилитель  $T_{24} - T_{25}$  и выходной каскад  $T_{26}$  карровой развертки, задающий блокинг-генератор  $T_{27}$ , промежуточный согласующий каскад  $T_{28}$  и выходной каскад  $T_{29}$  строчной развертки.

152





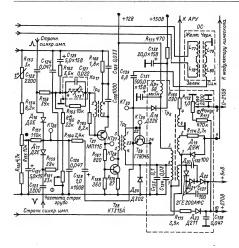


Рис. 3.74

Генератор кадровой развертки. Пилообразное напряжение кадровой развертки, полученное на конденсаторе  $C_{108}$  после эмиттерного повторителя  $T_{24}$  через резистор  $R_{133}$  и  $C_{111}$  поступает в цель базы транзистора  $T_{25}$ , где находится цель регулировки линейности  $C_{110}R_{131}R_{132}$ . Сформированное напряжение из коллекторной цепи транзистора  $T_{25}$  поступает через конденсатор  $C_{112}$ на базу транзисторов Т26, включенного по схеме ОЭ. Режим этого транзистора устанавливается резисторами  $R_{139}$ ,  $R_{140}$ ,  $R_{141}$ ,  $R_{144}$ ,  $R_{147}$  и стабилизируется терморезистором  $R_{143}$ . Кадровые катушки отклоняющей системы включены в цепь коллектора транзистора  $T_{26}$  через конденсатор С114, с которого также в цепь эмиттера транзистора Тор подается напряжение ООС. Варистор R<sub>148</sub> ограничивает импульсное напряжение на коллекторе транзистора  $T_{26}$  и на первичной обмотке трансформатора  $Tp_3$ . Со вторичной обмотки трансформатора Tp<sub>3</sub> снимаются отрицательные импульсы, которые после формирования цепью  $R_{148}R_{150}C_{117}C_{116}$  и добавления к ним строчных импульсов с обмотки I-2 трансформатора  $Tp_6$  подаются на модулятор кинескопа для гашення луча во время обратного хода по кадру и по строкам.

Генератор строчной развертки. Для повышения стабильности задающего блокинг-генератора в цепь базы транзистора  $T_{27}$  включен контур  $L_{73}C_{127}$ , настроенный на частоту около 18 к $\Gamma$ ц. В цепь базы этого транзистора от цепи АПЧиФ с диодами  $\mathcal{L}_{18}$  и  $\mathcal{L}_{17}$  через фильтр  $R_{158}R_{159}C_{124}$  $C_{125}$  подается регулирующее напряжение. тота строк регулируется изменением режима транзистора  $T_{27}$  при помощи переменных резисторов  $R_{155}$  и  $R_{161}$ . Положительные импульсы строчной частоты из коллекторной цепи транзистора  $T_{27}$ подаются на базу транзистора  $T_{29}$  работающего в трансформаторном усилителе. Усиленные импульсы через согласующий трансформатор Тр. подаются на базу транзистора Тоо оконечного каскада строчной развертки. Трансформатор  $Tp_5$ согласует низкое входное сопротивление транзистора  $T_{29}$  оконечного каскада с целью коллектора транзистора  $T_{20}$  В миттерную цепь транзистора  $T_{20}$  включени; строчные отколензошие катушки  $L_{20}$   $L_{30}$  с корректирующим ковденсаторо K(z) и выходным строчным трансформатором высоковольтного блока  $T_{20}$  вырабатывающим напряжения для питания электролов конкескопа и милульсыве напряжения для питания электролов конкескопа и милульсыве напряжения для цепей АРУ и АПТИФ и цепп гитания видеоусилителя с диодом  $R_{10}$  и констверной строит и питания видеоусилителя с диодом  $R_{10}$  и констверной строит и питания видеоусилителя с диодом  $R_{10}$  для питания цепей ускоряющего и фокускрующего электродов кинескопа.

Высокое напряжение (9 кВ) для питания анода кинескопа вырабатывается в высоковольтном блоке цепью умножения на селеновых столбиках  $\mathcal{A}_{20} = \mathcal{A}_{22}$ .

# Цепь включения кинескопа, цветного телевизора

Схема включения цветных книескопов 59ЛКЗЦ и 63ЛКЗЦ приведена на рис. 3.75. При ускоряющем напряжении до 25 кВ для удовлетворительной фокусировки напряжение на фокусирующем электроде должно быть 3—6 кВ.

Переменными резисторами  $R_8 - R_{10}$  регулог начальные токи лучей и устанавливают стический баланс белого для выбраніюй ярьости тический баланс белого для выбраніюй ярьости сесенями ярьам. Чтобы при регулировке ярьости сохраньлось, необходимы различные прирашения токов элучей при одинаковом именения напряжения на катодах. Для этого крутизиу характеристик громскторов делают различной. Изменения наприжения на ускоряющих электродах при помощи теременных резисторов делают различной. Изменения наприжения на ускоряющих электродах при помощи теременных резисторов  $R_2 - R_{20} = R_{20}$  варынру-танавливается динамический батанс белого в широком далагазовое яркости селечения зорядах.

Конденсаторы  $C_1 \sim C_4$  шулитированы реаксторым  $R_2 \sim R_4$  для передаяни постоянной составляющей цветоразностных сигналов. Гашение лучей на время обратного хода осуществляет подвуей через конденсаторы  $C_4 \sim C_7$  на ускоряюще электроды отридительных минульсов. Тумбиерами  $B_1 \sim B_2$  отключают регуляторы статичестього баланса белого и поочередно закрывают прожекторы кинескопа во время налаживания теленязора.

# Узел строчной развертки на транзисторах для цветных телевизоров на кинескопах 59ЛКЗЦ и 61ЛКЗЦ

Узел (рис. 3.76) состоит из двух устройств. Первое из них служит для создания отклоняющего тока необходимой формы в строчных катушках отклоняющей системы, второе — для получения стабильзированного напряжения питаниз 25 кВ вторго в вода кинескова. Устройство формирования отклоняющего тока сотоли из парам образного усилителя на граничега на граничега постоянного тока на траничего различего достигно тока на траничего различего разли

С обмотки III грансформатора  $TP_1$  задажнего генератора прявогольные имиульсы поступают на буферный усилитель. Ревистор  $R_2$  гораничивает то, базы гранмотора  $T_{iII}$  смотре кой усилителя служит грансформатор  $T_{III}$  смотре кой усилителя служит грансформатор  $T_{III}$  смотре  $T_{III}$  и  $T_{III}$  котрой открывает их до насишения. Ревистор  $R_{23}$  и диод  $T_{III}$  открывающей открывает их до насишения. Ревистор  $T_{III}$  и диод  $T_{III}$  от  $T_{III}$  и диод  $T_{III}$  от  $T_{III}$  и диод  $T_{III}$  и дио

зистора  $T_4$ , когда он закрывается.

Выходиме транзисторы  $T_1$  и  $T_6$  соединены последовательно. Нагрузкой выходного каксавда аслужат: выходной строчный трансформатор  $Tp_8$ , отжоляющая стетма OC, симистрирующая катушка  $L_8$ , регулятор линейности  $L_1$  и трансформатор  $Tp_8$ , Отколяющая система подсоединена черев регулятор линейности  $L_2$  к коллектору транзистро  $T_8$  и католу деяпфермого дикол  $D_8$  Параллельное включение строчных катушек K Отклоияльной соединена соединена устрочных катушек K Отклоияльной соединена соединена

Контур  $L_iC_{11}$  настроен на третью гармонику частоты свободых колсованых катемый, возникающих з строчных катушках во время обратного хода луча по горизовиталы, что синжает имилуас напражения обратного хода на транзисторах  $T_i$ ,  $T_i$  ви  $T_i$   $T_$ 

Парадлельно строчным катушкам ОС и катушке 1, подключены обмогки и И II тракеформатора коррекции подушкообразных искажений растра катушку коррекции фазы L, соединена с кадовыми катушками ОС. Работа схемы коррекции подушкообразных искажений растра описана на сто. 170.

Центровка растра по горизонтали осуществать гется с помощью улал центровки, состоящего из обмотки III трансформатора  $T_{D_2}$ , диаода  $B_1$ , в конденстворо  $C_{10}$  с  $T_{10}$ , реастра  $B_{20}$  и дроссеал  $B_{P_1}$ . С обмотки I трансформатора  $B_{20}$  и дроссеал  $B_{P_1}$ . С обмотки I трансформатора  $B_{20}$  и дроссеал  $B_{P_1}$ . С обмотки I трансформатора осутняют в цень APV, баюк цветности, удеа гашения обратиого хода лучей по горизонитали, баок сведения дучей и генератор истонияка стабилизированного напряжения  $B_{20}$  баля питания второванного напряжения  $B_{20}$  баля питания второга анода, а также фокусирующего и ускоряющего заместродов Кинскорпа.

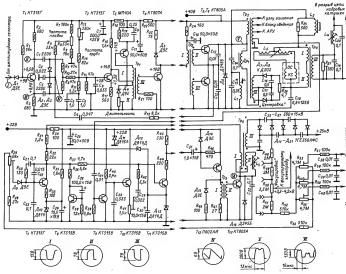


Рис. 3.76

В источнике стабилизированного напряжения на транзисторе Т, собран усилитель постоянного тока, а на транзисторах  $T_9$ ,  $T_{10}$  — каскад, формирующий пилообразное напряжение. На базу транзистора Т11 каскада сравнения поступают постоянное напряжение питания с усилителя постоянного тока Т7 и пилообразное напряжение с каскада формирования — транзисторов  $T_0$ ,  $T_{10}$ . С каскада сравнения Т 11 управляющие импульсы поступают на предоконечный каскад на транзисторе T<sub>12</sub>, а с него — на выходной каскад — транзистор Т<sub>13</sub>.

Стабилизация высоковольтного напряжения при изменении токов лучей кинескопа осуществляется изменением длительности управляющего импульса на базе транзистора  $T_{13}$ . При изменении тока лучей или напряжения питания (32В) изменяется выпрямленное высокое напряжение. Через делитель из резисторов  $R_{48}$ — $R_{56}$ ,  $R_{28}$ R<sub>20</sub> часть этого напряжения поступает на базу транзистора Т,, эмиттер которого соединен с источником опорного напряжения на стабилитроне . Д<sub>10</sub>. Изменения напряжения на базе транзистора Т<sub>7</sub> усиливаются и передаются на каскад сравнения  $T_{11}$ . Элементы  $\mathcal{A}_{9}$ ,  $R_{30}$ ,  $C_{21}$  —  $C_{23}$  служат для устранения самовозбуждения стабилизатора.

Нагрузкой выходного транзистора  $T_{13}$  является трансформатор Tp6. Контур, образованный его обмоткой III и паразитными емкостями, настроен на третью гармонику частоты свободных колебаний, возникающих во время обратного хода лучей по горизонтали в контуре, образованном обмоткой / этого трансформатора, а также паразитными емкостями. Настройка осуществляется изменением связи между этими контурами с помощью сердечника катушки L. При этом возрастает КПД выходного каскада и снижается на 20 — 25% импульс напряжения при обратном ходе луча на коллекторе транзистора  $T_{13}$ , что повышает надежность его работы.

Умножитель напряжения собран на выпрямителях  $\mathcal{A}_{17} - \mathcal{A}_{21}$  и конденсаторах  $C_{33} - C_{37}$ . К первому звену умножителя (выпрямитель  $\mathcal{A}_{17}$ ) подключен делитель (резисторы  $R_{48} - R_{56}$ ,  $R_{28}$ ,  $R_{29}$ ), с которого снимается напряжение на фокусирующий и ускоряющий электроды кинескопа.

Нестабильность высокого напряжения при изменении напряжения питания от -10 до +6% и тока лучей кинескопа от 0 до 1 мА не более 4%. Узел можно смонтировать на печатных платах. Транзисторы Ть Тв нужно установить на игольчатых раднаторах с площадью рассеяния 200 см2 каждый, транзистор  $T_{13}$ — на радиаторе площадью 150 см $^2$ . Трансформатор  $Tp_6$ , умножитель напряжения  $\mathcal{H}_{17}$ — $\mathcal{H}_{21}$ ,  $\mathcal{C}_{33}$ — $\mathcal{C}_{37}$  и дедитель напряжения  $\mathcal{H}_{48}$ — $\mathcal{H}_{56}$  следует установить вне плат.

Узел рассчитан на работу с отклоняющей системой ОС-90ЛЦ2. Регулятор линейности строк можно изготовить на базе РЛС-90ЛЦ2 или РЛС-110Л1, перемотав его по данным, приведенным в табл. 3.6, в которой указаны также намоточные данные всех катушек и трансформаторов. Конденсаторы  $C_{12}-C_{15}$ ,  $C_{32}-M\Pi O$  йли  $K72\Pi$ -6 на

Таблица 3.6. Намоточные данные деталей узла строчной развертки на транзисторах для цветного телевизора

Обозна- чение по схеме	Сердечник	Обмот- ка	Число витков	Провод
Τρ <sub>1</sub>	M2000HM1 III5×5	1 1	100	ПЭВ-2 0.1:
		İI	500	ПЭВ-2 0,1:
		III	100	ПЭВ-2 0,1
$Tp_2$	M2000НM1 Ш7×7	- 1	250	ПЭВ-2 0,
	зазор 0,12 мм	11	18	ПЭВ-2 0,
		111	18	ПЭВ-2 0,
Tps	M2000HM1 III7×7	- 1	5 + 35 -	ПЭВ-2 0,1
			60 + 10	
	зазор 0,2 мм	11	120	ПЭВ-2 0,6
_		111	5 + 5	ПЭВ-2 0,6
Tp.	M2000НM1 Ш7×7	1,	45	ПЭВ-2 0,4
	зазор 0,16 мм	1111		ПЭВ-2 0,4
T.	M3000HMC1-IIK26-13	"	15+12	ПЭВ-2 0,4
Tρe	18300 - NM	l ii.	15 + 12	ПЭВ-2 0,7
	1830b 4 NW	iii.	1700	ПЭВ-2 0,
$\Omega_{P_1}$	M2000HM1 III5×5	'''	55	ПЭВ-2 0.4
$L_1$	M1500HM3-CC 4.5×17	ļ	20	пэлшо і
L <sub>2</sub>	Ферритовый цилиндри-		1-0	Tabania i
o ş	ческий от РЛС-110Л1		40	ПЭВ-2 0.
L.	M1500HM3-CC 4.5×17		25 + 25	ПЭВ-2 0
$\bar{L}_{4}^{\circ}$	M1500HM3-C 4.5×117		300	ПЭВ-2 0.4
Ls	M1500HM3-CC 4.5×17	İ	30	ПЭВ-2 0,7

Примечания. 1. Трансформатор  $T_{P_b}$  изготоваяют по двиным трансформатора  $T_{P_b}$  без обмотки III. 2. Каждый слой и обмотит трансформатора изолируют:  $\gamma$   $T_{P_b}$ — коиденсаторной буматой толщикой 0,02 мн;  $\gamma$   $T_{P_b}$ —  $T_{P_b}$ — то ме, толшеной 0,05 мн;  $\gamma$   $T_{P_b}$ — тривцетатьюй поличной 0,07 мм. 3. Шервыя обмоти катушки  $L_a$ —5 мм, расстояние

между обмотками — 10 мм.

напряжение не менее 400 В, конденсатор коррек-

ции нелинейных искажений  $C_{18} = \text{K42-11};$  резисторы  $R_{48} = R_{52} = \text{K3B-1},$  а  $R_{26} = \text{серии}$ 

# Модуль синхронизации и управления строчной разверткой на микросхеме К174АФ1 телевизоров УПИМЦТ-61-II

В телевизорах УПИМЦТ-61-И формирование импульсов для синхронизации и управления выходным каскадом строчной развертки осуществляется в отдельном модуле M3-1 (ARI). В этом модуле происходит ограничение синхронизирующих импульсов и разделение их на строчные и кадровые, генерирование импульсов с частотой строк, синхронизация задающего генератора посредством цепи АПЧиФ, усиление и формирование прямоугольных импульсов длительностью 5--8 мкс для управления выходным каскадом строчной развертки на тиристорах (описан на стр. 144). В модуле (рис. 3.77) применена микросхема МС, типа К174АФ1, в которой содержится двухступенчатая цепь АПЧиФ с автоматическим переключением постоянной времени ФНЧ (см. стр. 149 и рис. 3.71). Транзисторы  $T_1$  и  $T_2$  работают в каскадах формирования и усиления управля-ющих импульсов. На контакт 7 модуля подается смесь синхронизирующих импульсов положитель-

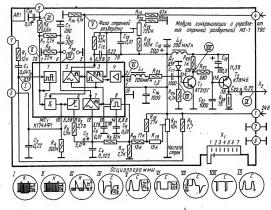


Рис. 3.77

ной полярности от предварительного амплитудного селектора (см. стр. 140 и рис. 3.53).

После ограничения в основном селекторе 1 синхронизирующие импульсы выводятся из МС, через вывод 7 и разделяются цепями  $R_6C_{18}$  и  $R_7$  $C_7 C_8 R_8$  соответственно на кадровые и строчные. Кадровые синхронизирующие импульсы через контакт 5 модуля подаются на модуль кадровой развертки (см. стр. 159 и рис. 3.79). Строчные синхронизирующие импульсы поступают на фазовый дискриминатор 7 микросхемы МС1, на который подаются также импульсы, вырабатываемые задающим генератором строчной развертки 8 в МС,. Частота колебаний этого генератора · определяется емкостью конденсатора  $C_9$ , сопротивлением постоянных резисторов  $R_{11}$ ,  $R_{13}$ ,  $R_{16}$  $R_{18}$  и сопротивлением переменного резистора  $R_{21}$ , который позволяет регулировать частоту изменением тока, поступающего на вывод 15 микросхемы МС:

На выходе фазового дискриминатора (вывод  $2 MC_1$ ) образуется импульсный ток, величны и направление которого зависят от разности фазимиульсов задающего генератора  $\delta$  и синкронимурующих импульсов. Из этого импульсого тока ФНЧ, состоящий из элементов  $C_k$ ,  $R_g$ ,  $C_g$ ,  $R_g$ , R

устройства 6, формирует напріженне, поступающе на вивод 1,5 микроскем МСС, для коррежин частота и фазы колебанні задающего генератора 8. На дегентор соппаденні 6, управляющий передала строчные снихронизирующие импульсы с вывода 7 и с делителя  $R_1 R_2 = 1$  микульсы боратного хода. Цепь  $R_1 C_2$  влаяется ФНЧ и нагружой слеготора образованиям и в выхоществлена наприжением, образованиям на выхоществлена наприжением, образованиям и в выхоществлена наприжением, образованиям и в выхоществлена наприжением, образованиям и в выхоществлена наприжением, образованиям и в выхоществлена на прижением, образованиям и в выхоществлена на прижениям от техно и пределениям постоящий в премения до  $\tau_1$  (см. стр. 149 и рис. 3.1). Цепь загоматического переключения постоящий времени ФНЧ и можно отключить, замыствя могата 7 модята чере завешний выключа-

Пилообразные мипульсы от задающего генератора 8 поступают на пороговое устройство 3 формирователь строчных импульсов. На выходеустройства 3 формируются примогольные ипульсы длительностью 20 мкс, срев которых совпадает со срезом нипульсов задающего генератора 8, а положение передието фронта зависит от напряжения, поступающего на высист от напряжения, поступающего на реченным резистром R<sub>1</sub>, и ватоматически проременным резистром R<sub>2</sub>, и ватоматически проременным резистром R<sub>2</sub>, и ватоматически пропомощи фазового дискриминатора 2, на который поступают импульсы задающего генератора 8 и через делитель R<sub>12</sub>R<sub>14</sub> - импульсы обратного хода, сформированные оконечным каскадом строчной развертки на тиристорах. Из переднего фронта импульса на выходе 2 МС, дифференцирующей цепью  $L_1R_{23}C_{17}R_{24}$  формируются импульсы длительностью 5-8 мкс. Эти импульсы после усиления транзисторами  $T_1$  и  $T_2$  через соединитель Х, подаются на управляющий электрод тиристора обратного хода (см. стр. 144 и рис. 3.64). Таким образом, вручную и автоматически регулируется необходимое фазовое опережение импульсов, управляющих оконечным каскадом строчной развертки, и устраняется горизонтальный сдвиг изображения на экране при изменении его яркости.

# Узел кадровой развертки на транзисторах для цветного телевизора

Узел кадровой развертки с бестрансформаторным выклаюн (рис. 3.78) предвазвачен дая иным выклаюн боспечняват ендинейность коннах тегевизоров с кинескопами 50/ПКЗЦ в Б.ИКЗЦ в обеспечняват ендинейность конния по вертикали не более 7—10%; нестабилность размера изображения по вертикали самопрогревс телевизора не более 3%; смещение изображения регулировкой с Центровка вы и вниза пределах 25 мм. Потребляемая мощность составляет оксло 8 Вт.

Задающий генератор, вырабатывающий пилообразно-импульсное напряжение, состоит из мультивибратора с последовательно включенными по постоянному току тракансторами  $T_1$ ,  $T_2$  и отдельного разрадного каскала на граниятсторе  $T_2$ . Для-тельность примоугольных импульсов, синмаемых с мультивибратора, можно паженить от 0,7 до 1.2 мс переменным реактором  $R_2$  В генератор гредуског регем ресулировах синмаетри прасполной развертие с помощью веременного режистора  $R_1$ .

С задающего генератора пильнобра ино-импълстье не напряжение чрез эмиттерный повторить на транзисторе  $T_A$  поступнет на усклитель мощь ности, который одержит предварительный каскад усиления на транзисторе  $T_A$  и выходной усиления на транзисторе  $T_A$  и выходной усиления на транзисторе  $T_A$  и выходной усилению. Предварительный каскад отванем ООС по постоянному току бългодаря включению резистора  $T_A$  что услучшает гемпературную стабили нацию ого рабочей точки.

Виходиой усилитель — бестрансформаторный, адмугативный с несиммертириями иходом в выходом на транзисторах  $T_1 - T_{10}$ . Он работает в ремаме АВ с небольшим напримеснием съещения жение и бесбольшим напримеснием съещения жение но вертикали в серсине жуваја минескома. Связы межа, симметрирующим (транзисторы транстия мощности непосредствиям). Так томперами и примести мощности непосредствиями. Для томперами с примести у примести и примести п

Нагрузкой кадровой развертки являются кадровые катушки КК унифицированной отклоняющей системы ОС-90ЛЦ2. Терморезисторы, соединенные последовательно с кадровыми катуш-

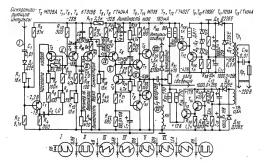


Рис. 3.78

ками, в отклоняющей системе не используются. Кадровые катушки подключены к выходу усилителя мощности через разделительный конденсатор  $C_0$ , емкость которого влияет на линейность изображения. Способ коррекции подушкообразных искажений описан на стр. 170.

Для ливеаризации развертки используется емкостная обратива связь, оказывающая весь усилитель мощности. Полученное на вкоге имогоразное напряжение интегрируется и подасется на вход эмиттерного повторителя Т<sub>в.</sub> После интегрырования получается напряжение, именяющееся по параболическому закому, благодаря чему уменьщается скоросты изменения экспоченциального напряжения на базе тразывлегиения таклого, в результате работы разридного касражность в результате работы разридного кас-

Способ гашения обратного хода зависит от выбранной семы выдеоусылитель. Есла видеоусилитель собрам на транямсторах (см. рис. 3.37), то минульсы гашения обратного хода через днод Д<sub>2</sub> и резистор R<sub>23</sub> должны быть подавы на эмиттер тражистерор коменченого масехада видеоусилиновать на ускорношие эмектроды кинескопа, но через усклитеть винульсков ташения.

Для устранения взаимных помех от кадровой развертки и УЗЧ питание узла осуществляется через два независимых стабилизатора напряжения на транзисторах Т<sub>1</sub>, Т<sub>2</sub>, и Т<sub>3</sub>, Т<sub>3</sub>. Выпряжители собразы по схеме с удвоением напряжения на жения на ± 10% от комисального выхольсе запряжение стабилизаторов изменяется не более чем на 0.5%.

Все детали ула кваровой развертия можно расположить на одной печатной плате, кроме гранистора Т<sub>10</sub> и переменных резистора R<sub>2</sub> и R<sub>3</sub>. Правистор Т<sub>6</sub>, спецет расположить на шасси теленизора в месте, не подвергающем ком пределения и пределения пределен

<sup>1</sup> Вес йостоянные ревисторы в блоке — МЛТ. Переменные реакторы R<sub>s</sub>, B<sub>s</sub>, R<sub>s</sub>, 
зависят от способа питания других блоков телевизора.

## Модуль кадровой развертки и модуль коррекции геометрических искажений растра телевизоров УПИМЦТ-61-II

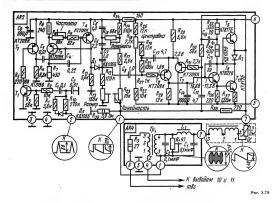
Модуль кадповой развертки МЗ-2-2 (АК2) выполнен ва трависторах (по. 379) и соверънт уснантель-ограничитель кадровых синкроинапрувици мимульсов — Т<sub>1</sub> и Т<sub>2</sub> задающий гемульсов гор и Т<sub>2</sub> и Т<sub>4</sub> дафференциальный усыпитель — Т<sub>4</sub> и Т<sub>7</sub>, парафаразный усилитель — Т<sub>4</sub> и выходкой каскад — Т<sub>4</sub> и Т<sub>11</sub>. На контакт 2 модулем подлога кадровые синкроинаризири инмульсы сформированные в модуле синкроинации и упражения строимб разверктоб МЗ-1 Гсм. рис. 3.77). В цепи Д<sub>4</sub>К<sub>6</sub>С<sub>8</sub>Т<sub>10</sub> эти импульсы допозительно интегрирустка. Дио Д<sub>4</sub> препятствует произключения в задающий генсратор импультельно интегрирустка. Дио Д<sub>4</sub> препятствует произключения в задающий генсратор импульибавиться от хаситческий, заменений размера растра по вертикали при отсутствии принимаемого сигнала.

В качестве задающего генератора используется мультивибратор с коллекторно-базовыми связями — коидуктивной (база  $T_1$  — коллектор  $T_4$ ) и емкостной (коидеясатор  $C_4$ ). Частота колебаний мультивибратора определяется постоянной времени разряда кокденсатора  $C_4$  через резисторы  $R_0$   $R_0$  и переходы траняистора  $T_0$ .

На конденсаторах  $C_5 - C_7$  формируется пилообразное напряжение в результате заряда их во время прямого хода через резисторы  $R_{12}$  и  $R_{13}$ и быстрого разряда через диод Д, и персходы транзистора  $T_4$  во время обратного хода развертки. Так как у кинескопов с углом отклонения 90° скорость луча на краях экрана больше, изображение сжимается в центре и растягивается на краях. Для компенсации этих искажений скорость нарастания пилообразного тока в начале и в конце периода должна замедляться, т. е. ток должен иметь форму буквы S. Такая коррекция осуществляется с помощью ПОС по току, в которой сигнал снимается с резистора R39, включенного в цепь кадровых отклоняющих катушек, и подается в зарядную цепь с конденсаторами  $C_5 - C_7$ . С этих конденсаторов сформированное пилообразное напряжение через конденсатор  $C_8$  подается на инвертирующий вход дифференциального усилителя на транзисторах  $T_6$  и  $T_7$ .

На неимвертирующий вход дифференциального усилителя с реанстора  $R_{\rm 2}$  через конделета  $T_{\rm 2}$  через конделета  $T_{\rm 2}$  подается напряжение ООС по переменному току и через реанстор  $R_{\rm 3}$  со средней точки выходного каскада — по постоянному току. Таким образом, кадровая разверята стаблизаруется отку, создаваемой при помощи дифференциального усилителься.

Дифференциальный усилитель согласуст выходное сопротивление задающего генератора с



входным сопротивлением парафазного усилителя на транзисторе  $T_8$ . В коллекторную нагрузку этого транзистора через конденсатор  $C_{18}$  вводится напряжение ПОС для уменьшения длительности обратного хода кадровой развертки.

В двухтактном бестрансформаторном выходном каскаде на транзисторах  $T_9$  и  $T_{11}$  диод  $\mathcal{L}_2$  улучшает четкость переключения транзисторов. Падение напряжения на этом диоде под действием тока транзистора Т11 дополнительно закрывает транзистор  $T_0$ . Кадровые отклоняющие катушки ОС с терморезистором являются нагрузкой выходного каскада. Последовательно с этими катушками включены регулятор фазы  $L_1$  и обмотка 4 — 3 трансформатора Тр, цепи коррекции геометрических искажений (см. стр. 170). Сопротивление резистора R<sub>38</sub> значительно меньше, чем индуктивное сопротивление всех перечисленных катушек на частоте строчной развертки, и благодаря включению этого резистора значительно уменьшаются строчные наводки.

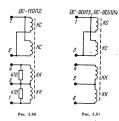
Каскады на траизисторах  $T_6 - T_5$  и  $T_1$  связовые по постоянному току. Поэтому центровак вязоражения по вертивали оуществляется изменение сме среднего тока выходных траизистора при помощи переменного резистора  $R_{18}$  каключенного в центровых среднегора  $P_{18}$  в том случае ценъ центровых среднегора  $P_{18}$  в этом случае ценъ центровых среднегора  $P_{18}$  в этом случае ценъ коновиющие катушия с гобамилируется за счет ООС, создаваемой при помощи дифференциального усмлителя на траизистора  $T_{18}$  и  $T_{28}$ .

#### Отклоняющие системы

Отклониющие системы содержат две пары кату шек. Одна пара непользуется для отклонения ауча по строкам, другая — для отклонения по кадам. Катушки намотаны кат оторикальный ферритовый сердечник седловидного сечения. Для от 100-фективного отклонения для а углы 90 и 100-строчные отклонения для а углы 90 и 100-строчные отклонения для а углы 90 и 100-строчные отклонения для а углы 90 и 100-строчные отклонения для ауча быт образовать отклоняющие катушки — горондальной формы. Къждая из них намотана на половниу торондального ферритового сердечника.

Отклоинощая система ОС-110П2 разработана и для телевнором на транзителрах с книескоми 50ЛКІБ и 61ЛКІБ с уталом отклонення луча 110°. Нагрузак, оздаваемая кадоровыми и строчном отклонення луча 110°. в саможно применя на пристами применя на прис забо прис забо прис забо прис забо прис забо прис забо прис забо прис забо при применя применя на прис забо прис забо прис забо прис забо прис забо прис забо прис забо прис забо при применя применя применя применя применя применя применя при забо прис забо прис забо прис забо при применя

Отклоняющие системы ОС-90ПЗ и ОС-90П4 предназначены для портативых транзисторных телевизоров серии «Юность» с кинескопами 23ЛК9Б, 23ЛК16Б и 31ЛК4Б с углом отклонения луча 90°. Для лучшего согласования нагрузки, создаваемой катушками отклоняющей системы



с выходными каскадами строчной и кадровой развертки на транзисторах (см. рис. 3.63 и 3.72), строчные катушки соединены параллельно, а кадровые — последовательно (рис. 3.81).

Отклоивощие системы ОС-90/ПЦ2 и ОС-00 SBПЦ2 вспользуют в цветных телевизорах с кинескопами 59/ПКЗЦ и 61/ПКЗЦ с утлои отклоинения луча 90°. Строичые отклоиняющие катушки системы соединяют параллельно через полуоб-мотки симметрирующей катушки (L<sub>2</sub> на рис. 3.76), ито дает возможность выровиять индуктивають строимых катушки и устрамить перекрепланость от произвольного предоставления предоставления предоставления предоставления предоставления предоставления предоставления предоставления предоставления предоставления предоставления предоставления предоставления предоставления состоящих постравления предоставления предоставления предоставления предоставления предоставления предоставления предоставления стану предоставления предоставлени

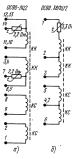


Рис. 3.82

мости в цель кадровых катушек включают термореакторы, размещенные рядом с катушками на отклояяющей системе. Термореансторы служата для компексиации изменения сопротивления отклояяющих катушек при их нагреве во время эксплуатации. Сжемы соединения катушек с выводами отклоияющих систем приведены на рис. 3.82, а. б.

# 3.9. А В ТО М А Т И Ч Е С К О Е РЕГУЛИРОВАНИЕ В ТЕЛЕВИЗОРАХ

# Автоматическое регулирование усиления

На нагрузке видеодетектора выделяется видеосигнал. содержащий постояную составляющую, т. с. заполненный полужолнами напряжения месуную составляющую этого синчала для АРУ меназа, т. к. се величина заявисят от соещенности и серержания передаваемого изображения. Для АРУ можно использовать лишь напряжение  $U_n$  после инкового детестора, равное мапряжению несущей

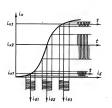


PHC. 0.00

в моменты передачи синхронизирующих импульсов, амплитуда которых не меняется при изменении освещенности передаваемого изоблажения.

нении освещенности передавлемого изображения, Более тлубокую и эффективную АРУ удается осуществить, подав на паковый агектор сигнал, осуществить, подав на паковый агектор сигнал, реагировара на изменения выпилнузы несущей частоти, сигнал с выхода видеодетектора должен поступать на сетту видеосущителя без переходных емкостей. Однако АРУ с пиковым детектором не обладает помесуотсючностью, и усиление приеминка полимается при валжчий жимузасных сикуроницующих митульсов, сикуроницующих митульсов,

Цепь АРУ, в которой регулирующее напряжение образуется в результате детектирования видеоситнала, не содержащего постоянной составляющей, пропорциональной амплитуде несущей частоты, будет виосить искажения в передач уровня черного. Так, напрямео, при передаче тем-



162

Рис. 3.84

ого изображения полный размах видеосигнала и регулирующее напряжение уменьшается. При этом усиление каскадов УРЧ и УПЧ увеличивается и видеосигнал от темного изображения оказывается несетствению большим, что приводит к нарушению правильного соотношения яркостных градащий в принятом изображения оказывается несета праводит в принятом изображения.

Автоматическую регулиромку усмления осушествямог, используя привідни изменения крутивни характерістиви транзистора. Напряжение транзистора в каседалк УРР и УПЧ и заменяет положение рабочей точки на их характеристиках, крутивна характеристики (рис. 3.84) уменьшается при уменьшении тока коллектора и при уменацении его до насчинения. Поэтому используктем ценні АРУ, работающие как на закрывание, каскадах, кас

Схема АРУ, работающей на закрывание, приведена на рис 3.85. Напряжение от пикового детектора с диодом  $\mathcal{A}_1$ , подключенного к контуру последнего каскада УПЧИ, поступает на базу эмиттерного повторителя на транзисторе  $T_3$ . Этот повторитель согласует высокое выходное сопро-

тивление пикового детектора с низким входным сопротивлением транзистора  $T_4$ , на котором собран усилитель напряжения APV.

В переносных транзисторных телевизорах, работающих в условиях высокого уровия импульсных помех, особенно в черте города, применяют помехоустойчивые ключевые цепи APV.

Помехоустойчивая ключевая АРУ содержит стробируемий пиковый детектор или усилитель, открываемый импульсами обратиого хода строк аншь в моменты передачи сипкроинзирующих импульсов. Наприжение, получение на выходе пикового детектора или усылителя, используется для АРУ, через фильтр RC подается на каскады УРЧ и УПЧ и зывемяет их услоянен. Постоянную времени фильтър RC в этом случае можно сделать небольшой с тем, чтобы APV успеваль реагировающих разрачительной применении прилыжению с питальной импульсами с при образования прилыжения прилыжения образования с питальной импульсами с при образования прилыжения Ключевая АРУ, работающая на открывание, показана на рис. 3.86. Импульсы обратного хода строчной развертки, снимаемые с обмотки ТВС, выпрямляются диодом Д, и заряжают конденсатор  $C_1$  так, что на вход эмиттерного повторителя — транзистора  $T_0$  через фильтр  $R_2C_3$  поступает положительный потенциал. При совпадении по времени синхронизирующих импульсов, открывающих транзистор  $T_1$ , и импульсов обратного хода заряд на конденсаторе С, уменьшается из-за того, что эти импульсные напряжения взаимно компенсируются. В результате уменьшается положительное напряжение, образующееся на выходе эмиттерного повторителя и приложенное к базам транзисторов регулируемых каскадов, которые сильнее приоткрываются, и их рабочие точки переходят на участки характеристик с малой кру-. тизной.

В ключевой АРУ транзисторного телевизора можно использовать интегральную микросхему К2ЖА245 (см. § 12.19).

Ключевая АРУ телевизоров «Юность». В цепи ключевой АРУ телевизоров «Юность» (см. рис.

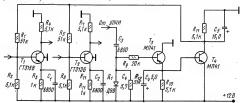


Рис. 3.85

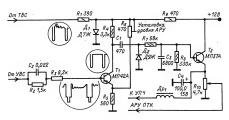


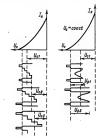
Рис. 3.86

Ключевая частично задержанная АРУ на интегральной микросхеме К174УР2Б телевизоров УПИМЦТ-61-II. Для ключевой частично задержанной АРУ на вывод 7 МС, (см. рис. 3.26) подаются импульсы обратного хода строчной развертки. Выработанное напряжение АРУ в МС, регулирует усиление каскадов УПЧИ непосредственно, а каскадов УРЧ в блоке СК-В-1 - с задержкой по напряжению. В такой цепи при приеме слабых сигналов понижается усиление лишь у каскадов УПЧ, а усиление каскадов УРЧ остается максимальным, что улучшает отношение сигнал/шум. Управляющее напряжение на блок СК-В-1 снимается с вывода 5 МС1. Конденсатор  $C_{35}$  и резистор  $R_{19}$  определяют постоянную времени АРУ. Задержка АРУ для каскадов УВЧ блока СК-В-1 устанавливается при помощи подстроечного резистора R<sub>17</sub>.

# Автоматическое регулирование яркости и поддержание уровня черного

Для правильного воспроизведения изображения необходимо, чтобы вершины бланкирующих импульсов видеосигнала располагались в начале анодно-сеточной характеристики кинескопа,

а синхронизирующие импульсы заходили в область отсечки анодного тока. При этом во время передачи темных участков изображения ток луча должен быть минимальным (рис. 3.87). Задача автоматической регулировки яркости (АРЯ) сводится к поддержанию уровня черного в воспроизводимом изображении вне зависимости от изменения размаха видеосигнала при регулировке контрастности и от изменения содержания передаваемо, о изображения, когда размах видеосигнала изменяется при передаче различных по освещенности кадров. Несовпадение уровня черного в видеосигнале с точкой отсечки тока луча кинескопа приводит к неправильному воспроизведению градаций яркости и к потере пропорциональности ступеней серого в принятом изображении.



Puc 3 87

Для решения задачи правильного воспроизведения градаций применяют либо цепи АРЯ, либо цепи привязки уровня черного.

Цепь APЯ вырабатывает напряжение  $U_r$ , которое при каждом изменении контрастности устанавливает среднюю яркость изображения такой, чтобы уровень черного соответствовал точке закрывания тока  $I_8$  луча кинескопа (см. рис. 3.87). В простейшем варианте (рис. 3.88, а) напряжение на потенциометр регулировки яркости R<sub>4</sub> и на катод кинескопа подается с одной и той же точки — после резистора нагрузки  $R_2$  видеоусилителя. При увеличении напряжения на выходе видеодетектора уменьшаются средний коллекторный ток транзистора Т1 видеоусилителя и разность напряжений между модулятором и католом кинескопа, а средняя яркость поддерживается на требуемом уровне.

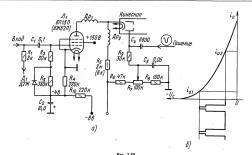
В более совершенном устройстве (рис. 3.88, б) имеется диод Д., через который в моменты появления синхронизирующих импульсов заряжается конденсатор С2. Начальная яркость устанавливается выбором напряжения на модуляторе кинескопа при помощи резистора  $R_{\star}$ (Uci рис. 3.87). При увеличении сигнала на выходе видеодетектора увеличивается напряжение на конденсаторе  $C_2$  ( $U_{p2}$  на рис. 3.87), что приводит к пропорциональному увеличению средней яркости изображения. В результате с повышением контрастности средняя яркость изображения увеличивается так, что уровень черного поддерживается на точке отсечки тока  $I_{\kappa}$  луча кинескопа.

Цель привязки уровня черного с фиксирующим диодом применяется в видеоусилителях, где связь с резистором нагрузки R<sub>1</sub> видеодетектора или предыдущего каскада осуществляется при помощи переходного конденсатора С, (ламповый вариант показан на рис. 3.89). В отстутствие видеосигнала анодный ток лампы  $J_1$  мал ( $i_{s1}$  на рис. 3.89, б), а напряжения на ее аноде и катоде кинескопа повышены так, что яркость свечения экрана минимальна и находится на уровне черного. При появлении на резисторе R<sub>1</sub> видеосигнала отринательной полярности конденсатор С, заряжается через диод Д, так, что к управляющей сетке лампы Л<sub>1</sub> оказывается приложенным положительное напряжение, практически равное амплитуде входного видеосигнала. В результате анодный ток лампы  $J_1$  увеличивается до значения i<sub>s2</sub>, а напряжения на ее аноде и катоде кинескопа уменьшаются так, что яркость свечения экрана автоматически возрастает до уровня, соответствующего передаче светлых деталей изображения. При этом в моменты прохождения бланкирующих и синхронизирующих импульсов анодный ток лампы  $\mathcal{J}_1$  уменьшается до начального значения і., соответствующего уровню черного.

Цепь на рис. 3.89 называют цепью восстановления постоянной составляющей видеосигнала, однако в этой цепи происходит лишь фиксация уровня черного, а постоянная составляющая, пропорциональная амплитуде несущей ПЧ, имевшаяся на нагрузке детектора, оказывается безвозвратно потерянной. По этой причине использовать выходное напряжение видеоусилителя в такой цепи для целей АРУ нельзя

Мостовая цепь регулировки контрастности (рис. 3.90) с фиксированным уровнем черного применяется в телевизорах, имеющих эффективно действующую АРУ, благодаря которой напряжение на выходе видеоусилителя при передаче уровня черного не зависит от изменения амплитуды принимаемого сигнала. Контрастность регулируется переменным резистором R4, включенным в диагональ моста, образованного транзистором  $T_1$ , резистором  $R_3$  и делителем  $R_6$ ,  $R_7$ . Режим транзистора Т1 зависит от напряжения на резисторе нагрузки видеодетектора. Изменяя порог АРУ, это напряжение подбирают таким, чтобы в моменты прохождения бланкирующих импульсов, т. е. при передаче уровня черного, потенциалы точек а и б были равны. В этом случае при

Рис. 3.88

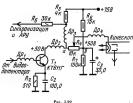


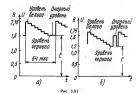
регулировании контрастности изменяется яркость

белого и яркость градации серого, а черное на изображении остается неизменным.

Устройство по такой схеме удобно тем, что велична выдессигнал, симываемого с нагрузки травизестора I, на замилитудный селектор и ключезую цель APV, не зависит от регуанрови контчезую цель APV, не зависит от регуанрови контствах распутель из реэмстория R<sub>s</sub> и R<sub>s</sub> (см. рыссия должение стутствовать, а потенциал точки 6 задается от отдельного выпримителя, интающесть инприментальную смисствую настрой с применения с проекта к потенционетру (к не создавала дополительную смисствую надеомастотах, его располагают в непосредственной слизости с торасполагают в непосредственной близости от коллекторной цени тразвистора I<sub>1</sub>.

Привязка к уровню черного и регулирование яркости в цветных телевизорах. Цепи на рис. 3.88, в которых видеосигнал и напряжение для регулирования яркости подаются на различные электроды пушки (катод и модулятор), в телевизорах с цветными трехпушечными кинескопами не применяют. На модуляторы трехпушечного цветного кинескопа подаются цветоразностные сигналы  $E'_{R-Y}$ ,  $E'_{G-Y}$ ,  $E'_{B-Y}$  (или сигналы основных цветов Е'<sub>R</sub>, Е'<sub>G</sub>, Е'<sub>B</sub>) и различные начальные напряжения, необходимые для достижения баланса белого. Поэтому оперативное регулирование яркости изображения в цветных телевизорах осуществляют изменением постоянного напряжения E, добавленного к видеосигналам  $E'_{Y}$  (или  $E'_{R}$ ,  $E'_{G}$  и  $E'_{B}$ ), подаваемым на катоды или модуляторы трехпушечного кинескопа. В многокаскадных видеоусилителях осуществить передачу постоянной составляющей трудно; привязку к уровню черного и добавление постоянного напряжения к сигналу Е' приходится делать в последних каскадах видеоусилителей.





Существует также способ, в котором привляка осуществляется к повому, некустевнию введенному в сигнал Е/ стабильному опориому уровно (рис. 3.91). В этом случае вруксть изображения регулируют изменением отпосительно этого уровати положения сигнал Е/, варыруя добаменное и положения сигнал Е/, варыруя добаменное за телевизорах ТПВМИЦТ-61-И.

# Автоматическая подстройка частоты гетеродина

При уходе частоты гетеродина из-за прогрева деталей и измененяя питающих напряжений, а также при негочной его настройке вручную (при помощи переменного колденсатора) изменяется помощи переменного колденсатора) изменяется на частотной характеристие УПЧИ. Еле на частотной характеристие УПЧИ. Еле из частотной характеристие УПЧИ. В регористики по уровню изже об , а несущая заука передангается из полосы режении в полосу прирукскания УПЧИ. При этом лиши на насображения стирукскания ОПЧИ. При этом на насображения стирукскания ОПЧИ. При этом на насображения стирукскания стирукскания стирукскания стирукскания стирукскания стирукскания стирукскания стирукскания стирукскания

 гетеродина отклоняется от этой частоты, то на нагрузке частотного детектора появляется напряжение, знак которого зависит от того, в какую сторону произощло это отклонение. Полученное напряжение после фильтра  $R_6C_6$ и усиления полевым транзистором Т2 используется для управления частотой гетеродина. С этой целью оно подается через резисторы  $R_{12}$  и  $R_{13}$  на варикап Д902, подключенный через конденсаторы  $C_8$  и  $C_9$  к контуру гетеродина с катушкой L<sub>1</sub>, и изменяет его емкость. Чтобы изменения напряжения, питающего коллекторную цепь  $T_2$ , меньше влияли на частоту гетеродина, варикап включен в днагональ моста, плечи которого образованы внутренним сопротивлением транзистора, резистором его нагрузки  $R_8$  и резисторами  $R_9$ ,  $R_{10}$  и  $R_{11}$ . Кремниевый стабилитрон Д813 ограничивает пределы изменения напряжения на варикапе и предохраняет его от пробоя при выходе из строя транзистора  $T_2$ . Для создания смещения на затворе транзисто-

ра 7, используется времиневый диод 1/3 в качестве мыховодатьного стабилитрова, динамическое сопротивление которого мало (иссколько Ом), Циод Да звяляется источником опориото выгоражения, с которым сравнивается выходию напряжение частотного детектора, поступающее пряжение частотного детектора, поступающее нения этих маприжений разность и усыливается транзистром.

Переменный резистор  $R_{10}$  служит для балансировки моста и установки начального смещения на варикале  $\mathcal{A}_1$ . Эти операции проводят, выключив АПЧГ и замкнув контакты выключателя  $\mathcal{B}_1$ . При этом переменный резистор  $\mathcal{R}_0$  можно использовать для ручной настройки гетеродина.

Катушки контура частотного детектора наматывают на каркасе Ø 7,5 мм на расстоянии друг от друга 10 мм виток к витку; они содержат по 10 витков провода ПЭЛШО 0,35 и снабжаются латунными сердечниками для подстройки. Контур

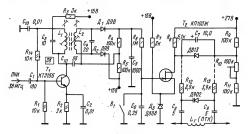


Рис. 3.92

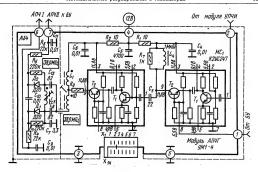


Рис. 3.93

заключается в экран размерами 21×21×36 мм. Модуль АПЧГ на интегральных микросхемах **К2УС247** телевизоров УПИЦТ-61-11 (рис. 3.93) содержит УПЧ с двумя микросхемами МС1, МС2 и частотный дискриминатор на элементах  $L_1$ ,  $L_2$ ,  $L_3$ ,  $C_8$ ,  $C_{13}$ ,  $\mathcal{A}_1$  и  $\mathcal{A}_2$ . Нагрузкой  $MC_1$ служит дроссель  $L_4$ , шунтированный резистором  $R_7$ , откуда сигнал через конденсатор  $C_3$  поступает на вход МС2. К выходу МС2 подключена первичная обмотка контура частотного дискриминатора. С целью уменьшения емкости, вносимой микросхемой  $MC_2$  в этот контур, применено неполное включение первичной обмотки L1, L2 через резистор R<sub>9</sub>, уменьшающий вероятность самовозбуждения каскада. Вывод 8 микросхемы МС, используется для блокировки напряжения АПЧГ.

В частотном дискриминаторе применена емкостияя связа черес кодеценсторы  $C_0$  и  $C_0$ , температурный коэффициент которых подобран для коменесации температурного денфа остальных коменесации температурного денфа остальных для среднего денфа образации об для среднего денфа об для среднего денфа об для среднего денфа об для среднего до для среднего до для среднего до для среднего до для среднего до для среднего для среднего до для среднего для средне

#### Автоматическое гашение луча кинескопа

После выключения телевизора на втором аноде кинескопа остается напряжение, до которого заряжена емкость между этим анодом и внешним графитовым покрытием колбо кинескопа, и накаленный катод прододжае и спсукаты эмектроны. Генераторы разверить в это время уже не работают, и остановнашийся друм вуже не рабопрожень люминофор, на котором из-за этого прожень люминофор, на котором из-за этого появится темняя точки ани полоска. Чтобы предотвратить прожог люминофора, применяют исти, осуществляющие автоматическоге гашение инкловении неисправностей в генераторах развертки.

Цепь автоматического гашения луча кинескопа после выключения телевизора (рис. 3.94) состоит из диода  $\mathcal{A}_1$ , резисторо  $\mathcal{R}_2$  и  $\mathcal{R}_4$  и кондексатора  $\mathcal{C}_5$ . После выключения телевизора напряжение на конденсаторе  $\mathcal{C}_5$  остается, а на коллекторе транзистора  $\mathcal{T}_1$  видеоуснителя исчезает сразу.

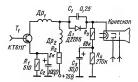


Рис. 3.94

При этом диод Д, закрывается и конденсатор может разрядиться лишь через резистор R. Постоянная времени цепи разряда выбирается такой, чтобы на все время, пока катод кинескопа еще не остыл, на конденсаторе С, сохранялось напряжение, достаточное для закрывания электронного промектора.

Во время обратного хода разверток луч кинескопа должен быть погашен с тем, чтобы на изображение не накладывалась мешающая засветка, образованная непогашенным лучом, В полном телевизионном сигнале содержатся бланкирующие импульсы, которые осуществляют гашение луча кинескопа. Однако время обратного хода разверток может превышать длительность бланкирующих импульсов. Кроме того, на задней площадке этих импульсов передаются сигналы цветовой синхронизации цветного телевидения. Из-за этих двух причин бланкирующие импульсы могут не погасить луч во время обратного хода разверток. Поэтому в телевизорах приходится применять специальные цепи, в которых формируются импульсы кадровой и строчной частоты для надежного гашения луча во время обратного хода разверток.

Формирователь импульсов гашения луча телевизоров УПИМЦТ-61-II (рис. 3.95) состоит из цепи с транзистором Т2, на базу которого поступают положительные кадровые (через резистор  $R_{24}$ ) и строчные (через цепь  $R_{25},\ C_{18}$ ) импульсы от соответствующих генераторов разверток. Импульсы открывают транзистор и вводят его в насыщение. На коллекторе транзистора образуются отрицательные импульсы гашения амплитудой около 200 В, поступающие через цепь  $C_{15}R_{46}$ на модуляторы кинескопа. Цепь фиксации  $\mathcal{J}_2 R_{47}$  $R_{50}R_{36}R_{40}$  стабилизирует средний уровень выходного напряжения и делает его независимым от разброса амплитуды импульсов на базе транзистора  $T_2$ . Во время прямого хода развертки. когда передается сигнал изображения, открытый диод  $\mathcal{A}_{\circ}$  подключает конденсатор  $C_{19}$ , соединяющий модуляторы кинескопа с шасси, что обеспечивает нормальную модуляцию кинескопа видеосигналами, подаваемыми на катоды. Диод  $A_3$ , резистор  $R_{46}$  и воздушный разрядник  $R_1$  обеспечивают защиту транзистора от бросков напряжения при пробоях в кинескопе.

# Автоматическое размагничивание пветного кинескопа

Магнитные поля различных предметов, находящихся рядом с цветным телевизором, а также магнитное поле Земли могут явиться причиной ухудшения чистоты исходных цветов трехлучевого кинескопа. Для защиты от этих полей на колбу кинескопа надевают экран из магнитомягкой стали, ослабляющий воздействие полей не менее чем в два раза. Размагничивание экрана и кинескопа можно проводить вручную, плавно приближая и удаляя внешнюю многовитковую катушку (петлю) размагничивания, создающую переменное магнитное поле. Такое размагничивание надо повторять каждый раз после изменения положения телевизора, а также после его включения, когда возникают скачкообразные изменения магнитных полей трансформаторов и дрос-

Существуют устройства, осуществляющие автоматическое размагизнивание кинескопа при камдом его включении. В этих устройствах магнитный экран, наделый яв колбу кинескопа, является магизгопроводом для размещенной на нем катушки размагинчивания. По катушке пропускается затухающий переменный ток, создающий плавно спадающее магититов поле, которое ушитольсяет намагизченность экрана и кинескопа. магизченный в таких устройствах должен быть не менее 7—8 А, что соответствует 700—850 ам пер-виткам в момент включения. Избавиться от остаточной намагизченности экрана и кинескопа удается лицы тогда, когда уменьшение амилитузы,

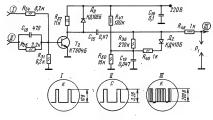


Рис. 3.95

переменного тока за период не превышает 50%. Минимальное остаточное значение тока должно быть таким, чтобы устройство размагничивания

не вызывало появления на экране телевизора

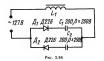
переменного цветного фонз.

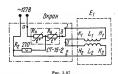
Одна из возможных схем устройства автоматического разматичнивания кинескола взобрачерез катушку разматичными кинескола взобрачерез катушку разматичныма из начинают 
протекать переменные импульсы тока заряда 
конденсаторов С, и С., «Авлантуда этих импульсов уменьшается по экспоненциальному закопу 
Остаточный ток определяется сопротвывением 
утечки эксктролитических комденсаторов С, и С., 
ффективно разматичнивание достигается 
продинаковой емкости конденсаторов С, и С., 
М. 

На за разброже вимости могаемстворитических кон-

(высыхания) возникает преобладание импульсов тока одной полярности и появляется остаточное

намагинчивание экрана и кинескопа. Цепь автоматического размагинчивания кинескопа в телевизоре УПИМЦТ-61-П (ркс. 397) спободна от недостатков, ринсущих цепи на рис. 336, но в ней кипользуется псинальный терморезисторо СТ-15-2. Этот терморезистор состоит из двух соединенных последовательно терратурных коэффициентом. Суммарное их сороговление при томпературе 25° С составляет противление при томпературе 26° С составляет L<sub>x</sub> катушки размагинчивания протежет начаванай ток 33—25. В. Этот ток вызывает нагрев и увеличение сопротивления терморезисторов к н R. В. В итоге ток через катушку размагин-





чивания через 2 мии после выдочения телевизора уменьшается до 5 м. После этого зора уменьшается до 5 м. После этого через терморезистор определяется сумной сопротивлений К<sub>2</sub>+R<sub>2</sub>. Темрореактор R, поддерживается в натрегом состоянии за счет телда, выдедяемого реактором R, сопротивлений кузактора R, остается достаточно большим, что и обеспечняет малый остаточный гох меж катушку размагиячивания и отсутствие цветного фона на растра

# 3.10. УСТРОЙСТВО СВЕДЕНИЯ ЛУЧЕЙ В ЦВЕТНОМ КИНЕСКОПЕ

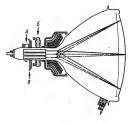
Однородность каждого из трех цветных растров на экране кинескопа зависит от точности его изготовления и качества отклоняющей системы. Подбирая длину, форму и взаимное расположение, удается получить один общий центр отклонения у строчных и кадровых отклоняющих Катушек и совместить его с плоскостью, проходящей через выходы электронных прожекторов. Неточности при изготовлении кинескопа и отклоняющей системы, магнитные поля от деталей телевизора, а также магнитное поле земли могут явиться причинами частичного попадания лучей не на «свои» точки люминофора. Для корректировки неточностей служат магниты чистоты цвета с продольным по отношению к осям прожекторов полем. Вредное влияние внешних магнитных полей устраняют экранировкой колбы кинескопа и размагничиванием его деталей при помощи постоянных магнитов или петли размагничивания, размещенных на колбе.

Три луча должны оставаться сведенными в одну точку не только в центре экрана, но и по всей его поверхности в процессе отклонения. Из-за неодинакового расстояния от центра и краев экрана до центра отклоняющей системы, смещения осей промекторов относительно этого центра и неоптимальных формы, диаметра, длины и распределения витков отклоняющих катушек границы трех одноцветных растров оказываются не совмешенными.

Статическое сведение дучей в центре экрана и их динамическое сведение по всей его поверхности в процессе отклонения осуществляется действием на каждый луч постоянного и переменного магнитных полей (рис. 3.98). Для этого внутри горловины кинескопа по бокам каждого прожектора расположены полюсные наконечники, изготовленные из пластий магнитомягкого металла, напротив которых на горловине устанавливают внешние полюсные наконечники электромагнитов системы сведения. Постоянное магнитное поле для статического сведения лучей создают при помощи вращающихся постоянных магнитов, размещенных в средней части сердечников B, или подачей постоянного тока в катушки электромагнитов. Для динамического сведения лучей через эти катушки пропускают переменные токи, изменяющиеся по параболическому закону. Поле электромагнитов перемещает синий луч вертикально; для его горизонтального перемещения служит постоянный магинт А.

Отклоияющая система, сконструнрованная из условий дучшего сведения дучей, дает повышенную величину подушкообразных некажений растра. Блок развертки цветного телевизора из кинескопе с углом отклонения луча 90° содержит дополнительную цепь коррекции подушкообразных искажений.

Цепь коорекции подушкообразных искажений растра на эвране кинескопое 591/КЗ1 и 611/КЗ11 модулярует пилообразные отклоизющие токи параболическим корректирующим токами в трансформаторе  $T_P$  (рис. 3.99). Для коррекции кривым верхией и инжией кромок растра по обмоткам  $I_0$  и  $I_0$  расположенным на крайних кернах  $III-Образного ферритового серхещика <math>T_{P_1}$  (ръс. 3.100), пропускают ток отклонения горонкой частоты. Образованивые при этом матнитыке потоки в центральном керне направлены навстречу друг другу. По обмотке II, распо-



Pac. 3.98

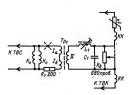


Рис. 3.99

ложенной на центральном керне и включенной в цень кадровых катушек ОС, протекает кадровый откложнющий ток. Когда этот ток проходи через нулевое значение, потоки в центральном

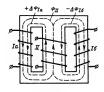
керне взаимно компенсируются. В зависимости от знака магнитного поля, создаваемого катушкой 11, из-за нелинейности кривой намагничивания в центральном керне сердечника преобладает магнитный поток, создаваемый катушкой Ia или I6. В результате изменения этого магнитного потока по обмотке II потечет корректирующий параболический ток строчной частоты. Необходимое направление этого тока обеспечивается резонансным контуром, образованным индуктивностью обмотки // катушки  $L_1$  и конденсатором  $C_1$  (рис. 3.99). Кривизна боковых кромок растра корректируется модуляцией строчного отклоняющего тока в результате шунтирующего действия обмоток Іа и Іб, подключенных параллельно строчным катушкам ОС, Индуктивность обмоток изменяется из-за изменения магнитной проницаемости сердечника под влиянием тока кадровой частоты, текущего по обмотке 11.

Трансформатор  $T_{P_1}$  имеет сердечник Ш $T \times T$  из феррита марки 2000 HM с зазором 0.01 мм. Обмотки содержат: Ia и I6— по 230 витков П9B-2 0.12 рядовой намотки в три слоя; II— 40 витков П9B-20.41, уложенных в два слоя.

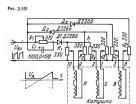
# Цепи сведения лучей кинескопа для цветного телевизора

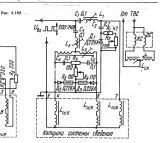
Если в целях строитой развертим на транзисторах инитульс возбуждения цени формирования сигналов сведения по горизонтали получается доводном реже, то бестрансформаторные цели заколяют получить сигналы параболической и треусламной форм, необходимые для работы цели сведения по вертикали. Поэтому для формирования этих сигналов необходимы цень сведения по вертикали, на котогуры можлю дельности по предоставления по предоставления по вертикали, на котогуры можлю дельности предоставления по предоставления по предоставления по предусменности предоставления по предусменности предоставления по предусменности предоставления по предусменности предоставления по предусменности предоставления по предусменности предоставления по предусменности предоставления по предусменности предоставления предусменности предоставления по предусменности предоставления предусменности предусменности предусменности предоставления предусменности предусменн

Устройство на рис. 3.101 представляет собой три моста, каждый из которых состоит из диодов



PHC. 3.100





и резисторов, в дивтоиали которых включены кадровые катушка электроматитов селеда аучей. На катушка электроматитов создается напряжение треутольной формы, ток же, текул через вих, имеет параболическую форму. Так как для сведения сниего луча по вертикали темпера стадет в праводности слажето вързаленной пилообразкой составляющей, мост формирования ситиала сведения синего луча содержит дио Д. тракьо в одном пило луча содержит дио Д. тракьо в одном пило по праводения ситиала сведения синего луча содержит дио Д. тракьо в одном пило по праводения ситиала сведения синего луча содержит дио Д. тракьо в одном пило по праводения ситиала по праводения ситиала по праводения по пра

системы сведения

Переменными резисторами R,R<sub>S</sub> и R, регумируют сведение лучей в инжикей части растра, а резисторами R<sub>S</sub> и R,— сведение красного и зеленого лучей в верхией части. Резистор R<sub>C</sub> служит для перемещения синих горизонтальных седения PC-60/III2 исвъ на рис. 3.101 при подаче на ее вход напряжения с пилообразной составляющей коло 10 В обсетечняет сведение лучей по вертикали в кинескопах УБЛКЗЦ и ОГУ-05/III2. С вадровнями катушками об 1/КЗЦ с ОС-90/III2. С вадровнями катушками ствие с померами контактов неби сведения, всторые указаны ка рис. 3.101

Иногда на-за производственных долусков на параметры отклоизношей системы и инисекопа наблюдается спересведение красной и засной линий в пикаей части растра. Для формирования сигналов сведения красного и засеного спец. С. С. содает отримательное напряжение спец. С. С. содает отримательное напряжение спецения во второй половине периода кадровой развертим формируется с запаздыванием.

В цепи сведения по горизонтали (рис. 3.102) для формирования сигнала сведения сниего луж сведения образуется в течение первой половины периода строчной развертия при разряде конденсатора С<sub>2</sub> через резисторы R<sub>1</sub>R<sub>2</sub> и паралдельно соединенные катушку регулятора сведения  $L_{\rm c,0}$  и жатушку  $L_{\rm l,1}$  коиденсатор  $C_{\rm c}$  и обмотку трансфоматора строк, с которой снимаются имиральсы напряжения к блоку формирования. При этом зиола  $A_{\rm l}$  закрит напряжением, образующимся на реансторах  $R_{\rm l}$  и  $R_{\rm p}$ . После открывается, при виденстора  $R_{\rm l}$  и  $R_{\rm p}$ . После открывается, шунтируя реансторы  $R_{\rm l}$  и  $R_{\rm p}$ . Бастора выправления в мариленной в катушках  $L_{\rm l}$  и  $L_{\rm c,0}$  марегия в этой бе цени начинается зарад концесторы  $R_{\rm l}$  и  $R_{\rm p}$  бансодар накодиленной  $R_{\rm l}$  и образовательного в сеседения  $L_{\rm l}$  в получается при этом банкой к параболической. Это способствует улучшения свении на концах строк.

Конденсатор  $C_1$  преизгствует ответалению значительного тожа разарда конденсатора  $C_2$  через индуктивность  $L_1$  и обмотку трансформатора строчной развертки. При регуляровке индуктивности катушки  $L_1$  добиваются «распрямдения» синей центральной строки, а реактором  $R_2$  устраняют перекрещивание синей строки со сведенными коасной и воленой.

Для ценя сведения по горизонтали необходимы проволочные переменные реаксторы с мощностью рассенвания не менее 3—4 Вт (например, ППЗ-10). Все конденсаторы МБМ на рабочее авпряжение 250 В (С<sub>7</sub> желательно на 500 В). Диоды должны быть рассчитаны на обратное напряжение не менее 300 в

Катушки намотаны на каркасах Ø 8 мм. Намотка рядовая многослойная. Подстроечные сердечники — из феррита 1500 НМ; Ø4,5 мм, длина 15 мм. Расстояние между половинами катушек Дся и Д<sub>3</sub>, 18 мм.

Пределы изменения индуктивности катушек  $L_1$  и  $L_2$  — от 2 до 5 мГн, дифференциальные катушки  $L_{\rm cx}$  и  $L_3$  инжего большее расстояние между половинами, поэтому сердечником подстраивают только одну из них, а индуктивность другой остается минимальной. Для катушки

 $L_{\rm cx}$  пределы регулировки индуктивности 0,17—0,36 мГн, для  $L_3$  1,7—3,1 мГн.

Катушка  $L_{\rm cx}$  содержит 150+150 витков провода ПЭВ-2 0,45 с шириной намотки 7+7;

катушки  $L_1$  н  $L_2$  — 570 витков ПЭВ-2 0,21 с шириной намотки 13 мм, а катушка  $L_3$  — 425 + 425 витков ПЭВ-2 0,21 с шириной намотки 7+7 мм.

# 3.11. БЛОКИ ПИТАНИЯ

Наличие в тогеньюрах нескольких функциональных удоло, выполнениях по различным скемым и требующих для своего витания отдельных источников напряжения, определяет ряд сосбенностей в построении блюков витания, стремаение забавиться от заметного на глазамшаниях изображения при приеме трансляции програми теленентров, питаемых от других эмергетических систем, а также при приеме созданию устройств, обеспечнающих при малых габаритах деталей лучшую фильтрацию и стабильность выпрямленного напряжения.

Сетеной блок питания переносных телеваноров «Иность» Телеваноры «Иность» ока ока питать как от сетя переменного тока с напряжением 110, 127 или  $r^{20}$  В, так и от подъочаемого к гнезду  $H_{\rm L}$  (рис. 3.103) отдельного аккумулятора напряжением 12 В. При питать телеванора от сетя переменного тока используются трансформатор  $T_{\rm PL}$ , выпрямияться по мостовой схеме на диодах  $H_{\rm R}$  и электронный стабывановой схеме на диодах  $H_{\rm R}$  и электронный стабывлатор (ст., рис. 3.103)

Электронная стабилизация напряжения осуществляется с помощью соглавиют гравичетора  $T_{31} - T_{32}$  и цепи сравнения на травичетора  $T_{32} - T_{33} - T_{34}$  и цепи сравнения на травичетора  $T_{33} - T_{34}$  правичетор  $T_{32} - T_{34}$  и включен последовательно в цепь кеточника выпряжлению спаприжения, а тративистор  $T_{31}$  управляет током в его базовой цепи. На базу травичетора  $T_{33}$ 

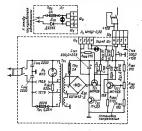


Рис. 3.103

подается напряжение с делителя, образованного резисторами  $R_{199}$ ,  $R_{120}$  и  $R_{194}$ , а напряжение на эмиттере поддерживается постоянным при помощи стабилитрона  $\mathcal{I}_{29}$ .

Увеличение напряжения на выходе стаблилатора вызовет увеличение положительного напряжения на базе транзистора Т<sub>33</sub> (р-л-р) но соответственно уменьшение падемин запряжения на резисторе R<sub>180</sub>, что в союз очереда привежения на базе транзистора Т<sub>31</sub> (р-л-р). На прижения на базе транзистора Т<sub>31</sub> (р-л-р). На прижения на базе транзистора Т<sub>31</sub> (р-л-р). На противление протенающие у току возрастут, что приведет к соответствующему уменьшению напряжения на выходе стабильзатора.

Особенности блоков питания цветных телевизоров. Для питания оконечных каскадов видеоусилителей и узла строчной развертки необходимо иметь источник постоянного напряжения, выходное напряжение которого достигает 220-260 В. Допустимые пульсации на выходе выпрямителей, обеспечивающих такое напряжение, должны быть меньше, чем в черно-белых телевизорах. Объясняется это тем. что повышенный уровень пульсаций может привести к ухудшению сведения лучей, появлению помех в канале цветности и нарушению правильной работы цепей цветовой синхронизации (опознавания и выключения канала цветности). По этим причинам в фильтрах выпрямителей сетевых блоков питания цветных телевизоров приходится применять дроссели с большей индуктивностью обмоток и конденсаторы большей емкости, чем в черно-белых телевизорах.

Стабильность источников питания в цветных телевизорах должна быть выше, чем в черно-белых. Низкая стабильность приводит к нарушениям баланса белого и ухудшению сведения лучей цветовоспроизведения. Необходимость стабилизации источников нескольких напряжений приводит к усложнению блока питания из-за наличия в нем нескольких стабилизаторов выпрямленных напряжений. Поэтому в цветных телевизорах находят применение преобразователи напряжения, представляющие собой генераторы стабильных переменных или импульсных напряжений, которые питают несколько выпрямителей одновременно. При достаточно высокой частоте колебаний таких генераторов габариты трансформатора, к которому подключены выпрямители, и сглаживающих фильтров оказываются небольшими, что очень важно для переносных телевизоров.

Однако мощный генератор, преобразователя и тенератор строчной развертим могут создават трудирустранныме взаимные помехи, и для вих мужно дая отдельных стабиматога. Для вих мужно дая отдельных стабиматога. Для отчтобы преодолеть эти трудности в современных цветных телевахорах, в качестве стабылизамного преобразователя мапряжений используют стенератор строчной развертки при этом увеличивается, но это тремом бале питами и мужны только мого тремом бале питами и мужны только дель стабилизации и один выходной трансформатого.

Стабилизированные источники постоянных напряжений 4 - 6, 25 кВ; 800, 220, 27, 20 и 3,5 В в телевизорах УПИМЦТ-61-II (рис. 3.104) представляют собой выпрямители, питаемые импульсными напряжениями от выходного трансформатора строчной развертки на тиристорах (см. стр. 144). Напряжение 25 кВ для питания анода кинескопа снимается с умножителя напряжения, УH8,5/25-1,2A (см. стр. 146), подключенного к обмотке 7-14 выходного трансформатора  $Tp_1$ . Для питания фокусирующего электрода к первой секции умножителя подключен переменный варистор  $R_{23}$ , позволяющий изменять напряжение фокусировки в пределах 4-6 кВ и дополнительно стабилизирующий это напряжение. Пульсации напряжения с первой секции умножителя, пропорциональные току лучей кинескопа, выпрямляются диодом Д14, и полученное напряжение используется в канале яркости для ограничения тока лучей.

Выпрямитель напряжения 800 В на диоде  $\mathcal{A}_7$  используется для питания ускоряющих электродов кинескопа. Благодаря подключению конденсатора  $C_{17}$  к выводу  $\mathcal{J}$  диод  $\mathcal{A}_7$  выпрямляет импульсые напряжения, возвикающие на обмотках

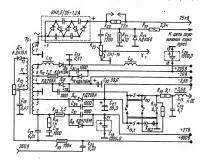
10—14 и 2—3. Для уменьшения рабочего напряжения на конденсаторе фильтра С₂₂ он подключен к источнику напряжения + 260 В.

Выпрямитель 220 В из диоде  $J_{\rm A}$  соединен с выводом 8 трансформатора через дроссаь  $L_{\rm B}$  диодем в трансформатора через дроссаь  $L_{\rm B}$  уженьшающий пусковой ток при незаряжению кондемсаторе  $C_{\rm B}$  Резисторы  $R_{\rm A}$  и  $R_{\rm J}$  также уженьшают пусковые токи выпрямителей с диодем  $J_{\rm B}$  и  $J_{\rm A}$  2 дионоподунеродимые выпрямителей с диодами  $J_{\rm A}$  и  $J_{\rm A}$  3 върабатывают напряжению по гроизонтали и знехтроматнитов бокового смещения снего изументали и элехтроматнитов бокового смещения снего  $J_{\rm A}$ 

то сървато в постоя и призонтали производится при помощи, переключателя  $X_{19}$  перестаковкой его в положение I - I - S (см. рис. 3.104). Дроссоль  $L_{13}$  предотарявшает шунтирование стростимых катушес схемой центровки. Колденсатор  $C_{24}$  уменьшает рассенвание мощности строчной 
частоты на реансторах  $R_{13}$  и  $R_{19}$ .

Частота пульсаций на выходах всех выпрямителей равна частоте строной развертки 15 сб. 5° Гц; однако на выходе выпрямителей с днодами Дь, и Дъ, питающими кадрожу развертку, установани Дь, и конденсаторы Съв и Съз большой емкости. При меньшей емкости конденсаторов на внутрене спортоявлении источника, питающего эти выпрание запряжения. Это привело бы к модухяци сточной развертки током кадровой частоть сточной развертки током кадровой частоть сточной развертки током кадровой частоть и сточной развертки током кадровой частоть с

Стабилизированный баюк питания без сетевого трансформатора можно построить, непользуя генератор строчной развертки в качестве преобразователя (см. рис. 3.105). В том блоке для питания оконечного каскада строчной развертки на транзистор  $T_1$  о используется бестрансформаторный сетевой выпрямитель с диодами  $R_1 - \mathcal{A}_{11}$ . Транзисторы забощего генератора  $T_1$  и  $T_2$ , эмиттер-масторы забощего генератора  $T_1$  и  $T_2$ , эмиттер-



ного повторителя  $T_3$ , уст<sub>Р</sub>ойства сравнения  $T_4$  и  $T_5$ , широтно-импульсного модулятора  $T_6$  и  $T_7$  и усиантеля-формирователя управляющих импульсов  $T_8$  и  $T_9$  питаются от выпрямителя импульсных напряжений на диодах  $\mathcal{H}_{12}$   $\mathcal{H}_{13}$ , вырабатываемых оконечным каскалом.

. Али запуска устройства в момент включены в да перечиса-пина каксады через реаситоры  $R_1$  ва перечиса-пина каксады через реаситоры  $R_2$  в подается напряжение от сетевого выпряжитель  $R_3$  подается напряжение от сетевого выпряжитель от семяние безопасности, и можно считать, что стасинать от семяние семянительного от семяние безопасности, и можно считать, что стасинать напряжение  $L_2$  В, которым интавется нагрузых (другие блоки теленовора) и через двод  $A_3$  — жаскады самого стабилизаторы. Стабилить от  $L_3$  уменьшего доз 35 броски питавишего напряжение и предотращает пробой пересодов трайнери приняти стабилизаторы.

Напряжение на выходе стабилизатора регулируется благодаря широгной модуляция импуалсов, управляющих оконечным каскадом на транзисторе Т<sub>10</sub>. При увеличении, длигельности этих импульсов конденсатор С<sub>6</sub> на выходе выпрямителя стабилизатора успевает зарядиться до большего напряжения, а при умесышении ширины этих импульсов напряжение на выходе стабилизатора

уменьшается.

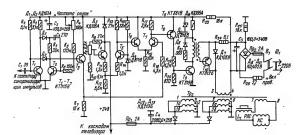
Широтная модуляция осуществляется в дифференциальном усилителя в травизистрах 7, и 7,-На базу травизистора 7, через эмиттерный поэторитель на травизистора 7, от адарощего тевератора 16 В. На базу травизистра 7, от адфоренциального усилителя на травизисторах 7, г. усутораменто усилителя на травизисторах 1, г. усуторание, получение при сравенеры выподеления от менен при травизира выподеления стабилизитора с опорным напряжением от стабилитора Д., В режультате на режиторе R<sub>17</sub> - выделяются усеченные по основанию пилообразные импульсы, длительность которых обратно пропорциональна выходному напряжению стабили-

Разд. 3

В усилителе-формирователе на транзисторах  $T_8$ ,  $T_9$  формируются прямоугольные импульсы, длительность которых равна длительности пилообразных импульсов.

Пакообразию наприжение в задающем генераторе образуется в результате быстрого заряда и медленного разряда конденсатора С<sub>2</sub>. Заряд проискодит через ревистор R<sub>2</sub>, нод Д<sub>1</sub> и эмитерианереход транзистора Т<sub>2</sub>, открытого до насыщения коком заряда и током, проходиции через-резисторы R<sub>2</sub> — R<sub>2</sub>. Транзистор T<sub>1</sub> в тор ореми закрит, с общим проведом.

В процессе заряда комденсатора  $C_1$  транзистор  $C_2$  выходит за мехищения, япаряжение на его коллекторе повышается, и диод  $A_1$  закрывается. Транзистор  $T_1$  открывается, напряжение на его коллекторе падает, и диод  $A_1$  закрывается. Конденсатор  $C_1$  начинает медлено разряжаться конденсатор  $C_2$  начинает медлено разряжаться мерез резисторы  $R_2 - R_2$  и транзистор  $T_2$  Благодаря включению конденсатора  $C_3$  цепь обратной связи коллектор-база транзистора  $T_2$  разряд этого конденсатора ображение ображение съберба  $C_3$  по соверба  $C_3$  ображение  Из-за снижения напряжения на колдекторе гранзистора 7, закрывается, а гранзистора пранзистора 1, закрывается, а гранзистора 7, закрывается, в игоге открывается динод 7, да 1, Переменным резистором  $R_3$  регулируют выходное напряжение стабилизатора при подключенной нагрузке. При любом положении движка резистора  $R_3$  длительность импульсов на обмотке 3-4 трансформатора  $TP_3$  не должна превышать 20 мкс.



PHC. 3,105

При большей длительности этих импульсов время обратного хода строчной развертки возрастает настолько, что левая и праввая части изображения оказываются выведенными за пределы развертки

и пропадают.

К обмотъе 7—8 грансформатора ЛР, можно подключить строчные катущим отколиятощей системы ОС-90112 или ОС-70111 и РЛС от тепевию образова о

Трансформатор  $T_D$ , — от телевнаров «СРисстъя  $T_{PB}$  в таба. 36. Прансформатор  $T_{PB}$  вылолиен на сердечнике ПК40 к.16 (из феррига 3000 НМС) с зазором 1,5 мм. приневленом в трансформаторах ТВС-90/ПЦ-2. Намогка катушек — рядовая и въполнена на одной стороне сердечника проводом ПЭЛ-9.33. Первый слой содержит обмотки 1/2. да и 16-2, вымотанные одновреженно в три прова 78 витков. Третий слой (обмотки 5—6. 50—6. 65—6) выздолнение перводу. Число витков всех обмоток первого и третьего слоев должно быть строго одинаковым. Четвертый слой (обмотка 7-8) также наматывается в три провода и и может иметь 10-12 витков. Параллельное соединение обмоток необходимо, потому что при частоте импульсов 15 625 Гц проявляется поверхностный эффект (ток проходит только по поверхности провода) и сечение одного толстого провода будет использоваться не полностью. Если необходимы несколько выходных напряжений, то надо намотать дополнительные обмотки и подключить к ним добавочные выпрямители. Для питания анода кинескопа на другой стороне сердечника трансформатора Тр2 можно намотать обмотку, содержащую 3000-3500 витков провода ПЭВ-2 0,1 и подней умножитель напряжения УН8,5/25-1,2А или выпрямитель на селеновых столбиках  $\mathcal{I}_{17} - \mathcal{I}_{21}$  (см. рис. 3.76). Для получения напряжения свыше 8-9 кВ необходим дополнительный каскад на транзисторе типа КТ805А или KT809A (T<sub>13</sub> на рис. 3.76), нагруженный трансформатором с повышающей обмоткой, питающей высоковольтный выпрямитель (Тра и Д17 - $I_{21}$  на рис. 3.76). На базу дополнительного транзистора подаются положительные импульсы с дополнительной обмотки из шести витков провода ПЭЛ-0,7, намотанной на трансформаторе  $Tp_2$  (см. рис. 3.105).

# 3.12. НАСТРОЙКА ТРАКТОВ ИЗОБРАЖЕНИЯ И ЗВУКОВОГО СОПРОВОЖДЕНИЯ

Производить настройку и регулировку отдельным блоков и всего телевизора в целом следует лишь после проверки работы блока питания. Для этого нужно убедиться в том, что блок питания для обеспечивает подачу требуемых напряжений при пелной нагруже, т. е. при включении питания на все блоки. Измерение напряжения можно проводить миллиманиероводы чеством дюбого такть миллимание дели при дели пределение дели пред

Меры безопасности. Проводя измерения напряжений, настройку и регулировку блоков, нельзя забывать, что, когда телевизор включен в электросеть, в нем имеется высокое напряжение, опасное для человека. Поэтому при всех этих работах следует строго соблюдать меры безопасности. Основными из этих мер являются следующието.

 Настройку телевизора надо проводить одной рукой; вторая рука не должна касаться шасси телевизора или других его деталей, а также приборов и проводящих предметов, расположенных рядом с шасси.

 Нельзя прикасаться (даже одной рукой) к Выводам анода кинескопа и деталей оконечного каскада строчной развертки, к выводам трансформаторов ТВК и ТВС, а также к цепям и проводникам; соединеным с ними.

кам, соединенным с ними.

3. Следует избегать прикосновения к цепям, соединенным с источником анодного напряжения, а также к деталям выпрямителя.

 Нельзя подключать измерительные приборы, а также проводить монтаж (подпайку, перепайку) деталей во включенном телевизоре. Нужно выключить телевизор, затем подключить приборы либо выполнить монтаж или демонтаж той или иной детали и инии волсе этого снова выпочны телевизор. Этой мерой обеспечивается не только безопасность работы, и он сохранность таких деталей, как травансторы и микросскии, которые могут вывести из строи случайные иниулысы маприжения, обращения образоваться образоваться образоваться большие токи утечки через изоляцию в электрическом палальность.

Настройку трактов изображения и звука можно провести при помощи генератора сигналов и ламповото вольтметра или миллимирора сигналов и ламповото вольтметра или миллимирора качающейся истоты (ТКЧ) типа XI-7 (ПНТ-59) и ему подобных; ТКЧ используются на промишленных предобратьтикя и обеспечивают наглядность и быстроту настройки при налаженном поточном производобратьРадиолобители отдают предпочение генератору
сигналов и ламповому водьтметру.

Из аппаратуры, которая необходима для настройки трактов изображения и звука с цюдным видеодетектором и др. ороным детектором ЧМ, ра-долобителям наиболее доступны генератор сигналов типа Т4-119A, ГС-5 или ГСС-63, гамповый им электронный вольтиерт типа ВКС-7, В7-2 или 1192-2, или дламировый праводногомичеры типа в поробыем.

Электронный вольтметр нужен для снятия частотной характеристики видеоусилителя, и если он имеется в распоряжении радиолюбителя, то можно обойтись без миллиампервольтомметра. Если имеется лишь миллиампервольтомметр, то можно выполнить настройку всего тракта изображения, за исключением видеоусилителя.

Прежде чем приступить к настройке блоков телевизора при помощи измерительной аппаратуры, необходимо хорошо изучить прилагаемые к ней инструкции по эксплуатации.

Для настройки тракта изображения с синхроным видеодетстром в удольях производства применяют комплект аппаратуры, состоящий из трех генераторов, осциалографа и частотомера. Если не пресседовать тур цезь, то в радиолюбительских условиях можно ограничиться применением одного из перечисленных сигнал-теператоров и любого осциалографа. Такие же два прибора можно использовать и для настройки тракта знусения, основания с что для истемором произвесения, основания с что для настройки произвесения, основания с что для настройки произвесения, основания с что для настройки произвесения, основания с что для настройки произвесения, основания с что

# Настройка тракта изображения с диодным видеодетектором

Настройка УПЧИ блока изображения, изготовленного радиолюбителем, или ненастроенного некондиционного блока от промышленного телевизора проводится следующим образом.

После вкаючения прибором и теленарав и к ассятиминутного програв вычалае настраняют режеторине контуры (КОБ, КОВ, КОВ, КОВ, КОВ и рис. 3.21). Для этого выставляют на шкале генератора частоту, на которую надо настроить один и вперечисаетных контуров. Доподат выходнова на пражение генератора до уровня, при котором водитительного при котором водитительного при котором водитительного при котором водитительного при котором водитительного контура и при котором водитительного контура и при котором водитительного контура и при котором добиваются минимальных показаний водититель.

После этого настранвают оставливе контуры, формирующие характеристику УПЧИ в полосе пропускания. При этом на шкале генератор устанавливают частоты, на которые настранвают эти контуры, и вращением сердечников в их катушках добиваются максимальных показаний вольтметра. По мере подхода и максимальным показания раз вы забежание неточной настрабки из-за огравичения сигнала в каскадах УПЧИ при слишком большом его уровне.

Проверка правильности настройки УПЧИ проводится при таком выходном напряжении генератора, когда усиливаемый сигнал не ограничивается в усилительных каскадах и максимальные показания вольтметра на выходе видеоусилителя не превышают 7—8 В. Поддерживая выходное напражение генератора на выбранном уровне (конгролируется по вольтметру генератора), изменяют ог частоту через I МПц и на каждой частоте записывают показания вольтметра на выходе выдео-усывителя. По полученным данным строят частот-усывителя и полученным данным строят частот- иметь вид, сходный с видом характеристики на рис. 3.22.

Если выходное напряжение в пределах полосы пропускания будет отличаться от усиления на средней частоте более чем на  $\pm 20\%$ , нужно провести подстройку контуров с снова сравнить по-лученную частотную характеристику с требуемой.

Проферка частотной характеристики видеоусимителя проводится в том служа, если он сколетурировая самостоятельно, либо после ремонта, связанного с замосной коррестирующих доросслей, комерность этой характеристики. Выход генератномерность этой характеристики. Выход генератрея Караста и высок телеворо-емиостью 1,0 ммФ подключают ко входу видеоусилителя (КТ, им рис. 321) и к шесен телеворо-симинают с ноколя панель винескопа и к гиезду, соединившемути с игото высъвателера ВТ-2, кориру которого также соединяют с шасси. Все соединения выполняют коротским проводами.

Выходное напряжение генератора поддерживаого равным 1 В., а его частоту зменяют от 0.1 о. 6.5 МГц через 0.5 МГц. Для каждого значения частоты отмечают и записывают показания лампового вольтичетра. По полученным данным вычерчивают с 32-6). Если необходимо, то лучшей (см. рыс 22-6). Если необходимо, то лучшей цой подъем на частоте 5 МГц) добиваются, именяя нидуктивность корректирующих досселей. Режекторык контуры (Ко14, Ко15 на рыс. 3.21) настранявот по минимуму показания вольтичетра на частоте 6 МГц.

# Налаживание УПЧИ на интегральных микросхемах с диодным видеодетектором при помощи генератора качающейся частоты

Надаживание УПЧИ на интегральных микроскемах с дюдимы видеодетестром (см. рис. 32) начинают с проверки режимою микросском и транансторов по постоянному том. Они не должны отличаться от указанных на схеме более чем на ±20%. Режимы микросски и транзисторов измеряют отпосительно общего провода при отсутстпратито должны от при от

Затем приступают к настройке контуров УПЧИ, отпаяв перемычку между контрольными точками КТ, и КТ2. Выходной кабель прибора для настройки телевизоров (Х1-7 или аналогичного) подключают через резистор сопротивлением 100 Ом к точке  $KT_*$ , а входной кабель (без детекторной головки) к точке, обозначенной на схеме буквой  $\Lambda_*$ через резистор сопротивлением 2—3 кОм. На экране прибора должно появиться изображение AЧХ УПЧИ.

Регулируя ручки прибора «Усяление», «Средияя частота», «Выходное напряжение» и «Масштаб», устанавливают размеры характеристики, удобные для наблюдения Вращая серденники катушек  $L_7 = L_{p_1}$  добиваются получения формы характеристики, данной на рис 3.25 д. после чего вновь припанвают перемычку между точками KT. и KT.

После этого настранявают ФСС. Выходной кабель прибора XI-7 подключают ко вкоау ФСС, а входной кабель оставляют подключеным к томке A. Сердечинок катушек  $L_1$ ,  $L_2$  полностью вынаного в выпараты в последной катушек  $L_3$ ,  $L_6$ , формирутот левый, а катушек  $L_1$ ,  $L_2$ , порамы с клюд гото левый, а катушек  $L_1$ ,  $L_2$ , порамы с клюд катушек  $L_3$ , доби жителя гото, чтобы неравивонерногь характеристыктор гото и в последной катушек  $L_3$ , доби жителя гото, чтобы неравивонерногь характеристыболее 15%. Необходимый  $M_2$  дого и характеристыстые 325.6.

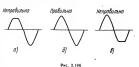
В последнию очередь проверяют предела регумирования усиления УПЧИ. Вращая движок резистора  $R_{\rm s}$ , устанавливают напряжение на колекторе транзистора  $T_{\rm t}$  (контрольная точка  $KT_{\rm s}$ ) двишьм 8 В. При этом усиление УПЧИ должно уменьщиться до 40 дБ при изменении формы АЧХ в пределах долустимого.

### Налаживание интегрального модуля УПЧИ с синхронным видеодетектором при помощи генератора и осциллографа

Налаживание интегрального модуля УПЧИ с синхронным видеодетектором (см. рис. 3.26) можно выполнить вие телеизора, соединив контакты 4 и 7 разъема X, модуля соответственно с положительным и отрицательным полосами автоложи

ного источника напряжения 12 В. Входной кабель ПЧ модуля соединяют с выходом генератора Г4-18А (ГМВ, СГ-1), а к гнезду 3 разъема Х, подключают вертикальный вход любого осциллографа, корпус которого подключают к гнезду 7 разъема Х<sub>1</sub>. Усиление по горизонтали у осциллографа уменьшают до нуля или выключают горизонтальную развертку. Уровень сигнала на выходе модуля контролируют по отклонению луча осциллографа по вертикали, установив вертикальное усиление таким, чтобы это отклонение не выходило за пределы экрана. Настройку ведут, установив уровень внутренней модуляции генератора в пределах 85-90% при выходном напряжении 400 мкВ

На частоте 30,0 МГа вращением сердечника мастранявля гомтур с катушков  $L_{\rm B}$  поминимуму отклонения луча осциллографа. Затем, добивяем минимального отклонения луча осциллографа, настранявлют контур с катушкой  $L_{\rm B}$  на частоте 30,5 МГа н. сатушкой  $L_{\rm B}$  на частоте 31,5 МГа. Добиваясь заксимального отклонения луча осциллографа, измень настроте 31,5 МГа. Добиваясь заксимального отклонения луча осцилографа, измень настроте 31,5 МГа.



 $L_a$  (39.5 МГш).  $L_1$  (40.0 МГш).  $L_2$  (40.0 МГш). Далее, добивакс маскимальйого отклонения луча осциалографа, нало подстроить контур с катушктам  $L_a$  (36.5 МГш).  $L_a$  (36.0 МГш) и  $L_a$  (36.5 МГш).  $L_a$  (36.0 МГш) и  $L_a$  (36.5 МГш).  $L_a$  (36.1 МГш) и  $L_a$  (36.5 МГш) и  $L_a$  (36.5 МГш) и  $L_a$  (36.5 МГш)  $L_a$  (36.1 МГш) и  После настройки всех хонтуров, изменяя часто уг генератора чере 0.5 М II, и поддерживая его выходное напряжение на уровее 400 мкВ, синмают АК УПЧИ в данаязоне 22—24 М II, откладывая откловения дуча осциалографа. Святая характеристика должин укладыватое в домуски, накораженные на рис. 3.27. Есля она выходит за пределя долусков, то после настройки контура сникронного детектора в составление от сова поотройку в странение образовать и пределя в

### Настройка тракта звукового сопровождения с дробным детектором

В завысимости от слемы тракта заукового сопровождения сигнал разностной частота 6.5 МГы, поступающий на вход УПЧЗ, синмается с нагрузки вымесиетектора или выкорсквытеля. Немотря на это, при настройке УПЧЗ сигнал от генератора Г4-1А лил IF-18A с частотом 6.5 МГц следует подать ту точку, где он образуется, т. е. на нагрузку выезодетектора.

видеодетенора. **Настройка УПЧЗ** ведется при выходном напряжении генератора 0.5—1В и включенной модуляции. Сигнальный провод выходного кабеля генератора через конденсатор 1000 пф подключают к контрольной точке  $KT_4$  (см. ркс. 3.21), а его оболочку — к шасси телевизора.

Вольтметр постоянного напряжения подключают параллельно резистору  $R_{99}$  (см. рис. 3.21). Вращением сердечников в катушке  $L_{95}$  добиваются максимальных показаний вольтметра.

Проверка мастройки УПЧЗ проводится для определения полосы пропускания после его настройки. Оставив приборы включеными, как и в предыдущем случае, изменяют частоту генератора сначала в сторону уменьшения, а затем в сторону увеличения и отмечают частоты, при которых показания вольтметра уменьшаются на 50%, максимальных на частоте 6,5 МГц. Разность этих частот, отмеченных на шкале генератора, и будет шириной полосы пропускания УПЧЗ. Она не должна быть уже 500 КГц.

Настройка контуров дробного детектора проводится при таком же, как и в предыдущем случае, подключении генератора и его выходном напряженин 0,5-1 В на частоте 6,5 МГц. Вольтметр постоянного напряжения подключают параллельно конденсатору С95 (см. рис. 3.21). Вращением сердечника в катушке  $L_{69}$  добиваются максимальных показаний вольтметра. Затем один полюс вольтметра подключают к контрольной точке  $KT_{20}$ , а второй — к точке соединения двух дополнительных резисторов сопротивлением по 27 кОм, включенных параллельно конденсатору  $C_{95}$  и шасси. Вращая сердечник катушки  $L_{70}$ , добиваются минимальных показаний вольтметра. При правильной настройке последующие повороты сердечника в обе стороны будут приводить к увеличению показаний вольтметра

 $\hat{\mathbf{Y}}$ становив частоту генератора 6,5 МГц с внутеней модуляцией 30%, отключают вольтметр постоянного напряжения и подключают к контрольной точке  $KT_{20}$  (см. рнс. 32) и к швост незизора ламповый милливольтметр ВЗ-13. Регуанровкой переменного резистора  $R_{102}$  добиваются минимальных показаний милливольтием то

Проверка настройки контуров детектора оказывается необходимой, если имеются сомнения в правильности этой настройки, и ведется при таком же подключении генератора и вольтметра постоянного напряжения, как и в предыдущем случае. При подаче сигнала с частотой 6,5 МГц и правильной настройке контуров стрелка вольтметра должна оставаться на нулевой отметке его шкалы. Изменяя частоту генератора от указанного значения в обе стороны на ±200 кГц и изменяя полярность включения вольтметра, отмечают его показания. Допустимо, если измеренные напряжения в этих двух случаях будут различаться не более чем на ±20%. Уточнить настройку катушки  $L_{70}$  (см. рис. 3.21) можно во время приема телепередачи, добившись небольшими поворотами сердечников наилучшего качества звукового сопровождения без искажений и фона кадровой частоты.

### Настройка тракта звукового сопровождения с дробным детектором без генератора сигналов

Если в распоряжении радиолюбителя нет генератора сигнало, то достаточно точную настройку гракта звука можно выполнить во время приема телепереали по сигналам телецентря, используя миллиамперводьтомметр IL-20, тестер ТТ-1 и подобиве им приборы. К такой настройке приступата ими в посае полной отладки УПЧИ и правилтрат и предостаточно по по по предостаточнополат, ориентируск на получение замобоче четото изображения, свободного от окантовок и серых телей ка деталях.

Настройка УПЧЗ ведется в такой же последовательности и при таком же подключении вольтметра постоянного напряжения, как к при кепсызавани генератора сигналов. Если в началь кастройки показания вольтметра будут малы, то нужнов выбрать более чувствительный диалазы имрений и установить максимальную контрастность изображения. По мере настройки контром УПЧЗ контрастность изображения следует уменьшить, стем чтобы стреская вольтметра не отклюнялась за

пределы выбранного диапазона измерений. Настройка контуров дробного детектора проводится при таких же подключениях вольтметра постоянного напряжения, как и при настройке с генератором. Приступая к настройке жонтура с катушкой  $L_{69}$  (см. рис. 3.21), нужно установить контрастность изображения максимальной и сиижать ее по мере достижения максимальных показаний вольтметра. Заканчивая настройку контура, следует пройти весь возможный диапазон контрастности, начиная от минимума, и остановиться, там, где рост показаний вольтметра с увеличением контрастности замедляется. При этом положении регулятора контрастности начинают настройку второго контура детектора, которую ведут в той же последовательности и при таком же подключении вольтметра, как и при настройке с генератором. Настройку и регулировку второго контура детектора уточняют во время приема телепередачи, добиваясь наилучшего качества звукового сопровождения без искажений и фона.

### Настройка модуля УПЧЗ на интегральных микросхемах с детектором произведения при помощи генератора и осциллографа

Установив внутрениюю модуляцию глубновы 85—90% на частоте 6.5 МП, пообирают убровень выходного напряжения генератора такии, чтобы выходного напряжения генератора такии, чтобы чтого, сначаль установия выксимальное усмение у осциалографа по входу X и выключие развертку по горизонталн, увеличивают выходное напряжение тенератора и наблюдают за ростом отклонения зуча осциалографа по верхнаяли. Заметая уропрекращиется, уменьшают давое амплитуду сигнала генератора и начинают настройку.

Чтобы настроить контуры полосового фильтра на вкоде модуля, сначала расстранвают опорный контур детектора произведения, вращая сердечник катушки  $L_{\rm g}$  и добиваясь максимального от-

клонения луча осциалографа по вертикали. Затем, вращая сераечник катушек  $L_1 - L_1$ , также добиваются максимального отклонения луча осциалографа по вертикали. Если во время настробки контуров с катушками  $L_1 - L_4$  сигнал в УПЧВ начинает ограничиваться, то надо уменьшить амплитуду сигнала генератора и вновь настроить контуры модуля.

При настройке опорного контура детектора произведения вращают сердечник катушки L<sub>A</sub> пором валесь минимального отклонения луча осциллографа по вертикаль. При поворот сердечника тушки L<sub>a</sub> в обе стороны от положения точной вастройки зимнитуда отклонения луча осциллографа должна увеличиваться. Окончательную подтройку опорного контура детектура произведения проводят во время приема телепередачи. Небольшими поворотими сердечника катушки L<sub>a</sub> добишими поворотими сердечника катушки L<sub>a</sub> добивождения без искажений и фона кадровой частоты.

### Настройка УПЧЗ на интегральных микросхемах с дробным детектором при помощи генератора качающейся частоты

Усилитель промежуточной частоты авукового сопровождения на интегральных инкросметах (см. рыс. 3.30) можно настроить при помощи прибора для настройки теленворов X1-7 или авто-гичного. Выход генератора качающейся частоты прифора подключают ко вход УПЧЗ («Вкод»). Детекторную головку осцилают рафа прибора присоснияют с комтрольной точке КТ. Ручкенне» и «Масштаб» устанавливают размеры кмовой. Чобы для наблючения с «Ксиленне» и «Масштаб» устанавливают размеры кмовой. чобые для наблючения.

Вращая сердечник катушек  $L_1$  и  $L_2$ , добиваются на экране электронно-лучевой трубки при-

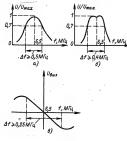


Рис. 3.107

бора АЧХ, показанной на рис. 3.107,а. Далее переносят астеторивую голомух прибора на меторольную точку  $K\Gamma_2$  и, рашая сераечиник катушен  $L_1$  и.  $L_2$ , добываются соответствия форми АЧХ, показанной на рис. 3.107,6. После этого ко входу социалографа и рибора подключают кабель без аетекторной головки и соединяют выводы этого кабеля с контрольной точкой  $K\Gamma_2$  и общим эпорамом. Вращая сераечик катушки  $L_2$  контура доболе обото детектора и виянок подторожного рашая сераечик катушки  $L_2$  контура добора  $R_1$ , стремятся получить на экране осциалографа кривую, гоказанную на рис. 3.107, в.

### Налаживание яркостного канала цветного телевизора

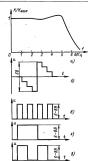
Налаживание яркостного канала на интегральных микросхемах (см. рис. 3.23) начинают с проверки АЧХ предварительного видеоусилителя при включенных контурах режекции сигналов цветности поднесущих частот. Для этого, отпаяв перемычку между контрольными точками  $KT_o$  и  $KT_o$ . подключают выходной кабель прибора для настройки телевизора через конденсатор емкостью 10 мкф к точке КТ<sub>о</sub>, а входной кабель с детекторной головкой — к эмиттеру транзистора  $T_8$ . Загем подают постоянное напряжение 8 В на свободный вывод резистора R<sub>34</sub>, тем самым подключая режекторные контуры  $C_{35}L_{11}$  и  $C_{38}L_{12}$ . Амплитудночастотная характеристика предварительного видеоусилителя должна иметь вид, показанный на рис. 3.40,а. Этого добиваются настройкой режекторных контуров на частоты 4,7 и 4 МГц.

Палее проверяют АЧХ видеоусывителя при отключенных режеторных контурах. Для этого напряжение, подаваемое на резистор R<sub>3</sub>, ученьшаот до 0,7 В. Амалитудно-частотная характеристика в этом случае должна вметь вид, показанный а рис. 340,6. Подъем в высокочастотной части характеристики можно изменять, подбирая еккость конделестора C<sub>3</sub>. После валаживания пркостного канала перемычку между контрольными точкым КТ, в КТ, припавают на место.

# Налаживание видеоусилителей в блоке формирования сигналов цветности

Налаживание видеоусилителей блока формирования сигналов цветности на интегральных микросхемах (см. рис. 3.46) следует начинать с проверки режимов микросхем и транзисторов по постоянному току.

Загем, используя измеритель частотных харакгеристик XI-19 или XI-7, добиваются получения необходямых АЧХ блока. Учитывая, что для ненекаженного усиснения яркостного сигнала усилитель должен иметь полосу частот пропускания бъй ца для центра с выхода прибора XI-19 вметь 1,5 МПц), сигнал с выхода прибора XI-19 прибора подключают к выхода прибора XI-19 прибора подключают к выхода СПР в для доссель Др, вместе с комденсатором С, беспечивает необходимую полосу пропускания (5 МПц), а дроссель Др, формирует подкем характеристики на частоте



PHC. 3.108

5 МГц и резкий спад на частоте 6,5 МГц. Подбирая резистор R<sub>6</sub>, получают подъем около 10% (рис. 3.108,a). Аналогично настраивают и два других видеоусилителя.

Дальнейшую регулировку блока проводят, установив его в цветной телевизор, при приеме сигналов испытательной таблицы в виде восьми вертикальных полос. Для этого на «Вход 1» и «Вход 2» подают из блока цветности цветоразностные сигналы  $E_{B'-1}$  и  $E_{R'-1}$ , а на «Вход 3», яркостный сигнал  $E_{Y'}$ . Подключив вертикальный вход осциллографа С1-13 к контрольной точке  $KT_1$  и вращая движок резистора  $R_1$ , получают на экране осциллографа цветоразностный сигнал  $E_{G'-Y}$ , имеющий форму, изображенную на рис. 3.108,6. Подключая вертикальный вход осциллографа к контрольным точкам КТ2 - КТ4 и изменяя насышенность и контрастность изображения, а также вращая движок резистора  $R_{11}$ , добиваются соответствия сигналов в этих точках, изображенным на рис. 3.108, в, г, д.

Подключая осциалограф к выходам блока, проверяют наличие цветовых сигналов  $E_a$  («Выход 1»),  $E_b$  («Выход 2»),  $E_b$  («Выход 3») основных цветов. При этом амплитуда выходных сигналов должна быть 80—100 В.

### Налаживание блока цветности на интегральных микросхемах серии K224

Налаживание блока цветности (см. рис. 3.42) начинают с проверки режимов интегральных микросхем по постоянному току. Предварительно необходимо в точки A и B подать напряжение + 12 В, что соответствует максимальной насыщенности нахображения.

Для наблюдения частотных характеристик касадов используют прябор XI - 7 или XI-19. Сигнал с генератора качающейся частоты прибора подклять каход блока. Детекторијую годовку подключают к конгродной точее Kf<sub>1</sub>. Уговень кодного сигнала подбірают таком, чтобы не набличного сигнала подбірают таком чтобы не набличного сигнала подбірают таком чтобы на набличного сигнала подбірають по сигна по сигна подбіра по сигна по с

Затем проверяют работу электронного комиутатора. Для этого детекторную головку подключают поочередно к контрольным точкам  $KT_2$  и мкросхемы  $MC_3$  с положительным польком коточника питавия перектому-атем сымым симметсточника питавия и перектому-атем самым симметубъядаются в наличии на входе коналов R-Yв B-Y прямого и задерожащного синялаю.

При настройке контуров частотных дискриминаторов необходимо установить устройство опознавания в такое состояние, чтобы на выводе 1 микросхемы MC<sub>9</sub> было напряжение около 1 В (блок цветности открыт). Для этого вывод 7 микросхемы MC<sub>0</sub> соединяют кратковременно с положительным полюсом источника питания. Подключив вход прибора X1-7 (без детекторной головки) к выходу / блока и вращая сердечники катушек  $L_2$ ,  $L_3$  и  $L_4$ ,  $L_5$ , добиваются соответствия АЧХ дискриминатора каналов В—У характеристике, изображенной на рис. 3.109, а. Положение нулевой точки изменяют сердечником катушек  $L_4$ ,  $L_5$ ; сердечником катушек  $L_9$ ,  $L_3$  регулируют ширину линейной части характеристики. Симметрии кривой относительно линии нулевого уровня добиваются резистором R14. Аналогично настраивают частотный дискриминатор канала

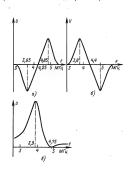


Рис. 3.109

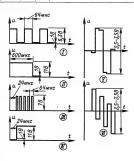
R-Y, характеристика которого должна соответствовать характеристике на рис.  $3.109,\ 6.$ 

Далее настранявают селектор сигналов цветовой сикроновании, предваритьсямы установив триггер кадровых инпульсов (микросхема  $MC_{10}$ ) в такое положение, при котором на выходе 4 микросхема  $MC_{10}$  будет наприжение 1 В. Для этого кратовременно подают положительное напряжение источника пятания на выход 5 микросхемы  $MC_{10}$  будет мания на выход 5 микросхемы  $MC_{10}$  канаму 5 микросхемы  $MC_{10}$  Настройова сераечника катушки  $L_{11}$  добиваются соответствия  $\Delta$ ЧХ селектова халаматеристики в дв. Св. 3109, в дв. Св. 3109, в дв. Св. 3109, в дв. Св. 3109, в дв. Св. 3109, в дв. Св. 3109, св.

Затем блок цветности подключают к цветному леневному и проверяют работу симмеричног тритера на микросхеме  $MC_{\rm B}$ . Подключаю вертнальный вход осциллографа С-113A (или ему подобного) к контрольной точек  $T_{\rm B}$ . Дожданених отсем в цветному подобного) к контрольной точек  $T_{\rm B}$ . Подключи и инпульсов, наображених трольной точек  $T_{\rm B}$ . Порверяют наличие импульса, показаниюто на рыс. 3.110,  $\Pi$ .

Селектор сигналов цветовой синхронизации налаживают при приеме цветовог овображения тоэтого подключают вертикальный вход осциалографа к контрольной точек КТ,и и на экране полодают импульсы, изображенные на рис., 3.110, III. Варшаю сеременнык катушык додиваются максимальной амплитуды этих импульсов.

Для проверки работы устройства опознавания сигналов цвегности вертикальный вход осциллографа подключают к выходу 3. При приеме цветного изображения на экране осциллографа будет виден импульс, изображенный на рис. 3.110, 1V.



Puc 3 110

При приеме черно-белого изображения он будет отсутствовать.

Подключая вертикальный вход осциллографа поочередно к выходам I и 2 и подбирая конденсаторы  $C_{2,0}$  м  $C_{1,1}$  добиваются при приеме таблицы в виде цветных вертикальных полос соответствия формы цветоразностных сигналов осциллограммям, показанным на рис. 3.110, V и VI.

### 3.13. РЕГУЛИРОВКА БЛОКОВ СИНХРОНИЗАЦИИ И РАЗВЕРТКИ

Приступая к регулировке блоков синхронизации и развертки, необходимо убедиться, что блок питания обеспечивает получение необходимых напряжений при полной его нагрузке. Проводя регулировку, следует строго соблюдать правила безопасности (см. § 3.12).

Регулировка блюков сийхроинзации и развертки замчительно объегчается, если для этой цели использовать осциллографы типа С.1-1 (ЭО-7) им подобные. Низасчастоный осщиллограф типа С.1-1 дает возможность контролиторавть рабогу селектора силкуроинзирующих импульсов и генераторов развертки, в осциллограф типа С.1-1 поводит детально маблюдать форму отдельных синхроинзирующих импульсов и импульсов на прильсов на приль

### Проверка селектора синхронизирующих импульсов

. Проверку проводят после настройки блоков УПЧИ и УПЧЗ во время приема телепередачи, которую контролируют по наличию звукового сопровождения.

Проверка при помощи осциллографа ведется в следующей последовательности. Подключив вертикальный вход осциллографа ко вкоду селектора (резейтор Я; ва рис. 3.53 и контрольная точка АТ, на рис. 3.21) и подобрав необходимую частоту развертам, убеждаются в выличи полного из типе выходе селектора (коллектор транзистора Т, на рис. 3.53, транзистора Т, п. 1, п. 1, на рис. 3.21) форму синхронизирующих импульсов, отделенных от выдеоситилал.

Проверка без осциалографа сводится к просхушвавию сигналов на входе и выходе селектора после подачи их на вход 8794 (в точки б и 3 на рис. 3.31 и 3.21) через конденсатор емкостью 0,1 мкФ. При этом устройстве на рис. 3.74 необходимо прекратить работу задающего генератора кадровой развертикі, замкиря выводы ходиой на обмоток тракформаторов Tp<sub>2</sub>. Если селектор исправен, то сигналы прослушиваются как фон кадровой частоты.

### Проверка задающих генераторов строчной и кадровой развертки

Проверку можно проводить до настройки УПЧИ и УПЗЧ. Однако окончательную регулировку, связанную с подгонкой частоты, можно выполнять лишь во время приема телепередачи.

Проверки при помощи миллиамиеровольтомметра или тестера проводят через пробики, представляющий собой пиковый детектор, которым можно обнаружить имурасные напряжения в указанных точках. Миллиамиеровольтиетр выдомется на такжерение постоянного мапряжения ра можно судить о величие имурасных напряжения им в контролируемых точках устройства.

При значительных отклонениях параметров депосле настройки УПИ и после того, как проведена проверка работы оконечных каскадов строчной и кадровой разверток, а на экране кинескопа получен растр, на котором имеются следы изображения.

Если частота задающего генератора строчной развертии отлачается от требумой, то на кране видны косые широкие темпые полосы, образовать име бланкирошими имупасами (границами) невасинкроинами имупасами (границами) невасинкроинами реактогром R<sub>1</sub> (см. рис. 3.76) и R<sub>155</sub> R<sub>161</sub> (см. рис. 3.74), видюченных в цепь расположены справа вина належо, то нужно суста от правод положены справа вина належо, то нужно (см. рис. 3.76) и R<sub>25</sub> и R<sub>26</sub> (см. рис. 3.74). Если полосы на экране расположены справа вина належо, то нужно стем рызовать и R<sub>26</sub> (см. рис. 3.76). Если полосы на экране расположены слева вины награво, а соспортивление реактогоро R<sub>11</sub> R<sub>13</sub> и R<sub>26</sub> на R<sub>3</sub> и R<sub>3</sub> R<sub>36</sub> и R<sub>3</sub> и R<sub>3</sub> R<sub>36</sub> и R<sub>3</sub> R<sub>36</sub> и R<sub>3</sub> и R<sub>36</sub> и R<sub>3</sub> и R<sub>36</sub> и R<sub>36</sub> и R<sub>3</sub> R<sub>36</sub> и R<sub>36</sub> и R<sub>36</sub> и R<sub>36</sub> и R<sub>36</sub> и R<sub>36</sub> и R<sub>36</sub> и R<sub>36</sub> и R<sub>36</sub> и R<sub>36</sub> и R<sub>36</sub> и R<sub>36</sub> и R<sub>36</sub> и R<sub>36</sub> и R<sub>36</sub> и R<sub>36</sub> и R<sub>36</sub> и R<sub>36</sub> и R<sub>36</sub> и R<sub>36</sub> и R<sub>36</sub> и R<sub>36</sub> и R<sub>36</sub> и R<sub>36</sub> и R<sub>36</sub> и R<sub>36</sub> и R<sub>36</sub> и R<sub>36</sub> и R<sub>36</sub> и R<sub>36</sub> и R<sub>36</sub> и R<sub>36</sub> и R<sub>36</sub> и R<sub>36</sub> и R<sub>36</sub> и R<sub>36</sub> и R<sub>36</sub> и R<sub>36</sub> и R<sub>36</sub> и R<sub>36</sub> и R<sub>36</sub> и R<sub>36</sub> и R<sub>36</sub> и R<sub>36</sub> и R<sub>36</sub> и R<sub>36</sub> и R<sub>36</sub> и R<sub>36</sub> и R<sub>36</sub> и R<sub>36</sub> и R<sub>36</sub> и R<sub>36</sub> и R<sub>36</sub> и R<sub>36</sub> и R<sub>36</sub> и R<sub>36</sub> и R<sub>36</sub> и R<sub>36</sub> и R<sub>36</sub> и R<sub>36</sub> и R<sub>36</sub> и R<sub>36</sub> и R<sub>36</sub> и R<sub>36</sub> и R<sub>36</sub> и R<sub>36</sub> и R<sub>36</sub> и R<sub>36</sub> и R<sub>36</sub> и R<sub>36</sub> и R<sub>36</sub> и R<sub>36</sub> и R<sub>36</sub> и R<sub>36</sub> и R<sub>36</sub> и R<sub>36</sub> и R<sub>36</sub> и R<sub>36</sub> и R<sub>36</sub> и R<sub>36</sub> и R<sub>36</sub> и R<sub>36</sub> и R<sub>36</sub> и R<sub>36</sub> и R<sub>36</sub> и R<sub>36</sub> и R<sub>36</sub> и R<sub>36</sub> и R<sub>36</sub> и R<sub>36</sub> и R<sub>36</sub> и R<sub>36</sub> и R<sub>36</sub> и R<sub>36</sub> и R<sub>36</sub> и R<sub>36</sub> и R<sub>36</sub> и R<sub>36</sub> и R<sub>36</sub> и R<sub>36</sub> и R<sub>36</sub> и R<sub>36</sub> и R<sub>36</sub> и R<sub>36</sub> и R<sub>36</sub> и R<sub>36</sub> и R<sub>36</sub> и R<sub>36</sub> и R<sub>36</sub> и R<sub>36</sub> и R<sub>36</sub> и R<sub>36</sub> и R<sub>36</sub> и R<sub>36</sub> и R<sub>36</sub> и R<sub>36</sub> и R<sub>36</sub> и R<sub>36</sub> и R<sub>36</sub> и R<sub>36</sub> и R<sub>36</sub> и R<sub>36</sub> и R<sub>36</sub> и R<sub>36</sub> и R<sub>36</sub> и R<sub>36</sub> и R<sub>36</sub> и R<sub>36</sub> и R<sub>36</sub> и R<sub>36</sub> и R<sub>36</sub> и R<sub>36</sub> и R<sub>36</sub> и R<sub>36</sub> и R<sub>36</sub> и R<sub>36</sub> и R<sub>36</sub> и R<sub>36</sub> и R<sub>36</sub> и R<sub>36</sub> и R<sub>36</sub> и R<sub>36</sub> и R<sub>36</sub> и R<sub>36</sub> и R<sub>36</sub> и R<sub>36</sub> и R<sub>36</sub> и R<sub>36</sub> и R<sub>36</sub> и R<sub>36</sub> и R<sub>36</sub> и R<sub>36</sub> и R<sub>36</sub> и R<sub>36</sub> и R<sub>36</sub> и R<sub>36</sub> и R<sub>36</sub> и R<sub>36</sub> и R<sub>36</sub> и R<sub>36</sub> и R<sub>36</sub> и

Когда частота задающего генератора кадровой развертки отличается от требуемой, кадр наображения не остается неподвижным, а движется по кораяу. Есл и сопротивление переменных резисторов  $R_{\rm F}$ ,  $R_{\rm TO}$ , включенных в цень базы траногоров, разви рум, о кадра движется по краную страногоров, разви рум, о кадра движется по краную не по траногоров, развить сопротивление добавочных резисторов  $R_{\rm F}$ ,  $R_{\rm TD}$  (ок. рис. 5.79 и 5.74). Если мально, а кадр движется по хорану сверху вина, то нужно увеличить сопротивление добавочных резисторов.

# Проверка оконечных каскадов строчной и кадровой развертки

Если задающие генераторы работают, а растра на экране кинескога нет, то необходимо проверить работу оконечного каскада сначала строчной, затем кадровой развертки.

Проверку оконечного каскада строчной развертки начинают с измерения напряжений питания +12 В и +260 В (см. рис. 3.64 и 3.75), определяющих режим его работы. При нормальной работе каскада на конденсаторах фильтров выпрямителей ускоряющего напряжения  $C_{17}$ и C<sub>138</sub> (см. рис. 3.104 и 3.74) имеются напряжения, указанные на схемах. Если эти напряжения имеются, а растра нет, то нужно проверить работу высоковольтных умножителей УН8,5/25-1,2А и  $\mathcal{A}_{20} - \mathcal{A}_{22}$ . Проверка сводится к замеру напряжения, поступающего от указанных выпрямителей на анод кинескопа. Замер производится ампервольтомметром, например, типа Ц4314 или Ц4341 с гирляндой добавочных резисторов, расширяющих пределы измерения до 30 кВ. Гирлянду из резисторов типа КЭВ на 500 МОм (7×68 МОм + 22 МОм) заключают в несколько поливиниловых трубок, вставленных друг в друга. Измеряя высокое напряжение, следует строго соблюдать меры безопасности (см. стр. 175).

Если размер растра по горизонтали при полежения 3 ступечнатого регулятора  $X_1$  мал, то иужно увеличить емкость конденсаторов  $C_{11}$  (см. рис. 364) и  $C_{13}$  (см. рис. 364) при этом (см. рис. 364) и  $C_{13}$  (см. рис. 364) при этом напряжение на аноде кинескопа уменьшится, и это приведет к увеличенно размера растра. Если же размер растра велик, то нужно уменьшится илите мекость конденсаторо  $X_{17}$  (см. рис. 364) в по-ложение I Изга вволиковаторо  $X_{17}$  (см. рис. 364) в по-ложение I Изга вволиковаторо при этом умеличения выкомого напряжения повысится этрость и уменьшится выкомого напряжения повысится этрость и уменьшится  $X_{17}$  (см. рис. 364) в по-ложение I Изга вволиковато на  $X_{17}$  (см. рис. 364) в по-ложение I Мата вволиковато на  $X_{17}$  (см. рис. 364) в по-ложение I мата вволиковато на

При помощи пробника с пиковым детектором можно обнаружить пилообразно-импульское напряжение на управляющем электроде тиристора  $T_1$  (см. рис. 3.64) и на базе транзисторов  $T_{2\pi}$  (см. рис. 3.74).

Проверка оконечного каскада кадровой развертки сводится в проверке наличия импульсного напряжения, возникающего на кадровых катушках отклоняющей системы во время обратного хода. Проверку ведут при помощи пробника с пиковым детектором.

При необходимости таким же образом можно обнаружить пилообразное напряжение на базе транзисторов  $T_9$ ,  $T_{11}$  (см. рис. 3.79) и  $T_{23}-T_{25}$  (см. рис. 3.74).

Если размер растра по вертикали недостаточен даже при крайнем положении регуляторов этого размера, то необходимо уменьшить сопротивление резисторов  $R_{12}$  (см. рис. 3.79) и  $R_{12}$  на рис. 3.74 в зарядной цепи задающего генератора.

# Регулировка цепи АПЧиФ строчной развертки

Подгонку частоты задающего генератора приводят, как и ранее, но при выключенном стабильназарующих милуасью на въсме цели АПЧ«Ф. С могутера при открытително

Настройка стабилизирующего контура проводится при отсутствии синхронизирующих импульсов на входе цепи АПЧиФ. После подгонки частот задающего генератора надо разомкнуть выводы катушки стабилизирующего контура. При этом частота задающего генератора резко изменится. Подстраивая сердечник катушки, надо добиться того, чтобы бегущий по экрану кадр хотя бы на короткое время останавливался: После этого отсоединяют базу транзистора  $T_{19}$  от шасси и проверяют работу цепи АПЧиФ во время приема передачи различных телецентров, передающих изображение с привязкой к питающей сети другого энергетического кольца. Если в процессе этой проверки выяснится, что иногда при длительной работе телевизора синхронизация по строкам срывается, то нужно обратить внимание на качество конденсатора, включенного параллельно катушке стабилизирующего контура и заменить его на слюдяной типа КСО группы Г.

## Налаживание узла строчной развертки на транзисторах в цветном телевизоре

Налаживание узла строчной развертки (см. рис. 3.76) осуществляется по осциллографу. При этом ОС и кинескоп должны быть подключены. Сначала налаживают задающий генератор (транзистор  $T_3$ ), причем до подачи напряжений питания 40 В и 32 В необходимо отключить коллекторы выходных транзисторов  $T_5$ ,  $T_{13}$ . Частоту задающего генератора регулируют переменными резисторами R<sub>8</sub>, R<sub>13</sub>. Скважность импульсов генератора устанавливают резистором  $R_{20}$ . Дли-тельность закрывающих импульсов на базах транзисторов  $\dot{T}_5$  и  $T_6$  должна быть равна 18 — 25 мкс. Далее присоединяют коллектор транзистора  $T_5$  и подстранвают частоту генератора, т. к. она изменится из-за влияния нагрузки на задающий генератор и работы системы АПЧиФ. Сердечником катушки  $L_1$  настранвают контур  $L_1C_{18}$ на третью гармонику свободных колебаний, контролируя форму, длительность и амплитуду напряжений на коллекторах транзисторов по осциллографу. Если амплитуды напряжения на их коллекторах не равны, то подбирают конденсаторы  $C_{12}$  и  $C_{13}$ . Затем проверяют полярность импульсов, подаваемых на диоды  $\Pi_7$  и  $\Pi_8$ .

Устройство коррекции геометрических искажений растра предварительно настранвают сердеником катушки  $L_{\rm L}$  при среднем положении движа резистра  $R_{\rm T}$  по максимальной авплатуде напряжения на конденсаторе  $C_{\rm LP}$  Окончательную настройку катушек  $L_{\rm S}$  —  $L_{\rm R}$  установку, движков резисторов  $R_{\rm 26}$   $R_{\rm 27}$  проводят после установки бтока в телевивор.

При налаживании источника высокого напряжения проверяют наличие пилообразного напряжения на движке резистора R41. Присоединяют коллектор транзистора  $T_{13}$  и, вращая движки резисторов R28 и R41, устанавливают длительность открывающего импульса на базе этого транзистора равной 16-20 мкс при токе луча кинескопа 0,1 мА и напряжении на выходе умножителя не более 25 кВ. Вращением сердечника катушки L<sub>5</sub> настранвают контур выходного каскада на транзисторе  $T_{13}$  на третью гармонику свободных колебаний. Затем проверяют работу устройства стабилизации, изменяя ток лучей кинескола и контролируя при этом высокое напряжение и длительность управляющего импульса на базе транзистора  $T_{13}$ . Необходимый размер растра по горизонтали устанавливается изменением напряжения питания 40 В.

### Налаживание узла кадровой развертки на транзисторах в цветном телевизоре

Перед налаживанием улла кадровой развертки (см. рис. 378) необходим проверить рабогоспособисть стабляяваторов и подобрать опорыем стаблятировы так, чтобы на женвалентной нагрузке сопротивлением 120 Ом для напряжения источника 42 в и 150 Ом для источника напряжения 12 В получить указанные напряжения. Установав переменный реанстор R<sub>2</sub>6 в инжиее по ссеме положение, подключают к источникам питания блок кадровой развертки. Загож проверкот режими тратаксторов по постоянному току и на лабом транами токум променения проберкого подключают променения проберкого подключают пробего подключают променения пробего подключают пробего подключают пробего подключают пробего подключают пробего подключают пробего подключают пробего подключают пробего подключают пробего подключают пробего подключают пробего подключают подклю

При отсутствии осциллографа кадровую развертку настраивают по испытательной таблице ТИТ 0249 или УЭИТ, подав синхронизирующие импульсы положительной полярности размахом больше 2 В. Ручкой «Частота кадров» (R<sub>s</sub>) добиваются неподвижного изображения таблицы на экране телевизора; переменным резистором R<sub>18</sub> «Симметрия» устанавливают необходимое напряжение на коллекторе транзистора  $T_5$ ; переменным резистором R24 устраняют нелинейность в середине экрана; ручкой «Размер по вертикали» ( $R_{12}$ ) устанавливают нормальный размер изображения (цифры вверху и внизу таблицы 0249 должны быть не видны), регуляторами «Линейность» (R<sub>14</sub>) и «Линейность низа» (R<sub>25</sub>) добиваются нормальной линейности вверху и внизу экрана кинескопа.

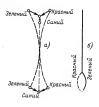
При нормальной чересстрочности диагональные линии в квадратах БЗ и Б6 таблицы 0249 не имеют изломов. При полном спаривании строк четного и нечетного полужадров диагональные линни таблины стаковятся шире (четкость по-нижается в 2 раза), и линни горизонтальных клиньев в центре таблицы расходятся веерообразно.

## Регулировка узла сведений лучей в цветном телевизоре

Регулировку сведения следует начинать с совмещения зучей в изклей части растра сначала для красного и зеленого лучей при выключенном синем, затем для всех трех лучей вместе. Регулируют сведение лучей несколько раз, каждый раз подстранява при необходимости сведение их в центре экрана, вращая магниты на системе сведения.

Контролировать сведение лучше всего, подавая на вход телевизора сигнал сетчатого поля; при настройке по таблице 0249, УЭИТ или сетчатому полю нужно учесть, что черные линии на светлом поле получаются на экране в дополнительных цветах. Вращая магниты на системе сведения и магнит синего и добившись при этом чистоты цвета, нужно свести все три луча в центре экрана. При вращении движков резисторов узла сведения (см. рис. 3.101) лучи должны сдвигаться вверху и внизу экрана так, как показано на рис. 3.111, а. Перемещение лучей в противоположном направлении указывает на неправильную полярность подключения катушек; перемещение в другом направлении (не под углом 120° друг к другу) свидетельствует о неправильной распайке одной из обмоток катушки электромагнита системы свеления. Нужно иметь в виду, что регулировка сведения в нижней части экрана влияет на сведение в верхней.

При настройке узла сведения по горизоптали (см. рис. 3.102) необходимо визачале движки всех переменных резисторов установить примерно в ореднее положение, седремники в катушках  $L_1$  и  $L_2$  должны быть полиостью введены, а в катушках  $L_3$  и  $L_3$  должны быть полиостью введены, а в катушках  $L_3$  и  $L_4$  находиться в среднем положении. Сизачала, перемещая серденник катушки  $L_{\infty}$ , устаняют перекецшавние центральных красим и эсепемх горизонтальных линий. Затем, вывытивая серденных катушки  $L_3$ , добиваются сведениям горизонтальных линий.



PHC. 3.111

ния красных и эсленых вертикальных линий справа, а изменяя спортоявление реинстора  $R_{\rm c}$  стева. Неустраняемое изменением видуктивности катушки  $L_{\rm c}$  расслоение центральных красных и эсленых горизоитальных линий по вертикали и эсленых горизоитальных линий по вертикали слева и справа устраняют соответственно регулировкой резистора  $R_{\rm 3}$  и вращением сердечника катушки  $L_{\rm 3}$ .

Сведений синей горизонтальной центральной дини добизаются изменением издухтивности катушки L, и сопротивления резистора R, Эту операцию нужно проделать несколько раз, добиваюь получения наизушких результатов, т. к. регирироких узда, взаимозависимы и влияют друг на друга. Возликающее при этом издушение сведения в центре вурпа устраниется с помощью дення в центре вурпа устраниется с помощью использованием в предуставления в предуставления в при предуставления в предуставления и предуставления в предуставления в предуставления в предуставления предуставления предуставления в пред

Свеление можно считать удовлетворительным, свил в центральной части вкофражения, соотвестивующей кругу таблицы (2249, расслоение лучей оставляет 0.5— 1 мм при зимерении между серединами соседиих линий по горизонтали или по вертикали. На краях центральных вертикальных и горизонтальных линий (20—25 мм от края крава) долустимо реасслоение 1,5—2 мм.



# ЭЛЕКТРО-АКУСТИЧЕСКОЕ ЗВУКО-ВОСПРОИЗВЕДЕНИЕ

РАЗДЕЛ

(4)

#### СОДЕРЖАНИЕ

	Классы качества звуковоспроизведения (185). Параметры звуковоспроизводящих устройств (186)	
4.2.	Усидители звуковой частоты	190
	Оконечные и предоконечные каскады (190). Каскады предварительного усиления (192). Регулирование	
	усиления (1931). Регулирование тембра (195). Регулирование стереобаланса (197). Рекуменлуемые схемы	
	V34 (197)	
4.3.	. Головки громкоговорителей	199
	Основные характеристики (199). Типовые отечественные головки громкоговорителей (201). Малогабарит-	
	ные акустические системы Заводского производства (202). Простейшие измерениия параметров годовок	
	громкоговорителей (203)	
4.4.	Расчет и конструирование акустических систем	204
	Общие подожения (204). Расчет акустического экрана (204). Расчет футляра без задней стенки (205).	
	Расчет закрытого футляра (205). Расчет фазони вертора (206), Конструирование футляров (207), Соедине-	
	ние в группы и фазирование головок (208). Двух- и трехполосные акустические системы (209). Стереофони-	
	ческие акустические системы (210)	
4.5.	Ревербераторы	210
	Основные характеристики (210). Принции работы пружинного ревербератора (211). Самодельный трех-	2.00
	пружинный ревербератор (212)	
4.6	Грампластинки и воспроизводящая аппаратура	215
	Тиом и параметры грамидастинок (215). Воспроизводищая аппаратура (216)	210

### 4.1. ОСНОВНЫЕ СВЕДЕНИЯ

### Классы качества звуковоспроизведения

Качество воспроизведения звука и естественность звучания зависят от искажений и поме в авуковоспроизводящей аппаратурь. Не все служителя региты в приметы в

Далее понятие «радиовещательный приемник» (сокращенно «РВ приемник») будем распространять на комбинированные устройства: радиолы, магнитолы, телерадиолы и т. п. Для каждого класса звуковоспроизведения методами статистики установлены указанные далее показатели.

Класс высший. При воспроизведении по этому классу искажения и помехи практически незаметиы высококвалифицированным экспертам (кумакситам, авукорежисером и др.) и совершенно мезаметив сстальным слушателым, спецыучастия в опитах по оценке качества звучания. Также оценки двот, когда дефекты не замечают 75—85 % специалистов и комоо 90 % остальных слушателя. Это означает, что если слушателя и будт тарьием настроены и это, что звуковоспроизведение золет бить нескольно искажено призведение золет бить нескольно искажено фектов.

Звуковоспроизведение по классу высший можно получить при приеме радиовещания и звукового сопровомдения телевидения на УКВ с ЧМ. Передатчики этих программ имеют рабочий диапазои звуковых частот 30 Гц. — 15 кГц при неравномерности частотной характеристики не более 3 дБ; коэффициент гармоник не превышает 2%. С помощью магнитофона можно получить восдоможение записей с качеством по классу высший при скорости ленты не менее 19.05 см/с.

Класс I. При непосредственном сравнении воспроизведения по классу I с воспроизведением по классу высший различие в качестве звучания замечают примерно 20—25 % рядовых слушателей и около половины профессионально натре-

нированных экспертов.
Программы с качеством по классу I передают радиовещательные станции, работающие в диапа-

Программа с жасством по жлассу г персызот размовещательные станции, работающие в диапазонах ДВ, СВ и КВ с АМ. Их рабочий диапазон азуковых частот 50 Гц. — 10 кГц при неравномерности частотиой характеристики не более 3,5 дВ; коэфициент гармоник не превышает 5% (в диапазоне частот 100 Гц. — 4 кГц не более 2,5%).

Воспроизведение магнитофонных записей с качеством по классу I можно получить при скорос-

ти ленты не менее 9,53 см/с.

Класс II. Воспроизведение по классу II таково, что при непосредственном сравнении его с воспроизведением по классу высший различие замечают примерно половина рядовых слушателей и три четверти профессионально натренированных экспертов.

Калесу II удоваетворяет радисстрансявционный тракт, состоящий за станценного оброгацией на станценного оборудования радиоудла, распределительного оборудования радиоудла, распределительной фидериой на болентской линии (без громко-говорителя). Следовательно, передачу, получаемую по радиотрансизиционный сеги, можно запижают с станценный примерательного примерательно

Каас III. При непосредственном сравненим воспризваедения с качеством по классу III с воспроизведением по высшему классу искажения и помеж замечают прибазизтельно 3/4 всех слушателей. Звучание с качеством по классу III обычно получается при слушания передам на простые, вкоротие радноприемники, на малогабариттранстационной сети и при воспроизведения мантиранстационной сети и при воспроизведения маннитофонных записей при скорости движения лента 4,76 см/с.

# Параметры звуковоспроизводящих устройств

Качество звуковоспроизведения по тому или имом классу достигается в различных системах различных системах различных системах различных системах различных системах различных системах различных системах различных систем в определяется параметрами в римененных в или громкоговорителей, УЗЧ и уровнем фона, создаваемого источинкими питами, то для достижения грефемого качества постимента, то для достижения и пределенных магентами и правтомерность поставления имет составления систем проиграмающего устройства различных дижения магинтой ленты, величина помежи, и доизменных дижения магинтой ленты, величина помежи, и произкающей се соседией звуковой дорожим, уро-

вень вибрации и другие факторы. При телевизионном приеме на качество звукового сопротивления влияют помехи от сигнала изображения, цепей развертки и питания.

Аппаратура данного класса не всегда позволяте осуществить звуковоспроизведение с качеством по такому же классу. Так, например, хотя РВ стании работающие в даналоми ZB, СВ и КВ, и на вы поставление в делегом в классу по классу по коте у по классу 
В табл. 4.1 указаны установленные Государственными стандартами СССР численные значения общих для РВ приемников (ГОСТ 5651-64), ТВ приемников (ГОСТ 18198-72), электрофонов (ГОСТ 11157-65) и бытовых катушечных магнитофонов (ГОСТ 12392-71) параметров, при которых может быть достигнуто качество звуковоспроизведения, соответствующее различным классам (при условии, что качество принимаемой радиопередачи или звукозаписи не ниже по классу). Для двухканальной стереофонической аппаратуры это параметры каждого канала. Параметры, указанные для устройства с автономным питанием, относятся также к аппаратуре с универсальным питанием (от электросети и батарей). Если ГОСТ не регламентирует какойлибо параметр для аппаратуры данного класса, в соответствующей графе стоят буквы «НН» «Не нормируется». Буквы «НВ» означают, что аппаратура по данному классу не выпускается.

Номинальный рабочий диапазом звуковых частот — один из основных показателей, по которому звуковоспроизводящее устройство относят к тому или иному классу. Чем выше класс аппаратуры, тем шире должен быть диапазом.

Аппаратура в напольном (мебельном) оформления может быть сконструирован с рассетом на воспроизведение более инаких частот, поскольку е е акустические системм могут иметь большие объемы (см. § 4.10). Вместе с тем инжине границы рабочих диалазонов частот перевосной аппаратуры вследствие ограниченности ее объема повышаются.

Ширина рабочего диапазона определяется акустической частотной характеристикой звуковому давлению (кривая верности, см. § 4.3), создаваемому сто громкоговорителями).

Неравномерногъ акµстической характеристики отношение максимального звукового давления к минимальному в номинальном рабочем диапазоне частот; обычно выражается в децноб-лах. Неравномерность частотной характеристики УЗЧ — отношение максимального напряжения

Таблица 4.1. Электроакустические параметры звуковоспроизводящей аппаратуры

Параметр	Вид аппаратуры	Класс аппаратуры					
Параметр	. вяд аппаратуры	Высший (0)	. i	H	111	IV	
	РВ приемники стационарные в диа- пазоне УКВ <sup>2</sup>	(40) 63—15 000	(63) 80— 12 000	(80) 100— 10 000	1507100	нн	
	Электрофоны	40-18 000	63-16 000	100 10000	140-7100	НВ	
Рабочий диапазон час- тот по звуковому давле- нию, создаваемому гром-	РВ приемянки стационарные в диа- пазонах КВ, СВ и ДВ	(40) 63-6000	(63)80— 4000	(80) 100 4000	1503550	200-3000	
коговорителем при не- равномерности частот- ной характеристики, не	РВ приемники пе- реносные в диа- назонах	=	15012000 1504000	200-10000 200-4000	300—7100 300—3550	HH 450—3000	
более 14 дВ, Гц, не ўже <sup>і</sup>	ТВ приемники .	НВ	80-12 500	100-10000	125-7100	нн	
	Магнитофоны бы- товые: со входа усилителя мощ- ности	HB HB HB	40—18000 80—12 500 HB	80-10 000 125-7100 160-6300	HH 160—6300 200—5000	HH HH 3154000	
Рабочий диапазон час-	На линеаном вы 19,05 см/с 9,53 см/с 9,53 см/с 9,53 см/с ведение бытового магнитофона при скорости ленты	НВ НВ НВ	40—20 000 40—18 000 HH	40—16000 63—12 500 63—6300	HH 63—12 500 —	HB HH 80—6300	
рапочин давиалом част тот по электрическому напряжению, Гц, пе уже	На выходе авто- моблъвого при- емника в диала- зомах	HB HB	80—10 000 80—5000	125—7100 125—4000	125—6300 125—3550	HB HB	
	РВ приемники стационарвые с питавнем от электросети РВ приемники стационарвые с автономым питавнем РВ приемники перевосные РВ приемники автомобильные	HB HB HB	0,80 0,60 0,4 0,3	0,60 0,40 0,25 0,30	0,45 0,25 0,23 0,30	0,35 0,20 0,10 HB	
Среднее звуковое давле- ние на расстоянии 1 м, Па, не менее!	ГВ приемники	нв	0,8	0,60	0,40	нн	
	Магнитофоны бытовые с питанием от электросети То же, с автономным пятанием	HB HB	I,0 HB	0,80 0,60	0,60 0,45	HB 0,25	
	РВ приемники, электрофоны	60	50	50 <sup>5</sup>	40 <sup>6</sup>	40°	
Днапазон ручного регу- лирования громкости, дБ, не менее	Магнитофоны бытовые с питанием от электросети при воспроизведении То же, с автомомным питанием	НВ НВ	60 <sup>4</sup> HB	50 ·	40 30	HB 30	
Коэффициент гармоник	РВприемники стационарные и пере- носные <sup>7</sup> РВ приемники автомобильные <sup>7,8</sup>	4,0 HB	5,0 6,0	5.0 7.0	7,0 8,0	10 HB	
по звуковому давлению на частотах 200— 400 Гп.	ТВ приемники	НВ	5,0	7,0	8,0	нн	
%, не более	Магнитофоны бытовые с питанием от электросети со входа усилителя иошности То же, с автономным питанием РВ приемники РВ приемники РВ приемники автомобильные <sup>7,8</sup>	НВ НВ 3 НВ	5,0 HB 4,0 4,0	5,0 7 4,0 5,0	7,0 HH 5,0 5,0	HB HH 7,0	
Коэффициент гармоннк по звуковому давлению на частотах выше 400 Гц, %, не более	ТВ приемники	нв	4,0	5,0	5,0	нв	
	Магнитофоны бытовые с питанием от электросети То же, с явтономным питанием	HB HB	3,0 HB	4,0 5,0	5,0 7,0	HB 10	
Коэффициент гармоник по напрэжению, %, не более <sup>10</sup>	На выходе УЗЧ электрофона на частотах до 100 Гц	1,5	2,5	4,0	5,0	нв	
	То же, на частотах выше 100 Гц до частоты, равной половине верхией	1.0	1.5	4.0	5.0	1	

Продолжение табл. 4.1

1 1			Класс аппаратуры					
Параметр	Вид апп	аратуры	Высший (0)	1	111	III	10	
Коэффициент гармоник по напряжению, %, не более	На линейном выхо воспроизведение і фона на частоте	оде канала запись- бытового магнито- 400 Гц	нв	2,5	3,5	3,5	4,0	
	РВ приемники	С антенного вхо- да Со входа УЗЧ	-54 -60	-44 -50	-40 -46	-30 · -36	-30 -36	
Отвосительный уровснь ' фона, дБ, не более	Электрофоны ТВ приемники	Со входа УЗЧ Для всего тракта Канал звука	60 50 HB	-54 -46 -26	-46 40 26	-40 -34 -26	HB HB HH	
	Магнитофоны бы- товые, какал вос- произведения	При четырех до- рожках на ленте	нв	-48	-44	-42	-40	
Относительный уровень помех <sup>9</sup> , дБ, не болес	То же, канал за- пись-воспроизве- дение	При четырех до- рожках на ленте	нв	-45	42	-39	-37	
	ТВ приемники		нв	-30	-40	-40	нн	
Относительный уровень вкустического шума, дБ, не более	Пронгрыватели граммофонных пластинок	Приводной меха- иизм	-30	30	-34	38	НВ	

При развоорием вы частетах виль 250 «Га ( $\lambda$  > 1200 м), допускается неравномеряесть частотной дарактеристыки по зауковному даление до 18 «В в смобаку хуазым заменяни параметров В праеменияся в загальном оброзивается  $^3$  Тапие же частотные характеристым по зауковому далению должны обесечиваться со входа УЗЧ РВ праемника. Номинальный дапавлом раболих частог со кожда УЗЧ ве уже 200 —6000 Га.

электрического сигнала на выходе усилителя к минимальному при неизменном входном сигнале в номинальном рабочем диапазоне частот; обычно выражается в децибелах.

Требуемые акустические частотные характеристики РВ и ТВ приемников и электрофонов обеспечиваются при условии, что неравномерность частотной характеристики УЗЧ не более 2-6 дБ. (Об особенностях частотных характеристик усилителей магнитофонов см. разд. 5.) Вместе с тем УЗЧ обычно содержат регуляторы тембра устройства, позволяющие изменять частотные характеристики тракта усиления.

Среднее звуковое давление, развиваемое громкоговорителем, должно быть тем больше, чем выше класс аппаратуры. Это вызвано тем, что с увеличением «запаса» акустической системы по звуковому давлению уменьщается вероятность возникновения заметных нелинейных искажений при воспроизведении наиболее громких звуков, например при передаче звучания симфонического оркестра.

Нелинейные искажения. Всякий тракт усиления и звуковоспроизведения содержит нелинейные элементы. Громкоговоритель (см. § 4.3 и 4.4) тоже является нелинейной системой: создаваемое им звуковое давление не пропорционально подводимому к нему электрическому напряжению. Вследствие этого излучаемый громкоговорителем спектр звуковых колебаний содержит составляющие с частотами, которых нет в составе сигнала, поступающего на вход канала, и, как следствие, возникают нелинейные искажения. Их значение принято оценивать с помощью коэффициента гармонических искажений (сокращенно коэффициент гармоник); он представляет собой

Такой же диапазон регулирования громкости при записи.

<sup>6</sup> Для электрофонов допускается 40 дБ.

Для РВ приемников классов III и IV с автономным питанием допускается 30 дБ.

<sup>-</sup> для РВ приемников классов и и и и с авгимомным шиганием допускается от др. 7 Указанные коэффициенты гармоших при радмоприеме соответствуют коэффициенту модуляции 0,5; при коэффициенте улиции 0,8 допускаются в 1,5 раза большие экачения коэффициента гармоник. Для PB автомобильных приемияков указаны значения коэффициента гармоник по электрическому напряжению при номинальной выходной мощности

Помехи, создаваемые сигналом изображения, цепями разверток и питания.
 Помехи, создаваемые сигналом изображения, цепями разверток и питания.
 При коминальной мощности, равной: для клаеса 0 10 Вт. для клаеса 1 6 Вт. для клаеса 11 «стерео» 2 Вт. для клаесов 11 и 111 «мово» при питании от сети 1.5 Вт и при питании от автономных источников тока 0.5 Вт. Коэффициент гармоник регламентируется без учета искажений, вносимых звукоснимателем.

отношение среднеквадратичного значения знукового давления, создаваемого появившимися дополнительными колебаниями с кратными частотами (гармониками), к среднеквадратичному значению звукового давления, создаваемого колебаниями с частотой входного синусоидального сигнала.

Номинальная векхобная мощность УЗЧ Р<sub>см</sub> мощность на его выходе, пры которой громкоговорителем создается требуемое изоинальное среднея звуковое давление при коэффициенте гарамник не выше допустимого. Как видно из табл. 4.1, еме выше каса звуковоспроязодищего устройства, тем большее звуковое давление оне должно дамая поминальная выходалая мощность УЗЧ, анмая коминальная выходалая мощность УЗЧ.

Максимальная выходная мощность V34  $P_{\rm max}$  — мощность на его выходе, при которой коэффициент гармоник выходного сигнала (по напряжению) достигает 10%. Этот параметр определяют, подавая на вход усилителя синусондальный сигнал.

Вкодыме параметры УЗЧ инкерт большое значен в обеспечения должного качества звуковоспроизведения. Основными входнами параметрами усилителя являются вкодное сопрогняление в рабочем днапазоне частот Z<sub>вк</sub> и номинальное вкодное напряжения V<sub>вк</sub> т. е. действующее значение напряжения на вкоде УЗЧ, при котором получается поминальная выходная мощность (для магилтфона поминальная выходная мощность (для магилтфона поминальная рыкодная мощность (для магилтфона поминальная настранения).

Параметры ахода УЗЧ для подключеных оргономический природения  $R_{\rm col} = 10.0 \pm 1.0 \pm$ 

Папраметры входа усилителя магнитофона при запапаси от приемника устанавливает ГОСТ 12392—71. Цля такого входа в номинальном рабочем диапазоне частот должно быть  $R_{\rm sx} > 25$  кОм, а номинальное входиое напряжение 10-30 мВ.

Параметры входа усилителя магнитофона при записи с радиотрансляционной линии должны иметь следующие значения:  $R_{\rm sx}=10$  кОм,  $U_{\rm sx}=10 \div 30$  В.

Параметры входа усилителя магнитофона при работе от воспроизводящей головки. При расчете параметров усилителя магнитофона в режиме воспроизведения за  $U_{\rm вк}$ принимают напряжение, развиваеме магнитиюй головкой.

Стандартные параметры линейного выхода усилителя магнитофном. Согласно ГОСТ на бытовые магнитофном полное выходное сопротны-ление усилителя магнитофоны в рабочем диапазоне частот должно быть не более  $10~\mathrm{KOM}$ , а действущиее нарряжение на выходе, соответствующее максимальной выходной мощности калаля воспроизведения, должно быть 255-0.5. В.

Диапазон: ручного регулирования громкости звуковоспроизводящей аппаратуры должен быть тем шире, чем выше класс ее, поскольку есла акустическая система способна развивать большее звуковое давление, то может встретиться необходимость снижать то может встретиться необходимость снижать упомень громкости.

Плавное регулирование громкости как при больших, так и при малых уровиях сигнала получают, применяя переменный резистор с обратнологарифмической функциональной характеристикой (вид В—см. § 12.2). В устройствах, соответствующих классу II и выше, применяют отокмотексированные регуляторы громкости.

Допустимые фом и помеки. Чем выше классприемника, вместрофона, тем веньше долже ибать относительный уровень фона на его выходе. Последний парамет рипеделенется как отношение мапряжения, обусловленного маводкой в тракте передачи и укласивии с мастотой питающего и к напряжению полемного сигнала, соответствующего номинальной выходной мощности.

Чем выше класс тедензюра или магнитофона, тем меньше должен быть отвоительный уровень помех, возникающих в самой аппаратуре. В матнитофоне помех вносятся исто-ником питания (фон), магнитной ленгой (шумы, детонация) и сигиалами, проникающими с других заукового согровождения теленовающих образовать дени развертки и сигиалы изображения. Отностнения пределами и сигиалы и и пределами дени развертки и сигиалы и и пределами дени развертки и сигиалы и и пределами дени развертки и сигиалы и пределами дени пределами дени пределами дени пределами дени 
Параметры стерсофонических систем. Если система передачн-приема выи зарховалисьт-влуковоспроизведения является однокавальной (моюфонической), то адме аппаратура с параметрым, соответствующими высшему классу, не даст витурального заумания в том симысле, что в зиховоспроизведении не будет сакустической перспетивы» — слушатели будят чувствовать, чтотивым с том в поверхность. Отсутствир высутической перспективы сообенно замето про воспроизведении звучавия симфонического орвестра хоря и тому подобных больщих висамблей.

С помощью применяемой в настоящее время двужканальной стереофонической системы получают весьма близкую к естественной акустическую перспективу звуковоспроизведения. К двужкавальной стереофонической аппаратуре предъявляются дополингальные требования, вамейшими из которых являются селедующие: 1) различие в усиления облак каналов усиления отпольжения усиления отпольжения усиления отпольжения усиления отпольжения усиления отпольжения усиления отпольжения усиления отпольжения усиления облаков презышать 2—3 двуждения усиления у

. Отношение мешающего сигнала, пропикающего в данный капал из другого, к номинальному уровно полезного сигнала (в данном канале-переходное загухавне) практически должно быть не более 20 дБ на частотах 63—80 Гц. 25—40 дБ на частотах 200 Гц. и 5 кГц. 25—40 дБ на частотах 10 Кгц (больше зачения сигнале и 10 кгц. (больше зачения коффициать переходного затухания относятся к устройствам более высоких классов).

#### 4.2. УСИЛИТЕЛИ ЗВУКОВОЙ ЧАСТОТЫ

### Оконечные и предоконечные каскады

Выбор схемы. Оконечный каскад УЗЧ является каскадом усыснения мощности и его целессобразно выполнять по двухтактной бестрансфортакой каскад по сравнению с трансформаторным такой каскад по сравнению с трансформаторным нейные искажения, а также обладает быхе высоким КПП. Травзысторы каскада работают обычно в режиме АВ.

Бестрансформаторный оконечный каскад можно построить на транэнсторах с различными типами проводимости, как, например, показано на рис. 4.1 для случая использования одного (рис. 4.1,а,б) или двух (рис. 4.1,е,в) источников

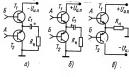
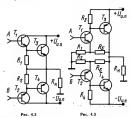


Рис. 4.1

питания. Основное различие этих вариантов заключается в способе подкрючения сопротавляють нагрузки  $R_{\rm c}$ . Наибольшее распространение получнам УЗЧ с использованием дрху источнопитания, позволяющие отказаться от необходимости применять разделительные кондемсторы большой емкости и обеспечивающие простоту реализации каксадов предварительного условняя.

Простейшие каскады на рис. 4.1 находят применение объячно в различных устройствах при  $P_{\text{вых}} < 0.1$  Вт. При большей мощности следует использовать аналогичные каскады на составых тразличающими параметрами, как показано, например, на орис. 4.2. Такие каскады находят применение в тех случаях, когда от оконечного каскада трефуется в основном необходимое усиление по току. Для получения дополнятельного усиления по папряжению в конечном каскасанаходит применение схема, приведениям из прис. 4,3 деся в каждом писем саксада имеется при диагистичной обратной слагия (R<sub>1</sub>, K<sub>2</sub>, и R<sub>2</sub>, R<sub>3</sub>). Основные по напряжению напряжению напряжению по напряжению напряжению напряжению по напряжению напряжению напряжению по напряжению напряжению напряжению напряжению по напряжению



Можно также строить оконечные каскады с так называемой квазикомплементарной выходной цепью (рис. 4.4).

Оконечные каскалы по приведенным схемам возбуждаются обычно однотактными предоконечными каскадами на транзисторах, имеющими гальваническую связь с оконечными каскадами. Для возбуждения оконечного каскада по схеме на рис. 4.1 целесообразно использовать предоконечные каскады, схемы которых приведены на рис. 4.5.а.б. При изменении полярности источника питания эти же схемы могут быть использованы и для каскада по схеме на рис. 4.1;б, при этом нужно лишь изменить на обратный тип проводимости транзистора, а также полярность включения диода и конденсатора. Из оконечных каскадов с двумя источниками питания наибольшее распространение получил предоконечный каскад по схеме на

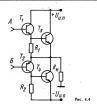
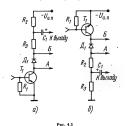


рис. 4.6 при использовании тракзистора *p-n-p* проводимости (рис. 4.6,6) и *n-p-n* (рис. 4.6,6). К ссобенностям схем на рис. 4.5 и 4.6 относится калачие цели положительной обратиой связи с выхода усилителя через конденсатор С<sub>1</sub> в точку ссединения резисторов R<sub>2</sub> и R<sub>2</sub> и обеспечивающей их малое влияние на режим работы каскадов по переменному току.



Возбуждение мощных коконечных каскадов, выполненных по схемам на рис. 4.2—4.4, обычно осуществляется от более сложного предоконечного каскада рис. 4.7) с использованием активного генератора тока на транзисторе 7, в качестве ингружан транзисторе 7, ито повозмет качестве ингружан транзистора 7, ито повозмет от от точных питания, а также получить малые ногинейзее искажения.

Как следует из рис. 4.5—4.7, напряжение Смещения для оконечного каксяда, определяющее ток поком выходных транзисторов, зависит от падения напряжения кам в заементах, включенных между точками А и Б. При малом необходимо напряжения смещения (0,7—1,5-В) целесообразно использовать последовательную цель из одного или некольких диодом и рези-

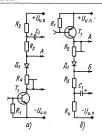
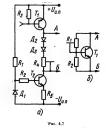


Рис. 4.6

стора с небольшим сопротивлением, а при большем напряжении смещения — цепь с транзистором (например, рис. 4:7,6).

Для надежной работы УЗЧ обычно требуется термостабилизация тока покоя выходных тран-



зисторов, что достигается использованием в цепях напряжения смещения терморезисторов или установкой диодов и транзисторов в -посредственной близости от радиаторов выходных транзисторов с обеспечением теплового контакта.

Расчет бестрансформаторного оконечного каскада. При расчете оконечного каскада заданными параметрами являются номинальная выходная мощность —  $P_{\text{now}}$  и полное входное сопротивление нагрузки —  $Z_{\text{и}}$  (обычно стандартизованные сопротивления головок громкогово-

рителей, см. табл. 4.4). В результате расчета должны быть определены: номинальное напряжение источника питания каскада  $U_{\pi\pi}$  и потребляемый от-него средний ток  $I_{Kep}$ , типы транзисторов и параметры элементов.

При определении расчетной мощности  $P_{\rm pscu}$  оконечного каскада следует учесть, что она больше  $P_{\rm mox}$  на величину потерь в эмиттерных резисторах и делителе цепи отрицательной обратной связи:

$$P_{\text{pace}} \ge 1.1 P_{\text{now}}$$
. (4.1)

Напряжение источника питания  $U_{\rm H\, B}$  (одного или суммы двух) определяется по формуле

$$U_{\text{R,I}} = 2 \left( \sqrt{2P_{\text{DAC}}, Z_{\text{H}}} + U_{\text{KB HAC}} \right),$$
 (4.2)

где  $U_{\rm K3\,mc}=0.4\div0.5$  В для германиевых сплавных транзисторов, 0.6—0.7 В для германиевых сплавно-диффузионных, до 2 В для германиевых конверсионных и 2—5 В для креминевых с применением диффузионной или планарной технологии (см. § 12.14).

Амплитуда тока коллектора транзисторов оконечного каскада  $I_{\rm Kmax}$  и среднее значение тока, потребляемого от источника питания  $I_{\rm Kep}$ , находятся по формулам:

$$I_{\text{Kmax}} = \sqrt{2P_{\text{pacy}}/Z_{\pi}}; \quad (4.3)$$

$$I_{K co} = I_{K max}/\pi$$
. (4.4)

Максимальная мощность рассеяния на коллекторе транзистора одного плеча составляет

$$P_{Kmax} \approx 0.5 P_{pace}$$
. (4.5)

При выборе типов транзисторов  $T_3$  и  $T_4$  в каскадах по схемам на рис. 4.2-4.4 следует руководствоваться соотношениями

$$U_{\text{K3aon}} > 1.2 U_{\text{H.n}}; I_{\text{Kaon}} > (1.2-1.3) I_{\text{Kmav}};$$
(4.6)

$$P_{K_{ROB}} \ge P_{K_{MAX}}$$
;  $f_B > (2-4)f_B$ , (4.

 $P_{K_{ROB}} \gg P_{K_{max}}$ ;  $f_{\beta} > (2-4)f_{B}$ , где  $\hat{f}_{\beta} =$  граничная частота усиления транзисто-

ра при включении с ОЭ:

$$\hat{f}_{\beta} \approx \hat{f}_{\alpha}/\beta$$
. (4.7)

Здесь f<sub>в</sub> — верхняя граничная частота воспроизводимого диапазона частот УЗЧ.

водимого диапазона частот, уз.ч. Транзисторы  $T_1$  и  $T_2$  в каскадах на рис. 4.2—4.4

должны удовлетворять условиям  $U_{K \ni max} > 1.2 U_{\pi : i} I_{K max} > I_{K max} / h_{24}$ :

$$P'_{Knos} \ge P_{Kmax}/h_{21s}; f_8 > (2-4)f_8,$$
(4.8)

где  $h_{21}$ , — статический коэффициент усиления тока транзисторов  $T_3$  и  $T_4$  (см. рис. 4.2-4.4) при включении с ОЭ, в режиме большого сигнала.

Сопротивления резисторов  $R_1$  и  $R_2$  в каскадах на рис. 4.2, 4.4 некритичны и обычно выбираются от 50 ло 200 Ом. При использовании на выходе УЗЧ разделительного конденсатора его минимальная емкость в микрофарадах находится по фоюмуле

$$C = 2 \cdot 10^5 / (f_{\nu}z_{\nu}),$$
 (4.9)

где f<sub>н</sub> — нижняя граничная частота воспроизводимого диапазона частот УЗЧ, Гц.

### Каскады предварительного усиления

Входиме каскады УЗЧ предизагаеты для отпимального согласования водного согротивления усилителя с выходими сопротивления усилителя с выходими сопротивления усилителя с выходими сопротивлением данным источнымо зауковых сигналов при обеспечении минимального уровия шумов и наводо, а также компенсации частотных исклажений или предаскажений, свойственных данному источных сигнала. Куюче того, входиме каскады имя среднего уровия сигнала от данного источных сигнала от данного источных сигнала от данного источных сигнала от данного источных сигнала и кнекторому стандаютному точных сигнала от данного источных сигнала и кнекторому стандаютному точным

под делем в смог произу связают имогу руковичествова и станатор по технять у смог под технять у смог под технять у смог под технять у смог под технять у смог под технять и смог под те



Рис. 4.8

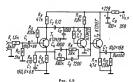
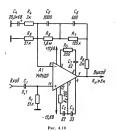


Рис. 4



ную характеристику воспроизведения в диапазоне 20 Ги—20 кГц при коэффициенте усиления на частоте 1 кГц около 40 дБ.

Промежуточные каскады УЗЧ объчно выполизнотк па транзачегорах по схеме ОЭ или на мякросхемах с использованием гаубоких отрицательных офратных связей по переменному постоянному току. Частотные характеристики этих усилителей обычно линейны в широком диапазоне частот, а коэффициенты усиления могут значительно пименяться. На рис. 4.11 и 4.12

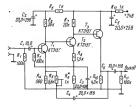
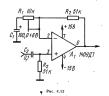


Рис. 4.11

приведены варианты наиболее целесообразного построения промежуточных каскадов УЗЧ.

В качестве каскадов предварительного УЗЧ портативных РВ и ТВ приемников, в том числе и автомобильных, целесообразно использовать интегральные микросхемы серий К157, К224, К235, К140, К553, К153.

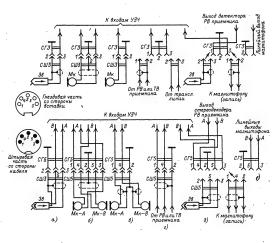


Типовые схемы подключения источников сигналов к входам УЗЧ РВ приемников, радиол, электрофонов и магнитофонов через стандартные штепсельные разъемы типов СШЗ-СГЗ и СШ5-СГ5 показаны на рис. 4.13; схемы в верхнем ряду относятся к монофоническим, а в нижнем к стереофоническим звуковоспроизводящим устройствам и магнитофонам; цепи левого и правого стереоканалов обозначены буквами А и В соответственно. На рис. 4.13,а приведены схемы разъемов для подключения звукоснимателей к РВ приемникам и электрофонам, на рис. 4.13.6-г для подключения к магнитофонам микрофонов с симметричными, несимметричными выходами и трансляционной линии соответственно. На рис. 4.13,д. показана схема устанавливаемых на приемниках (радиолах) гнездовых частей разъемов, через которые подают на входы из УЗЧ сигнал от звукоснимателя либо снимают сигнал для записи на магнитофон, а на рис. 4.13,е - схема гнездовой части разъема на линейном выходе магнитофона.

### Регулирование усиления

Наиболее распространенным способом регулирования усиления (громкоги) является потенциометрическая регулировка. Она осуществляется са введением во входиую аим межаксайствоцепь усилителя регулировочного потенциометра и работает при соотношения  $R_{\rm max}R_{\rm p}$  выполняется при соотношения  $R_{\rm max}R_{\rm p}$  бильно при выхочения распрасобного при выхочения по митерыми потогрителями или при применения, после регулитора каскада на полевом транзисторе.

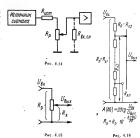
Потенциометрическая регулировка громкости комст быть плавной (рис. 4.15) и ступенчатой (рис. 4.16). При плавной регулировке в качетие потенциометра R<sub>2</sub> следует использовать переменные резиленом с функциональной харажмерности заменения громкости звуховоспроизведения при различных уровнях входивых сигналов. При ступементой регулировке потенциометр R<sub>2</sub> при ступементой регулировке потенциометр R<sub>3</sub> при ступементой регулировке потенциометр R<sub>3</sub> пред вага

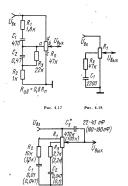


PHC. 4-12

состоит из ряда последовательно соединенных резисторов, количество которых и соотношение их номиналов определяют диапазон и закон регулирования.

При использовании простых регуляторов усиления (см. рис. 4.15, рис. 4.16) уменьшение громкости создает у слушателя ощущение изменения тембра звучания: значительно большее уменьшение относительной громкости составляющих нижних и верхних частот по сравнению со средними частотами. От этого недостатка свободны тонкомпенсированные регуляторы громкости, у которых регулирование осуществляется в соответствии с кривыми равной громкости. Тонкомпенсированное регулирование громкости осуществляется обычно с помощью переменных резисторов с одним (рис. 4.17, 4.18) или двумя (рис. 4.19) отводами, к которым подключаются цепи RC. Схема на рис. 4.18 рассчитана на использование переменных резисторов ВКУ-1а, ВКУ-16, СПЗ-8 и т. п., а схема на рис. 4.19 — резисторов ВКУ-2а, ВКУ-26 или СП3-7.





### Регулирование тембра

Регулирование тембра, т. е. изменение относительной громкости воспроизведения различных частей рабочего диапазона звуковых частот, применяется для получения оптимального звуковоспроизведения при различных источниках сигнала.

Pac. 4.19

Необходимость в регулировании тембра связа, я с субъествыми особенностями восприятия звуха ухом человека и осуществляется взаимонезависными маненением АКХ усклителя с понезависными маненением АКХ усклителя с поферента и получествляется в получествляется поферента и получествляется по позначения по поставили по поставителя по потембра различают по типам используемых элементов на пассивые и активные, а также по форме регулировочных характеристы и комичеству одновремного регулировами частотных

К достоянствам пассивных регуляторов тембра относится простота их реализации, т. к. они состоит талько из резисторов и конденсаторов. На рис. 420 приводень типовая слежа такого из регуляторов и конденсаторов, и соотношения между поминалами ремісторов и соотношения между поминалами ремісторов и конденсаторов, обеспечивающие регулярование затухания на двух частотях: 100 Ги. (нижние частоты) в пределах сметоты) в пределах сметоты до пределах сметоты на пределах см

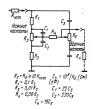


Рис. 4.20

±12 дБ. При, несовпаденни рассчитанных номина, лов со стандартными следует применять ближайшие к стандартным.

При использовании пассивных Т-мостов следует учитнявать, тот плавность регуацирования в них возможно волучить только при применения переменных ресисторов с фукциональной характеристикой типа В, а также при выполнения условно гот доскования по вхолу и выходу условно гот доскования по вхолу и выходу быть не боате (100—50) См. а сопротивление ваточаки не менее 15—30 См. а сопротивление ваточаки не менее 15—30 См.

К недостаткам пассивных регуляторов тембра относится ослабление на 20-25 дБ средних частот полосы воспроизводимого диапазона сигналов независимо от положения движков регуляторов тембра и примерно такое же ослабление на всех частотах в диапазоне 100 Ги — 10 кГи при установке движков регуляторов тембра в положение, соответствующее линейной частотной дарактеристике. Устранение затухания в таких регуляторах тембра, т. е. обеспечение коэффициента передачи K=1, может быть достигнуто только при использовании дополнительного усилителя, как показано, например, на рис. 4.21. В этом случае эмиттерный повторитель на транзисторе  $T_1$  согласует выходное сопротивление источника сигнала со входом Т-моста. Каскад усиления на транзисторе Т<sub>2</sub> компенсирует вносимое T-мостом ослабление, а  $T_2$ обеспечивает согласовачие по выходу с последующим устройством.

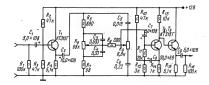


Рис. 4.21

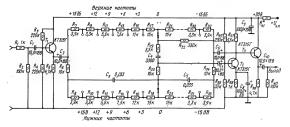


Рис. 4.22

плавность регулирования достигается здесь использованием переменных резисторов с функциональной характеристикой тила A.

При значительных отклонениях частотных характеристик источников сигналов от линейных приведенные регуляторы тембра оказываются недостаточно эффективными. В связи с этим высо большее распространение получают многочастотные или многополосные регуляторы тембра, позволяющие осуществлять одновременную и взаимонезависимую регулировку на некольких обычно пяти или шести, частотах. Сред них обычно пяти или шести, частотах. Сред них на применения объявляет регулиторы, на применения объявляет регулиторы, на применения применения применения и применения и применения и применения и применения полосы. На рис. 423, а приведена секая звейз опного из наибоже простъх в регулиторы тембра с приженением операционного усилитата, в на рис. 423, б —

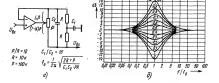


Рис. 4.23

нормированная регулировочиая характеристика. Отдельные звенья регулятора соединяются последовательно в выбранном наборе. В табл. 4.2 приведены номиналы резисторов и конденсаторов для 10 звеньев со средними частотами, перекрывающими диватазон от 33 Гг. до 15 КГи.

Таблица 4.2. Номиналы резисторов и конденсаторов для 10 звеньев

f. Fu	С, нФ	Реализация в комбинации, нФ	С₂, нФ	Реализация в комбинации, нФ
33	2050	1000 + 1000	136	68+68
65	1040	680 + 330	69	47+22
125	540	470 + 68	36	33+3,3
250	270	220 + 47	18	15+3,3
500	135	100 + 33	9	6,8+2,2
1000	68	68	4,5	2,2+2,2
2000	34	33 + 1	2,25	2,2
4000	17	15 + 2.2	1,13	1+0,1
8000	8,5	6.8 + 1.5	0,56	0,47+0,1
15 000	4,5	4.7	0,3	0,22+0,068

### Регулирование стереобаланса

Этот вид регулирования применяется в стереофонических усилителях и служит для перераспределения усиления между каналами. Пры этом обязательным условем регулирования является постоянство суммарного усиления каналов, что достигается при одковремением ослабления уровня сигнала в одном канале и увеличении уровня сигнала в другом.

Регулятор стереобаланся может осуществлять зажектрический баланс, т. е. равенство коэффициентов усиления по напряжению в каждом из каналов, а также и акустический баланс, пры котором обсепечивается равенство звуковых давлений от громкоговорителей в зоне прослушивания,

В качестве регуляторов стереобаланса можно применять одиночные или сдвоенные переменные резисторы. На рис. 4.24, 4.25 приведены типичные схемы включения регуляторов стереобаланса.

Переменные резисторы в регуляторах на рис. 4.24 следует выбирать с функциональной характеристикой вида Е/И (см. рис. 12.8),



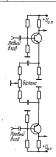


Рис. 4.25

обеспечивающей наименьшие потери в усилении 0,5—1 дБ по сравнению с использованием переменных резисторов с другими характеристнками. В регуляторе на рис. 4.25 целесообразно использовать переменные резисторы с функциональной характеристикой вила А.

### Рекомендуемые схемы УЗЧ

Простейший УЗЧ по схеме на рис. 4.26 имеет иминальную выхолную мощность 60 мВт при сопротивлении нагрузки 6 Ом и наприжения источника питания — 9 м, учдетвительность 18 мВ, рабочая полосо частот 450 п. — 3 кП. систем и пределативления и предусменного пределативления по ступных предусменного смененого каскада. Входной сигная на училитель поступает с регулятора громости

Усилители на микросхемах. Варианты практических схем УЗЧ с применением микросхем в качестве каскадов предварительного усиления,

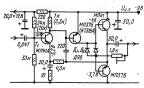
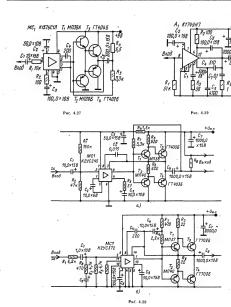


Рис. 4.24



а также в качестве усилителей мощности приве-Таблица 4.3. Параметры УЗЧ на микросхемах дены на рис. 4,27-4,30, а табл. 4,3 указаны

их параметры. На рис. 4.27 приведена схема УЗЧ с оконечным бестрансформаторным двухтактным каскадом на составных транзисторах различного типа проводимости. Отрицательная обратная связь по напряжению, охватывающая все каскады усилителя (через цепь  $R_2C_3$  и внутренние элементы микросхемы), создает условия работы усилителя мощности без подачи начального смещения, обеспечивая при этом малые нелинейные искажения в широком диапазоне амплитуд входного сигнала.

Параметр	Рис.	4.27	. P	ис. 42	8	Рис	4 29
f <sub>H</sub> . Ги f <sub>B</sub> . вГи f <sub>B</sub> . вГи f <sub>BOTO</sub> мА R <sub>H</sub> . Ом P <sub>BAN</sub> . ВР K <sub>1</sub> . %, не более U <sub>BN</sub> . мВ R <sub>SX</sub> . КОм, не менее	50 15 9 - 6,5 0,5 0,3	50 15 12 - 6,5 1,5 1,0 30	80 12 6 1,7 4,0 0,25 1,0 7,0	80 12 9 4.0 4.0 0.8 1.0 12,0	80 12 12,8 5,5 4,0 2.0 1.0 19,0	40. 20 15 20 4.0- 2.5 2.0 50	

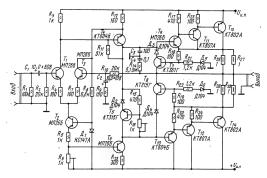


Рис. 4.30

В УЗЧ по схеме на рис. 4.28 применены выходные транзисторы средней мощности типа p-n-p, а фазонивертирование осуществляется па-

рой тракзисторов различного типа проводимости. Усилитсь по схеме на "рис 4.29 не содержит , дополнительных транзисторов, увеличивающих мощность. Цень  $R_2G_2$  создает так называемую вольтадобавку. Резистор  $R_3$  определяет коэффициент усиления устройства, а конденсаторы  $G_3$ .  $G_1$ .  $G_2$ . Обеспечивают устойчивость его работы.

Оконечный усилитель с выходной мощностью до 40 Вт может быть выполнен по схеме на рис. 4:30. В табл. 4.4 приведена зависимость выходной мощности усилителя от напряжения питания и сопротивления нагрузки.

Таблица 4.4

Unn. B	= 30		± 25		±20		± 15	
$P_{\mathrm{BHX}}$ . Ом $P_{\mathrm{BHX}}$ . Вт	4	8 40	4.	8 28	4 30	8 15	4 16	8

При всех режимах работы усилителя нелинейные искажения не превышают 0.3%, диапазон воспроизводимых частот 20  $\Gamma$ u — 20 к $\Gamma$ u, входное сопротивление не ниже 15 к $\Omega$ м, отношение ситвал/шум не менее 75 дБ.

### 4.3. ГОЛОВКИ ГРОМКОГОВОРИТЕЛЕЙ

### Основные характеристики

Полног электрическое сопротивление головкие проможеловорительней вы выполнять по проможеловорительней вы проможенном току, измерение на зажимах толовки на основной частрет межанического резонанса подвижной системы головки  $I_0$  импеданс доститега значительной величным и с попижение частоти быстро пвадает до сопротивления звуковых настими построянному току. На верхики заркужовых частотах 2, постепенно растет из-за влияния на помужение проможение проможение на помужение проможение проможение на проможение проможение на проможение проможение проможение на проможение проможение на проможение проможение на проможение проможение на проможение н рования подвижной системы головки полное сопротивление на частоте fo уменьшается.

За номинальное значение г, принимают полное электрическое сопротивление на частоте I кГц или минимальное его значение в диапазоне частот выше частоты основного механического резоняися.

Номинальная мощность  $P_{\text{воч}}$  — наибольшая подводимая к головке громкоговорителя электрическая мощность, при которой вносимые головкой нелинейные искажения не превышают определен-

Номинальную мощность головки громкоговори-

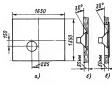
теля в ваттах выражает число в начале обозначения. Например, 1ГД-28 — головка громкоговорителя динамическая номинальной мощностью

1 Вт. модель 28. Паспортная мощность — наибольшая ненскаженная мощность усилителя, от которого головка громкоговорителя может длительное время удовлетворительно работать на реальном звуковом сигнале. Паспортная мощность обычно

в 1,5—2 раза больше номинальной мощности. Акустическая мощность — средняя во времени мощность сигнала, нзлучаемого головкой гром-коговорителя.

Частотная характеристика— зависимость от частоты развиваемого головкой громкоговорите ля звукового. давления в Нёкоторой фиксированной точке звукового поля (обычно эта точка лежит на акустической оси) при постоянной

амалитуле напряжения сигнала на ее зажимах. Вид частотной характеристики определяется условиями испатаний и частичко выходима ристику толовы громкоговорителя обычно синмати в открытом воздухе или в заглушенной камере. При имеренния гломову устанавливают в стандартной акустический экраи лил в се объячное акустическое оброжаемие. На рис. 4.31, д рана, в на рис. 4.31, бл показаны два способа рана, в на рис. 4.31, бл показаны два способа в решения в нем головки громкоговорителя.



PHC. 4.31

Частотная характеристика головки в помещении весьма нерегулярна: неравномерность на отдельных частотах может достигать 25 дБ и более; форма частотной характеристики может меняться при перемещении головки и измерительногомикрофона.

Слишком малое выходное сопротивление усилитал, используемого в испытаниях, может ослабить излучение звуков инжинх частот, а слишком высокое обычно приводит к выделению узкой полосы частот вблизи  $f_0$ .

Номинальный диалазон частот — днапазон звуковых частот, в пределах которого неравномерность частотной характеристики головки, измеренной на ее акустической оси, не превышает заданного значения.

Стандартное звуковое давление Pet — звуковое давление, развиваемое головкой громкоговорителя в точке, лежащей на его акустической оси на расстоянии 1 м, определяемое при подведении к зажимам напряжения, соответствующего мощности 0,1 Вт при номинальном электрическом сопротивлении головки.

Среднее стандартное звуковое давление  $P_{crop}$  — среднеарифметическое из значений стандартных звуковых давлений на частотах ряда 16, 20, 25, 32 Гц и т. д. через 1/3 октавы, которые входят в номинальный диапазон частот головки громковительный диапазон частот головки громко-

говорителя. Колффициент нелинеймых искажений — отношение действующего суммарного звукового двяления на всех частотах, отличных от частоты подводимого к головкам громкоговорителя синустительного наприжения, кабетвующему экона всех частотах, включая частоту подводимого нав всех частотах, включая частоту подводимого напряжения, вывражение в поцентах.

Нелинейные искажения вызываются главным образом нелинейностью упругости подвесов подвежной системы головки и проявляются при относительно больших амплитудах ее колебаний, на средики верхики закуомых частотах искажения этого рода незначительны, но быстро растут пои поинжении частоти.

Коэффициент нелинейных искажений, связанных с неоднородностью магнитного поля в рабочем зазоре, при малых амплитудах обычно не превышает 1%; при больших амплитудах он увеличивается.

Нелинейные искажения зависят от акустического оформления головки громкоговорителя. Непример, если головка установлена в правильно рассчитанном фазоинверторе, то искажения, вызванные нелинейностью упругости подвесов, уменьшаются.

Если головка тромкоговорителя воспроизводит допороженом зорки двух истотт ; n и, f причем  $f_1$  — мало), то в результате нелинейвых искажений (значительных на инжих частотах) выможно тольный модулированный звух, спектр которого содержит новые частоты  $m_1 \ge m_1$  (m = 0, 1, 2, ...; n = 0, 1, 2...). Например,  $m_1 = 0$ ,  $m_2 = 0$ ,  $m_3 = 0$ ,

Иногла исклажения вследствие модуляции оценивают квадратывы корнем на отношения энергии комбинационных частот к общей зауковой вергии. Это величита примере б кГц) и на верхней частоте (в нашем примере б кГц) и на ферминент в примере в кГц) и на ферминент в примере в кГц и на ферминент в примерением от уменьщить применением отдельных головок для воспроизведения инализи, и верхних частот.

Демпфирование определяет точность воспроизведения головкой коротких звуков. Количественно демпфирование оценявают добротностью головки

$$Q = 2\pi f_0 M/R$$
, (4.9)

где М — сумма масс подвижной части громкого-

ворителя и соколеблющегося воздуха; R — сумма механического сопротивления в подвижной части, сопротивления и приведенных к мезанической системе электрического сопротивления катушки головки и выходного сопротивления усилителя.

Добротность можно изменить введением поглащающего материала в футлар», в котором устаповлена головка, изменением выходного сопративаения усилителя ими обоми способами. Выходиое сопротивление усилителя может быть ученьшем ро невачительной величины использованием отрицательной обратной связя по напряжению. Ниота для узучиния демифирования от поста для узучинательной обратную сизы по току в комбинации странательной обратной связью по напряжению.

# Типовые отечественные головки громкоговорителей

Головки громкоговорителей (динамические, прямого излучения) делят на следующие три основных вида, каждый из которых характеризуется номинальным диапазоном частот:

ш и ро к о п о л о к и в — обеспечивающие вогроизведение полной полоси частот, соответствующей тому или иному классу радиолы, эсятрофома магнитофона; инживя частота рабочего дияпазона широкополосных головок различных типов,  $f_{\rm h}=63+12.5$  кПи, а верхияя  $f_{\rm h}=5+12.5$  кПи, а Наиболее широким дияпазоном частот обладают головик с моминальной мощностью 3-4 Вт, предизаначенные для звуковстроизводимих устройств I класса, а наиболее узким — головых малой поминальной мощности, используемые в переспотой липаратуре; обчего дияпазона 40-60 Гп и верхия и е более 5 кГи:

среднечастотные — с инжией частотой динавома 200 Гц и верхней не более 5 кГц; высокочастотные, обладающие рабочим динаваюмом частот от 2—5 до 18—20 кГц. Головки 0,25ГД-10,0,5ГД-30,05ГД-37, ІГД-37 и ІГД-39 (табл. 4.5) предлавлячены для переносных радиоприемников, телевьоров, магнитофнов и электрофонов с отраниченымии полосой

пропускания и выходной модностью. Головки широкополосные с малой неравномерностью частотной характеристики и верхней частотой дмапазона 12,5 кГц и выше предназначены для стационарных радиоприемников, радиол, телевизоров, магнитофонов и электрофонов с широкой полосой пропускания

Головки 4ГД-8Е и 6ГД-3, имеющие повышенную чувствительность и высокую механическую прочность, предназначены для автомобильных радиоприемников.

Таблица 4.5. Данные головок громкоговорителей динамических прямого излучения

Номинальный диапазон

1 Неравномер-			1	Среднее стан-	Полное элект-		
Тип головки кость частоткой характернстики дБ, не более	ктеристики, с г.		Частота резо- нанса f <sub>a</sub> , Гц дартное звуки вое давление Па, не мене		рическое номи- нальное сопро- тивление, Ом	Размеры, мм	
		Широ	кополосные				
0.25(T.1.0) 15 0.55(T.1.30) 15	315 125 239 315 1100 1100 1140 1000 1140 1100 1100 11	5,0 10,0 10,0 10,0 10,0 11,1 12,5 12,5 10,0 10,0 10,0 10,0 10,0 10,0 10,0 10	290 ± 60 123 ± 50 230 ± 50 300 ± 50 100 ± 20 100 ±	0.20 0.30 0.30 0.20 0.20 0.28 0.28 0.28 0.28 0.30 0.30 0.28 0.28 0.30 0.28 0.30 0.20 0.30 0.20 0.30 0.20 0.30	8.0 16.0 8.0 8.0 8.0 8.0 8.0 8.0 8.0 8.0 8.0 8	63 × 63 × 28,5 125 × 80 × 47 125 × 80 × 47 125 × 80 × 47 125 × 80 × 47 160 × 100 × 58 160 × 100 × 58 160 × 100 × 54 160 × 100 × 64 160 × 100 × 46 160 × 100 × 47 160 × 100 × 40 160 × 100 × 100 160 × 100 × 100	

Продолжение табл. 4.5

	Неравномер- ность частотной		ый диалазон	,,	Среднее стан-	Полное элект-								
Тип головки	характеристики, дВ, не более	f <sub>n</sub> , Γu f <sub>n</sub> , κΓu		Частота резо- нанса f <sub>0</sub> , Гц	дартное звуко- вое давление, Па, не менее	рическое ножн- нальное сопро- тивления, Ом	Размеры, мм							
-	Низкочастотные													
6ГД-2 6ГД-6 8ГД-1 10ГД-30 10ГД-34 25ГД-26 30ГД-1	15 15 10 15 —	40 63 40 63 63 40 30	5,0 5,0 1,0 5,0 5,0 1,0	30±3 80±8 25±5 32±8 —	0,27 0,10 0,20 0,15 0,10 0,12 0,15	6,3* 4,0 8,0 8,0 4,0 4,0 4,80	252×135 125×80 252×135 140×126 125×73 200×125 250×151							
				<i>частотные</i>										
4ГД-6 15ГД-11	10	200 250	5,0 5,0	160±30	0,2 0,2	-4; 8.0	80×80×38 125×125×75							
			Высок	очастотные										
0,5ГД-36 -1ГД-3 2ГД-36 3ГД-2 3ГД-31 6ГД-11 10ГД-35 6ГД-13	16 10 15 10 15 	1000 5000 2000 5000 3000 3000 5000 3000	16.9 18,0 20,0 18,0 18,0 28,0 25,0 20,0	2500 ± 500 4500 ± 700	0.15 0.30 0.20 0.25 0.20 0.20 0.20 0.25	10 12,5 8,0 15,0 8,0 8,0 15,0 8,0	$\begin{array}{l} 80\times80\times34.5 \\ 70\times70\times33 \\ 80\times50\times35 \\ 80\times80\times39 \\ 100\times100\times48 \\ 50\times50\times48 \\ 100\times100\times47 \\ 100\times100\times47 \\ \end{array}$							
	*		Разные, уст	аревших тип	08									
0.055 FL-2 0.065 FL-2 0.065 FL-2 0.51 FL-2 0.11 FL-3 0.11 FL-5 0.11 FL-5 0.11 FL-5 0.15 FL-1 0.55 FL-2 0.55 FL-2 0.55 FL-2 0.55 FL-3 11 FL	18 18 18 18 18 18 18 18 18 18 15 15 15 15 15 15 15 15 15 15 15 15 15	1000 700 700 630 440 440 440 410 410 410 410 410 410 41	3.0 2.5 2.5 3.15 3.16 3.15 3.15 3.15 3.15 3.15 3.55 5.0 6.3 5.0 10.0 10.0 10.0 10.0 10.0 10.0 12.5 5.0 12.5 12.5 12.5 12.5 12.5 12.5 12.5 12.5	500 ± 100 600 ± 100 600 ± 100 500 ± 100 500 ± 100 500 ± 100 500 ± 100 600 ± 100	0.15 0.15 0.15 0.15 0.20 0.20 0.20 0.20 0.20 0.20 0.20 0.2	60.0 6.5 10.0 10.0 10.0 10.0 10.0 10.0 6.5 6.5 6.5 6.5 6.5 6.5 6.5 6.5 6.5 6.5	49×16 49×8 40×16 50×20 50×20 50×27 60×27 70×36 100×27 70×36 100×37 70×36 100×37 80×31 150×30 15							

Примечание. В графе «Размеры» для головок с круглыми дивфрагмами указаны диаметр и высоти, а для головок эллиптической формы — размеры большой оси, малой оси эллипса и высота.

Головки низкочастотные, среднечастотные й высокочастотные предназначены для использования в многомолоных акустических системах высшего класса, причем головки 6ГД6, 10ГД-30, 10ГД-34, 3ГД-31 — специально для малогабаритных выносных акустических систем.

### Малогабаритные акустические системы заводского производства

Серийно выпускаются выносные громкоговорители («акустические системы») (табл. 4.6),

Таблица	4.6.	Основные	параметры	выносных	акустических	систем

	. Параметры												
Система	Номинальный днапазон воспроизводимых частот, Ги		Паспортная мощность, Ві	Среднее стандартное звуховое давление, Па	Полное электрическое сопротивление, Ом	Головка динамическая	Габариты, мм	Macca, KF					
3AC-3	125 10 000	3	4	0,2	4	3ГД-38	210×280×150	4,5					
4AC-2	125 -16 000	4	8 .	0.2	4	4ГЛ-43, 3ГД-31	173 × 272 × 100	2,5					
6AC-2	63 - 18 000	. 6	20	0.1	4	10ГД-34, 3ГД-31		4					
6MAC-4	63-20 000	6	20 16	0,2 0,1 0,1	4	10ГД-34, 3ГД-31	270×160×190	4					
8AC-2	40 18 000	8	16	0,1	4	8ГД-1, 4ГД-6, 3ГЛ-2	620×360×270	20					
8AC-3	100 - 10 000	8	15	0.2	2	2×4ΓД×35	470×270×170	5					
10MAC-1M	63-18 000	10	20.	0.15	8	10ГД-30, 3ГЛ-31	428 × 270 × 230	8,5					
6ACIII-2	100-12 500	6	12 25 30	0.09	4	6ГД-6, 6ГД-11	Ø 190	2.6					
15AC-1	63-20 000	15	25	0,11	4	2×6ГД-6, 3ГД-31		7					
20AC-1	63 - 18 000	. 20	30	0,25	16	4×4ГД-43	313×250×440	10					
20AC 2	40 18 000	20	40	0,15	16	2×3ГД-31 2×10ГД-30 4×3ГЛ-31	630×340×235	30					
25A C-2	40 20 000	25	35 .	0,11	4	25ГД-26, 6ГД-6, 3ГД-31	480×285×250-	12					
35A C-1	30-20 000	. 35	70	1,0	4	30ГД-1, 15ГД-11 10ГД-35	710×360×282	27					
			-			101 Д-35	'						

Примечание. Неравномерность частотной характеристики в моминальном диапазоне частот системы 6AC-2-20, 6ACIB-2, 10MAC-1M и 15AC-1-15, остальных — 18 дБ

которые могут использоваться в комплекте с бытовой аппаратурой для высококачественного воспроизведения стереофонических и монофонических звуковых программ.

## Простейшие измерения параметров головок громкоговорителей

Полное электрическое сопротивление головки обмино измеряют по схеме на рис. 4.32 при постоянстве амілитуды тока. Сопротивление балластного резистора  $R_1$  должно не менее чем в 20 раз превышать сумму ориентировочного



Рис. 4.32 Максимального полного электрического сопротивления громкоговорителя и выходного сопротивления заукового генератора 3T. Сопротивление образцового резистора  $R_2$  должно быть известно  $R_3$  масто для порядок с предпотагаемым

сопротивлением головки. Напряжение, подаваемое на головку, должно быть не более напряжения, соответствующего  $0.1\ P_{\text{Nov}}$  на частоте

 $1\ \kappa\Gamma$ ц. Измерив вольтметром V падение напряжения на резисторе  $R_2$  и на зажимах головки, по закону Ома можно определить полное электрическое

сопротивление головки.

Полная масса подвижной системы М., Частоту механического резонаися головки  $f_0$  определяют по максимуму его полного электрического спорогивления на цинжину частотах. Затем к диффузору головки прикрепляют известную массу m и находят новую резонансную частоту  $f_0$ 1, гогда и находят новую резонансную частоту  $f_0$ 1, гогда

$$M_r = mf_{0,1}^2/(f_0^2 - f_{0,1}^2)$$
. (4.10)

Гибкость подвесов

$$C_r = 1/[(2\pi f_r)^2 M_r],$$
 (4.11)

Добротность полной механической цепи головки

$$Q = \frac{\int_{n}}{2\Delta f} \frac{R_{\text{aux}} + R_{\text{s}}}{R - R_{\text{s}}}, \qquad (4.12)$$

где  $R_{\rm int}$  — выходное сопротивление усилителя;  $R_{\rm x}$  — сопротивление катушки громкоговорителя постоянному току; R — полное электрическое сопротивление громкоговорителя на частоте  $f_{\rm b}$ : 24f — ширина резонянского пика полного сопротивления на уровне — 3 дБ (0,707) по отношению  $E_{\rm tot}$ 

### 4.4. РАСЧЕТ И КОНСТРУИРОВАНИЕ АКУСТИЧЕСКИХ СИСТЕМ

### Общие положения

Акустическим оформлением головки (излучающей системы, состоящей из труппы головом называют конструкцию (футяр), ящим), в которой головка устанавливается. Для делюфовическое оформление головки в большинстве случаев выполненств в выде футяра, в котором смотированы остальные бломы и конструктивных замы аппаратуры. Применяют также выпосное акустическое оформление головки, сосбению в стемутическое оформление головку, сосбения в стемутическое оформление головку, сосбения в стемутическое оформление головку, сосбения в стемутическое оформление головку, сосбения с техническое оформления с потанымых участей аппаратуры футярарах или на акустических эмранах, имеющих выд деревенных цитого.

зърапала, мясопиль опад перевяннях цигов. Важнейшей задачей акустического оформления является защита передней стороны диффузора слоявки от зауковых воля, излучаемых его задкей стороной. От эффективности этой защиты в большой степени заявкит изижия граница рабочего диапазона частот звуковоспроизводящего устройства.

Головки громкоговорителей в РВ приемниках и радиолах. В перенасном приемника сполозучется объячно динамическая головка с большим стандартным звуковым давлением. Из-за небольших размеров такая головка не может эффективно излучать звуки наиболее низких частот.

Частотная характеристика коэффициента передами усилителя переносного приемника, как правило, должна иметь некоторый подъем на верхних частотах и резкий с пад после 3-4 кГц для увеличения акустического отношения сигнал/

шум. В стационарном РВ приемнике или радиоле головка размещается в ящике с картонной, перфорированной, т. е. по существу открытой, задней крышкой вместе с приемно-усилительной частью. Обострение характеристики направленности головки на верхних частотах приводит к уменьшению в звуковом поле перед громкоговорителем доли отраженных от поверхностей помещения звуковых волн и часто неприятно для слуха. Поэтому в РВ приемниках классов I и высшего кроме двух основных головок, расположенных на фронтальной стенке ящика и излучающих звуки нижних и средних частот. часто имеются две или более ВЧ головок, ориентированных под разными углами. Это приводит к расширению характеристики направленности на верхних частотах и к увеличению доли отраженной звуковой энергии, что часто связывают с понятием «объемное звучание».

Головки громкоговорителей в телевизорах. В ТВ приемнике большую часть фронтальной панели занимает экраи кинескопов, поэтому головки часто располагают на боковых поверхностях яшика, что ухудшает качество звуковоспроизведения. В ТВ приемниках класса 1 применяют

систему из двух головок — низкочастотной, устанавливаемой на боковой поверхности ящика, и эллиптической высокочастотной, размещенной

на фронтальной панели рядом с экраном. В ТВ приемниках, имеющих кинескопы с большим углом отклонення, головки устанавливают обычно на фронтальной панели, так как боковое их расположение приводит к повышению воздействия полей рассевния магнитных

### систем головок на качество изображения. Расчет акустического экрана

Разделение излучений передней и задней сторон диффузора головки требует размещения его в очень большом экране. Подобный же эффект получается, когда задняя сторона диффузора излучает звук в большой, хорошо задемифированный поглошающим материалом объем.

Частотная характеристика головки в большом кране в нижней части его рабочего диапазона горизонтальна вплоть до  $f_{\phi}$ , если Q=1, При критическом демифировании (Q=0,5) уровень акустической мощности головки на частоте ревень акустической мощности головки на частоте реточно доловки

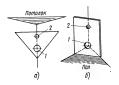
При реальных размерах акустического экрана наименьщая сторона при заданной нижней граничной частоте  $f_{\pi}$ ,  $[\Gamma \mathfrak{u}]$  должна иметь размер  $d[\mathfrak{m}]$ , определяемый по формуле

$$d = (60 \div 170)/f_{u.v.}$$
 (4.13)

Так, например, для выполнения наиболее стротих треболаний, если принять в числителе кооффициент 170, при частоте  $l_s$ , =80 Гц необходимо миеть d > 2.1 м. На частотах ниже вобходимо авсят себя как излучатель без акустического офромления (на его работу экраи практически не влияет), демпфирование головки мало и нединейные исклажения великих.

Вместе с тем излучаемые задней стороной диффузора звуковые колебания с более высокими частотами отражаются от потолка, стеи и интерферируют с волиами, излучаемыми передней стороной. Это существенно увеличивает неравномерность звукового поля.

Простейшему акустическому экрану трудио придать вид, достаточно соершенный с эстетической точки эрения. Целессобразию монтировать голокау на экране, имеющем форму треугольнической точки экране, имеющем форму треугольнической придеренного двумя стенами и потолком (на рис. 4.33 шуфрой / обсывачено отверстие для основной голокви, а цифрой 2 — для высоко-истогиой). При этом издучение составляющих истогиой. При этом издучение составляющих телеском углу 90°, но обостриется характеристическом углу 90°, но обостриется характеристиченности на режима звумовых частотах.



Pac. 4.33

Поэтому если нет вколожности улучшить распределение зауковой энергии применением дополнительной ВЧ головки, съеджет орвентировать головку па сравительно небодкует орвентировать становку па сравительно небодку от головки, ими не орнентировать его на слушатель компенсирую ослабление верхних частот корвениев АЧХ усмантеля.

Другое выгодное положение головки — на примоугольном хэраме в вершине двуграниюто гула, образованного даумя стенами комиаты (рис. 4.33, 6). Расстояние от центра головки до верхнего края экрана рассчитывают по формум (4.13). Качество знуковогроизведения может быть улучшено мебелью, тяжелями занашесьями, корязыи. Слушатели должны размещаться не бальже 1,5 и от громоговорителя, для двухническая составляющим стемы это расстояние увестниниется.

### Расчет футляра без задней 'стенки

Этот тип акустического оформления трактустся как неплоский экраи, фронтальные размеры которого уменьшены введением боковых сторон. Основная частота резонанса такого футляра-

$$f_8 = 170/(l + \sqrt{S})$$

тлё I— глубина ящика, м; S— площадь отверстия, м; Къвсимение вкустической мощности на основной частоте резонанса на 3—6 дБ при горавительно посъких и на 6—10 дБ при глубоких футаррах придает налучаемому зауку нестественической мощности на накими участотах наиболее значительно. Ценесообразно использовать головерс у с частотой резонанса ниже частоты резонанса ящика; наиболее часто встречается соотношение [а/]. — 0,5 ÷ 0,7.

Футайр без задней крышки как акустическое формление высококачественных бытовых системах воспроизведения в настоящее время не используют. Если же нет выбора, то футамр должен быть возможно более плоский, его следует располагать не ближе 20 см от стены, которую рекомендуется завестиь тяжелым ковром. Если громкоговоритель должен быть размещен на одной из стен помещения, то желательно на короткой, ближе к ее середине.

### Расчет закрытого футляра

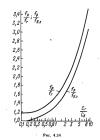
Установка головки в закрытом футямер достаточно большого объема позволяет получить удовлетворительное воспроизведение составляющих измиж частот, т. к. передиза сторона дифузора полностью защищена от излучения задисё стороны. Эт приводит к боеме медленному стороны эт при при при при при при при при частотах, чем при установке головки в акустическом экране коменных рамеров.

Частоту резонанса головки, установленной в закрытом футляре средних размеров  $f_p$ , при условии, что головка заиммает менее трети площади стенки, на которой она укреплена, определяют в следужищем порядке.

определяют гибкость подвеса подвижной систе-

мы головки  $C_r$  (см. с. 203); вычисляют гибкость объема воздуха в футляре по формуле  $C_s=2,5\cdot 10^{-5}V/d_r^s$ , где V — объем воздуха в футляре, м $^*$ , равный его внутреннему объему за вычетом объема головки, который

в первом приближении равен  $0,4\ d^4\ (d\ -$  днаметр диффузора,  $\mu$ ); по отношению  $C_r/C_s$  с помощью графика рис. 4.34 определяют отношение  $f_p/f_c$ , обеспечиваемое футляром данного объема V. Частоя



механического резонанса головки в акустическом экране можно взять из табл. 4.5 или измерить, как указано на с. 203.

как указано на с. 200. Если нужно с имеющейся головкой получить акустическую систему в виде закрытого футляра с резонансной частотой  $I_p$ , то требуемый объем футляра определяют в следующем порядке берут резонансную частоту головки  $I_D$  в акустическом экране из табл. 44 (или наямериют ее. как указано на с. 203]; определяют гибкость подвесов подвижной системы головки с]; задвашись желаемым отношением  $f_{\rm S}/f_{\rm D}$ , определяют по графику и ар ис. 4.34 соответствующее ему отношение  $f_{\rm S}/f_{\rm D}$ , определяют по графику во досумент образовать объемы воздуха  $C_{\rm A}$  в находят требуемую гибкость объемы воздуха  $C_{\rm A}$  в закрытом фитагряе; вычисятиют требуемый объем воздуха внутри футляра  $[{\rm M}^3]$  по формуле

$$V = 0.4 \cdot 10^5 C_* d_2^4$$

Полный внутренний объем футляра получают, добавив к вычисленному значению V объем головки.

Если значение  $f_0$  неизвестно или его определить в акустическом экране достаточно большого размера загруднительно, то можно измерты частоту механического резонанса головки  $f_0$ , без экрана и при расчете пользоваться кривой  $f_p/f_0$ , на рис. 4.34.

Приведенный расчет справедани лишь для частот ј < 40/1 (! с – куфина футлара в метрах). В связи с этим задимо строону диффузора головки в закрытом футларе фузико зацинцать то от отраженных внутренними стенками звуковых покрытием этих стенок звукопоглощающим материалом.

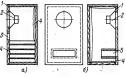
Габариты закрытого футляра можно уменьшить, заполнив его стекловатой или другим подобным материалом. Такое заполнение равносильно увеличению объема футляра на 40%.

Если полученная расчетом частота  $f_p$  достаточно низка, то головка должна ниеть  $Q \approx 1$ . Если же частота  $f_p$  недопустимо высока, то хорошие результаты получаются при снижении до-

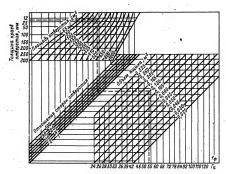
бротности до значения  $Q \approx 0.1$ ; при этом необходим подъем нижних частот в усилителе примерно на 6 дБ/октава, начиная с частоты  $\dot{f} = 260/d_r$ .

### Расчет фазоинвертора

Фазоинвертор представляет собой футляр I (дис. 4.35) с дополительным отверстием  $\beta$ , расположеным на той же стенке, гле укреплена половка 2, имеющая площавь, как правило, равкую площали диффузора. Задавшись глубиной фазоинверсного отверстия и отношением его сторои, вычислив эффективную площаль диффузований представляет в полошением стей объективную площаль диффузора. В предоставляет по представляет по представляет префусмый объем футляра по номограмме на рис. 4.36.



Pug 4 22



Глубина фазониверсного отверстия может быть равной голщине стенки футамра (рис. 4.35,а), но может быть прибанзительно равной и 30//<sub>3</sub>/<sub>3</sub>, при использовании тумнеля 5 (рис. 4.35,б). Значителькая длина тункеля позволяет применить маженький защих, одляко расстояние от конца туннеля до задней стенки ящика́ не должно быть менее d-/2.

На частоте јф фазоинвертор улучшает согласование головки с воздушной нагрузкой. Хотя акустическая мощность, отдаваемая передней стороной диффузора, уменьшается на этой частоте, общая акустическая мощность может возрасти значительно. Вместе с тем существенно уменьшаются нелинейные искажения и увеличивается номинальная мощность громкоговорителя вследствие уменьшения амплитуды смещения диффузора. На частотах ниже 🖟 реакция гибкости воздушного объема увеличивается и образует жесткую связь между массой воздуха в отверстии и массой подвижной системы головки. Таким образом, масса воздуха прибавляется к массе подвижной системы и вместе с гибкостью подвесов образует механический контур с резонансной частотой  $f_1 < f_0$ . Когда диффузор на этой частоте смещается вперед, воздух в отверстии движется назад (и наоборот) и эффективность излучения при этом ничтожна. На частотах выше /ф сопротивление массы воздуха в отверстин становится высоким и фазоинвертор можно рассматривать как полностью закрытый футляр. Жесткость воздушного объема прибавляется к жесткости подвесов и вместе с массой подвижной системы образует контур с резонансной частотой  $f_2 > f_{dv}$ . Излучение фазоинверсным отверстием на частоте f, весьма мало.

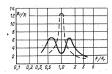


Рис. 4.37

Полное электрическое сопротивление головки, г. в фазоинверторе имеет обмачно два маскимума (сплошная кривая на рис. 4.37) на частотах гі п /<sub>р.</sub> расположенных по обе сторомы от частоты Резонанега половки в плоском акустическом куране г. (штриховая линия на рис. 4.37, где R — сопротивление катушки голожном токтумну току),

Пики полного сопротивления головки в фазоимверторе существенно инже пика полного сопротиваения головки в акустическом экране, однако соответствующие им значения Q, и Q<sub>2</sub> выше добротности головки в экране. Этот недостаток наиболее значительно проявляется на частоте f<sub>1</sub>, так как увеличение скорости движения диффузора приводит к увеличению нелинейных искажений, заметности которых способствует отсутствие полезного излучения на этой частоте. С этим явлением можно бороться ограничением выходной мощности усилителя на частотах, близких к ј.

Если желательно, чтобы частотная характеристика звукового даваения головки в фазоинверторе была горизонтальна в нижней части рабочего диапазона частот, начиная от  $f_0$ , то необходимо

выполнить условие  $Q_r = 0.6$ .

При увеличении  $Q_r$  значение  $Q_2$  возрастает, а Q<sub>в</sub> уменьшается, и это вызывает неравномерность частотной характеристики. Если уменьшить О. нет возможности, то необходимо хотя бы подавить пик частотной характеристики на частоте  $f_2$ , возникающей при  $Q_1 > 0.6$ . Это достигается введением в футляр звукопоглощающего материала 4 (см. рис. 4.35). Иногда заполняют стекловатой весь объем, в этом случае полученную расчетом по номограмме на рис. 4.36 площадь фазоинверсного отверстия следует увеличить в 2.5 раза. Введение в фазонивертор больщого количества звукопоглощающего материала приводит к ослаблению излучения на нижних частотах: при желании продлить характеристику в сторону этих частот (хотя бы до fo) следует обеспечить подъем составляющих нижних частот в усилителе. Фазоинвертор настраивают изменением площа-

ди отверстия (например, пластиной, умереленной так, чтобы ее поворот изменяя люцавдь отверстия) или глубины тункеля. Необходимо стремется к тому, чтобы часототный интервал, отвера-деляющий резонанские пики полного сопротивы, чтобы эмплитуды пиков были равны, а дополнительные пики, вызванные возинковенном сточчих воли в футатре, линенидровались вутем добавлети. Пренимущество фазоцинествов в сравнении.

с закрытым футляром такого же объема состоит в увеличении акустической мощности прибли-

в увеличении акустической мощности приблизительно на 5 дВ в диапазоне от одной до дву октав и в уменьшений нелинейных искажений в диапазоне частот  $l_0 - 2 l_0$  при той же акустической мощности.

Недостатком фазоинвертора являются более быстрое уменьшение акустической мощности на частотах ниже  $f_{\Phi}$ , чем в закрытом ящике, и необходимость настройки:

### Конструирование футляров

На раной или нескольких частотах заукового диапазона возможен резонане стенок футляра, приводящий к неприятному изменению тембра аркуковоспроизмении; это провавитети наибомее футлярах: Уменьшить вибрации стенок можно, применям натериалы с бальшой плотиостью, например фанеру толщиной не менее 20 мм. коронций результат дает сухой речной песок, зассыпаемы между длуми толисмым финеру магумит отножным финеризми и частично передияя, должны быть услаемы и частично передияя, должны быть услаемы

деревянными брусками. Возможно использование древесно-стружечных плит.

Демифирование стенок футляра. Внутренние поверхности футляра / [ирс. 4.38] должны быть покрыты слоем звукопоглощающего материала 6 голщиной не менее 10 мм (или одля из параласлым поверхностей слоем двойной толщины). Однако стоячие волны на относительно нижних частотах при этом не устаняются:



Рис. 4.38

Лучший результат длет разделение объема футдяра одной лил несодъямим заумопотлощаюшими перегородками 2, например, из войлока столциной 5—10 мм. Секции ящика, которые перегородками, в этом случае требуют слабов каустнеской обработы. Высокочастотная годовка 4 должна быть защищена от излучения защей стороцы дифузора НУ головия нескольтиратирами и под пределатирами метадалические концинента разменента метадалические концинента разменента слока 3 разменента выгау футдяра.

Размещение головки. Отверстие, в котором размещается головка, ведет себе вак труба, длина котороб равна толцине стены вли доски. Резонавски в интирезонанси, этой груби, а таме, отражения от краев отверстия ввляются причиной неравномерьюти частотной корактерительной на при установка толовки в более тонком зараж, который размещают в стене или в экране который размещают в стене или в экране можьтьюй толовки в более тонком зараже который размещают в стене или в экране можьтьюй толовки в более тонком заражения при заражения в стене или в экране номъжной толовки в более томы стене заражения за стене за сте

Форма футляра. На нижних частотах головка излучает сферические волны, и ребра футляра, особенно те, которые составляет фронтальная стенка, образуют препятствия на пути звуковых волн. Это вызывает искривление фронта волны (дифракцию) и вторичное излучение от ребер, что приводит к возникновению интерференционных явлений, вызывая появление на частотной характеристике пиков и провалов до ±5 дВ. С точки зрения борьбы со вторичным излучением идеальная форма футляра — сфера, худшая куб с головкой в центре одной из сторон. Прямоугольный параллелепипед с головкой, размещенной ближе к одной из коротких сторон, предпочтительнее куба. Однако лучшее приближение к идеалу дает прямоугольная усеченная

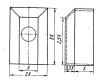


Рис. 4.39

пирамида, поставленная на прямоугольный параллелениие (рис. 4.39). При любой форме желательно, чтобы футляр имел различные линейные размеры: ви один из них не должем быть много больше или много меньше других; наибольший размер футляра не должен превышать 1/4 длины волым нижней частоты рабочего диапазо-

Декоративная ткань не должна вызывать значительных потерь акустической моцности. Наиболее пригодна ткань из жестких, крепких (длогичатобумажных или пластиковых) свободно переплетенных нитей. Применение тканей из мягких и пушистых интей нежелательно.

# Соединение в группы и фазирование головок

Групповое соединение образуют несколько одинаковых головок, размещениях бліско одна к другой в одном акустическом жуване. Группа головок имеет большую люциадь жиржения на винжних частотах (что потребовало бы при использования одной головы значительного увеличении размеров и массы подвижной системы); вместе с тем сравнительно межой подвижной системо с точки эрения персходного режима и воспроизведения верхнях часто.

Сопротивление излучения каждой головки групы возрастает на инжиних частотах в n раз (n — число головок в группе). Это позволяюто бы получить замительный выпрыш в акуптической мощности, если бы одновременью не увелической мощности, если бы одновременью не увелической мощности, если бы одновременью не увелической мощности, в дольжей прав масительно, по все же не в n раз (при той же подводимой эмегрической мощности), а дольжей вые возрастание n выиг рымощности n дальжей n дальжей n выего n дальжей n

Наилучшее соединение головок в группу параллельное; тогда Q системы не будет отличаться от  $Q_r$ . Если необходимо, чтобы сопротивление группы было равно сопротивлению одной головки, то с точки зрения лучшего- Q группы лучше применить последовательно-параллельное сосцинение головок (число которых должно быть равно "т. гас n = 1, 2, 3, ....]. При любом соединении сфазированы: при подключении источника постоянного токи (например, никлововальной батарен) к входным зажимам диффузоры всех головок должны смещеньтех во долом направлении. Изменение паправления смещения диффузор тоговки всемное предоставления смещения диффузор головки всемное предоставления смещения всемное предоставления смещения диффузор головки всемное предоставления смещения диффузор головки всемное предоставления смещения диффузор головки всемное предоставления смещения диффузор головки смещения всемное предоставления смещения всемное предоставления смещения диффузор головки всемное предоставления смещения смещения всемное предоставления смещения смещения всемное предоставления смещения смещения всемное предоставления смещени

К недостаткам группового соединения относится значительная неравномерность частотной характеристики и характеристики направленности на верхних частотах.

### Двух- и трехполосные акустические системы

Выбор головки ґромкоговорителей. Зауковоспризведение по классу І обично можно получить, применяя головку с «номинальным джапазоком частот 63 Ги $_{\rm m}$  12 кГи либо разделяя полный диапазон частот, соответствующий этому классу, на две полоси. Для обеспечения звуковоспроизведения по классу «насили» иносла разделяют — Номинальный ланиалон частот головки, пледноминальный ланиалон частот головки, плед-

Вблизи частоты разделения могут возникнуть значительные искажения, вызванные совместной работой головок. Если расстояния от каждой из головок до слушателя не равны, то частотная характеристика системы может иметь значительную неравномерность, определяемую фазовыми соотношениями поиходящих сигналов.

Разделительные фильтры. Наиболее простое подключеные ВЧ головки— через конценсотр, зашишающий головку от перегрузки на низьних частотах. Такое включение применяется, когда основная головка имеет недостаточно широкий частотный диапазон. Емкость конденсатора рассчитывается по формуле

$$C = 160 \cdot 10^3 / (f_p r_p),$$

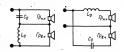


Рис. 4.40

Фильтр должен быть построен так, чтобы каждая головка работала лишь в той области частот, на которую она рассчитана. Потери в фильтре в полосе пропускания должны быть минимальными

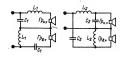
Индуктивности и емкости фильтра при различной крутизне среза, которая определяется как изменение затухания при изменение частоты на одну октаву, вычисляют по следующим формулам. Для крутизны спада 6 дБ/октава (фильтр по схеме на рис. 4.40)

$$L_0 = 160r_p/f_p$$
,  $C_0 = 160 \cdot 10^3/f_pr_p$ ;

для крутизны спада 12 дБ/октава (фильтр по схеме на рис. 4.41)

$$L_1 = \frac{131r_p/f_p}{L_2}$$
,  $L_2 = \frac{225r_p/f_p}{L_1}$ ,  $C_1 = \frac{225 \times 10^3/f_pr_p}{L_1}$ ,  $C_2 = \frac{113 \cdot 10^3/f_pr_p}{L_2}$ .

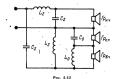
В этих формулах индуктивности выражаются в микриненры, кмюсти— в эмкрофарадах. На основе расчета выбирают конденсаторы с ближайшим поминальными стадартными емостями. Для получения требуемой емюсти возможно паралагельное сесциение нескольких конденсато-полученной расчетом, частота разделение будет отличаться от заданной.



Puc 4 41

Если для фильтра вужны коиденсаторы с емкостью порядка дсентков микрофарад и выше, можно китользовать электролитические коиденсваторы. Так как они полярки, а булут работать выпи переменного тока, то в каждом звене фильтра придестя применить по дав встремю включеных конденсатора, каждый по которых должен виеть досчетом. В звениях разделительного фильтра расчетом. В звениях разделительного фильтра тракичеторието усклителя без выходног трансформатора комо применить по одному электролитическому конденсатору, соблюдая правильную полярность ки включения.

Фильтр для трехполосного акустического агрегата (рис. 4.42) представляет собой комбинацию.



двух рассмотренных фильтров. Первый из них отделяет нижнечастотную область от среднечастотной; среднечастотняя область затем делится вторым фильтром. Оба фильтра не обязательно должны иметь одинаковую крутизну среза; они должны лишь рассчитываться на одно сопротвывение.

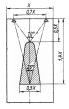
Методика расчета разделительных фильтров базируется на предположении равенства и резистивного характера сопротивлений головок в разделяемых полосах. Так как полное сопротивление головки, на частоте разделения может иметь значительную индуктивную составляющую, во избежание частотных искажений в области перекрытия следует учитывать при расчете индуктивность средне- и нижнечастотной головки как часть фильтра, т. е. катушку фильтра, включаемую последовательно с головкой, изготовлять с индуктивностью, меньшей расчетной на индуктивность головки. Если сопротивление головок в звеньях многополосной системы не равны, то следует попытаться подобрать равные сопротивления звеньев путем группового соединения головок (допустимо последовательное соединение ВЧ головок).

Парадлельное соединение двух-трех ВЧ головок дает возмомность использовать их в сочетании практически с любой НЧ головкой. Возможное расхождение в полных сопротивлениях звеньев акустической системы может быть устранено увеличением входного сопротивления ВЧ звена с помымо делигеля напряжения из резисторов.

Если в лаух-или трехаменной систем используегся нексолько ВН головок, то их сведут робоплатать в футляре так, чтобы угол между их осями в горизоитальной плоскоги составлях 20—30°. Если в многоканальной-зауковоспроизводящей систем используется только одна ВЧ толовка, никеющая полное сопротивление больше, чем у готильным за горужи разделятельного фильтра в области верхних частог ВЧ головку следует шунтировать реактором.

## Стереофонические акустические системы

Параметры громкоговорителей двухканальной стереофонической системы должны быть по возможности идентичны. Громкоговорители следует располагать в соответствии с рис. 4.43, где зона



PHC. 4.4

оптимального стереофонического эффекта заштрихована. Ориентирование громкоговорителей зависит от их характеристик направленности и должно быть определено экспериментально

### **4.5. РЕВЕРБЕРАТОРЫ**

### Основные характеристики

Реверберацией на называется остаточное заучание (последучание), наблюдаемое в помшениях после прекращения действия неточника заука. Последучание возникает в результате многократных отражений зауковых води от теги, потолка и других поверхностей. Если ме источник продолжает излучать колебания, то звуковое поле в помещении представляет собой совокупность в помещении представляет собой совокупность обращие субай и многократила отражений. Реверберация субай и многократила отражений. Реверберация субай и многократила отражения заучается на представляет соби совокупность серои представляет соби соби соби совокупность серои представляет соби соби соби соби заучается на представляет соби соби заучается на представляет соби соби заучается на представляет соби заучается на представляет соби заучается на представляет соби заучается на представляет соби заучается на представляет соби заучается на представляет соби соби соби заучается на представляет соби заучается на представляет соби заучается на представляет соби соби заучается на представляется на представляется на представляется на представляется на представля

Ревербератор представляет собой устройство,

имитирующее реверберацию. С этой целью на вос производимый сигнал накладывается последова тельность его запаздывающих повторений (эко сигнадов) с постепенно убывающим во времен уровнем. Схема звукового тракта с ревербератс ром Р приведена на рис. 4.44.

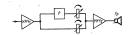


Рис. 4.44

Основными характеристиками ревербератора являются следующие.

Импрассия реакция — зависимость напряжения на выходе в раше коротого мирокас; или в примення на воде к раше коротого мирокас; за другом жо-си-гивалами, превышают 0,05 с, то на реальном сигнале мин могут восприниматься слушателем раздельно (раздель), что оценивается как дефект искусственной реверберат, что оценивается как дефект искусственной реверберат опенные и отдельные эхо-сигналы объедивногое в слуховом восприятии. Звучание ревербератора всемы непритир, сели его импульскую реакцию составляют эхо-сигналы, стедующие через равные составляют эхо-сигналы, стедующие через равные возможном в Яюмещении.

Время реверберации  $I_2$  — время, в течение которго мапряжение на выходе ревербератора после выключения источника стационарного сигнада ан его выходе ученьщается в 1000 раз (уровень небуремент и 1000 раз (уровень небуремент). В 1000 раз (уровень небуремент) и 1000 раз (уровень небуремент) и 1000 раз (уровень небуремент) и 1000 раз (уровень небуремент). На правитью стациона ументия в повещении после выключения и 1000 раз (уровено с источения и 1000 раз (уровения и 1000 раз (уровения и 1000 раз (уровения

Эффект искусственной реверберации можно регулировать извенением премени реверберации, т. с. скорости убывания уровня эхо-сигналов, соззаваемых ревербератором, или изменением соотсигналов. В устройстве по схеме рис. 4.44 соотышение уровней възменяета, заумя переменным резисторами. Оба способа регулировки дают в икторых пределах одиналовое изменение гулкости 20 учайни. Это дает возможность в простих реверда, что значительно упрощает их конструкцию.

Частотная характеристика коэффициента передачи ревербератора — зависимость напряжения на выходе ревербератора от частоты при постоянной амплитуде входного напряжения.

Частотівя характеристива коэффициента перачи помещени (рис. 4.45) существенно зависят от іположений громкоговорителя и измерительного гіположений громкоговорителя и измерительного микрофона. На частотной характеристике большого помещения лики расположенів мерегулярков ресриси оми распраделены с митрата между пиками и провазом 4/Гд. [Гп], а перепад между пиками и провазом 4/Гд. 26 пр. 10 гр. 
100 rt

A

Рис. 4,45

достаточно хорошо имитировать акустические условия большого помещения, плогности пиков частотных характеристик коэффициентов передачи ревербератора и помещения должны быть сравнимы.

Существует несколько систем ревербераторов. Далее описывается пружинный ревербератор, поскольку он имеет небольшие размеры, относительно дешев, не сложен конструктивно и поэтому доступен для изготовления в любительских условиях.

# Принцип работы пружинного ревербератора

Основой пружинного ревербератора является линия задержки, состоящая из двух преобразователей (датчика и приемника механических колебаний) и натянутой между ними цилнидрической пружины (см. структурную схему пружинной линии на лис. 4.46).

Вхолной сигнал, усиленный усиленем у преобразуется в колебательные движения крутильного типа подвижного элемента датчика Д, которые передаются пружине. Механическая волна распространяется по пружине и достигает приеника чере-зърема, опредаженое скоростью распразнашись от приемного конца пружины не е длиной. Огразившись от приемного конца пружины вы возвращается к датчику, затем снова к приемнику и т. д., постепенно затухая.

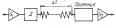


Рис. 4.46

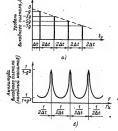


Рис. 4.47

Первый эко-сигнал в пружинной линии задерживается на время Аt, а следующие за ним экосигналы сдвинуты во времени одни относителью другого на 2At; пики на частотной характеристике коэффициента передачи ревербератора располагаются с интервалом 1/2At, Гц (рис. 4.47).

# Самодельный трехпружинный ревербератор

Технические данные ревербератора: плотность инков на частогной характеристике ревербератора ие менее 15 в полосе 100 Гц; средвий интерваз премени межу, сосединия дос-игивалами — не более 0,025 с; рабочий диапазон частот 150—300 Гц; ареации посуственной реверберации 3— с с образовать по премения по премения по премения по премения по премения по премения по премения по пределения по премения по прем

Время реверберации на частотах выше з кТи, а помещения относительно маал и пределяется потержим при распространении звуковой волым воздухе. Потому создание кекусственной реверберации на верхиих зауковых частотах часто вереберации на нежних частотах ухудшает четкость и разборивоготь звучания. В ремя искусственной реверберации на нижних частотах ухудшает четкость и разборивоготь звучания. В ремя искусственной реверберации на верхиих частотах в пружинном реверберации на верхиих частотах от пружинном собыми с с поильжением частоты оно постепенно обычно 2 с, с поильжением частоты оно постепенно у помогруждим, премя пред тота обычно 2 с, с поильжением частоты оно постепенно у помогруждим, премя пре

Выбор параметров ревербератора. Первые двя пункта изложенных выше требований уколетворяются в трехпружинном ревербераторе с временем задержки 0,029; 0,037 и 0,043 с. Плотность шиков на каждые 100 Гц частотного диапазона такого ревербератора — около 20; средний промежуток времени между соседними эхо-сигналами — около 0,025 с.

Расчет пружины. Пружина представляет собой механический фильтр нижних частот. При среднем диаметре витка D [мм] (рис. 4.48) из стальной

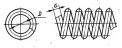


Рис. 4.48

проволоки диаметром d [мм] пружина пропускает колебания крутильного типа с частотами ниже частоты среза  $f_c = 253 \cdot 10^3 d/D^2$ .

При использовании стальной проволоки диаметром d для получения требуемой частоты среза  $f_c$  [Ги] диаметр навивки в миллиметрах должен быть равен

$$D = \sqrt{\frac{253 \cdot 10^3 d}{\hat{f}_c}}.$$

Частота среза пружинной линии задержки должна быть 3—4 кГц.

Пружным изготовляют из стальной срожльной возможно более упругой проволоки диаметром 0.2—0.4 мм путем навивки на товерном или моточе, или 0.2 мм 0.4 мм 0.2 мм 0.

Время задержки сигнала в пружине практически не зависит от частоты (за исключением частот, близких к  $f_c$ , где оно возрастает) и определяется как  $\Delta t = 0.32n/f_c$ .

Число витков пружины зависит от требуемого времени задержки и находится по формуле  $n=3.14\Delta t \hat{t}_r$ .

Выбор типа преобразователя. В качестве преобразователя вомет быть песползован наматиченный ферритовый ротор, совершающий крут тильные колебания под действием переменного поля, создаваемого катушкой с магиптиным сертить, преобразователь с такушкой с магиптиным серить, преобразователь с такушкой постоянного магита 2. Катушку поддерживает проволока 3. Ток звуковой частоты, проходя по катушке, харимодействует с полем магипти и вызывает аругильные комебник катушки, котирае передаприя осуществляет образиваетися, при осуществляет образование;

На рис. 4.50 указаны размеры катушки, при которых обеспечивается диапазон частот 150—



D. . . 4 40



PHC. 4.50

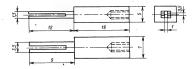


Рис. 4.51

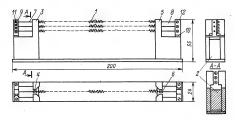


Рис. 4.52

3000 Гц при использовании пружин из проволоки диаметром 0.2 мм.

Катушку преобразователя наматывают с клеевой провиткой на оправе из дюралюмния (рис. 451) так, чтобы проволока проходила ковозь катушку, как показано на рис. 450, Катушка содержит 30 витков ПЭВ-1 0,04. Когда клей высохиет, катушку аккуратно синмают, слегка сжав оправку. Выводы катушек должны иметь дляну 50 мм.

Один из концов проволоки, предназваченный для соединения с пружиной, загибается в виде крючка на расстоянии не далее 2 мм от катушки; другой конец, имеющий длину 30 мм, служит поддерживяющей проволокой.

При навивке пружин из более толстой проволоки площадь поперечного сечения намотки катушки увеличивается приблизительно пропорционально кубу диаметра проволоки (при неизменной частоте среза).

Конструкция ревербератора (рис. 4.52). Три пруживные - линии задержжи конструктивно объединены общими для датчиков постоянными активтами 2 с подпосъвани наконечинами 3 магнятами 2 с подпосъвани наконечинами 3 магнятами 2 с подпосъвани пружини определены данаметром проводоки 0,2 мм и частотой среза 4 кГц (при этом D = 3.54 мм). Каждая пружина 7 сстоят из двух доловин правой и левой навники

для предотвращения изменений ориентации катушек в магнитном поле при усталостном раскручивании пружин. Числа витков в пруживных линиях, обеспечивающие различные задержки  $\Delta t$ , должны быть следующими:

 $\Delta t$ , s : . . 0,029 0,037 0,043 n . . . . 2×182 2×230 2×270

Стальные проволоки 7 и 8 диаметром 0,1 мм, поддерживающие катушку датчика 4 и катушку приемника колебаний 6 в магнитных полях, проходят через отверстия в металлических столбиках 9, 10 и фиксируются винтами 12.

Катушки датчика и приемника, имеющие сопроивление по 3 Ом, соединяются последовательно из расшивочных платах II, укрепленных на столбиках. Провода, подводящие ток к катушкам, проходят рядом с соответствующей поддерживающей проволокой и приклемваются к ней в двухтрех местах.

В качестве постоянных магнитов используются части кольцевого магнита из феррита бария от неисправного громкоговорителя.

Время искусственной реверберации на инжинх частотах уменьшает демпфер в виде полосок губчатой резины 1 (рис. 4.53), приклеенных к пластинам 2 из органического стекла и размещенных у поддерживающих поволок.

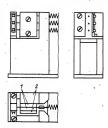


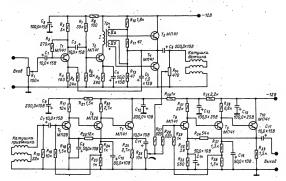
Рис. 4.53

Усилитела ревербератора (рис. 454). Усилитель датика обсепечивает на клутимах с обменение тель датика обсепечивает на клутимах с обменение В устанавливамое потенциометром К, при входими маримевии ие менее 10 мВ- Чумствительность усилителя
приеминка составляет 0, 1 мВ уконимальное видоком капряжение не менее 1 В при отношении ситнал/шум не менее 50 дВ.

нал/шум не менее 50 дb.
В усилителе предусмотрена возможность смещивания основного и реверберационного сигналов: сигмал с переменного резистора  $R_{14}$  на выходе усилителя датчика подается в усилитель приемника после регулятора уровня  $R_{26}$ ; таким образом, смешивание сигналов проводится манилуированием резисторами  $R_{14}$  и  $R_{26}$ .

Данные трансформатора  $TP_i$ : магнитопровод  $106 \times 6,5$  из перьмадлов, обмотка I — 1800 витков ПЭВ-0,1, обмотки II а и IIb — по 400 • витков ПЭВ-0,1. Сначала наматывают 900 витков обмотки I, затем 400 витков добитого провода обмоток II а и IIb и, наконец. 900 витков обмотки I.

Сборка и налаживание пружиниого ревербератора. Сборку ревербератора начинают с установки на плате магнитов преобразователей и металмерских столбонков. Затем укреилияот поддерамимератора и предоставления и предоставления и нака в инжинх отверствих металанческих столбоныма в инжинх отверствих металанческих столбомы и распътривают между катушками обе половным выстановато между катушками обе половительности и при при при при дейстания предоставато, в при метала и предоставато, а възова жатушка прогования просменявато,



PHC. 4:54

Чрезмерное ограничение частотной характеристики пружинной линии в области верхних частот может быть вызвано неправильным расчетом пружины (это приводит к понижению частоты среза), наличием «слипшихся» витков и увеличенными по сравнению с рекомендованными размерами катушек преобразователей.

Аналогичным способом собирают и налаживают две другие пружинные линии. Затем устанавливают пластины с наклеенными полосками пористой резины. Степень сжатия резины между пластинами определяет время искусственной реверберации на нижних частотах.

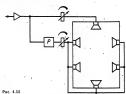
Измерения в пружинном ревербераторе. Проверка правильности расчета времени задержки пружин и времени реверберации требует специальной аппаратуры, недоступной радиолюбителю. Поэтому все необходимые данные предлагается получить косвенными способами, включая звуковой генератор на вход ревербератора и вольтметр на его выход. Измерения следует проводить для каждой пружинной линии задержки отдельно,

отключив две другие. Медленно изменяя частоту генератора, определяют интервал частот между соседними пиками  $\Delta t$ ; тогда задержка в пружине составит  $\Delta t =$ 

Определив соотношение пик/провал D на частотной характеристике коэффициента передачи ревербератора, нетрудно найти затухание g в данной области частот механической волны при однократном прохождении ее по пружине

$$g = \sqrt{\frac{D-1}{D+1}}$$

и время искусственной реверберации в секундах  $T = \Delta t/g$ , где g в децибелах.



Применение ревербератора. При работе источника звука в помещении направление прихода отраженных звуковых волн к слушателю, как правило, не совпадает с направлением прихода основного сигнала. Включение ревербератора в звуковой тракт согласно рис. 4.44 не является наилучшим, так как основной сигнал и эхо-сигналы воспроизводятся одним громкоговорителем и по направлениям прихода к слушателю не разделены. Ощутимый эффект присутствия в большом зале дает разделение трактов основного и реверберационного сигналов в соответствии с рис. 4.55. Так как требования к частотной характеристике коэффициента передачи ревербератора не являются жесткими, громкоговорители распределенной системы, воспроизводящие реверберационный сигнал, могут быть пониженного качества. При ограниченных возможностях распределенная система может быть заменена одним громкоговорителем, расположенным за спиной слушателя и с вертикально ориентированной рабочей осью.

## 4.6. ГРАМПЛАСТИНКИ И ВОСПРОИЗВОЛЯНІАЯ АППАРАТУРА

## Типы и параметры грампластинок

Классификация. Грампластинки разделяют на монофонические с узкой канавкой (т. наз. долгоиграющие) с частотами вращения  $33^1/_3$  мин  $^1$  и 45,11 мин  $^1$ , обозначаемые знаком  $\nabla$  (до 1968 г. они обозначались буквами МУ),и стереофонические, также с узкой канавкой и такими же частотами вращения, обозначаемые знаком Ф. И те, и другие предназначены для электроакустического воспроизведения. Кроме того, прежде изготовлялись монофонические грампластинки с широкой канавкой и частотой вращения 77,92 мин-1, допускающие как электроакустическое, так и акустическое воспроизведение (с помощью граммофона или патефона); они обозначались буквами МШ. Значительное увеличение длительности звучания долгонграющих грампластинок по сравнению с грампластинками МШ было достигнуто путем уменьшения ширины канавок, их сближения и уменьшения частоты вращения грампластинки.

Грампластинки удовлетворяют требованиям ГОСТ 5289-80. В табл. 4.7 приведены их диаметры и частоты вращения. Грампластинки имеют

Таблица 4.7. Грампластинки

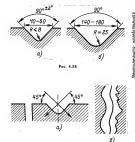
Тип .	Частота, вращения, мин—1	Диаметр, им
Монофонические и стереофонические с узкой канавкой	33 1/3	302,5-1,5 251,5-1,5 175,5-1,5
	45,11	175,5-1.5
Монофонические с широкой канавкой	.77,92	250

центровое отверстие диаметром 7,24-499 ми (грамиластини зарубежного производства, рассчитанные на частоту вращения 45,11 мін-1 микти центровое отверства 8,15-41 мм). Эксцентросчет центрового отверства относительно центросите центрового отверства относительно центрозанием (центра вращения лажового диска, са таписи на котором начивается технологический процесс изготоленния у рамиластинный расмем нане более 0,15 мм при узкой и не более 0,25 мм при широкой казачается.

Параметры записи. Исходная запись на лаковый диск дия грампалетнико производится в сответствии с ГОСТ 7893—79. Частотный диапазон записываемых сигналов от 20 до 20 000 Гц, коэффициент тариомии ка серанки частотах не более 1,5%, коэффициент детонации в пределах ±0,04%, отпошение сигнал/шум не менее 6а дБ.

Размеры канавок в микрометрах приведены на рис. 4.56, а (узкая канавка) и 4.56, б (широкая канавка). При стереофонической записи на внутренией стенке канавки, расположенной ближе егся кожффициент гармоник и отношение сігналі, шум) установлено для сигнала 1000 Гц равным 14 см/с. для монофонической записи и 10 см/с. для жаждого канала стереофонической записи. Для сигналов с другой частотой номинальное значение больше или мевьше в сотоветствии с АЧХ ка рис. 4.58. При громких зауках в грамиластинком допускается превышение из для указаниях исманальных значений. Во избежание перерезании соседних канавок и возрастания нелинейных искажений стандартом пормируется, кроме того, макжений стандартом пормируется, кроме того, систандами семещение реаци стокогиелым его полосительного семешение реаци стокогиелым его полосительного семешение реаци стокогиелым его полосительного семешения по должу объть не более 50 в поперечном заправления и 30 мм в вертикального.

 Гибкие грампластинки (33<sup>1</sup>/<sub>2</sub> об/мин) изготовляют диаметром 174 мм из пленки толциной 0,12—0,15 мм. Запись на них монофоническая, размеры канавки близки к размерам узокой канавки объчных грампластинок. Гибкими грамплас-



Puc 4 57

к центру записи, записаны сигналы левого, а на наружней — сигналы правого канала (рис. 4.57, а). Вид сверху на такую канавку показан на рис. 4.57, б.

Амплитудно-частотная характеристика канала записи, применяемого в настоящее время в производстве грампластинок с узхой канавкой, приведен на на рие. 458, она представляет собой зависимость димлитуды колеботельной скорости, равной произведению амплитуды колеботельной скорости, равной произведению амплитуды колеботельной скорости — состоямого применения записывающего резил на кругокую частоту его колебаний, скорости — состоямого применения корости — состоямого применения записывающего должной колько применения условиях больше грожисств при проиги равлил условиях больше грожисств при прингрывании грампластники. Номимальное значение амплитуды колебательной скорости (при нем измерящитуды колебательной скорости (при нем измеря-

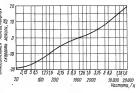


Рис. 4.58

тинками комплектуется журнал «Кругозор». Воспроизведение должно осуществляться только электроакустическим способом.

## Воспроизводящая аппаратура

Электроакустическое воспроизведение сигналов, записанных на грампластинке, осуществляют с помощью проигрывателей и электрофонов.

Проигрыватель содержит движущий механизм сълектроватиченем, врашомий грамиластинку, арухосиниатель, преобразующий комсования восим в некоторых случаях предварительный усилитель. Проигрыватель снабжем шиурами для подключения его к внешему комсненому усилитель и громкотоворителю. Роль усилителя и громкотствати и произраждения и произраждения при при участь радиоприемных и теленахора.

Проигрыватель, смонтированный вместе с оконечным усилителем и укомплектованный громкоговорителем (или громкоговорителями), называется электрофоном.

Таблица 4.8. Электропроигрывающие устройства

_	Класе ЭПУ			
Параметр	. Высший	I	11	111
Іопускаемые отклонення от оминальной частоты вра- цения, %	±0,55	±1,2	±1,8	±2,11 .
опускаемый коэффициент етонации, %	±0,15	±0,15	±0,2 <sup>2</sup> ±0,25 <sup>3</sup>	±0,31 ±0,54
отношение сигнал/рокот <sup>6</sup> , В, не менее ртношение сигнал/фон <sup>6</sup> , В. не менее:	60	46	317	28
о, не менес: пьезоэлектрическим звуко- ниателем	67	63	57	53
магнитным звукоснимате-	63	57	53	-
илы отечественных ПУ	В электрофоне «Электроника Б1-01»	1-ЭПУ-7С	II ЭПУ-62 . II ЭПУ-74 II ЭПУ-76	Ш ЭПУ-38
нпы отечественных элект- рофонов и проигрывателей	Проигрыватель «Электроника Д1-011»	Проигрыватель «Вега-106-стерео»	Электрофоны «Аккорд-203»	Электрофоны «Каравелла», «Концерт-301», «Юность»
	Электрофон «Электроника Б1-01»	Электрофон «Вега;101»	(моно) и «Аккорд-201» (стерео), «Ноктюри-211»	-
	Электрофон «Арктур-003-стерео»			

При питании от сети переменного тока. Для стереофонических устройств.

Промышленностью изготавливаются также электропроигрывающие устройства (ЭПУ) в соответствии с ГОСТ 18631-73. ЭПУ содержит движущий механизм и звукосниматель (без футляра и подсоединительных шнуров) и само по себе не может служить для проигрывания грампластинок; ЭПУ является основной частью проигрывателя и, кроме того, входит в состав электрофонов, радиол, магниторадиол.

Электропроигрывающие устройства изготавливают четырех классов: высшего, I, II и III. В названии ЭПУ, например II ЭПУ-12 с, первая цифра означает класс (0 — высший класс), вторая — номер разработки, буква С — возможность проигрывания стереофонических грампластинок. ЭПУ высшего и I классов предназначены для стереофонических и монофонических грампластинок, ЭПУ класса II - только стереофонических или только монофонических и класса III только монофонических. ЭПУ должны обеспечивать частоты вращения грампластинки 33<sup>1</sup>/<sub>3</sub> и 45,11 мин<sup>-1</sup>. Необязательные частоты — 16<sup>2</sup>/<sub>3</sub> и 77,92 мин-1. Параметры ЭПУ для частоты вращения 331/3 мин-1 приведены в табл. 4.8. Там же указаны типы современных ЭПУ проигрывателей и электрофонов отечественного производства, соответствующих определенным классам качества. Диаметр шпинделя для надевания грампластинок во всех ЭПУ 7,24-0.55 мм. Если ЭПУ содержит предварительный усилитель, его выходное сопротивление не должно превышать 10 кОм. В зависимости от класса ЭПУ применяют различные вспо-

могательные устройства, облегчающие эксплуатацию и повышающие качество воспроизведения (табл. 4.9).

Электрофоны изготавливаются также четырех классов", которые определяются только качеством усилителей и громкоговорителей. Электрофоны

Таблица 4.9. Вспомогательные устройства, входящие в состав ЭПУ

	Класс ЭПУ			
Устройство	Высший	I	11	11
Регулятор частоты вращения 33 1/3 мин—1 со астроенной визу- эльной индикацией	0	0	н	н
Автостоп	0	0	0	0*
Микролифт	0	0	ō	0*
Механизм возврата звукоснимате- тя в исходное положение	H	Н	Ĥ	H
Регулятор статической баланси- ювки звукоснимателя относитель- юй вертикальной оси	0	0	0**	Н
Регулятор прижимной силы звуко- знимателя	0	0	. н	H
Цепь замыкания звукоснимателя в нерабочем положении	0	0	0	0

Примечание. 0 — обязательно: Н — необязательно: только при питанни от сети переменного тока; при пьезовлектрическом звукоснимателе необязательно

Для монофонических устройств. При питании от источника постоянного тока.

при интания от источных постоянного пока. Рокот-помеха от вибрации движущего механизма. Измерение производится относительно сигиада 315 Гц. записанного ри номинальной амплитуде колебательной скорости

Измерение производится относительно сигнала 1000 Гц, записанного при номинальной виплитуде колебательной скорости. Измеряется без взвешивающего фильтра.

<sup>\*</sup>С:1982 электрофоны выпускаются в соответствии с ГОСТ 11157-80 с более высокими качественными показателями.

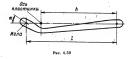
классов высшего и 1<sup>22</sup> только стереофонические. Основные качественные показатели высшего класса: диапазон частот 40—18 000 Ги; выходная электрическая мощность 10 Вт при коэффициенте гармоник не боле 1% (на средик частотах). Отношение сигнал/шум три включенном звукосиниателе не менее 50 Д6.

Звукосниматели. Наиболее распространены две системы звукоснимателей - магнитные и пьезоэлектрические (пьезокерамические). Последние уступают по качеству магнитным, но просты по конструкции, дешевы и не требуют применения предварительного усилителя со специальной АЧХ. Звукосниматель состоит из головки и тонарм а, укрепляемого на поворотной ножке. Основными частями головки являются иглодержатель с корундовой или алмазной воспроизводящей иглой и преобразователь механических колебаний в электрические. В головке стереофонического звукоснимателя таких преобразователей два. Так как воспроизводящие иглы для грампластинок с узкой и широкой канавками различаются размерами, головки звукоснимателя делают сменными (каждая для определенного типа грампластинок) или снабжают сменными блоками с определенными типами игл или с двумя переключаемыми иглами. Рабочие положения переключателя и сменные головки (или блоки) имеют цветные обозначения (табл. 4.10).

Таблица 4.10. Обозначения на головках звукоснимателя

Тип грампластинки	Обсаначение	Цвет обозначения
Монофоническая с широкой канавкой	78	Зеленый
Монофоническая с узкой канав- кой	$\nabla$	Красный
Стереофоническая с узкой канавкой	œ	Голубой

Для облетчения следования воспроизводящей илла по канаже заумосиниятель должен быт определенным образом орментировам относительного объем организации образом орментировам относительного объем образом в последенее время получают распространение т, нах танемещивание томарям, при которых игла перемещается строго прадмуст распрамлаетиям. Для малогабаритных



ЭПУ рекомендуются следующие размеры тонарма (рис. 4.59): рабочая дляна  $l=185\pm2$  мм, установочная база h=175 мм, угол коррекции  $\alpha==20^{\circ}30^{\circ}+1^{\circ}30^{\circ}.$ 

Качество воспроизведения и измос грампластинки завистя от прижимной силы авукоситакт воспроизволяций и измостакт в построи вызоляцией и и каквический контакт воспроизволяцей и и каквический контакт воспроизволяцей и и каквический контакт в поружения в товарем. Для пвезолястрических зрессиимателей прижимная сила не должна превытату 70 мН, для магнитым — устанавливается в зависимости от класса 911 м е боле 20 мН в 911 м васшего класса, 30 мН— и и 40 мН 11 класса. Вместакт в минимах в предусменной прижимной примененной прижимной примененной прижимной спала служат нелинейшее искажения. 
Карактерым признаком недостаточной прижимной силы служат нединейшее искажения.

Для хорошего стереофонического воспроизведьня требуется симмертнием сположение и/иль в немодулированной капявае, t, е в пауже записы, прасуматрявается балансерома топарма и компецеация нежелательной с к а т м в в ю щ е й с. и. м, которая возинкает из-за грения и/иль с канаку, создает избытомное давление на е вмутрендели с предоставление за се вмутренстинаров. Регор и правото каналов.

Пример конструкции современного звукоснимателя приведен на рис. 4.60 (1 — противовес, 2 балансир, 3 — компенсатор скатывающей силы).

Электрическая нагрузка пьезоэлектрического авукоснимателя должнае остоять ім резистора сопротивлением 1000±50 КОМ и конденсатора емкостью 150±10 пФ, включенных параллельно, а магнитного звукоснимателя — из резистора сопротивлением 47±5 кОМ.

При магнитном звукоснимателе АЧХ предварительного усилантеля должны быть обратив по форме АЧХ канала записи (см. рис. 4.58). Кроме того, при любом типе-ваукоснимателя пеобходимо корректировать неизбежно возникающие частотные и некажения, поэтому следует применты усилатель с раздельной регулировкой тембра на нижних и верхних частотах (см. 4.22).

Чувствительность пьезоэлектрического звукоснимателя равна 50-70 мВ · см-1 с, магнитного - не менее 0,7 мВ • см - с. При конструировании усилителя можно считать, что на средних частотах пьезоэлектрический звукосниматель раз-`напряжение до 1 В, а магнитный — до 10 мВ. Номинальный частотный диапазон звукоснимателя в ЭПУ высшего класса составляет 20-Гц; I — 31,5—16000 Γu, II — 50— 12500 Гц и III - 50-10000 Гц при неравномерности АЧХ 4-6 дБ в середине и 8-10 дБ на краях диапазона. Чувствительности обоих каналов стереофонического звукоснимателя в средней части частотного диапазона могут отличаться не более чем на 2-3 дБ. Переходное затухание между каналами лолжно быть не менее 20 дБ.

Один из лучших звукоснимателей отечественного производства — магнитный звукосниматель



электрический монофонический звукосниматель ГЗК-661 для ЭПУ классов II и III (класс обозначен на переключателе иглы).

Проверку работы и измерение качественных показателей звукоснимателя (и соответственно проигрывателя и электрофона) проводят с помощью измерительных и контрольных грампластинок, выпускаемых фирмой «Мелодия», содержащих запись специальных сигналов (ГОСТ 14761.0-78-14761.5-78). Это измерительные грампластинки для измерения отношения сигнал/ рокот, коэффициента детонации, АЧХ, разделения между стереоканалами и контрольная грампластинка для проверки работы автостопа.

Стереофоническое воспроизведение. Головка звукоснимателя может иметь три или четыре вывода. Маркировка их приведена в табл. 4.11. Стереозвукосниматель полсоединяют к двухканальному усилителю с двумя разнесенными громкоговорителями. Регулировку громкости и тембра проводят в обоих каналах усилителя одинаково и одновременно. Кроме того, часто предусматривается стереобаланс каналов, т. е. изменение усиления в небольших пределах, при котором увеличение · усиления в одном канале сопровождается уменьшением в другом. Для проверки правильности расположения и фазировки громкоговорителей правого и левого каналов применяют демонстрационную грампластинку фирмы «Мелодия».

Таблица 4.11. Маркировка выводов головки стереозвукоснимателя

Количество выводов	Назначение вывода	Номер вывода	Цвет провода (маркировка)
3	Левый канал Общий (соедине- ние с корпусом) Правый канал	1 2 3	Белый , Червый Красный
	Левый канал (со- динейне с корпу- сом) Правый канал Правый канал (соединение : с корпусом)	2 3	Белый Синий Красный Зеленый

Указания по ее использованию записаны на самой грампластинке.

Стереофонический звукосниматель чувствителен к вертикальным перемещениям иглы, поэтому движущий механизм ЭПУ должен быть хорошо отрегулирован, чтобы не создавать во время работы вибраций, прослушиваемых в громкоговорителях (рокот).

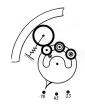
Стереофонические грампластинки обладают свойством совместимости, т. е. допускают воспроизведение и на монофонических проигрывателях и электрофонах. При этом сигналы левого и правого каналов автоматически складываются в звукоснимателе. Монофонические грампластинки можно также проигрывать на стереофонической аппаратуре. Естественно, что сигналы правого и левого каналов при этом одинаковы и звуковоспроизведение остается монофоническим

Движущий механизм ЭПУ, Основная задача механизма состоит в том, чтобы вращать с заданной частотой грампластинку, установленную на диск. Для этого чаще всего применяют асинхронный однофазный двигатель с возможно более жесткой механической характеристикой и частотой вращения 2800 мин і. Мошность на валу двигателя должна быть около 1 Вт. Двигатель устанавливают на амортизаторах с тем, чтобы защитить от его вибраций звукосниматель ЭПУ. Для передачи вращения от двигателя к внутрен-



Рис. 4.61

нему ободу диска обычно применяют редуктор с фрикционной передачей с помощью обрезиненного промежуточного ролика (рис. 4.61). Для получения нескольких частот вращения диска ЭПУ шкив на валу двигателя / делают ступенчатым, а переключателем скорости изменяют высоту положения промежуточного ролика 2. В другом ва-



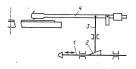
PHC. 4.62

рианте для этой цели используют двухступенчатый редуктор (рис. 4.62),

При выключении ЭПУ очень важно выводить промежуточные ролики из зацепления во избежание деформации их обрезиненной поверхности. Для подстройки точного значения частоты вращения диска ступенчатый шкив выполняют с небольшой конусностью и в процессе регулировки перемещают в небольших пределах промежуточный ролик вверх и вниз. Контроль скорости ведут по стробоскопическим полосам, освещаемым неоновой лампой, питаемой от сети переменного тока. Частота вращения в минуту n = 6000/k, где k число стробоскопических полос. Стробоскопические полосы наносят или на торец диска ЭПУ, или на бумажный диск, укладываемый на грампластинку. Для равномерного вращения грампластикки диск ЭПУ должен обладать достаточно большим моментом инерции, т. е. иметь большой диаметр (до 300 мм) и большую массу (до 3 кг). Движущий механизм содержит ряд устройств, создающих удобства при пользовании ЭПУ:

Автостоя выключает механизм в конце воспроизведения сигналов, записанных с одкой сторомы грампластинки. Наибольшее применение получила конструкция автостопа, действие которой основано на ускорении перемещения тонарма вследствие режого изменения шата выподной каналия грампластники по сравнению с шатом канальки

в зоне записи. Микролифт служит для плавного опускания и подъема звукоснимателя. Простейший микролифт показан схематически на рис. 4.63. Переме-



PHC. 4.6

щение штока Л и связанной с ним детали 2 с наклонной поверхмостью вызывает движение опірающегося на эту поверхмость толкателя З и соответственно подлем наи опускание звукоснимателя Л. Для более плавного действия в кинематическую схему микролифта вводят объчно дополнительное звемо подтормаживания толкателя демпфером с вязкой средой.

Иногда микролифт совмещают с устройством, возвращающим звукосниматель в исходное положение после окончания воспроизведения с одной стороны грампластинки.

<sup>\*</sup> Подробные сведения по расчету механизмов ЭПУ приведемы в книге Ю. С. Полозова «Механизм электромагиятих устройств». М.: Эвергия, 1974.



## МАГНИТНАЯ ЗВУКОЗАПИСЬ

# РАЗДЕЛ (5)

#### СОЛЕРЖАНИЕ

5.1.	Основные характеристики и структурные схемы магнитофонов	221
	Терминология (221). Стандарты на магнитофоны (223). Структурные схемы магнитофонов (225). Дикто-	
	фоны (227)	
5.2.	Электрические схемы узлов магнитофонов . Усилителн (227). Автоматические устройства (231). Генераторы тока подмагничивания и стирания (234).	227
	Усилители (227). Автоматические устроиства (231). Генераторы тока подмагничивания и стирания (234)	
	Индикаторы уровня записи (234)	000
5.3.	Лентопротяжные механизмы магнитофонов	237
	Оощие сведения (237). Электродвигатели для лентопротяжных механизмов (237). 14повые узлы денто- протяжных мехашизмов (239)	
6.4		040
0.4.	Магнитная лента Общие сведення (240). Качественные показатели магнитных лент (241). Ассортимент магнитных лент (241).	240
	Оошие сведения (241). Кочественные показателя нагинивы ден (241). Ассортивен нагинива ден (241).	
5.5	Магнятные головки	949
0.0.	Конструкция головок (242). Эксплуатация магцитных головок (243)	-1-
5.6	Надаживание магнитофонов	244
	Измерительные магнитные ленты (244). Испытание дентопротяжного механизма (245). Испытание канада	
	воспроизведения (246). Испытание высокочастотного генератора (247). Испытание нанала записи	
	воспроизведения (247)	

## 5.1. ОСНОВНЫЕ ХАРАКТЕРИСТИКИ И СТРУКТУРНЫЕ СХЕМЫ МАГНИТОФОНОВ

### Терминология

Основные термины, относящиеся к записи и воспроизведению информации (ГОСТ 13699—80), в частности к магнятной звукозаписи, приводятся элесь в том значении, которое они имеют применительно к бытовым и любительским магнитофонам.

5.7. Микрофовы для любительской звукозаписи

Магнитная запись процесс преобразования сигналов информации (звуковых сигналов) в пространственное изменение остаточной намагниченности носителя (магнитной ленты) или его отдельных частей с целью последующего воспроизведения информации.

Дорожка записи— намагниченная область носителя (магнитной ленты), образуемая при записи.

Фонограмма— носитель записи после того как на нем произведена звукозапись, например магнитная лента с одной или несколькими дорожками записи: в последнем случае говоря го п-дорожечной (двух-, трех-, четырехдорожечной) магнитной фонограмме (фонограмме на магнитной ленте).

п-д о р о ж еч и а я з а п и с ь —способ записи, при котором на магнитилой ленте Оддовременю образуются п дорожек записи. В монофонических магнитофоная кеспа производится однодороженая запись, в стереофонических — двухдороженая запись, в стереофонических — двухдороженая запись в техновите перекаранания. В рехузатате перекаранания и переключения магнитных головок получают двух нам четарехдорожемите обногораму.

О с н о в а — немагнитный слой магнитной ленты, предназначенный для придания ей механической прочности.

Р абочий слой — слой магнитной ленты, предназначенный для сохранения в нем сигналов информации. Он представляет собой застывший лак, содержащий частицы гамма-окисла железа или двуокием хрома.

магнитная головка— миниатюрный магниторный магнитная головка— миниатюрный магнитопровод с обмоткой, взаимодействующий

на очень небольшом участке с магнитной лентой или магнитной фонограммой и осуществляющий запись, воспроизведение, стирание, Соответствующие названия присваиваются головке. Головку, которую в разное время можно использовать для разных процессов, например для записи и воспроизведения, называют универсальной. Головку, которую одновременно можно использовать для разных процессов, называют комбинированной.

Блок магнитных головок — конструктивно неразъемное объединение двух или более магнитных головок, каждая из которых предназначена для отдельной дорожки записи (например, в стереофоническом магнитофоне); количество дорожек указывают в названии, например «двухдорожечный блок универсальных магнитных головок».

Магнитофон — устройство для записи звука и его воспроизведения (реже только для воспроизведения), действие которого основано на магнитной записи. В бытовых и любительских магнитофонах в качестве носителя применяют магнитную ленту, которая при записи намагничивается магнитной головкой; через обмотку головки проходит ток записываемых сигналов и вспомогательный ток с частотой 60-120 кГц, называемый током подмагничивания магнитной ленты. Подмагничивание необходимо для уменьшения нелинейных искажений записи, которые без него очень велики.

п-дорожечный магнитофон — магнитофон, в котором образуется в результате записн или используется при воспроизведении п-дорожечная фонограмма.

Переносный магнитофон — магни- · тофон, приспособленный к перевозкам пассажирским транспортом без принятия специальных мер для его сохранности.

Носимый магнитофон — магнитофон, приспособленный к работе при переносках и при перевозках пассажирским транспортом.

Катушечный магнитофон — магнитофон с магнитной лентой, намотанной на катуш-

Кассетный магнитофон — магнитофон с магнитной лентой, содержащейся в кассете. Магнитола — конструктивное объединение

магнитофона с радиоприемником. Магниторадиола — конструктивное

объединение магнитофона, проигрывателя и радиоприемника. Длктофон — магнитофон для записи речи и ее диктовки при воспроизведении с конечной

целью записи информации от руки или на пишущей машинке. Лентопротяжный механизм — ме-

ханизм, приводящий в движение магнитную лен-

ту в магнитофоне. Рабочий ход — режим работы лентопротяжного механизма, при котором происходит за-

пись или воспроизведение. Ведущий узел — узел лентопротяжного механизма, приводящий ленту в движение во время рабочего хода. В состав ведущего узла входит ведущий вал, к которому лента прижимается обре-Подающий узел — узел лентопротяжно-

го механизма, с которого магнитная лента поступает к магнитным головкам во время рабочего хода. Соответственно используют термины: подающая катушка, подающий сердечник, подаюший рилон ленты.

зиненным прижимным роликом.

Приемный узел — узел лентопротяжного механизма, на который поступает лента, прошедшая магнитные головки во время рабочего хода. Соответственно применяют термины: приемная катушка, приемный сердечник, приемный рулон ленты.

Подкатушник — узел дентопротяжного механизма, на который устанавливается и с которым сопрягается катушка с магнитной лентой.

Подкассетник – узел лентопротяжного механизма, с которым сопрягается кассета с магнитной лентой.

Лентопротяжный тракт — узлындетали лентопротяжного механизма, обеспечивающие заданный путь движения магнитной ленты или фонограммы на магнитной ленте.

Инерционный ролик — узел лентопротяжного механизма, приводимый во вращение магнитной лентой, имеющий значительный момент инерции и предназначенный для уменьшения колебаний скорости ленты.

Лентоприжим — узел, прижимающий магнитную ленту к рабочей поверхности магнитной головки (в простейшем виде - плоская пружина с фетровой наклейкой).

Дрейф скорости — нежелательное изменение средней скорости магнитной ленты во время рабочего хода.

Коэффициент колебания скорости ленты — отношение значения '(среднеквадратического, квазиникового) колебания скорости к ее среднему значению.

Детонация — искажение звука, возникающее вследствие паразитной ЧМ с частотами в диапазоне примерно 0,2-200 Гц; в магнитофоне детонация вызывается колебаниями скорости ленты.

Коэффициент детонации — коэффициент колебания скорости ленты, измеренный специальным прибором (детонометром), содержащим взвешивающий фильтр, который учитывает неодинаковую восприимчивость слуха к ЧМ с разными частотами.

Уровень записи — значение магнитного потока, исходящего из рабочего слоя магнитной фонограммы и замыкающегося через сердечник воспроизводящей магнитной головки, отнесенное (условно) к 1 м ширины дорожки записи. Нормируется т. наз. номинальный ировень записи, относительно которого измеряют многие качественные показатели магнитофона и который стараются не очень превышать во время записи во избежание нелинейных искажений. Для определения уровня записи в магнитофоне имеется индикатор уровня, калибруемый с помощью измерительной магнитной ленты (см. примечание, с. 247).

Измерительная магнитная лент a — фонограмма на магнитной ленте с записью измерительных сигналов, используемая для измерения и настройки магнитофонов. Канал записи магнитофона—

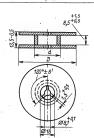
усилитель записи и записывающая головка. Канал воспроизведения магнитофона — головка воспроизведения и усилитель воспроизведения.

## Стандарты на магнитофоны

Катушение магінитофоны. Любительские магнитофоны должны удолаєтнорать смовным требваниям ГОСТ 12392—71 (с 1983 г. его замени-ТОСТ 24663—81) на бытовые катушение станонаризе, переносные и юсимые магінитофоны для того, чтобы обеспечать возможность обмена фонограммани и использования покупных фонограмм промышленного изготовления; Требоввиня ГОСТ следует учитывать при конструкровании любительских матиктофонов еще и потому, тою определяют оптимальные сочетания качественных помазателей и эксплуатцюнных совфетвных помазателей и эксплуатцюнных совфетв-



Номинальная	Класс магнитофонов				
скорость, см/с	I	II	III	ĺν	
Обязательная	19,05 9,53	9,53 4,76 или 19,05 9,53	9,53	4,76	
Дополнительная (необязательная)	4,76 2,38	19.05 4,76	4,76 или 2,38	9,53 HATE 2,38	



Puc 5

К числу стандартизованих параметров относится воминальные скорости магнитой анамити при рабочем ходе (табл. 5.1); требованйя к лентопротяжным механизмам при обватательных скороствя (табл. 5.2); способ намотны матинтий ленроствя (табл. 5.2); способ намотны матинтий лениматира (табл. 5.2); способ намотны магнитий деметре-харожений фонограммы, показанное состороны рабочего слоя (рис. 5.2).

При монофонической записи и монофоническом воспроизведении установлена следующая последовательность дорожек записи: 1, 4, 3, 2. Каждый раз при переходе к следующей дорожке катушки

Таблица 5.2. Параметры лентопротяжных механизмов бытовых магнитофонов

Параметр	Класс магнитофонов			108
	1-	11	111	IV
Опустимое отклонение средней скорости ленты от номинальной, %				
19.05 cm/c	± 2	±2	1	l
9.53 cm/c	±2	±2	±2	l
4,76 cm/c		± 2	-	±2
Соэффициент детомации при питании магнитофона от сети, %, не более:	١.		1	1
19.05 cm/c	±0.1	± 0.15	-	
9.53 cm/c	±0,2	±0,25	±0,3	_
4.76 cm/c	-0,2	± 0.4	-0,0	l_
(оэффициент детонации при питании от автономных источников и универсальном питании, %,	1		1	
e fonee:	ı		1	
19.05 cm/c		±0.3	1_	
9.53 cm/c	_	±0.4	±0.4	
4.76 cm/c	_	± 0.5		±0.6
Максимальный номер катушки для магнитофона при питании от сети	18	15	15	20,0
чаксимальный помер катушки при питании от автономных источников и универсальном питании.	10	15	113	10
Ілительность перемотин катушки денты максимального размера при толщине ленты 37 мкм. с.	_	10	10	10
от положения перемотил катушки ленты максимального размера при толщине менты от мкм, с, не более:				
при питании от сети	180	225	225	
ПОИ питании от автономных источников и унивеосальном питании			1223 Воспроиз	
при питании от автономных источников и универсальном питании		ствующе		
		ствующ		
		абочего		шен си
	POCTR P	racosero	хода	





с лентой переворачивают и меняют местами. При переходе от должки 4 к должка, 3 кроме того, переключают, толовки двухдороженного блока головки. При стерефоіначеской записи и стерефоіначеской записи и стерефоіначеской записи и стерефоіначеской записи и за затем 4 и 2. Дорожки 1 и 4 со-тоетствуют левому, а 2 и 3 — правому каналам. Можно избежать необходимости менять местами жутиви с дентой, если продусмотреть в магнитофоне две направления рабочего хода и четырех-стяующей комутацией голомом.

Рис. 5.2

ГОСТ 12392-71 определяет ряд других важных качественных показателей по классам качества. Стереофонические магнитофоны с сетевым питанием изготавливают классов I и II; с универсальным питанием и питанием от автономных источников — класса II \ Монофонические магнитофоны с любым питанием изготавливают классов II и III, а носимые - классов III и IV. Для бытовых магнитофонов в зависимости от скорости ленты установлены следующие номинальные уровни записи\*: 19.05 cm/c — 320 нВб/м; 9.53 cm/c и 4.76 cm/c — 250 нВб/м. При этих уровнях и частоте записываемого сигнала 400 Гц измеряется коэффициент третьей гармоники и отношение сигнал/помеха. Основные качественные показатели бытовых магнитофонов, измеренные на линейном выходе магнитофона для различных классов приведены в табл. 5.3. В указанных в таблице частотных диапазонах АЧХ канала воспроизведения по измерительной магнитной ленте и АЧХ канала записи-воспроизведения должны укладываться в поле допусков, представленном на рис. 5.3 (здесь  $f_n$  и  $f_n$  — нижняя и верхияя границы частотного диапазона; штриховая линия соответствует классу 1).

В магнитофонах класса I обязательны дистанционый пуск и останов ленты, счетчик ленты, автостоп, выключающий лентопротяжный механими при коменами или обрыме ленты, устройство для чистки движущейся ленты от пыли, спаренных регулятор усласения в обоюх стере-фонических канай регулятор усласения при воспроизведения, мый регулятор усласения при воспроизведения, ланс), разделаные регулаторы тембра по НЧ и ВС и регулятор, рокиссти, вибетиющие тождых обр и прослушивания через громкоговорители мыгиктофона.

Внешние электрические цепи звуковой частоты должны подсоединяться к магнитофону с помощью соединителей по ГОСТ 12368—78, состоящих из вилок и розеток.

Около органов управления и соединителей ставят условные функциональные обозначения (символы и надписи), установленные ГОСТ 20837—75. Некоторые из них приведены на рис. 5.4.

. Кассетные магнитофомы. Бытовые магнитофоны этого вида (ГОСТ 20838—75; с 1983 г. вступает ГОСТ 24863—81) изготаванивают с одной обязательной воминальной скоростью рабочего хода ленты 4,76 см/с четырек классов. В кассетах колавивриют гипа (ГОСТ 20929—75), содержаших два сердечника для ленты, расположенных в одной пососит (рис. 55.), рабочим слоем нару-

Таблица 5.3. Электрические качественные показатели бытовых магнитофонов

	Параметр		Класс магнитофонов				
	Tapasci P	1	II	III	iv		
Этношение сигнал/помеха, д.Б. и		2,5 45	3,5 42	3,5 39	1 37		
Настотный днаназом, Гц, при ско 19,05 см/с 9,53 см/с 4,76 см/с	рости:		40-16 000 63-12 500 63-6300		- 80-6300		
Рассогласование АЧХ стерсокана	лов, дВ, не более ння из одного стереоканала в другов, дВ	. 5	5	-	-0300		
80 Γα 1000 Γ1 8000 Γn	. *	20 35 24	-20 -35 -24	=	=		

<sup>\*</sup> В новом стандарте указанные значения используются как опорные уровни записи. Номинальные уровни превышают спорные.



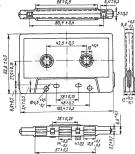


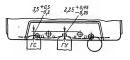
Рис. 5.5

жу намотана магнитная лента шириной 3,81 мм. В зависимости от общей толщины ленты (27 или 18 мкм) длительность рабочего хода в одном направлении может достигать соответственно 30 или 45 мин. Расположение дорожек записи на денте показано со стороны рабочего слоя на рис. 5.6. Дорожки 1 и 2 используют одновременно при одном направлении движения ленты (сторона кассеты 1), дорожки 3 и 4 — при другом (сторона кассеты 2). При монофонической записи указанные пары дорожек (включая иногда промежутки между ними) содержат одинаковые сигналы записи. При стереофонической записи дорожки 1 и 4 должны содержать сигналы записи, воспроизводимые через левый (глядя от слушателя) громкоговоритель.





PHC. 5.6



Рмс. 5.7

Кроме того существуют нестандартные кассеты с двумя соосными катушками, кассеты с бесконечным рулоном, кассеты с петлей ленты.

Для лентопротяжных механизмов кассетных магнитофонов и кассет нормированы, кроме того, следующие требования: 1) диаметр ведущего вала не должен превышать 3 мм; 2) давление лентоприжима на универсальную магнитную головку должно составлять (5-15) · 103 Па; 3) кассета должна устанавливаться в магнитофоне только на посадочные поверхности; 4) момент трения полного рулона ленты в кассете не должен быть более 2.7 • 10 - 3 Н • м. При тормозном моменте 0.8 • 10-3 Н • м, приложенном к подающему сердечнику при минимальном диаметре намотанного на него рулона, момент, который надо приложить к полному рулону на приемном сердечнике, чтобы стронуть ленту с места, не должен превышать 5,5 · 10-3 H · м.

Магытные головки устанавлявают относительно кассеты, как это показано на рис. 5.7; направляющие для ленты располагают в местах по обень историова выреза для головки. На горцевой стороки, расположены для небольшие полости, называетмые сарменами. Каждая полость закрыта пастимасовым упором. В некоторых кассетных магинтофонах имеются специальные речаги, котором дожно для дожно

## Структурные схемы магнитофонов

Большинство бытовых и любительских магнитофонов имеют универсальный усилитель, т. с. усилитель, работающий и при записи, и при вос-

Рис. 5.8

произведении (рис. 5.8). При переходе от восприизведения В к зависи 3 производится пеобходится пеобходится пеобходится пеобходится пеобходится пеобходится по УСУ, заменяется (ета «ТАК» и вълючается ВЧ тенератор Г. Окомечный усилитель ОУ и громкоговоритель Гр. Зависи и постасуроще воспроизведение через громкоговоритель. Если микрофон во время завити не расположен вбизим матичтофоня, контроль через громкоговоритель пеновоможен, т. к. приводит к в мустическому самоводумдению. Пога громкоговоритель выключают, в контроль ведут утовень зависи заменому и иникатором ИП. Утовень зависи заменому и иникатором ИП. Утовень зависи заменому и иникатором ИП.

вилоченным на выход универсального усилителя. К тому же выходу подключают универсальную магинтую головку. Благодаря такому включенню показания надыкатора не завекят от громости слухового контроля, которая регулируется усильнем окомечного усилителя. Выход универсальното усилителя (т. наз. л и н е й и и в ы х од натитофома) сосыняют с вмешими соединителем фона при перезаписи мия выещиего громогопорушего агрегата. Действующее замачение напряжения зтом выходе должно доститать 0,25—0,5 В при сопромогности и межения высораться и при при сопротиваеми и вагрухия и менее 10 кОм.

Кроме поквазанного на рис. 5.8 микрофонного жода магиторон содержит еще входы для подключения звухоснимателя (или линейного выхода для подключения звухоснимателя (или линейного выхода ния. Микрофонный вход должен иметь сопротванение меньшее, чем номинальное сопротваление нагрузия применяемого микрофона, а напряжение на этом входе принимают равыми напряжению, развиваемому микрофоном на нагрузке с номинения 0.2 Па. риз зруковом давления 0.2 Та. риз зруковом давле-

Входные напряження и сопротивления для других входов равны соответственно: 3вукосниматель 150-500 мВ,  $R_{\rm sx}>400$  кОм; Paduonpueмник 10-30 В,  $R_{\rm sx}>25$  кОм; Paduonpueмник 10-30 В,  $R_{\rm sx}>20$  кОм.

Рис. 5.9

Другая, более совершенная структурная схема магнитофона (рис. 5.9) содержит раздельные усилители и раздельные магнитные головки записи и воспроизведения. В результате образуется сквозной канал, позволяющий непосредственно в процессе записи контролировать ее качество. В усилителе записи УЗ осуществляются частотные предыскажения записываемых сигналов, и мощность сигналов доводится до величины, достаточной для нормальной работы записывающей головки. В усилителе воспроизведения YB проводится предварительное усиление сигналов, вырабатываемых воспроизволящей головкой, и их частотная коррекция. Выход УВ соединен с индикатором уровня записи (ИП) и линейным выходом магнитофона. Остальные составные элементы — те же. что и в схеме на рис. 5.8. Иногда для более точной слуховой оценки качества записи в усилитель вводят переключатель, позволяющий соединять вход оконечного усилителя или с выходом УВ, или . с промежуточным выходом УЗ (до того места в его схеме, где осуществляются частотные предыскажения). Это позволяет сравнивать звучание до и после записи

Структурная скема стереофонического магнитофила образуется из двух рассиотренных структурных схем, монофонических магнитофонов; общий для обоих каналов авинси ВР генератор делают более мощным (2—3 Вт). При спефазных входных сигналах сигналы, записанные на дорожках, должны быть также синфазными, что достигается применением двухдороженого блока магнитых головох записи, у которых рабочие заворы расположены ждоль общей примой, образующей с направлением движения легиз угоз 90° ±8°. Авалотистальзуется и для воспрозведения. Взоможно также четользование одного блока уннередальных магнитых головок.

Для получения правильной картины размещения источников звука в пространстве при стереофонческом воспроизведении усиление должно регулироваться при записи при воспроизведении одинаково и одновремению в обоих квалах. Так же регулируется и тембр при воспроизведении. Кре. Того, необъящим при состроизведении. Кре. Того, необъящим при достроизмессию магнитороме должны незаначительно разлачиаться между собой по всем выдам потерь магнитные голожи, входящие в развие стереоканалы. Выравнивание их показателей сильно различающимися частотными предыскажениями и коррекцией недопустимо.

Запись с наложением. Так называют записи речевых пояснений не фоне ранее записанию мужиемых пояснений не фоне ранее записанию мужки. Для такой записи головку стирания отключают и потому сительна прежней записи на ленте анцычастими стираются полен подмат нечинали частими частими стирами и полен подмат нечинали частими с наложением в матнитофием селедует предусторреть переключатель, отключающий головку стирания и заменяющий ее резистором. Сопротивающье резистора подбирают так, чтобы ток (напряжением) подматиливалия при нереключениях не па-

## Диктофоны

Диктофоны широкого применения изготавливаются промышленностью в соответствии с требованиями ГОСТ 14907—78. От магнитофона диктофон отличается следующим:

1. В качестве носителя записи используются деяты (вы катушках и в кассетах), а также матненты (вы катушках и в кассетах), а также матнитые, диски диаметром 155 мм диаметром 97 мм. Для магнитных деят применяют скорости , 47:6, 22.6 см/с вля скорости, магноприменя в циромих и тому же закону при записи и при воспроизведении.

 Требования к качеству звукозавися поняженя, т. к. диктофон должен анцы разборчаю передавать речь при воспроизведении. Вполне достатоечи частотный дивлазом от 200—300 Гн. до 3— 5 кГп. коэффициент дегомации до 3%, относительвам в стам от 3%. В замым дополнительным требованием является разборчивость слогов; она должна составлять 70—90%.

 Для упрощения записи совещаний и конференций, когда в иступающие могут находиться на разном расстоянии от микрофона, в диктофонах часто устанавливают АРУ для записи. Благодаря этому при изменении входного напряжения на 25 дБ уровень записи изменяется только на 6 дБ. Время срабатывания АРУ 5—200 мс, время восстановления — не менее 0,5 с.

4. Для упрощения записи речи, поступающей с большими паузами, например записи телефонных переговоров, распоряжений диспетчера и др., в диктофонах предусматривают автоматический пуск носителя после появления входного сигнала (длительность пуска не более 0,15 с) и автоматический останов через 2—6 с после прекращения сигнала.

5. При воспроизведении во время буквенной перезапния межанизм диктофина работает в стартстопном реклике, т. е. его рабочий код выпочается и впепродолжительное время, затем выключается; притега выпочается и т. в передолжительное у притега при

Для облегчения буквенной перезаписи в диктофоне предусматривается дистанционное управление механизмом при воспроизведении с помощью ножной педали или небольшого клавишного устройства, которое можно закрепить на пишущей машинке. Такое управление позволяет легко включить, выключить и повторить воспроизведение, не отвлекаясь от работы на машинке или от перезаписи вручную. В некоторых диктофонах после каждого останова носителя он автоматически передвигается в обратном направлении на небольшое расстояние. Благодаря этому воспроизведение начинается с повторения части предыдущей группы слов, что облегчает понимание речи. Иногда применяют автоповтор, при включении которого автоматически осуществляют откат и последующее включение воспроизведения.

### 5.2. ЭЛЕКТРИЧЕСКИЕ СХЕМЫ УЗЛОВ МАГНИТОФОНОВ

## Усилители

Постейший универсальный усилитель для ожоскорстного посимого магиатофома (рк. 6.510) содержит каскады предварительного усиления на транзисторах  $T_1$  и  $T_2$  и каскады дополнительного усиления на транзисторах  $T_3$  и  $T_4$ . Связь между транзисторам  $T_1$  —  $T_4$  а транзисторам  $T_3$  и  $T_4$ . Вепоменяе тремительного усиления на транзисторам  $T_1$  —  $T_4$  а транзисторам и сответствии еминет рожим работы усилителя в соответствии еминет рожим работы усилителя в соответствии еминет рожим работы усилителя в соответствии еминет рожим  $B_1$ —  $B_1$ , этого переключатель показан в режиме «Роспроизведатель показан в режиме «Поспроизведатель и  $B_1$ —  $B_1$ ) —  $B_2$  этого переключателя писькомочателя собъем усилителя писькомочателя собъем  $B_1$ —  $B_2$  — записы мере алиси него должно в предоставления в пред

 $B_{10}$  к универсальной головке подается ток записи и ток подмагничивания от генератора  $B\Psi\Pi$ .

Каскала усиления попарно оквачени ООС. В предварительном усилитель, имеющем диненмую АЧХ, таких связей две. Напряжение одной за них симыется сколлестора Тразинстора Тра и через коиденсатор Ср. подводится к его базе, благодаря чему ограничивается усиление вераха, звуковых частот за границами рабочего дивлавана и тем самым учевышаются характерных частотах. Напряжение другой ООС также симыется тах. Напряжение другой ООС также симыется тах. Напряжение другой ООС также симыется тодаюдится и миттеру траном сторы той ООС устанавливается общий коэффициатукаления усилителя, причем в режиме воспроизветукаления усилителя, причем в режиме воспроизвесения подсторечным резистором Я<sub>с</sub> устанавлявается сенняя подстором Я<sub>с</sub> устанавлявается меняя подстором Я<sub>с</sub> устанавлявается сенняя подстором Я<sub>с</sub> устанавлявается сенняя подстором Я<sub>с</sub> устанавлявается меняя подстором В<sub>с</sub> устанавлявается меняя подстором В<sub>с</sub> устанавлявается меня подстором В<sub>с</sub> устанавля меня подст ит на личейном выходе напряжение 0,25—0,5 В В Доловингальном усыватие ООС сиспользуются для коррекции АЧХ. Ее напряжение симается для коррекции АЧХ. Ее напряжение симается с коласктора тразізістора  $T_{\rm A}$  и через группу  $B_{1,2}$  и цепозик  $R_{\rm A}C_{\rm B}$  на  $R_{\rm A}C_{\rm B}$   $T_{\rm A}$  подводится к эмитеру тразизистора  $T_{\rm B}$  осуществляя тем самым подкем АЧХ в области нижних звуковых частот произходит благодаря включению в цепь коллентора траничногора  $T_{\rm A}$  контура  $T_{\rm C}$  на цептреног на верхнюю граничную частоту рабочего дыпаваю на часто. В режиме записи этот контур шунтвру-

ется резистором R<sub>17</sub>, что приводит к некоторому уменьшенно усиления на верхних частотах. Указанные на схеме значения элементов коррекшин АЧК соответствуют постоянным времени τ<sub>1</sub> = 120 и τ<sub>2</sub> = 1590 мкс, стандартизованным для скорости ленты 4,76 см/с. В качестве регулятора уровня записи и громкости воспроизведения используется переменный резистор R<sub>11</sub>.

Усилитель для переносного или стационарного магнитофона с питанием от электросети переменного тока (рис. 5.11) отличается от усилителя для односкоростного носимого магнитофона

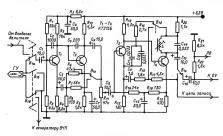
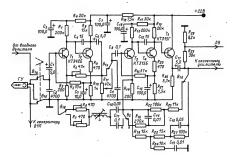


Рис. 5.10



PRC. 5.11

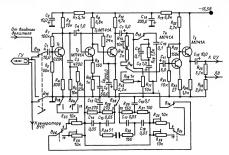
(см. рис. 5.10) наличием эмиттерного повторителя на транзисторе  $T_5$ , обеспечивающего пониженное выходное сопротивление.

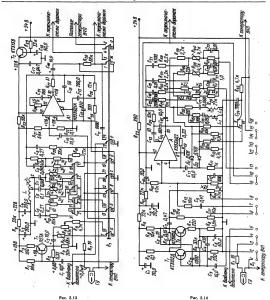
С помощью подстроечных резисторов  $R_6$  и  $R_7$ в зависимости от режима работы устанавливают требуемый подъем АЧХ в области верхних звуковых частот. Общий коэффициент усиления, устанавливаемый полстроечным резистором  $R_i$ , одинаков для обоих режимов. Переключатель  $B_2$  изменяет цепи частотной коррекции в зависимости от скорости движения ленты. Указанные на схеме значения элементов рассчитаны на такие же постоянные времени, как и в усилителе на рис. 5.11 для скорости 4,76 см/с и на постоянные времени = 90 и т<sub>0</sub> = 3180 мкс для скорости 9.53 см/с. Переменный резистор R<sub>11</sub> служит только для изменения уровня записи. Регулятор громкости воспроизведения в этом случае располагают на входе оконечного усилителя.

Усилитель на рис. 5.12 рассчитан на ћепользование в друкскоростном матитофоне с питантофоне от вета переменного тока или батареи при скоростах магнитом Ленты 19,05 и 19,53 см/с с постояннами времени т, 70 и т, 140 мкс соответственност отличне от предажущего усилителя заключане в использовании в цени коррекция двойного Т-об- развитом моста для подъема АVX в областя верхних зауковых частот. Подстроечные режиторы  $R_3$  и  $R_3$ — в режиме записи. Подстроечные режиторы  $R_3$  и  $R_3$ — в режиме записи. Подстроечные режиторы  $R_3$  и  $R_3$ — в режиме записи. Подстроечным режитом  $R_4$  устанавливают напряжение на личейном вклоас IB. Переменный режистор  $R_{17}$  слаужит регудятором урован записи.

гулятором уровня записи.
В бытовых магнитофонах широко применяют усилители в интегральном исполнении (интегральные модули ИМ). В магнитофонах используют как операционные усилители, так и специальные ИМ серии К237, разработанные для носимых кассетных магнитофонов.

Схема одного из подобных универсальных усилителей, в котором используется операционный усилитель, показана на рис. 5.13. Она включает предварительный линейный усилитель, построенный на малошумящем транзисторе  $T_1$ , и дополнительный корректирующий усилитель, работающий на ИМ А1, и предназначена для работы при скоростях ленты 4,76; 9.53 и 19.05 см/с. Линейный усилитель собран по схеме ОЭ. Сигнал, усиленный линейным усилителем, через группу В переключателя рода работы В, подается на неинвертируемый вход ИМ (вывод 5). К инвертируемому входу ИМ (вывод 4) подключены элементы коррекции, включенные в цепь ООС, охватывающей ИМ. Напряжение ООС снимается с выхода ИМ (вывод 10) и подается на инвертирующий вход. В области верхних звуковых частот коррекция осуществляется последовательным контуром, состоящим из катушки L, конденсаторов  $C_5 - C_7$ , поочередно включаемых на различных скоростях, и резисторов R<sub>10</sub> — R<sub>15</sub>, с помощью которых устанавливается необходимый подъем АЧХ. На скорости 4,76 см/с в режиме воспроизведения к катушке L переключателем  $B_2$  подключаются конденсатор  $C_5$  и резистор  $R_{10}$ , на скорости 9,53 см/с — конденсатор  $C_8$  и подстроечный резистор  $R_{13}$  и на скорости 19,05 см/с — переключателем  $B_3$  конденсатор  $C_7$  и подстроечный резистор  $R_{15}$ . В режиме записи соответственно включаются резисторы  $R_{11}$ ,  $R_{12}$  и  $R_{14}$ . Қоррекция нижних звуковых частот в режиме записи общая для всех скоростей задается цепью  $R_{20}C_9$ . В режиме вос-





произведения коррекция инжини и средних звуковых частот осуществляется шевью  $R_1 = R_{11}C_1$ на скорости 19.6 гм. (— Len  $R_{21}C_1$ ) и испью  $R_{12}C_1$  гм.
скорости 19.6 гм. (— Len  $R_{21}C_1$ ) и концемствуют ( в концемствуют (— Len  $R_{21}C_1$ ) и концемствуют ( а концемствуют (— для ограничения усиления возможного возбуждения ИМ. Еще одка цевь  $R_{21}R_{22}C_1$ ) — стабилизирует работу ИМ багодаря  $R_{21}R_{22}C_1$  — стабилизирует работу ИМ багодаря глубокой ООС по постоянному току. Конденсат рос  $C_1$  и реэвтого  $C_2$  и стабилизирует рос  $C_3$  и резистором  $C_3$  образуют заекторный фильтурный фильтурный работор  $C_3$  и резистором  $R_2$  образуют заекторный фильтурный фильтурн тающего напряжения. Напряжение на линейном і выходе в режиме воспроизведення устанавливают подстроечным резистором  $R_{\rm b}$ , а в режиме записи между линейным и корректирующим усилителями включается регулятор уровня записи — переменный резистор  $R_{\rm b}$ .

Дугой высокренный укалитель, рассчитанный для доботы на скоростя 20,3 и 19,05 см/с, показан по рис. 5.14. Он отличается от предыдущего тем, что линеймый укалитель построен на двух малошунящих транзисторах Т, и Т, корректирующие цени на разных скоростях независимы ключаму от другой и выконаются электронными ключаму в качестве которых коголозуются дводы 2, и Д-

На скорости 19.05 см/с, для которой постоянная времени т = 70 мкс, подъем на верхних звуковых частотах осуществляется контуром  $L_1C_{16}R_{25}$ , а регулировка в области верхних и средних звуковых частот в режиме записи подстроечным резистором  $R_{28}$  и в режиме воспроизведения — резистором  $R_{36}$ . В этом же режиме подъем нижних звуковых частот производится цепью  $R_{27}C_{22}$ . На скорости 9,53 см/с, постоянные времени для которой должны быть  $\tau_1 = 90$  и  $\tau_2 = 3180$  мкс соответственно, включаются контур  $L_2C_{17}R_{26}$  и цепи  $C_{18}C_{20}R_{30} - R_{33}$  при записи и  $C_{21}C_{23}R_{38} - R_{41}$  при воспроизведении. Переключение цепей коррекции в зависимости от скорости ленты производится переключателем  $B_2$ . Фазовые искажения в ИМ устраняются с помощью цепи  $C_{13}C_{14}R_{24}$ . Одновременно конденсатор С14 устраняет возможное возбуждение на СВЧ. Стабилизация ИМ путем глубокой ООС осуществляется резистором  $R_{10}$ . Напряжение на линейном выходе в режиме воспроизведения устанавливается подстроечным резистором R<sub>11</sub>, а в режиме записи между линейным и корректирующим усилителями переключателем рода работы  $B_1$  включается регулятор уровня записи — переменный резистор R<sub>14</sub>. Питание на ИМ подается через дополнительный развязывающий фильтр  $C_{10}R_{13}$ .

Рассмотренные усилители применяют как в монофонических, так и в стереофонических магнитофонах. В последнем случае необходимы два усилителя. Для магнитофона со сквозным каналом можно использовать те же схемы, оставив в каждом из усилителей цепи коррекции для одного вида работы (записи или воспроизведения).

Усилители по приведенным схемам рассчитаны на работу с магнитными головками, индуктивность которых равна 30-100 мГ. Напряжение на линейном выходе должно иметь значение от 0.25 до 0.5 В, а напряжение, подводимое ко входу оконечного усилителя, 0,5-1,5 В.

## Автоматические устройства

Автоматическое регулирование уровня записи (АРУЗ) применяют для того, чтобы облегчить запись программ с микрофона в магнитофонах и особенно в диктофонах. В радиолюбительских условиях запись на магнитофон программ с РВ или ТВ приемника или с граммофонной пластинки довольно проста, т. к. достаточно установить уровень записи в моменты наиболее громкого звучания. Объясняется это тем, что звукорежиссером на студии уже отрегулирован уровень и каких-либо неожиданностей возникнуть не может. Другое дело, когда приходится проводить «живую» запись с микрофона. Во избежание неопределенных изменений уровня сигнала в этом случае все время необходимо следить за показаниями индикатора уровня записи и почти непрерывно регулировать уровень сигнала, подаваемого на запись. Но при самом тплательном регулировании избежать кратковременных превышений максимального уровня записи не всегда удается. Можно, конечно, заранее уменьшить уровень записи, оставив резерв на непредвиденное увеличение входного сигнала, однако это приведет к уменьшению динамического диапазона записи из-за ухудшения соотношения сигнал/шум

Если в РВ и ТВ приемниках АРУ поддерживает определенное соотношение между входным сигналом и напряжением на нагрузке детектора, то цепь АРУЗ в магнитофоне призвана поддерживать напряжение на выходе усилителя записи практически на неизменном уровне, когда входной сигнал достигает определенного уровня или пре-восходит его. Говоря иначе, цепь АРУЗ в магнитофоне должна иметь амплитудную характеристику ограничителя.

Используемые в магнитофонах цепи АРУЗ различаются по назначению и в зависимости от этого отличаются качественными показателями и временными характеристиками. Особенно важны временные характеристики, от которых зависит степень искажения сигнала. Так, для записи речевых программ время срабатывания обычно выбирают от 5 до 25 мс, а время восстановления от 0.5 до 10 с.

Цепи АРУЗ, применяемые в магнитофонах, различают еще и по способу подачи управляющего напряжения. Известны три способа подачи управляющего напряжения: прямое регулирование, когда управляющее напряжение снимается со входа усилителя, усиливается вспомогательным усилителем, выпрямляется, фильтруется и в требуемой полярности подается на регулирующий элемент; обратное регулирование, когда управляющее напряжение снимается с выхода усилителя, выпрямляется, фильтруется и в требуемой полярности подается на регулируемый каскад; смешанное регулирование, когда используются оба предыдущих способа.

В авторегуляторе по схеме на рис. 5.15 используется прямое регулирование. Подаваемый на запись сигнал усиливается транзистором Т, и распределяется по двум ветвям. Через одну из них, состоящую из резисторов R6 и R16 и конденсатора Ся, сигнал поступает непосредственно на базу транзистора  $T_4$ . Через цепь  $C_3R_5$  сигнал подводится к базе транзистора  $T_2$  — эмиттерного повторителя и с него - к транзистору Та, усиливающему сигнал АРУЗ, и далее на выпрямитель, собранный на диодах  $\mathcal{I}_1$  и  $\mathcal{I}_2$  по схеме удвоения напряжения. Выпрямленное напряжение подается на конденсатор  $C_7$ , от емкости которого и постоянной времени зарядно-разрядной цепи зависят временные характеристики АРУЗ. Напряжение с этого конденсатора через резистор  $R_{15}$  подается на диод  $\mathcal{A}_{3}$ , который совместно с резистором  $R_6$  составляет делитель напряжения, поступающего на базу транзистора  $T_4$ . С увеличением уровня входного сигнала растет выпрямленное напряжение на конденсаторе  $C_{\tau}$ , рабочая точка диода  $\Pi_{\tau}$  смещается в сторону больших токов. Его сопротивление уменьшается, и напряжение, снимаемое с делителя  $R_6 \mathcal{I}_3$ , также уменьшается. Детали схемы подобраны так, что напряжение на базе транзистора  $T_4$  поддерживается практически неизменным

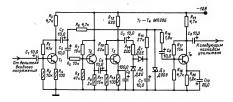


Рис. 5.15

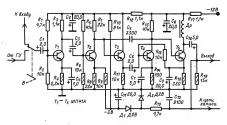


Рис. 5.16

при изменении уровня входного сигнала на 26 дБ. В устройстве на схеме рис. 5.16 (соответствует автоматическому диктофону конструкции радиолюбителя А. Румянцева) использовано обратное регулирование. Сигнал подается в цепь АРУЗ с выхода усилителя, выпрямляется диодами Д. и Д2, включенными по схеме удвоения напряжения, и поступает на конденсатор  $C_{11}$  зарядно-разрядной цепи. Напряжение регулирования с этого конденсатора через резистор Ко подается в отрицательной полярности на эмиттер транзистора  $T_2$ . Увеличение сигнала на выходе усилителя приводит к уменьшению тока эмиттера транзистора Т2 и, как следствие, к уменьшению усиления. Отличительной способностью этого усилителя является наличие напряжения противосмещения, которое снимается с делителя напряжения R<sub>8</sub> - R<sub>10</sub> и подается на диод. Это напряжение определяет порог срабатывания АРУЗ. В данном случае АРУЗ работает при напряжении входного сигнала от 0,2 до 2 мВ, т. е. обеспечивает регулирование усиления в 20 дБ.

Динамический. ограничиталь шума (рис. 5.17) также можно отнести к автоматическим устройствам. Он представляет собой устройство активного подавления шумов ленти в пожа фазокомпексационного типа и является адаптивно перестраниземым фильтром инжиния частот обфильтр обычно включают между предварительным и оконечным усилительным кассетного матитофона, работающего в режиме воспроизведения. Действует он селующим образом.

Сигийа, поступнівший на вход устройства, попадает на базу транзистора Т, на выходе которого оп разделяется на две составляющие, направияене по раздитиция на съвтиенного Т, Перва составляющая U, представляет собой сумму полюсигиала, ещимемого с эмитера транзистора Т, через резистор R, в повернутой по фазе на 180° ство высокочастотой части, силимемой с коложетоето высокочастотой части, силимемой с коложетоставляющая подается на сумматор через подставляющая подается на сумматор через подстроенный резистор R, в Тогора составляющая U,

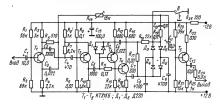


Рис. 5.17

синмеется с эмитера транзистора  $T_1$ , обрабатывается фильтром  $C_R c_R r_C c_R s_R T_2$ , пропускающим сигналы с частотой выше 4,5 к  $\Gamma_4$ , затем усиливается транзисторами  $T_3$  и  $T_4$  и поступает на переменный и постоянный аттеноаторы

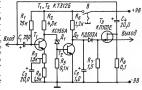
Затухание переменного аттенюатора, работающего на диодах  $\mathcal{A}_3 - \mathcal{A}_6$ , управляется поступающим с транзистора  $T_4$  напряжением. При наличии на входе устройства только напряжения шума его ВЧ составляющая беспрепятственно проходит через переменный аттенюатор, т. к. его затухание очень мало из-за малого уровня управляющего напряжения. Постоянный аттенюатор, состоящий из резисторов R<sub>17</sub>R<sub>18</sub>, восстанавливает общее усиление второй составляющей сигнала и напряжение U2, поступающее на сумматор, примерно равно входному напряжению. Подстроечным резистором  $R_{14}$  устанавливают напряжение  $U_1$ , примерно равное  $U_2$ . Эти напряжения на сумматоре складываются, но т. к. они противофазны, то напряжение на выходе устройства отсутствует, т. е. ВЧ составляющая шума ленты в паузе практически не слышна.

не претерпевая каких-либо изменений. Ограничитель шума может быть постоянно подключен к магнитофону. Включение и выключение

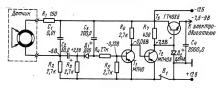
его производится выключателем В. Более простое устройство, выполняющее аналогичную функцию (оно разработано радиолюбителем Л. Мединским), показано на рис. 5.18. Работает оно следующим образом

Сигнал, поступающий на вход устройства, " усиливается транзистором Т1, и если это напряжение достаточно велико, стабилитрон Д пробивается. При этом открывается транзистор  $T_2$ , и конденсатор С, разряжается через его участок эмиттер - коллектор. В результате открывается транзистор  $T_3$ , и сигнал, поступающий через конденсатор  $C_4$ , практически беспрепятственно поступает на выход устройства. Если же уровень сигнала снизится и станет меньше порога срабатывания, который устанавливается подстроечным резистором R<sub>3</sub> от 0,2 до 1,5 В (при большем напряжении возможно искажение формы сигнала), транзистор  $T_2$  закроется, конденсатор  $C_3$  быстро зарядится через резистор  $R_6$ , и транзистор  $T_3$  также закроется. При этом сопротивление его канала увеличится и сигнал на выходе устройства будет значительно ослаблен.

Резистор  $R_3$  обеспечивает сохранение постоянной составляющей на конденсаторе  $C_4$ . Включение и выключение устройства осуществляется выключателем B.



PHC. 5.18



Puc. 5.19

Автостоп кассетного магнитофона, схема которого приведена на рис. 5.19, также может быть отнесен к автоматическим устройствам. Автостоп при обрыве или окончании ленты в кассете работает следующим образом. Датчик автостопа состоит из контактной платы с износостойким покрытием, установленной под приемным узлом лентопротяжного механизма, и скользящих контактов, расположенных на нижнем торце приемного узла. При движении ленты контакты датчика непрерывно замыкаются и размыкаются. Благодаря большому времени заряда конденсатора С3 напряжение на базе транзистора  $T_1$  мало и поэтому он открыт, а транзистор Т, закрыт. В этом случае напряжение питания электродвигателя, снимаемое с эмиттера транзистора  $T_3$ , будет достаточным для его нормальной работы. При останове приемного узла происходит перезаряд конденсатора  $C_3$ , напряжение на базе транзистора  $T_1$  увеличивается, и транзистор Т, закрывается. Это приводит к открыванию транзистора  $T_2$ , шунтированию стабилитрона Д2 и, как следствие, к уменьшению напряжения на эмиттере транзистора  $T_3$  и прекращению вращения электродвигателя. Чтобы при кратковременном останове ленты электродвигатель не выключался, в схему введены контакты В1, которые при необходимости размыкают и исключают влияние автостопа на работу электродвигателя.

## Генераторы тока подмагничивания и стирания

На рис. 5.20 показани скемы друх транянсторым х генераторов, выполнених п свярхтактной скеме. Один из них (рис. 5.20, а) имеет индуктивамую обратирую связы, а другой — емкостиую. Катушка для генератора по скеме на рис. 5.20, а мамотам в да марксекционном каркасе и зноличионного материала и помещена в чашки Б-22 им феррита марки М2000ИИ, Обмотка / Б-22 00 вигком того ме провода  $105 \times 20 \times 100$  вигком гого ме провода  $105 \times 20 \times 100$  вигком гого ме провода  $105 \times 20 \times 100$  вигком гого ме провода  $105 \times 20 \times 100$  вигком гого ме провода  $105 \times 20 \times 100$  вигком гого ме провода  $105 \times 20 \times 100$  вигком гого ме провода  $105 \times 100 \times 100$  вигком гого ме провода  $105 \times 100 \times 100$  вигком гого ме провода  $105 \times 100 \times 100$  вигком гого материальной развичных секциях каркаса, а обмоть у III мужно уложить равномерно в обе секции

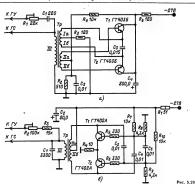
каркаса. При указанных на скеме параметрах заменитов частота генератора 70 кГш. Для тенератора на рис. 5.20, 6 может быть использована та же катушка, но без обмоти. Л. Оба генератора рассчитаты на работу с универсальной или записавающей магнитной головкой индуктивностью 30—100 мГн и ферритовой стирающей головкой анидуктивностью. Об.—1 МГн и могут быть использованы в монофозических и стереофонических магнитофонах.

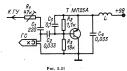
На рис. 5.21 приведена более простая схема генератора, предназначенного для упрошенного носимого магнитофона. В качестве катушки генератора в ней используется обмогиа стирающей магнитной головки. При указанных на схеме параметрах элементов и индуктивности стирающей головки коло. О.5 м I ч частота генератора 50 к Гш.

Во всех трех генераторах установка тока подмагничивания производится подстроечными резисторами.

## Индикаторы уровня записи

В магнитофонах, построенных на транзисторах, как правило, используют только стрелочные индикаторы уровня записи. Две схемы наиболее простых индикаторов уровня записи, в которых используется микроамперметр типа М476 или М4762, показаны на рис. 5.22. Первый из них (рис. 5.22, а) может быть применен в том случае, когда на выходе предварительного усилителя имеется эмиттерный повторитель. Если же эмиттерного повторителя нет, то для уменьшения влияния индикатора на ток записи между выходом усилителя и индикатором нужно включить каскад на транзисторе  $T_1$  (рис. 5.22, б). В обоих индикаторах для увеличения их чувствительности использована цепь удвоения напряжения на диодах Д, и Д,. Установка показания индикатора, соответствующего наминальному уровню записи, проводится подстроечным резистором  $R_1$ . Время интеграции обоих индикаторов 150-350 мс, а время обратного хода стредки, определяемое временем разряда конденсатора  $C_3$ , составляет 0,5—1,5 с. Индикатор на рис. 5.23, б позволяет также контролировать напряжение источника пи-

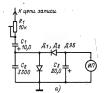


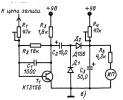


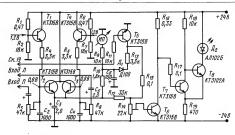
тания, подаваемое в режиме воспроизведения к микроамперметру через подстроечный резистор  $R_{\star}$ .

Описанные индикаторы можно использовать как в могофоннеских, так и в стереофоннеских магнитофонах. В последнем случае возможно применение либо двух раздельных индикаторов для каждого канала, либо одного совмещенного индикатора, который будет показывать наибольшее напряжение в любом из каналов.

Одна из практических схем совмещенного индикатора показана на рис. 5.23. Сигналы левого

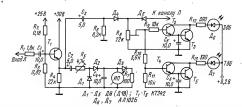






↑ PHC. 5.23

Рис. 5.24 🕹



и правого каналов через подстроечные резисторы подаются на базы транзисторов  $T_2$  и  $T_3$  выполняющих функцию сравнения сигналов. Так как наибольную точность можно получить, сравнивая выпрямленные напряжения сигналов, в устройство включены выпрямления и транзисторах  $T_1$  и  $T_4$ . Обеспечивающие динамический диапазон индикатора на менее 20 дв.

Стредочный индикатор, обладая значительной инерционностью, не способен реагировать на кратковременные сигналы (длительностью менее по менее предусменные сигналы могу боть зависаны с истрации и предусменные предус

Индикатор перегрузки состоит из усилителя на транзисторе  $T_6$ , триггера Шмитта на транзисто-

рах  $T_7$  и  $T_8$  и светодиода  $\mathcal{A}_2$ . Напряжение срабатывания (3—5 дБ по отношению к номинальному) устанавливается подстроечным резистором  $R_{14}$ .

Триггер необходим для того, чтобы резко изменять яркость свечения светодиода от нуля до максимума, как только будет превышено напряжение свабатывания.

Индикатор уровня записи по схеме на рис. 5.24 отличается от предыдущего тем, что в нем предусмотрены раздельные стрелочные приборы для каждого канала (показан индикатор только левого канала) и совмещенный амплитудный индикатор перегрузки на два порога срабатывания (3 и 7 дБ).

На входе нидикатора каждого канала имеется минтерный повторитель на транзисторе  $T_1$ , обеспечивающий согласование с усилителем записи. С нагружам змиттерного пооторителя  $-p_1$  соступает в стрелочный индикатор  $C_2$  поступает на стрелочный индикатор (гео чувствительность регулируется подстроечным резистором  $R_{1,1}$ ) а через конденсатор  $C_3$  и цень сравнения на дио-

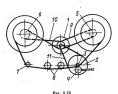
алх  $H_s$  и  $H_s$  — на амплитуаний индикатор, выполнений на составных травляюторах  $T_{sf}$  и  $T_{sf}$ . Порог срабатывания в 3 дБ в устанавливается подточнимы ревостором  $R_s$  а порог «7 дБ» получа, ется автоматически благодаря делителю напряжетия на реасполах  $R_s R_{sf}$ , косуффициент деления оставляющий получа  $R_s$  и  $R_s$  составляющий  $R_s$  и  $R_s$  составляющий  $R_s$  и  $R_s$  составляющий  $R_s$  и  $R_s$  составляющий  $R_s$  и  $R_s$  ( $R_s$   $R_s$ ). Пох через светоднома индикатор от выбросов тока при включении напряжения платилим магинтофона.

## 5.3. ЛЕНТОПРОТЯЖНЫЕ МЕХАНИЗМЫ МАГНИТОФОНОВ

## Общие сведения

Большинство бытовых и любительских магнитофонов имеет лентопротяжный механизм с одним лвигателем и олним направлением рабочего хола ленты. Кинематическая схема такого механизма приведена на рис. 5.25. Здесь 1 — электродвигатель; 2 — маховик ведущего вала; 3 — ведущий вал; 4 — прижимной ролик; 5 — фрикцион приемного узла; 6 — фрикцион подающего узла; 7 обводной ролик (иногда инерционный ролик или просто обводная неподвижная стойка): 8 универсальная и стирающая магнитные головки; 9, 10, 11 — пассики (бесконечные бесшовные ремни). Во время записи и воспроизведения ведущий узел продвигает магнитную ленту с постоянной скоростью, равной окружной скорости ведущего вала, к которому лента прижимается свободно вращающимся обрезиненным прижимным роликом. Ведущий вал вращается от электродвигателя через ременную передачу или с помощью промежуточного обрезиненного ролика. Для изменения скорости ленты изменяют коэффициент передачи. Массивный маховик на ведущем валу стабилизирует частоту его вращения и уменьшает детонацию звука. Во время рабочего хода лента разматывается с рулона на подающем узле, проходит по обводному ролику или стойке, по магнитным головкам, через ведущий узел и наматывается на рулон приемного узла.

Так как частота вращения подающего и приемного узлов изменяется в зависимости от количест-



Pac. 5.25

ва ленты в соответствующих рудонах, соединения данитатия с этими уздами соуществиятся не просказазывающие фрикционы. Подающий узае керез фрикцион стремится вращаться в сторону, противоположную движению деяты. Это создает ома даютно прынетала к магнитным головкам. В некоторых магнитофонах используют лентоприжим — узае межализма, примимающий, эти непосредственно к рабочей поверхности универчествой магнитофонах можно и самы движения пределами магнитофонах можно не соединять по ремя рабочего хода подающий узает с двигателем.

При перемотке аенты в ту или другую сторону прижиммой ролик отходит и не прижимает ленту к ведущему валу, а подавощий (или приеммый) узел ускоряет свое вращение. Для этого обе части соответствующего фрикциона жестко сцепляют между собой или включают дополнительную механическую связь с электродинателем.

Чтобы при останове ленты рудоны не раскручивались по инерции, деята не залутывальсь и не обрывалась, се необходимо тормозить, особенво после перемоти. Тормозит денту только се стормотого узла, с которого она до этого разматывалась. Для этого тормозиую колодку прижимают к ведомому шкиюу соответствующего узла.

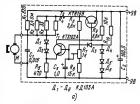
#### Электродвигатели для лентопротяжных механизмов

В лентопротяжных механизмах сетевых катушеных магитофонов используют, как правило, однофазыке асинхронные электродвигатели, которые могут быть с реактивных савитом фазы или с экранированными полюсами. Для одномогорных дентопротяжных механизмов применяют земетор доножности в распражение и частотой вращения ваза 1500—300 об/мин (синхронная скорость) и мощностью на ваза 1,5—10 Вт. В транзиеторных магнитофонаторы. В дела пределение в правительных применений при

с жесткой механической характеристикой, а в качестве эквтродвитателей для подающего и приемного узлов — электродвитатели с мягкой механической характеристикой (жарример, тивс КПП-6-У4). Кроме того, в качестве ведущего применяется электродвитатель с миткой механической характеристикой и системой авторегулирования частоты вращения вала

В кассетных магнитофонах с питанием от автономных источников или при универсальном питании в лентопротяжных механизмах используют коллекторные электродвигатели с частотой вращения вала 1500-3000 об/мин, напряжением питания 5-15 В и мощностью на валу около 0,2 Вт. Вращение вала в таких электролвигателях стабилизируется с помощью электронной цепи, построенной по принципу компенсации разбаланса моста, образованного элементами цепи и обмоткой электродвигателя. Номинальная частота вращения вала устанавливается подстроечным резистором. На рис. 5.26 приведены схемы стабилизаторов для наиболее распространенных электродвигателей ДПБ-902 (рис. 5.26,a) и M56NN (рис. 5.26, б). Для кассетных магнитофонов разработан также бесконтактный синхронный электродвигатель типа БДС-0,2 (рис. 5.27). В его состав входят сам двигатель ДВ, датчик положения ротора ДПР, трансформаторы которого установлены неподвижно, а магнит закреплен на валу электродвигателя, тахогенератор  $T\Gamma$ , обмотки которого расположены в пазах статора, и коммутатор, управляющий работой двигателя.

ор, управименская схема электродвигателя БЛС-0.2 показана на рис. 5.27. Силовые обмотки соединены взевдой и поочередно включаются электронными ключами коммутатора, построенными на транзисторах  $T_1 - T_3$ . Включение одного из них осуществляется fIP, транисформаторы из них осуществляется fIP, транисформаторы



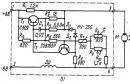


Рис. 5.26

которого расположены по окружности со сдвигом на 120°. Магнитная проводимость сердечника грансформатора (кольцевой феррит) изменяется

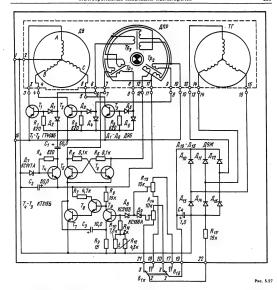
Таблица 5.4. Электродвигатели для магнитофонов

Тип	Напряжение пита- ния, В	Частота вращения вала, об/мин	Мощность на валу, Вт	Габариты, мм
		Переменного ток	a	
АД-5-У4 АДТ-1,6/10-2У4 АДТ-6-У4 АКД4-2 КД-6-У4 КДП-6-У4 ЭДГ-4	127 H 220 127 H 220 127 H 220 220 220 127/70**	1440 2710* 2830 2680 1400 850 2800	6 6 6 4 6 - 2	Ø 87×77,5 88×66×56 100×80×78 
		Постоянного ток	а	
БДС-02 БДС-0,2М ДКС-9-2600 ДПБ-902 МД-0,35-2000-9 МД-0,35-9A M56NN	5,1—9,3 5,1—9,3 6—9,2 6—10 6,6—9,6 6,6—9,6 6—10	1500, 3000 1500, 3000 2450 ± 40 2000 ± 40 2000 ± 40 2000 ± 40 2000 ± 40	0,2 0,2 0,2 0,1 0,35 0,1 0,102	

При нагрузке моментом 0,3 Н • см частота вращения вала 2820 об/мин.

<sup>\*\*</sup> В числителе напряжение в режиме перемотки, я в знаменателе — при рабочем ходе.

<sup>\*\*\*</sup> Габариты без экрана; в экране Ø 39×37.



в больших пределах в зависимости от степени нассищения, которое создается внешним магинтом ДПР. Напряжение, управляющее электронными ключами, синмается со эторичной обмотки только того трансформатора ДПР, сердечник котторого не насъщен. На первычные обмотки траформаторов ДПР напряжение подается с мультивибратора, работающего на транзисторах Тъ<sub>з</sub> Тъ-

Лля стабилизации частоты вращения вала используется T. Напряжение с его обмоток выпрямляется диодами  $I_{10} - I_{11}$  и через переключатель  $R_1$  (переключатель частоты вращения вала) и подстроечные резисторы  $R_{11}$  и  $R_{14}$  (ими уставанизари первоначальную частоту вращения вала) поступлет на вход стабилизатора, где сравнывается с надпряжением иробос стабилитрона  $I_{10}$ 

и  $\mathcal{I}_9$ , и далее поступает на усилитель постоянного тока на транзисторах  $T_7 - T_9$ , включающий или отключающий электронные ключи, а следовательно, и обмотки электродвигателя.

Технические данные наиболее распространенных электродвигателей для магнитофонов приведены в табл. 5.4.

#### Типовые узлы лентопротяжных механизмов

В любительских магнитофонах целесообразно использовать уэлы, которые применяются в промышленных конструкциях бытовых магнитофонов. На рис. 5.28 изображен приемный узел, на

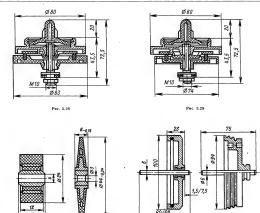


рис. 5.29 — подающий узел, на рис. 5.30 — обрезиненный прижимной ролик, на рис. 5.31 — промежуточный обрезиненный ролик, на рис. 5.32 велущий вал с маховиком (через дробную черту показаны размеры двух рекомендуемых вариантов). На пис. 5.33 показан ведущий вал с маховиком, образующим одновременно трехступенчатый шкив, используемый для переключения скоростей

Puc 5.31

Puc 5 30

рабочего хода ленты путем переброски пассика. В лентопротяжных механизмах рекомендуется применять круглые резиновые пассики с внутренним диаметром 73 мм и диаметром сечения 4 мм и плоские резиновые пассики с внутренним диамением кыналогуомкап и мм 801 модтем  $1 \times 4.2 \text{ MM}$ 

PHC. 5.32

Pac. 5.33

## 5.4. МАГНИТНАЯ ЛЕНТА

## Общие сведения

В бытовых и любительских катушечных магнитофонах применяют ленту шириной 6,25 ± 0,05 (в будущем размер будет изменен в соответствии с международным стандартом на 6,3+8,06), а в кассетных 3,81-0.15 мм. Ленты имеют общую толщину 18-2, 27-2, 37-3, 55-5 мкм при толщине основы

(примерно) 12, 16, 27 и 38 мкм соответственно. Обозначение отечественных магнитных лент состоит из ряда букв и цифр. Например, в названии ленты А2601-6Б буква А означает область применения — звукозапись. Первая цифра указывает на материал основы (2 — диацетилцеллюлоза, 3 — триацетилцеллюлоза, 4 — полиэтилентерефталат). Вторая цифра обозначает общую толщину ленты (2 — от 15 до 20; 3 — от 20 до 30; 4 — от 30 до 40; 6 — от 50 до 60 мкм). Третья и четвертая цифры — порядковый технологический номер разработки ленты. Цифра после тире означает целочисленное значение ширины ленты, а последняя буква дополнительно характеризует назначение ленты, например Б — для бытовых магнитофонов, Р — для радиовещания.

Для современных магнитофонов рекомендуются более тонкие ленты общей толщиной 18±2 и 27±2 ммм на полнятилентерефталатной основе сотчественное название материал — лавсан). Их рабочий слой содержит чаще всего частищ ляма-окисла железа. Постепенно расширяется применение лент более высокого клачества с частидами думскиси хрома и кобальтированными частицами тамма-окисла железа (т. наз. высокомертетические ленты).

#### Качественные показатели магнитных лент

Физико-механические свойства ленты определяют ее механическую прочность (разрывное усилие, относительное удлинение под нагружкость и др.), а также теплостойкость Прочнее всего ленты на полизтилентерефталатной основе; при ширине 6,25 мм и толщине основы 16 мм ее разрывное усилие равво 25 П, допутстым нагружкость и др. 11 прочность дветатдолжая и мисть коробленые и сабельности, т. е. искриваления по ширине и дляны. Рабочий слой не 
должног механизма.

Электроакустические свойства определяют качество записи, которе можно получить на догова памество записи, которе можно получить на догова пательность на средней частого, «АК», нелиженые искажения, шум в пауже, относительный уровены концрафекта (см. далее). Все эти свойства определяются относительно отобравного образца леациприсущих ленте электроакустических свойств нестакт лента с головками в отнимальное поднагительт дента иск смеделя па догова по догова при котором лента выссимально паматиченняет. Подмагначичение по добразот в процессе записи сигнал сегна частоти (например. 1 к ты).

#### Ассортимент магнитных лент

Отечественная промышленность предлагает для бытовых и любительских магнитофонов ленты следующих типов: А2601-6Б и А3601-6Б — общей толщиной 55 мкм для магнитофонов старых лет выпуска (прежнее название тип 6); А4402-6Б — общей толщиной 37 мкм для катушечных магнитофонов типов предлагает в п

фонов (прежнее название тип 10); А4407-6Б—общей толшиной 37 мкм с улучшенными качественными показателями; А4409-6Б — общей толщиной 37 мкм с улучшенными качественными показателями; А4203-3Б — общей толщиной 18 мкм, выпускаемая в кассетах.

Кроме того, в продаже бывают ленты цирниоб 6,25 мм производства ОRWO (ГДР) РС35-6 (37 мкм), РС25-6 (27 мкм) и РС18-6 (18 мкм). Две последние следует применять при малых скоростих и только в тех магнитофонах, где натяжение ленты, особенно при пуске, невелико (не превышает 4 и 3 Н соответственно).

#### Намотка магнитных лент

Магнитные ленты шириной 6,25 мм наматывают в битовых и койотельских магнитофонах на катушки из полистирола (см. рис. 5.1), наготовленые согласно 10CT 13257–77. Новер катушки намагиций и см. 150 мм 150

$$r \approx \sqrt{r_0^2 + tv \frac{q}{\pi}}$$
,

где  $r_0$  — начальный радиус намотки рулона; q — общая толщина ленты, см.

Магнитные ленты шириной 3,81 наматывают только в кассеты (см. рис. 5.5).

Таблица 5.5. Катушки для магнитной ленты

	Размеры (рис. 5.1), ми		
Номер	Д	d	Масса, г,
катушки	(допуск +2 мм)	(допуск +1 мм)	ве более
7,5	76	35	35
10 -	102	35	40
13	127	45	65
15	146	50	80
18	178	57	120

Таблица 5.6. Длина магнитной ленты в рулоне при нормальной плотности намотки на катушку

	0	Общая толщина ленты		м
Номер катушки	18	27	37	55
	Дляя	аленты в ру	лоне, и, не	менее
7.5	150	100	75	50
10	300	200	150	100
13	540	360	270	180
15	750	500	375	250
18	1050	700	525	350

## Эксплуатация магнитных лент

Соединение магнитных лент. Соединять оборвавшиеся ленты, а также фонограммы можно путем склеивания и сращивания. Для склейки концы ленты надо аккуратно обрезать ножницами, один из концов смазать клеем на участке 1 см вдоль ленты, сложить и на некоторое время сжать обе ленты пальцами. Состав клея для лент с основой из диацетилцеллюлозы: уксусная кислота (23.5 см3), ацетон (63.5 см3), бутилашетат (13 см3). Магнитные ленты с основой из поличтилтерефталата не скленвают, их надо сращивать с помощью специальной липкой ленты. Узкая полоска такой ленты накладывается на нерабочую сторону соединенных встык магнитных лент. Надо следить, чтобы липкая лента была везде прикрыта магнитной лентой, иначе липкий слой может загрязнить головки магнитофона.

Чтобы в месте соединения не возникала импульская помеха (щелчок), ножинцы, которыми разрезают магнитную ленту, должны быть хорошо размагничены. Для этого используют тот же электромагнит, которым размагничивают магнитные головки (см. рис. 5.37).

 позволяет достичь номинальной скорости к началу фонограммы. На ракорде пишут или печатают название фонограммы. Различные цвета ракордов (белый, желтый, зеленый, красный, синий) используют иногда для обозначения начала и конца фонограммы и для обозначения номинальной скорости.

Хранение магнитных лент. Магнитные ленты и фонограммы на катушках нужно укладывать в полиэтиленовые мешки и хранить в картонных коробках в вертикальном положении на полках, в помещении с температурой 10-20°С и относительной влажностью 60%. Для лент очень вредно продолжительное воздействие температуры выше 30°C, поэтому их нельзя хранить около отопительных приборов и держать на солнце. Во избежание коробления нельзя хранить ленту в сыром помещении. Фонограммы надо оберегать от действия магнитных полей трансформаторов, электродвигателей, микрофонов, громкоговорителей и других приборов во избежание повреждения (частичного стирания) записи и усиления копирэффекта. Копирэффект может также возрасти, если фонограмма хранится при повышенной температуре.

Рулон ленты, намотанный на катушку, не должен иметь ребристую боковую поверхность (допускаются выступы не более 0,5 мм), иначе возможны повреждения выступающих краев.

Магнитные ленты и фонограммы в кассетах надо хранить в специальных коробках, защищающих от пыли. Внешние условия хранения такие же, как для лент и фонограмм на катушках.

## 5.5. МАГНИТНЫЕ ГОЛОВКИ

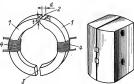
#### Конструкция головок

Магнитная головка состоит из сердечника, обмотки и арматуры крепления. Сердечник изготавливают из тонких пластин пермаллоя или из феррита (последний применяют главным образом в стирающих головках); состоит он из двух половин — полусердечников I (рис. 5.34), на которых расположена обмотка 4. С той стороны, где головка соприкасается с магнитной лентой, полусердечники разделены узкой немагнитной (бронзовой или слюдяной) прокладкой, образующей рабочий зазор 2. Ширина d, длина l и глубина t зазора являются важными параметрами головки. Чем меньше ширина d, тем лучше АЧХ записи и воспроизведения, но меньше чувствительность головки. Чувствительность можно повысить, уменьшая 4 глубину t, однако при этом уменьшается срок службы головки. Длина 1-согласуется с размером дорожки записи фонограммы (см. рис. 5.2 и 5.6). В записывающих, а иногда и универсальных

головках полусердечники, кроме того, разделены дополнительным зазором 3, предотвращающим эстаточное намагничивание головки.

В стереофонических магнитофонах применяют 5локи магнитных головок (рис. 5.35). Изготовление магнитных головок очень сложно, поэтому в любительских магнитофонах рекомендуется использовать головки от бытовых магнитофонов заводского изготовления.

В транзисторных магнитофонах применяют универсальные головки с индуктивностью до 100 мГн, в ламповых — с индуктивностью более 1 Гн. Индуктивность стирающей головки для тран-



PHC. 5.34 PHC. 5.35

зисторных магнитофонов 1 мГн, для ламповых несколько миллигенои.

Магнитные головки и двухдорожечные блоки магнитных головок промышленного изготовления соответствуют требованиям ГОСТ 19775-81. Их условное обозначение состоит из следующих элементов: первая цифра обозначает ширину магнитной ленты (3 — для ленты шириной 3,81 мм и 6 — для ленты шириной 6,25 мм); первая буква обозначает назначение головки или блока головок (А — записывающая, В — воспроизводящая. С — стирающая, Д — универсальная); вторая цифра обозначает число головок в блоке; третья цифра обозначает число дорожек фонограммы. Для стирающих головок после третьей цифры добавляется четвертая, обозначающая (целочисленно) скорость ленты. Вторая буква обозначает полное электрическое сопротивление головки: Н низкое,  $\Pi$  — высокое. Цифры после точки обозначают номер разработки. Третья буква обозначает категорию изделия (У — улучшенная, О — обычная). Так, например, двухдорожечный блок

## Эксплуатация магнитных головок

Положение магнитной головки необходимо отрегулировать по высоте, наклону рабочего зазора и его размещению в пределах угла огибания го-ловки лентой (см. § 5.6). Для хорошего качества записи и воспроизведения на верхних частотах необходим, кроме того, плотный контакт магнитной ленты с головкой. Его достигают подтормаживая подающий узел лентопротяжного механизма либо прижимая ленту к рабочей поверхности головки с помощью плоской пружины с наклеенным на нее фетром или с помощью эластичной ленты. В первом случае контактное давление  $p \approx P/(\rho b)$ . где Р -- натяжение ленты около головки, Н; р -радиус рабочей поверхности, м (его можно измерить с помощью шаблона, вырезанного из плотного картона или тонкой пластмассы, рис. 5.36); ширина зоны соприкосновения магнитной ленты с головкой, м (часто этот размер равен ширине ленты). Во втором случае  $p \approx P/s$ , где P —

Таблица 5.7. Магнитные головки и блоки магнитных головок

Тип	Индуктив- ность, мГн	Эффективная ширина рабочего зазора, мкм	ЭДС воспроизве- дения, мВ	Ток запн- си, мА	Ток подмагни- чивания, мА	Ток стира- ния, мА*	
		Блоки л	агнитных голов	οκ***			
6A24H.4.Y 6B24H.4.Y 6C2419.2.Y 6D24H.1.O 6D24H.4.O 6C249.1.Y 3D24H.1.Y 3D24H.1.O 3D24H.1.O	15-25 60-95 0,5-0,7 60-95 60-95 0,7-1,05 55-90 55-90 60-100	7 2.5 2×100 3 3 250 1.5 1.5 1.8	0,375 	0,45 	0,27 — 1,8 1,5 — 0,5 1,2 0,75	60	
		Ma	гнитные головки				
6Д12П.2.О (УГ-3) 6Д12Н.3.О 3Д12Н.2.О 3Д12Н.21.О 6С129.1.У 3С124.1.У 3С124.21.О УГ-9**	950 -1350 40-60 45-75 60-100 1,4-2,1 0,22-0,37 0,25-0,37 35-80	3 1,5 1,8 250 2×100 200	2,4 0,47 0,23 0,36 	0,06 0,28 0,15 0,3 — — — —	0,8 2,8 1,5 1,5 — — — — 1,5	  60 80 80	

Ток стирания указан при частоте 80 кГц для катушечных магнятофонов и 50 кГц для кассетных соответствует стиранию на 65 дБ.

Универсальных магинтных головок для четырехдорожечной фонограммы третьей разработки категории У, преднавляченный для работы с лентой шириной 3,81 мм, обозначается 3Д24Н.3У. В табл. 5.7 приведены данные ряда магинтных головок и блоков магинтных головок для бытовых магинтофизора.



Рис. 5.36

<sup>\*\*</sup> Магнитные головки первых выпусков.

<sup>\*\*\*</sup> Данные приведены для каждой головки блока.

сила прижима ленты, H; s -- площадь контакта ленты с головкой, м2 (ее можно определить по следу, оставляемому на головке движущейся денты, если предварительно нанести на рабочую поверхность тонкий слой мела).

Средняя норма контактного давления р = = 8 кПа.

Пример. Радиус закругления головки р = = 10 мм; контакт с головкой осуществляется по всей ширине ленты, т. е. b = 6,25 мм; отсюда необходимое натяжение ленты

$$P = ppb = 8000 \cdot 10 \cdot 10^{-3} \cdot 6,25 \cdot 10^{-3} = 0.5H_c$$

Рабочая поверхность головки может загрязниться магнитным порошком, отделяющимся от движущейся ленты. Это резко ухудшает качество записи и воспроизведения. Головку можно чистить заточенной спичкой и суконкой, смоченной в спирге. Применение металлических предметов недопистимо! Одновременно чистят и весь тракт движения ленты, следя за тем, чтобы пыль, магнитный порошок и небольшие кусочки ленты не попали на движущиеся детали лентопротяжного меха-

Новые головки следует размагнитить. Размагничивание производят и при эксплуатации после случайного прикосновения к головке стальным инструментом (например, ножницами, отверт-

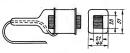


Рис. 5.37

кой), а также в случае резкого увеличения шума при воспроизведении.

Для размагничивания применяют ручной электромагнит (рис. 5.37). Включив электромагнит в сеть, плавно подносят его к головке, так же плавно удаляют на расстояние 0.5 м и выключают. Размагничивание следует проводить при выключенном магнитофоне. Если головка имеет съемный экран, то перед размагничиванием надо его снять.

Нельзя оставлять электромагнит включенным более 1,5-2 мин, т. к. он перегревается. Необходимо следить, чтобы в поле электромагнита не оказалась фонограмма.

Сердечник электромагнита собран из 60 пластин электротехнической стали толщиной 0,35 и длиной 70 мм. Обмотка содержит 1680 витков ПЭЛ-0,38 для напряжения сети 220 В или 970 витков ПЭЛ-0,47 для напряжения сети 127 В.

## 5.6. НАЛАЖИВАНИЕ МАГНИТОФОНОВ

#### Измерительные магнитные ленты

Согласно ГОСТ 19786-74 изготавливают измерительные магнитные ленты типа ЛИЛ для измерения и контроля параметров бытовых магнитофонов. Комплект измерительных лент состоит из четырех частей.

Часть «У» служит для настройки индикатора уровня магнитофона и содержит сигнал 400 Гц. записанный с номинальным уровнем записи. (При новом стандарте этот уровень является опорным).

Часть «Ч» содержит сигналы ряда частот звукового диапазона, записанные с нормированной АЧХ уровня записи: АЧХ имеет спад в сторону верхних частот и иногда подъем на нижних частотах. АЧХ можно представить таблицей или графиком, однако практически ее удобнее нормировать н запомнить с помощью электрического аналога (рис. 5.38). В аналоге можно так подобрать постоянные времени т, и т, что частотная зависимость полного входного сопротивления  $Z_{\rm ex}$  будет точно совпадать с нормированной АЧХ уровня записи. В этом случае достаточно нормировать значения т, и т, [с], а ход АЧХ при необходимости рассчитать по формуле (А в децибелах)

$$A = 10 \text{ lg} \left(1 + \frac{1}{4\pi^2 f^2 \tau_2^2}\right) - 10 \text{ lg} \left(1 + 4\pi^2 f^2 \tau_1^2\right).$$

АЧХ усилителя воспроизведения (табл. 5.8) образуется как сумма двух АЧХ: первой, спадающей по закону — 6дБ/октава, которая компенсирует рост с частотой ЭДС индукции, возбуждаемой в воспроизводящей головке, и второй, обратной АЧХ уровня записи части «Ч» измерительной ленты. Кроме того, в усилителе необходим некоторый подъем на ВЧ для компенсации различного рода потерь воспроизведения.

Часть «Н» представляет собой специальную двухдорожечную фонограмму для установки правильного наклона рабочего зазора магнитной головки.

Часть «Л» содержит сигнал 3150 Гц. записанный с высокой стабильностью скорости; она предназначена для измерения коэффициента детона-

Комплекты измерительных лент выпускают для скоростей 19,05; 9,05 и 4,76 см/с и, кроме того, раздельно для двухдорожечных магнитофонов старых лет выпуска и четырехдорожечных магнитофонов, а также для катушечных (ширина ленты 6.25 мм) и для кассетных магнитофонов (ши-

$$Z_{\delta X} = R_1 \qquad Z_2 = C_2 R_2$$

$$Z_{\delta X} = R_1 \qquad Z_1 = C_1 R_1$$

$$Z_1 = C_1 R_1$$
Page 6.5.

Таблипа	58 A4X	усилителя воспроизведения	(относительный	уповень: лБ)

Скорость	Постоянные времени, мо		Частота, Гц									
ленты, см/с	τ,	τ2	40	80	250	400	1000	4000	8000	10000	12500	16000
19,05 9,53 4,76	70 90 120	3180 1590	20 16 11,5	14 12,5 10	4 4 3,5	0	-7,2 -7 -6,2	-14 -12 -10	15 13 6	-15 -11 -4	-15 -9 -2	-15 -

рина ленты 3,81 м). Все эти данные обозначены на коробке, в которую упаковама измерительная лента

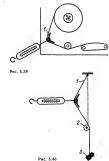
## Испытание лентопротяжного механизма

Зарядив лентопротяжный механизм полной катушкой хорошей ленты (невысохшей, нерастянутой, некоробленой и желательно без склеек), проверяют ее движение при рабочем ходе и при ускоренных перемотках. Лента должна двигаться равномерно, без толчков, что можно ощутить, прикоснувшись к ней пальцем. Во время движения лента не должна перемещаться вверх и вниз более чем на 0.5 мм, считая расстояние от верхнего до нижнего положения. Для проверки следует вблизи от головок поместить за лентой кусок миллиметровой бумаги и наблюдать за движущейся на фоне этой бумаги лентой через лупу. Большое перемещение может быть вызвано неровной поверхностью прижимного ролика, плохой намоткой ленты на катушки, неправильной установкой направляющих. Края ленты не должны цепляться за борта катушек и подминаться на пути своего движения. Если прижим ленты к головкам осуществляется ее натяжением, то оно должно быть не мень-

ше расчетного значения, приведенного в § 5.5. Измерение натяжения ленты. В первую очередь натяжение ленты надо проверить со стороны подающего узла в начале рабочего хода при полном рулоне на подающей катушке (когда оно минимально) и в конце (когда оно максимально) с помощью самодельного пружинного динамометра (рис. 5.39): цифрой / обозначены указатели правильного направления ленты. Динамометр следует предварительно отградуировать набором гирь. На рис. 5.40 показано, как это делается: здесь 1 — нить, 2 — вспомогательный обводной ролик, 3 — гиря. Натяжение изменяют регулировкой фрикциона подающего узла. Отношение максимального натяжения к минимальному не должно превышать двух. После этого проверяют натяжение ленты со стороны приемного узла, оно должно быть на 20-30% больше натяжения со стороны подающего узла во избежание образования петли при пуске ленты.

Если лента прижимается к универсальной головке лентоприжимом, то натяжение ленты со стороны подающего узла регулируют так, чтобы подача ленты к головкам была равномерной (без толчков), а прижим ленты к головке стирания обеспечивал равномерное стирание по длине ленты Намотка ленты на катушку должна быть ровной, без уступов, лента должна плавно тормозиться при останове. Слишком резкое торможение опасно, т. к. может растянуть ленту. Добившись хорошей работы лентопротяжного механизма, можно изчать его испытание.

Измерение средней скорости ленты. Необходимо взять полную катушку размагниченной ленты и вклеить в нее два отрезка ленты длиной 1-2 см с какой-либо записью. Первый отрезок вклеивают на расстоянии 3-4 м от начала ленты, а второй на расстоянии 22.86 м от первого. Расстояние между серединами отрезков надо измерить линейкой возможно точнее, не растягивая при этом ленту. Зарядив полученную таким путем контрольную ленту, магнитофон включают на воспроизведение и по секундомеру определяют интервал времени между звуковыми импульсами в момент прохождения вклеек около универсальной головки. При скорости ленты 19,05 см/с этот интервал должен составлять 120 с, при скорости 9,53 см/с — 240 с и т. д. Отклонение от указанных значений позволяет определить отличие скорости от номинала. Например, если в магнитофоне с номинальной скоростью 19,05 см/с измеренный интервал времени оказался 130 с, то отклонение скорости 100% (120-130)/120 = -8,3%.



Вклейки с записью можно заменить вклейками менных ракордов. В этом случае наблюдают моменты их прохождения около какой-либо детали механизма, например около направляющей стой-

Среднюю скорость денты нужно измерить для друх режимов работы механияма, соответствующих началу и концу записи. Для этого катушку с контрольной лентой первый раз устанавливают на подкощий узал. а эторой раз — на приемный тушку. Причниой больших отклюнений скорости могут быть проскальзымания в передае от двитагия к везущему узалу, черамного натяжение ленты со стороны подающего узал (например, на-за несправность тормоза), неисправность электро-двигателя и плохой прижим ленты к везущему вазу на-за выработки режимы на прижимом роли-

Измерение коэффициента детонации. Для этого измерения некободимо инекть замерительную денту (часть «Д») и д ет о и о м е т р. Его включают на выход магнитофона. Если детомочера нег, то записывают фортепьяниую музыку (сосбены октораходят медлиенные чередования длятельных кордов) и по качеству звуковоспроизведения судат, о детонации. При плохо работающем пастепротяжном механизме звук «плывет» — рояль змучит как гавабская итатов.

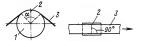
Причиной повышенной детонации являются обычно бнения вращающихся деталей лентопротяжного механизма (сособенно ведущего вала), выработка резиновых поверхностей роликов, дефекты пассиков, чрезмерно сильное натяжение ленты.

#### Испытание канала воспроизведения

До испытания канала воспроизведения нужно размагнитить при помощи электромагнита (см. рис. 5.37) магнитные головки и стальные детали механизма, с которыми соприкасается магнитная лента.

Для испытания канала воспроизведения нужно иметь измерительную ленту, соответствующую скорости ленты (части «У» и «Ч»), ламповый вольтмето и осциллоговф.

Проверка правильности установки универсальной (воспроизводящей) головки. Головка устанавливается по высоте в соответствии со стандартным расположением дорожек записи, а ее рабочий зазор должен находиться в середине угла обхвата головки лентой и под углом 90° к направлению движения ленты. Правильное расположение рабочего зазора 2 магнитной головки 1 по отношению к магнитной ленте 3 показано на рис. 5.41. Выполнение первых двух требований определяют осмотром взаимоположения головки и ленты. Угол наклона магнитной головки 1 (рис. 5.42) регулируют винтом 4, изменяющим положение площадки 2, на которой крепится головка. Винт 5 является стопорным; 3 — панель магнитофона, 6 — стальной шарик.



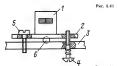


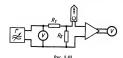
Рис. 5.4

Чтобы установить правильный наклю рабочего заора воспроязовляте (положи, воспроизводят сигналы, содержащиеся в части «Нь имерительной ленты адмани, содержащиеся в части «Нь имерительной ленты садвержению с обемх дорожек. На них записан сигнал одной и той же частоты с перподически быстро чески быстро ческу быстро чески быстро ческу быстро ческу получения и третьем участках он равом участке 150° на 160° на ческу получения по получения по получения по по ческу по ческ

Наклои рабочего зазора можно устанявлявать и без вижерительной лентия, воспроизводя высококачественную музакальную записк, сделанную нам магнитофоне с заведом правильно устанную нам вижето правильно устанную нам вижето рабочего зазора, находят такое его положение, при котором лучше всего воспроизведлятся высокие зауки. При этом регулятор тембра надо поставить в положение, соответствующее максимальному усилению на верхних частотах.

Проверка АЧХ канала воспроизведения по измерительной ленте (часть «Ч»). Отсчитывая показания лампового вольтметра на ряде частот, строят АЧХ канала, которая должна находиться в пределах поля допусков по ГОСТ 12392—71 (см. пре-53).

Если АЧХ канала воспроизведения неудожлеторительна, проверяют АЧХ усильтателя в режиме воспроизведения. Для этого на его код подают напряжение от заукового генератора через делитель  $R_i R_2$  (рис. 5.45), размещаемый непосредствонным, заменяют частоту генератора и для каждого ее значения определяют выходиюе напряжение усилитель. Напряжение тенератора дольной быть таким, чтобы в пределах всего рабочего дапаваюм асистот напряжение на выходе усилительного напряжение усилительного напряжение усилительного напряжение на выходе усилительного на напряжение на выходе усилительного на напряжение на напряжение на наружение на намерие усилительного на напряжение на напряжение на намерие усилительного на напряжение на наружение на намерие усилительного на напряжение на намерие усилительного на наружение на намерие на намерие усилительного на наружение на намерие на намерие усилительного на наружение на намерие усилительного на намерие на намерие усилительного на наружение на намерие н



ва должна соответствовать указанной в табл. 5.8. Коррекцию АЧХ производят изменением параметров элементов схемы усилителя.

Причиной плохой АЧХ канала воспроизведения обычно является магнитная головка. Наиболее часты следующие ее дефекты: загрязненность рабочей поверхности, непрямолинейность рабочего зазора (дефект изготовления), износ сердечника головки и расширение вследствие этого рабочего зазора.

При отсутствии измерительной ленты, когда нельзя проверить АЧХ канала воспроизведеть АЧХ сладата воспроизведения, а о качесте сладателя при моспроизведения, а о качестеловки можно судить, сравнивая звучание хорошей музыкальной записи на испътучемом и на другом, заведомо исправном магнитофоне. Для правильног сравнения надо прослушивание в обоки усилитель и громоктоюрительно усилитель и громоктоюрительно.

## Испытание высокочастотного генератора

Включив магнитофон на запись, но без ленты, измеряют частоту и ток через головку стирания. Частоту измеряют с помощью осциллографа методом фигур Лиссажу; она должна соответствовать данным используемого генератора (обычно 40-80 кГп). Ток стирания измеряют ламповым вольтметром, подключенным параллельно резистору сопротивлением 10 Ом, включенному на время измерений последовательно с головкой стирания в заземленный провод. Ток рассчитывают по закону Ома. Подключив к упомянутому резистору осциллограф, проверяют симметричность кривой тока стирания (обычно это синувоидальный ток). Если ток стирания для данной головки мал, надо проверить транзистор (лампу) генератора, режим его работы и изменить емкость включенного последовательно с головкой конденсатора. Отсутствие колебаний или искаженная их форма чаще всего бывает вследствие пробоя между витками катушки контура или при неисправности транзистора (лампы). Проверив работу генератора, испытывают качество стирания записей. Для этого можно воспользоваться ненужными фонограммами записанными с большим уровнем. Зарядив ленту в магнитофоне, включают его на 2-3 мин на запись при выведенном регуляторе усиления. Перемотав после этого ленту, прослушивают стертый участок при полностью введенном регуляторе громкости и определяют на слух качество стирания.

Причинами плохого стирания могут быть не постаточный люх стирания, адгрязение голько стирания, плохой контакт ее с движущейся деногой, неправильная устатомые головки по высот с (сердечинк головки не перекрывает полностью с (сердечинк головки не перекрывает полностью с (сище сего короткое за местираность головки мотки). Нексправность головки можно обнаружить, измерна ее издухтивность от замть, измерна ее издухтивность

## Испытание канала

## записи-воспроизведения

Установка тока подмагничнавания. На вход усилителя магниторона подагот от заукового генератора напряжение частотой 1 к/Гц и регулятором усиления устанавливают уровень записи, при котором затемненный сектор электронно-ветового индикатора уровня лишь немного сузится. Проводят подряд несколько записей при различных мексотях кодексатора (или спортивлениях резистора), регулирующих ток подаганичнавания усиленных произведении, сравнивают записи между соби попредсляют, для накой из них выходное наприжение усилителя воспроизведения получирась наибольшим. Соответствующее этой записи поднаганичнание и устанавливают в магинтороме.

магничивание и устанавливают в магнитофоне. В магнитофонах с двумя или тремя скоростями подмагничивание подбирают для большей ско-

Настройка индикатора уровня записи. На любой вход магнитофона подают напряжение Unvi сигнала 400 Гц. близкое к номинальному. Регулятором усиления (или отдельным регулятором уровня записи) устанавливают схождение затемненного сектора лампы индикатора или отклонение стрелки индикатора на отметку шкалы, соответствующую номинальному уровню записи. Проводят запись, перематывают ленту и воспроизводят записанный сигнал, измеряя выходное напряжение  $U_{\text{вых}}$ . При том же усилении в канале воспроизведения воспроизводят сигнал 400 Гц, записанный в части «У» измерительной ленты и измеряют соответствующее выходное напряжение  $U_{\text{вых}2}$ . Если  $U_{\text{вых}1} \approx U_{\text{вых}2}$ , то индикатор уровня записи настроен правильно. Если же эти напряжения неодинаковы, необходима регулировка потенциометра (или резисторного делителя напряжения) на входе индикатора \*.

Измерение АЧХ канала запксь — воспроизведение. На вком дагнитофона подают постоянное напряжение от звукового генератора, проводят запксь сигналов ряда часто звукового диапазона, воспроизводят их и по результатам измерения выходного мапряжения строят АЧХ- Село им неудовлеговорительна, то надо проверить АЧХ усилителя при записи. Перед проверкой АЧХ

Стандарт, вводимый в действие в 1983 г., предусматривает ниую настройку индикатора, при которой показание 0 дБ будет соответствовать уровию записи выше номинального.

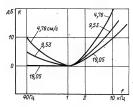


Рис. 5.44

Отпанавот провод, по которому от генератора подается в головку ток подматненавляна, аза-земленный провод, подходящий к головке, впанают резистор сопротивления 100 Ом и параглельно ему подходящий с подмагально ему подходящих пропоримовальным подходят примератора подходять под

Причинами плохой АЧХ канала запись — воспризаведение помимо неудолаетворительной АЧХ усклителя при записи могут бить чрезмерно бозыпой ток подматничавания и дефекты рабочего универсальная головка может удольетворительно работать при воспроизведении, по плохо при записи и наоборот. При раздельных головках записи и воспроизведения обязательна регулировка наклона рабочего засуо по токовка записи (сущесттем выда пробочего засуо по по по дето и ситем выскоб частоты путем выда постои си-гилая выскоб частоты путем выда постои си-гилая выскоб частоты путем выда постои си-гилая выскоб частоты путем выда постои си-гилая выскоб частоты путем выда постои.

Испатание магнитофона заканчивается проведением пробимых записей и их прослушиванием. Больше всего для этого подходят записи с хорошето проигрывателя грампластнюм кан с транссанционной сеги. При прослушивании надо обратить выимание на степень заметности нелинейных искажений, фона и шума. Причной нелинейных искажений могу быть непостаточный ток подмагиичивания, неправильная настройка индикатора и искажения в усманителе. В последнем случае искажения слашных чрез громкоговоритель магнитофона уже во время записи-

Источником фона в записи бывает объччю фон усилителя из-за наводок от электродвигателя, трансформатора питания и пульсаций питанощих напряжений. Повышенный шум в записи (шины нее) свидетельствует о несимметричной форме тока подмагничивания либо об остаточной намагниченности универсальной головки.

## 5.7. МИКРОФОНЫ ДЛЯ ЛЮБИТЕЛЬСКОЙ ЗВУКОЗАПИСИ

Основные данные микрофонов приведены втаба. 5.9. Микрофон МД-47 применяют с ламповыми магнитофонами, остальные — с транзисторными, хотя и их можно подключать к ламповым магнитофонам через повышающие трансформаторы 1:30, 1:40. Одионаправлениде микрофоны более удобны для записи в шумных помещениях и ва улице.

Нормальное расстояние от микрофона до источника звука — 0,5 м. При меньшем расстоянии за-

писанный звук будет казаться глухии, а при большем будет больше опущаться объем помещим (сильнее реверберация). Для записи звука от мисти к источного из при в при записи небольшого музыкального аксамбая) некаправленый мильором можно подвешивать в центре из высоте 2—2.5 м от пода. При записи не объем объе

Таблица 5.9. Основные качественные показатели и конструктивные данные микрофонов

Тип	Номиналь- ный диапа- зон час- тот, Гц		Чувствительность на частоте 4000 Гц при поминальной нагрузке, мВ/Па	Номиналь- ное сопро- тивление нагрузки, Ом	Средняя разность чувстви- тельности между фронтом и тылом, дВ	Вид харак- теристи- ки направ- ленности*		Масса с под- став- кой, г
МД-44 МД-47	100-8000 100-10000	12 20	0,63 15	250 500000	10	OH	33×50	-200 260
МД-200 МД-64	60-8000 100-10000 100-12000 50-15000	12 12 10	1,25 1,5 1,0 1,2	250 250 250 250 250	12 12 12	OH	50×80 34×120 33×115 32×114	1650 120 200 170

<sup>\*</sup> HH — ненаправленная круговая; ОН — однонаправленная (карднондная).



# **МАГНИТНАЯ ВИДЕОЗАПИСЬ**

# РАЗДЕЛ (6)

#### СОЛЕРЖАНИЕ

<ol> <li>Общие с</li> </ol>	ведения																									
Термино.	логия (249)	. Запись :	BOC	произ	веде	пие	тел	еви	13110	esso	010	сиг	HSA	a (	250	). F	Iap	BNC	TPI	a B	яде	OM	ara	HHT	офо	٥٠
нов (252	)																									
6.2. Crp	уктурные и	электрич	ские	схем	M Bi	део	маг	HET	юфе	0110	в.															
Системы	автоматич	еского рег	улир	овань	и б	SOTIE	ых	BHJ	geor	маг	BHT	офο	HOL	B (	253	). 3	ал н	СЬ	цв€	TH	oro	Te	ле	виз	нов	ă÷
	нала (254).				ви)	teom	arı	HTC	фо	ta :	∢Эл	ект	рон	ик	a-50	l - p:	нде	>>	(25)	5).	. Э.	tek	70	яче	CKK	ee.
	злов видеом																									
	м эмижкто																									
	ащающихся																									
	ые ленты в																									
6. Порядок																										

#### 6.1. ОБШИЕ СВЕДЕНИЯ

#### Терминология

Видеомагнитофон — устройство, предназначенное для магнитной записи и (или) воспроизведения сигналов телевизионного изображения и звукового сопровождения.

Видеомагнито фонприставка видеомагнитофон, работающий только с телевизором.

Видеола — видеомагнитофон, встроенный в телевизор.

По способам зарядки и хранения магнитной ленты видеомагнитофоны разделяются на катушечные, в которых используется лента, намотанная на катушки, и кассетные, в которых используется магнитняя лента в кассете.

Видеофонограмма — сигналограмма на магнитной ленте, совмещающая в себе видеограмму (запись сигналов изображения) и фонограмму (запись збукового сопровождения).

Строчка записи — часть дорожки записи, длина которой ограничена размерами носителя или конструктивными особенностями устройства записи.

Строчная запись — запись, при которой дорожка записи продольно-строчная, каклонно-строчная и попечно-строчная запись различаются по расположению строчек запись различаются по расположению строчек записы видеограммы относительно направления движения носителя.

Формат записи — размеры и расположение строчек и дорожек на магнитной ленте, принятые для видеофонограммы видеомагнитофона.

Взаимозамен яемость видеофонограм м — свойство видеофонограмм и видеомагнитофонов, заключающееся в том, что сигналы, записанные на одном видеомагнитофоне, можно воспроизводить на другом.

В и деоголовка — магнитная головка, используемая для записи и воспроизведения изображений.

мении. И и с к видеоголовок — вращающийся дисксмагнитными видеоголовками (одной, двумя или четырымя).

Сто п-к адр — режим работы видеомагнитофона, при котором многократно воспроизводится один кадр записанного изображения.

Вы п з дение сигнала — кратковременный перерыв или недопустимое уменьшение уровня воспроизводимого сигнала, обусловленное дефектами носителя записи или особенностями работы устройства записи и или) воспроизведения.

Ком пенсатор выпадений — электронное устройство, уменьшающее заметность выпадений в воспроизводимом сигнале.

Видеоканал — канал записи — воспроизведения телевизионного изображения.

Ч М канал — канал записи — воспроизведения ЧМ сигнала, в который преобразован телевизионный сигнал.

Система обработки— устройство, предназначенное для регенерации искаженной или «зашумленной» части воспроизводимого ТВ сигнала

оплама.
Временные искажения — различие временных масштабов сигналов при записи и востроизведения вследствие неравенства схоростей записи и воспроизведения или деформации носи-

Компенсатор временных искажений — электронное устройство, уменьшающее временные искажения в воспроизводимом сигнале.

Система авторекинга— электромеханическое устройство, обеспечивающее автоматическое совмещение видеоголовки с воспроизводимой магнитной строчкой записи.

Термины, относящиеся к магнитным головкам и магнитным лентам, приведены в § 5.1.

#### Запись и воспроизведение телевизионного сигнала

Процесс магнитной видеозаписи более сложен, чем процесс звукозаписи. Это связано с тем, что верхияя частота видеосигнала доститает 6 МГц, тото, при воспроявления место обозано мнеть отношения сигнал/шум не ниже 40 дБ и сохранить временные соотпошения в сигнале, иначе возникнут геометрические искажения изображения. Запись в видеоматитороме осуществанется при запись в видеоматитороме осуществанется при то багозария вращению видеосильной по организации. В премещения деять. Для уменьшения временном перемещения деять. Для уменьшения

В телевизионном вещании используют видеомагнитофоны с четырьмя вращающимися головками, записывающими строчки поперек магнитной ленты шириной 50.8 мм. Для бытовой видеозаписи обычно применяют ленту шириной 12.7 мм и записывают на нее сигнал изображения двумя вращающимися видеоголовками, наносящими на ленту строчки под острым углом к направлению движения ленты. Существуют также видеомагнитофоны, записывающие изображение на ленте шириной 19 мм и 6.3 мм двумя или одной вращаюшейся магнитной головкой. Хотя одноголовочные видеомагнитофоны, в принципе, обеспечивают более высокое качество записи, чем двухголовочные, последние предпочитают из-за более простой заправки ленты.

В табл. 6.1 приведены основные характеристики В табл. 6.1 приведены основные характеритики работающих на ленте 12,7 мм. Все они, кроме ВМ-403, предназначены для битовых целей. Видомагниторон ВМ-403 имеет улучшенные характеристики по каналу изображения, что позволяет применять его для научизы исследований, учебно-

Таблица 6.1. Катушечные видеомагнитофоны

Параметр	BK-1/2	«Электроннка-501»	«Электроника-509»	«Электроника-508»	«Электронека-551»	BM-403
Назначение	Комбиниро-	Переносимый	Носимый	Переносимый	Настольный	Настольный
Масса, кг	18/7.6	12	10	15	12	40
Размеры, ми Скорость лен- ты, си/с	370×370×210 9,53	260×290×160 16,32	393×360×150 6,56	420×382×202 16,32	410×282×160 7,8	600×430×320 19,03
Скорость голов- ка/лента м/с	11,0	8,9	8,1	8,1	8,1	10,86
Время непрерыв- ной залиси, мин Канал изобра- жения:	110	35	120	45	170	60
вид ТВ сиг- нала четкость строк, не	Черно-белый	Черно-белый	Цветной	Цветной	Цветной	Цветной
менее отношение сигнал/шум,	250	250	200	220	220	450
дБ Канал звука: полоса мас-	40 .	40	35	36	38	40
тот, Гц отношение сигнал/шум,	6310000	100-10000	100—8000	10010000	100-10000	63-12000
дБ	40	40	38	38	38	45
Питание	Сетевое/ак-	Аккумулятор	Сетевое	Сетевое	Сетевое	Сетевое

го телевидения и т. д. Кассетные цветные видеомагнитофоны (табл. 6.2) несколько сложнее по имеют стандартную видеофонограмму (рис. 6.1).

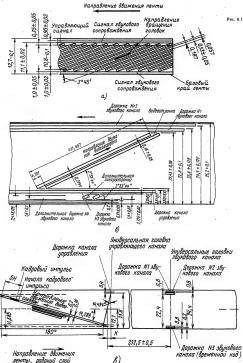


Таблица 6.2. Қассетные цветные видеомагнитофоны

Параметр	«Электроника-505-видео», «Сатурн-505»	«Орбита-501-видео»	«Спектр-203»		
Назначение	Перевосимый	Переносимый	Настольный		
Масса, кг	10	11	17		
Размеры, мм	318×326×132	305×355×130	560×355×167		
Скорость ленты, см/с	8.1	8.1	8.1		
Время непрерывной записи.		0,1	0,1		
мин	30	30	30		
Тип кассеты	BK-30	BK-30	BK-30		
Канал изображения: четкость строк, не менее, для черно-белого изоб-		31.00	BIC 00		
ражения для цветного изобра-	250	220	220		
жения	200	200	200		
Отношение сигнал/шум, дБ		38	38		
Канал звука:					
полоса частот. Ги	80-10 000	100-10 000	120-12 500		
Отношение сигнал/шум	38 .	38	37		
Питание	Аккумуля форное	Аккумуляторное	Сетевре		
Потребляемая мощность, Вт	30	50	140		

#### Параметры видеомагнитофонов

252

Параметры видеомагнитофонов в значительной степени определяются форматом записи. Для любительских конструкций, предиазначаемых для записи н воспроизведения черно-белого и цветного изображения на магнитную ленту шарнной 12,7 мм, рекоменаутегя формат, приведенный на рис. 6.1, а. Основные характеристики видеомагнитофонов:

Число вращающихся видеоголовок 2	
Диаметр барабана, мм	$05 \pm 0.022$
Номинальная частота вращения барабана.	
об/мин	1500
Номинальная скорость ленты, см/с	14.20
Допусквемые отклонения скорости ленты:	11,40
при записи черно-белого изображе-	
при записи черно-ослого изоораже-	
ния. %	±2
при записи цветного изображения, %	$\pm 0.3$
Частота ЧМ сигнала, записываемого на лен-	
ry:	
на уровне синхронизирующих импуль-	
сов, МГц	$3.0 \pm 0.15$
на уровне белого, МГц	$4.4 \pm 0.15$
на уровне ограничения по пикам белого.	
МГц	$4.8 \pm 0.15$
Поднесущая цветности при записи цветного	.,
изображения: .	
красная строка, МГц	0.504
синяя строка, МГц	0.750
Уровень тока записи относительно тока за-	0,750
писи сигнала яркости (в цветном видеомаг-	
нитофоне)	220+05 aB

На леите шириной 85.4 мм реконециуется записывать, применяя наклонностронный стелентный В или несегментный С форматы. При этом можно получить значительно боласе высокое качество изображения. По формату В (рим. 61, 6) мородажения записывается даумя видеоголовками. Диск с видеоголовками вращается с частотой 8000 об/мин. Направляющий барабан D=+0.00 м обхватывается леитой в пределах утора об 1.00 м обхватывается леитой в пределах утора об 1.00 м обхватывается леитой в пределах утора об 1.00 м обхватывается леитой в 1.00 м обхватывается леитой 1.00 м обхватывается леитой 1.00 м обхватывается леитой 1.00 м обхватывается 1.00 м обхватываетс

и записывается под углом 14.4° к базовому краю ленты. Поле телевизонного изображения разбивается на шесть сегчентов по 52 телевизонного строчки в каждой магнитаюй строчке. Формат В предусматривает запись двух дорожек с высоко-качественным зауковым изображением и запись отдельной дорожки для кода или режиссерских пояскений.

По формату С (рис. 6.1, в) изображение записывается одной видеоголовкой, а часть кадрового гасящего импульса — другой. Диск с головками вращается с частотой 3000 об/мин. Направляюший барабан диаметром 135 мм обхватывается лентой на угол 356°. Относительная скорость выбрана 20 м/с, скорость ленты 24 см/с. Магнитная строчка имеет длину 411,5 мм, на ней размещается 302 телевизионных строки, остальная часть поля (10,5 телевизнонных строк) записывается на коротких наклонных строчках. По верхнему краю ленты записываются две дорожки звукового сопровождения, между видеострочками и синхрострочками - дорожка канала управления, а по нижнему краю ленты — дорожка для записи временного кода или режиссерских пояснений. Формат С допускает запись вместо синхрострочек дополнительной четвертой звуковой дорожки; в этом случае кадровый синхронизирующий импульс регенерируется электронным способом.

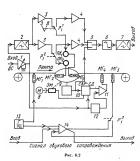
При использовании формата С видеоголовка устанавливается на биморфико пъвозкорамическом элементе и управляется системой автотрежинга, что позволяет обеспечить хорошую взаиможименяемость видеофонограмм и воспроизвести ускоренное, замедленное изображение, а также стоп-кадр.

Широкое распространение получает высокоплогная запибь без промежутков между строчками видеоголовками с взаимно перекошенными рабочими зазорами. В сочетании с систейой автотрежинга она позволяет в несколько раз увеличить время непрерывной записи одной кассеты (см. также § 6.3).

#### 6.2. СТРУКТУРНЫЕ И ЭЛЕКТРИЧЕСКИЕ СХЕМЫ ВИДЕОМАГНИТОФОНОВ

Упрощенная структурная схема бытового видеомагнитофона для записи черно-белых ТВ сигналов приведена на рис. 6.2. Записываемый ТВ сигнал проходит через

Записываемый ТВ сигнал проходит через устройство автоматической регулировки уровня I, фиксируется по уровню «черного» и через



цепь ВЧ предыскажений поступает на модулятор 2. Полученный на его выходе ЧМ сигнал усиливается усилителями записи 3 (применение отдельных усилителей для каждой из видеоголовок позволяет индивидуально подбирать оптимальные токи записи) и через контакты  $P_1^1$ ,  $P_2^2$  реле переключения рода работы и токосъемники  $\Pi K_1$ ,  $\Pi K_2$  блока вращающихся головок (БВГ) подается на видеоголовки  $M\Gamma_2$  и  $M\Gamma_3$ . Вместе с тем ТВ сигнал поступает в опорный селектор 12, где из него выделяются кадровые синхронизирующие импульсы. Они усиливаются усилителем записи сигнала управления 11 и записываются на ленту головкой МГ4. Сигнал звукового сопровождения подается на универсальный усилитель 14 и записывается головкой  $M\Gamma_5$ , в которую, кроме того, поступает ток ВЧ подмагничивания от генератора 13. Ранее сделанная запись стирается головкой  $M\Gamma_1$ , питаемой от того же генератора.

При воспроизведении ЧМ сигнал от видеоголювок проходит через контакты реле  $P_1^1$  и  $P_1^2$ , усиливается и корректируется усилителями 4 и поступает в электронный переключатель 5, который объедивает оба сигнала путем поочередного подключения усилителя, на выходе которого имеется воспроизводимый сигнал. Суммарный ЧМ сигнал через ограничитель 6 подается на демодулятор 7. На выходе демодулятор образуется видеосигнал, который может быть подан через адаптер на телевизор.

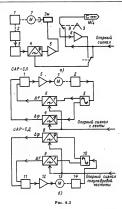
Сигнал авукового сопровождения воспроизводится головкой  $M\Gamma_8$ , усиливается и корректируется усилителем 14 и через адаптер поступает на вход канала звукового сопровождения телевизора (либо непосредственно на громкоговоритель).

#### Системы автоматического регулирования бытовых видеомагнитофонов

В простейших батовых видеомагнитофонах (см. рис. 62) скорость движения магнитиба скорость движения магнитиба пета постояная и не регулируется системой авторегулию пования, а частота вращения диска видеоголом сопределяется управляющим сигналом, воспроизводимым головкой МГ, и услываемым уснаятелем И. Частота вращения диска с видеоголовкам мМГ, и МГ, и к положение по отношению к ленте должны быть одинаковыми при записи и при воспроизведении.

Для обеспечения этого служит система автоматического регулирования частоты вращения диска (САР-СЛ) 10, в которую также вхолят тахогенератор (рис. 6.3. а) и электромагнитный тормоз Эм. Частота вращения диска БВГ регулируется с помощью магнитного тормоза следующим образом. Диск БВГ вращается через резиновый пассик синхронным двигателем 8, питаемым от сети. При подаче в обмотку магнитного тормоза управляющего тока частота вращения начинает уменьшаться из-за возникающего торможения и проскальзывания пассика. Выбором соотношения диаметров шкивов частота вращения диска БВГ в отсутствие тока в магнитном тормозе устанавливается на 1-2% выше номинальной; это дает возможность регулировать частоту вращения в обе стороны от ее номинального значения.

Структурная схема простейшей САР-СЛ с магнитным тормозом изображена на рис. 6.3.а. Опорный сигнал (обычно полукадровые импульсы, выделяемые из записываемого видеосигнала) подается на фазовый дискриминатор 4 и записывается на ленту головкой управления МГ. В фазовом дискриминаторе с опорным сигналом сравниваются импульсы тахогенератора 2, предварительно сформированные формирователем 3. Сигнал ошибки с фазового дискриминатора усиливается УПТ 5 и подается в электромагнитный тормоз Эм. При воспроизведении записанные импульсы воспроизводятся головкой МГ4, усиливаются усилителем воспроизведения 6 и подаются на вход фазового дискриминатора 4 вместо опорного сигнала. Так как диск с вращающимися видеоголовками 1, тормозом и тахогенератором находится на оси электродвигателя 7, положение головок фиксиру-



ется в пространстве. Это обеспечивает при воспроизведении совпадение траектории движения видеоголовок со строчками, записанными на лен-

Примеяяемая в кассетном магнитофоне САР СП по структурной схеме, приведенной из рис. 6.3, 6, обеспечивает большую точность поддержания частом в ращения диска ВЫТ. Здесь выражения частом в рацения диска ВЫТ. Здесь ВВТ 13 питаются от услаителей мощность 5 и 12, Цикс с видеоголовками и ведущий вал непосредствение осединены с роторами электродингателей, электродингателей и имеют катом за и 14, сигналы от когорах формируются отраничителья сигналы по катотем участивых 6, 9 и фазовых 4, 8 дискриминаторов. Перед подачей на усилители сигналы ошибки суммируются сумматорами 1 и 11.

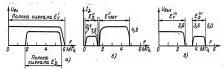
### Запись цветного телевизионного сигнала

Запись цветного телевизионного сигнала в бытовых выдемовичетофонах осуществляется способом переноса сигналов цветности в ЧМ канал (способ ПЧМ) и состии в сасрушень Сигналы цветности  $E_5$  и яркости  $E_5$  (рис. 6.4, а)\* перед записью разделяют либо фильтэми, либо вычазаписью разделяют либо фильтэми, либо вычатыем в полного видеосигнала сигнала яркости, процешеного чере ФВЧ с плавок огладовиде АКУ. При этом спектры сигналов сужаются. Затем сигнал  $E_7$  переобразуют в ЧМ сигнал  $(E_7$ иг на рис. 6.4, б.), а сигнал цветности перевосят в область вижных частот путем тетероданирования

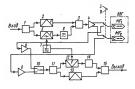
Структурная схема устройства, в которой осуществляется описанное преобразование, показана в прис, 6.5. Ситалыя яркости и дветиости выслам в престои в престои в престои в престои в престои в напражение от сеторой осущей образовать образовать престои в напражение от стетородина 7. Ніскняя боковая полоса частот ситила, полученного на выслам сементов, выделяется в 944 б и подветоя состои в подветом собразовать под престои в подветом собразовать под под под престои в престои в пр

При воспроизведений сигналы от головок усиливаются усилителями 8, 9, объединяются в переключателе 10 и поступают на разделитель 11. Здесь сигнал ЕВ выделяется ФНЧ и поступает в смеситель частот 12, в котором он смешивается с сигналом тетеродина 7 и переносится в область

PHC. 6.4



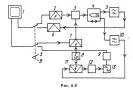
<sup>\*</sup> Полоса частот  $E_D'$  на рис. 6.4,a соответствует общей полосе частот сигналов  $E_{R-Y}'$  и  $E_{B-Y}'$ .



Puc 65

частот исходного сигнала цветности (сигнал ЕВ), Нижняя боковяя спектра на выходе сиссетвая подавляется ФВЧ 14. Высокочастотная часть спектра воспроизводимого сигнала (сигнала ЕВ), подается в ограничитель и демодулятор 13, гае демодулируется. Полученный сигнал эркости ЕВ поступает в сумматор 15, в котором суммируются с сигнало ЕВ.

Цветная приставка к видеомагнитофону (рис. 6.6). С ее помощью на видеомагнитофон,



продваваченный для записи сигваюз черно-белеот годенцения, записывают цветной генезмонный сигнал способом ПЧМ. Приставка работает авалогичем отредыхдичему стройству, Свесь 1— цветной телевизор; 2— нодужатор; 3— смеситель часот; 4— видеоматитором; 5— бере 6— демодулятор; 7— смеситель; 8— гетеродин; 9— фильтр ВЧ коррекции; 10— ФЗЧ частот; 11— смеситель; 12— фильтр ВЧ декоррекции; 13— отраничитель.)

Фильтры 9 и 12 имеют характеристики, принятые в системе «Секам». Совместно с ограничителем они позволяют повысить качество воспроизводимого сигнала цветности.

Видеомагнитофон-приставка к цветному телевизору. Запись изображения осуществляется на ленте шириной 6,25 мм (максимально высокого качества, например А4407-6) прямым способом, бет использования вращающихся головок и частотной модуляции, видеоголовками с рабочим зазором шириной 0.8—1 мкм. Скорость ленты 3 м/с (при высококачественных видеоголовках 1,5 м/с). При движении ленты в одну сторону одновременобразуются три парадлельные строчки (рис. 6.7, б). При обратном движении ленты новые три строчки образуются в промежутках между строчками, записанными при движении ленты в прямом направлении, для чего БВГ перемещается по вертикали на ширину одной строчки. В остальном конструкция лентопротяжного механизма такая же, как в обычном магнитофоне. Записываемые сигналы снимаются с матрицы декодирующего устройства цветного телевизора (см. рис. 6.7). Сигналы  $E'_{Y}$ ,  $E'_{R-Y}$ ,  $E'_{B-Y}$ , спектры которых сужены фильтрами, усиливаются и корректируются усилителями  $У3_Y$ ,  $У3_{R-Y}$ ,  $У3_{B-Y}$  и поступают на видеоголовки блока  $M\Gamma_Y$ ,  $M\Gamma_{R-Y}$ и  $M\Gamma_{R-Y}$ , на которые подается также подмагничивание от ГВЧ (частота 6-8 МГц).

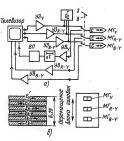


Рис. 6.7

При воспроизведении сигналы от видеоголовок усиливаются и корректируются усилителями  $YB_T$ ,  $YB_{B-T}$  и поступают на матрицу декодирующего устройства телевизора. В канал  $E_T$  включены линия задержих для фазиродавния сигналов яркости и цветности и устройство восстановления постоянной поставляющей ВП.

Качество изображения, воспроизводимого приставкой, ниже, чем при использовании обычного бытового видеоматнитофона, так как запись производится при скорости ленты в 3 раза меньшей, чем в видеомагингофонах с вращающимися видеоголовеками.

#### Структурная схема видеомагнитофона «Электроника-501-видео»

При работе видеомагнитофона, работающего в комплекте с телевизионной камерой в режиме записи (рис. 6.8,  $\alpha$ ), сигнал от камеры подается

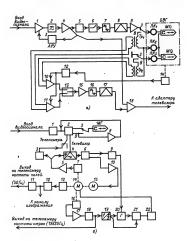
на вход усилителя 1, далее через ФНЧ-2 с частотой среза 3 МГц и усилитель 4 — на цепи фиксации уровня черного 5. На выход усилителя, кроме того, подключены: устройство АРУ 3, автоматически поддерживающее необходимый уровень видеосигнала, и выходной усилитель 18, с которого сигнал поступает на телевизор, позволяющий контролировать записываемую программу. Выход цепи фиксации 5 соединен с цепью предыскажений 6, осуществляющей подъем верхних частот записываемого сигнала перед подачей его на модулятор 8. Ограничитель 7 устраняет выбросы, превышающие уровень белого, способные вызвать перемодуляцию. С выхода модулятора ЧМ сигнал поступает через усилитель записи 9 и токосъемиики  $\Pi K_1 - \Pi K_2$  в головки  $M\Gamma_1$  и  $M\Gamma_2$ .

В режиме воспроизведения головки включены через согласующие трансформаторы. Тр. и Тр. на входы предварительных усилителей Тои. 18 голова предварительных усилителей Тои. 18 голова предварительных усилителей Тои. Открывание, и закрывание усилителей на предварительных пре

сигнал поступает через усилитель 15 и ограничитель 16 на демодулятор 17. Демодулированный видеосигнал усиливается усилителем 18 и подается в селектор системы автоматического регулирования (САР) и адаптер телевизора (см. рис. 6.30),

САР видеомагнитофона (рис. 6.8, 6) управляет ведущин И и дополнительным 15 электродвигателями, связанными с помощью пассиков со шкивом на маховике ведущего выла. На валу ведущего электродвигателя установлены индукционные тахогенераторы: полужаравой частоты 13, строчной частоты 16 и частоты вращения электродвигателя 7.

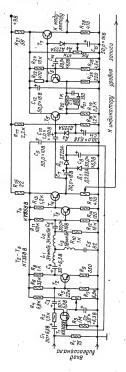
При записи от телекамеры (пережлючатель в положения «Стекамера») САР работает атотноно. Върабатъваемые тахогенератором 16 колебания с частотов 16 625 Гц усиляваются усиляваются усидеитель частоть 19 подаются на первых дедеитель частоть 19 подаются на первых осцепи сравнения 21, на второй вход которой подастес сигная от генератора опорной частоть 20. В цепи сравнения в ней происходит сравнения по длительности импульсов тахогенератора и опорных импульсов. Устройство сравнения вырабатывает сигная, управляющий устройством



питания 22 велущего электродвигатыя 14. При отключении частоты вращения этого электродвигателя от коминального значения изменяется частота имириково такогенерогора, поступающих на делитель 19. Так как частота генератора 20 постояная, на выходе устройства сравнения вырабатывается сигнал, поддерживающий коминальную частоту вращения ведущего двигателя 14. Синхронизация телевичной камеры также осуществляется попрым генератором 20.

Импульсы синхронизации строчной и кадровой разверток камеры формируются блоками 11 из сигналов, вырабатываемых соответственно тахогенераторами 13 и 16. Кроме того, кадровые импульсы с частотой следования 50 Гц выделяются из записываемого сигнала селектором / и запускают ждущий мультивибратор 2. При работе с телекамерой он выполняет роль делителя частоты на два. Установка мультивибратора в исходное положение осуществляется импульсами с частотой следования 25 Гц, вырабатываемыми тахогенератором 7. Они поступают на мультивибратор через усилитель 5 и цепь формирования 3. Импульсы мультивибратора через дифференцирующую цепь (на схеме не показана) подаются в головку МГ и записываются на ленту (дорожка записи управляющего сигнала на рис. 6.1).

При воспроизведении, как и при записи от телекамеры, САР работает автономно, но дополнительно включается цепь регулирования скорости ленты. В этом режиме управляющие сигналы, воспроизводимые головкой МГ и усиленные усилителем 8, запускают мультивибратор 2. Его импульсы, следующие с частотой 25 Гц, подаются в дискриминатор 4, куда также приходят импульсы с тахогенератора 7. Сигнал ошибки с выходадискриминатора подается на усилитель мощности 10, нагрузкой которого является электродвигатель 15. При отставании по фазе управляющих импульсов от импульсов тахогенератора частота вращения электродвигателя увеличивается, что приводит к увеличению скорости ленты до тех пор, пока импульсы не сфазируются. При опережении частота вращения двигателя 15 снизится, что приводит к уменьшению скорости ленты до тех пор, пока она станет равной номинальной. Каналы записи и воспроизведения звукового сопровождения видеомагнитофонов строятся так же, как в магнитофонах.



#### Электрические схемы узлов видеомагнитофонов

Входной видеоусилитель (рис. 6.9) содержит АРУ. ФНЧ, устройство фиксации уровня черного и ограничитель уровня белого. Видеосигнал размахом 1 В на входном сопротивлении 75 Ом должен обеспечивать номинальную девиацию несущей частоты видеомагнитофона. При меньшем или большем размахе входного сигнала АРУ срабатывает, поддерживая постоянный уровень выходного сигнала. Сигнал АРУ вырабатывается детектором (диоды  $I_1$ , и  $I_2$ ) и изменяет ток стока транзистора Т<sub>1</sub>, изменяя отношение значений сигнала на резисторе R2 и выходном сопротивлении  $T_1$ . Режим этого транзистора устанавливают переменным резистором R<sub>5</sub>. Между каскадами на транзисторах  $T_2 = \dot{T}_4$  включен фильтр, ограничивающий полосу входного сигнала до 2.7 МГц. С помощью диода Д<sub>2</sub> осуществляется неуправляемая привязка уровня синхронизации импульсов. Цепь  $R_{20}R_{21}C_{13}$  увеличивает уровень ВЧ составляющих записываемого видеосигнала. Транзистор  $T_6$  и диод  $\mathcal{A}_4$  образуют малоинерционный ограничитель пиков белого (порог ограничения устанавливают переменным транзистором  $R_{26}$ ). Нагрузкой ограничителя служит эмиттерный повторитель на транзисторе  $T_{v}$ .

Двухканальный предварительный усилитель воспроизведения (рис. 6.10) содержит в каждом канале каскодные усилители  $(T_1, T_5, \mu T_3, T_6)$ ,

имеющие малую входную емкость и низкий уровень шума в рабочем диапазоне частот 0,3-6 МГц. Ключевые каскады на транзисторах Ти  $T_4$  насыщаются импульсами, поступающими от тахогенератора, и поочередно закрывают каналы воспроизведения на время, пока видеоголовка не находится в контакте с лентой. К обоим входам усилителя через токосъемники (см. далее описание конструкции БВГ) подключаются видеоголовки. Повышающие трансформаторы Тр., Тр. выполнены на ферритовых кольцевых сердечниках. Индуктивность их обмоток выбирается в соответствии с применяемыми головками. Во входных каскадах вместо полевых транзисторов можно применять биполярные транзисторы типа КТ311Ж или ГТЗ29Б с ООС в цепи эмиттера.

Ограничитель выполняется из 3-4 включаемых последовательно одинаковых ячеек каждая из которых дает ограничение 10—16 дБ. Ячейка содержит усилитель с индуктивной ВЧ коррекцией, нагруженный на два встречно включенных диода Д<sub>1</sub> и Д<sub>2</sub> (рис. 6.11). На вход первой ячейки поступает сигнал с вы-

хода усилителя воспроизведения, а с выхода последней ячейки сигнал подается на демодулятор. Усилитель записи ЧМ сигнала усиливает сигнал врямоугольной формы с временем нарастания не более 40 кг. На входе усилителя (рис. 6.12) включен регулятор тока записи Яг, его нагрузкой является эмиттерный повторитель на транзистор ре Т., Выходной каскад на транзистор Т, имеет

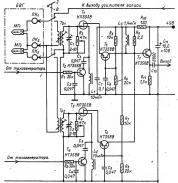
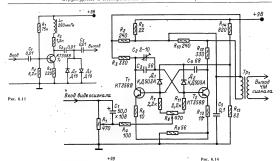


Рис. 6.1



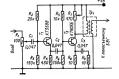


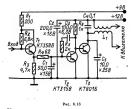
Рис. 6.12

регулируемую коррекцию  $R_7$  и цепь ВЧ коррекции  $C_3R_9$ . Головка согласовывается с выходным каскадом с помощью трансформатора  $T\rho_1$ , выполненного на ферритовом кольце, в экране.

Усилитель постоянного тока (рис. 6.13) служит для управления частотой вращения двигателя. На его вход поступает сигнал от фазового дискриминатора. Между эмиттерным повторителем  $I_1$  и усилителем  $I_2$  включена интегрирующая цепь  $R_4C_1$ . Конденсатор  $C_4$  и дроссель  $L_1$  синжают создаваемые электродвитателем помехи.

Дроссель намотан на резисторе МЛТ-0,5 100 Ом проводом ПЭВ-2 0,15—0,25; число витков (10—15) • 2.

Мадуантор (рис. 6.14) модулирует сигнал иесу-шей частоты поступающим выпосенталом в соответствии с графиком ил рис. 6.15. Частоты а пах-частоты, соответствующим упомно перинис-ин-хронизирующих имиульсов  $f_1 = 3.00 \pm 0.5$  М $f_{11}$ , частота для пико-поста или или упомно размения упомно обращих имиульсов  $f_2 = 3.42 \pm 0.15$  М $f_{11}$ , частота для пико-поста выпоста упомном упомном упомном размения упомно безого  $f_2 = 4.40 \pm 0.5$  м $f_3 = 4.40 \pm 0.5$  м $f_4 = 4.80 \pm 0.15$  М $f_{11}$ , деннация частоты  $\Delta f_0 = \frac{1}{2} f_1 = 1.4$  М $f_{12}$ 





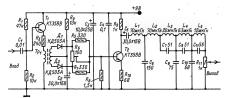


Рис. 6.16

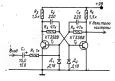


Рис. 6.17

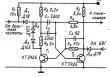


Рис. 6.18

Частота модулятора, предстваляющего собой мультивибратор на транансторах, приваляется поступающим на вход модулирующим видеоктильном. Неушва частота определяется времязалающими цепями  $C_{\ell}$  и  $C_{\ell}$ ,  $R_{\ell}$   $R_{\ell}$  н  $C_{\ell}$ . Для увеличния круплым слад милульсов делитель напряжения  $R_{14}$ ,  $R_{15}$  соединен с базами транзисторов  $T_{\ell}$  и  $T_{2}$  через длоды  $R_{\ell}$  и  $T_{2}$  через длоды  $R_{\ell}$  и  $T_{3}$  соединен с базами транзисторов  $T_{\ell}$ 

Демодуаятор (рис. 6.16) состоит из эмиттерного повторителя на травикогоре 71, катрузкой которого выявяется удвоитель частоты на длодах Д, и д, и усимителя на травикогоре 72, выход которого соединен с ФНЧ, выполненным на катушках торого соединен с ФНЧ, выполненным на катушках тор №, служент для симьстрирования удвоителя частоть. Фильтр должен подавлять несущую частоту, ке ввося искожений в спектр демодуанрованиятого выдесситивля. Неточняя настройка фильтра вызывает окаптовии и жура на взображе-

Триггер САР (рис. 6.17) служит для формирования импульсов, поступающих на его вход от ВЧ тахогенератора диска БВГ. Запускающие импульсы подаются на базу транзистора  $T_1$ .

Опорный мультивибратор САР (рис. 6.18) определяет частоту вращения электродвигателя виреоголовом и частоту развертки телекамеры. Имеются цепи подачи импульсов от ВЧ тахогенератора БВГ (через диод.  $\hat{\mathcal{H}}_1$ ) на мультивибратор и импульсов для синкронизации телекамеры.

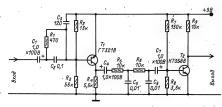


Рис. 6.19

Селектор кадровых импульсов (рис. 6.19) содержит два усилительных каскада, между которы-

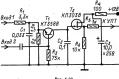


Рис. 6.20

ми включены интегрирующие звенья  $R_5C_5$  и  $R_6C_6$ . На вход селектора поступает видеосигнал, а выход соединяется с фазовым дискриминатором. Цепь  $R_1C_2$  служит для защиты от импульсных помех.

Фазовый дискриминатор САР (рис. 6.20). На вход 1 поступают импульсы с выхода усилителя канала управления, а на вход 2 импульсы от тахогенератора БВГ (25 Гц). Сигнал ошибки выделяется в цепи коллектора, интегрируется конденсатором  $C_2$  и через истоковый повторитель и резистор R<sub>5</sub> подается на вход УПТ САР.

Электрические схемы каналов звукового сопровождения (усилители; генераторы токов стирания и подмагничивания; блоки питания и коммутации) не отличаются от схем аналогичных узлов магнитофонов.

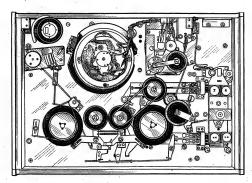
#### 6.3. ЛЕНТОПРОТЯЖНЫЕ МЕХАНИЗМЫ

Лентопротяжные механизмы

Лентопротяжные механизмы (ЛПМ) видеомагнитофонов выполняют те же функции, что и в магнитофонах, поэтому конструкции их приемного, подающего, ведущего и других узлов аналогичны соответствующим узлам, описанным в разд. 5. Основное отличие ЛПМ видеомагнитофонов состоит в наличии БВГ (рис. 6.21).

В олноголовочных видеомагнитофонах за один оборот диска на одной строчке записывают один полукадо телевизионного изображения, а в двух-

головочном два. Поэтому в одноголовочном видеомагнитофоне частота вращения диска п = = 3000 об/мин, а в двухголовочном п = — 1500 об/мин. Днаметр диска видеоголовок D и скорость записи и, связаны соотношением  $v_3 = \pi D n$ . В то же время верхняя частота  $f_0$ , записываемая на ленту, равна  $f_3 = v_3/\lambda_{min}$ , где  $\lambda_{min} = 2 \div 3$  мкм — минимальная длина волны записи; чем выше качество головок и лент, тем Ател меньше.



При равных дивметрах диска в одноголовочном выдеомагнитором е скорсть записи вавое выше и, следовательно, выше записиваемя частота. Так как угол наклоза магнитой строки обычно равен 3—5°, а ее длина равна л.О, то неравномерьность скорсть тармения равна л.О, то неравномерьность скорсть дамижения расправа дивмения расправа диворимов дили везущего вала, непосредственно влияет на временные искажения воспроизводимо то клображения. Чем равномернее скорсть дамижения дели от клображение дели быто должно тем стабильнее изображение на экране. Стабильное изображение делен оплучить при корол строкие записи и небольших размерах дисков БВГ.

В ЛПМ двухголовочного видеомагнитофона (рис. 6.22) БВГ обхватывается лентой на угол, несколько больший 180°. ЛПМ состоит из ведущего вала 32, приемного 19 и подающего 14 узлов, на которые устанавливаются катушки 16 и 20 с лентой 7, БВГ 18 с электродвигателем 1, вспомогательного электродвигателя 41 со шкивом 40 (39 - пассик) и ряда направляющих роликов и стоек (22, 26-30, 33, 34, 37). На оси электродвигателя 1 закреплен диск 45 с видеоголовками 6, токосъемники 21 и 44 и тахогенератор частоты кадров 42, имеющий катушки 9 и 23, и тахогенератор частоты строк 3. В режимах записи и воспроизведения вращение двигателя с помощью шкивов 46 и 47 и пассиков 2 и 43 передается маховику 38 ведущего вала и шкиву 4 промежуточного вала 5. Прижим ленты 7 осуществляется обрезиненным роликом 31, который перемешается электромагнитом 35. Для образования «замкнутой петли», изолированной от подающего и приемного узлов, лента в этих режимах прижимается к ролику 31 и с противоположной стороны, где она обхватывает свободно вращающийся ролик 30. Для повышения стабильности натяжения со стороны подающей катушки применен механический стабилизатор, состоящий из рычага 15 со штырем 17, связанным с металлической лентой, оклеенной кожей, и пружины 13. До конической направляющей стойки 28 лента движется параллельно плоскости катушки, а после нее опирается нижним краем на направляющую 8, закрепленную на барабане 18 БВГ. По ходу движения ленты внутри «замкнутой петли» помещены стирающая головка 24 и блок универсальных головок 36. При перемотке ленты вперед ролик 31 отводит ленту от ведущего вала, пассик 10 прижимается к приемному узлу и частота вращения приемной катушки значительно возрастает. В режиме обратной перемотки этот же пассик через промежуточный ролик 12 передает вращение подающему узлу от шкива 11 промежуточного вала 5 через шкив 25.

Оба электродвигателя — коллекторные, постоянноточные с возбуждением от феррит-бариевых магнитов. Напряжение интания первого — 7 В, второго 4.5 В; частота вращения соответственно 1500 и 2500 об/мин; мощности потребления 3,65 и 1.35 Вт.

ЛПМ с «замкнутой петлей» имеет хорошую стабильность скорости ленти, по неудобен в эксплуатации, так как заправка ленты затрудемев. Этот недостаток значительно уменьшен в ЛПМ с «42-петлей», кинематическая схма которого привежна из рис. 622. ЛПМ нажеет выгурий элегенская как рис. 622. ЛПМ нажеет выгурий элегенская как рис. 622. ЛПМ нажеет выгурий элегенская из применяй умел 2, ведущий вал Л с махономим, привемной ролик 4, 60 модилой ролик 4, мих.

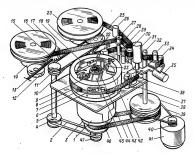
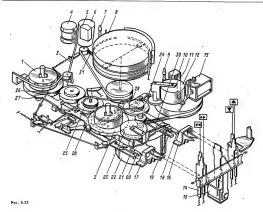


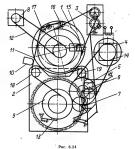
Рис. 6.22



направляющие стойки 7 и 8. Для поддержания постоянного натяжения летять подающий узес кнабжен механическим тормозом с рычагом 3 и пружнию. Передача движения от электродиятателей передачется пассиками 29 — 31, фрикционами узом 26 и инкивами 24 — 26. По ходу движения со сторовы основы леть помещена стирающая голокам 5 (при таком расположени стирающей голоки рабоми сой леть инашивается меньшей в БВВ 8. Радом с ведущим валом распоменного прочим реалимо работы осуществляется с помещью прочим берго основны 16, 17, рычагами 27, 28 и электромагнитами 13, 15.

Накучини образом лента сохраниеств в кассете Кассету устанавлявают в ванеоматниторон с помощью специального устройства. На рис. с 24 изображема упрощенняя кинематическая ссема ЛПМ видеоматниторона, в котором применястея кассета ВК-30 с соходым расположениекотушех, а в табл. 6.3 приведення данные паложенсистими, а в табл. 6.3 приведення данные паложенсистими с моженной бытовой видеоалиси.

В центре ЛПМ расположен БВГ 1, помещенный внутри поворотной платформы 15 зарядного устройства, имеющего направляющие ролики 16 и 17. В нижней части ЛПМ находятся гнездо и лифт для перемещения кассеты 2, в которой расположены одна над другой две катушки с лентой,



образующие приемоподающий узел 9. Лента 11 сматывается с нижней катушки, проходит вокруг обводных роликов 18 и 19 и наматывается на

Таблица 6.3. Кассеты для бытовой видеозаписи

Параметр ,	«Видео-2000»	BXC	БЭТАМАКС	ЛВР	ВЦР-120	BK-30
Время зависи, мин Расход ленты, и у голщина ленты, мих Ширина ленты, мих Ширина ленты, ми Скорость ленты, ми Скорость ленты, ми Скорость ленты, ми Скорость ленты, ми Скорость ленты, ми Скорость ленты, ми Карость денты, ми Карость денты, ми Скорость ден	2×240 0,56 14 12.7 183×110×26 24,42 5,08 22,5 ±15	180 1,07 20 12,7 188×104×25 23,39 4,85 49	198 0,86 14 12,7 156×95×25 18,73 5,83 33 ±7	180 1,6 8,5 8 114×106×17 4000 4,0 100	120 3.09 20 12.7 145×127×41 65,6 8.08 — ±15	30 6,7 27 12,7 145×127×41 142,3 8,08 130

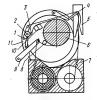
При и е ча и и.е. В кассет ВК-30 применяется формат, приведенный в рис. 6.1, при котором строчки записывателя с промежутками. В кассет лВР применяется формат, при котором конформаение записывается последаютьсям с несеменные к дольных дорожжах и видеоголовка не вращеется. В остальных кассетах применяется наклонно-строчный формат записи без промежутков между строчками, аудим арфильцициког доложами.

верхиюю катушку. При опускании кассеты лифтом роник // 6 заркдной платформы // 5 водит в окно кассети и закватывает свободный конец ленты перед заправкой (показыно иптриховой линией); привод механизма 3 качинает вращать платформу кокрут БВГ. Выешиям обратава петата ленты проходит по роликам // 7 и // 8 и поступает в приемную катушку.

Лента подматывается вращением ролика 7, который входит в зацепление со щекой катушки. Кассета снабжена встроенными тормозами 13. которые препятствуют спаданию ленты с роликов при съеме кассеты. Окно для ролика зарядного устройства в разряженной кассете закрыто крышкой, защищающей внутренность кассеты от пыли. Стирающая головка 10 установлена со стороны основы ленты. Диск с головками вращается от электродвигателя 8 через ременную передачу 12. Для уменьшения трения ленты о барабан БВГ его верхнюю часть делают вращающейся. Частота вращения барабана 1500 об/мин. При вращении барабана между его поверхностью и лентой образуется воздушная подушка толщиной 20 -40 мкм. Ведущий узел приводится во вращение электродвигателем 4 через пассик 14. В непосредственной близости от него расположен блок 5 с головками записи-воспроизведения звукового сопровождения и управляющей головкой. Ленту можно перематывать в кассете, не снимая ее . с направляющего барабана БВГ

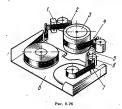
Широкое распространение получили кассеты с копланарным расположением катушек. При малых размерах подобная кассета может работать по 4 ч. т. к. магнитные строчки на ленте записываются без промежутков.

На рис. 6.25 представлена схема заправки копланарной кассеты типа сВЕТАМАКС 6. См. табл. 6.3). Большая часть ўзлов, связанных с зарядкой ленты и ретулированием ее натяження, устанонена на заряжвоіцем диске ІІ. Он расположен эксцентрично относительно барабана БВГ 6. Благодаря этому освобождается место. для головок



Pac. 6.25

265



лием 0,01 — 0,02 Н давит на верхний край ленты и прижимает ее к нижнему выступу. Широкие направляющее пластины фиксируют положение ленты в зоне неподвижных головок и обеспечивакот взаимозамениемость кассет.

На рис. 6.26 изображена кинематическая схема зарядки ленты в ЛПМ типа ВХС двумя параллельными заряжающими роликами (см. табл. 6.3). При установке кассеты 8 в ЛПМ лента оказывается между ведущим валом 7 и прижимным ролнком 6. Таким образом, для подведения прижимного ролика к валу требуется его минимальное перемещение, что обеспечивает высокую стабильность работы ведущего узла. Два заряжающих ролика 2 и 4 вытягивают ленту из кассеты и обхватывают ею барабан БВГ 3. Заряжающие ролики фиксируются в требуемом положении двумя стопорами с V-образными канавками, благодаря чему обеспечивается высокая стабильность тракта ЛПМ. Поскольку ход ролнков мал, из кассеты вытягивается небольшая петля ленты, что также способствует стабильности зарядки ленты, устраняет опасность ее деформации. По ходу движения лента касается головки канала управления 1 и головки канала звукового сопровождения 5, расположенных по обе стороны БВГ. Направляющий барабан БВГ разделен на верхнюю и нижнюю половины, причем нижняя имеет прецизионный выступ для фиксации хода ленты по спирали. Верхняя половина барабана вращается, на ней помещены две видеоголовки. Воздушная подушка, образующаяся между барабаном и лентой, позволяет сделать натяжение в зоне ведущего вала менее 1 Н, что дает возможность применить в кассете сверхтонкую ленту.

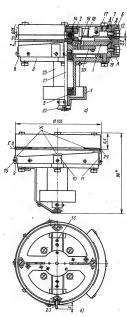
#### 6.4. БЛОК ВРАЩАЮЩИХ,СЯ ГОЛОВОК

Съемина ВВГ жаляется одили из основизы удлов высоментитофона Рамеры ВВГ определяются шириной ленты и используемым форматом записи. В битовых советских видеомагинитофонах применяется БВГ с диаметром барабана 105 мм. При жолания записать сигная более высоких частот диаметр барабана увеличивают до 135 мм. Итиательно собраны, Радиальное биение и иссо-сность диска видеогиловок и цилиндров не должня превышать 5 мм. Цилиндры изготавливают из дюраломиниевых сплавов В-95, А-30 или вером и под заданный размер и покрывают химическим способом инсесем и толими слоем хрома или теле тоссобом инсесем и толими слоем хрома или теле

Верхняя и нижняя части цилиндров скрепляются сегментной стойкой с регулировочными винтами, позволяющими точно устанваливать соосность обенх частей. В этом случае ось диска может быть сплошной, а выводы токосъемника пропускают по сегментной стойке.

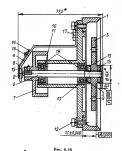
Сборочный чертем одной из конструкций ВВК битового двухголовочного видеомагинтофока приведен на рис. 6.27. Здесь: 1— диск вущеогостоль друго примента и примента и при (сплав друго) при сплав друго при верхний (став. X18H10T); 8— денточная направляющая; 9— малая накладка; 10— средияв макадака; 11— большая накладка; 12— внит крепления цилиндра; 1.3 — выит установкі головкі головкі; 14 — томослемники; 1.5 = выит крепления денточной направлющей; 1.6 = выит крепления денточной направлющей; 1.6 = выит крепления едукае Крышки, 1.6 = 2.00 гм. — выит крепления верхиве Крышки, 1.6 = 2.00 гм. — выит крепления верхиве Крышки, 1.6 = 2.00 гм. — выит крепления верхиве Крышки 1.6 = 2.00 гм. — выет креплений предусмость верхименти илинидра;  $T_{\rm c} =$  верхиний поверхность верхименти илинидра;  $T_{\rm c} =$  верхиний поверхность верхименти илинидра  $T_{\rm c} =$  верхиний поверхность вращения выплечений предусмость вращения выплечений предусмость вращения выплечений предусмость в выплечений предусмость в выплечений предусмость в выплечений предусмость в выплечений предусмость в выплечений предусмость в выплечений предусмость в выплечений предусмость в выплечений предусмость в выплечений предусмость в выплечений предусмость в выплечений предусмость в выплечений предусмость в выплечений предусмость в выплечений предусмость в выплечений предусмость в выплечений предусмость в выплечений предусмость в выплечений предусмость выплечений предусмость в выплечений предусмость в выплечений предусмость в выплечений предусмость выплечений предусмость в выплечений предусмость в выплечений предусмость в выплечений предусмость в выплечений предусмость выплечений предусмость в выплечений предусмость в выплечений предусмость выплечений предусмость в выплечений предусмость в выплечений предусмость в выплечений предусмость в выплечений предусмость выплечений предусмость в выплечений предусмость в выплечений предусмость в выплечений предусмость в выплечений предусмость в выплечений предусмость в выплечений предусмость в выплечений предусмость в выплечений предусмость в выплечений предусмость в выплечений предусмость в выплечений предусмость в выплечений предусмость в выплечений предусмость в выплечений предусмость в выплечений предусмость в выплечений предусмость в выплечений предусмость выплечений предусмость в выплечений предусмость в выплечений преду

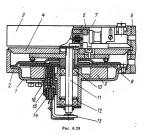
На рис. 6.28: 1 — цилиндр нижний; 2 — вкладыш подпятника; 3, 9 — шайбы установочные; 4 — скоба подпятника; 5 — фланец; 6 — вал;



PHC. 6.27

7 — шкив; 8 — виживй подлятии; 10, 11 — шайбы установочные; 12 — винт крепления цилиндра; 13 — шайба запорная; 14 — клемма; 15 — винт стопорный; 16 — винт подлятника; 17 — вик крепления корпуса; 18 — щарикоподшипники. Более совершенна конструкция БВГ со встросиным электродынгателем (рис. 6.29). Корпус





электродвигателя / расположен внутри нижней половины барабана 2. На вал 11, снизу упирающийся в подпятник 13, жестко посажен диск 4 с видеоголовками, ротор токосъемника 5 и ротор тахогенератора. Электродвигатель имеет разнесенные радиально-упорные подшипники 10 и 12. Отсутствие передачи пассиком и непосредственное управление частотой вращения вала электродвигателя с помощью САР-СД позволяют получить малые временные искажения воспроизводимого сигнала. Верхняя половина барабана 3 либо скрепляется с диском видеоголовок и делается подвижной (при этом вал электродвигателя должен иметь паз для проводов, идущих от токосъемника 5), либо скрепляется с нижней половиной 2 с помощью стойки 6. Осевое биение внешнего днаметра барабана относительно оси диска с видеоголовками должно быть не более 5 мкм. Между диском видеоголовок и верхней крыш-

Между диском видеоголовом и верхией крышкой 7 инога-р замещают предварительный усилитель воспроизведения. Для уменьшения длины ресположить обменений каскад усилителя записи. Накадушие результаты получаются при исползовании специального электродингателя постоянного тока с печатным ротором 8, имеюцим бодыше число колдекторик и дистин; ток к ими полводится щетками 16. Статор 9 электродиятателя выполнен в выде колышелого постоянного магнита жины 15, сида прижима регулируется дерхатусям 14. Применяют также синкронные электродии также пременного тока, питаемые от мощимх усылителей.

Сигналы к БВГ подают через токосъемники с с числом секций, равным числу видеословок. Контактный токосъемник представляет собкольцо, повержоють которого покрыта серебром или специальным малоокислиющимся сплавом. Применяют щетки из мяткого графиты или из мятких пружинящих тонких проволочек. Весконтактный токосъемник изготовляют из двух ферритовых колец с пазами, в которые помещаят обмотки. Со сторовы пазов, по торцу, кольда пришляфовывают и закрепляют на валу и на неподвижной половне барабана так, чтобы магниям поток от статора к ротору замыжался через воздушные задовы, размер которых не дольбыть более 50—80 ммм. При использовании бесконтактных токосъемников для уменьшений помех диск с видеоголовками следует заземлять через специальную щетку

Тахогенератором может служить, устройство, состоящем вы фотовленов ими фоторежисторого, который совещают либо миниаториой лампой исреа прореав в диске или отражениям светом от черных и белых секторов, наносимых на диск, либо светодномо. Электрические имигрысь, об-разующеем при вършения диска, подаются в САР-СП видеоматичторона.

Простейший тахогенератор можно изготовиты зо обачной магнитной головки с широким рабочим зазором и небольшого постоянного магнита, которые укреплятотся на диске БВГ. Во время вращения диска перед зазором магнитной головки периодически помяляется магнит и индуцирует в ее обмотке электрические импульсы.

#### 6.5. МАГНИТНЫЕ ЛЕНТЫ И ГОЛОВКИ

В бытовых видеомагнитофонах используют магнятую ленту 1-4305-125 гольщиной 27 мом с рабочим слоем из порошка двуокиси хрома на лавасивоюй основе. Примененя енет с рабочим слоем из тамие-омисата может разменений с поставлений образовать и поставлений с поставлений с предусмення в 2—4 разм невыше. Поверхность ленты должив быть чистой, не иметь заметных царапты, короблений в растинутым жет. Запись жагательно проводить при комиатной температуре и пониженной выажности. После записы деяту ния к барабану. Ленты для видеозавиле скленва-

В ВВГ бытовых магнитофонов используют вилеоголовки с ферритовыми сердениками размером 2А2X0,2 мм, которые прикленавот к латунной оправке. Параметры видеоголовок приведены в табл. 6.4. Видеоголовки ФГВ-1 применяют в катушечных, а ФГВ-2 в кассетных видеоматинтофонах. Видеоголовки закрепляют на диске БВГ и бостируют с помощью специального приспособления, позволяющего точно установить угол между рабочими зазорами 180° ± 20′.

Рабочая часть видеоголовок должна выступатьнад поверхностью диска на 50 — 100 мкм. В процессе эксплуатации выступ уменьшается на 30 — 40 мкм и отдача видеоголовок постепенно повышается. В конце срока службы рабочий зазор разрушается и видеоголовок приховят в неголисть.

При эксплуатации магнитные головки следует периодически очищать от магнитного порошка мягкой замшей, смоченной фреоном или спир-

В качестве неподвижных стирающих и универсальных толовок можно использовать головки от обычных магнитофонов с размерами серденников, соответствующими выбранному форматузависи, либо универсальные магнитные головки, приведенные в табл. 63. Головка 12/12/2 1 с двумя магнитными системами предназначена для применения в катушенных видеомагнитофонах, а гс

Таблица 6.4. Видеоголовки

Параметр	ФГВ-1	ФГВ-2		
Ширина рабочего зазора, мкм Длина рабочего зазора, мки Глубина рабочего зазора, мки Индуктивность, икГи Добротность на частоте 3,8 МГц, не менее Ток записи, мА, не более ЭПС, на частоте 3.8 МГц, мкВ	0,7±0,3 130±10 40±10 1,7±0,27 4 22 170	0,7±0,3 130±8 30±10 3,3±0,27 4 22 250		

Таблица 6.5. Универсальные магнитные головки для бытовых видеомагнитофонов

Параметр	12Д22-1	12Д33-1
Ширина рабочего зазора, мкм Длина рабочего зазора головки канала заука, мм управляющего сигнала, мм Глубина рабочего зазора, мм Индуктивность, мкТи Рабочая полоса частот канала зву- ка, Гц	4,0 0,7±0,025 0,3±0,05 45±10	4,0 0,8±0,025 0,3±0,025 0,3±0,05 40±10 60—15 000

268

ловка 12Д33-1 с тремя магнитными системами в кассетных видеомагнитофонах. Магнитные цепи за этих головок изготовлены из пермаллоя.

Стирающая головка имеет ферритовый сердечник и обладает следующими параметрами: длина рабочего зазора  $14 \pm 0.2$  мм; ширина 0.3 мм; глубина  $0.3 \pm 0.05$  мм; индуктивность на частоте 1 кГц,  $0.35 \pm 0.1$  мГн, ток стирания 250 мА, частота стирания 65 кГц, эффективность стирания 55 дБ.

#### 6.6. ПОРЯДОК НАСТРОЙКИ ВИДЕОМАГНИТОФОНА

 Проверяют правильное функционирование узлов ЛПМ и электронных блоков видеомагнитофона при различных режимах работы: «Рабочий ход», «Перемотка» и «Стоп».

 Заряжают ленту или кассету и проверяют ход ленты по тракту ЛПМ. Лента долика перемещаться плавно, без рывков и перекосов. Не допускается заминание ленты на направляющих и обводных роликах. Натяжение ленты во время рабочего хода должно составлять 0,5 — 1 Н. При троможении и остановах ис должны образовыменты и становах ис должны образовы-

торможении и остановах не должны образовываться петли и провисающие участки ленты. 3. Проверяют стирание общей головкой и налаживают канал записи и воспроизвеления звукового сопровождения по методике, принятой для обычных магнитофонов (см. § 5.9).

 Проверяют канал записи и воспроизведения управляющего сигнала и функционирование сис-

управляющего сигнала и функционирование систем авторегулирования.

5. Проверяют работу модулятора и демодуля-

тора, устанавливают несущую частоту и девиацию частоты при номинальном размахе входного видеосигнала.

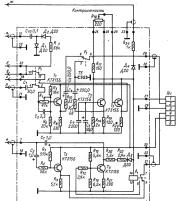
 Проводят запись изображения, ленту перематывают и воспроизводят записанные сигналы.
 Ка качеству изображения подбирают уровень тока записи и устанавливают наилучшую коррекнию по высоким частотам.

#### 6.7. СОВМЕСТНАЯ РАБОТА ВИДЕОМАГНИТОФОНА С ТЕЛЕВИЗОРОМ

 Видеомагнитофон подключают к телевизору через адаптер (устройство сопряжения), в функции которого входят ввод и вывод телевизионного

сигнала и сигнала звукового сопровождения. Адаптер встранвают в телевизор и соединяют с видеомагнитофоном кабелями.

Рис. 6.30



Габлица 6.6. Назначение контактов разъема СНЦ5-6 низкочастотного адаптера

		нал звуко- ожденя со жки: м; Uaxae=	ный выход коммути скітылов: ні
	9	Входной сигнал звуко- вого сопровождения со второй дорожки: Rax=10 кОм: Usx.se= -0,1+2 В	Дополивтельный выход Ваукового и комичти- рументо комичти- комичти- комичти- вое комичти- ко
	5	Напряжение пита. нви ±12В/160 мА	Напражение пита- ния + 12B/100 мА
	+	Вкод сигнала заукового Напражение пита. Вкодной сигнал зауко- сопроводаления: $R_{\rm sc}=1000M$ и, $R_{\rm sc}=1000M$ и, $R_{\rm sc}=1000M$ и, $R_{\rm sc}=1000M$ и, $R_{\rm sc}=1000M$ и, $R_{\rm sc}=1000M$ и, $R_{\rm sc}=1000M$ и, $R_{\rm sc}=1000M$ и, $R_{\rm sc}=1000M$	BOAG CHILALA DIWOOOD Happenee turb. Roomant-based and control of the control of t
	.8	Корпус, экран	Кораус, экран
	2	мая выделения Корит, Напряжение пере- Вкод выделенный Кориту, экрая остробство. Выдео- ключения тофон в режиме сВос- +12 В/30 мА зам и цестой ситегой ситем и перевер веденее	months are consistent to the constraint of the c
	. 1	Напряжение пере- ключення +12 В/90 м.Л	Напряжение пере- ключения О В
Demand and the second	FEMAN PROUIN	изор как видеоконт- ое устройство. Видео- итофон в режиме «Вос- ведение»	мор — источник про- за Вадеоматитофон ключенія 0 В кличенія 10 В кличені

Способ соединения телевиюра с видеомагнитофоном и накуочастотимы адаптером стандартузован. На телевизоре устанавливают гнездовую часть разъема типа СНП-5-6, а адаптер снабжакт кабелем со штыревой частью этого разъема. В табл. 66 указаны сдигивал и напряжения питания, на контактах разъема при раздичимх режимах работы.

На рис. 6.30 приведена схема адаптера УС-2, который может быть встроен в телевизор любого типа, а в табл. 6.7 указан порядок подключения цепей адаптера  $a - \infty$  к схемам телевизоров различных типов.

При записи к выходу видеодетектора телевизора подключают эмитгерний понторитель, собранный на тракзисторе  $T_1$ . С его выхода черережитстр  $R_1$  в реде  $P_1$  сигнал поступает череконтакт Z разъема MI, на вход видеомагнитофона. Переменный режитстр  $P_1$  служит для устаможи коминальной амплитуды сигнала на входе,
можно коминальной амплитуды сигнала на входе,
мак повторительны в транамсторе  $T_1$  к контактерразъема MI, подается на вход канала заукового согровождения выдеоманнитофона.

При воспроизведении сигнал с выхода видеомагнитофона через контакт 2 разъема Ш1 адаптера, через контакты реле  $P_1$  и регулятор уровня R<sub>18</sub> подается на вход усилителя, собранного на транзисторах  $T_3$  и  $T_5$ . Резистор предназначен для установки требуемой контрастности воспроизводимого сигнала. Сигнал звукового сопровождения с выхода видеомагнитофона через контакт 4 разъема и контакты реле  $P_1$  подается на базу транзистора  $T_4$ , усиливается транзистором  $T_1$  и далее поступает на вход УЗЧ телевизора. При воспроизведении постоянная времени цепи АПЧ и Ф телевизора уменьшается по сравнению с номинальной, для чего размыкаются контакты 10 и 12 реле  $P_1$  и включается цепь  $C_{10}$  $A_1$ ,  $A_2$ ,  $R_3$ . В адаптере применено реле типа P9C-22.

Для получения высокожачественной записи телевизор необходимо точно настраивать на принимаемую стакцию. Уроень вкодного видеосигиала должен быть таким, чтобы пики белого не приводилй к перемодуляции ленты или к появлению муара на изображении.

Существуют более сложные схемы адаптеров, у которых в канале изображения имеется АРУ, поддерживающая постоянным уровень сигнала на яжде видомагнитофона. Адаптер для цветного телевизора обычно имеет АРУ в канале цветности, обеспечивающую иоминальный размах поднесущей цветности в записываемом цветном сигназе.

Применяют также ВЧ адаптеры, подключаемые к аптенным входам телевизоров. В этом случае передальнаять телевизор не нужно. Такой адаптер содержит ВЧ модуляторы для звука и изображения, поэтому его схема значительно сложнее по конструкции и более трудна в настройке.

#### Таблица 6.7. Подключение адаптера УС-2 к телевизорам разных типов

Обозначение епи на рис. 6.30	УПТ-47/59-П-«Славутнч», «Горязонт» (59) «Наумруд-201», «Изумруд»	УПТ-47/50/59/-II-2 УЛТ-50/59/61-II-3, «Рубин-205-, «Рубин-205.Д» «Березка-205» (50), «Славутич- 201»/50	УЛПТ-47/59-II-1/3, «Электрон-2-1», «Крым-201», «Чайка-2»	УЛПТ-57/59-II-2/ УЛПТ-59/61-II- 5/6/7/8, «Крым-206 «Чайка-205»		
a	Соединение	Соединение	Соединение	Соединение		
	. R <sub>443</sub> C <sub>427</sub>	R <sub>442</sub> C <sub>427</sub>	R440C427	<i>R</i> <sub>443</sub> <i>G</i> <sub>427</sub>		
δ	Вывод резистора	Вывод резистора	Вывод резистора	Вывод резистора		
	R302	R202	R205	R205		
	Контакт панеля	Контакт 4	Контакт 6 панели	Контакт перен.		
	КП-1а	ВК-504	КП-1а	ВК-501		
	Контакт 24 блока 3	Контакт B(+150 B)	. Контакт 24 блока 3	Контакт <i>В</i> (+150 В		
ð	Контакт <i>КТ8</i>	Контакт <i>КТ8</i>	Контакт <i>КТ8</i>	Контакт <i>КТ8</i>		
	блока 3	блока З	блока 3	блока 3		
	Контакт 4 блока 2	Контакт 4 блока 2	Контакт 3 блока 2	Контакт 3 блока 2		

#### Продолжение табл. 6.7

Обозначение пи на рис. 6.30	УЛПТ-61-11/12, - «Электрон-205» «Электрон-205Д»	· УЛПТ-61-II—21/22, «Крым-217», «Электрон-206»	УЛПТ-61 21И/22И, «Электрон-206Д»	УЛПТ-65-1-1, «Горязонт-101» ЛПТ-67-1-4/5		
a	Соединение R <sub>443</sub> C <sub>42</sub> ,	Соединение R <sub>384</sub> C <sub>52</sub>	Соединение 4 R <sub>34</sub> 4 C <sub>22</sub>	Соединение 3R <sub>14</sub> 3-G <sub>12</sub>		
6	Вывод резистора R204	Вывод резистора 2R4		Контакт 7 блока <i>IV2</i>		
8	Контакт 24 блока 3	Контакт 53 . блока 43	Контакт 53 блока 43	Контакт 34 блока /V4		
. *	Контакт В (+150 В)	Контакт В (+145 В)	Контакт В (+145 В)	Контакт Д (+150 В)		
ð	Контакт <i>КТ8</i> блока 3	Контакт <i>ЗКТІІ</i> блока <i>УЗ</i>	Контакт ЗКТП блока УЗ	Контакт КТВ блока IV4		
	Контакт 3 блока 2	Контакт 20 блока У2	Контакт 20 блока У2И Контакт 2-КТ2 блока У2И	Контакт 9 блока IV2		



## АППАРАТУРА ДЛЯ ЛЮБИТЕЛЬСКОЙ РАДИОСВЯЗИ

#### COREDWANUE

	Диалазоны частот для любительской радиосвязи (271). Виды работы и категории любительских радиостан-	
	шнй (271)	
7.2.	Передатчики	272
	Параметры передатчиков (272). Структурные схемы любительских передатчиков (272). Задающие генерато-	

Параметры передагчимов (276). Турустурное састоты (276). Преобразователи частоты (276). Телеграфиан манипуляция (277). Амплитудизя модуляция (278). Одмополоская модуляция (278). Усидители мощности (279) 7.3. Приемники для любительской радносвязи присминям для лючительском разлиссимы и Параметры приемников (282). Проселекторы (283). Параметры приемников (282). Структурные схемы любительских приемников (282). Проселекторы (283). Усилители различаетоты (283). Смесители частот (263), Усилители промежуточной частоты (284). Детекторы для приема одиополосимых сигиллов (264). Усилителы изкумов частоты (285). 5-метр (285)

7 4. Трансиверы

#### 7.1. ОБШИЕ СВЕДЕНИЯ

#### Диапазоны частот для любительской радиосвязи

Любительским радиостанциям разрешена работа в следующих диапазонах частот:

100							1.05 1.05 ME
160-метровом							1,85-1,95 MFa
80-метровом							3,5-3,65 MFu
40-метровом							7,0-7,1 MF <sub>11</sub>
20-метровом							14,0-14,35 MF
15-метровом.							21.0-21.45 MT
10-метровом							28,0-29,7 MFs
2-метровом .							144 146 MTa
70-сантиметро	080	м					430 440 MFu
23-сантиметро	one	100					1.215-1.3 FFu
5-сантиметров							5,65-5,67 FFu
3-сантиметрог	юм						10.0-10.5 ГГи
1,5-сантиметр	ово	M.					21,0-22,0 FFu

#### Виды работы и категории любительских радиостанций

При любительских радносвязях используются телеграфия с амплитудной манипуляцией передатчика с приемом на слух, двухчастотная телеграфия с автоматическим приемом на буквопечатающее устройство (радиотелетайн), телефония с АМ, однополосная телефония и телефония с ЧМ.

Наиболее широко радиолюбители применяют телеграфию с амплитудной манипуляцией и однополосную телефонию. Радиотелетайном пользуются радиолюбители, имеющие специальное разрешение на этот вид работы. Телефонию с АМ применяют начинающие радиолюбители. Работа телефонией с ЧМ разрешена только на УКВ любительских днапазонах - двухметровом и более высокочастотных диапазонах. При телефонии с однополосной модуляцией излучаются нижняя боковая полоса при работе в днапазонах 160, 80 и 40 м и верхняя боковая при работе в остальных любительских диапазонах.

Для наблюдения за работой любительских радиостанций с отправкой и получением в ответ карточек-квитанций радиолюбителю необходимо иметь позывной наблюдателя. Радиолюбителинаблюдатели получают право работать на коллективных передающих радиостанциях. Для постройки передатчика радиолюбитель должен получить разрешение. Такое разрешение выдают органы министерства связи по ходатайству радноклуба, радношколы или комитета ДОСААФ.

Радиолюбительские передающие радиостанции в нашей стране делятся на 4 категории:

4-я категория радиостанций может работать только в диапазоне 160 м телеграфом или телефоном с мощностью передатчика до 5 Вт;

3-я категория радиостанций может работать в диапазоне 160 м телеграфом или телефоном

. Разд. 7

с мощностью передатчика до 5 Вт; в диапазонах 80 и 40 м телеграфом с мощностью передатчика до 10 Вт; в диапазоне 10 м телеграфом или телефоном (только с АМ) с мощностью передатчика до 10 Вт; телеграфом или телефоном во всех УКВ диапазонах с мощностью передатчика до 5 Вт;

диапазонах с мощностью передатчика до 5 Вт; 2-я категория радиостанций может работать в диапазоне 160 м телеграфом или телефоном с мощностью передатчика до 5 Вт; в диапазонах 80 и 10 м глегграфом или телефоном с мощностью передатчика до 40 Вт; в диапазонах 40 и 20 м телеграфом с мощностью передатчика до 40 Вт и телеграфом или телефоном во всех УКВ диапазонах с мощностью передатчика до 5 Вт;

1-я категория радностанций может работать телеграфом или телефоном во всех любительских диапазонах с мощностью передатчика 10 Вт на 160 м, 200 Вт на 80, 40, 15 и 10 м и 5 Вт во всех УКВ диапазонах.

#### 7.2. ПЕРЕДАТЧИКИ

#### Параметры передатчиков

Выходная мощность — мощность полезного ситивла. отдавежая передатчиком в фидер, питающий зитениу. Выходную мощность передатчика можно определить с достаточной точностью, нагружая его на лампу накаливания и подбирая ее мощность так, чтобы она горела с полным накалом

Подводимая мощмость — мощность постоянь мого тока, поступающая от источника витания к выходному касказу передатчика (указывается в разрещении на любительскую радиоставцию). При работе телеграфом подводимая мощность ранки примерению напряжения источника питания яводной цепя выходного каскада передаттания модной цепя выходного каскада передатна какуч.

При работе телефоном с АМ или ЧМ мощность, подводимая к выходному каскаду, определяется в отсутствие модулирующего сигнала.

При работе на одной боковой полосе различакот среднюю подводямую мощность и мощность, подводямую при пиках огибающей сигнада. Последняя измеряется как прозваедение напряжения и источника питания анодной цепт выходного какада на анодный гок этого каскада в моменпередачи синусондального (одногонового) сигнала с максимально возможной амплитуюм.

В однополосной телефойном передатчике бев искусственного саятия динамического дипапазона излучаемого сигнала средияя мощность, подводимяя к въмодиму каскаду, может быть прията равной половине мощности, подводимой на пиках отабающей. При применения устройств съставащей сигнами мощность костабающей. При применения устройств съставащей събербат объекто объекта мощности на пиках отибающей, а мощности на пиках отибающей, а

Коэффициент полезного действия передатчика — отношение выходной мощности к мощности, потребляемой, от источников питания. Любительские передатчики обычно имеют КПД 20 — 50 %.

Абсолютная стабыльность частогы характері, зрегая величной ухода частоты передатика заопределенное время; для любительского передатчика за 15 мин работы оіз должна быть не более 1 кТ ц при работе телеграфом; 2 кТ ц при работе телефоном с АМ; 200 Т ц при работе на одной боквой полос. При такой стабильности частоты сохраняется настройка приемника корреспондента на сигнал передатчика при работе телеграфом и телефоном с АМ и сохраняется разборчивость сигнала при работе на одной боковой полосе за время проведения радиосвязи.

Относительная стабильность частоты — отношение максимального ухода частоты к частоте, на которой работает передатчик. Работа радиольбительских передатчиков с относительной стабильностью частоты хуже 0,02 % за 15 мин работы запрещена.

Точмость установка частоты — максимальная ошибка установки частоть передатчика по его шкале. Определяется конструкцией шкалы установки частоты передатчика и стабильностью его частоты. Для обеспечения выхода на связь на указанной корреспоядентом частоте погрешность установки частоты должна быть не бодее 3 кГш.

#### Структурные схемы любительских передатчиков

Телеграфизія передатчик на один диапазон (рис. 7.1, а). Задающий генератор вырабатывыет стабильные по частоте колебания на рабочей частое передатчика. Усилитель моцности УМ усиливает эти колебания и устраняет аливие изменения паражегров витения на частоту передатчика. Телеграфиза манипульция осуществляется в уситакой стратутровой схеме может быть рекомендовано только на сравнительно низких частотах— для работы в дипазомах 180 и 80 м.

Передатчик для работы телеграфою в нескомаких данавлемих (рис. 71, 6). Задающий генератор работает в диапазоне частот наиболее никочастотного из используемых, любительских диапазонов. Частоты остальных диапазонов на выхосе передатчика получают в результате применения умножителей частоты. Например, передатчик должен иметь диапазон переголожи 1,75— 1,25 M II. с. При работе в диапазоне 160 го дианазоне 80 м используется один удвопусле частоные двя удвоителя, в диапазоне 20 м — три удвониетя, в диапазоне 20 м — три удвоителя, в диапазоне 5 м — три удвоителя, в диапазоне 5 м — двя удвоителя и один ителя, в диапазоне 5 м — двя удвоителя и один

 утроитель частоты, в диапазоне 10 м + четыре удвоителя.

Телеграфный передатчик с АМ (рис. 7.2). Отличается от телеграфного передатчика осуществлением в УМ модуляции усиливаемых колебаний

по амплитуде. Модулирующее напряжение поступает от микрофона  $M\kappa$  через усилитель (модулятор) M.

Телефонный передатчик, работающий на одной боковой полосе частот. На рис. 7.3, а приведена

структурная схема такого передатчика с одним преобразованием частоты. На выходе устройства формирования однополосного сигнала УФОС получается однополосный сигнал с фиксированной частотой, равной частоте опорного генератора, входящего в УФОС. Задающий генератор, обеспечивающий перестройку передатчика, работает в диапазоне частот, зависящем от диапазона, в котором должен работать передатчик, и от частоты, на которой формируется однополосный сигнал. Передатчик по такой структурной схеме может быть выполнен, например, для работы в диапазоне 160 м. Частота формирования однополосного сигнала с выделением верхней боковой полосы 500 кГи; ЗГ работает в диапазоне 2375 — 2450 кГи. На выходе смесителя частот выделяется разность частот ЗГ и формирования, так что на УМ поступает однополосный сигнал с выделением нижней боковой полосы в диапазоне частот 1.875 — 1,95 МГц (участок диапазона 160 м, отведенный для работы с однополосной телефонией)

Для работы во всех КВ диапазонах в передат-

чике по структурной схеме на рис. 7.3, а частота формирования однополосного сигнала должна быть не менее 2 МГц. При более низких частотах формирования сигнала необходимо использовать два преобразования частоты. Структурная схема такого передатчика приведена на рис. 7.3,б. Первый смеситель частот и перестраиваемый ЗГ обеспечивают перенос сформированного однополосного сигнала в диапазон частот, лежащий выше частоты 2 МГц. Перестраиваемый фильтр, включенный на выходе первого смесителя частот, выделяет однополосный сигнал на частоте, равной сумме частот формирования и ЗГ. Перенос этой частоты в любительские диапазоны осуществляется вторым смесителем и генератором фиксированных частот Г. Один из вариантов выполнения передатчика для работы в диапазонах 80, 40, 20, 15 и 10 м по,структурной схеме на рис. 7.3, б -следующий. Однополосный сигнал формируется на частоте 500 кГп с выделением нижней боковой полосы при работе на диапазонах 40 и 80 м, в остальных диапазонах — с выделением верхней боковой полосы. Задающий генератор работает в диапазоне частот 2,5 — 3,5 МГц. Перестраиваемый фильтр выделяет частоты 3-4 МГц. Генератор фиксированной частоты в диапазоне 80 м не используется (второй смеситель при этом работает как усилитель в диапазоне 3,5 - 3,65 МГц); в днапазоне 40 м этот генератор работает на частоте 4 МГц; в диапазоне 20 м - 11 МГц; в диапазоне 15 м — 18 МГц; в диапазоне 10 м — 25 МГц (поддиапазон 28 — 29 МГц) и 26 МГц (поддиапазон 29 — 29.7 МГц),

#### Задающие генераторы. Стабилизация частоты

Задающий генератор может работать на одной фиксированной частоте или перестраиваться в требуемом диапазоне частот. Основное требование к задающему генератору — стабильность частоты

Генератор на биполярном транзисторе с параметрической стабилизацией на фиксированную частоту. При указанных на рис. 7.4 номинальных конденсаторов  $C_1 - C_5$  и приводимых далее

Рис. 7.4 данных катушки на выходе генератора получаются колебания с частогой 500 кГц. Такой генератор может быть использован в качестве источника опорной частоты в устройстве формирования однополосного сигнала.

Генератор на билолярном транзисторе с парамерической стаблизацией частъть. Задасиций генератор по схеме на рнс. 7,5 может быть попользован в качестве 31, для передатчика по структурной схеме на рнс. 73,6. Диналазон частот этого генератора 2,5 — 3,6 МЦ. При увеличении емкости ковденсаторов 6, з 10, до 430 и 300 пф соответственно этот генератор будет работать на частотах диапазона 160 м и может быть использован в качестве 31 для передатчика по струк-

Рис. 7.5

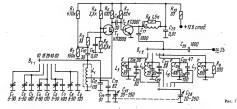
турной схеме на рис. 7.1. В таком варианте выполнения генератора целесообразно уменьшить диапазои изменения емости С<sub>1</sub> подбором последовательно и параллельно подключенных к нему «вастягивающих» конценсаторов.

Kатушка L, намотана на керамическом каркасе 20 мм, на поверхности которого имеется канавка, в которую уложен провод обмотки. Намотка проводится проводом ПЭВ-2 0,35 мм. Во время намотки провод обязательно необходимо туго натянуть. Длина намотки 16 мм. Катушка помещается в алюминиевый экран Ø 32 мм, толщина стенок экрана - не менее 0,4 мм. Температурная стабилизация частоты генератора достигается подбором температурного коэффициента конденсатора  $C_8$ . При использовании в качестве  $C_4$  —  $C_8$  слюдяных конденсаторов группы  $\Gamma$  целесообразно установить керамический конденсатор  $C_2$ группы М-75 (голубого цвета). Задающий генератор (см. рис. 7.5) может обеспечить уход частоты не более чем на 10 Гц за час работы после трехминутного прогрева при включении питания.

Генератор с параметрической стабьизацией на полевом транзисторе (рис. 7-6). Он может быть использован в хачестве 31 для передатчика по структурной секеме на рис. 7-6, а при частоте по структурной секеме на рис. 7-6, а при частоте выходыве частоты 31 при этом дая работы в датавляютах 80, 40, 20, 15 и 10 м адолжив соответственно быть равны 9 – 9,15; 12,5 – 12,6; 8,5 – 8,55; 15,5 – 15,5 м 22,5 – 24,2 МГц задазощий генератор — двужаскединый. Первый каскад на предватерот работие как усыпатоль в дыпазонах 20 гор да работие как усыпатоль в дыпазонах 20 гор да да стаба с

Катушка  $L_1$  выполнена на керамическом каркасе:  $\odot$  18 мм медной полоской ширной 1 мм, вожженной в материал каркаса. Число витков 9,5; длина намотки 20 мм. Отвод сделав от 3-го (считая от заземленного коица катушки) витка. Катушка  $L_1$  помещена в медный экран  $\circlearrowleft$  60 мм с толщияой стекки 1 мм.

Катушка  $L_2$  — дроссель ВЧ типа Д-0,1 с индуктивностью 470 мк $^{\rm I}$ н. Катушки  $L_3$  —  $L_6$  намотаны на пластмассовых каркасах  $\varnothing$  9 мм и настраиваются сердечинками СЦР-1. Все катушки иймотаны виток к витку проводом ПЭЛШО 0,44 мм и содержат  $L_5$  6,  $L_4$  8,  $L_5$  9 и  $L_6$  б витков.

Стабильность частоты ЗГ определяется правлымым выбором температурым к хоффициентов конденсаторов  $C_3$ ,  $C_6$ ,  $C_7$ ,  $C_9$ ,  $C_1$ ,  $U_{16}$ ,  $U_{16}$ , конскаторов  $U_{16}$ ,  

Конструирование задающих генераторов с параметрической стабилизацией. Большое значение для получения хорошей стабильности частоты генератора с параметрической стабилизацией имеет жесткость конструкции. Желательно собрать генератор на шасси из дюраля толщиной 3-5 мм, прочно укрепить все его детали. В качестве опорных стоек лучше всего использовать стойки из фарфора. Можно применить пластмассу АГ-4, стеклотекстолит. Монтаж контура генератора необходимо выполнять жестким медным проводом при минимальной длине соединений, между деталями контура. Переменные и подстроечные конденсаторы, используемые в этом контуре, обязательно должны быть с воздушным дизлектриком, смонтированы на фарфоре при зазоре между пластинами не менее 0,5 мм. Все заземлення деталей контура генератора должны быть подведены к одной точке шасси (например, к точке соединения с шасси токосъема ротора конденсатора настройки).

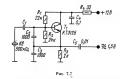
Задающий генератор должен быть максимально удален от элементов передатчика, выделяющих тепло, и защищен от воздействия мощного электромагнитного поля.

Для защиты от внешних полей желательно поместить все детали ЗГ в общий экран, но в большинстве случаев достаточно экранировать только катушку контура, определяющего частоту колебаний.

Задающий генератор должен питаться стабильным напряжением, не имеющим пульсаций переменного тока.

Задающие генераторы с кварцевой стабинаташей. Анстота генерируемых колебаний у этиператоров определяется примененных кварцевым городов определяется примененных кварцевым практически в зависит от стабильности осталных се элементов. Стабильность частоты кварневого генераторы может быть получена на продок более высокой, чем у тщательно отретузировзавиного тенератора с параметрической стабильнозывного тенератора с параметрической стабильно-

Генератор опорной частоты. Генератор для передатчика — по структурной схеме на рис. 7.3, а на частоту 500 к $\Gamma$ ц может быть выполнен по схеме на рис. 7.7. Частоту колебаний в этом генераторе можно менять на 50... 200  $\Gamma$ ц (в зависимости от добротности примененного кварцевого резонатора) подбором емкости конденсатора  $C_1$  в пределах 10-1000 пф.



Генератор опорных частот. Схема генератора  $\varGamma$  для передатчика по схеме на рис. 7.3,  $\delta$  приведена на рис. 7.8. Первый каскад на транзисторе  $\varGamma_1$  — генератор. Второй каскад на транзисторе  $\varGamma_2$  в пер-

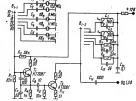


Рис. 7.8

вом и втором поддиапазонах 10 м и диапазоне 15 м работает как удвоитель частоты; в диапазонах 20 и 40 м этот каскад является усилителем; в диапазоне 80 м генератор и усилитель-удвоитель отключаются.

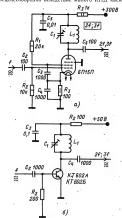
Точная подгонка частот генератора осуществляется подбором конденсаторов  $C_1 - C_5$ . Каждый из этих конденсаторов может иметь емкость 5 - 100 пФ, что позволяет изменять частоту на выходе генератора в пределах ±1 кГц.

Катушки L<sub>1</sub> и L<sub>2</sub> — одинаковые; каждая намотана на каркасе Ø 9 мм виток к витку проводом ПЭШО 0.44, число витков 3; настройка катушек осуществляется сердечниками СЦР-1.

#### Умножители частоты

Для умножения частоты применяют транзисторный или ламповый каскад (рис. 7.9), работающий на нелинейном участке характеристики; нагрузкой каскада служит контур  $L_1C_1$ , настроенный на нужную гармонику.

Обычно используют удвонтели и утроители частоты. Умножение частоты в большее число раз нецелесообразно вследствие малого КПД каска-



да: На вход транзисторного умножителя частоты должно быть подано переменное напряжение не менее 1 — 1.5 В. При эквивалентном сопротивлении контура  $L_1C_1$  1 кОм выходное напряжение будет не менее 30 В. На вход лампового удвоителя частоты должно быть подано переменное напряжение не менее 15-20 В. При эквивалентном сопротивлении контура, настроенного на вторую гармонику, 5-8 кОм на выходе каскада будет напряжение 100 — 120 В. При работе каскада в режиме утроения на его вход должно быть подано напряжение не менее 25-30 В; при эквивалентном сопротивлении анодного контура, настроенного на третью гармонику частоты входного сигнала, 10-15 кОм получим выходное напряжение 70-100 В.

#### Преобразователи частоты

Преобразователи частоты используют для получения рабочих частот в передатчиках, работающих на одной боковой полосе. Такой преобразователь должен обеспечить линейную зависимость амплитуды выходного сигнала от амплитуды входного однополосного сигнала.

Преобразователь частоты состоит из смесителя частот генератора вспомогательной частоты и фильтра. Генераторы используют с кварцевой или параметрической стабилизацией частоты. Смеситель частот на пентоде (рис. 7.10, а) обладает высокой линейностью амплитудной харак-

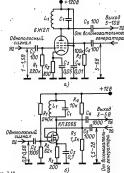


Рис. 7.10

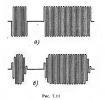
теристики и большим входным сопротивлением. Подавление сигнала с частотой вспомогательного генератора и входного сигнала в преобразователе частоты обеспечивается фильтром, включенным на выходе смесителя,

Не уступает по своим характеристикам смесителю на пентоде смеситель на полевом транзисторе с двумя затворами (рис. 7.10, 6); благодаря большой крутизие характеристики полевого транзистора эквивалентное сопротивление контура  $L_i C_i$  может быть синжено до 1-2 кOм.

#### Телеграфная манипуляция

Для передачи телеграфных сигналов необходимо осуществлять манипуляцию, т. е. управлять излучением передатчика с помощью телеграфного ключа.

Шърина полосы частот, необходимая при масимальних скоростях передачи текста збукой Морзе, используемых радиолюбителями (150 — 200 зи/мин), изверяется десятками герц. Однако селя излучаемые колебания при манипуляции резем варастата и спадают (рис. 7.11. а), то заниматемая телеграфиям передатчиком полоса частот то ка в широм полосе мойкиз рабочи частоти передатчика принимаются «цепчи», т. с. передатчика принимаются «цепчи», т. с. передатчика принимаются «цепчи», т. с. передатчик даже небольшой мощности может создавать помежи радиоприему в широкой полосе частот. Только при плавиом нарастании и спаде тестрафиой посыми (рис. 7.11, 6) передатчик занимает достаточного участот.



Обязательным условнем получения узкой полосы и хорошего тона при приеме является полное отсутствие ЧМ колебаний. Для этого манипуля-

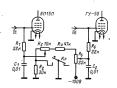


Рис. 7.12

цио целесообразно осуществлять в выходиом или промежуточном каксыа е передатчика. В передатчике лю схеме на рис. 7.12 манипуляция осуществляется възмодном и предокречнум каскоромечнум каскоромеч

На рис. 7.13 приведена схема манипуляции, которую можно использовать для телеграфной

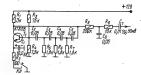


Рис. 7.13

работы одногилосного передагчика. Зауковой генератор на транисторе при нажатом ключе генератор на транисторе при нажатом ключе генератор на транисторе при 1 к $\Pi_L$  которое черев интегриуошую ценв  $R_L C_{\phi}$  подавляющую гармоники, подастся на микрофонмый усилитель передагчика. Прав павати на ключ издучается персыках, сдинкутая на 1 к $\Pi_L$  от несущей частоты передагчика. Пававое нарастание и спад телеграфиой посыми обеспечиваются перво  $R_R$ . При нажатии на ключ колебания плавию нарастают вследствие постепенного разраж колебания плавию спадают из-за постемного заряда колдемствора  $C_L$  через травки-спеного заряда колдемствора  $C_L$  через травки-спеного заряда колдемствора. С через травки-спеного заряда колдемствора. С через травки-

Следует учитывать, что схему на рис. 7:13 можно использовать только при применении в тракте

формирования одмополосного сигнала фильтра с полосой 0.3 — 1 кГи. При этом частота опорного генератора должна отстоять от ската АЧХ фильтра из 0.5 — 1 кГи. так ит оподавление несущей частоты и гармоник 3Г составит ие менее 60 д.Б. Использование расскотренього устройства с широкополосным (3 кГи) фильтром приведет к излучению ия побочных частотах.

При желании прослушнвать рабочую частоту в паузах между телеграфными посылками целе сообразно строить передатчик по структурной схебе на рис. 7.3, а или 6, осуществляя манипуляцию в одном из смесителей часто.

#### Амплитудная модуляция

Амплитуання модуляция, как правило, осуцеставляеть на выходном каскаде передатичка. Цель модуляции на управляющую сегну лампы этого каскада (рис. 714. а) работает от линамического микрофона с напряжением 10 мВ (налример, МД-64). Для модуляции на защитную ряжер, МД-64). Для модуляции на защитную звуковой частоты, дающий на выходе сигнаа с амплитуало до 200 — 240 В самплитуало до 200 — 240 В

При сеточной модуляции (рис. 7.14) выходная

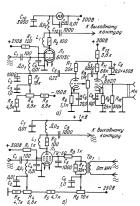
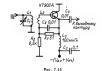


Рис. 7.14

мощность составляет 25—30% телеграфной мошности.

На рис. 7.15 приведена схема транзисторного выходного каскада передатчика, в котором модуляция осуществляется по коллекторной цепи.



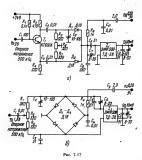
При этом выходная мощность в телефонном режиме составляет от 50 до 100 % мощности в телеграфном режиме. Для питания такого каскада для получения 100-процентной модляция нежодидимо подать напряжение 20 В., сложенное с напряжением 3Ч амплитудой 20 В. Ток потребления от этого источника напряжения — до 0,5 А.

#### Однополосная модуляция

При формировании однополосного сигнала из спектра АМ сигнала, состоящего из двух боковых керхмей и нижней) боковых полос и несущей частоты (рис. 7.16, а), выделяют только одну боковую полосу. На рис. 7.16, 6 приведен спектр гелефонного сигнала с верхмей боковуюй полосой.



Несущая частота при формировании однополосного сингала водавляется в баланском модулаторе, а неиспользуемая боковая полоса задерживается фильтром с крутыми спадами частотной полосу. Этот же фильтр обично дополнительно подавляет и остатки несущей частоты, имеющиеся ка выходе баланского модулятора. На рис. 7.17 приведены две схемы устройств формирования однополосного ситиала, в которых применены инческие фильтры из частоте 500 кГш.



Устройства по схемам на рис. 7.17 формируют однополосный сигнал с выделением верхней боковой частоты. Для выделением нежней боковой необходимо подать на эти устройства опорное напряжение с частотой 503,5 КГш лиг, сохранив опорную частоту равной 500 КГц, применить электромеханические фильтры типа ЭМФ-500-7.1-3.11.

При тщательной балансировке (потенциометром и подстроечным конденсатором) приведенные устройства обеспечивают подавление несущей частоты на выходе не менее чем на 50 — 60 дБ и подавление второй боковой на 40 — 50 дБ.

#### Усилители мощности

На рис. 7.18 приведена скема транзиторного усилителя мощности для работы в дапазоме 160 м. Мощность, подводимая к этому усилитель. 10 Вт, выходатам мощность соколо 5 Вт. Катушки L<sub>1</sub> и L<sub>2</sub> находятся в сердечиние СБ-12A. Они ямомганы проводом ПЭШО 0,3 1 и содержат: L<sub>1</sub> авможаты проводом ПБШО 0,3 1 и содержат: Светов СВ-12A. Они выбодать и пределата пре

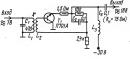


Рис. 7.18

тивления нагрузки, приводящее к увеличению рассеиваемой на транзисторе мощности, не приводит к выводу транзистора из строя. Работа усклителя на нагрузку сопротивлением более чем 100 Ом недопустима, т. к. может привести к пробою транзистора.

На рис. 7.19 приведена схема ламлового усилителя мощности с согласующим контуром на выходе. Рекомендуемые режимы работы дамп, которые целесообразно использовать в усилителе, приведены в табл. 7.1.

Ламия 6120С и 61145С имеют большую (около 1-09) проходиую емкость, и при их кетользовании необходимо предусмотреть нейтраживацию этом околот. И 200 грам околот. В

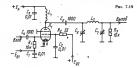


Таблица 7.1. Режимы работы ламп в каскадах без сеточных токов (рис. 7.19)

	Тип	Напряжение питания			Гок авс	да, нА	Co- IIa-	мощ- Вт		
,	140	внода, В	второй сетки, В	первой сет- ки, В	без возбуж- дения	с возбужде-	Оптнивльное противление грузки, С	Выходиви ис		
	6Ж11П 6П15П ГУ-19 6П20С ГУ-50 ГУ-72 6П45С ТУ-70Б ГУ-74Б	150 300 600 500 1000 1200 400 2000 2000	150 150 250 200 300 250 175 400 300	-2,5 -30 -45 -50 -40 -60 -20	15 30 50 30 30 50 100 175 300	30 30 120 250 120 200 400 300 500	2000 4000 2500 1000 5000 3000 500 3000 \$2000	2 4 45 70 75 150 150 300 500		

используется подстроечный конденсатор с воз душным диэлектриком на 5 — 50 пФ.

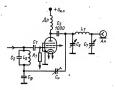


Рис. 7.20

Лампы ГУ-70Б и ГУ-74 требуют воздушного принудительного охлаждения, причем обязательно должен обдуваться не только анод, но и цоколь лампы. Приведенные в табл. 7.1 режимы предусматривают работу без сеточных токов, так что мощность возбуждения затрачивается только на потери в резисторе R<sub>1</sub>. При наличии мощного источника возбуждения целесообразно использовать усилитель мощности с заземленной сеткой. Такой усилитель более устойчив, чем усилитель с заземленным катодом, и может давать неискаженное усиление сигнала передатчика при начальном токе анода (при отстутствии возбуждения), составляющем только 5-10 % этого тока при налични возбуждения. Схемы каскадов с заземленной сеткой приведены на рис. 7.21. На рис. 7.21, а приведена схема усилителя на лампе с катодом с изолированным от него подогревателем,

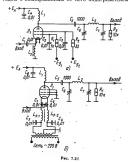


Таблица 7.2. Режимы работы ламп в каскадах с заземленной сеткой

	Напряжение питания			нии.	t, Br	ыное тепие Ом	мощ. Вт		
Тип	внода, В	сетки 2, В	сетки <i>1,</i> В	Ток анода пр возбуждении, м А	Мощность буждения	Оптимальное сопротивление нагрузки, О	Выходная ность,		
6П15П ГУ-64 ГУ-72 6П45С Г-811 ГУ-70Б f K-71 ГУ-13 ГУ-74	300 1200 1200 600 1500 2000 2000 2500 2000	150 0 250 175 400 0 300	-5 0 -50 -70 0 -30 0 0 -40	40 150 200 400 160 300 • 250 200 500	0,2 10 7,5 25 15 7,5 50 30 15	3000 5000 4000 5000 5000 5000 5000 5000	160 160 180 180 300 320 340 500		

а на рис. 7.21, б — на лампе с прямым накалом ка-

Режимы работы ламп, которые целесообразно использовать в каскадах с заземленной сеткой, приведены в табл. 7.2.

В качестве дросселя  $L_1$  для ламповых усилителей мощности можно рекомендовать две конструкции. Первая конструкция — дроссель для каскалов с оптимальным сопротивлением нагрузки до 2000 Ом. Его наматывают на керамическом или стеклотекстолитовом каркасе Ø 8 мм проводом ПЭВ-2 0,24 мм; он содержит 200 витков, уложенных в один ряд виток к витку. Для каскадов с большим сопротивлением нагрузки рекомендуется более сложный дроссель — вторая конструкция. Каркас этого дросселя состоит из отрезков диаметром 12 ч 28 мм. Первая секция имеет Ø 12. вторая 28, третья 12, четвертая 28, пятая 12 и шестая 28 мм. Длина первой секции 75, второй 12, третьей 10, четвертой 12, пятой 10 и шестой 12 мм. Намотка проводится проводом ПЭВ-0,31. Первая секция содержит 160 витков, вторая 5, третья 20, четвертая 15, пятая 20 и шестая 21 виток. С анодом лампы соединяется начало первой секции.

Дроссель в катоде лампы (см. рис. 7.21, а) таков ее, как и перавый во описанных дросселей анолной цени. Дроссель в цени накала лампы (см. рис. 7.21, б) рекомендуется накотать на ферритовом сердечнике от антенны СВ и ДВ радновещательного приевчинка (можно использовать стержень как прякоргольного, так и круглого сече жень как прякоргольного, так и круглого сече жень как прякоргольного, так и круглого сече жень был стеременных править и править и инф. Стережень обматывато ?— скомпью два инф. Стережень обматывато? — скомпью два инф. Стережень обматывато . Учетом падения напряжения на дросселе обмогь питания накала лампы должны давать напряжение на 1 В больше номинального значения напряжения питания накала.

Подавление самовозбуждения в усилителе мощности. Усилитель мощности может возбуждаться на рабочей частоте, на ДВ и на УКВ.

Причиной самовозбуждения на рабочей частоте является паразитная связь между входной цепью и выходным контуром. Наиболее часто причина такой связи — протяженность участка шасси, по которому протекает контурный ток выходного контуры. Ответвляясь в другие участки шасси, контурный ток может вызвать достаточное для самовозбуждения напряжение, действующее на входе усилителя.

Причнюй самовозбуждения усилителей на ДВ является случайное совпадение резонансных частот контуров, образованных дросселями и разделительными конденсаторами в выходной и входной целях. Изменение емости одного из этих двух конденсаторов устраняет самовозбуждение.

Причиной самовозбуждения на УКВ являются контуры, образуемые индуктивностями соединительных проводов и паразитыми емкостями лампы. Для предотвращения самовозбуждения на УСВ к акскад водят резисторы R, шунтированные катушкамы L (рис. 7.22). Резисторы вносят



Рис. 7.22

в паразитные контуры настолько большие антульпия, что самовоўмденне каскада становится невозможным. Катушки котключають резікторым на выед анух—четырок витков промода ОТ им, намоганных на резисторы типа МЛТ-2. В большить гене случаев оказывается котаточным выключить резистор с катушкой только в одну (заподную налсточную) цень. В каскаде с малой мощностью сопротивлением 10—30 Ом в цепь сетки, не шунтнум его катущкой.

Для согласования усилителя с антенной, питаемой коаксиальным кабелем, максимальная емкость  $C_7$  должна быть в 5-10 раз больше емкости  $C_6$ , указанной в таблице. Если резонанс-

Таблица 7.3. Емкость  $C_6$  [п $\Phi$ ] при настройке контура при оптимальном сопротивлении нагрузки

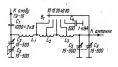
Диапа- зон, м	Оптимальное сопротивление нагрузки лампы выходного каскада, Ом								
	500	1000	1500	2000	3000	4000	5000	6000	
160 80 40 20 15	1500 800 400 200 130 100	750 400 200 100 65 50	500 270 130 70 45 35	370 200 100 50 35 25	250 150 70 35 25 18	180 100 50 25 18 12	150 80 40 20 13 10	70 35 18	

ное значение  $C_6$  будет больше указанного в табл. 7.3, добротность нагруженного контура будет больше 10 и его КПД поинзится. Если реальная емкость больше требуемой в 3—5 раз, то КПД выходного контура не превысит 50 %.

При значениях С<sub>6</sub>, меньших указанных в таблице, доброгность нагруженного контура снижается и контур перестает согласовываться: при полостью выведенном конделесторе С<sub>7</sub> связь с антенной остается недостаточной. На рис. 7.23 позваня выходной контур, обеспечивающий согласование с антенной усилителя мощности, в котором используется ламата ТУ-19, включенияя по схеме с заземлениям катодом и работающая в диапазонах 80, 40, 20, 15 ы 10 м.

Конденсаторы  $C_2 - C_3$  и  $C_4 - C_5$  — савоеньме блоки переменных конаемсторов от вещательных приёмников с зазором между лластинами ем менее 0.4 мм. Корпус  $C_2 - C_4$  изолирован от шасси, так что при соединении с шасси статора одного конаемстатора с  $C_4$  с  $C_4$  статора другого образуется переменная емкость, изменяющаяся от 7.5 до 250 пф.

Катушка  $L_1$  намотана на керамическом каркасе  $\emptyset$  20 мм проводом ПЭВ-2 1,2 мм, число вит-



ков 8, длина намогки 14 мм. Катушка L<sub>2</sub> намотана на керамическом каркасе © 20 мм проводом ПЭВ: 9 0,9 мм. число витков 14, отбод от середины. Длина намотки 14 мм. Катушка L<sub>3</sub> намотана на пластмассовом каркасе © 25 мм проводом ПЭВ-2 0,72 мм. число витков 26, отвод от середины. Длина намотки 26 мм.

Рис. 7.23

#### 7.3. ПРИЕМНИКИ ДЛЯ ЛЮБИТЕЛЬСКОЙ РАДИОСВЯЗИ

#### Параметры приемников

Сигналы дальних любительских радиостанший обмино очень слабы, а принимать их часто приходится в условиях, когда близко по частоте работает местива побительских станция, а в соседеме пределагимов, мощности которых в тысячи ры предатимов, мощности которых в тысячи ры предатимов, мощности которых в тысячи ры предатимов, мощности любительских передатимов. Поэтому радиоприемники для любительской связ должны мисть значительно лучшие чувствительность и селективность по сравленно с притигольность и селективность по сравленно с примим.

Практически приемники сигналов любительских КВ радиостанций должим иметь чувствительность 0,5 — 5 мкВ, а УКВ 0,1 — 1 мкВ. Полоса пропускания для приема однополосных сигналов 0,3 — 1 кПц. Селективность по 'соседнему каналу и каналам побочного приема должиа составлять 60 — 80 дВ.

Повышенные требования по сравненно с РВ приемиками предъявляются к приемиками предъявляются к приемиками частоты настройки. Для приема одноплолютеть частоты настройки. Для приема одноплолют телефонии необходима абсолотная стабильностти частоты према, дарактеризумена уходом частоты не более чем на 50 — 100 Гц за время проведения связи. Акалогичные требования предъяжностя к стабильности частоты приемики телетрафики ситылов.

Особое значение для приемника имеет его динамический диапазон — отношение минимального напряжения сигнала, который может быть принят, к напряжению сигнала помехи, близкой по частоте к принимаемому сигналу, но лежащей за полосой пропускания приемника, при котором не ухудшается прием слабого сигнала. Динамический диапазон приемника для любительской радиосвязи должен быть не менее 80 — 100 д.

#### Структурные схемы любительских приемников

На рис. 7.24 приведена структурная схема приеминка с одими преобразованием частоты. Приеминк по такой схеме может бизть построен длядяботы в одими в изижних (по частоте) КВ диапазонов. Для диапазона 160 м и в качестве ФОС имеет бизть систована 170 м на частоту 500 к Пц. На рис. 7.25 приведена структурная схема КВ приеминка для лобительской связи с двужи пресбразованиям на частоты. При значении первой ПЧ этого приеминка для бизть при значении первой ПЧ этого приеминка 3.5 М Ц в качестве перестравлого стремена 3.5 М Ц в качестве перестравтого приеминка 3.5 М Ц в качестве перестравно схеме на рис. 7.6 Генераторы, работающие вы второй схеметрал частот и петектор, целесообразно выполнить со стаблыващей частоты кварцем соответственно по схемам на рис. 7.7, 7.8).

По структурной схеме на рис. 7.26 можно въполнять приемник для работъв в даназовия 2 м и 70 см. Для подучения требуемой стабиланости частоты генерато Г выполняется с кварцевой стабилазацией и его частота умножается до значения 116 МТ для работа в дляпазоне 70 м. Сиеситель частот преобразует XIA сигна 10 м. Сиеситель частот преобразует XIA сигна 10 м. Сиесикоторото осуществляется приемником по структурной схеме на рыс. 7.25.

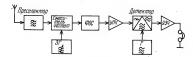
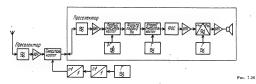


Рис. 7.24



PHC. 7.25



#### Преселекторы

Преселектор приеминка для любительской связи должен Обеспечивать ссласование входа прееминка с антенной и не пропускать на вход усилителя радиочастъм или первого смествъте, от тот мощные сигналы помежи, находящиеся на некотором удаления по частоте от принимаемого сигнала. На рис. 7.27 приведена схема преселекторя, преднамаченного для работы в дизапаченного для

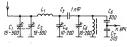


Рис. 7.27

80 м, где любительские радиостанции работают в узком участке (150 кГц, из них 50 кГц для работы телефоном).

Кондейсаторы  $C_1$ ,  $C_2$  служат для подбора связи с антенной;  $C_4$  настраивает входной контур на середину диапазона. Высокодобротный второй контур настраивают конденсатором,  $C_5$  точно на частоту принимаемого сигнала.

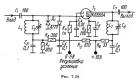
Катуцика  $L_1$  намогана на каркасе  $\oslash$  20 мм виток к витку проводом ПЭВ-2 0,72 и содержит 30 витков;  $L_2$  намогана на торождальном феррилом магнятопроводе на материала М50194-2 мм вистем  $L_2$  мм  $L_3$  мм  $L_4$  мм L

#### Усилители радиочастоты -

Усилитель радиочастоты приемника для любительской связи должей обладать малым уровнем собственных шумов и большим динамическим диапазоном. Сочетанием этих характеристик обладают усилители на полевых транагосторах.

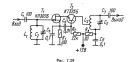
На рис. 7.28 приведена схема усилителя на двухзатворном полевом транзисторе. Диоды  $\mathcal{I}_1$  и  $\mathcal{I}_2$  защищают транзистор  $\mathcal{I}_1$  от пробоя мощными сигналами, поступающими на вход усилителя

с антенны. Для обеспечения высокой линейности усилителя оба лиода закрыты напряжениями 3 В. При умевышении постоянного напряжения на втором затворе  $T_1$  от +5 В до 0 усиление каскада синжается на 40-60 дБ. Эквивалентное сопротивление контуров  $L_1C_2$  и  $L_2C_3$  должно быть 1-5 кОм. Усилитель по скеме на рис. 7.28 может



быть использован как при работе в диапазоне 2 м, так и в КВ диапазонах. Динамический диапазон такого усилителя 90 дБ.

На рис. 7.29 приведена схема каскодного усилителя, который может быть использован при

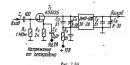


работе в КВ любительских диапазонах. Эквивалентное сопротивление в коллекторной цепи транзистора  $T_{\rm F}$ — не более 1 кОм. Эквивалентное сопротивление входного контура — до 20 кОм. Такой каскад имеет динамический диапазон 100 дБ.

#### Преобразователи частот

Гетеродины преобразователей частоты приемников для любительской связи должны иметь высокую стабильность частоты и могут быть выполивы по схемам на рис. 7.4 — 7.8. Смесители частот этих преобразователей должны иметь большой динамический динальзои, что особенно, существенно для смесителя первого преобразователя частоты, коод которого зашищено то водлействия мощных помех только преселектором и контуром на выходе УБЧ.

 На рис. 7.30 приведена схема смесителя частот на полевом транзисторе, обеспечивающего дина-



мический диапазон 90 дБ. Такой смеситель можно использовать в приемнике по структурной схеме на рис. 7.24.

На рис. 7.31 приведена схема смесителя частот с увеличенным динамическим диапазоном благодаря подаче сигнала на второй затвор полевого

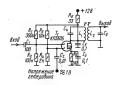


Рис. 7.31

транзистора. Такой смеситель обеспечнвает реализацию динамического диапазона 100 дБ, и его целесообразно использовать после усилителя радиочастоты, выполненного по схеме на рис. 7.29. Нагрузкой смесителя является двухконтурный фильтр первой ПЧ.

#### Усилители промежуточной частоты

Для исключения перегрузки второго смесителя частот использование усилителя в тракте первой ПЧ для приемника любительской связи нецелесообразию. Поэтому, сее несободнимо усиление осуществляется на одной, связой низаки, променения выпользования пределамент на одной, связой низаки, променения пределамент на пределамения пределамен

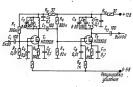


Рис. 7.32

его усиление регулируется таким же напряжением на вторых затворах транзисторов  $T_1$  и  $T_2$ . В качестве индуктивностей контуров УПЧ  $L_1$  и  $L_2$  использованы дроссели типа A[0,1] индуктивностью 500 мкГи. Усилитель  $\Pi$ Ч по схеме на рис. 7.32 обеспечивает регулировку усиления на 120 AВ.

#### Детекторы для приема однополосных сигналов

Для приема однополосных сигналов, как и для приема телеграфиых сигналов, в приемниках для любительской связи используют детекторы-преобразователи частоты, напряжением гетеродина в которых служит напряжение восстанавливаемой несущей частоты. На рис. 7.33 приведена схема

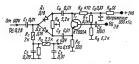
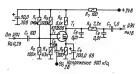


Рис. 7.33

"модного детестора однополосных сигналов. Напряжение гетеродина ва этот детестор подается от фазониверсного каскада на транзисторе Т, Потенциометром R, детектор балансируется до подучения минимума громкости приема станций с амалитулаюм водулящией при отсустетии амартижения гетеродина. Входное сопротивление такого, детектора составляет сетий ом. Детектор согородителя образоваться в при отсустения выгодного контурь. УПЧ. Максимальное напряжение на яходе детестора 0,2 В, при этом напряжение авуковой частоты на его выходы— около 0,1 В.

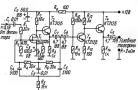
На рис. 7.34 приведена схема детектора однополосных сигиалов на двухзатворном полевом транзисторе. Детектор позволяет получить неикаженное детектирование сигналов напряжением до 0.2 В. К УЗЧ поступает сигнал звуковой частоты напояжением 1 В.



Pac. 7.34

#### Усилители звуковой частоты

В УЗЧ приемников могут быть использованы узкополосные фильтры, повышающие селективность при приеме телеграфных сигналов. Схема-

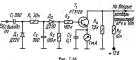


Puc 7.35

такого усилителя приведена на рис. 7.35. Селективность достигается применением двойност этого усилителя 1 кПи. полоса пропускания от 9 от 90 усилителя 1 кПи. полоса пропускания от 10 уровню 6 дБ 300 Гп. При приеме телефонных ситалов двойной  $\tau$ -мост необходимо отключеном сусилителя, например, разорвав цень, идущую к точке соединения коиденстворов С,  $\tau$  и  $C_{\tau}$  от отчес сесединения коиденстворов  $C_{\tau}$  и  $C_{\tau}$ .

#### S-метр

Измерение силы принимаемых сигналов возможно в приемнике, имеющем эффективную цепь АРУ. На рис. 7.36 приведена схема детектора



и усилителя АРУ с S-метром, рассчитанных для работы с регулируемыми каскадами усилентара диочастоты и промежуточной частоты, собранными на двужатворных повемы транзистом. Это устройство, управляющее тремя каскадами усиления на транзисторах КПЗО65 вля КПЗО6, обеспечивает получение линейной шкалы S-метра с делениями от \$3 до \$9 460 дБ.

Раднолюбителями принята следующая шкала значений показаний S-метра ( $U_{ax}$  — напряжение сигнала на входе приемника):

$U_{\rm BMS},  {\rm MKB}$	0,2	0,4	0,8	1,5	3	6	12	25	50	150	500	1500	5000	15 000	50 000
Деление S- метра	1.	2	3	4	5	6	7	8	9	10	20	30	40	50	60

#### 7.4. ТРАНСИВЕРЫ.

Объединение приеминка и передатчика в одной конструкции позволяет существенно уменьто общее число деталей приемопередающей радиостанции, т. К. большая их часть будег работь как в тракте передачи, так и в тракте приема. Такая объединенняя конструкция получила намы ние странспверь. Важным преимуществом транспвера является легкость достжения явтомической частором предатчика на частоту принимемого сигнают.

Структурная схема трансивера приведена на рис. 7.37. При приеме работают усилитель радиочастоты, включенный на выходе смеситель частот,

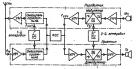
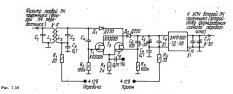


Рис. 7.37

Разл. 7



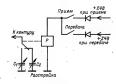
УПЧ, детектор и УЗЧ приемника. При передаче работают УЗЧ передатчика, модулятор, МПЧ и а его выходе, смеситель и усилитель моцимости (УМ). При пересока вы передачу выключаются (УМ). При пересока выпорачу выключаются элементы передатчика. Фильтр основаюй селекция используется как в режиме передачи, так и в при-еме приема. Таким образом, при приеме тратистивности пересока при прементают премент

гична структурной схеме передатчика рис. 7.3, a. Частота принимаемого сигнала в приемнике с одини преобразованием частоты  $\beta_p = f_{\rm ret} + 1 \pm f_{\rm yrrq}$ . Частота сигнала излучаемого передатчиком по схеме на рис. 7.3,a  $f_{\rm sepex} = f_{\rm 3r} + + f_{\rm year}$ .

В трансивере первый гетеродин и 3 $\Gamma$  — это одно и то же устройство  $(f_{rev1} - f_{3T})$ , частота формирования сигнала равна частоте УПЧ приемиика, так как определяется средней частотой ФОС  $(f_{990C} - f_{NPM})$ .

Элемейты трансивёра, используемые в режиме приема в передачи, различаются от этих замеменов в автономных приемниках и передатчиках обеспечением их переключения в режимы приема и передачи. Пример выполнения сместнеей часто трансивера приведен на рис. 7.38. Транзистор Т<sub>1</sub> является смесителем приемника, Т<sub>2</sub>—смесителем передатчика.

В процессе проведения двусторонней радиосвязи на трансивере может возникнуть необходимость несколько изменить частоту приема, сохранив частоту передачи, либо изменить частоту передачи, сохранив частоту приема. На рис. 7.39 приведена схема подстройки частоты первого гетеродина, позволяющая реализовать эти варианты в траняисториом трансивере, схема управления которым приведена на рис. 7.8а. Цля управления независный расстройкой трансивера служат два тумблера: Прием и Передока. При установе тумбдеров в замикутое положение частота как при приеме, так и при передажет подстроечным конденсатором. С.



· Pac. 7.39

При установке тумблера Прием в верхнее положение реле P срабатывает только при приеме, о позволяет изменять частоту настройки трансивера при приеме коиденсатором  $G_2$ , не изменяя частоты передачи.

При замыкании тумблера  $\Pi$ ередача конденсатором  $C_1$  изменяется частота трансивера только при передаче.

При выключении обоих тумблеров конденсатор  $C_2$  управляет частотой трансивера как при приеме, так и при передаче.



# ЭЛЕМЕНТЫ СИСТЕМ АВТОМАТИЧЕСКОГО УПРАВЛЕНИЯ

PASEA 8

#### СОДЕРЖАНИЕ

3.1.	Общие сведения								 					287
3.2.	Схемы узлов электронных автомати	ческих	уст	ройс	TB				 	 -				288
3.3.	Аналоговые устройства автоматики			٠.			٠		 					295
8.4.	Электронные реле								 					297
8.5.	Дискретные устройства автоматики										٠.			307

#### 8.1. ОБШИЕ СВЕДЕНИЯ

Автоматическими устройствами называются такие устройства, которые позволяку осуществлять операции измерения каких-либо величин или управления какими-либо объектами без непосредственного участия человека.

Автоматическое устройство может в общем случае состоять из следующих основных элементов:

датчика — чувствительного элемента, воспринимающего измеряемую величину и преобразующего ее в электрический сигнал;

нормирующего преобразователя — преобразующего сигнал датчика в унифицированный выходной сигнал требуемой всличны и формы; программного устройства — электрический сигнал заданной формы и уровня;

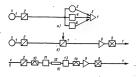
устройства сравнения — элемента, в котором происходит сравнение сигналов от датчика и от программного устройства;

программного устроиства; усилителя мощности — позволяющего усилить сигнал до уровня, необходимого для приведения в действие исполнительного устройства;

непосредственно исполнительного устройства (реле, клапан, двигатель и т. п.).

Совокупность всех этих элементов и объекта регулирования образует систему автоматического регулирования. Система, которая осуществяляет лишь автоматическое измерение какоралибо величины (температуры, освещенности, перемещения и др.) и регистрирует эти показания, по не оказывает воздействия на процесс, называется дегоматической измерить мой системой апто истемой апто истемой агомонического контроля, если измерения проводятся с целью проверкным требованиям. Системи регулирования, которы осуществляет процесс управления исполнительным устройством им расстоинии, казывается и предоставляющим образоваться проводного и беспроводного дистаниционного управления радиоправления моделями и системы проводного и беспроводного управления радиоправратурой.

На рис. 8.1 показаны структурные схемы контроля (рис. 8.1, а), автоматического регулирования (рис. 8.1, б) и тећеуправления (рис. 8.1, а), где X— входная величина; Y— выходная величина; I— чувствительный элемент; 2— нормирующий преобразователь; 3— прибор индикации



Duc 9

или сигнализации; 4 — регистрирующий прибор; 5 — передача или прием сигнала человеком; 6 устройство хранения информации (память); 7 прибор для сравнения сигнала датчика с заданным сигналом; 8 — усилитель; 9 — исполнительное устройство; 10 — шифратор (модулятор); 11 — генератор; 12 — линия связи; 13 — приемник линии связи; 14 — дещифратор (демодулятор).

В зависимости от характера входных и выходных сигналов автоматические устройства делятся на устройства непрерывного (аналоговые) и прерывного (дискретные) действия. В устройствах непрерывного действия сигналы непрерывны по уровню и во времени и каждому значению входного параметра соответствует определенное значение выходного (рис. 8.2. а). Дискретные автоматические устройства делятся на

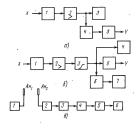
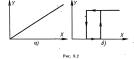


Рис. 8.3



импульсные и релейные. У импульсных автоматических устройств входные и выходные сигналы представляют собой импульсы различной длительности, частоты или амплитуды. У релейных устройств непрерывному изменению входного параметра соответствует скачкообразное изменение выходного, которое появляется лишь при достижении входным параметром некоторого заранее заданного значения (рис. 8.2. б).

Аналоговое устройство в общем виде (рис. 8.3. а) включает в себя датчик 1, линейный усилитель 2, усилитель мощности 4, исполнительное устройство 5, индикатор 3. Простой пример структуры релейного устройства дан на рис. 8.3, б; I — датчик, 2 — усилитель, 3 — преобразователь с релейной характеристикой, 4 — устройство индикации, 5 — исполнительное устройство, 6 генератор звуковой частоты, 7 — устройство звуковой сигнализации.

Устройство дистанционного радиоуправления (рис. 8.3,  $\theta$ ) включает радиопередатчик I с антенной Ан., передающей команды управления на удаленный объект, и приемник радиоуправляемого объекта, состоящий в данном примере из усилителя радиочастоты 2 с приемной антенной  $An_2$ , детектора 3, усилителя звуковой частоты 4 и дешифратора 5, управляющего одним или несколькими органами движения 6 управляемого объекта.

В устройствах автоматики широко применяют различные датчики: резистивные, емкостные, инлуктивные, инлукционные, пьезоэлектрические, фотоэлектрические и другие; преобразующие неэлектрические величины (перемещение, усилие, скорость, угловое перемещение, температуру, давление, уровень, освещенность и т. п.) в электрический сигнал (ток, напряжение). В качестве индикаторов используют микроамперметры, милливольтметры, неоновые лампы, светодиоды

## 8.2. СХЕМЫ УЗЛОВ ЭЛЕКТРОННЫХ АВТОМАТИЧЕСКИХ УСТРОЙСТВ

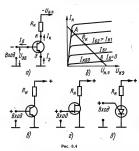
Для усиления и преобразования сигнала датчиқа в величину, удобную для дальнейшей передачи или управления исполнительным органом, широкое распространение получили устройства импульсной техники. В основе большинства имустройств пульеных лежит транзисторный ключ — устройство, имеющее два состояния: открытое и закрытое.

На рис. 8.4, а показан наиболее распространенный ключ на транзисторе типа р-п-р, включенном по схеме ОЭ. Открытое состояние ключа характеризуется тем, что транзистор находится

пежиме насыщения и через его коллектор про-

текает ток  $I_K \Rightarrow U_{u,n}/R_v$ . Это происходит при подаче между базой и эмиттером транзистора отрицательного (относительно эмиттера) сигнала  $U_{26}$ , обеспечивающего ток базы  $I_6 \gg I_K/h_{212}$ . Когда ключ закрыт, ток эмиттера равен нулю. Такое состояние транзистор принимает при подаче на его базу положительного (относительно эмиттера) напряжения, т. е.  $U_{28} > 0$ . При этом ток базы  $I_{\rm B} \approx -I_{\rm KBO}$  (рис. 8,4, б).

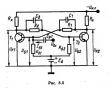
Два состояния транзистора — открытое (насыщенное) и закрытое - определяются соответственно точками А и В на семействе коллекторных характеристик.



Существует достаточно большое число электронных ключей. Некоторые ключи показаны на рис. 8.4; в в рис. 8.4; в транзисторе типа n-p-n, на рис. 8.4,  $\varepsilon$  — ключ на полевом транзисторе с p-n-переходом и n-каналом, на рис. 8.4,  $\delta$  — ключ на тринисторе.

Рассмотрим схемы наиболее распространенных электронных цепей, применяемых в радиолюбительских устройствах автоматики.

Симметричный триггер (рис. 8.5) — устройство, имеющее два устойчивых состояния; в одном из них на выходе триггера имеется напряжение, практически равное напряжение опеника питания, в другом — напряжение, бликогоника питания, в другом — напряжение, бликоготом и учло. Симметричный тригер широко констозуется для формирования импульсов деления частоты и хранения информации.

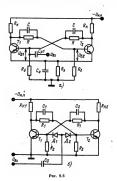


Триггер работает следующим образом. Допуским, открыт левый транзистор и он находится в насыщенном состоянии, напряжение на его коллекторе близко к мулю  $(U_{K1} = 0)$  и через делитель  $R_{S2} = -R_1$  на базу второго транзисторя поступает

положительное напряжение  $U_{\rm b}$ . Стасловательно, правый грайзистор закрыт и потенциал его кольектора  $U_{\rm K} \approx -U_{\rm s.e}$ . Поэтому база левого траничтор и мето и мето и мето и мето и мето мето и мето мето и мето мето и мето мето и мето мето и мето мето и мето мето и мето мето и мето мето и мето мето и мето мето и ме

На практике больше распространене получил тритгер с автоматическим с мещением (рис. 8.6, а). Главины достошиством тритгера видинется напичне только одного источика пижительное напражение смещения на базах транистора образуется благодаря налично резистора К, создающего из эмитере отридательное напражение при протеквыми гока открытого разметера. Кондемского С, служит для устратора Конскогомий Тритгера (торая Волинает при комее состояний Тритгера (торая Волинает при тритгер

при смене состояния триггера. (запуск) осуществляется подачей мипульсов на базу одного транзистора (7). При этом полярность управляющих импульсов должна чередоваться: по-ложительный мипульс закрывает гранзистор Т, отрицательный — открывает его. Однако запуск триггера можем сочинествляться и другими спосотритера можем сочинествляться и другими спосотритера можем сочинествляться и другими спосотритера можем сочинествляться и другими спосо-



бами. Рассмотрим один из них, в когором входиные импульсы подаются на базы травянстворовчерез общий вход. Слема такого тритгера, который называется тритгером с общим входом (кли ос счетным входом), помазана на рис. 86, 6. Для того чтобы перевести тритгер из одкого сустойчавого состояния в другое, необходимо подать импульсы положительной полярности, которые пройдут на базу открытого транямстора и закроют его. Как правило, запуск осуществляют, через диоды для развязки целей управления.

Расчет симметричного триггера заключается в таком выборе всех его элементов, который обеспечивает получение необходимой амплитуды импульсов на выходе  $U_{\rm skx}$  и частоты переключения,

Пример. Рассчитать триггер с автоматическим смещевием и общим входом (см. рис. 8.6, a) при следующих данных: амплитуда выходных импульсов  $U_{\rm вых} > 13$  В; частота переключения f = -350 кГц; максимальная окружающая температура  $f \approx +40^{\circ}$  С.

1. Рассчитываем напряжение источника коллекторного питания  $U_{\text{м,n}} = 1, 1U_{\text{ммx}} + U_{\mathfrak{I}}$ , задаваясь, как обычно.  $U_{\mathfrak{I}} = 2 \div 3$  В.

2. Выбираем транзистор типа МП21, имеющий следующие параметры:  $U_{\text{K3 max}} = 30\text{B};$   $I_{\text{K50 max}} = 0.12$  мA;  $h_{21_2} = 20;$   $f_{h21_2} = 1$  МГи.

 Из условия, что ток коллектора открытого транзистора должен быть меньше допустимого, выбираем сопротивление R<sub>v</sub> = 2 кОм.

4. Емкость конденсатора следует выбирать такой, чтобы за время опрокидывания триггера напряжение на нем практически осталось неизменным. Обычно C=200 + 500 пФ. Выбираем C=200 пФ.

5. Находим 
$$R_{\rm b} < \frac{1}{(2\div3)\,Cf_{\rm max}} = \frac{1}{2\cdot200\cdot10^{-9}\cdot350\cdot10^3} = 4,7$$
; принимаем  $R_{\rm b} = -4,7$  кОм.

6. Рассчитываем сопротивление резистора  $R_3$   $R_3 > \frac{R_6 R_8 I_{\text{KBO max}}}{U_{xx} - R_6 I_{\text{KBO max}}} =$ 

$$U_{\text{M,E}} = R_6 I_{\text{K50 mex}}$$

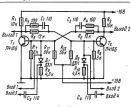
$$= \frac{4.7 \cdot 10^3 \cdot 2 \cdot 10^3 \cdot 0.12 \cdot 10^{-3}}{20 - 4.7 \cdot 10^3 \cdot 0.12 \cdot 10^{-3}} \approx 62 \text{ OM};$$

принимаем  $R_2 = 100$  Ом. 7. Находим сопротивления резисторов R

$$R < \frac{h_{219}R_{\delta}R_{\kappa}[U_{\kappa,n} - (R_{\gamma} + R_{\kappa})I_{\text{KSOmax}}]}{U_{\kappa,n}(R_{\delta} + R_{\gamma}h_{21\gamma})} = \frac{20 \cdot 4.7 \cdot 10^{3} \cdot 2 \cdot 10^{3}(20 - 2.1 \cdot 0.12)}{20(4.7 \cdot 10^{3} + 20 \cdot 100)} = \frac{1}{2}$$

=28.2 KOM:

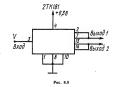
принимаем R = 24 кОм.



8. Чтобы исключить ООС, выбираем емкость эмиттерного конденсатора от 1000 до 5000 п $\Phi$ ; C=1000 п $\Phi$ .

На рис. 8.7 приведена практическая схема тригера, способного работать с частотой переключеня  $f_{\rm max}=1000$  кП $_{\rm L}$  амилитула входного импульса 1-10 В, длительность переднего фронта входного импульса < 0.3 мк $_{\rm C}$  амилитула выходного импульса +10 В.

На рис. 8.8 показана схема симметричного триггера в интегральном исполнении.



На рис. 8,9 8.10 приведены схемы триггеров в интегральном исполнении, управляемые импульсами положительной полярности с амплитудой 3—7 В. Длительность входных импульсов 1—10 мкс, сигнал на выходе / имеет ам-

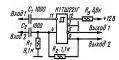


Рис. 8.9

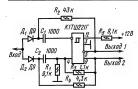


Рис. 8.10

плитуду 2—2,8 В, на выходе — 2—3 В. Триггер на рис. 8.9 — с раздельными входами, триггер на рис. 8.10 — со счетным входом.

Триггер с эмиттерной связью. Кроме рассмотренного симметричного триггера широкое распространение получил триггер с эмиттерной связью (триггер Шмитта). Этот триггер (рис. 8.11) также имеет два устойчивых остояния; он широко применяется в качестве пре-

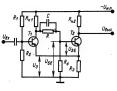


Рис. 8.1

образователя синусоидального или линейноизменяющегося напряжения в импульсы прямоугольной формы. Переход триггера из одного устойчивого состояния в другое происходит при И.Л.Ы/Ы —

Основные условия, при которых триггер будет миеть два условия, при которых триггер будет иметь два условиявых свойств транзисторного ключа: 1) гравзистор закрыт, если  $U_{38} > 0$ ; 2) гранзистор насыщей, если выполняется неравенство  $I_8 > I_8 / I_{81}$ . Используя эти условия, можно получить:

$$R \leqslant h_{21s} R_6 \frac{U_{\text{H.n.}} R_{\text{K2}} - I_{\text{K50 max}} R_{\text{K1}} (R_s + R_{\text{K2}})}{U_{\text{H.n.}} (R_6 + R_s h_{21s})};$$

$$R_2 > \frac{h_{21s} \, R_s \, R_{\,\mathrm{N}1} \, U_{\,\mathrm{M.R}}}{R_{\,\mathrm{N}2} \, U_{\,\mathrm{M.R}} + h_{\,21s} R_{\,\mathrm{K}1} (R_{\,\mathrm{W2}} + R_{\,\,\mathrm{s}}) I_{\,\,\mathrm{K5O\,max}}};$$

$$R_I < \frac{h_{21s}R_2R_{\kappa 1}}{h_{21s}R_s + R_2}$$
;  $R_s = \frac{U_{\kappa,n} - U_{max}}{U_{max}}$ .

Значения  $R_6$  и C определяются так же, как и для симметричного триггера.

Пример. Рассчитать триггер с эмиттерной связью при следующих данных:  $U_{\rm выx} > 17$  В; пернод запускающих импульсов с чередующейся полярностью T=5 мкс;  $t < 60^\circ$  С.

Расчет проводят в следующем порядке:

1.  $U_{s.n} = (1,1 \div 1,2) U_{max} + U_{9} = 20 \text{ B}.$ 

2. Выбираем тот же транзистор, что и в предыдущем примере (МП21Г).

3. Выбираем  $R_{\rm K2} = 2$  кОм;  $R_{\rm K1} = 5,1$  кОм;

C=200 пФ. 4. Находим

$$R_6 < \frac{T}{(2 \div 3) C} = \frac{5 \cdot 10^{-6}}{(2 \div 3) 200 \cdot 10^{-12}} =$$

$$=(8,3 \div 12,5) \cdot 10^3$$
;

принимаем  $R_6 = 10$  кОм.

5. Определяем
$$R_{3} = \frac{U_{\text{в.п.}} - U_{\text{вых}}}{U_{\text{вых}}} R_{\text{к2}} = \frac{20 - 17}{17} \times 2 \cdot 10^{3} = 350;$$

6. Находим

$$R \le h_{21}, R_6 \frac{U_{\text{H.B.}}R_{\text{H.2}} - I_{\text{KBOmax}}R_{\text{H.1}}(R_{\text{p.}} + R_{\text{H.2}})}{U_{\text{H.H.}}(R_6 + R_{\text{p.}}h_{21})} =$$

$$=\frac{15 \cdot 10^{4} (40 \cdot 10^{3} - 0.6 \cdot 2.36 \cdot 10^{3})}{20 (10^{4} + 5.4 \cdot 10^{3})} =$$

 $=19,5 \cdot 10^3$ ;

принимаем R = 18 кОм. 7. Рассчитываем  $R_2$ 

$$R_2 > \frac{h_{21s}R_sR_{s1}U_{n.n}}{R_{s2}U_{s.n} + h_{21s}R_{s1}(R_{s2} + R_s)I_{KBOmax}} = \frac{15 \cdot 360 \cdot 5, 1 \cdot 10^3 \cdot 20}{2 \cdot 10^3 \cdot 20 + 15 \cdot 5, 1 \cdot 10^3 \cdot 2, 36 \cdot 0, 12}$$

принимаем  $R_2 = 9,1$  кОм. 8. Определяем  $R_1$  $R_1 < \frac{h_{21}R_2R_{N1}}{h_{21}R_2R_{N1}} =$ 

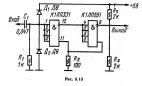
$$= \frac{15 \cdot 9,1 \cdot 10^3 \cdot 5,1 \cdot 10^3}{15 \cdot 360 + 9,1 \cdot 10^3} = 46,5 \cdot 10^3;$$

принимаем  $R_1 = 43$  кОм.

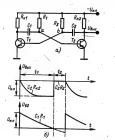
Практическая схема триггера Шмитта, предназначенного для формирования импульсов с крутыми фронтами из синусоидального сигнала, с характеристикой, показанной на рис. 8.12, приведена на рис. 8.13. Быстродействие триггера — до 15 МГц.

Для обеспечения работы формирователя на низких частотах параллельно конденсатору  $C_1$  следует подключить электролитические конденсаторы емкостью 33—100 мкФ.





Симетричный мультивибратор (рік. 8.14) типичный представитель группы устройств, вырабатывающих колебания сложной формы (отличной от синусодальной), называемых релаксационными генераторами. Генераторы этого вида



имеют накопитель энергии (чаше всего в виде конденсатора) и электронный ключ, переключение которого обусловлено запасом энергии в накопителе. Действует симметричный мультивибратор следующим образом. Пусть в начальный момент транзистор  $T_1$  открывается и переходит в насышенное состояние. В этот момент все напряжение на конденсаторе  $C_1$ , который при закрытом транзисторе  $T_1$  и открытом транзисторе  $T_2$  был заряжен до напряжения  $U_c \approx U_{u.n}$ , оказывается приложенным положительным потенциалом к базе транзистора  $T_2$ . Транзистор  $T_2$  закрывается. Конденсатор  $C_1$  начинает разряжаться от напряжения  $+U_{\rm в.п.}$  (в точке а) из-за протекания тока разряда через резистор R<sub>1</sub>, поддерживая потенциал базы транзистора Т, положительным, но убывающим по величине. В результате этого транзистор  $T_0$  находится в режиме отсечки. Как только напряжение на базе транзистора Т2 станет равным нулю, транзистор  $T_2$  откроется.

Одновременно с разрядом конденсатора  $C_1$  происходит заряд конденсатора  $C_2$  через резистор  $R_2$ , до значения коллекторного напряжения гранзистора  $T_1$  ( $U_2 \approx U_2 = U_3 = U_4$ ). Как только транзистор  $T_2$  откроется, положительный потенциал конденсатора  $C_2$  в точке b будет подан на базу транзистора  $T_1$  и закроет его. Далее процесс повтовленся.

Постоянные времени цепей разряда конденсаторов  $C_1$  и  $C_2$  соответственно равны:  $t_1 = -0,7C_1R_1$  и  $t_2 = 0,7C_2R_2$ . Эти величны и определяют длительность импульсов на выходе мультивиоратора  $(t_1)$ , интервал между ними  $(t_2)$  и частоту  $(1/t_2)$ .

Изменение вли регулировку частоты колебаний мультивибратора проще всего осуществлять изменением сопротивления резистора  $R = R_1 = R_2$ . Расчет симметричного мультивибратора с колдекторно-базовыми связями (см. рис. 8.14) про-

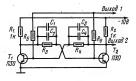
водят следующим образом: 1. По заданной максимальной частоте генерации выбирают тип транзистора (исходя из условия  $f_{h\,216}\!>\!5f$ ), обеспечивающего форму

выходных импульсов, близкую к прямоугольной. 2. Напряжение источника питания выбирают по заданному напряжению  $U_{\rm m.m} \approx 1, 2~U_{\rm max}$ . 3. Сопротивление резистора  $R_{\rm M}$  вычисляют по

соотношению  $R_{\kappa} \approx U_{\kappa,n}/I_{K}$ , где  $I_{K} \leqslant I_{K,aon}$ , обычно  $R_{\kappa} = 1 \div 3$  кОм.

4. Сопротивление в цепи базы находят по условию  $R_1 = R_2 \le h_{21} R_k$ .

5. Еммости комденсаторов определяют из вызъемений С<sub>1+</sub>(1/0,78; С<sub>2</sub> − 24/0,78; Практическая схема симметричного мультивибратора для пенерирофания прямоугольных имигульсов с частотой следования от 160 Тц до 100 И приведена мирульсов необходимо изменить завлечить сагодования от 160 Тц до 100 мг до 170 
Puc 8 I



Pxc. 8.15

Таблица 8.1. К расчету симметричного мультивибратора

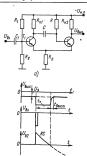
Емкость ког	іденсаторов,	Сопротивле	дования им-	
п	Ф	ров,		
C1 H C3	С2 и С4	R <sub>3</sub> и R <sub>4</sub>	R <sub>5</sub> H R <sub>6</sub>	пульсов, кГа
100 000 100 000 47 000 47 000	3 300 10 000 22 000 1 300	24 24 24 24 24	75 33 33 33	0,160 0,250 0,400 0,600
33 000 22 000 10 000 6 800	1 300 1 300 560	24 24 24 24	27 27 33 33	1,0 1,6 2,5 4,0
4 700	300	24	33	6,0
3 300		24	30	10
1 500	430	24	33	16
1 000	220	24	30	25
470	300	24	30	40
300	220	24	30	60
220	68	36	30	100



Плавная регулировка частоты обеспечивается потенциометром  $R_1$ . Амплитуда выходных импульсов —2В на выходе I и +6 В на выходе Z Ждущий мультивибратор с эмиттерной связью.

Ждущий мультвибратор с эмиттерной связью. Ждущий мультвибратор (одновибратор, киппреле) с эмиттерной связью (ркс. 8.17, а) являястя ждущим генератором импульсов прямоугольной формы. При поступлении на его вход короткого запускающего импульса на выходе вырабатывается прякоугольный импульс, далтельность которого определяется за-ясментами

Ждущий мультивибратор характеризуется наличием одного устойчивого состояния (транзистор  $T_1$  закрыт,  $T_2$  открыт) и одного временно



устойчивого (травянстор  $T_1$  открыт,  $T_2$  закрыт), вызванного подачей на вкод отрицательного импульса. Дзительность временно устойчивого состояния обычно много больше длительности вкодного импульса. Исходное устойчивое состояние достигается таким выбором сопротивления ревисторов  $R_1$ ,  $R_2$ ,  $R_3$ , что мапрямение  $U_{30}$  траи-

зистора  $T_1$  оказывается положительным. При полаче короткого отрицательного митульса на вход (рис. 8.17, 6) транзистор  $T_1$  открытается и напряжение концекстора оказывается и напряжение концекстора оказывается риаложенным положительным положо к базетранзистор  $T_2$  ото приводит к его закрывають. Транзистор  $T_2$  остается закрытым до тех пор. пока напряжение на его базе не уменьштов вследствие разряда конденсатора C по цепи RC до  $-U_3$ .

Расчет ждущего мультивибратора с эмиттерной связью (см. рис. 8.17, а) проводят в слелующем порядке:

1. Определяют напряжение источника питания

 $U_{n,n} = U_{\text{вых}}^{\prime} + R_{\text{o}}I_{\text{K2}} = U_{\text{вых}}^{\prime} + (2 \div 3) B.$ 2. По заданной частоте следования импульсов и напряжению выбирают транзисторы с учетом условия  $I_{\text{K2}} = (2 \div 3)I_{\text{K1}}$ .

3. Рассчитывают сопротивления резисторов  $R_s \le (U_{\text{м.n}} - U_{\text{вых}})/I_{\text{K2}}; R_{\text{K1}} = U_{\text{м.n}}/I_{\text{K1}} - R_s; R_{\text{K2}} = U_{\text{м.n}}/I_{\text{K2}} - R_s.$ 

Рассчитывают сопротивления резисторов

$$R_1 \ge \frac{h_{219}I_{K2}(R_{K1} + R_9) - h_{219}U_{KE}}{h_{219}I_{KEO \max} + I_{K2}};$$
  
 $R_2 = \frac{h_{219}R_1R_9}{h_{219}R_{K1} - R_1}.$ 

5. Сопротивление резистора  $R_6$  определяют из условия насыщения транзистора  $T_2$ :

$$R_6 \leqslant h_{219} \frac{U_{\text{M.T.}} - R_9 I_{\text{K2}}}{I_{\text{K2}}} = h_{219} R_{\text{K2}}.$$

6. По заданной длительности импульсов определяют емкость конденсатора C по формуле  $t_u = 0,7RC$ .

Правильность выбора емкости конденсатора С проверяют из следующего условия: время восстановления цепи должно быть меньше интервала между импульсами, т. е.

$$t_{\text{BOCCT}} < T = (4 \div 5) C (R_{\text{KI}} + R_{\text{B}})$$
.

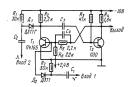


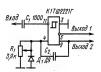
Рис. 8.18

На рис. 8.18 приведена практическая семва жущего мудътвинбратора с колдекторно-базовани связями, предназначенного для формитровани прамерам, предназначенного для формитровани прамеробо мкс. Запуск мудътнинбратора осуществляется открытили правительным импудъсом по входу 7, открытающим транаметор 7, домитрованительным импудъсом по входу 2, закрывающим транаметор 7, домитрова входиого императора императора домитрованительным импудъсом по месте 7, месте мудът домитрованительным импудъсом по месте 7, месте мудът домитрованительным импудъсом по месте 7, месте мудът домитрованительным импудъсом по месте 7, месте мудът домитрованительным практивности правительным практивности правительным практивности правительным практивности правительным практивности практивности правительным практивности правительным практивности правительным практивности правительным практивности правительным практивности правительным пра

Длительность выходных импульсов и максимальная частота следования входных импульсов зависят от параметров элементов; которые приведены в табл. 8.2.

Таблица 8.2. Параметры элементов ждущего мультивибратора

Емкость конденса- торов, пФ				Длительность им- пульсов, мкс	Максимальная час тота следования им пульсов, кГц				
C,	C <sub>2</sub>	C 3	C4		пульсов, кі ц				
180 180 200	270 150 130 130 130	390 1 600 3 300 22 000 100 000	56 150 150 200 200	. 10 50 100 500 2 500	20 10 5 1 0,2				



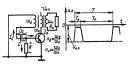
PHC. 8.19

На рис. 8.19 приведена схема вждущего мудитвибратора на интеральной микросхеме КІТШ221 f. Запускается мудьтивибратор имудьеми поломительной полярности дительностью от 1 до 10 мкс и амплитудой от 2 до 7 В. При изменении емкости конденсатора  $C_2$  от 3000 пФ до 500 мкФ дительность выхоляют имудье и мумененся от 10 мкс до 10 с. Переменный реэмстор  $P_1$  подволяет плавно регулировать синмают имильска иломаютельной полярности амплитудой 6 В, с выхода 2 — отрицательной полярности амплитудой 6 В, с выхода 2 — отрицательной полярности амплитудой 6 В,

Блокинг-генераторы — однокаскадные релаксационные генераторы кратковременных (до нескольких наносекунд) импульсов с индуктивной обратной связью. Они могут работать в режиме автоколебаний и в ждущем режиме. Их отличительная особенность — возможность получения чрезвычайно высокой скважности (до десятков тысяч), которую не позволяет получить никакой другой генератор. При этом лампа или транзистор находятся в облегченном тепловом режиме. Блокинг-генераторы могут работать также в режиме синхронизации или деления частоты. Эти свойства позволяют широко использовать блокинг-генераторы в делителях частоты, счетчиках импульсов, источниках мощных импульсов, запоминающих устройствах, генераторах пилообразного напряжения и др.

Схема блокинг-генератора на транзисторе приведена на рис. 8.20.

Рассмотрим физические процессы в блокинггенераторе. Пусть в первый момент времени транямстор открымся и в коллекторной цепи начал протекать ток  $I_K$ . Вторичная обмотка транзистора (обмотка обратной связи) включена так, что под действием возникающей в ней



PHC. 8.20

ЭДС взаимоиндуктивности через базу транзистора протекает ток положительного направления и потенциал базы понижается. Это приводит к дальнейшему увеличению тока коллектора, который протекает столь быстро, что можно считать, что конденсатор не успевает заряжаться. Лавинообразный процесс (блокинг-процесс) увеличения тока коллектора прекращается, когда эдс транзистор насыщается; взаимоиндуктивности падает до нуля и ток во вторичной обмотке начинает убывать. Это вызывает появление в ней ЭДС индуктивности, поддерживающей ток прежнего направления, который постепенно убывает по мере заряда конденсатора С. Конденсатор заряжается, приобретая положительный потенциал на базовом электроде по цепи базовая обмотка трансформатора открытый транзистор. Ток коллектора с повышением потенциала базы уменьшается, что приводит к увеличению потенциала базы за счет-ЭДС взаимонидуктивности в цепи ПОС. Это в свою очередь приводит к дальнейшему уменьшению тока коллектора, т. е. транзистор закрывается. К моменту его закрывания напряжение на конденсаторе достигает некоторого максимального значения  $U_C$ . После закрывания транзистора конденсатор начинает разряжаться по цепи базовая обмотка трансформатора - резистор R — источник питания  $\dot{U}_{\rm H,0}$ . Ток перезаряда создает на резисторе R падение напряжения (полярность его указана на рис. 8.20), и транзистор остается закрытым до момента, пока напряжение на базе не станет близким нулю. После этого он начинает открываться.

После этого он начинает открываться. Временная диаграмма выходного напряжения блокинг-генератора приведена на рис. 8.20. С достаточной для практики точностью период

следования импульсов можно определить по формуле  $T \approx T_u = RC\ln(1+n)$ , где n — отношение числа витков катушки в базовой цепи к числу витков катушки в коллекторной цепи.

Усилители постоянного тока. Усилители постоянного тока часто бывают необходимы для усиления сигнала датчика до значения, необходимого для дальнейшего преобразования

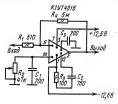


Рис. 8. 21

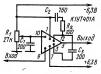


Рис. 8.22

сигнала. На рис. 8.21 и 8.22 приведены схемы высокочувствительных усилителей на интегральных микросхемах К1УТ401А и K1УТ401Б, которые могут усиливать сигнал, например, от фотоднода, термопары и других чувствительных элематков

Для усилителя на рис. 8.21  $U_{\text{вх max}} = 8$  мкА;  $K_{\text{yc}} = 2000 \div 10\,500; \ U_{\text{вмх}} = +8 \div -6,3$  В;  $R_{\text{H}} \geqslant 700$  Ом.

Для усилителя на рис.  $8.22~U_{ax} > 5~\text{мкA};~U_{sux} = +3.5 \div 3~\text{B};~R_{\text{H}} = 700~\text{O}_{\text{M}}.$ 

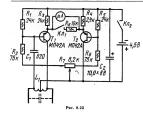
## 8.3. А НА ЛОГОВЫЕ УСТРОЙСТВА АВТОМАТИКИ

Описанные здесь устройства далеко не исчерпывают возможностей построения аналоговых автоматических устройств. Это характерные примеры, по типу которых можно построить приборы различного изаначения.

Влагомер. На рис. 8.23 приведена схема влагомера зерна с индуктивно-емкостным датчиком (рис. 8.24), представляющим собой колебательный контру вз плоской катушки 1 и врух паральельных пластия 2, образующих кондексатор. При изменении влажимсти зерка изменяется емкость конденсатора датчика и соответственно изменяется эмиттерный ток транзистора T<sub>1</sub>. Индикатором служит микроамперметр на 0— 50 мкА. Сопротивление  $R_8$  позволяет изменять диапазон измерения влажности.

Устройство для измерения температуры, освещенности в выяжности помыв. Схема прибора приведена на рис. 825. Прибор позволяет измерять температуру от 0 до.  $+60^\circ$  C с отоностью  $\pm 0.5^\circ$  C, совещенность — от 3000 до 50 000 ля с точностью  $\pm 3.5^\circ$ , плажимость — от 5 до 40%с точностью  $\pm 3.5^\circ$ , плажимость — от 5 до 40%с точностью  $\pm 3.5^\circ$ , Прибор питается от двух батарек 33.661.

Режим работы прибора изменяется переключателем  $B_1$ : в положении I измеряется влаж-





ность; в положении 2 — освещенность; в положении 4 — температура; в положении 3 проводится проверка прибора.

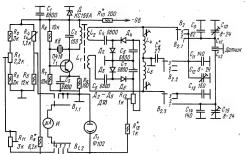
Датчиком температуры служий терморезистор  $R_4$  (ММТІнли КМТ-1), включенный в одно из ллеч моста; образованного резисторами  $R_1$ — $R_5$ . Резистором  $R_1$  мост балансируют так, чтобы ток микроамперметра (М24 на 100 мкА) был равен нулю при 0° С.

равен нулю при  $0^{\circ}$  С.

Освещенность измеряют при помощи фотоэлемента  $\mathcal{J}_1$ , ток которого измеряют тем же 
прибором H.

Влажность измеряют дифференциальным емпостым датчимо  $C_{\rm g} - C_{\rm g}$ , включеным в контуры  $L_{\rm L}C_{\rm G}$ <sub>1</sub> и  $L_{\rm C}$ <sub>1</sub> ( $L_{\rm c}$ <sub>1</sub>), связанные с контуром спекратора на транзисторе  $T_{\rm c}$  Датчик представляет собой два электрода из нержавеющей сталы O 3 мм и длиной D 5 мм, закрепленных на фторолластовом изоляторе на расстояния 13 мм друг от друга в центре стакана из нержавеющей сталы O 25 мм. Стакан соединяется с «землей» устройства.

Все катушки намотаны на фторопластовых каркасах Ø 9 мм, сердечники типа СЦР-1. Катушки



 $L_1$ —  $L_2$  ммеют соответственно 17,8 и 8 витков провода ПЭЛ 0,55, намогка— виток к витку,  $L_1$  и  $L_2$  намоганы поверх катушек  $L_1$ , между проложен незаминутый слой медной офольти. Катушки  $L_1$  и  $L_2$  содержат соответственно 16 и 20 витков того же провода, намогка — внавая, длина намогки 5 мм, расстояние между катушками 20 мм.

При градуировке устройства по температуре терноревистор помещают в тающий лед и в воду с температурой 50° С. При градуировке по осъещенности освещенности освещ

Устройство для обнаружения металлических предметов. Устройство по схеме на рис. 8.26

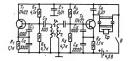


Рис. 8.26

состоит из генератора высокой частоты на транзисторе  $T_1$  с датчиком  $L_1$  и приемника гетеродинного типа на транзисторе  $T_2$ . Датчик  $L_1$  представляет собой прямоугольную рамку размером  $175 \times 230$  мм из 32 витков провода ПЭВ-2 0,35.

При появлении вблизи рамки металлического предмета изменяется индуктивность датчика, а следовательно, и частота генератора. Изменение частоты регистрируется приемником: если перво-

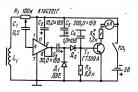


Рис. 8.27

начально генератор настроен на 465 к $\Gamma$ и, а гетеродин приемника на 465,5 к $\Gamma$ и, то в телефонах T ф будет прослушиваться сигнал частотой 500  $\Gamma$ и. При приближении катушки  $L_1$  к металлическому предмету тональность сигнала в телефонах будет изменяться,

Катушка L<sub>2</sub> намотана одновременно на два соприкасающихся цилиндрических каркаса  $\mathcal{O}$ 7 мм со стержнями из феррита 400HH и содержит 55 витков провода ПЭЛШО 0,2.

В устройстве применяют телефоны ТОН-1 или ТОН-2, включенные параллельно, чтобы их общее сопротивление было 800—1200 Ом; батарея питания 3336Л или три элемента 316, 343.

Устройство дая обнаружения скрытой проводии. Для обнаружения в стема гломещий силовых или вместрических проводов можно воспользоваться устройством, схема которого прыведена на рис. 8.27. Устройство ссотоит из дат-инка. 1₁, усмантол і переменного тока на микроскеме, выпримителя не дводах Д₁ и Д₁ ну усилатисям постоямного тока на микроскеме, выпримителя на дводах Д₁ и Д₂ ну силатисям постоямного тока на правычесторах 7₁ и Т₂-

Катушка L<sub>1</sub> содержит 3000 витков провода ПЭЛ 0,12, намотанного внавал на картонном каркасе, имеющем 10 секций шириной по 8 мм. Внутрь каркаса вставлен отрезок ферритового стержия М400HH-3 СВ 8 мм и длиной 80 мм.

#### 8.4. ЭЛЕКТРОННЫЕ РЕЛЕ

Реле времени (рис. 8.28). Оно повволяет устанавливать выдержки времени от 1 до 60 с или от 1 до 60 мин с погрешностью  $\pm 5\%$ .

Устройство состоит из блока питания на днодах  $\mathcal{I}_1 \longrightarrow \mathcal{I}_4$  и стабилитрона  $\mathcal{I}_5$ , времязадающего узла, включающего конденсаторы  $C_3$  и  $C_4$ , резисторы  $R_4$  и  $R_5$ , днод  $\mathcal{I}_6$  и стабилитрон  $\mathcal{I}_7$ .

В исходном состоянии транзистор  $T_1$  открыт,  $T_2$  оякрыт, тов в реле P отсустерует. При нажатии на кнопку Kи конденсатор  $C_2$  (или  $C_4$ ) бысто заряжается до напряжения источника питания через анод  $R_6$ . После отпускания кнопки кондепотор начинает разряжается обеспостор на  $R_4$ .  $R_4$ . Положительное напряжение конденсатор  $R_4$ .  $R_5$ . Положительное напряжение конденсатор  $R_6$ .  $R_6$ . Положительное трановает  $R_6$  трановает  $R_6$ .

транзистор  $T_2$  открывается, реле P срабатывает. Когда конденсатор  $C_3$  (или  $C_4$ ) разрядится до напряжения стабилизации стабилитрона  $\mathcal{A}_7$ , транзистор  $T_1$  откроется, закроется транзистор  $T_2$  откроется, закроется транзистор  $T_3$  и реле P возвратится в исходное состояние.

 $T_2$  и реле P возвратится в исходное состояние. Реле P типа P3C-10 (паспорт  $PC4.524.303\Pi2$ ) или P3C-22 (паспорт  $P\Phi4.500.129\Pi2$ ). Диоды  $A_8$  и  $A_9$  включены последовательно.

Реле времени на транзисторе (рис. 8.29). Для обработки цветных отпечатков в фотографических процессах реле обеспечивает время экспонирования от 0,5 до 150 с и время обработки отпечатков в растворах 3—5 мин.

При нажатии кнопки  $K\mu$  выпрямитель включается в сеть и конденсатор  $C_1$  почти мгновенно

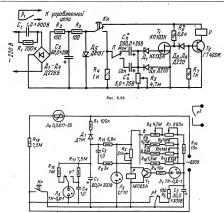


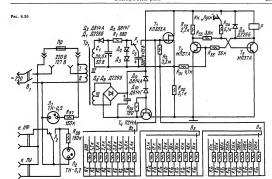
Рис. 8.29

заряжается. Импульс тока через коиденсато  $P_c$  и реактор  $P_b$  подается из обмотку рест котоку, с котоку с току 
В устройстве можно использовать любой маломощный низкочастотный транзистор с возможно более высоким допустимым напряжением между коллектором и эмитером. Сопротивления резисторов R<sub>2</sub> и R<sub>3</sub> подбирают в зависимости от типа примененного реле. При  $R_3 = 51$  кОм ток срабатывания реле должен быть 2.5 - 3 мА. Об окончании выдержки сигнализирует лампа  $J_3$ .

Прибор питается от сеги через бестрансформаторный одинолупериодный выпрямитель  $I_{\rm L}(c)$ , Резистор  $R_{\rm L}$  отраничвает импульс тока при включении выпрямитель в сеть Чтобы исключить влияние сетевого напряжения на длительность выдержек, напряжения подаввемое на зарядную цепь реле времени, стабилизировано газоиаполненным стабилитромом  $I_{\rm L}$ 

Так как с изменением температуры няти лампы увеличителя при колебаниях сетевого напряжения меняется и спектральный состав света, излучувемого лампой, напряжение накала ее должно/быть стабильнуювано. С этой целью в приборе применен бареттер  $\Pi_4$  (для лампы увеличителя мощностью 60 ВТА) ностью 2 рабора при местью бо для дампы увеличителя мощностью 60 ВТА.

Реде времени на полевом транзисторе (рис. 8.30). Предназначено для установкия ремени экспонирования при фотопечати от 1 до 999 с 16 мин эВ с) ечрея 1 с. Устройство сесто из тритгера на транзисторах  $T_2$  и  $T_3$ , разрядного каскада на полевом транзисторе  $T_1$ , стабляюто каскада на полевом транзисторе  $T_1$ , стабляюто каскада на полевом транзисторе  $T_1$ , стабляюто источника на стаблитромах  $\mathcal{A}_1$  и  $\mathcal{A}_3$  для заряда в ремязвадющего комлексатора и источника питания со стаблизатором на транзисторе  $T_4$ .

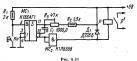


В исходном состоянии транзистор  $T_3$  закрыт, ток в реле P отсутствует, конденсатор  $C_3$  подключен к источнику напряжения контактами  $P^1$ .

При важатии кнопки Kи. «Пуск» открывается гравизистор  $T_0$ , кробатывает реце P и коиденсатор  $C_0$  подключается к затвору транзистора закрывается. Наприжение на резисторе  $R_{30}$  исчезает и транзистора  $T_7$  также закрывается. Тарызистор  $T_7$  также закрывается. Тарызистор  $T_7$  также закрывается. Тарызистор  $T_7$  также закрывается. Тарызистор  $T_7$  тех повысится самораты от тех породу правизистора  $T_1$  не повысится до мапряжения отсечки, при котором он открывается.

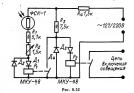
Напряжение на резисторе R<sub>20</sub> и на базе транзистора T<sub>2</sub> возрастает, открывая транзистор T<sub>2</sub> и перебрасывая тритгер в исходяюе состояние. В устройстве применяется роке P94-18 на рабочее напряжение 24 В с сопртанаетиям обтиватор и применяет применяет и применяет и применяет применяет применяет применяет при 1500 витков провода ПВВ-2 0,12, обмотка II и 1800 витков провода ПВВ-2 0,15, обмотки III и

IV — по 290 витков провода ПЭВ-2 0,22. Реде времени на микроскемах (рис. 8.31). В исходном состояния ток в реле P отсутствует. При кратковременном нажатии на кнопку K запускается жазущий мультивибратор на помятил образовати и при выправляющий при выправлений при выправлений при выправлений при выправлений при выправлений при выправлени



1 мин. Реле Р имеет обмотку сопротивлением 280 Ом, ток срабатывания — до 15 мА.

Фотореле предназначены для включения или отключения каких-либо устройств контроля, регулирования или ситнализации при изменении освещенности. Наиболее распространены фотореле, в которых в качестве чукствительных элементов применяют фоторезисторы.

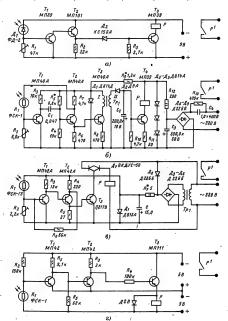


Фотореле для автоматического включения и выключения освещения (рис. 8.32). Фотореле Вылючает совещение при освещенности менее 5 лк и выключает при освещенности более 10 лк. Резистор  $R_2$  служит для изменения порога срабатывания реле. В устройстве могут быть приме-

батывания реле. В устройстве могут быть применены реле МКУ-48 ( $t_{\rm cpa6}$  = 22 мA,  $R_{\rm cda}$  = 1900 Ом). Фотореле на транзисторах (рис. 8.33). Фотореле срабатывает при освещении фотоднода  $\mathcal{A}_1$ ,

При этом открываются транзисторы  $T_1$  и  $T_2$ , вызывая увеличение паделия напряжения на резисторе  $P_2$ . Когда оно достигает напряжения пробоя стабилитрона, он открываетс раностор  $T_3$ . Вызывая срабатывание реле P (типа P9C-10, паспорт PC4.524.304).

На рис. 8.33, б приведена схема фотореле с фоторезистором; его включение и выключение происходят практически при одной и той же ос-



вещенности. Фотореле состоит из мультивибратора на транзисторах  $T_1$  и  $T_2$ , усилителя  $T_3$ , выпрямителя  $\mathcal{L}_2$ , транзисторного ключа  $T_4$  и блока питания. При малой освещенности сопротивление фоторезистора  $R_1$  велико, ПОС с коллектора транзистора Т2 на базу Т1 мала и мультивибратор не работает. При увеличении освещенности фоторезистора его сопротивление уменьшается, что приводит к самовозбуждению мультивибратора.

Для исключения влияния каскада усиления на стабильность мультивибратора сигнал на базу транзистора Т3 подается с эмиттера транзистора  $T_2$ . Нагрузкой транзистора  $T_3$  служит трансформатор  $Tp_1$ , напряжение со вторичной обмотки которого (после выпрямления диодом  $\mathcal{J}_2$ ) используется для управления ключом  $T_4$ , вызывая срабатывание реле (типа РЭС-10, паспорт PC4.524.302 или другое реле с  $I_{cpa6} = 18 \div 20$  мA). В качестве трансформатора Тр, может быть использован согласующий трансформатор от любого переносного транзисторного приемника. Обмотка I имеет большое число витков. Порог срабатывания регулируется резистором  $P_2$ .

На рис. 8.33, в приведена схема мощного фотореле на тиристоре. Фотореле состоит из трехкаскадного усилителя на транзисторах  $T_1$  —  $T_2$ , ключа на симметричном тиристоре  $I_2$ , исполнительного механизма Р и блока питания, включающего выпрямительный мост на днодах Д3- $\mathcal{I}_6$  и стабилитрон  $\mathcal{I}_1$ . Первые два каскада усилителя охвачены ПОС и образуют усилитель постоянного тока. Резистор R позволяет регулировать порог срабатывания фотореле от 25 до 800 лк.

Особенностью фотореле является применение тиристора типа ВКДУС, способного коммутировать токи в сотни ампер. В качестве исполнительного механизма может быть использовано любое реле или другое коммутирующее устройство с током срабатывания 0,25-25 А. Трансформатор Тр<sub>1</sub> — понижающий, с коэффициентом трансформации 40.

Транзисторное термостабилизированное фотореле (рис. 8.33, г). При затемненном фоторезисторе транзистор Т1 открыт из-за смещения, подаваемого на его базу через резистор  $R_p$ . Остаточное напряжение на коллекторе транзистора Т<sub>1</sub>, равное нескольким десяткам милливольт и подаваемое на базу транзистора  $T_2$ , компенсируется напря-

жением, которое подается через резистор R<sub>2</sub> с «плюсовой» шины дополнительного источника питания. Следовательно, потенциал базы транзистора Т2 приблизительно равен потенциалу общей шины и транзистор полностью закрыт. Транзистор обратной проводимости включен на коллекторную нагрузку транзистора  $T_2$  через резистор  $R_{*}$ .

При освещении фоторезистора его сопротивление падает, что приводит к появлению положительного напряжения на базе транзистора Т<sub>1</sub>, и транзистор закрывается, а напряжение на его коллекторе уменьшается. Это приводит к перераспределению напряжения на базе транзистора  $T_2$ , и транзистор открывается, открывая

выходной транзистор Т

В устройстве может быть применено реле любого типа с рабочим током не более 20 мА (например, типа РПМ с  $I_{cpa6} = 15$  мА и  $R_{c6m} =$ =300 Om)

Резистор R<sub>2</sub> желательно сделать составным в виде последовательно включенных переменного и постоянного резисторов, что позволит просто настранвать реле.

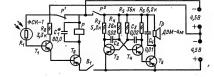
Настройка реле осуществляется изменением сопротивления резистора' R<sub>1</sub> и сводится к тому, чтобы транзистор  $T_1$  вошел в насыщение при затемненном фоторезисторе.

Фотореле со звуковой сигнализацией (рис. 8.34). Фотореле может быть использовано, например, в тире, где мишени «поражают» лучом света, или для сигнализации проникания света в затемненное помещение; устройство питается от двух батарей 3336Л.

Фоторезистор  $R_1$ , усилитель на транзисторах  $T_1$  и  $T_2$  и электромагнитное реле P образуют фотореле, а мультивибратор на транзисторах  $T_3$  и  $T_4$  и усилитель на транзисторе  $T_5$  с громкого-

ворителем Гр. — звуковой генератор.

Когда фоторезистор не освещен, его сопротивление велико и транзистор Т, закрыт. При освещении сопротивление фоторезистора уменьшится и ток через обмотку реле увеличится. Реле P сработает, его контакты  $P^1$  разорвут цепь питания фоторезистора, а контакты  $P^2$ включат питание звукового генератора; в громкоговорителе - телефонном капсюле ДЭМ-4м (ДМШ-а) — появится звук. Длительность звука составляет доли секунлы и зависит от емкости конденсатора  $C_1$ . Конденсатор после отключения



фоторезистора разряжается через обмотку реле, затягивая отпускание его якоря. Как только конденсатор разрядится, контакты  $P^1$  подключат к транзистору.  $T_1$  фоторезистор и цикл повторится.

В приборе можно использовать маломощные низкочастотные транзисторы типов МПЗ9-МП42. Вместо фоторезистора ФСК-1 можно приненить ФСК-2, ФСД-1. Наибольшая чувствительность прибора получается при использовании фоторезистора ФСД-1.

Электромагнитное реле может быть любого типа с током срабатывания 10—12 МА (например, типа РКН с Rose = 400 ÷ 800 Ом). Шкрокополосное фотореле высокой чувствительности (рис. 8.35). Фотореле имеет порог срабатывания 0,13—0,3 лк при длительности светового импульса несколько десятых долей миллисекунды.

Первый каскад — корректирующий каскад для фоторезисторов — позволяет в  $10^2-10^3$  раз повысить быстродействие устройств с фоторезисторами.

Корректирующий каскад собран на транзисторах  $T_1$  и  $T_2$ . Выходной синнал снимается с коллектора транзистора  $T_1$ . На транзисторе  $T_3$  собран разделительный каскад, согласующий выходное сопротивление корректирующего каскада и триггера Шмита (транзисторы  $T_a$ ,  $T_2$ ).

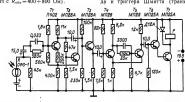
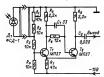


Рис. 8.35

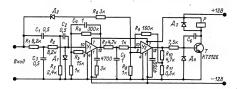


PHC. 8.36

Транзисторы  $T_6$  и  $T_7$  работают в ключевом режиме и предназначены для усиления мощности. Реле могут быть типа MKV-48 ( $I_{\rm cpa6} = 130~{\rm MÅ}$ ).

Фотореле для автоматического выключения уличного освещения. На рис. 8,36 приведен принципивальная слема простого устройства, представляющего сосимение тритера Шимита в транямсторах Т, и Т, и фотолнода. Порог срействанняющего тритера определяется освещеностью фотолнода и сопротивлением переменного режистора К, таким образом, подстройкой поременного режистора комано регулировать порог срабатывания тритера.

Термореле на интегральных микросхемах. На рис. 8.37 приведена схема стабильного усилите-



ля с реленным выходом, предназначенного для контроля температуры или других параметров с датчиками сопротивления или напряжения постоянного тока, выходное напряжение которых составляет сотии милливольт.

На входе усилителя, соединенном с датчиком, включен предварительный заградительный фильтр, настроенный на основную гармонику помехи (50 Гц). Фильтр выполнен по схеме двойного T-моста на элементах  $R_1 - R_3$ ,  $C_1 - C_3$ . Усилитель-интегратор У, собран на интегральной микросхеме К1УТ401Б с конденсатором С. в цепи ООС. Резистор R4, шунтирующий конденсатор, несколько ухудшает качество интегрирования. Однако, поскольку сопротивление резистора R4 значительно больше сопротивления конденсатора С, на частоте 50 Гц (около 3 кОм), такое ухудшение оказывается несущественным. С учетом ООС в каскаде У, и суммарного сопротивления резисторов 'R, - R, входное сопротивление по постоянному току такой цепи составляет около 100 кОм. На выходе У, включен пассивный ФНЧ на элементах R<sub>7</sub>, C<sub>8</sub>.

Второй каскад  $\mathcal{Y}_2$  выполнен также на микро-схеме K1YT401D и работает в триггерном режиме благодаря цепи ПОС на элементах Ro - $R_{11}$ . Транзистор T служит для согласования каскада У, с релейной нагрузкой (реле Р). Диоды  $A_1$  и  $A_4$  предназначены для ограничения уровней входных сигналов при их изменении в широком диапазоне (при больших разбалансах измерительного моста). В функции цепи  $\mathcal{A}_2R_6R_8$  входит защита от обрыва цепи датчика сопротивления: при скачкообразном увеличении входного напряжения, вызванном обрывом цепи, пробивается стабилитрон Д, и разность напряжений между амплитудой скачка и напряжением пробоя (стабилизации)  $\mathcal{I}_2$  через делитель  $R_6R_8$  прикладывается к инвертирующему входу  $X_2$  (контакт 9), вызывая надежное закрывание основного канала (контакт 10).

Если необходимо сигнализировать обрыв цепи датчика, паральлено резистору R<sub>8</sub> подключают отдельный тригер с выходом на соответствующее сигнальное реле. При налаживании сигнализатора подбирают элементы R<sub>8</sub> (настройка предвари-

тельного фильтра),  $R_5$  (установка нуля) и  $R_9$  (порог чувствительности). Регулировать эти элементы в процессе эксплуатации не требуется. Диоды  $A_1$ ,  $A_8$  и  $A_4$ — типа  $\Gamma\Pi 107A$ ,  $A_9$ —  $\Pi 808$ 

Регуантор температуры, управляемый освещенностью (рыс. 6.83). Устройство предиванаено для автоматического изменения температуры в зависимости от освещенности в помещении, необходимого, например, в теллицах и паринках, в которых температура днем и в солнечную погоду должив быть выше, чем ночью и в пасмуркую погоду.

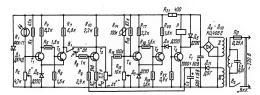
Устройство позволяет поддерживать постоянную температуру от 15 до 50° С с точностью ±0,4° С, изменяясь скачком в пределах ±12° С (от установленного значения при изменении осветическия при изменении осветическия при изменении осветическия строительного значения при изменении осветическия строительного строите

щенности от 500 до 25 000 лк).

Устройство состоит из блока регулирования температуры (РТ), выполненного на транзисторах  $T_{A}$ ,  $T_{b}$ ,  $T_{b}$  и блока кођрекции температуры (КТ) в зависимости от увовня освещенности (транзисторы  $T_{1}$ ,  $T_{2}$ ). Переключатель  $B_{1}$  позволяет увеличивать или уменьшать температуру с увеличением освещенности.

Выходное реле Р своими контактами управляет работой нагревательного устройства. Дананого температуры является терморемистор R<sub>1</sub> (ММТ-6 ММТ-4 или КМТ-4), датимом освещенность фоторемистор R<sub>1</sub>. Освещенность устанавливается ремистором R<sub>2</sub>, в температуры — R<sub>12</sub> Блоки РТ для уменьшения гистеремса в эмитерные цепи тритеров, включена диода. В<sub>1</sub> и В<sub>2</sub>.

Устройство действует следующим образом с повышением температуры в помещения сопротяжение датчика  $R_1$  уменьшестся и тратуры в помещения образом обр



которое изменит порог срабатывания триггера  $T_4$  —  $T_5$ . Теперь этот триггер будет срабатывать уже при тем меньшей температуре, чем выше освещенность (больше напряжение на резисторе  $R_{(a)}$ ).

При переключении  $B_1$  в нижнее (по схеме) положение воздействие блока КТ на блоке РТ будет противоположным по знаку.

В устройстве могут быть использованы любые маломощные транзисторы МП40—МП42, а для транзистора  $T_6$ — П213—П216. Реле P— типа РПУ-2 с напряжением срабатывания 24 В.

Трансформатор питания выполнен на магнитопроводе  $III.1720 \times 16$ ; обмогка I - 3309 вигков провода II.08-2 0.1, обмогка II - 350 вигков провода II.08-2 0.47, обмогка III - 100 вигков провода II.08-2 0.47, обмогка III - 100 вигков провода II.08-2 0.21. II.08-2 прежиочатели  $B_1$  и  $B_2$  — II.2 К C фиксацией в нажатом положении.

Зектрокитактные реле уровия. Дівёстине их сновавно на использовнин змектропроводимости жидкостей и сыпучих материалов. При достижений уровием (например, макдости) метадлического электрода сопротивление между электродом и исталической стеной сосуда реясю изменяется. Это изменение сопротивления пристенка сосуда, подключенной к источнику ЭДС.

На рис. 8.39 изображен простой электроконтактный сигнализатор уровня. В момент достижения уровнем жидкости электрода Э ток в

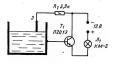
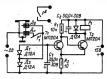


Рис. 8.39

управляющей цени база — эмиттер становится таким, что транзистоп ресходит в режим насыщения и лампа  $J_1$  (12 В, 105 мА) зажитается, сигнализируя о наполнении емости. Вместо лампы может быть использовано любое реле с  $I_{cost} = 100$  мА. Контакты реле могут заммать цень привода исполнительного механизма, регулирующего уровень.

Триггерное реле уровня (рис. 8.40). Датчики реле питаются переменным током. В реле применен несимметричный триггер с эмиттерной связью на транзисторах T, и T<sub>2</sub>.

При уровів жидаюсти ніже злектродов даттиков цепь переменного тока, оставной частью когорой валяєтся жидаюсть, разомкнута. Транвистор 7, открыт и ток змиттера создаєт паденне напряжения на резисторе R<sub>2</sub>, поддерживающее транзистор 7, в закрытом состояния (первое устойчивое состояние тритгера). Рося Р (типа замикают цепь электродвигателя насоса, подающего жидаюсть в резервора. Контакты Р<sup>2</sup> замикают цепь электродвигателя насоса, подающего жидаюсть в резервора. Контакты Р<sup>2</sup>



Pac. 8.40

разрывают цепь переменного тока нижнего датчика  $I_{u}$ .

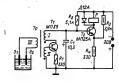
В момент соприкосновения жидкости с электродом датчика верхнего уровня  $\mathcal{L}_{u}$  его цепь переменного тока замыкается.

Выйрямленное диодами  $I_1$  и  $I_2$  напряжение подается на вход триггера. Он переходит во второе устойчивое состояние: транзистор  $T_1$  открывается, а  $T_2$  закрывается. Реде P, отпуская жорь, замыкает контакты цепи инжнего датчика  $P^1$  и размыкает контакты цепи управления  $P^2$ . Электровиятаель насоса останавливаеты,

Реле уровия, основание на измерения проволямости по переменному тому (рис. 8.41). Если уровень жидкости не достигает заметродов  $\mathcal{J}_1$  з. выполняются удоливи самовозбуждения блокин-тенератора на транзисторе  $\mathcal{T}_1$ . Тож коллектора протежает по резилистору  $\mathcal{R}_1$  и повышает напряжение на базе транзистора  $\mathcal{T}_1$ . На мистере пряжение на транзистора  $\mathcal{T}_2$ . На мистере пряжение на транзистора  $\mathcal{T}_3$ , и заметает пряжение на тран делигия  $\mathcal{R}_1\mathcal{R}_1$ . Поэтому транзистор  $\mathcal{T}_2$  оказывается закрытам, ток в реме P(тиля PC-13,  $\mathcal{I}_1$ ),  $\mathcal{I}_2$  —  $\mathcal{I}_3$  M ») не поступает.

типа то-то,  $\epsilon_{r,p,q} = 0$ т мау ие поступаст. При замыхвани электролов через жидкость генерация срывается, ток коллектора транзистора  $T_1$ , протеквющий черев резистор  $R_2$ , уменьшается, смещение базы транзистора  $T_2$  возрастает, транзистор переходит в режим насыщения и реле P срабатывает.

Датчик прибора потребляет малую мощность (25 мВт) при малом напряжении; его можно вынести на большие расстояния (до 150 м). Изменением числа витков обмотки /// сигнализатор может быть настроен для работы с жидкостями, имеющими различную проводимость.



PHC. 8.41

PHC. 8.43

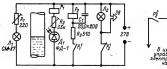




Рис. 8.42

При числе витков обмоток 1. 11 и 111. равном 120. датчик срабатывает при сопротивлении жидкости между электродами 6 кОм и менее.

Для изготовления трансформатора можно применить магнитопровод из двух ферритовых колец марки М2000НМ с наружным Ø-21 и внутрен-

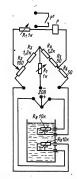
ним Ø 11 мм; провод — ПЭВ-1 0,1. Фотореле уровня. Действие его основано на измерении светового потока, падающего на фоточувствительный элемент (приемник), при изменении оптических свойств среды, находящейся в прозрачном сосуде между источником света и фоточувствительным элементом.

На рис. 8.42 привелена схема простого регулятора уровня, в котором используются фотодиод Д, или фоторезистор (ФСА-1) и миниатюрная лампа накаливания  $\Pi_1$ . Реле настраивают таким образом, чтобы при уровне, расположенном ниже пучка света, поступающего на фотодиод, реле  $P_1$  (типа РПН,  $R_{\text{odw}} = 5000$  Ом) было включено и контакты Р1 в цепи обмотки промежуточного реле  $P_2$  (типа МКУ-48,  $R_{obs}$  = = 1200 Ом, I<sub>граб</sub> = 14 мÅ) разомкнуты. При подъеме уровня выше пучка света освещенность фотодиода уменьшается, реле  $P_1$  выключается и контакты  $P_1^1$  включают реле  $P^2$ . Зажигается сигнальная лампа Л2, и включается сирена. Одновременно контакты Р2 разрывают цепь питания обмотки магнитного пускателя ПМ, управляющего работой насоса.

Тепловое реле уровия. Различие коэффициентов теплопроводности различных сред позволяет построить тепловые реле уровня.

Реле (рис. 8.43) представляет собой неуравновешенный мост, в два плеча которого включены термочувствительные элементы  $R_8$  и  $R_9$ . Каждый из них состоит из пяти последовательно включенных терморезисторов ММТ-4, КМТ-4 или КМТ-10 с сопротивлениями по 2 кОм (при  $t = 20^{\circ}$  С). Помещенные в жидкость, уровень которой регулируется, термочувствительные элементы нагреваются до температуры, несколько большей, чем температура жидкости. Когда резисторы R9 и R8 находятся в жидкости, мост сбалансирован и реле Р выключено. Как только уровень станет ниже термочувствительного элемента R<sub>8</sub>, его температура возрастает (сопротивление R<sub>8</sub> при этом уменьшается), мост разбаланси-. руется и реле Р сработает, включив сигнализацию и промежуточное реле привода насоса.

Сопротивление резистора R<sub>1</sub> подбирается в



зависимости от среды, уровень которой регулируется, и от типа выбранного реле (например, можно применить реле РЭС-15, имеющее  $R_{\rm obs}$  = =160 Om).

Реле уровня жидкостей с относительной диэлектрической проницаемостью є=2,0÷3,5 (масло, дизельное топливо, бензин, керосин, скипидар и т. п.) в резервуарах открытого или закрытого типа при давлении до 2 · 106 Па. Допустимая погрешность срабатывания — не более ±5 мм относительно оси датчика.

В основе работы реле — явление резкого увеличения емкости между трубками датчика в в<sub>2</sub>/в<sub>1</sub> раз при заполнении их жидкостью через продольную прорезь во внешней трубке (г2 и соответственно относительные диэлектрические проницаемости контролируемой жидкости и воздуха).

Датчиком уровня служит цилиндрический конденсатор (рис. 8.44), обкладками которого служат две коаксиально расположенные никелированные

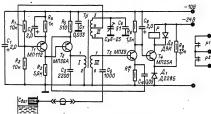


Рис. 8.44

трубки, изолированные гетинаксовой шайбой. Внешняя трубка датчика соединена с корпусом резервуара, а внутренняя— с электронным блоком при помощи коаксиального кабеля.

Плечи моста электронного реле уровня состоят за емкости датчика  $C_{art}$  соединенного последовательно с разделительным конденсатором  $C_b$  подстроечного конденсатор с вылоченного параллельно конденсатор  $C_b$ , и участоко 3-4 и 4-5 обмотик 1 трансформотор  $T_{P1}$ . Суммарная емкость "конденсаторов  $C_b$  и  $C_b$  выбирается средней между максимальной и минимальной емкостями датчика,  $\tau$ . е.  $C_{ast}$  mis<

Если уровень контролируемой жидкости ниже уровня установки датчика, то емкость между трубками минимальна:

$$\frac{C_{\rm astmin}C_{\rm 5}}{C_{\rm astmin}+C_{\rm 5}}\!<\!C_{\rm 6}\!+\!C_{\rm 9}.$$

В этом случае возникают обратная связь и, следовательно, генерация. Транзистор  $T_3$  открыт, на его коллекторе нулевое напряжение, а транзистор  $T_4$  закрыт, и ток в обмотке реле P отсутствуют.

отсутствует. Если уровень контролируемой среды достигает уровня установки датчиков, то емкость между

трубками  $C_{\text{зат max}} = \epsilon_2 C_{\text{sat min}}/\epsilon_1$ . Емкость последовательно соединенных  $C_{\text{sat max}}$  и  $C_3$  становится больше емкости параллельно включенных конденсаторов  $C_2$  и  $C_6$ ,  $\tau$ . е.

$$\frac{C_{\text{garmin}}C_5}{C_{\text{garmin}} + C_5} > C_6 + C_9$$

Возникает ООС, и происходит срыв генерации. Транямстор  $T_3$  закрывается, на его коллекторе образуется отринательное напряжение 10 В, транямстор  $T_4$  открывается. Ресе (типа РЭС-10,  $R_{\rm cos}=630$  ОМ,  $t_{\rm gato}=22$  мА) срабатывает, синализируя о превышении уровнем моминального значения.

Трансформатор Tp выполнен на ферритовом кольше М2000НМ  $14 \times 6 \times 6$ . Обмотка I содержит 50 витков, II-80+80 в III-25 витков провода ПЭЛШО 0,88. Диаметр внешней трубки цилиндрического конденсатора датчика уровня 26 мм, диаметр внутренней трубки III мм, диаметр

трубок 120 мм, толщина 1 мм. Емкость датчика в воздухе  $C_{\rm asr min} = 45$  пФ.

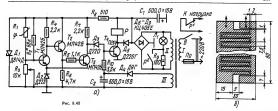
Регулятор влажности (рис. 8.45, а). Предназначен для поддержания влажности в помещении (складах, хранилищах и др.) в диапазонах 20—

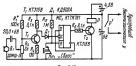
55 и 50-95% с точностью ±1,5%. Регулятор состоит из гигрометрического датчика-гигристора R<sub>1</sub>, триггера Шмитта на транзисторах  $T_1 - T_3$ , усилителя мощности на транзисторе  $T_4$  и блока питания. При влажности воздуха ниже установленной по шкале переменного резистора  $R_3$  транзистор  $T_1$  закрыт,  $T_3$ открыт и Т, закрыт положительным напряжением на конденсаторе  $C_2$ . Ток в реле P не проходит, и воздух увлажняется. С повышением влажности сопротивление гигристора R: уменьшается, триггер Шмитта переключается: транзистор  $T_1$  открывается, Т2 закрывается. Транзистор Т4 открывается, срабатывает реле Р, и его контакты выключают увлажнитель. Когда контакты реле  $P_2$ разомкнуты, лампа Л. светится слабо. С увеличением влажности, когда контакты P2 замыкают резистор  $R_9$ , лампа  $J_2$  светит ярко, сигнализируя о выключенном состоянии увлажнителя

В регуляторе реле P ( $P\Pi Y 2$  или  $P\Pi \Pi$  из намение срабатывания 24 В) трансформатор
имеет магнитопровод ШЛ12×16, обмогка Iсодержит 5300 витков провода ПЭВ-1 0.1, обмогка II - 480 витков провода ПЭВ-1 0,35,
а обмогка III - 145 витков провода ПЭВ-1
0,21. Сигнальная дамиа III - 145 витков провода ПЭВ-1

одат. Датчик влажности  $R_1$  можно изготовить из одностороннего фольгированного стеклопластика толщиной 1 мм по размерам, приведенным на рис. 8.45, б.

Акустическое реле (рис. 8.46). Реле может быть использовано для защиты механизмов от





механических повреждений. Реле срабатывает тогда, когда уровень шума механизма превышает установленное значение.

Устройство состоит из датчика В, усыпитель на трязыксторе Т, триггера на микроскеме МС, и усилителя мощности на трязыксторе Т, с реле Р, с реле Датчиком завляется микротемеронный капель, который в фузикре, удобном для закревления на намбольшего урован шумом. Наприжение датчика усиливается и поступлет на триггер на микроскеме МС. На выходет триггер на остижении напряжением датчика установленного В которое открымает трязыкстор Т, При этом путание межанами. Реле Р-тица РЭС-9 (паспорт РС4.524.200). Питание — три батареи, потреблежая мощность 1 МС.

#### 8.5. ЛИСКРЕТНЫЕ УСТРОЙСТВА АВТОМАТИКИ

Коловые замки. Основу кодовых замков составляют знектромеханические лиз леяториные контакты, управляющие электромагинтным исполнительным механизмом и выслоченные в едичую цень таким образом, что на закетромагинт подастем управляющее напряжение лишь при условия замыжании определенных контактов и заданной по-следовятельности. Включение задачной по-следовятельности. Включение сераещина, связанного с механическим замком, и замко ключавается.

Кодовый замок на заектромагнитных реде (рис. 8.47) имеет кодирующее устройство, рас-считанное на последовательный и строго определенный порядок нажатия кнопок. При этом число возможных комбинаций кодирования со-ставляет несколько тысяч. Пудьт управления имеет 11 кнопок, а кодирующее устройство— четыре реле  $(P_{\ell}-P_{\ell})$ .

Кодируется замок изменением включения вилки в гнезда  $I_{H,2} - I_{H,8}$ . Так, если в гнезда  $I_{H,2} = I_{H,8}$ . В ставить вилки кнопки 8, в гнезда  $I_{H,3} =$  вилки кнопки 6, в гнезда  $I_{H,3} =$  вилки кнопки 7, в гнезда  $I_{H,8} =$  вилки кнопки 4, то код замка будет 8674.

Замок подключается к источнику питания выключателем В. Реле Р. (реабатывает при одковременном нажатии кнопки «Завиок» и кнопки, остатествующей перей цифер кода (кнопки 8), и самоблюмируется контактами Р! и Р. Обе кнопреме Р. к. робатывания, котторое Приводеней при нажатии на кнопку 6. После нажатия кнопки ода 4 контакты реле Р! в кнопку от 10 кнопремент при нажатии кнопки. Эм. и замок открывается. При нажатии кнопки, соответствующей коду, сооботает реле Р, и его контакты Р! прервут ток в кодирующем реле, с. с. с. система веренств в искодиое положение. с. с. с. с. система веренств в искодиое положение. Собосъ.

Детали замка: трансформатор собран на сердечнике площадью сечения кериа 4,5—5 см $^2$ ; обмотка I-1080, витков (для сети 127 В) плюс 800 витков (для сети 220 В) провода ПЭЛ 0,51; обмотка I-220 витков провода ПЭЛ 0,51; реле  $P_1-P_3-$  типа РЭС-10 (паспорт PC4 550 431612).

Кодовый замок на транзисторах. Кодовый замок (рис. 8.48) выполнен на трех триггерах и

# Пульт управления

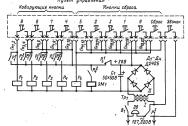
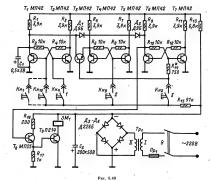


Рис. 8.47



двухкаскадном усилителе тока. Первый триггер образуют транзисторы  $T_1$  и  $T_2$ , второй — транзисторы  $T_4$  и  $T_5$ , третий — транзисторы  $T_6$  и  $T_7$ . В усилителе тока работают транзисторы  $T_s$  и  $T_o$ . Управление замком осуществляется десятью

кнопками  $K \mu_1 = K \mu_{10}$ . В исходном состоянии транзисторы  $T_1$ ,  $T_4$  и

Т<sub>6</sub> триггеров открыты и напряжение на коллек-

торах равно нулю. При включении питания исходное состояние достигается в результате заряда конденсатора  $C_1$  через резистор  $R_1$ , обеспечивающего насыщение транзисторов  $T_1$ ,  $T_4$ и  $T_6$ .

Замок открывается при правильной последовательности нажатия кнопок, подключенных к гнездам 1, 2, 3. В приведенной схеме код замка 492. При нажатии киоли;  $K_{N_1}$  на базу транзистора  $T_2$  подается потрицательное напряжение, которое открывает транзистор, а диод  $Z_1$  и транзистор ( $T_2$ ) закрываются. Второй трангире предвага в дружности  $T_2$  закрываются. Второй трангире предвага в дружности  $T_2$  на  $T_2$  киолис ( $K_{N_2}$ ), а врятем и третий тритер — посор  $T_2$  нажатия киолис  $T_2$  на  $T_2$  закроется, откроится транзисторы  $T_2$  на  $T_3$  на колочится зажения  $T_2$  на  $T_3$  на колочится зажения  $T_3$  на  $T_4$  на колочится заженующей  $T_2$  на  $T_3$  на  $T_4$  на колочится заженующей  $T_3$  на  $T_4$  
Для кодового замка можно использовать самодельный электромагнит, конструкция которого показана на рис. 8.49.

Электромагнит питается от выпрямителя напряжением 24 В, рассчитанного на ток 0,3— 0,5 А. Цифрами обозначены: 1— ограничительная гайка; 2— гильза каркаса (пластмасса);



Pec. 8.49

3— опорный вкладыш (дерево, пластмасса), пружины; 4— обмотка (2500 витков провода ПЭЛ 0,31); 5— пружина (сталь); 6— направляющий стержень сердечинка (сталь); 7— сердечинк; 8— тяга (проволока толщной 2 мм) для соединения с защелкой дверного замка.

Сердечник изготовляют из мягкой стали. Ход сердечника должен быть не менее 10 мм. Трансформатор можно использовать тот же, что и в предыдущем устройстве.

Кодовый замок с миостной памятью (рис. 8.50). Замок с сотоги из конденсаторов  $C_1-C_3$ , являющихся его памятью, транзистора  $C_1-C_3$ , являющихся его памятью, транзистора с кнопок  $K_{11}-K_{21}$ , аксероматилитого реле P, кнопок  $K_{11}-K_{21}$ , кодировочного узла, ссстоящего из штепсельных разгомом  $III_1-III_6$  и электроматилита  $\mathcal{M}_{11}$ , сердечини которого механически сизалам с задавижой, дверного замка.

Код замка — трехзвачный. Первая цифра кода соответствует номеру кнопки, подключенной к "гиездовой части штепссывого разъема Ш1, вторая — номеру кнопки, подключенной к гнездам разъема Ш2, третья — номеру кнопки, подключенной к гнезада изаъема Ш2, "Чтобы открыть замом, кнопки должны быть казакты ключенные к гнездам Ш2, — Ш3, выпытогы не кодовами, и в случае нажатия любой из имх замок не открыется.

На рис. 8.50 код замка 123. При нажатии кнопки  $K_{H_1}$  конденсатор  $C_1$  заряжается от на-

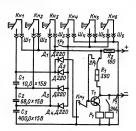


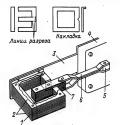
Рис. 8.50

пряжения, снимаемого с резистора R2 (до 85% его значения). При нажатии кнопки Кн. до такого же напряжения заряжается конденсатор  $C_2$ ; при нажатии кнопки  $K_{N_3}$  конденсатор С. заряжается до полного напряжения, имеющегося на резисторе Ro. Таким образом, суммарное напряжение на конденсаторах  $C_1 - C_3$  после набора правильного кода будет составлять 27% напряжения, снимаемого с резистора R2 и достаточного для срабатывания реле  $P_1$ . При правильном нажатии лишь двух кнопок кода напряжение на конденсаторах окажется недостаточным для срабатывания реле. В случае нажатия любой другой кнопки (Ки, - Ки, ) конденсаторы разрядятся через диоды  $\mathcal{I}_2 - \mathcal{I}_4$  и устройство примет исходное состояние.

После правильного выбора кода необходимо мажать киолоку Кег, При этом на базу транзистора 7, будет подавко напряжение отрицательной полярности, транзистор 7, откроется и сработает реле Р., Контакты реле Р. включат знектромагнит, контакты Р., повыстор В., и диоды я через контакты Р., резистор В., и диоды диоды в поряжения контакты Р., повыстор В., и диоды повы соединителя с далоском источника питья, транзистор закроется и устройство примет меходиее состояние.

В устройстве применено реле P типа PЭС-22 (паспорт РФ4.500.163). Замок питается от выпрямителя с выходным напряжением 24 В и током 1-1,5 А.

Электромагнит изготовляют из дроссеяя ставмявающего фильтра выпрямителя лампового приемника или телевизора. Сердечник разбирают и распилявыет по штриховым линиям согласно рис. 851. Среднюм хасть набора пластин используют как жоро. 7, а боковые ирия в набор заектромагнита. Части матингопровода скреднатоя выесте соложном согранических макладок 2.



PHC. 8.51

Чтобы якорь свободно перемещался внутри каркаса обмотки, в его наборе должно быть на 4—5 пластин меньше, чем в наборе магнитопровода.

Якорь электромагнита соединяют с ручкой защелки 5 дверного замка 4 тягой 6, сделаной из двух полос листовой стали толщиной 0,5— 1 мм. Магнитопровод закрепляют на стальной пластине 3, подложенной под замок.

Налаживание электронной части кодового замка сводится к правильному подбору резистора

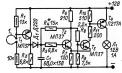


Рис. 8.52

R<sub>2</sub> паденне напряжения на котором должко обеспечить достаточный заряд конденсаторов. Эметронный стором (рис. 8:52) представляет собя триттер Шанита, вкои которого ссединея собя триттер Шанита, вкои которого ссединея быходиой касела (обра на транзисторе ППОТА и допускает том нагрузки до 1А (дампа Лг.). При образае ограждающего превода транзисторе ППОТА и допускает том нагрузки до 1А (дампа Лг.). Тритера (гранзисторы Тр. Т. В. и открыванно транзисторе доставляет правизустора Т. Т. В сторыванно транзистора (Транзисторы Тр. Т. В сторыванно транзистора Тр. Дампа Д. Загорается.

Спринтерский секундомер (рис. 8.53). Устройство состоит из двух фотодатчиков, один из которых  $(R_1)$  расположен на старте, а другой  $(R_{10})$  — на финише спринтерской дорожки; тритера на тринисторах  $(Z_1)$  и  $Z_3$ ; ключа  $(Z_4)$ ; индикатора H и двух осветителей, установленных наплогинь ботодатчиков.

В исходном состоянии открыт тринистор  $\mathcal{A}_3$ , устанавливаемый в это положение кратковременным нажатием переключателя  $\mathcal{B}$  (влево по

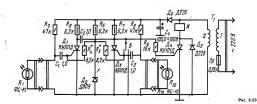
cvewe)

При пересечении спортсменом луча света, падющего на фоторемстор R, сопротивление резко возрастает и тринистор Д, откроется поломительным мигульсм, а тринистор Д, авхроется. Напряжение на тринистор Д, возрастег, а вместе с ним возрастает и ток в цепи управлившего заектрода тринистор Д. Этот тринистор доставать пределать по доставать постучаломер ПВ-537 или мупульстый счетчик СБ-1М/100) пойдет переменный ток сетевок парряжения, и он начиет отсчитывать время.

При пересечении луча, падающего на фоторезистор  $R_{10}$ , положительный импульс через конденсатор  $C_3$  откроет тринистор  $\mathcal{A}_3$  и возвратит устройство в исходное положение. Индикатор

остановится.

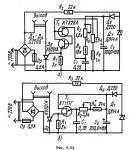
Для получения достаточной чувствительности срабатывания триггра чере зуправдяющие электроды его тринисторов пропускают начальный гок, определженый сопротивлениями *R*, и *R*, Этого тока недостаточно для открывания тридения образования с пределжения образования тридения образования образования образования замежения образования образования образования достатования образования образования достатования образования образования достатования образования достатования образования достатования образования достатования до



Вторичная обмотка трансформатора рассчитывается на 40—50 В при токе потребления до 200 мА.

Фотодатчики и осветители (лампа накаливания) размещаются в тубусах длиной 100 мм, расположенных друг против друга.

Переключатель гирлянд с мерцающим свечением (рис. 8.54, а). Устройство позволяет по-



лучить вспышки новогодней» гирлянды, изменяющиеся как по длительности, так и по яркости. Работа устройства основана на изменении сдвига фаз между началом полупернодов сеть вого напряжения и импульсами, поступающими на управляющий электрод тринистора от режасационного генератора (гранзистора Т<sub>1</sub>, Т<sub>2</sub>).

Частота следования импульсов устанавливается грубо подстроечным резистором  $R_5$  и плавно

переменным резистором В

Желаемый световой эффект достигается следующим образом. Слачава движок ревистается двужития образом. Слачава движок ревистается к резиментается с резиментает

При наличии одиопереходного транзистора подобие переключающее устройство можно собрать по схеме на рис. 8.54, 6. Налаживание устройства окасится к подбору резистора  $R_{\star}$  Для этого движок резистора  $R_{\star}$  устанавливают в средиее положение, а резистор  $R_{\star}$  заменяют двумя последовательно соединенными постоянными Б—10 МОМ и переменным ЗЗ—47 кОм. Переменным резистором находят серсину учаплавного ташиения лами, полсте чего измеряют его сопротивление и заменяют его постоянным резистором.

### 8.6. РАДИОУПРАВЛЯЕМЫЕ МОДЕЛИ

Принцип действия устройств для дистанциим обнови на приеме сигналов раднокоманды передатчика, их разделения и преобразования приемем сигналов раднокоманды передатчика, их разделения и преобразования приемной частью командиой раднокним (КРЛ) в сигнал, необходимый для управления какими-пибо элементок сигналом определенной частоты. На входе в премимой частоты. На входе премимой частоты. На толь и предагающие сигналы соответствующей частоты, которые затем преобразуются в инпульс, управлений работкой ресс. Контакты ресс замывают устройства. Цеть управления исполнительного устройства.

Подобное построение командной радиолинии не является единствеменным, но отличается простотой и широко применяется в радиоуправляемых моделях. Рассмотрим пример применения дистанционного управления моделью ракеты.

листанционного управления моделью ракеты. Когда модель ракеть достигает предельной высоты, раскрывается парашног, обеспечивающий ес-плавное синжение. Чтобы модель не снесло далеко в сторону, необходимо вовремя оборвать стропы парашнота. Для этого на модели устанавливается радиоприеминк, управляющий электромагнитным реле. При получении сигнала от передатчика реле срабатывает и включает нагреватель пережигающий стропы.

Для управления приемником можно использовать любой промышленный или самодельный передатчик на 28—28,2 МГц моцностью ие менее 200 мВт, имеющий частоту модуляции колебаний высокой частоты 2500—3500 Гц. Схема радиоприемника (рис. 8,55) вылочает УРЧ на травляюторе  $T_1$ , сверхрегенеративный детектор на трявляюторе  $T_2$ , 3/34 на травляюторе детектор на трявляюторе  $T_3$ , 3/34 на травляюторе детектор на трявляюторе  $T_3$ , 234 на травляюторе детектор на трявляюторе  $T_3$ , 234 на травляюторе детектор на трявляюторе а трявляютор на трявляютор на трявляютор н

 $(T_3)$  и электронное реле  $(T_5$  и  $T_7)$ .

Рабочая частота приемника определяется параметрами колебательного контура  $L_1C_2$ . После детектора сигнал проходит через  $L_1C_2$ . После детектора сигнал проходит через  $L_1C_2$ . После детектора сигнал проходит через  $L_1C_2$ . После детектора издета издета котором  $L_1C_2$ . После детектора издета издета которого должна бытравна частота колучнующего сигнала перезонансная частота колучнующего сигнала перезонансная застоти может и издета издета издета и изде

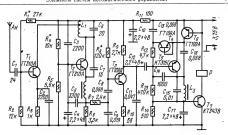


Рис. 8.55

реле Р. и включается питание нагревателей, пережитающих стропы парашюта. Катушка L содержит 15 витков провода ПЭЛ 0,3 с отводом от пятого витка, намоганных на каркаес Ф4.2 ми и диной 10,5 мм из фторопласта с сердечиком из карбонильного железа с резьбой М3.

Дроссель  $L_2$  намотан на кольце  $K3 \times 2,2 \times 1$  из

феррита марки 1000 НН и содержит 45 витков провода ПЭЛ 0,1. Катушка  $L_3$  намотана на четырех сложенных вместе кольцах  $K7 \times 4 \times 2$  из феррита марки 1000 НН и содержит 470 витков провода ПЭЛ 0,1.

Реле РЭС-15 (паспорт РС 4.591.002) — с ослабленной пружиной (для надежного срабатывания от напряжения ЗВ).



# ЭЛЕКТРОПИТАНИЕ РАДИОАППАРАТУРЫ

PASEA 9

#### СОЛЕРЖАНИЕ

9.1. 9.2.	Выпрямители и их основные параметры. Расчет выпрямителей. Расчет выпрямителей, работающих на еммостный и Г-образный фильтры <i>RC</i> (315). Расчет выпрями-	313 315
	Расчет выпрямителен, расотающих на емкостныя и 1-ооразныя фильтры КС (315). Расчет выпрями- телей, работающих на фильтр, начинающийся с инауктивности (317)	
9.3	Стаживающие фельтры	317
	Параметры фильтров (317). Расчет индуктивно-емкостных фильтров (317). Расчет резистивно-ем-	
	костных фильтров (318)	
9.4.	Расчет траноформаторов	318
9.5.	Стабилизаторы напряжения	320
	Классификация и основные параметры (320). Параметрические стабилизаторы постоянного импря-	
	жения (320). Компенсационные стабилизаторы на транзисторах и интегральных схемах (321)	
9.6.	Транзисторные преобразователи напряжения	324
	Схемы преобразователей (324). Расчет преобразователей (325)	

### 9.1. ВЫПРЯМИТЕЛИ И ИХ ОСНОВНЫЕ ПАРАМЕТРЫ

Выпрямители предиазначены для преобразования переменног отока в постоянный. В общем случае выпрямитель можно рассматривать со-стоящим из трех основных узлов (рис. 9.1) — трансформатора 1, вентильного комплекта 2 и стаживающего фильтра 3. Режим работы выпрямителя в значительной степеки определяется типом фильтра, включенного на его вкоде.

Для маломощных выпримителей, питаношихся от однофазной сети переменного тока, наибоме характерны режимы работы на емкостную и инжутенную партужне. Викостивую и дистивную партужне. Викостива и прузы типична фильтр пачинается с емкости для смоста размена и при дистивную паралельно нагружне для уменьшения переменной соглазяющей выпримитель об удет определяющей и пременной составляющей выприменного напражения. Режими изгрузы на выпримитель будет определяющей соглазяющей выпримитель будет определяющей соглазяющей мого меньше сопротиваения нагрузки. Если фильтр выпримитель зачинается с достаточно большой индуктивности, ячинается с достаточно большой индуктивности.

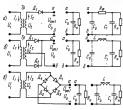


то принято считать, что нагрузка выпрямителя индуктивная.

Независимо от режима работы выпрямитель характеризуется выходными параметрами, параметрами, характеризующими режим вентиля, и параметрами трансформатора.

К выходным паражеграм выпрямителя отностаств; помивальное выпрямыеное напряжень  $U_{\sigma}$ ; коммнальное выпрямьенное напряжень  $U_{\sigma}$ ; коффинент пульсации выпрямьенный ток  $U_{\sigma}$ ; коффинент пульсации выпрямьенного напряжения  $K_{\sigma}$ ; частота основной гармонный пульсации выпрямьенного напряжения  $U_{\sigma}$  внутрениее сипряжения пряжение выпряжителя  $U_{\sigma}$  коффинент пульсации  $U_{\sigma}$  стотишеные амилутым первой гармонным выпряжения  $U_{\sigma}$  стотишеные амилутым первой гармонным ки выпряжению напряжения  $U_{\sigma}$  стотишеные амилутым первой гармонным выпряжению напряжения  $U_{\sigma}$  стотишень  Вентили в выпрямителях характеризуются следующими параметрами: средним выпрямленным током  $I_{s,n,c_0}$ ; действующим значением тока  $I_{s,i}$  амплитудой тока  $I_{s,i}$  амплитудой обратного напряжения  $U_{oc_0}$   $m_{oc_0}$ , средней мощностью рассемваемой за период  $P_{s,i}$ .

Для трансформаторов, работающих в выпрамителях, определяются следующие параметры: действующие значения напряжения  $U_1$  и тока  $I_1$  первичной обмотки; действующие значения напряжения  $U_2$  и тока  $I_2$  вторичной обмотки; подняя мощность вторичной обмотки  $P_1$ ; полная или гамощность первичной обмотки  $P_1$ ; полная или га-



Pur 0

баритная мощность трансформатора  $P_{\gamma\gamma}==(P_1+P_2)/2$ . Параметры вентилей и трансформатора зависят как от схемы выпрямления, так и от режима работы выпрямителя.

При питании аппаратуры от однофазной сети переменного тока находят применение выпрямители однополупериодные, двухлолупериодные с выводом средней точки, мостовые, с удвоением напряжения и с умножением напряжения и с умножением напряжения.

Одмоолидериодный выпражитель (ркг. 9.2.а) применяется в основию с емостным, Г- и Поразными фильтрами RC. Кенотровные вентили применяют в мети до 10—15 Вт. а с полупроводниковыми — до 2—3 Вт. Преимуще мальное число замементо, в выполнении с полупроводниковыми вентильтами — возможность работы без трансформатора. Недостатки — низкая частота пульсаций, отностеньно высокое обратное напряжение на вентиле, пакое использование трансформатора постоящим токое усреденима трансформатора постоящимы токое.

Пвухполупериодный выпрямитель с выбодом средней точки (рис. 9.2, б) работает в основном с е мисстным и Г- и П-образными фильтрами LC. С кенотронными вентилями применяется на выпрямленные напряжения 200—600 В и токи нагрузки 50—500 мА, с полупроводниковыми

вентилями — на выпрямленные напряжения до 100 В и токи нагрузки до 500 м.А. Основные преимущества — повышенная частота пульсации с поряжения применения пульсации с подользования вентилей с общим катодом или обцим анодом (для полутроводинковых — возможность применения общего радиатора без надащим вентилей). Недостатки — усложненая даши вентилей), недостатки — усложненая зование трансформатора по сравнению с выпрамителями по мостовой семеи и с удвоение на пряжения, повышенное обратное напряжение на вентиле.

Однофазный мостовой выпрямитель (рис. 9.2.в) обладает лучшими технико-экомомческими сысмостана, выправлям. Применяется в основном семкостным, Г- и П-образаным фынктрами LC. Выполаным фынктрами LC. Выполаным применений п

Недостатки — повышенное падение напряжения в вентильном комплекте, невозможность установки однотилных полупроводниковых вентилей на одном радиаторе без изолирующих проклалок.

Выпрямители с идвоением напряжения (схема Латура) (рис. 9.3, а) применяются в высоковольтных выпрямителях. Могут использоваться как полупроводниковые, так и кенотронные вентили. С полупроводниковыми вентилями выпрямители используются на напряжения 300-1000 В и ток нагрузки до 200 мА, с кенотронными вентилями — на напряжения более 1000 В и ток нагрузки до 100 мА. Выпрямители с удвоением напряжения обладают следующими преимуще-- ствами; повышенная частота пульсации, пониженное обратное напряжение, хорошее использование трансформатора, возможность работы без трансформатора. Недостатки — невозможность установки однотипных полупроводниковых вентилей на одном радиаторе без изоляции, возможность появления пульсации с частотой сети.

можность помывении пульсации с частогого сеги, Выпрямители с умножением напряжения (рис. 9.3, 6) применяются в высоковольтных выпрямителях при напряжениях свыше 1000 В и выходных мощностях до 5—10 Вт, например, для питания электронно-лучевых трубок.





#### 9.2. РАСЧЕТ ВЫПРЯМИТЕЛЕЙ

Расчет выпрямителей, работающих на емкостный и Г-образный фильтры RC

T аблица 9.2. Приближенные значения  $I_{a.n.ep}$  и  $U_{obp.ma.}$ 

Выпрямитель	I <sub>в.п.ср</sub>	UoSp max
Рис. 9.2, а	10	$3U_0(1+a_{max})$
Рис. 9.2, 6	I <sub>0</sub> /2	$3U_0(1+a_{\max})$
Рис. 9.2, в	I <sub>0</sub> /2	$1,5U_0(1+a_{max})$
Рис. 9.3, а	I <sub>0</sub>	$1,5U_{0}(1+a_{max})$
Рис. 9.3, 6	I	$3U_0(1+a_{max})/n$

В результате расчета выпрямителя должны быть определены параметры и тип вентилей и параметры трансформатора.

 Согласно рекомендации § 9.1 выбираем выпрямитель.

Если выбран выпрамитель с умножением напряжения (рис. 93. 6), то орментировочно выбираем чіксло каскадов умноження k. Злачення k-желательно выбирать таким, чтобы напряження на вторичной обмотке трансформатора  $U_1$  не превышало 2 - 3 КВ, при этом напряжение на конденсторах  $U_2 = U_2 - 2U_3$ , на сложно превыm = 2k. k. 3, Число конденсаторов и вентилей m = 2k. k. 3, Число конденсаторов и вентилей

2. Определяем сопротивление грансформатора  $\tau_{\gamma\gamma}$ , прямос сопротивление вентняя  $\tau_{\gamma\gamma}$  по по их значениям находим сопротивление фазы выпрамителя  $\tau_{\gamma}$  (габл. 9.1). В 7 добл. 9.1 В 7. — матнитивая индукция;  $j_{\gamma}$  А/ми $^2_{\gamma}$ — средняя плотность тока в обмотках трансформатора;  $\tau_{\gamma}$  — 2 $k_{\gamma}$  гас  $k_{\gamma}$  — число каскадов в схеме умножения. Принимем  $B = 1, 1 \pm 1, 3$   $T_{\gamma}$   $\approx (2 \pm 3, 5)$  А/ми

Для определения сопротивления вентиля в прямом направлении  $r_{xy}$  необходимо ориентировочно выбрать тип вентиля и из справочника (см. разд. 12) определить прямое падение напряжения  $U_{nn}$ .

Вентиль выбирается по среднему выпрямленному току  $I_{n,n,p}$  и амплитуде обратного напряжения  $U_{obp,max}$  (таба. 92.) Он должен быть выбран так, чтобы его максимально допустимое обратное напрямлене объло больше, чем имеющее место в выпрямителе. Ток  $I_{n,n,p}$  одлжен быть место в выпрямителе. Ток  $I_{n,n,p}$  одлжен быть

Таблица 9.1. К определению гто и га

Выпрямятель	Гтр	rφ
Рис.,9.2, а		$r_{\rm tp} + r_{\rm np}$
Рис. 9.2, 6	$(2+2,35) \frac{U_{0}j}{I_{0}I_{0}B} \sqrt[4]{\frac{I_{0}BJ}{1,6U_{0}I_{0}}}$	$r_{\rm tp} + r_{\rm np}$
Рис. 9.2, в	, 100 010	$r_{\rm Tp} + 2r_{\rm np}$
Рнс. 9.3, а	$(0.5 \div 0.6) \frac{U_{e\bar{l}}}{I_0 I_0 B} \sqrt[4]{\frac{I_c B J}{1.6 U_e I_0}}$	r <sub>1p</sub> +r <sub>2p</sub>
Рис. 9.3, 6	$(2 \div 2,35) \frac{U_0 f}{I_0 n^2 f_c B} \sqrt{\frac{f_c B t}{I_1 6 U_0 I_0}}$	$r_{Tp} + \frac{r_{np}}{2\pi}$

меньше максимально допустимого среднего тока вентиля, указанного в справочнике. Выбрав тип вентиля, находим значение  $U_{nn}$ 

и определяем сопротивление вентиля r<sub>пр</sub>=

 $=U_{19}/I_{3.n.cp}$ .  $=U_{19}/I_{3.n.cp}$ . =0 ра-Если выпрямители (см. рис. 9.2,  $\alpha-\theta$ ) работают на  $\Gamma$ -образный фильтр, то в сопротивление фазы  $r_{\phi}$  необходимо включить сопротивление фильтра  $R_{\phi}$ , принимаемое равным (0,1-0,25)  $R_{\pi}$ . 3. Определяем основной расуетный пара-

метр A: для рис. 9.2,  $a A = I_0 \pi r_0 / U_0$ ;

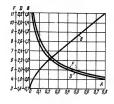
для рис. 9.2, 6, в  $A = I_0 \pi r_{\phi}/(2U_0)$ ;

для рис. 9.3,  $\alpha A = 2I_0\pi r_{\phi}/U_0$ ; для рис. 9.3,  $\delta A = I_0\pi r_{\phi}n^2/(2U_0)$ .

4. Определив A, из графиков на рис. 9.4 определяем параметры  $\vec{B}$ ,  $\vec{D}$ ,  $\vec{F}$ . Из выражений, приведенных в табл. 9.3, определяем  $U_2$ ,  $I_2$ ,  $I_1$ ,  $S_{\rm Tp}$ ,  $U_{\rm cop}$ ,  $I_{\rm s.n.cp}$ ,  $I_{\rm s}$ ,  $I_{\rm s.max}$ .

Лор, Гал. ср. Та. Латых.
Проверяем, проходят ли выбранные вентили

по значенням  $U_{odg}$ ,  $I_{s...cp}$ ,  $I_s$ ,  $I_{s...max}$ .  $I_s$  графиков на рис. 9.5 определяем параметр H. Для рис. 9.2, a и 9.3, a H определяем по кривой  $I_s$  для рис. 9.2,  $\delta_s \sigma$  по кривой  $I_s$  для рис. 9.2,  $\delta_s \sigma$  по кривой  $K_s$ . По задаяным коэффициенту илуьсации  $K_s$ 



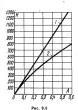
Pec. 9.4

									,
Тяп выпрявителя	U <sub>2</sub>	12	$I_1$	$P_{\tau p}$	Uo6p max	I <sub>B.B.cp</sub>	/0	I <sub>B.max</sub>	fn:
Однополупериодный	BU <sub>0</sub>	$DI_0$	$I_0\sqrt{D^2-1}(w_2/w_1)$	$0.5BD\sqrt{D^2-1}P_0$	$2.82BU_0(1 + a_{max})$	10	$DI_{\phi}$	FI <sub>0</sub>	fe.
Двухполупериодный со средней точкой	BU,	0,5 <i>DI</i> <sub>0</sub>	0,7DI <sub>0</sub> w <sub>1</sub> /w <sub>1</sub>	0,85BDP <sub>0</sub>	$2.82BU_{0}(1+a_{max})$	0,5/0	0,5DI <sub>0</sub>	0,5FI <sub>0</sub>	2/0
Мостовой	$BU_0$	0,7DI <sub>0</sub>	$0.7DI_0w_2/w_1$	0,7BDP <sub>0</sub>	1,41BU <sub>0</sub> (1+a <sub>max</sub> )	0,5/0	0,5 <i>DI</i> <sub>0</sub>	0,5FI <sub>0</sub>	2/c
С удвоеннем напряжения	0,5BU <sub>0</sub>	1,41 <i>DI</i> <sub>0</sub>	1,41 <i>Dl<sub>0</sub>w<sub>2</sub>/w</i> ;	0,7 <i>BDP</i> <sub>0</sub>	1,41BU <sub>0</sub> (1+a <sub>max</sub> )	10	$DI_0$	FI <sub>0</sub>	2jc
С умножением напряжения	1/n(BU <sub>0</sub> )	0,7 <i>DI</i> <sub>e</sub> n	$0.7DI_4\pi w_2/w_1$	0,7 <i>BDP</i> <sub>0</sub>	2,82BU <sub>0</sub> (1+a <sub>max</sub> )/n	. /0	DI <sub>0</sub>	FI	/t 2/t

<sup>\*</sup> На нечетных конденсаторах.
\*\* На четных конденсаторах.

Таблица 9.4. Параметры выпрямителей (см. рис. 9.2, 6, в) при работе на индуктивную нагрузку

Тип выпрямителя	U <sub>2</sub>	l <sub>2</sub>	$I_1$	Prp	Uo6p max	I <sub>в.п.ер</sub>	10.	Isomax	fn1	Kni
Двукираусерисциый со средней точкой	1,11 <i>U</i> 0x.x	0,710	I <sub>0</sub> w <sub>2</sub> /w <sub>1</sub>	1,34P <sub>0</sub>	3,14U <sub>0</sub> (1+a <sub>max</sub> )	0,5/0	0,707/		2fc	0,67
Мостовой	1,11 <i>U</i> <sub>0x.x</sub>	10	/ <sub>0</sub> w <sub>2</sub> /w <sub>1</sub>	1,11P <sub>0</sub>	$1,57U_{0}(1+a_{max})$	0,5/0	0, <b>7</b> 07/ <sub>6</sub>	10	2/c	0,67



При выборе конденсаторов в выпрямителе с удвоеннем напряжения (см. рис. 9.3, а) необходимо учесть, что коэффициент пульсации на каждой емкости приблизительно в 2 раза больше, чем результирующий.

В выпрямителе с умножением напряжения емкости конденсаторов (в мкФ) всех звеньев принимают одинаковыми:

$$C = \frac{I_0}{f_c U_0} 2(n+2) \cdot 10^6$$
.

Если на нагрузке необходимо получить меньший коэффициент пульсации, то необходимо на выход выпрямителя включить фильтры RC и

6. В результате расчета получаем исходные данные для расчета трансформатора выпрямителя:  $U_1,\ U_2,\ I_1,\ I_2,\ P_{rp}$ .

#### Расчет выпрямителей, работающих на фильтр, начинающийся с индуктивности

Исходиме данные для расчета:  $U_0$ , В.  $I_{so}$ ,  $I_s$ ,  $I_{tot}$ 

 ИЗ табл. 9.1 определяем сопротивление трансформатора.

Определяем , напряжение холостого хода
 Unix = Un + Infra + UniN.

где N — число вентилей, работающих одновременно;  $N\!=\!1$  для рис. 9.2, a,  $\delta$  и  $N\!=\!2$  для рис. 9.2,  $\theta$ .

4. По значениям  $U_{0x.x}$ ,  $I_0$ ,  $P_0$  из табл. 9.4 определяем исходные параметры для расчета трансформатора  $U_2$ ,  $I_2$ ,  $I_1$ ,  $P_{\text{TP}}$ .

### 9.3. СГЛАЖИВАЮЩИЕ ФИЛЬТРЫ

# Параметры фильтров

Для уменьшения переменной составляющей выпрямленного напряжения, т. е. для ослабления пульсации, между выпрямителем и нагрузкой включается сглаживающий фильтр.

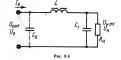
Основной параметр сглаживающих фильтровкоффициент стлаживающих фильтровко отношение коффициента пульсащим на входфильтра к коффициенту пульсащим на его 
викоде, т. е. на вагрузке  $q = K_{\rm hat}/K_{\rm hat}$  коффициенту 
пульсаций на входе фильтра  $K_{\rm hat}$  бильт 
вой гармоники и постоянная составляющая выпряжденного напряжения.

Кооффициент пульсаций на выходе фивьтре Ки, в. — И. и., П. Г. е. Г. и., Т. и. — амплитура первой гармоники и постоянная составляющая напряжения на нагрузке. Он задается требованиями Разковаппаратуры к питающему напряжению кооффициент пульсации на выходе выпрямителя и известен после выбора схемы выпряжителя и от пределения его параметров. Отношение этих кофициентов дает необходимый кооффициент стлаживания фильтра.

## Расчет индуктивно-емкостных фильтров

Наиболее широко используют Г-образный индуктивно-емкостный фильтр (рис. 9-6). Для сглаживания пульсаций таким фильтром необходимо, чтобы  $x_c \ll R_n$ , а  $x_L >> x_C$ . При выполнения этих условий, пренебрегая активным сопротивлением дросселя, коэффициент сглаживания Г-образмого фильтра.

$$q = K_{\text{п.в.х}}/K_{\text{п.вых}} \approx U_{\text{0m1}}/U_{\text{sm1}} = (6,28 fm)^2 LC_1 - 1;$$
  
для фильтра на рис. 9.2, 6, в  $m = 2$ .



Коэффициент сглаживания q определяется отношением известных пульсаций на входе и выходе фильтра. Необходимое произведение индуктивности и емкости для частоты сети f= =50 Fu

$$LC_1 = 10(q+1)/m^2$$
,

здесь L,  $\Gamma$ н; C, мк $\Phi$ .

Определив произведение  $LC_1$ , необходимо найти значения L и  $C_1$  в отдельности. Одним из основных условий выбора индуктивности дросселя L является обеспечение индуктивности реакции фильтра на выпрямитель, что необходимо для большей стабильности внешней характеристики выпрямителя. Кроме этого, при индуктивной реакции фильтра меньше действующие значения токов в вентилях и обмотках трансформатора, а также меньше габаритная мощность трансформатора. Для получения индуктивной реакции фильтра

необходимо, чтобы

$$L > \frac{2U_0}{6,28f(m^2-1) mI_0} = \frac{2R_B}{(m^2-1) m6,28f}$$

Выбрав индуктивность больше данного значения и зная произведение LC,, можно определить емкость конденсатора  $C_1$ .

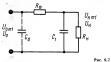
При расчете фильтра необходимо иметь такое соотношение реактивных сопротивлений дросселя и конденсатора, при которых не могли бы возникнуть резонансные явления на частоте пульсации выпрямленного напряжения и на частоте изменения тока нагрузки. Если нагрузка постоянна, то резонанса не возникает, если собственная фильтра  $f_0 \le mf/2$ , причем частота

 $=1/6,28\sqrt{LC_1}$ 

Это условие всегда выполняется при q > 3. Если ток нагрузки изменяется с частотой

 $f_{\rm H}$ , то условие отсутствия резонанса  $f_0 < f_{\rm H}/2$ , где f<sub>н</sub> — частота изменения тока нагрузки.

Зная L, можно рассчитать дроссель фильтра или выбрать стандартный. По найденному из расчета значению  $C_1$  можно выбрать конденсатор. При выборе конденсатора необходимо, чтобы мгновенное значение напряжения на нем не превышало его номинального напряжения. Для этого конденсатор следует выбрать на напряжение холостого хода выпрямителя при максимальном напряжении сети, увеличенное на 15-20%. Это обеспечит надежную работу конденсаторов при перенапряжениях, возникающих при включении выпрямителя. Необходимо также, чтобы амплитуда переменной составляю-



щей напряжения на емкости не превышала предельно допустимого значения для выбранного типа конденсатора.

П-образный фильтр LC (рис: 9.6) можно представить в виде двухзвенного, состоящего из емкостного фильтра с емкостью  $C_0$  и  $\Gamma$ -образного с L и  $C_1$ . При расчете П-образного фильтра емкость  $C_0$  и коэффициент пульсации напряжения на емкости  $C_0$  известны из расчета выпрямителя.

Коэффициент сглаживания Г-образного звена фильтра равен отношению коэффициентов пульсации напряжения на емкости  $C_0$  и сопротив-лении нагрузки  $R_{\rm H}$ . Зная коэффициент сглаживания Г-образного звена, можно определить произведение  $LC_1$ 

В П-образном фильтре наибольший коэффициент сглаживания достигается при равенстве емкостей  $C_0$  и  $C_1$ . Принимая  $C_1 = C_0$ , определяем индуктивность дросселя L.

#### Расчет резистивно-емкостных фильтров

В выпрямительных устройствах малой мощности иногда применяют фильтры RC (рис. 9.7). В фильтрах RC создается относительно большое падение напряжения и имеют место значительные потери энергии в резисторе R<sub>Ф</sub>. Габариты и стоимость фильтров RC меньше, чем фильтpos LC.

Выбор параметров Г-образного фильтра РС для f = 50 Гц можно сделать на основании формулы

$$R_{\Phi}R_{\pi}C_{1}/(R_{\pi}+R_{\Phi})=3200 \ q/m_{1}$$

где  $R_{\rm H}$  и  $R_{\rm \varphi}$ , Ом;  $C_{\rm I}$ , мк $\Phi$ . Сопротивление резистора  $R_{\phi}$  определяется с учетом КПД. Обычно КПД = 0,6 ÷ 0,8. При КПД = 0,8  $R_{\phi}$  = 0,25 $R_{\text{H}}$ . Емкость конденсатора  $C_1 = 16I_0q/(U_0m)$ , где  $I_0$  ток нагрузки, мА.

При  $R_{\phi} = 0,25 R_{\pi}$  напряжение на входе фильтpa  $U_0 = 1,25U_H$ .

## 9.4. PACHET TPAHC POPMATOPOB

Маломощные силовые трансформаторы обычно изготовляют на стандартных магнитопроводах, Для питания аппаратуры от сети с частотой 50 Гц применяют трансформаторы броневого и стержневого типов. Для частоты 50 Гц по технико-экономическим показателям предпочтительны трансформаторы стержневого типа. Броневая конструкция практически равноценна



Рис. 9.8

При расчете трансформатора (рис. 9.8) заданными величинами являются: напряжение литающей сети  $U_1$ . В; напряжения вторичных обмоток  $U_2$ ,  $U_3$ , ..., В; токи вторичных обмоток  $I_2$ ,  $I_3$ , ..., A; частота тока питающей сети  $f_c$ ,  $\Gamma$ LL. Трансформатор рассчитывается в следующем

 грансформатор рассчитывается в следующ порядке:
 Определяем ток первичной обмотки

$$I_1 = I_{1(2)} + I_{1(3)} + \dots + I_{1(n)}$$

Составляющие тока первичной обмотки, вызанные токами вторичных обмоток, нагруженных на выпрямители, определяются из выражений табл. 9.3, 9.4. Составляющие, вызаванные токами вторичных обмоток, при реаситавной нагрузке  $I_{1(n)} = I_n \times I_n \times I_n$ , где n— порядковый номео обмотки.

Определяем габаритную мощность трансформатора

$$P_{\tau p} = (U_1I_1 + U_2I_2 + U_3I_3 + ... + U_nI_n)/2\eta,$$
  
 $p = 0$ 

где η — КПД, который для маломощных трансформаторов составляет 0,75—0,95.

3. По габаритной мощности трансформатора выбираем магнитопровод. Стандартный магнитопроводможно выбрать также по произведению  $S_{cr}S_{oc}[\mathrm{Cm}^4]$ , гле  $S_{cr}$  и  $S_{oc}$  — площадь поперечного сечения магнитопровода и площадь окна  $\{S_{cr}=ba,S_{oc}=ch\}$ :

$$S_{cr}S_{ok} = P_{rp}10^2/(2,22f_cBjk_uk_c\eta)$$
.

Для бромевых и стерьмевых грансформаторов, выполненым на пластичатых магничатых магнича

Коэффициенты заполнения медью окна магнитопровода  $k_{\rm M}$  при  $f_{\rm c} = 50$   $\Gamma_{\rm H}$  имеют следующие значения:

P <sub>TP</sub> , B • A:	k <sub>w</sub>
15—50	0,22—0,28
50—150	0,28—0,34
150—300	0,34—0,36
300—1000	0.36—0.38

Коэффициенты заполнения сталью площади поперечного сечения стермыя магинтопровода  $k_c$  для толщины листа (денты) 0,35—0,5 мм со-ставляют 0,89—0,93 для пластинчатых магинтопроводов и 0,95—0,97 для левточных; для толщины листа 0,2—0,35 мм для пластанчатых магинтопроводов  $k_c$ =0,82+0,89, для ленточных—0,93 ÷ 0,95

КПД п определяем из рис. 9.9.

Определив  $S_{cr}S_{os}$ , выбираем стандартный магнитопровод, у которого данное произведение больше или равно расчетному. Выбрав магнитопровод, определяем его основ-

ные размеры. 4. Определяем число витков обмоток трансформатора:

$$w_1 = \frac{U_1 (1 - \Delta U_1 / 100) \cdot 10^4}{4.44 f_0 BS_{co}};$$

$$w_{2,3,...,n} = \frac{U_2(1 + \Delta U_2/100) \cdot 10^4}{4.44f_0 BS_{co}}$$

Падение напряжения определяем из рис. 9.10.

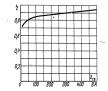


Рис. 9.9

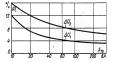


Рис. 9.10

Определяем диаметр проводов обмоток трансформатора (без учета толщины изоляции)

Выбираем марку провода и определяем диамет-

$$d_{1, 2, 3, \dots, n} = 1,13 \sqrt{\frac{I_{1, 2, 3, \dots, n}}{i}}$$

ры проводов обмоток трансформатора с учетом

толщины изоляции  $d_{183}$ ,  $d_{283}$ , ...,  $d_{883}$ . Обмотки маломощных низковольтных трансформаторов выполняют в основном из проводов с эмалевой изоляцией (ПЭ, ПЭВ-1, ПЭВ-2)

Определяем толщину обмоток трансформатора и проверяем, умещаются ли они в окне выбранного магнитопровода.

#### 9.5. СТАБИЛИЗАТОРЫ НАПРЯЖЕНИЯ

# Классификация и основные параметры

Стабилизаторами напряжения называют устройства, автоматически поддерживающие напряжение на нагрузке с заданной степенью точности. В зависимости от рода напряжения их подраз-

в зависимости от рода напряжения их подразделяют на стабилизаторы переменного и постоянного напряжений. Кроме того, они подразделяются на стабилизаторы параметрические и стабилизаторы компенсационные.

Основные параметры параметрических и компенсационных стабилизаторов постоянного напряжения, характеризующие качество стабилизации:

1. Коэффициент стабилизации по входному напряжению, определяемый как отношение относительных приращений напряжений иа входе и выходе стабилизатора, т. е.

$$K_{\rm cr} = \frac{\Delta U_{\rm BX}}{U_{\rm BX}} / \frac{\Delta U_{\rm BMX}}{U_{\rm BMX}} \, , \quad \label{eq:Kcr}$$

где  $\Delta U_{xx}$ ,  $\Delta U_{\text{вых}}$  — соответственно приращения входного и выходного напряжений стабилизатора при неизменном-токе нагрузки;  $U_{xx}$ ,  $U_{\text{вых}}$  — номинальные входное и выходное напряжения стабилизатора.

2. Внутреннее сопротивление стабилизатора  $r_i$ , равное отношению приращения выходного напряжения  $\Delta U_{\rm sux}$  к приращению тока нагрузки  $\Delta I_{\rm s}$  при неизменном входном напряжении, т. е.

$$r_i = -\Delta U_{\text{max}}/\Delta I_{\text{st}}$$

Зная внутреннее сопротивление стабилизатора, можно определить изменение, выходного напряжения при изменении тока нагрузки. В стабилизаторах напряжения внутрениее сопротивление может достигать тысячных долей ома.

3. Қоэффициент сглаживания пульсаций

$$q = \frac{U_{\text{BX } m1}}{U_{\text{BNY } m1}} \frac{U_{\text{BMX}}}{U_{\text{BY}}},$$

где  $U_{\text{вх.ml}}$ ,  $U_{\text{вм.ml}}$  — соответственно амплитуды пульсации входного и выходного напряжений стабилизатора.

#### Параметрические стабилизаторы постоянного напряжения

Для стабилизации напряжения постоянного тока используются нелинейные элементы, напряжение на которых мало зависит от тока, протеквощего черея виль. В качестет таких менинейных, эксментов чаще всего применяют газоразрядные и преминевые стабилитромы, а также стабисторы, стабилитроны могут бить включены последователью. Паралаельное включеные стабилитронов недопустимо, так как исбольшая размица в раболи к меражномерному распределенно токов, протена в пременяющей пременяющей пременяют поков, протена рис. 911, а представляем скема однокас-

па рис. 9.11, а представлена схема одножаскадного параметрического стабилаватора на креминевых стабилитронах. При увеличении даприжении на вкоде стабилизатора ток через стабилитрон Д, резко возрастает, что приводит к увеличению падения напряжения на гасящем резисторе R<sub>1</sub>. Приращение напряжения на гасящем резисторе примерно равно приращению

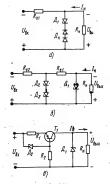


Рис. 9.11

напряжения на входе стабилизатора, так что напряжение на выходе стабилизатора при этом изменяется незначительно. Для термокомпенсации включены диоды Д.

Если необходимо получить большую точность стабилизации, применяют двухкаскадный параметрический стабилизатор (рис. 911, б). Его коэффициент стабилизации равен произведению коэффициента стабилизации первого и второго каскалов.

На рис. 9.11, а приведена схема параметрического стабильнатора, в котором вмест ответомеского стабильнатора в котором вмест ответонивающей в применение объявляющей объявают отков. Стабильнатор тока вмест больше объявляющей объявающей 
Расчет параметрических стабилизаторов. Иссолиме данные поминальное выходие напряжение U<sub>mi</sub>. В; максимальный и минимальный токи нагрузки I<sub>min</sub>. I<sub>min</sub>. А: кооффициент стабилизации I<sub>min</sub>. В<sub>min</sub>. А: кооффициент стабилизации I<sub>min</sub>. В поминальное городического поциальное поминальное поминальное поминальное поминальное поминальное пония напражения сети в сторону повышения и понижения О<sub>min</sub>. О<sub>min</sub>.

Расчет однокаскадного стабилизатора (рис. 9.11, a):

1. Зная  $U_{\rm sus}$ , по напряжению стабилизации выбираем тип стабилитрона  $\mathcal{H}_1$  (или тип и число последовательно включенных стабилитронов) и определяем дифференциальное сопротивление  $r_{\rm crit}$  пределеные токи стабилитрона  $I_{\rm crit}$   $I_{\rm crit}$   $I_{\rm crit}$   $I_{\rm crit}$  напряжение стабилизации  $U_{\rm cr}$  (при последовательном включении нескольких стабилитронов

$$U_{\text{cr}} = \sum_{i=1}^{n} U_{\text{cr},n}^{i}; r_{\text{cr}} = \sum_{i=1}^{n} r_{\text{cr},n}^{i}, где n$$
 — число стаби-

литронов)

2. Уточняем выходное напряжение стабилизатора

$$U_{\text{nus}} = U_{\text{cr.}}$$

 Задаемся коэффициентом пульсации на входе стабилизатора

$$K_{\text{n.sx}} = U_{\text{sx m1}}/U_{\text{sx}} = a_{\sim} = 0.02 \div 0.05.$$

4. Определяем максимальный коэффициент стабилизации

$$K_{
m cr\,max} = rac{U_{
m aux}(1-lpha_{
m min}-lpha_{\sim})}{(I_{
m u\,max}+I_{
m cr\,min})\,r_{
m cr}} \ .$$
 Убеждаемся, что заданное значение  $K_{
m cr}<$ 

К<sub>сттаз.</sub> Если К<sub>ст</sub> > К<sub>сттаз.</sub> необходимо примечено теабинизаторы по схемам на рис. 9.11, б, а. 5. Опредсавем номинальное, минимальное и максимальное входное напряжения стабылизажова:

$$U_{\text{ax}} = \frac{U_{\text{BMX}}}{(1 - a_{\text{min}} - a_{\sim})} / (1 - K_{\text{cr}} / K_{\text{cr max}}),$$
11 3ak. 663

 $U_{\text{ax min}} = U_{\text{ax}}(1 - a_{\text{min}}); \quad U_{\text{ex max}} = U_{\text{ax}}(1 + a_{\text{max}}).$ 

6. Определяем сопротивление резистора

$$R_{\rm r1} \le [U_{\rm BX}(1-a_{\rm min}-a_{\sim})-U_{\rm BMX}]/(I_{\rm HMBX}+I_{\rm CY\,min}).$$

Определяем мощность, рассеиваемую в резисторе  $R_{\rm cl}$ .

$$P_{Rrt} = (U_{sx max} - U_{sux})^2 / R_{rt}.$$

Выбираем резистор с ближайшим меньшим номиналом на соответствующую мощность.

 Для стабилизаторов, выполненных на газоразрядных стабилитронах, для надежного зажигания необходимо проверить выполнение условия

$$R_{\rm rl} \! \leqslant \! \frac{U_{\rm max}}{I_{\rm m \, max}} \left[ \, \frac{U_{\rm 01}}{U_{\rm mos}} \left( 1 - \alpha_{\rm min} \right) - 1 \, \right] \text{,} \label{eq:rl}$$

где  $U_{803}$  — напряжение разряда газоразрядного стабилитрона.

8. Определяем максимальный ток стабилитрона

$$I_{\text{cr max}} = \left[ (U_{\text{ax max}} - U_{\text{max}}) / R_{\text{ct}} \right] - I_{\text{n min}}.$$

Значение  $I_{\rm cr\ max}$  должно быть меньше предельного значения тока, указанного в справочнике для данного типа стабилитрона.

 Коэффициент стабилизации, внутреннее сопротивление стабилизатора

$$K_{c\tau} = R_{c1}U_{aux}/(r_{c\tau}U_{ax}); r_i = r_{c\tau}.$$

Коэффициент сглаживания пульсации q = K<sub>cr</sub>; амплитуда пульсации выходного напряжения

$$U_{\text{aux mt}} = a_{\sim} U_{\text{max}}/q$$
.

11. Коэффициент полезного действия

$$\eta = \frac{U_{\rm BMX}\,I_{\rm H\,max}}{U_{\rm BX}\big(U_{\rm BX}-U_{\rm BMX}\big)/\,R_{\rm rl}}. \label{eq:eta_bmx}$$

 Определяем максимальный ток, потребляемый от выпрямителя,

$$I_0 = (U_{\text{ux max}} - U_{\text{sux}})/R_{\text{rl}}.$$

13. Исходные данные для расчета выпрямителя:  $U_1$ ,  $f_c$ ,  $a_{max}$ ,  $a_{min}$ ,  $I_0$ ,  $K_{nax} = a_{\infty} = K_{ni}$ .

# Компенсационные стабилизаторы на транзисторах и интегральных схемах.

На рис. 9.12 приведена схема одного из манболер распростравенных гразмасторных стабилизаторов напражения. Стабилизатор остоит из ресулирующего экчента: (прависторы Тг.), претулирующего экчента: (прависторы Тг.), источника опорного напражения (Д. К.), делителя напражения К. р. — К. резисторов К., К., необходимых для обеспечения режима по току транисторов Тра Тг.), в накодилого конденсатора до правительной претультаторы претультаторы ка выкодного напражения; для этого в делитель выхочен переменный режитого R.

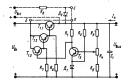


Рис. 9.12

Регулирующий элемент состоит из трех тряничеством. Число трянямсторов, входящих в регулирующий элемент, зависит от токо нагрузительно. Число трянямсторов, входящих в регулирующий элемент  $I_1 << (0.02 \pm 0.03)$  в в регулирующий элемент заколит один трянямстор  $I_1$ , при  $(0.02 \pm 0.03)$  граничесторы.  $I_2$ , гри  $(0.5 \pm 0.03)$  граничесторы.  $I_3$  граничесторы.  $I_4$  граничесторы.  $I_5$  граничесторы.  $I_5$  граничесторы.  $I_5$  граничесторы.  $I_5$  граничесторы.  $I_5$  граничесторы.  $I_5$  граничесторы.

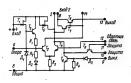
рованистора: Тр. 17 что. быть выполнен на транзисторах запада в доже (сраминевых) выи транзисторах запада в доже (сраминевых) выи транзистора (креминевых). При выполнении на транзистора и-ден полариости напряжений на входе и вырожа наменяются на противоположные. При этом необожным переключить стабанитроны Д, и Д<sub>2</sub>, чтобы напряжение на их аноде было отрицательно относительно катода.

Усилитель постоянного тока в стабилизаторе может питаться от дополнительного источника (параметрического стабилизатора Д., R., или непосредственно от входного напряжения. В первом случае точка а соединена с точкой с (показано пунктиюм), а во втопом — с точкой б

(см. рис. 9.12, показано штрих-пунктиром).
При питании усилителя от дополнительного источника коэффициент стабилизации выше, чем

при питании от входного напряжения.

Расчет транзисторного стабылыватора (см. рис. 9.12). Исходные данные: воминальное выходное напряжение  $U_{\min}$ , В; пределы ретулирования выходного напряжения в сторону увеличения и уменьшения  $\Delta U_{\max(1)}$ , В $\Delta U_{\max(2)}$ , В; ток



Pac. 9.13

нагрузки  $I_{\text{в max}}$ , A; относительные отклонения напряжения сети в сторону повышения и понижения  $a_{\text{max}}$ ,  $a_{\text{min}}$ .

1. Из табл. 9.5 определяем входное напряжение (минимальное, номинальное и максимальное), ток, потребляемый стабильзатором от источника питания  $I_{\rm sx}$  — $I_{\rm o}$ , и коэффициент пульсации  $K_{\rm sxx}$ . Зная их значения, можно рассчитать выпрямитель и фильто теабильзаторы.

 В зависимости от тока нагрузки определяем число транзисторов, входящих в регулирующий элемент.

3. По табл. 9.6 определяем параметры и выбираем типы транзисторов по  $I_{\rm Kmax}$ ,  $U_{\rm KS max}$  и  $P_{\rm K}$ . Транзистор  $T_{\rm L1}$  обычно устанавливается на теплоотводе.

4. Выбираем типы стабилитронов  $\mathcal{L}_1$ ,  $\mathcal{L}_2$  по напряжению  $U_{\rm cr}$  (см. табл. 9.6) и определяем их параметры.

5. Определяем сопротивления резисторов  $R_1$  —  $R_8$  (табл. 9.7) и мощности, рассенваемые в них  $P_R = U_R^2/R = I_R^2R$ .

а нах грасо д леж раз права стабилизаторов напражения в интегральном исполнения серии К142EH. Но средунируемым выходимы изприжением, с филполнением, с филполярными вкодимы и выходимы напражениями, на рис. 91.3 приведена ссемы интегральных стабилизаторов серии К142EH.2 (АБ). Стабильоматоры выполнены на крысталье разменои 1,7×1,7 мм. Стабильаторы данной серии имеют постаточно высокий комфенциент стабилизации.

Таблица 9.5. Входные напряжения и ток

U <sub>ex min</sub>	U <sub>sx</sub>	U <sub>ex max</sub>	$K_{\text{n.ex}} = U_{\text{exm}1}/U_{\text{ex}}$	$I_{\text{ex}} = I_0$
$U_{\text{awx}} + \Delta U_{\text{awx}(+)} + (4 \div 5)$	U <sub>ax min</sub> (1 — a <sub>min</sub> )	$U_{ax}(1+a_{max})$	0,05-0,1	(1,1-1,2)/ <sub>x mex</sub>
U <sub>ex1 min</sub>	Unx1	Usxlmax	,K <sub>n.ax1</sub>	I <sub>ax1</sub> =I <sub>o1</sub>
2 <i>U</i> <sub>32</sub>	2U <sub>32</sub> 1-a <sub>min</sub>	U <sub>8x1</sub> (1 + a <sub>max</sub> )	0,020,05	$\frac{U_{\rm Bx1mex}-U_{\rm A2}}{R_8}$

Таблица 9.6. Параметры транзисторов и стабилитронов

_					(	таби	лизс
	Д, (КС139А, КС191М Д818)		Ual	$\frac{U_{\text{ext max}} - U_{\text{ax}}}{R_{\text{a}}} = -(3+5)X$	×10-3		
	71, (120) 71, (1402, 17402, 17403, 173, (M120, M121, M139, M130, 17116,		$U_{\rm SMX} {\sim} \Delta U_{\rm SMX}(-) {=} (2 {\div} 3)  B$	$5 \cdot 10^{-3} + \frac{U_{\text{bax}} + \Delta U_{\text{bax}(+1)}}{R_2} \frac{U_{\text{sximsx}} - U_{\text{AS}}}{R_8} - (3+5)X$			
	Паряметр		Ucr	Icrmax		18 X	
	9, MI140, LT115, LT116, MI113, LT311, LT312,	Т2 · .	Ac-01 · (3-E)	$U_{\text{BMX}} + \Delta U_{\text{BMX}}(+) - U_{\text{A}1}$		<i>U</i> қэтах <sup>1</sup> кэтах	
	T <sub>1.3</sub> (MT20, MT21, MT3 FT308, FT311, MT111, KT342)	T <sub>1.3</sub>	/K12max A21312min				
	71.2 (ГТ402, ГТ403, ГТ105, П605, 41608, П213—216, КТ601,	KT602, KT605)	Kilmax R21311min		٠	,	
	71,1 (П210, П213, П214, П216, П218,	KT802A, KT803A, KT902A)	ктах (1,1—1,2) × ×/мтах	Uexmax— —Usus— —AUnux ()			
	аметр		Kmax	Tem.		ď,	

Таблица 9.7. Сопротивление резисторов R<sub>1</sub>—R<sub>8</sub>

eg W		0 ns 10 -2
œ'		Unax.
P <sub>s</sub>		Voer
ž,	) - 10-3	$\frac{\Sigma R_{\text{det}} N_{2}}{(+)_{XMN} U_{MN}(+)}$
Re	$\Sigma R_{BEA} = (R_3 + R_4 + R_5) = \frac{U_{BBX}}{(5 + 10) \cdot 10 - 3}$	$\left(\frac{\ln U}{(-) \ln u \ln U \Delta_{-1 \times u d} U} - 1\right) \log 2 \Delta$
K <sub>2</sub>	ΣR <sub>Res</sub> = (R <sub>3</sub> +.	$\Sigma R - R_4 - R_5$
R2	. [ग्रेंग	$\frac{(3-2)\cdot 10-2}{(7-1)^{1/2}}$
or.	U <sub>A2</sub> *	(1.5.±.3)×O×**

Точка а соединена с точкой с (пожазано пунктиром на рис. 9.12). Точка а соединена с точкой б (показано штрих пунктиром на рис. 9.12). (1<sub>650</sub> — определяется из справочинка для 7<sub>[11</sub>, 7<sub>1,3</sub>).

٠:

Схема включения стабилизаторов К142ЕН1,2 приведена на рис. 9.14. Для нормальной работы подключается внешний делитель  $R_1 - R_3$ , дели-

подключается внешням делятель  $\kappa_1 - \kappa_3$ , делитель ценя защиты  $R_5$ ,  $R_6$ , датчик тока  $R_4$  и конденсаторы  $C_1$ ,  $C_2$ . Резистор  $R_3$  обычно выбирается сопротивлением 1,2 КОВ;  $R_1 = (U_{\text{BMX}} - \Delta U_{\text{BMX}}(-) - 2,4)/2$ ;  $R_2 = (\Delta U_{\text{BMX}}(+) + \Delta U_{\text{BMX}}(-))/2(R_1$  и  $R_2$ , КОМ).

При расчете сопротивлений резисторов  $R_1 - R_3$  необходимо, чтобы значение  $U_{\text{вых}}$ 

находилось в пределах, указанных в табл. 9.8. Сопротивление резистора  $R_5$  принимаем равным 2 кОм;  $R_6 = (U_{\text{вых}} + 0.7)/0.3$  кОм. При определении сопротивления R<sub>4</sub> необходимо

задаться пороговым током, при котором начи-

Таблица 9.8. Параметры интегральных стабилизаторов

Tan	UBMX. B	7 <sub>8</sub> A	UK9 min. B	Р <sub>тах</sub> , Вт
K142EH15	+ (3-12)	0,15	4/2,5*	0,8
K142EH2B	+ (9-30)	0.15	4/2.5*	0,8

\* При питании усилителя от дополнительного источника

нает срабатывать защита  $I_{\text{H.mop}}$ , т. е.  $R_4 \approx 0.7/I_{\text{W.mop}}$ 

C помощью конденсаторов  $C_1$ ,  $C_2$  обеспечивается устойчивая работа стабилизатора. При  $U_{\rm BMX} < 5$  В  $C_2 > 0.1$  мк $\Phi$ ,  $C_1 > 5 - 10$  мк $\Phi$ . При  $U_{\rm BMX} > 5$  В  $C_2 > 100$  п $\Phi$ ,  $C_1 > 1$  мк $\Phi$ .

Входные напряжения определяются по формулам:  $U_{\rm St}$  min  $> U_{\rm Stat} + \Delta U_{\rm Stat} + 1_{\rm Stat}, R_4 + U_{\rm Stat}$  ( $U_{\rm St} = U_{\rm Stat} + 2U_{\rm Stat} + U_{\rm Stat}$ ),  $U_{\rm Stat} = U_{\rm Stat} + U_{\rm Stat}$  значенне  $U_{\rm K3min}$  берется из табл. 9.7. Максимальное входное напряжение не должно превышать 40 В.

Для увеличёния выходного тока подключается внешний мощный транзистор (рис. 9.15). Сопротивления резисторов  $R_1-R_2$  и емкость конденсатора  $C_2$  выбираются так же, как и для яскем на рис. 9.14. Емкость конденеватора  $C_1$  необходимо при этом увеличить:  $C_1 > 10 \div 5$  м к $\Phi$ .

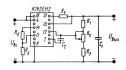
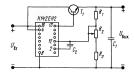


Рис. 9.14 Рис. 9.15



Использование дополнительного транзистора типа KT802A, KT803A или KT908 позволяет получить выходные токи  $I_s > 1$  A <sup>f</sup>6e3 ухудшения основных параметров.

### 9.6. ТРАНЗИСТОРНЫЕ ПРЕОБРАЗОВАТЕЛИ НАПРЯЖЕНИЯ

## Схемы преобразователей

Для патания аппаратуры от источников постоянного тожа с изклям напряжением декмуляторные батарем) используются травзисторные преобразователи. Преобразователи котоного напряжения широко применяются как вятоного напряжения широко применяются как вятопомике источниках электропитания с бестрансформаторным входом.

Транзисторные преобразователи напряжения подразделяются по способу возбуждения на два типа: с самовозбуждением и с усилением мощности. Преобразователи с самовозбужлением выполняют на небольшие мощности (до нескольких десятков ватт) по однотактной и двухтактной схемам. Наиболее широкое применение получили двухтактные преобразователи напряжения. На рис. 9.16 приведена схема наиболее распространенного двухтактного преобразователя. Преобразователь состоит из трансформатора Тр, и двух транзисторов  $I_1$ ,  $I_2$ , включенных по схеме ОЭ. Трансформатор выполнен на магнитопроводе из материала с прямоугольной петлей гистерезиса (например, 50НП, 79НМ, 34НКМП), Входными зажимами преобразователь включен в сеть источника постоянного тока с напряжением  $U_n$ . Напряжение, снимаемое с резистора R<sub>0</sub> делителя напряжения, создает на базах тра́нзисторов отрицательное (относительно эмиттеров) смещение, что обеспечивает надежный запуск преобра-

зователя.
В результате действия ПОС транзисторы поочередно подключают источник питания к первичным обмоткам трансформатора w/1 и w/г. Во вторичной обмотке трансформатора наводится ЭДС

прямоугольной формы.
При преобразовании больших мощностей наибольшее распространение получили преобразо-

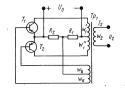
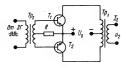


Рис. 9.16



ватели с использованием усилителя мошности, управляемого от задающего генератора. В качестве задающего генератора можно использовать преобразователь с самовозбуждением. Применение таких преобразователей целесообразно, когда необходимо обеспечить постоянство частоты и напряжения на выходе, а также неизменность формы кривой переменного напряжения при изменении нагрузки преобразователя. Схема двухтактного усилителя мощности приведена на рис. 9.17.

Транзисторы усилителя мощности  $T_1$ ,  $T_2$ работают поочередно. В течение первого полупериода под действием управляющего напряжения один из транзисторов, например  $T_1$ , открыт и находится в насыщении, а транзистор Т<sub>2</sub> закрыт и находится в режиме отсечки. Во второй полупериод транзисторы переключаются. Напряжение питания  $U_0$  поочередно прикладывается к верхней и нижней половинам первичной обмотки трансформатора, при этом в его вторичной обмотке наводится ЭДС прямоугольной формы.

#### Расчет преобразователей

Исходные данные: напряжение питания  $U_0$ , В; выходное напряжение преобразователя  $U_2$ , B; максимальный ток вторичной обмотки  $I_2$ , A; частота генерации преобразователя f,  $\Gamma$ ц. Необходимо знать также вид нагрузки (резистивная, мостовой выпрямитель, выпрямитель со средней точкой, выпрямители с удвоением). 1. Определяем ток открытого транзистора

$$I_{K \text{ Hac}} = I_{2\text{max}}U_2/(\eta U_0)$$
.

Принимаем  $\eta = 0.72 \div 0.9$ . Амплитуда тока вторичной обмотки  $I_{2\max} = I_2$ , если преобразователь работает на резистивную нагрузку, на

> 9.7. ХИМИЧЕСКИЕ источники тока

Для питания переносной радиоаппаратуры применяют гальванические элементы и аккумуляторы емкостью до 10 А · ч. Гальванические элементы -- это источники одноразового действия, аккумуляторы — источники многократного действия. Наиболее распространены гальванические элементы марганцево-цинковой, марганцево-возлушный, возлушно-цинковой и ртутномостовой выпрямитель или цепь удвоения. Если нагрузкой является двухполупериодный выпрямитель со средней точкой, то  $I_{2\text{max}} = I_2\sqrt{2}$  .

2. Максимальное напряжение на закрытом транзисторе  $U_{\text{K9 max}} \approx 2.4U_0$ 

3. По максимальному току Ік тах и максимальному напряжению  $U_{K \ni_{max}}$  выбираем тип тран-

зисторов  $T_1$ ,  $T_2$ : для рис.  $9.16~I_{\rm K\,max} = (2 \div 3)\,I_{\rm K\,mac}$ ; для рис.  $9.17~I_{\rm K\,max} = (1.3 \div 1.5)\,I_{\rm K\,na}$  Ток базы транзистора I<sub>Б нас</sub> = (1,3 ÷ 1,5) ×  $imes I_{K\, mac}/h_{219\, min}$ , где  $h_{219\, min}$  — минимальный коэффициент передачи тока  $T_1,\ T_2$  в схеме ОЭ. 5. Напряжение базовых обмоток

 $= (2.5 \div 3.5)$  B.

 Сопротивления резисторов R<sub>1</sub>, R<sub>2</sub>R<sub>6</sub>:  $R_1 = U_0 R_2 / (0.5 \div 1);$ 

$$R_1 = 0_0 R_2 / (0.5 \pm 17),$$
 $R_2 = [U_B - (0.5 \pm 0.7)] / I_{B \text{ HaC}};$ 
 $R_B = (1.4 \pm 2) / I_{B \text{ HAC}}.$ 

7. Рассчитываем параметры трансформатора. Магнитопровод трансформатора у преобразователя с самовозбуждением изготовляется из материала с прямоугольной петлей гистерезиса (50НП, 34НКМП, 79НМ). У преобразователя с усилителем мощности сердечник трансформатора изготовляется из сталей с высокой магнитной проницаемостью (ЭЗОб, ЭЗОВ), Магнитопровод трансформатора выбирается по произведению S<sub>ст</sub>S<sub>ок</sub> (см. § 9.4):

$$S_{c\tau}S_{o\kappa} = P_{\tau p} \cdot 10^2 / \left(2fBjk_w k_c \eta\right),$$

где  $P_{\tau p} = 1,3U_2I_2$  (нагрузка преобразователя мостовой выпрямитель или резистивная нагрузка):  $P_{10} = 2,1U_2I_2$  (нагрузка — двухполупериодный выпрямитель со средней точкой); для сплава 50НП  $B_s = 1.5$  Т, для 79НМ  $B_s = 0.85$  Т, для сплава 34 НКМП  $B_r = 1.5$  Т.

В преобразователях с самовозбуждением  $B = B_s$ , а в преобразователях с усилителем мощности  $B = (0.7 \div 0.8) B_s$ . Значения  $j, k_N$ ,  $k_r$  определяют так же, как в § 9.4;  $n = 0.8 \div 0.95$ .

Числа витков вторичной, первичной и базовой обмоток преобразователя:

$$w_1 = U_0 10^4 / (4fBS_{cr}k_c); w_2 = (U_2/U_0) w_1; w_B = (U_B/U_0) w_1.$$

Определяем токи в обмотках трансформатора:  $I_1 = I_{K \text{ mac}} \sqrt{2}$ ;  $I_B = I_{B \text{ mac}} \sqrt{2}$ .

Диаметры проводов обмоток определяем из выражений, приведенных в § 9.4.

цинковой систем с солевым и щелочным электролитами. Из аккумуляторов наиболее часто употребляют никель-кадмиевые и реже - серебряно-цинковые. Предпочтительны аккумуляторы герметичной конструкции и герметичные ртутно-

цинковые элементы. Параметры гальванических элементов, батарей

и аккумуляторов приведены в табл. 9.9-9.12.

Таблица 9.9. Сухие марганцево-цинковые элементы с солевым электролитом (ГОСТ 12333-74)

			Режим неп	рерывного р	взряда	Режим прер	ывистого	разряда					
THU	Начальное напряжение, В	Гарантийный срок храмения, мес.	Продолжительность работы при 20 и 60° С, ис менее, ч	Сопротивление внешней цепя, Ом	Комечное напряжение, В	Продолжительность работы при 20-25° С, не менее, ч	Сопротивление внешней цепи, Ом	Конечное напряжение, В	Периодичность проведения циклов разряда	Дизметр, им	Высота, им	· Macca, Kr	Объем, см³
286	1,48	3	16	200	1	48	300	0,9	12 ч в день	10.5	44,5	10	3.85
314 316 332	1,52 1,52 1,4	6 9 6	30 48 4,8	200 200 20	. 1 0,85	60 100 1,33	300 300 5	0,9 0,9 0,75	ежедневно Тоже 5 мин в день 5 дней в	14,5 14,5 21,5	38 50,5 37,3	15 20 30	6,27 8,33 13,5
336	1,4	6	7	20	0,85	2,83	. 5	0,75	неделю 10 мин в день 5 дней в не-	21,5	60	45	21,77
343 373	1,55 1,55	18 18	9 28	20 20	0,85 0,85	3,33 11,5	5 5	0,75 0,75	делю Тоже 30 мин в	26,2 34,2	50 61,5	50 115	27 56,5
374 376 425 465	1,55 1,55 1,48 1,50	18 18 15 18	35 45,5 100 340	20 20 20 20 20	0,85 0,85 0,85 0,85	18,6 — —	5 5 —	0,75 0,75 —	5 дней в не- делю • То же —	34,2 34,2 40 51	75 91 100 125	130 165 235 502	68,9 83,5 125,6 255,2

Примечание. Элементы 425 и 465 работоспособны при  $T_{\rm oxp}$  от -20 до  $+60^{\circ}$  C, остальные элементы — при  $T_{\rm oxp}$  от -40 до  $+60^{\circ}$  C.

Таблица 9.10. Сухие марганцево-цинковые и воздушно-цинковые элементы и батареи со щелочным электролитом

	T	Гарантий- ный срок	· Режим р	азряда					
Тип	Напря- же- нне*, В	хранения,	Продолжитель- ность работы, ч	Средний разряд- ный ток. мА	Диаметр, мм	Высота, ми	Macca, r	06ъем, см <sup>3</sup>	
				Элемент		,			
A-314 A-316 A-332 A-336 A-343 A-373	-/0,9 -/0,9 -/0,9 -/0,75 -/0,75 -/0,75	-	25 45 6 12,5 15 45	40 50 150 200 200 300 <i>Barapes</i>	14 14 20 20 26 34	38 50 37 58 49 61,5	15 25 30 45 65 115	5,8 7,7 11,6 18 26 56	
«Крона-ВЦ» «Рубий-1» «Рубий-2» «Свет» «Синичка» «Фяниш» КБС рамочис конструкции	9/5,6 4,1 4 - 9 9 9	9. 9 9 - -	60 140 20 12,5 70 10 <sup>6</sup>	10 40 270 270 45 10 300	26×16×49 62×21×63 62×21×63 72×24×126 26×21×62 63×22×65		150 150 175 250 60 200	20,4 82 82 82 82 223 34	

Числитель — начальное, знаменатель — конечное напряжения.

Таблица 9.11. Сухие ртутно-цинковые элементы (ГОСТ 12537-67)

			Режим непрерывного разряда <sup>1</sup>					_	1	
Тип	Началь-	Гаран- тийный					Высота, им			
	пряже- нне, В	срок хражния, иес.	Продолжитель- ность работы, ч		Емкость при Токр — = 20°C, A • ч		Datora, an	Macca,	Ooben, CM	
PH53 PH55 PH63 PH65 PH73 PH75 PH82T° PH83 PH83X° PH84° PH85 PH85 PH85 PH85	1,25 1,22 1,25 1,25 1,25 1,25 1,25 1,25	12 30 18 30 18 30 18 18 18 12 30 30 18 12	. 24 50 27 53 32 55  35  55 55	120 120 60 60 40 40 	0,25 0,55 0,55 1 1 1,5 1,5 1,5 2,5 2,5 2,5 2,5	15,6 15,6 21 21 25,5 25,5 30,1 30,1 30,1 30,1 30,1 30,1	6,3 12,5 7,4 13 8,4 13,5 9,4 9,4 9,4 14 14 14	4,6 9,5 10,5 18,1 17,2 27 30 28,2 28,2 45 39,5 39,5 170	1,2 2,4 2,6 4,5 4,3 6,9 6,7 6,7 6,7 9,9 9,9 9,9 4,5	

Таблица 9.12. Герметичные никель-кадмиевые аккумуляторы

	Номи- нальное напряже- ние, В	Hown-	Максимальные размеры, мм					
Тип		номи- нальная ем- кость, А • ч	Длина	Ширина (днаметр)	Высота	Масса, г	Объем, си <sup>з</sup>	Примечание
Д-0,03 Д-0,06 Д-0,01 Д-0,125 Д-0,125 Д-0,25 КНГ-0,35Д Д-0,5 КНГ-1,7Д КНГ-1,1Д КНГЦ-3Д КНГ-1,0Д КНГ-1,0Д КНГ-1,0Д	1,25 1,25 1,25 8,75 1,25 1,25 1,25 1,25 1,25 1,25 1,25 1,2	0,03 0,06 0,1 0,1 0,125 0,25 0,35 0,5 0,7 1 1 3 3,5 10	15 25 35 	11,5 15,7 20,1 24,1 20 27,2 10 34 12 14 20 34 78 29,5 33,3	5 6,6 7,1 62,2 6,6 10,3, 41 9,5 41 41 60 61,5 175 161,5	2 4 16 60 7 14 21 30 40 61 55 174 2500 580 440	0,5 1,3 2,3 28,6 2,1 6,1 8,6 12,3 20 18,7 56 1350 216	. Дисковый « « « « « « прямоутольный дисковый прямоутольный « циливарически « прямоутольны « прямоутольны « «

Примечания: 1. Аккумуляторы работоспособны при  $T_{\rm oxp}$  от -30 до  $+50^{\circ}{\rm C}$ . Срок службы 400-600 циклов.

 $<sup>^{1}</sup>$  В том режиме комичное выправляет в 18.  $^{2}$  В режиме интеррываного разрада вър сопротвядения выешией цепи 25 Ом и  $T_{cop}$  -20  $-70^{\circ}$  С работает в течение 35 ч и пру  $T_{cop}$   $-0^{\circ}$  С - в течение 12 ч, - 10 -



# ИЗМЕРИТЕЛЬНЫЕ ПРИБОРЫ И РАДИОЛЮБИТЕЛЬСКИЕ ИЗМЕРЕНИЯ

PASAEA 10

#### СОДЕРЖАНИЕ

10.1.	Общие вопросы измерений	32
	Метрологическая терминология (328), Объекты измерений (329), Параметры измеряемых сигналов (329).	
	Единицы измеряемых физических величии (330). Погрешности измерений и измерительных приборов (331)	
	Классы точности приборов (332). Погрешности косвенных измерений (333). Классификация измерительных	
	приборов (333). Условные обозначения на приборах (334)	

Общие сведении (335). Электромеканические вольтметры и амперметры (335). Стредочные электронные вольтметры (337). Цифровые вольтметры (339). Завысимость показывий вольтметры (337). Цифровые вольтметры (339). Завысимость показывий вольтметров и эмперметров от формы измеряемого сингажа (340). Радиолобительськие конструкции (341).

Мамерение сопротивлений, съкостей и издуживаюстей
Методы изверения сопротивлений (341). Радиолобительские конструкции измерятелей сопротивлений
(343). Методы измерения емкостей и индуктивностей (343)

 Комбинированные электроралиовые приборы 345 Электромеханические ампераситовыеству (345). Радиотестеры (345). Измеритель RLC «Спутник радиолюбитель» (447)

Измерение параметров полупроводниковых приборов
Проерка дводов (348). Измерение параметров
проерка дводов (348). Измерение параметров билозорных тракзисторов (348). Измерение параметров
посвых тракзисторов (350). Проверка тересторов (350).
 Измерение частоты и кламы водны от предоставления по предоставления предоставления предоставления предоставления по предоставления предоставлени

измерение частоты и длины волны методы измерение частоты и длины волны (351). Частотомеры промышленного изготовления (354).
 Гетеродивные индикаторы резонанса (354).

10.7. Измерительные генераторы Генераторы звуковых частот (355). Генераторы радиочастот (357). Генераторы полос для настройки телевалора (358)

#### 10.1. ОБШИЕ ВОПРОСЫ ИЗМЕРЕНИЙ

### Метрологическая терминология

Правильное выполнение измерений и изучение технической литературы, посященной измерениям и измерительным приборам, возможны анши при запани основных термнов и определений метродотии, параметров радиотехнических сигналов и систем единиц измерения физическок величин, установленных ГОСТ. Намерение — накомдение замечения физической Намерение — накомдение замечения физической

величины опытным путем с помощью специальных технических средств. Прямое измерение — измерение, при котором

Прямое измерение — измерение, при котором искомое значение величины находят непосредственно из опытных данных.

Косвенное измерение — измерение, при котором искомое значение величины находят на основнии известной зависимости между этой величиной и величинами, подвергаемыми прямым измерениям. Средство измерений — техническое средство, используемое при измерении и имеющее нормированные метрологические свойства. Средствами измерений являются меры, измерительные приборы, измерительные преобразователи, измерительные каналы, измерительные устройства, измерительные системы.

Измерительный прибор — средство измерений, предназначенное для выработки сигнала измерительной информации (т. е. сигнала, содержащего количественную информацию об измеряемой физической величине) в форме, доступной для непосредственного восприятия наблюдателем.

Эталон единицы — это средство измерений (или комплекс средств измерений), обеспечивающее воспроизведение и (или) хранение единицы физической величины с целью передачи ее размера образирамы и рабочим средствам измерений.

Образцовое средство измерений — мера, измерительный прибор или измерительный преобразователь, служащие для поверки по ним других средств измерений и утвержденные в качестве образцовых.

ооразцовых. Результат измерения — значение величины, найденное ее измерением. Результат находят по показаниям средств измерений, использованных при измерении.

Показание средства измерения — это значение измеряемой величины, определяемое по отсчетному устройству средства измерений и выраженное в принятых единицах этой величны.

Отсчетом называется число, отсчитанное по отсчетному устройству средства измерений либо полученное счетом последовательных отметок или сигналов.

Для нахождения показания  $A_n$  отсчет N неименованной шкалы иужно умножить на цену деления шкалы  $k : A_n = Nk$ . Множитель k величина размерная. Например, B/деление,  $\Gamma_{u}$ /деление и т. д.

#### Объекты измерений

Объектами закстрорадноизмерений являются запичения фазимесках величии, параметры компенентов устройств, режимов целей, параметры монментов устройств, режимов целей, параметры из и устройствах. При постановке задачи на измерение изуме комкретпо указывать, какой параметр, характеристику или значение сигиала следует измерать.

Правильные измерения возможны лишь пры занани некоторых предварительных з парпоровых сведений об объекте измерений. Например, измерение параметров синусопального напряжения требует определенных вольтметров: амплатуду напряжения лучше измерить вольтметром типа В4-2, а средневыпрямленное значение напряжения— вольтметром ТВ-28.

Предварительные сведения о сигныле, параметр которого подлежит замерению, можно получить из анализа работы устройства, вырааблывающего этот сигная лим использующего его. Уточнение этих сведений часто возможно после предварительных исследований объекта измерений с помощью осциллографа или другого прибора.

#### Параметры измеряемых сигналов

Термины и определения, относящиеся к параметрам сигналов, даны в ГОСТ 16465—70.

Мановенное значение сигнала x(t) — это значение сигнала в заданный момент времени (рис. 10.1).

Михсимльное значение сигнала  $X_{max}$ — наибодьшее мичовенное значение сигнала на протяжении заданного интервала времени. Для пернодических сигналов термин «максимальное значение сигнала» часто заменяют термином «амплитула» (X.)

Минимальное значение сигнала X<sub>пол</sub> — наименьшее миновенное значение сигнала на протяжении заданного интервала времени.

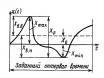


Рис. 10.1

Постоянная составляющая сигнала  $X_0$  — среднее значение сигнала:

$$X_0 = \lim_{T_{y\to\infty}} \frac{1}{T_y} \int_0^{T_y} x(t) dt.$$

Для периодического сигнала с периодом Т постоянная составляющая сигнала

$$X_0 = \frac{1}{T} \int_0^T x(t) dt.$$

Сведневыпрямленных вначение сигнала X<sub>с.в.</sub> среднее значение модуля (абсолютной величины) . сигнала. Для сигналов периодических средневыпрямленное значение

$$X_{c,s} = \frac{1}{T} \int_{1}^{T} |x(t)| dt.$$

Для сигналов однополярных  $X_0 = X_{c,a}$ . Среднеквадратическое значение сигнала  $X_{c,a}$  — корень квадратный из среднего значения квадрата сигнала.

Для периодического сигнала

$$X_{c,x} = \sqrt{\frac{1}{T} \int_{1}^{T} x^2(t) dt}$$

или, если известны постоянная составляющая  $X_0$  и амплитуды гармоник  $X_{mi}$ ,

$$X_{c.s} = \sqrt{X_0^2 + \frac{1}{2} \sum_{i=1}^{s} X_{mi}^{\frac{1}{2}}}$$

Переменная составляющая сигнала — разность между сигналом и его постоянной составляющей:

$$x_{\sim}(t) = x(t) - X_0.$$

Пиковое отклонение «вверх» X<sub>в.в.</sub> — наибольшее мгновенное значение переменной составляющей сигнала на протяжении заданного интервала времени.

Пиковое отклонение «вниз» X<sub>в.в.</sub> — наименьшее мгновенное значение переменной составляющей сигнала на протяжении заданного интервала времени, взятое по модулю.

Размах сигнала X<sub>p</sub> — разность между максимальным и минимальным значениями сигнала на протяжении заданного интервала времени:  $X_{\rm p} = X_{\rm max} - X_{\rm min} = X_{\rm s.s.} + X_{\rm s.u.}.$ 

Если конкретный сигнал является напряжением или током, то в приведенных терминах и формулах символы x и X пужно заменить на соответствующие символы напряжения (u, U) лип тока (I, I) Например, митовенное замечение апряжения обозначается символами u(I), максимальное значение  $I_{\rm max}$  и I тока I (I), максимальное значение  $I_{\rm max}$  и I тока I ток

Для периодических сигналов связь между их амминтулой  $K_s$ , усраневларізтческих мізчением  $K_s$ , и средневлірямленным значением  $K_s$  устанавиваєтся через коффициент амминтулы  $k_s = X_{ss}/K_{cs}$ , и коффициент формы  $k_t = X_{ss}/K_{cs}$ , их коффициент  $k_t = \sqrt{2} = 1,41$  сигналов эти коффициенты  $k_t = \sqrt{2} = 1,41$  сигналов за значений сигналов по выполня и в при сигналов значений сигналов по выполня и в при сигналов по значений сигналов по выполня сигналов по выстанов по выполня сигналов по выст

 $U_{\rm c,x} = U_m/k_a = U_m/\sqrt{2} \approx U_m 0.71 = 71$  В и  $U_{\rm c,a} = -U_m/(k_a k_{\Phi}) = U_m/(\sqrt{2} \cdot 1.11) \approx U_m 0.71 \cdot 0.9 \approx 64$  В.

#### Единицы измеряемых физических величин

В странах-членах СЭВ введен в действие стандарт СЭВ СТ СЭВ 1052—78 «Единицы физических величин». В соответствии с этим стандартом подлежат обязательному применению единицы Международной системы едини (сокращенное изи» енование системы СИ), а также десятунуные долгины стандартом станда

Основные й дополнительные слиницы СИ приведены в табл. 101. Некоторые из производных единиц СИ, имеющих специальные наименования, даны в табл. 102. Наравие с единицами СИ стандарт СЭВ допускает применение некоторых величин и их единиц, не входящих в систему СИ (табл. 10.3).

Таблица 10.1. Основные и дополнительные единицы СИ

Елинины		D	Наименование	Обозна	чение
СДИНИЦЫ	Величина	Размерность	паименование	международное	русское
Основные	Длина Масса Время Сила злектриче- скобо тока Термодинамиче- ская температура Количество ве- щества Сила света	L M I B N J	Метр Килограмм Секунда Амг-; Кс. тин Моль Кандела	m kg s A K mol ed	, м кг с А К моль ка
ополнительные	Плоский угол Телесный угол	=	Радиан Стерадиан	rad sr	рад ср

Таблица 10.2. Производные единицы СИ, имеющие специальные наименования

		1	Обозначение		
Величина	Размерность	Наименование	междуна- родное	русское	
Частота Слав, все режинистое и парръжение, модуль упругости.  Мартири, дойго, комичество теплоти  Мошность, погох эмергая  Мошность дойго  Мошность дойго  Мошность   T-1 LMT-2 L-1MT-2 L-1MT-2 L-1MT-2 L-1MT-3 T1 L-1MT-31-1 L-1MT-31-2 L-2M-1T-31-2 L-2M-1T-31-2 L-2M-1T-31-1 MT-21-1 MT-21-1 L-1MT-21-1 L-1MT-21-1 L-1MT-21-2 L-1MT-21-2 L-1MT-21-2 L-1MT-21-2	Гери Ньютон Паскаль Джоуль Ватт Кулоя Вольт Фарад Ом Сименс Вебер Тесла Генря Люмен	Hz N Pa J W C V F G S Wb T H Im Ix	Fig. H. II.s. A. B. B. G. G. M. B. G. G. B. G. T. R. A. F. R. A. M. A. K.		

		Обозн	Обозначение			
Величина	Наименование	международное	русское	Соотношение с еди- ницей СИ		
Масса Время	Тонна Минута Час Сутки	t min h	T MHH	10 <sup>3</sup> xr 60 c 3600 c		
Плоский угол Энергия Поливя мощность Реактивная мощность	Гутки Град Электрон-вольт Вольт-ампер Вар	g (gon) eV V · A var	cyr · rpan · B B · A · Bap	86 400 с (π/200) рад ≈ 1,60219 · 10—19 Дж		

Таблица 10.3. Внесистемные единицы, допустимые к применению

Таблица 10.4. Множители и приставки для образования десятичных кратных и дольных единиц и их наименований

		Обозначени	е приставки	
Миожитель	Приставка	международ- ное	русское	
10 <sup>14</sup> 10 <sup>15</sup> 10 <sup>15</sup> 10 <sup>17</sup> 110 110 <sup>1</sup> 10 <sup>17</sup> 10 <sup>1</sup> 10 <sup>1</sup> 10 <sup>1</sup> 10-1 10-2 10-3 10-6 10-9 10-12 10-15 10-18	экса пета тера гита мета кило гекто дека деци свити милли микро пико фемто атто	EPT GM k h da d c m # n p f a	Э П Т К К Т да д с м м н п ф а	

Досятиные кратиме и дольные саминцы образуются от свеини, пряведенных в табл. 10.1— 10.3, с помощью множителей и приставок, примеденных в табл. 10.4 образичение приставок пишут слатию с навименованием сдиницы, к которо она присодиняется. Например, миллиамиер— м.А., жиловольт — кВ, метатери — МП и и т. п. с долю приставок приставок при с долю приставок пред при с долю приставок на сложением с долиным более одного приставок не долужением с долиным более одного приставок не долужением с долиным с долю приставок не долужением с долиным с долю приставок не долужением с долиным с долю приставок не долужением с долиным с долужением с долуже

Для образования дольных единиц массы вместо основной единицы «килограмм» используется дольная единица «грамм» (0,001 кг). Например, миллиграмм [мг], а не микрокилограмм [мккг].

Обозначения единиц, наименованных в честь ученых, пишутся прописной буквой независимо от наличия приставок. Например, МОм (мегаом), ГГц (гигагерц), мкГн (микрогенри) и т. д.

В печатыки изданиях допускается применение либо международных, либо русскях обозначение саниви измерений и приставок. Одновременное же применение и тех, и других не допускается. Для указания звачений величин на шкалах и щитках изделий используются лишь международные обозначения единац и пристаюм.

# Погрешности измерений и измерительных приборов

Отклонение результата измерения от истинного значения измеряемой величины является погрешностью измерения.

Абсолютная погрешность измерения  $\Delta A$  — погрешность, выраженная в единицах измеряемой величины:

$$\Delta A = A - A_0$$

где A — результат измерения;  $A_0$  — истинное значение измеряемой величины.

ние измеряемой величины. Относительная погрешность измерения

$$\delta A = \Delta A/A_0 \approx \Delta A/A$$
.

Погрешности измерений зависят от погрешностей средств измерений.

• Абсолютная погрешность измерительного при-

 $A_n$  — это разность между показанием прибора  $A_n$  и истинным значением измеряемой величины:

$$\Delta A_n = A_n - A_0$$

Относительная погрешность измерительного прибора

$$\delta A_{\pi} = \Delta A_{\pi}/A_{0} \approx \Delta A_{\pi}/A_{\pi}$$

Призеденная погрешность измерительного прибо-

$$\gamma = \Delta A_{\pi}/L$$

где L— кормирующее значение, равное конечному значению шкалы для прифоро в с одисторонней кулевой или безкулевой равномерной или степенной шкала. (в держической суме конечных значений шкалы (без учета их знака) для прифоро с равномерной или степенной шкало и (кулевая отмета котором и масодится внутри шкалы) или всей длине диапазона измерения для приборов с логарифмической или гиперболической шкало

Относительную и приведенную погрешности часто выражают в процентах. С этой целью в формулы вводят множитель «100%».

Истинное значение величины — точное (без погрешности) значение величины.

или

Действительное значение величины — значение величины, найденное экспериментальным путем и настолько приближающееся к истинному значению, что для данной цели может быть исполь-

зовано вместо него. Шкала — часть отсчетного устройства, представляющая собой совокупность отметок и проставленных у некоторых из них чисел отсчета или других символов, соответствующих ряду после-

довательных значений величины.
Начальное значение шкалы — наименьшее значение измеряемой величины, указанное на шкале.

Конечное значение шкалы — наибольшее значение измеряемой величины, указанное на шкале.

Нулевая отметка шкалы — отметка шкалы. соответствующая нулевому значению измеряемой величины.

Длина диапазона измерений — расстояние между отметками начального и конечного значений диапазона измерений, отсчитанное по дуго шкалы или отрезку прямой, проходящих через середины самых коротоких отметок.

середины самых коротина отметом. Диапазон измерений (рабочая часть шкалы) область значений измеряемой величины, для которой нормированы допускаемые погрешности

приора. Односторонняя шкала — шкала с нулевой отметкой, расположенной в начале или конце шкалы. Нулевая отметка может на односторонною шкалу не наноситься (безнулевая шкала).

Погарифмическая или гиперболическая шкала — шкала с суж ающимися делениями, характеризуемыми тем, что отметка, соответствующая полусумме начального и конечного значений диапазона измерений, расположена между 65 и 100% диапазона измерений.

 того даназова измерении.
 Степенийя шкала — шкала с расширяющимися (или сужающимися) делениями, не попадающая под определение логарифмической или гиперболической шкалы.

Деление шкалы — интервал между двумя соседними отметками шкалы.

## Классы точности приборов

Классы точности измерительных приборов определяются пределами допустимых основных и дополнительных потрешностей, которые задаются в виде абсолютных, относительных и приведенных погрешностей приборов или в виде определенного числа делений шкалы.

Абсолютная погрешность прибора может выражаться одини ванчением  $A_n = \pm a$  или в виде суммы двух членов:  $\Delta A_n = \pm (aA_n + bA_n)$  или  $\Delta A_n = \pm (aA_n + bA_n)$  или  $\Delta A_n = \pm (aA_n + bA_n)$  или коэффициенты;  $A_n =$  показание прибора;  $A_n =$  монечию значение шкалы прибора;  $A_n =$  порешность, выражения в абсолютных значениях измеряемой величины.

Абсолютная погрешность цифрового измерительного прибора может быть задана в виде  $\Delta A_n = \pm (a\% \text{ or } A_n + m)$ , где m - m огрешность дискретности, не зависящая от измеряемой величины.

Относительные погрешности приборов могут выражаться: в виде одночлена

$$\delta A_{\rm s} = \pm (d/A_{\rm s})100\% = \pm k\%,$$
 (10.1)  
в виде суммы двух членов

 $\delta A_n = \pm [a\% + (d/A_n)100\%]$ 

$$\delta A_n = \pm [a\% + b\% (A_n/A_n - 1)].$$
 (10.2)

Приведенная погрешность прибора

$$\gamma_{np} = (\Delta A_n/L)100\%$$
. (10.3)

Предел допустымой погрешность с наибольшая (без учета знака) погрешность средства измерений, при которой оно может быть призимаю подравым и долущено к применению. Основная по-грешность средства измерений — погрешность средства измерений — погрешность измерений — погрешность измерений — погрешность измерений — погрешность измерений — погрешность измерений — погрешность и при применений при примамымы с промамымы с промамымы с промамымы с примамымы  с пределений при примамымым с пределений при примамымым с пределений при примамымым с пределений при примамым с пределений пределений пределений пределений пределений примамым с пределений пределений пред

Классы точностей приборов условно обозначаются числами из ряда

где n — целые положительные и отрицательные числа, в зависимости от пределов их допустимых основных относительной или приведенной погрешностей.

Если предел допустимой основной погрешности задан формулой (10.3) и нормирующее значение  $L=A_s$ , условно класс точности обозначается числом без подчеркиваний уголком или помеще-

няя в кружок. Например, 1.0. Если предел допустимой основной погрешности прибора задан формулой (10.3) и нормирующее значение L равно длине диапазона измерения, условно класс точности прибора обозна-

чается числом над уголком. Например, мет Если предел допустимой соновной потрешност задан формулой (10.1), то класс точности прибора босваначают унслом, помещевным в кружок, Например, Шпри задании предела основном потрешности ирибора формулой (10.2) услочности косую черту (например, 00.1)/00.2), г.е числатия черев косую черту (например, 00.1)/00.2), г.е числатель и заменатель соответствуют коэффициентам я % и б %.

Зная предел допустимой относительной или приведенной погрешности, можно найти интервал значений, в пределах которого лежит истинное значение измеряемой величины.

Пример 1. Класс точности вольтметра  $K_n=1,0$ . Шкала одностороняя равномерная с конечным значением  $A_s=300$  В. Показание прибора  $A_s=200$  В. Определить интервал, в пределах которого лежит истинное значение измеряемой величины.

Решение. В соответствии с условным обозначением класса точности задан предел допустимой приведенной погрешности по формуле (10.3). Следовательно, предел абсолютной по-

$$\Delta A_{np} = \pm K_n L/100 = \pm K_n A_n/100 = \pm 3$$
 В, так как  $K_n \ge |\gamma_{np} \%|$  (поскольку при определении класса точности из ряда допустимых чисел (10.4) берется ближайшее число, большее или

равное  $|\gamma_{np}\%|$ ). Ответ  $A_o \in [A_n - \Delta A_{np}, A_n + \Delta A_{np}]$ , т. е.  $A_o \in [197 \text{ B}, 203 \text{ B}]$ .

 $R_0 \in \{197.B., 200.B\}$ . Пример 2. Класс точности вольтметра  $K_0$  обозначен (1) Шкала односторовняя равномерная с консчиым значением  $A_x = 300$  В. Показание вольтметра  $A_n = 200$  В. Определать интервал, в пределах которого лежит листинное значение измеряемой величины.

Решение. В соответствии с условным обозначением класса точности задан предел относительной погрешности по формуле (10.1). Следовательно, предел абсолютной погрешности

$$\Delta A_{np} = \pm K_n A_n / 100 = \pm 1 \cdot 200 / 100 = \pm 2 \text{ B.}$$
  
Other  $A_0 \in [198 \text{ B}, 202 \text{ B}].$ 

## Погрешности косвенных измерений

Погрешности косвенных измерений могут быть вычаслены мере погрешности результатов прямах измерений величин  $x,y,\dots,w$ , входящих в функцию (формулу), уставлавлявающую зависимость между исхомой величной z и величнами, получаемыми в рехультате прямых измереного измерения величины  $z=f(x,y,\dots,w)$  вымасиляется по формуле

$$\Delta_{k} = \frac{\partial z}{\partial x} \; \Delta x + \frac{\partial z}{\partial y} \; \Delta y + \ldots + \frac{\partial z}{\partial w} \; \Delta w \; , \; (10.5)$$

 $\Gamma$  д $\frac{\partial z}{\partial x}$  ,  $\frac{\partial z}{\partial y}$  ,... — частные производные функции z по соответствующим величинам;  $\Delta x$ ,  $\Delta y$ ,... — абсолютные погрешности измерения соответствующих величин.

Относительная погрешность косвенного измерения может быть получена делением результата по (10.5) на значение функции z.

Если абсолютные погрешиюсти прямых измерений (Ах., Ау. ...) определяются через класс точности прибора, то находят максимальную предельную абсолютную погрешность косвенного измерения

$$\Delta_{\mathrm{K}\,\mathrm{max}} = \pm \left( \mid \frac{\partial z}{\partial x} \frac{K_x \, L_x}{100} \mid + \mid \frac{\partial z}{\partial y} \, \frac{K_y \, L_y}{100} \mid + \ldots \right) ),$$
 или

$$\Delta_{\rm x \, max} = \pm \left( \; |\frac{\partial z}{\partial x} \; \frac{K_x \, A_x}{100}| + | \; |\frac{\partial z}{\partial y} \; \frac{K_y \, A_y}{100}| + \ldots \right),$$

где  $K_i,\ L_i,\ A_i$  — соответственно классы точности, нормирующие значения и показания приборов.

### Классификация измерительных приборов

По конструктивным компонентам измерительные приборы делят на электромеханические и электронные радноизмерительные.

Электромеханические измерительные приборы по типу измерительного межанизма делятся на измерительные приборы магнитозметрические (в условном обозначении прибора стоит буква М, электромагнитные (Э), электростатические (С), электродинамические (Д).

В приборах выпрямительной системы (Ц) используются выпрямитель и магнитоэлектрический измерительный механизм, в приборах термоэлектрических (Т) — термопара и магнитоэлектрический измерительный механизм.

Условное обозначение типа электромеханического прибора остоят из прописной буквы русского алфавита (в зависимости от системы прибора) и рядом стоящего числа. Например, СТ5 — измерительный прибор электростатической системы.

Классификация электронных радиоизмерительных приборов дана в ГОСТ 15094-69. Эти приборы по характеру измерений и виду измеряемых величин разделяются на подгруппы, которым присваивается буквенное обозначение (прописная буква русского алфавита). Приборы подгрупп разделяются в соответствии с основной выполняемой функцией на виды, которым присваивается буквенно-цифровое обозначение, состоящее из обозначения подгруппы и номера вида. Приборы каждого вида разделяются на типы, которым присваивается порядковый номер модели. В обозначении прибора номер модели пишут после обозначения вида через дефис Например, обозначение «В2-10» обозначает: вольтметр (подгруппа В) постоянного тока (вида В2) модели номер 10.

Приборы, подвергишеся модерикавини, обозначаются как периознамальня модель с добавлением (после номера модели) русской пропиской обувы в андамитом порядке (например, В2-10А). Приборы, эксплуатации которых возможна в усстоподвительно бужву «Т» (например, В2-10АТ). Приборы с одинаковмым электрическими характеристиками, отличающиеся лишь конструктиввым исполнением, обозначаются дополнительно испоражность и пределативного предоставления вынами исполнением, обозначаются дополнительно помера моделья В2-10И/1.

Многофункциональные приборы могут иметь в обозначения вида дополнительную букву «К». Например, универсальный (т. е. постоянного и переменного токов) вольтметромметр может быть обозвачен как В7-15 или ВК7-15.

Блоки, которыми комплектуются приборы, относятся к подгруппе Я. В обозначение выда блока добавляется буква, обозначающая индекс подруппы по выполняемой функции. Например, блок прибора для измерения наприжения обозначается Я1В, блок прибора для наболодения и исследования формы сигнала— Я4С и т. д.

Разд. 10

#### Таблица 10.5. Классификация радиоизмерительных приборов

Подгруппа	Наименование подгруппы
A	Приборы для измерения тока
В	Приборы для измерения напряжения
E	Приборы для измерения параметров компоне тов и цепей со сосредоточенными постоянны
M	Приборы для измерения мощности
P	Приборы для измерения параметров элемент и трактов с распределенными постоянными
ч	Приборы для измерения частоты и време
Φ	Приборы для измерения разности фаз и гру пового времени запаздывания
С	Приборы для наблюдения, измерения и следования формы сигнала и слектра
Х	Приборы для наблюдения и исследования хара теристик радиоустройств
И	Приборы для импульсных измерений
П	Приборы для измерения напряженности по и радиопомех
У	Усилители измерительные
r	Генераторы измерительные
Д	Аттенюаторы и приборы для измерения с лабления
K	Комплексные измерительные установки
л	Приборы общего применения для измерения п раметров электронных ламп и полупрово никовых приборов
ш	Приборы для измерения электрических и ма нитных свойств материалов
я	Блоки радиоизмерительных приборов
я Э	Измерительные устройства коаксиальных и во новодных трактов
Б	Источники питания для измерений и радя измерительных приборов

Ш Я Э	раметров электронных дами и полупровод- шковых приформен выстраческих и ин- нитых свойств материалов Вломи разломимеритальных приборов Измерительные устройства колисильным и вол- новодных трактов Источники питамия для измерений и радио- измерительных приборов	Индукционный прибор (например, счетчик электрической эмертин) Прибор (например, магнитоэлектрический) с магнитиым/экраном	<b>(1)</b>
	нь подгрупп электронных радиоизмери- приборов дан в табл. 10.5.	Прчбор (мапример, электростатический); за- щищенный от вмешних электрических полей	佳
Условн	ые обозначения на приборах	Прибор для измерения в цепях постоянного тока	_
	иборах со стрелочными измерителями	Прибор, для измерения в цепях переменного тока	$\sim$
техническ	обозначения, которые дают их краткую кую характеристику. Некоторые из этих ний приведены в табл. 10.6.	Прибор для измерения в цепях постоянного и переменного токов	$\sim$
		Класс точности прибора (например, 1,5)	1,5
Таблиц на прибо	ца 10.6. Условные обозначения рах	Измерительная цепь прибора выдерживает по отношению к корпусу напряжение 2 кВ	企
Магнитоэле рамкой	ктрический прибор с подвижной	Рабочее положение шкалы прибора — гори- зонтальное	-
		Рабочее положение щкалы прибора — верти- кальное	1
Прибор вы	прямительной системы (магнито-	Осторожно! Измерительная цепь прибора под высоким напряжением, се изоляция ниже нормы (знак красного цвета)	7
	ñ	Винмание! При работе с прибором руковод- слвоваться указаниями в его паспорте или описании	$\Lambda$
Электронны	й прибор	Знаки полярности у зажимов прибора при включении его в цепь постоянного тока .	- +
	рический прибор (магнитозлект- имеритель + изолированный термо- втель)	Знак общего зажима комбинированного прибора	*
	I		1

То же с неизолированным термопреобразователем

Электромагнитный прибор

Электродинамический прибор

Феородинамический прибор

Электростатический прибор

Вибрационный язычковый прибор

#### 10.2. ИЗМЕРЕНИЕ НАПРЯЖЕНИЙ И ТОКОВ

## Общие сведения

Для измерения напряжений и токов применяют электромеханические и электронные измерительные поиборы.

Приборы, предназначенные для прямого измерения токов, называются амперметрами (миллиамперметрами). Их включают в разрыв цепи, ток в которой

Приборы, предназначенные для прямого измерения напряжений, называются в ольтметра и (милливольтметрами, киловольтметрами). Их подключают параллельно участку цепи, напряжение на котором нужно измерия.

Электромеханические приборы самостоятельное применение находят преимущественно в цепях , постоянного тока и повышенной (до несколь-

ких килогерц) частоты. Для измерения напряжений в диапазоне низких и высоких частот, как правило, применяют электронные вольтметры. Довольно часто электронные вольтметры применяют (несмотря на их более высокую стоимость) для измерения поболее высокую стоимость) для измерения по-

стоянных напряжений, так как эти приборы имеют высокую чувствительность, высокое входное сопротивление и устойчивы к перегрузкам, а цифровые вольтметры — и высокую точность. Для измерения токов и напряжений в диапазоне инзких и высоких частот широкое примерамих  высоких частот широкое примерами и высоких частот широкое примерами и высоких частот широкое примерами и высоких частот широкое примерами и высоких частот широкое примерами и высоких частот широкое примерами и высоких частот широкое примерами и высоких частот широкое примерами и высоких частот и высоких частот и высоких частот и высоких частот и высоких частот и высоких частот и высоких частот и высокое вкланий и высоких частот и высокое вкланий и высоких частот и высокую точность.

нение находят приборы выпрямительной и термоэлектрической систем. Вольтметры электростатической системы находят применение для измерения высоких напряжений постоянного и переменного токов (до

# Электромеханические вольтметры и амперметры

,нескольких мегагерц).

Электромеханические вольтметры и амперметры состоят из электрического измерительного механизма той или иной системы и измерительного преобразователя в виде добавочных резисторов или шунтов. Свойства этих приборов, область

Таблица 10.7. Уравнение шкал измерительных механизмов

Система механизма	Обозна- чение	Уравнение шкалы
Магнитоэлектриче-	. M	$a = S_II_0$ ; $a = S_UU_0$
ская Электромагнитная Электростатическая Электродинамиче-	с Д	$\alpha = S_I I_{C R_I}^2 \alpha = S_{ij} U_{C R_I}^2$ $\alpha = S_{ij} U_{C R_I}^2$ $\alpha = S_I I_{C R_I} I_{C R_I}^2 \cos \alpha$

их применения зависят от системы измерительного механизма, примененного в приборе.

Свойства измерительных механизмов сокращенно описываются уравнением шкалы, устанавливающим зависимость между линейным (или угловым) перемещением указателя механизма о и измеряемой величиной, воздействующей на метанизм

Уравнения шкал имерительных механизмо а сокращению записи давы в таба. 10.7. В этих уравнениях:  $\alpha$  — линейное или утаков перемещение указателя механизма: S, — козфененсувателя (ставителя с ставителя с с ставителя с ставителя с ставителя с ставителя с ставителя с с ставителя с с ставителя

Если катушки механизма Д системы подключены в цепи одного источника, то  $\alpha = k_1 S_I I_{c,k1}^2$ , или  $\alpha = k_2 S_U U_{c,k2}^2$ .

В стрелочных (аналоговых) измерительных приборах наибольшее применение находят измерители магнитоэлектрической системы; характеристики некоторых из них даны в табл. 10.8. Принципиальные скемы электромеханических вольтметров приведены на рис. 10.2.

Сопротивлення добавочных резисторов вольтметров (рис. 10.2, a) вычисляют по формуле

$$R_i = (U_{nni} - I_n r_i)/I_n,$$

Таблица 10.8. Измерители магнитоэлектрической системы

Tan	Класс точности	Ток полного отклонения, мкА	Размеры, мм
M93; M94	1,0; 1,5	50, 100, 150, 200, 300, 500, 1000	- 120×105×64
M96	1,5	300	127×107×65
M1131	4,0	200, 500	30×30×50
M1360	2.5	50, 100, 200, 500	60×60×70
M1400	1,5	50, 100, 200, 500	80×80×70
M1690	1.0	50, 100, 200, 500	120×105×73
M1692	0.5: 1.0	20, 50, 100, 200, 500, 1000	120×105×73
M4904	1.5; 2.5	10, 20, 30, 50, 100, 200, 300, 500, 1000	80×80×49
M4205	1,5; 2,5	10, 20, 30, 50, 100, 200, 300, 500, 1000	60×60×49
M4208	1.5: 2.5	10, 20, 30, 50, 100, 200, 300, 500, 1000	60×60×49
M4206	2,5; 4,0	10, 20, 30, 50, 100, 200, 300, 500, 1000	40×40×49
M4209	2.5: 4.0	10, 20, 30, 50, 100, 200, 300, 500, 1000	40×40×49

а вольтметров, выполненных по схеме на рис., 10.2, б, по формулам

$$R_1 = (U_{\pi pl} - I_{\pi}r_{\pi})/I_{\pi},$$
  
 $R_0 = [(U_{\pi pl} - I_{\pi}r_{\pi})/I_{\pi}] - R_1,$ 

$$R_2 = [(U_{003} - I_u r_u)/I_u] - (R_1 + R_2)$$
 и т. д.,

где  $U_{soi}$  — рассчитываемый i-й верхний предел измерения вольтметра: R. — сопротивление добавочного резистора соответствующего предела измерения; I<sub>в</sub> — ток предельного (или полного) отклонения указателя микроамперметра И; г, сопротивление рамки микроамперметра (все величины — в единицах СИ).

Принципиальные схемы электромеханических

амперметров даны на рис. 10.3.

В амперметрах для расширения пределов измерения используют шунты - резисторы, подключаемые параллельно рамке (катушке) измерителя И. Сопротивление шунта, включенного по схеме на рис. 10.3, а,

$$R_i = r_{ii}[I_{ii}/(I_{opi}-I_{ii})] = r_{ii}/(n_i-1),$$

где I<sub>пр.</sub> — рассчитываемый i-й верхний предел измерения амперметра;  $n_i = I_{n f i} / I_{ii}$  — коэффициент расширения і-го предела измерения

Сопротивление многопредельного универсального шунта (рис. 10.3, б)

$$R_i = I_{api}/I_n = (R_{ui} + r_u + R_{ai})/R_{ui} = R/R_{ui},$$

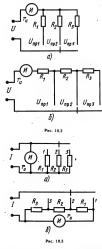
где  $R_{uu}$  — суммарное сопротивление резисторов, включенных непосредственно между входными зажимами амперметра на і-м верхнем пределе измерения;  $R_{\rm nr}$  — суммарное сопротивление резисторов, включенных последовательно с рамкой (катушкой) нзмерителя И на і-м пределе измерения; R — общее сопротивление контура «измеритель-резисторы».

Для схемы на рис. 10.3, б на первом пределе измерения  $R_{\text{ml}} = R_1 + R_2 + R_3$ ,  $R_{\text{al}} = 0$ , на втором  $R_{m2} = R_2 + R_3$ ,  $R_{n2} = R_1$ ,  $R_{m3} = R_3$ ,  $R_{s3} = R_2 + R_1$ . на третьем

При наличии многопредельного универсального шунта пределы измерения тока можно изменять без обрыва контролируемой цепи. Пределы измерения амперметров с простыми шунтами (по рис. 10.3, а) можно изменять лишь после выключения тока в измеряемой цепи (или при наличии безобрывного переключателя пределов). так как в противном случае возможны многократная перегрузка измерителя и перегорание его рамки (катушки) или токоподводящих пружин.

Рассмотренные шунты называются индивидуальными, поскольку они рассчитаны на применение с конкретными измерителями. Они могут быть внутренними (помещаемыми внутри корпуса прибора) и наружными, монтируемыми вне корпуса прибора.

Промышленные приборы с индивидуальными шунтами не изготовляются, а выпускаются с взаимозаменяемыми калиброванными шунтами, пригодными для подключения к любому измерителю с номинальным падением на его зажимах (при котором указатель отклоняется до конеч-



ного значения шкалы), равным номинальному падению напряжения на шунте. Калиброванные шунты изготовляют с номинальным падением напряжения 60 или 75 мВ, которое указывается на шунте или в его паспорте, например «75 mV, 500A».

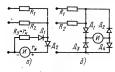
Для измерения переменных напряжений и токов с частотами до нескольких десятков килогерц широко применяют приборы выпрямительной системы, состоящие из измерительного механизма магнитоэлектрической системы, диодного выпрямителя, добавочных резисторов и шунтов.

Сопротивление добавочных резисторов вольтметров выпрямительной системы, выполненных по схеме на рис. 10.4, а,

$$R_i = (0.45 U_{c.s.npi}/I_s) - (r_s + r_s),$$

а вольтметров, выполненных по схеме на рис. 10.4. б.:

$$R_i = (0.9U_{\text{c.s.npi}}/I_{\text{H}}) - (r_{\text{H}} + 2r_{\text{g}}),$$



PHC. 10.4

где  $U_{c,s,\eta l}$ — верхинй предел измерения вольтметра (среднекварратическое значение синусондального напряжения);  $I_s$ — той предельного отклонения указателя измерителя;  $r_s$ — сопротивление диода в прямом направления.

#### Стрелочные электронные вольтметры

и токов синусоидальной формы.

Стрелочные электронные вольтметры применяют для измерения постоянных напряжений (вольтметры вида В2), перемейных напряжений (вида В3) и импульсных напряжений (вида В4). Электронные универсальные вольтметры (вид В7) могут измерять и постоянные, и переменные напряжения.

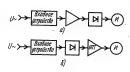
Электронные вольтметры постоянного тока имеют УПТ, к выходу которого подключается стредочный измеритель магнитоэлектрической системы; УПТ обеспечивает высокое входное сопротивление вольтметра (до иескольких десятков метаом) и повышает его чувствительность.

Электронные вольтметры переменного тока и импульсные выполняют по одной из схем: «усилитель переменного тока — выпрямитель (называемый детектором) измеритель» (рис. 10.5, a) или «детектор — УПТ — измеритель» (рис. 10.5, б). По схеме на рис. 10.5, а выполняют милливольтметры (микровольтметры). Однако у таких вольтметров верхняя граница области рабочих частот не превышает нескольких мегагерц. По схеме на рис. 10.5, б выполняют вольтметры с верхней границей области рабочих частот в несколько сотен мегагерц. Однако такие вольтметры имеют низкую чувстввительность (нижняя граница диапазона измерения -- не ниже нескольких десятых вольта).

Универсальные вольтметры выполняют по структурной схеме на рис. 10.6. Свойства заектронных вольтимгров в значительной меро поределяются видом примененного детемера. В заектронных вольтимграх применяют детемера в заектронных вольтимграх применяют импория в междом (рис. 10.7), пиковые детекторы с открытым входом (рис. 10.8), детекторы с закрытым косом (рис. 10.8), детекторы средневыдратичные детекторы) (рис. 10.9, 10.0) (рис. 10.9, 10.0) постоявления средневыпримленного завчения (рис. 10.11).

Параметры комденсаторов и резисторов пиковых детекторов выбирают в зависимости от области рабочих частот вольтметра и амплитуды измеряемого напряжения. Обычно  $C=100\div10\,000$  пф.  $R=40\div100$  МОм.

Среднее значение (т. е. постоянная составляющая) напряжения на выходе детектора на рис. 10.7 практически (с погрешностью не более 1—2%) равно максимальному значению измеряе-



Stodnos

gemposecto

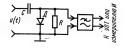
Bradinos

gerpoierto

Рис. 10.6

Рис. 10.5

M Summumana M



Puc. 10.7

Рис. 10.8

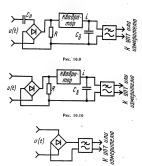


Рис. 10.11

мого напряжения (с учетом и`его постоянной составляющей).

Среднее вначение напряжения на выходе детектора на рис. 10.8 практически равно пиковому

отклонению «вверх» измеряёмого напряжения наде его постоянной составляющей (постоянная составляющая не проходит на выход детектора вход детектора закрыт для постоянной составляющей).

В квадратичных детекторах с открытым вхоом (см. рыс 10.9) квадратор должен иметь вольт-амперную характеристику вида  $i=bu^2(t)$ . Постоянная составляющая напряжения на выхоер ФНЧ такого детектора пропорциновальна среднеквадратическому значению измеряемого напояжения.

В квадратичных дегекторах с закрытым входом (см. рис. 10.10) квадратор должен иметь вольт-амиериую характеристику вида  $i=bu^{i}(1)$  на  $u=bu^{i}(1)$  на  $u=bu^{i}(1)$  но  $u=bu^{i}(1)$  Постояния составления вида  $u=bu^{i}(1)$  на  $u=bu^{i}(1)$  но  $u=bu^{i}(1)$  на  $u=bu^{i}(1)$ 

Постоянная составляющая капряжения на выходе ФНЧ детектора средневыпрямленного значения с открытым входом (см. рис. 10.11) прямо проворциональна средневыпрямленному значению измеряемого напряжения. В качестве ФНЧ наиболее часто используют фильтр RC-

Основные технические характеристики некоторых стрелочных электронных вольтметров, выпускаемых отечественной промышленностью, приведены в табл. 10.9, 10.10.

Таблица 10.9. Стрелочные электронные вольтметры

Тип	Конечные значения шкалы	Класс точности	Рабочая область частот	. R <sub>8x</sub>	$C_{B\chi}$
B2-25	3; 10; 30; 100; 300; 1000 MKB 3; 10; 30; 100; 300; 1000 MB	6,0-1,5 1.0	Постоянный ток	10-300 MOn	-
B3-44	10; 30; 100; 300 MB 1; 3; 10; 30; 100; 300B	2,5	20 Γα — 20 κΓα	20 кОм	6б пФ
B3-42	100; 300 мкВ 1; 3; 10; 30; 100; 300 мВ 300 В (с делителем)	5,0—20;0 4,0—10,0	10 Γα — 5 ΜΓα —	2,5—5 MOM —	, 15—30 nΦ , —

Таблица 10.10. Стрелочные импульсные вольтметры

Тип	Диапазон измерения	Класс , точности	Длительность нипульса	Частота повторения импульсов	Скважность импульсов	R <sub>BX</sub>	CBX
B4-12 B4-14	I—1000 мВ; 100 В (с делителем) 0,01—100 В	4,0—10,0 4,0—10,0		50 Γα100 κΓα 25 Γα50 ΜΓα	1	1 МОм >3 кОм	10 nΦ <12 nΦ

## Цифровые вольтметры

В цифровых вольтметрах результат измерения редеставляется цифрами, то исключает ряд И субъективных погрешностей. Сигналы, выраба-тавляемые цифровыми вольтметрами в процессе у взмерения напряжения, удобны для их использо-явлив из цифровых вычастительных и ретегрирующих мащинах, система АСУ ит. Д точность оторыеста малаютовых вый-комперент выше точрости малаютовых вольтметрах.

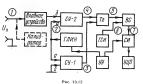
В настоящее время наибольшее распространение получили цифровые вольтметры постоянного тока. Для измеревия переменных напряжений такие вольтметры комплектуют съемными детекторами. Разработаны также цифровые вольтметры прямого (без детекторов) измере-

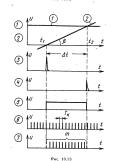
ния переменного напряжения.

В основу работы цифровых вольтметров положен принцип преобразования аналоговой (непрерывной) величины в дискретную. По способу такого преобразования различают цифровые вольтметры с время-импульсным преобразованием, вольтметры с поразрядным уравновешиванием и др.

Структурная скема шифромого вольтметра постоянного тока с времен-индуальсным преобразованием дала на рис. 10.12. На рис. 10.13 привесные временные далаграммен за паражения в карами в кружках), поясняющие работу волатметра. Стр. вървен-инпульсного преобразования остоит в том, что измеряемое напряжение приобразуется в интервал времени, пярмя порощиональный этому напряжению, а затем интервал времении измеренств с помощью счетым квипульменно преобразуется в помощью счетым квипульменно преста прест

Напряжение измеряется пиклами, которые задаются управляющим устройством УУ. Управление виклами может быть ручным яли автоматическим (с помощью реле времени). В назоцителя УУ запускает генератор линейно изменноцителя запряжения ГУШИ и сбрасывает на истосы вапряжения ГУШИ и сбрасывает на рыс. [10,13] срабатывает сравинающие устройство СУ-/ и вадает инпулье (см. рыс. [10,13]).





Триггер Тг этим импульсом перебрасывается в состояние «1» (см. рис. 10.13, 5) и открывает временной селектор ВС, на въод которого подано напряжение кварцевого генератора счетных импульсов ГСИ (см. рис. 10.13, 6). Счетные импульсов ГСИ (см. рис. 10.13, 6). Счетные импульсов ТСИ

Таблица 10.11. Цифровые вольтметры

Тип	Диапазон измерения	Погрешность измерения*	Рабочия область , чистот	, 8 <sup>87</sup>	C <sub>B</sub> x
BK2-20	2 мВ — 200 В 0,2 мкА — 2 А	± (0,3 + 0.1 U <sub>пред</sub> /U <sub>i</sub> )%	Постоянный ток	1 100 MOs	
B4-13	$\begin{array}{c} U_{\rm BWB} : 0.1 - 150 \ {\rm B} \\ U_{\sim} : 0.1 - 130 \ {\rm B} \\ U : : 0.1 - 150 \ {\rm B} \end{array}$	$ \begin{array}{c} z \; (0.005U_{\lambda} + 0.02) \; \mathrm{B} \\ z \; (0.005U_{\chi} + 0.02) \; \mathrm{B} \\ z \; (0.005U_{\chi} + 0.02) \; \mathrm{B} \end{array} $	10 Гц - 1 МГн . 10 Гц - 100 кГц Постоянный ток	50, 75, 150, 1000 Ом 1 МОм 1 МОм	35 пФ

 $<sup>^{\</sup>circ}$   $U_x$  — значение измеряемой величины,  $U_{\rm npex}$  — конечное значение диапазоны показании

пульсы через открытый ВС поступают на СИ (см. рис. 10.13, 7). В момент 1<sub>2</sub> напряжение ГЛИН сравняется с измеряемым (см. рис. 10.13, 4), 1, 2) и СУ-2 выдаст импульс (см. рис. 10.13, 4), которым тритер 72 возварятися в состояние «О» (см. рис. 10.13, 5). Временной селектор закрывается. Счет нипульсов прекращается.

За время действия стробирующего импульса  $\Delta t$  на счетчик CH прошло m импульсов. Их число определяет значение измеряемого напряжения  $U_x$ :  $\Delta t - mT_s$ ,  $U_x - \Delta t$  tg  $\beta$ ;  $U_x - mT_s$  tg  $\beta = mK$ .

На выбранном пределе измерения величина K постояния, так как зависит лишь от скорости изменения папражения  $\Gamma J H H$  и периода следования счетных милуа.com  $T_s$ . Обачию параметры выбирают так, что  $K=10^\circ$ , где  $n=0,\pm 1$ ,  $\pm 2$ , ... При этом  $U_s=40^\circ$  из перехносчие пределов измерения равношенно переносу запитой на табло устройства цифрового отсчета V H O.

Погрешность измерения напряжения вольтметром слагается из погрешности образцового (яниейно изменяющегося) напряжения ГЛИН, и СУ-2 и погрешности дискретности, связанной и погрешности дискретности, связанной недосчета «нужного» иниульса, соответствующих ингервалам действия фронта и среза стробирующего имиулься (см. рис. 10.13, 5).

Характеристики некоторых цифровых вольтметров промышленного изготовления даны в табл. 10.11.

### Завимость показаний вольтметров и амперметров от формы измеряемого сигнала

Из табл. 10.7 и свойств аналоговых приборов следует, что вольтметры разных систем или с разными типами детекторов при измерении одного и того же напряжения могут давать разные показания. Например, при измерении постоянного напряжения вольтметры магнитоэлектрической системы дадут показания, равные постоянной составляющей этого напряжения, а показания вольтметров, имеющих детекторы с закрытым входом, покажут «0». При измерении же напряжения синусоидальной формы вольтметры магнитоэлектрической системы покажут «О», а электронные вольтметры в зависимости от типа детектора дадут показания, прямо пропорциональные амплитуде, среднеквадратическому или средневыпрямленному значению измеряемого напряжения. Таким образом, для правильной оценки результатов измерений и нахождения интересующего значения измееряемого напряжения нужно знать систему примененного в приборе измерителя, тип детектора, схему входа (открытая или закрытая) и характер градуировки шкалы (шкала прибора переменного тока может градуйроваться в пиковых или среднеквадратических значениях синусоидального напряжения).

Следует помнить, что оцифровка шкалы вольтметра с пиковым детектором при его градуировке на синусоидальном напряжении в среднежараратических сто значениях уменьшается в уста-≈ 1,41 раза по сравнению с пиковым (амплитуаторы, с образования с пиковым с пиковым с образования в предоставления в пиковым с образования в пиковым в пиковым с пиковым на синусоидальном напряжении увеличивается в 1,11 раза.

Пример. Требуется измерить напряжение, имеющее форму периодической последовательности однополярных прямоугольных импульсов (рис. 10.14), и определить ожидаемые показания вольтыетора В4-2, В7-15 и В3-104, если амплитуда импульсов  $U_u$ =20 В, а скважность Q = -T/x = 10.

Pе шение проведем без учета погрешностей вольтметров. Вольтметры B4-2 и B7-15 имеют закрытый вход и не реагируют на постоянную составляющую измеряемого напряжения  $U_0$  (показания этих вольтметров прямо пропорциональны  $U_{11}$ );

$$U_{\text{b.o}} = U_{\text{M}} - U_{\text{0}} = U_{\text{M}} - \frac{1}{T} \int_{0}^{T} u'(t) dt = U_{\text{M}} - \frac{U_{\text{M}}}{Q} = 18 \text{ B.}$$

Поскольку шкала вольтметра В4-2 градуирована в пиковых значениях напряжения, то его показание  $A_1 = U_{\rm B,e} = 18\,$  В.

Вольтметр В7-15 должен показать  $A_2 = U_{s,s}/\sqrt{2} - 12,7$  В, так как его шкала градунрована в среднеквадратических значениях си-

нусоидального напряжения. Вольтметр типа ВЗ-10А на пределах измерения выше 0,3 В имеет открытый вход, детектор средневыпрямленного значения и шкалу, градуированную в среднеквадратических значениях синусоидального напряжения. Так как средневыпрямленное значение однополярного напряжения совпадает с постоянной составляющей этого напряжения, то  $U_{c*} = U_0 = U_{*}/Q = 2$  В. Поскольку при градуировке оцифровка шкалы вольтметра ВЗ-10А увеличена в 1,11 раза относительно средневы рямленного значения калибруюшего синусоидального напряжения, показания вольтметра должны быть  $A_3 = 1,11$   $U_{c,n} = 1,11 \cdot 2 =$ =2,22 В. Изложенное справедливо и для амперметров.



Pac. 10.14

#### Радиолюбительские конструкции

На рис. 10.15 приведена схема вольтметра постоянного тока с УПТ на полевом транзисторе. Транзистор  $T_1$  и резисторы  $R_5 - R_8$  образуют мост, в диагональ которого включен измеритель Н магнитоэлектрической системы, имеющий ток предельного отклонения 100 мкА и сопротивление рамки 1870 Ом. Входное сопротивление вольтметра практически определяется сопротивлением входного делителя напряжения и сопротивлением утечек и меняется от 0,5 до нескольких мегаом. Конечные значения шкал 1; 5 н 20 В. Нуль устанавливается резистором R<sub>7</sub>. Диоды  $I_1 - I_3$  — защитные. Электрическое арретирование измерителя происходит при разомкнутом включателе В2. Для измерения переменных напряжений ко входу вольтметра нужно

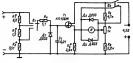


Рис. 10.15

подключить один из детекторов, описанных ранее. Для повышения чувствительности в прибор (между Т<sub>1</sub> и Н) может быть введен дополнительный УПТ на интегральной микросхеме (например. типа К L53УТ IA).

## 10.3. ИЗМЕРЕНИЕ СОПРОТИВЛЕНИЙ, ЕМКОСТЕЙ И ИНДУКТИВНОСТЕЙ

## Методы измерения сопротивлений

Для измерения сопротивлений наиболее распространены метод непосредственной оценки с помощью омметров, карактеризуемый простотой отсчета и широкими пределами измерений, и метод сравнения (мостовой), обеспечивающий малую погрешность измерений.

Электромеханические омметры постоянного тока разделяются на две основные группы: с по-следовательной схемой (рис. 10.16, д. для измерения средних и больших сопротивлений (1 Ом и выше) и с парадлельной схемой для измерения малых сопротивлений (рис. 10.16, б).

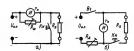
В качестве отсчетного устройства омметры имеют измеритель магнитоэлектрической системы с током предельного отклонения 50—100 мкА.

Шкалы омметров с последовательной схемой межот ундежую отчетку справа (указатель измерителя устанавливается на эту ожнегу при заминутой кнопке K) и отметку по ожнегу ожнего, по заминутой кнопке K) и отметсу оследа. Омметры с парадлельной схемой вмесот вудежую отметры с парадлельной схемой вмесот вудежую ожнего K служит для установки муля омнего долго K служит для установки портановки муля омнего K служит для установки по меть и образовами реасторам. Обычно потрешность омметров со-тпальяет A— 10%, па мачальном и комечном участорым. Обычно потрешность ожнего учаством потрешность замичтельно дозрастают.

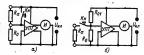
9.17, a — нуль справа) или отметки ∞ (н. рис. 10.17,  $\delta$  — ∞ справа).

Основной недостаток омметров, схемы жоторых показавы на рис. 10.16 и 10.17, — неравномерность шкалы. На базе УПТ можно построить экстронный омметр с линейной (равномерной) шкалой, если включить образцовый R<sub>c</sub> и измереный R<sub>c</sub> реаситоры, как похазавно на рис. 10.16. Напряжение на выходе УПТ здесь линейно засти. <sub>1</sub>/R<sub>c</sub> R<sub>c</sub> penetoro сопротивления: V<sub>mul</sub> = — (U<sub>c</sub>, I/R<sub>c</sub>) R<sub>c</sub> (V<sub>c</sub>).

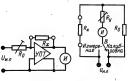
Показания омметра при изменении напряжения питания  $U_{s,m}$  корректируются изменением сопротивления образцового резистора  $R_o$ . Переключение пределов измерения может осущество



PHC. 10.16



Puc 10 1





Омметр с равномерной шкалой (рис. 10.19). Последовательно с источником питалия  $U_{\rm sa}$  включены образцовый  $R_{\rm d}$  и измеряемый  $R_{\rm f}$  реасторы. Есла с помощью мэмерителя  $H_{\rm c}$  с включенным последовательно установочным резистором  $R_{\rm f}$  измеряемом  $U_{\rm f}$  реактором  $R_{\rm f}$  измеряемом  $U_{\rm f}$  реактором,  $V_{\rm f}$  и измеряемом  $V_{\rm f}$  реактором,  $V_{\rm f}$  измеряемом  $V_{\rm f}$  реактором,  $V_{\rm f}$  и искомое сопротивление  $R_{\rm f}$   $R_{\rm f}$   $V_{\rm f}$   $V_{\rm f}$ 

Следовательно,  $R_x$  линейно зависит от сопротивления резистора  $R_{\rm o}$  и отношения  $U_x/U_{\rm o}$ . Чтобы ускорить получение искомой величины R<sub>s</sub>, можно установить переключатель в положение Калибровка и регулировкой резистора R<sub>v</sub> добиться отклонения стрелки измерителя на всю шкалу; конечную отметку шкалы обозначить единицей. Остальные деления шкалы при этом будут соответствовать долям от сопротивления резистора  $R_o$ . Теперь для измерения  $R_x$  достаточно переключатель В поставить в положение Измерение и определить, какую долю от  $R_o$  составляет  $R_z$ . Если при установке переключателя В в положенне Измерение стрелка прибора уйдет за шкалу, то следует подобрать образцовый резистор Ко с большим сопротивлением и повторить операции измерения. Если омметр многопредельный, то вместо одного образцового резистора Ro берут несколько переключаемых резисторов (по числу пределов измерения), которые для удобства выбирают из ряда 1, 10, 100 и т. д. Общее сопротивление измерителя и резистора Ry должно быть много больше сопротивления резисторов R, и Ro.

Омметр с линейной шкалой можно построить, кипользуя свойство гранзгогора, включенного по схеме ОБ: коллекторный ток такого транцетора практически не зависит от коллекторной испытаваемый реактор включить в цель колцектора траничество (ко. реактора и дектора траничество (ко. реактора, комажется прамо прокрощомальным сопротивсенно этого реактора и шкалу водизистра сменя от прострой и шкалу водизистра (ода будет практически линейной,

Мостовые методы позволяют осуществлять наиболее точные измерения сопротивлений. Три плеча моста (рис. 10.20) образуют образцовые комп-





Рис. 10.20 Рис. 10.21

лексные сопротивления  $Z_1$ ,  $Z_2$  и  $Z_3$  (колденсаторы, катушки индухтивности), а четвергое — измеряемое сопротивление  $Z_r$ . Балакса добиваются изменение одного или нескольких образиовых сопротивлений. При измерении актимых сопротивлений мост питается постоянным напряжением  $U_{c,n}$  индикатором баланса служит глаьваномет раматнитоэлектрической системы, а плечи моста образуются активными резисторами. При этом  $Z_r = R_r R_s / Z_r$ .

При питании моста переменным напряжением индикатором базнасы може служить головной телефон или милливольтмегр переменного тока. Для измерения сопротивлений  $R_c<1$  Ом на постоянном тоже применяют двойной мост (рис. 10.21). Балаке моста получают измененнем сопротивлений образцовых резисторов  $R_1$ ,  $R_2$ ,  $R_3$ ,  $R_3$ ,  $R_3$ ,  $R_3$ ,  $R_3$ , три точком зыполяения условий  $R_1=R_1^*$  и  $R_2=R_2^*$  сопротивление резистора  $R_4=R_1^*$  сопротивление резистора  $R_4=R_2^*$  ( $R_3/R_3/R_3$ ).

Для повышения чувствительности мост питают от мощного источника тома (обычно аккумулятора). Рабочий ток контролируют амперметром, Измерение сопротивалений методом вольтметра (рис. 10.22). Для определения сопротивления реактора R, вольтметром измервого паделия напряжений  $U_0$  и  $U_r$  на образиовом и измервотельной R, резисторал. Тогда  $R_r = (U_f/U_0)R_0$ ,

Необходимое напряжение источника питания вычисляют по закону Ома с учетом сопротивления резистора  $R_o$  предела измерения вольтметра и предполагаемого сопротивления резистора  $R_c$ . Наявысшая точность измерения может быть подучела, если  $R_c \approx R_c$ . Точность измерения сопротивления эвмент также от класса точности вольтметра и образцового резистора. Необходимо вольтметра и образцового резистора. Необходимо



Рис. 10.22

Таблица 10.12. Омметры

Тип	Диапазон измерений	Основная погрешность		
M127 M372 M503 E6-5 E6-15 E6-16 EK6-1	0-2 MOM 0,1-50 OM 200 OM - 100 MOM 1 ON - 9999 KOM 0,0001-100 OM 2 OM - 200 MOM 30 MOM-1000 TOM	±1,5 ±1,5 ±1,0 ±1,0 ±1,5 ±1,5 ±1,5 ±10,0		

соблюдение условий  $R_{\rm ax}\!\!>\!\!R_{\rm O}$  и  $R_{\rm ax}\!\!>\!\!R_{\rm X}$ , так как погрешность измерения уменьшается с увеличением входного сопротивления вольтметра

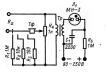
Закетровеханические цифровые омметры выполняют в выде автоматических мосто аподняют в наце автоматических носто аподных цифровых вольтиетров с автоматически перестраняваемой пешчокой образацовых резистеро. Большим быстролействием обладают электронные омметры, непользующие верки-иниграми меметоды. Цифровые вольтиетры и омметры иметот много одинаковых узлов, что позволяеть озаваеть комбинированные цифровые приборы вольтомметры.

Основные характеристики некоторых промышленных омметров даны в табл. 10.12.

## Радиолюбительские конструкции измерителей сопротивлений

В любительской практике омметры, выполненые по схемам, приведенным на рис. 10.16, 10.17, обычно используются в составе комбинировыных измерительных приборов, например ампервольтомметров. Популярностью у радиолюбителей пользуются простейшие мостровые измерытели и омметры с равномерной шклалой.

Простейший мостовой измеритель сопротивлений (рис. 10.23) питается от RC-генератора  $(R_5, C_1, Tp, J_1)$ , вырабатывающего сигнал с частотой I кГи. В качестве образцовых резисторов  $R_1 - R_5$ , вълючаемых, в одно из плеч моста,



Pac. 10.23



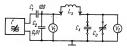
Рис. 10.24

рекомендуется применять реаксторы повышенной стаблямости этим З/ПИ. БІП яли МГП с допускаемым отклочением сопротивлений от поминальных завчений не более ± 11%. Балаякопровка моста проводится перечлючением этих реакстором и реузировкой потенциометра К, на диск, укрепленный на оси потенциометра К, на диск, укрепленный на оси потенциометра. Индикатором баланса служат гловные телефоны. В приборе можно применять малогабаритный ранкформатор с отношением числа витков в чамерять сопротивления от 10. Ом. потрешностью не боле 10—10. Ом. 20 10 МОм с потрешностью не боле 10—10. ПО м. 20 10 МОм с потрешностью не боле 10—10.

Траизисторный омиетр с линейной шкалой (рис. 10.24). Принцип работы омиетра основан на независимости тока коллектора траизистора, включенного по скеме ОБ, от сопротивления коллекторной цепи. При параметрах компонентов, указанных на схеме, приобро лозводяте измерять сопротивления от 0 до 25 кОм. Расширении раприжения и стоим по 10 до 25 кОм. Расширении паприжения Истоинка патания или при компоненти и при при пределения и при пределения и при пределения и при при пределения и при при пределения и истоинка патания или при (например, электролного выпличера по сжеме на рос. 10.15).

# Методы измерения емкостей и индуктивностей

Разд. 10



Pac. 10 25

Емкости до 5000 , пФ и индуктивности до 100 мГн обычно измеряют резонансным или генераторным методом.

Резонавсный четод измерения еммости (рис. 10.25), Измеряемый комденсатор с, под-ключают парадлельно образцовому конденсатор стору переменной емкогте С, а к зажимам Сло стору переменной емкости С, а к зажимам Сло стору переменный конебулетьный конебулетьный конебулетьный конебулетьный конебулетьный конебулетьный конебулетьный конебулетьные измужения С,2. Необходимые издухитивиесть катушки С, и на двапазон частот ГВЧ вычасляют по формулам с

$$L_r = 25 \ 300 / [(C_0 + C_v + C_{\pi v}^2 + C_w) f^2]$$

$$f_{\min} = \sqrt{25\,300/\left[L_x(C_{o\,\max} + C_x + C_{ax\,2} + C_{M})\right]}$$

$$f_{\text{max}} = \sqrt{25\,300/\left[L_x(C_{\text{o}\,\text{min}} + C_x + C_{\text{ax}\,2} + C_{\text{m}})\right]},$$

где  $C_{\rm o,max}$  и  $C_{\rm o,min}$  — максимальная и минимальная емкости образцового конденсатора, пФ;  $C_{\rm x}$  — предполагаемое значение измерлемой емкости, пФ;  $C_{\rm xx}$  — входная емкость электронного вольтметра  $V_2$ , пФ;  $C_{\rm w}$  — емкость монгажа контура, пФ.

Для уменьшения погрешностей измерения необходимо соблюдение условия  $C_2 \gg (C_{o \max} +$  $+ C_x + C_{ax2} + C_y)$ 

Возможны две методики измерения:

1. При минимальной емкости образиового конденскатора  $C_{om}$  изменяют частоту генератора до получения резонанса контура (показания) электронного вольтwerpa  $V_{p}$  дожины быть максимальны) При этом полняя емкость контура  $C_{p} = C_{p} = C_{p} = C_{p} = C_{p} = C_{p} = C_{p} = C_{p}$  $C_{p} = C_{p} = C_{p} = C_{p} = C_{p} = C_{p} = C_{p} = C_{p}$  $C_{p} = C_{p} = C$ 

тура, мкПи;  $C_s$ ,  $C_s$ ,  $C_s$ ,  $C_{acs}$ ,  $C_{acs}$ ,  $C_{acs}$ , ммости  $C_{acs}$  и невключенном кондемсторе  $C_s$  перекторикой частоти генератора добиваются резонанса. Затем подключают измеряемый кондемстор  $C_s$ , и ке измени частоты генератора, двамещеные сынанса контура. Сенова добиваются резонанса контура. Емость измеряемого конденсатора

$$C_s = C_{o \max} - C_{o1}$$

где  $C_{o1}$  — емкость образцового конденсатора  $C_{o}$  при включенном конденсаторе  $C_{s}$ .

Расширение пределов измерения при этой методике осуществляется параллельным или последовательным подключением к конденсатору Содоголнительных образцовых конденсаторов,

Резонансный метод измерения индуктивности. Измеряемую катушку подключают к зажимам  $L_{\kappa}$  (см. рис. 10.25)

Возможны две методики измерения:

1. При произвольной емкости конденсатора

 При произвольной емкости конденсатора С<sub>о</sub> перестройкой частоты генератора добиваются резонанса контура и вычисляют индуктивность катушки

$$L_x = 25 300 / [(C_o + C_{Bx2} + C_M)f^2].$$

2. При некоторой фиксированной частоте генератора f изменяют емкость конденсатора  $C_0$  до наступления резонанса;  $L_r$  вычисляют по

той же формуле. Генераторый метод измерения емкости и индуктивности (рис. 10.26). При отключенной измеряемой реактивности (С. дия І. д.) подстроечным конденсатором С., приводят к одному значению частоты тенераторов РР-1 и РР-1. Равенство частот определяют по нулевым биениям. В качестве индижатора издевых биений могут быть исполь-

зованы головные телефоны. Измеряемый конценсатор  $C_z$  подключают паравлельно конденсатору  $C_2$  колебательного контура генератора  $P^{4-2}$ . Затем емкость конденсатора  $C_1$  маменяют на величну  $AC_1$  до получения

аудевых биений. Если  $L_1$ — $L_2$ , то  $C_s$ — $\Delta C_t$ . Лая язмерения видуктивности полсе полотов-ки привора к работе перемычку синиают и подътовым привора к работе перемычку синиают и подътовым синиам с макериам с доста дос

Измерение сикости электролитических конденсаторов. Измерение проводят низкочастотным измерителем емкостей (например, мостом типа E12-2). Электролитический конденсатор  $C_x$  подключают к измерителю емкости по схеме, изображенной на рис. 10.27. Разделительный сублюженной на рис. 10.27. Разделительный разд

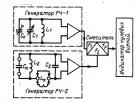


Рис. 10.26





PHC. 10.28

конденсатор  $C_{\theta}$  (бумажный или металлобумажный) должен иметь большие емкость и сопротивление постоянному току. Для уменьшения погрешности измерения нужно, чтобы выполнялись условия  $\alpha$ 

$$C_p \geqslant 0.1C_x$$
;  $R \geqslant 3200/fC_x$ ;  
 $U_{C,pop} \geqslant (U + U_{m,n})$ .

гле R— сопротивление развизывающего резистов, к0м; f— частотя напряжения, возникающего на измерлемом конденсаторе  $C_c$  при полкочение го к вымеритело смогди, F11;  $G_c$ — емость измернемого конденсатора, мк $G_c$ 10 смогду см

#### Таблица 10.13. Приборы для измерения индуктивностей и емкостей

Тип	Днапазон измерений	Основная погрешность
E3-3 E7-4 E7-5A E8-5	L:0,01—1000 Γn L:10 mκΓn — 100 Γκ C:10 mΦ — 100 mκΦ L:0,05 mκΓn—100 mΓ C:1 — 5000 πΦ C:10 πΦ — 10 mκΦ	±3% ±3% ±3% ±2.5% ±5% ±(0,001C+0.5 nΦ+ +1 ea. cy)± ±(0.002C+1 ea. cy

#### Измеряемая емкость

$$C_x = C_p C_H / (C_p - C_H),$$

гле  $C_s$  — показавие измерителя емкости. Емкость знетролитического комденсатора может быть коспенно измерена и с помощью вольтметра переменного тока, если закаторинеский комденсатор выключить в цепь пульсируюменной составляющей пульсирующего тока конденсатор  $C_s$  имеет емкостию сопротивление,  $s_s = 1/(\omega C_s)$  имеля возлатичера (при фиксированной амилитуде напряжения  $U_{-s}$ , питающего 
шель комденсатор  $C_s$ ) может быть градуирована 
в единцах емкость. В качестве источника възваницах емкость В качестве источника въ-

Основные технические характеристики приборов для измерения индуктивностей и емкостей приведены в табл. 10.13.

Среди радиолюбителей наибольшей популярпостью пользуются измерители L и Смостового типа с простейшими индикаторами баланса головными телефонами. Прибор для измерения емкостей или индуктивностей может быть построен по семе, аналогичной изображенной на рис. 10.23, при замене резисторов конденсаторами или катушками.

#### 10.4. КОМБИНИРОВАННЫЕ ЭЛЕКТРОРАЛИОИЗМЕРИТЕЛЬНЫЕ ПРИБОРЫ

### Электромеханические ампервольтомметры

В большинстве электромеханических вольтметоров, амперметоро в кометоров применяются высокочувствительные измерителы магінитозмектрической системы. Поэтому целесообразию конструкции для имерения наприжений, токок онструкции для имерения наприжений, токок онструкции для имерения наприжений, токок получили назвавине а иле тр в ол ь то м мет тр о в (табл. 10.14). Ранее их называли авометрами и тестерами.

На рис. 10.29 в качестве примера приведена схема ампервольтомметра типа Ц4325; его измеритель имеет ток предельного отклонения 24 мкА. Стабилитроны  $\mathcal{I}_1$  и  $\mathcal{I}_2$  предохраняют измеритель от перегрузок.

### Радиотестеры

Эмектронные вольтистры и омметры мнеют общий узеа - УПТ (см. рыс. 10.6, 10.17), поэтому экономически выгодно создание комбинистрованных эмектронных приборов в одьтом метров. На базе вольтистра с УПТ может облага комбинированный арибор от от также создан комбинированный арибор прогиваений, емкостей и надуктивностей. Рассмотрим радиочете В КТ-5, схема которого пред-

## Таблица 10.14. Ампервольтомметры

	Характеристика прибора	. 1156	Ц57	LL430	11,4312	114325	Ц4341
	Напряжение постоянное $U_{=}$ , В	0,075; 0,3; 1,5; 7,5; 15; 60; 150; 300; 600	0,075; 3; 7,5; 15; 30; 150; 300; 600	0,75; 3; 6; 15; 60; 150; 300; 600	0,075; 0,3; 7,5; 30; 60; 150; 300; 600; 900	0,6; 1,2; 3; 6; 12; 30; 60; 120; 600	0,3; 1,5; 6 30; 60; 150; 300; 900
	Напряжение переменное $U_{\sim}$ , В	0,3; 1,5; 7,5 15; 60; 150	3; 7,5; 15; 30; 150; 300; 600	3; 6; 15; 60; 150; 300; 600	0,3; 1,5; 7,5 30; 60; 150; 300; 600; 900	3; 6; 15; 30; 60; 150; 300; 600	1,5; 7,5; 30 150; 300; 750
	Ток постоянный І., мА	0,3; 1,5; 6; 15; 60; 1,50; 600; 1500; 6000	0,15; 3; 15; 60 300; 1500	-	0,3; 1,5; 6; 15; 60; 150; 600; 1500; 6000	0,03; 0,6; 0,3; 1,2; 6; 30; 120; 600; 3000	0,06; 0,6; 6; 60; 600
Конеч- ное зна- чение шкал	Ток переменный І, мА	1,5; 6; 15; 60; 150; 600; 1500; 6000	3; 15; 60; 300; 1500	-	1,5; 6; 15; 60; 150; 600; 1500; 6000	0,3; 1,5; 6; 30; 150; 600 3000	0,3; 3; 30; 300
	Сопротивление постоянному току, кОм	3; 30; 300; 3000	3; 30; 300; 3000	3; 30; 300; 3000	0,2; 3; 30; 300; 3000	0,5; 5; 50; 500; 5000	0,5; 5; 50 500; 5000
	IKBO, ISBO, IKSR. MKA	-	-	- ,		-	60
	h213	_	-	-	-	-	70-350
	Енкость, мкФ	-	0,3		- '	-	1,0
Patovas	область частот, Гц	45-10 000	451000	60-10 000	4510 000	45-20 000	45-15 000
при изм	яя приведенная погрешность, %, еренин: U = U = U = .  D. /ЗЕО, /КЭК   R =	±1,0 ±1,5 ±1,0 ±1,5 ±1,0	±1,5 ±2,5 ±1,5 ±2,6 ±1,5	± 2,5 ± 2,5 	±1,0 ±3,5 ±1,0 ±1,5 ±1,0	±2,5 ±4,0 ±2,5 ±4,0 ±2,5	±2,5 ±4,0 ±2,5 ±4,0 ±2,5 ±5,0
Входное нзмерен	сопротивление, кОм/В, при ни: $U_{\infty}$ . $U_{\infty}$	3,3	6,7	8	0,67 0.67	20	20

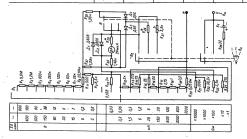


Рис. 10.29

Tafauua	10.15	Комбинированные	2 20172000010	приборы	(namuorecreps)

Тип	Диапазон измерения	Погрешность измерения, %*	Рабочая область частот	Rax	Cax
BK2-17	U: 1 MB-1000 B	$\pm (0.15 + 0.05 \ U_{\text{mpeg}}/U_x)$ $\pm (0.2 + 0.05 \ R_{\text{mpeg}}/R_x)$	Постоянный ток	0,18—10,05 МОм	_
B7-15 ,	U = : 30 MB — 1 KB U = : 200 MB — 1 KB	±2,5 ±(2,5-10,0)	20 Γ <sub>H</sub> 700 ΜΓ <sub>H</sub>	15 MOn 3 MOn — 50 KOn	4—1,8 πΦ
B7-16	R: 10 Om — 1000 MOm  U =: 1 — 1000 B  U =: 1 — 1000 B	$\pm (0.05 + 0.05U_{nnea}/U_x)$	Постоянный ток 20 Гц — 100 кГц	10 MOn I MOn	=
B7-17	R: I KOM-10 MOM U =: 3 MB - 300 B U =: 200 MB-300 B	± (0,2+0,02Rnpex/Rx) ± (2,5-4)	20 Гц — 100 КГц Постоянный ток 20 Гц — 1000 МГц	30 MOn	20 nΦ
	R: 10 On-1000 MON		Постоянный ток		1,5 пФ

.  $^*$   $U_{x}$ ,  $R_{x}$  — значения измеряемой величниы;  $U_{\mathrm{пред}}$ ,  $R_{\mathrm{пред}}$  — конечиме значения диапазона показаний.

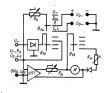


Рис. 10.30

ставлена на рис. 10.30. При измерении сопротивлений звесь используется цепь, подобляя изображенной на рис. 10.17, 6. Аналогичиял цепь применема и при измерении емостей и низуктавностей, но при этом цепь образцовый резистор R<sub>x</sub>— измеряемая реактивность (С, или L<sub>t</sub>) питается переменным напряжением от силового трансорьматора прибора.

Напряжение на измеряемой реактивности пропориномально модулю комплексного сопротивления этом реактивности. Следовательно, шкалы измерятеля магнитоэлектрической "системы И можно проградуировать (по образцовым конденсаторам и катушкам индуктивности) в единицах измереняя С и L.

При сопротнвлении потерь катушки, соизмеримом с ее реактивным сопротивлением, измеряемая индуктивность более точно может быть вычислена по формуле

$$L_x = \sqrt{\left(\frac{U_{\text{sx}}}{U_{\text{o,-}} U_{\text{sx}}} \cdot \frac{R_{\text{o}}}{2\pi f}\right)^2 - \left(\frac{R_x}{2\pi f}\right)^2}.$$

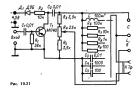
Характеристики некоторых промышленных комбинированных электронных измерительных приборов приведены в табл. 10.15.

# Измеритель RLC «Спутник радиолюбителя»

В промышленный комплект измерительных приборов «Спутник радиолюбители» входит: измеритель RLC, звуковой генератор и блок питания. Габариты каждого блока комплекта 220×140× х110 мм. Конструкции блоков весма просты, и приборы легко могут быть повторены радиолюбителями.

Измеритель RLC собран по мостовой схеме (рис. 10.31) и питается от внешнего источника (генератора) напряжением 0,5-0,7 В, частотой 1—5 кГц. Он позволяет измерять индуктивности. от 20 до 500 мГн, емкости от 20 пФ до 0,05 мкФ и сопротивления от 20 Ом до 500 кОм. Погрешюсть измерения не превышает ±20%. Балансировка моста осуществляется потенциометром R<sub>4</sub>, снабженным шкалой. Искомая величина равна произведению показания по шкале потенциометра R4 и номинала образцового элемента плеча моста. В цепь питания моста включен усилитель, выполненный на транзисторе  $T_1$ . Он повышает чувствительность измерителя и уменьшает воздействие моста на внешний генератор, подключаемый к гнездам Вход.

При изготовлении измерителя сопротивления резисторов, емкости конденсаторов и индуктивность катушки не должны отличаться от номиналов, указанных на схеме, более чем на ±5%.



## 10.5. ИЗМЕРЕНИЕ ПАРАМЕТРОВ ПОЛУПРОВОДНИКОВЫХ ПРИБОРОВ

#### Проверка диодов

В развланой тель-ких условиях испатание лилов сполится к проверке их из образа у к шо в развительного прямых  $I_{rg}$  и обратных  $I_{rg}$  токов прямых  $I_{rg}$  и обратных идь, токов прямых  $I_{rg}$  и обратных идь, токов прямых  $I_{rg}$  токов прямых  $I_{rg}$  токов прямых  $I_{rg}$  токов прямых из дележний в прямений  $I_{rg}$  токов прямых из дележний  $I_{rg}$  токов прямений  $I_{rg}$  ток

 $U_{np} = 0.5 \div 1$  В,  $I_{np}$  достигает нескольких сотен миллиампер, а  $I_{cop}$  — нескольких микроампер. Для уменьшения погрешности измерения прямого и обратного токов необходимо выполнение условий

$$U'_{\rm np} = U_{\rm np} + I_{\rm np} r_{\rm w.\tau}; \ U'_{\rm odp} = U_{\rm odp} + I_{\rm odp} r_{\rm n.\tau}, \label{eq:Unp}$$

где r<sub>и.т</sub> — сопротивление измерителя тока.

## Измерение параметров биполярных транзисторов

При проверке биполярных транзисторов радиолюбители обачию ограничиваются измерением обратного тока коллектора (кво (схема измерения приведена на рис. 10.33, а) или обратного тока коллектор-эмиттер (куло или (куле (рис. 10.33, б) и одного из коэффициентов передачи

При измерении /каж между эмиттером и базой трананстора выслочают резентор й, если это предусмотрено условиями измерения. Полезно мамерать обратный том зимитера /кво (по. 10.33, а). Однако при такой проверке высокоу-зионным зииттерими переходом и необходимо провавить сособую осторожность; даже необходимо провавить сособую осторожность; даже необходимо провавить сособую осторожность; даже необходимо высоков за стора в стора. Режимы измерения упомнаемых параметров транзисторов приведены в таблицах § 11.5.

Колффициент передамі тока транзистора в режиме малого сигнала  $B_1$ , можно зимерис то помощью устройства, выполненного по схвения реавительно устройства, выполненного по схвение реанствора  $R_1$ , устанавливают указанний в соптемение реареа-примента тока  $B_1$ . Загем с помощью резистора  $R_1$  всесолько уреаничавают эти сомощью резистора  $R_1$  всесолько уреаничавают эти суща записывают их новые значения  $I_{XX}$ ,  $I_{XX}$  и  $I_{XX}$  вы чисялют кожфициент передачи тока

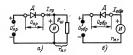
$$h_{21} = (I_{K2} - I_{K1}) / (I_{E2} - I_{E1})$$
.

Для уменьшения погрешности измерения нужно брать источийк тока с малым внутренним сопротивлением.

## Статический коэффициент передачи тока

 $h_{213} = (I_K - I_{KBO})/(I_B + I_{KBO}) \approx I_K/I_B$ 

так как обычно  $I_{\text{KBO}} \ll I_{\text{K}}$ ,  $I_{\text{KBO}} \ll I_{\text{E}}$ . Статический коэффициент передачи тока  $h_{213}$  можно измерить с помощью цепи по схеме на рис. 10.35, где  $R_1 \gg r_{6.9}$   $R_2 \gg r_{6.9}$   $(r_{6.9} - \text{co})$ 



PHC. 10.32

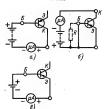


Рис. 10.33





Рис. 10.35

противление участка база -- эмиттер транзистоpa). Так как  $I_B \approx U_{H,0}/R_2 = \text{const}$ , то

$$h_{219} \approx (R_2/U_{se}) I_K = KI_K$$

где K — постоянный множитель;  $U_{s,s}$  — напряжение источника питания.

## Резистор R<sub>2</sub> должен иметь сопротивление

$$R_2 = h_{219 \text{ mpeg}} U_{\text{H II}} / I_{\text{mpeg}}$$

где Іпред -- ток предельного отклонения миллиамперметра;  $h_{219\,\mathrm{пред}}$  - рассчитываемый предел измерения статического коэффициента передачи тока.

## Испытатель диодов и биполярных транзисто-

ров (рис. 10.36) позволяет измерять  $I_{KBO}$ . Ізко, Ікар и Іма биполярных транзисторов структур p-n-p и n-p-n, проверять их «на генерацию» на низкой частоте, а также измерять  $I_{\rm np}$  и  $I_{\rm odp}$  диодов (при напряжении 4 В). Прибор также может служить источником низкочастотного напряжения.

При указанных в схеме номиналах элементов можно измерять неуправляемые токи транзисторов  $I_{\rm KBO}$ ,  $I_{\rm SBO}$ ,  $I_{\rm KSR}$  и обратные токи диодов до 200 мкА, прямые токи диодов до 20 мА и коэффициент  $h_{213}$  до 200. Микроамперметр прибора имеет  $I_{npen} = 200$  мкА,  $r_{H} = 650$  Ом. При другом значении г, или при необходимости расширить пределы измерения h213 транзисторов или In диодов нужно изменить сопротивление шунтирующего резистора.

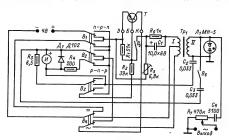
Магнитопровод трансформатора Tp— $Ш9 \times 10$ ; обмотка I содержит 100+20 витков провода ПЭЛ 0,25; обмотка //-1600 витков провода ПЭЛ 0.08.

Режим проверки устанавливается с помощью переключателя  $B_4$ . Положение « = » соответствует режиму постоянного тока (измерение  $I_{KBO}$ ,  $I_{960}$ ,  $I_{K9R}$  транзисторов и  $I_{np}$ ,  $I_{n6p}$  диодов), а положение «~» при замкнутом выключателе В<sub>5</sub> — низкочастотному генераторному режиму. Испытываемый диод подключают к зажимам Э и К в соответствующей полярности. Для измерения прямого тока диода выключатель B<sub>3</sub> должен быть замкнут, а при измерении обратного тока — разомкнут,

Для измерения токов  $I_{KBO}$ ,  $I_{2BO}$ ,  $I_{K3R}$  транзистор подключают к прибору в соответствии со схемами на рис. 10.33. При испытании транзисторов структуры р-п-р переключатели  $B_1$  и  $B_2$  (см. рис. 10.36) должны находиться в нижнем (по схеме) положении, а при испытании транзисторов структуры п-р-п - в верхнем.

Статический коэффициент передачи тока  $h_{213}$ измеряют при подключении транзистора по схеме на рис. 10.35 при замкнутом переключателе Ва (см. рис. 10.36). При этом резистор  $R_3$  шунтирует микроамперметр, что расширяет его предел измерения до 20 мА. Так как сопротивление резистора R<sub>2</sub>=39 кОм, то для всех испытываемых транзисторов  $I_B \approx 0,1$  мА. и верхняя предельная отметка шкалы измерителя соответствует значению  $h_{213} = 200$ .

Для испытания транзистора на генерацию на низкой частоте переключатель В, необходимо поставить в положение «~» и замкнуть выключатель  $B_5$  (переключатель  $B_8$  должен быть разомкнут). При этом образуется генератор НЧ автотрансформаторной связью. Генерации добиваются при малом сопротивлении резистора R<sub>5</sub>. Индикаторами генерируемого напряжения являются неоновая лампа Л1 и микроамперметр, шунтированный диодом (при замкнутом выключателе  $B_6$ ). Регулировкой сопротивления резистора R<sub>e</sub> можно ориентировочно оценить коллекторный ток транзистора в генераторном режиме и сравнить однотипные транзисторы по этому параметру. Большему сопротив-



лению резистора  $R_5$ , при котором происходит срыв тенерации, соответствует меньший коллекторный ток.

Для получения от прибора напряжения НЧ к мему необходим подключить заведомо исправный транзистор со статическим коэффициентом передачи тока  $h_{2/2} \approx 30 + 40$ . При этом на выходе можно получить богатое гармониками напряжение до 30 В (выключатель В<sub>1</sub> разоменут) или бализкое к синусондальному напряжение до 15 В (выключатель В<sub>2</sub> замкнут).

# **Измерение** параметров полевых транзисторов

Основными параметрами полевых транзисторов, измеряемыми в любительских условиях, являются начальный ток стока  $I_{c,uv}$ , напряжение отсечки  $U_{3Hore}$  и крутизна вольт-амперной характеристики S.

ствий с ожидаеміямі токами й напряженнями. Крутизна характеристики S определяєтся как отношение заменения тока стока АС<sub>E</sub>IMA] в назазавшему его заменению запряжения между крутизна S зависит от напряжения затвор исток Ози и миеет максимальное замение S<sub>max</sub> при U<sub>3H</sub> = О (при этом ток чстока максималей и равен Г<sub>ежа</sub>). Напряжение затвор — исток и равен Г<sub>ежа</sub>). Напряжение затвор — исток шего замения (банкого и умум), навывается запряжением отсчеки U<sub>3H</sub>; пумум), навывается напряжением отсчеки U<sub>3H</sub>; пумум), навывается

Если известны или измерены зиачения  $I_{\mathsf{C}\,\mathsf{нач}}$  и  $U_{\mathsf{3M}\,\mathsf{orc}}$ , то

$$S_{\text{max}} \approx (0.4 \div 0.5) I_{\text{C иви}}$$
 или  
 $S \approx S_{\text{max}} (1 - \sqrt[3]{U_{3M}/U_{3M \text{ or }}})$ 

где Uзи, Uзи от В: S и Smax, мА/В

## Проверка тиристоров

В раздиолюбительских условиях проверяют обычно такие параметры тиристоров (см. § 11.4), как мапряжения  $D_{\rm sax}$ , ток закратото тиристора  $D_{\rm sax}$ , ток закратото тиристора  $D_{\rm sax}$ , ток закратото тиристора  $D_{\rm sax}$ , обратное мапряжение пробоя  $U_{\rm spot}$  из управляемость тиристоров. Определить ти параметры можно на установке, схема которой приведена из рис. 10.38. Источник посторой приведена из рис. 10.38. Источник посторой приведена из рис. 10.38. Источник посторой приведена из развительности положению и применений  $D_{\rm sax}$ , иметь массколько большего напряжения  $U_{\rm sax}$ , иметь массколько большего на  $U_{\rm sax}$ , иметь массколько на  $U_{$ 

$$(U_{\text{skn}}/I_{\text{orap max}}) \leq R_1 < (U_{\text{skn}}/I_{\text{yn}});$$
  
 $R_2 \leq (U_{\text{y}}/I_{\text{yor}}) - (R_{\text{y}} + R_{\text{y}}) \approx U_{\text{y}}/I_{\text{yors}}.$ 

где  $R_y$  — сопротивление участка управляющий электрод — катод тиристора;  $R_e$  — внутреннее сопротивление источника управлющего напряжения  $U_y$ ;  $I_{yx}$  — удерживающий ток тиристора;  $I_{yxx}$  — открывающий ток управляющего электрода тиристора.

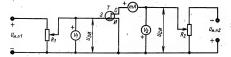
В установке желательно применить электронные вольтметры с высоким вкольных опротивлением (например, В7-15). Копечные значения шкал вольтметров выбирают соответственно из условий  $U_1 > R_1/s_{20}$  лых и  $U_3 > U_{spot}$ , если  $U_{spot} > U_{spot}$ ,

Методика проверки тиристора сводится к следующему. Вычисляют  $U_{1,aon}$  — показание вольтметра  $V_1$ , соответствующее максимально допустимому току закрытого тиристора:

$$U_{1 \text{ zon}} = (I_{\text{sxp max}} + U_{\text{np.3xp max}}/R_{\text{ax}})R_1$$

где  $J_{\text{экр max}}$  — максимально. допустимый ток закрытого тиристора;  $U_{\text{пр.экр max}}$  — максимально допустимое прямое напряжение на закрытой тиристоре (соответствующее максимально допустимому току закрытого тиристора);  $R_{\text{sx}}$  — входное сопротивление вольтметра  $V_2$ .

Затем при разомкнутой цепи управления тиристора на него подают в прямом направленин напряжение  $U_s = U_{0,0.39}$  ды: Если показание вольтметра  $V_1$  при этом больше значения  $U_{1,0.00}$ , тиристор бракуется. Если же показания вольтметра меньше этого значения, проверку продолжают, павая небольшие прилашения напояжению  $U_s$ 



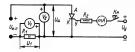


Рис. 10.38

и записывая показания вольтметров. При 'достижении вольтметром  $V_1$  показания  $U_{1,\mathrm{son}}$  дальнейшее повышение напряжения  $U_3$  можно прекратить, записав действительное значение на

пряжения  $U_{\rm пр. 34p \, max}$ Часто токи закрытых тиристоров не превышают допустимого паспортного значения почти на всем участке АО (см. рис. 11.16) вольт-амперной характеристики, что позволяет быстро определять напряжение включения тиристоров. Когда напряжение  $U_a$  достигает значения  $\hat{U}_{\text{вкл}}$ тиристор включится. Включение тиристора характеризуется резким снижением напряжения на нем, в связи с чем стрелка вольтметра резко уходит к нулю. После включения тиристора необходимо сразу же снизить до нуля напряжение источника  $U_{n,n}$ , иначе перегорит резистор  $R_1$  и тиристор может выйти из строя. Найденное таким образом значение Uвил сравнивают с паспортным значением и делают заключение о пригодяюсти использования тиристора в проектируемом устройстве.

$$I_{3Kp} = U_1/R_1 - U_3/R_{8X}.$$

Для проверки управляемости тиристора на него подают в прямом направлении напряжение  $U_a$ , равное напряжению, при котором будет работать тиристор в конструируемом устройстве

(но ве больше значения  $U_{\pi \times \pi \times \pi \times \pi}$ ) и затем замыжают кнопу Км. При исправном твристоре показание вольтыетра V; резко упалет, т. к. твриогор вакроичется. После выховения твриото поставать до нуля. Если же вызовления от сивыть до нуля. Если же вызовления от открывающее напряжение U; или уменьшают сотвронают при большем токе открывающе от твриото при большем токе открывающе при режения при большем токе открывающе достора.

Обратное напряжение пробоя тиристора  $U_{\text{проб}}$  определяют аналогично напряжению включения но при обратных полярностях источника постоянного напряжения и вольтиетров. Кнопка  $K\mu$  при этом должна быть разомкита.

Проверку динисторов на напряжения  $U_{\text{выс}}$  и  $U_{\text{прос}}$  можно проводить также на установке, схема которой представлена на рис. 10.38, по изложенной ранее методике.

В описываемой установке токи закритах тиристоров и линисторов можно измерять и епосредственно миллиамперметром свраими предеом измерения 3—5 м., включаемым посиедовательно с резистором R<sub>1</sub>, однако при этом и в коем случае нельзя допускать включения тиристоров, т. к. миллиамперметр может стореть. Для проверки исправмости тиристоров XУЗОСН

или КУ201Л и им подобных можно взять истомим постоянного мапряжения типа ИСН-1, вольнять иль потомного мартичения типа ИСН-1, вольнять В7-15, реакторы  $R_s=3+5$  к/он;  $R_s=100\pm 200$  Ом, источник управляющего покаможно применты мыливамиермегр с верхини пресагом измерения до 300 мА. При необходими размерения открывающего напряжения  $U_{x,ox}$  можно воспользоваться вольтичером  $V_{x,ox}$  можно воспользоваться вольтичером  $V_{x,ox}$ 

## 10.6. ИЗМЕРЕНИЕ ЧАСТОТЫ И ДЛИНЫ ВОЛНЫ

### Методы измерения частоты и длины волны

Конденсаторный метод. Принцип измерения частоты этим методом иллострирует рис. 10.39. Конденсатор С периодически подключается переключается В к источнику напряжения  $U_{\kappa\pi}$  и заряжается, мерез него. Разряжается конденсатор



Pac. 10.39

через намеритель M магингоалектрической системы. Если конденсатор переключать с измеряемой частогой  $l_*$  но бесепечить постоянство напряжений, до которых заряжается  $(U_1)$  и разряжается  $(U_2)$  конденсатор, то через измеритель будет протекать ток разряда, среднее значение которого

$$I_0 = cf_n(U_1 - U_2)$$
.

Этот метод использован в конденсаторном частотомере (рис. 10.40), гае роль переключателя выполняет транзистор 7, который в отридательные полутерноды изверемого сигнала открыт и подключает один из конденсатором 52—С 8, к батарее. При этом конденсатор заряжается по цепи: плюс батарен миттер конденства транзистора кондексамитер конденства транзистора кондексачение подожительного полутернода сигнала чение подожительного полутернода сигнала транзистор закрыт и конденсатор вазряжается

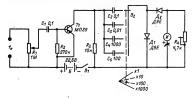
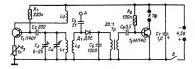


Рис. 10.40



Puc. 10.41

по цепи: левая (по схеме) обиладка коиденсатора — ревистор Я<sub>с</sub> — мамеритель И— открытый диод.  $M_2$ — правая обкладка коиденсатора. Так как постоянные времени цепей заряда и разряда коиденсатора много меньше получернода псследченого читала, среднее замечение тола, проследченого читала, среднее замечение тола, проследчено читала, среднее замечение тола, прозания измертелая И проподиональны измеряемой частоте и шкала частотомера линейна. Для устранения потрешности, возинкающей при изменении уровняя входного ситнала, напряжение мамеретелем частоты должно быть не менее

В частотомере применен измеритель с током предельного отклонения 50 мк. Диапазом измержемых частот 0—100 кГц разбит на подимальном с верхимым предельного (1); 1; 10; 100 кГц. Дия повышения точности измерения необходима предварительных неабходимам  $R_{\ell}$  на предельных частотах поддивального к предвательных частотах поддивального к предельных частотах поддивального измертильного тенератора, а также использование в приборе конденсаторою а также использование в приборе конденсаторою в ток меже откложениям помышлаю от указанных по семенения предвательного темераторы, а также использования с при предвательного темераторы, а также использования с при предвательного предвательн

Гетеродинный метод. Этот метод измерения основан на сравнении измеряемой частоты  $f_{in}$  с известной частотой образцового генератора:  $f_{in}$ . О равенстве частот судят по нулевым биениям, т. е. по пропаданию звука в телефоне-индикаторе или по показаниям вольтметра-индикатора нулевых биений. В состав гетеродинного частотомера обычно входят перестраваемый маломощнай генератор (гетеродин), смеситель частот и индиатор вумеам бенеий. Простой гетеродинный частотомер (рис. 10.41) предиазначен для изменения частот от 60 кПц до 30 МПх. Для работы в столь широком дивалазоне используются гаронным частоты гетеродина, выполненного на транзыторе Т. Имеремый ситала подается на зажим А. Роль смеситом выполнее диол име транзыторе Т. То предиста в то мастим пределативать по предиста и пределативать по предиста и пределативать по предиста по предага по грению та по предуста по предага по грению та по предага по предиста по предага по грению ста по предага по грению ста предага по грению ста предага по предага по грению ста предага по грению ста предага по грению ста предага по грению ста предага по грению ста предага по гото предага по грению ста предага по грению ста предага по грения и ста предага по грение по грение по грение предага по грение по грение по грение предага по грение по грение по грение предага по грение по грение по грение по грение предага по грение по грение по грение предага по грение предага предага по грение предага по грение предага по грение предага предага по грение предага по грение предага по грение предага предага по грение предага по грение предага по грение предага предага предага по грение предага пре

Для определения частоты сигнала, если номер гармоники неизвестен, нужно добиться нулевых биений измеряемой частоты  $f_n$  при двух соседних значениях основных частот  $f_{r1}$  и  $f_{r2}$  гетеродина. Тотала  $f_n = f_{r1}n = f_{r2}(n+1)$ ;  $n = -f_{r2}(f_1 - f_{r2})$ .

Следовательно,  $f_n = f_{r1}n = f_{r1}f_{r2}/(f_{r1} - f_{r2})$ . Элементы колебательного контура гетеродина рассчитывают по формулам, приведенным в 6 1.1

Осциллографический метол. Его применяют для измерения частот синусоидальных и инпульсных напряжений до 100 кГц. Для измерения частот синусоидальных сигналов удобен метод интерференционных фитур (фитур Лиссажу). Для измерения частоты необходимы образцовый генератор и осциллограф (рис. 10.42). Частоту

 $f_n$  образцового генератора  $\Gamma$  изменяют до получения устойчивого изображения фигуры Лиссажу (например, изображенной на рис. 10.43). Устойчивое изображение наблюдается при определенных отношениях частот, для нахождения которых поступают следующим образом. Через изображение полученной фигуры мысленно проводят две линии - горизонтальную х и вертикальную у, не проходящие через узлы фигуры (см. рис. 10.43). Отношение числа пересечений фигуры с горизонтальной линией п, к числу пересечений с вертикальной линией п, равно отношению периодов напряжений, поданных на соответствующие входы осциллографа  $(n_x/n_y =$  $=T_x/T_y$ ), или обратно отношению частот этих напряжений  $(n_r/n_v = f_u/f_v)$ . Метод применим при отношении частот, меньшем 5 .-

Метод разрывов. Для измерения частоты по этому метозу кроме образировог генератора Г этому метозу кроме образировог отенратора Г необходин фазорасшенитель Ф (рис. 10.44) дв напряжения одной частоты, взаимно сдвинутые по фазе на 90°. Эти напряжения обепечивают круговую развертку луча электроние-лучевой трубки осцилалограф ложен иметь яход, соединенный непосредствению или через усилатель с управляющим электроном электронно-лучевой трубки осцилатораф (вход 2). Напряжение, частота Г, вкоторого должна

быть измерена, подают на этот вход. Измерение f<sub>н</sub> сводится к процессу перестройки частоты образцового генератора /п до получения устойчивого изображения окружности (или эллипса) с чередующимися светлыми и темными дугами. Подсчитав число разрывов п, вычисляют измеряемую частоту:  $f_n = nf_0$ . На рис. 10.44 для примера показано изображение, соответствующее n=4. Для исключения ошибки неоднозначности необходимо отрегулировать осциллограф так, чтобы под действием исследуемого напряжения происходило «гашение» изображения (часть окружности получалась темной). При измерении этим методом частоты синусоидального напряжения следует получить устойчивые фигуры с примерно равными сретлыми и темными дугами. Метод разрывов позволяет уверенно измерять частоты, в 10-15 раз большие, чем максималь-

частоты, в 10—15 раз оольшие, чем максимальная частота образцового генератора (л< 210+15). Резонансный метод. Во всем днапазоне радиочастот для измерения частоты широко используют резонансные свойства электрических

цепей.

Резонансные частотомеры (или волномеры) состоят из колебательной цепи, настраиваемой в резонанс на измеряемую частоту  $f_m$ , и индикатора резонанса (рис. 10.45).

В резонайском волюжере к исследуемому исотчинку сиглалов (напривме, к контуру генераторат) приближают катушку колебательного контура волюжера или соединог его через кондеясатор небольцой елькоги С., Контур волюдеясатор небольцой елькоги С., Контур волюсти обращомого конценстрара С. Момент резонанка определяют по максимальному показанию электронного "вольтичетра переменного тока V с большим входиым сопротивлением и малой входной емкостью. При известной индуктивности катушки L частота пселедуемого источника сигиала  $f_s = 159/\sqrt{LC_s}$ , где  $f_s$ . МГц; L, мКГц;  $C_s$ , пф.

 $E_{i}$ , мк  $n_{i}$ ,  $G_{i}$ , п $\Phi$ .

Прибор обычно снабжают градуировочными графиками  $f_{i} = F(C)$  или таблицами, которые

составляют при градуировке. Резонансный волномер диапазона УКВ представлен на рис. 10 46. Индуктивность контура  $L_2$  представляет собой кольцо или цилейф из толстого медного провода. Резонансива частота контура определяется размерами кольца и положением ползунка  $\Pi_2$  а также емкостью кон-



Рис. 10.42



Рис. 10.43

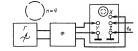


Рис. 10.44



Рис. 10.45

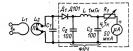


Рис. 10.46

денсатора  $C_1$ . Диод  $\mathcal{I}_1$ , ФНЧ ( $C_2C_3L$ ), резистор  $R_1$  и микроамперметр магнитоэлектрической системы образуют индикатор резонанса; катушка  $L_1$ — виток связи.

Возможны иные коиструкции резонансного контура вольмочера диапазона УКВ Например, можно изменять индуктивность контура, вводя в катушку диамагинтный сердечник, или перстранвать контур переменным конденсатором малой емкости при постоянной индуктивности. В диапазоне УКВ для измеения длины волны В диапазоне УКВ для измеения длины волны

В диапазоне УКВ для измерения длины волны применяют также двухпроводные и коаксиальные измерительные линии, разомкнутые или короткозамкнутые на одном конце. Энергия сигнала, длина волны которого измеряется, подводится к другому концу линии.

Разоммутая (или заммутая) линия харакгеризуется тем, что в ней утставляванавится стоячие волин напряжений и тока. Расстовине межуу бликайшим миниуумами (или максимумаситиала, подведенного к линии. Места располжения этих миниумов (или максимумов) находят с помощью перемещемых вдоль линии простейших выприятельных вольтиетро (вналогичных вольтиетро, квображенному на рисмирательного проставить вольтиетро (вналогичных вольтиетро, квображенному на рис-

# Частотомеры промышленного изготовления

ведены в табл. 10.16.

В промышленных частотомерах кроме перечисленных методов широко распространены счетные методы измерения частоты (ЭСЧ). Основные технические характеристики некоторых частотомеров промышленного изготовления при-

#### Таблица 10.16. Частотомеры

Тип	. Диапазон измерения	Погрешность измерения	Чувствительность (напряжение или мощ- ность на выходе)	Метод измерения
43-1 43-7 44-1 44-9 42-1A 42-2 43-41	10 Γα — 200 κΓα 10 Γα — 500 κΓα 0,125—20 ΜΓα 20 ΜΓα — 1 ΓΓΓα 0,8—12 ΜΓα 40—180 ΜΓα 10 Γα — 200 ΜΓα	±2% ±2% <400 fu ±5 · J0-6 ±0.25% ±0.5% ±5 · I0-9±1 eg. cq.	4—200 B 0,1—300 B 1 B 0,05 B 1 MBT 0,8 MBT 0,1—20 B	Конденсаторный Гетеродинный Резонансный Электронно-счетный

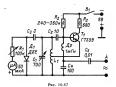
#### Гетеродинные индикаторы резонанса

Гетеродияные индикаторы резонакся (ГИР) широко применяют в радиопойтельской практике при надаживании радиоприемых и разтике при надаживании радиоприемых и разтике при надаживании радиоприемых и разонаторых раз

Скема транзисторного ГИР на днапазон ВЧ 4—30 МГц представляем на рыс. 104 П представляем на рыс. 105 м м со-держит 5+1 Б вытков, намоганных в один со-держит 5+1 Б вытков, намоганных в один со-дечик МБОИН 228 и длиной 12 мм. Комперенций представор С, — двусскицонный фирмы «Тесла», секции съединеми прадопъем для расшения диапазона измерений можно изготовить месколько сменям хатишек.

Наличие колебаний в контуре и их относительную амплитуду определяют простейшим вольтметром переменного тока, в который входят днод  $\mathcal{A}_1$ , микроамперметр  $\mu A$  и резистор  $R_1$ . Вольтметр подключен к контуру через конденсатор малой емкости  $G_2$ . Чувствительность вольттор малой емкости  $G_2$ . Чувствительность вольт-

метра регулируется переменным резистором  $R_1$ . Измерение собственной частоты колебательного контура. Перед началом измерения замыкают цепь питания транзистора и ГИР переводят



Измерение индуктивности  $L_s$ , "Собирают колебательный контур из измервемой катушки и конденсатора, известной емкости  $C_s$ . Используя ГИР, определяют собственную частоту колебаний этого контура  $|_{Test}$ . Искомая индуктивность

$$L_v = 25300/(C_0 f_{pez}^2)$$
,

где  $L_v$ , мк $\Gamma$ н;  $C_o$ , п $\Phi$ ;  $f_{pes}$ , М $\Gamma$ ц.

Измерение емкости  $C_x$ . Для измерения необходимо иметь, катушки известных индуктивностей  $L_b$ . Измерение проводят аналогично измерению индуктивности  $L_s$ , а емкость вычисляют по формуль

#### $C_r = 25300/(L_0 f_{per}^2)$ .

Гетеродинный индикатор резонанса можно использовать как сигнал-генератор при настройке радиоприемников и телевизоров. Для получения АМ сигналов на вход А ГИР следует подвъе небольшое (примерно 0,5 В) напряжение от звукового генератора или низковольтного источника промышленной частоты.

Гетеродинный индикатор резонанса при выключенном коллекторном напряжении применяют так же как резонансный волномер или индикатор электромагнитного поля для налаживания радиопередатчиков или его антенно-фидерных нелей

## 10.7. ИЗМЕРИТЕЛЬНЫЕ ГЕНЕРАТОРЫ

### Генераторы звуковых частот

Из и сратсав и им и генер а тор в им (ИГ) называют устройства, вырабатывающие выеруна частом, амилятуды и формы. В двапазоненах частом, амилятуды и формы. В двапазоненах частом, амилятуды и формы. В двапазоненах частом, амилятуды и формы. В двапазоненах испеалов, кого орые в зависимости от типа задающего генераторы в зависимости от типа задающего генераторы в обиениях. LC-генераторы и генераторы на биениях. LC-генераторы и дваго обой самовабум, акопистем устройство с ко-абагольным контуром, состоящим их катушки контуры (ГП д) определяется, издухтивностью СП«I) и емікостью С ІмкФ):  $I = 159 \sqrt{LC}$ . Для получения 34 сигнаюл необходимо ис

Для получения ЗЧ сигиалов веобходимо использовать большие индуктивности и сикости, что затрудняет создание малогабаритного генератора, пересграняваемого в диапазом частот. Поэтому - LC-генераторы обычно выполняют на одну или несколько фиксированых частот, которые устанавливают переключением кондейсатором конттура.

RC-генераторы находят наибольшее примене, поскольку мнеот достаточно короную стабильность, небольшой коэффициент гармоник и просты по устройству. Основой RC-генератора является усилитель, охваченный ПОС через фазослангающую цепь, обеспечавающую генерацию сипкала синусоидальной формы. Необходиим применение компротивлений реакторов или сммостей конденсаторов, вкодящих в фазосдвигаюшую цепь.

Частота генератора с двух<u>каскадным</u> усилителем (рис. 10.48)  $f=159/\sqrt{R_1R_2C_1C_2}$ , где f, к $\Gamma$ и;  $R_1$ ,  $R_2$ , к $\Omega$ м;  $C_1$ ,  $C_2$ , мк $\Phi$ .

Если сопротивления резисторов и емкости конденсаторов фазосдвигающей цепи равны между собой, т. е. если  $R_1\!=\!R_2\!=\!R$  и  $C_1\!=\!C_2\!=\!C$ , то  $f\!=\!159/(RC)$ .

В этом случае коэффициент усиления усилителя по напряжению при разоминутф инпПОС должен бить равен 3. Поскольку двухксказаные регисторно-конденсаторные усиления, представнием значительно большее усиление, представдяется возможным введение в такой генератор ствует полученно систылов, более стабильных по амынутае и лучших по фооме.

Простой задающий LC-генератор звуковой частоти (рис. 10.49). Частота генератора звянсит от параметров трянсформатора Тр и емкости коиденсатора С. Форма сигвала регулируется подбором сопротвивления уревистора Я., Переменный резистор Я., выполняет роль регулятора выходного напряжения.

RC-генератор с диапазоном частот 20 Гц — 20 кГц (рис. 10:50). Терморезистор R, и резисторы R, R, образуют цепь ООС, которая автоматически поддерживает выходное напряжение генератора на выбранном уровие. Синусоидальная форма этого напряжения уста-

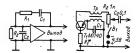
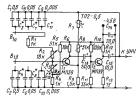


Рис. 10.48

PHC. 10.49



. Рис. 10.50

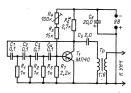


Рис. 10.51

навливается подстроечным резистором  $R_8$ . Емкости конденсаторов  $C_3$ ,  $C_4$ ,  $C_7$ ,  $C_8$ ,  $C_{11}$ ,  $C_{12}$  подбирают при подтонке подлиапазонов частот генератора к единой для всех поддиапазонов шкале прибора. Шкалу (или указатель шкалы) укрепляют на оси спаренкого, переменкого резистора R<sub>2</sub>, R<sub>3</sub>, которым плавно перестранвается частота генерируемых сигналов.

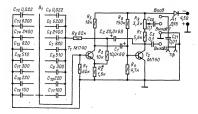
Вместо транзисторов  $T_1$ ,  $T_2$  можно использовать соответствующую интегральную микросхему.

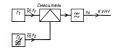
Одиожаскадный КС-генератор. Такой генератор с параметрами, указанными на рис. 10.51, вырабатывает сигналы частотой около 1000 Гш. Частот от 550 д. 1100 Гш цененеств подстроенным настройке генераторы. Его сопротиваение зависит от гипа применениют отрасоформатора Тр. Усилитель одножаскадного генератора должени меть кожфициент усиления по напръжению К>10 пр. показанной счетарественной фазовенной вета от пр. показанной статуратора по податора податора по податора по податора по податора податора по податора податора податора податора податора по податора под

Если  $R_1 = R_2 = R_3 = R_7 = R$  и  $C_1 = C_2 = C_3 = C_4 = C_7$  частота генерируемых сигналов в генераторе с трехзвенной целью  $f \approx 65 f/(RC)$ , а в генераторе с четырехзвенной целью  $f \approx 133 f/(RC)$ , где f,  $\Gamma$ ц; R, КОМ; C, мкФ.

Измерительный генератор комплекта измерательных пряборов «Спутник» радволюйствая (рис. 10.52). Генератор выполнен по схеме, вываютичной рис. 10.48 и, дая своемь фиксерованных частот: 100; 400 Гид. 1; 3; 5; 8; 10; 15 к Ги спрешностью, не превышающей ± 20%, Выхолые папряжения: регуляруемое на зажимах Выхой 2 го. 1 в превый выпользовать генератор выбот и Тр позволяют котпользовать генератор выбот и Тр позволяют котпользовать генератор ческих целев. При необходимости циеть плавилую перестройку частоты реалистором R<sub>s</sub> и R, 11 ужио заменять спаренным переменным резистором (см. рис. 10.50).

Измерительный генератор на биениях (рис. 10.53), Сигнал ЗЧ в этом генераторе получают, выделяя смесителем частот и ФНЧ сигнал разностной частоты двух близких по частоте (около 200 кГп) генераторов —  $\Gamma_1$  и  $\Gamma_2$ . Основные достоинства генераторов на биениях — хорошая





PHC. 10.53

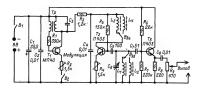
форма сигнала, высокая стабильность частоты и возможность очень тонкой ее перестройки.

# Генераторы радиочастот

Измерительные РЧ генераторы являются маломощными источниками незатухющих и модулированных электрических сигналов. Задающие генераторы этих приборов выполняют с колебательными LC-контурами. В приборах диапазона УКВ в качестве колебательных контуров применяют отрезки линий (см. § 1.2). (обычно 400 или 1000  $\Gamma$ ц) — параметрами трансформатора Tp и конденсатора  $C_3$ .

Генераторы РЧ, стабильна прованные кварцами. Они более стабльны по частте. Частота колебаний таких генераторов в основном определяется параметрами принециемых кварцевых резонаторых принециемых кварцевых резонаторых принециемых кварцевых резонаторых принециемых принециемых принешей

Для проверки и градунровки шкалы частог радиопередатиков епспользуют метод нучаемых биений. При проверке размоприемников КК используют как генератор с инталов фиксированной частоты. Если проверяемый приемник ие имеет второго (телеграфиют) гетерация, о изстройке судят по электроино-световому индихатору или предусматривают в КК амилитудиую модуляцию РЧ сигиалов. Структурная схема КК даяв на рыс. 10,55.



PHC. 10.54

Погрешность по частоте измерительных генераторов достигает  $\pm 1-2\%$ .

Простой генератор на транзисторах (рис. 10.54). Генератор может работать в режиме незатухающих колебаний (выключатель  $B_2$  разомкнут) или с амплитудной модужищей (выключатель  $B_2$  замкнут). Частота сигнала P4 определяется параметрами элементов колебательных контуров, а частота модумирующего напряжения

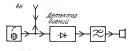


Рис. 10.55

Простой кварцевый калибратор (рис 10.56). Генератор на транзисторе  $T_1$  с кварцевым резонатором Кв создает колебания с частотой 100 кГц. Колебательный контур в цепи коллектора настраивают на эту частоту сердечником катушки  $L_2$ . Искажение формы колебаний для получения большого числа (до 60-80) гармоник осуществляют подбором сопротивления резистора R<sub>1</sub> Роль детектора биений-смесителя выполняет диод  $\Pi_1$ . На транзисторе  $T_2$  выполнен усилитель напряжения биений. Зажим (или коаксиальное гнездо) Ан служит для подключения элемента связи КК с проверяемым радиопередатчиком или радиоприемником. Для повышения точности измерения связь КК с проверяемым передатчиком должна быть минимальной.

Основные технические характеристики некоторых измерительных генераторов синусоидальных сигналов и КК промышленного изготовления приведены в табл. 10.17.

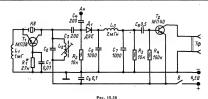


Таблица 10.17. Измерительные генераторы и кварцевые калибраторы

Тип	Днацазон частот	Среднеквадратическое значение выходного на- пряжения или мощность	Основная погрешность по частоте	Тип задающего генератора
F3-104* 13-105** 13-106** F4-102 F4-107 42-5	20 Γu — 40 κΓu 10 Γu — 2 ΜΓu 20 Γu — 200 κΓu 0,1—50 ΜΓu 12,5—400 ΜΓu 0,1; 1; 2,5; 10; 100 κΓu; 1 ΜΓu 0,125—20 ΜΓu (0,125π ΜΓu)	1,5 BT 1 B 5 B 0,5 B 1 B 1 B	$\begin{array}{c} \pm (0.01/+2)  \Gamma u \\ \pm 5 \cdot 10^{-7}f \\ \pm (0.03/+0.3)  \Gamma u \\ \pm (250 \cdot 10^{-6}f + 50)  \Gamma u \\ \pm 0.01f \\ \pm 5 \cdot 10^{-7}f \\ \pm 0.02\% \end{array}$	На биениях Кварцевый <i>RC</i> LC LC Кварцевый Кварцевый калибратор

<sup>\*\*</sup> Коэффициент гармоник — не более 2%.
\*\*\* Коэффициент гармоник — не более 1%.

# Генераторы полос для настройки телевизоров

Качество работы телевняюнного приемника в значительной мере определяется мелімейнейстью разверток приемника по горизонтали и вертикали. Для определения коэффицинента челинейности разверток может быть использована испытательная таблица ТИТ-0249, которая передается телевизонными передатчиками перед началом работы страйт отлевидения. Для определения этого коэффициента следует измерять сторома зонтали (размеры Т) и ЕВ. 28 по верстикали (размеры В), а затем произвести вычисления по формулать.

$$\rho_r = 200 (\Gamma_{max} - \Gamma_{min}) / (\Gamma_{max} + \Gamma_{min});$$
 $\rho_n = 200 (B_{max} - B_{min}) / (B_{max} + B_{min}).$ 

где  $\rho_r$  и  $\rho_s$  — коэффициенты нелинейности разверток соответственно по горизонтали и верти-

кали, выраженные в процентах.

Однако из-за кратковременности передачи таблицы использовать ее для настройки телевизора не всегда возможно. Поэтому для подобных целесообразно изготовить генератор черно-белых полос, т. е. генератор прямоугольных видео- или радионмпульсов (рис. 10.57), частота следования которых в целое число раз (п) выше частоты строчной (для генератора вертикальных полос) или (в т раз) кадровой (для генератора горизонтальных полос) развертки. Выход генератора видеоимпульсов подключают ко входу видеоусилителя, а выход генератора радионмпульсов — ко входу настраиваемого телевизора. Таким образом, в конечном счете испытательные сигналы поступают на входы генераторов строчной и кадровой разверток и на модулирующий электрод (или катод) электронно-лучевой трубки, вызывая на ее экране чередующиеся светлые и темные полосы. При скважности импульсов, равной 2, на экране кинескопа возникают



Pac. 10.57

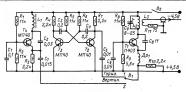


Рис. 10.58

светлые и темные полосы одинаковой толщины. При большой скважности импульсов светлые или темные полосы могут превращаться в линии.

Синхронизацию частоты строчного и кадрового генераторов осуществляют ручками телевизора Частота строк и Частота кадров по импульсам генератора полож. При устойчивой синхронизация на экране телевизора должно наблюдаться л (или m) светлых (или темных) полос (или ликий).

Генераторы цветных полос сложны, и их изготовление для раднолюбительских целей неоправданно дорого и трудоемко.

Простой транзысторный генератор полос (рис. 10.58). Он состоит из генератора на транзисторе Т., работающего на несущей частое сигнала изображения одного из телеванизонных каналов, генератора-модулятора с поризонтальных полос, работающего на частоте 400 Гц (сим-метричный мультивибратор на транзисторах Т, и Т,), и тецератора-модулятора вертикальных полос, работающего на частоте 156 кГц (LC-генератора на отранзисторах Стенератора на транзисторах Стенератора модулятора вертикальных полос, работающего на частоте 156 кГц (LC-генератора на транзисторе Т, развичкоте Т, развичк

Виход прибора соединяют с антенным гиездом гислензиора отрезком комскиального кабеля. При этом на вход телевизора поступают радионимульсы, несущая частота которых, овределяемая параметрами элементов контура  $C_{g-2}$ , соответствует частоте сигнала изображения одного из телевизионных каналов; телевизор должен быть включен на этом канале.

Переключатель генератора полос В<sub>1</sub> устанавливают в положение Гориз. и ручкой телевизора Частота кадров добиваются устойчивого



Рис. 10.59

нзображения восьми горизонтальных полос (*m* = 8; I<sub>маза</sub> = 50. Ги]. При линейной кадороой развертке расстояние между полосами должно быть одинаковым. Для проверки линейности по строкам переключатель В₁ переводят в по-ложение Вергили: в ручкой телевизора "Застоя строк добиваются устойчаюто изображения детой в торизонами должно быть одинаковым, чем пределения расстояние между соседними полосами должно быть одинаковым.

При наличии измерительного генератора диалазона УКВ (например, 1-1/1) и генератора 34 с диапазоном до 200 кГц (например, 1-33) 34 с диапазоном до 200 кГц (например, 1-33) диалазоном до 200 кГц (например, 1-33) диалазоничный изображенному на рис. 10.57. Для этого генератор УКВ переводат в режим внешней амплатудной (или импуасной) модулящим системенном диалого из техеномогим деналази изображения одного из техеномогим деналази системенном деналази диалего 34, из услова 3-3, 1-3,



# ОСНОВЫ КОНСТРУИРОВАНИЯ И МОНТАЖ РАДИОАППАРАТУРЫ

# PASEA (1)

#### COREDWANNE

11.1.	Компоновка элементов аппаратуры Общие положения (360). Предварительный анализ работы устройства (361). Группировка элементов и компоновочная модель (362). Выбор типа электромонтажных соединений (364). Особенности компо-	360
	новки органов управления и индикаторов (364)	
11.2.	. Приемы выполнения компоновочных работ	365
	Графическая компоновка (365). Аппликационная и модельная компоновка (365). Натурная компо-	
	новка (365)	
112	Voucermune mountains and	276
11.0.	Конструирование печатных плат Простейшие конструкторские расчеты	077
11.4.	простениие конструкторские расчеты	3//
	Расчет установочных параметров элементов (377). Оценка тепловых режимов (377). Расчет радиаторов	
	для полупроводниковых приборов (378). Конструкция радиаторов (378). Конструкция уплотвений (379).	
	Оценка паразитных связей. Конструкции экранов (379). Примеры конструкторских расче-	
	TOR (380)	
115	Электромонтажные соединения и монтаж элементов	381
11.0.		301
	Области использования различных электромонтажных соединений (381). Проволочный монтаж (381).	
	Печатный монтаж (383). Монтаж элементов разиранизратуры (384)	
11.6.	Элементы конструкций	385
	Футляры и кожухи (385). Декоративные покрытия (385). Шкалы и приводные устройства (385).	
	Технологические советы (386)	

# 11.1. КОМПОНОВКА ЭЛЕМЕНТОВ АППАРАТУРЫ

# Общие положения

Современная промышленная бытовая радиоаппаратура характеризуется:

частичной или полной заменой элементной базы в виде дискретных электрорадноэлементов на микросхемы:

резким повышением качества воспроизводимых сигналов, звуковых и наузальных (полоев воспроизводимых звуковых частот расширилась от 16—20 до 20 000—50 000 Гц при искажениях менее 0,1% и четкости телевизионных цветных изображений до 3000 строк в новых перспективных разработках);

повышенными эргономическими показателями, при которых простые действия управления обеспечивают весьма сложные операции по настройке и регулировке аппаратуры;

«электронизацией» целого ряда традиционно механических устройств радноаппаратуры (механические КПЕ заменяют на варакторные матрицы, емкость которых меняется при изменении приложенного к ним напряжения; механические переключатели каналов в телевизорах и переключатели диапазонов меняют в радиоприемниках на сенсорные с электронным механизмом контакта и т. п.);

модульностью конструктивно-схемных ре

широким использованием цифровых устройств и новых типов индикаторов с буквенно-цифровым отсчетом, часто выполняемых в виде комбинированных дисплеев.

Квалифицированные радиолюбители не только довторяют промышленные образыы, ко и нередко разрабатывают оригинальные устройства, которые опережают промышленные разработки. При этом все перечисленные особенности отражаются в конструкциях аппаратуры.

Наиболее характерные конструктивные особенности современной радиолюбительской аппаратуры:

1. Конструкции выполняют в виде набора функциональных модулей, в каждом из которых находятся одна—три микросхемы и несколько диксретных элементов. Например, характерные модули телевизора: модуль УПЧ изображения, УПЧ звука, усилитель зауковой частоты, усилитель изображения, усывители сигналов цветности, строчной развертии, кадовой развертии, стабилавании, приеминка звукового радновещания: модуль варакторных матриц с колебательными контурами, модуль сенсорного переключения диапазонов, модуль 1941, предварительного и коменто усилителей звуковой частоты. Устройства управления, питания, головки громкоговорителя и другие выполняют в виде оригинальных устройств, карактерных только для данного изделии, в разверству практерных только для данного изделии, в разнообразных моделях радиовпларатури данмой группы.

2. Широмо используют электронные шклам настройки и цифорому видикцию частоти настройки. Это позволяет применять вместо сложных механизмов настройки с точеными и фрезерованными деталями обычные потенциометры, а вместо точных механических шкла настройки— электронные с цифоровой издикацией, коготорые рабо постью отсется издикацией, которые рабо постью отсется издикацией, которые работного отсется надвигируем частоты. Акалогично работают электронные регуляторы громкости и тембра.

3. Сочетание в одном устройстве чувствительных приемников (звукового и телевизионного вешания) и генераторов (тактовой частоты во многих цифровых устройствах) требует тщательной проработки компоновочных схем и введения специальных экранов.

4. Тесное расположение большого числа элементов трефоту речат их допустных телновых режимов как при эксплуатации, так и при монтажем Микросским при этом не вядяются исключением, хота уровни рассенваемой в них мощности малы, по на за еминостоянности монтажением он за еминостоянности монтажением он за еминостоянности монтажением образоваться и при выполняющим образоваться и пределаться при которой может нарушаться нормальная работа устройства.

5. Радмолюбительскую аппаратуру выполняют с высокими эстетическими показателями. Радмолюбители часто используют футягры от промышленной аппаратуры, выполняя доработку таких элементов, как цикалы и устройства управления. Доработка проводител с использованием современной учений предоставлений предоставлений учений предоставлений предос

Чтобы радиолюбительские конструкции хорошо работали, необходимо тщательно продумывать и выполнять компоновку их элементов — как внутреннюю, так и внешнюю.

# Предварительный анализ работы устройства

Принципиальная схема устройства дает представление только о принципе работы устройства, но не о его конструкции. Множество же сложных взаимных связей между элементами, определяемых размещением их в пространстве или на плоскости, показать на принципиальной схеме нельзя. Размещение элементов принято называть компоновкой (от латинского componere — скла-

давать),
Нанболее распростравенной ошибкой начинаюшего разнослюбителя-конструктора ввалеста то,
что при компоновке замеченого от стремится
получить как колько меньшие габариты устройстномучить как колько меньшие габариты устройстмиосвязани между элементами различика тринципы кидами от принципы кидами от принципы кидами от таких ошибом, необ-

ходимо прежде всего тщательно рассмотреть возможные варианты компоновки элементов. Наиболее трудно выполнить компоновку усилителей (особенно высокочастотных), проще всего источников питания. При этом необходимо пом-

нить следующее:

1. Компоновка усилителя тем сложнее, чем больше его коэффициент усиления и рабочая частота, чем шире полоса частот, чем больше в нем каскадов и диапазонов.

 Компоновка генератора (гетеродина приемника, измерительного генератора, передатчика ит. п.) тем сложнее, чем выше частота, на которой он работает, чем больше число частотных диапазонов, чем выше требуемая стабильность частоты и монность.

3. Компоновка устройств питания достаточно проста для транзисторной аппаратуры. Для ламповой аппаратуры она тем сложнее, чем выше должна быть стабильность выходных напряжений . или токов, чем больше напряжение или ток нагрузки, чем больше число выходов. Изменение компоновки (перекомпоновка) источников питания пояти не сказывается на их работе; в генераторах неудачная компоновка заметна, а в усилителях может оказаться причиной полного нарушения их нормальной работы. Часто причинами таких нарушений в усилителе радиочастоты могут быть всего лишь некоторое увеличение длины проводника, его недостаточная экранировка и другие незначительные, на первый взгляд, изменения в компоновке элементов.

При компоновке элементов нового или перекомпоновке элементов проверенного в работе устройства (прибора) необходимо проанализировать задачу в такой последовательности:

 Исходя из назначения устройства (усилитель, генератор, источник питания) оценить ожидаемую сложность компоновки элементов.

 Продумать необходимость применения экранов и развязывающих фильтров между каскадами и предусмотреть место для их установки.

 Оценить особенности монтажа элементов и , регулировки устройства как по частям, так и в целом, обеспечивающих нормальную эксплуатацию устройства.

 Предусмотреть все механические крепления и места под винты и гайки, заклепки и т. д.

 Выполнить эскиз компоновки элементов устройства с органами управления и индикаторами.
 На основе такого анализа получится несколь-

ко эскизных вариантов компоновки элементов

и конструкции в целом, которые позволят наметить пути рационального конструирования и избежать многих ошибок.

### Группировка элементов и компоновочная модель

После того как определены основные показагелн намеченной к конструированию аппаратуры и разработана или выбрана ее принципиальная схема, надо продумать, целессобразно ли выполнить устройство на одной монтажной панели или разделить его на блоки, функциональные части, функциональные группы.

Отметим особенности компоновки приемников звукового и телевизионного вещания, поскольку они являются наиболее распространенными объектами радиолюбительского творчества.

Современное стационарное устройство для приема радиовещательных передач обычно состоит из следующих функциональных частей: настроечного блока, в состав которого входят преобразователи частоты; УПЧ с цепью АРУ; детекторы, а при необходимости УРЧ; УЗЧ; блок питания (трансформатор, выпрямитель, сглаживающий фильтр, стабилизатор). Қасқады предварительного усиления УЗЧ нередко выделяют в самостоятельный конструктивный узел. В стереофоническом устройстве добавляется стереодекодер и второй УЗЧ, причем оба УЗЧ бывает целесообразно скомпоновать в единую конструкцию вместе с коммутатором видов работы. Все перечисленные части вместе с устройством для проигрывания грампластинок, если конструируется радиола, размещают в общем футляре. Головки громкоговорителей стереофонической системы располагают в двух отдельных футлярах. Громкоговоритель монофонического радиоприемника также часто выполняют в отдельном футляре.

Если конструируется магнитола или магнитофон при имеющемся радиоприемном устройстве, целесообразно предусмотреть использование последних каскадов УЗЧ приемника и громкоговорителя (громкоговорителей) также для воспроизведения записей с магнитной ленты.

Высокочастотные части и УЗЧ переносных РВ приемников и приемников для радиоспорта обыч-

но компонуют вместе.

Для ТВ приемника компонуют отдельно блож УПЧИ, УПЧЗ, усилителя видеоситивлов и детекторов; блок разверток и сиккронизации; УЗЧ, блок питания, а для цветного телевазора, кроме гото, блок цветности. Заниматься конструироваканалов и настояти. Заниматься конструироваканалов и настояще время шелегособразию, так как это очень трудоемкая работа, а они имеются в продаже.

Компоновку элементов радиоаппаратуры или ее частей и блоков рекомедуется выполнять в такой последовательности: перечертить принципиальную скему устройства (блока, функциональной участи, функциональной группы) с учетом рациональной компоновки, сгруппировать пассивные элементы вокруг соответствующих актирных элементов (транзисторов, электронных дами), учитывая их особые компоновочные характеристики (например, расположение только вертикальное или горизонтальное, голько сверу, или только синзу платы ит. д.), и, наконец, составить окончательный ввриант принципиальной схемы устройства (блока, функциональной части) для компоновки.

На рис. 11.1, а показана схема двужаскадного УЗ4 на транисторах тол ваде, как се обычно вычерчивают. На се основе негрудно струппыровки растити, составна схему группировки (рис. 11.1,6). С учегом компоновочных характеристик заменяться, учитывая им устаному в аппазывающих фильтров можно составить компоньоми в безова (рис. 11.1.2), который и послужит основой для разработки конструкции устройства в целом.

Из компоновочного эскиза видно, что между размерами элементов и размерами монтажной платы (или устройства) существует заметная разница. Увеличение размеров радиоаппаратуры по сравнению с размерами составляющих ее элементов зависит от многих причин. Главнейшие из них - электрические, магнитные и тепловые поля вокруг работающих элементов, которые могут быть причиной паразитных связей, нарушающих нормальную работу устройства, и необхолимость дополнительного пространства в конструкции для механических и электрических соединений элементов, для размещения органов управления и индикаторов (осей и ручек управления, шкал, индикаторных ламп). Поэтому для компоновки следует использовать не геометрические модели элементов, размеры которых равны размерам элементов, а модели в виде их установочных объмов или площадей.

На рис. 11.2.а помазави резистор, а рядом с ним в виде прямоуто ныков сто реальные плошады Б<sub>рясь</sub> в объем 1 г.саг. Рассчитавные с учетом 
пребований монтажа и выграева резистора устамовочная плошадь (рис. 11.2, 6) и установочная 
плошадь (рис. 11.2, 6) и музаничеть 
повыем (рис. 11.2, а) оказывается значительно 
большими. Если этого не учитывать при компоможе, то нородывыя работа эксментов може 
повыем расправания работа 
может 
мо

Нельзя также располагать рядом элементы вкомальных пвыходных цепей (рис. 11.3, a). Так, если в усилителе (см. рис. 11.1) на плате рядом окажутся трансформатор  $T_{P_1}$  с резистором R, первого каскада. это может привести к самовозбуждению усклителя, устранить которое будет трудно.

Если радиолюбитель-конструктор уже имеет опыт сборки и налаживания айпаратуры, то приближенно установочные площади или объемы элементов можно определить, разделив соответственно общую площадь печатной платы или занимаемый ею объем на число элементов ранее выпол-

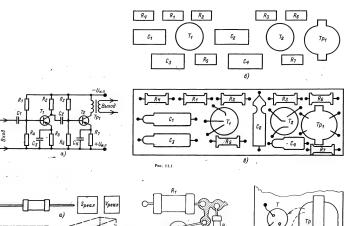


Рис. 11.2

Рис. 11.3

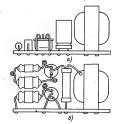
ненных им конструкций. Такие данные послужат хорошей основой для обоснованных компоновочных расчетов новых конструкций.

# Выбор типа электромонтажных соелинений

В радиолюбительской практике широко используется печатный, проволочный навесной и проволочный жгутовый монтаж.

Печатный монтаж можно использовать во всех раднолюбительских конструкциях, кроме мощных каскадов передатчиков и блоков развертки телевизоров и осциллографов. Преимущества печатного монтажа — сравнительно малый объем и жесткая фиксация мест соединений - гарантируют хорошую повторяемость параметров и высокое качество работы конструкций, собранных на одинаковых печатных платах. Однако из-за того, что при печатном монтаже элементы имеют общее основание (рис. 11.4,а), значительного выигрыша

в размерах конструкции получить не удается. Проволочный навесной монтаж позволяет получить трехмерную (объемную) конструкцию соединений, что дает возможность уменьшить габариты устройства в целом, однако такой монтаж весьма сложен в исполнении, особенно при плотной ком-







поновке. Навесной монтаж целесообразно применять в каскадах передатчиков, телевизоров и осциллографов, где элементы работают под напряжением более 1 кВ (рис. 11.4,б).

Проволочный жгутовый монтаж с использоваодно- или многорядных проволочных инем жгутов (рис. 11.4, в) применяют для межблочных соединений и в блоках питания, где влияние паразитных связей между различными проводниками на работу устройства незначительно.

# Особенности компоновки органов управления и инликаторов

Рациональная компоновка элементов и учет влияния монтажных соединений позволяют решить только часть задачи конструирования, Устройство имеет органы управления и индикаторные устройства, которые определяют «внешнюю компоновку». При решении компоновочных задач необходимо учитывать правила внешней компоновки, ибо как бы хорошо ни были скомпонованы элементы, но если шкала расположена с одной стороны приемника (например, спереди), а ручка настройки — с другой (например, сзади), то работать с таким аппаратом будет неудобно и трудно.

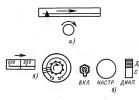
Основные правила рациональной внешней компоновки:

1. Органы управления радиоаппаратурой (переключатели, ручки настройки и регулировки) и связанные с ними электрически или механически индикаторы (например, шкалы) должны иметь такое относительное расположение, чтобы при управлении устройством руки оператора не загораживали инликаторы. Исхоля из этого соображения ручку настройки радиоприемника располагают, как правило, правее шкалы или под ней.

Регулятор громкости в большинстве случаев целесообразно устанавливать слева: при этом, настраиваясь на частоту передающей радиостанции правой рукой, можно одновременно устанавливать желательный уровень громкости левой рукой. Это особенно удобно в приемниках, используемых для радиоспорта и для связи.

В малогабаритных (карманных) радиоприемниках регулятор громкости целесообразнее расположить вместе с ручкой настройки на правой боковой стенке корпуса, тогда этими органами управления удобно оперировать, взяв приемник левой рукой. Местоположение остальных органов управления приемником, которыми приходится пользоваться относительно редко (переключатели диапазонов, регуляторы тембра и др.), имеет мемьшее значение

На передней стенке телевизионного приемника. под экраном или справа от него, располагают переключатель селектора телевизионных каналов, ручки регуляторов яркости изображения и громкости звуковоспроизведения, регуляторы цветовой насыщенности (в телевизоре с цветным изображением), а также ручки подстройки частоты гетеродина, если подстройка не обеспечивается автоматически. Поскольку остальными органами



управления — регулятором размера по вертикали, ручками переменных резисторов установки частоты строк и частоты кадров — приходится

пользоваться не часто, их обычно размещают сзади; это позволяет улучшить конструкцию телевизора в эстетическом отмощении.

 Наиболее рациональные конструкции шкал круглые и линейные горизонтальные (линейные вертикальные дают меньшую точность отсчета показаний).

 Вращение ручек управления должно соответствовать направлению движения стрелки прибора или указателя настройки (рис. 11.5, d).

 «Нуль» шкалы должен быть слева или внизу, увеличение показаний на шкале должно происходить по часовой стрелке или слева направо (рис. 11.5, б).

 Для разных операций управления (включение, настройка, переключение и т. п.) желательно использовать разные по характеру движения регуляторы (рис. 11.5, в).

 Для устройств точной настройки следует применять ручки Ø 40—80 мм, для вспомогательных — не менее 10 мм.

#### 11.2. ПРИЕМЫ ВЫПОЛНЕНИЯ КОМПОНОВОЧНЫХ РАБОТ

# Графическая компоновка

Графическую компоновку обычно выполняют на масштабно-моординатий (мыллиметровой) бумаге простым и цветными карандашами. Графическая компоновка очень удобна при составлении эскизов монтажьных осединений и при самом омгажь. На специально поречереченой съементы и при помотажь на специально поречереченой эсментами припаяниме заменты и проводики, тот позволяет припаяниме историторы и полностью избежать ошибок при выполнении монтажных работ.

# Аппликационная и модельная компоновка

В радиолюбительской практике целесообразна аппликационная компоновка. Аппликация наиболее распространенных элементов приведена на рис. 11.6 (в масштабе 1:1).

Выбрая примерные размеры монтажной платы и вычертив есконтуры на лиссе миллиментровой или чергежной бумаги в масштабе имеющике, выпланаван, можно приступать к компоновке, раскладавава аппликаций, можно приступать к компоновке, раскладавава аппликаций соответствии с вымеранной группировой элементов (см. ри. 11.1). Так как размеры аппликаций соответствуют физикаты и соответствуют физикаты и соответствуют физикаты праводы в праводы в праводы праводы в праводы

Добившись требуемого расположения элементов, аппликации закрепляют резиновым клеем (он прозрачен и позволяет использовать одну и ту же аппликацию несколько раз). Затем на полученный компоновочный макет накладывают лист кальки и переносят на него контуры элементов и контактные площадки. Наложив на полученный эскиз второй лист кальки или отогнув часть первого листа, переносят на него все контактные площадки. На обратной стороне второго листа изображение контактных площадок и деталей будет видно как бы с другой стороны платы (рис. 11.7). На этом листе цветным карандашом или фломастером чертят соединительные проводники, т. е. составляют схему соединений. Таким же способом можно выполнить и компоновку органов управления и индикаторных устройств. Применение кальки значительно упрощает компоновку, так как дает возможность видеть сразу обе стороны монтажной платы, а это позволяет легко осуществить при необходимости перекомпоновку деталей.

Можданная компономка наибодее маглядия, ма и наиболее спомна. Для чее требуются можна заементов, наготовить которые в радиолюбительских условиях затруднительно. Поэтомо дели целесобразно использовать только для прибламительной компоновак курпик элементов устройствие в целом (присминка, радиола и т. п.) устройствие в целом (присминка, радиола и т. п.) устройства в целом (присминка, радиола и т. п.) устройства в целом (присминка, радиола и т. п.) устройства в целом (присминка, радиола и т. п.) устройства в целом (присминка, радиола и т. п.) устройства в целом (присминка, радиола и т. п.) устройства в целом (присминка, радиола и т. п.) устройства в целом (присминка и т. п.) устройства в присметном присм

# Натурная компоновка

Натурную компоновку радиолюбительконструктор выполняет обычно в виде макета, с помощью которгог проверяется работоспособность устройства (прибора). При переходе от макета к окончательной конструкции необходимо соблюдать следующие правила:

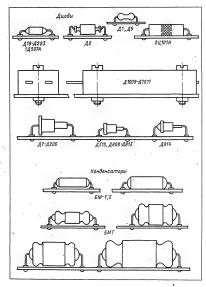


Рис. 11.6

- Макет должен иметь примерно такие же размеры и форму, что и окончательный вариант конструкции.
- Расположение основных элементов, особенно в высокочастотных каскадах, на макете и в конструкции должно быть одинаковым.
- При выборе компоновки более плотной, чем на макете, обязательно надо предусмотреть место для стабилизирующих элементов, экранов, развязывающих фильтов. радиаторов и т. п.
- Рисунок монтажных соединений на макете и в конструкции должен быть одинаков.
- Должны быть учтены расположение, форма
- и размеры всех органов управления, индикаторов, а в переносных конструкциях — и отсека питания, а также особенности работы, используемых гальванических или аккумуляторных батарей, их смены и т. д.
- Необходимо продумать особенности эксплуатации устройства (удобства его переноски и установки при эксплуатации, защиты от пыли и вдаги и т. п.).
- Универсальная монтажная плата. Большие возможности для макетирования устройств дает применение универсальных печатных плат (УПП). Их можно использовать для макетирова-

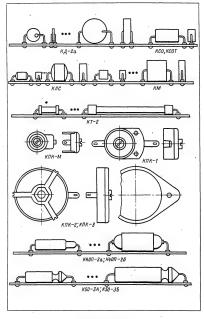


Рис. 11.6 (продолжение)

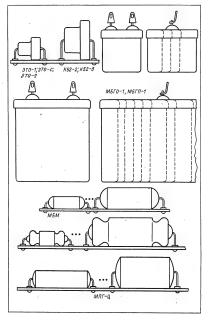


Рис. 11.6 (продолжение)

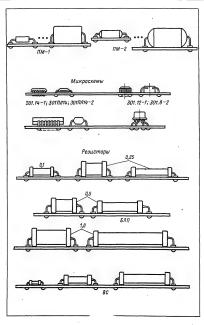


Рис. 11.6 (продолжение)

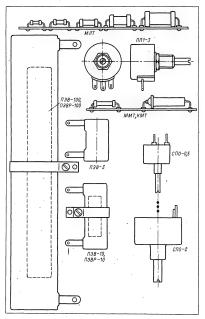


Рис. 11.6

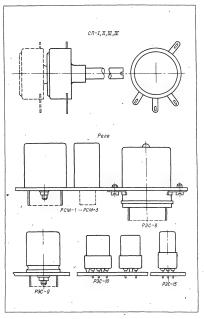


Рис. 11.6 (продолжение)

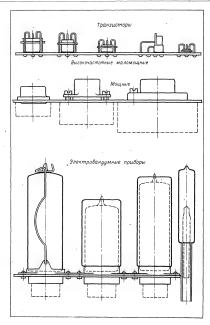


Рис. 11.6 (продолжение)

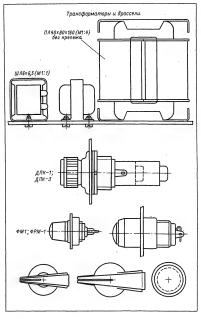


Рис. 11.6 (продолжение)

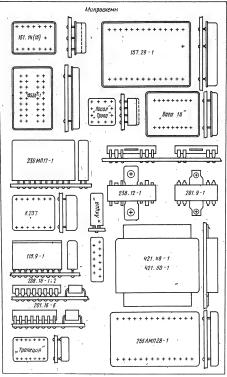
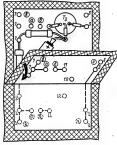
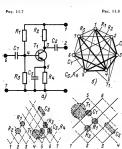


Рис. 11.6 (окончание)





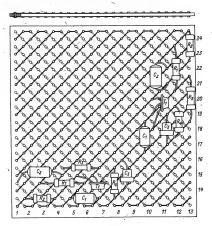


ния устройств и их частей с различной компоновкой заементов, если соблюдено условие равенства (или превышения) числа контактики, линий (проводников) на УПП и числа соединений на схеме. Существо метода (его разработа и предложил П. П. Кувырков) рассмотрим на примере компо-

новки однокаскадного усилителя (рис. 11.8,а). На схеме усилителя семь точек соединений. Если эти точки изобразить в виде вершин правильного семиугольника, то сами элементы можно представить в виде сторон или диагоналей этой фигуры. В математике такие фигуры называют «графами». Если показать все возможные соединения между вершинами графа, то получится чертеж (рис. 11.8. б), на котором толстыми линиями показан реализованный граф соединений. Таким образом, если мы сможем создать полный граф соединений схемы на плате, то компоновка сведется только к расположению элементов на существующих проводниках. Конечно, часть проводников может быть и не использована (но это -«расплата» за универсальность УПП). Простейший вариант рисунка соединений УПП показан на рис. 11.8, в. Недостаток такой платы в том, что она имеет трехугольную форму. Четырехугольная плата выполняется несколько иначе (рис. 11.8, г), В обоих случаях проводники имеют в плане Г-образную форму и располагаются с двух сторон платы (сплошная линия -- наружная сторона платы, а пунктирная — оборотная).

Приступая к компоновке элементов на УПП вначале нумеруют точки соединений так, чтобы комера выводов элементов (особенно транзисторов) следовали друг за другом. Затем нумеруют проводники УПП, после чего компонумот элементы так, чтобы номера их выводов совпали с номерами проводников УПП.

На рис. 11.9 приведен чертеж универсальной печатной платы, пригодной для любительских целей, и в качестве примера показаны два варианта компоновки усилительного каскада, схема которого приведена на рис. 11.8, д. Плату изготавливают из двусторомнего фольтированного гети-



PHC. 11.9

накса или текстолита толщиной 1,5—2 мм. При отсутствии такого материала на обычной гетинакс или текстолит можно наклеить проводники, вырезанные из медной или латунной фольги (см. § 11.5).

Чтобы можно было многократно использовать платы, во все монтажные точки следует вставить пустотелые пистоны и тщательно припаять места их соединения с проводниками.

# 11.3. КОНСТРУИРОВАНИЕ ПЕЧАТНЫХ ПЛАТ

Как правило, для каждого функционального узранили для малогабаритной радиоаппаратуры радиолюбители разрабатывают специальную печатную плату, основой которой является гетинакс или стеклюстекстолит, облицованный медной фольтой с одной стороны, реже — с двух сторон.

чемовит с одине кториев, реже — салух сторил, полинит на кородина пистам с обороднико, взесекающимися под примы углом раздани парадковани, достовно и под под под под под кородина предостава и под под под кородина под под под под кородина под под под кородина под под под кородина под под кородина кородина под кородина к ний, располагают «контактные площадки». В отверстия, просвергения в центрах контактных площадок, будут впаиваться выводы элементов. В некоторых случаях, например при мумалых расстояниях между выводами какого-либо элемента, контактные площадки приходится делать и на линиях между узлами.

Электронная промышленность выпускает ряд типов злементов с расстояниями между осями выводов, равными стандартному шату печатного монтажа 2,5 мм. с расстояниями, кратыми по отношению к этому размеру: 5,0; 7,3 мм п т. д. например. электроантические колденсаторы КБО-6, керамические подстроечные колденсаторы КБО-6, керамические подстроечные колденсаторы КПК-МП, транзисторы серий ГТЗЗ2, КТЗО6,

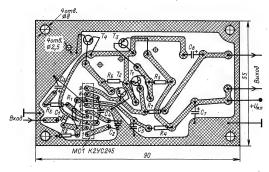


Рис. 14.10

KT312, KT315, KT316, KT325, KT326, микросхемы серий K224, K237 и др.

Расстояния между выводами других элементов с гибкими проволочными выводами (например, резисторов ВС, МЛТ, конденсаторов КД, КТ, БМ, МБМ, КМ) легко привести к размеру, кратному шагу координатногой сетки 2,5 или 5 мм, соответствующей /формовкой (изгибом) выводов элементов.

На рис. 11.10 показан пример компоновки на печатной плате УЗЧ, в котором использована микросхема К2УС245. Здесь позиционные обозначения элементов усилителя соответствуют его принциппальной схеме, приведенной на рис. 4.12.а.

# 11.4. ПРОСТЕЙШИЕ КОНСТРУКТОРСКИЕ РАСЧЕТЫ

# Расчет установочных параметров элементов

Установочный объем V<sub>27</sub>, элемента определяют исхода на максимальных (с учетом монтажа) размеров по ширине В, длине L ів высоте Н. Произведение этих величии с комфициентом запаса 1,5 определяет установочный объем большинства элементов (кроме полупроводинновых и электровакуумных приборов, резисторов с большинства засмеских выпражениях): V<sub>2</sub> = 1,5 В.Н. Вишк дли высоких выпражениях): V<sub>2</sub> = 1,5 В.Н.

Сумма установочных объемов элементов меньше полного объема устройства.

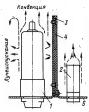
На практике обычно пользуются отношением суммы установочных объемов элементов к общему объему устройства. Для таких радиолюбительских конструкций, как блоки питания или радиоприемники, это отношение составляет 0,3—0,6, а для передающих устройств —0,2—0,3.

При компоновке элементов на плоских печатных платах оперируют понятнем установочной пло-

щади элемента, которую для большинства, элементов вычисляют по формуль  $S_{set}=1,25\,$  BL. При определения полькой лющади платы вводят коэффициент ее увеличения, равный  $2-3\,$  (другими словами, полняя площадь будет в  $2-3\,$  раза больше установочных площадей всех элементов).

#### Оценка тепловых режимов

Детами радиоаппаратуры могут нагреваться за сиет как выещим кеточинов отела (солнечая или тельовая радиация, повышение температуры или тельовая радиация, повышение температуры об сольшение образоваться по поставления транзысторы и диоды, трансформаторы питания и дамиы). Повышение температуры влияет на электрические параметры устройства («уходит» на стройка на радиостацию, ухушается качество работы, повышенте и вертопотребение, выходит работы, повышенте и вертопотребение, выходит радионами повышенте меропотребение, выходит радионами стройства (вертоногриствальных, различных его механизмов (вершерно-индальных, различных его механизмов (вершерно-индальных,



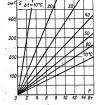


Рис. 11.12

Рис. 11.11

лентопротяжных и т. п.), что проявляется в заедании осей, детонации звука и т. д. Часто причина нарушения нормальной работы

— в неправильном расположения закементов усторобства при компоновке. Так, если в передатчике рядом должны быть расположены мощная генераторівная лампа и кварцевый резонатор, то их надо разделить тепловым экраном, исключающим перегрев кварша. В этом случае конвективные потоки тепла от ламни / (рис. 11.11) не попадут на кварцевый резонатор 2. Поднрованная поверхность металического экрава Эгоражает бельщую дасть дучестих потоков тепла. Для дальнейшего разделения использовам тепловолиционный экческого экранороший кропитей» б от металлического экранороший кропитей» б от металли-

Этот пример указывает на то, что при компоновке элементов следует быть внимательным к тепловым потокам в устройстве. Расчеты тепловых режимов аппаратуры весьма сложны и, как правило, недоступны радиолюбителю-конструктору. Поэтому следует внимательно анализировать конструкцию, чтобы правильно оценить качественную картину процессов теплообмена. Лля приближенной оценки можно ограничиться вычислением среднего потока тепловой энергии с единицы поверхности футляра. Поскольку КПД радио 4 чпаратуры обычно намного меньше единицы, то для такой оценки можно пользоваться отношением мощности, потребляемой от источника питания, к поверхности футляра. Это отношение не должно превышать примерно 0,02 Вт/см2 лля конструкций в металлическом корпусе и 0,01 .Вт/см2 — и пластмассовом, или деревянном корпусе.

# Расчет радиаторов для полупроводниковых приборов

Для обеспечения нормального режима работы мощных полупроводниковых приборов используют радиаторы различиой конструкции, которые увеличивают эффективность теплоотвода, понижают температуру приборов, увеличивают надежность и срок их службы.

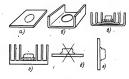
Для расчетов радиаторов необходимо знатьцелый ряд параметов, определяющих так называемые тепловые сопротивления отдельных участков системы «полупроводниковый прибор — радиатор». К ним относятся тепловые сопротивления «коллекторыный переход — корпус транзистора», «корпус транзисторя — радиатор» и «радиатор — окружающая греда».

Тепловое сопротявление «коллекторный переход — корит гранзистора (диода) » определяется конструкцией самого прибора и, естественно, не может быть заможенов. Для уменьшения теплорого правыторь поверхность различира в месте крепания полутрованикового приборя необходим отшалфовать, проложить между ними тонкую сеницомую прокражу или смаазть соприкающиеся плоскости транзистора и радиатора невысыхающим маслом (например, силикововым). Если корпут гранзунстора или диода необходимо всех различного и имер.

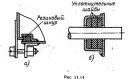
Для изготовления в длюбительских условиям наимолее подходят раданторов в виде прямой или изогнутой пластины. Расчет таких раданторов веспомен и может быть выполнен по графику, показанному на рис. 11.12. Зная: рассенваемую похизраюдимсьями приборами мощность Г [Вт] и допустимую температуру перегрева Дл (от 10 до 70°C), определяют площам, воверхности радатора в въде. пластины, ее голщина должно быть пой произдами эффективность радантора убеньшается на 20—50%, а это гребует соответствующего убедичения его поверхности.

# Конструкции радиаторов

Для изготовления радиаторов радиолюбителя и наиболее доступны листовой алюминий или его сплавы. Использование для этой цели меди и ее



Pwc. 11.13



PHC. 11.1

сплавов нецелесообразно, хотя и несколько увеличивает эффективность радиаторов. Дело в том, что радиаторы из этих материалов втрое тяжелее, к тому же медь очень вязка и поэтому плохо обрабатывается резанием.

Простейший радиатор представляет собой плавого тину (рис. 11.13, а). Для уменьшения теплото совротивления между корпусом полупроводникового прибора в радиатором, достаточно зачистить место установки полупроводникового прибора наждачной бумагой. Такой радиатор необходимо располагать вертикально, так как при этом почти вдаес уреаличивлего него, эффективность. Если коллектор мощного транянстора должен бота, соединет сметальгистивность правилогова бота, соединет сметальгистивность по место установки диода или транянстора на рациторе 11-бора должено зачисти правилогова по зачисти правилогова по дио обработать горцевой фрезой, чтоби получилатор ровый в длоский участок необходимых раз-

Основной недостаток самодельного ребристого разматора (рис. 11.13, а) — большое теллопое сопротивление в местах прилегании отдельных пластин (ма рисумке эти места наделень жарвами пластин и пользуется незороживать образовать править и пользуется неэфрективно. От этого недостатак свободны радиаторы, изготовленные из целого куска материала, например, фрезерованием (рис. 11.13, а).

меров.

Недопустимо для всех выводов трайзисторы средней вил большой мощности делать в радиаторе общую прорезь. Отверстия в радиаторе общую прорезь. Отверстия в радиаторе общую прорезь Отверстия в радиаторе и выпуль образовать выбодь мастродов полутроводниковых приборов и выпты, крепацие из какдыке фланцы, должны быть возможно меньшего диаметра. Исключением из этого правила въвлатета крепление траивисторов серии 17403, которые важидными фланцами не комплектуются: при котором обеспечивается тутая посадка вы-линарической части корпуса траизистора в его отверстие.

Для эффективного отвода тепла к радиатору должен быть открыт доступ воздуха, поэтому всегда следует стремиться к тому, чтобы радиаторы были расположены вне корпуса устройства, например на его задней стенке. Горизонтальное

- расположение пластинчатого радиатора (рис. 11.13, д) менее целесообразно, чем вертикальное (рис. 11.13, ε).

# Конструкция уплотнений

Уплотнения применяют для защиты аппаратуры от произкавия вагия и плали. Уплотнительные прокладки (чаше всего реаниовые) используют для герметизации мест стыка кожулов с крышками и витовы каболей. Так, уплотнительная прокладка из реаниового шитура (рм. 11.4, д) обеспечвает възражнового шитура (рм. 11.4, д) обеспечвает възражнова предусмателно применяют кабементов (осей переменных резисторов, валиков настройки ит. пл. 3—10 мм. (рм. 11.14, б), пропитанных жидкими смазочными материалами.

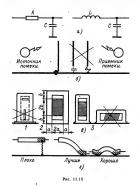
### Оценка паразитных связей. Конструкции экранов

При конструировании радиоапларатуры важно учесть паразитные электрические связи, которые могут возникнуть между элементами устройства. Расчет этих связей очень сложен, поэтому остановикся только на" некоторых конкретных рекомендациях по борьбе с ними.

Наиболее целесообразным способом защиты от паразитных взаимодействий является рациональная компоновка элементов устройства, но и в этом случае приходится использовать развязывающие фильтры и экоаны.

Развязывающие фильтры, как известно, представляют собой сецинение резистора или катушки с конденсатором (рнс. 11.15,a). Для развязки каскадов ВЧ и ПЧ сопротивление резиграф фильтра R может быть от 100 Ом до 10 кОм, о в емкость комденсатора С — от 0,05 мкФ до 4300 пФ. В развязывающих фильтрах НЧ устройств используют резисторы сопротивлением от 50 Ом до 1 кОм и конденсаторы емкостью от 100 до 3 мкФ.

Для экранирования электрического поля (это чаще всего паразитные емкостные связи, зависящие от расстояния между элементами) приме-



няют металаческие перегородки, проводники ким скожухи, влетически надежно соединенные с общим проводом устройства (рис. 11.15, 6). Эжраям изотоговляют из анстовой мена, латуни или автоминеных сплавов толщиной от 0.3-0.5 ао 1 мм (большую толщину выборают не для повышения (большую толщину выборают не для повышения эксперати об 1.00 с

Экранирование магинтного поля, создаваемого трансформаторым зауковой частоты и трансформаторами питания, выполняется с помощью замкнутых зарапов, изготовленных из материалов с высокой магинтной проницаемостью (специальные стали, премалов). Митентиме голоки магнитофонов защищают от внешим экстроматнитофонов защищают от внешим премальной исприаллов — датушь — всемалалов).

Экран катушек при плотной компоновке элементов целесообразыю делать квадратного сечения. Размеры экрана следует выбирать так, чтобы они были примерно вдео сбольше соответствукощих размеров катушки (рис. 11.15, в. 2), а ее расположение в экране должно быть таким, как показано на рис. 11.15, в. 2).

Экранированные провода следует применять только в крайнем случае, так как они обладают сравнительно большой емкостью, а это в ряде случаев нежелательно. Кроме того, экранированные провода тромоздки и гребуют защиты оплетки от соединения с другими деталями и экранами, для чего приходится применять изолящиовные оболочки. Необходимо экранировать кабели микрофонов и провода от звукоснимателей, записы-

вающих и воспроизводящих магинтных головок. Экранированным проводом или кабелем часто соединяют антенный разъем или гнезда с входным устройством телевизора или выкоскочувствителься кого радиоприемника. Соединять экраинурющие оплетки с общим проводом (шасси) устройства следует так, как показано на рис. 11.14.

# Примеры конструкторских расчетов

Расчет установочной площади микросхемы. Ширина и длина корпуса микросхемы 12 мм. Установочная площадь  $S_{\text{tot}} = 1,25 \text{ BH} = 1,25 \times 1,2 \cdot 1,2 \cdot 1,2 = 1,8 \text{ cm}^2$ . С учетом коэффициента использования площади печатной платы (2—3) установочная площадь равия 3,6—5,4 cм².

Расчет установочного объема эдемента. Размер резистора МТТ- (с учетом монтажа): ширина (с завором) 7, данна 20, высота (с учетом толщина избаты и пайты и пайты и пайты) 9 мм. Установочный объем можно использовать при компоновочных расчетах только при нагрузже резистора, не превышающей 0,1—0,2 поминальной. Для компексаторов и остальных эдементов определенные таким способом установочных достарых замементов определенные таким способом установам замементов определенные таким способом установам замементов определенные таким способом установам замементов определенные таким способом установам замементов определенные таким способом установам замементов определенные таким способом установам замементов определенные таким способом установам замементов определенные таким способом установам замементов определенные становам способом установам замементов определенные становам с

Расчет коэффициента использования объема. Сумма установочных объмов элементов 560 см³, общий объем устройства 1580 см³. Коэффициент использования объема 560: 1580 = 0,354.

Сумма установочних объемов элементов приемика 275 см. 1 Приня в коффициент использования объема равным 1/3, получаем, что общий объема приемника долже быть печене 825 см. 1 При нс-26 0 мм и магнитной аптенны с сердечником диной 120 мм годцика приемника (без учета толдинны стенок футляра) должна быть равна 825 : (бж 12) = 11,4 см. (14 мм.). Из сравнения полученных размеров с размерамя срагалей, портомущенных размеров с размерамя срагалей, портомущенных размеров с размерамя срагалей, портомущенных размеров с размерамя срагалей, пор-

Расчет удельной тепловой плотности. Измерентыльный генератор в метальическом кортусе потребляет от сеги 10 Вт. Плошаль поверхности кортод (без учета площаль посерхности кортод (без учета площаль посерхности кортод (без учета площаль сонования) равна 832 см². Удельняя плотность 10-832 — 0,012 ВТ/см²), что гарантирует нормальную работу ририбора. Есла бы генератор баль не в метальяческом, а в деревянном кин пластивсоком футалурат, смя образовать пришлось либо увельность может образовать пришлось либо увельность поверхность футалура, т. е. его объем, имб седелать в нем вентильщиюные отверстия, либо, цваконец, поставить радиаторы на все приборы с большой мощностью рассеняня.

Расчет радиатора. Транзистор должен нормально работать при температуре окружающей среды до 40°C. Допустимая температура его коллекторного перехода не должна превышать 85°C (т. е. перегрев не должен быть выше 45°C). При рассеиваемой мощности 5 Вт и перегреве  $50^{\circ}$ С (с запасом  $5^{\circ}$ С) по графику на рис. 11.12 находим S=100 см $^{\circ}$ .

#### 11.5. ЭЛЕКТРОМОНТАЖНЫЕ СОЕДИНЕНИЯ И МОНТАЖ ЭЛЕМЕНТОВ

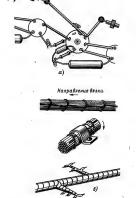
# Области использования различных электромонтажных соединений

Основой электромонтажных соединений являются проводнику из металлов или сплаво с маами спортовлением, которые соединяют способами, обеспечнаващим ининиальное пересодие ими обеспечнаващим ининиальное пересодие имибольные распространение получили медмые одно: или многожильные провода в изолящим (или без нее) и плосиси едиточные проводики, которые получают в результате травления фольгированного материала.

Для соединения проводников используют пайку, штепсельные разъемы и всевозможные зажимные устройства (зажимы, винты). Основной способ соединений в радиоаппаратуре — пайка. Другие виды соединений используются только как вспомогательные.

# Проволочный монтаж

Для проволочного маессного монтала яспользуют медный посеребренный кан ауженый провод © 0,6—1,5 мм. Так как при навесном монталь провода виходителя на сравнительно большом растоянии (2—10 мм), то обычно нет необходим систавляют длянные перекрешизающиеся провода, которые необходими воломровать изолициоными трубочками. Для надежности соединения — поставлением по должно соединения — по должно по должно по должно по должно по должно по должно по должно по должно по должно по должно по должно по должно по должно по должно по должно по должно по должно по должно по должно должно по должно по должно по должно 
Одножильный провод используют и при монтаже на платах с монтажными пистонами и лепестками (рис. 11.16, б). При пересечения проводинков на них необходимо надеть изоляционные трубки. Лучше всего использовать трубки из тка-



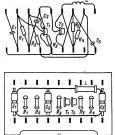
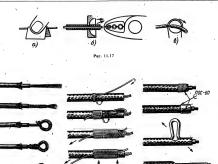


Рис. 11.16



Концы обреза.т б)

ни, пропитанной электроизоляционным лаком, так как они более стойки к воздействию температуры (например, при пайке). Пластмассовые трубки из поливинилхлорида, полиэтилена при пайке могут оплавиться, из-за чего возникнут замыкания.

Жѓутовый монтаж выполняют гибким многожильным проводом с одно- или двухслойной нитяной оплеткой (из шелковой или синтетической нити) и пластмассовой оболочкой. Для того чтобы жгут сохранял круглую форму, его либо обвязывают нитками, либо крепят скобками, клейкой лентой или клеем (рис. 11.16,в). Жгуты обвязывают ниткой так, чтобы при ее продергивании получались самозатягивающиеся петли. Для прочности нитки, предназначенные для работы в условиях высокой влажности, протирают воском. Жтут прикрепляют к шасси специальными скобами. Если скоб много, то обвязку можно и не делать. При закреплении проводов клейкой лентой обмотку следует начинать с самого тонкого сечения жгута, иначе при высыхании клея форма жгута может измениться. Проводники можно скленть в плоский жгут и прикленть его к плате или к шасси; однако если шасси изготовлено из металла, то между проводниками и шасси будут большие паразитные емкости.

Очень важно правильно зачистить провод. Эмалевую изолящию удаляют мелкой наждачной бумагой (рис. 11.17, а). Таким же способом можно удалить и нитяную изоляцию, если ее предварительно обжень в пламени спички или спиртовкимиогомыльные эмалировыные провода сособождают от изоляции, нагревая комен провода в пламени, в затем погружая его в спирт. Эмаль при этом растрескирается и частично осыпается. После этого провод достаточно протереть ваткой, смоченной спиртом, или самой мелкозернистой наждачной буматой. Провод, изолирования высокопрочной змалью (ПЭВ), можно зачищать только наждачной буматой.

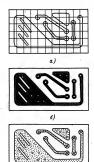
Последовательность операции заделки многожильного провода под зажим мля вият показана на рис. 11:18, а. Для предотвращения разлохмачивания оллетку из ниток оклетневывают (рис. 1,1.18, б). Концы металлической оплетки экраинрованного провода защищают от разлохмачивания пропайкой проводочных манжет или самой оллетки (рис. 11.18, в).

### Печатный монтаж

Контуры мечатных проводников с оригинала (см. § 11.3) переносят с помощью конпровановую бумати на поверхность платы соответствующего размера, изготовленной из фольтированного стинакае выи стежлогекстолита (рис. 11.19, а.) При этом нужно быть очень выимательным, чтобы по шибке не получить на плате зеркальное изображение проводников. Проводник требую конфитурации получают зимическии травлением или выреазог их контуры месяническим способом.

Химическое травление. Участки фольги, кото-

рые на полученном рисунке должны оставаться в виде проводников, покрывают нитролаком, цапонлаком или клеем БФ, подкрашенным несколькими каплями чернил (рис. 11.19, б). После высыхания краски рисунок проверяют на соответствие чертежу проводников и при необходимости счишают все полтеки краски скальпелем. Затем помещают плату в раствор хлорного железа плотностью 1,3 (в стакан емкостью 200 см3 кладут 150 г хлорного железа и заливают до краев водой). Само травление лучше вести в фотокювете подходящего размера, помешивая раствор стеклянной палочкой или покачивая кювету. При нормальной комнатной температуре процесс травления медной фольги заканчивается примерно через 1 ч, а при температуре раствора 40-50°C через 10-15 мин. Готовую плату (рис. 11.19, в) тщательно промывают сначала в холодной, а

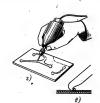


затем в горячей воде, быстро сушат (например, с помощью фена) и сразу же покрывают жидким канифольным ляком (раствором канифоли в спирту). В таком виде проводники платы длительное время сохраняют способность к легкой пайке.

Механический способ. По линиям, ограничивающим поверхности фольгированного материала. с которых необходимо удалить фольгу, с помощью фрезы зубоврачебного бора, зажатого в патрон, укрепленный на валу быстроходного электродвигателя (рис. 11.19, г), «сфрезеровывают» фольгу на глубину, несколько большую, чем ее толщина. Эту же работу можно выполнить с помощью резака, изготовленного из обломка ножовочного полотна (рис. 11.19, д). Поверхность готовой платы до установки деталей тщательно очищают от металлических стружек и пыли и также покрывают канифольным лаком. Следует учесть, что из-за нарушения поверхности изоляционного материала качество изготовленной механическим способом платы хуже, чем при применении метода травления фольги. Тонкий фольгированный гетинакс для получения проводников механическим способом непригоден.

В центрах контактных площадок просверливают отверстия диаметром, несколько большим, чем диаметр выводов применяемых элементов (радиодеталей).

Фольгированный материал для печатных плат можно изготовить и в домашних условиях. Основой могут служить гетинакс, текстолит, стекло-1-2 MM: текстолит толшиной можно взять медную или латунную толщиной примерно 0,05-0,06 мм. Зачистив материал основы и одну сторону фольги мелкозернистой наждачной бумагой, их промывают в растворе соды, ацетоне или эфире (можно просто тщательно протереть их поверхности марлевым тампоном с обезжиривающим составом) и покрывают тонким слоем клея БФ-2 и БФ-4. После того как один слой слегка подсохнет, наносят на основу и фольгу второй слой клея, помещают их под пресс и сушат в течение 48 ч при комнатной температуре или 3-4 ч при температуре 100°C.



#### Монтаж элементов радиоаппаратуры

На печатных платах с односторонним фольгированием транзисторы, полупроводниковы с диоды, резисторы и конденсаторы размещают со стороны, свободной от фольги, пропускают их выводы скозьо отверстия в контактных площадках

и припанвают выводы к печатным проводникам. При монтаже полупроводниковых диодов, гранзисторов, микроскем, резисторов, конденсаторов, переключателей, реди, гамповых пансел и разъкмов следует руководствоваться правилами их монтажа, выполнение которых гарантирует нормальную работу этих элементов. Эти правила

 Так как современные элементы имеют малые размеры, а некоторые и сложное устройство, все электромонтажные операции надо выполнять

тщательно и аккуратно.

2. Перед пайкой можно проводить формовку только выводов, выполненных из тонкого материала. При этом выводы допустимо изгибать из расстоянии не менее 5—8 мм от корпуса или вершины стемлянного проходного изолятора (рис. 11.20, а), а раздуе изгиба разлиже быть, по крайней мере, в 3 раза больше диаметра вывода (рис. 11.20, б).

3. Пайку выводов обычных радиоэлементов, в том числе биполярных транзисторов, можно выполнять с примененеме стандартного паявлененем обычать выполнять с примененеме стандартного паявлененем 220 яли 127 В. При монтаже аппаратые полевыми гранзисторами и микросхемами следует применять инэковольтный паявлынк с ретумремой геневратурой агрена». Вылочают такой стандартного должных разменение загоряженого применять и применять положений паявлынк с ретумремой геневратурой агрена». Вылочают такой завемляя его вторичиую обмотку. Применение заготрансформатора недопрустимо!

Процесс пайки должен быть кратковременным не более 3—8 с. Повторную пайку того же соединения (при необходимости) можно проводить не ранее чем через 3—4 мин.

Выводы элементов во время пайки необходимо держать плоскотубцами (дре. 11.2.0.е) или снользовать другой какой-либо теплоотвод, иначе возможен перегрев элементов, ито может привести к необратимому ухудшению их параметров (наиболее чувствительны к перегреву полупроводниковые приборы и микросжемы).

4. Поскольку полевые транзисторы и микросхемы могут быть повреждены электрическими зарядами небольшого потенциала, при монтаже этих полупроводниковых приборов необходимо принимать следующие дополнительные меры защиты:

 а) работу проводить на столе, поверхность которого покрыта хлопчатобумажным материалом или антистатическим линолеумом;

 б) применять деревянные стулья с матерчатой (не синтетической!) обивкой и электропроводящие настилы под ногами, обувь на кожаной подошве и одежду из хлопчатобумажной ткани;  в) заземлять надежно рабочий инстумент (жало паяльника, пинцет и т. п.) и корпус (общую шину) монтируемого устройства, панели; использовать заземляющий браслет;

 г) исключать возможность соприкосновения выводов полевых транзисторов и микросхем с предметами, для которых свойственна возможность сильной электризации, например с предме-

тами из синтетических материалов.

 Пайку выводов переключателей и реле следует вести так, чтобы в контакты не попали расплавленный флюс и припой (рис. 11.20,2), которые могут нарушить нормальную работу этих элементов.

 При подпанвании проводников к контактам ламповых панелей или разъемов необходимо в панели иставлять радилоламиы, а в разъемы — их ответные части; это уменьшает вероятность затекания в контакты расплавленного припоя и филоса.

 Для закрепления деталей (кроме малогабаритных) на плате следует пользоваться клеем, специальными держателями и скобами (рис. 11.20,0).

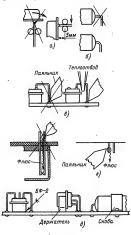


Рис. 11.20

# 11.6. ЭЛЕМЕНТЫ КОНСТРУКЦИЙ

# Футляры и кожухи

Футляр и кожух — неотъемлемые части радиоустройств. Их назначение состоит в том, чтобы защитить радиодетали и монтаж от вешнику канических и климатических воздействий, обеспечить необходимые акустические и эстетические показатели, удобство эксплуатации.

Футляры изготавливают из дерева, пластмассы или папье-маше, кожухи — из металла. Кожухи обладают повышенной механической прочностью и защищают конструкцию от электрических помех / чаще всего металлические кожухи используют в измерительных приборах.

Футаяры для малогабарітных радкоприем ников могут миеть рамочірую конструкцию (рис. 11.21), основой которой является рамка из деревінных планох толщикой З-5 мм, а передіня и задияв стенки изготовлены из тонкой фанеры. Уган рамка можно связать в шип (рис. 11.21, од. оседінять с помощью металлических угольников оседіненть с помощью металлических угольников оседіненть, помощью металлических угольников оседіненть, помощью металлических угольников оседіненть, помощью металлических угольников оседіненть, помощью металлических угольников оседіненть, помощью металлических угольников оседіненть, помощью металлических угольников оседіненть, помощью металлических угольников составляется помощью до помощью помощью до помо

ланом Малогабаритных устройств футавр можно изготовить из пяпье-маше. Для этого из усков ареава изи тем сестовать из тем сестовать из тем сестовать из тем сестовать из тем сестовать из тем состовать из тем состовать из тем состовать из тем состовать из тем сестов бумать состовать просокуть. После окончательной сучить из темене ваух-трес устою футавр грунуть крашивают, аккуратно распиливают, еще раз жрашивают и полируют.

Кожухи изготавливают из листовых (толщиной ),5—1,5 мм), чалюминиевых и медных сплавов (латуни) и жести. Пайка алюминия и его сплавов з домашних условиях затруднена, поэтому детали кожухов из этих материалов соединяют заклепками или винтами. Латунь и жесть легко паяются, что значительно упрощает изготовление кожухов.

# Декоративные покрытия

Деревянные поверхности отделывают различными способами: окрашивают, лакируют, окленвают декоративными пленками. До окрашивания футляр необходимо хорошо просущить, аккуратно замазать все щели и неровности поверхности шпатлевкой (лучше использовать нитрошпатлевку, которая быстро сохнет и хорошо шлифуется). После этого футляр покрывают вначале двумятремя слоями грунта, а затем тремя—пятью слоями нитроэмали. Очень удобно пользоваться грунтами и эмалями в аэрозольной упаковке рижского химического завода «Аэрозоль». В аэрозольной упаковке выпускаются грунт марки 147 и янтроцеллюлозные эмали разного цвета. Можно использовать и нитроэмали для кожи. После окраски поверхность футляра полируют.

При лакировке требуется очень тщательная полототовка поверхности: заделка пороков древесниь с учетом ее рисунка, неоднократная шлифовка предварителью сомоенной поверхностивдоль и поперек волокон (для удаления ворся) и сушка. После этого с помощью пульверизатора наносят мебельный лак НМЦ (светлый или темный).

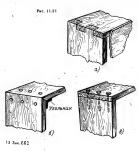
Используя самовлеящуюся деморативную отделочную плеку марки ПДО.02, можю без особых затрат труда и времени получить сраввительно высокое качество отделки. Пленка ходош прижленивается к древесине, металлу, древесистружечной плите и другим, материалам. Проч ность приклемавния тем выше, чем меньше воздушных пор под пленкой.

Для отделки больших поверхностей можно непользовать декоративный бумажнослоистый пластик (ГОСТ 9590—61), на поверхность которого нанесен эрисунок, имитирующий ценные породы древесины, малахит, мрамор й т. п.

# Шкалы и приводные устройства

Шкала радноприемника или измерительного прибора должна обеспечить оператору удобство в работе и иметь определенную эстепческую ценность, так как она обычно является одини из композиционных центров внешиего вида изделия. Неотъемлемым элементом шкалы является ее приводюе устройство.

Кокструкции шкал и приводных устройств показаны на рис. 11.22, а. 6 и г. Кругалая шкала может быть выполнена в виде плоского диска, к которому прижимается осью так называемых фрикционный верньер. Есля диск тонкий, то на оси вершьера ставят подпружиненную шайбу (рис. 11.22, б). Малогабаритияй верывер, обсестенва-



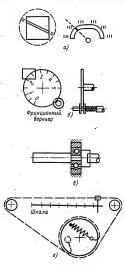


Рис. 11.22

ющий передаточное число около 3, можно изготовить из шарикоподшипника (рис. 11.22, в).

Верньер может быть выполнен на основе фрикционных и зубчатых передач (например, от механизмов старых часов) или передачи с гибкой индам (греспком) — рис. 1122, г. Тросиком индам (греспком) — рис. 1122, г. Тросиком ки ник манадолицы, жылына струна серцики, миюсожыльная капарновая, клопчатобумажыва или шелковая леска. Для повышения трения между выпикон настройки и тросиком можно использовать толичекую канифоль. Обязательным элеменратической примерам примерам примерам натъжением которой выбирается дофт межданизма.

В раднолюбительских условиях наиболее доступен фотографический способ изготовления шкал. В этом случае оригинал шкалы вычерчивают в большом масштабе, надписи и цифры наклеивают (их можно вырезать из старых газет, журналов, проспектов). После фотографирования и уменьшения до натуральной величины получается очень четкая шкала.

#### Технологические советы

Обработка стальных деталей. Для получения хорошего качества защитных и декоративных покрытий поверхности стальных деталей необходимо обезжирить, пассивировать. Для постановать. Для обезжиривания можно использовать следующие растворы: сода кальцинированияя (или поташ) 100—150 г/л и жидкое стекло 2—3 г/л; сода кальцинирования 20 г/л и хороминк 1 и

Для пассивирования, после которого поверхность металла делается пассивной в электрохимическом отношении, деталь следует поместить либо в 5%-ный раствор хромовой кислоты (75°С), либо в масыщенный раствор хромпика (60°С), либо в мальный раствор (100°С).

Для декапирования — мимического удаления пленки окиси го поверхности дегали — использот 5% ный раствор сериой или соляной кислоты. После обработку кислотой необходим промыть дегали в проточной воде. Одно из простейшки защитных покрытий стальных деталей — порожение (образование на поверхности детали пленки окислов). Для этого деталь шлифуют и, если надо, полируют, тщательно обезмунивают и после на вауковое цикару) прогирают в столько, сменя на зауковое цикару) прогирают в сетощью, смененым окиси окисинами маслом. Другие растительные масла дают менее повятные менее повятные масла дают менее повятные менее повятные масла дают менее повятные масла дают менее повятные масла дают менее повятные масла дают менее повятные масла дают менее повятные масла дают менее повятные масла дают менее повятные масла дают менее повятные масла дают менее повятные масла дают менее повятные масла дают менее повятные масла дают менее повятные масла дают менее повятные масла дают менее повятные масла дают менее повятные масла дают менее повя

Для получения прочных лакокрасочных покрытий поверхности стальных деталей необходимо тшательно очистить от ружавчины. Для этого деталь помещают в керосин на несколько часов, протирают рыбыми жиром, который через 1,5—2 ч уаляют вместе со ружавчиной.

Для быстрого удаления ржавчины рекомендуегся в течение нескольких минут промыть деталь в растворе хлоронго олова, а затем в теплой воде. Небольшие следы ржавчины удаляют кашицей из толченого древесного угля, замешанного на машинном масле.

После очистки поверхности деталь покрывают грунтом (его слой должен быть не более 0,2 мм толциной, вначе уменьшится прочность лакократочного покрытия), а затем наносят в два или большее число слоев краски мягкой кистью (слом должны быть взаимно перпейдикуларны) или пульверизатором, используя аэрозольные лаки и краски.

Обработка деталей из меди и ес сплавов. Медьнее сплавы очищают мезаническим путем имуркой, анфо кашицей из мелкой поваренной соли с уксусом. Для обезакунивания используют сесь гашеной извести 35 г/л, едкого кали 10 г/л и жидкого стекла 3 г/л либе осного натра. 37 г/л жидкого стекла 37 г/л, едкого натра. 37 г/л жидкого стекла 20 г/л, в которые помещают и и 1 и деталь при температуре расствора 90°С. Дела пирование проводят в течение 1 мин в 5%-ном востноме серою кислоты. Для миксикрования зачищенную (сели надо, то и отпольрованную) и обезамиренную деталь помещают в смесь 10%, чного раствора жористого иняка (яквальная мислота» з и серножислого инчика (яквальная мислота» з и серножислого инчобы он меся густо зеленый циет. После подтожки раствор загреввог до капения и погружают в него на 1—2 ч деталь. После окомчания процесса инисклирования деталь переносият в мелового са инисклирования деталь переносият в мелового возду (10—15 г мела нас гаккая воды) и слегка провожно проставовать проделам променью противорят деталь променью противорят деталь променью противорят деталь променью противорят деталь променью противорят деталь променью противорят деталь променью противорят деталь променью противорят деталь деталь противорят деталь деталь противорят деталь деталь противорят деталь противорят деталь противорят деталь деталь противорят деталь деталь противо

Для серебрения можно воспользоваться отработанным фикажем, в 300 мм которото добаляют 1—2 мл нашатырного спирта и 2—3 капаи формалице; раствор следует хранить и работать с ини только в темноге. Зачищенную и промытую обезьиренную деталь помещают в раствор из 0.5—1.5 ч, после чего промывают в теллой воде, высущивают и протирают миткой ветовыю. Для высушивают и протирают миткой ветовыю. Для выпирую воду, лябо воду, получению изо льда битовых ходоцильников.

Обработка деталей из алюминия и его сплавов. В любительских условиях чаще всего приходится выполнять операции обезжиривания, оксидирования, осветления и травления.

Для обезжиривания можно использовать смесь из тринатрийфосфата 50 г/л, едкого натра 10 г/л и жидкого -стекла 30 г/л, либо только едкий натр 50 г/л. Время обезжиривания первым раствором 2—3 мин при температуре раствора 50—60°С, вторым — 3—5 мин при 50°С.

Оксидирование выполняется в растворе из углекислого натрия 50 г/л, зромовожислого натрия .15 г/л и едкого натра 2,5 г/л при температуре 80—100°C в течение 10—20 мин. Затем деталь промывают в воде и помещают в кипяток на 15— 20 мин. Высушениую деталь жълательно покрыть бесцветным лаком.

Разные технологические советы. Радиолюбительская практика выработала целый ряд простых и полезных технологических советов, часть из которых здесь приводится.

Места паек на печатной плате удобно закрашивать цапонлаком, изготовленным из нитроцеллюлозного клея «Аго», который разбавляют ацетоном в соетношении примерио 1:6 (по объему) и добавляют ласту для шариковых ручек желаемого цвета.

Если нужно сделать какие-либо надписи на передних панелях, шкалах или футлярах, то для этого можно использовать самодельные чернила из пасты от шариковых авторучек и дихлорэтана; сменивать нядо в хорошо закрывающемся сосуда. Соотношение пасты и растворителя подбирается экспериментально. Надписи, выполненные такими чернилами, зорошо удерживаются на органическом стекле, винипласте, полнетироме, поливникалюрия и других пластиках и не смываются вотраторительного предоставления предостава предоставления предоставления предостава и пифры с сумка деноей (переводных зняков с продачных денок).

Для нанесения защитного рисунка на заготовмах пенативых паят можно копользовать пасту от шариковых авторучек. Для этого лучше всего подогреть паситамссемую трубку пишущего стержив над огнем спички, растинуть трубку и в месте утовышения трубки (после оставания) разрезать ее лезвием бритвы. Такой «рейсфедер» мягко пишет в лето произвается. Другой способ выпанения рисунка печативых проводинков — использование благомичка для заправки рейсфедерозование благомичка для заправки рейсфедероный лаж мия лик БТ-242. Ширина дорожие получается 1—2 мм. капил дака на коиде благомичипозволяет - выполнять контоктиные площадки 0.3—4 мм.

Для облетчения пайки проводники печатных палат спедует облудять, что проце всего сделать следующим образом. Проводники зачищают до блеска мелковеринстой шкуркой и покрывают тонким слоем раствора кавифоли в спирте. Затем проинтав кончик отрека металической оплетки кабеля припоем ПОС-61 или более легсполавики, надо прогирать оплеткой, постепенно подпитывая ее припоем так, чтобы слой полуды был минимальной толщины.

Простейшим механическим способом зачистки поверхности металлических деталей является использование красного ученического ластика для черинл. Таким ластиком можно очистить от окислов выводы деталей, участки проводников печатной платы, контакты.

Для облегчения выполнения монтажных работ очень полезной может оказаться «третья рука», выполненняя из одного лии нескольких зажимов «крокодил», особенно если они имеют возможность поворачиваться для закрепления детали при пайке практически в любом положении.

Для качественной пайки выводов микросске их необходимо однакаюво отформовать, что можно сделать с помощью простейшего приспособления зо органического стела і в виед двух дегалей, выполяяющих роль пуаксона и матрицы), части которого сданагогся на двух направляющих. При макетирования целесообразно выполнять переходные монтажные панельной для выводом мироскем, чтобы не делать многократных перепаек выводов.

В качестве декоративной панели громмоговорителя лучше всего использовать пластмассовые сетки для окой с широкими ячейками, под которые желательно поместить полотно из темной марли. Сама сетка выпускается различных центов, а при необходимости может быть окрашена интрозмалью из прэверизаторь.



# КОМПОНЕНТЫ И ЭЛЕМЕНТЫ РАДИОАППАРАТУРЫ

РАЗДЕЛ (12)

#### СОДЕРЖАНИЕ

12.1. Резисторы	.388
Параметры резисторов (388)	
12.2. Постоянные резисторы	.390
12.3. Переменные резисторы	.394
12.4. Полупроводинковые резисторы	.398
12.5. Фотоэлементы	.404
12.6. Конденсаторы	405
Параметры конденсаторов (405)	
12.7. Конденсаторы постоянной емкости	.407
Керамические конденсаторы (407). Слюдяные конденсаторы (412). Бумажные и металлобумажные	
конденсаторы (412). Пленочные и металлопленочные конденсаторы (414). Электролитические	
конденсаторы (416). Вариконды (417)	
12.8. Подстроечные конденсаторы и конденсаторы переменной емкости	.418
12.9. Параметры магнитных материалов	419
12.10. Магнятные сердечники, магнитопроводы, каркасы и обмотки дросселей и трансформаторов	420
Ферритовые сердечники (420). Сердечники из магнитодиэлектриков (424). Магнитопроводы трансфор-	
маторов и дросселей звуковой частоты (425). Обмотки трансформаторов и дросселей (428)	
12.11. Приемно-усилительные и маломощиме генераторные ламны	.430
Конструктивные виды ламп (430). Максимально допустимые эксплуатационные значения параметров	
ламп (434). Основные параметры ламп с управляющими сетками (435). Эксплуатация ламп (440)	
12.12. Кинескопы	440
Параметры кинесколов и их цоколевка (440). Эксплуатация кинесколов (440)	
12.13. Газоразрядные приборы	.442
Стабилитровы (442). Эксплуатация стабилитронов (443). Тиратровы тлеющего разряда (443). Индикато-	
ры тлеющего разряда (445)	
12.14. Миниатюрные лампы накаливания	.447
12.15. Полупроводниковые диоды	.448
Выпрямительные дноды и сборки (448). Выпрямительные блоки и столбы (451). Высокочастотные	
(универсальные) и импульсные дноды (454). Варикапы (456). Туниельные и обращенные дноды (457).	
Стабилитроны и стабисторы (459). Полупроводниковые знакосинтезирующие индикаторы (460)	
12.16. Тиристоры	.466
12.17. Транзисторы	.468
Классификация траизисторов (468). Предельно допустимые эксплуатационные параметры (469)	
Парамётры постоянного тока (471). Параметры в режиме большого сигнала (472). Параметры	
в режиме малого сигнала (472). Частотные параметры (473)	
12.18. Оптроны	.491
12.19. Интегральные микросхемы	.494
Тёрминология (494). Условные обозначения серий и типов (494). Электрические параметры	495
цифровые микросхемы (495). Аналоговые микросхемы (496). Справочные данные по цифровым МС (496). Справочные данные по линейным МС (511)	
12.20. Коммутационные устройства Кнопки (517). Переключатели типа «Тумблер» и микротумблеры (520). Мадогабаритные реле	.017
лостоянного тока (822). Малогабаритные поляризованные реле (525). Реле с мягнитоуправляемыми контактами (528). Малогабаритные дистанционные переключатели (531): Электромагнитные шаговые	
контактами (534). Малогаоаритные дистанционные переключатели (531): Электромагнитные шаговые искатели (534)	

### 12.1. РЕЗИСТОРЫ

# Параметры резисторов

Номинальное сопротивление  $R_{\text{ном}}$  — сопротивление, указанное на резисторе. Фактическое сопротивление резистора может отличаться от

номинального на значение, не превышающее допускаемое отклонение.

Согласно ГОСТ 2825—67 установлено шесть рядов номинальных сопротивлений Е6, Е12, Е24, Е48, Е96, Е192. Цифра после буквы Е указывает число номинальных значений в данном ряде. Допускаемые отклонения от номинальных значений также нормализованы и указываются в процентах в соответствии с рядом  $\pm 0.01$ ;  $\pm 0.02$ ;  $\pm 0.05$ ;  $\pm 0.1$ ;  $\pm 0.2$ ;  $\pm 0.5$ ;  $\pm 10$ ;  $\pm 20$ ;  $\pm 30$ .

Таблица 12.1. Ряды номинальных сопротивлений резисторов широкого применения

Индекс рядов	Числовые коэффициенты, умножаемые на любое число, кратное 10	Допускаемое отклонение со- противления от номинально- го, %
E6 E12	1,0 1,5 2,2 3,3 4,7 6,8 1,0 1,5 2,2 3,3 4,7 6,8	±20 +10 ±10
E24	1,2 1,8 2,7 3,9 5,6 8,2 1,0 1,5 2,2 3,3 4,7 6,8 1,1 1,6 2,4 3,6 5,1 7,5	±10 -±5 ±5
	1,2 1,8 2,7 3,9 5,6 8,2 1,3 2,0 3,0 4,3 6,2 9,1	±5 ±5

Номинальные сопротивления должны соответствовать числам, приведенным в табл. 12.1, и числам, полученным путем умножения табличных чисел на 10°, где п - целое положительное или отрицательное число.

Номинальная мощность рассеяния  $P_{\text{мом}}$  — максимально допускаемая мощность, которую резистор может длительное время рассенвать при непрерывной электрической нагрузке в заданных условиях, сохраняя параметры в установленных пределах. Ограничивающими факторами при работе резистора являются температура нагрева и максимальное напряжение. Поэтому с повышением температуры допускаемая мощность рассеяния снижается (см., например, рис. 12.1, а, б). Значения Рион [Вт] устанавливаются согласно ГОСТ 9663-61 и выбираются из ряда: 0,01; 0,025;

0,05; 0,125; 0,25; 0,5; 1; 2; 5; 8; 10; 16; 25; 50; 75; 100; 160; 250; 500.

Напряжение, которое может быть подано на резистор, не должно превышать значения, рас-

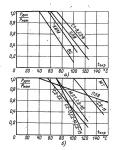


Рис. 12.1

считанного исходя из номинальной мощности рассеяния  $P_{\text{ном}}$  и номинального сопротивления  $R_{\text{ном}}$ ,  $V_{\text{max}} = \sqrt{P_{\text{ном}} R_{\text{nom}}}$  или предельного рабочего или предельного рабочего напряжения (в зависимости от того, какое из этих значений меньше)...

Номинальные сопротивления для точных и прецизионных резисторов (с допускаемым отклонением менее ±5%) вычисляют по формуле  $R_{\text{non}} = \sqrt[m]{10^n}$ , где m = 48, 96, 192 (номер ряда); целое положительное число от 1 до m.

Типовые обозначения резисторов установлены ГОСТ 13453-68 и состоят из букв и цифр (табл. 12.2). Буквы обозначают группу изделий, число, стоящее после букв, - конструктивную разновидность, каждой из которых присваивается поряд-

Таблица 12.2. Система сокращенных обозначений резисторов

Первый индекс	Второй индекс	Третий индекс	Пример обозначения
С — резисторы постоянные СП — резисторы переменные	1— непроволочные, поверхностные, утагродистые в боро- компородистые и боро- компородистые компородистые, компородиционные, поверхноствые, 4- мепроволочные, компорационные, объемные; 5- про- волочные, объемные; 5- про- волочные	Варнайт исполнения резисто- ров одной группы по харак- теру проводящего слоя	С1-1 (резисторы постоявные, иепроволочные, поверхностные, углеродистые)
СТ — резисторы термочувствительные (терморезисторы)	Кобальто марганцевые; 2— медно-марганцевые; 3 — медно-кобальто-марганцевые; 4 — никель-кобальто-марганцевые	Вариант исполнения резисто- ров одной группы по материалу полупроводникового слоя	СТ2-1 (терморезисторы медно- марганцевые)
СФ — резисторы фоточувстви- тельные (фоторезисторы)	<ol> <li>сернисто-свинцовые; 2 — сернисто-кадмиевые; 3 — селенисто-кадмиевые</li> </ol>	Вариант исполнения резисто- ров одной группы по материалу полупроводникового слоя	СФ2-1 (фоторезисторы сериис- то-кадмисвые)
СН — резисторы — нелиненные (паристоры)	1 — карбидокремниевые	Вариант исполнении резисто- ров по материалу полупровод- инкового слоя	

ковый номер разработки и пишется через черточку: первый индекс — группа элементов радиоэлектронной аппаратуры, второй — группа резисторов по характеру проводящего слоя; третий порядковый номер исполнения.

Наряду с гостированными обозначениями для ранее разработанных реансторов сохранены обозначения, в основу которых брались различные призвами (конструктивные разновидности, технологические собенности и др.). Например, ППБ проволочные переменные бескаркасные; МЛТ металлопленочные лакированные теплостойкие;

ТВО — теплостойкие влагостойкие объемные. Маркировка на резисторах также буквенноцифровая. Она содержит: вид, номинальную мощность, номинальное сопротивление, допуск и дату изготовления

Принято обозначать: Омы — значком  $\Omega$  или Ом; килоомы — к, к  $\Omega$ , кОм; мегомы — М, МОм; гигаомы — Г, ГОм; тераомы — Т, ТОм Для минаторных резисторов принята кодированная система обозначения сопротивлений (табл. 12.3) и допусков.

Таблица 12.3. Система обозначения миниатюрных резисторов

Едини- ца из- мерения	Код	Предел <i>R</i> ном	Пример сокра- щенного обо- значения	Соответствую- щее ему полное обозначение
Ои Килоом Мегом Гигаом Тервом	М	от 0,91 до 91	K47, 4K7, 47K M47, 4M7, 47M F47, 4F7, 47F	4.7 MOn. 47 MOn.

Для различных допускаемых отклонений введены следующие кодированные обозначения; Допуск, % %±0,1; ±0,2; ±0,5; ±1 ±2 ±5±10 ±20 Код Ж У Л Р Л И С В

Например, кодированное обозначение резистора с сопротивлением 470 Ом и допускаемым отклонением ±5% записывается как K47И.

12.2. ПОСТОЯННЫЕ РЕЗИСТОРЫ

В зависимости от токопроводящего элемента выпускают непроволочные резисторы поверхностного и объемного типов и проволочные резисторы (рис. 12.2 — 12.4, табл. 12.6 — 12.10).

В резисторях поверхностного типа токопроводящий элемент выполяен в виде тонкого пблупроводящего слоя или пленки, изиссенной изнеозапициона основание, например, на керамический стерьень или трубку, на колиза которых
резисторах (рис. 12.3) токопроводящий элемент
выполяен в виде стерькия / из проводящей компомиция, в хомны которого впрессованы провопомиция, в хомны которого впрессованы провопомиция, в хомны которого впрессованы прово-

Температурный коэффициент сопротивления (ТКС) характеризует относительное изменение сопротивления резистора при изменении внешней температуры на 1°C (табл. 12.4).

Таблица 12.4. Температурный коэффициент сопротивления резисторов широкого применения

THR	Значение ТКС, 1/°С
Угародистин (ВС) бороутагродистин прецизновные (БЛП) Металасизавлетрические (МЛТ, МТ (БЛС) МТ (БЛС)	$-(5-20) \cdot 10-4$ $-(1,2-2,5) \cdot 10-4$ $\pm (7-16) \cdot 10-4$ $\pm (0,25-6) \cdot 10-4$ $-(-20-+6) \cdot 10-4$ $\pm (10-25) \cdot 10-4$ $-(-5 \pm 10) \cdot 10-4$ $\pm (0,15-1,5) \cdot 10-4$

Собственные щумы резистора оценивают по значению озвинкающей на его выводах переменной ЭДС шумов, отнесенной к 1 В приложенного к резистору запряжения постоянного гока. Их приходится учитывать, т. к. они накладывают отраничения на чувствительность электроных схем, создавая помехи для полезного сигнала (табл. 12.5).

Таблица 12.5. ЭДС шумов резисторов широкого применения

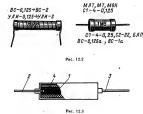
Тип	ЭДС шумов, икВ/В
Угарбразктые (ВС) Бороутаграмстые прецизновные (ВЛП) Метальодылаектрические (МЛТ, МТ, С.2-6) Метальодылаектрические предизновные (Метальоды-24-4, СС-15) Композиционные объемные (ТВО, С4-2, Композиционные лаколленочные (КИМ, СП)	1; 5 0,5 1; 5 1 3; 5; 10; 25; 45 4; 5; 8; 10; 15; 20 30; 40

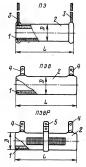
лочные выводы 2, 3, а все устройство опрессовано в пластмассу 4.

В проволочных резисторах (рис. 12.4) в качестве проводищего элемента кспользуются изолированные и неизолированные провода из сплавов с высоми сопротивлением (мантания, коистантан, нихром и др.). Провозочный эмалированный резистор представляет собой керамическую трубку /, на которую намотака неизолирокую провод намотака неизона неизона собъяток — металические пластинки // для подпайки выещими проводнямов выля тибкие жуты 3.

Рис. 12.4

Проволочный эмалированный регулируемый резистор (ПЭВР) отличается от постоянного с пластинчатыми выводами наличнем хомутика 5. который может перемещаться вдоль корпуса резистора.





наяр

Таблица 12.6. Постоянные пленочные резисторы

Диапазон Яном

Тип

Класс точности

· (допуск), ±%

Предель-	-	Габариты,	мм, ке	более
ая рабочая темпера- тура, °C	Umax. B	D	L	

		;	Vглероо	истые				
ВС	10 Om — 1 MOM 27 Om — 2 MOM 27 Om — 10 MOM 47 Om — 10 MOM	5, 10, 20 no FOCT 2825-67	0,125 0,25 0,5 1 2 5	(40) (40) (40) (40) (40) (40) (40) (40)	100 100 100 100 100 100	150 350 500 700 1000 1500 3000	2,5 8,5 5,5 7,6 9,7 76 120,5	7 17 27 30,9 48,4 25,3 40,3
BCa	10 Ом — 1 МОм 27 Ом — 2,2 МОм 27 Ом — 10 МОм	5, 10, 20 πο ΓΟCΤ 2825—67	0,125 0,25 ,0,5	(70) (40) (40)	125 100 100	200 350 500	24 5,5 5,5	7,3 16 26
CI-4 <sub>.</sub>	10 Om — 2 MOn 10 Om — 10 MOn 10 On — 10 MOn	2 по ряду Е48; 5 и 10 по ряду Е24	0,125 0,25 0,5	(70) (70) (70)	125 125 125	250 350 500	2,4 3,9 5,5	7,3 10,5 16
		Металлоокси	Эные и	металлопл	еночные		~	
млт .	8,2 Om — 3 MOM 8,2 On — 5,1 MOM 1,0 On — 5,1 MOM 1,0 Om — 10 MOM 1,0 Om — 10 MOM	2 по ряду. E96; 5, 10 по ряду E24	0,125 0,25 0,5 1	(50) (50) (50) (50) (50)	125 125 125 125 125 125	200 250 350 500 750	2,2 3 4,2 6,6' 8,6	6 7 10,8 13 18,5
MT .	8,2 On — 1,1 MOn 8,2 On — 2,0 MOn 8,2 Om — 5,1 MOn 8,2 Om — 10 MOn 8,2 Om — 10 MOn	2 по ряду E,96 5, 10 по ряду E24	0,125 0,25 0,5 1 2	(150) (150) (150) (150) (150)	200 200 200 200 200 200	200 200 350 500 700	2,2 3 4,2 6,6 8,6	6 7 10,8 18 28
МОН	1 Ом — 100 Ом 1 Ом — 100 Ом 1 Ом — 100 Ом	5, 10, 20 по ряду Е24	0.5 1 2	(70) (70) (70)	125 125 125	7 10 18	4,2 6,6 8,6	10,8 13 18,5
C2-6 ·	100 Ом — 1 МОм 100 Ом — 2 МОм	5, 10 по ряду Е24	0,125 0,25	(250) (250)	315 315	200 200	2,2	6 7
С2-33-Й	10 Om — 2 MOm 10 Om — 3 MOm	2, 5, 10 по ряду Е24	0,125 0,25	(70) (70)	125 125	200 · 250	2,4 3,3	. 7

Номинальная мощ-ность, Вт (при г°С)

Таблица 12.7. Постоянные пленочные резисторы повышенной точности

	,			Предель-		Габары	ты, ми
Тип	Днапазон R <sub>исм</sub>	Класс точности (допуск), ±%	Номинальная мош- ность, Вт (при г°С)	ная рабо- чая темпе- ратура, °C	Umax, B	D	L
		Углеродист	ые и бороуглеро	дистые			
C1-8	10 On — 10 KOM 10 On — 10 KOM 10 On — 10 KOM 10 On — 10 KOM	1,2 по ряду Е96; 5 по ряду Е24	0.125 (70) 0.25 .(70) 0.5 (70) 1 (70)	155 155 155 155	35 50 75 100	4,2 6,3 6,3 11	9,7 13,2 17,7 30,3
БЛП	1 Ом — 100 кОм	0,5; 1 по ряду Е192	0,1 (70)	100	300 (ампл.)	5,7	16
	1 Om — 20 Om 20 On — 100 KON 1 Om — 20 Om 20 On — 100 KON 1 Om — 20 Om 20 Om — 100 KON 20 Om — 100 KON	,	0.25 (70) 0.25 (70) 0.5 (70) 0.5 (70) 1 (70) 1 (70)	100 100 100 100 100 100	600 600 1000 1000 1500	7,6 5,7 9,7 7,6 11,7 9,7	15,5 26 17 29,6 25,5 47,7
ули .	1 OM — 499 KOM 1 OM — 9,76 OM 10 OM — 1,0 MON 0,75 OM — 9,76 ON 10 OM — 1,0 MON 1 OM — 9,76 ON 1 OM — 1,0 MON		0,125 (60) 0,25 (60) 0,25 (60) 0,5 (60) 0,5 (60) 1 (60)	125 125 125 125 125 125 125 125	200 350 350 500 500 700 700	5,4 7,2 5,4 9,5 7,2 11,5 9,5	16 15,5 26 17 30 25,5 47,7
			таллопленочные	*			
C2-8	10,2 кОм — 1 МОм 10,2 кОм — 5,11 МОм 10,2 кОм — 5,11 МОм 10,2 кОм — 10 МОи		0,125 (70) 0,25 (70) 0,5 (70) 1 (70)	155 155 155 155	200 250 350 500	4,2 6,3 6,3 11	97 13,2 17,7 30,3
C2-1	1 On - 5,1 On	5; 10 no ΓΟCT 2825—67; 0.2; 0.5;	0,25 I rp.(150) 0,25 II rp. (90)	200 н . 155	350	7	13,2
	5,1 Ом — 510 кОм	1; 2 по специальному ряду	0,25 l rp. (150) 0,25 ll rp. (150)	200 и 155	350	5,4	16,1
	1 Ом — 510 кОм	PAA)	0,5 I rp. (150) 0,5 II rp. (90)	200 и 155	500	7	18
	1 Om — 1 MOm		1 I rp. (150)	200 и 155	750 .	9	28
	1 Ом — 5,1 Ом		2 I rp. (150) 2 II rp. (90)	200 и 155	. 1000	10,5	35
,	5,1 OM — 5,1 MON		2 I rp. (150) 2 II rp. (90)	200 я 165	1000	9	50
C2-10	10 On — 1000 Om 1 Om — 3010 Om	0.5; 1.0 по ряду Е192	0,125 (70) 0,25 (70) 0,5 (70) 1 (70) 2 (70)	125 125 125 125 125 125	400 400 750 1000 1200	2 2,7 4,2 6,6 8,6	6 8 10,8 13 18,5
C2-13	1 On — 1 MOn 1 On — 1 MOn 1 On — 1 MOn	0,1; 0,2; 0,5; 1; 2 no psgy E192	0,25 (70) 0,5 (70) 1,0 (70)	125 125 125	250 350 500	9 · 11 11	15,5 21 30
	1 OH - 1 MOH	0,1; 0,2; 0,5; 1; 2	0,25 (70) 0,5 (70)	125 125	250 350	6,6 - 8,6	13 18.5
C2-14	1 OH — 1 MOH 1 OH — 1 MOH 1 OH — 1 MOH	по ряду Е192	1 (70)	125	500	8,6	27,5

# Таблица 12.8. Постоянные непроволочные объемные резисторы

			Номянальная	Предель-		- Габариты, мм		
Тип	Диапазон R <sub>пом</sub>	Класс точности (допуск), ±%	мощность, Вт	ная рабочая темпе- ратура, "С	U <sub>max</sub> , B	L, H, h нлн D	L	
C4-2	10 кОм5,1 МОм 10 кОм10 МОм 10 кОм10 МОм 10 кОм10 МОм	5, 10, 20 по ряду Е24	0,25 (go 85) 0,5 (85) 1 (85) 2 (85)	155 155 155 155	300 400 500 750	13.5 × 3.7 × 2.2 19.0 × 3.7 × 2.2 29.5 × 5.0 × 4.0 36.5 × 6.0 × 5.0	,	

Продолжение табл. 12.8

			Номинальная	Предель-		Габариты, м	IM
Ten .	Диапазон R <sub>пом</sub>	Класс точности (допуск); ± %	поминальная мощность, Вт (при Г <sup>4</sup> С)	ная рабо- чая темпе- ратура, °С	U <sub>max</sub> , B	L, H, h или D	L
C3-2	10 Он — 1 МОн	5, 10, 20 по ряду Е24	0,05 (до 70)	125	30	1,7—2,7 (дисковые)	
C3-10a	1 MOM — 150 MOM	5, ЦО, 20 по ряду Е24	-	100	200 (ампл.)	2,5	8
C3-106	10 MOm — 1000 MOm	5, 10, 20 по ряду Е24	-	100	200 (ампл.)	2,5	15.5
ТВО	1 OH — 100 ROM 1 ON — 510 ROM 1 ON — 11 MOH 1 ON — 1 MOH 1 ON — 1 MOH 27 OM — 1 MOM 27 OM — 1 MOM 24 OM — 100 ROM 24 OM — 100 ROM	5, 10, 20 по ряду Е24	0,125 (go 85) 0,25 (85) 0,5 (85) 1 (85) 2 (85) 5 (85) 10 (85) 10 (85) 60 (85)	155 155 155 155 155 155 155 155 155	100 300 400 500 600 1500 3000 1400 2450	8×1,5×2,5 13,5×2,2×3,7 19×2,2×3,7 29,5×4×5 36,5×5×6 77×9,5×11,5 112×19,5×15 112×19,5×25,5 186×28×47	
КВМ	15 MOM - 1000 ΓΟΝ	2, 5, 10, 20 по ряду Е12		85	100	5	41"
ким	10 On — 1 MOn 1,1 MOn — 5,6 MOn	5, 10, 20 по ряду Е24 10, 20	0,05 (до 20) 0,05 (до 20)	125 100	100 100	1,8	3,8 3,8
ким	27 Om — 100 MOs 110 MOs — 1 FOs	1	0,125(20)	125	200	2,5 2.5	8 8
КЛМ-А	10 MOn — 100 FOn	1 7	=	100	300 300	7 5,5	29 25
клм-в	150 FOM — 1000 FOM	10, 20 no psgy E24		70	300	5,5	25
КЭВ	510 KOM — 5,1 FOM 510 KOM — 18 FOM 510 KOM — 12 FOM 510 KOM — 12 FOM 1 MOM — 22 FOM 2,4 MOM — 47 FOM	ряду Е24	0,5 (go 40) 1 (go 40) 5 (go 40) 2 (go 40) 10 (go 40) 20 (go 40) 40 (go 40)	70 100 100 100 100 100 100	2500 и 5090 10 000 35 000 20 000 25 000 40 000 60 000	5,5 9 11 -9 32 32 32 53	25 '46 145 90 124 244 324

Таблица 12.9. Постоянные проволочные эмалированные резисторы.

Тип	D×L, мм не более	R <sub>ROM</sub>	` 1нп	D×L, мм, не болес	R <sub>ROM</sub>
Постоянные р ПЭ-7.5 ПЗ-15 ПЗ-20 ПЗ-25 ПЗ-50 ПЗ-75 ПЗ-150	14×42 16×52 20×52 25×52 25×93 25×164 33×219	3,0 Om — 5,1 kOm 3,0 Om — 5,1 kOm 3,0 Om — 5,1 kOm 2,4 Om — 5,1 kOm 1,0 Om — 16 kOm 1,0 Om — 30 kOm 1,0 Om — 51 kOm	ПЭВ-40 ПЭВ-50 ПЭВ-75 ПЭВ-100 ПЭВТ-3 ПЭВТ-10 ПЭВТ-25 ПЭВТ-75 ПЭВТ-75 ПЭВТ-100	23 × 89 32 × 93 32 × 143 34 × 174 16 × 27 16 × 43 23 × 52 32 × 93 32 × 144 32 × 175	18 Om - 51 kOm 18 Om - 51 kOm 47 Om - 56 kOm 47 Qm - 56 kOm 43 Om - 1,3 kOm 10 Om - 3 kOm 15 Om - 25 kOm 20 Om - 20 kOm 20 Om - 27 kOm 20 Om - 43 kOm
Постоянные рез	висторы с жес	ткими выводами	Регулируемые	резисторы с ж	есткими выводами
ПЭВ-3 ПЭВ-7,5 ПЭВ-10 ПЭВ-15 ПЭВ-20 ПЭВ-25 ПЭВ-30	16×27 16×37 16×43 19×47 19×52 23×52 23×73	3,0 OM — 510 OM 1,0 OM — 3,3 KOM 1,8 OM — 10 KOM 3,9 OM — 15 KOM 4,7 OM — 20 KOM 10 OM — 24 KOM 10 OM — 30 KOM	ПЭВР-10 ПЭВР-15 ПЭВР-20 ПЭВР-25 ПЭВР-30 ПЭВР-50 ПЭВР-100	16×43 19×47 19×52 23×52 23×73 32×93 32×174	3,0 'Om — 220 Om 5,1 Om — 220 Om 10 Om — 430 Om 10 Om — 510 On 15 Om — 1 kOm 22 Om — 1,5 ROM 47 Om — 2,7 kOm

Примечания: 1. Число в обозначении типа резистора указывает значение  $P_{\text{now}}$  для ПЭ, ПЭВ, ПЭВР при  $t_{\text{osp}} < 40^{\circ}\text{C}$ . 2. Полуженое отключение сопротивления не более  $\pm 5$  или  $\pm 10\%$ .

Таблица 12.10. Постоянные проволочные точные резисторы

Тип	Диапазон	Класс точ-	Номинальная	TVC 1 100	// P	Габари	ты, им
180	R <sub>HOM</sub> , OM	ности (до- пуск), ±%	мощность, Вт (при / °C)	TKC, I/°C	Umax, B	L	D
C5-5 C5-5 C5-5 C5-5 C5-5 C5-6 C5-16T C5-16T C5-16T C5-16T C5-16T C5-16T C5-16T C5-16T C5-16T C5-16T C5-16T C5-16T C5-16T C5-16T C5-16T-11 C5-16T-1	$\begin{array}{l} 1-13\ 000 \\ 2-30\ 000 \\ 5,1-75\ 000 \\ 0000000000000000000000000000000$	0.05: 0.1: 0.2: 0.5: 1: 2: 5  1; 2; 5  0.5: 1: 2: 5  0.5: 1: 2: 5; 1: 2: 5; 1: 2: 1: 2: 1: 2: 0.5: 1: 2: 0.5: 1: 2: 0.5: 1: 0.5: 1: 0.5: 0.5: 0.5: 1: 0.5: 0.5: 0.5: 1: 0.5: 0.5: 0.5: 1: 0.5: 0.5: 0.5: 1: 0.5: 0.5: 0.5: 1: 0.5: 0.5: 0.5: 1: 0.5: 0.5: 0.5: 1: 0.5: 0.5: 0.5: 1: 0.5: 0.5: 0.5: 1: 0.5: 0.5: 0.5: 1: 0.5: 0.5: 0.5: 0.5: 0.5: 0.5: 0.5: 0.5	1 (70) 2 (70) 5 (70) 5 (70) 8 (70) 10 (70) 11 (100) 2 (100) 5 (100) 8 (100) 9	$\begin{array}{c} \pm (5-15) \cdot 10^{-5} \\ \pm (5-15) \cdot 10^{-5} \\ \pm (5-15) \cdot 10^{-5} \\ \pm (5-15) \cdot 10^{-5} \\ \pm (5-15) \cdot 10^{-5} \\ \pm (5-15) \cdot 10^{-5} \\ \pm (5-15) \cdot 10^{-5} \\ \pm (5-16) \cdot 10^{-5} \\ \pm (5-10) \cdot 10^{-5} \\ \pm 5 \cdot 10^{-5} \\ \pm 5 \cdot 10^{-5} \\ \pm 5 \cdot 10^{-5} \\ \pm 5 \cdot 10^{-5} \\ \pm 5 \cdot 10^{-5} \\ \pm 25 \cdot 10^{-5} \\ \pm 23.5 \cdot 10^{-5} \\ - \\ - \\ - \\ - \\ - \\ - \\ - \\ - \\ - \\ $	400 400 400 400 400 400 400 3000 (8 MIRL) 300 (8 MIRL) 400 (8 MIRL) 400 (8 MIRL) 400 (8 MIRL)	20 25 33 42 52 52 41 51 8 10 12 14 17 17,5 22,5 18 26 26 27 27 27 27 27 32	6 6 11 11 12 12 12 12 10,5 10,5 7 9 11 16 18 18 18 19 19 7 9

### 12.3. ПЕРЕМЕННЫЕ РЕЗИСТОРЫ

Переменные резисторы в зависимости от назначения подразделяют на подстроечные и регулировочные.

тулировочные резисторы рассчитаны на пернодические подстройки аппаратуры. Их подвижная ось обычно выводится под шлиц, в некоторых случаях предусматривается стоповение оск

Регулировочные резисторы используют при многократных регулировках аппаратуры.

По характеру зависимости сопротивления от угла поворота подвижной системы переменные резисторы разделяют на линейные и нелинейные функциональные (рис. 12.5, где  $R_n$  — сопротивление между корайным выводамы резистора—



Рис. 12.5

полное сопротивление токопроводящего заеметта; са, — польный угла поворога подвижной его так (оси) резистора; R — сопротивление резистора вожду левым и средним выкорами; са — угол ворота оси от начального положения, соответствующий этому сопротивление; А — лиейтелующий этом сотрафиямие сака; В — обратно-логарифиямие с

В зависимости от токопроводящего элемента различают непроволочные и проволочные переменные резисторы.

Переменные непроволочные резисторы выпускают в различных конструктивных вариантах: одинарные и сдвоенные (СП. СПЗ-10, СПЗ-17). без стопорения и со стопорением оси (СПЗ-9, СПЗ-6, СПЗ-16, СП4-1, СП4-2, СП2-1), для навесного и печатного монтажа (СП4-1, СП3-13, СПЗ-16). Резисторы СПЗ-10 изготовляют трех видов: СПЗ-10а - резистор сдвоенный с независимым вращением осей; СПЗ-106 — резистор одинарный с двухполюсным выключателем и СПЗ-10в — резистор сдвоенный с независимым вращением осей с двухполюсным выключателем (рис. 12.6-12.8, табл. 12.11). На этих рисунках 3 — выводы начала и конца токопроводящего элемента; 2 — вывод от подвижной контактной щетки: 4 — конец оси подвижной системы или ручка управления; 5, 6 — выводы выключателя.

Среди переменных проволочных резисторов, которые даны в табл. 12.12, различают резисторы с прямолинейным (СПБ-15, СПБ-22, СПБ-24, С

(CÚ5-2, CÚ5-3, CÚ5-2T, CÚ5-3T).

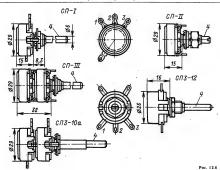


Таблица 12.11. Переменные непроволочные резисторы

		Функ-					L	- Габари	гы, мм
Тип	Диапазон <i>R</i> ном	наль- ная ха- ракте- ристи- ка	Класс точностн (допуск), ±%	*Номиналь- ная мощ- ность, Вт (при t°C)	Предель- ная рабо- чая темпе- ратура, °С	U <sub>max</sub> , B	D (8)	Lmax	Прямечание
СП-I (одинар- ный)	470 Om — 4,7 MOm	A,	20,30	1; (25) 0,5 (25)	125 (I rp.)	500; 400	29	12 16 15+20 32 60	Регулировоч- ные без сто- порения оси
СП-11 (одняар- ный)	470 Om — 4,7 MOm	A	20, 30	1; (25) 0,5 (25)	100 (II rp.)	500; 400	29	15+16	Подстроечный и регулировоч ный со стопо- рением оси
СП-III (сдвоен- вый)	4,7 кОм — 2,2 МОм	Б, В	20, 30	0,5; (25) 0,25 (25)	70 (III rp.)	400; 350	29	12 16 32+20 32 60	Регулировоч- ный без сто- порения оси
СП-IV (сдвоен- ный)	4,7 МОм-2,2 МОм	Б, В	20, 30	0,5; (25 *0,25 (25		400; 350	.29	32+16	Подстроечный и регулировоч- ный со стопо-
СП-V (строен- ный)	10 кОм 22 кОм	A B	20, 30	1 125 0,5 (25)	N .	100 100	29	48+20	рением оси Регулировоч- ный без сто- повения оси
CΠ2-1a	47 Ом — 100 кОм	A	20	0,5 (125) 1 (125)	200 200	227 320	16 · 21	31,5-44,5 35,5-48,5	Регулировоч- ный без сто- порения оси
CП2-16	47 Om — 10 KOM	A	20	0,5 (125) 1 (125)	200 200	227 320	16 21	35,5-44,5 39,5-48,5	Подстроечный со стопоре- инем осн
TΠ2-2	47 Он — 47 кОн	A	20	0,5 (85)		300 (ампл.)	16,5	16 20+12,7+ +25+5.5	Подстроеч- ный
				1 (85)	125	400 . (ампл.)	21,5	12 16 +15,4+20# +7,4+25	

## Продолжение табл. 12.11

		Функ-						Габарнт	ы, им
Тип	Циапазон R <sub>ном</sub>	наль- ная ха- ракте- ристи- ка	Класс точности (допуск), ±%	Номиналь- ная мощ- ность, Вт (при г°G)	Предель- ная рабо- ная темпе- ратура, °C	Umax, B	D (B)	Lmax	Примечание
				1					
СП2-3	22 Ом — 330 Ом	A	30	0,25 (40)	70	2,3—9	Į6	17,5 + 12 20 25	
СП3-6	1 KOM — 1 MOH	A	10, 20	0,125 (40)	100	160	11,7	19+5	Подстроечный
СПЗ-6а, СПЗ-66			(до 150 кОм) 20, 30 (>150					22+5 22 31	
СП3-9а	470 On — 4,7 MOn	А, Б	кОм) 10, 20 (до 150 кОм) 20, 30	0,25—2 (40—60)	, 100	250, 350 H 500 (rp. A)	16-30	30—55,6	Без стопоре- ния оси
			(>150 KOM)	1					
CI13-96	4.7 KOM — 2,2 MON	А, Б	20, 30 (>150 KOM)	0,25-2 (40-60)	100	150, 250 st 400 (rp. B, B)	16-30	3646,6	Со стопоре- нием оси
СП3-9г, СП3-9л	680 Om — 150 KOM	А, Б.	10, 20	0,25; 0,8 (55)	100	250 (rp. A) H 150 (rp.	16	31,25— 51,25 20	Без стопоре- ния осн
CП3-10a	470 Om — 4,7 MOm	l A	10 (до	1: 2 (40)	100	5, B)	29	32+32+12	С независимым
(сдвоен ный)	4 <b>,</b> 7 кОм — 2,2 МОм	Б, В	330 KOM) 20, 30 (>330	0,5; 1 (40)	100	400	29	40 20	вращением оси
СП3-106	470 Om — 2,2 MOM	A	кОм) 10 (до	1 (40)	100	500	29	31+32+12	С двухполюс-
(одинар- ный)	4,7 KON-1 MOM	Б, В	20, 30 KON)	0,5 (40)	100	400	2.9	40	ным выключа- телем
			(>330 KOM)				•	60 80	
ĊП3-10в	470 OM — 4,7 MOM	l A	110 (40	0.5: 2	100	500	29	20 · 47+32+12	Ċ независимым
(сдвоен- ный)	4,7 KON — 2,2 MON	Б, В	330 KOM) 20, 30 (>330	(40) 0,25; 1 (40)	100	400	29	40	вращением осей с двух- полюсным вы-
СП3-13а,	I KOM I MOM	l A	кОм)	0,125 (70)	100	150	6,6	. 8+6	ключателен Переменные
СП3-136 СП3-15	10 xOm — 2.2 MOm	Â	20	i	125	150	13	8.5+8	Переменные
CHIS-10	10 KON — 2,2 MON	^ .	20	0,125 (70)	120	150	13	10 15 H=7,5+6	Переження
СП3-16а	I KOM—I MOM	A	20 (до 220 кОм)	0,125(70)	125	150	10,6+ ·+7	22	Горизонтальный без стопорения
СП3-166 СП3-16в, СП3-16г, СП3-16д	I KOM—I MOM	A	.30 (>220 кОм)	0,125(70)	125	150	11,7	22+5	Горизонтальный и вертикальный без стопорения и со стопорением оси
CП4-1	100 Ом-4,7 МОм	;A 5. B	20 (до 220 кОм)	0,25; 0,5	125	250	12,8	3,5 12	Без стопорения и
		Б, Б	30	0,25(70)		200		12 - 6 + 16	со стопорением
СП4-2	470 Ом — 4,7 МОм	A	кОм) 30 (>220	1 (70)	125 .	350	21	25 12 12,5+20	Без стопорения и со стопорением
	1 кОм →2,2 MOм	Б, В	кОм) 30 (>220	0,5(70)	125	300		32 60	осн
СП4-3	100 Om — 4,7 MOm	.А	кОм) 30 (>220	0,125(70)	125	150	12	13+5+4	Без стопорения оси
ВК (оди-	2,2 кОм — 6,8 МОм	A	кОм) 30	0,5(30)	70	. 350	34	17+20	Без выключателя
нарный)	15 кОм — 2,2 МОм	Б, В	30	0,25(30)	70	200	34	25	
ТК, ТКД (одинар- ный)	2,2 кОм — 6,8 МОм 15 кОм — 2,2 МОм	б. В	30 30	0,5 (30) 0,25 (30)	70 70	350 200	36,5	32	С выключателем одно- и двухпо- люсным
	1 1							31+40 50 60 80	

Окончание табл. 12.11

	Функ-						Габарит	ъ, им
Диапазон R <sub>ном</sub>	наль- ная ха- ракте- ристи- ка	Класс точности (допуск), ±%	Номиналь- ная мощ- ность, Вт (при г°С)	Предель- ная рабо- чая темпе- ратира, "С	U <sub>max</sub> , B	D (B)	L <sub>max</sub> .	Примечание
100 Ом — 1 МОм	А	20 (до 220 v()w)	0,15(85)	125	100	9,8		Переменные
100 Ом — 4,7 МОм	A	20 H 30 (>220 KOM)	9,5 (85)	125 .	250	16,5	12.9 + 6.75 20	Объемные
47 Ом — 4.7 МОм	۸	20 (до 220° кОм) 20° н 30 (>220 КОм)	1 (85)	125	350	21,5	15,5+12+ +6.75	Переменные Объемные
47 On 4,7 MOn	A	20 (до 220 кОм) 20 ж 30 ( >220	2(85) 2(85)	125 125	600 600	28,6 28,6	67,7 19,3 + 12 20 60 69	Переменные Объемные
	100 Om — 1 MOm 100 Om — 4,7 MOm 47 Om — 4,7 MOm	Джапазон Яром   Маль-   Джапазон Яром   Маль-   Баль-   Бал	A   A   A   A   A   A   A   A   A   A	Mashason Row   More   Mase   More	Ranason Raue		Arabana   Arab	

Таблица 12.12. Переменные проволочные резисторы

Ten	Диапазон Яном.	Класс точности	Номинальная	Предель- ная рабо-			Габариты,	мм.
1811	Ом	.(допуск), ±%	мощность, Вт (при t°C)	чая темпе- ратура, °С	Umax. B	⊅(8)	L	Н
(HB.1) (HB.2) (HB.3) (HB.4) (H	100 — 10 000 100 — 10 000 100 — 10 000 1,7 — 22 000 2,2 — 47 000 2,2 — 47 000 2,2 — 47 000 2,2 — 47 000 4,7 — 20 000 4,7 — 20 000 4,7 — 20 000 4,7 — 20 000 50 — 3000 100 — 10 000 100 —	5.10 5.10 5.10 5.10 5.10 5.10 5.10 5.10	(85) 1 (85) 1 (85) 1 (85) 1 (85) 1 (85) 3 (100) 3 (70) 1 (7	155   155	300 400 400 500 500 400 400 400 400 400 200 300 300 300 220 220 220 220 220 2	18 20 25 25 25 25 25 25 25 25 25 25 25 25 25	12 16 22 22 44 47 37,5 37,5 37,5 39,5 35 35 35 35 32,5 32,5 32,5 32,5 32,5	
П5-29-1 П5-29-2 П5-29-3 П5-30-1-15 П5-30-1-25 П5-30-1-50	4,7—15 000 4,7—22 000 4,7—22 000 4,7—22 000 2,2—47 000 2,2—47 000 2,2—47 000	5,10 5,10 5,10 5,10 5,10 5,10	0,5 (95) 1 (85) 2 (85) 3 (85) . (85) . (85) 25 (85) 50 (85)	155 155 155 155 155 155 155	300 400 400 400 500 500 500	23 20 18 21 25 35 35 48	10 12 16 16 26 44	

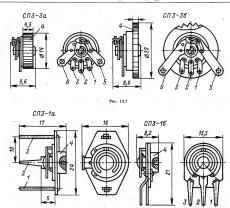


Рис. 12.8 12.4. ПОЛУПРОВОЛ НИКОВЫЕ РЕЗИСТОРЫ.

Полупроводниковые резисторы — широжий каасе приборов, вирикили действия которых основан на свойствах полупроводниковых материальнов изменять свое сопротивление под действием температуры, квапряжения, заектроматилного измучения, магилного поля. В зависимости от этого различают полупроводниковые гермореактого действия, фотореакторы, магингореакторы, магингореакторы, магингореакторы

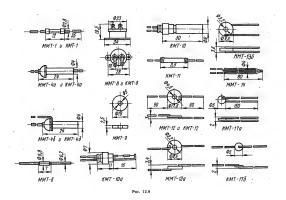
Полупроводим совые терморезусторы с порышений с порыш

Териорезисторы с отрицательным ТКС, используют для температурной «стабилизации электрических цепей и контуров, в частности для стабилизации режимов транзисторных каскадов, для температурной компенсации электроизмерительных приборов, в устройствах измерения и реных приборов. гулирования температуры и в устройствах автоматики и колитрам. Полясторы, термореансторы с положительным ТКС, принакогр гермостьтах кварцевых резонаторы. При этом они выполияют роль регуляторов температуры или изполияют роль регуляторов температуры или изпревательных элементов. Позносторы используются также для температурной стабилизации режимов Транзисторов (их включают в энитегрими цени транзисторов), для защиты элементов ращиты электродингателей в аппаратуре записи и восплюзиваемия зауки (таб. 12.13—12.16).

Максимальная мощность рассеяния Р<sub>лых</sub> — мощность, при которой терморезисторы, находящиеся в спокойном воздухе при температуре 293±1 К, при протекании тока разогреваются до максимальной рабочей температуры.

Минимальная мощность рассеяния Р<sub>тт</sub> — мошность, при которой у терморезисторов, находящихся в спокойном воздухс при температуре 293±1 К, сопротивление уменьшается от разогрева их током на 1%.

Коэффициент рассеяния Н численно равен мощности, рассеиваемой на терморезисторе, при



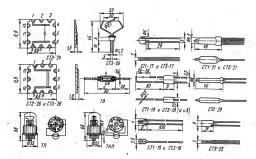


Рис. 12.10

Таблица 12.13. Полупроводниковые терморезисторы с отрицательным ТКС

Тип	Пределы но- минального сопротивле- ния, кОм (при 20°C)	Допуск, %, не более	Интервал ра- бочих темпе- ратур, *С	ТКС, %/*С при 20°С	мощност	кальная ъ рассея- , не более	Посто- янная време- ни, с, не более	Постоявная В. °К	Коэф- фициен- рассея- ния, иВт/°С	Коэф- фициен энерге- тической чувстви- тельнос- ти, мВт
KMT-1 MMT-1 KMT-4a,	22-1000 1-220 22-1000	20 20 20	-60÷+180 -60÷+125 -60÷+125	4,2-8,4 2,4-5,0 4,2-8,4	1000 600 800	0,3 0,4 0,3	85 85 115	3600—7200 2060—4300 3600—7200	5	1 1,3 1
KMT-46 MMT-4a, MMT-46	1-220	20	- 60÷+125	2,4-5,0	700	0,5	115	2060 4300	6	2
MMT-6 KMT-8 MMT-8 MMT-9 KMT-10a KMT-11 KMT-12	10-100 0,1-10 0,001-1,0 0,01-4,7 100-3300 100-3300 0,1-10 0,0047-	20 10; 26 10; 26 10; 20 20 20 30	$+40 \div +70$	2,4 4,2—8,4 2,4—4,0 2,4—5,0 >4,2 >4,2 >4,2 >4,2 2,4—4,0	50 · 600 600 — — —	0,1 1 2 2 0,25 0,25 0,3 0,5	35   75 10	>2050 3600—7200 2060—3430 2060—4300 >3600 >3600 2060—3430		0,3 3 4 10  1,3 2,3
MMT-13, a,	1,0	20	-60++125	2,4-5,0		0.3	Ξ.	20604300	Ľ	2
MMT-136 KMT-14	0,51; 0,91 160; 200;	30	-10++300	2,3-3,9	100	0,03	-	4100-7000	0,8	0,1 .
KMT-17a, KMT-176 CT1-17 CT3-17	330; 4300; 7500 (пря 150°C) 0,3-20 0,3-22 0,033; 0,047 0,068, 0,01	10; 20 10; 20 10; 20	-60÷+100	>4,2 4,27,0 3,04,5	500 500 500	0,1 0,1 0,2	30 30 30	>3600 3600—6000 2580—3860		0,5 0,5 0,8
CT1-18	0,15; 0,22 0,33 1,5; 2,2; 22; 33; 1500; 2200	20	-60++300	2,2—5,0 (прн 150°С)	45	0,03	1	4050—9000	0.2	0,08
CT3-18	при 150°C 0,68; 1,0; 1,5; 2,2;	20	-90÷+125	2,6-4,1	15	0.02	1	2250 3520	0,18	0,(45
CT1-19	3,3 3,3; 4,7; 6,8; 10; 100; 150; 1500; 2200 mps 150°C	20	-60÷+300	2,354,0 (прн 150°C)	60.	0,05	3	4230 7200	0,6	0.15
CT3-19	2,2; 10; 15	20	-90÷+125	3,4-4,5	45	0,04	3	2900-3850	0,5	0.12
CT3-22	1 при 25°C	30	-60÷+85	3,05-4,15	8-12	6-9	15	27003700	0,06	-
CT3-23	0,0022; 0,0027; 0,0033; 0,0039; 0,0047	10; 20	0÷+125	3,05—3,75		3	-	2600-3200	9	2.5
CT3-24	0,68; 1; 0; 2,2; 3,3	20	-60÷+85	2,64,1	-	-		2250 3520	,	0,15
CT3-25	1,5; 2,2; 3,3	20	-100÷+125	3,05-3,75	8	10,0	0.4	2600-3200	80,0	0,05
CT2-26 CT3-26	1,0-10 0,1-0,68	20 20	60÷+125 60÷+125	2,4-5,0 2,4-5,0	=	=	=	2060-4300 2060-4300	=	-
				'		'			'	'

Примечавия. 1. Промежуточные значения номинального сопротивления соответствуют шкале ГОСТ 2825−63.
2. Для терморезистора КМТ-14 постоянная времени 10 с в режиме нагрева и 60 с в режиме охлаждения.

Таблица 12.14. Полупроводниковые терморезисторы с положительным ТКС (позисторы)

Параметр	CT5-1	CT6-1A	CT6-1B	CT6-26	CT6-3B
Сопротивление при 20°С, Ом	20150	40-400	100700	10-100	1000 10 000
20°C, Вт Дняпазон рабочих температур, °C	0,8 60÷+200	1,1 60÷+155	0,8 60÷+125	1,3 -60÷+125	0,2 -60÷+125·

Окончание табл. 12.14

Параметр	CT5-1	CT6-1A	CT6-1B	CT6-2B	CT6-3B
Температурный интервая положительного ТКС. СС Кратность "именения сопротивления в об- лясти положительного ТКС. К. С. С. м. меже максимальный ТКС. К. С. м. меже СС СТО урный витервая максимального ТКС. С.  120—190 10 <sup>3</sup> 15 120—130 4 10—15 D5,0×2,5	40-155 10 <sup>3</sup> 10 90-120 8-9 10-15 D5,0×2,5	20-125 10 <sup>8</sup> 15 70-100' 8-9 10-15 D5,0×2,5	0-125 10 <sup>2</sup> 15 70-95 12-14 	10-125 10 <sup>3</sup> 15 60-90 0,2-0,25 5,20×2,0	

\* аблица 12.15. Полупроводниковые терморезисторы косвенного подогрева типа СТ

Параметр	CT1-21	CT1-27	CT3-21.	CT3-27
Поминальное сопротивление при +25°С, кОм Чинимальное сопротивление в изгретом состоянии, Ом Пимиальная мощаюсть, мВт Эспротивление подогрежателя, Ом Максимальное изпражение между подогрежателем и термо-	10, 33, 100 50, 150, 300 60 100	33 150 70 100	. 10 60 100	2,2 30 70 100
увствительным элементом, В Постоянная эремени, с Размер, ми	100 20 D 9,5×48 L 12×48	40 5 D 9,5×48 L 10×48	100 20 D 9,5×48 L 12×48	. 5 . D 9,5×4 L 12×48

Таблица 12.16. Полупроводниковые терморезисторы косвенного подогрева типа ТКП

_		Т	нп	
Параметр	ТКП-20	ТКП-50А	TKI1-50B	ТКП-300
Спритавления в дологию сестемень. «Он гентиратурный соффицент», ДСГ (Повявальная модилеть водогревь, иВт (Потявлява, ВСС деминальной водости. Он ПОСТОВИВЕ, ВСС деминальной водости. Он 11 побавое запражение между рабочим теком в подогре- мента и постраватель, на Максимальный робочной том серь подогреватель, на Минанальный том мурет водогреватель, на рабочной постраватель, на серь обмоту. Он А.О. Он А.О. Максимальная подпотоженой удативляються. ВСГ Максимальная подпотоженой удативляються всери мак- симальном добочно тож, иВт симальном добочно тож, иВт	0.5 -2 .160 20 1850 150 40 30 40 0,00295 180440	2 -2.3 160 50 3200 150 35 25 40 0.04654 160±40	0,75 -2,3 160 50 3200 150 35 25 40 0,04654 180±40	10 -3.5 20 300 3000 50 20 15 30 0.0919 20±40 25
симальный ток через подогреватель, мА Постоянияя времени, с	49 143	45 114	45 114	

разности температур образца и окружающей среды 1°.

Коэффициент энергетической чувствительности численно равен мощности, которую необходимо подвести к терморезистору для уменьшения его сопротивления на 1%.

Постоянная времени т — время, в течение кторого температура террморежнотора изменяется в е раз (на 63%) при перенесении терморезистора из воздушной среды с температурой 0°С в воздушную среду с температурой 00°С.

Полупроводниковые варисторы цтабл. 12.17) — полупроводниковые ревисторы объемного типа в форме дисков и стержнёй с изменяющимся в зависимости от напряжения сопротивлением (рис. 12.11). Находят применение в стабинуакторых и отраничителях напряжения,

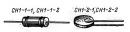


Рис. 12,11

в частности в устройствах стабилизации высоковольтных источников напряжения телевизоров, для стабилизации токов в отклоняющих катушках кинескопов, в системах резматничивания цетных кинескопов, в системах автоматического регулирования, в генераторах переменного и импульского напряжения.

Номинальное классификационное напряжение U<sub>м</sub> — постоянное напряжение, при подаче кото-

Таблица 12.17. Полупроводниковые дисковые и стержневые варисторы

Uğn.	U mar,	β, не ме- нее	U <sub>sa</sub> ,	U max.	β, не ме- нее	U <sub>Kā</sub> .	U max.	8, не ме нес
P <sub>HOM</sub> = 56 68 82 100 120 150 180 220 270	1 (D 16× -1 BT, I <sub>KB</sub> , 180 210 250 300 450 650 650 800 -2 (D12× -1 BT, I <sub>KB</sub> , 180 -2 (D12× -1 BT, I <sub>KB</sub> , 190 90 91 120	=3 MÅ - 3.5	P <sub>EOM</sub> = 15 18 22 27 33 39 47 CH1-1	0 (D40×1) 3 Br. I <sub>RR</sub> = 75 90 110 135 165 195 195 195 1 (D9×1) 1 Br. I <sub>RR</sub> = 1.2 1.3 1.4 1.5 1.7 2	3,2 3,2 3,2 3,2 3,2 3,2 3,2 3,2 3,2 3,2	P <sub>HOM</sub> = 0 560 680 1300 CH1- P <sub>HOM</sub> = 3 33		= 10 MA 3,5,4 4,5 = 20 MA 4,0 120),
56 68 82	150 170 200	3,5 3,5 3,5 3,5	КОВЫХ	римеча:	ние. Указ: ов. СН1-1-	янные зна	чения Р <sub>ио</sub>	м для дис-

ковых варисторов СН1-1-1 и СН-1-2 допустимы при f<sub>окр</sub><70°C, для СН1-6 при t<sub>окр</sub><75°C, для стержиевых варисторов СН1-2-1 и СН1-2-2 при t<sub>окр</sub><60°C.

рого на варистор через него проходит заданный ток Ікл, который также называется классификационным. Фактическое напряжение  $U_{\rm кл}$  может от;

личаться от номинального на ±10 или ±20%. Коэффициент нелинейности варистора В — отношение сопротивления варистора постоянному току к его сопротивлению переменному току. Фоторезисторы — полупроводниковые резисторы, сопротивление которых изменяется под действием электромагнитного излучения. Свето-

ΦCA-1σ ΨCK-1α, ΨCA-1α Φεκ-7α ФCK - 76 C\$4-1 Электроды Стеклянное основание Светочивствительная поверхность Светочувствительный слой DCK-6 Электроды ΦCK-40

чувствительный элемент представляет собой прямоугольную или круглую, таблетку, спрессованную из подуповованивового мателивая или томкую из подуповованивового мателивая или том-(им: 12.19.) и (им: 12.19.) и (им: 12.19.) и (им: 12.19.) и (им: 12.19.19. и (им: 12.19.19. и (им: 12.19.19. и (им: 12.19. и (

ную из полупроводникового материала, или тон
(рег. 12.12) и (рис. 12.13).

ФСК-716

ФСК-71

Рис. 12.18

Таблица 12.18. Полупроводниковые сернисто-кадмиевые и селенисто-кадмиевые фоторезисторы

гаолица	12.10	. Host	упрово	дников	ые сер	нисто-	кадмие	вые и	селен	исто-ка	ідмиев	ые фоторез	исторы
Tun					юй ток, кА	Светов	ой ток, кА	значение)	RT	Res	HOCTS.	мкА	
	Допускаемая моциость рассеяния, Вт	Рабочее напряжение, В	Темаовое сопротивление, МОм, зе менее	Максимум (ТУ, ГОСТ).	Средене значение	Meerings (TV FOCT)	Среднее значение	Фототок, мкА (среднее знач	Мивииум (ТУ, ГОСТ)	Среднее значение	Интегральная чувствительность, В/лм	Удельная чуветвительность, м (лм - В), среднее значение	К, мкА (лм · В), среднее значение
ФСК-18 ФСК-2 ФСК-2 ФСК-4а ФСК-5 ФСК-6 ФСК-76 ФСК-77 ФСК-17 ФСК-17 ФСК-11 ФСК-12 ФСК-11 СФ2-1	0,125 0,125 0,125 0,125 0,05 0,20 0,35 0,35 0,35 0,12 0,20 0,10	50 50 100 25 50 50 50 10 50 50 100	3,3 3,3 1,6 10 3,3 0,5 0,1 5 3,3 1.6 100	15 30 30 5 15 100 100 10 15 30 1	5 5 10 5 10 10 5 5 10 10 0,01	1500 1500 600 1500 880 1500 350 800 1000 1500 2500 1000— 2000 500	2000 2000 11:00 2000 1000 2000 500 3000 2000 2000 6000 2000	2000 2000 1000 2000 1000 2000 500 3000 2000 4000 2000 4000	100 100 20 50 17 100 3,5 8 100 100 83 1000— 2000 500	470 400 100 400 1000 400 50 300 400 400 800 200 000	2,8 2,8 0,5 3 5 0,28 0,15 3,6 0,7 2,1 2,1 4,8	7000 7000 1600 15 000 220 000 6000 250 7500 1800 7000 7000 8000	1000 1100 250 240 2200 128 150 600 460 1100 1100 320
СФ2-1 СФ2-2 СФ3-2 ФСК-М1	0,01 0,05 0,10 0,03— 0,06	2 5 70	2 5 700	1	0,5 0,5 0,5 0,5 <0,1	500 500 -	1500 2000 300	1500 2000 —	500 500 	2000 3000 4000 10—10 <sup>6</sup>	0,36 0,5—3	400 000 75 000 80 000 35—50 + 10 <sup>8</sup>	360 190 800 —
ΦCK-M2	0,03-	70	70	_	<1	-	1000	- 1	-	103-105	3-10	35-50 · 10 <sup>3</sup>	-
ФСД-1а ФСД-1 ФСД-Г1 СФЗ-1	0,06 0,05 0,05 0,05 0,01	20 20 20 15	2 2 2 30	10 10 10 0,5	1 1 1 0,01	1500 1500 1500 750	3000 3000 3000 1500	3000 3000 3000 1500	150 150 150 150	2000 2000 2000 150 000	15 15 15 20	30 000 30 000 30 000 600 000	4800 4800 4800 540

Примечание. 1. Параметры резисторов ФСК-7а, ФСК-76, ФСК-77 соответствуют одной половине фоторезисторов. 2. Световой ток определен через 15 с после воздействия 200 лк; темновой через 30 с после святия освещенности.

Таблина 12.18а. Полупроводниковые сернисто-свинцовые и селенисто-свинцовые фоторезисторы

Тип	Допускаемая мощность рас- сеяния, Вт	Рабочее напряже- ине, В	Темновое сопротивле- ине, кОм	R <sub>T</sub> /R <sub>CB</sub> . не менее	Относительное изменение со- противления, %, не менее	Удельная чувстви- тельность, мкА/(лм. В)	Постоянная временн, мкс
ΦCA-1 ΦCA-1a ΦCA-6 ΦCA-Γ1 ΦCA-Γ2 CΦ4-1	0,01 0,01 0,01 0,01 0,01 0,01	2-100 2-100 5-30 4-40 4-40 2-15	22-1000 22-1000 50-300 47-470 47-470 0,1-1000	1,2 1,2 1,2 1,2 1,2 1,2	20 20 20 20 20 20 1,3	500 -500 500 500 500	40-400 40-400 40-400 40-400 40-400 3-20

Фоторезисторы (табл. 12.18 и 12.18а) используют в компенсационных стабилизаторах напряжения, для автоматической регулировки яркости в телевизорах, в автостопах для магнитофонов.

Темновое сопротивление  $R_{\tau}$  — сопротивление фоторезистора при полной защите проводящего элемента от воздействия потока излучения.

Кратность изменения сопротивления  $R_7/R_8$  — отношение темнового сопротивления фоторезистора к его сопротивлению при освещенности 20 лк от источника излучения с цветовой температурой 2850 К.

урой 2850 К.  $Tемновой ток I_{\tau}$  — ток, который протекает через фоторезистор, включенный в цепь с источником ЭДС при полной защите проводящего элемента от потока излучения. Световой ток I, — ток фоторезистора при ра-

бочем напряжении и освещенности 200 лк от источника излучения с цветовой температурой 2850 К.

2850 К.  $\phi$  отогок  $I_{\phi}$  — разность между световым и темновым током фоторезистора.

Чувствительность фоторезистора — отношение фототока, определенного при освещенности 200 лк и соответствующем рабочем напряжении, к величине светового тотока.

### 12.5. ФОТОЭЛЕМЕНТЫ

Ф от о э л е м е и т представляет собой двухэлектродкий электровакууэлимі прибор, служащий для пресобразования световой энергии в электрическую. Под действием света, падавошего на фотоэлектронный катод, нанесенный на внутреникою поверхность стеклянного баллона "(или на пластинку, закрепленную в опредсенном месте баллона), катод эмиттрурет поток электроногома, катод эмиттрурет поток электроногома.

Анодом служит проволочное кольцо (или пластинка из-никеля), расположенное так, чтобы не мешать попаданию светового потока на катод. В ионных фотоэлементах (ЦГ-1 — ЦГ-4) баллоны заполнеы разреженным газом.

Основные параметры фотоэлементов даны в табл. 12.19.

Таблица 12.19. Фотоэлементы

Түп (фотокатод)*	U <sub>K,n</sub> , B**	Harerpanenan uyacrantenshocts.,, nk.A./.nw	Темновой ток, А. же более	Размер, бо.	MM, He see
СЦВ-3(С) СЦВ-4(С) СЦВ-51(С) Ф-1(С) Ф-2(С)	240 (300) 240 (300) 240 (300) 100 (300) 100 (300)	1 f0 125 80 70 15	1 · 10 <sup>6</sup> 1 · 10 <sup>7</sup> 1 · 10 <sup>6</sup> 1 · 10 <sup>6</sup>	26 39,5 30 40 20	62 129 63 103 67

Продолжение

. 1	2	3	4	5	6
Φ-4(C) Φ-5(K) Φ-6(B) Φ-7(M) Φ-10(Γ) Φ-13(Γ) Φ-16(III) IIΓ-1(K) IIΓ-3(K) IIΓ-4(K) Φ-221(K) Φ-221(CKH)	2 30 (300) 30 (300) 30 (300) 100 (300) 150 (300) 100 (300) 100 (300) 240 (300) 240 (240) 240 (300) 100 (2000) 100 (2000)		5 · 10 · 11 5 · 10 · 11 1 · 10 · 11 1 · 10 · 12 1 · 10 · 10 · 10 · 10 · 10 · 10 · 10 ·	42 37 33 44,5 26 72 40 55 56 27 39,5 41	103 103 76 97 62 100 62 80 131 62 129 36
Φ-23(K)	100 (300)		5 - 10	42	48

Сокращенные обозначения материалов фотокатодов: В — висмуто-серебряно-цезиевый; Г — сурьяюно-галижеюттриево-цезиевый; К — куклородно-серебряно-цезиевый; М магиневый; С — сурьмяно-цезиевый; Щ — мультищелочной: СКН — сурьяняю-калиево-натриево-цезиевый.

\*\* Без скобок указано номинальное напряжение питания, в скобока — максимально допускаемое напряжение.

Темновой ток — ток в цепи прибора, полностью защищенного от воздействия излучений, в амперах.

Интегральная чувствительность — фототок, создаваемый в фотоэлементе световым потоком в 1 лм. В вакуумных фотоэлементах интегральная чувствительность составляет 20 — 90 мкА/лм, в ионных — 150 — 200 мкА/лм.

### 12.6. КОНДЕНСАТОРЫ

### Параметры конденсаторов

Номинальную емкость маркируют на конденсаторе полностью (может быть не обозначена единица «пФ») или же с использованием следующего кода (для миниатюрных конденсато-

ров): 1. Емкости менее 100 пФ выражают в пико-

Таблица 12.20. Кодирование допускаемых отклонений от номинальных емкостей конденсатора

Допус- каемое отклоне- нне, %	Код	Допус- каемое отклоне- нне, %	Код '	Допус- каемое отклоне- ние, %	Код
+100 -10 +100 -0 +80 -20	O R A	+50 -20 +50 -10 ±30 ±20 ±10	Б Э В С	±5 ±2 ±1 ±0,5 ±0,2 ±0,1	И Л Р Д У Ж

Примечание. На конденсаторах с  $C_{\text{пом}} < 10$  пФ допускаемое отклонение  $\pm 0.4$  пФ кодируется буквой X.

фарадах; для обозначения этой единицы измерения используют букву П.

2. Емкости от 100 до 9100 пФ выражают в долях нанофарады, а от 0,01 до 0,091 мкФ — в нанофарадах; для обозначения нанофарады применяют букву Н.

 Емкости от 0,1 мкФ и выше выражают в микрофарадах; для обозначения этой единицы применяют букву М.

4. Если номинальная емкость выражается целым числом, то обозначение единицы измерения ставят после этого числа. Например, емкость 15 пФ обозначают 15П, а емкость 0,015 мкФ= 15 нФ обозначают 15Н.

5. Если номинальная емкость выражается деягичной дробью, меньшей единицы, то нуль целых и запятая из маркировки исключаются, а буквенное обозначение единицы измерения располагается перед числом. Например, емкость 150 п $\Phi$  =0,15 н $\Phi$  обозначают H15, а емкость 0.15 м $\Phi$  обозначают числом M15.

6. Если иоминальная емкость выражается целым числом с десятичной дробью, то целое число ставят впереди, а десятичную дробь после буквы, т. е. буква, обозначающая единицу измерения, заменяет запятую. Например, емкость 1,5 пФ обозначают 1П5, а емкость 1500 пФ = 1,5 пФ

обозначают 1H5.

Типовые обозначения конденсаторов в соответствии с ГОСТ 13453 — 68 приведены в табл 1222. (первый нидекс — группа элементов; торой — группа кондентов, торой — группа кондентов, торой — группа конденствум, торой — конденствум, торой — изваначения с четертый — початы конденствум, торой — конденствум, торой

(названия), в основу которых брались различные признаки (конструктивные, технологические и др.). Например, КБГ — конденсаторы бумаж-

Т.аблица 12.21. Ряды номинальных емкостей

1.4 0 11,11				,,,,,,,,,,,,,,,,,,,,,,,,,,,,,,,,,,,,,,,					,,,,,,														
E24 (доп.																							
(доп.	1,0	1,1	1,2	1,3	1,5	1,6	1,8	2,0	2,2	2,4	2,7	3,0	3,3	3,6	3,9	4,3	4,7	5,1	5,6	6,2	6,8	7,5	8,2 9,1
откл. ±5%)																							
Е12 (доп.	1,0		1,2		1,5		1,8		2,2		2,7		3,3		3,9		4,7		5,6		6,8		8,2
откл. ±10%)																							
Е6 (доп	1,0				1,5			,	2	,2			3,3				4,7			6,8			

— при не ч в н пв. 1. Ноинивальные емкости коваенсаторов с допускаемыми отклонениями ±5%, ±10%, ±20% и более (за включением концекторов, украиниях в пв. 2 и 8 примечаемия) должные сответствовать чеслым, приведенным в тоб. 1221. емкости концекторов с допускаемым отклонения объекта концекторов с допускаемым отклонениям более ±20%, пользы выбиратся пр разу Ебе.

емкости конденсаторов с допускаемыми отклонениями более  $\pm 20\%$  должны выбираться по ряду E6. 2. Номинальные емкости электролитических конденсаторов должны выбираться из ряда: 0.5; 1; 2; 5; 10; 20; 30; 50; 100; 200; 300; 500; 1000; 2000; 300; 500; 1000; 2000; 300; 500; 1000; 2000; 300; 500; 1000; 2000; 300; 500; 1000; 2000; 300; 500; 5000;

3. Номинальные емьсти (от 0,1 мкФ и выше) конденсаторов с бумажным и пленочным диалектриком в прямоугольных корпусах должны выбираться из ряда: 0,1; 0,25; 0,5; 1; 2; 4; 6; 8; 10; 20; 40; 60; 80; 100; 200; 400; 600; 800; 1000.

Таблица 12.22. Сокращенные обозначения конденсаторов

Первый индекс	. Второй индекс	Третий индекс	Четвертый индекс	Пример обозначения
К — конденсаторы по стоянной емкости	10 — керамические на номинальные напряже- ния няже 1600 В	Не указывается — для работы в цепях постоян- мого и пульсирующего токов	конденсаторов одной	К15И-1 (конденсаторы постоянной емкости, ке рамические на номи- нальное напряжение вы ше 1600. В, предназна ченые для работы в им пульсных реживах)
	15 — керамические на номинальные напряжения 1600 В и выше 20 — кварцевые 22 — стеклонные 22 — стеклональные 23 — стеклоэнальные 31 — слюдяные малой	П — для работы в це- шях постоянного и пе- ременного токов		uyasinda pemmaa)
	мощности 32 — слюдяные боль- шой мощности			
		Ч — для работы в це- пях переменного тока	` '	
	41 — бумажные на но- минальные напряжения	У — для работы в це- пях постоянного тока и в импульсных режимах		,
	кладками 50 — электролитические алюминисвые 51 — электролитические танталовые фольговые 52 — электролитические	И — для работы в им-		
. *	ристые 53 — оксиднополупро- водниковые 60 — воздушные	пульсных режимах		
	61 — вакуумные 70 — полистирольные с фольговыми обкладками 71 — полистирольные с металлизированными обкладками	-		
	72 — фторопластовые (Ф-4) 73 — полиэтилентереф- талатные с металлизи- рованными обкладками			
	рованными ооклядками 74 — полиэтилентереф- талатные с фольговыми обкладками 75 — комбинированные			
КТ — конденсаторы подстроечные	1 — вакуумные 2 — воздушные	То же		КТ2-I (конденсаторы подстроечные воздуш- ные)

ные герметизированные; КТ — конденсаторы трубчатые.
Температурный коэффициент емкости (ТКЕ) —

Температурный коэффициент емкости (ТКЕ) параметр, характеризующий относительное измененне емкости конденсатора под влияннем изменений температуры. Выражается в миллионных долях на градус (10-2/°C); ТКЕ может принимать положительное или отрицательное значение.

Номинальное напряжение  $|U_{now}|$  — максимально допускаемое постоянное нагряжение или сумма постоянной составляющей и амплитуры переменной составляющей напряжения (или однополярного импульсного напряжения), при котором конденсатор может надежно и длительно работать

(в основном в целях постоянного или пудысырующего тока). Для больщичетая типов коиденсаторов указывается номинальное рабочее наприжение постоянного тока. При работе коиденаторов в цели переменного тока предельно допустимие действующее значение переменного напряжения должно быть в 1,5—2 раза меньше указавного рабочего наприжения для постоянного указавного рабочего наприжения для постоянного и за милатудитого значения переменного напряжения и амилатудитого значаения переменного напряжения на нем не должна превышать его номинального рабочего напряжения.

Сопротивление изоляции R<sub>из</sub> — параметр, характеризующий качество диэлектрика конденса-

тора и, следовательно, ток утечки через него. , Для электролитических конденсаторов вместо сопротивления изоляции указывают передельный ток утечки при номинальном напряжении.

Потери энергии в конденсаторе, работающем в цепи переменного тока, характеризуют тангенсом угла tgô, который является дополнением ло 90° к углу сдвига фаз ф между действующими значениями напряжения U на конденсаторе и проходящего через него тока /. Величина, обратная тангенсу угла потерь, называется добротностью конленсатора Q.

Реактивная мощность Pa — параметр, регламентируемый для керамических и слюдяных конленсаторов, используемых в радиочастотных цепях. Этот параметр используют при расчете колебательных контуров передатчиков. Так как потери в конденсаторах при этом невелики, т. е.  $\phi \rightarrow 90^{\circ}$  и  $\cos \phi \rightarrow 1$ , то практически  $P_{\phi} = UI$ 

Лля каждого конструктивного вида конденсатора нормируется номинальное (предельное) значение реактивной мощности, которое недопустимо превышать. При данном виде диэлектрика номинальное значение Р зависит от размеров конленсатора и его конструктивных особенностей.

### 12.7. КОНДЕНСАТОРЫ ПОСТОЯННОЙ ЕМКОСТИ

### Керамические конденсаторы

Керамические конденсаторы подразделяются на высокочастотные (с малыми потерями) и низкочастотные (с большими потерями).

Конденсаторы с диэлектриком из радиочастотной керамики разделяются на группы по значениям ТКЕ (табл. 12.23), а конденсаторы из низкочастотной керамики - по относительному изменению емкости в рабочем диапазоне температур (табл. 12.24). Группу ТКЕ или допускаемое

Таблица 12.23. Значения ТКЕ и их условные обозначения для керамических конденсаторов

	Условн	пе обозначени	ie TKE
Значение ТКЕ		Цветны	м кодом
на 1°С	Буквами и цифрами	Цвет по- крытия кон- денсатора	Маркиро- вочная , точка
$\begin{array}{c} + (120 \pm 30) \cdot 10^{-4} \\ + (100 \pm 30) \cdot 10^{-6} \\ + (33 \pm 30) \cdot 10^{-6} \\ 0 \pm 30 \cdot 10^{-6} \\ - (33 \pm 30) \cdot 10^{-6} \\ - (33 \pm 30) \cdot 10^{-6} \\ - (74 \pm 30) \cdot 10^{-6} \\ - (75 \pm 30) \cdot 10^{-6} \\ - (150 \pm 40) \cdot 10^{-6} \\ - (220 \pm 40) \cdot 10^{-6} \\ - (470 \pm 100) \cdot 10^{-6} \\ - (750 \pm 100) \cdot 10^{-6} \\ - (1500 \pm 20) \cdot 10^{-6} \\ - (1300 \pm 20) \cdot 10^{-6} \\ - (1300 \pm 20) \cdot 10^{-6} \\ - (12200 \pm 36) \cdot 10^{-6} \\ \end{array}$	T120	Сняяй Сняяй Сняяй Серый Голубой Голубой Голубой Красный К	Вез точки чериях без точки чериях без точки чериях Корминевая Без точки Красная Оранжевая Смия Вез точки без точки без точки Без точки Без точки Желтая

Таб-липа 12.24. Маркировка конденсаторов с диэлектриком из НЧ керамики

Цвет точки на оран- желом корпусе	Условное обозначе- ние группы	Изменение емкости в днапазоне темпе- ратур от 60 до +85 C/%, не более
Зеленый Синий Белый	H30 H50 H70 H90	±30 ±50 -70 -90

изменение емкости в диапазоне рабочих температур чаще всего маркируют окраской корпуса конденсатора и цветовыми метками согласно табл. 12.23 H 12.24.

Для некоторых типов керамических конденсаторов применяют иные способы маркировки:

 Указанным в табл. 12.23 и 12.24 цветом для маркировочной точки окрашивается одна сторона корпуса (конденсаторы КЛГ).

2. Группа ТКЕ или допускаемое изменение емкости при изменениях температуры обозначается двумя цветовыми точками или полосками; одна из них имеет цвет, указанный в первой графе табл. 12.23, или оранжевый на конденсаторах групп Н30 — Н90, а расположенная рядом точка или более узкая полоска имеет цвет, указанный в табл. 12.23 и 12.24 для маркировочной точки. В последнем случае конденсатор может быть окрашен в любой цвет, за исключением указанных в таблицах.

3. Группа ТКЕ или допускаемое изменение емкости в диапазоне рабочих температур маркируется буквой и числом согласно табл. 12.23 и 12.24.

Приведенные на рис. 12.14 кривые идлюстрируют относительное изменение емкости  $C/C_{1-201}$ с. керамических конденсаторов с различными значениями ТКЕ при изменении температуры. Номинальные реактивные мощности конденсаторов с диэлектриком из радиочастотной керамики представлены в табл. 12.25.

Керамические 'радиочастотные конденсаторы применяют в колебательных контурах, в цепях емкостей связи, в качестве блокировочных и шунтирующих, в линиях задержки, для термокомпенсации, в фильтровых цепях. Керамические НЧ конденсаторы (группы Н по ТКЕ) применяют в качестве шунтирующих, блокировочных, фильтровых, а также для связи между каскадами на низкой частоте.

Наибольшее распространение имеют керамические конденсаторы следующих видов: дисковые (рис. 12.15) и трубчатые (рис. 12.16, табл. 12.26); опорные дисковые и трубчатые (рис. 12.17, табл. 12.27), пластинчатые и монолитные (рис. 12.15, табл. 12.28, 12.29, 12.31), литые секционные (рис. 12.18, табл. 12.30).

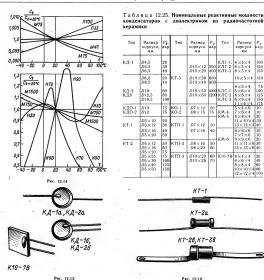


Таблица 12.26. Дисковые и трубчатые керамические конденсаторы

Группа ТКЕ	КД-1 (D 4,5-6,5 мм)		КД-2 (D 6,5—8,5 им)		КДУ (D 8,5—16,5 мм)		( <i>E</i>	КТ-I Эзми)	( <i>B</i>	KT-2 7 mm)	KT-3 (D 10 мм)	
TKE	<i>U</i> <sub>вом</sub> , В	С <sub>ном</sub> , пФ	U <sub>NOM</sub> . B	С <sub>ном</sub> , пФ	U <sub>HOM</sub> , B	С <sub>пом</sub> . пФ	U <sub>HOM</sub> , B	C <sub>HOM</sub> , nΦ	U <sub>NOM</sub> .	С <sub>ном</sub> . 'пФ	<i>U</i> <sub>ном</sub> . В	С <sub>пом</sub> . пФ
П100 П33 М47 М75 М700 М1300	250	1-7,5 1-10 1-15 1-39 10-56 18-130	500	1-12 1-30 1-43 1-68 3,3-150 15-270	- 500	1-2,2 1-27 3,3-2,7 27-47	250	1-30 1-62 1-75 1-130 2,2-270 15-560	500	2,2—100 2,2—18-1 2,2—240 2,2—360 2,2—910 15—2200	750	2,2—110 2,2—150 2,2—240 2,2—1000

0,033 мкФ

### Окончание табл. 12.26

 $\Pi$  римечания. 1. Указанные в таблице значения  $U_{\text{пом}}$  допустимы для конденсаторов при  $t_{\text{oxp}} \! < \! 85^{\circ}$  С.

2. Kommenstopu, K.H.1, K.H.2 typsem H70 materianses: o trainesses of informational encourse see Gaussian State  $\frac{400}{200}$ , commencation K.H.1 extrainest types—ne Goine = 55; = 10, = 20, commencation K.H.2 types are types—ne Goine = 55; = 10, = 20, commensionly K.H.2. Types—ne Goine = 25; = 10, = 20, commensionly K.H.2. Types—ne Goine = 25; = 10, = 20, commensionly K.H.2. Types—ne Goine = 25; = 10, = 25; = 10, = 25; = 10



Рис. 12.17



PRc. 12.18

### Таблица 12.27. Дисковые и трубчатые опорные керамические конденсаторы

	T	CHOM	, пФ	
Группа ТКЕ	КДО-1 (D10,4 мм),	КДО-2 (D12,7 мм),	KO-1 (D7×12,M5)	KO-2 (D8×15,M6

Группа ТКЕ	КДО-1 (D10,4 мм), (M4)	КДО-2 (D12,7 мм), · (M4)	KO-1 (D7×12,M5)	KO-2 (D8×15,M6)
П100	3,3; 4,7	6.8	6,8	10
M47	10: 15	22	15	22
M750	33 .	47	68	100
M75	_		33	47
M1500	68	100	22-150	220; 32
H70	1500	2200	1000-2200	3300; 470
Прим	ечания. 1.	Допускаем	і ре отклонені	і не от номи
нальной ег	мкости для к	онденсаторо	в группы Н	70 не боле
+80 %. дз	ия конденсато	ров остальны	ах групп ±2	0%.

+80%, для конденсаторов остальных групп  $\pm 20\%$ . -202. Для конденсаторов группы H70  $U_{\text{NOM}} = 400$  В, для остальных групп 500 В;  $f_{\text{NOM}} = 85^{\circ}$ С.

# Таблица 12.28. Керамические пластинчатые квадратные конденсаторы K10-7B

Группа ТКЕ	Размер пластинки, мм, не более	C <sub>NOM</sub> .	пФ	Размер пластинки, мм, не более	Сном, пФ
П33	5×5 7×7 9×9	15-20 22-43 47-82		11×11 13×13	91—120 130—180

### Продолжение табл. 12.28

Группа ТКЕ	Размер пластиния, им, ие более	Сном, пФ	Размер пластинов, мм, не более	С <sub>ном</sub> , пФ
M47, M75	5×5 7×7 9×9	22-36 39-75 82-130	11×11 13×13	150—200 220—270
M750	5×5 7×7 9×9	47×56 62—130 150—240	11×11 13×13	270—430 470—680
M1500	5×5 7×7 9×9	68-100 110-220 240-390	11×11 13×13	430—680 750—1000
H30	10×10	680-3300	10×10	4700, 6800 пФ 0,01 мкФ
H70 '	10×10	1500—6800 пФ, 0,01 мкФ		0,015 и 0,022 мкФ
H90	10×10	330— 6800 пФ 0,01 мкФ	10×10	0,015— 0,047 ыкФ

Пр им в ч в и-м. 1. Номинальное напряжение конденсаторов  $U_{\rm min}$  = 50 В. 2. Конденскторы групп Пз3, М47, М750, М1500 выпускают с допускаемым отклонением емкости  $\pm$ 5;  $\pm$ 10 м.  $\pm$ 20%, конденсаторы групп  $\rm H30\frac{-}{20}\%$  и  $\rm H70$ ,

 $+80 \\ -20 \%$ . На конденсаторах групп Н30, Н70 и Н90 допускаемое отклонение не маркируется.

### Таблица 12.29. Монолитные керамические конденсаторы

	KM-4, KM-3*		1	KM-5		KM-6
Группа ТКЕ	U <sub>HOM</sub> , B (I <sub>OKP max</sub> )	Сном, пФ	Unom. B (foxp max)	Сном, пФ	Unom. B (forp max)	Сном, пФ
П33 M47 M75 M750 M1500	250 (125°C)	16-510 27-510 47-1006 68-1800 150-3600	160 (125°C)	16680 27680 471300 682700 1505600	25 (155°C)	120—2200 120—2200 180—2700 470—8200 820—6800 0.01—0.015 мкФ

Окончание табл. 12.29

	· KM	4, KM-3*		KM-5	KM-6		
- Fpynna TKE	Unom, B (foxp max)	C <sub>NOM</sub> , nΦ	U <sub>HOM</sub> , B (t <sub>okp max</sub> )	Сном. пФ	Unom. B (forp max)	Ском, пФ	
	160 (125°C)	1500—6800 0,01—0,047 мкФ	100 (125°C)	1500—6800 0,01—0,068 мкФ —	  25 (155°C)	 0,010,015 мкФ	
Н30	250° (125°C)	680 пФ— 0,022* мкФ	50 (85°C)	0,0150,15	25 (85°C)	0,022—1,0 мкФ	

<sup>&</sup>lt;sup>1</sup> Конденсаторы выпускают с допускаемым отклонением от номинальной емкости ±5; ±10 и ±20%.

Таблица 12. 30. Литые секционные керамические конденсаторы

Группа ТКЕ	Тип (марки- ропочный знак)	Uson B (foxpmax)	Свове, 'пФ	Тип (марки- ровочнай знак)	Unos B (fospmax)	Ском, пФ	Тип (марки: ровочний знак)	Unow. B (forgenery)	Смож. пФ
M47		tura.			160 (155°C)	18-330	,	250 (155°C)	18-270
M75 M700 M1300	КЛГ-1 (зеленая точка)	=	Ξ.	КЛГ-2 (фиоле-	160 (125°C)	20-330 51-1000 390-2000	КЛГ-3 (желтая	250 (125°C)	20—270 51—680 160—1000
H30	, iouka)		_	товая точ- ка)	160 (85°C)	, 2200—0,01 мкФ	точка)	250 (190°C)	1000 4700
H70		70 (85°C)	0,01—0,033 мкФ		160 (85°C)	4700—0,022 мкФ		-	-
M47, M75, M750, M1500		70 (85°C)	30—300 330—3000 —		125 (85°C)	18—160 91—130 390—2000	(	200 (85°C) .	82-91 18-820 160-1000
H30	клс-і	50 (85°C)	1500 0,01 мкФ	КЛС-2	100 (85°C)	100-6800	клс-з	160 (85°C)	680—330
H50	(бежевая полоска)	70 (85°C)	1500 0,01 мкФ	(коричне- вая по- лоска)	125 (85°C)	680—3300	(черная полоска)	-	-
H70			4700— 0,033 мкФ	лоска)	_	-		- '	
H90		35 (85°C)	4700— 0.1 мкФ		***	***		-	-
				<del></del>					

Таблица 12.31. Новые керамические конденсаторы

Параметр.					Сном, пФ					
Группа ТКЕ	K10У-5 (3, 10, 25, 50 B)	K10-15 (35 B)	K10-9 (15, 25 B)	K10-17 (25, 50 B)	K10-23 (16 B)	K10-34 (25 B)	K10-36 (35 B)	K10-42 (50 B)	K10-43 (25 B)	K10-45 (50 B)
MITO 133 M47 M75 M750 M1500 H20 H30 H50 H90		    10'22 • 10'			2.2—330 2.2—330 10—8.2·10 <sup>3</sup> 33—1.5·10 <sup>3</sup> 75—3·10 <sup>3</sup> — 68—3,3·10 <sup>4</sup>	21.5-3.01 · 10 <sup>2</sup> 21.5-3.65 · 10 <sup>2</sup>	1.5 · 10 <sup>3</sup>	1—22 — — — — — —	21,5—4200	0,51—22 0,51—22 — — —
Допуск, %	±20, 50, 90	+50 -20	±5, 10, 20 +20 +50 -20 H20 +50 -20 H30 +80 -20 H90	±5, 10, 20 +50 +80 -20 H50 +80 -20 H90	±5, 10, 20 +50 -20 H30	±1, 2, 5, 10 20	+50 -20	±0.25 nΦ (ao 4,7 nΦ) ±0.25 m 0.5 nΦ (4,7—10 nΦ)		±0,25 пФ до 10 пФ; ±2%>10 пФ
Размер, мм	D7—19 H6	L6,5—12 B3 H4,5— 10,5	B2-8 L2-8 S0,6-2,5	L1,5—12 B1 2 8,5 H1—5,5	9×6,5×4,5	L4—8,2 B2,7—6,6 H5,5	L6-13 B6,0 H6-13	1,5×1,0× ×1,3 1,5×1,2× ×1,4	L4-16,5 B2.9 12.2 H2,4 6,5	4×2,7×2

### Слюдяные конденсаторы

Слюдяные конденсаторы имеют малые потери, высокое пробивное напряжение и сопротивление наслящии и применяются в резондисных контурах, цепях блокировки и связи на высокой частоге. Параметры наиболее распространенных слюдяных конденсаторов приведены в табл. 12.32— 12.34.

Таблица 12.32. ТКЕ слюдяных конденсаторов КСО, КСГ и СГМ

Группы по ТКЕ	. ТКЕ на 1°С, не более	Виды конденсаторов, не изготовляемые по дан- ным группам ТКЕ
Α	Не нормируется	КСГ и СГМ (всех ви- дов), КСО-1, КСО-6, КСО-7, КСО-8
Ė	±200×10-6	KCO-11, KCO-12, KCO-13
. В	±100×10 <sup>-6</sup>	КСГ и СГМ (всех ви- дов), КСО-11, КСО-12, КСО-13
г	±50×10 <sup>±6</sup>	КСО-1, КСО-2, КСО-5, КСО-6, КСО-7, КСО-8, КСО-10, — емкостью 10 100 πΦ, КСО-11, КСО-12, КСО-13

Таблица 12.33. Предельно допускаемые переменные напряжения для слюдяных конденсаторов КСО, КСГ, СГМ

Unow. B			ие перемен- при частоте
O HOM. B	до 0,5 кГц	от 0,5 до 10 кГц	выше 10 кГц
До' 500 > 500 до 2500 > 2500	50 30 15	30 20 10	10 5 3

### Бумажные и металлобумажные конденсаторы

Конденсаторы с бумажным диэлектриком относится к числу конденсаторов с относительно большими потерями и применяются в качестве блокировочных, буферных, шунтирующих фильтром, в цепях развязки и цепях связи на Нъ (рвс. 12.19 и рис. 12.20), (табл. 12.35 и 12.36).

Таблица 12.34 Слюдяные конденсаторы малой реактивной мощности

KCO   10.50		Допуск,	_	CHOM.	пФ (до	9100 п4	) нлн м	кФ (от (	),01 мкФ	н более	) прн <i>U</i>	ном, В	$P_q$ ,
No. 20   10. 20   13 19. \( 7 - 11 \) \( 7 - 111 \) \( 7 - 111 \) \( 7 - 111 \) \( 7 - 111 \) \( 7 - 111 \) \( 7 - 11	Ten	= %	. Размер, им.	250	500	1000	1600	2000	2500	3000	5000	6300	èap
RCO-2	KCO-I	но не	(13—18) × (7—11) × × (4,6—5,5)	51-750		-	٠-	-	-	-"	-	-	5
KCO-16         2.5         20% 20% (x6.5—9)         7500—870—870—870—870—870—970—970—970         -	KCO-2		(13-18) × (7-11) × × (4.6-5.5)	-		-	-	-	-	_;	-	-	10
KCO-1         20x20x (16,3-9)         -         -         -         -         -         -         -         2         2         2           KCO-8         32x28.6x (8,6-11)         0.01-0.01-0.01-3300         100-0.01-0.01-3300         100-0.01-0.01-0.01-0.01-0.01-0.01-0.01-		2,5	20×20×(6,5-9)		470	-	-				-	-	20
KCO-1         32 x 28.5 x (8.6—11)         0         - 2400—1100—1100—1700—1700—1700—1700         - 3 to 0         - 4 to 0         - 4 to 0         - 4 to 0         - 4 to 0         - 4 to 0         - 4 to 0         - 4 to 0         - 4 to 0         - 4 to 0         - 4 to 0         - 4 to 0         - 4 to 0         - 4 to 0         - 4 to 0         - 4 to 0         - 4 to 0         - 4 to 0         - 5 to 0			20×20× (6,59)	-			-	-	-		-		25
KCO-10         32 /228 × (48.—11)         0.01—0.01—0.012         7500—0.010         8600—1.000—1.000         1000—1.000         -         -         -         5         5           KCO-11         44.5 × 34 × 19         0.027			32×28,6×(8,6—11)	-	-	2400-	1100-	-		-		-	40
KCO-11			32×28,6×(8,6-11)	0,010-	0,012-	7500	4700-			-		_	50
KCO-11         (41 Xeb) x (20-27) x         75000         5600         -         2620         -         10-590         -         50         50         50         50         50         50         50         50         50         50         50         50         50         50         10-590         <					0.027-		0.012-	5100	3600-		-		60
KCO-12			(41×46) × (20-27) × × (10-12)	-	7500-		-	620			-	-	50
KCO-13         6 k/40 x 14         — 0.022 (0.012		1	(41-46) × (20-27) × × (10-12)	-	0.012-	6800-	-	3300-	-		10-390		75
KCT-1 255/24x14 - 470 - 470 50 KCT-2 45x31x23 0022 0038 00 CTM-1 13x15x7 200 00 18x15x7 200 5 CTM-3 18x15x7 200 5 CTM-3 18x15x7 5 10 CTM-4 18x22x9	KCO-13		64×40×14	_	0.022	0.012-	-	3300-	-	1500-		10390	150
KCT-2 45x31x23			26×24×14		470 -	470-	-	-	-	-	-	-	50
CTM-1 13×85×6			45×31×23	-	0.022-	0.018-	-	-	-	-	-	-	100
CFM-3 18×13,5×7,5			13×9,5×6 13×10×7	51560 620		=	=						5 5
CFM-4   18×22×9· ·   6800   4700   3300   1600 -   -   -   -   20	CFM-3		18×13,5×7,5	_	51-				-		_	-	10
0,010   0200   0800   3900   .	CFM-4		18×22×9·	6800-	4700-			-	-		-	-	20

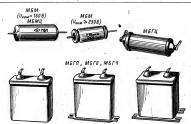


Рис. 12.19

Таблица 12.35. Бумажные цилиндрические конденсаторы

		CHOM	
Параметр	EM (EMT)	К40П-1	К40П-2
U <sub>ном.</sub> В 150 200 200 300 400 400 600 600 Размер, мм	0,033; 0,047 мкΦ 3300—6800 πΦ 0,01—0,022 мкΦ 470—2206 πΦ (4700—6800 πΦ) (0,01—0,22 мкΦ) (1000—6800 πΦ) (0,01—0,22 мкΦ) D 5—7,5 L 17—24		

Примечавия. 1—В таблице указаны начения постоявного напряжения,  $U_{\rm HCT} = 2U_{\rm HOM}$ . Отклонение от номинальной емкости конденсаторов БМ не более  $\pm 10$  и  $\pm 20\%$ , для конденсаторов остальных типов не более  $\pm 5$ .

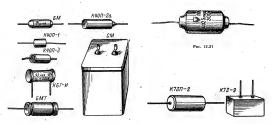


Рис. 12.20

` Рис. 12.22

денсаторы

металлопленочные

KOH-

Таблица 12.36. Металлобумажные конденсаторы

	. С <sub>ном</sub> , мкФ								
Параметр	мъм, мъмц	мьгц	мьгп	мыго	мыгч				
U <sub>пом.</sub> В 160 200 250 300 300 380 400 500 600 750 1000 1500 Размер, мм	0,25—1 0,05—1 	0,25-1 - - - 0,1 -0.5 - 0,025-0,25 - - - - - - - - - - - - -	1 - 30. 0,5-25 1 - 10 - 0,25-10 - 0,1-10 0,25-10 0,25-10 1 37-725-118	2 - 30 					

Примечания. 1. Для конденсаторов МБГЧ  $U_{\text{пом}}$ — это действующее значение переменяют напряжения частотой 50 Гц и для конденсаторов оставлям типов — значение постоянного напряжения. 2. Отключение смости конденсаторов от помнальной не болсе ±10 или ±20% (конденсаторы МБГЦ и МБГП, кроме

ых устройствах, большими лакопле

	1							C-	<sub>ом</sub> , пФ, при 8	// B						
Тип	Допуск, ± %	Размер, ми	25	50	63	100	160	200	250	300	400	500	630	1000	1600	10 000 15 000 18 000
					-		Полиэтил	ентере	рталатные	?						
K73-5	10 20	$7 \times 3 \times 9$ или	-	-	=		1 -	ı –	10° -2,2×	-	- 1	1 -	-	1	-	-
K73-9	5 10 20	16,5×8×15 12×4×6 20×10×13	-	-	-	10 <sup>8</sup> —4,7× ×10 <sup>8</sup>	-	2,7 • 10° 3,3 • 10°	×106		10 <sup>3</sup> 1,5× ×10 <sup>5</sup>	-	4,7 ; 10 <sup>3</sup>	-		-
K73-11	5 10 20	D 6-22 L 13-44	-	-	-	-	2,7 • 10 <sup>4</sup> 6,8 • 10 <sup>6</sup>	-	4,6 · 10 <sup>4</sup> — 2,2 · 10 <sup>6</sup>	-	2.2 · 104—	-	10 <sup>3</sup> -4,7× ×10 <sup>5</sup>	- 1	-	
K73-15	5	D 6-16 L 16-40		-	-	4,7 · 10 <sup>3</sup> — 3,3 · 10 <sup>5</sup>	4,7 · 10 <sup>3</sup> — 3,3 · 10 <sup>5</sup>	-	3,3 · 10 <sup>3</sup> — 2,2 · 10 <sup>5</sup> .	-	2,2 · 10 <sup>3</sup> — 2,2 · 10 <sup>3</sup>	-	4,7 · 10 <sup>2</sup> 1,5 · 10 <sup>3</sup>	-	-	
K73-16	10 20 5 10 20	D 6-22 L 18-48	-	-	10 <sup>8</sup> — 2,2 · 10 <sup>7</sup>	10 <sup>5</sup> 1,2 • 10 <sup>7</sup>	4,7 • 10 <sup>4</sup> 6,8 • 10 <sup>4</sup>	-	4,7 · 10 <sup>4</sup> — 2,2 · 10 <sup>6</sup>	-	2,2 · 10 <sup>4</sup> —		10°	10 <sup>4</sup> — 2,2 + 10 <sup>8</sup>	4.7 • 10 <sup>3</sup> - 10 <sup>5</sup>	-
Қ ҚЗП-2	.5 10 20	D 6-24 L 20+52 31×25×16		-	-	_	_	-	-	-	2,2 • 10 <sup>3</sup> — 1,5 • 10 <sup>7</sup>	-	103-107	4.7 • 10°-	-	-
К73П-3	10	86×140×46 10×11×11		-	-	-	5 • 10 <sup>4</sup> 10 <sup>6</sup>	_	_	-		- '		_		_

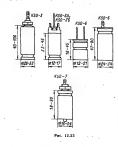
того, изготовляют с допуском не более ±5%)
- 3. Конденсаторы МБМ выпускают с U<sub>ном</sub> = 250, 500, 750, 1000 и 1500 В, в МБМЦ — с U<sub>ном</sub> = 200 и 400 В.

Таблица 12.37. Пленочные конденсаторы

	К73П-4 ПМГП	5 10	31×16×25 46×86×50 50×46×11 50×46×56	<u>-</u> .	-	- -	 5 • 10 <sup>8</sup> ; 10 <sup>7</sup> ; 1,5 • 10 <sup>7</sup>	- 	_ _	5 · 10 <sup>5</sup> — 1,5 · 10 <sup>7</sup> —	_		_	-	-	-	-	
								Поль	стирол	ьные								
	ПМ-1,2	10	D 3,4-10 L 9-24	-	10°—104	-	-	,-	-	-	-		-	-	-	_	_	٠
	K70-6	20 5 10	D 3-13 L 12-33	-	-	20-15× ×10 <sup>4</sup>	-	-	-	7	-	-	-	-	-	-	- 1	
	K70-7	20 10 πΦ 0,3; 0,5;	H2261 L 2540 B 12,525	-	-	-	10 <sup>4</sup> —5× ×10 <sup>5</sup>	-	10 <sup>3</sup> —1,3× × 10 <sup>5</sup>	-	-		-		-	-		
	мпго	1; 2 5 10	H 31-75 L 31-66	-	-	-	-	4 · 105-	-	10 <sup>6</sup> —2× ×10 <sup>6</sup>	-	5 • 10 <sup>5</sup> —	105	-	-	-	_	
•	K71-4	20 2, 5, 10 20	B 26-104 D 6-45 L 21-85	-	-		-	1,2 · 105—	-	10 <sup>4</sup> —10 <sup>4</sup>	l	-	-	-	-	-	-	
	K71-8	2: 5	D 5-13		l –	22-105			-	-	-	·	1 -		-	-		
	мпо	10, 20 5, 10,	D 6-23		-	-	-	***	-	2,5 · 105-		3 · 103 2,5 · 105	10 <sup>3</sup> —10 <sup>5</sup>		-	-	-	
*	мпґп	2, 5, 1	L 21-62 H 31-75 L 31-66	-		-	-	-	-	2,5 · 10° ,	-	2,0 . 10	25 - 10 1 0 <sup>5</sup>	-,	15 · 104 5 · 104	^-		
,	пов	20, 50	B 16-81 D 11-21 L 35-40	-	-	-	-	-	-	-	-	-	-	-	-	-	120, 390	
				٠.	'			Фтор	опласт	говые								
	ΦТ	1-5, 10,	D 6-37	1 -	-	i	- 1	1 -	5,6 • 10°- 0,47 • 10°	- 1	I -	-	1 -	5,6 · 10 <sup>2</sup> — 0,22 · 10 <sup>8</sup>	1 1	- 1	-	
	К72П-6	20 5 10	L 14-73 D 7-60 L 20-100	-	-	-	-	-	4.7 • 10° 10°	-	-	-	47 · 10 <sup>6</sup>	- 10	4,7 · 10%- 0,47 · 10 <sup>6</sup>	1,7 • 10°- 5,6 • 10°	_	
	K72-9	20 5 10	D 9-42 L 32-100		-		-	-	1,5 • 10 <sup>6</sup> 2,2 • 10 <sup>6</sup>	-	(0,47- -1)× ×10 <sup>6</sup>	-	0,01 · 10 <sup>6</sup> -0,33× ×10 <sup>6</sup>	-	-	-	-	
		20	I	l		ı	ĺ	Лак	 оплено	чные	ı	l	1	l	1 1			
	K76П-1	5 10	D 7-22 L 32-48	- 1	-	(0,47— 22) · 10 <sup>5</sup>	-	-	-	-	-	-	-	-	-	-	-	
	K76-3	20 5 10	D 6-30 L 32; 48	-	-	-	-	-	-	(0,1-10) × ×10 <sup>6</sup>	-	-	-	-	-	-		
	K76-4	20 5 10	D 6-12 L 19-45	(0,47— 10) · 10 <sup>8</sup>	-	-	-	-	-	-	-	-	-	-	-	-	_	
	K76-5	20 5 10	D 5-10 L 22; 28	(0,47— 10) • 10 <sup>6</sup>	-	-	-	-	-	-	-	-	-	-	-	-	-	

### Электролитические конденсаторы

Электролитические коиденсаторы разделяются на тол я р и не, прабогающие только в цепях с постоянным или пульсирующим капряжением, и не по л я р и не, предмазивачениме для работы в цепях переменного тока. Следует помить, и полярный концестор работоспособен при условии, если его положительный потенциа по отношению к отрицательному. Включение конденсаторы собратий подпристы конденсаторы (таба-править конденсаторы). Намбольшее распротрименного примененного при намеренного при



#50-5 # #50-5 # #50-5 # #50-8 # #50-8

Рис. 12.24

Таблиц	а 12. 38.	Электрол	итические	Таблица 12. 38. Электролитические алюминиевые конденсаторы	е конденсато	pre		к- о- л. а-	гы о- о- е- ра к- о-	ях м,
						CHON. NK Φ				
Параметр	· KB0-3A	K50-3E	K50-6	K50-15	K50-16	. K50-20	K50-22	K50-24	K50-27	
	2-500 2-500 2-1000 1-200 1-200 2-50 2-50 2-50 2-50 1-20	50-1000 20-2000 10-1000 10-200 20-200 20-200 20-200 20-50	50-500 10-4000 1-4000 1-4000 1-2000 1-200 1-10 1-10 1-200 1-	68-580 13-1-100 147-680 13-1-330 147-33 147-34 147-	20-500 10-5000 5-5000 5-5000 2-2000 0.5-50 1-20 1-20 + 80	10 - 5000   10 - 5000   2 - 2000   2 - 2000   2 - 200   3 - 200   3 - 200   4 - 50   4 - 50   4 - 50   5 - 20   6 - 20   7 - 20   7 - 20   7 - 20   8 - 20	2200 – 22000   10 – 1500 – 1500 – 1500   10 – 1500 – 1500   10 – 1500 –	10-10000 100-10000 22-4700 47-2200 47-2200 22-220 12-2200 12-200 1	470-1000 470-1000 10-470 10-470 11-47	7 1 2 2 2 4 1 1 2 2 4 1 1 2 2 4 1 1 2 2 4 1 1 1 1
Размер, им <i>В</i> 6: 41 6. 22= 10°	D 6. 10 £ 22- 10°	7 6 40 2 22-106	D 7,5 34 H 13 - 80		D 4-34 # 13-87	D 4,5 -32 H 14- 86	D 2130 #4080	D 6-21 L 17-58	D 9-34 H 34-92	D 6

# Таблица 12.39. Оксиднополупроводниковые конденсаторы.

			90	10=
	K53-22	1,5-100 1,68-47 0,47-33 0,22-15 0,15-10 0,1-6,8	±20, 3	22,7-6,5 B1,0-3,1 H20-4,4
	K53-18	150 100 22	±10, 20	D3,2—9 L7,5—21
	K53-16A	5-10 2-3,3 2-3,3 68-2,2 47-1,5 33-1,0 22-0,68	±20, 30	L1,9—3,1 B1,2—2,2 B1,2—1,6 L7,5—2,1 H3,4—6,0 H2,7—4,0
	K53-16	1,5-10 1,4,7 2,2-1,0 2,2-1,0 0,68-6,8 0,47-4,7 0,33-3,2 0,22-2,2 0,01-1,5 0,68	±20,30	L1,9—3,1 B1,2—2,2 H3,4—6,0
	K53-15A	3,3-47 2,2-33 1,5-22 1-15 0,68-15	±20, 30	22,5-10 B48 H1,5-2
	K53-15	2,2-33 -1,5-16 1,5-16 0,68-100 0,47-68 0,1-47	±20, 30	22,5-10 B4-8 H1,5-2
CHOM. MKD	K53-14		±10, 20	D4,4-8,2 H7,5-16,5
C,m	K53-7	1-47	±10, 20	D3,2—7,8 H18—30
	K53-6A		+50 -20	D9,0 H13,5—17,5
	K53-4A		±10, 20	D3,2—7,2 L7,5—25
	K53-4	0.68-100 0.47-68 1-47	±10, 20	D3.2—7.2 L7.5—16
	K53-1A		±10, 20	D3,2—7,0 L2,5—16
	K53-1		±10, 20	D3,2—7,2 L7,5—16
	паряметр	U, sow, B 1, 6 4 4 6,3 10 22 22 25 25 50 50	Допуск, %	Размер, мм D3,2—7,2 L7,5—16

### Вариконды

Варикондами называются конденсаторы, емкость которых под воздействием приложенного к ним переменного напряжения может меняться

в 4 — 6 раз.

Обычно вариконды изготовляют в виде дисков толщиной 0,4 — 0,6 мм, покрытых красной эмалью, на корпусе вариконда ставится голубая точка (рис. 12.25, табл. 12.40). Допускаемое отклонение емкости от номинальной от +100 до—40%.

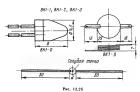


Таблица 12.40. Вариконды

				ная	бочее пря- не, В
Тип,	Номинальная емкость, пФ	Диаметр диска <i>D</i> , мм	Macca, r	на постоянном токе, мА	на переменном гоке (f=50 Гп)
BK1-0 BK1-1 BK1-2 BK1-3 BK1-B	100 510 и 1500 2700 и 5100 6800 и 12000 0,15 и 0,2 мкФ	2 4 9 16 25	0,1 0,4 0,7 1,2 20	250 250 250 250 250 300	160 160 160 160 160

### 12.8. ПОДСТРОЕЧНЫЕ КОНДЕНСАТОРЫ И КОНДЕНСА-ТОРЫ ПЕРЕМЕННОЙ ЕМКОСТИ

Подстроечные конденсаторы. Их применяют для подгонки параметров колебательных контуров под нужную частоту (диапазон частот). Подстроечные конденсаторы бывают дисковые, пластиничатые и цилиндрические. Наибольшее распространение получиля дисковые керамические подстроечные конденсаторы (рис. 12.26, 12.27, табл. 12.41).

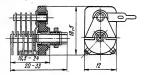
Конденсаторы переменной емкости (КПЕ), Они предназначены для тех узлов радиолюбительской аппаратуры, где требуется в определенных пределах плавно изменять емкость. Наибольшее распространение имеют КПЕ, в которых подвижная группа пластин при повороте оси входит в воздушные зазоры между пластинами неподвижной группы. Такие КПЕ характеризуются большой точностью установки емкости, высокой стабильностью и незначительными потерями. Благодаря этому их широко применяют для настройки колебательных контуров. Изготавливают также КПЕ с твердым диэлектриком, в которых между пластинами помещены изоляционные прокладки. Эти конденсаторы используются в основном как регулировочные.

По характеру изменения емкости в зависимости от угла поворота оси (что определяется той или иной формой пластии) КПЕ делят на четыре вида: прямоемкостные, прямоволновые, прямочастотные и среднелинейные (логарифычиеские).

Наяболее широко применяются прямочаготь мых кождекстворы, равкомерно изменяющие частоту контура по дняпазону, а также средненнейные, у которых процентное изменение еммости, прякодящееся на градуе поворота оси, остается постояным в любом месте шкалы. Это обеспечивает одинакомую точность отсчета по Комдекстворого и подагать обеспечивает одинакомую точность отсчета по боменение спаривание Комдекстворов на одной оси;

колденсаторы переменной емкости, применяемые в радиовещательных приемниках, обычно имеют зависимость изменения емкости, близкую к среанелицейной.

В радмовещательных приемниках различных классов используют одинарные, спаренные (два конденсатора на одной оси) и строенные КПЕ с воздушным диэлектриком. Минимальная емкость (подвижные пластины выведены) таких кон-





денсаторов 10—17 пФ., а максимальная (пластины выедемы) — 450—540 пФ. Тангенс угласиона потерь на частоте 1 МГц не превышает 0.01 при выведенных подвижных пластинах (угла поворота оси 0° и 0,001 при выеденных гластинах (угла поворота оси 180°). Сопротываемен кололиям ческу труппами подвижных и исполнийных оси должно быть не менее 200 МОм.

В РВ приемниках с днапазоном УКВ применяют КПЕ с дополнительными группами подвижных и неподвижных лиастии, емкость которых при повороте оси от 0 до 180° изменяется примено от 8 ло 20 пФ.

Таблица 12.41. Подстроечные конденсаторы

Тип	Номинальная емкость, пФ	Номинальное напряжение, В	Группы по ТКЕ	Разнер, им
	Дисковые			
КПК-1 КПК-2 КПК-3 КПК-5	2/7: 2,5/8; 4/15; 6/25; 8/30 8/60; 10/100; 25/150; 75/200; 125/250; 200/325; 275/375; 350/450 8/60; 10/100; 25/150; 75/200; 125/250; 200/325; 275/375; 350/450 25/150; 25/175	500 500 500 500	M750 M750 M750 M750	24×18×12 D 33,5×9,5 53,5×36×14 53,5×36× ×15,5
КПК-МН, МП КТ4.2	4/15; 5/20; 6/25; 8/30	350	M750	15×11×9

Продолжение табл. 12.41

Тип	Номинальная емкость, пФ	Номинальное наприжение, В	Группы по ТКЕ	Размер, м
(T4-1T '	3/20	160	M750	14,2×10,2> ×5.6
MMKT KT4-20 KT4-21	3/20 5/20 1/5; 2/10; 3/15; 4/20	80 5 <del>0</del> 250	M470 M75 M75	9,85×9,85×5 D 8,5×8,1 14×8,5× ×4,5
(T4-22 (T4-23 (T4-24 (T4-25	0.4/2; 1/5; 2/10; 3/15; 4/20 0.4/4; 27; 2.5/6; 4/16; 5/20; 6/25; 8/30 3/15; 5/26; 0.4/2; 1/5; 2/10; 3/15; 4/20; 5/26; 6/30; 8/40; 2×1/5	250 200 50 100, 250	М75 М75, М750 М75, М750 П100, МПО, М75, М470 М750	D 8,5×4,5 8,5×8,5×4,5 D 8,2×7,1 D 3,6×1,1 14×8,5× ×4,5 8,5×8,5×4,5 5×5×4,5
(T4-27	0,4/2; 1/5; 2/10; 3/15; 4/20	25, 50	M75	$5 \times 4.7 \times 1.8$
KT4-28	2/10; 3/15; 4/20; 5/25; 8/40	25, 50	МПО, М75, М750	2,8×2,6×1,2 2,8×2,6× ×1,2 5×4,7×1,8
,	Цилиндрическі	ie '		,-,,,,,,,,,,,,,,,,,,,,,,,,,,,,,,,,,,,,,
КПК-МТ КВК-2	2/7; 4/15; 6/25; 8/30 0.5/2.5	/ 500 500	M470 M470	D 12,5×33,5 D 9,5×
KBK-3	0,5/5,0	500	M470	×36,5 ÷ 73 D 11,5 ×
КПК-Т КТ4-Ь	1/10; 2/15; 2/20; 2/25 0,5/4,0; 2/9	250 100	M470 M150, M220 M470	D 8×24 D 5×101
KT4-12T	1,0/42	300	M47	D 8,2×24-
KT4-13T	2×2/10	200	M150	D 8,1×30,
,	· Пластинчаты	, ' '	. '	
кпв [	4/50; 5/75; 6/100; 7/125; 8/140	300	П60	31×26×
I КПВМ (односек-	1.8/6.5; 1.8/9; 2.0/6.5; 2.2/15 2.8/12; 2.8/24; 3.5/17	350, 650	П100	×43,5—61, 18×12× ×20,0—33,
цнонный) 2КПВМ (бисквит- ный «бабо»-	1/1,3; 1/1,8; 1/2,0; 1/3,3; 1,5/3,5; 1,5/5,8 (enkocts vkasaha mewgy cratopama)	350, 650	П100	13×25× ×20,0— — 30,0
(a>)		350, 650	П100	13×25×
ЗКПВМ (дифферен- циальный) КТ2-17— КТ2-21	2.5/6.5; 2.5/9; 2.5/16; 3/12 3/24; 4/17 (Емкость указана между ротором и каждым статором) 1.5/5; 1.5/10; 1.9/15; 2.5/30; 3.0/50	150	300 + 10-6	×20,0— - 33,0 10,5×11,5; ×16 14,5×16×
KT2-22 KT2-23	2,3/10 6/50	1000 160	П60 МПО	×19,4 26×23×2 19,5×23,5; ×29

<sup>\* § 12.9, 12.10</sup> взяты из второго издания справозника (автор Р. М. Малинии)

### 12.9. ПАРАМЕТРЫ МАГНИТНЫХ МАТЕРИАЛОВ

Магнитомягкий материал — магнетик с коэрцитивной силой не более 0,8 А/м.

Магнитотвердый материал — магнетик с коэрцитивной силой более 4 кА/м.

Коэрцитивная сила — напряженность магнитного поля, обратного по направлению намагничивающему полю, необходимая для того, чтобы довести до нулевого значения остаточную намагниченность материала, предварительно намагниченного до насъщения.

Магнитная проницаемость, материала и - от-

ношение напряженности магнитиого поля, создаваемого электрическим током, протекающим по виткам обмотки, расположенной на кольцевом сердечнике из данного материала без немагнитных зазоров, к напряженности магнитного поля, создаваемого током такой же силы в отсутствие сердечника.

Начальная магнитная проницаемость  $\mu_{mn} - \epsilon$  магнитная проницаемость, которую материал имеет в слабом магнитном поле (напряженность не более 0,08 А/м, т. е. 0,001 Э). Практически такие условия имеют место, например, в колебательных контурах приемной аппаратуры.

Эффективная магнитная проницаемость сер-

дечника (магнитная проницаемость формы) и<sub>зоф</sub> — отношение индуктивности катушки с данным сердечником при слабом магнитном поле к ее индуктивности в отсутствие сердечника. Для кольцевого сердечника при малой напряженности магнитного поля µ,,,,, ≈ µ,,,,,,, для сердечников других видов  $\mu_{*\phi\phi} < \mu_{\text{нач}}$  и зависит от формы сердечника и размещения на нем катушки. В случае стержневого сердечника циф зависит от положения его по отношению к катушке; в случае броневого сердечника с подстроечником изменяется при изменении положения подстроечника. В справочниках приводят значения изоб, из-

меренные при определенных (образцовых) катушках. Критическая частота јер — частота, при кото-

рой значение тангенса угла потерь материал достигает 0,1 (или 0,02), что соответствует снижению добротности сердечника до 10 (или 50). Потери в магнитном материале увеличиваются с повышением частоты. Определяют тангенс угла потерь (добротность), измеряя на различных частотах реактивное сопротивление и сопротивление

потерь образцовой катушки с кольцевым сердечником. Поскольку на ВЧ потери на сопротивдении обмотки значительно меньше потерь в магнитном материале, считают, что полученная при измерении величина потерь полностью относится к сердечнику.

Максимальная магнитная индукция B<sub>m</sub>. Магнитной инлукцией называют плотность магнитного потока в данной точке магнитного поля (единица измерения тесла или гаусс, причем  $1 T = 10^4 \Gamma c$ ). Считая, что магнитный поток  $\Phi$  [B6] равномерно распределен по сечению магнитопровода (сердечника) S м<sup>2</sup>, магнитная индукция в теслах составит:  $B = \Phi/S$ . (При изменении магнитного потока на 1 Вб в течение 1 с в электрической цепи индуцируется ЭДС 1 В).

При расчетах магнитопроводов, работающих в режиме сильных магнитных полей, задаются максимальным значением магнитной индукции

 $B_{\rm m}$ , допустимым для применяемого магнитного материала; при большем значении матнитной индукции наступает насыщение материала — его магнитная проницаемость начинает уменьшаться.

### 12.10. МАГНИТНЫЕ СЕРДЕЧНИКИ, МАГНИТОПРОВОДЫ, КАРКАСЫ И ОБМОТКИ ДРОССЕЛЕЙ И ТРАНСФОРМА-TOPOB

### Ферритовые сердечники

Ферритами называют ферромагнетики на основе двойных окислов железа и одновалентных или двухвалентных металлов; никеля, цинка, марганца, лития, бария и др. Ферриты имеют кристаллическую структуру и относятся к числу полупроводников с электронной электропроводностью

По своим свойствам, которые определяют области применения ферритов, они делятся на магнитомягкие с прямоугольной петлей гистерезиса, магнитострикционные и магнитотвердые (ферриты бария) — ферроксдюры.

Сердечники из ферритов с прямоугольной петлей гистерезиса применяют в элементах памяти логических цепей, магнитострикционные - в генераторах звуковых и ультразвуковых колебаний и в электромеханических фильтрах, магнитотвердые - для изготовления постоянных магнитов громкоговорителей и других приборов.

Радиолюбители-конструкторы в своей практической деятельности имеют дело почти исключительно с сердечниками из магнитомягких ферритов, применяя их в ВЧ катушках, дросселях и трансформаторах, в магнитных антеннах, в трансформаторах строчной развертки и отклоняющих системах телевизоров, в трансформаторах преобразователей постоянного напряжения.

Обозначение марки феррита состоит из букв и одного-двух чисел. В обозначении марки магнитомягкого феррита, предназначенного для применения на частотах выше 5 МГц, имеются буквы ВЧ (высокочастотный), а в предназначенных для работы на более низких частотах — буква Н (низкочастотный). Вторая буква Н и М означает никель-цинковый или марганец-цинковый феррит соответственно. Дополнительно в обозначении марки может быть буква С — феррит для работы в сильных магнитных полях (где магнитная индукция более 0,05 — 0,1 Т, например, в выходных трансформаторах строчной развертки телевизоров) или буква И -- специальный феррит для работы в импульеных магнитных полях. Отсутствие третьей, дополнительной буквы указывает на то, что феррит предназначен для работы в слабых синусондальных полях, например в катушках контуров радиоприемников.

Число впереди букв указывает среднее значение начальной магнитной проницаемости феррита. После букв может стоять (не обязательно) число или буква для обозначения феррита по

некоторым свойствам. Условное обозначение сердечника из магнитомягкого феррита слагается из следующих элементов: 1) буквы М, означающей изделие из феррита; 2) марки материала, из которого оно изготовлено; 3) сокращенного обозначения конструктивного вида сердечника. Последнее состоит из следующих букв и цифр:

Б — броневой (из двух чашек и подстроечника); число после буквы указывает округленно внешний диаметр чашки;

Г — Г-образный (для телевизнонной аппаратуры); числа после буквы указывают последовательно длину, ширину и толщину изделия;

Д - двухотверстный; числа после буквы указывают длину, ширину и толщину изделия;

К — кольцевой; числа последовательно указывают внешний днаметр, внутренний диаметр и высоту кольца;

ОС - кольцевой, тима «колокольчик» (для отклоняющих систем кинескопов); число после букв является условным обозначением типоразмера сердечника;

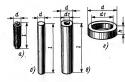
ПК — П-образный с ножками круглого сечения; первое число обозначает ширину окна, второе — днаметр ножек. Из двух сердечников типа ПК собирают замкнутый магнитопровод трансформатора строчной развертки телевизора;

ПП — то же, с ножками прямоугольного сечения; первое число указывает ширину окна, второе — ширину ножки, третье — высоту сердечника (исключение: первое число «53» в обозначении сердечника для ТВС кинескопа с отклонением луча 70° указывает ширину сердечника).

ОС — стержень цилиндрический, диаметр до 3,5 мм, первое число указывает диаметр, второе — длину сердечинка. Так же, но без букв СС, обозначают цилиндрические стержии Ø 8 и 10 мм для магнитных антени радиоприемников.

Числа в обозначениях пластинчатых сердечников для магнитных антени указывают последовательно: ширину, толщину и длину пластины; буквы отсутствуют:

 Ш — Ш-образный; числа обозначают ширину и толщину средней ножки;



Puc. 12.28

З — замкнутый, О-образный, числа последовательно указывают полную высоту сердечника, высоту окна, ширину сердечника и ширину окна. Стержневые ферритовые сердечники (рис.

12.28, a-a) применяют в качестие элементов подторяю цильянарических маготабритных катушек (см. § 1.2), а также в ВЧ дросселях. Натушек (см. § 1.2), а также в ВЧ дросселях. Натушек (см. § 1.2), а также в ВЧ дросселях настражений с размерами  $dx/=2.8 \times 12$  и  $2.8 \times 14$  мм. Кроме  $dx/=2.8 \times 12$  и  $(2.8 \times 12)$  мм. Кроме  $dx/=2.2 \times 10$ ,  $(3.5 \times 20)$  мм.  $dx/=2.2 \times 10$ ,  $(3.5 \times 20)$  мм.  $dx/=2.2 \times 10$ ,  $(3.5 \times 20)$  мм.  $dx/=2.2 \times 10$ ,  x/=2.

Сердечники из феррита 100НН предназначены для работы в контурах, настранваемых на частоты до 40 МГц, а из феррита 600НН — на частоты до 2 МГц.

Сердечники из феррита 600НН целесообразно применять в ВЧ дросселях, предназначеннях для работы в широком диапазоне частот. Поскольку с увеличением частоты их магнитная проницаемость (и, следовательно, индуктивность) уменьшается, исключаются резонансные явления.,

Кольцевые ферритовые сердечники изготовляют с размерани  $d\times d_1 \times h$  (рис. 12.28,  $\varepsilon$ ) от  $4\times 2.5\times 1.2$  до  $180\times 115\times 12$  мм.

Максимальные рабочие частоты кольцевых сердечников из ферритов различных марок:

10 кГп
20 кГц
30 кГц
100 кГп
200 κΓπ
200 111 14
300 κΓμ
1 МГц
2 MΓu
3 МГц
5 MILL
4 МГц
5 МГц
10 MΓ <sub>H</sub>
10 MΓ <sub>Ц</sub> 12 MΓ <sub>Ц</sub>
18 ΜΓμ
30 MΓ11
40 МГц
50 ΜΓιι
70 МГц
120 MFn

В радиолюбительской практике нередко приходится применять кольценые серденники, принитивя проинцаемость которых неизвестия. Есможно определить следующим образом. Наматывают равномерно по всей длине кольца пробную катушку, содержащую ««» витков, измеряющим катушку пределящую «» витков, измеряющим информационного магнитную проинцаемость сердечника

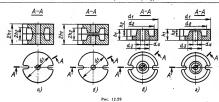
$$\mu = \frac{2500L_{\pi p}(d + d_1)}{\omega_{\pi p}^2 h(d - d_1)}$$

где  $L_{np}$  — полученная путем измерения индуктивность катушки, мкГн; d, d, и h — размеры сердечника согласно рис, 12.28, z, мм.

Расчет катушек на кольцевых сердечниках см.

а § 1.2 броневые ферритовые сердечники. Броневой Броневые ферритовые сердечник с зазором (рис. 12.29, а) или без зазоро (рис. 12.29, б) собирают из-лаух чашек (рис. 12.29, а) и заемента подстройки. Последний может бить стерьлевым (тип ПС), трубчатым (тип ПТ) или резьбовым (тип ПС), трубчатым (тип ПТ) или резьбовым (тип ПС). Изменяя положение элемента подстройки, регулируют измуститым име элемента подстройки, регулируют измуститым име замента измуститым подключаться и подможные для их комплектации типоразмеры сердечнують с подключаться и подключаться и подможные для их комплектации типораз-

Числа, входящие в обозначения сердечников, указывают следующие их починальные размеры [мм], первое число в обозначении стерьжевого сересчинки ПГ указывает сто дивметр, второе длину; первое число в обозначении трубчатого сересчинка ПС указывает сто вмещий дамаетр, первое число в обозначении резьбоного подстречника ПР указывает сто вмещий дамаетр первое число в обозначении резьбоного подстречника ПР указывает сто вмещий дамаетр первое число в обозначении резьбоно, третье длину.



Максимальные рабочие частоты броневых сердечников из феррита различных марок:

2000 HM1			
2000 HM, 2000 HM1			
1500 HM2, 1500 HM3			
1000 HM3, 1500 HM3			
1000 HM3-4			2 МГц
700HM, 700HM9			3 МГц
50BH2-2			
20B42, 50B42 .			70 MΓ <sub>II</sub>
20 BU 2			1:00 MTn

Табли ца 12.42. Броневые ферритовые сердечники

Тип сер-		Разче	р, чч	(рис.	12 29)		Тип подстроем
дечника	d <sub>1</sub>	d <sub>2</sub>	d <sub>3</sub>	$d_{4}$	$h_1$	h <sub>2</sub>	ного сердечника
Б6 Б9	6.6 9,3	5.0 7.5	2,8 3,9	1.0 2.0	2.7 2.7	1,8	IIC 0.5×5 IIC 0.5×5 IIC 0.8×5
Б11	11,3	9,0	4.7	2.0	3,3	2.2	IIC 0.8 × 5
B14	14.4	11,6	6,0	3,0	4,2	2.8	IIC 1×6 IIC 1.8×8 IIC 2.2×8 IIT 2.2×0.8×8 IIP 2.2×0.45×
Б18	18,4	14,9	7,6	3,0	5,3	3,6	IIC 1,8×10 IIC 2,2×10 IIT 2,2×0,8×10 IIP 2,2×0,45×
Б22	22,0	17,9	9,4	4.4	6,8	4,6	IIC 3,5×11 IIC 3,5×13 IIT 3,5×1,2×1: IIP 3,5×0,6×1: IIP 4×0,5×1:
B26	26,0	21,2	11,5	5,4	8,1	5,5	IIC 3,9×15 IIC 4,5×15 IIT 4,5×1,5×10 IIP 5×0,5×10
Б30	30,5	25,0	13,5	5,4	9,5	6.5	11C 4,2×17 11C 4,5×17 11T 4,5×1,5×11 11P 4,5×0,5×1 11P 5×0,5×2

Расчет катушек с броневыми сердечниками см. в 6 1.2.

Ш-образные ферритовые сердечники. Сердечник состоит из двух Ш-образных частей со шли-

фованными поверхностями стыка (рис. 12.30). В табл. 12.43 указаны номинальные геометрические размеры сердечников (ГОСТ 18614 — 73), эффективная длина пути магнитной линии  $\ell_{\mu}$  и эфективная магнитная проинцаемость  $\mu_{\mu\rho}$  сер-



Рис. 12.30

дечников из ферритов различных марок. Сердечники предназначены для работы в диапазоне частот от 1 до 100 кТ и применяются в трансформаторах статических преобразователей постоянного напряжения, строчной развертки телевизоров и др.

Магнитная проницаемость замкнутого П-образмого сердечника без завора на частоте 16 к $\Gamma$ ц
имеет значенне и менее числа, входящего в марку
феррита, при магнитной индукции B=0,2 T для
сердечников из ферритов марок 2500HM и
2500HMC и при B=0,1 T для сердечников

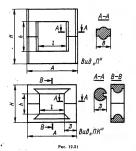
Таблипа	10.42	ферритория	III-ofnaauus	CANTANUEVU	600 222A	

Типоразмер		Размер, ми	(рис. 12.30)		l <sub>M</sub> , cM	Эффективі сер;	ная магнити ки можнирэ	ая проницаем ферритов ма	ость µ <sub>эфф</sub> рки
	A	Н	c	h		600HH	700HM	2000HM	4000HM
Ш2,2×2,5 Ш3×3 Ш4×4 Ш5×5 Ш6×6 Ш7×7 Ш8×8 Ш12×15 Ш20×28	10 12 16 20 24 30 32 42 65	10 12 16 20 24 30 32 42 65	2 2,5 3,2 4,0 5,0 6,0 7,5 9,0	6,4 8 10,4 13 16 19 23 30 44	2,2 2,6 3,5 4,3 5,3 6,3 7,5 9,7	525 545 555 565 575 580 585 590 590	595 630 640 645 660 — —	1025 1130 1260 1345 1445 1520 1575 1655 1755	1380 1575 1840 2020 2260 2440 2600

Примечание. Первое число в обозначении типоразмера сердечника указывает ширину среднего стержия а, второе — толщину сердечника b [мм].

Таблица 12.44. П-образные ферритовые магнитопроводы

_	Размер, г	Размер, мм (рис. 12.31)							
Тнпоразмер	B, D	A	Н	H					
III 10 II 10	15 15 16 13 16 14 16 18 -20	54 54 67 50 60 64 70 76 86 53	66 58 66 40 68 60 64 72 96 66	30 30 41 26 30 38 40 40 48 23	40 32 40 22 40 38 40 40 56 38				



ферритов марок 3000НМС и 4000НМС, что дает возможность получить требуемое напряжение на



Рис. 12.32

анодах кинескопов при малой потребляемой мошности. Сердечники типоразмеров П110, П110П и П110А из феррита марки 2000НМ выполнение указанного условия не обеспечивает, поэтому применение их в ТВС не рекомендуется.

Для увеличений адгелии клен скленваемые, поверхности необходимо сделать шероковатыми, капример пригиркой на стальной плите с применением кардоруклового зерена, и обезьмунтъ промывкой ацетоном или смесью ацетона со спиртом (применение безния не рекомендуется, т. к. он содержит больше смолистых веществ и более токсичен).

Надежное клеевое соединение можно получить при толщине клеевого шва 0,1—0,2 мм Феррит с алюминием и латуныю соединяют с помощью клея БФ-4 и полимеризуют при ком натиой температуре в течение 6 ч; при температуре 60 — 70°С достаточно 2 ч. Эпоксидный пластифициораманый клей полимеризуется при ком-

натной температуре в течение 24 ч и при температуре 100°C в течение 2 ч. После горячей полимеризации изделня необходимо медленное охлаждение (20 — 30°C/ч).

### Сердечники из магнитодиэлектриков

Сердечники из магнитодизмектриков, примелемые в ВИ катушках и трансформаторах, изготавливают из порошкообразного феромагнитного материала — альснфера, карбонидьного железа или магнетита с нолиящионным связующим материалом — полистиролом, баксийтовыми смолами или стекломалью, Соответственно сердении и магнетитовыми. Карбональными и магнетитовыми.

Альс и фер — сплав, содержащий около 7% алюминия, 9% кремини, остальное железо. Керб он ил ы и ос железо. Высоколяет и сферимеской формы рамкором. 15.—35 мкм слоистой (слуковичибов) структуры. Такая структура имеет меньшую удельную проводимость по сравнению с обичным чистым железом. В картоны и структуры структуры структуры структуры структуры структуры структуры имеет меньшую удельную проводимость по сравнению с обичным чистым железом. В картоны структуры структуры структуры имеет произвольного сравнению с обичным чистым железом. В картоны структуры структуры структуры структуры произвольного сравнений структуры произвольного произвольного структуры произвольного структуры применений структуры применений структуры применений структуры структур

рал).

Карбонільные цилиндрические подстроенные серлечник типа СЦР с реазбой (см. рис. 12.33, а, табл. 12.45). Их помещают внутрь каркасов катршек, на внутренней поверхности которых вмеется реазбо. Вращением сердечника изменяют его бубы внутру катушка и тем самым каменяют типулуниность. При сердечнике, полностью выстроя 15 мгм), рыдье 1.6 (мамерается на частого 15 Мгм).

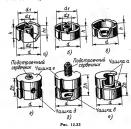


Таблица 12.45. Карбонильные цилиндрические сердечники

Типоразмер	СЦР-1	СЦР-2	СЦР-3	СЦР-4	СЦР-5	СЦР-6	СЦР-7					
Длина <i>l</i> , мм Диаметр <i>d</i> , мм (резьба)	10 1M6×0,75	19 1M6×0,75	10 1M7×0,75	19 1M7×0,75	10 1M8×0,75	19 1M8×1	10 1M9×1					
	Продолжение табл. 12.4											
Длина I, мм.	19	10	. 19	. 10	19	10	19					
Днаметр d, мм (резьба)	1M9×1	9,3	9,3	9,3	9,3	9,3	9,3					

Таблица 12.46. Карбонильные броневые сердечник

Типоразмер	CB-6a	CB-9a	CE-12a	CB-126	CB-18a	CB-23-11a	CB-236	CB-23-17a	CB-28a	СБ-34а
	. Pa	эмеры	сердеч	ников	и сост	вляющих их	чашек (рис.	12.33)		
d, мм d <sub>1</sub> , мм d <sub>2</sub> , мм d <sub>2</sub> , мм (резьба) h, мм, не более h <sub>1</sub> , мм, не менее	6,5 4,9 3 M2 3,2 2	9,6 7,5 4,6 M3 3,8 2,1	12,3 10 6 M4 5,3 4,1	12,3 10 6 M4 5,3 4,1	18 14 9 M5 7,4 5,7	23,0 18,5 10 1M7×0,75 5,7 3,1	23,0 18,5 10 1M7×0,75 5,7 3,1	23 18 11 1M7×0,75 8,7 6	28 22 13 1M8×1 11,7 8,5	34 27 13,5 1M8× 14,2 10,2
			Разм	еры по	дстрое	чников (рис.	12.29, 'a)			
Резъба І, ми	M2 7,5	.M3	M4 11,5	M4 11,5	M5 13,5	1M7×0,75	1M7×0,75	1M7×0,75 19,0	1M8×1 25	1M8× 30
	Эффек	тивная	наги	итная і	прониц	аемость в от	утствии пода	троечника		
HAA. HE MEHEE	1.1.7	1.7	3.0	1.7	L 🗠	2.8	1.8	3.4	3,7	3.4

Карбонильные цилиндрические подстроечные гладкие серьениях тиля СЦГ. Серьечники втата СЦГ. Серьечники втатально внутрь катушек (кали катушки наматывают ав изк, кога требучетя постоянная индуктивность). Карбонильные серьечники такой же формы: но с пвресованными в или хатунными шихлижими: с с пресованными в или хатунными шихлижими: с с свесованными в или хатунными шихлижими: с средованными с предоставлений с правод по предоставлений с правод по предоставлений полностью введен в катушку, то  $\mu_{\rm sop} \approx 1.9$  (измеряется в частоге 6 МГц).

Броневые сердечники (табл. 12.46). Карбонильный броневой сердечник (рис. 12.33, а-е) состоит из двух чашек, в одну из которых ввинчивается подстроечный сердечник из карбонильного железа; сердечник с замикнутой магнитной цепью (рис. 12.33, е) имеет в обозначении букву «ж», а с незамикнутой (рис. 12.33, d) — букву «б».

### Магнитопроводы трансформаторов и дросселей звуковой частоты

Материалы для магнитопроводов. Пластийы для сборки магнитопроводов трансформаторов и архессенё звуковой частоты (рис. 12.34, е.-е, 12.35, е.-е, таба. 12.47) штампурот зв листовов электротехвической стали. Магнитопроводы траниформаторов питания собирают из пластин катамарок 341, 342 толщиной 0,35 — 0,5 мм, а транастоты) из стали марок 342, 243, 3310 — 3330 толшиной 0.2 — 0,35 мм.

Витые магнитопроводы (рис. 12.36, .2— я, табл. 12.48 и 12.49) изготовляют из ленточной электротехнической стали марок ЭЗ10 — ЭЗЭЭ преннущественно толщной 0.2 мм. Для снижения магнитимы потерь в стали содержится присадка кремнях, средний процент которого указывает первая цифра в обозначении марки стали. Чем больше второе число в обозначении марки стали. Чем больше тогоер и большения указывает, что это холодоможатаная стала.

Магнитопроводы из пермаллоя недопустимо сильно стягивать и подвергать механическим напряжениям, т. к. это может резко ухудшить их магнитые характеристики.

Площадь сечения магнитопровода. Вследствие наличия изоляции между пластинами или слоями ленты, а также невозможности совершенно плотной укладки пластии или намотки ленты полезная площадь сечения стали магнитопровод 8 меньше произведения с х/в (рис. 12.35). Отношение \$\frac{5}{2}(1.68)\$ мазакарат кесть деложнить де

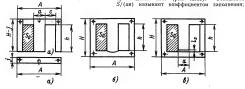
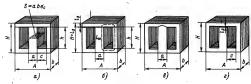


Рис. 12.34



≈PHC. 12.35

Таблица 12.47. Магнитопроводы из Ш-образных пластин

Типоразмер		р, им			S, cm <sup>2</sup>	l <sub>м</sub> , см	l <sub>в</sub> , см	J <sub>ср</sub> , А/мм²	Pr. B · A	E <sup>(1)</sup> , B	$\Delta U_{\tau}$
типоразмер	A	H	c	h	0, ca	·g. cm	18, C.M.	7 cp, 25/368	14.0.4	, D	107
UP   24   1   1   1   2   2	8 8 8 10 110 12 12 12 12 12 12 12 12 12 12 12 12 12	7 7 7 9 9 9 10.5 5 10.5 10.5 10.5 10.5 10.5 10.5 10	2 2 5.5 2 2.5 2 2.5 3 3 4 4 4 5 5 6 6 6.5 6 6.5 6 6 6.5 6 6 6.5 6 6 6 6 6 6 6 6 6 6 6 6 6 6 6 6 6 6 6	5 5 6.2 6.7 7.7 5.5 7.7 7.5 7.7 7.5 7.7 7.5 7.7 7.5 7.7 7.5 7.7 7.5 7.7 7.5 7.7 7.5 7.7 7.5 7.7 7.5 7.5	0.046 0.056 0.056 0.10 0.10 0.10 0.17 0.2	1.7. 1.7. 1.7. 1.7. 2.1. 2.1. 2.7. 3.4.4.3. 4.3. 4.3. 4.3. 4.3. 4.3. 4.	1.59.1.1.2.2.3.8 1.19.2.2.3.8 2.7.8.4.5.7.6.4.7.1.3 2.7.8.4.5.7.8.5.5.5.5.5.5.5.5.3.3 2.7.8.5.5.5.5.5.5.5.5.5.5.5.5.5.5.5.5.5.5	6 5 5 5 5 5 5 5 5 5 5 5 5 5 5 5 5 5 5 5	3 3 5 5 5 4 4 5 8 8 6 0 0 0 7 7 111 18 7 22 22 28 8 8 1 17 12 22 22 24 2 1 18 17 22 22 24 24 24 24 24 24 24 24 24 24 24	0.027 0.028 0.0444 0.054 0.050	0,31 0,29 0,19 0,26 0,26 0,19 0,15 0,15 0,15 0,16 0,16 0,13 0,13 0,13 0,13 0,13 0,13 0,13 0,13

Примечания. 1. Первос число в обозначении типоразмера магнитопровода указывает ширину его среднего

его обозначают о. В табл. 12.47 указаны площади сечения магнитопроводов S, выполненных из пластин, не покрытых лаком и не оклеенных бумагой; толщиной 0,35 мм для магнитопроводов Ш12×12 и больших типоразмеров (при этом

тельное падение напряжения на трансформаторе.

 $\sigma$  ≈ 0,9) и толщиной 0,2 мм для магнитопроводов меньших типоразмеров (при этом  $\sigma = 0.8 \div 0.85$ ). Если пластины деформированы, то о меньше. Для витых магнитопроводов σ≈0,9.

Выбор магнитопровода. Рекомендуется приме-

сторала — о, второе — толішку милитородода і [на] (се. рас. 12.35).

2. Типодвичум интигородода в індеста, пожаванки на рис. 12.35).

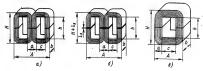
3. Типодвичум интигородода в індеста, пожаванки на рис. 12.35, б., є, отменены зведочкани.

4. Типодвичум интигородода в індеста, пожаванки на рис. 12.35, б., є, отменены зведочкани.

4. Типодвичум примену састронення служавня пожавани на примену

нять магнитопроводы, у которых  $b/a=1\div 2$  (например:  $III25\times 40$ ,  $VIII30\times 60$ ). При больших отношениях b/a затрудняется плотная намотка об-

моток, поскольку со сторон большего размера витки ложатся недостаточно плотно, вспучиваются.



PHC. 12.36

Таблица 12.48. Магнитопроводы витые Ш-образные

_	Размер	, мм (р	нс. 12.3	6, a, 6)	S, cm2	Im. CM	<i>[</i> в. см	Jcp. A/mm2	$P_{\tau}$ , B + A	E(1), B	$\Delta U_{\tau}$
Типоразмер	A	Н	c	h							
ШЛМ8×6,5 ШЛМ8×8 ШЛМ8×10 ШЛМ8×12,5 ШЛМ8×16 ШЛМ10×12,5 ШЛМ10×12,5 ШЛМ10×12,5 ШЛМ10×12,5 ШЛМ10×20 ШЛМ12×10 ШЛМ12×12,5	26 26 26 26 26 32 32 32 32 32 40 40	21 21 21 21 22 28 28 28 28 28 28 35 35	55555566666888	13 13 13 13 13 13 18 18 18 18 18 23 23 23	0,43 0,54 0,7 0,95 1,2 0,65 0,85 1,1 1,5 1,9 0,98	5,1 5,1 5,1 5,1 5,1 6,4 6,4 6,4 6,4 8,1 8,1	4,5 4,8 5,2 5,7 5,8 5,5 6,4 7,1 7,9 7,5 8,2				
ШЛМ12×16 ШЛМ12×20 ШЛМ16×16 ШЛМ16×20 ШЛМ16×20 ШЛМ16×22 ШЛМ20×20 ШЛМ20×20 ШЛМ20×32 ШЛМ20×32 ШЛМ20×32 ШЛМ20×32 ШЛМ25×32 ШЛМ25×32 ШЛМ25×32	40 40 52 52 52 52 64 64 64 80 80 80	35 35 35 42 42 42 42 42 56 56 56 70 70 70	8 8 8 9,9 9,9 9,9 12 12 12 15 15	23 23 23 26 26 26 26 36 36 45 45 45 45	1.7 2.8 2.3 3.8 4.8 3.6 4.7 6.1 7.6 7.4 9.5	8,1 8,1 9,7 9,7 9,7 12,7 12,7 12,7 15,9 15,9	8,2 9 10 9,6 10,4 11,4 12,8 11,8 12,8 14,2 15,8 14,7 16,1 17,7	8.! 7.0 6.2 5.3 9 7.5 6 5 4.7 4.6	14 18 22 25 30 35 40 60 70 85 110.	0,1 0,13 0,16 0,20 0,13 0,16 0,2 0,26 0,16 0,26 0,26 0,26	0,22 0,20 0,18 0,16 0,25 0,12 0,18 0,15 0,14 0,11 0,095 0,083

Приме чалие. Первое число в обозвачения типоразмера магинтопровода указывает шираму его средието стеркае — в второе — шираму деять b [ми]. На которой жотоловке магинтопровод:  $I_{20}$  — средием должности от в ангиха, при моторой температура верграев  $I_{20}$  ССС  $P_{1}$  — типовая мощностр трансрорногор вер $I_{20}$  ССС  $P_{1}$  — типова мощностр трансрорногор вер $I_{20}$  ССС  $P_{20}$  — типова мощностр трансрорногор вер $I_{20}$  ССС  $P_{20}$  — пословенное выделения магинтопровенностр верхимент и  $I_{20}$  ССС  $I_{20}$  — отностительное выделения магинтопровенностр и видельностр верхимент  $I_{20}$  ССС  $I_{20}$  — отностительное выделения магинтопровенностр и видельностр верхимент  $I_{20}$  — отностительное выделения магинтопровенностр верхимент  $I_{20}$  — отностительное выделения

Таблица 12.49. Магнитопроводы витые П-образные

Типоразмер	Размер,	ми (рис.	12.36 a)	S. cm <sup>2</sup>			I <sub>co</sub> , А/ни <sup>2</sup>	P+. B • A	E(1), B	
	A	Н	c	5, см.	I, cm	I <sub>в</sub> . см.	Tep. A/NM	P <sub>T</sub> , B · A	£, B	$\Delta U_{7}$
ПЛМ22×32-28 ПЛМ22×32-36 ПЛМ22×32-46 ПЛМ22×32-58 ПЛМ27×40-36 ПЛМ27×40-58 ПЛМ27×40-67 ПЛМ27×40-73	63 63 63 63 78 78 78 78	72 80 90 102 90 112 100 137	19 19 19 19 24 24 24	6,4 6,4 6,4 6,4 9,7 9,7 9,7	16 18 20 22 20 25 25,8 28	16,8 16,8 16,8 16,8 21,0 21,0 21,0 21,0	5.8 4.7 4.1 3.1 5.3 3.8 4.6 3.2	50 70 90 110 135 200 160 270	0,225 0,225 0,225 0,225 0,344 0,344 0,344	0,17 0,15 0,14 0,12 0,13 0,10 0,11 0,09

Окончание табл. 12.49

Типоразмер	Размер, мм (рис. 12.36 в)			S. cm²	1,	/	J <sub>сп.</sub> А/ми <sup>2</sup>	Pr. B · A	E(1), B	Δυ-
Інпоразмер	A	Н	с.	S, CM*	l, cm	IB, CM	7 <sub>ср</sub> , л/ми-	r, b. A	E117, B	Δυτ
ПЛМ34×50-46 ПЛМ34×50-58 ПЛМ34×50-73 ПЛМ34×50-90	98 98 98 98	114 126 147 158	30 30 30 30	15,5 15,5 15,5 15,5	26 28 30,5 33	26,2 26,2 26,2 26,2	4,8 4,1 3,3 3	390 450 550 680	0,585 0,585 0,585 0,585	0,088 0,073 0,06 0,05

Примечания. 1 Числа в обозвачении тапоразмера маликтопровода указывают: дервое — ширину его стерания а, второе — высоту оква, й, третье — ширину денты b, из которой изготовлен магинтопровод (все размеры в миллинетрах).

2. Обозвачения: P<sub>p.</sub> E<sup>(1)</sup>, ΔU<sub>7</sub> — см. примечание к таба. 12. 48.

### Обмотки трансформаторов и дросселей

Трансформаторы звуковой частоты, трансформаторы питания и дроссели стлаживающих фильтров радиолюбители наматывают обычно на каркасах из изоляционного материала. При наличии опыта можно осуществлять бескаркасную намотку.

Каркасы изготовляют из гетинакса, текстолита или плотного картопа, скленавают из части клеем БФ, витроклеем или густым шеллачным лаком. Не рекомендуется применять столярный и канцелярский клеф, т. к. они невлагоустойчивы. Картоиные части каркаса по окончании его изготовления покрамают лаком или клеем БФ.

Толщина стенок каркасов при напраженних обмоток до 2 86 определяется их механической произостью: практически достаточно иметь тольщику 1—1.5 мм. При напраженних до 3 кВ инприменент достаточно иметь тольщику 1—1.5 мм. При напражениях до 3 кВ напражениях до 5 кВ до 3—4 мм. При напражениях до 5 кВ до 3—4 мм. При напражениях до 5 кВ до 3—5 мм. При напражениях до 5 кВ до 3—5 мм. Мобыше размера а магнитопровода. Высоту окня каркаса следует брать на 1.5—2 мм. больше размера магнитопровода, иначе при сборке трудно будет до тольших до 3 кВ до 3

Ш-образный магингопровод, должен иметь выступ шечек каркаса примеро на 1 мм меньше ширини окла с, а стержиевой магинтопровод — на 1—1,5 мм меньше половины ширины его окла. па 1—1,5 мм меньше покловины ширины его окла. на 1—1,5 мм меньше покловина иметого разрезного магинтопровода данку хар-каса следует брать на 1 мм меньше высоты окла магинтопровода. При использовании магинтопровода из пластип орие. 123 м/г. 6 мысота коласа должна бить из 3—8 мм меньше высоты окла могитопровода, писом сластичны при сборме не могитопровода, писом сластичны при сборме именьше высоты окла могитопровода, использования магинтопровода, писом сластичны при сборме именьше высоты окла именьше высоты окла именьше могитопровода, писом сластичны при сборме именьше могитопровода, писом сластичным при сборме именьше могитопровода.

Плотность тока в обмотке. Чем больше плотность тока в обмотке / А/мм² и чем меньше поверхность обмотки, с которой происходит отдача тепла в окружающую среду, тем больше перегрев трансформатора (дроссея») — превышение температуры его обмотки над температурой среды. Перегрев трансформатора (дроссеяя) большего размера на данное число градусов получается при меньшей плотности тока. При температуре окружающей среды  $t_{\rm ssp}$  и температуре перегрева обмотки  $t_{\rm s}$  обмотка нагреется до температуры  $t_{\rm ssp} = t_{\rm ssp} + t_{\rm ssp}$ 

При указанных в табл. 12.47 — 12.49 средних значениях плотности тока  $J_{\rm cn}$  температура перегрева обмоток t<sub>п</sub>≈55°C. Для уменьщения перегрева плотность тока нужно снижать. Для трансформаторов питания и дросселей фильтров, обмотки которых выполнены из провода ПЭЛ или: провода в шелковой или хлопчатобумажной изоляции при бескаркасной намотке, а также когда намотка выполнена на каркасах из слоистых пластиков (типа гетинакса и текстолита) или на каркасах из пропитанных картона, бумаги и фанеры, допустим нагрев до температуры 90°С (кратковременно до 105°C). Если обмотки выполнены проводом ПЭВ, то допускается нагрев до 105°C (кратковременно до 125°C). При использовании в конструкции непропитанного картона предельно допускаемая температура длительного нагрева снижается до 80°C

Температуру перегрева обмотки сопротивлением R[Oм] при прохождении по ней тока I[A] можно определить по эмпирической формуле

$$t_0 \approx 550 R^2/S_{oxa}$$
.

Необходимое для подстановки в эту формулу значение действующей поверхности охлаждения обмотки вычисляют по формуле

$$S_{\text{ox}n} = 2c_{\kappa}(2a + \pi c_{\kappa}) + 2h_{\kappa}(a + \pi c_{\kappa}),$$

где a — ширина стержня магнитопровода (см. рис. 12.35 и 12.36);  $c_{\kappa}$  — толщина и  $h_{\kappa}$  — длина слоя намотки (рис. 12.37). Площадь  $S_{\text{огл}}$  полу-

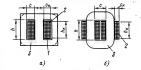
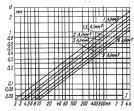


Рис. 12.37

чается в квадратных сантиметрах, если a,  $c_{\kappa}$  и  $h_{\kappa}$  выразить в сантиметрах.

Поскольку теплоотлача от внутренней обмотки грансформатора затруднена, плотность тока в ней должна составлять 0,710-у указанного в табоние для магнитопровода данного типоразмера. Пло-ность тока во внешних обмотках, условия охлаждения которых лучше, может быть соответственю больше заначения/с

Выбор обмоточного провода. Обмотки трансформаторов питания, дросселей сглаживающих



Pac 12.38

фильтров и трансформаторов звуковой частоты наматывают проводами в эмалевой изоляции. Применения проводов в шелковой, капроновой и хлопчатобумажной изоляции избегают, поскольку габариты трансформаторов и дросселей получаются существенно большими.

Необходимый диаметр провода обмотки d [мм] определяют по значению тока в ней I [A] и допустимой плотности тока I [A/мм²] по формуле

$$d = 1,13 \sqrt{\frac{I}{I}}$$
 или по номограмме на рис. 12.38.

Если провода с диаметром, подученным по расчету, не имеется, применяют провод с ближайшим большим стандартным диаметром (табл. 12.50). Когда же по расчету подучается d < 0,05 мм, то из соображений механической прочности провода применяют провод D = 0,06 ÷ 0,08 мм.

Толщину с, [мм], которую займет обмотка из провода с диаметром проводящей жилы d [мм] при числе витков  $\omega$ , намотанных рядами на каркасе с размером  $h_x$  между щечками (рис. 12.37), можно определить по формуле

$$c_r = 0.8d^2\omega/(\beta_0 h_r) + nl_n$$

где  $\beta_0$  — коэффициент заполнения каркаса медью, определяемой по номограмме на рис. 12.39; n — количество междуслойных прокладок;  $l_n$  — толщина каждой прокладки, мм.

Число витков из провода с днаметром медной жилы d [мм], размещающееся на каркасе, имеюшем размер h, [мм] между шечками (рис. 12.37), при наличии л прокладок толщиной по h, [мм] можно определить по формуле

$$\omega = 1.25\beta_0 h_{\kappa} (c_{\kappa} - n l_n) / d^2$$
.

Изоляциенные прокладки. В качестве изоляционных прокладок между обмотками трансформатора и в качестве покровной изоляции верхнего

Таблица 12.50. Наиболее распространенные обмоточные провода

		Диаме	тр провода	в изоляции а	из, мм	
Диаметр медной жилы $d$ , мм	еп	ПЭВ-1	ПЭВ-2	пэлшо. пэлшко	ПЭЛВО, ПЭЛКО	ПВД
2.05: 0.06: 0.07: 0.08: 0.09 1.06: 0.11: 0.12: 0.18: 0.14: 0.18: 0.14: 0.18: 0	d+0.015 d+0.020 d+0.023 d+0.023 d+0.023 d+0.023 d+0.023 d+0.023 d+0.023 d+0.03 d+0.05 d+0.05 d+0.05 d+0.06	#+0.025 #+0.023 #+0.023 #+0.03 #+0.03 #+0.04 #+0.04 #+0.04 #+0.05 #+0.05 #+0.05 #+0.05 #+0.05 #+0.05 #+0.05 #+0.08 #+0.08 #+0.08 #+0.08 #+0.08 #+0.08	## \$03 # + 0.06 # + 0.06 # + 0.05 # + 0.05 # + 0.06 # + 0.06 # + 0.06 # + 0.07 # + 0.07 # + 0.07 # + 0.08 # + 0.09 # + 0.01 # + 0.01	#+0.07 #+0.075 #+0.09 #+0.09 #+0.01 #+0.11 #+0.11 #+0.12 #+0.12 #+0.12 #+0.13 #+0.14 #+0.14 #+0.14 #+0.14 #+0.16 #+0.16	d+0,125 d+0,125 d+0,125 d+0,167 d+0,17 d+0,17 d+0,17 d+0,17 d+0,18 d+0,18 d+0,18 d+0,18 d+0,21 d+0,21 d+0,21 d+0,21 d+0,21 d+0,21 d+0,21	

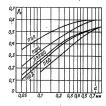


Рис. 12.330

слов витков используют пропитанную лаком лестротехническую ткань типа «кембрик», кабельную бумагу либо бумагу, пропитанную церезином, воском или лаком. Количество слове взолящим и ее стощимы зависят от напряжения обмотки (табл. 12.51). Обмотки необходимо разделять на части прокладжами на пропитанной бумаги. При напряжении обмотки до 20 В рекомендуется делать прокладия через каждые три ряда провода,

Таблица 12.51. Междуобмоточная и покровная изоляция

Действующее напряжение обмотки, В	Количество слоев изолиции	Минимальная тол- щина бумаги или ткани, им
< 250	2	0,06
250750	2	, 0,1
751-1250	. 3	0,15
1251-2250	4	0,2
2251-3000	5	0,2
3001 - 3500	. 6	0,2
3501 5000	8	0,2
	l .	1

а при больших напряжениях — через каждый ряд провода; если напряжение превышает 50 В, прокладки должны быть двухслойными. Рекомендуются прокладки следующей толщины:

Днаметр провода, ми	Толщина прокладки, мм
0.2	0,030,05
0,21-1,0	0,06-0,08
1,04-1,74	0,10,2
1,81-2,2	0,2 -0,3
22	02 (лва слоя)

Стандартные дроссели. Их параметры и размеры приведены в табл. 12.52

Таблица 12.52. Дроссели для сглаживающих фильтров, выпускаемые с государственным Знаком качества

Тип	£, Гн	Условия	измерения	r. On	Размер, мм
1 844	не ме-	I, A	U, B	7, OR	газмер, мм
Д-1-К	2	0,15	6	$72 \pm 11$	60×37×51
ДР-0,4-0,34	0,4	0,34	4,2	10±2,7	47×42×41
ДР-1,2-0,16	1,2	0,16	10,6	60±9	53×41×45
др-2ЛМ-К					62×54×55
Выводы / —2	2,3	0,21	10,0	67±10	
Выводы3—4	0,6	0,065	10,0	67±10	
ДР-2,5-0,38	2,5	0,38	. 7,7	40±6,0	82×62×71
ДР-5-0,Q8	5 .	0,08	14.	260±40	47×42×41

Прижечания. 1. В графе «Условия измерения» указаны составляющей моврижения на обмотке частотой 50 наж [00 Ги. при этом значение постоянного тока ввляется предсавно допускаемым в режиме длягнымой работы.

Высоты дросселей указаны без отгибающихся лапом для крепления.

 дроссели Д-1 и ДР-2ЛМ выполнены на магнитопроводах из ленты, остальные — на магнитопроводах из пластин.

# 12.11. ПРИЕМНО-УСИЛИТЕЛЬНЫЕ И МАЛОМОЩНЫЕ ГЕНЕРАТОРНЫЕ ЛАМПЫ

# Конструктивные виды ламп

Конструктивный вид приемно-усилительных ламп указывает вторая буква (четвертый элемент) в ее обозначении: С — в стеклянном баллоне, Ø22,5 мм;

К — в керамической оболочке:

П — стеклянная миниатюрная (пальчиковая), Ø 19 M 22.5 мм:

Г — стеклянная сверхминиатюрная, Ø 10,2 мм;

- Б стеклянная сверхминнатюрная,  $\varnothing$  10,2 мм; А — стеклянная сверхминнатюрная,  $\varnothing$  до 8 мм; Р — стеклянная сверхминиатюрная,  $\varnothing$  до 5 мм; Л — с замком в ключе цоколя;
- Д с дисковыми впаями («маячковая», «карандашная»):
- Н металлокерамическая, нувистор.

Пампы, отличающиеся повышенной надежностью и механической прочностью, имеют в конще обозначения букву В, лампы с долговечностью 10 000 ч и более — букву Д, с долговечностью 5 000 ч и, более — букву Е, лампы вечностью 5000 ч и, более — букву Е, лампы

для работы в импульсном режиме — букву И. Маломощные кенотроны и диоды также принято относить к числу приемно-усилительных ламп.

В табл. 12.53 приняты следующие сокращеные обозначения электродов приемно-ускийтельных ламп: а — внод, к — катод, л — лучеобраты зующие пластивы лучеого тегрода, н — на приня накала, подогреватель в лампе с катодом косквытою накала, подогреватель в лампе с катодом косквытою накала, статарке быто накала, к — статы, это » съран витуты статарком кострод с съставать и птъръком мастерод коскратива с съединен.

Таблица 12.53. Приемно-усилительные дампы широкого применения

			1	Торядок	соедине	ния элек	тродов о	о штырі	камн	
Тип	Схема расположения штырьков (рис. 12.40, [2.41)	1	2	3	4	5	6	7	8	9, (10), [11]. [12
А2П	РШ4	н, к, с5	a	c2, c4	cl	н, к, с5	c3	в. к.	×	×
K2Π Ц11Π <sup>1</sup>	PHI4 PHI4	н, к,	a	c2	-	к, с3	c1	и, к	×	×
П21П1	PIII4 PIII8	В. К	н	_	и н. к	H, K	в. к	н, к	×	×
H16C1	PILI5-1	8. K	H	и, к	н, к	B. K	В, К	н, к	н	н, к
П18П,	РШ4	н, к	<u>-</u>	i	н. к	н		В. К	×	lû.
LI22C	PIII24	и, к	-	10	и, к	in .	8, K		н	н, к
A2II A4II	PIII4	c1	к, с5	8	н	8	c2, c4	c3	×	×
BID	PIII8	c4 8	c1 c3	к, с5	H	B	al K	a2 c1	c2	c3 .
В2П	РШВ	a	C3	c2	H	N.	К. э	c1	K K, 9	a a
B3C	PILIS	a	al	c2	ü	8	K, 3	c1	2, 3	,n ,n2
Д10Д	1	Оформа	ение сте	клянное	с днеко	вых выв	одом ка	тода	1-	lve.
Д14П2	РШ8	1-1	a	_	38	81	_	a	-	a
Д15Д Д16Д		Офорыг	ение ме	галлосте	клянное	с диско	вым вив	одом кат	вдог	
Д20П2	РШ8	Офоры	Івие ме <sup>.</sup>	галлосте	клянное Ін	с цилин; Ів	арически		дами ан	ода и кат
B22C2	PIII24	-	L .	a	8	H H	8	a	a	а
EIΠ	РШ8	lc. T	k	l de	le .	8	man.	a	φ	ė.
E2II	РШ8	al	c <sup>a</sup>	la2	8	н	c2	ĸ	či	0
ЕЗП	РШ8	c.	3	к, ф	25	н	9	c4	9 ,	a
Ж2П Ж5П	PIII4 PIII4	e1 e1	К, Э	8	B	8 .	c2 c2	c3	×	×
жэп	Pills	8	n cl	H K	H	la H	C2	k a	Х c3. э	× c2
ЖІОП	РШ8	x	lči	K	iii	R		a	c3, s	c2
жип	РШ8	K	cl	K	8	В		a	c3. 9	c2
Ж23П	РШ8	x.	cl	ĸ	и	и	a1	c3, s	a2	c2
6Ж32П Ж33А	РШ8	c2 c2	3 R	к ′	н	н	a	9.	c3 .	c1
Ж38П	PIII4	ci ci	в, c3, э	a B	H	x a	к, с3	с1 к. с3. э	×	×
Ж40П	PIII4	ei	K, CO, J	lii	lii	a	c2	c3	I Q	l v
Ж43П	. РШ8	K '	cl	ĸ	н	е	a l	c3. 9	a2	c2
Ж49П-Д	РШ8	K	c1	K	В	В		a	c3, 9	c2
Ж50П Ж51П	РШ8 РШ8	K	c1	к	at .	H H	-	įa –	c3	c2
Ж52П	PIUS	K	ci	K K	B	H H	9	a	c2 c3	c3 c2
Ж53П	PIII4	c1	к. с3	H	l <sup>H</sup>	la la	c2	a K	× ×	×
піп	PIII8 ,	c2, c4	ci	к. с5. э	lii	le .	ar	c3	aT .	er .
И4П	РШ25		cr3	crl	c, r	н	н	ar	CT	кт, (ат)
K111 K411	PШ4 PIII4	cl ·	K c3. 9	8	B	а	c2 c2.	к, с3	×	×
K6A	Без поколя	c1 c2	E3, 9	н	B	a x	с2, к. с3	к, c3, э	×	l×
КВП	РШ4	cl	i k	H H	lin lin	lâ.	c2	c3	î×	Iŵ.
К13П	РШ8	K.	e1	is.	B	lii.	9	la .	c2 ·	lc3
нп	РШ8	al	cl	x1	и	N	a2	c2	к2	9
Н2П	РШ8	s1	e1	K1	В.	Н	a2	c2	к2	9
Н3П Н14П	PIII8	R K1	Kl cl	cl al	al B	5 H	a2 c2	c2 82	k2 k2	# a2
HIST	РШ4	a2	al al	81	(H	le1	c2	R20	×	×
HI6B	Без цоколя	a2	KI.	c1	l'a	al	к2	c2	lê .	lû.
HI7B	Без цоколя	a2	κl	cl	ļн	al	к2	c2	25	1×
Н18Б	Без цоколя	a2	ĸI.	cl .	н.	al	к2	c2	H	×
Н19П	PIII8	Н.	cĸl	c21	al	к	a2	c22	ск2	В
H21B H23П	Без цоколя	KI al	°2	c1 K2	a l	H	к2	-  c	c2	а2, (н)
H24II	Pill8	K2	c2. s	a2	H	H	al cl	KI KI	Kl .	al el
H2711	. РШ8	82	c2, 3	K2	l"	la la	a2 ·	c2	к2	

# Продолжение табл. 12.53.

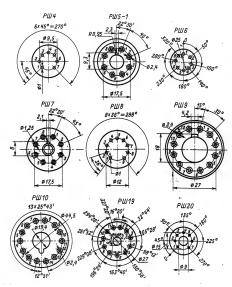
	,	Γ		Порядок	соедине	ния элек	тродов с	о штыра	ьками	
Тип	Схема расположения штырьков (рис. 12.40, 12.41)	ı	2	3	4	5	. 6	7	8	9, (10), [11], [12]
6Н31П	РШ8	a2	c2	к2	н	и	al	c1	кl	9
6ПІП	PIII8	a	e2	к, л .	н	H	a	ct .	к, л	c2
6П13С1	РШ5-1	×	н	к, л	×	c1	×	н 🔪	c2	×
6П14П 6П15П	PIII8 PIII8	-	e!	к, с3	н	н	l	a `	I-	c2
6HISH	PILIS	c3, 9	cl cl	к, с3	н	н	с3, э	а		c2 c2
6H20C1	PILI5-1	c2	H I	к, са	r c1	c2	к, л	9	- c2	×
6Π21C1	PIII5-1	n4	K. B	c2 "	n4	cl	n4 "	К. я	X	ŝ
6П23П1	PIII8	a <sup>4</sup>	c2	n <sup>4</sup>	К, В	к, н	n4	cl	62	jî.
6H27C	РШ5-1	×	la	a	c2	(c)	1×	8	к, л	×
6П31С1	PIII5-1	1×	н	x	c2 ,	c1	×	H	к, л	×
6П33П	РШ8	c1	c1	к, с3	н	В	c2	8	-	c2
6П36С <sup>1</sup>	РШ24 РШ8	cl	e!	к, л	В	н	c2	c2	к, л	1-
6П39С	Pill24	×	c1 c3	K c2	H	н	- c3	а к	c3 c1	c2 K
6H41C	Pill24	c2	cl	К. эл	la B	in H	cl	c2	C1	a
61142C1	PH124	ci	lc2	к, л	l"	c2	-	c2	к. л	1
6П43П-Е	РШ8	_	le1	к, с3	н	н		a	- n	c2
6П44C	PIII24	c1	lc1	К. ЛЭ	В	н	c2	c2	к. дэ	=
6Π45C1	PIII24	cl	n	c2	н	н	c2	л	ci	K
6P3C-11	РШ6	cli	c2	к, л	H_	c12	н	к	н	×
6P5II	РШ <b>2</b> 5 РШ8	c12	к, с32	c22	a2	н	н	к, с31	c11	c21, (a1)
6C3E	PIII8	c21	cl1	al	н	н	c12 ×	к. э ×	a2 ×	c22
6C3II	PILIS	1.	e ·	K	H C	H H	ĸ	ĸ	κ,	a a
6C4II	РШ8	le	le	l K	iii	iii	lk	c	le i	a
6C6B	Без цоколя	a	le .	я	le	ii.	_	_	L_	<u></u>
6C7B	Без цоколя	a	В	н	c	К	×	×	×	×
6C15П	РШ8	K	c	K	н	н	К	a	c	K
6C19П	РШ8	a	c	a	н	н	a	c	a	к
6С13Д 6С170-К	Оформление стеклянное и Оформление металлокера:	дисков:	ими вив	одами к	атода и	етки				
6C28B	1 Без цоколя	инческое Ia	с цилин Ік	гдрическ I X	ими выві	одами Ic	ix	l×	H	
6C29B	Без цоколя	a	ľ×	c	и	c	lk	c	la H	
6C31B	Без цоколя	K .	e e	ľx	l'x	a	ľx	H	le	×(×)
6C32B	Вез цоколя	K	×	c	×	н	×	a	×	×(×) -
6C34A	Без цоколя	K	×	c	×	н	a	н ,	×	
6C35A 6C36K	Без цоколя	K	×	c	× ,	н	a	н	×	1
6C40III	Оформление металлическое с дисковы РПВ	4ми выво к, э	дами сет	ки и цил	индричес и	KHMK BM	воданиа к. э	нода, ка	тода и п	одогревателя с
6C44JI	Оформление стеклометаллическ	K, 3		-	H OZOM SW	N	K, 9	-	-	
6С50Д	Оформление стеклометаллическое	с пилин	прически	MH BNBC	дами ан	ода и ка	TORR H A	HCKORNA	H BNBOD	AMH CETKE
6C56II	PIH8	a	Įć.	a	H	H	(a	lc .	la	E .
6C58II	/ РШ8	к	c	K	н	н	×	25	×	× ·
6C59П 6Ф1П	PIU8 PIU8	c	c .	× .	и	н	×	e .	c	a
6Ф3П	PILIS	aT CT	еп1	en2	B	H	an an	k, cn3 cn2	KT KT	CT aT
6Ф4П	Pills	CT CT	aT 321	KT.	n .	H H	an	XII, 9, CIG	Cn1	cn2
6Ф5П	PIII8	87	CT.	KT -	N .	n H	an na	cn2	кп. э	ent
6Ф12∏	РШ8 ′	СТ	KT	an	lie .	B	ent	кп, э	cn2	aT .
6Ц10П3	РШ8		a	I-	н	н	-	8	-	I '
6Ц17С	РШ5-1	a	I-	K	I-	a	-	H	н	×
6Ц19П <sup>2</sup>	РШ8	-	a	-	8	H_	-	8	-	-
696П-Е	РШ8 РШ8	N K	a c1	- ×	K H	c2 8	H	_ a	el	c2
6912H	PIII39	l×.	c2	×	c1	l <sub>R</sub>	×	×	×	×,(H), [×]
001-11		l^		l^	101	l^	^	^	l^	(H) (N) (A)
6913H1	РШ39 -	×	c2	l×	le1	×	×	×	k	X.(H), [X],
						l		1	l"	{u}
6914H	РШ39	×	c2	×	ct	×	×	×	ĸ	×, (H),
9Ф8П		1		1 . 1	1	1	1	1 .	1	[X], {H}
94811	PIII8	a7	еп1	en2	В	н	ап	кп, свЗ,	KT	ст
15Φ4TI	РШ8	ст	ar .	KT .	le le	н	an	э кп. э.	enl	cn2
		٠.	l"	n.,	l"	l"	an .	c3	len.	CII2
6Ф3II	PIII8	ет	вп. л	ent	н	н	an	c2	KT	ат
18Ф5∏	РШв	ar	CT	KT	н	н	ап	cn2	кп, э	еп1

Анод выведен к колпачку на баллоне.
 Катод выведен к колпачку на баллоне.
 Индакатория сетка:
 Лучеобразующие пластицы соединены со средней точкой инти накала.

Для дами, объединяющих два диода или гриода, от якже для многосточных лами к буквам ка», кк», сс» добавляется цифра, указывающая порядковый номер эксетрода, например, к2— катод второго триода, с² (для двобного триода) — сетка второго триода, с² (для двобного триода) — сетка второго триода, с² (для двобного комбинированных дами к буквам «а», «к», ск»,

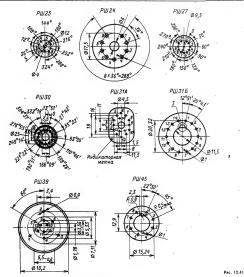
«с» добавляется вторая буква; г — гептод; п — пентод, т — триод, д — диод (например, аг — анод гептода в триод-гептоде, спі — управляющая сетка пентодной части триод-пенто-

Схемы расположения штырьков приемно-усилительных ламп широкого применения приведены на рис. 12.40, 12.41.



PHC. 12.40

Разд. 12



### Максимально-допустимые эксплуатационные значения параметров ламп

Максимально допустимые эксплуатационные замечния параметроя ламп определяют заметрические и тепловые режимы их работы, превышение которых момет привести к необратимому изменению параметров ламп и быстрому выходу изменению параметров ламп и быстрому выходу дамп из стров доседствие потеры эмиссии катода, перегорания подогревателя (инти накала), междуаментродного экспруемского пробот междуаментродного экспруем определа подоста предостают при максимально допустимых напражениях и токах, понижается долговечность папратуры, сосбению при такку режимах, когда

два (или более) параметра достигают своего

максимально допустимого значения. Максимально допустимого значения класимально допустимы донодный док ных для достова в импульском режиме (например, в генераторах строчной развертки телевизоров), помимо среднего допустимого тока катода (постоянная составляющая) указывается его максимальное импульское значение I<sub>ген</sub> значение I<sub>ген</sub> до-

максимальное импульсное значение 1<sub>5 к тах</sub>. Максимально допустимое постоянное напряжение на аноде U<sub>тте</sub>.

Максимально допустимая мощность, выделяемая на аноде и на экранирующей сетке:  $P_{\text{smax}}$ ,  $P_{\text{c2max}}$ 

Максимально допустимое сопротивление в цепи управляющей сетки R<sub>c</sub>. Этот параметр указывается для отпельных типов дамп. Максимально допустимый анодный ток диода в импульсе ограничивается эмиссией катода, при которой перегрев катода током лампы не опасен (табл. 12.54 и 12.55).

Таблица 12.54. Диоды

Ę.	Un. B	In. A	<sup>U</sup> обр, итах,	Гве сршах, юА	Janmax, wA	Саж. пФ. не более	D, им, не более	л. им. не более
		Дис	ды с	одн	им ано			
6Д10Д 6Д16Д 6Д15Д	6,3 6,3 6,3	0,75 0,24 0,33	450	8	2000* 750*	3,5 2 1,5	7,5 20	31 36
		Д	емпфе	рны	е диоб	ы		
6Д14П 6Д20П 6Д22С 6Ц10П 6Ц17С 6Ц19П	6,3 6,3 6,3 6,3 6,3 6,3		5600 6500 6000 4500 4500 4500	150 220 300 120 215 120	600 1000 450 1200	10 8,5 13,5 4,5 11 8	22,5 22,5 30 22,5 33 22,5	75 90 100 75 100 75
* B	имп	ульсе.						

Таблица 12.55. Кенотроны с одним анодом\*

Тип	. Un. B	/a. A	Я, Ом	U обр.ишах. кВ	fan.max wA	Івп.сршах. мА	D, мм, пе более	. им.
3Ц18П	1,2 1,4 3,15 3,15 3,15 3,15	0,69 0,21 0,21	20 000 - - 15 000 -	20 25 35 25 36	2,0 40 80 15 —	0,3 0,6 1,1 1,5 2,0	19 22,5 33 19 30	60 80 105 65 90

 Лампы для преобразования импульсного напряжения обратного хода строчной развертки телевизоров в постоянное высокое анодное напряжение кинескопов.

Максимально допустимый выпрямленный ток диода  $I_{\text{semax}}$  ограничивается мощностью потерь на аноде или эмиссией катода.

Максимально допустимое импульское обратное напряжение диода U обрывах — наибольшее напряжение на аноде во время отрицательной полуволны подводимого напряжения, при котором не возникает пробов внутри диода или между штырьками его цоколя.

#### Основные параметры ламп с управляющими сетками

Электрические параметры приемно-усилительных ламп с сетками и некоторых маломощных генераториях ламп, соответствующие номинальным режимам их работы, указаны в табл. 12.56—12.60. Номинальное напряжение ийжала ламп с цифрой 1 в начале обозначения  $U_s = 1.2$  В. дамп с цифрой 2—2.2 В. дамп с оходичаением.

начинающимся с цифры 6—6,3 В и с цифры 12—12.6 В.

Кругизна характеристики S показывает, на солько миллиампер изменится анодный ток  $I_*$  при изменении напряжения управляющей сетки  $U_{\rm cl}$  на 1 В при неизменных напряжениях на остальных электорах лампы.

Внутреннее сопротивление  $R_i$  (сопротивление лампы перемениному току) — отношение приращения анодного напряжения к вызываемому им приращению анодного тока при неизменных напряженнях на остальных электродах лампы.

Коэффициент усиления и показывает, на сколько вольт мужно изменить анодное напряжение, чтобы при изменении напряжения на управляющей сетке на 1 В анодный ток остался неизменным.

Крутизна преобразования  $S_{12}$  — парамет участопогреобразовательных лами — отношение пременной составляющей акольного тока промежуточной частоты к переменному папраженном ас синальной сетке при заданном напраженным а синальной сетке и неизменных напраженных на остальных электродах. Обычно  $S_{12}$  —  $(0.25 \div 0.35)$ ся ставорастает в мекотродах пределах при увеличении напряжения гетеродных составляющей ставления и напряжения гетеродных составляющей ставления и напряжения гетеродных составляющей ставления и напряжения гетеродных составляющей ставления ставлени

№ ОДИМЯ ЕМКОСТЬ Ся. — ЕМКОСТЬ УПРАВЛЯЮЩЕЙ СЕТКИ ПО ОТПОМЕНИО К ЗАБЕТОДАМ, НА КОТОРЫХ В РАБОЧИЕ РЕЖИМЕ ДЕЛИ В НЕГОВЕНЬИЯ ПОТЕМВЕНИЯ ПОТЕМВЕ

Выходная емкость С<sub>том</sub> — емкость между замодом и другими электродами, на которых в рабочем режиме лампы нет переменных потенциалов от же частоты, какую имеет переменное напряжение на сопротивлении нагружи лампы. Выходная емкость триода — емкость между андом и катодом. Для пентода она равна емкости между третейе ексими. Для гентода С<sub>том</sub> равна емкости между его анодом и катодом, соединенным со всеми ятать сегками.

Усиление лампы на высоких частотах тем больше, чем меньше сумма  $C_{\rm ex} + C_{\rm emx}$  и чем больше S.

Проходная емкость С<sub>прох</sub> — емкость между анодом и управляющей сеткой лампы. Отношение кругизны характеристики лампы

к реактивной проводимости ее проходной емкости служит показателем устойчивости усиления. Коэффициент широкополосности — отноше-

Коэффициент широкополосности — отношение  $S/(C_{ax} + C_{aux})$ . Эквивалентное сопротивление внутриламповых

Эквивалентное сопротивление внутриламповых шумов  $R_w$  — сопротивление резистора, на концах которого при температуре 25°C вследствие соб-

Таблица 12.56. Триоды

	Ном	налькы	е электрі	ческие	режимы	и парам	етры	1	эксплу	ьно допу атациони я параме	ные		Емкость, не бол		Размерь не бол	I, MM,
Тип	fs. A	U <sub>b</sub> . B	U <sub>с. В</sub> (Як. Ом)	Is. MA	S, MA/B	μ	А <sub>г.</sub> кОм	Re-Goree	Uaman	(Ismax) NA	g g	Zex Cex	Свых	Сврок	D	ĥ
							Трио	ды		-			,			_
6C3B 6C3H 6C4H 6C6B 6C7B 6C15H 6C19H 6C28B 6C31B 6C31B 6C31B 6C34A 6C35A 6C40H	0,15 0,30 0,30 0,20 0,20 0,44 1 0,3 0,31 0,22 0,165 0,127 0,127	250 150 150 120 250 110 90 90 50 200 100 200 20 000	(1360) (100) (100) -2 -2 (30) -7,0 (82) (82) 0 (285) (120) (380) -10,5÷ +17,5	8,5 16 16 9 4,5 40 95 11 11 40 3,5 8,5 3 0,3	2,2 19,5 19,5 5 4,0 45 7,5 17 17 18 3,5 4,6 4	14 50 50 25 60 52 40 40 17 100 25 70 1400	5 15,0 1,24 0,42	0,75 1 1 1 0,15 0,5 0,1 1 1 2 1 1	160 160 250 300 350** 120 120 120 120 250 200 200 2000	12 35 35 14 7 52 (140) (35) 35 60 (10) 15 7 (0.5)	2,5 3 1,4 1,45 . 7,8 11,3 1,3 2,5 1,5 1,1 0,9 6	3,7 7,4 13 2,95 4,2 13 8 8 12 5 3,5 2,6 2,8 2,7	5,4 1,7 4,2 4,4 4,3 2,1 4 4,2 5,4 1,5 1 3,2 3,3 0,7	3,2 2,2 0,17 1,42 1 5 10 3 0,35 4,8 1,2 1,6 1,7 0,05	10,2 22,5 22,5 10,2 10,2 22,5 22,5 10,2 10,2 10,2 10,2 7,2 7,2 7,2	45 56,5 56,5 36 60 72 48 48 44 31 41 76
6C56П 6C58П 6C59П	0,3 0,3	110 150 150	-7,0 (51) (51)	95 27 27	8,5 36 36	64 62	0,35	0,5	350 330 330	(45) (45)	5,7 5,7	2,5 9,0 14,1	1,5 1,4 2,9	17 2 0,26	22,5 22,5 22,5	76 56,5 56,5
						Дв	ойные	три	оды***							
6Н1П	0,60	250	(600)	7,5	4,5	35	11	1	300	(25)	2,2	4,2	2.1;	2,7	22.5	57
6Н2П 6Н3П	0,34 0,35	250 150	-1,5 2,0 (240)	1,8 8,5	2,25 5,9	98 36	50 6,25	0,5 I	300 300	10 (18)	1,5	3	1,6	0,7 1,6	22.5 22.5	57 60
6Н14П	0,35	90	-1,5	10,5	6,8	25	-	1	300	-	1,5	5,7;	3,3;	0,25;	22,5	56,5
6Н15П	0,45	100	(50)	9.	5,6	38	-	0,1	330	-	1,6	3	0,65;	1,8	19	57
6H16B 6H17B 6H18B 6H19П 6H21B 6H23П	0,4 0,4 0,33 0,65 0,40 0,30	100 200 100 150 200 100	(325) (325) (325) (50) (330) 9,0	6,3 6,3 14,5 3,5 15	5 3,8 5,0 13,5 3,8 12,7	25 75 23 70 90 34	=	1 1 2 1	200 250 200 200 250 300	(14) (10) (12) (50) (10) (20)	0,9 0,9 0,9 2 1 1,8	3,4 3,8 3,4 4,3 3,5 4,5	3,2 2,2 1,9 1,5 0,85 2,45; 2,25	2 2,1 2 4 1,4 1,85	10,2 10,2 10,2 22,5 10,2 22,5	41 41 41 60 40 60
6 H24Π	0,30	90	9,0	15	12,5	34	-	1	300	(20)	1,8	4,8; 7,6	2,4; 3,75	1,4; 0,35	22,5	57
6Н27П 6Н31П	0,33	6,3 12,6 25 90	0 0 (91)	0,9 2,5 8 17	2,8 4,9 18 12	13 15 16 31	=	.1	{30} 550	{(20)} (22)	{0,6}	[3,6 <b>)</b>	{2,1} 2,4	{1.6} —	{22.5} 22,5	<b>{%≤5</b> 51

ственных тепловых колебаний электронов возникает такое напряжение шумов, какое, будучи приложенным между управляющей сеткой и катодом идеальной бесшумной лампы, вызывало бы в ее анодной цепи ток шумов, равный возникаю-

$$=\frac{3}{0}+\frac{20I_aI_{c2}}{0}$$
. Здесь токи  $I_a$  и  $I_{c2}$  выра-

При  $U_c$  > 200 В допускател  $P_{mass}$  С Вг.

\*\*При  $P_c$  < 55 в поружател  $U_c$  < 450 В.

\*\*При ред 56 в поружател  $U_c$  < 450 В.

\*\*При ред 56 в поружател  $U_c$  < 450 В.

\*\*При ред 56 в поружател  $U_c$  < 450 В.

\*\*При ред 56 в поружател  $U_c$  < 450 в при 150 в

шему в реальной лампе. Для триода  $R_{\rm H}=3/S$ ; для пентода  $R_{\rm H}=$ 

жены в миллиамперах, крутизна S -- в миллиамперах на вольт и сопротивление  $R_{\rm ss}$  — в'килоомах. Сопротивление  $R_{\rm m}$  имеет значение при выборе лампы для первых каскадов усилителей.

Таблица 12.57. Пентоды и тетроды

Тип	Номия	альны	е элек	тричес	кие ре	жимы	и пара	метры	М экс	плуата	ильно до щионим враметр	в знач	ние Виня	Es	кость не бо	, пФ, лее	Раз ми, г	неры, те боле
	In. A	Ua, B	U.B	Ucl. B (ON)	/а. иА	Jc2. MA ,	S. M.A. /B	R <sub>t</sub> , KOM	Ix max. wA	Ua max. B	Rc, MOM,	Pa max. Br	Peg max. Br	Cax	CBMX	Спрох	g .	4
						Пен	тоды	с ко	ротко	ой ха	рактер	исти	юű					
Ж1П Ж2П Ж9П Ж10П Ж11П Ж23П Ж33Л Ж33Л Ж38П Ж40П Ж40П Ж45П Ж50П	0,170 0,17 0,30 0,30 0,44 0,20 0,127 0,19 0,30 0,48 0,30 0,30	120 120 150 200 150 150 250 120 126 150 150 150	120 120 150 100 150 150 140 100 6,3 150 150	(200) (200) (80) (82) (50) (50) (-2 (120) (82) (- (50) (80) (43)	7,35 6,0 15 6,5 25 13,5 3 7,5 12 1,85 29 15 25	3 5 4,5 5,5 7,5 6 0,8 4 3,5 0,5 6,5 2,45	5,2 4,5 17,5 10 28 15 2,0 4,5 10,6 2,1 29 17,5 35	300 130 150 100 36 36 2500 360 100 36 100 90	20 20 35 35 40 40 6 15 25 15 46 22 45	200 200 250 250 150 150 300 150 30 150 150 350	1 1 1 0,3 0,3 3 1 1 2,2 0,3' 0.5 (50+ 1800R <sub>8</sub>	1,8 1 3 3,4,9 2,45 1 1,3 3,0,5 3,1 2,85 5,3	0,55 0,65 0,75 0,75 1,15 1,15 0,2 0,4 0,5 0,5 1,35 0,45 0,5	4,7 4,7 9,5 10 15,6 15,5 4 3,6 5,8 7,9 15,5 9	2,8 2,8 3,5 4,8 3,9 3,5 5,5 3,3 4 4,9 3,4 3,1 2,8	0,07: 0,05 0,3 0,02: 0,02:	19 22,5 22,5 22,5 22,5 22,5 22,5 7,2 19 19 19 19 22,5 22,5	41 41 41 41 60 57 57 66 57 57 57 50 57 56,5
Ж51П	0,3	200	200	(200)	8	3,5	15,5		25	550	кОн (500+ 2500R <sub>x</sub>	2,5	1	11,5	3,3	0,00	22,5	62
Ж52П Ж53П	0,33 0,16	100 150	150 150	(24) (68)	41 13	8 2,2	55 19	_	60 24	250 400	кОн 0,5 —	7,5 3,5	1,2 0,4	13,5 6,6	1,8	0,05	22,5 19	57 48
	-						Пент	оды п	ерем	енног	Крут	изны						
K2П K1П K4П K6A K8П K8П	0,03 0,15 0,30 0,127 0,30 0,30 0,30	60 250 250 120 12,6 25 200	45 100 100 100 3,2 6,8 90	0 -3 (68) (120) - - (120)	1,35 6,6 10 7,5 0,9 2,75 12	0,35 2,7 5,5 4 0,25 0,75 4,5	0,7 1,8 4,4 4,5 1,1 2,1 12,5	1500 450 850 190 75 500	3,5 	90 275 300 150 30 30 550	3 	0,3 1,8 3 1,3 0,5 - 2,5	0,33 0,6 0,4 0,5 0,65	3 4,1 7,2 3,6 6,7 11,7	4,9 3,9 7,8 3,3 4,1 3,9	0,01 0,01 0,004 0,03 0,025	7,2 19,0	57 42 48 66 57 62
									Terp	оды								
Э5П Э6П-Е Э12Н Э13Н Э14Н	0,6 0,6 0,14 0,14 0,14	150 150 120 27 27	150 150 50 27 27	(30) (30) (68) (68) (68)	43 44 10 7 7	14 10 3,6 3,6 3,6 3,6	30,5 30,5 9,5 8,5 8,5	8 15 - -	100 70 20 15 15	250 250 330 300 300	0,5 0,5 1 1 1	8,3 8,25 2,2 2 2	2,3 2,1 0,2 0,2 0,2	17 17 7 7 7	2,8 6,8 1,5 1,9 1,9	0,068 0,075 0,017 0,025 0,025	22,5 11 11	72 67 25,3 25,8 25,8
								ды сс			й эми							
В1П В2П В3С	0,4 1,6 0,85	250 600 700	250 300 400	(200) -25 -25	26 2000¹ 2000¹	3,5	28 300 <sup>1</sup> 300 <sup>1</sup>	=	20 —	550 600 700	Ξ	4,5 3 5	0,8 1 1,5	10,2 32 17	5,4 20 17	0,008 0,2 0,2	22,5 22,5 24,5	72 67 70
							рдны	1			оды и		1		,			
П13С <sup>2</sup>	0,5 1,3	250 200	250 200	—12,5 —19	44 [220]	7,0 [120]	4,9 9,5	42,5 25	70 [400]	420 450 8000	0,5	12 14	2,5 4,0	9,5 20	5,4 7,5	0,7	22,5 33	72 110
П14П П15П П18П П20С <sup>2</sup>	0,76 0,76 0,76 2,5	250 300 180 175	250 150 180 175	(120) (75) (110) —30	48 30 53 90	5 4,5 8 10	11,3 15 11 8,5	30 100 22 7	65 90 75 200	300 <sup>4</sup> 330 250 450 6000	1	14 12 12 27	2,2 1,5 2,5 3,6	13,5 15,5 11,5 22,5	10 8,5 6 10	0,4 0,07 0,2 0,8	22,5 22,5 22,5 52	78,5 78,5 78,5 140
П21С <sup>8</sup> П23П <sup>9</sup> П27С П31С <sup>2</sup>	0,7 0,75 1,5 1,3	600 300 250 100	200 200 265 100	-16 -16 -13,5 -9,0	36 40 100 80	1,5 5 15 8,5	4 4,5 10 12,5	44 15 4	100 100 150 [600]	600 350 800 300	0,25 —	18 11 27,5 107	3,5 3,0 8,0 4,5	8,2 8,3 15 21,8	6,5 5 11 10	0,15 0,1 1 1,3	37 22,5 39 34	90 75 110 103
П33П П36С <sup>2</sup>	0,9 2	170 100	170 100	- 12,5 7	70 120	6,5	10	25 4,5	100 250	7000 250 250	0,51	12	1,75	12 36	7 21	1	22,5 40	80 115
Пзвп	0,45	150	150	0	50	8	65	30	90	-7000 200	(25+ 1800R <sub>K</sub> )	10,5	1,8	25	4,4	0,75	22,5	67

# Окончание таблицы 12.57

																		,
Тип	Номин	альны	е элек	тричес	кие ре	жимы	н пара	метры		аксима плуата п		ые зна		Е	икост не бо			змеры, не более
	, I <sub>2</sub> , A	U <sub>a</sub> , B	U <sub>c</sub> . B	U <sub>cl</sub> . В (Он)	/a. MA	1.2° NA	. S. иА/В	А, кОм .	Ік пах. иА	Uamax. B	R <sub>c.</sub> МОм, не более	Pamar. Br	Pc2max. Br	C <sub>IRI</sub>	Свых	Сарох	D.	h
6П39С 6П41С 6П42С <sup>2</sup>	0,6 1,1 2,1	125 190 75	125 190 150	(51) (300) —60	50 66 [700]	6 2,7 [120]	45 8,4 —	18 12 1,5	75 100 310	400 400 250 7000	2,2	7 14 24	1,5 3 4,5	18 23 25	4 10,5 4,4	9,11 5,5 0,75	30 30 22,5	71 95 67
6П43П-Е	0,625	185	185	(340)	45	2,7	7,5	-	75	300 2500	2,2	12	2	1,3	9	0,7	22,5	78,5
6Π44C <sup>2</sup>	1,35	50	200	-10	100	37	-	-	250	250 7000	0,51	21	6	22	9	1,5	30,2	103
6Π45C <sup>2</sup>	2,5	50	175	-10	[800]	[150]	-	2,5	500	700 8000	2,2	35	5,5	55	20	1,5	46	12,4
						Дв	ойны	е луч	евые	тетр	оды і	и пен	тоды					
6P3CI	2,1	350	200	-22  -10		1 -	1 -	1 -	1 -	250	600	1 -	20	7	16	8	0,3	40   100
6P4II	0,84	180	180	751	30	7	21	=	=	16	250	0.5	7,3	2,5	13	7.	0,1	22,5 78,5
6 <b>P</b> 5∏	0,84 0,55	200 250	150 250	[130 —9	10 24	2,8 4,5	8,5 6	8	8	60 40	250 300	1,2	2,8 8,0	0,65 3,5	10	11	0,4	22,5 78,5 22,5 78,5
								Тр	иод-г	енто	ды <sup>7</sup>							
6Ф1П	0,42	100	170	-2	13	4.5	5 6.2	400	20	14	250	0,5	1,5	0.7	3 5.5	0.5	1,8	22,5 60
6Φ3Π	0,81	170	170	1,5	2,5	14	2,5	15	75	15	250	34	10	-	2,2	3,4 0,4	0,025	22,5 60 22,5 77 22,5 77
6Ф4П	0,72	200 170	170	(600		_	4	130	65	60	275	10	8	2,5	9,3	8,5 0,6	0,3 2,7	22,5 72
6Ф5П	0,93	100	185	(160)	5,2	3,2	10,4	1 -	70	12 40 15	250 250 250	l i	4	1,7	8,7 3,5	0,25		22,5 72 22,5 79 22,5 79
6Ф12П	0,33	150	150	(68	12.5	1 -	7,5 19	23	100	22	250	3,3*	0,5 3,5	1=	11,7	0; 3		22.5   57
. 9Ф8∐	0,3	150	150	-2	13 14	2,2	19	=	20	22 14	300 250	0,5	1,5	0,4	8,2	0,3	0.02 1.8	22,5 57 22,5 57
15Φ4Π	0,3	170 200	170	-2  -	3	4,5	6,2	400	65	14	250 250	36	-2,5	1 ÷	5,5 4,6	3,2	0,025	22,5 67
16Ф3П	0,3	200 170	200	-1,4		3	2,5	110	75	15	250 250	34	1	1,7	10,4	0.4	3,7	22,5 67 22,5 78,5
18Ф5∏	0,3	170 100 185	170 185	(160) (840)	5	14 2.7	7 5,5 7,5	15	50	60 15 75	275 250 300	3,3 <sup>4</sup> 2,2 <sup>6</sup>	8 0,7 9	2,5 2	9,3	8,5	0,3	22,5 78,5 22,5 78,5 22,5 78,5

# Таблица 12.58. Частотопреобразовательные лампы

Twn	Номинальные электрические режимы и параметры						Макси атацио						сость, г е боле		Размер не б		
1	/s. A	Us. B	Uc2+4. B	Uci B (Rs. KOM)	/ Ia. MA	1c2+4. wA	Sap. MA/B.	J <sub>K max</sub> , MA	Uamax. B	Reimax, MOM, ne foarce	Pamax. Br	Pe2+4max Br	Cux	Casar	Cnpox	D	h
1 A2 TI 6 A2 TI 6 A4 TI	0,03 0,3 0,44	60 250 200	45 100 100	0 -1,5 -10	0.7 3.0 34	1,1 7 32	0,20 0,3 —	3 14 20	90 330 250	1,0	0,3 1,1 2	1,1 0,5, 1,5	5,1 7,5 10,5	6,3 10,5 2,8	0,6 0,35 0,35	19 19 22,5	50 57 60
6И1П П4И8	0,3 0,3 0,45	100 250 100	100	-2 -2 110	6,8 3,8 9	- 6,5	0,77	6,5 12,5 20	250 300 550	0,5 3 3	0,8 1,7 1,5	1,0	3,2 6,1 3	2,3 8,8 1,7	1,2 0,006 1,8	22,5 22,5	78 50,5

#### Окончание таблицы 12.58

R. Примечатия. 1. Дая лания АДП примена зачения / а реалме самогобуваеми е тетероденной части при R. Примечатия датим ДДП при (—) в Сом. 2. Указание зачения / а реалме самогобуваеми с тетероденной части при 2. Указания замения / датум регультатура с пределения объектор датум с при стану с при с при с при с при с пределения с при с пр

Таблица 12.59. Генераторные лампы и некоторые усилительные лампы в генераторном режиме

Тип					ктриче заметр:					ю допу значе					кость не боле		Разі ми, н	неры, оболее
	Un. B	In. A	Ua. B	Uc2. B	Uct ON	Is. MA	S. мА/В, пе менее	Uaman B	/kmax. MA	Panux. Br	Pel max. Br	Pc2max. BT	fapea: MFu	Cax	CRIMIT	Cnpax	D	h
6H166 FY-13 FY-15 FY-17 FY-18 FY-19 FY-29 FY-32 FY-50 FC-6B FC-11 FC-14 FC-13 FC-14 FX-63 FX-63 FX-63 FX-64 FX-71*	6,3 10 4,4 6,3 6,3 6,3 6,3 12,6 6,3 6,3 6,3 6,3 6,3 6,3 6,3 6,3 6,3 6	0,37 5,1 0,68 0,8 1,2 2 2,25 1,60 2 0,70 0,47 0,9 0,29 0,79 0,79 0,79 0,79 0,79 0,79 0,79 0,7	100 2000 220 200 250 350 350 600 800 250 175 250 350 175 250 350 175 250 350 150 300 1500		(325) -14 -10 -17 -17 -10 -17 -40	6,3 50 50 20 35 40 40 19 40 50 30 30 30 30 30 250 250	5,0 	350 2000 400 400 600 750 500 750 1000 350 175 300 400 700 200 1500	14 	0,2 100 15 12 27 40 40 15 50 40 15 50 40 15 15 13 18 13 100 125	0,1 	22 4 3 4 7 6 5 6 5 1 1 1 2 5	440 30 60 250 600 500 500 500 60 120 5000 4000 4000 4000 4000 175 20	2,7 19,5 12 7,8 8,4 12 12 12 9,4 11 15 3,8 5,5 3,8 5,5 3,8 5,5 3,8 5,5 3,8 23 22	1,7 17,5 14,5 3,2 3,2 4 4,8 5 10,3 0,04 2,4 0,015 0,04 0,06 1,9 14 24	1,5 0,25 0,16 0,6 0,08 0,08 0,05 0,05 1,6 2,1 0,06 1,6 2,1 2,1 0,05 0,1 2,1 0,05 0,1 2,1 0,05 0,1 0,1 0,0 0,0 0,0 0,0 0,0 0,0 0,0 0,0	10,2 65 45,3 22,5 40 40 61 41,4 45,3 23,4 25,5 15,4 23,4 25,5 66 68	41 191 93.5 80 85 100 100 88 100 93.5 31.3 37 25.1 31.3 37 6,5 127 195

# Генераторные триоды диапазонов ДЦВ и СМВ

6С13Д 6С17К-В	6,3 6,3	0,78	300 175	=	(200) - (0,2	21 10	5,2 14	350 200	35 11	9 2	0,1		3600 6000	3,1	0,03 0,015	1,6	21,7 13,5	48,0 25,7
6C36K	6,3	0,32	250	-	÷1,3) (0,2) ÷1,5)	10	12	300	10	3	0,1	-	0 300	3,6	0,02	2,4	15,4	28,7
6С44Д 6С50Д	6,3 6,3	0,33	250 250	=	-4 -4	26 22	6	300 1500	8,0	8	0,5	=	3000	4,5	0,1	2,1 2,3	20,7 15,0	48,5 48,5

U<sub>c3</sub>=50 В; у остальных ламп с защитной сеткой последняя соединена с катодом.

Таблица 12.60. Электронно-световые индикаторы

Ten	_	Номин	альные	электр	ические	режим	ынпар	вметрь	<u> </u>		мые эк	сплуата	допусти ционны вметров	e		ры, мм. Более
	U <sub>n</sub> , B	/", A	U <sub>a</sub> , B	Usp*. B	Uc. B	/a. wA	/xp*. wA.	S, MA/B	μ	Uamas. B	Ukpmin, B	<i>U</i> кр типь В	Rc. МОм. не более	Pamaro Br	D	h
6Е1П 6Е2П 6ЕЗП	6,3 6,3 6,3	0,3 0,58 0,23	100 150 250	250 250 250	-2,0 -4,0 0	2,0 1,55 0,35	4,0 2,5 —	0,5 1,4 —	24 30 —	250 250 300	250 250 300	150 150 —	3,0 0,5 3,0	0,2 0,4 0,5	22,5 22,5 22,5	72,5 72. 72

<sup>\*</sup>  $U_{\rm ND}$ ,  $I_{\rm KD}$  — напряжение и ток кратера.

### Эксплуатация ламп

Работа дамп при напремении ваклая вк 5—10% выше номинального увеличнает вероятность перегорания и обрыва подогревателей водят и преждевреченному выходы и строкводят и преждевреченному выходы и строквия с настраженному выходы и строкнии наклая на 10—15% ниже поминального ученышаются гом экстроцо и крутизна карахтеристики, повышается интенсивность огравления катода остаточными газами.

Во избежание пробоя и короткого замыкания котода с подогренателем напряжение между имми должно быть малым. Не рекомендуется постранение подогревателей (интей накала) ламп, т. к. это может привести к их перегрему, к короткому замыканию между катодом и подогревателем и к ухудшению

параметров ламп. Сопротивление резистора в цени управлиющей сетки не должно преващить указанного в табли- должно преващить указанного в табли- должно долж

Особенно опасны сочетания следующих режи-

максимальное напряжение накала при малом токе катода или при наибольшем напряжении между катодом и подогревателем;

пониженное напряжение накала с большим током катода;

максимально допустимая мощность, выделяемая на электродах, с большим сопротивлением в цепи управляющей сетки;

наибольшая температура баллона при наибольших напряжениях на электродах и малом токе катода;

наибольшая температура баллона с наибольшими мощностями, выделяемыми на электродах, и большим сопротивлением резистора в цепи управляющей сетки.

Приемно-усилительные и генераторные лампы малой и средней мощности устойчиво работают при температуре окружающей среды —60 ÷ +70°С и повышенной относительной влажности окружающего воздуха до 38% при 20°С.

Для дами, требующих применения дамповых панежей, евретикальное положение следует пенежей пенежей, евретикальное положение следует майки пенежей пенежения пенежения пенежения применять пенежения пенежения панежения пенежения пенежения панежения пенежения панежения пенежения пенеже

# 12.12. КИНЕСКОПЫ

# Параметры кинескопов и их цоколевка

Условное обозначение кинескопа состоит из букв ЛК и цифр. Число в начале обозначения указывает диаметр или размер диагонали экрана кинескопа в сантиметрах, а буква в конце обозначения — характер свечения его экрана; Б— кинескоп с белым свечением, Ц — кинескоп для приеминаю цветного телевидения.

В табл. 12.61  $U_s$  — постоянное напряжение на наподе. (на аквадаге):  $U_s$   $U_s$  — постоянное наподе. (на аквадаге):  $U_s$   $U_s$  — постояне напряжения на ускоряющем и на фокусирующем закетуроах отпосительно колоски  $U_{s,tot}$  — завинрающее напряжение на модуляторе (отрицательное напряжение, при котором прекращемен същемен вхрана):  $U_s$  — модулярующее напряжествение  $I_{s,tot}$  — масимально долуствими то същемен  $I_{tot}$  — масимально долустви  $I_{tot}$  — маси

В табл. 12.62 приведены параметры экранов и цоколевка кинескопов. Размер растра — часть экрана, на которой

изображение получается без видимых искажений. Разрешающая способность линий выражается максимальным количеством различимых глазом строк, укладывающихся на нормальной высоте

каппа

Яркость — сила света, испускаемого 1 м² экрана в направлении, перпендикулярном к его поверхности, кд/м²

Приняты следующие условные обозначения выволов электродов кинескопов:  $\kappa$  — катод,  $\kappa$  — модулятор,  $\kappa$  — подогреватель,  $\kappa$  — ускоряющий электрод электронного прожектора;  $\kappa$  — фокусирующий электрод,  $\kappa$  — штырек отсутствует,  $\kappa$  —  $\kappa$  — соободный штырек.

Электродам электронных прожекторов цветного кинескопа присвоены дополнительные индексы: G — зеленый, В — синий, R — красный. Схемы расположения штырьков кинескопа приведены на рис. 12.40, 12.41.

#### Эксплуатация кинескопов

При экспауатации кинескопов непьзя превышать максимально допустимые загачения пивающих напряжений. Повышенное напряжение накатодых напряжений. Повышенное напряжение накатоды. При повышенном вапряжения ускоряющего эксетрода уменьшается раболая поверхность атода, распичивается удельная эмиссия, усиливается обомбардировка поверхности катода положительными нонами остаточных газов, сокращается срок службы кинескопа.

При значительном повышении напряжений на электродах возникает паразитная эмиссия с элект-

Таблица 12.61. Параметры экранов и цоколевка кинескопов

Тип кинескопа	Размер	41.0	эжо	i	Тип			П	рядок	соед	ниения	элек	трод	ов с	о ш	гырька	мн		
кинескопа	растра, мм	Гэзэрешэющая способность линий	Яркоств*, ка/м² (при то луча, мкА, не более)	Угол отклонения луч-	цоколя	1	2	3	4	5	6	7	8	9	10	11	12	13	14
6,7,K15 11,7,K16 16,7,K16 16,7,K16 23,7,K136 23,7,K136 40,7,K41 40,7,K26 47,7,K26 53,7,K26 53,7,K26 53,7,K26 53,7,K26 53,7,K26 53,7,K26 53,7,K36 53,7,K36 61,7,K16 61,7,K16 67,7,K16	36×48 67×84 98×116 135×180 217×288 250×230 242×308 270×360 305×385 290×370 340×480 385×470 340×480 385×489 385×489 385×489 385×480 402×535 402×535	550 600 600 600 600 450 600 450 600 600 600 600 600 600 600 600 600 6	4000(150) -260(40) 150(21) 225(100) 150(180) 80(660) 120(150) 100(180) 60(950) 140(350) 40(16) 120(350) 121(350) 120(350) 150(350) 100(160) 100(1050) 100(1050) 100(1050) 200(450) 200(450)	70 90 90 110 90 110 90 110 110 110 110 90 110 90 110	PIU4 PIU4 PIU2 PIU20 PIU316 PIU45 PIU45 PIU316 PIU316	и у у у к м м м м м м м м м м м м м м м м м м	н ф ф у к к (R) м м к (R) м к к м к (R) м м к м м к м м к м м м к м м м к м м м к м	K K H H H M(R) Y Y X H Y Y M(R) Y Y M(R) Y Y Y M(R) Y Y Y Y Y Y Y Y Y Y Y Y Y	м м м н у ф ф у (R) ф ф у (R) ф ф у (R) ф ф у (R) ф ф у (R)	н н у у у у у у у у у у у у у	× н ф у у к(G) м ф ф ф к(G) м к(G) м	× м м ф ф н(G) к н(G) к н(G) к н(G) к н(G) к н(G) к н(G) к н(G)	×   × × × × × × × × × × × × × × × × × ×	××   ×××××××××××××××××××××××××××××××××	×   × × × × × × × × × × × × × × × × × ×	× × × × × × × × × × × × × × × × × × ×	× × × × × × × × × × × × × × × × × × ×	× × × × × × × × × × × × × × × × × × ×	×

<sup>\*</sup> В центре экрана

Таблица 12.62. Кинескопы

Ten		Ном	инальный элект	рически	й режим*		Мак	симальн уатацио	о допус	тимые	, и и	Размеры, мм,
					8		89	пара	нетров		горловини,	ве более ***
	/ <sub>11</sub> , A	U <sub>a</sub> , KB	U <sub>\$.</sub> B	Uy. B	U**23B"	U <sub>K</sub> , B	Uamax.	U <sub>ф max</sub> B	Иу тах В	<i>I</i> д. ик.А	Дизметр горл не более	_
6.7IK1B 11.7IK1B 11.7IK1B 11.7IK1B 11.7IK1B 23.7IK1B 23.7IK1B 23.7IK1B 23.7IK1B 31.7IK1B 47.7IK2B 50.7IK1B 53.7IK2B 53.7IK2B 53.7IK2B 53.7IK2B 53.7IK2B 67.7IK1B 67.7IK1B 67.7IK1B 67.7IK1B 67.7IK1B	0,3 0,3 0,065 0,065 0,9 0,3 0,3 0,6 0,6 0,3 0,3 0,3 0,3	25 9 9 9 11 11 20 12 16 16 16 16 16 16 25 16 20 20 15	0-500 0-450 0-250 0-250 0-300 0-300 0-300-4100 -100÷+425 0-400 -100÷+425 0-400 0-400 0-400 0-400 0-400	300 300 300 300 100 250 	95-35 15-35 10-40 25±10 45 60-30 68-132 30-90 30-80 30-80 30-80 30-80 30-80 100-190 40-77 110-190 40-90	555 15 15 15 25 25 32 32 32 30 30 44 44 	27,5 11 11 11 13 13 23 15 20 20 18 18 20 18 18 20 27,5 23 23	600 600 500 500 500 500 100 1100 1100 11		200 50 60 	21 13 13 21 20,5 38 30,5 28,6 36,5 28,6 28,6 36,5 28,6 36,5 28,6 36,5 28,6 28,6 36,5 28,6 36,5 28,6 36,5 28,6 36,5 28,6 36,5 28,6 36,5 28,6 28,6 36,5 28,6 28,6 28,6 28,6 28,6 28,6 28,6 28,6	65×97×262 92×75×175 0112×188 199×157×185 207×167×210 290×299×223 378×3098×375 378×3098×375 378×3098×375 3452×412×302 412×305×596 520×420×385 546×447×365 546×447×365 546×447×365 546×447×365 546×478×3

<sup>\*</sup> Номинальное напряжение накада кинескопов 6ЛК,16, 11ЛК,16-1,25 В, кинескопа 23ЛК,96-12 В и осталь-

нах — Б. Д. В довожение выприменье выполнение менеле мене

родов, вызывающая паразитное свечение экрана, возможен пробой между электродами.

При перекале катода и при повышенком напряжения ускоряющею закетрода люминофор разрушается под действием бомбардировки его отридательными нонами (быстрее повядки его конко от втию). Недопустими даже кратковременные импуськы напряжений, превышающем максимально допустимые значения, т. к. это может привести к разрушенно покрытия катода, подогревателя или вывода катода, а также к ухущению закуума.

При недокале кинескопа и большом катодном токе возможны местные перегревы участков катода, приводящие к потере эмиссии. При понижении напряжения ускоряющего электрода объегчается режим ряботы выходной лашь строчной развертки, но значительно снижается крюсть экрава. Позтому для обеспечения достаточной яркости приходится увеличивать ток дуча, что режю сокращает срок службы кинескопа. Напряжение между катодом и подогревателем с подярностью еминус на катоде не должно превышать 125 В; обратная полярность недопустных.

Нельзя подвать на модулятор трубки положительные по отношению к катоду напряжения, т. к. при этом увеличивается ток утечки и уменьшается электрическая прочность променутка катод — подогреватель.

# 12.13. ГАЗОРАЗРЯДНЫЕ ПРИБОРЫ

СГ20Г

CF201C

CΓ204K CΓ205B

# Стабилитроны

Стабилитроны тлеющего разряда (табо. 12.63, 12.64) применяют дяк стабилизации напряжения на нагрузке, в качестве элементов связы УПТ., для повышения коффицента ускления, в резаксационных генераторах, в реже Стабилитроны к проиного разряда используют в устройствай стабилизации напряжения при мармо потребления тока, например для

ния при малом потреблении тока, например для стабилизации питающих напряжений электроннолучевых трубок, фотоэлектронных умножителей и т. д. Маркировка стабилизронно состоить из доку

Маркировка стабилитронов состоит из трех элементов: первый — буквы СГ (стабилитрон газовый), второй — число, указывающее порядковый номер прибора; третий — буква, характеризующая конструктивное оформление лампы.

Таблица 12.63. Порядок соединения электродов стабилитронов со штырьками

Ťκπ	Схема распо- ложення штырьков	По	рядо	CO CO	един шты			ектр	одс
	(рис. 12.40 или 12.42)	1	2	3	4	5	6	7	8
СГ5В	Без цоколя	×	a	×	×	×	×	×	×
CF13F1	РШ4 (рис. 12,40)	8	К	-	К	8	-	к	×
CF15II-2	PHI4	a	к	_	к	a	_	я	l <sub>×</sub>
CF16H	(рис. 12.40) РШ4 (рис. 12.40)	a	к	-	к	8	_	ж	×
СГ20Г	Без поколя	ĸ	8	к	×	×	×	x	l×
CF201C	РШ5 (рис. 12.40)	~	к	a		а	а	К	к
СГ202Б	Без цоколя	к	a	к	×	×	×	×	Ι×
CF203K	Рис. 12.42	a	К	×	×	×××××××	×	×	×××××××
CΓ204K CΓ206A	Рис. 12.42	3	к	к	×××××	×	××××	××	×
CF301C-1	Без цоколя	а	К	×	×	×	×	×	l ×
CΓ302C-1	Рис. 12.42 Рис. 12.42	к	a	к	×	×	×	×	×
CF303C-1	PHC. 12.42	ĸ	3	к	×	×	×	×	I×.
CF312A	PHC. 12.42	a	i K	×		. S	Ş	ĺŝ.	10

Порядок соединения электродов стаблинтронов со штырьками приведен в табл. 12.63, а схемы расположения штырьков — на рис. 12.40, 12.42. Основные параметры стабилитронов (табл. 12.64).

Напряжение возникновения разряда U<sub>в. разр</sub> минимальное напряжение между электродами, достаточное для начала электрического разряда в приборе. Оно несколько превышает напряжение стабилизации и определяет минимальное напряжение источника питания в схеме.

Напряжение стабилизации  $U_{c\tau}$  — напряжение между анодом и катодом в диапазоне рабочих токов (напряжение, поддерживаемое стабилитроном).

Изменение напряжения стабилизации при изменении тока в рабочем диапазоне  $\Delta U_{cr}$  — раз-

Таблица 12.64. Стабилитроны

135 85-91

150 86-92 135 81-86 150 79-86

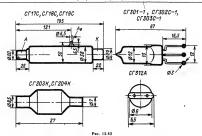
	6.	Ucr, B		e e	5	мм, не	более	1
	U. p		Acr mis	15/	79	D	h.	
	табил	штроны т,	еющ	его р	азря	да .		
СГ5Б СГ13П	180	141-157 143-155	5	10 30	3,5	10,2	36 65	

15 15 5

ĭo

2,5 | 12 | 85 2,5 | 33 | 64 4,5 | 10 | 40 2 | 10 | 27

C	гиоил	игроны кс	ронн	жи р	шзря	ou	
CF206A CF301C-1 CF302C-1 CF303C-1 CF312A	970 1320	165-145 380-400 880-920 1220-1280 380-400	0,003	0,1	30 30	7,2 13 13 13 6,5	37 67 67 67 65



ность между наибольшим и наименьшим напряжениями стабилизации при изменении тока через стабилитрон от  $I_{\rm crmm}$  до  $I_{\rm crmax}$ .

Максимальное и минимальное значения тока стабилизации (тока через стабилитрон) Істтах. Істта — значения тока, между которыми эффективность работы стабилитрона достаточна.

# Эксплуатация стабилитронов

Для надежного возникновения разряда необходимо, чтобы напряжение источника питания составляло (1,2-1,3)  $U_{\text{в разо}}$ .

На электроды стабилитрона нельзя подавать переменное напряжение или напряжение или е обратной поляриости (на анод — «минус»). Ток через стабилитрон должен быть в пределах указанного в табилие рабочего диапазона токов, причем рабочую точку желательно выбирать в середине этого диапазона.

Не следует включать стабилитроны параллельно, т. к. из-за разброса их параметров разряд может возникать только у одного стабилитрона и его ток может превысить максимально допустимое значение.

Не рекомендуется включать конденсатор емкостью более 0,1 мкФ между анодом и катодом стабилитрона тлеющего разряда, т. к. это может привести к релаксационным колебанням.

Чтобы предотвратить переход коронного разряда в тлеющий, следует включать между анодом и катодом стабилитрона коронного разряда кондексатор емкостью менее 0,1 мкФ.

#### Тиратроны тлеющего разряда

Тир'атроны тлеющего разряда (ТТР) имеют накаленный катод, анод и одну или несколько сеток для управления моментом возникиовения разряда. Они используются в устройствах автоматики и телемеханики,

в счетно-решающих устройствах, измерительной и другой аппаратуре.

Обозначение тиратрона тлеющего разряда сотот из трех элементов: первый элемент буквы ТХ (тиратрон с холодным катодом), второй элемент — цифра, обозначающая порядковый номер прибора, третий элемент — буква в конце обозначения, определяющая конструкцию баллона (см. табл. 12.65).

ТТР могут находиться в двух устойчивых состояниях непроводящем — и в двух переходимых. В непроводящем состояннях (ТТР закрыт) внодный пок отсутствует и существует разряд между катодом и сегкой подготовительного разряда (межлючение составляют выпрямительный и электрометрический тиратромы, работающие без подготовительного разрядых предусменных выпрамительный и электрометрический тиратромы, работающие без подготовительного

Таблица 12.65. Порядок соединения электродов тиратронов тлеющего разряда со штырьками

Ten	Поряд	ок со	динен	ий эле	ктродс	в со ш	тырька	ми**
1 H H	1	2,	- 3	4	5	6	. 7	8
TX2* TX35 TX45 TX55 TX56 TX67 TX87 TX11** TX127 TX165 TX17A TX18A TX18A TX19A TX19C	a a a a a a a a a a a a a a a a a a a	K C2 c2 c c1 c3 - c1 c2 c c c x	- c1 c1 c3 c2 c0 nx nx nx	п к к - к с1 с2 х с2 х	× × × cl × c3 × × ×	* * * * * * * * * * * * * * * * * * * *	и × × × × × × × × × × × × × × × × × × ×	××××××××××××××××××××××××××××××××××××××

\* Анод выведен к колпачку баллона.

\*\* Управляющая сетка выведена к колпачку баллона.
\*\*\* Тиратрон ТХ2 имеет цоколь РШ4, тиратрон ТХИ2С—

РШ5-1 (рис. 12.40). Остальные тиратроны бесцокольные.

разряда). В проводящем состоянии (TTP открыт) через тиратрон протекает анодный ток.

По способу управления переходом от непроводящего состояния к проводящему ТТР разделяют на тиратроны с электростатическим и токовым управлением.

и токовым управлением.
В ТТР с эмектростатическим управлением (ТХЗБ, ТХ6Т, ТХ6Т, ТХ12Т) для создание подотогнительного разраза используется перава последовательного разраза используется перава последовательно включенным резистором и облего члюший возинкновение разражаем, недостаточное для дозмением разлежение, недостаточное для дозмением разлежением р

ТТР с токовым управлением открывается изменением сегочного тока: открывающий импульс подается на ту же сетку, которая служит для созданиям подготовительного разрам ТХ4Б в трюдком включения, ТХ5Б, ТХ1ІГ, МТХ9О). Эти тиратроны ммеют высокую уусствительность к импульсным входими сигна-

лам. Основные параметры TTP (табл. 12.66): Напряжение вознижновения разряда (промежутка анод — катод)  $U_{\text{в.рэзр}}$  — напряжение анода, необходимое для возникновения тлеющего разряда.

разряда. Напряжение возникновения подготовительного разряда U<sub>с.к.</sub> — напряжение сетки, необходимое для возникновения тлеющего гразряда в промежитке сетка — катол.

Время запаздывания возникновения подгоговительного разряда т<sub>зан</sub> — время с момента подачи установленного напряжения в цепь подготовительного разряда до возникновения Тарминето разряда в примежуте сетка — катом

подготовительного разряда до возникновения тлеющего разряда в промежутке сетка — катод. Сеточный ток возникновения разряда  $I_{\rm вол}$  — ток в цепи управляющей сетки, при котором

возникает разряд между анодом и катодом (при заданном напряжении анода).

Напряжение входного сигнала (импульс)  $U_{\text{в.т.min}}$  — амплитуда импульса, необходимого для возникновения тлеющего разряда в промежутке анод — катод (при установленном режиме включения прибора).

Длительность входного импульса тукр — время, необходимое для возникновения самостоятельного разряда в промежутке анод — катод.

Время восстановления электрической прочности 1<sub>вос</sub> — минимальное время после прекращения тока анода, по истечении которого к тиратрону можно приложить анодное напряжение, не вызывающее возникновения разряда в приборе при отсутствии входных сигналога.

Проводящее состояние TTP характеризуется падением напряжения между анодом и катодом при рабочем анодом токе U<sub>1</sub>, падением напряжения между сеткой подготовительного разряда и катодом U<sub>2-к</sub>; наибольшим значением анодного 1<sub>2882</sub> и среднего знодного тока I<sub>8-к</sub>;

Эксплуатация ТТР. Рекомендуется следующий порядок подали пятающих напряжений свячала следует подать напряжений свячала следует подать напряжения на управляющие сегие, затем на сегну податолительного разряда, а после этого андионе напряжение. Гашение разряда в ТТР можно осуществить, снижая рабочее напряжение между его энодом и катодом имех впарижения  $U_{\rm c}$  во забежание случайных отключать источник напряжения смещения от отключать источник напряжения смещения ниже значения  $U_{\rm cs}$ , указанного в тоб. 1266 сеги и полижать это напряжение смещения имеж значения  $U_{\rm cs}$ , указанного в тоб. 1266 году.

Если ТТР с электростатическим управлением управляется импульсами через RC-цепонку, емкость ее конденсатора должна быть настолько большой, чтобы амплитуда и длительность сигнала на выходе цепочки были достаточными для возникновения разряда в гиратроне и при

Таблица 12.66. Тиратроны тлеющего разряда

Тип	<i>U</i> в. разр. В	U <sub>s</sub> .	Uc.s.	т <sub>зен</sub> , с	U <sub>ex min</sub> .	Tyap. MKC	Imp.ir. MKA	I BOC. MKC	/a max. MA	/a cp. MX	U <sub>a ma</sub>	Раз мм, бол	11C
MTX90 TX2 TX36 TX46 TX56 TX6F TX6F TX18F TX11F TX12F TX16B TX17A TX18A TX19A** TX19A**	120 425 175 180 175 285 285 220 250 180 260 175 280(60)	65 125 110 120 150 140 140 125 160 142 160 162 150	85 	- - 1 10 10 10 7 10 - -	25 	10 	3 	<800 	4 100 7 7 1,5 2 400 10 100 5 5 - 5 200 000	2 12 3.5 3.5 0.25 1 . 8 10 1 1 . 0.5 1	200 	12 19 10,2 10,2 7,2 13 13 13 7,2 8 7,7	405

<sup>•</sup> Без выводов. Длина выводов 35-40 мм.

Для ТХ19А в скобиях дако напряжение на первом вмоде: здесь U<sub>сж</sub> — напряжение между первой сеткой и подкатодом.
 Даны импульсные характеристики.

этом длительность импулльса должна быть настолько малой, чтобы к моменту окончания действия гасящего импульса напряжение на сетке ТТР успело восстановиться до значения, близкого к напряженное смещения.

Чтобы в процессе гашения в промежутке сетка — катод не возинкли импульсы тока, способные привести к ложному зажиганию тиратрона, следует уменьшить емкость конденсатора в сеточной цепи либо включить последовательно с конденсатором резистор.

Во избежание реалксири, меньшать емкости наводок и помех следует уменьшать емкости и индуктивности монтажа. В частности, ограничительный резистор в цепи сетки подготовительного разряда следует подключать непосредствению к выводу сетки.

При кратковременном включении аппаратуры ве рекомендуется синимать подготовительный разряд и отключать наприжения сиещений упразямощих сеток и шен подготовительного разряда. С целью повышения надежисти работы тиратропов после дингельного перерыка в работе имуратропов после дингельного перерыка в работе достаков секунд их тренировку и рабочем режиме.

жиме. Характерными признаками неисправности ТТР являются молочно-белый цвет газопоглотителя на стенках баллона и отсутствие свечения катода тиратрона при включениом напряжении

подготовительного разряда. Пайка выводов TTP должна производиться на расстооянии не менее 5 мм от места соединения выводов с ножкой.

#### Индикаторы тлеющего разряда

Индикаторы таеощего разряда применяют для преобразования электрического сигнала в световой, для визуального представления выходимы для выходимы для выстраем выстраем выстраем выстраем выстраем выстраем выстраем выстраем выстраем вы них можно использовать и для работи с транясторным каскадами (капример, ИНС) Индикаторы потребляют малые мощноги, имеют для выстраем вы них можно использовать и для работи выстраем вы них можно использовать и для работи и для на пределать на принежений выпраем вы принежений выстраем вы принежений выпраем вы пределать вы пределать вы пределать выпраем вы принежений выпраем вы пределать вы пределать вы пределать вы пределать вы принежений выпраем вы пределать выпраем вы пределать выпраем вы пределать вы пределать вы пределать выпраем вы пределать выпраем вы пределать выпраем вы пределать выпраем вы пределать выпраем вы пределать выпраем выпраем вы пределать выпраем вы пределать вы пределать выпраем вы пределать выпраем выпраем выпраем выпраем вы пределать выпраем выпраем вы пределать выпраем вы пределать выпраем вы пределать выпраем вы пределать вы пределать вы пределать вы пределать вы пределать вы пределать вы пределать вы пределать вы пределать вы пределать вы пределать выпраем вы пределать вы пределать вы пределать вы пределать вы пределать выпраем вы пределать вы пределать вы пределать вы пределать вы пределать вы пределать вы пределать вы пределать вы пределать вы пределать вы пределать вы пределать вы преде

Простейший монный индикатор— неоновая дамия (рис. 12.43) — состоит из бадлона, наполненного неоном, с двумя влаянными в него кремент в карами в пазниными в него кремент в карами в пазниными в него кремент в крамент 
$$R = (U_{n,n} - U_n)/I_{max},$$

где  $U_{n,s}$  — напряжение источника питания;  $U_s$  — напряжение между электродами лампы;  $I_{nlax}$  — максимально допустимый ток через лампу.

Неоновые лампы обозначаются следующим образом. Первый элемент обозначеныя две буквы: Т — тлеющего разряда, Н — неоновая. Первое число после букв соответствует наябольшем значению тока в миллиямперах, последующая цифра (через дефис) — порядковому номеру разработики.

Встречаются ранее приятые обозначения; М — миниатюрная; ТМ — точечная модуляторная; ВМ — волномерная; И — индикаторная; В — для вольгоскопов; УВ — указатель высокото напряжения. Цифры соответствуют порядковому ночору разработки.

Работ) неоновой лампы определяют параметры:  $U_{n,pasp}$  — напряжение возникновения разряда;  $I_{pa6}$  — рабочий ток (см. табл. 12.67).

Выпускаются индикаторные приборы, в которых представление светового сигнала осуществляется в энаковоой форме в виде цифровых, буквенных или каких-либо других символов (табл. 12.68).

Таблица 12.67. Неоновые лампы

Tun	Us. papp.	I <sub>раб.</sub> нА,	Размеры, и	м, не боле
INU	В, не более	не более	D	h
TH-0.95	80	1	15.5	44
TH-30	82	30 -	56	94
TH-30-3	82	30	56	94
TH-0.2-2	· 85	0.25	9,5	34,5
TH-0,2-1	85	0.25	9.5	34,5
TH-0.5	90	0,5	15,5	45
TH-30-2M	105	30	56	94
TH-0.8	110	0.8	6	32
TH-0.25	120	0,25	9.5	34,5
TH-I	140	1	13.7	26
TH-0,15	150	0,15	3	20
TH-0.3	150	0.3	9,5	34,5
TH-20	150	20	56	94
TH-0.31	170	0,3	9,5	34,5
TH-0.9	200	0.9	15.5	45
TMH-2	200	15	30,5	77
ТНУВ	550		10.2	72
MH-4	30	2 .	16	37
MH-3	65	1	15	44
MH-11	85	5 2	14.5	42
MH-7	87	2	15	40
MH-6	90	0,8	6.8	28
MH-15	235	0.45	9,5	38
BMH-I	126		7	37
BMH-2	160	2	10,2	51
BH-1	1 -	_	4.5	44
BH-2	_	-	4,5	44

Таблица 12.68. Порядок соединения электродов индикаторов тлеющего разряда с выводами

Ten	Цоколь				П	эрядок	соедиї	ения з	лектро	дов с	вывода	жи			
INII	цоколь	1	2	3	4	5	6	7	8	9	10	ÌΙ	12	13	14
HH-1 1H-2 1H-3 1H-3A 1H-3A 1H-5A 1H-5A 1H-5B 1H-7B 1H-7B 1H-7B 1H-12A 1H-12B 1H-12B 1H-12B 1H-13 1H-14 1H-15B 1H-15B 1H-15B	PILI19 (pac. 12.40) Prec. 12.43 3-52 100008 Prec. 12.43 Prec. 12.43 Prec. 12.40 PILI4 (prec. 12.40) PILI4 (prec. 12.40) PILI4 (prec. 12.40) PILI4 (prec. 12.41) PILI3 (prec. 12.41) PILI3 (prec. 12.41) PILI3 (prec. 12.41) PILI3 (prec. 12.41) PILI3 (prec. 12.43) PILI3 (prec. 12.43) Prec. 12.43 PILI3 (prec. 12.41) PILI3 (prec. 12.41) PILI3 (prec. 12.41) PILI3 (prec. 12.41) PILI3 (prec. 12.41) PILI3 (prec. 12.41) PILI3 (prec. 12.41) PILI3 (prec. 12.41)	1 1 a a 4 «Z» «N» «M» — 1 1 a a a a a a a a a a a a a a a a a	2 2 8 к 6 «А» «В» нк а а 2 2 0 0 мк 3пт «µ» «W»	3 3 × × 8 × × 8 × × 8 × × 8 × × 8 × × 9 8 × 1 × 9 9 8 × 1 × P > 7 1	4 4 ××   8 8 × 2   3 2	5 5 5 8 9 4 0 6 4 7 7 8 4 7 7 8 8 8 8 8 9 8 8 8 8 8 8 8 8 8 8 8 8	6 6 ××7     ×4*   6 5 6 6 × 4 ***   4 4 4 4 4 4 4 4 4 4 4 4 4 4 4 4	7 7 ×× - «x» «y» × v» -   7 6 5 5 × 5 × 6 × 8 × 8 × 8 × 8 × 8 × 8 × 8 × 8 × 8	8 8 ××0 ×××       8 7 4 4 × 6 K S 6 6	9 9 9 ××2 ×× «M» «V» 9 3 3 7 «П» 2 7	0 0 ×× a2 ×× × 0 8 2 2 × 8 × Ω 3 π 8	s s × × 3 × × × Ω2	× × × × 5 × × × × 6Ω × 0 × × 3 π τ × 0 × × 9 ×	×××× al ××× eff = × a ×××× 3 ff × × 0 ×	× × × × × × × × × × × × × × × × × × ×
4Н-18 4Н-19А 4Н-19Б 4Н-19В 4Н-20 4НС-1 4В-1 4Ф-1 ГНИ-1, 5Д	Без цоколя Без цоколя Без цоколя Рис. 12.43 — Без цоколя РИЦ23 (рис. 12.41) Без поколя Рис. 12.43	7 8 8 9 8 K a	8 	9 +H> -3 × - × ×	a	0 «K» «A« «A/B» a1 × — × ×	αθ × - × ×	a eHz» eHz» eΠ» × × × ×	2 *S* *X *X *X *X *X	3 «M» «f» «dB» × × × × ×		4 	5 *V* *V* *X *X *X *X *X	а 	6 × × × × × × × × × × × × × × × × × × ×

Примечание. вк — вспомогательный катод, ик- индикаторимй катод; авт — запятая; тчк — точка; ав — анод последний.

Таблица 12.69. Знаковые индикаторы тлеющего разряда

Тип	Индицируемые , знаки	U <sub>in</sub> . B	A. pasp. B	pac, MA	мм, 1	меры, се более	Тип	Индицируемые знаки	Us.n. B.	pasp. B	Ipaé, MA		змеры не более
		1	ಶೆ		h	D			2	å,	1,	h	Đ
ИН-1 ИН-2 ИН-3	0; 1; 2; ; 9 0; 1; 2; ; 9	200 200 200	200 200 85	2,5-3, 1,5-2 0,2	66 35,5 27	30,5 17 7,3	ИН-14	0; 1; 2; 9 и две запятые	200	ı	0,3-4,3		
ИН-ЗА	Ξ	-	190	<2	32	8	ИН-15А	К: М: П: %: п	200	170	2,53	28	21×31
ИН-4 ИН-5А	0; 1; 2; ; 9 · X; x; a; 0; Z	200	170	2,5-3 1,5	46 35	31	ИН-15В	W; F; Hz; H; V; S; Ω; A	200	170	0,3-0,5	28	21×31
ИН-5Б ИН-6	B; 0; Y; y; S	200 200	200 140	1,5	35 .	19	ин-16	0; 1; 2; 9 и две запятые	-	170	2,5-3,5	41,5	12,5
ИН-7	+;; ω; K; M; V; n; Ω; m; A	180	170	4	46	31	ИН-17 ИН-18	0; 1; 2; ; 9 0; 1; 2; ; 9	200 200	170 170	1,5 68	20 75	14×22 30
ИН-7А	+; -; Π; K; M; %; μ; m	200	170	<4	46	31	ИН-19А	K; μ; **C; %; M;	200	170	2,5	52	18
ИН-7Б ИН-8	S; Hz; V; Ω 0; 1; 2; ; 9	200 200	170 170	4 · 2.5—3.5	46 55	31 17	ИН-19Б	P; m; n H; A; Ω; z; S; F; T: V	200	170	<2,5	52	18
ин-8-2	0; 1; 2; ; 9 R SAUSTAS	200	170	0,3-3,5	55	17	ИН-19В	-: +: A/B: %: or:	200	170	2,5	52	18
ИН-12A ИН-12Б	0; 1; 2;; 9 0; 1; 2;; 9 н запятая	200 200	170 170	25-3 2,5-3		31×21 31×21	ИН-20 ИН-21	П; dВ. <	400 110	110	1,5-2,4 0,5-1	40	16 12,5
ИН-13	- ,		170	0,3-0,5	160	10	инсы	-	-	95	0,5-1	30	7,2
							95СГ-9 ИВ-1	— Точка, тире	-	95 20— 25	3 40—50	38 36	12 10,75
							ИФ-1	- '	198	-	2	40	29
							ТНИ-1, 5Д	-	242 160	150	.1	33	10,7

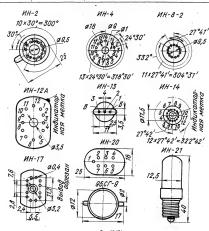


Рис. 12.43

Напряжение возникновения разряда  $U_{*****}$ —минимальное напряжение между анодом и като-дом, при котором возникает тлеющий разряд. Поскольку в анодиую цень индикаторов всегда включается ограничительный резмстор, то напря-

жение источника анодного питания должно несколько превышать напряжение возникновения разряда.

Paбочий ток  $I_{pa6}$  — ток в цепи анода прибора.

# 12.14. МИНИАТЮРНЫЕ ЛАМПЫ НАКАЛИВАНИЯ

Миниатюрные лампы накаливания применяют для освещения шкал электроизмерительных и радиотехнических приборов, сигнализации, в различных пультах управления, оптических устройствах и приборах и т. д. (рис. 12.44).

В табл. 12.70 приведены номинальные значения параметров: номинальное напряжение  $U_{\rm son}$  номинальное напряжение  $U_{\rm son}$  номинальной ток  $I_{\rm son}$  номинальное  $N_{\rm son}$  номинальное  $N_{\rm son}$  и коминальное  $N_{\rm son}$  и которых ламы должаны нормально работать:

Номинальная мощность Р<sub>ном</sub> — количество электрической энергии, потребляемое лампой в единицу времени.

Номинальный световой поток  $\Phi_{\text{ком}}$  — мощность светового издучения.

В первой графе в скобках указаны прежние обозначения ламп.

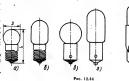


Таблица 12.70. Миниатюрные лампы накаливания

Тип	V <sub>mom</sub> , B		$(P_{\max}, P_{NOM}, (\Phi_{\min}), nM, P_{NOM}, (\Phi_{NOM}, \Phi_{NOM}, (\Phi_{\min}), nM, P_{NOM}, (\Phi_{\min}), nM, P_{NOM}, (\Phi_{\min}), nM, P_{NOM}, (\Phi_{NOM}, \Phi_{NOM}, (\Phi_{\min}), nM, P_{NOM}, (\Phi_{NOM}, \Phi_{NOM}, \Phi_{NOM}, (\Phi_{NOM}, \Phi_{NOM}, \Phi_{NOM}, \Phi_{NOM}, (\Phi_{NOM}, \Phi_{NOM}, \Phi_{NOM}, \Phi_{NOM}, \Phi_{NOM}, \Phi_{NOM}, (\Phi_{NOM}, \Phi_{NOM}, \Phi_{NOM$		Общий вид на	Размеры, мм, не более	
					рис. 12.44	D	L
,		Общег	о примен	ения			
MH 1-0,088 (Mir-1) MH 1,25-0,25 MH 2,3-1,25 (Mir-25) MH 2,3-1,25 (Mir-25) MH 2,3-1,25 (Mir-25) MH 2,3-1,25 (Mir-3) MH 2,5-0,26 (Mir-3) MH 2,5-0,26 (Mir-3) MH 2,5-0,27 (Mir-1) MH 3-0,14 (Mir-12) MH 3-0,14 (Mir-12) MH 3-0,14 (Mir-12) MH 3-0,14 (Mir-12) MH 3-0,14 (Mir-13) MH 3-0,14 (Mir-13) MH 3-0,16 (Mir-13) MH 3-0,16 MIr-3,0-0,16 (Mir-13) MH 3-0,16 MIr-3,0-0,16 MIR-3,	1 1.25 2.3 2.5 2.5 2.5 2.5 2.5 2.5 2.5 3.5 3.5 6.3 6.3 6.3 6.3 6.5 6.3 6.5 6.3 6.5 6.3 6.5 6.3 6.5 6.5 6.5 6.5 6.5 6.5 6.5 6.5 6.5 6.5	0.058(0.075) 0.25(0.28) 1.25(1.35) 1.25(1.35) 0.15(0.16) 0.058(0.075) 0.15(0.16) 0.29(0.33) 0.40(0.45) 0.41(0.45) 0.41(0.16) 0.42(0.36) 0.14(0.16) 0.26(0.28) 0.14(0.374) 0.34(0.374) 0.34(0.374) 0.34(0.374) 0.16(0.12) 0.10(0.12)		0.6 21.0(16) 2.3(1.6) 4.0(3) 9.0(7.5) 7.0(3) 3.7(3) 3.7(3) 7.5(6.2) 12.6(1.6) 17.6(1.6) 10.0(1.6) 10.0(1.6) 11.0(1.6) 11.0(1.6) 11.0(1.6) 11.0(1.6) 11.0(1.6)	8 a 8 a 8 a a a a a a a a a a a a a a a	12 12 16 12 12 16 12 16 16 11 12 12 12 12 12 12 12 12 12 12 12 12	24 24 30 24 24 30 30 30 24 24 24 24 24 24 24 24 31 24 31
		Авт	омобильн	ue			
A6-1* A6-2* A12-1* A12-1.5* A24-1*	7,5 7 14,5 14,5 28	. =	1,8(2,0) 3,5(3,9) 2,1(2,4) 3,1(3,6) 2,5(2,8)	12,6(10) 25,1(21) 12,6(10) 18,9(15) 12,6(10)	8 8 7	12 15 12 15 11	24 29 24 29 30
		Ком	мутаторны	te*			
KM_6-60 (KM1) KM 12-90 (KM2) KM 24-35 (KM24-Π) KM 24-90 (KM3) KM 48-50 (KM4) KM 60-55 (KM5)	6 12 24 24 48 60	0,060 (0,065) 0,090 (0,095) 0,035 (0,040) 0,090 (0,095) 0,050 (0,060) 0,055 (0,060)	=	0,40 (0,35) 0,55 (0,50) 0,90 (0,85) -1,75 (1,50) 2,90 (2,50) 5,70 (5,10)	A A A A A A	7,5 7,5 7,5 7,5 7,5 7,5 7,5	46 46 46 46 46 46

<sup>\*</sup> Второе число в обозначении дампы указывает номинальную силу света в канделах.

# 12.15. ПОЛУПРОВОДНИКОВЫЕ ДИОДЫ\*

#### Выпрямительные диоды и сборки

Выпрямительные диоды (рис. 12.45— 12.47) непользуют для выпрямления переменных токов частотой 50 Гц — 100 кГц. Основные параметры выпрямительных диодов (табл. 12.71, 12.72) соответствуют их работе в однополупериодном выпрямителе с активной нагрузкой (без сглаживающего пульсации кондексатора).

Среднее прямое напряжение U<sub>пр.ср</sub> — среднее за период прямое напряжение на диоде при

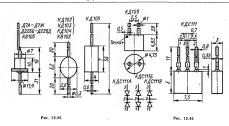
протекании через него максимально допустимого выпрямленного тока.

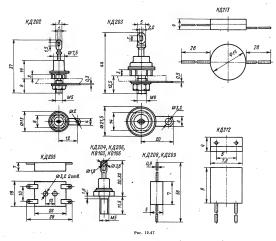
Средний обратный ток І<sub>мор,ср</sub> — средний за период обратный ток. Измеряется при максимальном обратном напряжении. При повышении температуры на каждые 10°С обратный ток германневых диодов увеличивается в 1,5—2 раза, креминевых до 2,5 раз. до 2,5 газ.

Максимально допустимое обратное напряжение  $U_{oбр.max}$  ( $U_{oбр.max}$ )— наибольшее постоянное (кил импульсное) обратное напряжение, при котором диод может длительно и надежно работать. Максимально допустимый выпрямленный ток

 $I_{\text{во, ср max}}$  — средний за период ток через диод (постоянная составляющая), при котором обеспечивается его надежная, длительная работа. Если

Обозначения параметров выпрямительных и универсальных дводов даются по ГОСТ 20004-74, парикалов — по ГОСТ 20005-74, туниельных дводов — по ГОСТ 18216-72 и стабилитронов — по ГОСТ 18994-73.





15 3ax. 663,

Таблица 12.71. Выпрямительные диоды и сборки малой мощности

Тип	Uoop. = max.B	Feet, cp max. A	Une, cp. uA), (npu la, cp. uA), ne Goatee	/osp*, mkA. ne foare	fmax. KFu
K.1102A K.1102B K.1103A K.1103A K.1103A K.1105B K.1105B K.1105B K.1109A K.1109A K.1109B K.1111B K.1111B K.1111B	250 300 50 50 300 400 600 800 100 300 600 300 300 300	0.1 0.1 0.1 0.1 0.01 0.3 0.3 0.3 0.3 0.3 0.3 0.2 0.2	1.0(50) 1.0(50) 1.0(100) 1.0(100) 1.2(100) 1.0(100) 1.0(300) 1.0(300) 1.0(300) 1.0(300) 1.0(300) 1.0(300) 1.2(100) 1.2(100)	0,1 1,0 1,0 1,0 3,0 100 100 100 100 100 3,0 3,0 3,0	4,0 4,0 10,0 10,0 20,0 1,0 1,0 10,0 10,0 20,0 2

<sup>\*</sup> Значения  $I_{\text{обо}}$  даны при  $U_{\text{обо max}}$  и  $T_{\text{око}} = 25$ °C.

на входе сглаживающего фильтра стоит конделого, то комент въдгочения выпрямителя, в сеть через диод проходят значительные им' пульсы тока, пока конденсатор заряжается. По этой причине для выпрямительных диодов, болосо в и столбов, как правяло, дается максимальный перегрузочный ток  $I_{n,s}$  яв., действующий в течение переходиях процессов повылочения выпрямителя (несколько милли-скумд).

Превышение максимально допустимых  $U_{\text{odp,mmax}}$  и  $I_{\text{na.cp max}}$  ведет к резкому сокращению сокрасительного (пробою) диода.

Максимальная частота  $f_{max}$  — наибольшая частота подводимого напряжения, при которой выпрямитель на данном диоде работает достаточно эффективно, а нагрев самого диода не превышает допустимой величным.

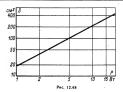
Диоды, имеющие корпус с винтом, необходимо крепить на теллоотволящих радиаторах (наиример, металлических пластинах). На рис. 12.48. показана зависимость площади радиатора-пластины от мощности, которая рассеивается в диоде. Мощность, рассеиваемая в выпрямительном диоде.

 $P = U_{np, cp} I_{ne, cp}$ 

Таблица 12.72. Выпрямительные диоды средней мощности

Тип	Uode. n max R	Inn. cp mate. A	Ипр. ср. А). В, ср. А). не более	Гобр. ср 11рн Uобр mac). 118A, 11e более	/ap. a max. A	fmav. KFit
K.19026 K.1902	\$0 \$1 \$0 \$1 \$0 \$0 \$0 \$0 \$0 \$0 \$0 \$0 \$0 \$0 \$0 \$0 \$0	5.3.5 3.5 3.5 3.5 3.5 3.5 3.5 3.5 3.5 3.	0.9(1) 0.9(3)	0.8 8 0.8 8 0.8 8 0.8 8 0.8 8 0.8 1.5 0.1 1.5 0.1 1.5 0.1 1.5 0.1 1.5 0.1 1.5 0.1 1.5 0.1 1.5 0.1 1.5 0.1 1.5 0.1 0.1 0.1 0.1 0.1 0.1 0.1 0.1 0.1 0.1	9 9 9 9 9 9 9 9 9 9 9 9 9 9 9 9 9 9 9	1,2 1,2 1,2 1,2 1,2 1,2 1,2 1,2 1,2 1,2

\*\*Вначения  $I_{\rm np}$  и так даны при  $\tau_{\rm H}=1.5$  с для КД202А—КД202Р и КД203А—КД203Г; при  $\tau_{\rm H}=0.02$  мс для КД209А—КД209В; при  $\tau_{\rm H}\leqslant 1$  с для КД205А—КД206Л



# Выпрямительные блоки и столбы

Свойства выпрямительных блоков и столбов определяются такими же параметрами, как и диодов (табл. 12.73 — 12.75, рис. 12.49-12.52). Для блока, содержащего несколько плеч, даются параметры  $I_{\text{вп,сомах}}$ ,  $U_{\text{обр,меж}}$ ,  $U_{\text{обр,меж}}$ ,  $U_{\text{обр,меж}}$ ,  $I_{\text{обр,сор}}$  для каждого плеча. Для блока по однофазной мостовой схеме, кроме того, даются следующие параметры.

Таблица 12.73. Выпрямительные блоки спенией монциости

среднеи	мощности			
, Ten	U <sub>o6p, H</sub> max.	Int. of max-	/ <sub>х.х</sub> (при <i>U</i> обр max), мкА, не бо- лее	U <sub>к.з.</sub> (при вп.ср max). В, не более
	Одн	офаэный.	мост	
K11402A K11402B K11402B K11402F K11402J K11402E K11402W K11402W	500 400 300 200 100 600 500	1,0 1,0 1,0 1,0 1,0 1,0 0,6	125 125 125 125 125 125 125 125 125	1
два эле	ктрически	не соеди моста	ченных ос	Энофазных
КЦ403А КЦ403Б	600	1,0	125 125	1 4

Два электрически не соединенных однофазных моста с предохранителями типа ПМ

КЦ404А	600	1,0	125	4
КЦ404Б	500	1,0	125	- 4
KI1404B	400	1.0	125	4
КП404Г	300	1,0	125	4
К11404 Д	200	1.0	125	4
KII404E	100	1.0	. 125	4
K114043K	600	0.6	125	4
KII404H	500	0.6	125	á

Однофазный мост

КЦ405A КЦ405B КЦ405B КЦ405Г КЦ405Д КЦ405Е КЦ405Ж	600 500 400 300 200 100 600	1,0 1,0 1,0 1,0 1,0 1,0 0,6	125 125 125 125 125 125 125 125	4 4 4
КЦ405Ж КЦ405И	500 ·	0,6 0,6	125 125	4

Однофазные мосты

KU407A	- 300	0.5	5 1	2,5
KI1409A	600	3	3	2,5
КЦ409Б	500	3 3 3 3	3	2,5 2,5
KII409B	400	3	3	2.5
КЦ409Г	300	3	3	2,5
КЦ409Д	200	3	. 3	2,5
KI1409E	100	3	3	2,5 2,5 2,5 2,5 2,5
KU409Ж	200	6	3 -	2,5
К11409И	100	6 3	3	2,5
KIL410A	50		50	1.2
KI1410B	100	3 3	50	1.2
KU410B	200	3	50	1,2
KII412A	50	1	50	1,2
КЦ412Б .	100	1	50	1.2
КЦ412В	200	1	50	1,2

Окончание таблицы 12.73

Примечания. 1. Максимальная частота подводимого переменного напряжения: 20 кГц для КЦ407А, 15 кГц для блоков остальных типов. 2.  $U_{K,3}$  дано при  $I_{K,3}=0.2$  А для КЦ407А;  $I_{K,3}=1.5$  А для КЦ410А-В;  $I_{K,3}=0.5$  А для КЦ412А — КЦ412В.

Таблица 12.74. Выпрямительные высоковольтные кремниевые столбы

Тип	Uosp max, KB	I <sub>sn,cp max</sub> ,	U <sub>пр,ср</sub> , В, не более	/ <sub>обр</sub> , мкА, не более
KU105A KU105B KU105B KU105F KU105F KU106A KU106B KU106B KU106F KU109A KU201A KU201A KU201B KU201B KU201B KU201B KU201F KU201F	2 4 6 8 10 4 6 8 10 2 6 2 4 6 8 10 15	0,1 0,1 0,1 0,075 0,05 0,01 0,01 0,01 0,01 0,01 0,03 0,5 0,5 0,5 0,5	3,5 3,5 7 7 25 25 25 25 25 27 3 3 6 6 6 6	100 100 100 100 100 10 10 10 10 10 10 10

Примечания I . Значения  $U_{\rm np,cp}$  даны при  $I_{\rm an,\ cp\ max}$ 

Примечания. 1. Значения  $U_{\rm SP,CP}$  дани при  $I_{\rm BR}$ , ср мах. 2. Значения  $I_{\rm OS,CR}$  по  $I_{\rm BR}$  ср мах. 2. Значения  $I_{\rm OS,CR}$  по  $I_{\rm BR}$  ср  $I_{\rm BR}$ 

Таблица 12.75. Высоковольтные селеновые выпрямительные столбы

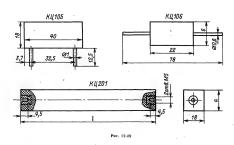
Тип	Uoop max. KB	I <sub>en, cp max</sub> , мА	Длина столба L, мм, не более
3ΓΕ130ΑΦ 3ΓΕ220ΑΦ 5ΓΕ40ΑΦ 5ΓΕ60ΑΦ 5ΓΕ80ΑΦ 5ΓΕ100ΑΦ 5ΓΕ100ΑΦ 5ΓΕ140ΑΦ 5ΓΕ200ΑΦ 5ΓΕ200ΑΦ	3 5 1 1,5 2 2,5 3,5 5 15	0,06 0,06 1,2 1,2 1,2 1,2 1,2 1,2 1,2	135 100 106 112 120 130 150 180

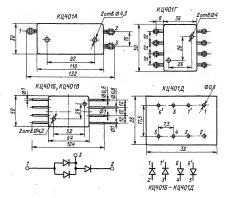
Примечания. 1: Столбы, обозначение которых начи-нается с цифры 3, имеют ⊘ 4 мм, ас цифры 5—6 мм (5ГЕ60ОАФ

ниеет 29 мм).

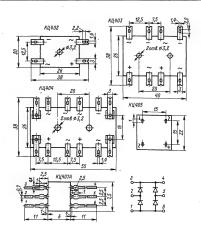
2. Isn. ср max — максимальное допустимое значение вы-примленного тока при использовании столба в однополу-периодном выпрямителе с активной нагрузкой.

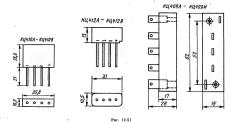
КЦ403Д КЦ403Ж КП403И





Pac. 12.50







Ток холостого хода  $I_{x,x}$  — среднее значение (постоянная составляющая) тока на входе моста, работающего без нагрузки.

Напряжение короткого замыкания  $U_{z,3}$  среднее значение (постоянная составляющая) напряжения на входе короткозаминутого по выходу моста при протекании на выходе максимально допустимого выпрямленного тока.

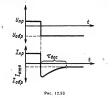
Параметры  $I_{s,s}$  и  $U_{s,s}$  характеризуют симметрим моста, чем больше  $I_{s,s}$  и  $U_{t,s}$ , тем больше нагрузка со стороны моста на транкформатор питания и больше пульсации на выходе выпрямителя.

# Высокочастотные (универсальные) и импульсные диоды

Высокочастотные (универсальные) диоды используют для выпрямления токов, модуляции и детектирования сигналов с частотой до нескольких сотеи метагери. Импульсине диоды используют в качестве ключевых элементов при импульсах микросекундной и наносекундной длительности.

Максимально допустимые обратные мапряжения  $U_{\rm oбр, n}$   $_{\rm ms}$ )—постоянные (импульсные) обратные папряжения, превышение которых реако сокращает долговечность диода или приводит к мемедленному повреждению его. При повышении температуры обратное напряжение, как правило, синжается.

Постоянное прямое напряжение  $U_{\rm sp}$  — падение напряжения на диоде при протекании через него постоянного прямого тока  $I_{\rm sp}$ , заданного ГОСТ или ТУ.



Постоянный обратный ток  $I_{asp}$ —ток через мисо при постоянном обратном напряжения и масо при постоянном обратном напряжения  $I_{asp}$  измеряется, как правило, при магкимальном обратном напряжения  $I_{asp}$  измеряется  $I_{asp}$  магкейших показателей качества и масо  $I_{asp}$  магкейших показателей качества и масо. Чля кажалого типа и магкейших показателей и магкей и м

Емкость диода  $C_n$  — емкость между выводами при заданном напряжении. При увеличении обратного напряжения емкость уменьшается. При коротких импульсах необходимо учитывать

Основные параметры высокочастотных и импульсных диодов и их маркировка представлены в табл. 12.76, 12.77; габаритные чертежи на рис. 12.54

Таблица 12.76. Высокочастотные (универсальные) диоды

						-
TH		Uosp max. B	I <sub>пр тах</sub> , (І <sub>пр, н тах). мА</sub>	$I_{\rm oбp}$ (при $U_{\rm oбp}$ , В), мкА, не более	U <sub>пр</sub> (при I <sub>пр</sub> , мА), В, не более	Сл (при U <sub>обр</sub> . В), пФ, не более
			Герма	ниевые		
ГД113А ГД402А ГД402Б ГД403А ГД403Б ГД403В	\	115 15 15 5 5	15(48) 30(100) 30(100) 	100 (10) 100 (10) —	1(30) 0,45(15) 0,45(15) 0,5(5) 0,5(5) 0,5(5)	0,8(5) 0,8(5) - -
			. Кремі	чиевые		
КД407А КД409А КД413А		24 24 24	50(500) 50(500) 20	0,5(24) 0,5(24) —	1 (50) 1 (50) 1 (20)	5(1) 15(1) 0,7(0)

Таблица 12.77. Импульсные диоды

Тип		U <sub>пр</sub> (при I <sub>пр</sub> , мА), В, не более	/ <sub>пр тах</sub> (/ <sub>пр, н тах</sub> ), мА	I <sub>обр</sub> (при U <sub>обр тах</sub> ), мкА, не более	С <sub>д</sub> (при U <sub>oSp</sub> , В), пФ, не более	(вос. нс. не более; [Q, пк] (при Іпр. Ообр. в. МА. В), пКл. не болёе
TH507A TH508A TH508B TH508B TH508B TH508B TH508B TH508B TH501B KH503B KH503B KH503B KH503B KH503B KH504A KH512A KH512A KH512A KH514A KH519A KH519B KH519B KH518A KH519B KH518A KH519B KH52H KH519B KH52H KH52H KH52H KH52H KH52H	20 8 8 8 8 12 12 12 2 12 2 10 2 10 10 10 10 10 10 10 10 10 10 10 10 10	0.8 (5) 0.7 (10) 0.65 (10) 0.65 (10) 0.6 (5) 0.6 (5) 0.6 (5) 1.2 (10) 1.2 (10) 1.2 (10) 1.3 (100) 1.4 (100) 1.4 (100) 1.4 (100) 1.4 (100) 1.4 (100) 1.6 (100) 1.7 (100)	16(100) 10(30) 10(30) 10(30) 116(50) 15(50) 15(50) 20(200) 20(200) 20(200) 20(200) 20(200) 20(200) 20(200) 20(200) 20(200) 20(200) 30(300)	50 100 500 100 2000 10 10 12 25 5 5 5 5 5 1 1 1 1 2 2 5 5 5 5 5	0, 8(6) 0,75(0,5) 0,75(0,5) 1.(6) 1.(6) 1.(6) 2.5(0-0.05) 2.5(0-0.05) 4.(0-0.05) 4.(0-0.05) 4.(0-0.05) 4.(0-0.05) 4.(0-0.05) 4.(0-0.05) 4.(0-0.05) 4.(0-0.05) 4.(0-0.05) 4.(0-0.05)	100(20, 10)   20(10; 5)   20(10; 5)   20(10; 5)   20(10; 5)   20(10; 5)   20(10; 5)   20(10; 5)   20(10; 5)   20(10; 5)   20(10; 10)

Примечания 1 Значения  $I_{ep.,\,u\,\,{\rm max}}$  для ГДБ11А-В даны при  ${\rm v}_{a}$ —1 мкс, для дводов остальных типов  ${\rm v}_{a}$ —10 мкс. Цветням моркупровка дводов: КДБ22А— два кольца на корпусе; КДБ22Б— три кольца; КДБ19А— белая точка со стороны «лалоса» КДБ19Р — красива точка

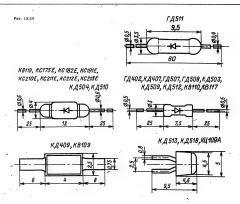




Рис. 12.54 (продолжение)

# Варикапы

Варикап — диод, обычно используемый в качестве коиденсатора переменной емкости; емкость изменяется при подаче на варикап польс управляющего напряжения. Отридательный полюс управляющего напряжения должен быть включен на вывод варикапа, обозначенный знаком плыс (рис. 12.55).

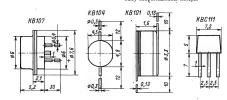
ный знаком плюс (рис. 12.55). Основные параметры варикапов: максимально допустимое обратное напряжение  $U_{\text{обрява}}$ ; постоянный обратный ток  $I_{\text{обр}}$ , который измеряют

при напряжении  $U_{\text{обртвх}}$ , а также следующие специфические для варикапов параметры (табл. 12.78).

Общая емкость С<sub>в</sub> — емкость при заданном обратном напряжении смещения.

Коэффициент перекрытия по емкости  $K_C$  — отношение общей емкости варикапа к его емкости при  $U_{oбpmax}$ ; для варикапов различных тнпов  $K_C=2.5\div6$ .

Добротность варикапа Q<sub>в</sub> как подстроечного конденсатора равна отношению его емкостного сопротивления к эквивалентному последовательному сопротивлению потерь.



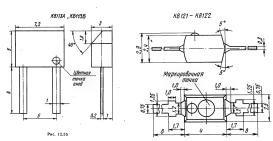


Таблица 12.78. Варикапы

Окончание табл. 12.78

Тип	С₁, пФ	Uo6pmax.	Q <sub>8</sub> , не ме- нее	/ <sub>обр</sub> (п
RB101A RB1022B RB1022B RB1022B RB1022B RB1022B RB102B RB102B RB102B RB103B RB103B RB103B RB104B RB104B RB104B RB104B RB104B RB104B RB104B RB104B RB107B RB10	160 - 240   14 - 23   14 - 23   14 - 23   14 - 23   15 - 24   15	45 45 45 45 45 45 45 45 45 45 45 45 50 90 120 90 120 90 120 25 25 25 25 45 45 45 45 45 45 45 45 45 45 45 45 45	10 10 10 10 10 10 10 10 10 10 10 10 10 1	1 1 1 1 1 1 1 1 1 1 1 1 1 1 1 1 1 1 1

Туннельные	И	обращенные	диоды
------------	---	------------	-------

У туннельных диодов на вольманерных характеристика (рис. 12.56) имеется участок с отрицательным дифференциальным спортивлением. Наличег эколо участка появоляет использовать туниельные диоды в усилителях, генераторах синусоидальных и регаксационных колебаний и переключающих устройствах на частотах до сотен и тъсеги метагери.

Параметры туннельных диодов (см. рис. 12.56 и табл. 12.79):

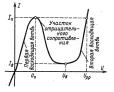


Рис. 12.56

Тип	С1 пФ	Uodg max.	Q <sub>B</sub> , не ме- нее	I <sub>обр</sub> (пр U <sub>обр тах</sub> Т <sub>окр</sub> = 25°С) мкА, не более
KB113A	54-81	150	300	10
KB113B	54-81	115	300	10
KB115A	100-700	100		0.1(50)
KB1156	100-700	100	_	0.05(50)
KB115B	100-700	100		0,01(50)
KB117A	26-39	25	180	1
KB1176	26-39	25	150	1
KB119A	168-252	12	100	1(10)
KBC120A	230-320	32	100	0,5(30)
KBC1206	230320	32	100	0,5 (30)
KB121A	4.3-6	30	200	0,5(28)
KB1215	4,3-6	30	150	0,5 (28)
KB122A	2,3-2,8	30	450	0,2(28
KB1225	2-2,3	30	450	0,2(28
KB122B	1,9-3,1	30	300	0,2(28
KB123A	2,63,8	28	250	0,05(25

'При  $U_{oSp}=0$  В для KВ115A—KВ115В: при  $U_{oSp}=1$  В для KВ19A, KВ120A, KВ120Б: при  $U_{oSp}=0$  В для КВ10AL  $U_{oSp}=2$  В для КВ10AL  $U_{oSp}=2$ 5 В для КВ10A и КВ109Б: КВ123A, KВ122A—KВ122B. КВ121A, KВ121B: при  $U_{oSp}=3$  В для КВ109B и КВ109F. КВ117A, KВ117B: при  $U_{oSp}=4$  В для квриманов остальных

<sup>2</sup> При f = 1 МГц для КВ105А, КВ105Б, КВ119А, КВ120А, Б; при f = 10 МГц для КВ104А—КВ104Е; КВ107А—КВ107Г, КВ113А, КВ113Б; при f = 50 МГц для вариканов остальных типов.

 $^{\rm 3}$  Варикапы предназначены для использования в резонаторах диапазона ДМВ.

Пиковый ток  $I_n$  и напряжение пика  $U_n$ —
прямой ток и напряжение; соответствующие
максимуму вольт-амперной характеристики.
Ток впадины  $I_s$  и напряжение впадины  $U_s$ —
прямой ток и напряжение в точке минимума

вольт-амперной характеристики. Напряжение раствора U<sub>pp</sub> — прямое напряжение, большее напряжения впадины, при котором ток равен пиковому.

ток равен пиковому.

Емкость диода С<sub>п</sub> — емкость между выводами диода при заданном напряжении (обычно при

напряженин  $U_1$ ). Предельный режим работы туннельного диода характеризуется максимально допустимым постоянным І<sub>привах</sub> или импульсным І<sub>привах</sub>

Особенностью вольт-амперной характеристики обращенного диода (рис. 12.57) является то, что при малых напряжениях (до нескольких десятков милливольт) проводимость диода в обратном направлении много больше, чем в прямом. Поэтому диоды получили название обращенных, т. к. в качестве проводящей в них используется обратная ветвь вольт-амперной характеристики. Обращенные диоды используются для выпрямления малых переменных напряжений и детектирования сигналов с частотой до нескольких сотен мегагерц. Параметрами обращенных диодов являются: прямое Unp и обратное  $U_{obs}$  напряжения при заданных значениях тока; прямой Іпртэх и обратный Іобрата, максимально допустимые токи и емкость диода С. (табл. 12.80).

Таблица 12:79. Туннельные диоды

Тип	I <sub>п</sub> , мА	<i>U</i> п. мВ	$I_{\rm ff}/I_{\rm B}$ , не менее	<i>U</i> <sub>рр</sub> , мВ	Unp max. (I up max. NA)	С., пФ
AU101A AU101B AU101B AU101B AU101E AU101U AU201A AU201B AU201B AU201B AU201B AU201B AU201B AU201B AU201B AU201B AU201A AU201A AU201A AU201B AU	0.75-1.25 0.75-1.25 0.75-1.25 1.7 -2.3 1.7 -2.3 1.7 -2.3 1.5 -5.5 4.5 -5.5 9 -11 9 -11 18-22 18-22 18-22 18-22 18-25 45-95 90-110 1.6-2.4 45-5.5 45-95 90-110 1.6-2.4 1.7 -2.3 1.7 -2.3	160 160 160 160 180 180 180 180 200 200 260 260 260 260 260 330 330 330 380 180 180 180 180 180 180 180 1	5 5 6 6 6 6 100 1100 1100 1100 1200 18 8 8 8 4 4 4 4 4 4 4 4 4		0.5 · 0.6 0.5 · 0.6	4 2 8 2 2 8 5.5 10 8 4.5 13 8 5 -15 16 20 15 10 -30 20 50 10 50 12 25 25 25 25 10 8 -1.6 0.7 1.3 1 3.2

Таблица 12.80. Обращенные диоды

Тип	U <sub>пр</sub> (прн I <sub>пр</sub> , мА), мВ, не менее	U <sub>сбр</sub> (при I <sub>сбр</sub> . мА), мВ, не более	I <sub>пр тах</sub> , мА	Toop man. MA	С,, пФ, не более
АИ402Б АИ402Г АИ402Е АИ402И ГИ401А ГИ401Б ГИ403А*	600 (0,1) 600 (0,1) 600 (0,2) 600 (0,4) 330 (0,1) 330 (0,1) 350 (0,1)	250(1,0) 250(1,0) 250(2,0) 250(4,0) 90(1,0) 90(1,0) 120(3,0)	0,05 0,05 0,05 0,05 0,05 0,30 0,50	1 1 2 4 4 5,6	4 8 8 10 2.5 5 8

 Указаны максимально допустимые импульсные значения обратного и примого токна при длигельности импульса т<sub>т</sub>=10 мкс.

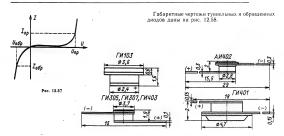


Рис. 12.58

# Стабилитроны и стабисторы

Стабилитроны (рис. 12.59) и стабисторы (табл. 12.81—12.83) предизвачены для стабилизации напряжения на нагрузке при изменении питающего напряжения в широких пределах. Рабочая точка стабилитрона находится на участке пробоя обратной ветви вольт-амперной

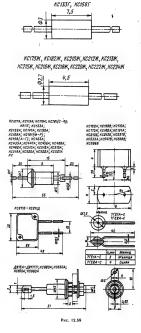


Таблица 12.81. Стабилитроны и стабисторы малой мощности

Тип	$U_{c_T}^* \pm \Delta U_{c_T}$ , B	г <sub>ст</sub> (при І <sub>ст</sub> , мА), Ом, не более	I <sub>ct max</sub> , мА (I <sub>ct min</sub> , мА)
KC113A KC113A KC113A KC113A KC133A KC133A KC133A KC133A KC133A KC133A KC135A KC	0.7±0.07 1.3±0.019 3.3±0.03 3.3±0.04 3.3±0.04 4.7±0.05 5.5±0.06 6.5±0.04 6.5±0	7(10) 12(10) 12(10) 13(	100(1) 10
		70(2) 70(2) 70(2) 70(2) 70(2) 50(1) 100(1)	6,9(0,5) 6,2(0,5) 5,7(0,5) 5,2(0,5) 10

Пря /ст = 5 мА для КС175А, КС168А, КС191А, КС210В, КС210В, ВС210Ж, КС210Ж, КС211Ж, КС211Ж, КС212Ж, КС213Ж, КС216Ж, КС216Ж, КС216Ж, КС216Ж, КС20Ж, КС222Ж, КС232Ж, КС224Ж; пря /ст = 2 мА для стальных тапов приборов.

характеристики, рабочая точка стабистора—
на прямой ветви. Работа стабистора сонована
на том, что при изменевии прямого тока прямое
напряжение на диоде меняется незвичетельно.
Помярность подаваемого напряжения на стабимитром домжна быть такой, чтобы к аноду прикаторы примя обыть такой, чтобы к аноду прик вкоду присоединяется положительный полое
подаваемого напряжения.

Стабилитроны средней и большой моцности, имеющие в обозначении букву П (например ДВІБАП), предназначены для применення в устройствах, где с монтажным металагическим шасси должен соединяться отрицательный полюс стабилизированного напряжения. Стабилитроны с такими же параметрами без доболинительной

Таблица 12.82. Стабилитроны средней и большой мощности

Tan	<i>U</i> <sub>ст</sub> , (прн <i>I</i> <sub>ст</sub> , мА), В	r <sub>ст</sub> (при I <sub>ст</sub> , мА), Ом, не более	I <sub>ст тах</sub> , мА	/ <sub>ет min</sub> , мА
J8115A J815B J815B J815B J815B J815B J816B	5.6 (1000) 5.8 (1000) 5.8 (1000) 5.8 (1000) 5.8 (1000) 5.8 (1000) 5.9 (1000)	0.9.(1000) 1.2.(1000) 1.2.(1000) 1.2.(1000) 1.2.(1000) 1.2.(1000) 1.2.(1000) 1.2.(1000) 1.3.(1000)	1400 1150 950 800 650 450 1230 180 110 110 110 110 1176 159 67 79 67 79 67 73 45 22 37 30 14,6 10 14,6 10 14,6 10 11,6 11,6 11,6 11,6 11,6 11,6 11,6	50 50 50 50 50 50 50 50 50 50

Примечание. Разброс напряжения стабилизации для KC551A, KC591A,  $KC600A\pm5\%$ ; для остальных типов приборов  $\pm15\%$ .

буквы в обозначении (например, Д815А) предназначаются для устройств, где «заземляется» положительный полюс напряжения.

Напряжение стабилизации  $\dot{U}_{\rm cr}$  — напряжение между выводами стабилитрона (стабистора) в рабочем режиме.

Ток стабилизации  $I_{c\tau}$  — ток через стабилитрон, стабистор. (Не путать с током, который идет от стабилизатора в нагрузку!)

Минимальный ток стабилізаций І<sub>ства</sub> стабилитрона – наименьшее значенне тока стабиненне примого тока, ниже которого крутизна значение и дифференциальное сопротивление существенно увеличивается с сограничение и рабочем участке.

Максимально допустимый ток стабилизации І<sub>ствах</sub> наибольший ток стабилизации, при кото-

Таблица 12.83. Стабилитроны импульсные

Tun	∪ст. (при /ст=5 мА), В	rer (upu fer=5 nA). On se force	$\zeta_{\text{THBAX}}$ (fee, a max npu $\zeta_{\text{A}} \leqslant 10$ Mec $Q = 10 \div 100$ ), MA	Jermin, MA
KC175E KC182E KC191E KC210E KC211E KC212E KC213E	7,5±0,4 8,2±0,8 9,1±0,5 10±1 11±0,6 12±1,2 13±0,7	30 30 30 30 30 30 30 30 30	17 (200) 15 (200) 14 (200) 13 (200) 12 (200) 11 (200) 10 (200)	3 3 3 3 3 3

ром нагрев стабилитрона (стабистора) не выходит за допустимые пределы.

 $\Pi$ ифференциальное сопротивление  $r_{\rm cr}$  — отношение приращения напряжения стабилизации к вызывающему его приращению тока стабилизации:  $r_{\rm cr} = \Delta U_{\rm cr}/\Delta I_{\rm cr}$ .

# Полупроводниковые знакосинтезирующие индикаторы

С ветоизлучающий диод (рис. 12.60) специальный полупроводниковый прибор с одним переходом, в котором электрическая энергия непосредственно преобразуется в энергию светового, излучения.

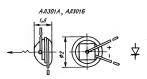
Знаковый индикатор (рис. 12.61) полупроводниковый прибор, состоящий из нескольких светокалучающих диодов. В зависимости от количества и расположения светоизлучающих диодов можно воспроизводить цифры, буквы, знаки, символы.

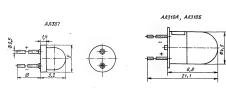
Йинейная шкала (рис. 12.61) — полупроводниковый прибор, состоящий из нескольких светоизлучающих диодов расположенных вдоль одной линии. Шкалы предназначены для представления аналоговой информации.

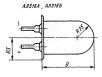
Основными параметрами светоизлучающих диодов, знаковых мнанкаторов и шкал являются сала света  $I_{\sigma}$  (у некоторых приборов яркость L), примое напряжение  $U_{\sigma \theta}$  при данном прямом токе  $I_{\theta \theta}$  (той. 12.84). Для знаковых индикаторов важным параметром является относительный разброс по сласи всета  $\delta I_{\theta}$  (яркости  $\delta L$ ), (яркости  $\delta L$ ), (яркости  $\delta L$ ),

Индикаторы выпускают разного цвета свечения: красные, желтые, зеленые, оранжевые. Имеются одно- и многоразрядные индикаторы. Как правило, индикаторы работают в импульсном режиме.

Приведенные в табл. 12.84 значения максимального тока для знаковых индикаторов и шкал относятся к одному элементу.







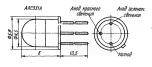
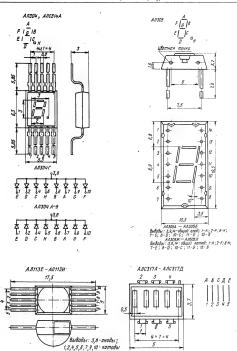


Рис. 12.60



. Рис. 12.61

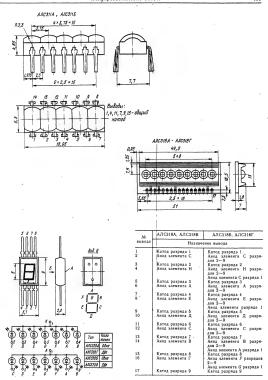
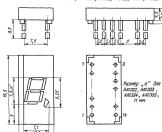


Рис. 12.61 (продолжение).





### АЛС324А

№ вывода	Полярность
ı	Анод Г
2	Анод С
	Катод общий
5	Анод Е
7	Анод D
3	Анод С
,	Анод Н
12	Катод общий
13	Анод В
4	Анод А

# АЛС321А

№ вывода	Поляриость
1	Анод Г
2	Анод G
3	
4	Катод общий
5	_
6	Анод Е
7	Anog D
8	_Акод С
9	Анод Н
10	
11	
12	Катод общий
13	Анод В

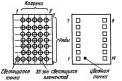
# АЛС321Б

№ вывода	Полярность
1	Катод А
2	Катод F
3	Анод общий
6	Катод Н
7	Катод Е
8	Катод D
9	Анод общий
10 .	Катод С
11	Катод G
12	

#### АЛС324Б

№ вывода	Полярность
١	Катод А
2	Катод Г
3	Анод общий
3	Катод Н
	Катод Е
3	Катод D
)	Анод общий
10	Катод С
1	КатодьG
13	Катод В
	Avenue reference

# АЛС340А



# Рис. 12.61 (продолжение).

# АЛС340

вывода	Полярность	
1 2 3 4 5 6 7 8 9 10 11 12 13 14	Катоды элементов ряда 1 Катоды элементов ряда 3 Катоды элементов ряда 4 Аводы элементов колонки Аводы элементов колонки Аводы элементов ряда 7 Катоды элементов ряда 6 Катоды элементов ряда 5 Катоды элементов ряда 5 Катоды элементов ряда 2 Аноды элементов ряда 2 Аноды элементов ряда 2 Аноды элементов ряда 2 Аноды элементов колонки	2 1 3 5 4

Таблица 12.84. Полупроводниковые знакосинтезирующие индикаторы

Тип (цвет свечения)	U <sub>пр</sub> (при I <sub>пр∗.</sub> мА). В, не более	I <sub>D</sub> , мккд [L, кд/м <sup>2</sup> ] (при I <sub>пр</sub> , мА), не менее	I <sub>пр тах</sub> . мА	Индицируемые знаки	Размер цифры, мм (схема соединения электродов)
		Светоизлуча	ющие диоды		
AJ301 A (K) AJ301 B (K) AJ301 B (K) AJ307	3 (10) 3 (10) 2 (10) 2 (10) 2 (10) 2 (10) 2 (10) 2 (10) 2 (10) 2 (10) 2 (10) 2 (10) 2 (10) 4 (4) 4 (20)	[10] (10) [20] (10) [30) (10) [40) (20) [40) (20) [40) (10) [40) (10) [40) (10) [500] (10) [600] (10) [600] (10) [600] (10) [600] (10) [600] (10) [600] (10)	11 20 20 22 22 22 22 22 22 22 22 22 22 22		
		Линейны	е шкалы		
АЛЗ17А (К) АЛЗ17Б (К) АЛЗ17В (З) АЛЗ17Г (З) АЛЗ17Д (З)	2(10) 2(10) 3(10) 3(10) 3(10)	160(10) 350(10) 80(10) 160(10) 320(10)	12 12 12 12 12	=	5*(OK) 5*(OK) 5*(OA) 5*(OA) 5*(OA)
		Знаковые г	индикаторы		
АЛ113Е (К)	2(5)	300(5)	5,5	Цифры, некоторые буквы	2,5(OK)
AJ113W(K) AJ113H(K) AJ1304B(3) AJ3004F(K) AJ305A(K) AJIC 311A, B(K) AJIC 311A, B(K)	2(5) 2(5) 3(10) 3(5) 4(20) 2(4) 2(5)	175(5) 60(5) 60(10) 350(5) [350] (20) 400(0,8) [350] (5)	5,5 5,5 11 5,5 22 5 8	To me	2,5(OK) 2,5(OK) 2,5(OK) 2,5(OA) 7(OA) 3(OK) 2,5(OK)
AJGS18A, AJGS18A, AJGS18A, AJGS18A, AJGS18A, AJGS2A, KI, AJGS3A, AJGSAA, A	1.9(5) 2(10) 3(10) 3(10) 3(10) 3(10) 3.6(20) 3.6(20) 2.5(20) 2.5(20) 2.5(20) 2.5(20) 2.5(20) 2.5(20) 2.5(20) 2.5(20) 3.3(20) 3.3(20) 3.3(20) 3.5(20) 3	950(5) 400(10) 159(10) 159(10) 159(10) 159(10) 159(10) 159(20) 159(20) 159(20) 159(20) 169(20)	12 12 12 12 12 12 12 13 25 25 25 25 25 25 25 25 25 25 25 25 25	любые анаки и цифри	2.5(0 K) 5(0 A) 5 (0 A) 5 (0 A) 7 (0 A) 7 (0 A) 7 (0 A) 12 (0 A) 13 (0 A) 14 (0 A) 15 (0 A) 16 (0 A) 17 (0 A) 18 (0 A) 19

<sup>•</sup> Число элементов.

## 12.16. ТИРИСТОРЫ

Тиристоры подразделяются на диодные (динисторы), триодные (тринисторы), запираемые и симметричные (симисторы).

Пиодные тиристоры включаются в проводящее состояние при подаче на них напряжения, большего напряжения включения. Днодный тиристор остется в проводящем состоянии до тех пор, пока ток через него не будет уменьшен до уровия тока выключения или не будет сяято выключения или не будет сяято выключения или не будет

Триодные тиристоры имеют управляющий электрод. При подаче прямого тока (на управляющем электроде — положительное относительно катода напряжение) напряжение включения тиристора уменьшается. При управ-

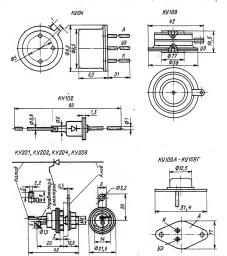


Рис. 12.62

ляющем токе, равном току спрямления, тиристор включается и остается во включенном состоянии и после снятия управляющего тока. Выключить триодный тиристор, как и динистор, можно уменьшением анодного тока или сиятием анодного напояжения.

Запираемые тиристоры могут выключаться не только при уменьшении анодного тока, но и при подаче в цепь управляющего электрода запирающего тока.

Симметричные тиристоры могут включаться при подаче управляющего импулься не только при прямом, но и обратном напряжении на аноде, поэтому такие тиристоры могут работать в целях управления переменным током.

Максимально допустимое постоянное обратное папряжение  $U_{abpnus}$  – предельню допустимое обратное напряжение ва тиристоре (на входе от рицательное напряжение). Для тиристоров некоторых типов значение  $U_{obp,max}$  но соворено и подача обратного напряжения на эти тиристоры не допусквется.

Максимальное допустимое постоянное прямое напряжение U<sub>пр.мар.тва</sub>, — максимальное постоянное прямое напряжение, при котором тиристор находится в закрытом состоянии.

назодится в закрытом состоянии  $I_{s,p}$  — основной ток при определенном напряжении в закрытом состоянии, при определенном режиме в цепи управляющего электрода тиристора.

Обратный ток I<sub>обр</sub> — анодный ток при определенном обратном напряжении на тиристоре.

Напряжение включения  $U_{\text{вкл}}$  — прямое напряжение в точке включения диодного тиристора.

Постоянный отпирающий ток управляющего электрода  $I_{\gamma,\sigma\tau}$  — минимальный постоянный ток

Таблица 12.85. Диодные тиристоры

Тип	Тотир, ср. тах. м.А	Ізкр. мкА, не более	<sup>1</sup> обр. мА, не более	Ussa. B	Uотър. В. не более	/откр. к. max (при /откр. ср = 200 мА и ук. 10 мс). А
KH102A KH102B KH102B KH102C KH102C KH102C KH102A KH102W KH102W	200 200 200 200 200 200 200 200 200	100 100 100 100 100 100 100	0,5 0,5 0,5 0,5 0,5 0,5 0,5	20 28 40 56 80 120 150	10 10 10 10 10 10	2 2 2 2 2 2 2 2 2 2 2 2

Примечания. 1. Напряжение в открытом состоянии 1,5 В.
2. Удерживающий ток 0,1 мА при 70°С.
3. Время выключения 40 ммс при анодном токе 1 А и

 Время выключения 40 мкс при анодном токе I А и т<sub>н</sub> = 10 мкс.

Таблица 12.86. Триодные тиристоры

Тин	forsp. cp. max. A	Uпр. эмр. шач. В	/экр. м.А. не более	' 1, от, мА, не более	лене, и так (при т <sub>ис</sub> экс),	Uodp. m.r. B
RY104A KY104A KY104B KY108B KY108B KY108B KY108B KY108B KY108B KY108B KY108B KY108B KY108B KY108B KY108B KY108C KY	0.1 0.1 0.1 0.1 0.1 0.1 0.1 0.1 0.1 0.1	15 19 1000 1000 1000 1000 1000 800 800 800 80	10,12 0,12 0,12 0,12 0,12 2,5 2,5 2,5 2,5 2,5 2,5 2,5 2,5 2,5 2,	155 155 155 155 155 155 155 155 155 155	3(10) 3(10) 3(10) 3(10) 3(10) 3(10) 3(10) 3(10) 3(10) 3(10) 3(10) 3(10) 3(10) 5(0.5) 150(0.5)	6 6 6 6 6 6 6 6 6 6 6 6 6 6 6 6 6 6 6
KY202M, KY202MM KY202H, KY202HM	10	480 480	10	100	30(10)	480

Примечания. 1. Времи включения для КУ202А - КУ202Н не более 10 мкс. дал КУ108А - КУ108Н не более 10 мкс. дал КУ108Н, КУ108У, КУ108Ф не более 35 мкс. дал КУ108К, КУ108И, КУ108, КУ108Ф не более 35 мкс. дал КУ108X, КУ108И, КУ108И, КУ108X, КУ108X, КУ108X не более 100 мкс.
2 Времи выключения для КУ202А - КУ202Н не более

2 Вреня выключения для КУ202А.-КУ202Н не более 150 мкс; для КУ104А.—КУ104Г не более 2,5 мкс; для КУ109А не более 10 мкс; для КУ109Б не более 15 мкс, для КУ109В, КУ109Г не более 50 мкс.

управляющего электрода, который обеспечивает переключение тиристора из закрытого состояния в открытое.

Напряжение в открытом состоянии  $U_{\text{отвр}}$  — основное напряжение на тиристоре при определенном токе в открытом состоянии.

Импульсный запирающий ток управляющего электрода  $I_{y,y,y}$  минимальная амплитуда импуль-

### Таблица 12.87. Запираемые триодные тиристоры

Тип	I <sub>8, max</sub> . A	Unp, sap, max.	I <sub>зкр.</sub> мА, не более	I <sub>у, от</sub> , мА, не более	I <sub>у, з, ж</sub> , мА, не более	U <sub>у, от</sub> , В, не более	U <sub>y, з. н</sub> . В, не более	Iorkp, max. A
КУ204А	2	50	5	150	400	5	36	2 2 2
КУ204Б	2	100	5	150	400	5	36	
КУ204В	2	200	5	150	400	5	36	

Примечания. 1. Напряжение в открытом состоянии не более 3,2 В. 2. Длительность запирающего импульса 120 мкс.

са обратного тока управляющего электрода, которая обеспечивает переключение тиристора из открытого состояния в закрытое.

Импідлосное запирающее напряжение на управляющем электроде  $U_{j,s,n}$  — амплитуда импульса напряжения на управляющем электроде, соответствующая импульсному запирающему току управляющего электрода.

Удерживающий ток  $I_{y_0}$  — минимальный основной ток, который необходим для поддержания

тиристора в открытом состоянии.

Ток выключения Inux — ток анода, при котором

тиристор выключается. Время включения  $t_{\rm ext}$  и время выключения

t<sub>ныкі</sub> — характеризуют быстродействие ти ристора.
 Предельный режим работы тиристора узраж

Предельный режим работы тиристора характеризуется следующими параметрами: Максимально допустимый средний (импульс-

ный) ток в открытом состоянии І<sub>откр.е., тах.</sub>

І<sub>откр.е., тах.</sub> — предельный допустимый ток внода.

Максимально допустимый постоянный запи-

Максимально donycruмый постоянный запираемый ток  $I_{3,max}$ — наибольший анодный ток, с которого допускается запирание тиристора по управляющему электроду.

Таблица 12.88. Симметричные триодные тиристоры

Tan	Ізкр. мА, не балее	/выкл. мА, не более	/у, от. мА, не более	Uy, or. Bine Gonee	Uoop max. B
(У208A	5	150	160	7	100
(У208B	5	150	160	7	200
(У208B	5	150	160	7	300
(У208Г	5	150	160	7	400

Примечания. 1. Время включения <10 мкс; время выключения 150 мкс. 2. Предельная частота подводимого переменного напря-

жения 400 Гц.

3. Амплитуда тока в нагрузке 30 А при температуре корпуса от —55 до 50°С и 15 А при температуре корпу-

### 12 17 ТРАНЗИСТОРЫ

# Классификация транзисторов

По мощности транзисторы классифицируются как макомощиме (рассиваемая мощность  $P_{\max} < 0.3$  Вт), средней мощности (0.3 Вт  $< P_{\max} < 1.5$  Вт) и большой мощности  $(P_{\max} > 1.5$  Вт) и большой мощности  $(P_{\max} > 1.5$  Вт). По частоте — низкочастотные (предельная частота f < 3 М 110, среднечастотные (3 М 110 < f < 50 М 110, 110 М 110

По планципу действия транзисторы делятся на биполярные (структуры p-n-p, n-p-n), однопереходные и полевые (содержащие канал и управляющий переход или изолированный затвор).

Однопереходиме транзисторы предлазначены для работы в генераторах периодических для работы в генераторах периодических (с частотой до 100 кГц) или однократных импульсов; да частности, е их. помощью моголочать управляющие импульсы для включения тиристоро. Спортивление между выводно баз однопереходных транзисторою зависит от тока управляющего эмитетомог опесахода.

На входной вольт-амперной характеристике однопереходных транзисторов имеется участок с отрицательным дифференциальным сопротивлением. При некотором напряжении на эмиттере происходит открывание транзистора и быстрое нарастание тока через базу.

На габаритных чергежах транзисторов приняты следующие обозначения выводов электродов: 6- база,  $\kappa-$  коллектор,  $\beta-$  эмитре;  $\beta-$  загвор,  $\mu-$  исток,  $\epsilon-$  сток. Буквой r обозначены маркировочные точки на корпусах гранзисторов, обозначающие эмиттер, буквой  $\phi-$  фланцы для крепления транзисторов к теплоотводам.

Обозывачения параметров биполирных транисторов дазгож в этом параграфс справочика по ОТСТ 2000—7 Н полевых по ГОСТ 1005—73: при этом нужно мнеть в иму, что строчим отчествующих режимем бозывого сигным в постоянного тока. Нарязу со станадартными обозывачениями в схобках приведени другие обозывачения параметров, в стремающихся и заучно-технеческой антиратуре. Егой нег секциального заучно-технеческой антиратуре. Егой нег секциального заучно-техпечения предоставления предоставления предоставления предоставления отчествуют стемературе окружениям среду сограстного сотоятестизуют стемературе окружениям среду сотоятестизуют стемературе окружениям среду сотоятестизуют стемературе окружениям среду сотоятестизуют стемературе окружениям среду сотоятестизуют стемературе окружениям среду сотоятестизуют стемературе окружениям среду сотоятестизуют стемературе окружениям среду сотоятестизуют стемературе окружениям среду сотоятестизуют стемературе окружениям среду сотоятестизуют стемературе окружениям среду сотоятестизуют стемературе окружениям среду сотоятестизуют стемературе окружениям среду сотоятестизуют стемературе окружениям среду сотоятестизуют стемературе окружения стемературе окружениям среду сотоятести стемературе окружениям стемературе окружениям стемературе окружениям стемературе окружениям стемературе окружениям стемературе окружениям стемературе окружениям стемературе окружениям стемературе окружениям стемературе окружениям стемературе окружениям стемературе окружениям стемературе окружениям стемературе окруже

## Предельно-допустимые эксплуатационные параметры

Предельные электрические и тепловые режимы работы транзисторов характеризуются максимально допустимыми напряжениями межлу электродами, токами через них, а также рассенваемой в приборе мощностью при данной температуре корпуса или окружающей среды. Превышение указанных максимально допустимых нагрузок приводит к резкому сокращению долговечности транзисторов. необратимому ухудшению параметров, а иногда и к немедленному отказу прибора. Следует также помнить, что аппаратура недостаточно надежна, если транзисторы работают при максимально допустимых напряжениях, токах, мощности, особенно, когда эти максимальные нагрузки действуют одновременно. Для того чтобы устройство на транзисторах действовало безотказно дливремя, при конструировании аппаратуры нужно выбирать типы транзисторов и их рабочие режимы так, чтобы напряжения, токи и мощность не превышали 0,7-0,8 их максимально допустимых значений. Совмешение максимальных нагрузок (например, тока и напряжения на коллекторе, тока и мощности) недопустимо.

Миссимально допустимая постоянная рассема моциость кольектора  $P_{\rm san}$  — наибольшая мощность, рассенявемая в транзистора притемпературе окружающей среды  $T_{\rm say}$  (иле). При работе транзистора в усмитель в режиме А или в стабильаторе напряжения значение  $P_{\rm cna.}$  (пределается как произведение постоянного напряжения между кольектором и эмитером на инстолний ток кольектора и эмитером на инстолний ток кольектора об режиме A—ток поков). Если транзистор работа в расмем перекопичения, то, кроме переходе, добальятется мощность, рассенявемая в базе, равняя произведенно напряжения между базой и эмитером на ток базой и эмитером на кожда образование предележения между базой и эмитером на ток базой и эмитером на ток базой и эмитером на ток базой и эмитером на ток базой и эмитером на ток базой и эмитером на ток базой и эмитером на ток базой и эмитером на ток базой и эмитером на ток базой.

Для мекоторых типов транзисторов устамоняем амксимальная мощисть, рассевавемая при заданной длительности инпульса. При повышения темпертуры среды лих корпуса эта мощность должна снижаться. Значение  $P_{\rm max}$ допустниме при заданной температуре корпус  $T_{\rm col}$  лии окружающей среды  $T_{\rm cop}$ , определяют по формузам

$$P_{\text{max}}(T_{\text{sop}}) = (T_{\text{nepmax}} - T_{\text{sop}})/R_{\text{fnep.sop}},$$
  
 $P_{\text{max}}(T_{\text{osp}}) = (T_{\text{nepmax}} - T_{\text{osp}})/R_{\text{fnep.osp}},$ 

где  $T_{\rm negmax}$  — максимально допустимая температура p- $\pi$ -перехода;  $R_{\rm trep,sop}$  — тепловое сопротивление переход-корпус;  $R_{\rm trep,sop}$  — тепловое сопротивление переход-окружающая среда.

В табл. 12.89 и 12.90 приведены тепловые сопротивления и рассеиваемые мощности для транзисторов ( $P_{max}^r$  — рассеиваемая мощность при монтаже на теплоотводе).

 $U_{KDmax}$ ;  $U_{KDmax}$ ;  $U_{SDmax}$ ;  $U_{SDmax}$ ;  $U_{SDmax}$ ;  $U_{SDmax}$ ;  $U_{SDmax}$ ;  $U_{SDmax}$ 

 Таблица 12.89. Тепловые параметры транзисторов малой мощности

Тип	pmar. [Pg max] (npw Tosp. °C), мВт	Rt nep - outp. *C/MBT, ne fonee	Trep max. °C	Рабочий диапазон температуры, °C
FT108A-FT108F FT109A-FT109M FT115A-FT115A FT125A-FT125F FT124A-FT124B FT125A-FT125A FT308A-FT308B FT311E, FT311W,	75 (20) 30 (20) 50 (45) 150 (25) 75 (25) 150 (25) 150 (20) [360] (20) 150 (20)	0,8 1,8 0,8 0,2 0,8 0,33 0,25	80 80 80 85 85 85 85 85	-40÷ +5i -30÷ +55i -20÷ +4i -40÷ +6i -40÷ +6i -60÷ +7i -40÷ +6i
ГТЗ11И ГТЗ13А-ГТЗ13Б ГТЗ21А-ГТЗ21Е	100 (20) 160 (20)	0,4 0,25	85 80	-40÷ +55
ГТ322A-ГТ322B ГТ328A-ГТ328B ГТ329A-ГТ329Г ГТ330Д, ГТ330Ж, ГТ330И	[200] (20) 50 (25) 50 (20) 20 (20) 50 (20)	0,7 0,7 — 1,0	60 80 80 80	-45÷ +51 -40+ +51 -40÷ +61 -40÷ +51
FT338A-FT338B FT341A-FT341B FT346A-FT346B FT362A-FT362B FT362A-FT362B FT383A-FT383B KT104A-KT104F KT117A-KT117F KT118A-KT118B KT201A-KT201J KT203A-KT203B	100 (20) 35 (20) 50 (25) 40 (20) 35 (20) 25 (25) 150 (20) 300 (35) 100 (25) 150 (20)	0,8 - 2,0 - 1,25 0,4 0,33 0,4 0,6 0,6	80 80 85 80 90 90 150 120 150 150	-40÷ +51 -40÷ +61 -45÷ +51 -40÷ +51 -40÷ +61 -60÷ +121 -60÷ +122 -55÷ +101 -60÷ +123
KT207A-KT207B KT208A-KT208M KT209A-KT209M KT301A-KT301Ж KT306A-KT306Д KT312A-KT312B	[60] (125) 15 (25) 200 (25) 200 (25) 150 (20) 150 (20) 225 (25) [450] (25) 300 (25)	 0,45 0,6 0,6 0,4	150 125 120 150 150	-45÷ +8 -45÷ +100 -45÷ +10 -55÷ +8 -60+ +12 -40÷ +8
KT313A-KT313B	300 (25) [1000] (25) [150 (20)	0,33	125	-40÷ +8
KT315A-KT315E KT316A-KT316B KT325A-KT325B KT326A-KT326B KT337A-KT337B KT339A-KT339D KT349A-KT340D KT342A-KT342B KT342A-KT342B	150 (20) 150 (20) 225 (20) 250 (20) 150 (60) 250 (55) 150 (20) 250 (25) 150 (20)	0,67 0,6 0,6 0,6 0,6 — — 0,5 0,5	150 150 150 150 175 120 150 150	-60÷ +10 -60÷ +12 -60÷ +12 -60÷ +12 -40÷ +8 -60÷ +15 -10÷ +8 -60÷ +12 -40÷ +8
KT345A-KT345B KT347A-KT347B KT349A-KT349B KT350A KT351A-KT351B KT352A-KT352B KT355A	100 (20) 150 (25) 200 (20) 200 (30) 200 (30) 200 (20)	1,1 0,5 0,6 0,6 0,6 0,6	150 150 .150 .150 150 150	-40÷ +8 -40÷ +8 -40÷ +8 -40÷ +8 -40÷ +8 -40÷ +8
К1355A КТ356A, КТ356Б КТ357A-КТ357Г КТ358A-КТ358В	225 (20) 100 (25) 100 (20) 100 (20)	0,7 0,7 0,7	150 150 120 120	-55÷ +12 -40÷ +8 -40÷ +8 -40÷ +8
KT361A-KT361K KT363A-KT363B KT367A KT368A-KT368B KT371A KT372A-KT372B	[200] (20) 150 (20) 150 (55) 150 (25) 225 (25) 100 50	0,67 0,7 — — — I	120 150 150 150 150 150	-60÷ +10 -40÷ +8 -60÷ +12 -60÷ +12 -60÷ +12 -60÷ +12
КТ372А-КТ372В КТ373А-КТ373Г КТ375А-КТ375Г	150 (55) 200 (25) [400] (25) 100 (25)	0,6 0,5	150 150 125	-60÷ +12 -60÷ +12 -40÷ +8

Продолжение табл. 12.89

Тип	pmax. [P <sub>s</sub> max] (πρε Ταφ. °C), мΒτ'	Rt nep - oup. "C/wBr, ne bonce	ο vem dön,	Рабочий дияпазон температуры, ° С
KT399A KT3107E	300 (25) 250 (25) 300 (25) 170 (25) 300 (25) 170 (25) 300 (25) 120 (25) 120 (25) 120 (25) 120 (25) 120 (25) 120 (25) 150	0,4 0,42 - - - - - - - - - - - - - - - - - - -	125 150 	$\begin{array}{c} -60 + 125 \\ -40 + 125 \\ -40 + 185 \\ -60 + 125 \\ -45 + 185 \\ -50 + 185 \\ -55 + 185 \\ -55 + 100 \\ -55 + 100 \\ -60 + 125 \\ -60 + 125 \\ -60 + 125 \\ -60 + 125 \\ -60 + 125 \\ -60 + 125 \\ -60 + 125 \\ -60 + 185 \\$

обозначениях параметров первая и вторая подстрочные буквы указывают, между какими выводами электролов транзисторов допустныю прикладывать напряжения с данными значения<sup>4</sup> им. Например, Сетом — мексимильно допустн

Для большинства билолярных транянсторов указывается маскимальное споротивление между базой и эмиттером Re, при котором долустимо данкое замачение  $U_{\rm kinin}$ , в отсутствие запирающего смещении и базе. Обычно для маломощими. Сестов обычно для маломощими. Сестов обычно для маломощими. Сестов обычно для маломощими. Сестов обычно для маломощими. Обычно для маломощими смещение подволяет умеличивать напражение (уж. піон во выше значения (уж. піон во выше значения (уж. пістоваения Re, вызывает необходимость синжать напряжение U<sub>15</sub>.

Максимально допустимые токи: К<sub>жез</sub>; Г<sub>зем</sub>; Т темя: Г<sub>сем</sub>: Ток базы регламентируется только для транзисторов большой и средней мощности. При работе в импульском режиме и в режиме переключения при засищения указанные в таблицах масимально допустиные импульсные токи электродов могу быть в статическом режиме.

Таблица 12.90. Тепловые параметры транзисторов средней и большой мощности

Tun	Р <sub>шах</sub> , Вт (при Т <sub>окр</sub> , *C)	Рт Вт (при Ткор. °С)	(R <sub>1 nep. sop.</sub> (C/Br	Tuepman.	Рабочий диапазон температуры, °С
T1404 A T14021 T1404 A T1405 T1404 T1405 T1404 T1405 T1704 T1705 T	0.6 (25) 0.6 (25) 0.6 (25) 1.6 (25) 2 (25) 0.75 (25) 1.75 (25) 1.25 (25) 0.25 (25) 0.35 (25) 0.35 (25) 0.45 (25) 0.5 (25) 0.5 (25) 0.5 (25) 0.75 (25)	2(55) 2(125) 4(125) 2(165) 4(125) 26(165) 83(140) 15(125) 36(125) 36(125) 6(130) 0.5 0.5 0.5 0.5 1(25) 3(125) 3(125) 1(25) 1(25) 1(25) 1(25) 1(25) 1(25) 1(25) 1(25) 1(25)	50(100) 100(150) 1100(150) 15 1.2 3 (300) 3 (300) 3 (300) 2 (5 (500)	85 85 85 85 85 85 85 85 85 85 85 85 85 8	-00+ -05 -00
KT640A-KT640Γ	0,6	-		150	-60+ +J25

Окончание табл. 12.90

Тип	Р <sub>шах</sub> . Вт (при Т <sub>окр</sub> . °С)	Рт Вт (при Твор. °С)	R/пер кор (R/пер окр). °C/Вт	Tuep max.	Рабочни диапазон температуры, °С
KT944A KT841F KT944A KT841F KT944A KT848F KT954A KT818F	1	1.15(00) 1.15(00) 1.15(00) 1.15(00) 1.15(00) 1.15(10) 1.1	5 5 3 3 3 3 3 3 3 3 3 3 3 3 3 3 3 3 3 3	150   150	

11 р и м е ч а в и е. Некоторые транзисторы имеют в обозначении дополнительную букву М, например. КТ604АМ, КТ630БМ Этя транзисторы выпускаются в пластмассовых корпусах, но имеют те же параметры, что и транзисторы без до полнительной буквы в обозначении и выпускаемые в металлостеклянных корпусах.

## Параметры постоянного тока

Параметры постоянного тока характеризуют значения неуправляемых токов через р-п переходы транзисторов.

Обратный ток коллектора Ікво - ток через коллекторный переход при заданном обратном напряжении коллектор — база и разомкнутом выводе эмиттера.

Обратный ток коллектор - эмиттер Ікжо ток в цепи коллектор - эмиттер при заданном обратном напряжении коллектор — эмиттер

и разомкнутом выводе базы. Обратный ток коллектор — эмиттер I<sub>КЭВ</sub> — то

же, при включении между базой и эмиттером. резистора с заданным сопротивлением.

Обратный ток эмиттера I эко — ток через эмиттерный переход при заданном обратном напряжении эмиттер - база и разомкнутом выводе коллектора.

Ток утечки затвора полевого транзистора I<sub>3.1</sub> — ток затвора при заданном напряжении между затвором и остальными выводами, замкнутыми между собой. Для полевых транзисторов с p-n переходом 13 г составляет обычно несколько наноампер, а для транзисторов с изолированным затвором -- несколько пикоампер.

Неуправляемые токи  $I_{\rm KBO}$ ; I350; I830;  $I_{K3R}$ ;  $I_{3,\gamma\tau}$  — растут с увеличением температуры. В таблицах указаны максимально допустимые токи, при которых транзисторы считают исправтранзистора, тем лучше его качество.

Начальный ток стока Існич - ток стока при напряжении между затвором и истоком, равным нулю, и при напряжении на стоке, равном или превышающем напряжение насышения.

Ток включения однопереходного транзистора I<sub>вка</sub> — эмиттерный ток, при котором происхо-

дит включение.

Ток выключения однопереходного транзистора  $I_{\rm BMAR}$  — наименьший эмиттерный ток, при котором сохраняется открытое состояние.

Напряжение отсейки U<sub>Закат</sub> напряжение между запором и истоком полеопот правляють а том помежду запором и истоком полеопот правляють а том помежду запором работающего в режиме обеденения, ври остоко по стока достигает заданного низкого значения. В полеовых тразилегоры с так назагом индуинрованным каналом (например, КПЗОВ) ток в цепи стока повявляется янальной при образовании канала при некотором пороговом напряжении на затююе.

Межбазовое напряжение однопереходного транзистора  $U_{\rm B182}$  — напряжение между базовыми выводами. Межбазовое сопротивление одногореходного транзистора  $R_{\rm B182}$  — сопротивление между базовыми выводами при токе эмиттера, равном нулко.

# Параметры в режиме большого сигнала

Параметры в режиме большого сигнала характеризуют работу транзисторов в мощных каскадах усиления и в переключателях.

Статический коэффициент передачи тока в схеме ОЭ  $h_{219}$  — отношение постоянного тока коллектора к постоянному току базы. В таблицах  $h_{219}$  указан для заданного постоянного напряжения  $U_{8-9}$  и тока  $I_8$ .

Hапряжение насъщения база — эмиттер H вингера транзистора в режиме насъщения при заданных токах базы и коллектора. Насъщение — состояние транзистора, при котором оба его p-n перехода находятся в прямом включении.

Напряжение насыщения коллектор — эмиттер  $U_{\rm K9wsc}$  — измеряется в тех же режимах, что и  $U_{\rm B9wsc}$  .

Транзистор выводится из насмиенного состоя имя при подаче в базу запирающего тока. Инерционность выключения транзистора (уменьшене тока кольсктора / уменьшене тока кольсктора / уменьшене тока кольсктора / уменьшене тока кольскора / уменьшене /

# Параметры в режиме малого сигнала

Параметры транзисторов, работающих в режиме малого сигнала, используют при расчетах усилительных каскадов, выходные напряжения которых существенно меньше напряжения источников питания, а также при расчете стабилизаторов напряжения и транзисторных фильтиов.

Коэффициент передачи тока h<sub>21</sub> — отношение изменения выходного тока к вызвавшему

его въвенению входного тока в режиме короткого замикании по перененюму току на възсе. В зависимости от секим видочения к цифровым индексам добалиятся буквенийй (пр. 16 км) об фициент передачи тока в скеме ОБ; Виз кожфърницент передачи тока в скеме ОБ; Осотнощения между кожфициентами передачи тока:

$$h_{21a} = -h_{216}/(1 + h_{216}); h_{216} = -h_{21a}/(h_{21a} + 1).$$

Кожффициенты передачи тока измеряют, как правило, на частотах 50-1000 Гц; на  $80^{\circ}$  эти правило, на частотах 50-1000 Гц; на  $80^{\circ}$  эти параметры становятся комілексными величинами Усилительные свойства транымстором на высокой частоте характеризуются модилем кохффициента передачи тока  $16_{120}$ . В Таблицах указанна значениям  $H_{120}$  и  $I_{120}$  до тотевстетвующие установленным значениям  $H_{220}$  и  $I_{120}$  ( $I_{200}$   $I_{200}$ 

Входоле сопротивление  $h_{11}$ — отношение изменения входного напряжения к вызавшему его изменению входного тока в режиме короткого замыжания по переменному току на выходе. В зависимости от схемы включения транзистора входное сопротивление обозначается  $h_{11}$ , в при этом

$$h_{119} \approx h_{116}h_{219}$$
.

Выходная проводимосто  $h_{22}$  — отношение изменения выходного кома к вызаващему его изменению выходного кома к вызаващему его изменению выходного напряжения в реживе холостого хода на вколостного хода на включении транзистора по схеме ОБ выходная проводимость мость обозывачается  $h_{220}$  выходная проводимость  $h_{220}$ — параметр, вналогичный  $h_{220}$ , но при выхлючении транзистора по схеме ОЭ

$$h_{22}$$
,  $\approx h_{225}h_{21}$ ,.

Кругиана характеристики полевого транзистора 5 — отношение, тока стока к изменению напряжения на затворе при коротком замыкании по переменному току на выходе транзистора в схеме ОИ.

Крутизна характеристики обычного (биполярного) транзистора  $S=1000/h_{116}$ , мА/В. Eмкость коллекторного перехода  $C_{\kappa}$  — емкость между выводами коллектора и базы при отключенном эмиттере и обратимо комещения

(несколько вольт) на коллекторе. При увеличении обратного напряжения емкость уменьшается. Емкость эмиттерного перехода С., — емкость между выводами эмиттера и базы при отключенном коллекторе и обратном (или нулевом) смещении на эмиттере. При повышении на

напряжения значение  $C_s$  также уменьшается. Постоянная времени цепи обратной связи на высокой частоте биполярного траняистора  $\tau_s = (r_6C_a)$  — произведение омического сопротивления базы на активную емость коллекторного перехода: вывожаются в пикосекунать

Входная емкость полевого транзистора  $C_{11\kappa}$  — емкость между затвором и соединенными вместе истоком и стоком.

 $\Pi poxodная$  емкость полевого транзистора  $C_{12n}$  — емкость между стоком и затвором.

Эта емкость вызывает появление обратной связи между выходом и входом усилителя на полевом транзисторе.

### Частотные параметры

Предельная частота козфициента передача тока биполярного транзиетора 1<sub>п</sub>, — частота, на которой модуль коэффициента передачи пок аучентащется на 3 дв. т. е. до 0.7 венита по сравнению се инакомастотным значением при выпочении транзистора по сожео ОЗ при выпочении транзистора по сожео ОЗ 1<sub>212</sub>, . Предельная частота <sub>1</sub> 2<sub>12</sub>, примеряю в h<sub>111</sub> раз ниже частоты <sub>1,212</sub> примеряю в h<sub>111</sub> раз ниже частоты <sub>1,212</sub>. Грамичмая частота колффициента передачи тока базы в схеме ОЭ  $f_1$ , частота, на котом модуль колффициента передачи тока транзистора, выключенного по схеме ОЭ, равен единице. Для любой частоты диапазова 0.1  $f_1$ ,  $e_2$  <  $f_2$  <  $f_3$  < долученного модуль колффициента передачи тока зывеняет-модуль колффициента передачи тока зывеняет-можение частоты в 2 разв. Модуль колффициента передачи тока:  $h_{21} = f_{22} f_3$ .

Для транзистора имеют место следующие соотношения:

юшения:  

$$\int_{h21s} \approx \int_{h216}/h_{21s}; \, f_{h216} \approx 1,2f_{re};$$

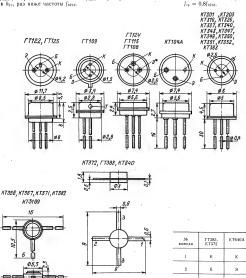
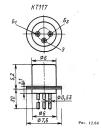
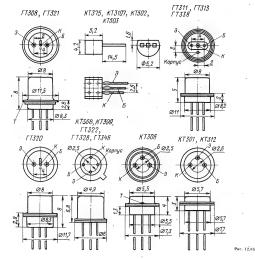
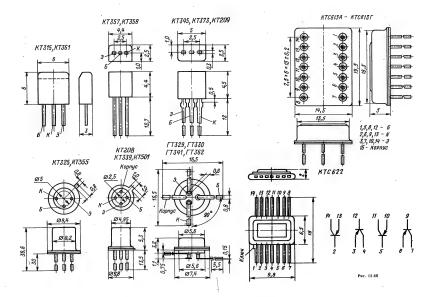


Рис. 12.63







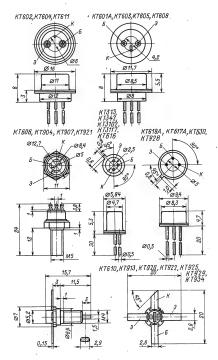
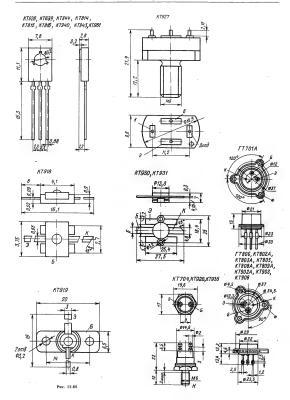


Рис. 12.67





коллектор

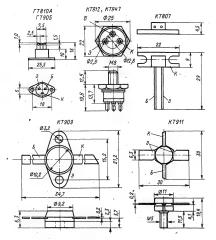
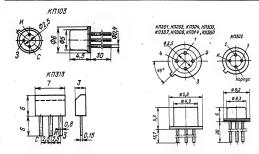


Рис. 12.69



Тип		Назна	чение вывода	
	1	2	3	4
K11301	3	С	K	И
K11303	С	3	K	и
K11304	И	С	K	3
K11305	32	31	и-и-к	С
K11306	3	и	K	С
K11350	32	31	и-п-к	С

Рис. 12.70

Максимальная частота генерации  $f_{\rm max}$ —наибольшая частота, на которой транзистор способен генерировать колебанки в автогенераторе при оптимальной обратной связи:  $f_{\rm max} \approx 200 \sqrt{f_{\rm pf}/\tau} \tau_{\rm x}$ .

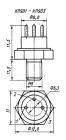
Во всех этих формулах частоты выражены в ме-

гагерцах, а т, — в ликосекундах (Ом, пФ). Граничная частота полевого транзистора частота, при которой коэффициент усиления по мощности усилительного каскада превышает единицу, определяется крутизной и входной м

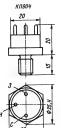
емкостью транэнстора:  $\int \approx S/(2\pi C_{10})$ . Параметры транзисторов (рис. 12.63—12.71) приведены в табл. 12.91—12.100. В табл. 12.101 даны параметры полевых транзисторов с двумя отдельными заолнорованными затво-

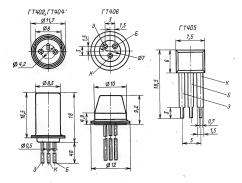
рами. Ток стока в таких транзисторах зависит от напряжений на обоих затворах. Эти гранзисторы могут использоваться, например, в качестве смесителей частот, в цепях совпадений и других устройствах.

Транзисторы ГТЗ28 предлазначены для применения в усиантельных каседах с АРУ приняков и телевизоров. Особенностью этих транзисторов является то, что их предельня часто синжается с увеличением коллекториого тока (200. МГц при 2 мА и 90 МГц при 10 м 100. МГц при 2 мА и 90 МГц при 10 м частоте транзистора также синжается при частоте транзистора также синжается при стока, касказа.



Tan	Назн	Назначение вывода					
	1	2 .	3				
K11901	С	3	, и				
K11902	С	3	И				
K11903	и	С	3				





Pac. 12.71

			•			
Тип	UKB max. B	I <sub>К тах</sub> , [I <sub>K, н тах</sub> ,] мА	h <sub>213</sub> , (при U <sub>K3</sub> , B; I <sub>3</sub> , мА)	f <sub>A216</sub> , МГи, не менее	/ <sub>КБО</sub> , мкА, не более	С <sub>к</sub> , пФ, не более
			p-n-p			
TT108A TT108B TT108B TT108B TT108B TT109B TT	10, [18] 10 [18] 10 [18] 10 [18] 10 [18] 10 [18] 10 [10 [10 [18] 10 [10 [18] 10 [10 [18] 10 [10 [18] 1	50 50 50 50 20 20 20 20 20 20 20 20 20 2	20—50 (5; 1) 20—50 (5; 1) 20—50 (5; 1) 20—50 (5; 1) 20—50 (5; 1) 20—50 (5; 1) 20—50 (5; 1) 20—50 (5; 1) 20—50 (5; 1) 20—60 (5; 1) 20—70 (12; 0, 1) 20—70 (12; 0, 1) 20—60 (1; 2) 20—60 (1; 2) 20—60 (1; 2) 20—60 (1; 2) 20—60 (1; 2) 20—60 (1; 2) 20—60 (1; 2) 20—60 (1; 2) 20—60 (1; 2) 20—60 (1; 2) 20—60 (1; 2) 20—60 (1; 2) 20—60 (1; 2) 20—60 (1; 2) 20—60 (1; 2) 20—60 (2;	0.5 1.0 1.0 1.0 1.0 1.0 1.0 1.0 1.0 1.0 1.0	10 10 10 10 10 5 5 5 5 5 2 2 1,0 40 40 40 40 40 40 5 5 5 5 5 5 5 5 5 5	50 50 50 30 30 30 30 40 40 40 
			n-p-n			
FT122A FT122B FT122B FT122F	35 20 20 20 20	20 20 20 20 20	15-45 (5; 1) 15-45 (5; 1) 30-60 (5; 1) 40-100 (5; 1)	=	20 20 20 20 20	= .

Примечание. Обратиме токи  $I_{KBO}$  измеряют: у транзисторов ГТ109Д, ГТ109Е при  $U_{KB}=1.2$  В; у ГТ108А-ГТ108Г, ГТ109А, ГТ109Г, ГТ109И, ГТ122А-ГТ122Г при  $U_{KB}=5$  В, у ГТ124А-ГТ124В при  $U_{KB}=15$  В.

Табляца 12.92. Транзисторы малой мощности среднечастотные

Тип .	U <sub>K5 max</sub> . [U <sub>K5, 8 max</sub> ], B	U <sub>КЭ тах</sub> , {U <sub>КЭ, н тах</sub> }, В	I <sub>K max</sub> , [I <sub>K, и mux</sub> ], йА	h <sub>219</sub> , [h <sub>21s</sub> ] (при U <sub>K</sub> 9, В; I <sub>K</sub> , мА)	/л/2/6, [/гр]. МГш, не менее	С <sub>к.</sub> пФ не более
			p-n-p			
КТ104A КТ104B КТ104P КТ104P КТ203A КТ203A КТ203A КТ208A КТ208B КТ208B КТ208B КТ208B КТ208B КТ208B КТ208B КТ208B КТ208C КТ208C КТ208C КТ208C КТ208W КТ208W КТ208W КТ208W КТ208W КТ208W	30 15 15 30 60 30 15 20 20 20 30 30 30 45 45 45	30 15 30 60 30 15 20 20 20 30 30 30 45 45 45	50 50 50 50 10; [50] 10; [50] 150; [300] 150; [300] 150; [300] 150; [300] 150; [300] 150; [300] 150; [300]	40-120 (1: 30)	5 5 5 5 5 5 5 5 5 5 5 5 5 5 5 5 5 5 5 5	50 50 50 50 10 10 10 

Окончание таблицы 12.92

Tein	UKB max.	. В [U кэ max.	, B [/ <sub>K, z max</sub>	х), мА	h2jэ, [h2jэ] (при U <sub>K</sub> э, В; / <sub>K</sub> , мА)	ј <sub>в2/6-</sub> МГц, в	[f <sub>rp</sub> ].	С <sub>к</sub> , п	
								d	
КТ208М КТ209Б КТ209Б КТ209В КТ209В КТ209П КТ209Д КТ209Ж КТ209И КТ209И КТ209И КТ209И КТ209И КТ209Л КТ209М	60 15 15 15 30 30 30 45 45 45 60 60	60 15 15 15 30 30 30 45 45 45 60	150; 300; 300; 300; 300; 300; 300; 300; 3	[300] [500] [500] [500] [500] [500] [500] [500] [500] [500] [500]	$\begin{array}{c} 40-120 \ (1;\ 30) \\ 20-60 \ (1;\ 30) \\ 40-120 \ (1;\ 30) \\ 40-120 \ (1;\ 30) \\ 20-60 \ (1;\ 30) \\ 40-120 \ (1;\ 30) \\ 40-120 \ (1;\ 30) \\ 80-240 \ (1;\ 30) \\ 80-240 \ (1;\ 30) \\ 40-120 \ (1;\ 30) \\ 40-120 \ (1;\ 30) \\ \end{array}$		5	50 50 50 50 50 50 50 50 50 50	
	1	'	,	'		'		'	t
			, n-,	p-n·					
КТ201А КТ201Б КТ201В КТ201Г КТ201Д	20 20 10 10 10	[20] [20] [10] [10]	20; 20; 20; 20; 20; 20;	[100] [100] [100] [100]	[20-60], (1; 5) [30-90], (1; 5) [30-90], (1; 5) [70-210], (1; 5) [30-90], (1; 5)		0	20 20 20 20 20 20	
Примеча	вия. 1. Для	KT209A-KT209M	I <sub>КБО</sub> не оговој	оен; для	KT207A-KT207B /	кво<50 мк	А; для	остальных	типо

траничествов I<sub>KБО</sub><1 мкА при U<sub>KБ</sub>=U<sub>KБ max</sub>. 2. Для КТ104А-КТ104Г С₂<10 пФ.

Таблица 12.93. Транзисторы малой мощности высокочастотные

Тип	ÚКБ шах- [ UКБ, н щах], В	UK30 may. (UK30, a max).	/Ктах. [/К, к тах]. мА	А219 (при UкБ. В.	frp, МГа, не ненее	. Икво, икА, не более	Ск. [С,], пФ, не болег	Th. IIC, He Gonec
				p-n-p	-	,		
FT306A  FT321 A FT321 B FT321 B FT321 B FT321 F FT322 C FT322 B FT321 F FT322 A FT322 A FT322 B FT321 C FT322 B FT321 C FT322 B FT321 S FT322 B FT322 B FT322 B FT323 B FT331 S FT331	20, [30] 20, [30] 20, [30] 60 60 60 45 445 25 26 60 60 20 20 20 20 20 20 20 20 20 20 20 20 20	20, (12) 20, (12) 20, (12) 20, (12) 20, (12) 20, (12) 20, (12) 20, (12) 20, (12) 20, (13) 21, (14) 21, (15) 22, (15) 23, (16) 24, (17) 25, (18) 26, (18) 27, (18) 28, (18) 29, (18) 20, (18) 20, (18) 20, (18) 21, (18) 22, (18) 23, (18) 24, (18) 25, (18) 26, (18) 26, (18) 27, (18) 28, (18) 29, (18) 20,	50, [129] 50, [120] 50, [120] 50, [120] 50, [120] 50, [200] 20, [2000] 20, [2000] 20, [2000] 20, [2000] 20, [2000] 400 400 400 400 40 40 40 40 50, [150] 50, [150] 50, [150] 50, [150] 50, [150] 50, [150] 50, [150]	26—75 (1.1%) 36—200 (1.1%) 36—200 (1.1%) 36—200 (1.1%) 36—200 (1.1%) 36—200 (1.1%) 36—200 (1.1%) 36—300 (1.1%) 36—	90 120 60 60 60 60 60 80 80 200 200 200 200 200 300 300 300 300 30	5 5 5 5 5 5 5 5 5 5 5 5 5 5 5 5 5 5 5	8. [25] 8. [25] 8. [25] 80. [600] 80. [600] 80. [600] 80. [600] 80. [600] 11. [25] 12. [27] 13. [30] 14. [30] 15. [30] 16. [30] 17. [10] 17. [10] 17. [10] 17. [10] 17. [10] 17. [10] 17. [10] 17. [10] 17. [10] 17. [10]	400   400   400   400   400   400   400   600   600   600   600   600   120

# Продолжение табл. 12.93

Ţяп	UKEmax. [UKE, s max]. B	Uкэонах. (Uкэон max). [Uкэк, и max]. В	Ikmax [Ik, n miz], MA	h <sub>219</sub> (при U <sub>KБ</sub> , В, I <sub>Э</sub> , мА)	Ігр, МГц, не менее	ИКВО, МКА, не болес	Ск. [Сз], пФ. не балее	T <sub>S</sub> , EC, Ne Goârce
КТ375A КТ375Б КТ3107A КТ3107B КТ3107F КТ3107F КТ3107Д КТ3107E КТ3107H КТ3107H КТ3107H	50 50 50 30 30 30 30 25 25 50 30 25	60 30 45 45 25 25 20 20 20 20 20 25 25 20	>100 >200 100, [200] 100, [200] 100, [200] 100, [200] 100, [200] 100, [200] 100, [200] 100, [200] 100, [200]	10—100 (2: 20) 50—280 (2: 2) 70—140 (5: 2) 70—140 (5: 2) 70—20 (6: 2) 70—220 (5: 2) 180—460 (5: 2) 180—460 (5: 2) 380—800 (5: 2) 380—800 (5: 2)	250 250 200 200 200 200 200 200 200 200	1 0,1 0,1 0,1 0,1 0,1 0,1 0,1 0,1 0,1		300
				n-p-n				
KT901 A KT901 B KT901 B KT901 B KT901 B KT901 E KT901	30 30 30 30 20 20 20 30 20 30 20 30 20 30 30 30 30 30 30 30 30 30 3	20 20 20 20 20 20 20 20 20 20 20 20 20 2	100 100 100 100 100 100 100 100 100 100	46—150 (10. 3) 46—150 (10. 3)	200 200 200 300 300 300 800 800 1200 2270 2270 2250 2250 2350 3000 3000 3000 3000 300	100 100 100 100 100 100 101 1 1 1 1 1 1	10, [80] 10, [80] 10, [80] 10, [80] 10, [80] 10, [80] 10, [80] 10, [80] 10, [80] 10, [80] 10, [80] 10, [80] 10, [80] 10, [80] 10, [80] 10, [80] 10, [80]	4500 4500 4500 2000 2000 2000 500 500 500 500 500 600 1000 100 500 1000 10

Примечание. Значения Луко указаны при Икв по-

Таблица 12.94. Транзисторы малой мощности сверхвысокочастотные

Тип	UKBman [UKBxmax], B	<i>U</i> КЭ max. ( <i>U</i> КЭК <sub>max</sub> ). ( <i>U</i> КЭ, и mad). В	/K maso [/K, amas], MA	h <sub>219</sub> (при U <sub>K3</sub> , В; I <sub>3</sub> , мА)	frp, МГп, не испее	I <sub>КВО,</sub> мкА, не более	Ск. [С"], пФ, не более	тк, пс, не более
				p-n-p				
T7313A T7313A T7313B T7313B T7313B T732B T732B T732B T732B T734B T	15 15 15 15 15 15 15 15 15 15 15 15 15 1	(12) (12) (12) (13) (15) (15) (15) (15) (15) (15) (15) (15	30 30 30 30 30 30 30 10 10 10 10 10 10 10 10 10 50 50 50 50 50 50 50 50 50 5	202—250(5: 5) 202—250(6: 3) 202—250(6: 3) 202—250(6: 3) 202—250(6: 3) 202—250(6: 3) 203—250(6: 3) 203—250(6: 3) 203—250(6: 3) 204—250(6: 3) 205—250(6: 3) 20	300-1000 350-1000 350-1000 350-1000 300 300 300 550 550 1500 400 400 300 300 300 300 300 300 300 3	5 5 5 10 0 110 110 110 110 110 110 110 1	2.5, [14] 2.5, [14] 2.5, [14] 3.5, [14] 1.5, [25] 1.5, [25] 1.3, [	75 40 75 51 10 10 3 5.5 6 450 450 50 75 6 10 10
FT311E FT311M FT329A FT329A FT329B FT329B FT329B FT329B FT339B FT339B FT3341B FT341B F	12; 20 10; 20 10; 20 10; 20 10; 20 10; 20 10; 20 10; 20 10 5 5 5 5 5 5 5 5 15 15 15 15 15 15 15 15	(12) (12) (12) (10) 10,(5) 10,(5) 10,(5) 10,(5) 10,(5) 10,(5) 10,(5) 10,(5) 10,(6) 10,(6) 10,(7) 10,	50 50 50 50 20 20 20 20 20 10 10 10 10 10 30 30 30 30 30 30 30 60 60	n-ρ-π 15-80(3, 15) 50-20(3, 15) 50-20(3, 15) 50-20(3, 15) 50-30(3, 15) 10-30(3, 15) 11-3-30(5, 2) 11-3-30(5, 2) 30-40(5, 2)	250 300 450 11200 11200 1000 1000 1000 1500 1500	\$ 5 5 5 5 5 5 5 5 5 5 5 5 5 5 5 5 5 5 5	2.5, [5] 2.5, [5] 2.5, [5] 2.5, [5] 3. [3.6] 3. [3.6] 3. [5] 3. [5] 3. [5] 3. [5] 1. [2] 1. [	75 100 100 100 100 100 100 200 200 30 30 10 10 10 10 20 150 125 125 125

Продолжение табл. 12.94

Тип		UKЭ max. (UKЭR, max). (UKЭ, и max) В	/қ. max. [/қ. н max]. м.А	(при <i>U</i> <sub>KЭ</sub> , В; <i>I</i> <sub>Э</sub> , мА)	frp. МГц, не менсе	ІКБО, мкА, не более	Ск. [С₃],пФ, не более	ть, пс, не более
KT339A KT339B KT339F KT339F KT339F KT356A KT356A KT356A KT366A KT368A KT368A KT368A KT368A KT368A KT399A	40 25 40 40 40 15 10 10 15 15 15 15	25.[40] 12.[25] 25.[40] 25.[40] 25.[40] (10) (10) (10) (15) (15) (15) (15)	25 25 25 25 25 60 40 40 20, [40] 30, [60] 20, [40] 20, [40]	>25(10: 7) >15(10: 7) >25(10: 7) >40(10: 7) >15(10: 7) 80—300(5: 10) 80—320(5: 10) 80—320(5: 10) 80—300(5: 10) 80—300(5: 10) 80—30(15: 10) 80—30(15: 10) 80—30(15: 10) 80—30(15: 10) 80—30(15: 10) 80—30(15: 10) 80—30(15: 10) 80—30(15: 10)	300 250 450 250 250 1500 1600 1600 1500 900 900 1800 1800	1 1 1 0,5 0,5 0,5 0,5 0,5 0,5 0,5 0,5 0,5	2 2 2 2 2 1,[1,5] 1,5,{2,7} 1,7,{31} 2,[2,5] 1,7,[3]	25 25 50 100 150 — — — — — — 8

Примечание. Значение /<sub>КБО</sub> указаны при U<sub>КБена</sub>

Таблица 12.95. Транзисторы средней мощности среднечастотные

Тип	UKBO, max, [UKBA, max],	UKB maaa	IA, max. IAR, umaxl.	$h_{21:9}$ (при $U_{K6}$ В, $I_{K}$ м $\lambda$ )	/6216. [/6215]. MFu, ssc wese	Iдбо, мкА, не более	UKS wac. [UEs area] (nps 4g, 4g, wA). B, ne fooree
				-n-p			
T7402A T7402B T7402B T7402B T7402B T7405A T7405B T7405B T7405B T7405B T7405B T7405B T7405C T7	25 25 40 20 25 25 40 40 40 (25) (15)		0.5 0.5 0.5 0.5 0.5 0.5 0.5 0.5 0.5 0.5	30—80(1: 3) 30—80(1: 3) 30—80(1: 3) 30—80(1: 3) 30—80(1: 3) 30—80(1: 3) 30—80(1: 3) 30—80(1: 3) 30—80(1: 3) 30—80(1: 3) 30—80(1: 3) 30—80(1: 3) 30—80(1: 3) 30—80(1: 3) 30—80(1: 3) 30—80(1: 3) 40—120(1: 3) 40—20(1: 3) 40—20(1: 3) 40—20(1: 3) 40—20(1: 3) 40—20(1: 3) 40—20(1: 3) 40—20(1: 3) 40—20(1: 3) 40—20(1: 3) 40—20(1: 3) 40—20(1: 3) 40—20(1: 3) 40—20(1: 3) 40—20(1: 3) 40—20(1: 3)	1,0 1,0 1,0 1,0	20 20 20 20 25 25 25 25 25 	

Окончание таблицы 12.95

Тив	UK30, mar. [UK38, max],	UkB max	/k. max. UK. n. maxli,	h 21.3 (npu UKE, B, ίκ, μλ).	/4216. [/A215]. МГц. не менее	Икво, мкА, не более	UKЗ вас.   US з якс.   (при K; Us, мA), В, не более
				n-p-n			•
FT404 A FT404 B FT404 B FT404 F KT503 A KT503 B KT503 F KT503 F KT503 F KT503 E	[25] [25] [40] [40] [25] 25] 40] 60] 60]	40 40 40 60 60 80 100	0.5 0.5 0.5 0.5 0.3 [0.5] 0.3 [0.6] 0.3 [0.6] 0.3 [0.6] 0.3 [0.6] 0.3 [0.6]	30-80(1, 3) 60-150(1; 3) 30-80(1; 3) 60-150(1; 7) 40-120(5; 10) 40-120(5; 10) 40-120(5; 10) 40-120(5; 10) 40-120(5; 10) KTS02A-KTS02E × KT	5 5 5 5 5 5 5	25 25 35 25 — — — —	0.6, [1,2] (100; 5) 0.6, [1,2] (100; 5)

11 рям ечания. 1. Для приборов КТ301А-КТ501М, КТ502А-КТ502E и КТ503А-КТ503E в графе /ж216[1621∗] приводится Значения параметра [гр-2. Злачения [кg60 указаяы при ИкБшаь:

Таблица 12.96. Транзисторы средней мощности высокочастотные

Тип	UK3 maxi. B	UKBeras,	[J <sub>K</sub> × max]. A	A <sub>219</sub> (при U <sub>KB</sub> , В;	Гур. МГи, пе менее	Икво. [Икэо], мА, не болес	Ugsug- [Ugs usc] (npg Ig. A). B. us Goace	Ск. [Сs]. пФ. не более	TK, DC. He SORER
				p-n-p					
KT626A KT626B KT626B KT626C KT626C KT639A KT639B KT639B KT639C KT639C KT644A KT644A KT644B KT644B	45 60 80 20 20 45 45 45 60 60 60 60 60	45 60 80 20 20 45 45 45 45 60 60	0.5, [1.5] 0.5, [1.5] 0.5, [1.5] 0.5, [1.5] 0.5, [1.5] 1.5, [2] 1.5, [2] 1.5, [2] 1.5, [2] 0.6, [1] 0.6, [1] 0.6, [1]	. 15-250(2, 0,15) . 30-100(2; 0,15) . 15-45(2; 0,15) . 15-45(2; 0,15) . 40-250(2; 0,15) . 40-100(2; 0,15) . 63-160(2; 0,15) . 40-100(2; 0,15) . 40-100(2; 0,15) . 63-120(2; 0,15) . 40-100(2; 0,15) . 40-100(2; 0,15) . 40-100(10; 0,15) . 40-100(10; 0,15) . 40-100(10; 0,15) . 40-120(10; 0,15) . 40-120(10; 0,15) . 40-120(10; 0,15) . 40-120(10; 0,15) . 40-120(10; 0,15)	75 75 45 45 45 80 80 80 80 80 200 200 200 200	0.01 0.15 0.15 0.15 0.15 0.000 0.0001 0.0001 0.0001 0.0001 0.0001 0.0001 0.0001	1	150 150 150 150 150 50, [50] 50, [50] 50, [50] 8, [50] 8, [50] 8, [50] 8, [50]	500 500 500 500 500 180 180 180 180 180 180 180
				n-p-n					
KT601A KT602A KT602B KT602B KT602B KT603A KT603B KT603B KT603C KT603C KT603C KT603C KT604A KT604A KT604A KT605B	100 100 100 70 70 30 30 15 15 10 10 250 250 250 250	100 120, [160] 120, [160] 80 80 30 30 15 15 10 30 30 30 30 30 30 30 30 30	0,03 0,075, [0,5] 0,075, [0,5] 0,075, [0,5] 0,075, [0,5] 0,075, [0,5] 0,3, [0,6] 0,3, [0,6] 0,2, [0,2] [0,2]	• 16(20; 0,01) 20—80(10; 0,01) 50(10; 0,01) 150(10; 0,01) 10—80(2; 0,15) 60(2; 0,15) 10—80(2; 0,15) 10—80(2; 0,15) 10—80(2; 0,15) 10—80(2; 0,15) 10—80(40; 0,02) 10—40(40; 0,02)	40 150 150 150 150 200 200 200 200 200 200 40 40 40	[0.5] 0.07 [0.5] 0.07 [0.5] 0.07 [0.5] 0.07 [0.5] 0.01 0.01 0.005 0.001 0.001 0.001 0.001 0.001 0.001 0.005 0.001 0.01 0.01 0.05 0.01	(3,3) (0,05) (3,3) (0,05) (3,3) (0,05) (3,3) (0,05) (1,15) (0,15) (1,15) (0,	15 4, [25] 4, [25] 4, [25] 15, [40] 15, [40] 15, [40] 15, [40] 15, [40] 7, [50] 7, [50] 7, [50] 7, [50]	600 300 300 300 300 400 400 400 400 400 ——————————

Окончание табл. 12.96

							O HOIGH	1407	
Ten	UKSmar. 1 [UKS. mmad. B	UKE max.	I'K, n maxl. A	А213 (при Uкв. В;	гр. МГи, не женее	Икво. (Икэо), мА, не более	UKSmer. [UßSzesc] (nps /k,A),B, ne Godee	Ск. [С <sub>3</sub> ], пФ, не более	тк, ис, не более
KT606A KT6Q65 KT6085 KT6085 KT610A KT610A KT611B KT611B KT611B KT611B KT611B KT611B KT616A KT616A KT616A KT616A KT616A KT630A KT630B KT630B KT630B KT630B KT630B KT630B	60 60, [80] 60, [80] 60, [80] 20 20 180 180 150 150 20 20 20 20 21 20 20 20 20 20 20 60 60 60 60	60 60, [80] 60, [80] 20 20 200 200 180 20 180 20 300 120 120 150 60 60	0.4, [0.8] 0.4, [0.8] 0.4, [0.8] 0.4, [0.8] 0.4, [0.8] 0.3, [0.3] 0.1, [0.1] 0.1, [0.1] 0.4, [0.6] 0.4, [0.6] 0.4, [0.6] 0.1, [2] 1, [2] 1, [2] 1, [2] 1, [2] 1, [2]	20-80(5: 0.2) 40-160(5: 0.2) 50-300(10: 0.15) 10-40(10: 0.15) 10-40(40: 0.02) 10-40(40: 0.02) 30-120(40: 0.02) 40(1: 0.5) 28(1: 0.5) 28(1: 0.5) 40(1: 0.5) 40(1: 0.10) 40-120(10: 0.15) 40-120(10: 0.15) 40-120(10: 0.15) 40-120(10: 0.15)	350 300 200 200 200 1000 700 60 60 60 200 200 150 50 50 50 50	1.5 1.5 9.01 0.01 0.5 0.5 10.2 10.2 10.2 10.2 10.2 10.2 10.2 10.2		10 10 15, [50] 15, [50] 3,5, [18] 3,5, [18] 5 5 5 5 15, [50] 15, [50] 15, [50] 16, [65] 10, [65] 10, [65] 10, [65]	10 12 75 75 75 200 200 200 200 120 120
			, T	ранзисторны	мат	рицыі			
KTC613A KTC613B KTC613B KTC613F	60 60 40 40	60 80 30 30	0,4,[0,8] 0,4,[0,8] 0,4,[0,8] 0,4,[0,8]	25100 40200 -20120 50300	200 200 200 200	8,[8] 8,[8] 8,[8] 8,[8]	1,0[20] (0,4) 1,0,[2,0] (0,4) 1,0,[2,0] (0,4) 1,0,[2,0] (0,4)	12 12 12 12	[45] [45] [45] [45]
				р-п-р					
KTC622A KTC622B	45 35	45 35	0,4,[0,6] 0,4,[0,6]	25—150 10	200 150	10,[20] 10,[20]	1,3, [2,2] (0,03) 2,0, [2,5] (0,03)	15 15	[60]
При	і исчание	, Значения.	кьо указані	я при U <sub>КБтах</sub> .		'		٠.	· 

Таблиц	Таблица 12.97. Транзисторы большой мощности низкочастотные										
Тип	. Изънах В	Uk∋mav (Uk30. n max).	/Kmes.A	<sup>А</sup> 21» [А213] (при Икэ, В; Ик. [Иэ], А}	/21.5-Игр],кГи, не менес	/кэо. [/кво], мА. не более	UR3 nace [UE5 med] (1pw IR; I <sub>E</sub> Ab, B, nc Goalee				
				p-ni-p							
ГТ701 А ГТ703 А ГТ703 Б ГТ703 В ГТ703 Г ГТ703 Д	15	55, [100] 20, [25] 20, [25] 30, [35] 30, [35] 40, [50]	12 3,5 3,5 3,5 3,5 3,5 3,5	101 (2; 5) 30-70 50-100 30-100 50-100 20-45	5 10 10 10 10 10	[6,0] [0,5] [0,5] [0,5] [0,5]	0,6, [0,6] (3; 0,015) 0,6, [0,6] (3; 0,09) 0,6, [0,6] (3; 0,015) 0,6, [0,6] (3; 0,09) 0,6, [0,6] (3; 0,225)				
n-p-n											
ГТ705А Г Г705Б ГТ705В		20,[25] 20,[25] 30,[35]	3,5 3,5 3,5	30-70(1,[0,05]) 50-100(1,[0,05]) 30-70(1,[0,05])	10 10 10	[0,5] [0,5] [0,5]	1,[2] (1,5; 0,1) 1,[2] (1,5; 0,1) 1,[2] (1,5; 0,1)				

Окончание таблицы 12.97

Тип	<i>И</i> ∋6max. В	UK3 max. [UK30, ± max].	<sup>Л</sup> Ктэх А	Азъ [Адъ] (при Uкъ. В; - (к. [/3], A)	fizis-[frp] Kfu,	Изо, [Икво], мА, не более	U/S изс. [U/S изс] (пря Ик. Гд. А), В, не более
ГТ705Г ГТ705Д КТ704А КТ704Б КТ704В	- 4 4 4	30,[35] 20,[35] [1000] [700] [500]	3,5 3,5 2,5 2,5 2,5 2,5	50—100(1,[0,05]) 90—250(1,[0,05]) [10—100] (15,1) [10—100] (15,1) [10—100] (15,1)	10 10 3000 3000 3000	[0,5] [0,5] 5,0 5,0 5,0	1, [2] (1,5; 0,1) 1, [2] (1,5; 0,1) 5, [3] (2; 1,5) 5, [3] (2; 1,5) 5, [3] (2; 1,5) 5, [3] (2; 1,5)

Примечание. Значения токов  $I_{KSO}$  указаны при  $U_{KS-max}$ :  $I_{KSO}$  при  $U_{KS-max}$ . Для транзистора ГТ701A в этой графе прибедены значения  $I_{KSO}$  при сопротивлении между базой и эмитером, равном 10 Ом.

Таблица 12.98. Транзисторы большой мощности среднечастотные, высокочастотные и свёрхвысокочастотные

кочастотн	ые							
Тип	Ukamax. (Uka. mmax). [Ukakamax]. B	UKB max (UKB, n max). B	/Kmax [/R, n mox]. A	18 max. [18, s max]. A	А213 (при Uks.B: /k, A)	frp. МГц, не менее	/KBO. [/KBO], MA, Re Soace	. Ихэ вес. [Uкэ мед] (яри К. Гы. А. В. не более
				•	p-n-p			
TT806A FT806B FT806B FT806F FT806G FT806G FT810A FT905A FT905A FT905A FT814A KT814B KT814B KT814B KT816A KT816B KT816B KT816B KT818F KT818B KT818B KT818B	75 100 120 50 140 200, (250) 75 60 [40] [70] [70] [100] [40] [50] [70] [100] [50] [70] [100] 25 40 60 80	200 75 60 40 40 30 25 45 60 -100 -100 -100 -100 -100 -100 -100 -	[15] [15] [15] [15] [15] [16] [17] [18] [18] [18] [18] [18] [18] [18] [18	[3,0] [3,0]	10-100(0: 10)   10-1000(0: 10)   10-1000(0: 10)   10-1000(0: 10)   10-1000(0: 10)   10-1000(0: 10)   10-1000(0: 10)   10-1000(0: 10)   10-1000(0: 10)   10-1000(0: 10)   10-1000(0: 10)   10-1000(0: 10)   10-1000(0: 10)   10-1000(0: 10)	10 10 10 10 10 15  50 3 3 3 3 3 3 3 3 3 3 3	[12] [12] [12] [12] [12] [12] [12] [12]	$\begin{array}{c} 0.6, [1]  (15) \\ 0.6, [1]  (15) \\ 0.6, [1]  (15) \\ 0.6, [1]  (15) \\ 0.6, [1]  (15) \\ 0.6, [1]  (10) \\ 0.6, [1]  (10) \\ 0.6, [12]  (0.5, 0.5) \\ 0.6, [12]  (0.5, 0.6) \\ 0.6, [12]  (0.5, 0.6) \\ 0.6, [12]  (0.5, 0.6) \\ 0.6, [12]  (0.5, 0.6) \\ 0.6, [12]  (0.5, 0.6) \\ 0.6, [12]  (0.5, 0.6) \\ 0.1, [15]  (0.5, 0.6) \\ 0.1, [15]  (0.5, 0.6) \\ 0.1, [15]  (0.5, 0.6) \\ 0.2, [16]  (0.5, 0.6) \\ 0.3, [16]  (0.5, 0.6) \\ 0.4, [16]  (0.5, 0.6) \\ 0.5, [16]  (0.5, 0.6) \\ 0.6, [12]  ($
		,			n-p-n			
KT805A KT805B KT807A KT807A KT807B KT809A KT812A KT812B KT812B KT815B KT815B KT815B KT815B KT815B KT815B KT815B KT815B KT817B KT817A KT817B KT817B KT817B KT817B KT817B KT817B	160 135 100, (120) 100, (120) 100, (120) 120, (250) 400 400, (700) 200, (300) [40] [50] [70] 100] 25 45 70 140 [40] [50]		5. [8] 5. [8] 0.5. [1.5] 0.5. [1.5] 10] 3. [5] 8. [12] 8. [12] 8. [12] 1.5. [3] 1.5. [3]	[22.5] [22.5] 0.2 (4] [1.5] 3 3 3 0.5 0.5 0.5 0.5 1 1 1 3,[5]	15(10: 2)   15(10: 2)   15(10: 2)   15(10: 2)   15(10: 2)   15(10: 2)   16(10: 2)   16(1	20 20  7 5,5 30 30 30 3 3 3 3 3 3 3 3 3 3 3 3 3 3 3	[60] [60] [5] [50] [50] [50] [50] [50] [50] [50	2.5, L5.5 (5) (6.5) (1.6,5) (7) (1.6,5

Окончание табл. 12.98

	_						-	
Тип	UK3 max. (UK3, s max), [UK3, k, max], B	Оквине (Окв.я шэх). В	Ikmaxı [Ik, н məx]. A	/B max. [/B, x max]. A	<sup>2</sup> 213(Apu <i>U</i> KB, B; <sup>1</sup> K, A)	/гр. МГч, не менее	Iкво. [Iкзо], мА, не балее	U <sub>X3</sub> вас. [U <sub>E3</sub> нас] (при I <sub>X</sub> ; I <sub>E</sub> , A), В, не более
X T19 19	(70)   (100)	40 40 40 40 40 40 40 40 40 40 40 40 40 4	$\begin{array}{c} 15,202\\ 3.5,5\\ 3$	3.(8) 3.(8)	1816, 5) 750 750 750 750 750 750 750 750 750 750	3 3 3 3 3 3 3 3 3 3 3 3 3 3 3 3 3 3 3	3 3 3 9 9 9 9 9 9 9 9 9 9 9 9 9 9 9 9 9	2, [3] (5, 0.3) 2, [25] (3, 5, 0.0) (4) 2, [25] (3, 5, 0.0) (4) 2, [25] (3, 5, 0.0) (4) 2, [25] (3, 5, 0.0) (4) 2, [25] (3, 5, 0.0) (4) 1, [0.2] (0.6) 1, [0

Таблица 12.99. Однопереходные кремниевые траизисторы

Тип	Р <sub>тах</sub> .	UB182 max.	/э maix.	I <sub>вкл</sub> , мкА.	I <sub>выка</sub> , мА.	R <sub>51, 52</sub> ,
	иВт	UB23,max. B	мА	не более	не более	кОм
KT117A KT117B KT117B KT117F	300 300 300	30 30 30 30	50 50 50 50	20 20 20 20 20	1,0 1,0 1,0 1,0	4- 9 4- 9 8-12 8 12

При мечания. 1. Тепловое совротивление 0,33°С/мВт. 2. Обратный ток эмиттера  $I_{\rm PBO} < 1$  мкА 3. Максимальная частота генерации 200 кГц. 4. Максимальный импульсный ток эметтера меньше 1 А.

Таблица 12.100. Полевые траизисторы

	Too. Hones	out ipansi	сторы					
Тип	U <sub>3Cmax</sub> . B	UCHmax.	/ <sub>€нач</sub> (при <i>U</i> си. В), мА	<i>U</i> 5и отс, В	S, MA'B	I <sub>331</sub> (прн U <sub>3М</sub> , В), нА, не более	С <sub>Пи</sub> . пФ, ис более	С <sub>12и</sub> , пФ нс болес
		С.	р-п переходом и	каналом	р-типа			
КП103E (EP) КП103Ж (ЖР) КП103И (НР) КП103К (КР) - КП103Л (ЛР) КП103М (МР)	=	10 10 10 10 10	2.5 3.8 1.8 5.5 6.6 12	0,4-1,5 0,5-2,2 0,8-3 1,4-4 2-6 2,8-7	2,4 2,8 2,6 3 3,8 4,4	20 20 20 20 20 20 20 20	20 20 20 20 20 20 20	8 8 8 8
		C .	p-п переходом и	каналом	п-типа			
КТ3802A КТ3802B КТ3802B КТ3803A КТ3803A КТ3803B КТ3803F КТ3803F КТ3803F КТ3803F КТ3807A КТ3807B КТ3807B КТ3807T	20 20 30 30 30 30 30 30 30 30 30 27 27 27 27 27 27	20 20 20 25 25 25 25 25 25 25 25 27 27 27 27	$\begin{array}{c} 3-24(7)\\ 18-43(7)\\ 33(10)\\ 0.5-2.5(10)\\ 0.5-2.5(10)\\ 0.5-2.5(10)\\ 1.5-5(10)\\ 3-12(10)\\ 3-12(10)\\ 0.3-20(10)\\ 0.3-5(10)\\ 3-9(10)\\ 3-9(10)\\ 5-15(10)\\ 5-15(10)\\ 8-24(10)\\ 8-24(10)\\ 8-24(10)\\ 3-25(10)\\ \end{array}$	5 7 10 0.5 - 3 0.5 - 3 1 - 4 8 8 8 0.3 - 3 0.5 - 2 0.5 - 3 1 - 5 1 - 7 1 - 7	5 7 7 1 -4 1 -4 2 - 5 3 - 7 2 - 6 4 1 - 9 5 - 10 6 - 12 3 - 8 4	10(10) 10(10) 10(10) 1(10) 1(10) 1(10) 5(10) 5(10) 5(10) 5(10) 1(10) 1(10) 1(10) 1(10) 1(10) 1(10) 1(10) 1(10)	20 20 0,5-6 0,5-6 0,5-6 0,5-6 0,5-6 0,5-6 0,5-6 5 5 5 5	8 8 8 7 1 2 1 1.5 5 1.5
		С изоли	рованным затвој	оом и кан	алом р-ти	na		
КП301Б КП301В КП301Г КП304А	15 15 15 30 .	20 20 20 25	0,5 · 10 <sup>-3</sup> (15) 0,5 · 10 · 3(15) 0,5 · 10 <sup>-3</sup> (15) 2 · 10 <sup>-4</sup> (25)		0,5 4	0,3(30) 0,3(30) 0,5(30) 20(30)	3,5 3,5 3,5 9	1 1 1 2
		С изоли	рованным затвој	ром и кан	алом п-ти	na		
КП305Д КП305Е КП305Ж КП305И КП313A КП313B КП313B КП901A КП901Б КП902A	15 15 15 15 15 15 15 85 85	15 15 15 15 15 15 15 15 15 15 15 50	200 (20) 200 (20) 10 (50)	6 6 6 6 6 7	5,2-10,5 4-10,5 5,2-10,5 4-10,5 4,5-10,5 4,5-10,5 4,5-10,6 50 60 19	1(15) 0,005(15) 1(15) 1(16) 10(10) 10(10) - - 0,05(30)	5 5 5 7 7 7 7 6.5	0,8 0,8 0,8 0,9 0,9 0,9 15 15 0,5

Окончание таблицы 12.100

Тип	U <sub>3Cmex</sub> , B	UCMmax. B	/ <sub>Снач</sub> (при <i>U</i> <sub>СИ</sub> , В), мА	USH otc,	S, mA/B	/ <sub>Зух</sub> (при Изи, В), нА, не более	С <sub>11н</sub> , пФ, не более	С <sub>12н</sub> , пФ, не более
КП902Б КП902В КП904В КП904Б КП905В КП905В КП907А КП907А	30 30 90 90 70 70 70 70	50 50 70 70 60 60 60 60	10(50) 15(50) 70(20) 70(20) 20(20) 20(20) 100(20) 100(20)	-	25 14 390 390 18 18 110	0,05(30) 0,05(30) 	6,5 6,5 — 7 11 20 20	0,5 0.5 — 0,6 0,6 3 3
<b>К</b> П314 <b>А</b>	30	25	узионным затвор   2,5—20(10) p-п переходом и	-	4	na   0,1(10)	6	2
КП903А КП903Б КП903В	20 20 20	20 20 20 20	450 250 450	6 2 3	125 115 115	10 <sup>5</sup> 10 <sup>6</sup> 10 <sup>6</sup>	<u>=</u>	Ę

To present the L. The suppresents these  $U_{Gl}=15$  B,  $I_{c}=10$  max  $_{200}^{2}$  K(13)2A, B, the  $U_{Gl}=10$  B,  $I_{c}=10^{-3}$  max  $_{200}^{2}$  K(13)2A, B, the  $U_{Gl}=3$  B,  $I_{c}=10^{-3}$  max  $_{200}^{2}$  C max  $_{200}^{2}$  A and K(13)2A K(13)2B, the  $U_{Gl}=7$  B,  $I_{c}=10$  max  $_{200}^{2}$  A and K(13)2B, the  $U_{Gl}=10$  B,  $I_{c}=10$  max  $_{200}^{2}$  A and K(13)2B, the  $U_{Gl}=10$  B,  $I_{c}=10$  max  $_{200}^{2}$  A and K(13)2B, the  $U_{Gl}=10$  B,  $I_{c}=10$  max  $_{200}^{2}$  A and K(13)2B, the  $U_{Gl}=10$  B,  $I_{c}=10$  M and  $I_{c}=10$  M a

Таблица 12.101. Полевые транзисторы с двумя изолированными затворами и каналом типа п

Тип	U31 стах∙В	Ugecmax. B	UCH max. B	Іскач (при Осм. В), м.А	Взи оте (при Вси.В.	S,M A/B	/3 yr. s.A. se doaee	Сэль, пФ	Сз2м. пФ
КП306А-КП306В	20	20	20	5 • 10-3(15)	4(15; 10) .	3-8	5	<5	<0,7
КП350А-КП350В	21	15	15	3,5*(15)	6(15, 100)	6	5	<6	<0,07

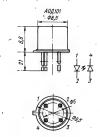
Примечания. 1. Значения  $C_{11\mu}$  и  $C_{12\mu}$  и  $K_{12\alpha}$  указаны для КПЗ06А-КПЗ06В при  $U_{\rm CH}=20$  В,  $j=10^{\circ}$  кГц; для КПЗ50А-КПЗ06В при  $U_{\rm CH}=0$  В,  $j=10^{\circ}$  кГц; для КПЗ50А-КПЗ50В  $I_{\rm CNH}=6$  мА.

## 12.18. ОПТРОНЫ

О птр о ны представляют собой комбинации из сметодиода и полупроводинкового приемника света (фотодиода, фотогранзистора или- фототиристора), развищенных в одном корпусе. Между источником света и приемником имеется витренняя отпическая связы через програмную среду — стемло, пластичаску. Оптическая связы среду — стемло, пластичаску. Оптическая связы среду — стемло, пластичаску образивающих с большим сопротивлением между якодом и выходом прибора, необходимую, например и выходом прибора, необходимую, например и выходом прибора необходимую, например к при стем образивающих при и накложоваться к высоковольтной цепи, для бесконтактию к высоковольтной цепи, для обесконтактию к питалов и других применений. В некоторых приборах имеется внешняя оптическая связь, что позволяет использовать их в качестве датчиков межанических перемещений или для оценки оптических свойств окружающей среды. Иногда в приборы встраивают усилители. фоюмирующие сигналы фотоприемника.

Основными параметрами оптронов являются: коэффициент передачи тока (отношение выхоляюго тока к вхолному), сопротивление гальванической развязки между входными и выходомыми эксетродами, емяссть между входом и выходом, а также время нарастания и спада выходного сигнаал. Основными параметрами предельных режнымо являются: массимальный прямой тох через входной излучающий диод, предельная разность потенциалов межбу входом и выходом, в также массимальный ток на выходо. Здесь приводится сведения о наиболее распространенных оптронах.

АОД101 (рис. 12.72) представляет собой оптопару, состоящую из излучающего диода



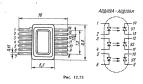
PHC. 12.72

на основе арсенида — галлия—алюминия и кремниевого фотодиода в металлическом корпусе. Оптопара предназначена для обеспечения гальванической развязки электрических цепей, между которыми осуществляется информационняя связь.

Комфициент передачи тока при 1<sub>29</sub>—10 мк ме менее 13, ля АЛІОА, АЛІОІЙ, 12%— для АОЛІОІВ, 1.5%— для АОЛІОІВ, 0.7%— для АОЛІОІВ, 1.5%— для АОЛІОІВ, 0.7%— для АОЛІОІВ, 1.5%— для АОЛІОІВ, 0.7%— для АОЛІОІВ, ма 1.5%— для АОЛІОІВ, 1.5%— для АОЛІОІА— АОЛІОІІ II В.В. — для АОЛІОІА— Время нарастания и спада выходного импульса при импульсе ходлего тока 20 мл. не более 100 мс— для АОЛІОІА— 250 мс— для АОЛІОІА— 250 мс— для АОЛІОІА— 250 мс— для АОЛІОІВ— 250 мс— 
Постоянный обратный ток фотоднода не более 2 мкА для АОД1016, В 8 мкА — для АОД1016, 10 мкА — для АОД1016, 10 мкА — для АОД1017, 5 мкА — для АОД101Д. Максимально допрустимое обратное напряжение ма фотоднода для АОД1014, АОД101В — АОД101Д 15 В; для АОД101Б—100 В. Максимально допустимый постоянный или сред-

ний входной ток 20 мА. Максимально допустимый входной импульсный ток при длительности импульса не более 100 мкс — 100 мА. Максимально допустимое напряжение между входом и выходом 100 В. Максимально допустимое обратное входное напряжение 3.5 В.

АОД109 (рис. 12.73) — многоканальный оптоэлектронный прибор в металлическом корпусе, состоящий из трех отдельных оптопарь. Каждая оптопара образована излучающим диодом на



основе арсенида галлия—алюминия и кремине вым фотольцом. Приборы используются в радноэлектронной аппаратуре управления и затоматики для гальванической развязки электрических ценей, между которыми передают управляющие ситиалы. В оптроне доступравляющие ситиалы. В оптроне доступравления ситиалы. В оптроне доступравления ситиалы. В оптроне доступравления ситиалы. В оптроне доступравления ситиалы. В оптроне доступравления ситиалы. В

Коэффициент передачи тока при  $I_{\rm ex}=10^{\circ}$  мА и  $U_{\rm 50p~mx}=5$  В не менее 1,2% для АОД109А—АОД109А, АОД109Н; 1% — для АОД109Б.

Входное напряжение при  $I_{ax} = 10$  мА не более 1,5 В.

Постоянный ток фотоприемника при  $I_{\rm sx}=0$ ;  $U_{\rm odo}=35$  В для групп АОД109А, АОД109В—АОД109Д и  $U_{\rm odo}=8$  В для АОД109Б и более 2 мкА.

Время нарастания и спада импульса выходного тожа при  $I_{\rm N}$  — 10 мА и  $U_{\rm SPA}$  — 2 — 10 В не бодее 1 мс. для АОД109А, АОД109Б. АОД109Б. Сопротивление такаванической развиям при специальной става и ст

Максимально допустникое обратисе входиме напряжение на влаучается 2,5 В. Максимально допустникое обратием напряжение фоториеминко для АОД1094 АОД1098—АОД1098-АОД1098

не более 100 мкс и скважности более 5) 100 MA

(рис. 12.74) — оптрон диодный АОЛ111А одним арсенидо-галлиевым излучателем кремниевыми фотоприемниками. Изготавливается в металлокерамическом корпусе с оптическим окном. Используется в качестве датчика положения близких к нему предме-тов, отражающих излучение диода. Находит

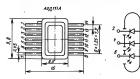


Рис. 12.74

применение В качестве датчика пульса в электронных пульсметрах.

Постоянное входное напряжение при  $I_{\rm m} = 10$  мА не более 2 В. Приращение выходного тока (при приближении к оптическому окну отражающей металлической поверхности) не менее 1 мкА.

Максимально допустимый постоянный или средний входной ток 40 мА. Максимально допустимый импульсный входной ток при длительности импульса 10 мкс и скважности не менее 20-100 мА. Максимально допустимое постоянное обратное выходное напряжение

любой формы и периодичности 6 В. АОУ 103 (рис. 12.75) — оптопара тиристорная. состоящая из излучающего диода на основе арсенила галлия-алюминия и кремниевого тиристора, предназначенная для использования в качестве управляемого ключа в узлах радиоаппаратуры для гальванической развязки между выходной цепью и цепями управления. Максимальное прямое напряжение выходной цепи для АОУ103А 50 В, для АОУ103Б,

АОУ103В 200 В. Максимальное обратное напряжение выходной цепи для АОУ 103В 200 В, для АОУ103А, АОУ103Б не нормируется. Входной ток включения при прямом напряжении на закрытом тиристоре 10 В для АОУ 103А,

АОУ103В 20 мА; для АОУ103Б 50 мА. Ток выключения не более 10 мА. Остаточное •напряжение не более 2 В. Ток утечки в выходной цепи закрытого тиристора не более 100 мкА. Время включения не более 15 мкс, выключения

не более 100 мкс. Максимально допустимый входной ток 55 мА. -Максимально допустимый постоянный прямой ток в выходной цепи 100 мА. Скорость изменения

напряжения, прикладываемого к выходной цепи, не более 5 В/мкс.

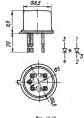


Рис. 12.75

АОТ110 (рис. 12.76) оптопара, состоящая из излучающего диода и составного фототранзистора и выполненная в метадлическом корпусе. Предназначена для использования в качестве переключателя в гальванически развязанных электрических цепях радиоаппаратуры.

Входное напряжение при  $I_{xx} = 25$  мА не более 2 В. Остаточное (выходное) напряжение при  $I_{\text{mx}} = 25$  мА и  $I_{\text{max}} = 100$  мА для AOT110Б— AOTI10B;  $I_{\text{BMX}} = 200 \text{ мА для AOTI10A, AOTI10}\Gamma$ составляет не более 1.5 В.

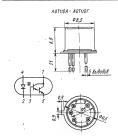
Ток утечки на выходе при  $I_{\rm ex}=0$  и при напряжении коммутации  $U_{\rm ком}=15{\rm B}$  для AOT110 $\Gamma_{\rm s}$ а также при  $U_{\text{ком}} = 30 \text{В для AOT110A, AOT110B}$ и при  $U_{\text{ком}} = 50 \text{В для AOT110Б не более 100 мкA.}$ Сопротивление изоляции при напряжении развязки  $U_{\text{разв}} = 100 \text{ B}$  не менее  $10^9 \text{ Ом}$ .

Максимально допустимое коммутируемое напряжени для АОТІІОА, АОТІІОВ 30 В; для АОТ110Б — 50 В; для АОТ110Г — 15В. Максимально допустимое входное обратное напряжение 0,7В. Максимальный входной постоянный ток 30 мА. Максимальная амплитуда входного тока при длительности импульса не более 10 мкс 100 мА. Максимальная амплитуда выходного тока при длительности импульса не более 10 мкс для АОТ110А, АОТ110Г 200 мА; 10 мкс для АОТ110А, АОТ110Г 200 мА; для АОТ110Б, АОТ110В 100 мА. Максимально допустимая средняя рассеиваемая мощность 360 MBT.

K262KII1 12.76) — оптоэлектронная (рис. микросхема с оптопарой диодной на входе и интегральным усилителем. Предназначена для передачи логических сигналов при необходимости гальванической развязки между узлами.

Напряжение питания +5B ± 0.5B.

Время задержки включения и выключения при входном токе 10 мА и емкости нагрузки



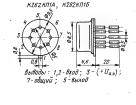


Рис. 12.76

<40 пФ для К262КП1А не более 700 нс, для К262КП1Б не более 350 нс.

Выходное напряжение логического «О» не боесо. З. В. Выходное напряжение логической «I» не менее 2.3 В. Выходной тол логической «I» (вытекающий) не более 1 мА. Входное напряжение логической «I» от 0.8 до 1,7 В. Выходной тох логического «О» (втекающий)

не более 10 мА. Входной ток логической «1» не более 10 мА.

Ток потребления не более 5 мА. Сопротивление

развязки при напряжении между входом и выходом не более 100 В не менее 108 Ом. Проходная емкость не более 5 пФ.

Скорость нарастания напряжения между входом и выходом не более 10 В/чкс. Длительность нарастания и спада входного импульса не более 100 нс.

### 12.19. И Н ТЕГРАЛЬНЫЕ МИКРОСХЕМЫ

### Терминология

Микросхема (МС) — микроэлектронное изделие, выполняющее определенную функцию преобразования и обработки, сигнала и имеющее высокую плотность упаковки алектрически соединенных элементов, компонентов, кристаллов. А налоговая МС — МС, предиавначенная

для преобразования и обработки непрерывно изменяющихся сигналов.

изменяющихся сигналов.
Линейная МС — аналоговая МС с линейной передаточной характеристикой.

Цифровая МС — МС, предназначенная для преобразования и обработки сигналов, принимающих одно из двух возможных значений «О» или «1», изменяющихся дискретно.

Логическая МС— цифровая МС, реализующая одну из функций алгебры логики: «И», «ИЛИ», «НЕ» и др.

Сер и я МС — совокупность типов МС, которые могут выполнять различные функции, имеют единое конструктивно-технологическое исполнение и предназначены для совместного применения.

Полупроводниковая МС — МС, все элементы и межэлементные соединения которой выполнены в объеме и на поверхности полупроводника. Гибри́дная МС - МС, содержащая в своем составе МС и другие элементы — конденсаторы, катушки, транзисторы, резисторы.

### Условные обозначения серий и типов

Микроскеми, разработанике до икаля 1974 гл. имеют условное обозанечное согласи действальные в то время отраслевой нормаль. В последующие годь разработки обозаначаются в соответствами с ГОСТ 22656—77. Подгому в ряде оборущев для оборущев для сородное доставать с годо оборущев для оборущев для оборущев для оборущей для таких могна оборуще разным годям выпукая, Сля таких могна оборуще разным годям выпукая, Сля таких могна оборуще доставать доставать оборуще для таких могна оборуще дл

оба обозначения.

По конструктивно-технологическому признаку исполнения МС подразделяются на три группы, обозначаемые следующим образом: 1, 5; 7—

полупроводниковые; 2; 4; 6; 8— гибридные; 3— прочие. Условное обозначение типа МС состоит из

четырех элементов: первый элемент — цифра — указывает группу конструктивно-технологического исполнения МС

(полупроводниковая, гибридная); второй элемент — две цифры — обозначает порядковый номер разработки серии МС (от 00 ло 99):

третий элемент -- две буквы -- обозначает функциональное назначение МС; четвертый элемент - порядковый номер раз-

работки МС по функциональному признаку в данной серии.

Два первых элемента (три первые цифры в обозначении) указывают номер серии МС. В начале условного обозначения МС, разработанных для аппаратуры широкого применения, добавляется буква К.

## Электрические параметры

Здесь приводятся определения параметров МС и их буквенные обозначения, которые в дальнейшем используются при описании конкретных типов МС. Определения и обозначения в основном соответствуют установленным в ГОСТ 19480-74, кроме того в скобках указываются соответствующие буквенные обозначения с латинской индексацией, рекомендованные стандартом СЭВ 1817-79 и вводимые в настоящее время в документацию на вновь разрабатываемые отечественные МС

Напряжение источника питания MC  $U_{nn}(U_{cc})$ .

Напряжение логической единицы MC.  $U^{\dagger}(U_H)$  — значение высокого **VDOBKЯ** напряжения для «положительной» логики и значение низкого уровня напряжения для «отрицательной» логики.

Напряжение логического HVAR  $MC\ U^0(U_L)$  — значение низкого уровня напряжения для «положительной» логики и значение высокого уровня напряжения для «отрицательной» 'логики.

Напряжение смещения  $U_{\text{см}}(U_{10})$  — значение напряжения постоянного тока на входе МС, при котором выходное

напряжение равно нулю. Максимальное выхолное напряже- $U_{\text{вых,max}}(U_{\text{0mix}})$  — наибольшее значение выходного напряжения, при котором изменения параметров МС соответствуют заданным значениям

Синфазные входные напряжения  $U_{c\phi, \mu x}(U_{IC})$  — значение напряжений между каждым из входов МС и общим выводом, амплитуды и фазы которых совпадают.

Входной ток логической единицы  $MC\ I_{nx}^1(I_{IH})$ .

Входной

ток логического нуля MC  $I_{nx}^0(I_{IL})$ .  $I_{\text{вх}}(I_l)$  — значение тока, Входной TOK

протекающего во входной цепи МС в заданном режиме Разность входных  $\tau^{J}$ оков  $\Delta I_{px}(I_{I0})$  —

разность значений токов, протекающих через входы МС в заданном режиме.

коэффициент Температурный входного тока — относительное изменение входного тока при изменении температуры на 1°С....

Температурный коэффициент разности входных токов — относительное изменение разности входных токов при изменении температуры на 1°С.

Мощность потребления Рпот — значение мощности, потребляемой МС, работающей заланном режиме OT источников питания

Частота единичного **усиления** значение частоты, на которой коэффициент

усиления МС равен единице. Время задержки импульса  $t_{rr}(t_d)$  интервал времени между фронтами входного и выходного импульсов МС, измеренный на

заданном уровне напряжения. Время задержки распространения сигнала при выключении  $t_{\rm sap}^{1,0}(t_{\rm PHL})$ интервал времени межлу входным и выходным импульсами при переходе напряжения на

выходе МС от напряжения логической единицы к напряжению логического нуля, измеренный на уровне 0,5 или на заданных значениях напряжения. Время задержки распространения сигнала при включении toll ин-

тервал времени между входным и выходным импульсами при переходе напряжения на выходе МС от напряжения логического нуля к напряжению логической единицы, измеренный на уровне 0,5 или на заданных значениях напряжения.

Среднее время задержки распространения сигнала  $t_{_{3,1,p,cp}}$  — интервал времени, равный полусумме времен задержки распространения сигнала при включении и выключении логической МС.

Входное сопротивление  $R_{nx}(R_i)$  величина, равная отношению приращения входного напряжения МС к прирашению активной составляющей входного тока при заданном значении частоты сигнала.

Выходное сопротивление  $R_{max}(R_0)$  величина, равная отношению приращения выходного напряжения МС к вызвавшей его активной составляющей выхолного постоянного или синусоидального тока при заданном значении частоты сигнала.

Коэффициент разветвления по выходу (нагрузки)  $K_{pas}(N)$  — число единичных нагрузок, которое можно одновременно подключить к выходу МС

Коэффициент усиления напряжен и я  $K_v(A_a)$  — отношение выходного напряжения МС к входному напряжению.

## Цифровые микросхемы

Цифровые МС широкого применения имеют три схемно-технологических варианта исполнения, часто называемые типом логики: эмиттерносвязанная логика (ЭСЛ), транзисторно-транзисторная логика (ТТЛ) и дополняющие (комплементарные) структуры металл-окисел-полупроводник (КМОП).

В ЭСЛ необходимая передаточная характеристика логического элемента реализуется при использовании дифференциального каскада на двух транзисторах со связанными эмиттерами (см. рис. 12.79), в ТТЛ — также с помощью только транзисторов в отличие от резисторно-транзисторной (РТЛ) и диодно-транзисторной логики (ДТЛ) (см. рис. 12.107)

Дополняющие МОП структуры содержат транзисторы с полевым эффектом с каналами различных типов проводимости, что отличает их от р-МОП и п-МОП структур (см. рис. 12.143, 12,144).

В основном свойства цифровых МС можно охарактеризовать двумя показателями — временем задержки переключения (быстродействием) и мощностью потребления. Перечисленные типы логик имеют существенно различные сочетания этих показателей, а следовательно, и разные области использования. Наибольшим быстродействием обладают МС типов ЭСЛ и ТТЛ, а наименьшим потреблением мощности — МС КМОП. Следует отметить, что в отличие от МС типов ЭСЛ и ТТЛ, потребляющих практически одинаковую мошность в статическом и динамическом режимах работы, мощность потребления МС КМОП пропорциональна рабочей частоте. Типовые значения мощности потребления одного логического элемента (вентиля) в зависимости от частоты составляют 0,05 - 0,1 мВт при 100 кГц; 0,2-0,4 мВт при 400 кГц; 0,5 - 1 мВт при 1 МГц. Для МС в целом приведенные значения мощности потребления пропорциональны числу логических элементов, образующих данную CTDVKTVDV.

Порядок функционирования логических элементов в цифровых МС описывает таблица истинности, устанавливающая соответствие между входными и выходными переменными. Для некоторых наиболее простых логических элементов эти данные приводятся в табл. 12.101.

Таблица 12.101. Таблица истинности для двухвходовых логических элементов

	диме тенные	Значение выходной переменной у для элементов типа					
х,	х2	и	и—не	или	ИЛИ— НЕ	ИСКЛЮ- ЧАЮЩЕЕ ИЛИ	
0	0	0	- 1	0	-1	0	
0	1	0	1	1	0	1.	
1	0	0	- 1	1	0	1	
1	- 1	1.1	0	1	0	0	

В справочных данных, приводимых далее для цифровых МС, рассмотрены типичные представители каждого из вариантов схемно-технологического исполнения: серии 100 и К500 типа ЭСЛ; серии К130, К131, К133, К136, К155 и К158 типа ТТЛ, серии К176 типа КМОП.

### Аналоговые микросхемы

Наибольшее распространение получили аналоговые МС, выполняющие функции операционных усилителей (ОУ). Название «операционный усилитель» пришло из аналоговой вычислительной техники, где такой функциональный блок является базовым, и с помощью определенных обратных связей может выполнять различные операции. Операционный усилитель — это усилитель постоянного тока с дифференциальным входом и большим коэффициентом усиления по напряжению (порядка  $10^3 - 10^7$ ).

В справочных данных приводятся серии аналоговых МС, в составе которых ОУ занимают основное место.

Из особенностей ОУ следует отметить необходимость двуполярного питания, наличие внешних элементов коррекции АЧХ (при отсутствии встроенной коррекции), балансировки нуля, предотвращения перехода в триггерный режим (при отсутствии для этой цели внутренних цепей).

Приводимые в справочных данных типовые схемы включения для ряда МС учитывают перечисленные особенности ОУ.

# Справочные данные по цифровым МС

Серии К500 и 100. МС типа ЭСЛ серий К500 и 100 могут быть использованы для построения питающихся от сети цифровых устройств автоматики и информационной техники с высоким быстродействием, поскольку потребляемая ими мощность велика и не может быть обеспечена в конструкциях с автономным питанием. Необходимо отметить относительно невысокую помехозащищенность этих МС, что в ряде случаев приводит к необходимости принимать специальные меры для устранения сбоев в работе устройств.

Микросхемы серий К500 и 100 полностью идентичны по электрическим характеристикам и выполняемым функциям, имеют аналогичные обозначения и различаются только типом корпуса и некоторыми эксплуатационными характеристиками (табл. 12.102, 12.103), Микросхемы серии К500 имеют пластмассовый корпус с 16 выводами, перпендикулярными установочной плоскости, а МС серии 100 — металлокерамический корпус с планарным расположением выводов (рис. 12.77 и рис. 12.78 соответственно).

Диапазон рабочих температур обеих серий —10 ÷ +70°C.

На рис. 12.79 представлена схема базового элемента серий К500 и 100, выполняющего функции ИЛИ и ИЛИ — НЕ. Функциональные схемы МС серий К500 и 100 представлены на рис. 12.80 — 12.104. Для всех МС выводы 1, 16 —

Таблица 12.102. Классификация микросхем Таблица 12.103. Характеристики МС серий серий К500 и 100

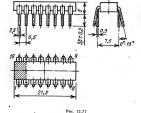
<b>№</b> рис.	Функциональное назначение	Обозначение
12.80	Матрица резисторов	K500HP400
12.81	Четыре логических элемента РИЛИ-НЕ/ИЛИ	K500/IM101
12.82	Три логических элемента 2ИЛИ-НЕ и логический элемент 2ИЛИ-НЕ/2ИЛИ	К500ЛМ102
12.83	Два логических элемента 2ИЛИ-НЕ/2ИЛИ и логический элемент ЗИЛИ-НЕ/ЗИЛИ	К500ЛМ105
12.84	Два догических элемента ЗИЛИ с мощным - выходом	K500/1/11/10
12.85	Два логических элемента БИЛИ-НЕ/5ИЛИ и 4ИЛИ-НЕ/ 4ИЛИ	К500ЛМ109
12.86	Два логических элемента ЗИЛИ-НЕ и логический элемент 4ИЛИ-НЕ	K500/IE106
12.87	Три логических элемента ИС- КЛЮЧАЮЩЕЕ ИЛИ-НЕ/ИЛИ	К500ЛП107
12.88.	Четыре приемника с линии	К500ЛП115
12.89	Два логических элемента ЗИЛИ- НЕ с мощным выходом	К500ЛЕ111
12.90	Три приемника с линии	К500ЛП116
12.91	Два логических элемента ЗИЛИ- 2И	K500/IC118
12.92	Два логических элемента 2- ЗИЛИ-2И-НЕ/2-ЗИЛИ-2И	К500ЛК117
12.93	Логический элемент 4-3-3-3ИЛИ- 4И	К500ЛС119
12.94	ТТЛ-ЭСЛ преобразователь уровней	К500ПУ124
12.95	ЭСЛ-ТТЛ преобразователь уровней	К500ПУ125
12 96	Логический элемент ИЛИ-И/ ИЛИ-И-НЕ	К500ЛК121
12.97	Два О-тригтера	K500TM130
12.98	Четыре тритгера с защелкой	K500TM133
12.99	Два D-триггера	K500TM134
12.100	Счетчик двоичный универсаль- ный четырехразрядный	K500ИЕ136
12.101	Универсальный сдвиговый ре- гистр	К500ИР141
,12.102	Трехразрядный дешифратор инз- кого уровня	К500ИД161
12.102	Трехразрядный дешифратор вы- сокого уровня	К500ИД162
12.103	Восьмиканальный мультиплексор	К500ИД164
12.104	Четырехразрядное арифметико- логическое устройство	Қ500ИП181

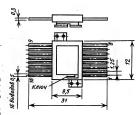
общий, 8 -- источник питания. Для облегчения токового режима работы выходных эмиттерных повторителей на вывод I может быть подано отрицательное напряжение величиной до 2 В.

Серии К130, К131, К133, К136, К155, К158. Микросхемы типа ТТЛ этих серий имеют такую же область применения, что и МС серий К500

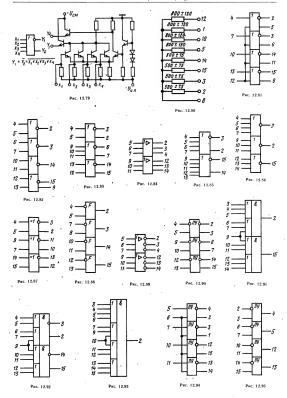
К500 и 100

Параметр	Значение
U <sub>scn</sub> , B	минус 5,2±5%
U°ax, В, не более	минус 1,85
U <sub>вх</sub> , В, не менее	минус 0,81
U*NX. B	минус (1,65-1,85)
U <sub>BMX</sub> , B	минус (0,81-0,96)
Гех, мкА, ве менее	0,5
/ <sub>вх.</sub> мкА, вс более	350
f <sub>2Д, р, ер</sub> , нс	2,9
Р, мВт	25

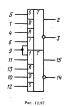


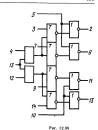


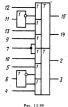
PHC. 12.78











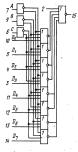








14 17 15 13 20 18 19 16 11 10 9 22 23	150 5 1 22 5 5 5 5 5 5 5 5 5 5 5 5 5 5 5 5	F <sub>0</sub> F <sub>2</sub> F <sub>3</sub> G D	2 3 7 6 4 8 5
	Pac	. 12.104	



٥,	$S_2$	Режим
0	0	Установка числа
0	- 1	Сдвиг вправо
1	0	Сдвиг влево
0	0	Хранение числа

PHC. 12.103

и 100, однако имеют примерно на порядок меньшее быстродействие, несколько меньшую потребляемую мощность и лучшую помехозащищенность. Развитый состав серий обусловил их наиболее широкое применение во всех видах цийровых устройств, в том числе и в любительских коиструкциях с сетевым питанием,— всевозможным автоматах, индикаторах, электромузыкальных устройствах и т. п. (табл. 12.104, 12.105, 12.106, 12.107).

Таблица 12.104. Классификация МС типа ТТЛ

		Обозначение М	Наличие аналогичных МС в серии*					
№ pec.	Функциональное назначение	новое	старое	K133	K130	K131	K136	K158
12.109	Два элемента 4И-НЕ	К155ЛА1	К1ЛВ551	+	+	+	+	+
12.110	Элемент 8И-НЕ	К155ЛА2	Қ1ЛБ552	+	+	+	+	+
12.111	Четыре элемента 2И-НЕ	К155ЛА3	К1ЛБ553	+	+	+	+	+
12.112	Три элемента ЗИ-НЕ	К155ЛА4	- КІЛБ554	+	+	+	+	+
12.109	Два элемента 4И-НЕ с большим коэффициентом нагрузки ( $N\!=\!30$ )	К155ЛА6	К1ЛБ556	+	+	. +		
12,109	Два элемента 4И-НЕ с открытым коллекторным выходом и повышенной нагрузочной способностью	<b>К155ЛА7</b>	Қ1ЛБ557	+				
12.113	Четыре элемента 2И-НЕ с открытым кол- лекторным выходом (элементы контроля)	К155ЛА8	К1ЛБ558	+				
12.112	Три элемента ЗИ-НЕ с открытым коллекторным выходом	Қ155ЛА10						
12.111	Четыре высоковольтных элемента 2И-НЕ с открытым коллекторным выходом	К155ЛА11				•		
12.111	Четыре элемента 2И-НЕ с высокой нагру- зочной способностью (N=30)	К155ЛА12						
12.114	Два четырехвходовых расширителя по ИЛИ	К155ЛД1	кілпі	+	+	+		
12.115	Восьмивходовый расширитель по ИЛИ	К155ЛД3	К1ЛП533	+				
12.116	Четыре элемента 2ИЛИ-НЕ	К155ЛЕ1		+	,			
12.117	Два элемента 4НЕ-ИЛИ со стробирующим импульсом и расширяющимися узлами	К155ЛЕ2		+				
12.118	Четыре элемента 2И	КІЗБЛИІ		+				
12.119	Два элемента 2И с транзистором с откры- тым коллектором ( $I_{\rm Kmax} = 200$ мА)	К155ЛИ5						
12.120	Четыре элемента 2ИЛИ	К155ЛЛ1		+			-	
12.122	Шесть элементов НЕ	К155ЛН1		+	+	. +		
12.122	Шесть элементов НЕ с открытым коллектором	К155ЛН2			1			

### Окончание табл. 12.104

		Обозначение М	C n consus VIEE	Henn		огичных	MC	
No		HOROP	старое	К133	K130	K131	K136	К158
рис.	Функциональное назначение						11100	1000
12.122	Шесть буферных формирователей с открытым коллектором	К155ЛН4						
12.122	Шесть буферных инверторов	К155ЛН5						
12.123	Четыре элемента 2 ИСКЛЮЧАЮЩЕЕ ИЛИ	К155ЛП5		+			′	
12.121	Два элемента 2И-НЕ с общим входом и двумя мощными транзисторами ( $I_{\rm Kmax}\!=\!200$ мА)	К155ЛП7		+			,	
12.124	Два элемента 2-2И-2ИЛИ-НЕ (один расши- ряеный по ИЛИ)	К155ЛРІ	К1ЛР551	+	+	+	+	+
12.125	Элемент 2-2-2-3И-4ИЛИ-НЕ с возможностью расширения по ИЛИ	К155ЛР3	К1ЛР553	+	+	+	+	+
12.126	Элемент 4-4И-2ИЛИ-НЕ с возможностью расширения по ИЛИ	Қ155ЛР4	К1ЛР554	+	+	+	+	+
12.127	J-K-триггер с логикой на входе ЗИ	K155TB1	KITK551	+	+	+	+	+
12.128	Два D-триггера	K155TM2	K1TK552	+	+	+	+	
12.129	Четыре D-триггера	K155TM5		+				
12.130	Четыре D-триггера с прямыми и инверс- ными выходами	, K155TM7		+				
12.131	Счетверенный D-триггер	K155TM8						
12.132	Два триггера Шмидта с логическим элемен- том на входе 4И-НЕ	4 К155ТЛ1		+				
12.133	Декадный счетчик с фазонипульсным пред- ставлением информации	Қ155ИЕ1	К1ИЕ551					
12.134	Двоично-десятичный четырехразрядный счетчик	К155ИЕ2		+				
12.135	Счетчик-делитель на 12	К155ИЕ4		+				
12.136	Двоичный счетчик	К155ИЕ5		+				
12.137	Двоично-десятичный реверсивный счетчик	Қ155ИЕ6		+				
12.138	Четырехразрядный двончный реверсивный счетчик	Қ155ИЕ7		+				
12.139	Делитель частоты с переменным коэффи- циентом деления	, К155ИЕ8		+				
12.140	Синхронный десятичный счетчик	К155ИЕ9						
12.141	Высоковольтный дешифратор для управления газоразрядным индикатором	К155ИД1		+				
12.142 * C	Четырехразрядный универсальный сдвиго- вый регистр Обозначения МС идентичны обозначениям в с	К155ИРІ ерин К155.		+				

Таблица 12.105. Общие характеристики ТТЛ МС

	Быстродей	ствующие	Станд	вртные	Малоч	ощные
Параметр	K130	K131	'K133	K155	K136	K158
U <sub>8.5</sub> , B	5±10%	5 ± 5%	5±10%	5±5%	5±10%	-5±5%
Δt, *C	-60÷+125	-10÷+70	60÷+125	10 ÷ +70	60÷+125	-10 ÷ +70
P, мВт *: в состоямии логического «0» в состоянии логической «1»	60 25	60 25	25 15 •	25 15	5,0 2.1	5,0 2,1
U° <sub>8x</sub> , В, не более	0,8	0.8	0,8	0,8	0,8	8,0
U <sub>вх</sub> ', В не более	2,0	2,0	2,0	2,0	2,0	2,0
/ax. мА, не более	2,3	2,3	1,6	1,6	0,55	0,55
II, мкА, не более	70	70	40	40	28	28
U <sub>вых</sub> , В, не более*	0,4	0,4	0,4	0,4	0,3	0,3
U¹ <sub>вых</sub> . В, не менее*	2,5	2,5	- 2,4	2.4	2,4	2,4
f <sub>3д. р. ср.</sub> , нс, не более*	12	. 12	25	25	100	100

<sup>\*</sup> Приводимые значения справедливы только для подгрупп ЛЕ, ЛА, ЛД, ЛИ, ЛЛ, ЛН, ЛП, ЛР.

Таблица 12.106. Қозффициент нагрузки выходов МС серии К155 (К133) на входы МС серий. К155 (К133), К131 (К130), К158 (К136)

Тип нагружаемого входа	Коэффициент і	агрузки У на в	коды МС серии
	K155 (K133)	K134 (K130)	K158 (K136)
Одиночные входы логических и триггерных элементов	10 -	8	20
Сдвоенные входы синхронизации и установки триггерных элементов	5	4	10

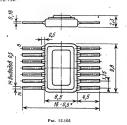
· Таблица 12.107. Характеристики МС серий К155, К133 (подгруппы ТВ, ТМ, ИЕ, ИД, ИР, ТЛ)

Параметр		TBI	TM2	TM5	TM7	TM8	HEL	HE2	ИЕ4
Р, мВт, не более	K133	60	110	255	255	-	-	255	240
•	K155	105	160	280	280	235	240	280	265
f <sub>вх</sub> же менес	МΓц	10	10				10	16	16
Время задержки от счетного входа $C$ до выхода, нс	t <sup>0</sup> Δ <sup>1</sup> <sub>2</sub> p. C	40	40	ſ5	15	35		100	100
	t10 pc	25	25	30	30	30		100	100
Время задержки от входов установки R и S до выхода, ис	ℓ%1, p. RS	'40	40			35			
<u> </u>	t <sub>3</sub> 1,0 p. RS	25	25			25			
Время задержки от входа $D$ до выхода, ис	'1881 p. D	40	40	25	25				
· · · · · · · · · · · · · · · · · · ·	t 10 p. D	25	25	30	40				

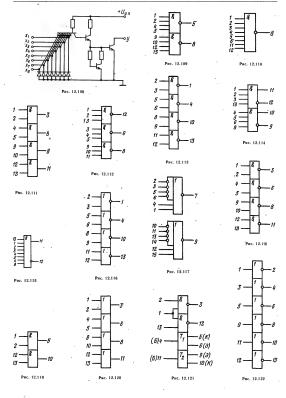
Продолжение табл. 12.107

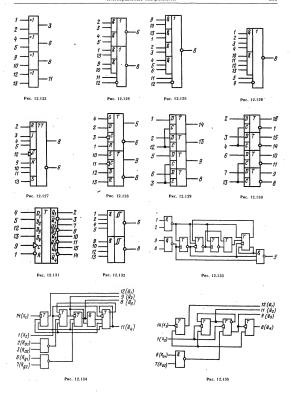
Параметр		ИЕ5	ИЕ6	ИЕ7	ИЕ8	ИЕ9	иді	ИРІ	длі
Р, мВт, не более	K133 K155	255 280	490 535	490 535	660 630	530	140 130	450 430	175 165
I <sub>вх</sub> . не менее	МΓц	16	25	25	25			25	
Время зидержки от счетного входа С до выхода, ис	1 t 1 n €	135	24	24	33	38		35	22
1	13.0 p. C	135	24	24	30	35		35	27
Время задержки от входов установки $R$ и $S$ до выхода, нс	10.1 p RS								
•	t]₽ p, RS								
Время задержки от входа $D$ до выхода, нс	f3h, p, D								
	t3.0 p. D								

Примечание. Для всех МС, кроче К155ИД1.  $U_{\text{Bux}}^{0}=0.4$  В,  $U_{\text{Bux}}^{1}=2.4$  В; для МС К155ИД1  $U_{\text{Bux}}^{0}=2.5$  В,  $U_{\text{Bux}}^{1}=60$  В.



PHC. 12,107





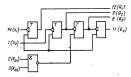
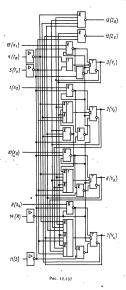


Рис. 12.136



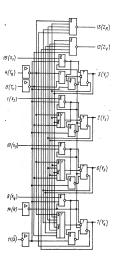
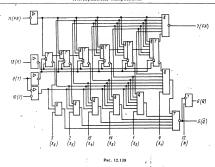
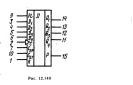


Рис. 12.138







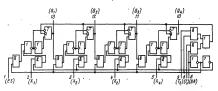


Рис. 12.142

Серия К176. МС серии К176 характеризуются

кевысхокії потребляемой мощностью и могут применяться в комструкциях с автономным пиличам (табл. 12.108 — 12.111). Мо серин К17ениемот пластичассовый корпус с выводами К17епенацикуларизми установочной плоскости, За исключением МС стипов К176 ТВ1. КК19КЕ2, ключением МС стипов К176 ТВ1. КК19КЕ2, имих хорпус с 16 выводами (рис. 12.77), все корпуся многи 14 выводом (рис. 12.106).

Таблица 12.108. Классификация МС серии К176

26		Обозн:	вчение.
рис	Функциональное назначение	новое	старое
145	Четыре элемента 2И-НЕ	К176ЛА7	К1ЛБ767
146	Два элемента 4И-НЕ	K176/JA8	К1ЛБ768
147	Тря эдемента ЗИ-НЕ	К176ЛА9	К1ЛБ769
148	Четыре элемента 2ИЛИ-НЕ	К176ЛЕ5	К1ЛБ765
149	Лва элемента 4ИЛИ-НЕ	К176ЛЕ6	К1ЛБ766
150	Три элемента ЗИЛИ-НЕ	К176ЛЕ10	КІЛБ7610
151	Элемент 9И и элемент НЕ	К176ЛИ1	
152	Универсальный логический элемент	К176ЛП1	К1/ПП761
153	Четыре элемента ИСКЛЮЧАЮЩЕЕ ИЛИ	К176ЛП2	
154	Лва элемента ЗИЛИ-НЕ и элемент НЕ	К176ЛП4	К1/ЛБ764
155	Два элемента 4ИЛИ-НЕ и элемент НЕ	К176ДП11	К1ЛБ7611
156	Лва здемента 4И-НЕ и НЕ	К176ЛП12	К1ЛБ7612
157	Три элемента 3(И-ИЛИ)	K176/IC1	
158	Два D-триггера (с установкой 0)	K176TM1	K1TK761
159	Два D-триггера (с установкой 0 и 1)	K176TM2	K1TM762
160	Два J-К-триггера	K176TB1	
161	Шестиразрядный двоичный счетчик	K176HE1	
162	Пятиразрядный двоичный счетчик с одним десятичным выходом	K176HE2	i
163	Счетчик по модулю 6 с дешифратором для вывода информации на семисег-		1
	ментный индикатор	К176ИЕ3	
163	Счетчик по модулю 10 с дешифратором для вывода информации на семи-		
	сегментный индикатор	К176ИЕ4	
164	Пятнадцатиразрядный двоичний делитемь частоты	4K176PIE6	1
165	Десятичный счетчик с дешифратором	K176HE8	į .
166	Лешифратор 4 и 10	К176ИД1	
167	Сдвоенный 4-разрядный статический регистр сдвига	К176ИР2	1
168	Пять преобразователей уровня с инверсией	K176TEV1 -	١.
169	Шесть преобразователей уровня с инверсией	К176ПУ2	
170	Шесть преобразователей уровня	К176ПУ3	

-Таблица 12.109. Общие характеристики МС серин К176 (при T=25±5°C)

Параметр Значение Применение Unn. B 0,3  $U_{\text{вых}}^{\circ}$ , В, не более Для ПУ2 и ПУ3 не более  $U^1_{\rm BHY}$ , В, не менее 8.2 Для ПУ1 не менее 3. ПУ2 и ПУ3 не менее 2.4 Входной ток логических «0» и «1», Iвх, мкА, 0.1 Для ИЕЗ, ИЕ4, ИЕ5 не более ИР2 не более 0,5 f<sub>вх</sub>, МГц, не менее 1.0 Для ТВ1. ИЕ2. ИЕ8. ИР2 не менее 2,0

50

1. В статическом режи-

ме. 2. Для ЛСІ не менее 40, ИЕ1 не менее 20

Коэффициент нагрузки

Ne не менее

Таблица 12.110. Мощность потребления МС серии K176 в статическом режиме

Тип .	Р, мкВт не боле
ЛАТ, ЛАВ, ЛА9, ЛЕ5, ЛЕ6, ЛЕ10, ЛП1, ЛП4, ЛП11, ЛП12, ТМ1, ТМ2	3
лиі	4
пуі	7
ПУ2, ПУ3	50
лп2	100
лсі, иві	200
ТВ1, ИЕ2, ИЕ8, ИД1, ИР2	1000
ИЕЗ, НЕ4, ИЕ5	2500

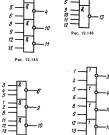
Таблица 12.111. Время задержки распространения сигнала при включении и выключении МС серии K176

Тня	<i>t<sub>зд. р.</sub> нс,</i> не более
ЛА7, ЛА8, ЛА9, ЛЕ5, ЛЕ6, ЛЕ10, ЛП1, ЛП4, ЛП11, ЛП12	200
лс1, лс2	600
лиі, пуі	250
Пу2, Пу3	130
иді	350

Для МС с 16-выводными корпусами вывод 8 — общий,  $16 - U_{xx}$ , для ИС с 14-выводными корпусами вывод 7 - общий, вывод  $14 - U_{xx}$ . Диапазон рабочих температур -10 -  $+70^{\circ}$ С.

апазон рабочих температур — 10 — +70°С. Базовые элементы серии, выполияющие функции И—НЕ и ИЛИ—НЕ, представлены на рис. 12.143 и рис. 12.144 соответственно.

Функциональные схемы представлены на рис. 12.145 — 12.170.





PHC. 12,148

Рис. 12.147



PHC. 12.143





Рис. 12.144

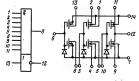
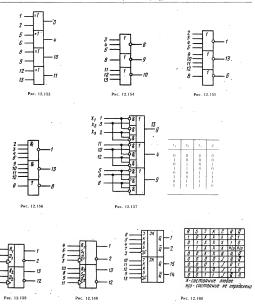


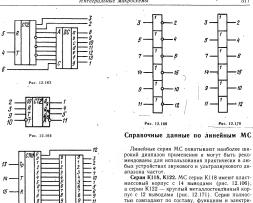
Рис. 12.151

Pac. 12.152





PRC. 12.161 PRC. 12.162



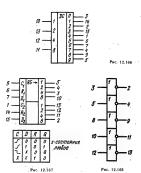
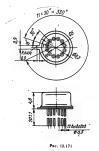


Рис. 12.165



ческим характеристикам входящих в них МС

(табл. 12.112 — 12.114).

Таблица 12.112. Классификация МС серий К118 и К122

Mr		Обозначени	не МС в серии
psc.	У Функциональное назначение	K118	K122
12.172	Двухкаскадный усилитель	КІУСІВІА—КІУСІВІД	К1УС221А—К1УС221Д
12.175	Каскодный усилитель	KIVC182A—KIVC182B	K1VC222A—K1VC222B
12.174	Однокаскалный дифференциальный усилитель	ҚІУТІВІА—ҚІУТІВІВ	K171221A-K171221B
12.173	Видеоусилитель	КІУБІВІА—КІУБІВІГ	К1УБ221A—К1УБ221Г
12.176	Триггер Шинтта	KITWISIA-KITWISIA	КІТШ221А-КІТШ221Д

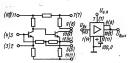
Таблица 12.113. Характеристики МС серий К118 и К122 (подгруппа ТШ)

	К1ТШ181, К1ТШ221								
Параметр	A	Б	В	Γ	Д				
U <sub>×.n</sub> , B*	. ±3,0	±4,0 .	±4,0	±6,3	±6,3				
I <sub>вх.</sub> мкА, не более	20	40	20	40	20				
U <sub>грб</sub> , В, не более	+ 0,35	+0,35	+0,35	+0,4	+0,4				
U <sub>OTB</sub> , B, me менее	-0,35	-0,35	-0,35	-0,7	-0,7				
Выходное напряжение низкого уровня $U_{\text{max}}(y,y)$ , В	-0,4÷+0,9	-0,4÷+0,9	-0,4÷+0,9	-0,4÷+1.2	-0,4÷+1,5				
высокого уровня $U_{\max\{\mathbf{n}.\mathbf{y}\}},\ \mathbf{B}$	2,75-3,05	3,75-4,05	3,75-4,05	6,0-6,35	6,0-6,35				

Допускается отклонение ±10%

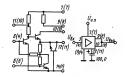
Диапазон рабочих температур для серии К118 — $10 \div +70$ °C, для серии К122 — $45 \div +85$ °C. Электрические и функциональные схемы представлены на рис. 12.172 — 12.176 (в скобках указаны номера выводов для МС серии К122).

Серия К140. МС серии К140 имеют круглый металлостеклянный корпус с 12 выводами (рис. 12.171) для типов К140УД1 (А, Б, В), К140УД2 (А, Б) и с 8 выводами (рис. 12.177) для осталь-



D. . 10 17

ных типов. Классификация МС и,их характеристики приведены в табл. 12.115 — 12.117. Диапазон рабочих температур—10 ÷ +70°. Функци-ональные схемы, схемы включения и справочные зависимости представлены на рис. 12.178—12.187.



Pic. 12,173

веринопове мипрослемо

Таблица 12.114. Характеристики МС серий Қ118 и Қ122 (подгруппы УС, УТ, УБ)

Параметр		KIYC	181; KI	VC221		KIYO	222, K1	YC182	KINT	KINTISI, KINT221			KIVB181, KIVB221		
параметр	A	Б.	В	Г	Д	A	Б	В	A	Б	В	A	Б	В	Г
U <sub>s.n</sub> , B*	+6,3	+6,3	+12,6	+12,6	+12,6	+4,0	+6,3	+6,3	±4,0	±6,3	±6,3	±6,3	±6,3	+12,6	+12,6
Ку. не менее, на частоте 12 кГц на частоте 5 МГц	250 30	400 30	350 50	500 50	800 50	15	. 25	40	15 5	22 8	22 8	900	1300	1500	2000
R <sub>вл</sub> , кОм, не менее	2	2	2	2		1	1	1	6	3	6	1	1	1	, 1
R <sub>вых</sub> , кОм, не более	٠, 3	ą	3	3	3	3	3	3	7	7	7				
U <sub>вх</sub> , В, не более	1,2	1,2	1,2	1,2	1,2	0,1	0,1	0,05	± 2	±3	±3				
U <sub>пых</sub> , В, не менёе	1	0,5	2,2	1,8	1,8				-2÷+1	-3÷+1	-3÷+1	3,8	3,8	8	8
I <sub>вз.</sub> мкА, не более									10	10	20				
М <sub>вх</sub> , мкА, не более									±2	±2	±4				1

<sup>\*</sup> Допускается отклонение ±10%.

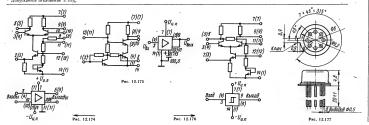


Таблица 12.115. Классификация МС серии К140

No.		Обозначение							
рис.	Функциональное назначение	новое	старое						
12.178	Операционный усилитель	К140УД1 (А, Б, В)	K15/T401 (A, B, B)						
12.179— 12.184	Операционный усилитель	К140УД2 (A, Б)	К140УД2 (А, Б)						
12.185, 12.186	Операционный усилитель	К140УД5 (А, Б)	К140УД5 (А, Б)						
12.187	Операционный усилитель с малыми входными токами и внутреннен коррекцией	К140УД6							
12.187	Операционный усилитель с внутренией коррекцией, защитой входа и вы- хода от короткого замыжения и установкой муля	К140УД7							

 ${
m T}\,{
m a}\,{
m 6}\,{
m л}\,{
m H}\,{
m II}\,{
m a}\,\,\,12.116.$  Характеристики МС типа K140УД5 (при  $U_{
m s,n}=\pm\,12\,$  B)

	К140УД5*						
Параметр		A	Б				
	входы 8, 11	входы 9, 10	входы <i>8, 11</i>	входы 9, 10			
Р, мВт, не более	290		290				
<b>К</b> у на частоте 1 кГш, не менее	350	500	700	1000			
U <sub>BMX</sub> , B	-4,5	÷ + 6,5	-4,5÷+6,5				
$I_{\mathbf{a}\mathbf{x}}$ , мкА, не более	4	5	8	10			
U <sub>CM</sub> , MB, Ne Gonee	±2	±10	±1	±5			
$ΔI_{\mathbf{a}\mathbf{x}}$ , мк $\mathbf{A}$ , не более	±0,2	±1	±0,1	±0,5			
Температурный коэффициент входного тока, нА/°С, не более	±1,5	±9 .	±1	±4			
Температурный коэффициент рязности входных токов, нА/°С, не более	±,0,5	±5`	±1	±10			
R <sub>BX</sub> , кОм, не менее	100	10	100	10			

<sup>\* 8,</sup> II — выводы высокоомных входов; 9, I0 — выводы низкоомных входов.

Таблица 12.117. Характеристики МС серии К140

Параметр		К140УД1 -			Д2	К140УД6	Қ140УД7	
параметр	A	. Б	В	A	Б	i		
U <sub>n.n.</sub> B	± 6,3	± 12,6	±12,6	±12,6 .	±6,3	±15	±15	
Ky	450—4500	1350 12 000	8000	35 000-200 000	3000-35 000	Не менее 30 000	Не мене 30 000	
Р, мВт, не более	55	200	200	200	. 60	120	105	

### Окончание табл. 12.117.

_	, K	[140УД]		K1403	/Д2	К140УД6	К140УД7
Параметр	Α .	. Б	В	A	Б		
Диапазон максимальных выходных напряжений, U <sub>вых</sub> , не менее	±2,8	±5,7	±5,7	±10	±3 .	±11	±10,5
при сопротивлении нагрузки, $R_{\mathrm{N}}$ , кОм	5	5	5	1	1	2	2
U <sub>см</sub> , мВ, не более	±9	±9	±9	±5	±7	±10	±10
I <sub>вх</sub> , мкВ, не более	7	11	п	0,7	0,7	0,1	0,55
ΔI <sub>вх</sub> , мкА, не более	±2,8	±2,8	±2,8	±0,2	±0,2	±0,025	±0,2
R <sub>вх</sub> , кОм, не менее	4	4	4	300	300	1000	400
Диапазон сивфазных входимх напряжений $U_{c\phi}$ , ях. В, не менее	±3	±6	±6	±6	±3	±11	±12
Частота единичного усиления, fax, МГц, не менее	5	. 5	5		-		0,8





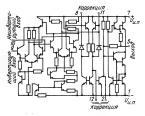


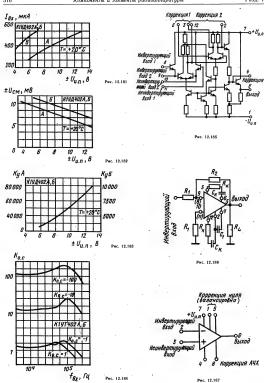
Рис. 12.179



Puc. 12.180

Элемент	Коэффиц	иент обрати	ой связи	Ko.c*	
коррекции	+1	-1	-10	-100	
C,	6 800	3 300	2 200	2 200	
С₂, пФ	33 000	33 000	33 000	33 000	
С3, мкФ	1,0	0,1	0,25	-	
С4, пФ	2 200	1 200	750	750	
С₅, пФ	15 000	6 800	6 800	6 800	
С6, пФ	100	100	100	100	
R <sub>1</sub> , xOn	10	10	10	10	
R₂, кОм	_	20	11	10	
R <sub>3</sub> , кОн	10	20	110	1 000	
R <sub>4</sub> , On	200	200	200	200	
Rs, On	100	100	100	100	
Re, On	1	1	1	1	

<sup>\*</sup>Kyc=Koy/(1 - Ko.c)



Серин К153, К553. МС серин К153 имеют крутлый металлостекалиный корпус с 8 выводами (рис. 12.177), а серин К553 — пластмассовый корпус с 14 выводами (рис. 12.106). Серин полностью соввадают по составу, функциям и электрическим характеристикам входящих в них МС (табл. 12.118, 12.119).

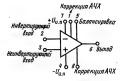
Диапазон рабочих температур для МС  $K153У\Pi1B=10+85^{\circ}C$ , для остальных МС обеих серий  $-45\div +85^{\circ}C$ . Функциональная схема представлена на рис. 12.188.

Таблица 12.118. Классификация МС серий К153 и К553

		. Обозначение МС		MC
№ DHC.	Функциональное назначение	в сери	и К153	в серии К553
pites		новое	старое	1
12.188	Операционный усилитель	К153УД1 (A, Б)	K19T531 (A, B)	К553УД1 (А, Б)
12.188	Операционный усилитель	<b>К</b> 153УД2		К553УД2

Таблица 12.119. Характеристики МС серий K153, K553

_	K153,	K553	К153УД2
Параметр	УДІА	удіб	К553УД2
U <sub>н.п</sub> , В	±15	±15 .	±15
Ky	15 00080 000	10 000 100 000	<b>Sance</b> 20 000
U <sub>вых</sub> , (при R <sub>н</sub> ← =2 кОм)	±10	±9	±10
U <sub>см</sub> . мВ, не более (при R <sub>н</sub> = =10 кОм)	7,5	7,5	7,5
/ <sub>вх</sub> , мк <b>А</b> , не более	1,5	0,2	1,5
Δ/ <sub>вх</sub> . мкА, не более	0,5	0,05	0,5
Р, мВт, не более	230	230	90



Pec. 12,188

### 12.20. КОМ МУТАЦИОННЫЕ УСТРОЙСТВА

Ком мутационные устройства (кнопки, тумбары, реле, дистанционные переключатели, шаговые искатели) предназначены для включения и отключения различных электрических устройств, коммутации электрических цепей в радиоаппаратуре, в устройствах автоматики, сигнальзации и связа.

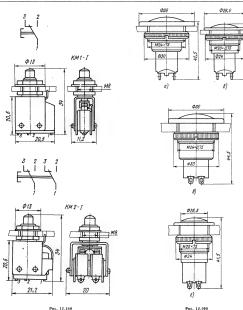
#### Кнопки

Малогабаритные кнопки типа КМ (рис. 12.189) предназначены для коммутации цепей с нагрузкой постоянного тожа 0,0005—4 А с напряжением 0,5—30 В и цепей переменного тожа 50—400 Гц от 0,0005 до 3 А с напряжением от 0,5 до 250 В. Изиосостойкость кнопок не менее 10 000 циклов переключений. Циклом переключения считают перемещение кнопки из положения «Выключено» в положение «Включено» и возвращение ее в положение «Выключено»

Ком м утационные киопки (рис. 12.190, табл. 12.120) предназначены для коммутации цепей постоянного и переменного токов с напряжением до 220 В, током до 4 А и коммутационной мощностью не более 250 Вт.

Износостойкость кнопок не менее 10 000 циклов переключений.

Командные кнопки предназначены для коммутации цепей постоянного и переменного то-ков с напряжением от 10 до 50 В и током от 0,05 до 1.5 А.



Конструктивные данные кнопки однопольсного включения КН-1, двухполюсного включения КН-2 и однополюсного включения — выключения КН-1 приведены на рнс. 12.191. Кнопка КН-2 имеет нормально разомкнутые контакты 1-2 и 3-4, кнопка КН-11 — вормально замкнутые 2-3 и нормаль но разомкнутые 1-4.

Износостойкость кнопок не менее 15 000 циклов переключений. К нопочный замыкатель типа КЗ и кнопочный размыкатель типа КР (рис. 12.192) предмазначены для коммутации цепей с нагрузкой постолнного тока 0,2—3 А с напряжением 24—127 В и переменного тока 0,2—2 А с напряжением 24—220 В. Коммутационная мощность ие боле 440 Вт.

Износостойкость кнопок не менее 5000 циклов переключений.

Таблица 12.120. Кнопки

Наименование	Номер паспорта	Наличне протектора	Івет кнопки или протектора	Номер рисунка	Электрическая схема
Киопка однополюсного включе-	HA3.604.006	С протектором	Черний	12.190a	
ня	HA3.604.007		Красный		
	HA3.604.014	Без протектора	Черный	12.1906	H
	HA3.604.015		Красный		
Скопка однополюсного выклю-	HA3.604 008	С протектором	Черный	12.190a	
вения	HA3.604.009		Красный		_لح
	HA3.604.016	Без протектора	Черный	12 1906	
	HA3.604.017		Красный		
Кнопка однополюсного выклю-	HA3.604.010		Червый		12
мнопка однополюсного выключения чения-вылючения	HA3.604.011	С протектором	Красный	12.190a	
	1123.004.011	Спротектором	Красния	12.1508	4 3
Кнопка двухволюсного включения	HA3.604.012 HA3.604.013		Черный Красный		
Килила паменоликалого выкали- чения выдочения Келика двухолаженого выдочения	HA3.604.019 HA3.604.020 HA3.604.021		Красный Черный Красный		1 2 3
	KH-2, KH-N Ø34		KH-1 Ø34		





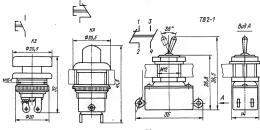


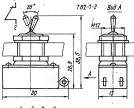
Рис. 12.192

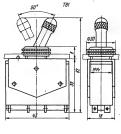
### Переключатели типа \*«Тумблер» и микротумблеры

Переключатели типа «Тумблер» (рис. 12.193) предназначены для коммутации цепей постоянного и переменного токов.

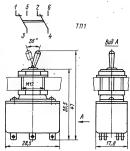
Тумблер ТВ1-1 однополюсный, имеет нормально разомкнутые контакты 3-4 и нормально замкнутые 1 - 2. Тумблер ТВ1-2 двухполюсный имеет нормально замкнутые контакты 1-2 и 3-4 и нормально разомкнутые 5-6 и 7-8. Тумблер ТВ1-4 четырехполюсный, имеет нормально замкнутые контакты 1-2, 3-4, 5-6, 7-8.

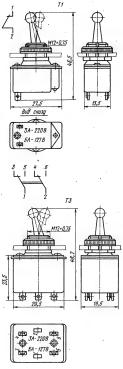
Допустимые электрические нагрузки: для тумблеров ТВ1 рабочее напряжение 1,6-220 В, ток











Pec. 12.194

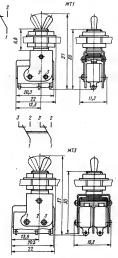
0,001—5 A, коммутационная мощность 250 Вт; для тумблеров ТВ2 соответственно 1,6—220 В, 0,001—1 A, 120 Вт, для тумблеров ТП1 1,6—220 В, 0,001—2 A, 220 Вт.

Износостойкость тумблеров не менее 10 000 циклов переключений.

Переключатели и выключатели типа «Тумблер» (рис. 12.194) преднавначены для коммутации цепей постоянного и переменного токов 0,2—3 А с напряжением 127—220 В и коммутационной мощностью от 25 до 600 Вт на каждую контактную пару.

Износостойкость тумблеров не менее 10 000 циклов переключений.

Микротумблеры типа МТ (рис. 12.195) предназначены для коммутации цепей постоянного тока 0,0005—4 А с напряжением 0,5—30 В и перемением 0,0005—3 А с напряжением 0,5—250 В.



PRC. 12,195

Износостойкость микротумблеров под активной нагрузкой 10 000 циклов переключений, иидуктивной (т ≤ 0,015 с или соsφ > 0,5) — 5000 циклов переключений.

#### Малогабаритные реле постоянного тока

Реле РЭС10 (рнс. 12.196, табл. 12.121). Предназначено для коммутации цепей постоянного тока с напряжением 6—30 В и током 0.1—2 А и деременного тока (50—1000 Гш) с напряжением 6—115 В и током 0.1—0,5 А.

Реле выпускают в двух исполнениях: завальнованное и пылебрыятозащитьсе. Реле с номерами паспортов РС4.524.300, РС4.524.305, РС4.524.308 имеют одну контактную группу на замыжание (контакты 3 и 5), реле с другими момерами паспортов имеют одну контактную группу на переключение.

Время срабатывания реле 5—8 мс, время отпускания 2,5—4,5 мс. Износостойкость в зависимости от мощности активной нагрузки от 10<sup>4</sup>до 10<sup>6</sup> циклов переключений.

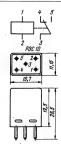


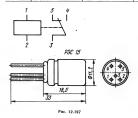
Рис. 12.196

Таблица 12.121. Характеристики малогабаритных реле постоянного тока

				Ток, мА		
Тип	Номер паспорта	Сопротивление обмотки, Ом	срабатывания, не более	отпускания, не менее	рабочий	Рабочее напря- жение, В
P9C10	PC4.524.300 PC4.524.306 PC4.524.306 PC4.524.301 PC4.524.302 PC3.524.302 PC4.524.304 PC4.524.317	3825—5175 1360—1840 108—132 3825—5175 536—724 108—132 40—50 19—23	6 10 35 8 22 50 80 125	0,8 1,3 5 1,1 3 7 11 15	7-12 12-18 - 9,5-12 	7—15 7—15 ——24—36 9—15 5,5—10
P9C15	PC4.591.001 PC4.591.002 PC4.591.003 PC4.591.004 PC4.591.005 PC4.591.006 PC4.591.007	1870—2530 136—184 280—380 612—828 32.4—39.6 425—575 1020—1380	8,5 30 21 14,5 60 17	2 7 7 3,5 14 4 3	11-13 39-46 27-33 19-22 73-85 24-33 19-24	=
P9C34	PC4.524.371 PC4.524.372 PC4.524.373 PC4.524.373 PC4.524.374 PC4.524.380	33605040 535725 102138 38,551,5 13601840	8 21 47 75 13:5	1,2 3,2 7 11,5	9,5—10,5 — — — — — — — — — — — 16,0—17,5	24-30 7-13 5,4-6,6
P9C22	РФ4.500.125 РФ4.500.129 РФ4.500.130 РФ4.500.131 РФ4.500.163	23803080 158210 22503875 552780 595805	11 36 10,5 20 21	2 8 2,5 4 3	Ē	54-66 10,8-13,2 43,2-52,8 21,6-26,4 27-33
P9C47	РФ4.500.408 РФ4.500.409 РФ4.500.417 РФ4.500.419 РФ4,500.421	585—742 157—181 585—715 157—181 38—44	23 42 21,5 42 86	3 4 2,5 4 12	· =	24—30 10,8—13,2 21,5—34 10,8—16 5,5—8

### Окончание табл. 12.121

			T			
Тип	Номер паспорта	Сопротивление обмотки, Ом	срабатывання, не более	отпускания, не менее	рабочий	Рабочее напря- жение, В
P9C48	PC4.590.201 PC4.590.202 PC4.590.203 PC4.590.204 PC4.590.205 PC4.590.206 PC4.590.207	540—660 340—460 229—367 37,5—46,5 6400—9600 1130—1430 540—660	23 52 30 79,5 7,2 15,2 24,8	3 6,8 4 10,4 0,94 2 2		20-30 10-18 16,2-19,8 5-9 90-110 38-55 24,3-29,7
P9C49	PC4,569,000 PC4,569,423 PC4,569,424	13302185 15802185 640960	8,3 8 12	0,8 1,6 2,2		2430 2236 1620
P9C54	ХП4.500.010 ХП4.500.011	3400—4600 3400—4600	3 3,6	0,3 0,4		22-32 24-33
P9C59	ХП4.500.020 ХП4.500.021	1700—2300 110—150	2,4 11	0,4 1,4		911 2,12,7
P9C60	PC4.569.436 PC4.569.437 PC4.569.438 PC4.569.439 PC4.569.440	1445—1955 675—925 230—310 55—61 32,4—39,6	8,4 12,4 22,5 51 60	1,8 2,6 4,8 11 13		23-34 16-20 10-16 5-8 3,5-4,5



Реле РЭС15 (рис. 12.197, табл. 12.121). Пылебрызгозащищенное реле предназначено для коммутации пеней постоянного тока с напряжением 6—30 В и током 0,1—0,2 А и переменного тока (50—400 Гц) с напряжением 30—127 В и током 0,01—0,13 А.

Время срабатывания реле не более 8 мс, время отпускания не более 5 мс. Износостойкость реле при активной нагрузке не менее 100 000 циклов переключений.

Реле РЭС22 (рис. 12.198, табл. 12.121). Электромагнитис зачехленное реле предназначено для коммутации целей постоянного тока с напряжением 6—300 В и током 0.03—2 А и переменного тока (50—1000 Гц) с напряжением 6—220 В и током 0.05—5 А.

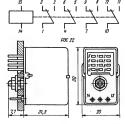
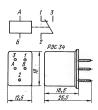


Рис. 12.198

Время срабатывания реле не менее 15 мс, время отпускания не более 8 мс. Износостойкость реле в зависимости от мощности активной нагрузки от 10<sup>4</sup> до 10<sup>6</sup> циклов переключений.

Реле РЭСЗ4 (рис. 12.199, табл. 12.121). Электромагнитное герметизированное реле предиазначено для коммутации цепей постоянного тока с напряжением 6—34 В и силой тока 0,01—2 А и переменного тока (50—1000 Гц) с напряжением 6—15 и током 0,2—0,5 А.

Время срабатывания реле 6—8 мс, время отпускания 2.5—4.5 мс. Износостойкость в зависи-



Pac. 12.199

мости от мощности активной нагрузки от 10<sup>4</sup> до 10<sup>5</sup> циклов переключений.

Реме РЭС47 (рис. 12.200, табл. 12.121). Электромагинтие герметизированное реле предизаначено для коммутации цепей постоянного тока с напряжением 5—34 В и током 0,01—3 А и переменного тока (50—2500 Ги) с напряжением 12—115 В и током 0,05—0,3 А.

Время срабатывания реле не более 9 мс, время отпускания не более 4 мс. Износостойкость реле в зависимости от нагрузки от 2 • 10<sup>3</sup> до 10<sup>5</sup> циклов переключений.

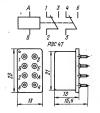
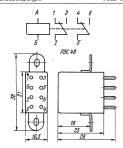


Рис. 12.200

Реае РЭС48 (рис. 12.201, табл. 12.121). Электромагнитное герметизированное реле предмазначено для коммутации цепей постоянного тока с напряжением 6—220 В и током 0,1—3 А и переменного тока (50—1000 Гц) с напряжением 15—150 В и током 0,1—0,3 А.

По способу крепления различают РЭС48А без угольников, РЭС48Б — с угольниками для крепления.

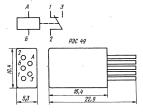


Pec. 12.201

Время срабатывания реле не более 10 мс, время отпускания не более 5 мс. Износостойкость при активной нагрузке не менее 100 000 циклов переключений.

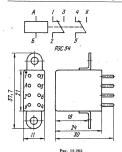
Реле Р9С49 (рис. 12.202. таб. 12.121). Элек-

тромагнитное герметизированиее реле предназначено для коммутации целей постоянного тока с напряжением 6—150 В и током 0,001—1 А. Время срабатывания реле не более 3 мс, время отпускания не более 2 мс. Износостойкость при активной нагрузке не менее 100 000 циклов переключений.



Psc. 12,202

Реле РЭС54 (рис. 12.203, табл. 12.121). Электромагнитное герметизированное реле предназначено для коммутации цепей постоянного тока





с напряжением 6—220 В и током 0.01-2 А и переменного тока  $(50-1000~\Gamma\mu)$  с напряжением 6—220 В и током 0.01-0.2 А.

По способу крепления различают РЭС54А без угольников, РЭС54Б — с угольниками для крепления.

Реле с номером паспорта  $X\Pi 4.500.010$  имеет одну контактную группу на переключение (контакты 1, 2, 3).

Время срабатывания реле не более 14 мс, время отпускания не более 8 мс. Износостойкость реле в зависимости от нагрузки от 5 · 10 ° до 2,5 · 10 ° циклов переключений. Pene P9C59 (рис. 12.204, табл. 12.121). Элек-

тромагнитное герметизированное реле предназначено для комиутации целей постоянного и переменного (50—1000 Гц) токов с напряжением 6—127 В и током 0,01—1 А. По способу крепления различают РЭС59А—

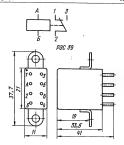
По способу крепления различают РЭС59А без угольников, РЭС59Б — с угольниками для крепления реле.

Реле с номером паспорта XП4.500.020 имеет одну контактную группу на замыкание (контакты 2 и 3), реле XП4.500.021 — одну контактную группу на переключение (контакты 1, 2, 3).

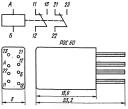
Время срабатывания реле не более 20 мс, время отпускания не более 12 мс. Износостойкость в зависимости от нагрузки от 5 · 10<sup>4</sup> до 2,5 · 10<sup>5</sup> циклов переключений.

Репе РЭС60 (рм. 12.205, табл. 12.121). Электромагнитное герметизированное реле предназначено для коммутации цепей постоянного тока с напряжением 6—30 В и током 0,01—1. А и переменного тока (50—1000 Гц) с напряжением 6—120 В и током 0,01—0,15 А.

Время срабатывания реле не более 3,5 мс, время отпускания не более 1,5 мс. Износостойкость реле в зависимости от нагрузки от 10<sup>4</sup> до 10<sup>5</sup> циклов переключений.



PHC. 12.204



PRC. 12,205

## Малогабаритные поляризованные реле

Реке РП4, РП5, РП7 (рис. 12.206, табл. 12.12). Зачечление поляризование реле постоянного тока с одной контактной группой на пережлючение предвазначаения для коммутания перепостоянного тока. Реде различаются по регудиом роже контактных систем: РП4 — двухподимонное нейтральное; РП5 — трехпозиционное; РП7 — даухподиционное с преобладанием и правому стакту. По конструкции все три исполнения реде означаковы.

Реле включается в устройство с помощью специальной переходной колодки из пластмассы



Рис. 12.206

Таблица 12.122. Характеристики малогабаритных поляризованных реле

Ten				Обмотка		Ток	, мА
INU	Номер паспорта	номер	начало	конец	сопротивление, Он	срабатывання	рабочий
PI14	PC4.520.005	1		2	72259775	0,045-0,18	0,451,35
		Ü	3	4	7225-9775	0,0450,18	19-61
	PC4.520.006	1- II	1 3	2	3,82—5,18 255—345	2-8 0.2-0.8	19-61
	PC4.520.007	1 7	i	2	232-348	0.4-1.6	4-12
		l û	3		232-348	0.4-1.6	
	PC4.520.008	T	1	2	5100-6900	0,058-0,24	0,58-1,76
	DO - FOO 000	i ii	3	4	51006900	0,058-0,24	1
	PC4.520.009	l û	3	2	495—605 14—17	0,14-0,57 1,35-5,4	1,4-4,3
	PC4.520.010	1 7	l i	2 4 2 4 2	40805520	0.058-0.74	0.58-1.76
		Ĥ	3	4	40805520	0.058-0.24	
	PC4.520.011	1	j j	4 2 4 5	2295-3105	0,070,26	0,66-1,76
		Ш	3 6	4	4250—5750 391—529	0,070,26 0.953,48	
	PC4.520.012	1 111	ì	2	425-575	0,953,46	1.6-5.0
	1 04.020.012	1 û	3	4	705—955	0.17-0.67	1,0-0,0
		m	6	5	3145-4255	0,15-0,57	
П5	PC4.522.003	I	- 1	2	1020-1380	0,083-0,33	0,65-1,66
	PC4.522.004 PC 522.012	i	1 1	2 4	47—63 3570—4830	1-4	8-20 0.48-1.2
	PC.522.012 PC4.522.013	1 1	!	10	35704830 892512075	0.059-0.24	0.48-1,2
	PC4.522.015	i i	1	1 4	3400 4600	0.059-0.21	0.43-1.05
	PC4.522.016	i	i	10	8075-10925	0.0290.12	0,24-0,6
	PC4.522.000	I	1	2	10401560	0,10-0,40	0,8-2,0
	PC4.522.008	, II	3	4 2	880 1320 850 1150	0,20-0,80 0.17-0.67	1.4-3.4
	PC4.322.006	· 4	3	4	850-1150	0.17-0.67	1,4-3,4
	PC4.522.010	Ï	1	2	170-230	0,22-0,87	1,84,4
		II	3	4	2295-3105	1-4	
	PC4.522.018	1 1	1 3	2	40805520	0,06-0,24	0,48-1,20
	PC4.522.019	1 4	1 3	1 4	4080—5520 440—660	0,06 - 0,24 0,17—0,67	1.43.4
	1.04.022.019	l ii		1 1			1,7-0,9
		1 11	3	1 4	440-660	0,17-0,67	

Тип	.,			Обмот	rka .	Tok, MA			
	Номер паспорта	номер	олерен	конец	сопротивление, Ом	срабатывания	отпускания	рабочий	
РП7	PC4.521.001 PC4.521.003 PC4.521.003 PC4.521.006 PC4.521.007 PC4.521.008 PC4.521.008 PC4.521.010 PC4.521.011 PC4.521.012 PC4.521.012	1 1 1 1 1 1 1 1 1 1 1 1 1 1 1 1 1 1 1 1	1 1 3 3 1 3 3 1 3 3 1 3 3	555524242424242424	5950—8050 5960—8050 5960—8050 5950—8050 5355—7245 5355—7245 5355—7245 7225—9775 7225—9775 7225—9775 4080—5520 4080—5520 4080—5520 630—840 520—840 520—840 530—630 310—630 310—630 310—630 310—530 310—530 310—530 310—530 310—530 310—530 310—540 310—540 310—540 310—540	0,150,25 0,170,43 0,150,25 0,180,39 0,180,45 0,240,59 1,0-2,5 0,160,40 0,451,14 0,952,40 0,952,40 0,952,40 0,220,55 0,220,55 0,220,55	0.08-0.11 0.05-0.22 0.08-0.39 	0,46—0,88 0,86—1,30 0,45—0,69 0,77—1,17 0,85—1,35 1,17—1,77 5,0—7,5 2,28—3,42 4,36—6,54 1,11—1,65	

Окончание табл. 12.122

_	l			Обмот	ка	Ток, мА			
Тип	Номер паспорта-	номер	начало	конец	сопротивление, Ом	срабатывания	отпускания	рабочий	
РПС4	PC4.520.350	1	1 1	2	52007800	0.05-0.26	_	0.84-1.56	
		Ĥ,	3	4	5200-7800	0,05-0,26		0,84-1,56	
PITCS	PC4.522.304	١,	١. ا	2	1.7-2.3	0.756.90	0.45	30-56	
1100	PC4.522.314	1	l i l	2	425-575	0.05-0.45	0.03	1.9-2.6	
	PC4.522.317	l i	l i l	2	578-782	0.05-0.40	0,02	1.75-3.25	
	PC4.522.318	l i	l i l	2	544-816	0.20-1.05	0.05	5.25-9.75	
	PC4.522.302	1		2	52007800	0,02-0,20	0,01	0.84-1.56	
		11	3	4	5200-7800	0.02-0.20	0.01	0.84-1.56	
	PC4.522.303	ï	1 i i	2	160-240	0,10-0,90	0.05	3.8-7.0	
		H	3	4	2080-3120	0,45-4,0	0,22	17,5-32,5	
	PC4.522.307	1	1 1	2	52007800	0,06-0,27	0,04	1,47-2,73	
	1	n n	3 .	4	5200-7800	0.06-0.27	0,04	1,47-2,73	
	PC4.522.308		1 1	2	1200-1800	0,05-0,54	0,02	1,7-3,1	
		II	3	4	12001800	0,05-0,54	0,02	1,7-3,1	
РПС7	PC4.521.351		2		5200-7800	0.09-0.64	0.27	0.84-1.56	
	1 04.021.001	ú	1 %	3	5200—7800 5200—7800	0.09-0.64	0.27	0.84-1.56	
	PC4 521 352	ï	2	ĭ	6400-9600	0.06-0.45	0.25	0.57-1.07	
	1 04.021.002	ú	l ã	3	2160-3240	0.24-1.87	0.10	2.4-4.4	
	PC4.521.355	lï	2	Ιí	1600-2400	0,14-1,05	0.05	1.3-2.5	
	1	i ii	1 4	3	2160-3240	0.25-1.87	0.10	2.4-4.4	

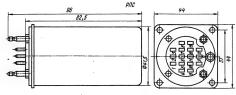


Рис. 12.207

с 16 гнездами. Такая конструкция позволяет быстро заменить реле, а в случае необходимости подрегулировать и очистить контакты.

Износостойкость реле (с подрегулировкой через Горабатываний) при активной нагруже и максимальном токе через контакты 0,2 А при напряжении на разомкнутых контактах 24 ± 2 В составляет не менее 107 циклов переключений.

Реле РПСА, РПС5, РПС7 (рнс. 12.207, табл. 12.122). Зачехленные поляризованные реле с одной контактной группой на переключение предназначены для коммутации цепей постоянного тока.

Реле различаются по регулировке контактных систем: РПС4 — двухпозиционное нейтральное; РПС5 — трехпозиционное; РПС7 — двухпозиционное с преобладанием к поввому контакту.

онное с преобладанием к правому контакту. По конструкции все три исполнения реле одинаковые.

Реле включаются в цепь с помощью специальной переходной колодки. Износостойкость реле при активной нагрузке и токе через контакты 0,01—0,3 А, при напряжении на разомкнутых-контактах 6—36 В составляет не менее 10<sup>5</sup> циклов переключений.

Особенности применения поларизованных редепри включении реле РП4, РП5, РП7 в аппаратуру необходимо учитывать, что чувствительностьреле в значительной степени изменяется то вадействия билком расположенных ферромагиятных тел, постоянных магнитов, переменного магнитного поля и от взаимного влияния реле.

Поляризованные реле РПС4, РПС5, РПС7 имеют магнитный экран, являющийся одновременно кожухом, который защищает реле от воздействия внешних магнитных полей и от взаимного влияния.

Для синжения влияния износа контактов на изменение чувствительности реле следует соединять якорь с положительным, а левый и правый контакты — с отрицательным полюсом источника тока. Реле РПА при изготовлении специально настранаем правется на отсутевне вибращи («дребега») съотактов в диапазоне возбуждения обмотки рабомотактов в диапазоне возбуждения обмотки рабомотактов пориссе эксплуатации реле дарбеоконтактов может появиться в результате стиривия трушикся поверхностей контактика трушкие 
кисрати, растранаем рабоконтактов изготактика при 
мастком плотия будати места соприкосновения 
дастком плотия будати места соприкосновения 
поверхность контактов тонким закаленным щутом 
поверхность контактов тонким закаленным 
поверхность контактов тонким 
закаленным 
поверхность до Дребет контактов 
повявляется также при малых или больших 
возбуждающих токах в обмотке.

Реле РП5, РП7, а также реле РПС4, РПС5, РПС7 при изготовлении на отсутствие дребезга

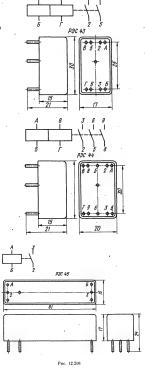
контактов не настраиваются.
Последовательное включение нескольких обмоток поляризованных реле нежелательно, т. к. приводит к снижению надежности работы и к увеличению мощности срабатывания реле.

Рабочее положение реле в пространстве — любое.

# Реле с магнитоуправляемыми контактами

15

P3C42



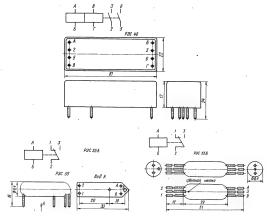


Рис. 12.208 (продолжение)

Таблица 12.123. Характеристики реле с магнитоуправляемыми контактами

	Номер паспорта	Даяны	е обмоток	Напряжение, В			
Тип		обозначение выводов	сопротивление, Ом	срабатывания, не болсе	отпускания, не менее	рабочее	
PЭC42	PC4.569.151	А Б	697—943	6,5	1,2	10,8-13,2	
	PC4.569.152	АБ	3400-4600	14	3	24-30	
P9C43	PC4.569.201	А—Б В— Г АГ (БВ)* АВ—БГ**	195,5 - 264,5 195,5 - 264,5 391 - 529 97 - 132	5,5 5,5 5,5 2,8	1 1 1 0,5	10,8—14,0 10,8—14,0 10,8—14,0 10,8—14,0	
	PC4.569.202	А—Б В— Г АГ (БВ)* АВ—БГ**	1020 1380 1020 1380 2040 2760 510 690	11,5 14 13 6,5	2 2,5 2,5 1,2	22-32 24-30 23-32 20-30	
	PC4.569.203	А— Б	646874	5,6	1,1	9-11	
	PC4.569.204	А—Б	6000-9000	23	3	43-93	

### Окончание табл. 12.123

		. Даяные	обмоток	Напряжение, В				
Тип	Номер паспорта	обозначение выводов	сопротивление, Ом	срабатывания, не более`	отпускания, не менее	рабочее		
P9C44	PC4.569.251	A—B 161.5—218.5 B—F 161.5—218.5 AF (BB)* 323—437 AB—BF** 80—110		6 6 3	1 1 1 0,5	10,8—14,0 10,8—14,0 10,8—14,0 10—13,2		
	PC4.569.252	A-B B-F AF (BB)* B-BF**	765—1035 765—1035 1530—2070 382—518	15 13,5 14 7	2,5 2 2,2 1,1	2430 2232 2332 2026		
	PC4.569.253	А—Б	30404560	22	3	4353		
P9C45	PC4.569.301	АБ	666814	8	1,6	11,315,0		
	PC4.569302	А—Б	1700-2300	14,5	2,7	2234		
P9C46	PC4.569.351	АБ	441-539	7,4	1,5	11,315,0		
	PC4.569.352	АБ	1360 1840	15	2,6	22-34		
	PC4.569.353	А—Б В—Г АГ (ВБ)* АВ—ВГ**	180 220 180 220 360 110 90 110	- 6,8 6,8 6,8 3,4	1,4 1,4 1,4 0,7	10,6—13,8 10,6—13,8 10,6—13,8 6—13,2		
	PC4.659.354	А—В В—Г АГ (ВБ)* АВ—БГ**	544—736 544—736 1088—1472 272—368	13,5 13,5 13,5 6,8	2,4 2,4 2,4 1,2	21,6-26,4 21,6-26,4 21,6-26,4 11-20		

			Напряжение, В			
Тип	. Номер паспорта Сопротивление обмотки, Ом	срабатывания, не более	отпускания, не менее	рабочее		
PЭCS5A	PC4.569.601 PC4.569.602 PC4.569.603 PC4.569.603 PC4.569.604 PC4.569.606 PC4.569.606 PC4.569.606 PC4.569.606 PC4.569.607 PC4.569.607 PC4.569.608 PC4.569.601	1600—2162 321—433 80—110 57—77 31—39 1600—2162 321—433 80—110 57—77 31—39 321—433 80—110	16,2 7,3 3,25 2,5 1,72 14,2 6,3 2,75 2,12 1,46 5,9 2,6	1,8 0,85 0,35 0,3 0,2 1,6 0,75 0,3 0,25 0,18 0,9	24,3-29,7 11,4-13,8 5,4-6,6 4,5-5,5 2,7-3,3 24,3-29,7 11,4-13,8 5,4-6,6; 2,7-3,3 9-11 4,5-5,5	
P9C55B	PC4.569.626 PC4.569.627 PC4.569.628 PC4.569.628 PC4.569.630 PC4.569.631 PC4.569.632 PC4.569.632 PC4.569.632 PC4.569.634 PC4.569.635	1600-2162 321-433 80-110 57-77 31-39 1600-2162 321-433 80-110 57-77 31-39	16,2 7,3 3,25 2,5 1,72 14,2 6,3 2,75 2,12 1,46	1,8 0,85 0,35 0,3 0,2 1,6 0,75 0,3 0,25 0,18	24,3-29,7 11,4-13,8 5,4-6,6 4,5-5,5 2,7-3,3 24,3-29,7 11,4-13,8 5,4-6,6 4,5-5,5 2,7-3,3	

При последовательном включении обмоток.
 При параллельном включении обмоток.

Реле РЭС55 выполняют двух типов: РЭС55А — с выводами, имеющими шаг координатной сетки для печатного монтажа; РЭС55Б — с выводами для объемного монтажа.

Допустимые электрические нагрузки:

для реле РЭС42, РЭС43, РЭС44 рабочее напряжение (постоянное и переменное до  $10~{\rm k}$  Гц)  $0.05-180~{\rm B}$ , ток  $5~10^{-6}-0.25~{\rm A}$ , коммутационная мощность  $7.5~{\rm B}$ т;

для реле РЭС45, РЭС46 — соответственно 0.05-220 В,  $5 \cdot 10^{-6} - 0.25$  А, 7.5 Вт; для реле РЭС55 рабочее напряжение (постоянное и переменное до 1100 КГц) 0.05-36 В, тох  $5 \cdot 10^{-6} - 0.25$  А, коммутационная мощность 7.5 Вт.

Извосостойкость реле в зависимости от мощмости активной нагрузки — от 10<sup>8</sup> до 10<sup>8</sup> даля реле РЭСS5 10<sup>6</sup> — 10<sup>7</sup> диклов переклочений. Время срабатывания реле РЭС42 — не более 1 мс. РЭС43, РЭС44 1,3 мс. РЭС45 3,5 мс. РЭС65 5 мс. РЭС55 1,5 мс. Время отпускания реле РЭС42 — не более 0,3 мс. РЭС43, РЭС44 0,5 мс. РЭС45 1 мс. РЭС46 1,5 мс. РЭС65 2,3 мс.

# Малогабаритные дистанционные переключатели

Дистационные электромагнитые переключателя представляют собой электромагнитый кеханями с компактий системой и двуму пурваляющих добразовать в представляют собой электромагниция, а другая у представляющих другам другам — для отбоя. Якорь и компактыю система переключателя имого двя физектромагний положения. Якорь из одного подожения переключателя имого двять двуже при подаче инпульас тожа в кактой системы в любом из крайних подожений якоря при отсутствии тожа в обмогках.

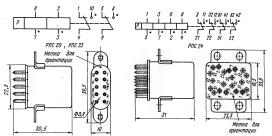
Негерметичные поляризованные дистанционные переключателя постоянного тока РПС20, РПС23, РПС24, РПС26, РПС28 (рис. 12.209, табл. 12.124, 12.125) предвазначены для коммутации цепей постоянного и переменного токов.

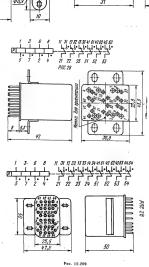
Таблица 12.124. Характеристики дистанционных переключателей

Тип	Номер паспорта	Сопротив- ление каж- дой обмот- ки, Ом	Напряже- ние сраба- рывания, В, не более	Рабочее напряже- ние, В	Тип	Номер паспорта	Сопротив- ление каж- дой обмот- ки, Ом	Напряже- ние сраба- гывания, В, не более	Рабочее напряже- ние, В
PIIC20	PC4.521.751 PC4.521.752 PC4.521.753 PC4.521.754 PC4.521.755	27-33 110-150 190-250 530-790 530-790	3,6 7,8 10 18 18	5,4-7,2 10,8-14,0 13,5-18,0 24-32 24-32	РПС24	PC4.521.751 PC4.521.915 PC4.521.917. PC4.521.918	246-334 42,5-57,5 246-334 246-334	18 8 17 .17	24-32 10,8-14,0 22-34 22-34
PIIC23	PC4.521.757 PC4.521.758 PC4.521.759	270-370 16-20 425-575	13 2,8 16	18-22 4,0-5,2 22-34	PIT C26	PC4.521.926 PC4.521.927 PC4.521.928	255-345 64-86 255-345	18 8 17	24-32 10,8-14,0 22-34
PIIC23	PC4.520.021	195,5-264,5	13	19—25	РПС28	PC4.521.938 PC4.521.939 PC4.521.940	290-390 68-92 290-390	18 8 17	24-32 10,8-14,0 22-34

Таблица 12.125. Износостойкость дистанционных переключателей

Режим коммутации		_	_	Частота переключений, Гц.	Uucao nuvaon menerammenno	
Tox, A	Напряжение, В	Род тока	Вид нагрузки	не более	не менее	
0,08-2,0	6-34	Постоянный	Активная 3		104	
0,51,0	12115	50—400 Γu		0,5		
0,041,0	6-34	Постоянный	Индуктивная т≪0,015 с	1	104	
0,050,5	12115	50400 Гц	Активная	3	104	
0,05-0,5	12-115		cose>0,3	1	0,5 - 104	





Переключатель РПС20. При подключения плоси источника питания к изиалу обмотки, обозначенному 2, а минуса — к концу обмотки, обозначенному 2, а минуса — к концу обмотки, обознаси контактом 1, контакта 9 к сиотиактом 5 и остветственно при подключении плоса источника питаняя к началу обмотки, обозначенному 7, происходит замикание контакта 4 с контактом 10 и контакта 9, контакта 9 к сиотиакта 9, происходит зами-

Переключатель РПС23. Конструктивные данные и схема переключателя аналогичны данным переключателя РПС20. Время срабатывания переключателя при минимальном рабочем напря-

жении - не более 8 мс.

Переключатель РПС24. При подключении плосы источника питания к началам обмогок, обозначенным I и 3, а минуса — к концам обмоток, обозначенным I и 3, а минуса — к концам обмоток, обозначенным I и 3, и 1 происходит замыкание контактов 2I-22 с контактами IJ-22 и контактом IJ-22 с контактами IJ-22 и соответственно при подключении плюса вкто-чинка питания к изконцам обмоток, обозначенным I и IJ-22 контактами IJ-12. И контактом IJ-22 с контактами IJ-12.

Длигельность негірерывного пребывания обмоток под напряжением — не более 1 мин. Скважность включения — не менее 20. Минимальная длительность импульса, подаваемого на обмотку, 25 мс. Время срабатывания переключателя при минимальном рабочем напряжении — не более 10 мс

Переключатель РПС26. При подключении пласи си источника питания к начадам обмоток, обоначенным / и 3, а минуса — к концам обмоток, обозначенным 5 и 7, прокосходит замыжение конток 61, 52, 53 с контактами 41, 42, 43 и соответственно при подключении пласо источника питания к началам обмоток, обозначенным 2 и 4, а минуса — к концам обмоток, обозначенным 5 и 4, а минуса — к концам обмоток, обозначенным 5 и 6, и 6, происсорит замыжение контактов 31, 62, 53 с к и 6, происсорит замыжение контактов 31, 62, 53 с контактами 31, 52, 38 с к контактов 21, 22, 25 с контактами 31, 52, 38 с к контактов 21, 22, 25 с контактами 31, 52, 38 с к контактов 21, 22, 25 с контактами 31, 52, 38 с к контактов 21, 22, 25 с контактами 31, 52, 38 с к контактов 21, 22, 25 с кон-

Длительность непрерывного пребывания обмоток под напряжением — не более 1 мин. Скважиность включения — не менее 20. Минимальная длительность импульса, подаваемого на обмотку, 22 мс. Время срабатывания при минимальном ра бочем напряжении — не более 12 мс.

РПС28. Переключатель При подключении плюса источника питания началам обмоток, обозначенным 3. минуса — к обмоток, концам обозначенным 5 и 7, происходит замыкание контактов 21, 22, 23, 24 с контактами 11, 12, 13, 14 и контактов 51, 52, 53, 54 с контактами 41, 42, 43, 44 и соответственно при подключении плюса источника питания к началам обмоток, обозначенным 2 и 4, а минуса — к концам обмоток, обозначенным 6 и 8, происходит замыкание контактов 51, 52, 53, 54 с контактами 61, 62, 63, 64 и контактов 21, 22, 23. 24 с контактами 31. 32. 33. 34.

Длительность непрерывного пребывания обмоток под напряжением — не более 1 мин. Скважность включения — не менее 20.

Минимальная длительность импульса, подаваемого на обмотку, 25 мс. Время срабатывания переключателя при минимальном рабочем напряжении — не более 10 мс.

Особенности применения дистанционных пераключателей. Особенность переключателей заключается в том, что при подаче на одну из обмоток напряжения необходимой полярности якорь пераключателя пе притягивается, а отталкавается от сердечника, к которому он был предварительно переброшек.

Такая конструкция переключателей делает недопустимым увеличение напряжения на обмотках по отношению к номинальному, так как при увеличении напряжения срабатывания орнентировочно вдаю- якорь переключателя начинает притягиваться к сердечнику, что нарушает его нормальную работу.

Напряжения среда рПС26, РПС28 впр ваботе якоря впС20, РПС24, РПС36, РПС28 впр ваботе якоря ва оттальявание вын на притяжение к серденцыком значительно различаются, поэтому не селдует одновременно подавать рабочие напряжения на этом размостным магительно подавать по учение по подавать рабочие напряжения на учение по подавать рабочие по учение по подавать по достаточным для отрыва якоря от сердечника, ко недостаточным для отрывать якоря от серденику. Якорь при этом может «зависнуть» в средкем положения.

Переключатель РПССЗ, у когорого каждая из обмоток разделена на две половины и размещена на обоих сердечниках, допускает перемену полярности наприжения, подавежного на каждульство обмоток. При подаче рабочего наприжения однового клиток по подаче рабочего наприжения одноток и подаче рабочего наприжения одноток и подаче рабочего наприжения образделения однотиться и подаче рабочего на подачения однотиться и подачения однония одно-правиться подачения под

Для надежной работы переключателей импульсы тока через обмотку должны быть с крутым фронтом и продолжительностью не мейе 25 мс. Напряжение, подаваемое на обмотки переключателей, должно поступать от источников постоянного тока с пульсацияй, не превыщающей 5%.

Переключагеля РПС24, РПС26, РПС26 мнего по две обможи, для прямого включения и по две — для отбоя. Переключатели нормально функцимируют при включения калелой из обмоток. Дуб-лирующее обмотик служат для ресервирования. Пераласныем включения каждух прямых или двух отбойных обмоток спиккет напряжение срабативания влабе, но увелечивает соответственно потребляемую мощность. Последовательное включение двух примых и двух отбойных обмоток при сочение двух примых и двух отбойных обмоток при сомочение двух примых и двух отбойных обмоток при сомочение двух приням и паружения срабатавания влабе обмоток при сомоток при сом

Дистанционные переключатели не рассчитаны а работу при включени обмоток через собственные контакты («самоблокирова»). При включени обмотки через соой контакт якорь переключени обмотки через соой контакт якорь переключателя не всегда успевает приобрести состаточный запас кнеитческой экергии, необходимый для перебоса якоря по инерции к друравьном подожении. Поатому включать божи переключателей следует только через контакты других коммутационных устройств.

Отсутствие магнитиой экранировки, увеличивает напримение срабатывания при палоти, становке переключателей в результате их взавиправативления при палоти правати и магени на патати и магати на патати и магени правати и магенити правати права

### Электромагнитные шаговые искатели

Шаговые нскатели типов ШИ-25/4, ШИ-25/8, ШИ-50/2, ШИ-50/4 (табл. 12.126) представляют собой миогопозиционные щеточные переключатели с электромагинтным приводом обратного действия и состоят из статора, ротора и движущего механизма.

Статоры искателей ШИ-25/4, ШИ-55/8, ШИ-50/2 и ШИ-50/4 и шеют соответствению 4, 8, 4 и 8 полей контактный ламелей, расположеных по дуге 180°. Каждое поле обслуживается своей контактной щеткой, которая служит входом для данного рада ламелей.

Роторы искателей ШИ-25/4 и ШИ-25/8 имеют соответственно 4 и 8 двухлучевых щеток, угол между лучами 180°. Роторы искателей ШИ-50/2 и ШИ-50/4 имеют соответственно 4 и 8 однолучевых щеток. Одна половина щеток ротора сдвинута относительно другой на 180°.

В исходном положении искателей типов ШИ-25/4 и ШИ-25/8 щетки ротора одним своим лучом накодятся на нулевых ламелях, а другим лучом — на ламелях 26, соединяя ламели соответствующего ряда контактного поля электрически.

Нулевые ламели и ламели 26 — исходные. В каждом ряду контактного поля этих искателей имеется 25 рабочих выходов, которые обегаются щетками за половину оборота ротора.

В исходиом положении искателей типов 10И-50/2 и ШИ-50/4 половина шегок ротора находится на нулевых ламелях, а другая половина — свободна. Для получения 50 рабочих выходов, которые обегаются щетками за полымы оборот ротора, щетку одного луча соединяют со щеткой противоположного луча.

Искатели имеют щетки ротора двух типов: без перекрытия и с перекрытием ламелей. Щетки без перекрытия при переходе с ламели на ламель не

Таблица 12.126. Характеристики шаговых искателей

Tun		Обмотка		Количество щеток		e ž	
	Номер паспорта	Номиналь- ное сопро- тимене, Ом	Ноинваль- ное рабочее напражение, В	с перекры-	без пере- крытия	Наличие контактиых	
	PC3.250.048 PC3.250.041 PC3.250.067 PC3.250.049	25	24	2 2 2 2 2 2 2 2	2242222424	CK, F CK, F CK	
ШИ-25/4	PC3.250.038 PC3.250.039 PC3.250.056 PC3.250.035	200	48	2 2 2	2 2 2	CK CK, F CK	
	PC3.250.060 PC3.250.033	200	60	2	2 4	CK CK CK	
пи-25/8	PC3.250.040 PC3.250.046 PC3.250.063 PC3.250.066 PC3.250.066 PC3.250.051 PC3.250.079	40	24	4 4 4 4 4 8	4 4 8 4 4 4 4 4	CK CK CK CK, F CK, F	
à	PC3.250.061 PC3.250.042 PC3.250.043 PC3.250.044	200 60 60 200	48	4 4 4	4 4	CK, F CK, F CK, F	
	PC3.250.099 PC3.250.052	200	60	-	-	CK, F	
₩ 50/4	PC3.250.045 PC3.250.057 PC3.250.065 PC3.250.065 PC3.250.050 PC3.250.034	40 25 40 25 25 200	24	4 4 -	8 4 4 8 8	CK CK, r	
H		60	48		4	CK, F	
	PC3.250.047 PC3.250.058 PC3.250.032	200	60	4 4 -	4 4 8 8	CK CK CK, r	
1	PC3.250.093 PC3.250.059*	25	24	=	8 4	CK, F	

\* Шаговый искатель типа ШИ-50/2

соединяют соседние ламели своего ряда. Шетки с сперекрытием ламелей при переходе с одной вмели на соседнюю соединяют эти ламели. После завершения каждого шага соединение соседних ламелей нарошается.

Искатели типов ШИ-25/4, ШИ-35/4, ШИ-50/4, ВИ-50/4, ВИ-50

Питвотся обмогки электромагнита искателей импульсами постоянного тока или непосредственно постоянным током через самопрерывающиеся контакты (СК). Контактная группа СК имеет одну контакты пуск одну контакты и одну быто при подамения группа СК разыкается при натажении пружины якоря, т. е. при подаче питания на обмотку электромагнита искателя.

Время срабатывания электромагнита — не более 50 мс, а время отпускания — не более 25 мс, Контактная группа (ГК) содержит одну группу контактов на замыкание и одну группу контактов на переключение. Контактная группа срабатывает при установке любого из лучей щеток на нулевые ламели.

Рабочее положение искателей вертикальное, электромагнитом вниз, или горизонтальное, отсчетным барабаном вверх.

Искатели обеспечивают коммутацию цепей напряжением от 10 до 64 В при активной нагрузке и токе от 0,01 до 0,1 А. Гарантируемое число полных оборотов ротора без замены деталей — не менее 25 000.



# АНТЕННЫ

РАЗДЕЛ (13)

### СОДЕРЖАНИЕ

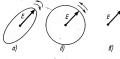
13.2.	Электроматинтное поле Характеристики и вараметры антенн Фидерные линин Параметры Фидерных линий (539), Конструкции фидерных линий (541), Замкнутые в разомкиутые	537
	линии (542). Металлические изоляторы (543). Согласующие четвертьволновые трансформаторы (543). Особенности работы автенно-фидерного тракта телевизионного приеминка (544).	
13.4.	Расчет напряжения на входе приемника	544
13.5.	Теленановимые антенны (545). Симметрирование антени (546). Актенкы «волновой какал» (548). Миогоханальные антенны (550). Дияпазонные антенны (551). Симфазице антенны (552).	545
	Подключение двух телевизоров к общей антение (553). Подключение к телевизору антени разных каналов (553). Установка и ориентирование антени (554)	
13.6.	Антенны для приема радиовещательных передач	554
13.7.	Антенны любительских радностанций Антенны УКВ (555). Слабонаправленные антенны КВ (555). Направленные антенны КВ (557)	555
100	Антенна СВ (558)	

### 13.1. ЭЛЕКТРОМАГНИТНОЕ ПОЛЕ

Электромагнитное поле, создаваемое передающей антенной, характеризуется в каждой точке пространства уровнем и поляризацией.

Уровень электромагнитного поля числению оценвается напряженностью электрической составляющей поля E. Единица измерения напряженностью вольт/метр [B/M]. В практике радиоприема пользуются более мелкими единицами — миллимольт/метр [B/M] и микровольт/метр [B/M] и метр [B/M] и микровольт/метр [B

Напряженность поля часто оценивается в логарифмических единицах — дицебелах [дБ] относительно некоторого исходного уровня, в качестве



PRC. 13.1

которого обычно принимают 1 мкВ/м или 1 мВ/м. Напряженность поля E[дB] рассчитывается по формуле

E = 20 lg n.

где n- отношение напряженности поля E (мВ/м или мВ/м) к принятому коходиму уровно [1 мкВ/м или 1 мВ/м]. Например, если напряженность поля равиа 2 мВ/м, то значение ее в логарифмических единицах составляет + 66 дВ относительно уровия 1 мКВ/м или + 6 дВ относительно уровия 1 мВ/м

Напряженность поля E — величина векторная. Она изображается графически в виде стрелки, направленной в сторону действия электрических сил.

Поляризация электромагнитного поля зависит от конструкции в расположения передающей антенны. Поляризация характеризуется формой кривой, которую описывает конец вектора электрического поля в плоскости, перпецанкуляриой направлению распространения волым. Наиболее общим случаем малиется эллиптическая поляризаской поляризация вланитетя дуготовах (рик. 131, 6).

и элиейная (рис. 13.1, в). Если вектор Е пра
зимейнай поляризация расположен горязонталь-

но (параллельно земле), то поляризация называется горизонтальной, а вертикально (перпендикулярно земле) — вертикальной.

При выборе конструкции приемной антенны учитывают повържащим прикодицих радынован. Волим с круговой подпризации органован. Волим с круговой подпризации (например, спиральную) либо на антенну линейной подкрызации (например, антенну жолимовой княдать с горизонтально или вертикально расположенными вибраторами). Волим с горизонтальной подпризация принимают на антенну с горизонтально расположенными вибраещими видентирующими приментирующими женными вибраторами, а с вертикальной подяриженными вибраторами, а с вертикальной подяриженными вибраторами, а с вертикальной подяризацией — на антенну с вертикально расположенными вибраторами.

Телевизионные передачи в нашей стране ведутем як с помощью горуаонтально-поляризованных воли, так и с помощью вертикально-поляризованных воли, так и с помощью вертикально-поляризованных ломощью вертикально-поляризованных воли, а ла УКВ с частогной модулеризованных под применений в помощью горизонтально-поляризованных воли для любительской связи используются как горизонтально, так и вертикально-поляризованных волиы.

#### 13.2. ХАРАКТЕРИСТИКИ И ПАРАМЕТРЫ АНТЕНН

Антенны представляют собой обратимые устройстав: они могут быть в равной мере использованы как для передачи, так и для приема радносигалов. Направленные совбства антенны определяются ее типом, размерами, конструкцией и не зависят от того, в каком режиме антенны используется— передачи или приема. Поскольку в разполобительской практиве антенны чаще использом от править и пределяющих править и п

Характеристика маправаемности антенны — за висимость ЭДС на зажимах зитенны от направления прихода сигнала. Полное представление о направлениях сойствах антенны дает ее просгранственная характеристика направленности, направления прихода сигнала в полном телесном угле 360°. Достаточное представление о направлениях свойствах зитенны можно получить, зная ее характеристики направленности в акух вазымно веставлаемности станов представления веставлаемности представления на представлениях представлениях представлениях реставлаемность доставлениях горовствальной веставлаемность доставлениях горовствальной веставлаемность доставлениях горовствальной веставлаемность доставлениях горовствальной веставлаемность применениях горовствальной веставлаемность представлениях горовствальной веставлаемность применениях горовствальной веставлаемность применениях горовствальной веставлаемность применениях горовствальной веставлаемность применениях горовствальной за представлениях горовства на применениях горовств

Характеристики направленности изображают в виде диаграми направленности. На рис. 13.2 показана объемная фигура, представляющая соб пример пространственной диаграммы направленности автенны. Сечение этой фигура горизонтальной плоскостью (запружавано) представляющая состоять учаственностью учаственностью представляющей пр

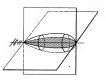


Рис. .13.2

На рис. 13.3, с приведена построения в поавраных координатах типичная диперамия іншераных котранитах типичная диперамия настоявания пределення и пределення в поавраленности четырехалементной антенны водальнойторами) в горизонтальной плоскости; на рис. 13.2,6 та же диаграмия в правоугольных координатах. При построении диаграми направленности имасимальную ЭПС принимают за единицу (нормированияя диаграмия направленности), что поаволяет сравнить между собой различные антенны

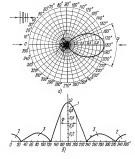


Рис. 13.3

по их направленным свойствам. Из рис. 13.3 видно, что ЭДС на зажимах антенны максимальна, когда волна приходит с направления, показанного сплошной стредкой. При других направлениях, прихода волны ЭДС меньще. Область / называют основным или главным лестком диаграммы направленности, а напраление, соответствующее максимальной ЭДС, направлением основного (или главного) приема (излучения). Области 2 и з называют соответственно задним и боковым лепестками диаграммы направленности; их иногда называют побочными.

Описанную диаграмму называют диаграммой направленности по полю, поскольку ЭДС на зажимах антенны пропорциональна мапраженности поля в точее прием в квадрат относительные значения ЭДС, соответствующие празличным маправлениям прихода сигнала, то можно построить диаграмму направленности по мощности.

Шкрина или угол раствора ф основного ленеста— угол, в пределах которого ЭДС на зажимах антенны (или напражение с до условно у

Уровень задник и боковых (побочных) лепестнов  $\gamma$ , илепетнов  $\gamma$ 

Помехозащищенность антейны тем выше, чем меньше руювень побочных лепестков. Уровень побочных лепестков по мощности  $\gamma_P = \gamma_F^2$ ; уровень побочных лепестков по напряжению и мощности в процентах:  $\gamma_W \ll -100\gamma_F$ ,  $\gamma_P \ll -100\gamma_F$ .

Любая вітення ввлячется в той или ніюй мера направленної. Полностью ненаправленных антенн, имеющих пространственную дивграмму направленности в вид сферм, в природе не существует. Однако в антенной технике пользуются зываемой могротною. Она видатести удобном эталоном, с которым можно сравнивать реальные витенны по их маграмленным свойствам.

Входное сопротивление антенны  $z_{\rm ss}$  — отношение напряжения к току на зажимах антенны. В общем случае  $z_{\rm ss}$  содержит резистивную  $R_{\rm ss}$  и реактивную  $X_{\rm ls}$  (емкостную или индуктивную) составляющие

Резистивная составляющая входного сопротивления  $R_{\rm sc}=R_{\rm c}+R_{\rm n}$ , где  $R_{\rm c}=R_{\rm c}$  и  $R_{\rm e}=$  соответственно сопротивление излучения и сопротивление потерь, отнесенные к амилитудному значению тока  $I_{\rm sx}$  на зажимах антенны.

Сопротивление излучения характеризует мощность излучения антенны

$$P_{\Sigma} = 0.5I_{Bx}^2 R_{\Sigma}$$

Сопротивление потерь характеризует мошность

потерь в антенне (в проводниках, изоляторах и т. д.)

 $P_u = 0.5I_{nx}^2 R_u$ 

Модуль (численкое значение) планого входного сопротивления антенны  $z_{n+} \sim \sqrt{R_{n+}^2 + X_{n+}^2}$ . Чем еневше  $X_{n+}$  и чем блике  $R_{n+}$  к аодновому сопротивления  $z_n$  линии, соединяющей антенну с приченияюм (фидерияя линия), тем аучие антенны мергия радиоситивла передается из антенны динию.

Входное сопротивление является чисто резистивным на частоте, соответствующей резонансу антенны. Широко распространенная УКВ — симметричный линейный вибратор — настроена в резонанс, когда по длине вибратора укладывается целое число полуволи. Если число полуволи, укладывающихся вдоль вибратора, нечетное ( $\lambda/2$ ,  $3\lambda/2$  и т. д.), то входное сопротивление мало (от 73 Ом при длине вибратора λ/2 до 120 Ом при большем числе полуволн). Если же число полуволи четное (д. 2д. 3д и т. д.), то входное сопротивление велико (от 400 - 500 Ом до 1-2 кОм в зависимости от диаметра проводников). Режим нечетного резонанса с низким входным сопротивлением выгоднее с точки зрения удобства согласования вибратора с коаксиальным кабелем.

Козфицием маправленного действия аптемы До жарактеризует выигрым по мощности в нагрузке благодаря направленным свойствам антенны и представляет собой отношение мощности, которую выделяет антенна без потерь на согласованной нагрузке, к мощности, выделяемой той же нагрузке согласованной с ней воображаемой ненаправленной (изотропной) антенны продной и той же напряженности пола в точке приема. При этом предполагается, что максимум диаграммы направленности энтенны орнентировы точно на кточник излучения.

Коэффициент полезного действия антенны  $\eta_{\rm A}$  характеризует потери мощности в антенне и представляет собой отношение мощности излучения к сумме мощностей излучения и потерь

$$\eta_a = P_{\Sigma}/(P_{\Sigma} + P_n) = R_{\Sigma}/(R_{\Sigma} + R_n)$$
.

Чем меньше сопротивление излучения  $R_{\Sigma}$  и чем больше сопротивление потерь  $R_n$ , тем меньше коэффициент полезного действия.

 $\dot{K}$ оэффициент усиления антенны по мощности  $K_P$  характеризует реальный выигрыш по мощности в согласованной нагрузче, давемый антенной, по сравнению с изотропным излучателем с учетом направленных свойств антенны и потерь в ней:

$$K_P = D\eta_a$$
.

Для антенн УКВ  $\eta_a \approx 1$  и  $K_\rho = D_\rho$ , т. е. коэффициент усиления антенн этого диапазона по мощности относительно изотропного излучателя численно равен их коэффициенту направленного действия.

Коэффициент усиления антенны по напряжению

$$K_U = \sqrt{K_p}$$
.

В качестве эталонной антенны, относительно которой указывается коэффициент усиления. вместо изотропной антенны часто используют реальную антенну - полуволновый вибратор, который имеет расчетный коэффициент усиления относительно изотропной антенны, равный 2,15 дБ (1,28 раза по напряжению или 1,64 раза по мощности). Поэтому если в справочных данных указан коэффициент усиления антенны по напряжению или по мощности относительно изотропной антенны, то, разделив его соответственно на 1,28 или 1.64, получим коэффициент усиления по напряжению или по мощности относительно полуволнового вибратора. Если же известен коэффициент усиления антенны относительно изотропной антенны в децибелах, то для определения коэффициента усиления относительно полуволнового вибратора нужно вычесть 2,15 дБ. Например, если коэффициент усиления антенны относительно изотропной антенны составляет 8,5 дБ, то ее коэффициент усиления относительно полуволнового вибратора равен 8,5 дБ — 2,15 дБ = = 6,35 дБ.

В данном справочнике коэффициенты усиления антенн указаны относительно полуволнового вибратора.

Педстаующая данма антенны I, — параметр, позволяющий расчитать ЭДС е на зажимах простедних антенн — полуволнового вибратора, четертьволнового штарр и т, а. в предположении, что максимум диаграммы направленности ориентирован точно на источник излучения;  $\mu$ , м, представляет собой козффициент пропорциональности между ЭДС е и напряженностью поля  $\varepsilon$ :  $\varepsilon$  =  $\varepsilon$ I<sub>4</sub>.

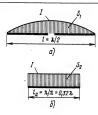
Физический смыси параметра «действующая длина» полектим на пример «лиейсног полуволнового вибратора. Обратимся к рис. 13.4, а. Ток 
адоль вибратора меняется по синусоидальному 
закону с максимумом в центре вибратора и мулями 
не от копцах. Навовем условно заштрихованную 
площаль полидаль отко S., Представии себе 
ток распределен равномерно и имет замение 
такое же, как и в центре полуволнового вибратопом Вазовем условно заштрихованную помощаплощалью тока S., Пля того чтобы площадаплощалью тока S., Такото, воображженого вибратора 
мужно, чтобы доля 
вибратора, нужно, чтобы длина второго вибратора 
вижно, чтобы 
вибратора, нужно, чтобы длина второго вибратора 
вижно, чтобы 
видентельной 


Рис. 13.4

ра была равна  $\lambda/\pi$ . Эта длина и называется действующей длиной ланейного полуволнового выбратора. Таким образом, действующей длина напейвого полузолнового выбратора с рана правитатьство выбратора с рана длина такого выбратора с раномерным распределением тока, кторый имеет площадь тока динейного полуволнового выбраторый имеет площадь с раномерным с с действений править п

В автеннах, используемых для приема РВ станий, работающих на ДВ, СВ и КВ с применением вертикально-поляризованных воли (антенна в высе вертикального или наклонного провода, Т-образная и Г-образная антенна), ток также распраслем неразвимоврено: пучность (максимальное значение) тока находится в месте подключения вместо параметра «действующия длина» польвместо параметра «действующия дина» польпараметром «действующия рамета» (», Действующую высоту антенны не следует путать с выстой ее подветам.

Рабочая полоса частот антенны  $(f_{\rm min}x-f_{\rm min})$  — полоса частот, в пределах которой параметры антенны не выходят за пределы допусков, определяемых ее назначением.

## 13.3. ФИДЕРНЫЕ ЛИНИИ

# Параметры фидерных линий

К числу основных параметров фидерных линий относятся волновое сопротивление, погонное затухание и коэффициент укорочения длины волны.

Волновое сопротивление z<sub>s</sub> — отношение амплитуды падающей волны напряжения в линии к амплитуде падающей волны тока (падающие волны — волны, распространяющиеся по линии от генератора к нагрузке); определяется через погонную индуктивность  $L_{\rm nor}$  и погонную емкость  $G_{\rm sor}$ :

$$z_0 = \sqrt{L_{\text{nor}}/C_{\text{nor}}}$$

Волновое сопротивление зависит от формы и взаимного расположения проводников в поперечном сечении линии, а также от дизлектрической постоянной є и магнитной проницаемости µ материала, разделяющего проводника

Режим работы линии (рис. 13.5, a) определяется соотношением между волновым сопротивлением лини z, и сопротявлением натружих z, Если сопротявление матружих — резистывное и ранье волновому сопротявления ( $z_z = R - z_z$ ), то по лини на пражления и тока в напрамления от генераторы к натружих сопротявления от генераторы к натружих соля и натружих был в лании нет. Такой режим называется режимом бетушей волям (рис. 13s,  $\delta$ ); энергия от генераторы шей волям (рис. 13s,  $\delta$ ); энергия от генераторы сопрождения от денератор генераторы по генераторы со дене долям (рис. 13s,  $\delta$ ); энергия от генераторы со дене денераторы со

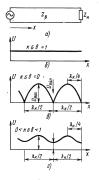


Рис. 13.5

полностью передается по линии в нагрузку. Если линия замкнута  $(z_n = 0)$ , разомкнута  $(z_n \rightarrow \infty)$  или нагружена на чисто реактивное сопротивление (индуктивное или емкостное), то в ней возникают отраженные волны, распространяющиеся в сторону генератора, причем амплитуда отраженной волны равна амплитуде падающей. В сечениях линии, где падающая и отраженная волны напряжения (тока) находятся в противофазе, возникают нули (узлы) напряжения (тока), а в фазе — максимумы (пучности) напряжения (тока). Расстояние между соседними пучностями или соседними узлами равно половине длины волны, между соседними пучностью и узлом четверти длины волны. Кривые распределения напряжения и тока сдвинуты между собой на четверть длины волны (пучности напряжения соответствует узел тока, узлу напряжения — пуч-ность тока). Такой режим работы линии называется режимом стоячей волны (рис. 13.5, в). В этом режиме перенос энергии вдоль линии отсутствует - вся энергия, поступающая из генератора в линию, полностью возвращается в генератор.

Если сопротивление нагрузки — чисто резистивное, но не равно волюкому сопротивленом плини ( $x_z = R_f + x_s$ ) либо комплексию, состоящее из резистивной и реактивной составляющих от режима линии является промежуточным между режимами бетущей и стоячей волинь меньше амплитуда отраженной волинь меньше амплитуды не равны нула и привые распределения наприрежиме энергам, поступаващих из генератора в линию, частично передается в нагрузку, а частично овращается в тенератора.

Наивыгоднейшим режимом работы линии явявется режим бегущей волны, так как в этом режиме энергия из линии полностью передается в нагрузку; КПД линии максимален.

Коэффициент бегущей волны (КВВ) — параметр, характеризующий степень согласования фидерной линии с нагрузкой; равен отношенню напряжения в уэле  $(U_{\rm men})$  к напряжению в рядом расположенной пучности  $(U_{\rm max})$ , т.е.

$$KBB = U_{min}/U_{max}$$

В зависимости от степени согласования линии с нагрузкой КБВ имеет значения от 0 до 1. Чем лучше согласована линия с нагрузкой, тем ближе КБВ к единице.

Коэффициент стоячей волны (КСВ) — величина, обратная коэффициенту бегущей волны:

Коэффициент отражения по напряжению  $p_{\gamma}$  — оношение амплитуд отражений  $U_{\sigma p}$  и пядающей  $U_{\rm mag}$  волн напряжения:  $p_{\zeta} = U_{\sigma p f} / U_{\rm mag}$ . Коэффициент отражения по напряжению связан с КБВ и КСВ соотмошениями

$$p_U = (1 - KBB)/(1 + KBB); p_U = (KCB-1)/(KCB+1).$$

В режиме бегущей волны KBB=1,  $p_U=0$ ; в режиме стоячей волны KBB=0,  $p_U=1$ ; в промежу-

точном режиме  $0 < KBS < 1; 1 > p_U > 0$ . Погонное затухание  $\beta -$  затухание на единицу длины фидерной линии; выражается в децибелах на метр [дБ/м] или децибелах на километр [дБ/км]. Затухание в децибелах в линии дли-

$$T = \beta l$$
.

ной І

Коэффициент полезного действия фидерной линии  $\eta_{\Phi}$  — отношение мощности  $P_{\pi x}$  на выходе линии к мощности  $P_{\pi x}$  на ее входе,  $\tau$ . е.

$$\eta_{\phi} = P_{\text{BMX}}/P_{\text{SX}}$$

Коэффициент укорочения длины волны в фидерной линни n— параметр, показывающий, во сколько раз длина волны в линни  $k_k$  меньше длины волны  $\lambda$  в свободном пространстве,  $\tau$ . е.

$$n = \lambda/\lambda_{\kappa}$$

Для экранированных диний, полностью заполненных изоляцией,  $n = \sqrt{\epsilon}$ , гре  $\epsilon$  — относительная диэлектрическая постоянная изоляций. Для воздушных линий, экранированных и неэкранированых, n = 1. Занечения n для коаксиальных кабелей указаны в табл. 13.1. При известном n длина водны в кабеле  $k = \lambda / n$ .

Таблица 13.1. Коаксиальные кабели

			м	P	азмер (см. р	рис. 13.6)	Минимально допу-	Интервал
Марка	z <sub>s</sub> , On	Спот, пФ/м	n n	d <sub>1</sub> , мм	d <sub>2</sub> , мм	d <sub>3</sub> , им	стимый радиус изги- ба при монтаже, ми	
PK 75-4-11 (PK-101)* PK 75-4-15 (PK-1) PK 75-4-12 (PK-149)	75±8 75±3 75±3	67 67	1,52 1,52 1,52	0,72 0,72 0,78**	4,6±0,2 4,6±0,2 4,6±0,2	7,3±0,4 7,3±0,4 7,3±0,4	70 70 70	-60÷+85 -40÷+70 -60÷+85
PK 75-4-16 (PK-49) PK 75-9-13 (PK-103) PK 75-9-12 (PK-3)	75±3 75±3 75±3	67 67	1,52 1,52 1,52	0,78** 1,35 1,35	4,6±0,2 9,0±0,3 9,0±0,3	7,3±0,4 12,2±0,8 12,2±0,8	70 120 120	40÷+70 60÷+85 40÷+70
КПТА КПТМ РК 50-7-11 (РК-147) РК 50-9-11 (РК-106)	75±7,5 75±6 50±2 50±2	100	1,23 1,23 1,52 1,52	0,52 1,13 2,28** 2,70**	2,4±0,2 5,2±0,5 7,25±0,3 9,0±0,3	4,3*** 8,0*** 10,3±0,6 12,2±0,8	40 70 100 120	-40÷+50 -40÷+50 -60÷+85 -60÷+85
PK 50-9-12 (PK-6)	50±2		1,52	2,70**	$9.0 \pm 0.3$	$12,2 \pm 0,8$	120	-40÷+70

В скобках указаны старые обозначения.
 Семижильный проводник.
 Не более

# Конструкции фидерных линий

Фидериме линии применяют для соединения антени с передатичамы и применяют для а также для изготовления симметрирующих и согласующих трансформаторов, реастивных шажефом, метаданческих изоляторов, соединительных линий сложных моготожаких антени и т. д. Наиболее распространенными типами фидеримх линий являются коаксильные кабебаль промышаемого изготовления и воздушные линии, экранированные и вежденированные и вежденированные

Коаксиальный кабель (рис. 13.6) состоит из медного внутреннего проводника, одножильного



Рис. 13.6

или многожильного, полиэтиленовой изоляции, внешнего проводника, плетеного из медных проволок диаметром 0,1 — 0,2 мм, и пластмассовой оболочки.

оболочки.
Конструктивные данные и параметры наиболее распространенных коаксиальных кабелей приведены в табл. 13.1. Погонное затухание кабелей на частотах телевизнонных каналов, радновещания на УКВ и любительской связи в дивпазонах 2,10,15 и 20 м указано в табл. 13.2. Для телевизонных каналовия каналовия АМВ и 21—41 дивпазона ДМВ и 22—44 дивпазона ДМВ потонное затухание привесено и срединск каналах (сответствено на 9-м должных каналах (сответствено на 9-м должных каналах (сответствено на 9-м должных прил потонное затухание отличается мало.

Кабели КПТА и КПТМ предназначены для систем коллективного приема телевидения (СКПТ); кабель КПТА используется в качестве абонентского, кабель KПТМ — магистрального. ГОСТ 18422 — 73 предусматривает выпуск для СКПТ наряду с кабелями КПТА и КПТМ еще ряда кабелей с волновым сопротивлением 75 Ом, а также кабелей для индивидуальных телеви-зионных антенн. Условное наименование этих кабелей содержит буквенные индексы АК (антенный коллективный) или АИ (антенный индивидуальный), например PK ' 75-9-12AK, PK 75-4-11АЙ и т.д.

Кабели, указанные в табл. 13.1, включая касели КПТА и КПТМ, а также кабели, к условному наименованию которых добавлены буквенные икдексы АК и АИ, пригодив для вспользования при изготовлении телевизнонных антени, антени любительских приемопередатчиков и другой любительском апиаватуюм.

Воздушные линии. На рис. 13.7 показаны различные типы воздушных линий. Волновые сопротивления линий [OM]:

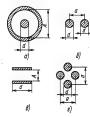
Таблица 13.2. Погонное затухание коаксиальных кабелей

	Γ	Н	мер тел	евизнони	ого кана	Днапаэс	и любит	Разновеша-				
Марка	1	2	3	4	5	6-12	21-41	2	10	15	20	ие на УКВ
					По	гонное з	атухани	е β, дБ/	И			
PK 75-4-11 (PK-101) PK 75-4-15 (PK-1) PK 75-4-12 (PK-149) PK 75-4-16 (PK-49) PK 75-9-13 (PK-103) PK 75-9-12 (PK-3) KПТА	0,076 0,076 0,078 0,078 0,078 0,046 0,046 0,091 0,058	0,082 0,082 0,084 0,084 0,050 0,050 0,100 0,067	0,094 0,094 0,097 0,097 0,056 0,059 0,120 0,078	0,099 0,099 0,103 0,103 0,059 0,062 0,127 0,082	0,102 0,102 0,106 0,106 0,062 0,100 0,134 0,086	0,150 0,150 0,160 0,160 0,100 0,185 0,205 0,130	0,320 0,320 0,340 0,340 0,185 0,078 0,420 0,260	0,130 0,130 0,140 0,140 0,078 0,028 0,180 0,105	0,045 0,045 0,046 0,046 0,028 0,020 0,066 0,040	0,035 0,035 0,035 0,035 0,020 0,020 0,047 0,034	0,022 0,022 0,022 0,022 0,022 0,016 0,016 0,037 0,028	0,088 0,088 0,090 0,090 0,052 0,052 0,110 0,073

коаксиальная линия (рис. 13.7,a)  $z_s = 138 lg \frac{D}{d}$  двухпроводная линия (рис. 13.7,6)  $z_s = 276 lg \frac{2a}{d}$  при a/d > 2;

ленточная линия (рис. 13.7, в)  $z_b = 377 \ A/(A + +a)$  при A/a < 2.

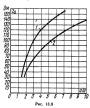
Если коаксиальная линия заполнена диэлектриком, то для расчета ее волнового сопротив-



PHC. 13.7

ления нужно разделить волновое сопротивление воздушной линии на  $\sqrt{\epsilon}$ .

Волновое сопротивление четырекпроводкой алим (рис. 13.7, е) можно определять по графику на рис. 13.8. Кривая / на этом графике отностите к случаем, когда одини проводитком тими служат соединенные между собой провода / и 2, вторым — соединенные между собой провода / и 3, вторым — соединенные между собой провода / и 3, вторым — соединенные между собой провода / и 3, в тотом соединенные между собой провода / и 3, в тотом соединенные между собой провода / и 3, в тотом соединенные между собой провода / и 3, в тотом



Четырехпроводную линию применяют для получения вольноог сопротивления 50—150 Ом, двухпроводную — 150—600 Ом. Расстояние жежму проводами не должно превышать Одб5. В противном случае линия будет работать как излучатель (автенный эффект линии), что приведет к искажению диаграммы направленности антенны, а также к симжению КПД линии.

#### Замкнутые и разомкнутые линии

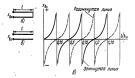
Замкнутые и разомкнутые на конце линии (коаксиальные, двухпроводные и т. д.) применяются в качестве элементов фильтров, шлейфов для иастройки антени и т. д. Входное сопротивление этих линий нидуктивное лыи емостопе в зависимости от отношения длины линии / к длине водны в линии /».

Входное сопротивление замкнутой линии (рис. 13.9,а)

$$X_{\rm sx} = z_{\rm s} tg \ 360^{\circ} \frac{l}{2}$$

Входное сопротивление разомкнутой линии (рис. 13.9,6)

$$X_{cs} = -z_s \operatorname{ctg} 360^{\circ} \frac{l}{\lambda_s}.$$



Pmc. 13.9

Если в результате расчета сопротивление получается со знаком «плюс», то оно считается индуктивным, со знаком «минус» - емкостным. Зависимость входного сопротивления замкнутой и разомкнутой линий от отношения  $l/\lambda_n$ показана на рис. 13.9, в. При длине, равной нечетному числу четвертей воли  $(\lambda_x/4, 3\lambda_x/4,$ 5λ<sub>\*</sub>/4 и т. д.), входное сопротивление замкнутой линии очень велико ( $X_{ss} \rightarrow \infty$ ), а разомкнутой равно нулю ( $X_{ax} = 0$ ). При длине, равной четному числу четвертей волн ( $\lambda_x/2$ ,  $\lambda_x$ ,  $3\lambda_x/2$  и т. д.), входное сопротивление замкнутой линии равно нулю  $(X_{ax} = 0)$ , а разомкнутой — очень велико- $(X_{vv} \rightarrow \infty)$ . В промежуточных случаях входное сопротивление является индуктивным или емкостным. Так, при  $0 < l/\lambda_{\kappa} < 0.25$  (длина линии короче четверти длины волны) входное сопротивление замкнутой линии индуктивное (кривая  $X_{\rm sx}$  лежит выше оси абсцисс), с разомкнутой — емкостное (кривая  $X_{\rm sx}$  лиже оси абсцисс), при  $0.25 < l/\lambda_{\rm sx} < 0.5$  входное сопротивление замкнутой линии емкостное, разомкнутой — индуктивное и т. д.

В качестве индуктивных шлейфов используют замкнутые линии длиной менее  $\lambda_n/4$ , в качестве емкостных — разомкнутые линии длиной менее  $\lambda_n/4$ .

Эквивалентная индуктивность  $L_{экв}$  [мкГн] индуктивного шлейфа и эквивалентная емкость  $C_{экв}$  [пФ] емкостного шлейфа:

$$L_{\text{ikn}} = \frac{0.16z_{\text{o}} \text{ tg } 360^{\circ} \frac{l}{\lambda_{\text{x}}}}{f}$$

$$C_{\text{sks}} = \frac{0.16 \cdot 10^6}{z_{\text{s}} f \text{ ctg } 360^{\circ} \frac{l}{\lambda}}$$

где zs, Ом, f, МГц.

Пример. Определить длину емкостного шлейфа в виде разомкнутой воздушной двухпроводной линии с  $z_s$  =300 Ом, необходимую для получения  $C_{sxs}$  =40 пФ на частоте f =14,2 МГц (средняя

частота любительского диапазона 20 м).

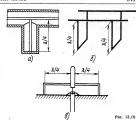
1. Длина волны в воздуже  $\lambda=300/f[M\Gamma \mathfrak{q}]=-300/14,2=21,1$  м. Поскольку линия воздушная, то  $\lambda_x=\lambda=21,1$  м.

2. Определяем искомую длину емкостного шлейфа, t предварительно рассчитав значение ctg  $360^{\circ}\frac{t}{2}$  из выражения для  $C_{***}$ :

ctg 
$$360^{\circ} \frac{l}{\lambda_{x}} = \frac{0.16 \cdot 10^{8}}{C_{\text{sax}} z_{3} l} = \frac{0.16 \cdot 10^{8}}{40 \cdot 300 \cdot 14.2} = 0.9$$
  
 $360^{\circ} \frac{l}{\lambda_{x}} = 46.7^{\circ} ; \frac{l}{\lambda_{x}} = 0.13;$   
 $l = 0.13\lambda_{x} = 0.13 \cdot 21.1 = 2.74 \text{ m.}$ 

#### Металлические изоляторы

Металлические изоляторы представляют собовчетвертвовлювые короткованмутые шлейоопи имеют на частоге настройки большое входное сопротивление и при паральством годключение к зажимам витени, фидерным линиям и т. д. не высокт заметного рассогласования. Такие шлейфы применяют как держатели вместо дизлектромческих попрыма стоек, шай от и.т., если уставилеских опорыжь стоек, шай от и.т., если уставиполедии и еценториям и необхомом и из-за больших потерь в дизлектрике и недостаточной механической прочитоги. Металлические изолямеханической прочитоги. Металлические изолядосссеней для обеспечения короткого замыкания по постоянному тоже в нарушения режима работы фидера на из втенны по радиочастоге.



Примеры подключения металапических изодяпоров показавы на рис. 13.10, В конструкции, изображенной на рис. 13.10, а, металлические наоавторы используются как держатели центрального проводиния компексиальной линии, а на рисроводиот об поровые стойки крепления даухпроводиот об поровые стойки крепления даухпроводиот об металических изолиторов. Со помощью дву металических изолиторов.

### Согласующие четвертьволновые трансформаторы

В антенно-фидерных устройствах в качестве согласующих трансформаторов широко применяются четвертьволновые отрезки линий передачи (коаксиальных, двухпроводных и т. д.).

Плина согласующего трансформатора  $L_p = -k_z/4$ , волновое сопротивление  $z_{zp} = \sqrt{R} \, R_{zp}$ . Тем  $R_z - \text{тор } r \, R_{zp} = -k_z/4$  волновое сопротивления (например, входное сопротивление антенны и волновое сопротивление фидерьой лиции).

При отсутствии кабеля с требуемым сопротявление 2-д можно изътоянить трансформатор в виде жесткой коаксиальной линии любо из нескольких парадалельно жилоченных отрежою кабеля. При парадалельном вилочения кабелей с селя при парадалельном вилочение спределяется через воливаме сопротявление опренях кабелей по обычным формулам парадлельного выпочения сопротиваления сотремлаетия с

Пример. Рассчитать согласующий трансформатор для четырехэтажной витенны пятот от-левизиомного канала  $(r_p=96\,$  МГц) при следующих условиях: этажи антенны согласованы выполены параллельно с помощью кабеля РК 75.4-11 (z,=75 Ом), фидер антенны выполнен из того же кабеля,

В рассматриваемом примере под сопротивлением  $R_1$  следует понимать входное сопротивление антенны  $R_{\rm ss}$ ,  $\tau$ . е. сопротивлёние в точке параллельного включения четырех этажей, а под сопротивлением  $R_2$ — волновое сопротивление фидера  $(R_2 = z_s = 75~{\rm CM})$ .

- 1. Входное сопротивление антенны  $R_{\rm sx}\!=\!R_{\rm 1}\!=\! -75/4\!\approx\! 19$  Ом: .
- 2. Волновое сопротивление трансформатора  $z_{\tau p} = \sqrt{R_1 R_2} = \sqrt{19 \cdot 75} \approx 37.5 \text{ Ом.}$ 3. Длина волны в воздухе, соответствующая
- - Длина волны в кабеле λ<sub>ср.х</sub> = λ<sub>ср</sub>/n = 3,12/1,52 = 2,04 м.
- Согласно табл. 13.1 коэффициент укорочения дляны волны n для кабеля PK 75.4-11 равен 1,52. 5. Длина трансформатора  $l_{\rm Tp} = \lambda_{\rm cp.s}/4 = 2,04/4 = -0.51$  м.

Кабелей с гребуемым по расчету волновым спортивлением  $z_2$ =37.5 Ом нет. Поэтому используем для трансформатора двя парадлелізтно выслюченных отреак вабеля с  $z_2$ =75 Ом (например, РК 75-4-11) дляной 510 мм каждый. Способ включення рассчитанного трансформатора для согласования четырехэтажной антенных вабеля k1. Авебеля k2.

Если подобрать кабель или параллельную комбинацию кабелей с требуемым z<sub>тр</sub> не удается,

можно применить двухступенчатый трансформатор. Например, для согласования двухэтажной антенны (см. рис. 13.25) с R<sub>вх</sub> = 37,5 Ом с фидером, имеющим г, = 75 Ом, нужен трансформатор с 270 ≈ 50 Ом. При отсутствии кабеля с таким волновым сопротивлением следует использовать два последовательно включенных трансформатора, как показано на рис. 13.25,б. Первый трансформатор, состоящий из трех параллельно включенных отрезков кабеля l, с z, = 75 Ом каждый, имеет  $z_{\text{тр}} = 25$  Ом и преобразует входное сопротивление антенны 37,5 Ом в сопротивление 17 Ом. Второй трансформатор, состоящий из двух параллельно включенных отрезков кабеля  $I_5$  с  $z_6 =$ -75 Ом каждый, имеет z<sub>тp</sub> - 37,5 Ом и преобразует сопротивление 17 Ом на выходе первого трансформатора в сопротивление 82 Ом, близкое к волновому сопротивлению фидера ( $z_n = 75 \text{ Om}$ ).

# Особенности работы антенно-фидерного тракта телевизионного приемника

Недостаточное качество согласования фидера с антенной и приемником приводит к специфическим для телевизионного приема искажениям — появлению на экране повторных изображений, свинутых вправо относительно основного.

жений, сдвинутых вправо относительно основного. Причина возникновения повторных изображений иллюстрируется на рис. 13.11. Сигнал,



приятамі антеніюй І, попадает по фідеру 2 на коло приемника 3. Частично огразившись от входа прием ника сигнал распространяется по фідеру в обратном направленні по сторону антенны) и после частичното стражения от входа антенны слова погладет на вход приемника. Тами образок построний сигна. Тами образок построний сигна. Тами образок построний сигна. Сому на време, равное удосенному времени пробега сигнала по фидеру.

Рис. 13.11

Согласно ГОСТ 16706—79 на селекторы квиалов телевизионных приеминков козффициент отражения  $p_{p_1}$  от кожо движно козффициент отражения  $p_{p_2}$  от кожо движно козффициент отмен должен превышения  $Q_{0}$ . При гродов дливе не должен превышения  $Q_{0}$ . При гродов дливе RIII  $q_{0}$  на первом телевизионном канала  $(f_{p_2}$ = 52,5 M°Lu] составляет  $Q_{0}$ . При этом уровень повторного изображения не превышает на первом канале одной-двух градаций яркости, ссли коэффициент отражения от ангения  $p_{1}$  не  $Q_{2}$  от  $Q_{3}$  обфициент отражения от ангения  $p_{1}$  не  $Q_{3}$  от  $Q_{3}$ 

#### 13.4. РАСЧЕТ НАПРЯЖЕНИЯ НА ВХОДЕ ПРИЕМНИКА

Если фидерная линия близка к согласованию с приеминком и антенной (к.б.в.>0,3-0,4) и номинальное входное сопротивление приемника составляет 75 Ом, то напряжение на его зажимах  $U_{\rm np}$  [мВ]

$$U_{np} = 0.5 \text{El}_a K_U \sqrt{\eta_{\Phi}}$$

где E— напряженность поля, мB/м;  $I_a$ — действующая длина линейного полуволнового вибратора, м;  $K_U$ — коэффициент усиления антенны по напряжению;  $\eta_b$ — КПД фидерной линии.

Пряжер. Рассчитать напряжение на входе телевизмонного приемника на несущей частоте изображения третьего телевизновного канала, и [-77,25 МП] при следующих исходных данных: для приема используется пятиэлементная мителна «колиснов» канала с кхоффициентом — 2 мП/м, фидерная линия — кабель РК 75-4-11 данной [-25]

- 1. Длина волны, соответствующая несущей частоте изображения [М $\Gamma$ ц] третьего канала:  $\lambda = 300/f = 300/77,25 = 3,88$  м.
- Действующая длина линейного полуволнового вибратора: l<sub>x</sub>=0,32λ=0,32 · 3,88=1,24 м.
- 3. Коэффициент усиления антенны K=8 дБ соответствует  $K_U=2$ ,5.
- 4. КПД фидерной линии определяем из полного затухания линии. Соглано табл. 13.2 потонное затухание  $\beta$  кабеля РК 75-4-11 на третъем канале равно 0,094 дБ/м. Полное затухание  $T=\beta l=0,094 \cdot 25\approx 2.4$  дБ, что соответствует значению  $\eta_{\Phi}=0,575$ .

5. Напряжение на входе приемника

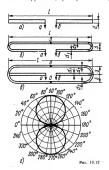
$$U_{\alpha p} = 0.5E l_x K_U \sqrt{\eta_{\phi}} =$$
  
=  $0.5 \cdot 2 \cdot 1.24 \cdot 2.5 \sqrt{0.575} \approx 2.4 \text{ MB}.$ 

#### 13.5. ТЕЛЕВИЗИОННЫЕ АНТЕННЫ

## Слабонаправленные антенны

Слабонаправленные антенны могут быть использованы для приема телевизмонных передач на расстояниях до 30—40 км от телецентра при малом уровие помех и отраженных сигналов. Слабонаправленные антенны могут быть актыными выбраторами паправленных антенн. Остени являются симметричные полуколновые вибраторы — линейный в петедевой.

Линейный вибратор (рис. 13.12, а) состоит зи даму разда-кенных зазором проводников, в качестве которых могут бать использованы латупные, доразлюминовые или оцинкованные стальные трубки. На практике объяно используются трубки даментом d or 8—10 до 20—25 мм. К мачте их крепят с покощью каолиционной пласит д.). Место подключения жабеля (точки α—6) спецует закрыть от примого попадания атмосферных ослядов.



положении вибратора диаграмма направленности в горизонтальной плоскости — окружность, в вертикальной — свосьмерка». Входное сопротивление линейного вибратора на средней частоте 73 Ом.

Длина вибратора 
$$l$$
 [м]  $l = 0.5\lambda_{co}(1 - \delta/100)$ ,

где  $\lambda_{cp}$  — средняя длина волны, м;  $\delta$  — коэффициент укорочения, %, зависящий от отношения  $\lambda_{cp}/d$  и определяемый по графику на рис. 13.13.

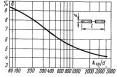


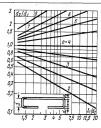
Рис. 13.13

Вибратор может быть использован для прима телевиямонных передач на нескольких каналах в полосе частот до  $\pm$  (20 — 25) % от средней канаример на каналах і В. 3, я 5, 6 — 12. Кабель с волювым сопротивлением 75 Ом подключается сероди образованием странов симетрирующее устройство в анде четвертьволнового мостика или волнового U-колена.

Петаевой вибратор (см. рис. '13.1.2,  $\phi$ ) імеет диаграмим апараменности, аналогичную диаграмим алинейного вибратора диаграмим алинейного вибратора д. Длина петаевого вибратора доссигивается по той вже формузе, что и линейного. При расчете отношений  $\lambda_{g}/d$  можно оправляющим делиментора вибратора служдет поинкага эквирис, 13.13 при известном отношения  $\lambda_{g}/d$  можно определять кожфиницент укорочения  $\delta$ .

Входное сопротивление  $\lceil Oм \rceil$  на средней частоте  $R_{tx}=73$  л, где n- коэффициент, зависящий от отношений  $d_2/d_1$  ( $d_2-$  диаметр неразрезанной,  $d_1-$  разрезанной трубии) и  $S/d_2$  (S- расстояние между осями трубок).

График для опредсения коэффицента n пирь развик для сл.13.4. Как выдло из графика, пирь равных диаметрах. трубок  $(d_1-d_2-d_1)$  n-d и водное сопрогнавение составляет 73 -4,  $\tau$ . с. 292 Ом. Для увеличения или уменьшения вхолиото сопрогнавения и уменьшения уменьшения уменьшения уменьшения отношение  $d_3/d_1$ . Возможниченных информах предсам клюбором диаметра трубок — важное свойство петемеого вибратора, позволющее умущить согласование могоохлеченных мощее умущить согласование могоохлеченных



PHC. 13.14

направленных антени «волновой канал», в которых петлевой вибратор используется в качестве активного элемента.

Петлевой вибратор изготавливают из трубок того же днаметра, что и линейный вибратор. Расстояние S принимают равным 80 — 120 мм для каналов 1 - 12 и 40 - 60 мм для каналов 21 — 41. Крепится петлевой вибратор к любой мачте, металлической или деревянной, без изоляторов (например, с помощью металлической скобы или хомута) в точке нулевого потенциала (точка 0 на рис. 13.12. б). Кабель с волновым сопротивлением 75 Ом подключается через согласующе-симметрирующее устройство в виде полуволнового U-колена или проволочного трансформатора.

Рабочая полоса частот петлевого вибратора составляет ± (25 — 30) % средней частоты.

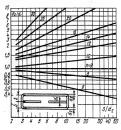
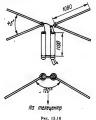


Рис. 13.15

Двойной петлевой вибратор (см. рис. 13.12, в) по конструктивным особенностям и свойствам аналогичен простому петлевому. Исключение составляет входное сопротивление, которое у двойного петлевого вибратора выше. Коэффициент п в формуле для входного сопротивления определяется по графику на рис. 13.15: при равенстве днаметров всех трубок n=9 и входное сопротивление составляет 73 • 9, т. е. 657 Ом. Меняя отношение диаметров трубок, можно увеличить или уменьшить входное сопротивление.

Двойной петлевой вибратор применяется в основном как активный элемент многоэлементных направленных антенн.

Веерный вибратор (рис. 13.16) обеспечивает прием телевизионных передач на каналах с 1-го



по 12-й. Длина вибратора составляет примерно

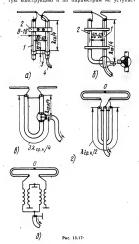
 $\lambda/2$  на средней частоте каналов 1 — 5 ( $f_{co} =$ =72 МГц) и 31/2 на средней частоте каналов 6 — 12 (f<sub>cn</sub> = 202 МГц). Плечи вибратора располагают под углом 120° в горизонтальной плоскости, что позволяет устранить провал в главном лепестке диаграммы направленности на каналах 6 — 12. По типу веерного вибратора построена промышленная двенадцатиканальная антенна ТАИ-12, которая может быть использована на расстоянии до 40 - 50 км от телецентра.

# Симметрирование антенн

Симметрирующие устройства устраняют затекание токов радиочастоты на внешнюю поверхность наружного проводника (оплетки) коаксиального кабеля. Подключать коаксиальный кабель к симметричной телевизионной антенне без симметрирующего устройства нельзя, так как это приводит к искажению диаграммы направленности антенны и снижению помехоустойчивости приема. Если входное сопротивление антенны отличается от волнового сопротивления кабеля, то симметрирующее устройство может одновременно быть и согласующим. Такие устройства называют симметрирующе-согласующими.

На рис. 13.17. «— е показаны конструкции симетриующих сустройств, привеняемых для подметрирующих сустройств, привеняемых для подключения кабслей с волновым сопротивлением О м к полужовлювым линейным вибраторам. Четвертвоапловый вистик (рис. 13.17,3) предтуро линно далиной λ<sub>2</sub>/4, подключениую к зажимам вибратора. Мостяк состоят из двух трубок, 1 ізодатора 2 и короткозамыкающей перемики 3. Через одну из трубок (например, правую) протовины (полижена) подключенся к правой трубке полиме (полижена) подключенся к правой трубке

вибратора и правой трубке мостика, центральный проводник — к левой трубке вибратора. Четвертьволновый мостик на отрезках коаксмальных кабелей (рис. 13.17, б) имеет очень простую конструкцию и по параметрам не уступает



мостнку, наготовленному из трубок. Роль трубок мостнка правого оплетки кабелей. Оплетка кабелей сплетка кабелей сплетка кабелей спритивлением 75. Ом припаивается к одной трубке вибратора, оплетка кабеля 2 с тем же волновым сопротивлением —

к другой. Центральный проводями кайсяя / припававетек к той же трубке выбратора, к котой припавна оплетка кайсая 2. На расстояния д./4 от выбратора оплетки кайсаей / и 2 прикороткозаммутый мостик. Центральные провокник кайсая 2 на обоих его концах нужно срезать заподанию и оставить разомкнутыми. Для тото чтобы кайсани / и 2 были варалисамии, распоряк лябо закрепить кайсаю на изоляционной пластные.

Рабочав полоса частот мостиков из трубом или коаксналыных кабелей составляет £0–25 %, средней частоти, однако при необходимости мостики, однако при необходимости мостики, одности мостики, одности мостики оставляет £0–50 %. В качестве расчетной длины волны  $h_{20}$  следует принять средино длину волны той группы каналов, на которых мостик одномен работать. Танке мостики непользуются в качестве симметрирующих устройсть, папримерь мостики ветопотов ибратора составляет примерь  $h_{20}/4$  на средней частоте каналов 1-5 и  $3\lambda_{\pi}/4$  на средней частоте каналов 1-5 и  $3\lambda_{\pi}/4$  на средней частоте каналов 1-5 и  $3\lambda_{\pi}/4$  на средней частоте каналов 6-42.

Волновое U-колено из колесквального клобеля (см. рыс. 18,17.6) состоит ка двух отрежова, боля с кольковым сопротивлением 75 Ом данной соответственно дълу 4 и 30,3-у4, т де дъд. т органя данив волна в клобеле Видерживать определенное расстояние между жебелями не изменения деленное расстояние между жебелями не учита (их можно связать). Рабочая полоса частот составляет ± (12 — 15)% средней частоты.

На рис. 13.17. г.д показаны конструкции симметрирующе-согласующих устройств, применяемых для подключения кабелей с волновым сопротивлением 75 Ом к полуволновым петлевым вибоаторам.

Получалновое U-колено (см. рм. 13.17, е) представляет собой отрезок комсилалного кабеля длиной  $\lambda_{29}$  «/2. Можно использовать кабель с волновым сопротивлением 75 кли 50 Ом. U-колено является одновременно симметрирующим устройством и траниформатором сопротивление: оно преобразует входное сопротивление готлесование вибратора 292 Ом в сопротивление 75 Ом. что обеспечивает хорошее согласование вибратора с фидером. Олектик кабели U-колена вужнос спавть бочая полец. также с оплеткой фидера. Рабочая полец. что согласовать с 200% с редиля частоты.

Проволочимай трансформатор (рмс. 13.17,  $\theta$ ) — широкополосиное согласующе-симметрироке цестроство, которое может быть использовано из каналах с 1-10 по 12-8. Трансформатор преверх об 10-10 по 10-10 принеформатор преверх об 10-10 по 10-

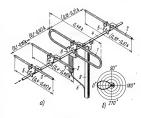
#### Антенны «волновой канал»

Антенна «волновой канал» (рис. 13.18) — простая по конструкции высокоэффективная направленная антенна, которая может быть использована практически во всей зоне обслуживания телевизнонным вещанием. Антенна состоит из активного полуволнового вибратора 1 (обычно петлевого), рефлектора 2 и нескольких директоров 3, укрепленных на несущей стреле 4 с помощью скоб 5 или сварки. Стрела с вибраторами (антенное полотно) устанавливается на мачте 9. Подключение кабеля 6 с волновым сопротивлением 75 Ом и симметрирующе-согласующего U-колена 7 к активному вибратору / осуществляется по схеме рис. 13.17, г с помощью монтажной коробки 8. Активный вибратор, рефлектор и директоры называют элементами антенны. Для приема горизонтально-поляризованных волн антенное полотно располагают горизонтально (параллельно земле), вертикально-поляризованных волн — вертикально (перпендикулярно зем-

Рабочая полоса частот антенны составляет ± (10 — 15)% средней частоты. Коэффициент усиления возрастает при увеличении числа элементов.

Рекомендуется применять следующие виды антенн: для приема сигналов телецентров на каналах 1-5 при расстояниях 50 - 60 км - трехэлементные. 60 - 80 км - пяти-и семиэлементные, на каналах 6 — 12 при расстояниях 40 — 50 км — трехэлементные, 50 — 70 км — пяти- и семиэлементные, 70 - 80 км - одиннадцатиэлементные. При приеме сигналов телевизионных ретрансляторов мощностью 1 Вт (ТРСН, РПТН) целесообразно применять пяти- или семиэлементные антенны на каналах 1 — 5 и семи- или одиннадцатиэлементные антенны на каналах 6 — 12, а ретрансляторов мощностью 100 Вт (ТРСА, РЦТА) — трех- или пятиэлементные антенны на расстояниях до 15 — 20 км, семи- и одиннадцатиэлементные на расстояниях до 30 - 40 км..

Расположение вибратора трех-, пяти-, семи- и одиннадцатиэлементных антенн на каналы 1—12 показано на рис. 13.19. Размеры и электрические параметры антенн приведены в табл. 13.3—13.6. В указанных таблицах  $l_D$ — длина полуволнового U-колена: K— коэффициент усиленя;



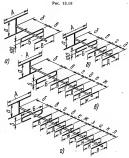


Рис. 13.19

Таблица 13.3. Размеры и электрические параметры трехэлементных антени «волновой канал» (см. рис. 13.19, a)

Размер, им.					Наме	р теле	визнов	ного в	санала					Радиовещание	Диапазон для
и параметр	1	2	3	4	5	6	7	8	9	10	11	12	6-12		связи на УКВ 2
								ľ							
A F	3040 2710	2580 2300	2000 1780	1820	1660	900 795	860 765	825 735	795 705	765 680	730 650	705 730	830 640	2300	1100
В	2360	2000	1550	1410	1290	695	665	640	615	590	570	550	620	2050 1800	980 930
2	800 880	800 750	800 580	800 530	800 480	550 260	550 250	550 240	550 230	550 225	550 215	550	550	800 675	550
,	595	505	390	325	175	170	165	155	150	145	140	205	275 455	195	295 195
y	1900	1600	1240	1120	1030	555	530	510	490	470	450	430	490	1410	680
К, дВ	.5,0 66	5,0 66	5,5	5,5 64	5,5 64	6,5	6,7	6,5	6,5	6,5 60	6,5	6.5	4,5 68	5,0	6,5
у, дБ	-15	-15	-15	-15	-15	-17	-17	-17	-17	-17	-17	-17	-14	66 —15	60 —17

Таблица 13.4. Размеры и электрические параметры пятиэлементных антени «волновой канал» (см. рис. 13.19, б)

Размер,					Ho	мер теле	зизион	юго кан	ала					Радио-	Диапа
мм, и пара- метр	1	2	3	4	5	6	7	8	9	10	11	12	6-12	веща- ине на УКВ	mean
A 6 B β Γ Π α 6 δ 8 ε ε ε ε ε ε ε ε ε ε ε ε ε ε ε ε ε ε ε	3150 2780 2520 2510 2450 800 1210 735 705 750 1900 8,0 54 —16	2660 2350 2135 2125 2070 800 1040 625 596 630 1600 8,0 54 —16	2035 1800 1630 1620 1580 800 780 475 455 480 1240 8,5 52 —16	1830 1620 1470 1460 1420 800 700 425 410 430 1120 8,5 52 —16	1680 1490 1350 1340 1300 800 645 390 375 395 1030 8,5 52 16	915 810 730 725 710 550 350 215 205 215 555 9,0 48 —18	880 780 705 700 680 550 340 206 195 205 530 9,0 48 —18	840 740 670 665 650 550 325 195 190 195 510 9,0 48 —18	810 715 650 645 625 550 310 190 180 190 490 9,0 48 —18	780 690 625 620 600 550 295 180 175 180 470 9,0 48 —18	750 660 595 585 550 285 175 170 175 450 9,0 48 —18	720 635 575 570 550 270 170 160 170 430 9,0 48 —18	830 620 580 550 275 110 220 345 490 6,5 —14	2400 2100 1920 1910 1860 800 940 560 530 570 1410 8,0 54	1120 1100 910 890 870 550 430 265 250 265 268 8,5 52 —16

# Таблица 13.5. Размеры и электрические параметры семиэлементных антени «волновой канал» (см. рис. 13.19, в)

Размер,					Н	омер тел	евизионн	ого канал	a				
мм, и па- раметр	1	2	. 3	4	5	6	7	8	9	10	11	12	6-12
A B B F A A B B B B B B B B B B B B B	2760 2 2200 1 2180 1 2180 1 2160 2 1080 8 1080 8 1080 8 415 810 6 845 7 905 7 100 1 1900 1	2730 2340 1870 1870 1880 1880 1890 1790 800 910 350 585 715 765 100 1600 9,5	2120 1810 1450 1430 1415 1400 1380 800 710 275 530 560 570 595 100 1240 10,0 46 — 18	1920 1650 1320 1300 1290 1270 800 645 250 485 505 540 1120 10,0 46	1760 1510 1200 1190 1180 1180 1150 800 590 225 445 465 475 495 100 1030 10,0 46	925 710 700 655 620 565 520 550 310 125 245 385 400 425 100,5 44 —20	885 680 670 625 595 540 550 295 370 235 370 385 405 10,5 44 44 —20	850 650 640 570 520 550 285 115 225 355 225 350 100 10,5 44 42 420	815 625 620 575 545 540 550 275 110 215 340 375 100 490 10,5 44 — 20	785 600 595 555 555 480 550 265 205 325 330 360 100 10,5 44 —20	755 580 570 535 505 460 425 550 255 100 200 315 325 345 100 10,5 44 45	730 560 555 515 485 440 550 245 95 190 305 320 335 100 430 10,5	830 665 630 590 555 515 470 550 260 110 220 345 365 385 100 490 8,0 44 —20

# Таблица 13.6. Размеры и электрические параметры одиннадцатиэлементных антенн «волновой канал» (см. рис. 13.19, $\varepsilon$ )

Размер,		Номер телевизионного канала													
мм, и па- раметр	6	7	8	9 .	19	-11	12	6-12							
4	850	810	780	750	720	695	670	830							
Б	740	710	680	655	630	605	580	665							
В	730	700	670	645	620	595	570	630							
r	700	670	640	615	590	570	550	590							
Ω E	690	660	635	610	585	565	545	555							
E	680	650	625	600	575	555	535	515							
W(	670	640	615	590	565	545	525	470							
3	645	620	590	570	550	530	510	445							
ч	645	620	590	570	550	530	510	420							
K .	645	620	590	570	550	530	510	405							
ή -	645	620	590	570	550	530	510	395							
2	550	550	550	550	550	550	550	550-							

#### Продолжение табл. 13.6

Размер,	Номер телевизнонного канала												
мм, и па- раметр	6	7	8	9	10	11	12	6 -12-					
6 в г д е ж з и к к S I U К , дБ ф, дБ	420 210 385 510 315 425 360 505 415 435 100 555 12,0 38 -22	400 195 370 490 305 405 345 480 395 420 100 530 12,0 38 -22	385 185 355 470 290 390 335 460 380 400 100 510 12,0 38 -22	370 180 340 450 280 375 320 445 365 385 100 490 12.0 38 —22	170 170 325 430 270 360 425 306 425 350 370 100 12,0 38 —22	340 165 306 415 260 345 295 410 335 355 100 450 12,0 38 — 22	325 160 305 400 250 330 285 320 340 100 430 12.0 38 —22	260 110 220 345 364 385 405 425 450 480 100 490 9,6 42 -18					

ф — ширина главного лепестка диаграммы направленности; тр. уровень побочных лепестков. В В этих же таблицах указаны размеры и параметры антенн «волновой канал» для приема радиовещательных передач на УКВ и любительской связи в диапазоне 2 м.

Вибраторы витеми изготовляют из трубок диаметром от 14 до 25 мм для каналов 1-5 из 8 до 16 мм для каналов 6—12, несущую стрему — 18 —22 мм для каналов 6—12. Мачта может 18 —22 мм для каналов 6—12. Мачта может объе миль изготовлена из трубок 0 40—50 мм со стемой 3—4 мм или деревянного брусе вбух 60 мм. али деревянного брусе вбух 60 мм. али деревянного брусе вбух 60 мм. али деревянного брусе при миль деревянного брусе му миль али стология. При замачатьсямом прогибе несущей стрелы можно устаковить подкосы между концами стрелы и мачтор.

Для приема телевизионных передач на дециметровых волнах (каналы 21-41) целесообразно во всех случаях использовать направленные антенны с высоким коэффициентом усиления, так как из-за малой действующей длины активного вибратора и повышенного затухания в кабеле напряжение на вхоле приемника на этих каналах меньше, чем в метровом днапазоне на каналах 1—12. На рис. 13.20 приведены основные размеры выпускаемой промышленностью многоэлементной антенны АТИГ-5.2.21-41.2, рассчитанной на каналы 21-41. Активным вибратором является петлевой вибратор специально подобранной формы, которая обеспечивает хорошее согласование антенны с кабелем. В качестве симметрирующе-согласующего устройства быть применено полуволновое U-колено (отрезок кабеля длиной 185 мм). Кабель снижения - с волновым сопротивлением 75 Ом. Коэффициент усиления 10 дБ.

# Многоканальные антенны

Полоса пропускания антенны «волновой каналь може быть расширяна до 126—30) % за счет некоторого снижения коэффициента учлления. Достигается это специальным выбором размеров ковой каналь с расширенной полосой пропускамия, предвазменные для приема телевизонных передам на любых двух каналах с 1-го по 5-й ри любых практически встренающихх сочетаниях каналов. Антенна на рис. 12,1 д и спольженным станары предвази предвази предвази предвази предвази предвази на любых двух каналов. За 1-й д. 2 и 5. Размеры антенны для каналов і 1,1 -й, 2 и 4, 2 и 5. Размеры антенны для каналов і 1 ла 3.7. На рис. 13,21, б показамы разлены в таба. 13.7. На рис. 13,21, б показамы разлены таба. 13.7. На рис. 13,21, б показамы разлены таба. 13.7. На рис. 13,21, б показамы разлень таба. 13.7. На рис. 13,21, б показамы разлень таба. 13.7. На рис. 13,21, б показамы разлень таба.

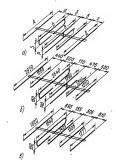


Рис. 13.21

Таблица 13.7. Размеры и электрические параметры многоканальных антенн (см. рис. 13.21, a)

_ 1	Ho	мер телевиз	ионного кана	1/18
Размер, им	1 н 3	1 и 4	2 ⋈ 3	2 н 4
4	3045	2945	2780	2560
A B	2540	2540	2315	2130
В	1670	1515	1525	1405
r	1540	1460	1410	1295
Д	1490	1440	1385 -	1255
a	940	940	860	790
6	215	190	197	180
8	580	690	530	487
	670	710	612	563
s S	150	150	150	150
,	.140	140	140	140

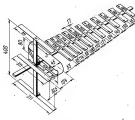


Рис. 13.20

меры автенны на каналы 1 и 5, на рис. 13.21, е л на каналы 3 и 5. Коаксиальный кабель: в опысновым сопротивлением 75 Ом подключается к петлевым вибраторым этих автени с помощью широкополением процемент образовать от ответер процемент образовать образов

#### Диапазонные антенны

Антенна ИТА-12 — широкополосная антена, обеспечнакоция прием сигналов много-программых телецентров при любом сочетания квалаов с 1-по 10-2. В. Состоит из двух актиму вибраторов, один из которых служит рефаектором. Питанце выбраторов осуществляется череделитель мощности (направленияй ответвитель). Плечи выбраторов распитольения под утлош Ульена под 1-14 дв. КВВ — от 0.5 до 0.7. Балагодаря направленным свойствам обеспечнавется синжения уроня по-мех и пооторных сигналов на входе приеминка.

Зигзагообразная проволочная антенна — простая по конструкции широкополосная антенна. Работает в двукратной полосе частот и обеспечивает прием сигналов многопрограммных телецентров в зоне их действия при любых сочетаниях каналов с 1-го по 5-й мли с 6-го по 12-й.

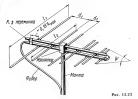
Конструкция и размеры антенны на каналы с 1-го по 5-й показаны на рис. 13.22. К деревянной стойке 1 крепят две поперечные рейки 2. В верхней и нижней частях стойки устанавливают металлические планки 3. Такие же планки 4, но через изоляционные прокладки 5 крепят на концах реек. На стойке между рейками размещяют изоляционную пластину 6, на которой укреплены две металлические планки 7. Провода Ø2-3 мм либо антенный канатик припаивают к металлическим планкам 3, 4 и 7. Кабель снижения с волновым сопротивлением 75 Ом крепят к нижней планке 3, являющейся точкой нулевого потенциала. Кабель укладывают вдоль двух сторон внутреннего провода нижней рамки и припаивают к планкам 7 (оплетку -- к левой планке, центральный проводник - к правой).

Размеры антенны на каналы 6-12 можно рассчитать, разделив все размеры, уквазнивые на рис. 13.22, на коэффициент 2.8, равный отношению средних частот каналов с 6-го по 12-6 ( $f_{\rm cp}=72$  МГц) и с 1-го по 5-2 МГц).

Коэффицент усиления алтеным — около 5 дВ. КВВ 0.5—0,8. Диаграмма направленности в горизонтальной плоскости — симметриная типа «восъмерка». При ориентировании плоскость рамок устанальнавется периеадикулярно направлению на телецентр. Поляризация — гори-

Логопериодическая витення— широкополость мая направленняя зитення, работающия в десятикратиом и более широком диппазоне воли. По коффициенту усиления энтення эквивалентия трех-четирех-зементной антенне «волноой канал». Может боты вспользована для приема сибых сочетаниях каналов метровых и дециметравых воли (квалы 1—41).

Один из простых вариантов антенны показан на рис. 1323. Ангенна осстоит из раза парадалельных вибраторов, подключеных к архигроводной линии с последовательной переполосовкой точек питания вибраторов. Длины вибраторов и расстояния между инии убывают в геомерической прогрессии з направлении к точкам подключения между и предоставления и почасти ужучшающую с учественного ужучшающую с учественного и обеспечивающую с иметрерование. Кабель Кабел



пропускают внутри одной из трубок двухпроводной линии и припанвают со стороны самого короткого вибратора, как показано на рис. 13.23.

Характеристики ангенны зависят от заменать за гементрической прогрессии т, характеризующего скорость убывания длин вибраторов и расстояний межа, уними, и утла ф при вершине трестояний межа, уними, и утла филь принистий с бынке т к салиние и чем меньше ф, тем больше коффициент усиления ангения, одиамо при этом возрастают се габариты и масса. На практике принимают обычно т—д.8-ф.9 и ф=30÷ 4-40°, что позводяте получить достаточно высобольших табаритах и массе.

При выбранных т и ф размеры антенны можью определить графически исколя на  $\lambda_{\rm min}$  и смаксимальной и ининальной длин воли рабочей помосы частот. Спачала спедуает определить длиг должна сисчиналить 0.55  $\lambda_{\rm min}$ , после чего начертить равносаренный треугольных с основачем, равным длине первого вибратора в уменьшенном жасигабе (например, 1: 20 км 1: 50), и выбражность оператора построения прасчеты следует выполнять с учетом этого же масцитаба. Второй выбратор располагают на расстоянии  $d_1 = (0.15 \div 0.18) \lambda_{\rm min}$ . Динае сто 1, равная далие отрежая пряжой, проведенной его 1, равная далие отрежая пряжой, проведенной

сто /, равма длине отрежа примой, проведенной паралленью основанию на расстоянии и. Третий паралления и.

вибратор располагают на расстоянии  $d_s-d_s$  то тяторго, а данна его  $d_s$  равна дание отрехка яткорго, а данна его  $d_s$  равна дание отрехка примой, проведенной на этом расстоянии от вто- рого вибратора. Аналогично определяется длина четвертого вибратора, расположенного на расстоянии  $d_s-d_s$  от третьего, и т. д. Последаним является вибратора, данна которого будет меньше 0.45  $\lambda_s$ .

На рис. 13.24, а показаны размеры антенны на каналы 1—12, на рис. 13.24, б— на каналы 1—5, на рис. 13.24, в— на каналы 6—12. Пользуясь описанной методикой, можно рассчитать антенну на каналы 1—41, а также для другой требуемой полосы частот.

Коэффициент усиления антенны 6—7 дБ, уровень побочных лепестков — от —12 до —14 дБ, КБВ — более 0,5. Диаметр трубок двухпроводной линин 22 мм, расстояние между центрами 32 мм, диаметр вибраторов 12 — 14 мм. Кабель снижения — с волновым сопротивлением 75 Ом.

#### Синфазные антенны

Синфазные антенны состоят из нескольких параллельно включенных антенных полотен, имеют высокий коэффициент усиления и применяются при малой напряженности поля в месте приема (на границе и за предслами зоны обслуживания телевизмонным вешанием).

Верхіме полотно савинуто относительно никнего по горізсоптав в напаравлення на телентри на расстовние  $\triangle I = \lambda_0/4(\lambda_0) = -$  оредняя динна волим теленямонного килало, а каболь питання  $I_2$  верхнего полотна  $I_3$  диннее каболь питання  $I_4$  верхнего пасотна длиннее каболь питання  $I_4$  волим теленямонного калала в каболе). Это позволяет значительно синзить уровень длобочных денестков диаграммы направленности и увеличить



Рис. 13.24 Рис. 13.25

					•								
						Номе	р телевизі	новного ка	нала				
•	Размер, им	1	2	3	-4	5	6	7	8	9	10	11	12
	l <sub>1</sub>	1900 3150	1600 2800	1240 2320	1120 2160	1030 2065	560 1180	535 1170	515 1160	495 1150	475 1140	455 1130	440 1120

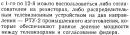
Таблица 13.8. Размеры и электрические параметры многоэтажных антенн «волновой канал»

950 800 560 240 280 260 230 220 3200 1705 1600 1600 1600 1600 5000 4300 3500 3000 1600 1600 1600 690 ΔI 330

помехозащищенность антенны при сохранении синфазности излученных этажами сигналов.

Антенные полотна изготовляют рис. 13.19 и табл. 13.3-13.6. Разнос полотен по вертикали h, сдвиг по горизонтали  $\Delta l$ , а также длины кабелей междуэтажных соединений указаны в табл. 13.8. Все кабели — с волновым сопротивлением 75 Ом.

Четырехэтажная антенна (рис. 13.26) состоит из четырех антенных полотен «волновой канал»,



Согласователь на резисторах (рис. 13.27) состоит из трех резисторов  $R_1 - R_3$  любой мощности по 27 Ом каждый, включенных по схеме звезды. Ослабление телевизионного сигнала, вносимое

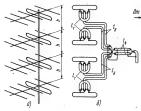


Рис. 13.26

разнесенных по вертикали. Коэффициент усиления антенны больше, чем у одиночного полотна, Антенные полотна изготовляют согласно рис. 13.19 и табл. 13.3-13.6. Разнос полотен по вертикали h и длины кабелей междуэтажных соединений указаны в табл. 13.8. Все кабели с волновым сопротивлением 75 Ом.

В синфазных антеннах кабели питания полотен должны подключаться строго одинаково: внутренние проводники всех кабелей либо к левым, либо к правым зажимам вибраторов.

#### Подключение двух телевизоров к обшей антенне

Для подключения двух телевизоров к индивидуальной антенне или к абонентскому отводу коллективной антенны при любом сочетании каналов



согласователем, составляет 6-7 дБ (2-2,2 раза по напряжению). При отключении антенного штеккера от входного гнезда одного из телевизоров нужно подключить к штеккеру (между штырем и корпусом) резистор 75 Ом, так как в противном случае может ухудщиться качество приема на другом телевизоре из-за появления на его экране повторных изображений.

Распределительное телевизнонное устройство РТУ-2 представляет собой малогабаритный проволочный направленный ответвитель, имеющий вход для подключения антенного кабеля и два развязанных выхода, к которым подключаются кабели, идущие к телевизорам. Ослабление телевизионного сигнала, вносимое устройством, составляет 3-4 дБ (1,4-1,6 раза по напряжению). Основные преимущества по сравнению с согласователем на резисторах - меньшее вносимое ослабление и отсутствие необходимости подключения резистора 75 Ом к антенному штеккеру, отсоединенному от одного из телевизоров.

Согласователь на резисторах и распределительное устройство РТУ-2 соединяют с антенной и телевизорами с помощью кабелей с волновым сопротивлением 75 Ом.

#### Подключение к телевизору антени разных каналов

Для подключения к телевизору двух антенн разных каналов можно воспользоваться либо . фильтром сложения, либо распределительным устройством РТУ-2.

Таблица 13.9. Данные элементов фильтра сложения

		1		Дан	ные кату	шек				Енкос	ть конден	caro-
V6		$L_1$ , $L_2$			$L_3$			L4. L5			ров, пФ	
любой ка- нал или группа ка- наль б - го по 5-й с дю- бым кана- лом али ву плой ка- налов с 6-го по 12-й Киналы і н 3	Индук- тив- ность, мкГн	Число витков	Диаметр каркаса, мм	Индук- тив- ность, мкГи	Число витков	Диаметр каркаса, мм	Индук- тив- ность, мкГн	Число витков	Циаметр каркаса, им	C1, C2	С,	C4. C3
Любой ка- нал или группа ка- налов с 1-го по 5-й с дю- бым кана- лом вли і руппой ка- налов с 6-го по 12-й Каналы 1 и 3 Каналы 2 и 4	0,05 0,09 0,08 0.08	3 3 3 3	5 5 5	0,08 0,16 0,14 0,16	3 5 5	5 5 5	0,23 0,20 0,14	7 7 5 5	5 5 5 5	12 47 47 43	20	12 39 36 43

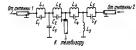


Рис. 13.28

Фильтр сложения (рис. 13.28) представляет собой комбинацию фильтров верхних и нижних частот. Длиные элементов фильтра приведены в табл. 13.9. Фильтр монтируют в металлической коробке с крышкой, Катушки — однослойные, на-

#### Установка и ориентирование антенн

Место установки приемной антенны жолятельно выбрать так, чтобы она не была закрата блазко расположенными зданиями от прямого сигнала телецентра. Устанавливаеть антенну нумно ближе к коньку крыши, на расстоянии не мене 2-3 м от дружх антени, стоко радиотраксаяционных сетей, вентиляционных коробов и других выступающих ды докрасий конструкций здания.

мотка — сплошная проводом ПЭВ-1 или ПЭВ-20,67. Каркасы изоготовляют из полистируола или органического стекла. Катушки  $L_1$ ,  $L_2$ ,  $L_2$  и  $L_3$ , наматывают на общем каркасе (расстояние можду краями катушек — ве менее 15 мм) катуштипа КТ или КД с любым ТКЕ. Ослабление сигнатипа КТ или КД с любым ТКЕ. Ослабление сигнада в фильтее сложения и провышает 1 д.Б.

При использовании распределительного устройства РТУ-2 для подключения к телензору двух антени разных живалов (при любом сочетании каналов с 1-то по 12-4) жобели синжений антенн нужно подсоединить к выходам, а кабель, мауший к телензору, - ко кожу. Развяжа можду антеннами составляет 12—15 дВ, ослабление ситияла — (3—4) дВ.

Приемную автеми у мужно орнектировать им передающую автему толенентря, что обеспечивает наибольший уромень сигнала на входе телемора. Если при этом на эмране телемора будут наблюдаться значительные повторные контуры, то антенен унажно повероть в ту наи иную стором у до положения, в котором повторные контуры с образу системено уудуположения, в котором повторные контуры ме оудут существено уудуположения, в котором повторные контуры ме удается, нужно применять интельие контуры ме удается, нужно применять интельи с объем соглой диаграммой направленности.

#### 13.6. АНТЕННЫ ДЛЯ ПРИЕМА РАДИОВЕЩАТЕЛЬНЫХ ПЕРЕДАЧ

Прием радиовещиятельных передач на УКВ с частотной модуляцией ведется с помошью симметричных вибраторов (см. рнс. 13.12) или ийправленных антенн «волновой канал». Длина симетричного выбратора должна определаться для средней частоты (гр. = 70 МГш. Размещение выбраторов антенн «водновой канал», показано раторов антенн «водновой канал», показано

на рис. 13.19, а, б, размеры — в табл. 13.3 и

Прием радиовещательных передач на ДВ, СВ и КВ ведется с помощью антенны в виде вертикального или наклонного провода (рис. 13.29, а). Для увеличения действующей высоты верхний конец антенны должен обладать емкостью относи-



PHC. 13.29

13.7. АНТЕННЫ ЛЮБИТЕЛЬСКИХ РАДИОСТАНЦИЙ

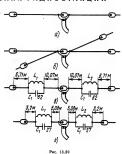
#### Антенны УКВ

Для связи на УКВ в диапазоне 2 и могут быти копользовам направленные ватенны «волновой канал» и зигзагообразине. Расположение вибраторов автения «волновой канал» показыно на ристоров автения «волновой канал» показыно на ристоров автения конользов на ристорова по показы и показы и комерти и показы и комерти и показы и комерти и показы и комерти и показы и пока

Коэффициент усиления антенны можно увеличить на 2,5—3 дь, сам установить сзады ангеного пологна рефлектор, состоящий из ряда разнесейных по вертикали паралаельных горомотальных проводов. Расстояние между проводами 0,25 м ; расстояние между рефлектором и ангеным пологном 0,55 м; общие размеры рефлектора 1,8 м (по резиленали) и 1,05 м (по горизонталь. Коэффициент усиления без рефлектора 5 дБ, с рефлектором 7,5 дБ.

#### Слабонаправленные антенны КВ

Слабонаправленные автенны КВ выполняют в виде пряволенные инфотров из медлого или ошинкованного стального провода либо витемного или кваятика 2—3 мм. Основной разметр провода или кваятика 2—3 мм. Основной разметр при и приема горизон-используемых для издучения и приема горизон-используемых для издучения и приема горизон-используемых для издучения и приема горизон-используемых для издучения и приема горизон-используемых и приема горизон-используемых и приема същениести в горизон-используемых и присмет виденности в горизонатальной поскости имеет вид



соты. Разновидностью таких антени является вертикальный провод с «метелочкой» (рис. 13.29, г).

«восьмерки», что обеспечивает связь в противоположных направлениях в секторах азимутальных углов  $\pm 60^\circ$  относительно перпендикуляра к продольной оси вибратора.

Полуволновый вибратор (рис. 13.30, a) может работать в одном из КВ диапазонов. Полная длина вибратора [м]  $l = 142,5/f_{\rm cp}$ , где  $f_{\rm cp}$ —средняя частота диапазона, МГц.

Концы вибратора крепят через изоляторы к мачтам из деревянных столбов либо из металлических кли всбоиементных труб. При отсутствии специальных изоляторов можно воспользоваться роликами, применяемыми для электропроводки. Концы вибратора можно крепить также к ограждению крыши, деревьям и другим местным предметам. При креплении к деревьям нужно следить, чтобы ветви и листва не касались проводов виб-

Для подъема и креплении вибратора в верхней части каждой из мачт устанавливают блоки, через которые перекидивают стальные тросы. Во набе-мание выпадения троса блок сведует закрыть должны песковым предерительным подтаговым песковым превышать удавоенную высоту мачты. После установия мачт тросы крепт терез взоляторы к концам вибратора. Подъем вибратора проводител попеременным подтагиванием тросов. На свободных концах тросов стадует зак-мента выбратор в натвитуют столения сталу чительного провисания. При осмотре и ремотет выбратор можно легко опустать и снова поднять.

вибратор можно легко опустить и снова поднять. Описанный способ пригоден для подъема и крепления любых КВ антенн.

Миогодиапазонная антенна из подумолновых вибраторов (рис. 13.0). 6) может быть использована для работы в диапазонах 10, 20, 40 и 80 м. Для каждого диапазона используется отдельный вибратор, полная дания которого рассчитывается по приведенной ранее формуне. Вибраторы включают параллельно и располагают под углом друг к другу.

Параллельно включенные полуволновые вибраторы дипазовов 10, 20, 40 в 80 мало шунтируют друг друга, так как более длинные вибраторы работают на ресонасных частотак более коротрасование и межет высокое входые сопротывение, в более короткое вибраторы межот гога резонанскых частотах более длинных вибраторов также вызокое вхидное сопротявление (емкосткого харыктеры). Поточну существенного ухудновым деятельной вибраторов на их резонавлешем предоставление вибраторов на их резонавле-

К антенне можно подключить также и вибратор диапазона 15 м, однако он будет работать с пониженным КБВ. Кроме того, при этом ухудшится согласование вибратора диапазона 20 м.

Многодиапазонная антенна с заградительными фильтрами W3DZZ (рис. 13.30, в) может работать в диапазонах 10, 15, 20, 40 и 80 м.

Антенна представляет собой симметричный вибратор, в плечи которого включены загралительные фильтры, настроенные на среднюю частоту диапазона 40 м ( $f_{cp} = 7,05 \ M\Gamma_{IL}$ ) На частоте настройки заградительные фильтры имеют больщое сопротивление и ток во внешних отрезках проводников практически отсутствует. Как излучатель работают только внутренние отрезки проводников, суммарная длина которых составляет половину длины волны диапазона 40 м; поэтому антенна работает в диапазоне 40 м как полуволновый вибратор. В диапазоне 80 м фильтры работают как удлиняющие катушки, в результате чего эквивалентная длина вибратора в этом диапазоне также составляет 1/2. В диапазонах 20, 15 и 10 м фильтры работают как укорачивающие

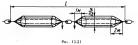
конденсаторы и эквивалентная длина вибратора соответственно составляет  $3 \lambda/2$ ,  $5 \lambda/2$  и  $7 \lambda/2$ .

Режим нечетного резонанса, в котором работает вибратор во веск днапазонах, выгоден с точки зрения согласования вибратора, так как вкодное сопротивление (75—120 Ом) близко к волновому сопротивлению кабеля (2,=75 Ом), что позволяет получить высокий КБВ в кабеле.

Еммость конденсаторов С, 62 по, индуктивность катушек L, и L, 8.3 мНг (диаметр катушек Б, катушек L, инд. м 1, инд

Укороченная многодиалазонная антенна с заградительными фильтрами W3DZZ (рис. 13:30, е) может работать в диалазонах 10, 20 и 40 м. Фильтры настроены на среднюю частоту диалазона 20 м  $(\varepsilon_p = 14, 2$  Мгц). Емкость конденсаторов  $C_1$ 

27 пФ, индуктивность катушек  $L_1$  и  $L_2$  4,7 мкГи. Диполь Надененко (рис. 13.31) — широкополосный вибратор, работающий в трехкратной полосе частот. Может быть использован в диапазо-



нах 10, 15 и 20 и; 15, 20 и 40 м; 40 и 80 м. Половины вибратора выполнены из 6—8 проводинков из медной или оцинкованной стальной проволо-ки либо из антенного канатике 22 —3 мм. Для придання вибратору необходимой жесткости проводники натянуты на кольца, выполненные из металических турб или прутков.

Полная длина вибратора [м]  $I=38f|_{cp}$ , гас  $f_{cp}$ — средняя частота самого длинковолнового рабочего диапазома [МТ ц]. Например, если вибратор предназначен для работы в диапазонах 10, 15 и 20 м. то  $f_{cp}=14.2$  МТ ц (средням частота диапазона 20 м) и длина вибратора должна составлять 136/14.2, т. е. 96 м.

Входное сопротивление меняется в трехкратной полосе частот от 50—60 Ом на нижней частоте до 400—500 Ом на верхней частоте. В качестве фидера обычно используется двухпроводная воздушная линия с  $z_*$  = 300 Ом. При этом КБВ в фидере меняется от 0,2—0,25 до 0,5—0,6.

Штырь с противовесом (рис. 13.32) — антенна вертикальной поляризации с круговой диаграммой направленности в горизонтальной плоскости и прижиатой к земле в вертикальной плоскости, что делает ее эффективной при установлении дальних связей.

Антенна, рассчитанная на диапазон 20 м, может быть использована и в диапазоне 15 м, а рассчитанная на диапазон 15 м — в диапазонах 10 и 20 м.

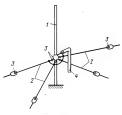


Рис. 13.32

Антенна представляет собой четвертимальномі вергикальный штырь Г с протвовесом 2: Штырь выполняется из дораломинневой или стальной оцикованной трубы. Дівамер зитенны дыпазона 10 м составляет 15—20 мм, 15 м— 20—30 мм, крепится на изоанционном сосновании. От сокования натягивают четыре изолированных противовеса из энтенного кватикия. Креплевие противовеса из энтенного кватикия. Креплевие противовеса выполняется с помощью изодаторов 3. В горизоитальной плоскости провода противовеса располагают черес 20°, а в вертимальной плог располагают черес 20°, а в пертимальной плог веста противовеса может быть от 99 до 100° дами противовеса может быть от 99 до 100° дами противо-

Входное сопротивление антенны 30-40 Ом. Фидером служит кабель 4 с  $z_{\rm s}=50$  Ом. что обеспечивает хорошее согласование антенны с фидером. Допустимо использование кабеля с  $z_{\rm s}=75$  Ом.

Плина штыря и каждого провода противовеса  $[\mathbf{M}]$   $l=71/l_{\rm Cp}$ , где  $\hat{f}_{\rm Cp}$ — средняя частога основного диапазона, на который рассчитывается антенна, МГ $\alpha$ .

#### Направление антенны КВ

Направленные аптенны мнеют высокий кооффициент усыкиня и позволяют при использовании их в качестве приемных увеличить уровень сиграва на вкоде приемных и повысить помехосиграва на кород приемных увеличить помехоувеличить направленность поля у клур-еспоидейть, увеличить направленность поля у клур-еспоидейть, их облегает установление дальных сиявай. При их установке и ориентировании следует учитывать возможные направлении на корреспоидейтов. Для обеспечения связи в широком секторе заминутальных углов применяют поворотные ай-

V-образная антенна (рис. 13.33) — направленная многодиапазонная антенна, которая дает возможность работать в диапазонах 10, 15, 20 и 40 м.

Состоит из двух проводников длиной I, расположенных параллельно земле под определенным углом ф («угол раскрыва»). Каждый из проводников представляет собой излучающий провод с бегущей волной тока, пространственная диаграмма направленности которого имеет воронкообразную форму (на рис. 13.33 пунктиром показано сечение диаграммы горизонтальной плоскостью). При увеличении отношения 1/х угол между осями лепестков и проводником уменьшается, т. е. лепестки «прижимаются» к проводнику. Угол раскрыва ф выбирается так, чтобы внутренние лепестки днаграммы направленности были параллельны друг другу. В этом случае главный лепесток диаграммы направлен вдоль биссектрисы угла раскрыва и коэффициент усиления оказывается максимальным.

Чем больше длина проводника l, тем выше коэффициент усиления, однако при этом возрастает площадь, необходимая для размещения антенны. На практике привимают l=4,5, для диапазона 15 м (k=14,2). В этом сдучае l=63,5 м;  $q=47^{\circ}$ . Коэффициент усиления в диапазоне 10 м =8 д. 15 м =6,5 д.6, 20 м =5,5 д. 6, 0 м =6,5 д. 0 в =6,5 д. 0 м

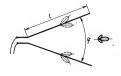
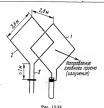


Рис. 13.33

может быть использована и в двяпазоне 80 м, но все коффицикату усывеня в этом двяпазоне 80 м, но меньше (окало 1,5 дВ). Высота подвеса — окало 20 м. При этом утол надковы атавного дележа двяграммы направленности в вертикальной плоскости в динапазонах 10, 15, 20 и 40 м составляют 10—20°, что двет возможность проводить двльние связи.

В качестве фидера используется воздушная двухпроводная линия с z<sub>n</sub> = 600 Ом.

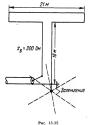


#### Антенны СВ

В диапазоне СВ (диапазон 160 м) применение антенн с горизонтальной поляризацией встречает затруднения. Поднять антенну на большую высоту (около полуволны или более), необходимую для концентрации излучения под небольшими углами к горизонту для обеспечения дальних связей, практически невозможно. Поэтому в диапазоне 160 м используются в основном антенны вертикальной поляризации с прижатым к земле главным лепостком диаграммы направленности. Основная разновидность таких антенн - несимметричные вертикальные вибраторы (линейные или петлевые), укороченные по сравнению с четвертью длины волны с помощью катушки, включенной у основания вибратора, или емкости, включенной на его конце.

Укороченный несимметричный петлевой вибратор (рис. 13.35) один из распространенных ва-

риантов антенцы, вертикальной поляризации для дыпазован Во м. Осстоит из вертикальной части — собственно излучателя и горизонтальной части — смостою загружи, бесећечивающей эквивалентого удлинеше вибратора до четверти длины волиль Волновое сопротивление даухпроводной днини, образующей излучатель и емкострои образующей образующей в менят кабель с волновым сопротивлением 50 или 75 Ом. Число проводов завеждения — ве менее четырех, длина проводов завеждения — ве менее четырех, длина проводов завеждения — ве менее четырех, длина



каждого — не менее 15—20 м, диаметр провода 1,5—2 мм. Провода следует закопать в землю на глубину 0,3—0,5 м.

Если выполнить заземление указанным образом затруднительно, то можно использовать водопроводные трубы.

#### 13.8. МОЛНИЕЗАЩИТА И ЗАЗЕМЛЕНИЕ АНТЕНН

Телевинония автення на заземенной металлической кровае. Еслі мачта металическай, то нумно соедінить ее керкиою часть є журавани какривент сточкой кумного потенкий, а вижноком часть— с кромаей. У петаговочений, а вижноком чулевого потенциала накодится в середине коротколамикающей перемычки симметрирующегом мостика.

Если мачта деревянная, то нужно подключить к точке нулевого лотенциала антенны медами лил стальной провод токотовода диаметром 3— 4 мм, соединив с той же точкой оплетки кабелей, проложить провод вдоль мачты (к мачте провод крепится скобками или бандажами) и соединить его с кролей.

Телевизионная антенна на неметаллической кровле. Если мачта металлическая, то нужно соДля увеличения надежности молинезащиты можно выполнять заземление в виде двух или нескольких лучей из провода Ø 3—4 мм или полосового железа шириной 10—20 мм толщиной 4—5 мм (длина лучей от 2 до 15 м в завкоть.

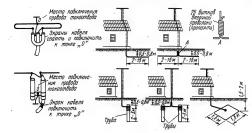


Рис. 13.36

мости от типа почвы). Можно использовать также газовые грубы дликой 2—3 м, илет большой плошали ит. д. Все соединения должны выполняться надежно, с помощью паск, сварки или путем зажима под болт. Места соединений покрывают асфильтовым лаком. Поверхность заземалющих электродов должна быть очищена от краски, лаков и т. д.

Устройство различных систем молниезащиты и заземления показано на рис. 13.36.

Грозовые переключатели. Для защиты радиовещательных приемников, подключенных к наружной антенне, от атмосферного электричества применяют грозовые переключатели. К среднему зажиму, переключателя подключают антенну, к крайним — соответственно приемник и заземлянен. При приближении грозы переключатель переводится в положение, соответствующее зажеленно антенны, приемник выключают, антенный штеккер выянимают из гиезда приемника. В качестве заземления можно использовать груцентрального отопления. В месте подключения зажемляющего провода трубу нужно очистить от ржавчины и краски, место подключения провода следует закрасить.

Подключать заземляющий провод к газовым трубам нельзя.

#### СОДЕРЖАНИЕ

Предисловие к третьему изданию			3
Обозначения и сокращения, принятые в справочнике			4
Раздел 1. Резонансные цепи			15
Раздел 2. Радиовещательный прием			22
Раздел 3. Телевизионный прием			93
Раздел 4. Электроакустическое звуковоспроизведение			185
Раздел 5. Магнитная звукозапись			221
Раздел 6. Магнитная видеозапись			249
Раздел 7. Аппаратура для любительской радиосвязи			271
Раздел 8. Элементы систем автоматического управления			287
Раздел 9. Электропитание радиоаппаратуры			313
Раздел 10. Измерительные приборы и радиолюбительские измерения	я.		328
Раздел 11. Основы конструирования и монтаж радиоаппаратуры			360
Раздел 12. Компоненты и элементы радиоаппаратуры			388
Раздел 13. Антенны			536





9+9 121 x 8 098 x 50 J086

